

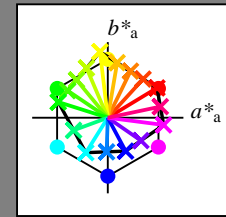
Ein und Ausgabe:
 Farbmetrisches Drucker-Reflektiv-System ORS19_96a

Daten für jede Farbe:
 u^*_d und Nummer *Nr.* = 00 .. 15

Geräte-Bunttextext:
 $u^*_d = 16$ Bunttoene *o00y, o25y, ..., m50o*

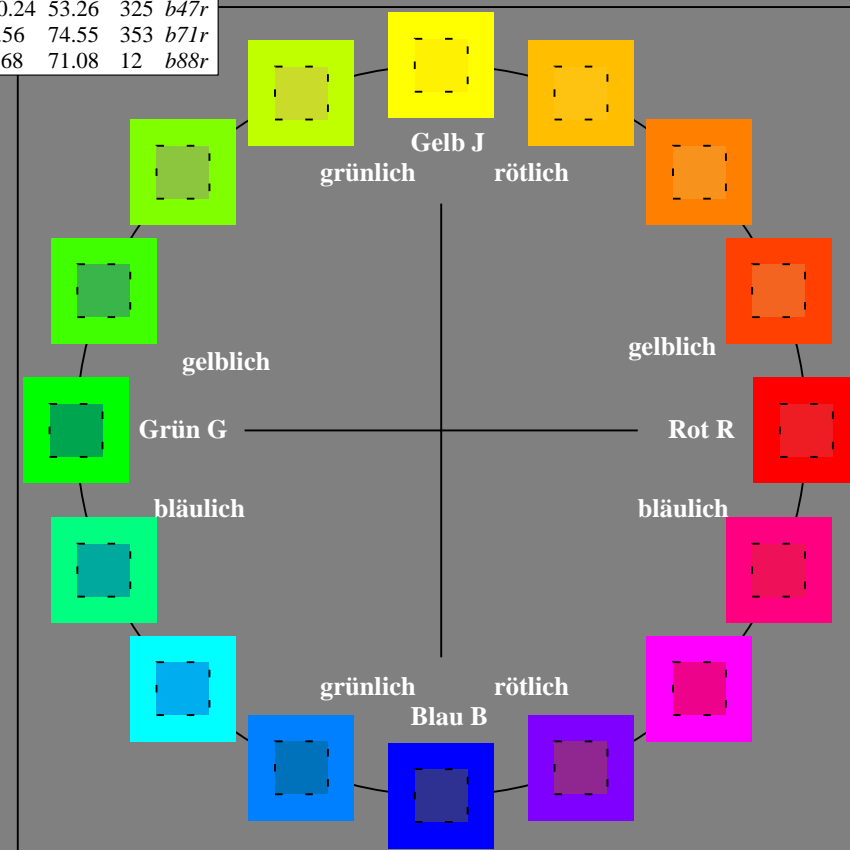
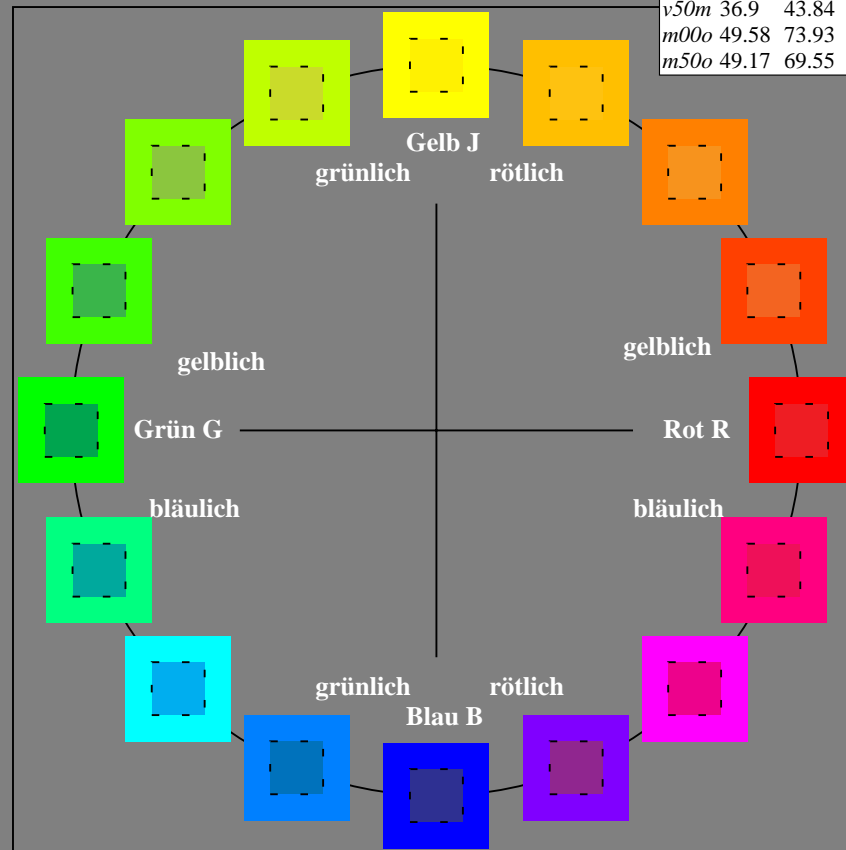
Kontrastreduzierungsfaktor:
 $c_R = 1.0$

ORS19_96a; adaptierte CIELAB-Daten						
u^*_d	$L^*=L^*_a$	a^*_a	b^*_a	$C^*_{ab,a}$	$h^*_{ab,a}$	u^*_e
<i>o00y</i>	48.75	65.07	39.43	76.08	31	<i>r08j</i>
<i>o25y</i>	59.04	46.67	51.1	69.21	48	<i>r33j</i>
<i>o50y</i>	68.32	30.09	61.62	68.58	64	<i>r57j</i>
<i>o75y</i>	78.23	12.39	72.85	73.9	80	<i>r81j</i>
<i>y00l</i>	90.92	-10.29	87.24	87.85	97	<i>j06g</i>
<i>y25l</i>	78.57	-28.11	65.75	71.51	113	<i>j29g</i>
<i>y50l</i>	69.46	-41.25	49.92	64.75	130	<i>j53g</i>
<i>y75l</i>	61.32	-52.99	35.76	63.92	146	<i>j76g</i>
<i>l00c</i>	52.69	-65.44	20.75	68.65	162	<i>g00b</i>
<i>l50c</i>	56.55	-45.12	-16.57	48.07	200	<i>g34b</i>
<i>c00v</i>	59.61	-28.98	-46.22	54.56	238	<i>g69b</i>
<i>c50v</i>	43.33	-1.54	-45.13	45.16	268	<i>g96b</i>
<i>v00m</i>	28.39	23.63	-44.13	50.06	298	<i>b23r</i>
<i>v50m</i>	36.9	43.84	-30.24	53.26	325	<i>b47r</i>
<i>m00o</i>	49.58	73.93	-9.56	74.55	353	<i>b71r</i>
<i>m50o</i>	49.17	69.55	14.68	71.08	12	<i>b88r</i>



%Umfang
 $u^*_{rel} = 89$
 %Regularität
 $g^*_{H,rel} = 72$
 $g^*_{C,rel} = 57$

ORS19_96a; adaptierte CIELAB-Daten					
Name	$L^*=L^*_a$	a^*_a	b^*_a	$C^*_{ab,a}$	$h^*_{ab,a}$
O _{Ma}	48.75	65.07	39.43	76.08	31
Y _{Ma}	90.92	-10.29	87.24	87.85	97
L _{Ma}	52.69	-65.44	20.75	68.65	162
C _{Ma}	59.61	-28.98	-46.22	54.56	238
V _{Ma}	28.39	23.63	-44.13	50.06	298
M _{Ma}	49.58	73.93	-9.56	74.55	353
N _{Ma}	18.89	0.0	0.0	0.0	0
W _{Ma}	96.9	0.0	0.0	0.0	0
O _{CIE}	39.92	58.74	27.99	65.07	25
Y _{CIE}	81.26	-2.89	71.56	71.62	92
L _{CIE}	52.23	-42.42	13.6	44.55	162
V _{CIE}	30.57	1.41	-46.47	46.49	272



Ein und Ausgabe: Farbmatisches Drucker-Reflektiv-System ORS19_96a für relativen CIELAB-Bunton $h^* = lab^*h^* = h_{ab}/360 = 0.087$

$u^*_d = 0.00y$

Daten für jede Farbe:

lab^*tch^* und lab^*icu^*

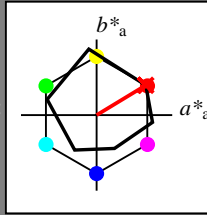
Buntontexte:

$u^*_d = 0.00y$ $u^*_e = r08j$

Kontrastreduzierungsfaktor:

$c_R = 1.0$

Dreiecks-Helligkeit t^*



ORS19_96a; adaptierte CIELAB-Daten						
u^*_d	$L^*=L^*_a$	a^*_a	b^*_a	$C^*_{ab,a}$	$h^*_{ab,a}$	
O _{Ma}	48.75	65.07	39.43	76.08	31	
Y _{Ma}	90.92	-10.29	87.24	87.85	97	
L _{Ma}	52.69	-65.44	20.75	68.65	162	
C _{Ma}	59.61	-28.98	-46.22	54.56	238	
V _{Ma}	28.39	23.63	-44.13	50.06	298	
M _{Ma}	49.58	73.93	-9.56	74.55	353	
N _{Ma}	18.89	0.0	0.0	0.0	0	
W _{Ma}	96.9	0.0	0.0	0.0	0	
O _{Ma}	39.92	58.74	27.99	65.07	25	
Y _{Ma}	81.26	-2.89	71.56	71.62	92	
L _{Ma}	52.23	-42.42	13.6	44.55	162	
V _{Ma}	30.57	1.41	-46.47	46.49	272	

Daten für Maximalfarbe (Ma):

$LAB^*LAB^*_Ma$: 49 65 39

$LAB^*LCH^*_Ma$: 49 76 31

$lab^*olv^*_Ma$: 1.0 0.0 0.0

$lab^*rgb^*_Ma$: 1.0 0.09 0.0

Dreiecks-Helligkeit t^*

%Umfang

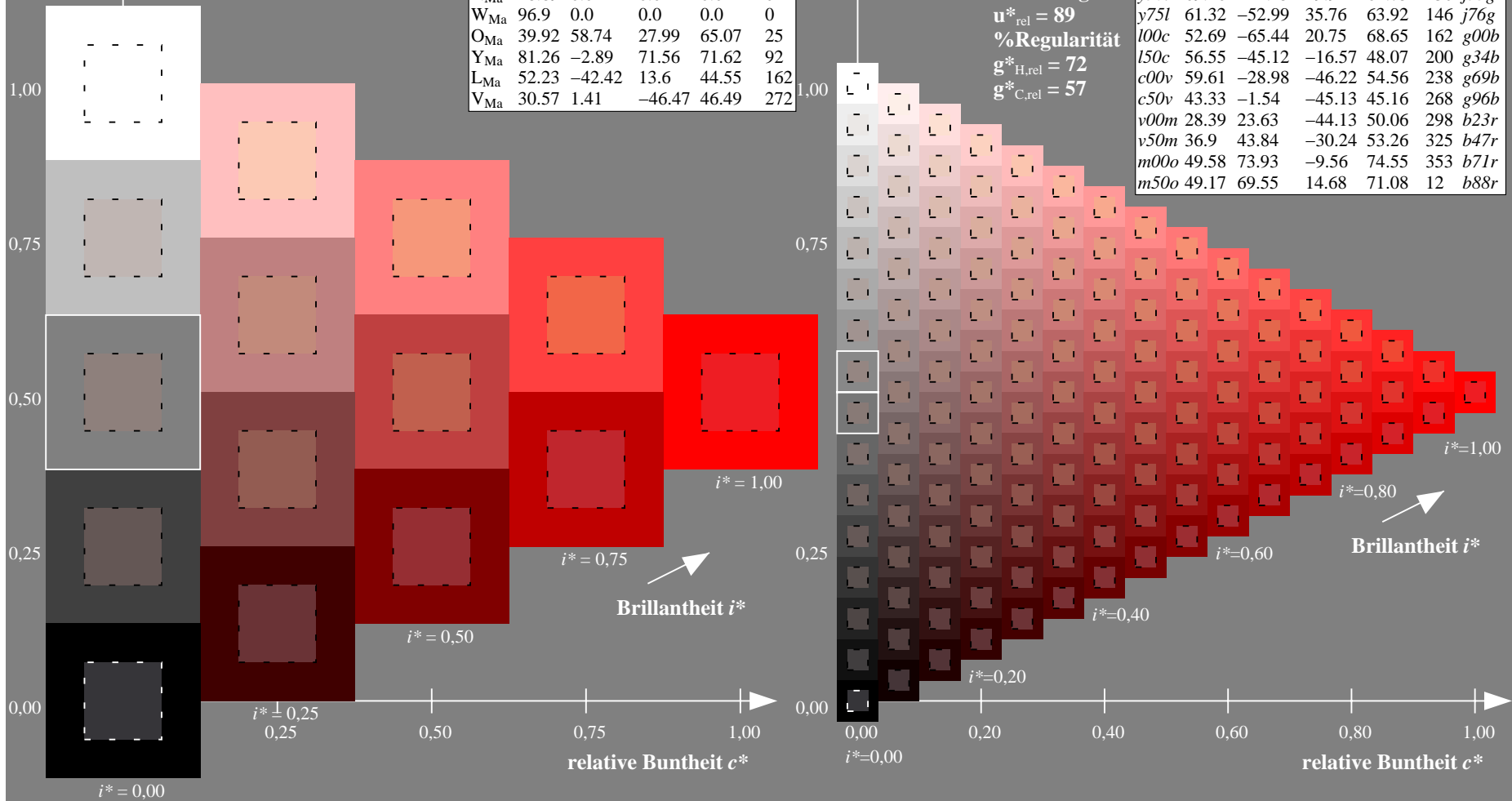
$u^*_{rel} = 89$

%Regularität

$g^*_{H,rel} = 72$

$g^*_{C,rel} = 57$

ORS19_96a; adaptierte CIELAB-Daten							
u^*_d	$L^*=L^*_a$	a^*_a	b^*_a	$C^*_{ab,a}$	$h^*_{ab,a}$	u^*_e	
o00y	48.75	65.07	39.43	76.08	31	r08j	
o25y	59.04	46.67	51.1	69.21	48	r33j	
o50y	68.32	30.09	61.62	68.58	64	r57j	
o75y	78.23	12.39	72.85	73.9	80	r81j	
y00l	90.92	-10.29	87.24	87.85	97	j06g	
y25l	78.57	-28.11	65.75	71.51	113	j29g	
y50l	69.46	-41.25	49.92	64.75	130	j53g	
y75l	61.32	-52.99	35.76	63.92	146	j76g	
l00c	52.69	-65.44	20.75	68.65	162	g00b	
l50c	56.55	-45.12	-16.57	48.07	200	g34b	
c00v	59.61	-28.98	-46.22	54.56	238	g69b	
c50v	43.33	-1.54	-45.13	45.16	268	g96b	
v00m	28.39	23.63	-44.13	50.06	298	b23r	
v50m	36.9	43.84	-30.24	53.26	325	b47r	
m00o	49.58	73.93	-9.56	74.55	353	b71r	
m50o	49.17	69.55	14.68	71.08	12	b88r	



Ein und Ausgabe: Farbmatisches Drucker-Reflektiv-System ORS19_96a für relativen CIELAB-Bunton $h^* = lab^*h^* = h_{ab}/360 = 0.132$

$u^*_d = o25y$

Daten für jede Farbe:

lab^*tch^* und lab^*icu^*

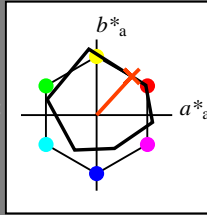
Buntontexte:

$u^*_d = o25y$ $u^*_e = r33j$

Kontrastreduzierungsfaktor:

$c_R = 1.0$

Dreiecks-Helligkeit t^*



ORS19_96a; adaptierte CIELAB-Daten						
u^*_d	$L^*=L^*_a$	a^*_a	b^*_a	$C^*_{ab,a}$	$h^*_{ab,a}$	
O _{Ma}	48.75	65.07	39.43	76.08	31	
Y _{Ma}	90.92	-10.29	87.24	87.85	97	
L _{Ma}	52.69	-65.44	20.75	68.65	162	
C _{Ma}	59.61	-28.98	-46.22	54.56	238	
V _{Ma}	28.39	23.63	-44.13	50.06	298	
M _{Ma}	49.58	73.93	-9.56	74.55	353	
N _{Ma}	18.89	0.0	0.0	0.0	0	
W _{Ma}	96.9	0.0	0.0	0.0	0	
O _{Ma}	39.92	58.74	27.99	65.07	25	
Y _{Ma}	81.26	-2.89	71.56	71.62	92	
L _{Ma}	52.23	-42.42	13.6	44.55	162	
V _{Ma}	30.57	1.41	-46.47	46.49	272	

Daten für Maximalfarbe (Ma):

$LAB^*LAB^*_Ma: 59\ 47\ 51$

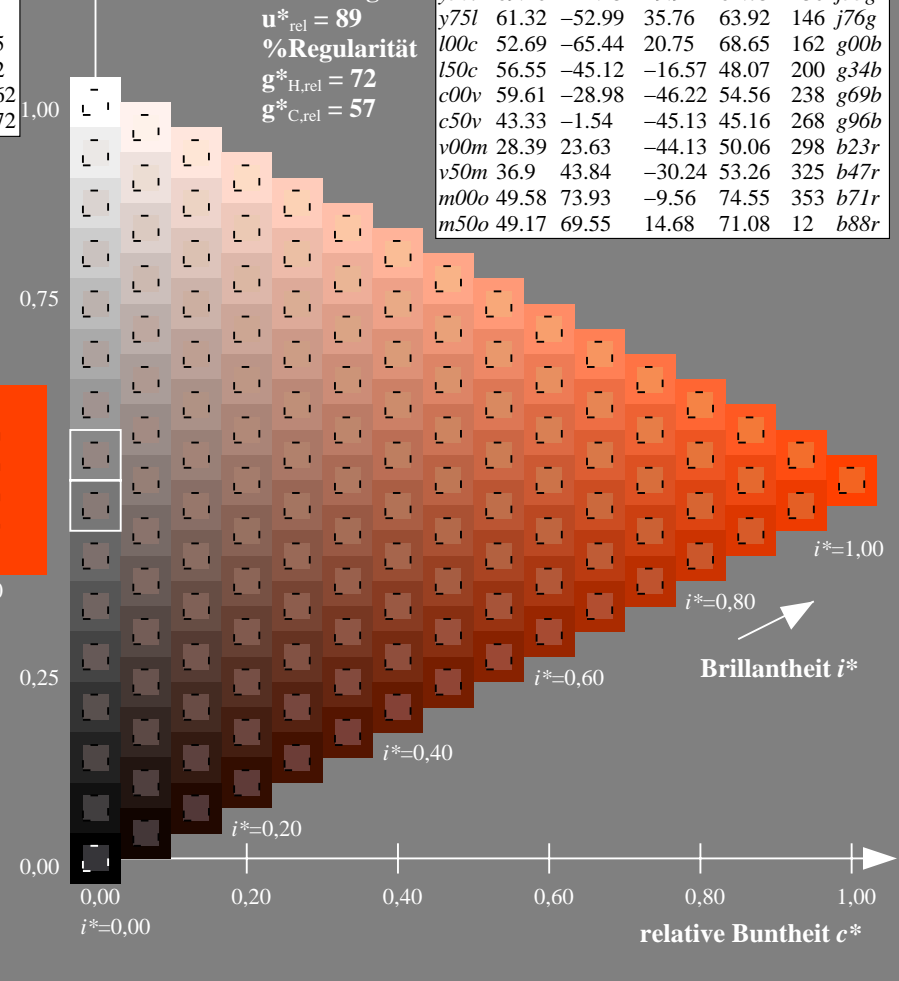
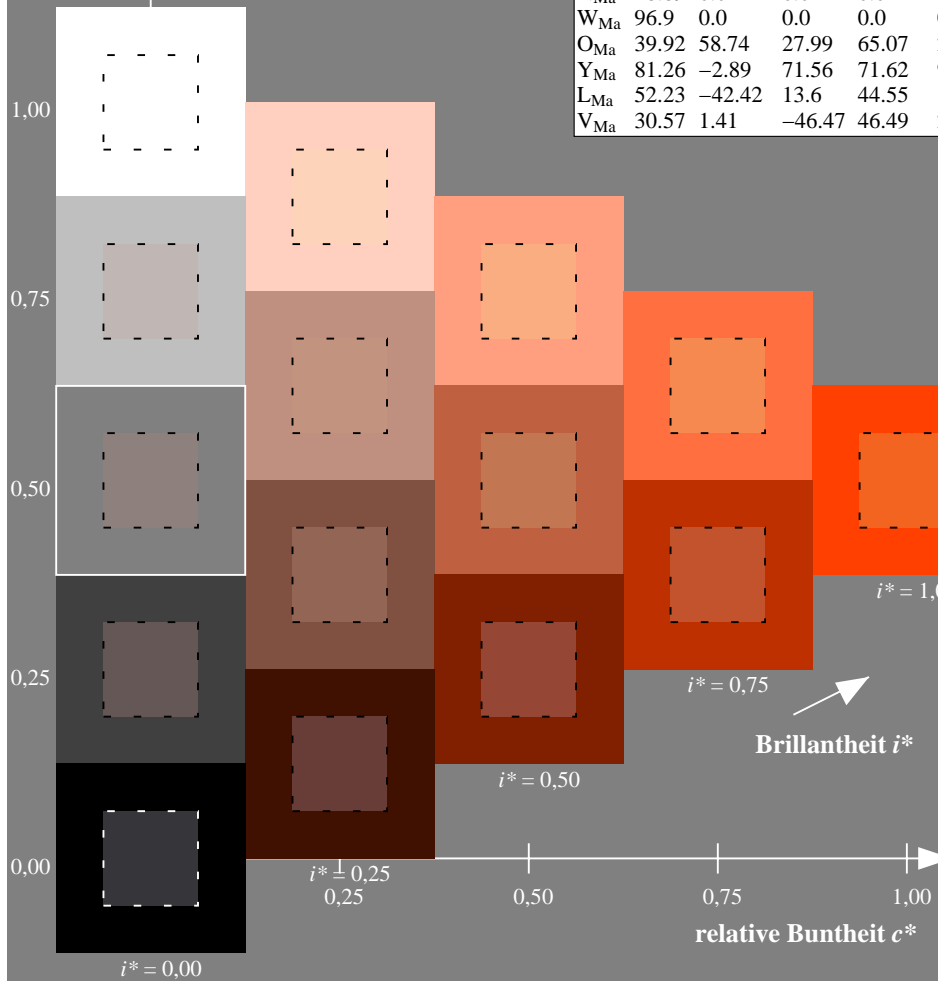
$LAB^*LCH^*_Ma: 59\ 69\ 47$

$lab^*olv^*_Ma: 1.0\ 0.25\ 0.0$

$lab^*rgb^*_Ma: 1.0\ 0.33\ 0.0$

Dreiecks-Helligkeit t^*

ORS19_96a; adaptierte CIELAB-Daten							
u^*_d	$L^*=L^*_a$	a^*_a	b^*_a	$C^*_{ab,a}$	$h^*_{ab,a}$	u^*_e	
<i>o00y</i>	48.75	65.07	39.43	76.08	31	<i>r08j</i>	
<i>o25y</i>	59.04	46.67	51.1	69.21	48	<i>r33j</i>	
<i>o50y</i>	68.32	30.09	61.62	68.58	64	<i>r57j</i>	
<i>o75y</i>	78.23	12.39	72.85	73.9	80	<i>r81j</i>	
<i>y00l</i>	90.92	-10.29	87.24	87.85	97	<i>j06g</i>	
<i>y25l</i>	78.57	-28.11	65.75	71.51	113	<i>j29g</i>	
<i>y50l</i>	69.46	-41.25	49.92	64.75	130	<i>j53g</i>	
<i>y75l</i>	61.32	-52.99	35.76	63.92	146	<i>j76g</i>	
<i>l00c</i>	52.69	-65.44	20.75	68.65	162	<i>g00b</i>	
<i>l50c</i>	56.55	-45.12	-16.57	48.07	200	<i>g34b</i>	
<i>c00v</i>	59.61	-28.98	-46.22	54.56	238	<i>g69b</i>	
<i>c50v</i>	43.33	-1.54	-45.13	45.16	268	<i>g96b</i>	
<i>v00m</i>	28.39	23.63	-44.13	50.06	298	<i>b23r</i>	
<i>v50m</i>	36.9	43.84	-30.24	53.26	325	<i>b47r</i>	
<i>m00o</i>	49.58	73.93	-9.56	74.55	353	<i>b71r</i>	
<i>m50o</i>	49.17	69.55	14.68	71.08	12	<i>b88r</i>	



Ein und Ausgabe: Farbmatisches Drucker-Reflektiv-System ORS19_96a für relativen CIELAB-Bunton $h^* = lab^*h^* = h_{ab}/360 = 0.178$

$u^*_d = o50y$

Daten für jede Farbe:

lab^*tch^* und lab^*icu^*

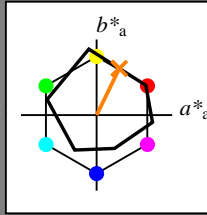
Buntontexte:

$u^*_d = o50y$ $u^*_e = r57j$

Kontrastreduzierungsfaktor:

$c_R = 1.0$

Dreiecks-Helligkeit t^*



ORS19_96a; adaptierte CIELAB-Daten						
u^*_d	$L^*=L^*_a$	a^*_a	b^*_a	$C^*_{ab,a}$	$h^*_{ab,a}$	
O _{Ma}	48.75	65.07	39.43	76.08	31	
Y _{Ma}	90.92	-10.29	87.24	87.85	97	
L _{Ma}	52.69	-65.44	20.75	68.65	162	
C _{Ma}	59.61	-28.98	-46.22	54.56	238	
V _{Ma}	28.39	23.63	-44.13	50.06	298	
M _{Ma}	49.58	73.93	-9.56	74.55	353	
N _{Ma}	18.89	0.0	0.0	0.0	0	
W _{Ma}	96.9	0.0	0.0	0.0	0	
O _{Ma}	39.92	58.74	27.99	65.07	25	
Y _{Ma}	81.26	-2.89	71.56	71.62	92	
L _{Ma}	52.23	-42.42	13.6	44.55	162	
V _{Ma}	30.57	1.41	-46.47	46.49	272	

Daten für Maximalfarbe (Ma):

$LAB^*LAB^*_{Ma}$: 68 30 62

$LAB^*LCH^*_{Ma}$: 68 69 63

$lab^*olv^*_{Ma}$: 1.0 0.5 0.0

$lab^*rgb^*_{Ma}$: 1.0 0.58 0.0

Dreiecks-Helligkeit t^*

%Umfang

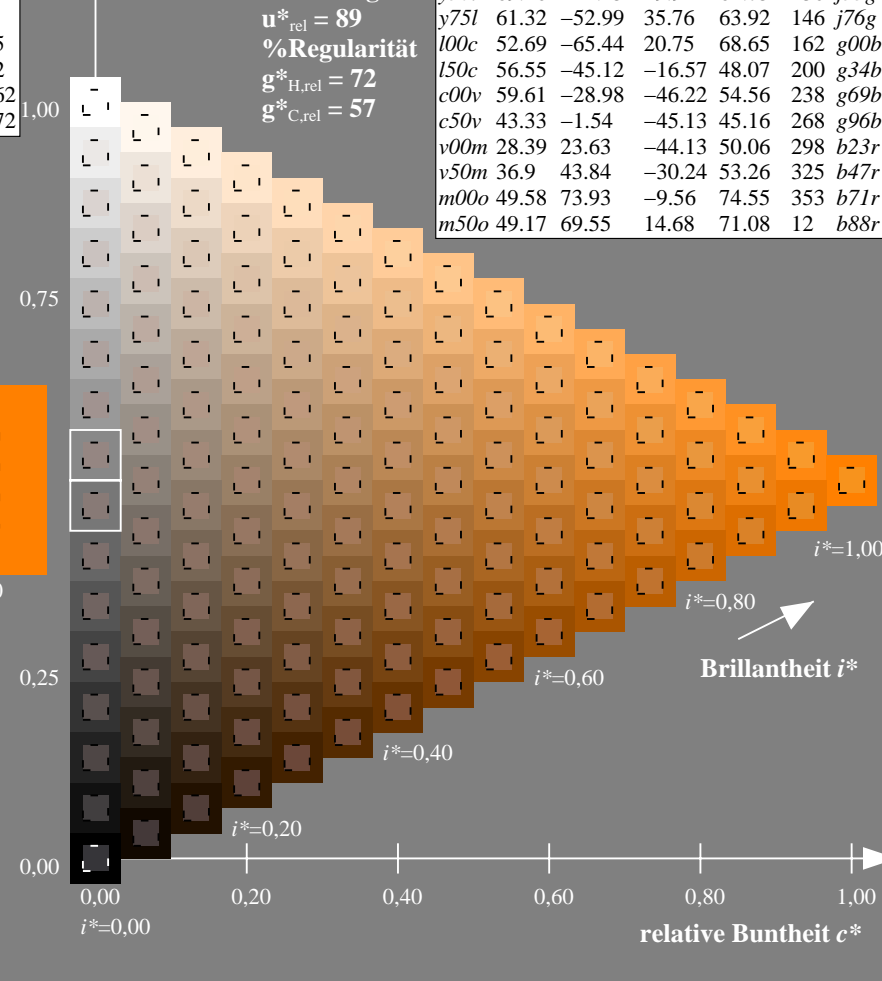
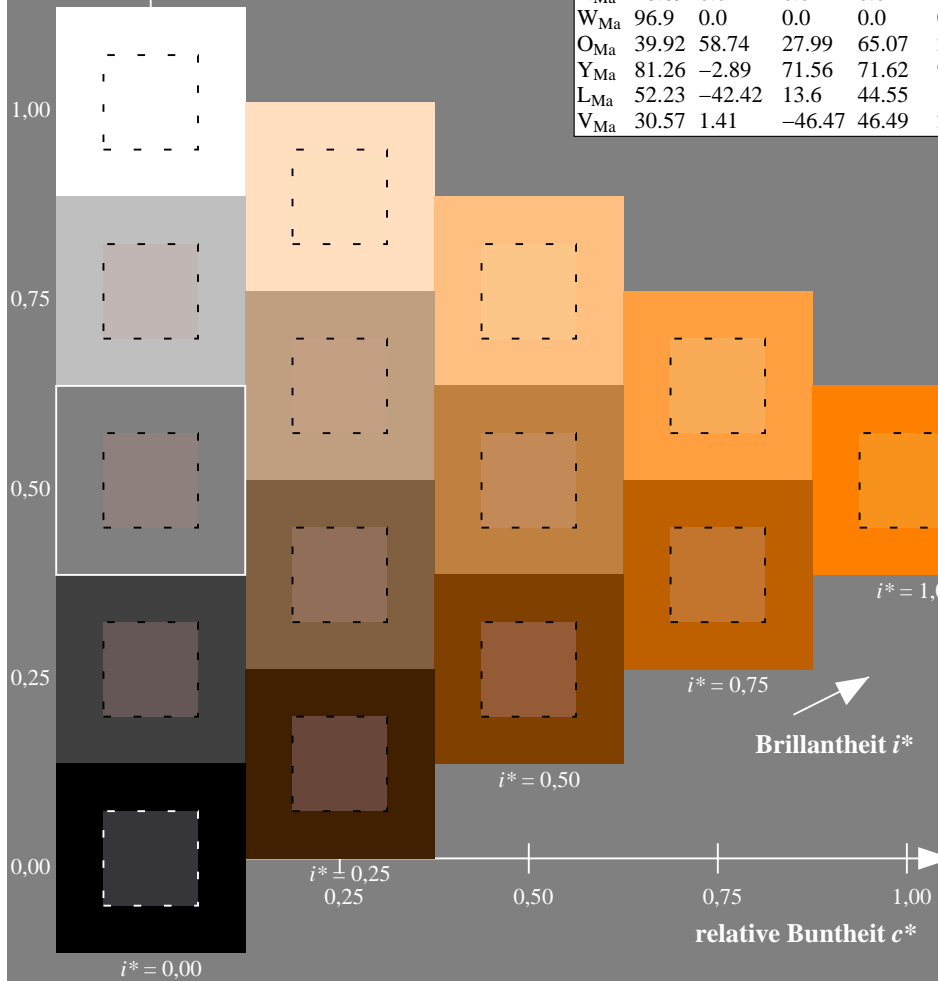
$u^*_{rel} = 89$

%Regularität

$g^*_{H,rel} = 72$

$g^*_{C,rel} = 57$

ORS19_96a; adaptierte CIELAB-Daten							
u^*_d	$L^*=L^*_a$	a^*_a	b^*_a	$C^*_{ab,a}$	$h^*_{ab,a}$	u^*_e	
<i>o00y</i>	48.75	65.07	39.43	76.08	31	<i>r08j</i>	
<i>o25y</i>	59.04	46.67	51.1	69.21	48	<i>r33j</i>	
<i>o50y</i>	68.32	30.09	61.62	68.58	64	<i>r57j</i>	
<i>o75y</i>	78.23	12.39	72.85	73.9	80	<i>r81j</i>	
<i>y00l</i>	90.92	-10.29	87.24	87.85	97	<i>j06g</i>	
<i>y25l</i>	78.57	-28.11	65.75	71.51	113	<i>j29g</i>	
<i>y50l</i>	69.46	-41.25	49.92	64.75	130	<i>j53g</i>	
<i>y75l</i>	61.32	-52.99	35.76	63.92	146	<i>j76g</i>	
<i>l00c</i>	52.69	-65.44	20.75	68.65	162	<i>g00b</i>	
<i>l50c</i>	56.55	-45.12	-16.57	48.07	200	<i>g34b</i>	
<i>c00v</i>	59.61	-28.98	-46.22	54.56	238	<i>g69b</i>	
<i>c50v</i>	43.33	-1.54	-45.13	45.16	268	<i>g96b</i>	
<i>v00m</i>	28.39	23.63	-44.13	50.06	298	<i>b23r</i>	
<i>v50m</i>	36.9	43.84	-30.24	53.26	325	<i>b47r</i>	
<i>m00o</i>	49.58	73.93	-9.56	74.55	353	<i>b71r</i>	
<i>m50o</i>	49.17	69.55	14.68	71.08	12	<i>b88r</i>	



Ein und Ausgabe: Farbmetrisches Drucker-Reflektiv-System ORS19_96a für relativen CIELAB-Bunton $h^* = \text{lab}^*h^* = h_{ab}/360 = 0.223$

$u^*_d = o75y$

Daten für jede Farbe:

lab^*tch^* und lab^*icu^*

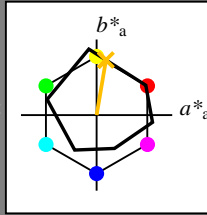
Buntontexte:

$u^*_d = o75y$ $u^*_e = r8lj$

Kontrastreduzierungsfaktor:

$c_R = 1.0$

Dreiecks-Helligkeit t^*



ORS19_96a; adaptierte CIELAB-Daten						
u^*_d	$L^*=L^*_a$	a^*_a	b^*_a	$C^*_{ab,a}$	$h^*_{ab,a}$	
O _{Ma}	48.75	65.07	39.43	76.08	31	
Y _{Ma}	90.92	-10.29	87.24	87.85	97	
L _{Ma}	52.69	-65.44	20.75	68.65	162	
C _{Ma}	59.61	-28.98	-46.22	54.56	238	
V _{Ma}	28.39	23.63	-44.13	50.06	298	
M _{Ma}	49.58	73.93	-9.56	74.55	353	
N _{Ma}	18.89	0.0	0.0	0.0	0	
W _{Ma}	96.9	0.0	0.0	0.0	0	
O _{Ma}	39.92	58.74	27.99	65.07	25	
Y _{Ma}	81.26	-2.89	71.56	71.62	92	
L _{Ma}	52.23	-42.42	13.6	44.55	162	
V _{Ma}	30.57	1.41	-46.47	46.49	272	

Daten für Maximalfarbe (Ma):

$\text{LAB}^*\text{LAB}^*_{Ma}$: 78 12 73

$\text{LAB}^*\text{LCH}^*_{Ma}$: 78 74 80

$\text{lab}^*\text{olv}^*_{Ma}$: 1.0 0.75 0.0

$\text{lab}^*\text{rgb}^*_{Ma}$: 1.0 0.82 0.0

Dreiecks-Helligkeit t^*

%Umfang

$u^*_{rel} = 89$

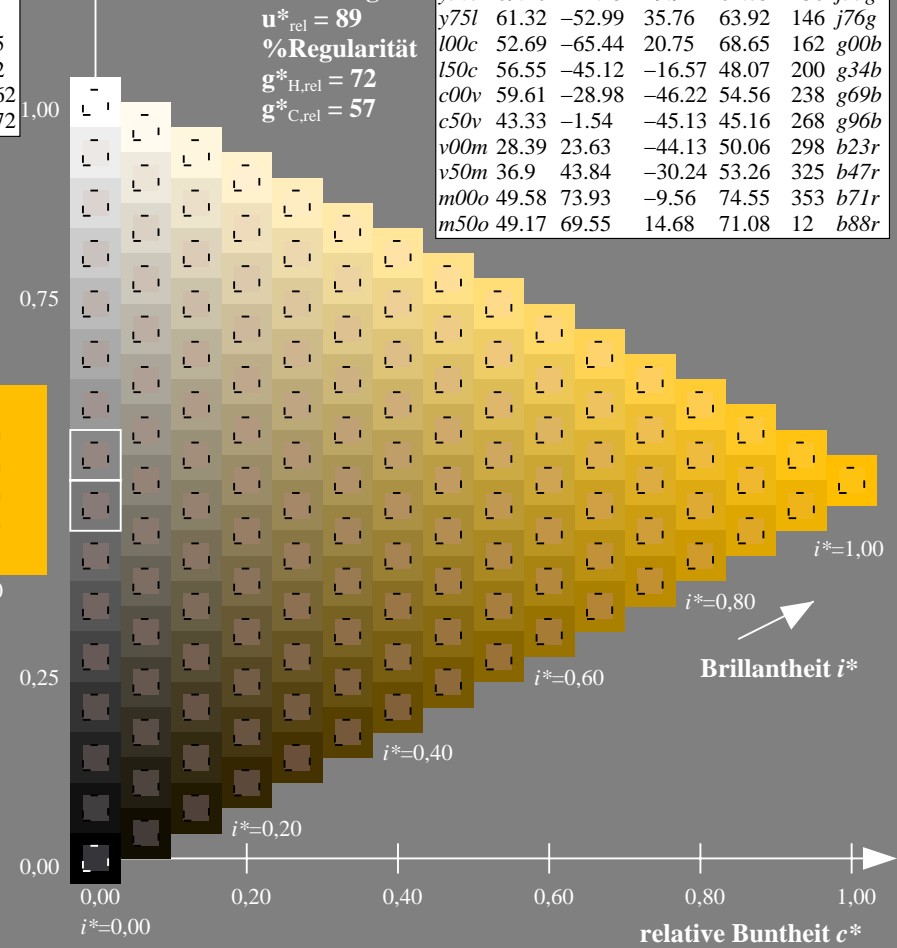
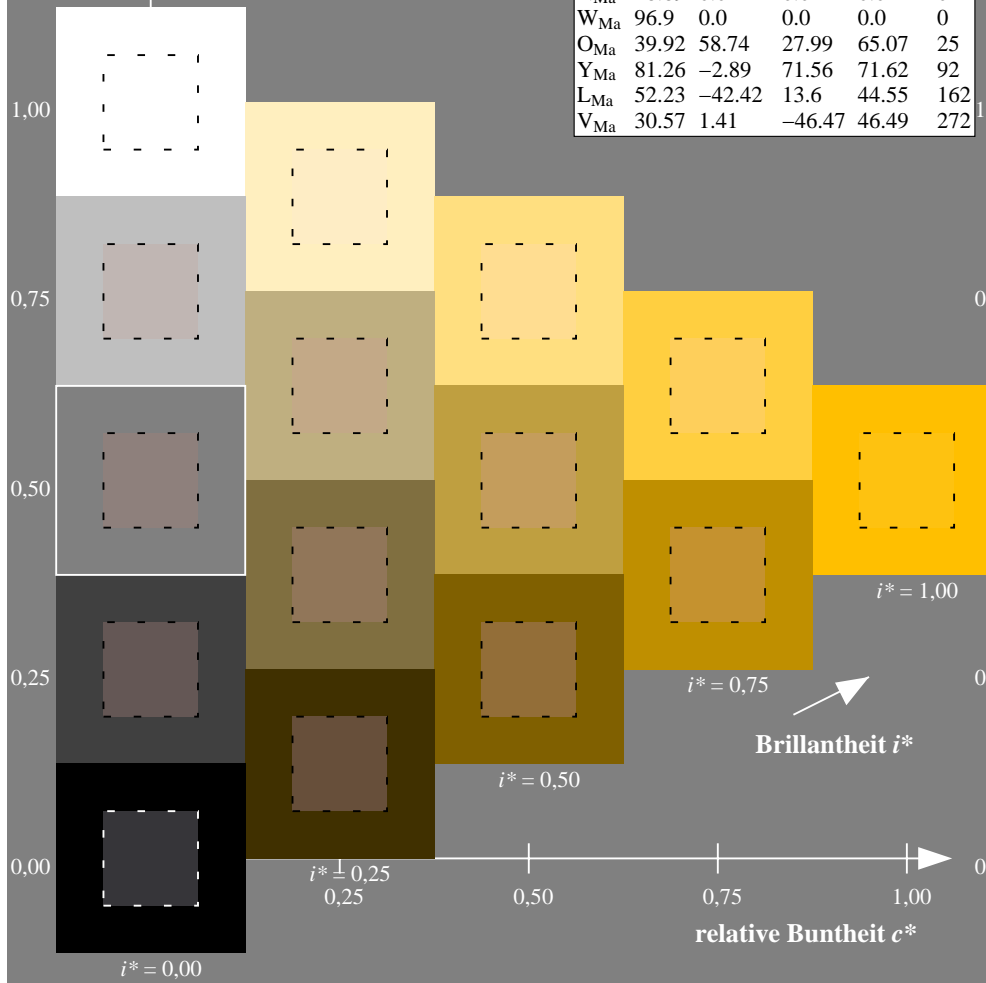
%Regularität

$g^*_{H,rel} = 72$

$g^*_{C,rel} = 57$

ORS19_96a; adaptierte CIELAB-Daten

u^*_d	$L^*=L^*_a$	a^*_a	b^*_a	$C^*_{ab,a}$	$h^*_{ab,a}$	u^*_e
<i>o00y</i>	48.75	65.07	39.43	76.08	31	<i>r08j</i>
<i>o25y</i>	59.04	46.67	51.1	69.21	48	<i>r33j</i>
<i>o50y</i>	68.32	30.09	61.62	68.58	64	<i>r57j</i>
<i>o75y</i>	78.23	12.39	72.85	73.9	80	<i>r8lj</i>
<i>y00l</i>	90.92	-10.29	87.24	87.85	97	<i>j06g</i>
<i>y25l</i>	78.57	-28.11	65.75	71.51	113	<i>j29g</i>
<i>y50l</i>	69.46	-41.25	49.92	64.75	130	<i>j53g</i>
<i>y75l</i>	61.32	-52.99	35.76	63.92	146	<i>j76g</i>
<i>l00c</i>	52.69	-65.44	20.75	68.65	162	<i>g00b</i>
<i>l50c</i>	56.55	-45.12	-16.57	48.07	200	<i>g34b</i>
<i>c00v</i>	59.61	-28.98	-46.22	54.56	238	<i>g69b</i>
<i>c50v</i>	43.33	-1.54	-45.13	45.16	268	<i>g96b</i>
<i>v00m</i>	28.39	23.63	-44.13	50.06	298	<i>b23r</i>
<i>v50m</i>	36.9	43.84	-30.24	53.26	325	<i>b47r</i>
<i>m00o</i>	49.58	73.93	-9.56	74.55	353	<i>b71r</i>
<i>m50o</i>	49.17	69.55	14.68	71.08	12	<i>b88r</i>



Ein und Ausgabe: Farbmatisches Drucker-Reflektiv-System ORS19_96a für relativen CIELAB-Bunton $h^* = lab^*h^* = h_{ab}/360 = 0.269$

$u^*_d = y00l$

Daten für jede Farbe:

lab^*tch^* und lab^*icu^*

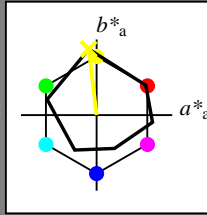
Buntontexte:

$u^*_d = y00l$ $u^*_e = j06g$

Kontrastreduzierungsfaktor:

$c_R = 1.0$

Dreiecks-Helligkeit t^*



ORS19_96a; adaptierte CIELAB-Daten						
u^*_d	$L^*=L^*_a$	a^*_a	b^*_a	$C^*_{ab,a}$	$h^*_{ab,a}$	
O _{Ma}	48.75	65.07	39.43	76.08	31	
Y _{Ma}	90.92	-10.29	87.24	87.85	97	
L _{Ma}	52.69	-65.44	20.75	68.65	162	
C _{Ma}	59.61	-28.98	-46.22	54.56	238	
V _{Ma}	28.39	23.63	-44.13	50.06	298	
M _{Ma}	49.58	73.93	-9.56	74.55	353	
N _{Ma}	18.89	0.0	0.0	0.0	0	
W _{Ma}	96.9	0.0	0.0	0.0	0	
O _{Ma}	39.92	58.74	27.99	65.07	25	
Y _{Ma}	81.26	-2.89	71.56	71.62	92	
L _{Ma}	52.23	-42.42	13.6	44.55	162	
V _{Ma}	30.57	1.41	-46.47	46.49	272	

Daten für Maximalfarbe (Ma):

$LAB^*LAB^*_{Ma}: 91 -10 87$

$LAB^*LCH^*_{Ma}: 91 88 96$

$lab^*olv^*_{Ma}: 1.0 1.0 0.0$

$lab^*rgb^*_{Ma}: 0.94 1.0 0.0$

Dreiecks-Helligkeit t^*

%Umfang

$u^*_{rel} = 89$

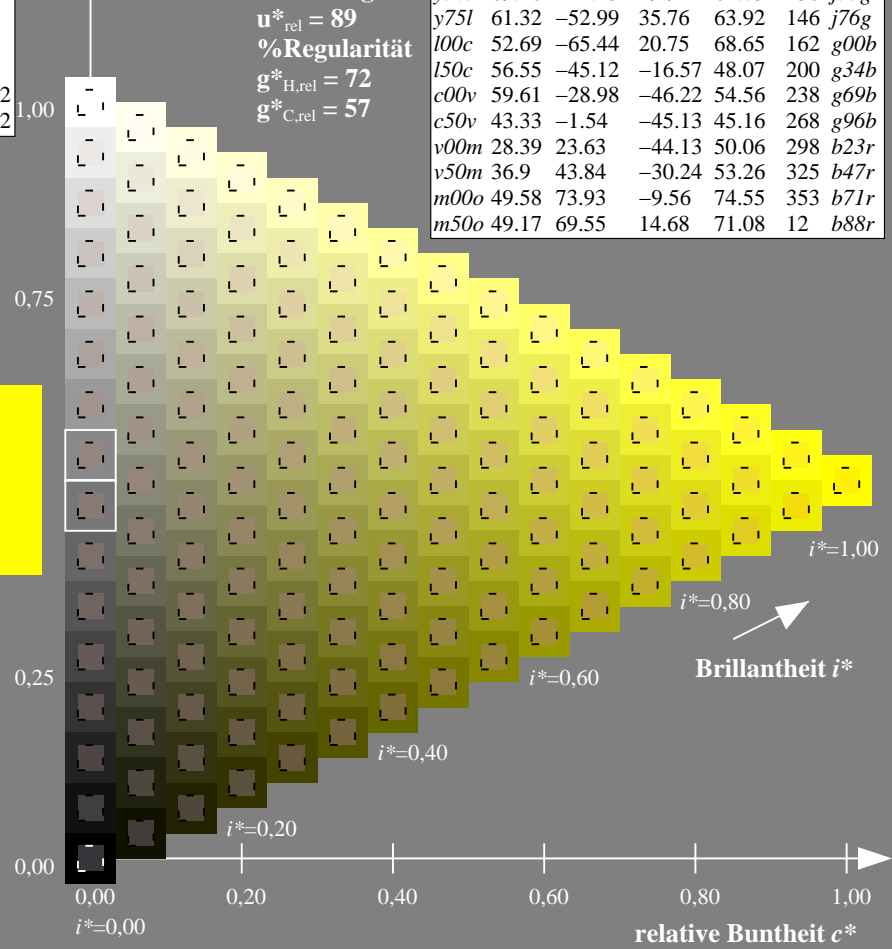
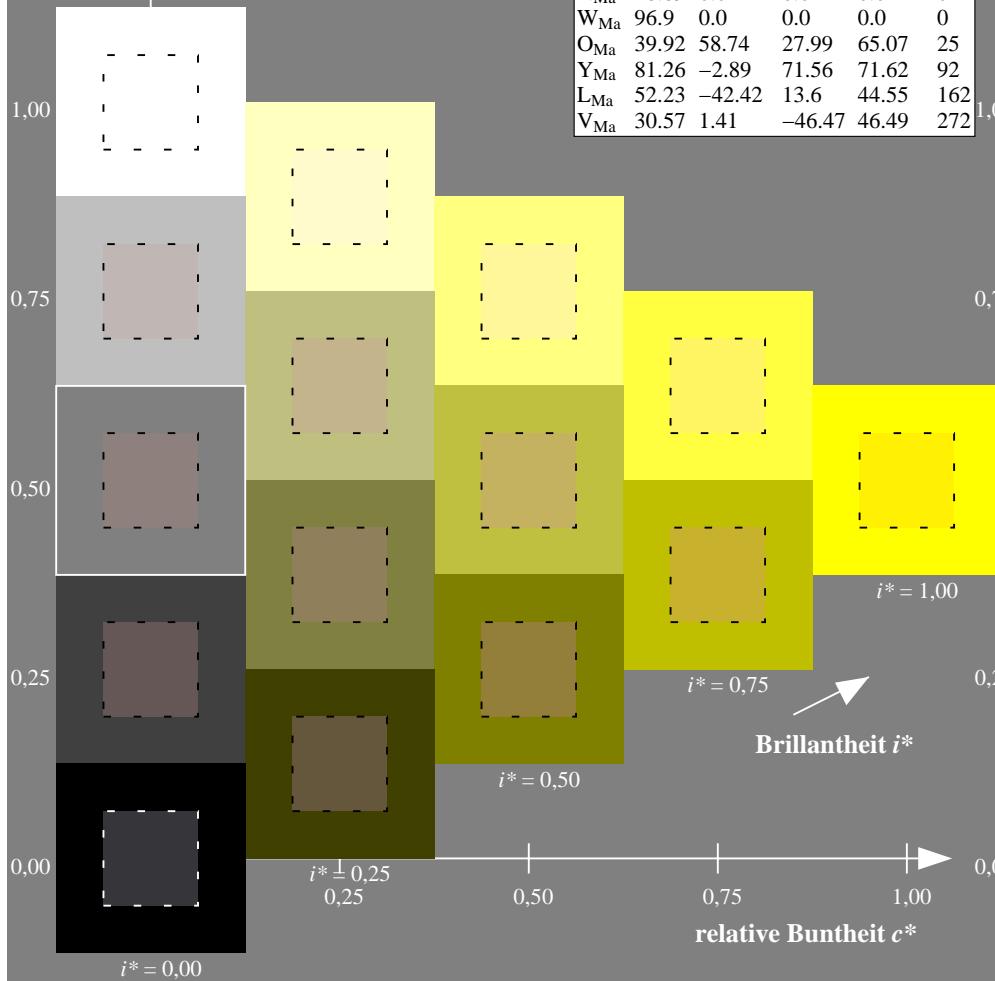
%Regularität

$g^*_{H,rel} = 72$

$g^*_{C,rel} = 57$

ORS19_96a; adaptierte CIELAB-Daten

u^*_d	$L^*=L^*_a$	a^*_a	b^*_a	$C^*_{ab,a}$	$h^*_{ab,a}$	u^*_e
<i>o00y</i>	48.75	65.07	39.43	76.08	31	<i>r08j</i>
<i>o25y</i>	59.04	46.67	51.1	69.21	48	<i>r33j</i>
<i>o50y</i>	68.32	30.09	61.62	68.58	64	<i>r57j</i>
<i>o75y</i>	78.23	12.39	72.85	73.9	80	<i>r81j</i>
<i>y00l</i>	90.92	-10.29	87.24	87.85	97	<i>j06g</i>
<i>y25l</i>	78.57	-28.11	65.75	71.51	113	<i>j29g</i>
<i>y50l</i>	69.46	-41.25	49.92	64.75	130	<i>j53g</i>
<i>y75l</i>	61.32	-52.99	35.76	63.92	146	<i>j76g</i>
<i>l00c</i>	52.69	-65.44	20.75	68.65	162	<i>g00b</i>
<i>l50c</i>	56.55	-45.12	-16.57	48.07	200	<i>g34b</i>
<i>c00v</i>	59.61	-28.98	-46.22	54.56	238	<i>g69b</i>
<i>c50v</i>	43.33	-1.54	-45.13	45.16	268	<i>g96b</i>
<i>v00m</i>	28.39	23.63	-44.13	50.06	298	<i>b23r</i>
<i>v50m</i>	36.9	43.84	-30.24	53.26	325	<i>b47r</i>
<i>m00o</i>	49.58	73.93	-9.56	74.55	353	<i>b71r</i>
<i>m50o</i>	49.17	69.55	14.68	71.08	12	<i>b88r</i>



Ein und Ausgabe: Farbmetrisches Drucker-Reflektiv-System ORS19_96a für relativen CIELAB-Bunton $h^* = lab^*h^* = h_{ab}/360 = 0.314$

$u^*_d = y25l$

Daten für jede Farbe:

lab^*tch^* und lab^*icu^*

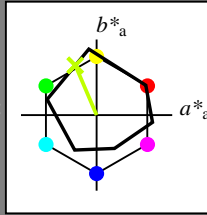
Buntontexte:

$u^*_d = y25l$ $u^*_e = j29g$

Kontrastreduzierungsfaktor:

$c_R = 1.0$

Dreiecks-Helligkeit t^*



ORS19_96a; adaptierte CIELAB-Daten						
u^*_d	$L^*=L^*_a$	a^*_a	b^*_a	$C^*_{ab,a}$	$h^*_{ab,a}$	
O _{Ma}	48.75	65.07	39.43	76.08	31	
Y _{Ma}	90.92	-10.29	87.24	87.85	97	
L _{Ma}	52.69	-65.44	20.75	68.65	162	
C _{Ma}	59.61	-28.98	-46.22	54.56	238	
V _{Ma}	28.39	23.63	-44.13	50.06	298	
M _{Ma}	49.58	73.93	-9.56	74.55	353	
N _{Ma}	18.89	0.0	0.0	0.0	0	
W _{Ma}	96.9	0.0	0.0	0.0	0	
O _{Ma}	39.92	58.74	27.99	65.07	25	
Y _{Ma}	81.26	-2.89	71.56	71.62	92	
L _{Ma}	52.23	-42.42	13.6	44.55	162	
V _{Ma}	30.57	1.41	-46.47	46.49	272	

Daten für Maximalfarbe (Ma):

$LAB^*LAB^*_{Ma}$: 79 -28 66

$LAB^*LCH^*_{Ma}$: 79 72 113

$lab^*olv^*_{Ma}$: 0.75 1.0 0.0

$lab^*rgb^*_{Ma}$: 0.7 1.0 0.0

Dreiecks-Helligkeit t^*

%Umfang

$u^*_{rel} = 89$

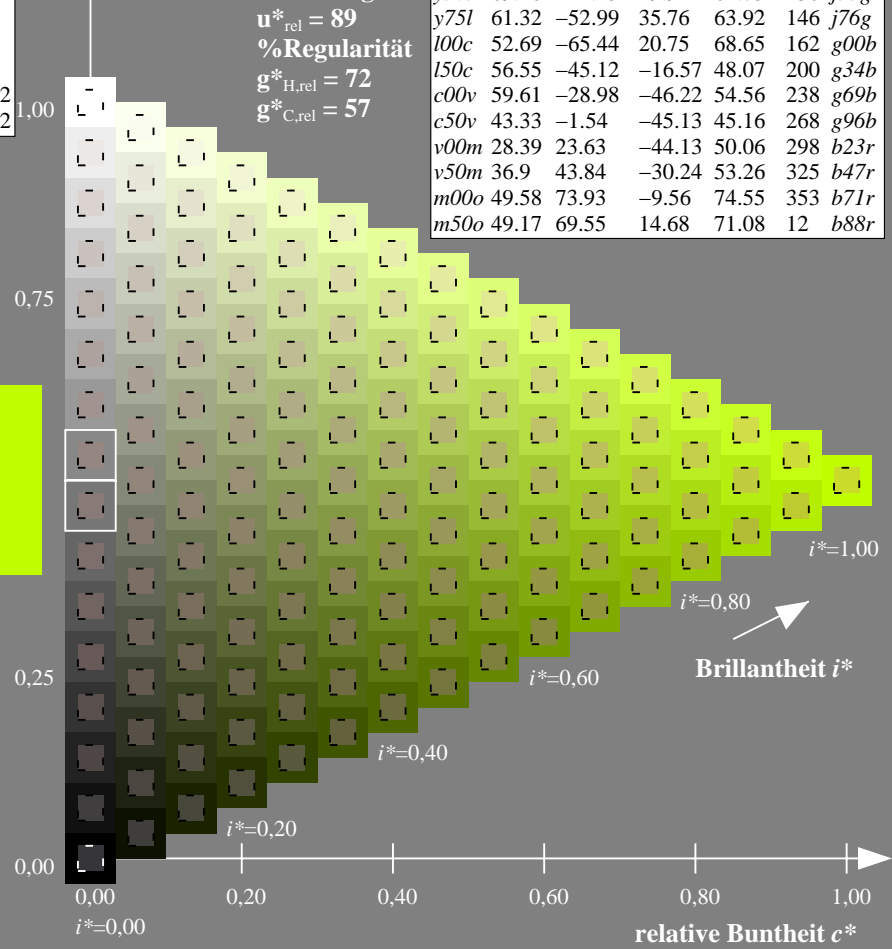
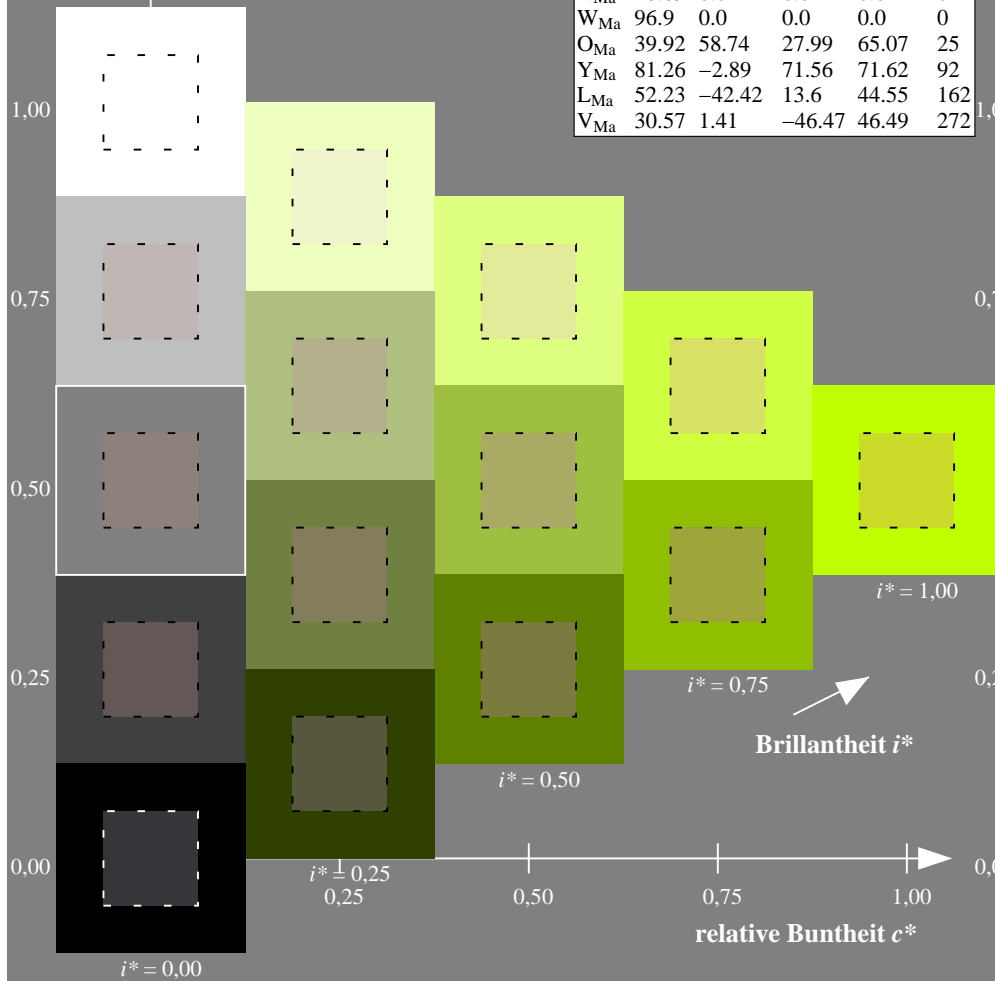
%Regularität

$g^*_{H,rel} = 72$

$g^*_{C,rel} = 57$

ORS19_96a; adaptierte CIELAB-Daten

u^*_d	$L^*=L^*_a$	a^*_a	b^*_a	$C^*_{ab,a}$	$h^*_{ab,a}$	u^*_e
o00y	48.75	65.07	39.43	76.08	31	r08j
o25y	59.04	46.67	51.1	69.21	48	r33j
o50y	68.32	30.09	61.62	68.58	64	r57j
o75y	78.23	12.39	72.85	73.9	80	r81j
y00l	90.92	-10.29	87.24	87.85	97	j06g
y25l	78.57	-28.11	65.75	71.51	113	j29g
y50l	69.46	-41.25	49.92	64.75	130	j53g
y75l	61.32	-52.99	35.76	63.92	146	j76g
l00c	52.69	-65.44	20.75	68.65	162	g00b
l50c	56.55	-45.12	-16.57	48.07	200	g34b
c00v	59.61	-28.98	-46.22	54.56	238	g69b
c50v	43.33	-1.54	-45.13	45.16	268	g96b
v00m	28.39	23.63	-44.13	50.06	298	b23r
v50m	36.9	43.84	-30.24	53.26	325	b47r
m00o	49.58	73.93	-9.56	74.55	353	b71r
m50o	49.17	69.55	14.68	71.08	12	b88r



Ein und Ausgabe: Farbmetrisches Drucker-Reflektiv-System ORS19_96a für relativen CIELAB-Bunton $h^* = lab^*h^* = h_{ab}/360 = 0.36$

$u^*_d = y50l$

Daten für jede Farbe:

lab^*tch^* und lab^*icu^*

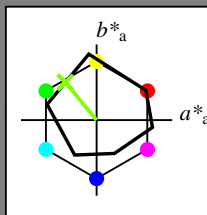
Buntontexte:

$u^*_d = y50l$ $u^*_e = j53g$

Kontrastreduzierungsfaktor:

$c_R = 1.0$

Dreiecks-Helligkeit t^*



ORS19_96a; adaptierte CIELAB-Daten

u^*_d	$L^*=L^*_a$	a^*_a	b^*_a	$C^*_{ab,a}$	$h^*_{ab,a}$
O _{Ma}	48.75	65.07	39.43	76.08	31
Y _{Ma}	90.92	-10.29	87.24	87.85	97
L _{Ma}	52.69	-65.44	20.75	68.65	162
C _{Ma}	59.61	-28.98	-46.22	54.56	238
V _{Ma}	28.39	23.63	-44.13	50.06	298
M _{Ma}	49.58	73.93	-9.56	74.55	353
N _{Ma}	18.89	0.0	0.0	0.0	0
W _{Ma}	96.9	0.0	0.0	0.0	0
O _{Ma}	39.92	58.74	27.99	65.07	25
Y _{Ma}	81.26	-2.89	71.56	71.62	92
L _{Ma}	52.23	-42.42	13.6	44.55	162
V _{Ma}	30.57	1.41	-46.47	46.49	272

Daten für Maximalfarbe (Ma):

$LAB^*LAB^*_Ma: 69 -41 50$

$LAB^*LCH^*_Ma: 69 65 129$

$lab^*olv^*_Ma: 0.5 1.0 0.0$

$lab^*rgb^*_Ma: 0.47 1.0 0.0$

Dreiecks-Helligkeit t^*

%Umfang

$u^*_{rel} = 89$

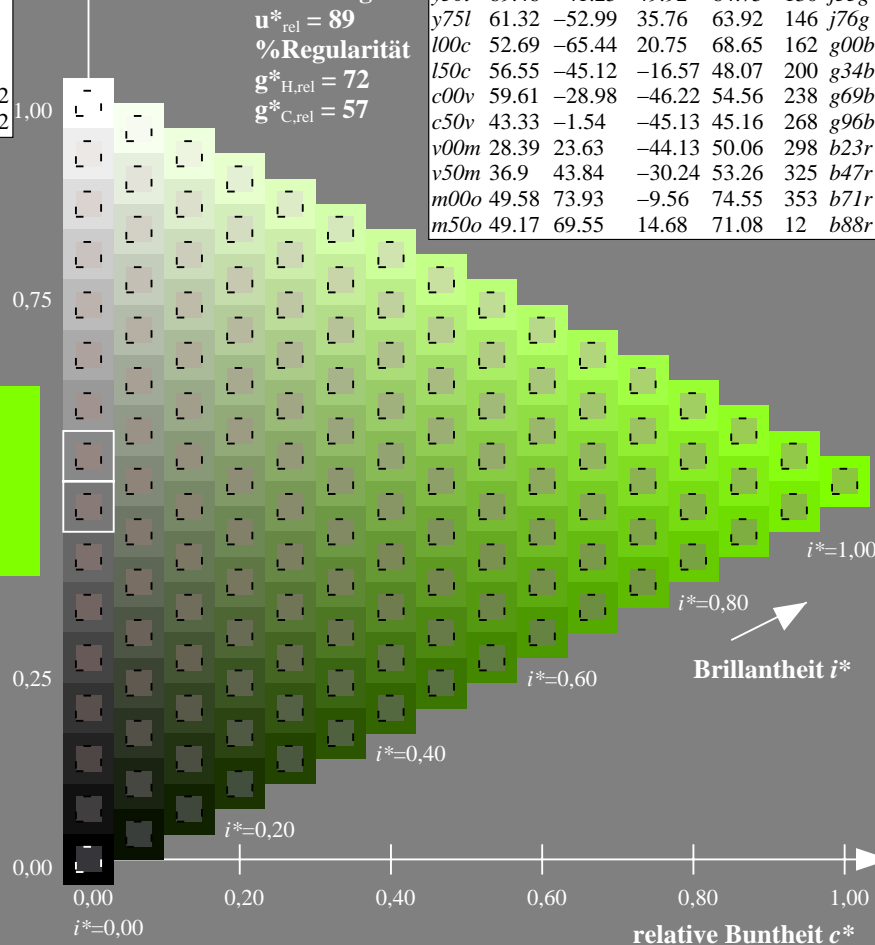
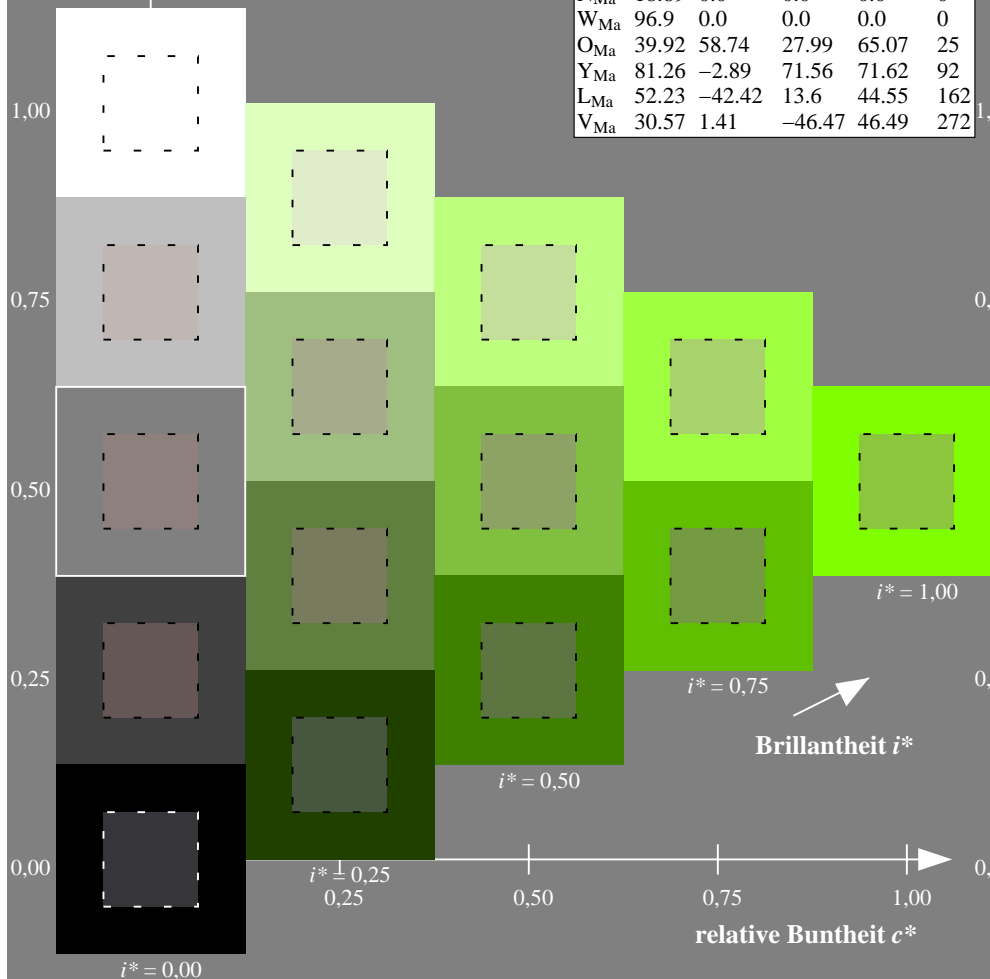
%Regularität

$g^*_{H,rel} = 72$

$g^*_{C,rel} = 57$

ORS19_96a; adaptierte CIELAB-Daten

u^*_d	$L^*=L^*_a$	a^*_a	b^*_a	$C^*_{ab,a}$	$h^*_{ab,a}$	u^*_e
<i>o00y</i>	48.75	65.07	39.43	76.08	31	<i>r08j</i>
<i>o25y</i>	59.04	46.67	51.1	69.21	48	<i>r33j</i>
<i>o50y</i>	68.32	30.09	61.62	68.58	64	<i>r57j</i>
<i>o75y</i>	78.23	12.39	72.85	73.9	80	<i>r81j</i>
<i>y00l</i>	90.92	-10.29	87.24	87.85	97	<i>j06g</i>
<i>y25l</i>	78.57	-28.11	65.75	71.51	113	<i>j29g</i>
<i>y50l</i>	69.46	-41.25	49.92	64.75	130	<i>j53g</i>
<i>y75l</i>	61.32	-52.99	35.76	63.92	146	<i>j76g</i>
<i>l00c</i>	52.69	-65.44	20.75	68.65	162	<i>g00b</i>
<i>l50c</i>	56.55	-45.12	-16.57	48.07	200	<i>g34b</i>
<i>c00v</i>	59.61	-28.98	-46.22	54.56	238	<i>g69b</i>
<i>c50v</i>	43.33	-1.54	-45.13	45.16	268	<i>g96b</i>
<i>v00m</i>	28.39	23.63	-44.13	50.06	298	<i>b23r</i>
<i>v50m</i>	36.9	43.84	-30.24	53.26	325	<i>b47r</i>
<i>m00o</i>	49.58	73.93	-9.56	74.55	353	<i>b71r</i>
<i>m50o</i>	49.17	69.55	14.68	71.08	12	<i>b88r</i>



Ein und Ausgabe: Farbmatisches Drucker-Reflektiv-System ORS19_96a für relativen CIELAB-Bunton $h^* = lab^*h^* = h_{ab}/360 = 0.406$

$u^*_d = y75l$

Daten für jede Farbe:

lab^*tch^* und lab^*icu^*

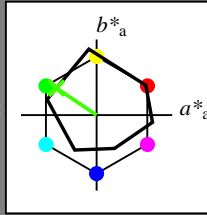
Buntontexte:

$u^*_d = y75l$ $u^*_e = j76g$

Kontrastreduzierungsfaktor:

$c_R = 1.0$

Dreiecks-Helligkeit t^*



ORS19_96a; adaptierte CIELAB-Daten

u^*_d	$L^*=L^*_a$	a^*_a	b^*_a	$C^*_{ab,a}$	$h^*_{ab,a}$
O _{Ma}	48.75	65.07	39.43	76.08	31
Y _{Ma}	90.92	-10.29	87.24	87.85	97
L _{Ma}	52.69	-65.44	20.75	68.65	162
C _{Ma}	59.61	-28.98	-46.22	54.56	238
V _{Ma}	28.39	23.63	-44.13	50.06	298
M _{Ma}	49.58	73.93	-9.56	74.55	353
N _{Ma}	18.89	0.0	0.0	0.0	0
W _{Ma}	96.9	0.0	0.0	0.0	0
O _{Ma}	39.92	58.74	27.99	65.07	25
Y _{Ma}	81.26	-2.89	71.56	71.62	92
L _{Ma}	52.23	-42.42	13.6	44.55	162
V _{Ma}	30.57	1.41	-46.47	46.49	272

Daten für Maximalfarbe (Ma):

$LAB^*LAB^*_Ma: 61 -53 36$

$LAB^*LCH^*_Ma: 61 64 145$

$lab^*olv^*_Ma: 0.25 1.0 0.0$

$lab^*rgb^*_Ma: 0.23 1.0 0.0$

Dreiecks-Helligkeit t^*

%Umfang

$u^*_{rel} = 89$

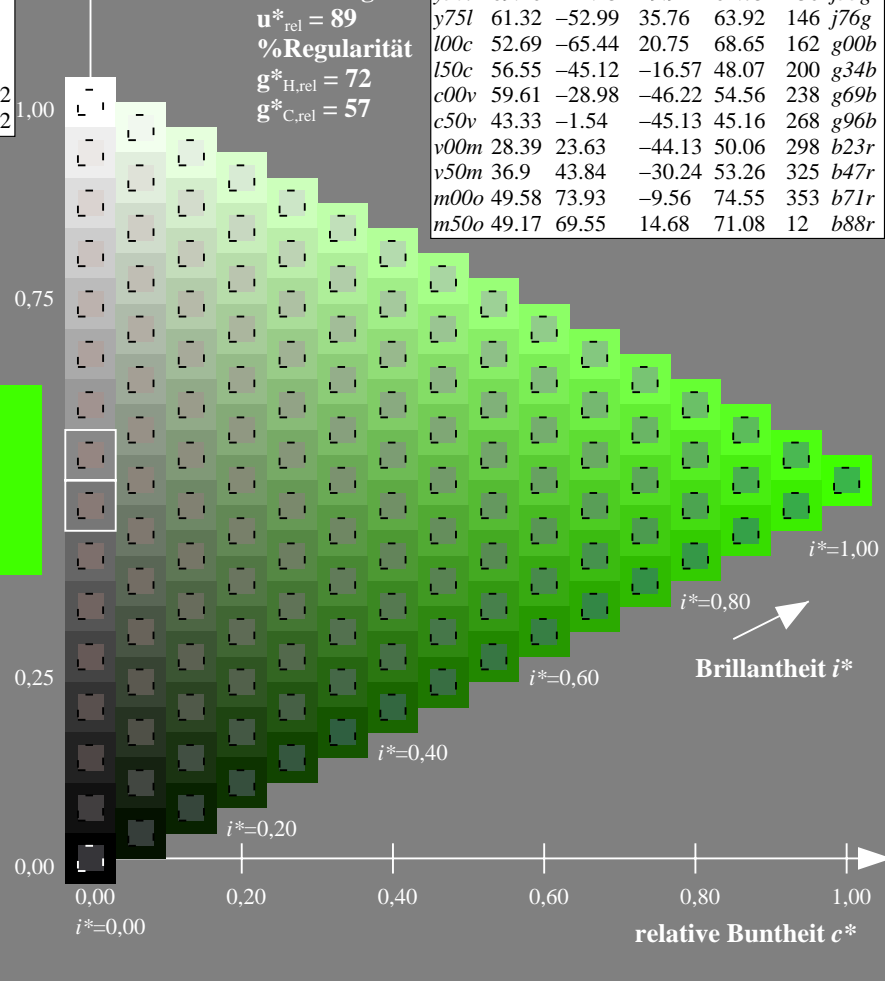
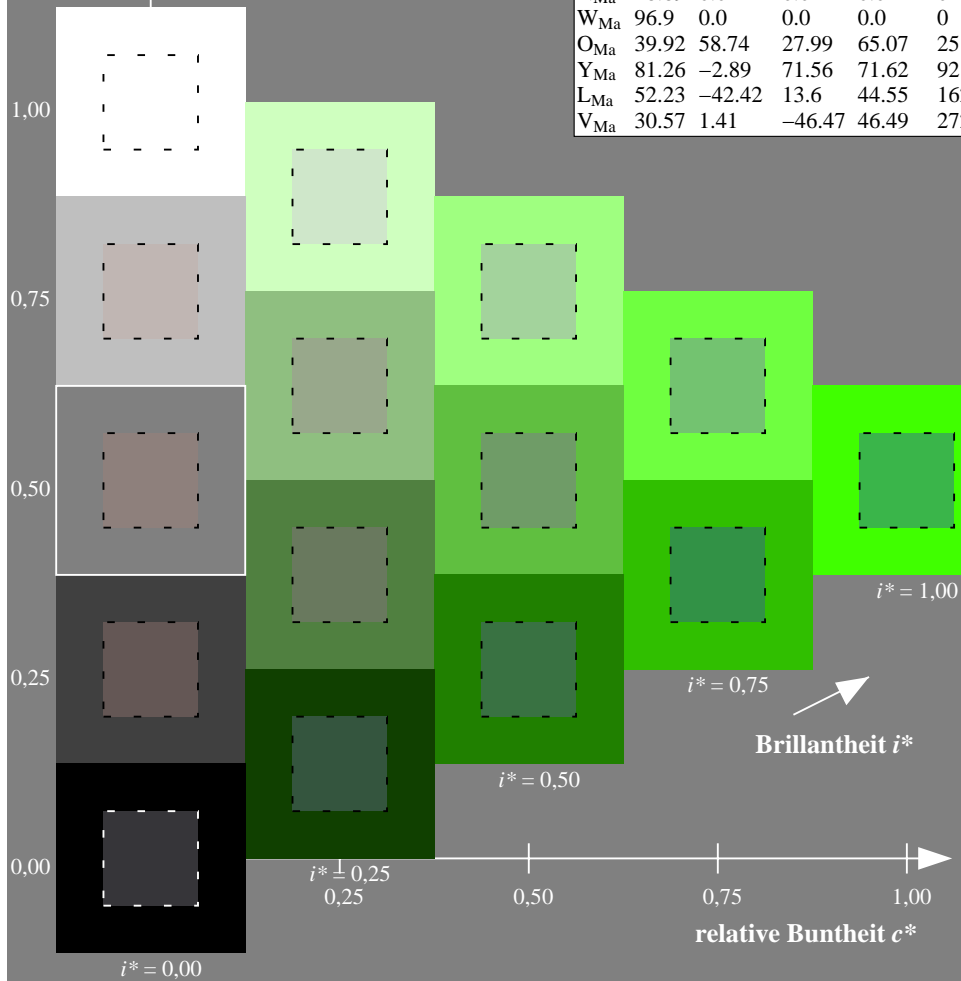
%Regularität

$g^*_{H,rel} = 72$

$g^*_{C,rel} = 57$

ORS19_96a; adaptierte CIELAB-Daten

u^*_d	$L^*=L^*_a$	a^*_a	b^*_a	$C^*_{ab,a}$	$h^*_{ab,a}$	u^*_e
o00y	48.75	65.07	39.43	76.08	31	r08j
o25y	59.04	46.67	51.1	69.21	48	r33j
o50y	68.32	30.09	61.62	68.58	64	r57j
o75y	78.23	12.39	72.85	73.9	80	r81j
y00l	90.92	-10.29	87.24	87.85	97	j06g
y25l	78.57	-28.11	65.75	71.51	113	j29g
y50l	69.46	-41.25	49.92	64.75	130	j53g
y75l	61.32	-52.99	35.76	63.92	146	j76g
l00c	52.69	-65.44	20.75	68.65	162	g00b
l50c	56.55	-45.12	-16.57	48.07	200	g34b
c00v	59.61	-28.98	-46.22	54.56	238	g69b
c50v	43.33	-1.54	-45.13	45.16	268	g96b
v00m	28.39	23.63	-44.13	50.06	298	b23r
v50m	36.9	43.84	-30.24	53.26	325	b47r
m00o	49.58	73.93	-9.56	74.55	353	b71r
m50o	49.17	69.55	14.68	71.08	12	b88r



Ein und Ausgabe: Farbmetrisches Drucker-Reflektiv-System ORS19_96a für relativen CIELAB-Bunton $h^* = lab^*h^* = h_{ab}/360 = 0.451$

$u^*_d = 100c$

Daten für jede Farbe:

lab^*tch^* und lab^*icu^*

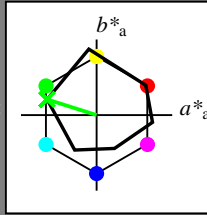
Buntontexte:

$u^*_d = 100c$ $u^*_e = g00b$

Kontrastreduzierungsfaktor:

$c_R = 1.0$

Dreiecks-Helligkeit t^*



ORS19_96a; adaptierte CIELAB-Daten						
u^*_d	$L^*=L^*_a$	a^*_a	b^*_a	$C^*_{ab,a}$	$h^*_{ab,a}$	
O _{Ma}	48.75	65.07	39.43	76.08	31	
Y _{Ma}	90.92	-10.29	87.24	87.85	97	
L _{Ma}	52.69	-65.44	20.75	68.65	162	
C _{Ma}	59.61	-28.98	-46.22	54.56	238	
V _{Ma}	28.39	23.63	-44.13	50.06	298	
M _{Ma}	49.58	73.93	-9.56	74.55	353	
N _{Ma}	18.89	0.0	0.0	0.0	0	
W _{Ma}	96.9	0.0	0.0	0.0	0	
O _{Ma}	39.92	58.74	27.99	65.07	25	
Y _{Ma}	81.26	-2.89	71.56	71.62	92	
L _{Ma}	52.23	-42.42	13.6	44.55	162	
V _{Ma}	30.57	1.41	-46.47	46.49	272	

Daten für Maximalfarbe (Ma):

$LAB^*LAB^*_{Ma}: 53 -65 21$

$LAB^*LCH^*_{Ma}: 53 69 162$

$lab^*olv^*_{Ma}: 0.0 1.0 0.0$

$lab^*rgb^*_{Ma}: 0.0 1.0 0.0$

Dreiecks-Helligkeit t^*

%Umfang

$u^*_{rel} = 89$

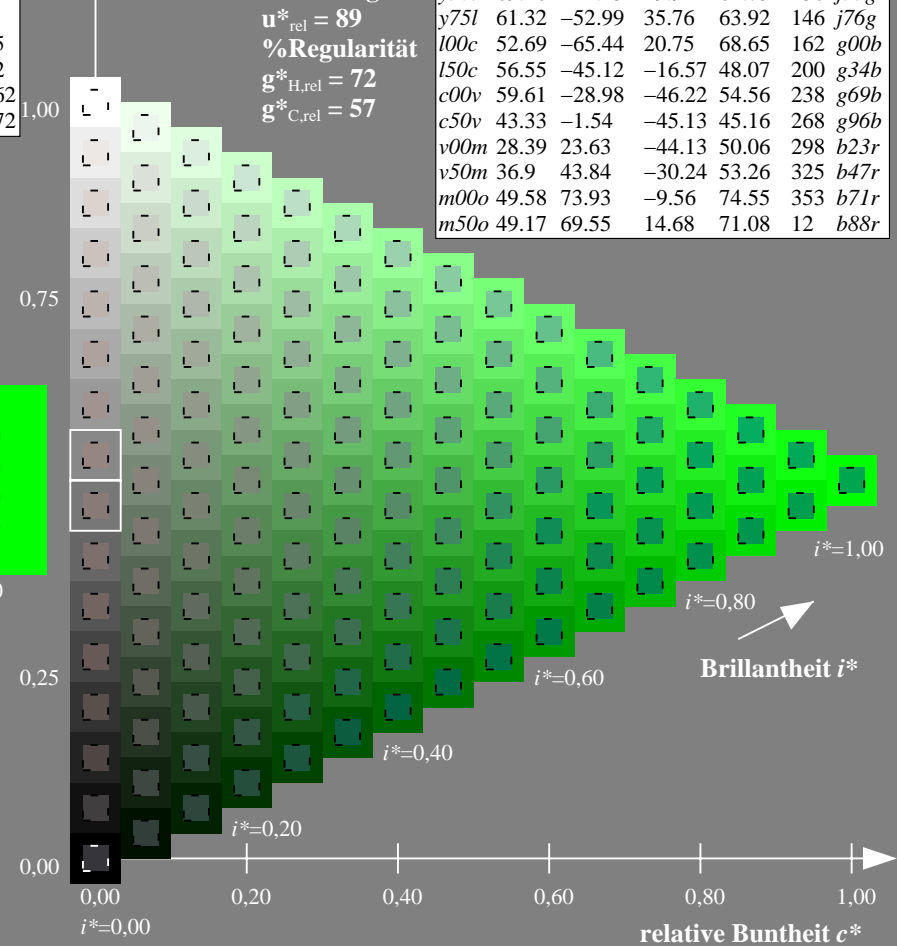
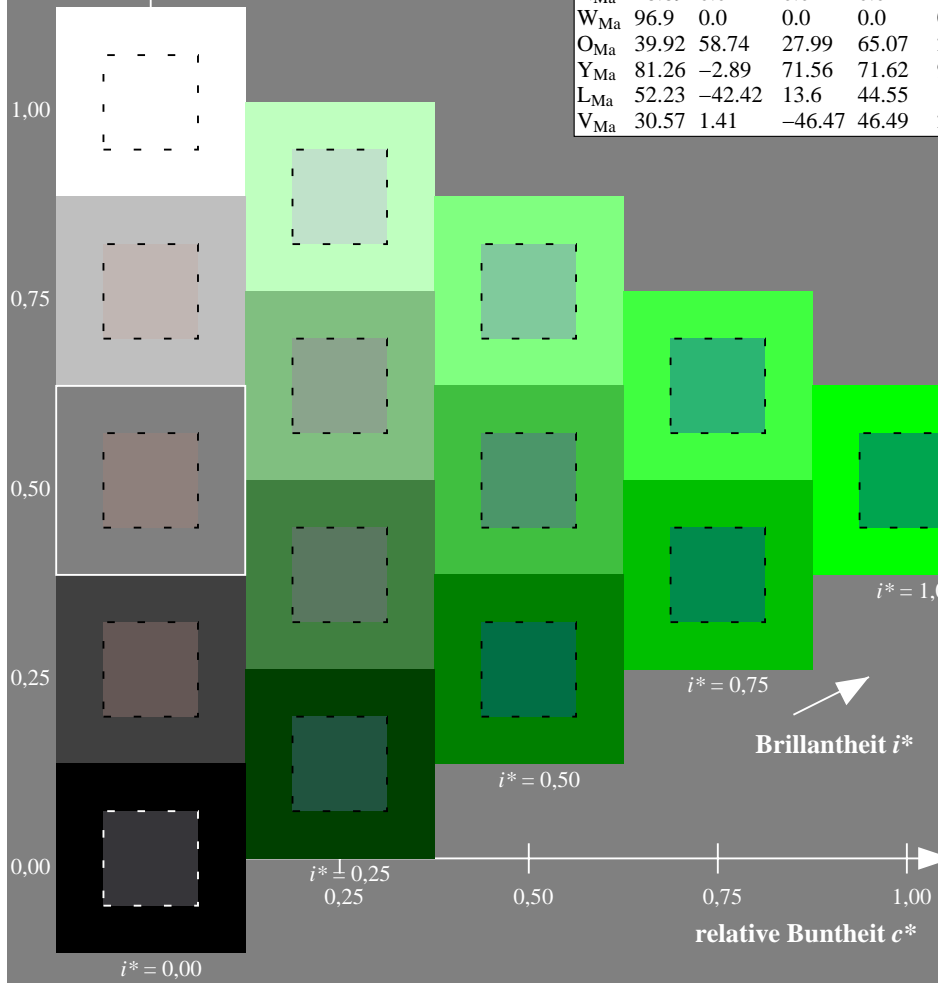
%Regularität

$g^*_{H,rel} = 72$

$g^*_{C,rel} = 57$

ORS19_96a; adaptierte CIELAB-Daten

u^*_d	$L^*=L^*_a$	a^*_a	b^*_a	$C^*_{ab,a}$	$h^*_{ab,a}$	u^*_e
<i>o00y</i>	48.75	65.07	39.43	76.08	31	<i>r08j</i>
<i>o25y</i>	59.04	46.67	51.1	69.21	48	<i>r33j</i>
<i>o50y</i>	68.32	30.09	61.62	68.58	64	<i>r57j</i>
<i>o75y</i>	78.23	12.39	72.85	73.9	80	<i>r81j</i>
<i>y00l</i>	90.92	-10.29	87.24	87.85	97	<i>j06g</i>
<i>y25l</i>	78.57	-28.11	65.75	71.51	113	<i>j29g</i>
<i>y50l</i>	69.46	-41.25	49.92	64.75	130	<i>j53g</i>
<i>y75l</i>	61.32	-52.99	35.76	63.92	146	<i>j76g</i>
<i>l00c</i>	52.69	-65.44	20.75	68.65	162	<i>g00b</i>
<i>l50c</i>	56.55	-45.12	-16.57	48.07	200	<i>g34b</i>
<i>c00v</i>	59.61	-28.98	-46.22	54.56	238	<i>g69b</i>
<i>c50v</i>	43.33	-1.54	-45.13	45.16	268	<i>g96b</i>
<i>v00m</i>	28.39	23.63	-44.13	50.06	298	<i>b23r</i>
<i>v50m</i>	36.9	43.84	-30.24	53.26	325	<i>b47r</i>
<i>m00o</i>	49.58	73.93	-9.56	74.55	353	<i>b71r</i>
<i>m50o</i>	49.17	69.55	14.68	71.08	12	<i>b88r</i>



Ein und Ausgabe: Farbmetrisches Drucker-Reflektiv-System ORS19_96a für relativen CIELAB-Bunton $h^* = \text{lab}^*h^* = h_{ab}/360 = 0.556$

$u^*_d = 150c$

Daten für jede Farbe:

lab^*tch^* und lab^*icu^*

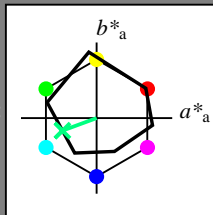
Buntontexte:

$u^*_d = 150c$ $u^*_e = g34b$

Kontrastreduzierungsfaktor:

$c_R = 1.0$

Dreiecks-Helligkeit t^*



ORS19_96a; adaptierte CIELAB-Daten						
u^*_d	$L^*=L^*_a$	a^*_a	b^*_a	$C^*_{ab,a}$	$h^*_{ab,a}$	
O _{Ma}	48.75	65.07	39.43	76.08	31	
Y _{Ma}	90.92	-10.29	87.24	87.85	97	
L _{Ma}	52.69	-65.44	20.75	68.65	162	
C _{Ma}	59.61	-28.98	-46.22	54.56	238	
V _{Ma}	28.39	23.63	-44.13	50.06	298	
M _{Ma}	49.58	73.93	-9.56	74.55	353	
N _{Ma}	18.89	0.0	0.0	0.0	0	
W _{Ma}	96.9	0.0	0.0	0.0	0	
O _{Ma}	39.92	58.74	27.99	65.07	25	
Y _{Ma}	81.26	-2.89	71.56	71.62	92	
L _{Ma}	52.23	-42.42	13.6	44.55	162	
V _{Ma}	30.57	1.41	-46.47	46.49	272	

Daten für Maximalfarbe (Ma):

$\text{LAB}^*\text{LAB}^*_{Ma}: 57 -45 -17$

$\text{LAB}^*\text{LCH}^*_{Ma}: 57 48 200$

$\text{lab}^*\text{olv}^*_{Ma}: 0.0 1.0 0.5$

$\text{lab}^*\text{rgb}^*_{Ma}: 0.0 1.0 0.69$

Dreiecks-Helligkeit t^*

%Umfang

$u^*_{rel} = 89$

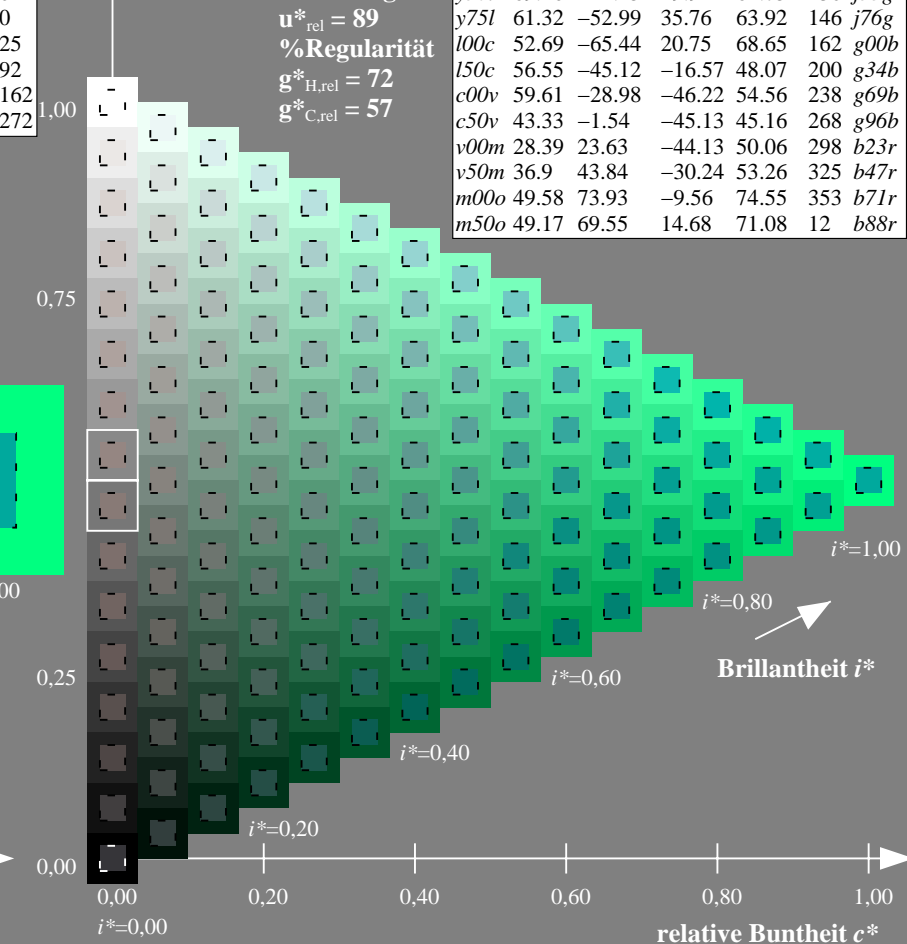
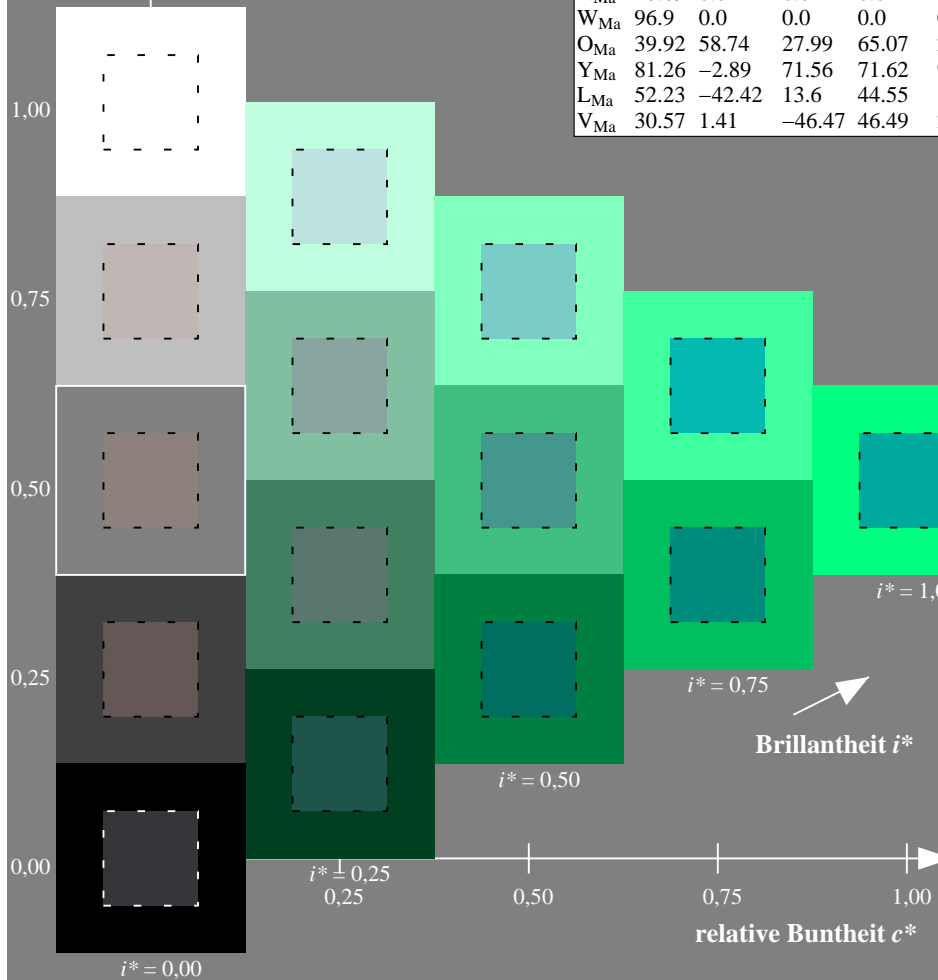
%Regularität

$g^*_{H,rel} = 72$

$g^*_{C,rel} = 57$

ORS19_96a; adaptierte CIELAB-Daten

u^*_d	$L^*=L^*_a$	a^*_a	b^*_a	$C^*_{ab,a}$	$h^*_{ab,a}$	u^*_e
<i>o00y</i>	48.75	65.07	39.43	76.08	31	<i>r08j</i>
<i>o25y</i>	59.04	46.67	51.1	69.21	48	<i>r33j</i>
<i>o50y</i>	68.32	30.09	61.62	68.58	64	<i>r57j</i>
<i>o75y</i>	78.23	12.39	72.85	73.9	80	<i>r81j</i>
<i>y00l</i>	90.92	-10.29	87.24	87.85	97	<i>j06g</i>
<i>y25l</i>	78.57	-28.11	65.75	71.51	113	<i>j29g</i>
<i>y50l</i>	69.46	-41.25	49.92	64.75	130	<i>j53g</i>
<i>y75l</i>	61.32	-52.99	35.76	63.92	146	<i>j76g</i>
<i>l00c</i>	52.69	-65.44	20.75	68.65	162	<i>g00b</i>
<i>l50c</i>	56.55	-45.12	-16.57	48.07	200	<i>g34b</i>
<i>c00v</i>	59.61	-28.98	-46.22	54.56	238	<i>g69b</i>
<i>c50v</i>	43.33	-1.54	-45.13	45.16	268	<i>g96b</i>
<i>v00m</i>	28.39	23.63	-44.13	50.06	298	<i>b23r</i>
<i>v50m</i>	36.9	43.84	-30.24	53.26	325	<i>b47r</i>
<i>m00o</i>	49.58	73.93	-9.56	74.55	353	<i>b71r</i>
<i>m50o</i>	49.17	69.55	14.68	71.08	12	<i>b88r</i>



Ein und Ausgabe: Farbmatisches Drucker-Reflektiv-System ORS19_96a für relativen CIELAB-Bunton $h^* = lab^*h^* = h_{ab}/360 = 0.661$

$u^*_d = c00v$

Daten für jede Farbe:

lab^*tch^* und lab^*icu^*

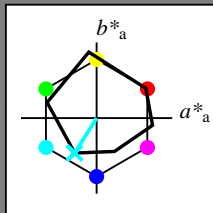
Buntontexte:

$u^*_d = c00v$ $u^*_e = g69b$

Kontrastreduzierungsfaktor:

$c_R = 1.0$

Dreiecks-Helligkeit t^*



ORS19_96a; adaptierte CIELAB-Daten

u^*_d	$L^*=L^*_a$	a^*_a	b^*_a	$C^*_{ab,a}$	$h^*_{ab,a}$
O _{Ma}	48.75	65.07	39.43	76.08	31
Y _{Ma}	90.92	-10.29	87.24	87.85	97
L _{Ma}	52.69	-65.44	20.75	68.65	162
C _{Ma}	59.61	-28.98	-46.22	54.56	238
V _{Ma}	28.39	23.63	-44.13	50.06	298
M _{Ma}	49.58	73.93	-9.56	74.55	353
N _{Ma}	18.89	0.0	0.0	0.0	0
W _{Ma}	96.9	0.0	0.0	0.0	0
O _{Ma}	39.92	58.74	27.99	65.07	25
Y _{Ma}	81.26	-2.89	71.56	71.62	92
L _{Ma}	52.23	-42.42	13.6	44.55	162
V _{Ma}	30.57	1.41	-46.47	46.49	272

Daten für Maximalfarbe (Ma):

$LAB^*LAB^*_{Ma}: 60 -29 -46$

$LAB^*LCH^*_{Ma}: 60 55 237$

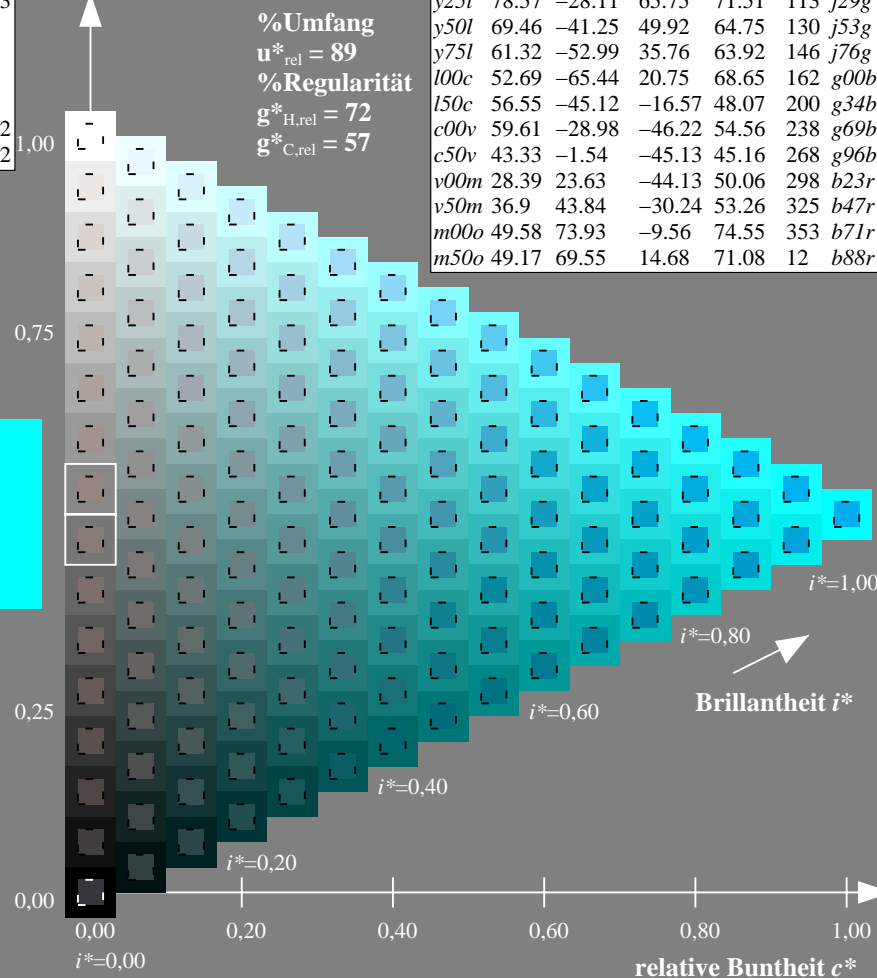
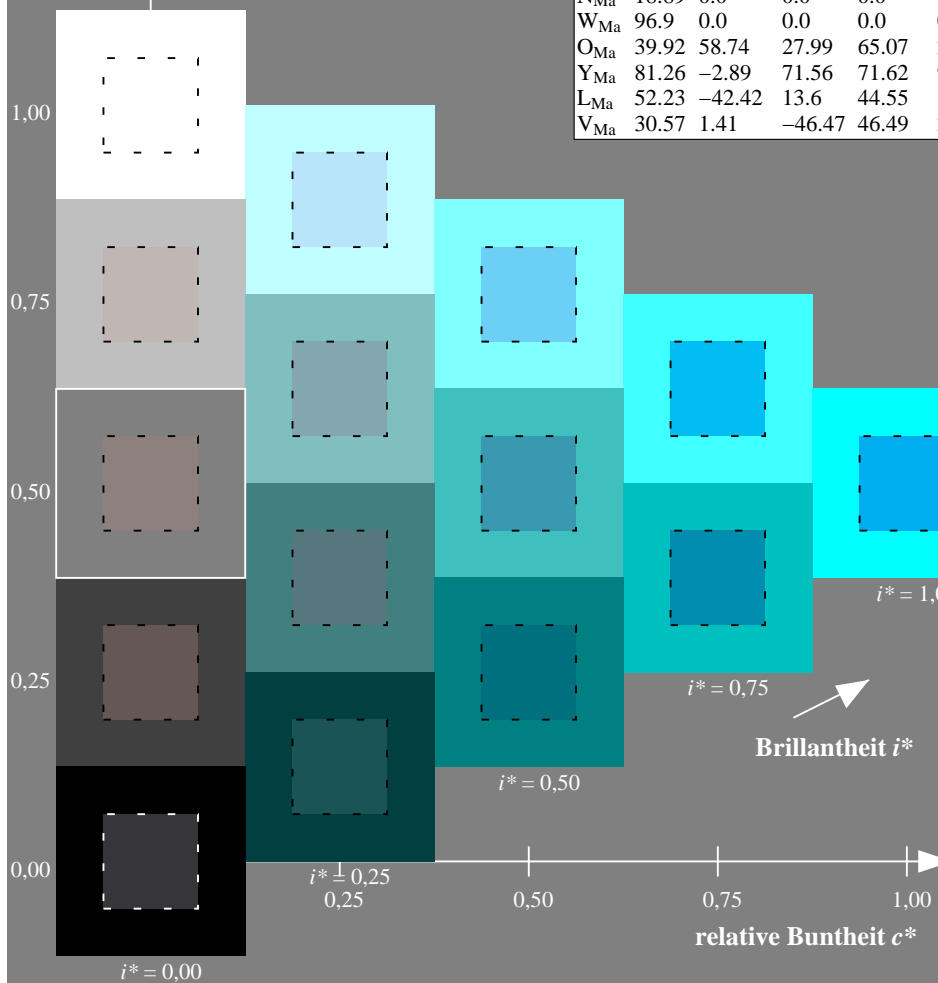
$lab^*olv^*_{Ma}: 0.0 1.0 1.0$

$lab^*rgb^*_{Ma}: 0.0 0.62 1.0$

Dreiecks-Helligkeit t^*

ORS19_96a; adaptierte CIELAB-Daten

u^*_d	$L^*=L^*_a$	a^*_a	b^*_a	$C^*_{ab,a}$	$h^*_{ab,a}$	u^*_e
<i>o00y</i>	48.75	65.07	39.43	76.08	31	<i>r08j</i>
<i>o25y</i>	59.04	46.67	51.1	69.21	48	<i>r33j</i>
<i>o50y</i>	68.32	30.09	61.62	68.58	64	<i>r57j</i>
<i>o75y</i>	78.23	12.39	72.85	73.9	80	<i>r81j</i>
<i>y00l</i>	90.92	-10.29	87.24	87.85	97	<i>j06g</i>
<i>y25l</i>	78.57	-28.11	65.75	71.51	113	<i>j29g</i>
<i>y50l</i>	69.46	-41.25	49.92	64.75	130	<i>j53g</i>
<i>y75l</i>	61.32	-52.99	35.76	63.92	146	<i>j76g</i>
<i>l00c</i>	52.69	-65.44	20.75	68.65	162	<i>g00b</i>
<i>l50c</i>	56.55	-45.12	-16.57	48.07	200	<i>g34b</i>
<i>c00v</i>	59.61	-28.98	-46.22	54.56	238	<i>g69b</i>
<i>c50v</i>	43.33	-1.54	-45.13	45.16	268	<i>g96b</i>
<i>v00m</i>	28.39	23.63	-44.13	50.06	298	<i>b23r</i>
<i>v50m</i>	36.9	43.84	-30.24	53.26	325	<i>b47r</i>
<i>m00o</i>	49.58	73.93	-9.56	74.55	353	<i>b71r</i>
<i>m50o</i>	49.17	69.55	14.68	71.08	12	<i>b88r</i>



Ein und Ausgabe: Farbmetrisches Drucker-Reflektiv-System ORS19_96a für relativen CIELAB-Bunton $h^* = \text{lab}^*h^* = h_{ab}/360 = 0.745$

$u^*_d = c50v$

Daten für jede Farbe:

lab^*tch^* und lab^*icu^*

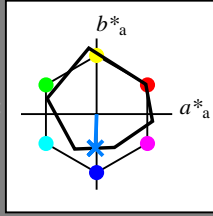
Buntontexte:

$u^*_d = c50v$ $u^*_e = g96b$

Kontrastreduzierungsfaktor:

$c_R = 1.0$

Dreiecks-Helligkeit t^*



ORS19_96a; adaptierte CIELAB-Daten						
u^*_d	$L^*=L^*_a$	a^*_a	b^*_a	$C^*_{ab,a}$	$h^*_{ab,a}$	
O _{Ma}	48.75	65.07	39.43	76.08	31	
Y _{Ma}	90.92	-10.29	87.24	87.85	97	
L _{Ma}	52.69	-65.44	20.75	68.65	162	
C _{Ma}	59.61	-28.98	-46.22	54.56	238	
V _{Ma}	28.39	23.63	-44.13	50.06	298	
M _{Ma}	49.58	73.93	-9.56	74.55	353	
N _{Ma}	18.89	0.0	0.0	0.0	0	
W _{Ma}	96.9	0.0	0.0	0.0	0	
O _{Ma}	39.92	58.74	27.99	65.07	25	
Y _{Ma}	81.26	-2.89	71.56	71.62	92	
L _{Ma}	52.23	-42.42	13.6	44.55	162	
V _{Ma}	30.57	1.41	-46.47	46.49	272	

Daten für Maximalfarbe (Ma):

$\text{LAB}^*\text{LAB}^*_{Ma}$: 43 -2 -45

$\text{LAB}^*\text{LCH}^*_{Ma}$: 43 45 268

$\text{lab}^*\text{olv}^*_{Ma}$: 0.0 0.5 1.0

$\text{lab}^*\text{rgb}^*_{Ma}$: 0.0 0.07 1.0

Dreiecks-Helligkeit t^*

%Umfang

$u^*_{rel} = 89$

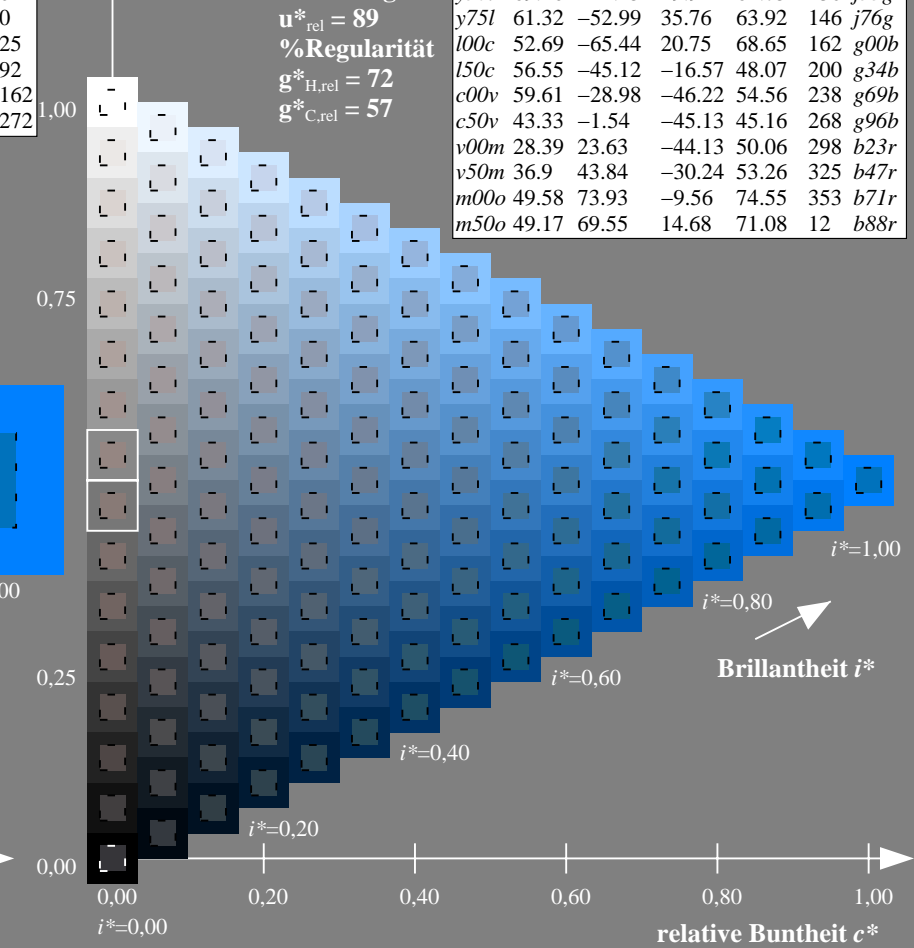
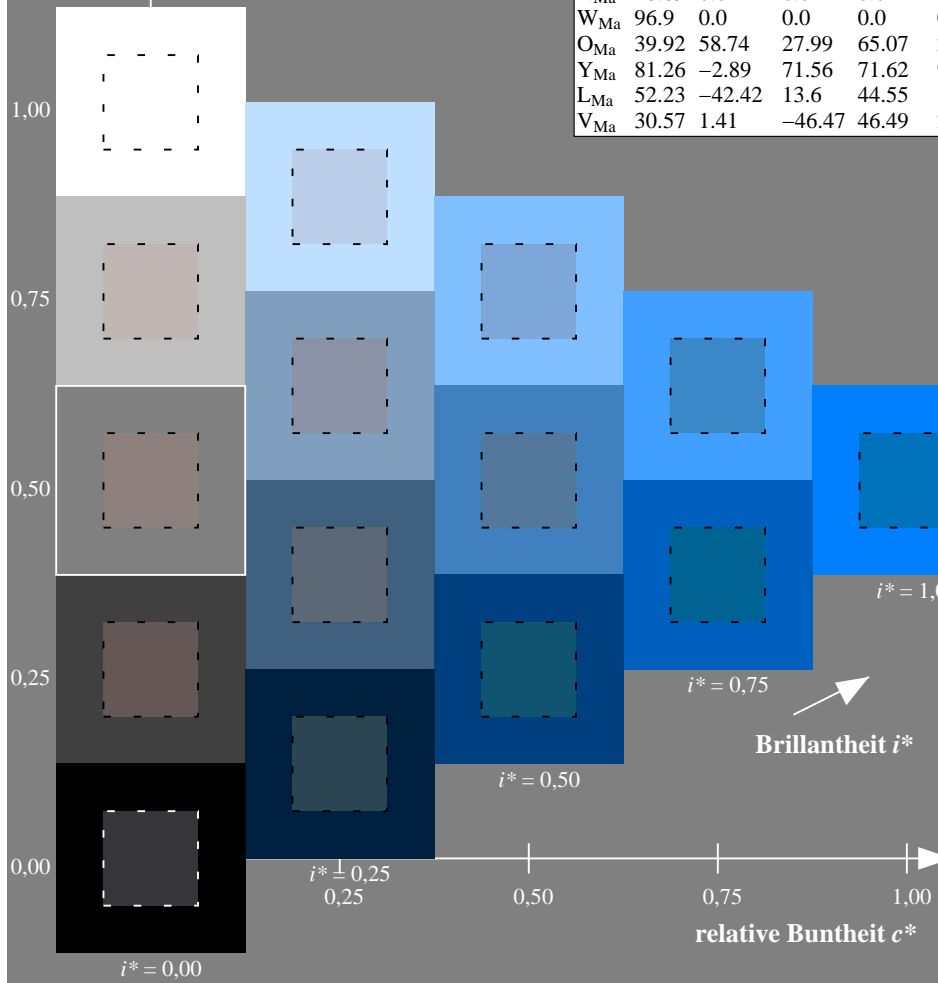
%Regularität

$g^*_{H,rel} = 72$

$g^*_{C,rel} = 57$

ORS19_96a; adaptierte CIELAB-Daten

u^*_d	$L^*=L^*_a$	a^*_a	b^*_a	$C^*_{ab,a}$	$h^*_{ab,a}$	u^*_e
<i>o00y</i>	48.75	65.07	39.43	76.08	31	<i>r08j</i>
<i>o25y</i>	59.04	46.67	51.1	69.21	48	<i>r33j</i>
<i>o50y</i>	68.32	30.09	61.62	68.58	64	<i>r57j</i>
<i>o75y</i>	78.23	12.39	72.85	73.9	80	<i>r81j</i>
<i>y00l</i>	90.92	-10.29	87.24	87.85	97	<i>j06g</i>
<i>y25l</i>	78.57	-28.11	65.75	71.51	113	<i>j29g</i>
<i>y50l</i>	69.46	-41.25	49.92	64.75	130	<i>j53g</i>
<i>y75l</i>	61.32	-52.99	35.76	63.92	146	<i>j76g</i>
<i>l00c</i>	52.69	-65.44	20.75	68.65	162	<i>g00b</i>
<i>l50c</i>	56.55	-45.12	-16.57	48.07	200	<i>g34b</i>
<i>c00v</i>	59.61	-28.98	-46.22	54.56	238	<i>g69b</i>
<i>c50v</i>	43.33	-1.54	-45.13	45.16	268	<i>g96b</i>
<i>v00m</i>	28.39	23.63	-44.13	50.06	298	<i>b23r</i>
<i>v50m</i>	36.9	43.84	-30.24	53.26	325	<i>b47r</i>
<i>m00o</i>	49.58	73.93	-9.56	74.55	353	<i>b71r</i>
<i>m50o</i>	49.17	69.55	14.68	71.08	12	<i>b88r</i>



Ein und Ausgabe: Farbmetrisches Drucker-Reflektiv-System ORS19_96a für relativen CIELAB-Bunton $h^* = lab^*h^* = h_{ab}/360 = 0.828$

$u^*_d = v00m$

Daten für jede Farbe:

lab^*tch^* und lab^*icu^*

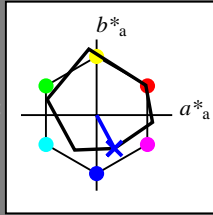
Buntontexte:

$u^*_d = v00m$ $u^*_e = b23r$

Kontrastreduzierungsfaktor:

$c_R = 1.0$

Dreiecks-Helligkeit t^*



ORS19_96a; adaptierte CIELAB-Daten						
u^*_d	$L^*=L^*_a$	a^*_a	b^*_a	$C^*_{ab,a}$	$h^*_{ab,a}$	
O _{Ma}	48.75	65.07	39.43	76.08	31	
Y _{Ma}	90.92	-10.29	87.24	87.85	97	
L _{Ma}	52.69	-65.44	20.75	68.65	162	
C _{Ma}	59.61	-28.98	-46.22	54.56	238	
V _{Ma}	28.39	23.63	-44.13	50.06	298	
M _{Ma}	49.58	73.93	-9.56	74.55	353	
N _{Ma}	18.89	0.0	0.0	0.0	0	
W _{Ma}	96.9	0.0	0.0	0.0	0	
O _{Ma}	39.92	58.74	27.99	65.07	25	
Y _{Ma}	81.26	-2.89	71.56	71.62	92	
L _{Ma}	52.23	-42.42	13.6	44.55	162	
V _{Ma}	30.57	1.41	-46.47	46.49	272	

Daten für Maximalfarbe (Ma):

$LAB^*LAB^*_{Ma}$: 28 24 -44

$LAB^*LCH^*_{Ma}$: 28 50 298

$lab^*olv^*_{Ma}$: 0.0 0.0 1.0

$lab^*rgb^*_{Ma}$: 0.46 0.0 1.0

Dreiecks-Helligkeit t^*

%Umfang

$u^*_{rel} = 89$

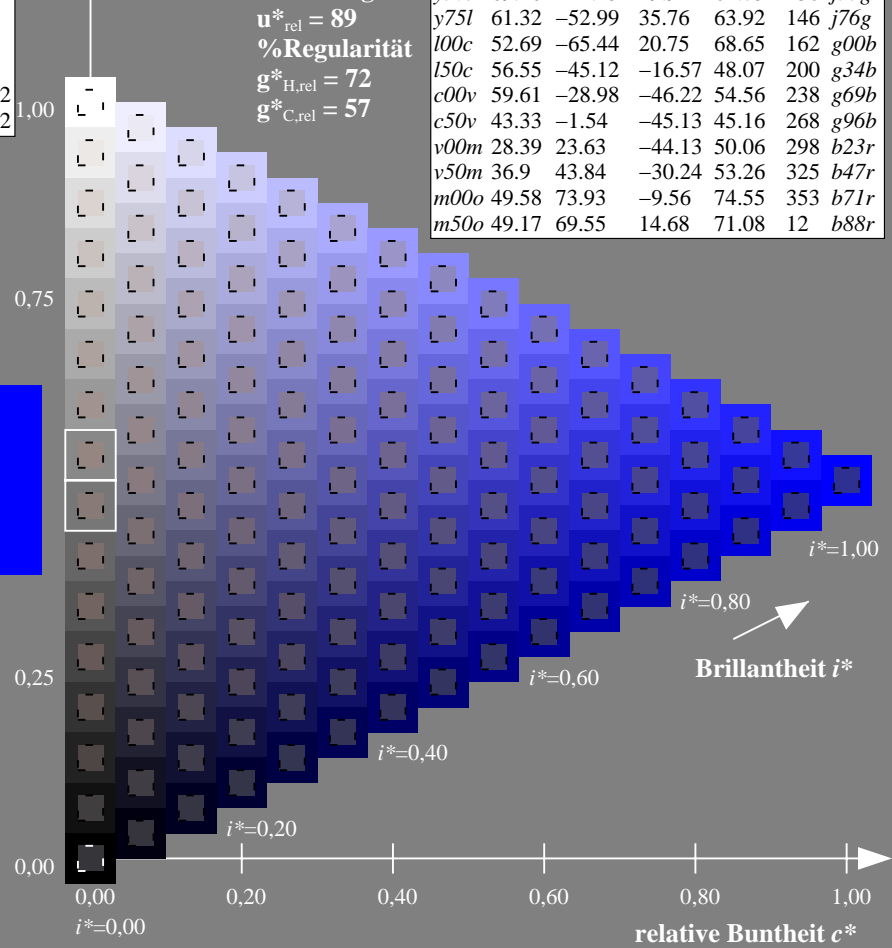
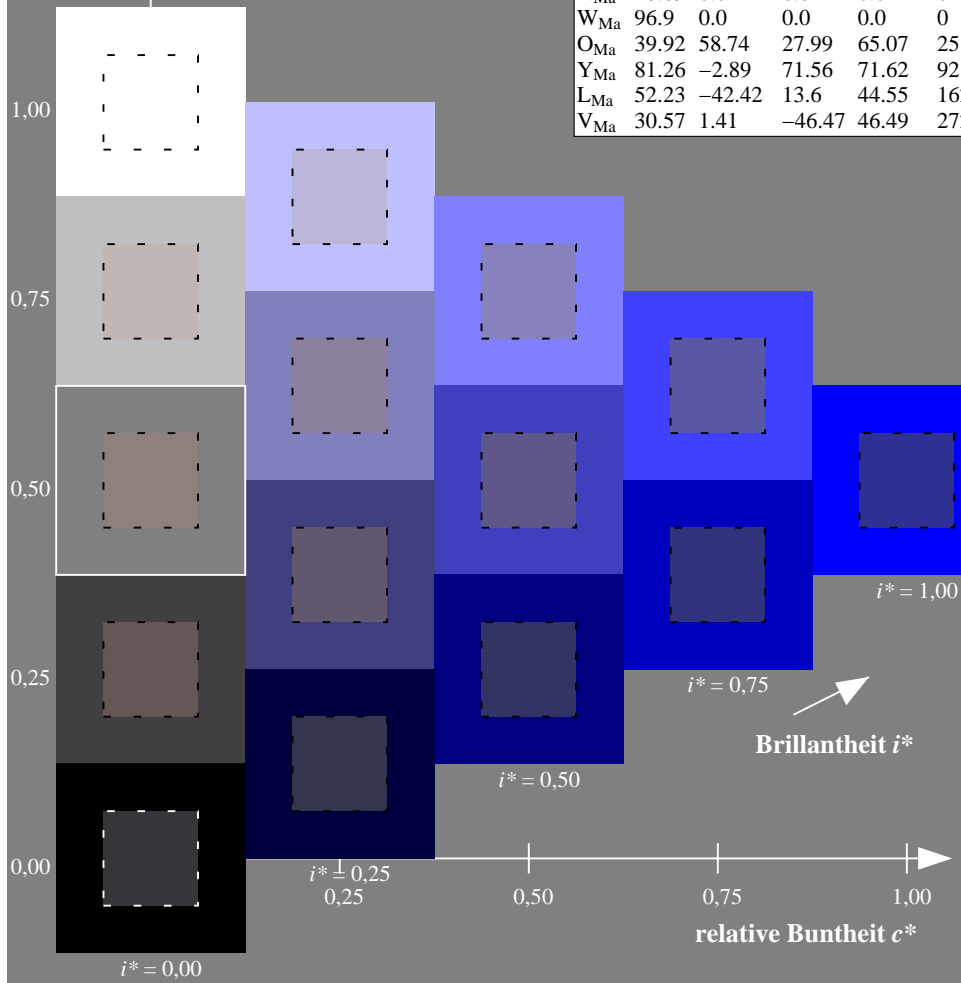
%Regularität

$g^*_{H,rel} = 72$

$g^*_{C,rel} = 57$

ORS19_96a; adaptierte CIELAB-Daten

u^*_d	$L^*=L^*_a$	a^*_a	b^*_a	$C^*_{ab,a}$	$h^*_{ab,a}$	u^*_e
<i>o00y</i>	48.75	65.07	39.43	76.08	31	<i>r08j</i>
<i>o25y</i>	59.04	46.67	51.1	69.21	48	<i>r33j</i>
<i>o50y</i>	68.32	30.09	61.62	68.58	64	<i>r57j</i>
<i>o75y</i>	78.23	12.39	72.85	73.9	80	<i>r81j</i>
<i>y00l</i>	90.92	-10.29	87.24	87.85	97	<i>j06g</i>
<i>y25l</i>	78.57	-28.11	65.75	71.51	113	<i>j29g</i>
<i>y50l</i>	69.46	-41.25	49.92	64.75	130	<i>j53g</i>
<i>y75l</i>	61.32	-52.99	35.76	63.92	146	<i>j76g</i>
<i>l00c</i>	52.69	-65.44	20.75	68.65	162	<i>g00b</i>
<i>l50c</i>	56.55	-45.12	-16.57	48.07	200	<i>g34b</i>
<i>c00v</i>	59.61	-28.98	-46.22	54.56	238	<i>g69b</i>
<i>c50v</i>	43.33	-1.54	-45.13	45.16	268	<i>g96b</i>
<i>v00m</i>	28.39	23.63	-44.13	50.06	298	<i>b23r</i>
<i>v50m</i>	36.9	43.84	-30.24	53.26	325	<i>b47r</i>
<i>m00o</i>	49.58	73.93	-9.56	74.55	353	<i>b71r</i>
<i>m50o</i>	49.17	69.55	14.68	71.08	12	<i>b88r</i>



Ein und Ausgabe: Farbmetrisches Drucker-Reflektiv-System ORS19_96a für relativen CIELAB-Bunton $h^* = \text{lab}^*h^* = h_{ab}/360 = 0.904$

$u^*_d = v50m$

Daten für jede Farbe:

lab^*tch^* und lab^*icu^*

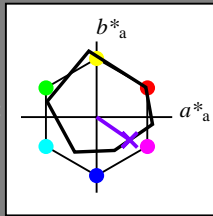
Buntontexte:

$u^*_d = v50m$ $u^*_e = b47r$

Kontrastreduzierungsfaktor:

$c_R = 1.0$

Dreiecks-Helligkeit t^*



ORS19_96a; adaptierte CIELAB-Daten

u^*_d	$L^*=L^*_a$	a^*_a	b^*_a	$C^*_{ab,a}$	$h^*_{ab,a}$
O _{Ma}	48.75	65.07	39.43	76.08	31
Y _{Ma}	90.92	-10.29	87.24	87.85	97
L _{Ma}	52.69	-65.44	20.75	68.65	162
C _{Ma}	59.61	-28.98	-46.22	54.56	238
V _{Ma}	28.39	23.63	-44.13	50.06	298
M _{Ma}	49.58	73.93	-9.56	74.55	353
N _{Ma}	18.89	0.0	0.0	0.0	0
W _{Ma}	96.9	0.0	0.0	0.0	0
O _{Ma}	39.92	58.74	27.99	65.07	25
Y _{Ma}	81.26	-2.89	71.56	71.62	92
L _{Ma}	52.23	-42.42	13.6	44.55	162
V _{Ma}	30.57	1.41	-46.47	46.49	272

Daten für Maximalfarbe (Ma):

$\text{LAB}^*\text{LAB}^*_{Ma}: 37 \ 44 \ -30$

$\text{LAB}^*\text{LCH}^*_{Ma}: 37 \ 53 \ 325$

$\text{lab}^*\text{olv}^*_{Ma}: 0.5 \ 0.0 \ 1.0$

$\text{lab}^*\text{rgb}^*_{Ma}: 0.94 \ 0.0 \ 1.0$

Dreiecks-Helligkeit t^*

%Umfang

$u^*_{rel} = 89$

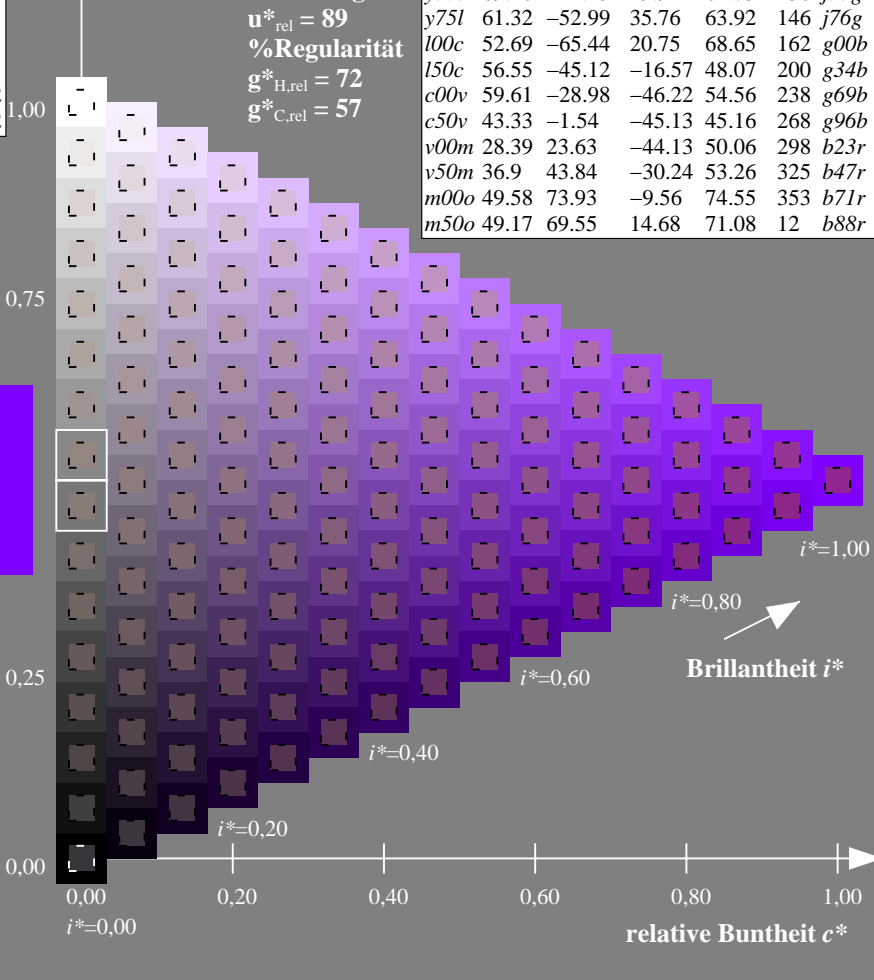
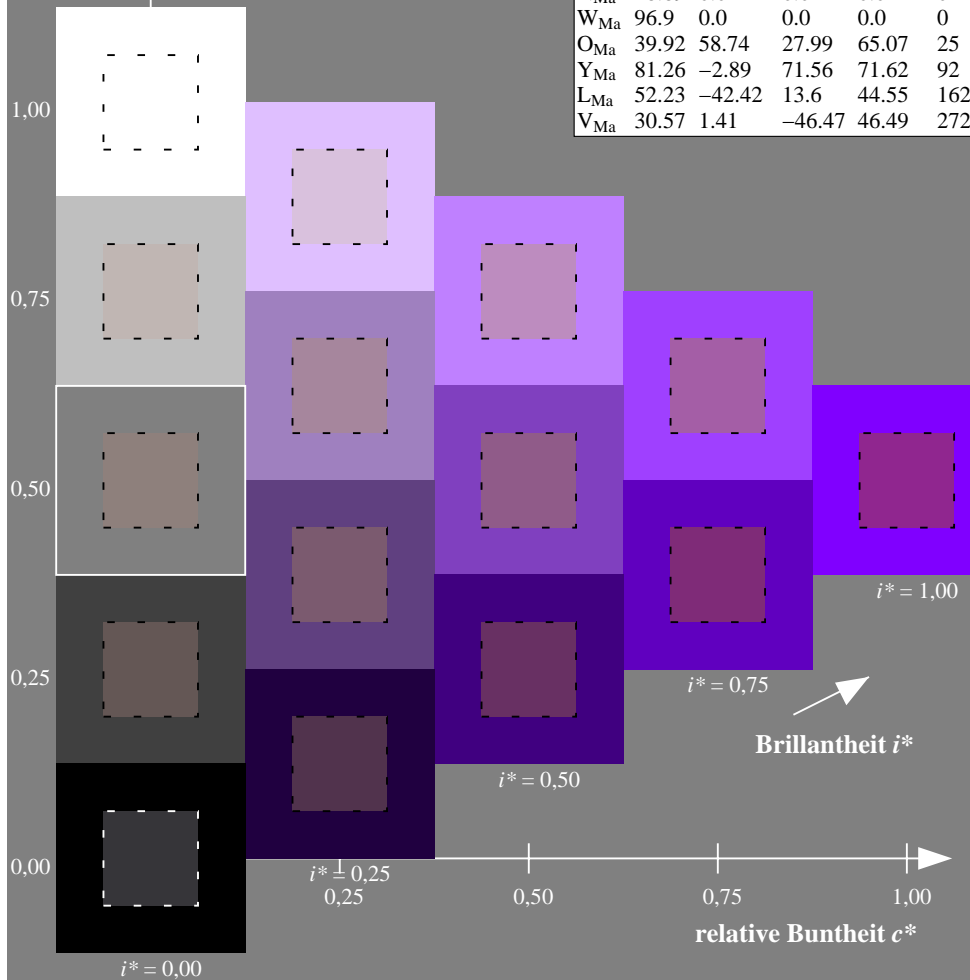
%Regularität

$g^*_{H,rel} = 72$

$g^*_{C,rel} = 57$

ORS19_96a; adaptierte CIELAB-Daten

u^*_d	$L^*=L^*_a$	a^*_a	b^*_a	$C^*_{ab,a}$	$h^*_{ab,a}$	u^*_e
<i>o00y</i>	48.75	65.07	39.43	76.08	31	<i>r08j</i>
<i>o25y</i>	59.04	46.67	51.1	69.21	48	<i>r33j</i>
<i>o50y</i>	68.32	30.09	61.62	68.58	64	<i>r57j</i>
<i>o75y</i>	78.23	12.39	72.85	73.9	80	<i>r81j</i>
<i>y00l</i>	90.92	-10.29	87.24	87.85	97	<i>j06g</i>
<i>y25l</i>	78.57	-28.11	65.75	71.51	113	<i>j29g</i>
<i>y50l</i>	69.46	-41.25	49.92	64.75	130	<i>j53g</i>
<i>y75l</i>	61.32	-52.99	35.76	63.92	146	<i>j76g</i>
<i>l00c</i>	52.69	-65.44	20.75	68.65	162	<i>g00b</i>
<i>l50c</i>	56.55	-45.12	-16.57	48.07	200	<i>g34b</i>
<i>c00v</i>	59.61	-28.98	-46.22	54.56	238	<i>g69b</i>
<i>c50v</i>	43.33	-1.54	-45.13	45.16	268	<i>g96b</i>
<i>v00m</i>	28.39	23.63	-44.13	50.06	298	<i>b23r</i>
<i>v50m</i>	36.9	43.84	-30.24	53.26	325	<i>b47r</i>
<i>m00o</i>	49.58	73.93	-9.56	74.55	353	<i>b71r</i>
<i>m50o</i>	49.17	69.55	14.68	71.08	12	<i>b88r</i>



Ein und Ausgabe: Farbmetrisches Drucker-Reflektiv-System ORS19_96a für relativen CIELAB-Bunton $h^* = lab^*h^* = h_{ab}/360 = 0.98$

$u^*_d = m00o$

Daten für jede Farbe:

lab^*tch^* und lab^*icu^*

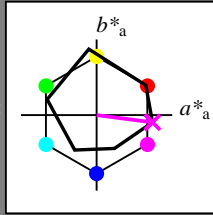
Buntontexte:

$u^*_d = m00o$ $u^*_e = b71r$

Kontrastreduzierungsfaktor:

$c_R = 1.0$

Dreiecks-Helligkeit t^*



ORS19_96a; adaptierte CIELAB-Daten

u^*_d	$L^*=L^*_a$	a^*_a	b^*_a	$C^*_{ab,a}$	$h^*_{ab,a}$
O _{Ma}	48.75	65.07	39.43	76.08	31
Y _{Ma}	90.92	-10.29	87.24	87.85	97
L _{Ma}	52.69	-65.44	20.75	68.65	162
C _{Ma}	59.61	-28.98	-46.22	54.56	238
V _{Ma}	28.39	23.63	-44.13	50.06	298
M _{Ma}	49.58	73.93	-9.56	74.55	353
N _{Ma}	18.89	0.0	0.0	0.0	0
W _{Ma}	96.9	0.0	0.0	0.0	0
O _{Ma}	39.92	58.74	27.99	65.07	25
Y _{Ma}	81.26	-2.89	71.56	71.62	92
L _{Ma}	52.23	-42.42	13.6	44.55	162
V _{Ma}	30.57	1.41	-46.47	46.49	272

Daten für Maximalfarbe (Ma):

$LAB^*LAB^*_{Ma}: 50\ 74\ -10$

$LAB^*LCH^*_{Ma}: 50\ 75\ 352$

$lab^*olv^*_{Ma}: 1.0\ 0.0\ 1.0$

$lab^*rgb^*_{Ma}: 1.0\ 0.0\ 0.58$

Dreiecks-Helligkeit t^*

%Umfang

$u^*_{rel} = 89$

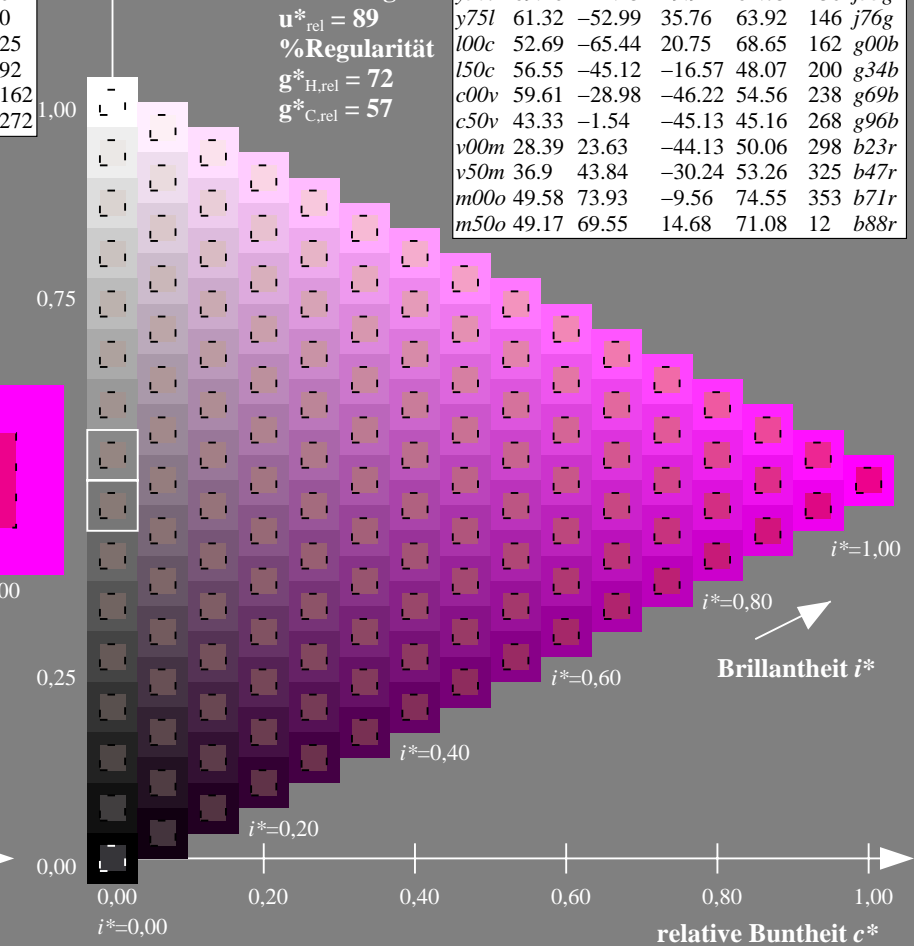
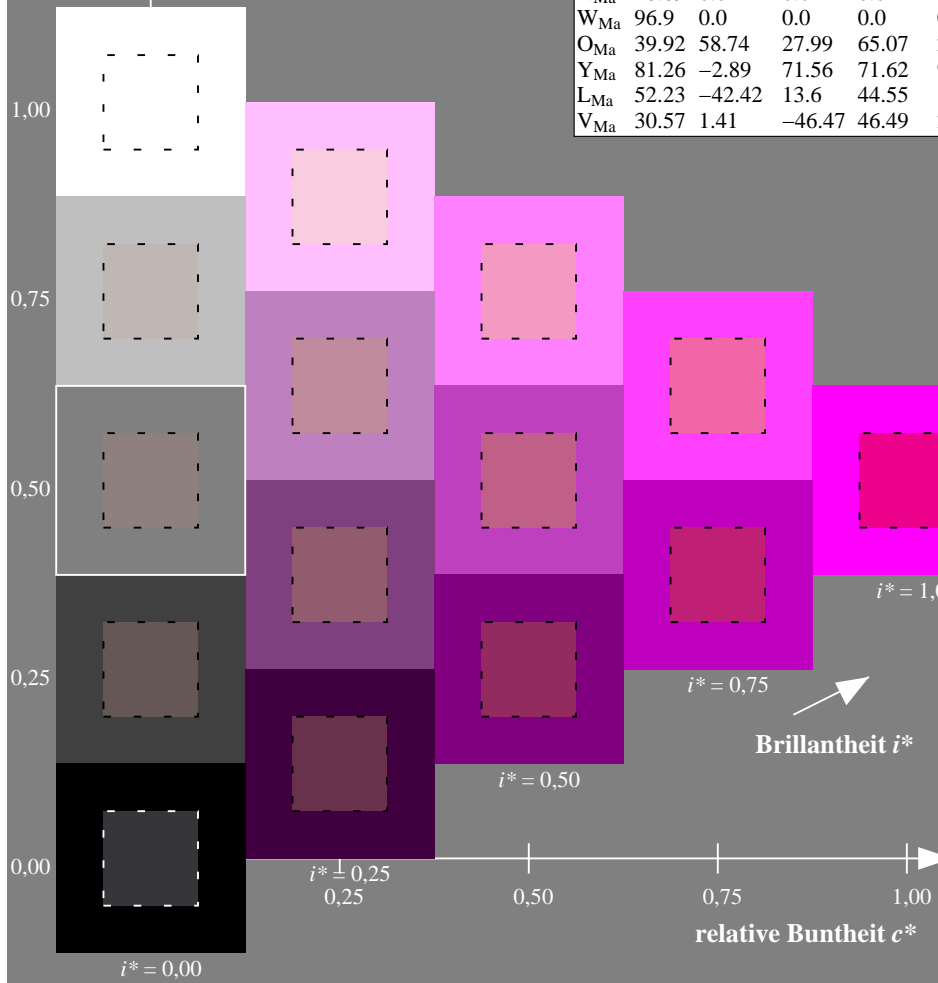
%Regularität

$g^*_{H,rel} = 72$

$g^*_{C,rel} = 57$

ORS19_96a; adaptierte CIELAB-Daten

u^*_d	$L^*=L^*_a$	a^*_a	b^*_a	$C^*_{ab,a}$	$h^*_{ab,a}$	u^*_e
o00y	48.75	65.07	39.43	76.08	31	r08j
o25y	59.04	46.67	51.1	69.21	48	r33j
o50y	68.32	30.09	61.62	68.58	64	r57j
o75y	78.23	12.39	72.85	73.9	80	r81j
y00l	90.92	-10.29	87.24	87.85	97	j06g
y25l	78.57	-28.11	65.75	71.51	113	j29g
y50l	69.46	-41.25	49.92	64.75	130	j53g
y75l	61.32	-52.99	35.76	63.92	146	j76g
l00c	52.69	-65.44	20.75	68.65	162	g00b
l50c	56.55	-45.12	-16.57	48.07	200	g34b
c00v	59.61	-28.98	-46.22	54.56	238	g69b
c50v	43.33	-1.54	-45.13	45.16	268	g96b
v00m	28.39	23.63	-44.13	50.06	298	b23r
v50m	36.9	43.84	-30.24	53.26	325	b47r
m00o	49.58	73.93	-9.56	74.55	353	b71r
m50o	49.17	69.55	14.68	71.08	12	b88r



Ein und Ausgabe: Farbmatisches Drucker-Reflektiv-System ORS19_96a für relativen CIELAB-Bunton $h^* = lab^*h^* = h_{ab}/360 = 0.033$

$u^*_d = m50o$

Daten für jede Farbe:

lab^*tch^* und lab^*icu^*

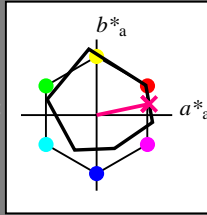
Buntontexte:

$u^*_d = m50o$ $u^*_e = b88r$

Kontrastreduzierungsfaktor:

$c_R = 1.0$

Dreiecks-Helligkeit t^*



ORS19_96a; adaptierte CIELAB-Daten

u^*_d	$L^*=L^*_a$	a^*_a	b^*_a	$C^*_{ab,a}$	$h^*_{ab,a}$
O _{Ma}	48.75	65.07	39.43	76.08	31
Y _{Ma}	90.92	-10.29	87.24	87.85	97
L _{Ma}	52.69	-65.44	20.75	68.65	162
C _{Ma}	59.61	-28.98	-46.22	54.56	238
V _{Ma}	28.39	23.63	-44.13	50.06	298
M _{Ma}	49.58	73.93	-9.56	74.55	353
N _{Ma}	18.89	0.0	0.0	0.0	0
W _{Ma}	96.9	0.0	0.0	0.0	0
O _{Ma}	39.92	58.74	27.99	65.07	25
Y _{Ma}	81.26	-2.89	71.56	71.62	92
L _{Ma}	52.23	-42.42	13.6	44.55	162
V _{Ma}	30.57	1.41	-46.47	46.49	272

Daten für Maximalfarbe (Ma):

$LAB^*LAB^*_{Ma}$: 49 70 15

$LAB^*LCH^*_{Ma}$: 49 71 11

$lab^*olv^*_{Ma}$: 1.0 0.0 0.5

$lab^*rgb^*_{Ma}$: 1.0 0.0 0.24

Dreiecks-Helligkeit t^*

%Umfang

$u^*_{rel} = 89$

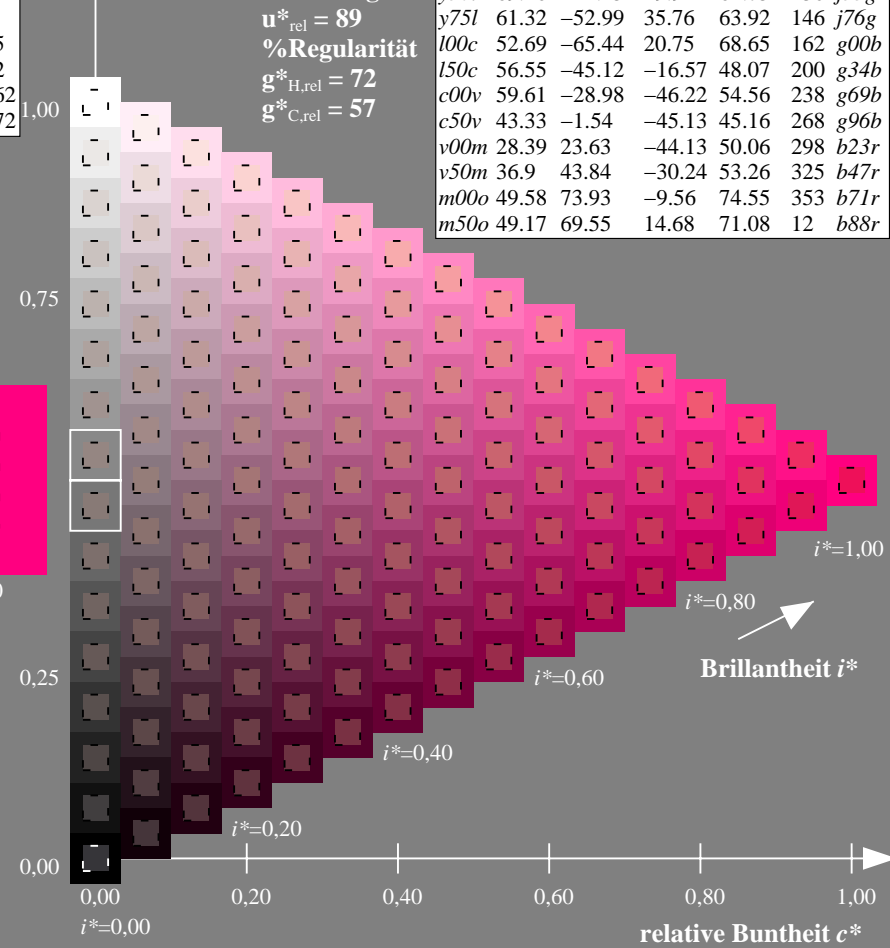
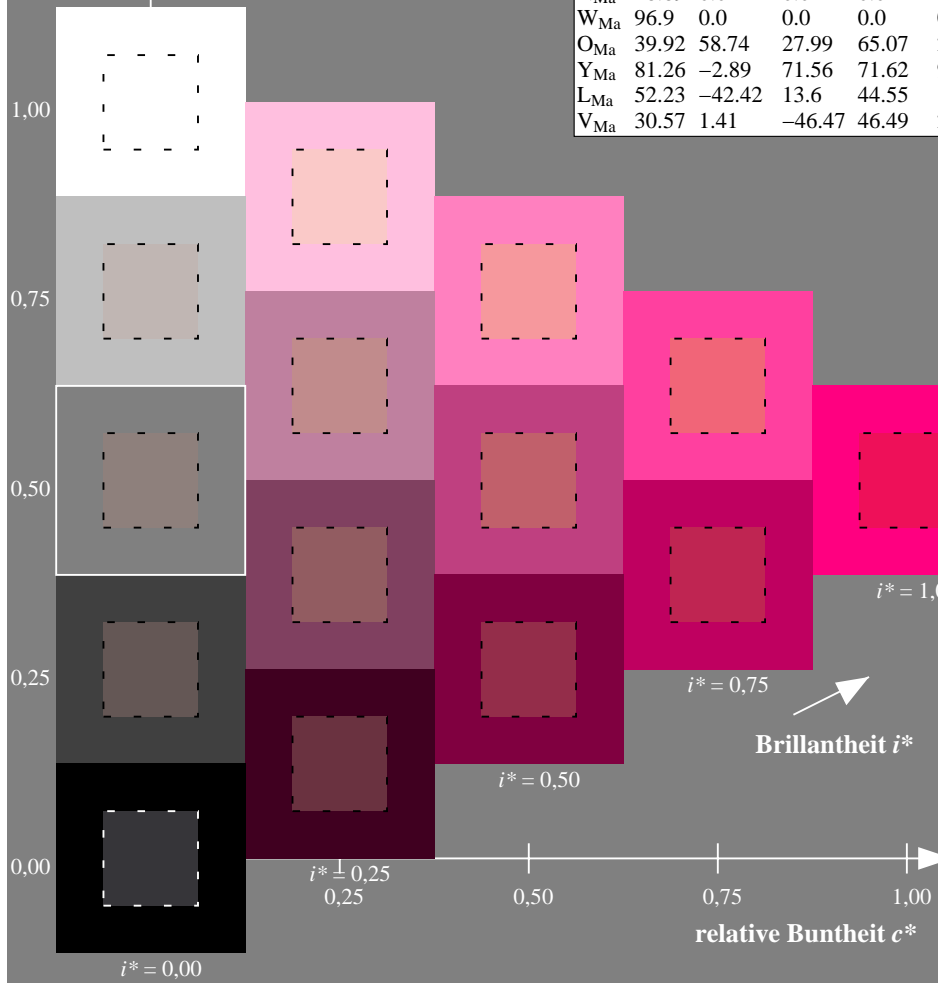
%Regularität

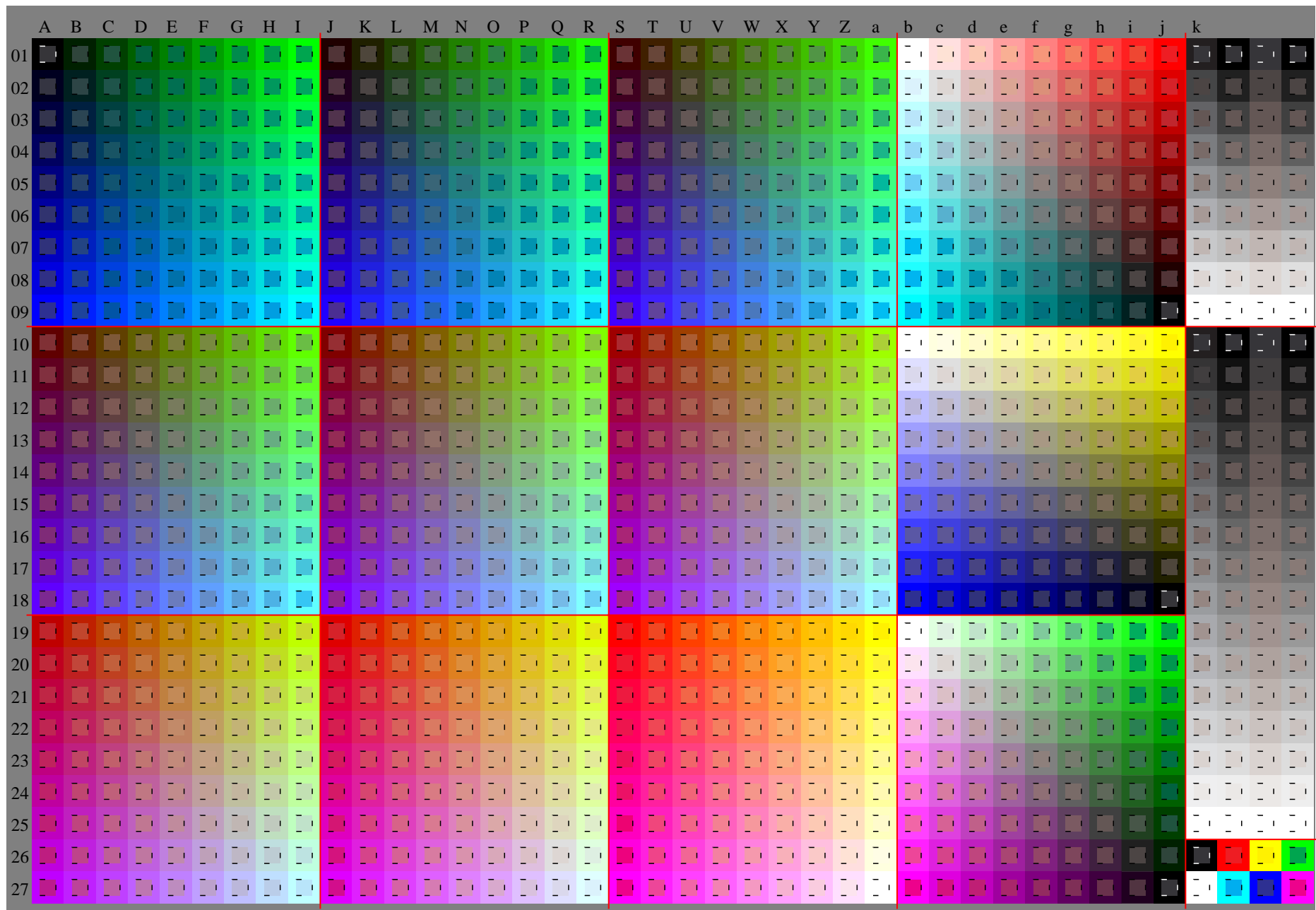
$g^*_{H,rel} = 72$

$g^*_{C,rel} = 57$

ORS19_96a; adaptierte CIELAB-Daten

u^*_d	$L^*=L^*_a$	a^*_a	b^*_a	$C^*_{ab,a}$	$h^*_{ab,a}$	u^*_e
o00y	48.75	65.07	39.43	76.08	31	r08j
o25y	59.04	46.67	51.1	69.21	48	r33j
o50y	68.32	30.09	61.62	68.58	64	r57j
o75y	78.23	12.39	72.85	73.9	80	r81j
y00l	90.92	-10.29	87.24	87.85	97	j06g
y25l	78.57	-28.11	65.75	71.51	113	j29g
y50l	69.46	-41.25	49.92	64.75	130	j53g
y75l	61.32	-52.99	35.76	63.92	146	j76g
l00c	52.69	-65.44	20.75	68.65	162	g00b
l50c	56.55	-45.12	-16.57	48.07	200	g34b
c00v	59.61	-28.98	-46.22	54.56	238	g69b
c50v	43.33	-1.54	-45.13	45.16	268	g96b
v00m	28.39	23.63	-44.13	50.06	298	b23r
v50m	36.9	43.84	-30.24	53.26	325	b47r
m00o	49.58	73.93	-9.56	74.55	353	b71r
m50o	49.17	69.55	14.68	71.08	12	b88r





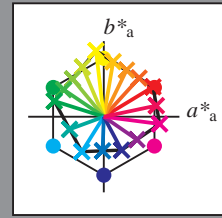
Ein und Ausgabe:
 Farbmetrisches Drucker-Reflektiv-System ORS19_96a

Daten für jede Farbe:
 u^*_d und Nummer *Nr.* = 00 .. 15

Geräte-Bunttextext:
 $u^*_d = 16$ Bunttoene *o00y, o25y, ..., m50o*

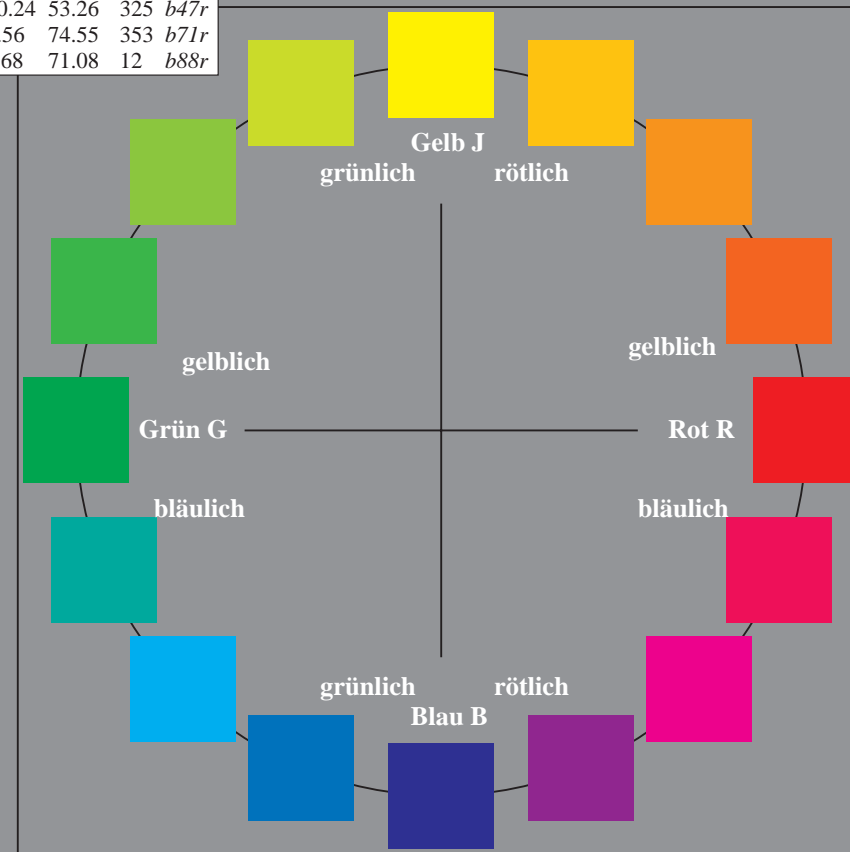
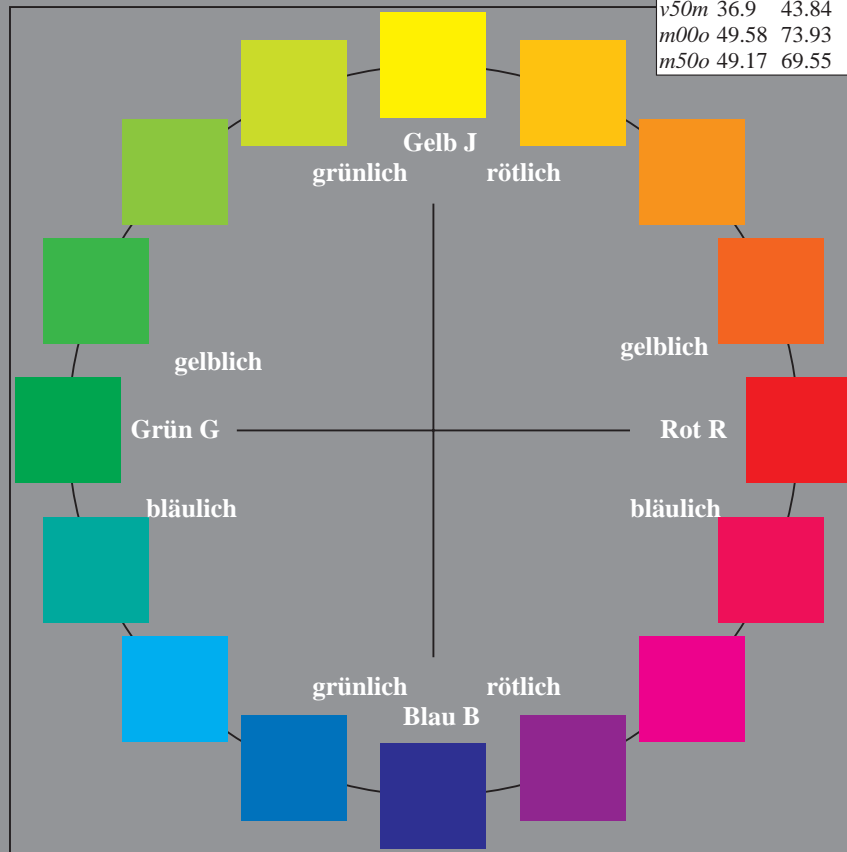
Kontrastreduzierungsfaktor:
 $c_R = 1.0$

ORS19_96a; adaptierte CIELAB-Daten						
u^*_d	$L^*=L^*_a$	a^*_a	b^*_a	$C^*_{ab,a}$	$h^*_{ab,a}$	u^*_e
<i>o00y</i>	48.75	65.07	39.43	76.08	31	<i>r08j</i>
<i>o25y</i>	59.04	46.67	51.1	69.21	48	<i>r33j</i>
<i>o50y</i>	68.32	30.09	61.62	68.58	64	<i>r57j</i>
<i>o75y</i>	78.23	12.39	72.85	73.9	80	<i>r81j</i>
<i>y00l</i>	90.92	-10.29	87.24	87.85	97	<i>j06g</i>
<i>y25l</i>	78.57	-28.11	65.75	71.51	113	<i>j29g</i>
<i>y50l</i>	69.46	-41.25	49.92	64.75	130	<i>j53g</i>
<i>y75l</i>	61.32	-52.99	35.76	63.92	146	<i>j76g</i>
<i>l00c</i>	52.69	-65.44	20.75	68.65	162	<i>g00b</i>
<i>l50c</i>	56.55	-45.12	-16.57	48.07	200	<i>g34b</i>
<i>c00v</i>	59.61	-28.98	-46.22	54.56	238	<i>g69b</i>
<i>c50v</i>	43.33	-1.54	-45.13	45.16	268	<i>g96b</i>
<i>v00m</i>	28.39	23.63	-44.13	50.06	298	<i>b23r</i>
<i>v50m</i>	36.9	43.84	-30.24	53.26	325	<i>b47r</i>
<i>m00o</i>	49.58	73.93	-9.56	74.55	353	<i>b71r</i>
<i>m50o</i>	49.17	69.55	14.68	71.08	12	<i>b88r</i>



%Umfang
 $u^*_{rel} = 89$
 %Regularität
 $g^*_{H,rel} = 72$
 $g^*_{C,rel} = 57$

ORS19_96a; adaptierte CIELAB-Daten					
Name	$L^*=L^*_a$	a^*_a	b^*_a	$C^*_{ab,a}$	$h^*_{ab,a}$
O _{Ma}	48.75	65.07	39.43	76.08	31
Y _{Ma}	90.92	-10.29	87.24	87.85	97
L _{Ma}	52.69	-65.44	20.75	68.65	162
C _{Ma}	59.61	-28.98	-46.22	54.56	238
V _{Ma}	28.39	23.63	-44.13	50.06	298
M _{Ma}	49.58	73.93	-9.56	74.55	353
N _{Ma}	18.89	0.0	0.0	0.0	0
W _{Ma}	96.9	0.0	0.0	0.0	0
O _{CIE}	39.92	58.74	27.99	65.07	25
Y _{CIE}	81.26	-2.89	71.56	71.62	92
L _{CIE}	52.23	-42.42	13.6	44.55	162
V _{CIE}	30.57	1.41	-46.47	46.49	272



Ein und Ausgabe: Farbmatisches Drucker-Reflektiv-System ORS19_96a für relativen CIELAB-Bunton $h^* = lab^*h^* = h_{ab}/360 = 0.087$

$u^*_d = 000y$

Daten für jede Farbe:

lab^*tch^* und lab^*icu^*

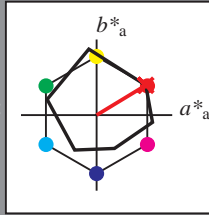
Buntontexte:

$u^*_d = 000y$ $u^*_e = r08j$

Kontrastreduzierungsfaktor:

$c_R = 1.0$

Dreiecks-Helligkeit t^*



ORS19_96a; adaptierte CIELAB-Daten						
u^*_d	$L^*=L^*_a$	a^*_a	b^*_a	$C^*_{ab,a}$	$h^*_{ab,a}$	
O _{Ma}	48.75	65.07	39.43	76.08	31	
Y _{Ma}	90.92	-10.29	87.24	87.85	97	
L _{Ma}	52.69	-65.44	20.75	68.65	162	
C _{Ma}	59.61	-28.98	-46.22	54.56	238	
V _{Ma}	28.39	23.63	-44.13	50.06	298	
M _{Ma}	49.58	73.93	-9.56	74.55	353	
N _{Ma}	18.89	0.0	0.0	0.0	0	
W _{Ma}	96.9	0.0	0.0	0.0	0	
O _{Ma}	39.92	58.74	27.99	65.07	25	
Y _{Ma}	81.26	-2.89	71.56	71.62	92	
L _{Ma}	52.23	-42.42	13.6	44.55	162	
V _{Ma}	30.57	1.41	-46.47	46.49	272	

Daten für Maximalfarbe (Ma):

$LAB^*LAB^*_Ma: 49\ 65\ 39$

$LAB^*LCH^*_Ma: 49\ 76\ 31$

$lab^*olv^*_Ma: 1.0\ 0.0\ 0.0$

$lab^*rgb^*_Ma: 1.0\ 0.09\ 0.0$

Dreiecks-Helligkeit t^*

%Umfang

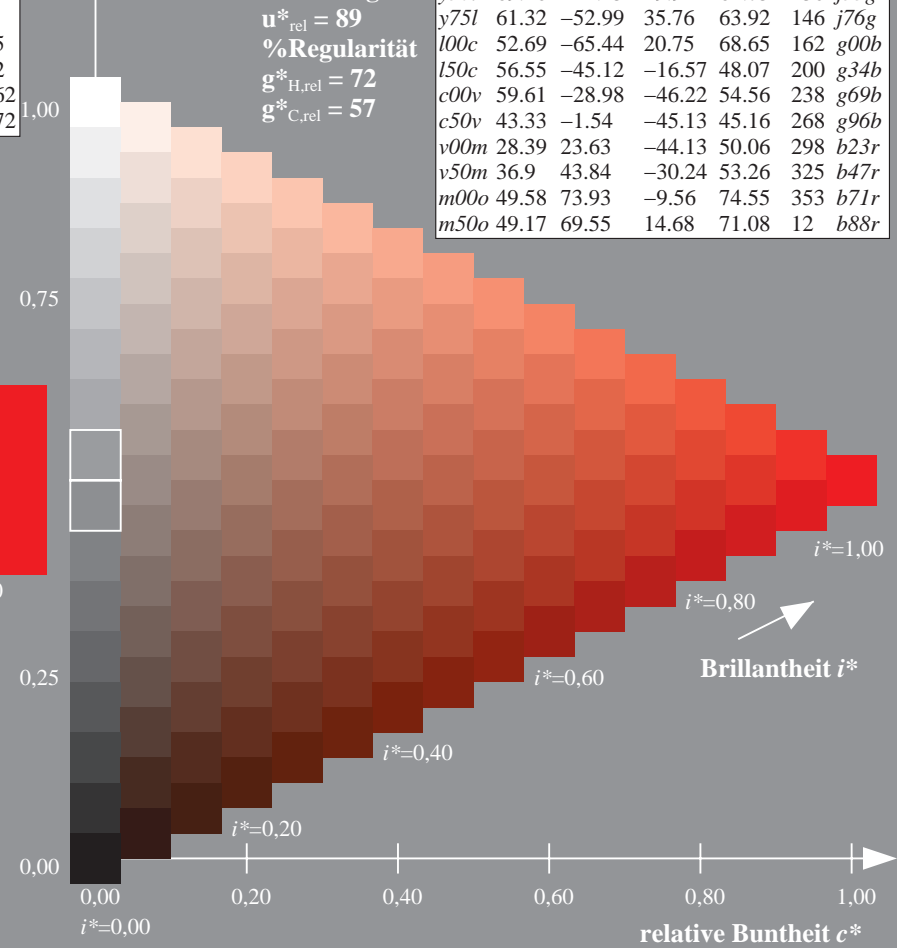
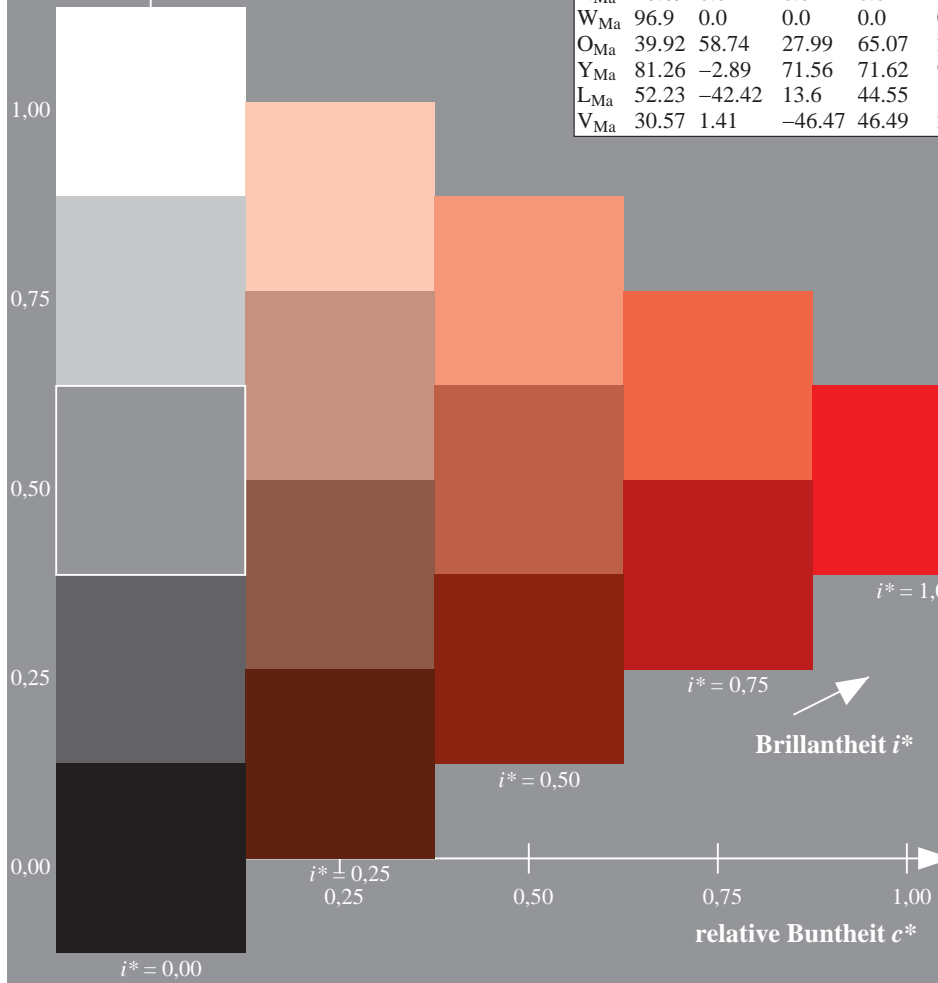
$u^*_{rel} = 89$

%Regularität

$g^*_{H,rel} = 72$

$g^*_{C,rel} = 57$

ORS19_96a; adaptierte CIELAB-Daten							
u^*_d	$L^*=L^*_a$	a^*_a	b^*_a	$C^*_{ab,a}$	$h^*_{ab,a}$	u^*_e	
o00y	48.75	65.07	39.43	76.08	31	r08j	
o25y	59.04	46.67	51.1	69.21	48	r33j	
o50y	68.32	30.09	61.62	68.58	64	r57j	
o75y	78.23	12.39	72.85	73.9	80	r81j	
y00l	90.92	-10.29	87.24	87.85	97	j06g	
y25l	78.57	-28.11	65.75	71.51	113	j29g	
y50l	69.46	-41.25	49.92	64.75	130	j53g	
y75l	61.32	-52.99	35.76	63.92	146	j76g	
l00c	52.69	-65.44	20.75	68.65	162	g00b	
l50c	56.55	-45.12	-16.57	48.07	200	g34b	
c00v	59.61	-28.98	-46.22	54.56	238	g69b	
c50v	43.33	-1.54	-45.13	45.16	268	g96b	
v00m	28.39	23.63	-44.13	50.06	298	b23r	
v50m	36.9	43.84	-30.24	53.26	325	b47r	
m00o	49.58	73.93	-9.56	74.55	353	b71r	
m50o	49.17	69.55	14.68	71.08	12	b88r	



Ein und Ausgabe: Farbmetrisches Drucker-Reflektiv-System ORS19_96a für relativen CIELAB-Bunton $h^* = lab^*h^* = h_{ab}/360 = 0.132$

$u^*_d = o25y$

Daten für jede Farbe:

lab^*tch^* und lab^*icu^*

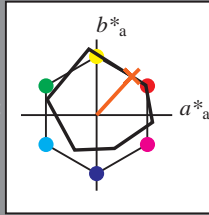
Buntontexte:

$u^*_d = o25y$ $u^*_e = r33j$

Kontrastreduzierungsfaktor:

$c_R = 1.0$

Dreiecks-Helligkeit t^*



ORS19_96a; adaptierte CIELAB-Daten						
u^*_d	$L^*=L^*_a$	a^*_a	b^*_a	$C^*_{ab,a}$	$h^*_{ab,a}$	
O _{Ma}	48.75	65.07	39.43	76.08	31	
Y _{Ma}	90.92	-10.29	87.24	87.85	97	
L _{Ma}	52.69	-65.44	20.75	68.65	162	
C _{Ma}	59.61	-28.98	-46.22	54.56	238	
V _{Ma}	28.39	23.63	-44.13	50.06	298	
M _{Ma}	49.58	73.93	-9.56	74.55	353	
N _{Ma}	18.89	0.0	0.0	0.0	0	
W _{Ma}	96.9	0.0	0.0	0.0	0	
O _{Ma}	39.92	58.74	27.99	65.07	25	
Y _{Ma}	81.26	-2.89	71.56	71.62	92	
L _{Ma}	52.23	-42.42	13.6	44.55	162	
V _{Ma}	30.57	1.41	-46.47	46.49	272	

Daten für Maximalfarbe (Ma):

$LAB^*LAB^*_{Ma}: 59\ 47\ 51$

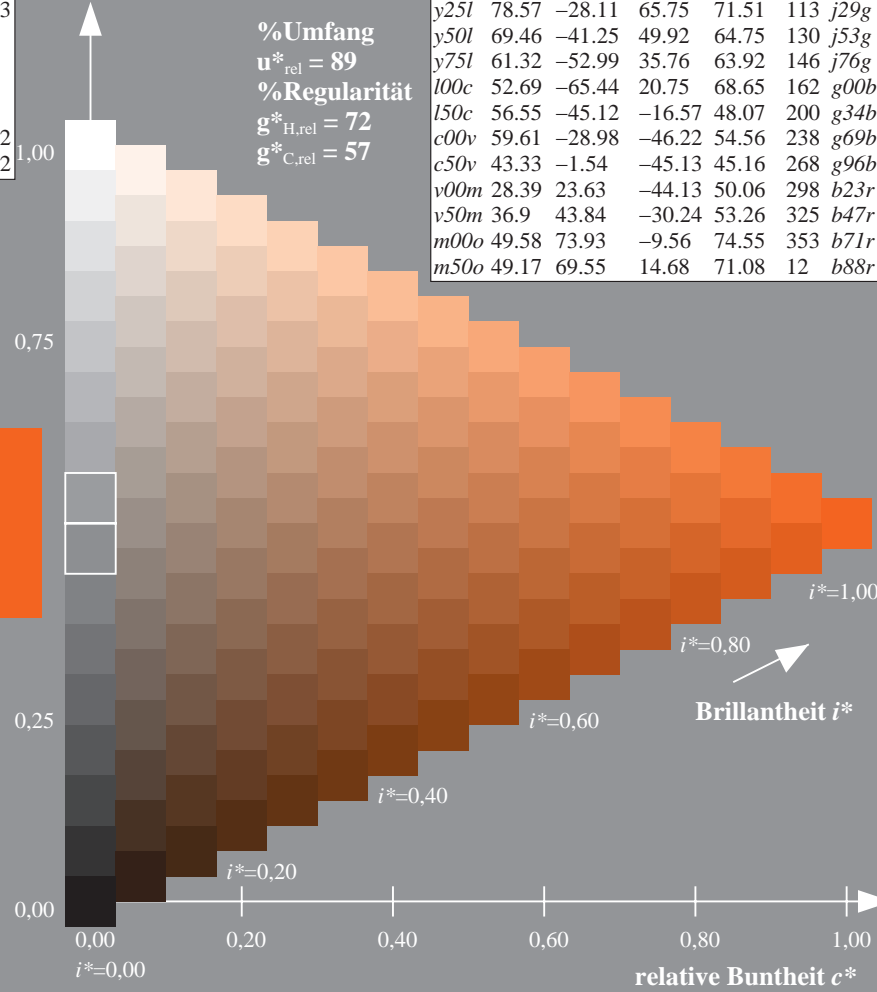
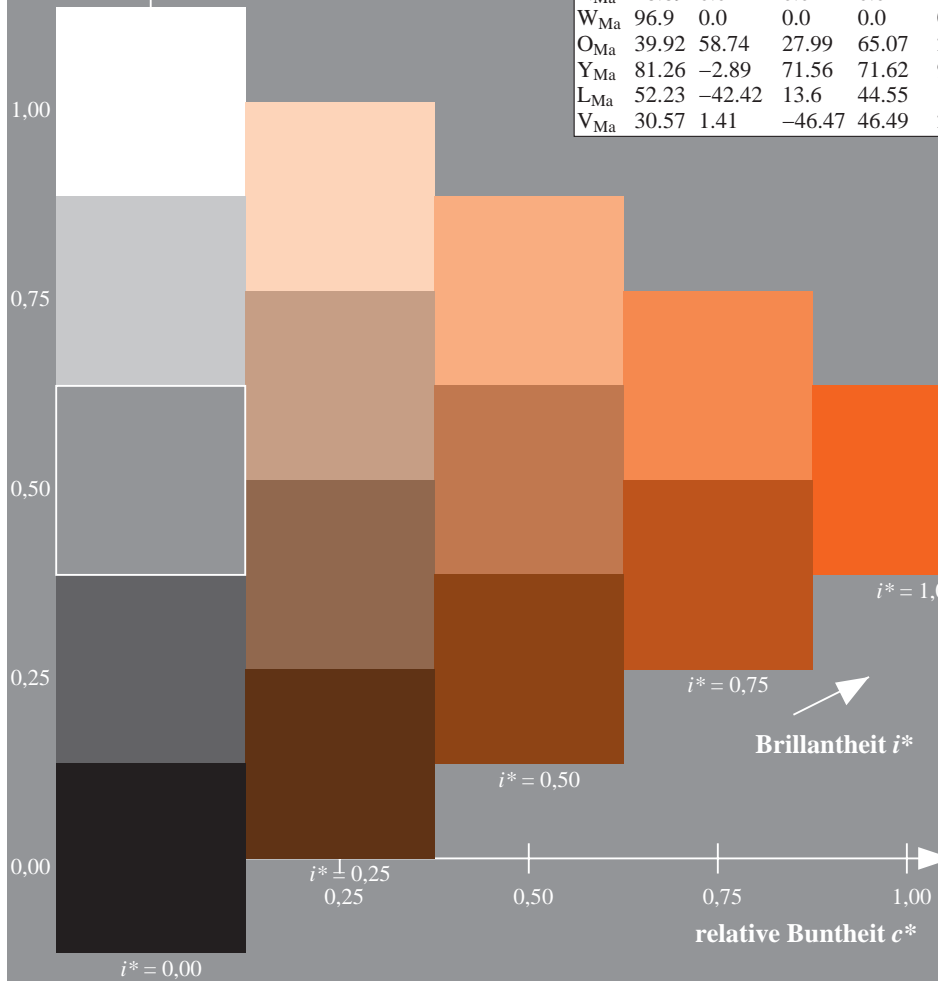
$LAB^*LCH^*_{Ma}: 59\ 69\ 47$

$lab^*olv^*_{Ma}: 1.0\ 0.25\ 0.0$

$lab^*rgb^*_{Ma}: 1.0\ 0.33\ 0.0$

Dreiecks-Helligkeit t^*

ORS19_96a; adaptierte CIELAB-Daten							
u^*_d	$L^*=L^*_a$	a^*_a	b^*_a	$C^*_{ab,a}$	$h^*_{ab,a}$	u^*_e	
<i>o00y</i>	48.75	65.07	39.43	76.08	31	<i>r08j</i>	
<i>o25y</i>	59.04	46.67	51.1	69.21	48	<i>r33j</i>	
<i>o50y</i>	68.32	30.09	61.62	68.58	64	<i>r57j</i>	
<i>o75y</i>	78.23	12.39	72.85	73.9	80	<i>r81j</i>	
<i>y00l</i>	90.92	-10.29	87.24	87.85	97	<i>j06g</i>	
<i>y25l</i>	78.57	-28.11	65.75	71.51	113	<i>j29g</i>	
<i>y50l</i>	69.46	-41.25	49.92	64.75	130	<i>j53g</i>	
<i>y75l</i>	61.32	-52.99	35.76	63.92	146	<i>j76g</i>	
<i>l00c</i>	52.69	-65.44	20.75	68.65	162	<i>g00b</i>	
<i>l50c</i>	56.55	-45.12	-16.57	48.07	200	<i>g34b</i>	
<i>c00v</i>	59.61	-28.98	-46.22	54.56	238	<i>g69b</i>	
<i>c50v</i>	43.33	-1.54	-45.13	45.16	268	<i>g96b</i>	
<i>v00m</i>	28.39	23.63	-44.13	50.06	298	<i>b23r</i>	
<i>v50m</i>	36.9	43.84	-30.24	53.26	325	<i>b47r</i>	
<i>m00o</i>	49.58	73.93	-9.56	74.55	353	<i>b71r</i>	
<i>m50o</i>	49.17	69.55	14.68	71.08	12	<i>b88r</i>	



Ein und Ausgabe: Farbmetrisches Drucker-Reflektiv-System ORS19_96a für relativen CIELAB-Bunton $h^* = lab^*h^* = h_{ab}/360 = 0.178$

$u^*_d = o50y$

Daten für jede Farbe:

lab^*tch^* und lab^*icu^*

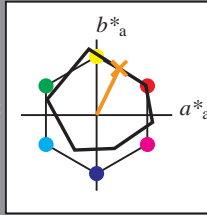
Buntontexte:

$u^*_d = o50y$ $u^*_e = r57j$

Kontrastreduzierungsfaktor:

$c_R = 1.0$

Dreiecks-Helligkeit t^*



ORS19_96a; adaptierte CIELAB-Daten						
u^*_d	$L^*=L^*_a$	a^*_a	b^*_a	$C^*_{ab,a}$	$h^*_{ab,a}$	
O_{Ma}	48.75	65.07	39.43	76.08	31	
Y_{Ma}	90.92	-10.29	87.24	87.85	97	
L_{Ma}	52.69	-65.44	20.75	68.65	162	
C_{Ma}	59.61	-28.98	-46.22	54.56	238	
V_{Ma}	28.39	23.63	-44.13	50.06	298	
M_{Ma}	49.58	73.93	-9.56	74.55	353	
N_{Ma}	18.89	0.0	0.0	0.0	0	
W_{Ma}	96.9	0.0	0.0	0.0	0	
O_{Ma}	39.92	58.74	27.99	65.07	25	
Y_{Ma}	81.26	-2.89	71.56	71.62	92	
L_{Ma}	52.23	-42.42	13.6	44.55	162	
V_{Ma}	30.57	1.41	-46.47	46.49	272	

Daten für Maximalfarbe (Ma):

$LAB^*LAB^*_{Ma}$: 68 30 62

$LAB^*LCH^*_{Ma}$: 68 69 63

$lab^*olv^*_{Ma}$: 1.0 0.5 0.0

$lab^*rgb^*_{Ma}$: 1.0 0.58 0.0

Dreiecks-Helligkeit t^*

%Umfang

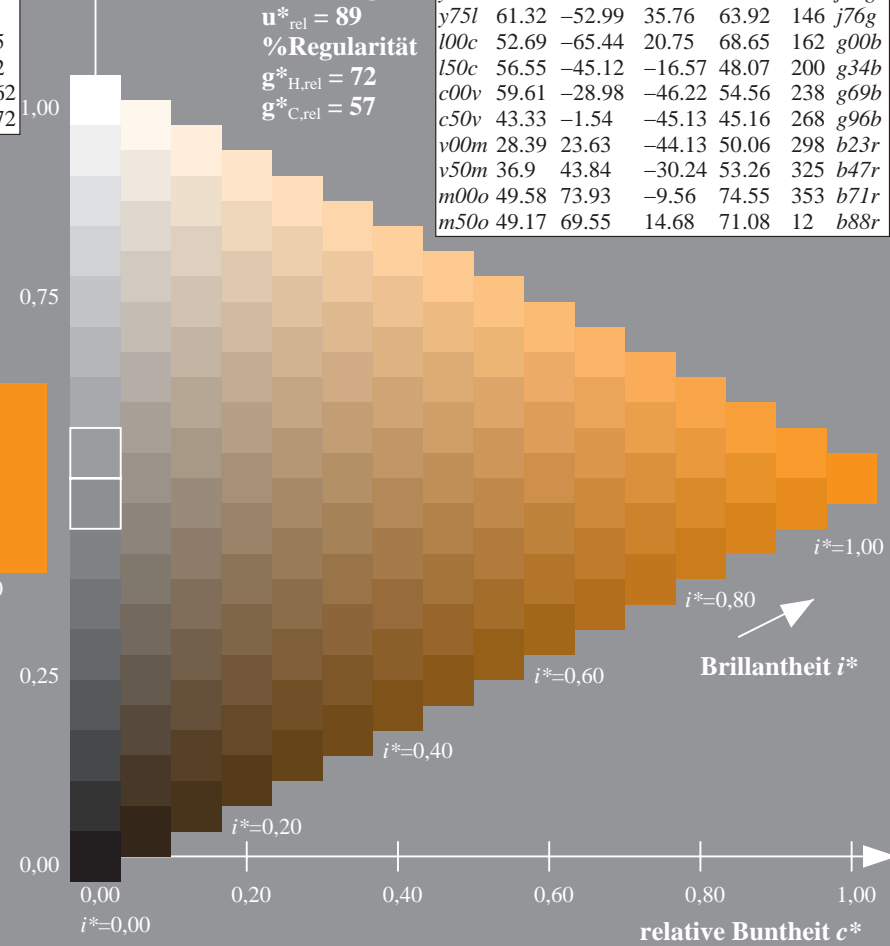
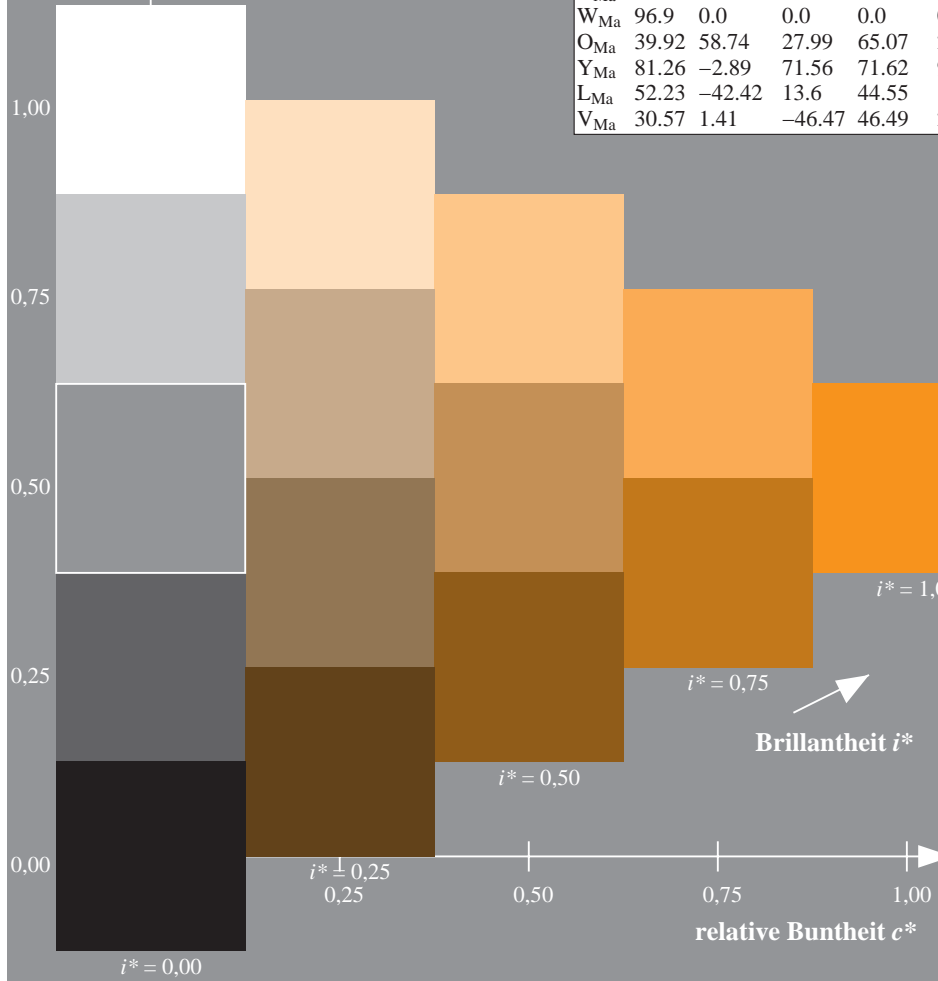
$u^*_{rel} = 89$

%Regularität

$g^*_{H,rel} = 72$

$g^*_{C,rel} = 57$

ORS19_96a; adaptierte CIELAB-Daten							
u^*_d	$L^*=L^*_a$	a^*_a	b^*_a	$C^*_{ab,a}$	$h^*_{ab,a}$	u^*_e	
$o00y$	48.75	65.07	39.43	76.08	31	$r08j$	
$o25y$	59.04	46.67	51.1	69.21	48	$r33j$	
$o50y$	68.32	30.09	61.62	68.58	64	$r57j$	
$o75y$	78.23	12.39	72.85	73.9	80	$r81j$	
$y00l$	90.92	-10.29	87.24	87.85	97	$j06g$	
$y25l$	78.57	-28.11	65.75	71.51	113	$j29g$	
$y50l$	69.46	-41.25	49.92	64.75	130	$j53g$	
$y75l$	61.32	-52.99	35.76	63.92	146	$j76g$	
$l00c$	52.69	-65.44	20.75	68.65	162	$g00b$	
$l50c$	56.55	-45.12	-16.57	48.07	200	$g34b$	
$c00v$	59.61	-28.98	-46.22	54.56	238	$g69b$	
$c50v$	43.33	-1.54	-45.13	45.16	268	$g96b$	
$v00m$	28.39	23.63	-44.13	50.06	298	$b23r$	
$v50m$	36.9	43.84	-30.24	53.26	325	$b47r$	
$m00o$	49.58	73.93	-9.56	74.55	353	$b71r$	
$m50o$	49.17	69.55	14.68	71.08	12	$b88r$	



Ein und Ausgabe: Farbmetrisches Drucker-Reflektiv-System ORS19_96a für relativen CIELAB-Bunton $h^* = lab^*h^* = h_{ab}/360 = 0.223$

$u^*_d = o75y$

Daten für jede Farbe:

lab^*tch^* und lab^*icu^*

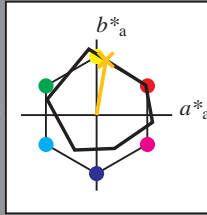
Buntontexte:

$u^*_d = o75y$ $u^*_e = r8lj$

Kontrastreduzierungsfaktor:

$c_R = 1.0$

Dreiecks-Helligkeit t^*



ORS19_96a; adaptierte CIELAB-Daten						
u^*_d	$L^*=L^*_a$	a^*_a	b^*_a	$C^*_{ab,a}$	$h^*_{ab,a}$	
O _{Ma}	48.75	65.07	39.43	76.08	31	
Y _{Ma}	90.92	-10.29	87.24	87.85	97	
L _{Ma}	52.69	-65.44	20.75	68.65	162	
C _{Ma}	59.61	-28.98	-46.22	54.56	238	
V _{Ma}	28.39	23.63	-44.13	50.06	298	
M _{Ma}	49.58	73.93	-9.56	74.55	353	
N _{Ma}	18.89	0.0	0.0	0.0	0	
W _{Ma}	96.9	0.0	0.0	0.0	0	
O _{Ma}	39.92	58.74	27.99	65.07	25	
Y _{Ma}	81.26	-2.89	71.56	71.62	92	
L _{Ma}	52.23	-42.42	13.6	44.55	162	
V _{Ma}	30.57	1.41	-46.47	46.49	272	

Daten für Maximalfarbe (Ma):

$LAB^*LAB^*_{Ma}$: 78 12 73

$LAB^*LCH^*_{Ma}$: 78 74 80

$lab^*olv^*_{Ma}$: 1.0 0.75 0.0

$lab^*rgb^*_{Ma}$: 1.0 0.82 0.0

Dreiecks-Helligkeit t^*

%Umfang

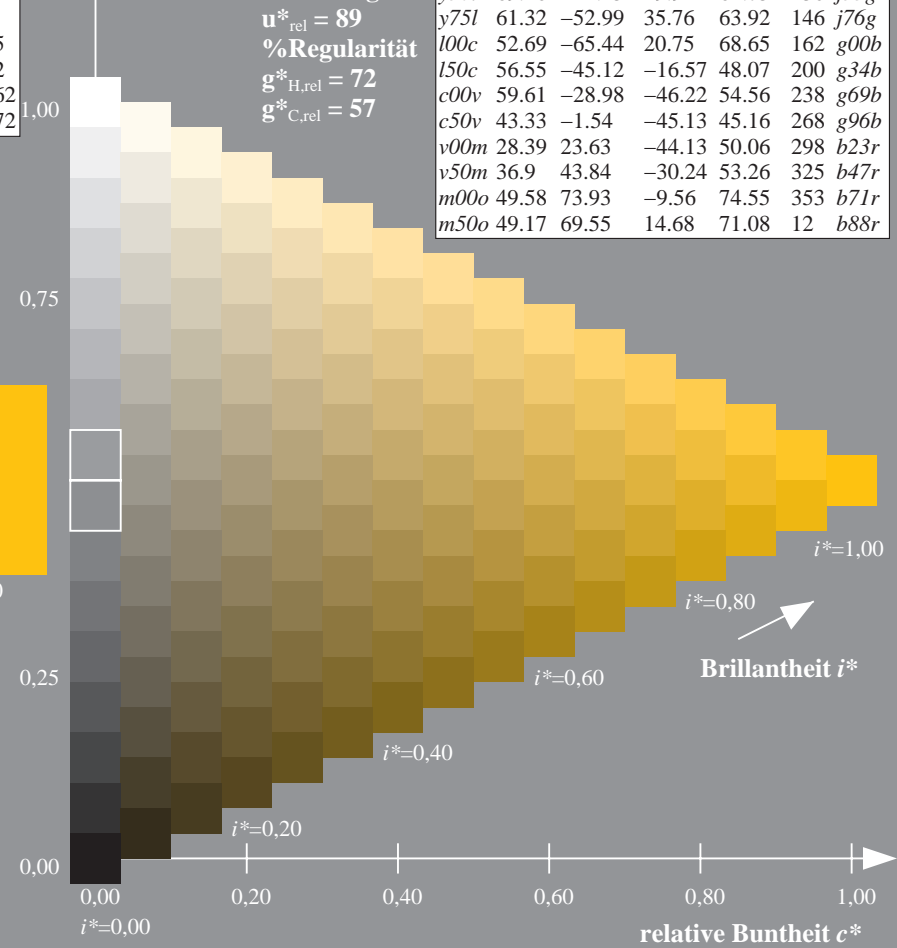
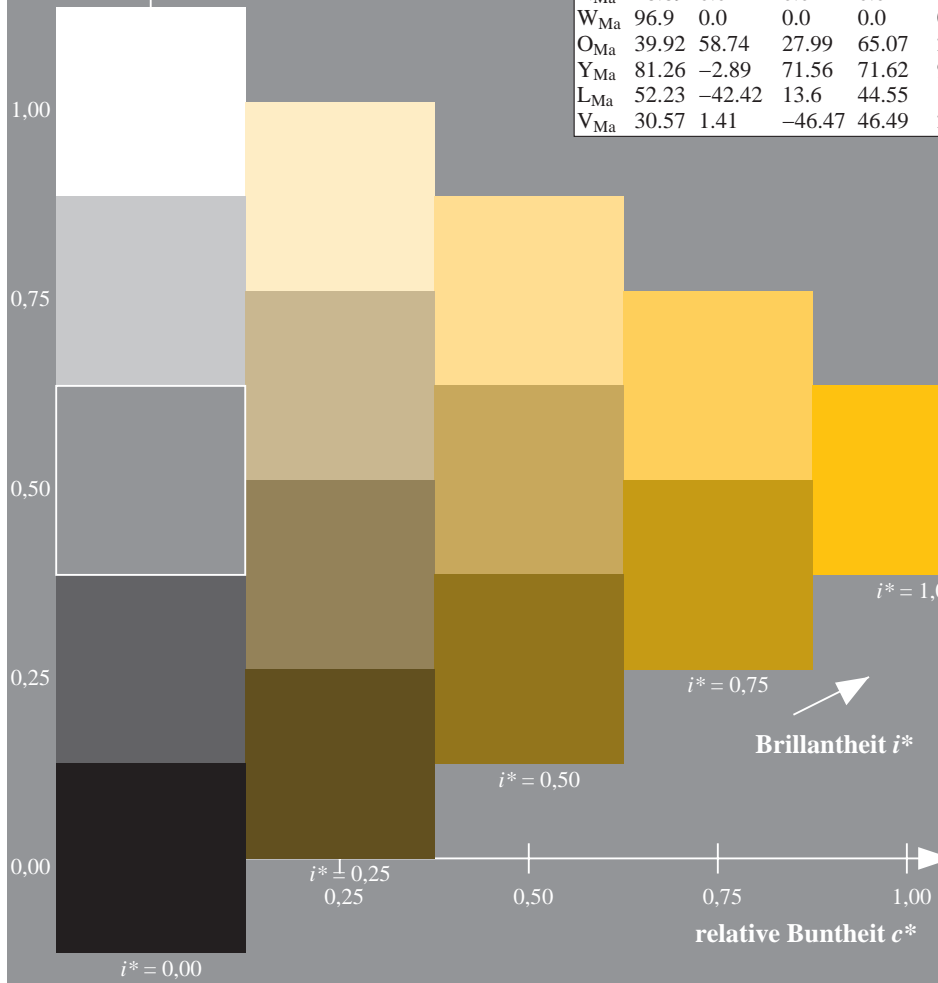
$u^*_{rel} = 89$

%Regularität

$g^*_{H,rel} = 72$

$g^*_{C,rel} = 57$

ORS19_96a; adaptierte CIELAB-Daten							
u^*_d	$L^*=L^*_a$	a^*_a	b^*_a	$C^*_{ab,a}$	$h^*_{ab,a}$	u^*_e	
<i>o00y</i>	48.75	65.07	39.43	76.08	31	<i>r08j</i>	
<i>o25y</i>	59.04	46.67	51.1	69.21	48	<i>r33j</i>	
<i>o50y</i>	68.32	30.09	61.62	68.58	64	<i>r57j</i>	
<i>o75y</i>	78.23	12.39	72.85	73.9	80	<i>r8lj</i>	
<i>y00l</i>	90.92	-10.29	87.24	87.85	97	<i>j06g</i>	
<i>y25l</i>	78.57	-28.11	65.75	71.51	113	<i>j29g</i>	
<i>y50l</i>	69.46	-41.25	49.92	64.75	130	<i>j53g</i>	
<i>y75l</i>	61.32	-52.99	35.76	63.92	146	<i>j76g</i>	
<i>l00c</i>	52.69	-65.44	20.75	68.65	162	<i>g00b</i>	
<i>l50c</i>	56.55	-45.12	-16.57	48.07	200	<i>g34b</i>	
<i>c00v</i>	59.61	-28.98	-46.22	54.56	238	<i>g69b</i>	
<i>c50v</i>	43.33	-1.54	-45.13	45.16	268	<i>g96b</i>	
<i>v00m</i>	28.39	23.63	-44.13	50.06	298	<i>b23r</i>	
<i>v50m</i>	36.9	43.84	-30.24	53.26	325	<i>b47r</i>	
<i>m00o</i>	49.58	73.93	-9.56	74.55	353	<i>b71r</i>	
<i>m50o</i>	49.17	69.55	14.68	71.08	12	<i>b88r</i>	



Ein und Ausgabe: Farbmatisches Drucker-Reflektiv-System ORS19_96a für relativen CIELAB-Bunton $h^* = lab^*h^* = h_{ab}/360 = 0.269$

$u^*_d = y00l$

Daten für jede Farbe:

lab^*tch^* und lab^*icu^*

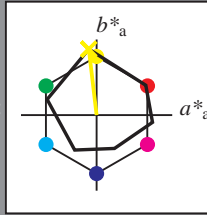
Buntontexte:

$u^*_d = y00l$ $u^*_e = j06g$

Kontrastreduzierungsfaktor:

$c_R = 1.0$

Dreiecks-Helligkeit t^*



ORS19_96a; adaptierte CIELAB-Daten						
u^*_d	$L^*=L^*_a$	a^*_a	b^*_a	$C^*_{ab,a}$	$h^*_{ab,a}$	
O _{Ma}	48.75	65.07	39.43	76.08	31	
Y _{Ma}	90.92	-10.29	87.24	87.85	97	
L _{Ma}	52.69	-65.44	20.75	68.65	162	
C _{Ma}	59.61	-28.98	-46.22	54.56	238	
V _{Ma}	28.39	23.63	-44.13	50.06	298	
M _{Ma}	49.58	73.93	-9.56	74.55	353	
N _{Ma}	18.89	0.0	0.0	0.0	0	
W _{Ma}	96.9	0.0	0.0	0.0	0	
O _{Ma}	39.92	58.74	27.99	65.07	25	
Y _{Ma}	81.26	-2.89	71.56	71.62	92	
L _{Ma}	52.23	-42.42	13.6	44.55	162	
V _{Ma}	30.57	1.41	-46.47	46.49	272	

Daten für Maximalfarbe (Ma):

$LAB^*LAB^*_{Ma}: 91 -10 87$

$LAB^*LCH^*_{Ma}: 91 88 96$

$lab^*olv^*_{Ma}: 1.0 1.0 0.0$

$lab^*rgb^*_{Ma}: 0.94 1.0 0.0$

Dreiecks-Helligkeit t^*

%Umfang

$u^*_{rel} = 89$

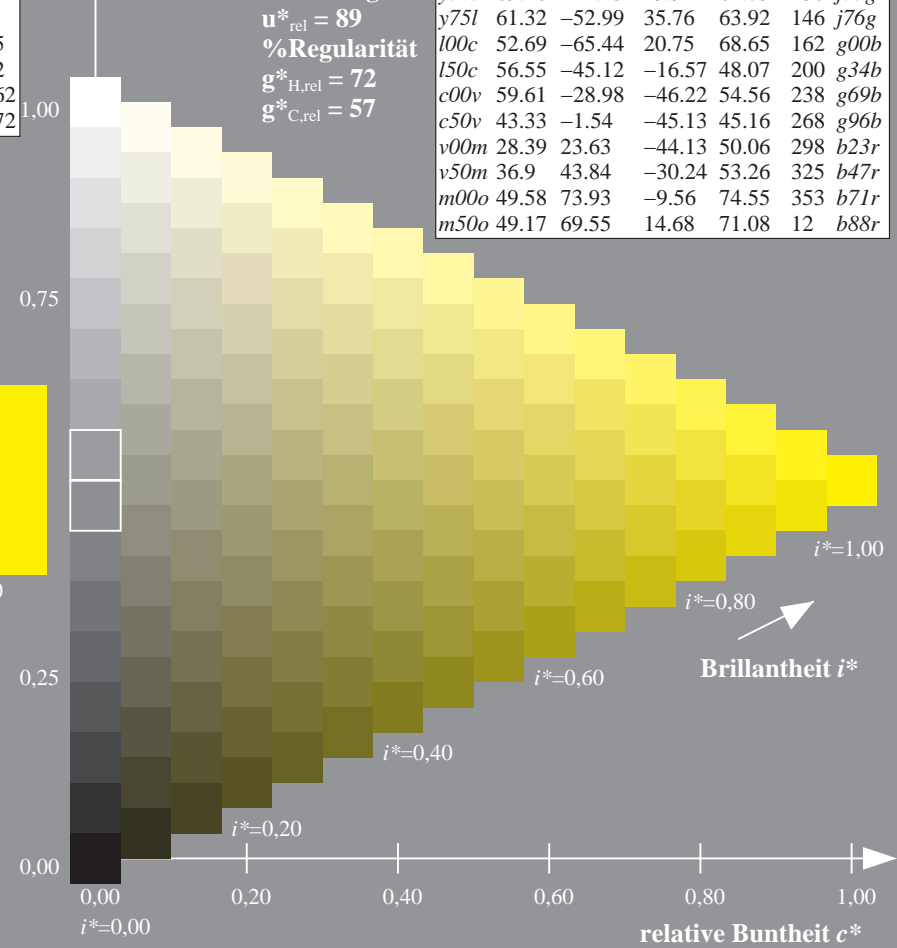
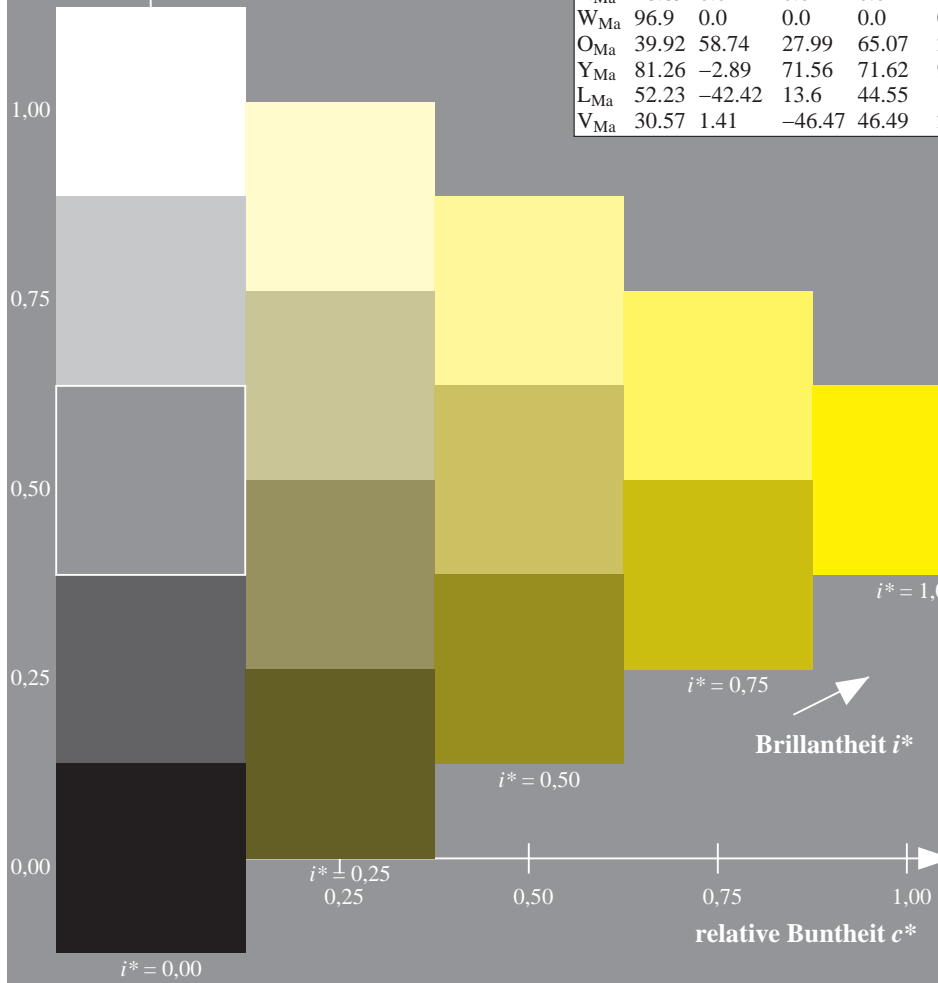
%Regularität

$g^*_{H,rel} = 72$

$g^*_{C,rel} = 57$

ORS19_96a; adaptierte CIELAB-Daten

u^*_d	$L^*=L^*_a$	a^*_a	b^*_a	$C^*_{ab,a}$	$h^*_{ab,a}$	u^*_e
<i>o00y</i>	48.75	65.07	39.43	76.08	31	<i>r08j</i>
<i>o25y</i>	59.04	46.67	51.1	69.21	48	<i>r33j</i>
<i>o50y</i>	68.32	30.09	61.62	68.58	64	<i>r57j</i>
<i>o75y</i>	78.23	12.39	72.85	73.9	80	<i>r81j</i>
<i>y00l</i>	90.92	-10.29	87.24	87.85	97	<i>j06g</i>
<i>y25l</i>	78.57	-28.11	65.75	71.51	113	<i>j29g</i>
<i>y50l</i>	69.46	-41.25	49.92	64.75	130	<i>j53g</i>
<i>y75l</i>	61.32	-52.99	35.76	63.92	146	<i>j76g</i>
<i>l00c</i>	52.69	-65.44	20.75	68.65	162	<i>g00b</i>
<i>l50c</i>	56.55	-45.12	-16.57	48.07	200	<i>g34b</i>
<i>c00v</i>	59.61	-28.98	-46.22	54.56	238	<i>g69b</i>
<i>c50v</i>	43.33	-1.54	-45.13	45.16	268	<i>g96b</i>
<i>v00m</i>	28.39	23.63	-44.13	50.06	298	<i>b23r</i>
<i>v50m</i>	36.9	43.84	-30.24	53.26	325	<i>b47r</i>
<i>m00o</i>	49.58	73.93	-9.56	74.55	353	<i>b71r</i>
<i>m50o</i>	49.17	69.55	14.68	71.08	12	<i>b88r</i>



Ein und Ausgabe: Farbmatisches Drucker-Reflektiv-System ORS19_96a für relativen CIELAB-Bunton $h^* = lab^*h^* = h_{ab}/360 = 0.314$

$u^*_d = y25l$

Daten für jede Farbe:

lab^*tch^* und lab^*icu^*

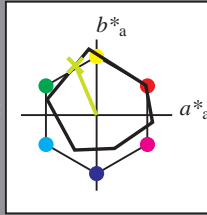
Buntontexte:

$u^*_d = y25l$ $u^*_e = j29g$

Kontrastreduzierungsfaktor:

$c_R = 1.0$

Dreiecks-Helligkeit t^*



ORS19_96a; adaptierte CIELAB-Daten						
u^*_d	$L^*=L^*_a$	a^*_a	b^*_a	$C^*_{ab,a}$	$h^*_{ab,a}$	
O _{Ma}	48.75	65.07	39.43	76.08	31	
Y _{Ma}	90.92	-10.29	87.24	87.85	97	
L _{Ma}	52.69	-65.44	20.75	68.65	162	
C _{Ma}	59.61	-28.98	-46.22	54.56	238	
V _{Ma}	28.39	23.63	-44.13	50.06	298	
M _{Ma}	49.58	73.93	-9.56	74.55	353	
N _{Ma}	18.89	0.0	0.0	0.0	0	
W _{Ma}	96.9	0.0	0.0	0.0	0	
O _{Ma}	39.92	58.74	27.99	65.07	25	
Y _{Ma}	81.26	-2.89	71.56	71.62	92	
L _{Ma}	52.23	-42.42	13.6	44.55	162	
V _{Ma}	30.57	1.41	-46.47	46.49	272	

Daten für Maximalfarbe (Ma):

$LAB^*LAB^*_{Ma}: 79 -28 66$

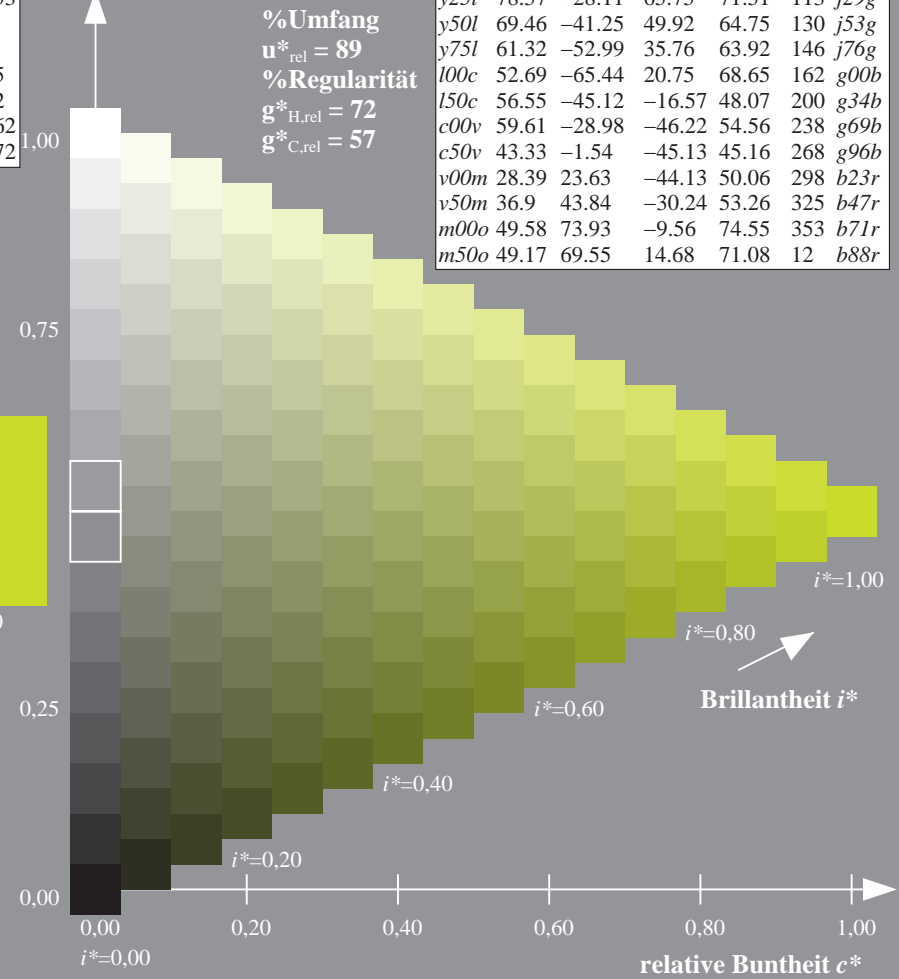
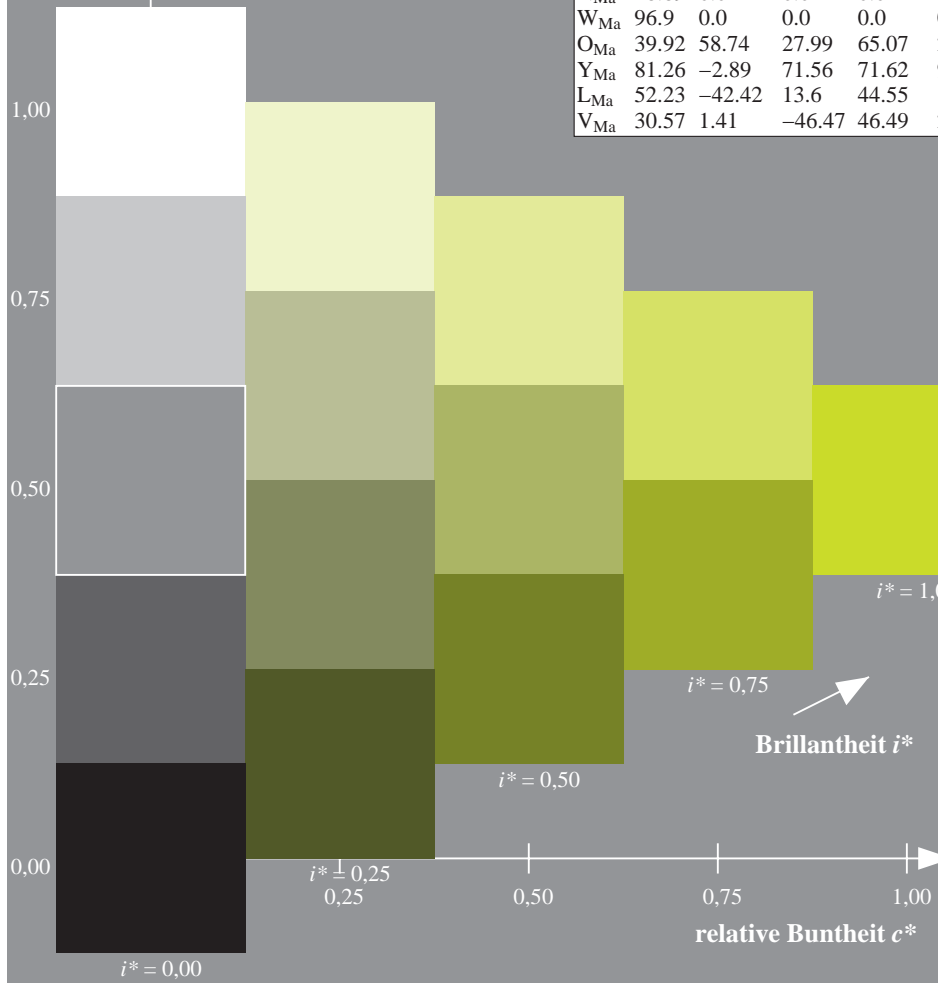
$LAB^*LCH^*_{Ma}: 79 72 113$

$lab^*olv^*_{Ma}: 0.75 1.0 0.0$

$lab^*rgb^*_{Ma}: 0.7 1.0 0.0$

Dreiecks-Helligkeit t^*

ORS19_96a; adaptierte CIELAB-Daten							
u^*_d	$L^*=L^*_a$	a^*_a	b^*_a	$C^*_{ab,a}$	$h^*_{ab,a}$	u^*_e	
<i>o00y</i>	48.75	65.07	39.43	76.08	31	<i>r08j</i>	
<i>o25y</i>	59.04	46.67	51.1	69.21	48	<i>r33j</i>	
<i>o50y</i>	68.32	30.09	61.62	68.58	64	<i>r57j</i>	
<i>o75y</i>	78.23	12.39	72.85	73.9	80	<i>r81j</i>	
<i>y00l</i>	90.92	-10.29	87.24	87.85	97	<i>j06g</i>	
<i>y25l</i>	78.57	-28.11	65.75	71.51	113	<i>j29g</i>	
<i>y50l</i>	69.46	-41.25	49.92	64.75	130	<i>j53g</i>	
<i>y75l</i>	61.32	-52.99	35.76	63.92	146	<i>j76g</i>	
<i>l00c</i>	52.69	-65.44	20.75	68.65	162	<i>g00b</i>	
<i>l50c</i>	56.55	-45.12	-16.57	48.07	200	<i>g34b</i>	
<i>c00v</i>	59.61	-28.98	-46.22	54.56	238	<i>g69b</i>	
<i>c50v</i>	43.33	-1.54	-45.13	45.16	268	<i>g96b</i>	
<i>v00m</i>	28.39	23.63	-44.13	50.06	298	<i>b23r</i>	
<i>v50m</i>	36.9	43.84	-30.24	53.26	325	<i>b47r</i>	
<i>m00o</i>	49.58	73.93	-9.56	74.55	353	<i>b71r</i>	
<i>m50o</i>	49.17	69.55	14.68	71.08	12	<i>b88r</i>	



Ein und Ausgabe: Farbmetrisches Drucker-Reflektiv-System ORS19_96a für relativen CIELAB-Bunton $h^* = lab^*h^* = h_{ab}/360 = 0.36$

$u^*_d = y50l$

Daten für jede Farbe:

lab^*tch^* und lab^*icu^*

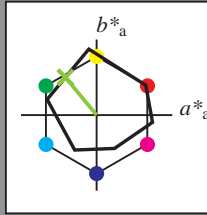
Buntontexte:

$u^*_d = y50l$ $u^*_e = j53g$

Kontrastreduzierungsfaktor:

$c_R = 1.0$

Dreiecks-Helligkeit t^*



ORS19_96a; adaptierte CIELAB-Daten						
u^*_d	$L^*=L^*_a$	a^*_a	b^*_a	$C^*_{ab,a}$	$h^*_{ab,a}$	
O _{Ma}	48.75	65.07	39.43	76.08	31	
Y _{Ma}	90.92	-10.29	87.24	87.85	97	
L _{Ma}	52.69	-65.44	20.75	68.65	162	
C _{Ma}	59.61	-28.98	-46.22	54.56	238	
V _{Ma}	28.39	23.63	-44.13	50.06	298	
M _{Ma}	49.58	73.93	-9.56	74.55	353	
N _{Ma}	18.89	0.0	0.0	0.0	0	
W _{Ma}	96.9	0.0	0.0	0.0	0	
O _{Ma}	39.92	58.74	27.99	65.07	25	
Y _{Ma}	81.26	-2.89	71.56	71.62	92	
L _{Ma}	52.23	-42.42	13.6	44.55	162	
V _{Ma}	30.57	1.41	-46.47	46.49	272	

Daten für Maximalfarbe (Ma):

$LAB^*LAB^*_{Ma}: 69 -41 50$

$LAB^*LCH^*_{Ma}: 69 65 129$

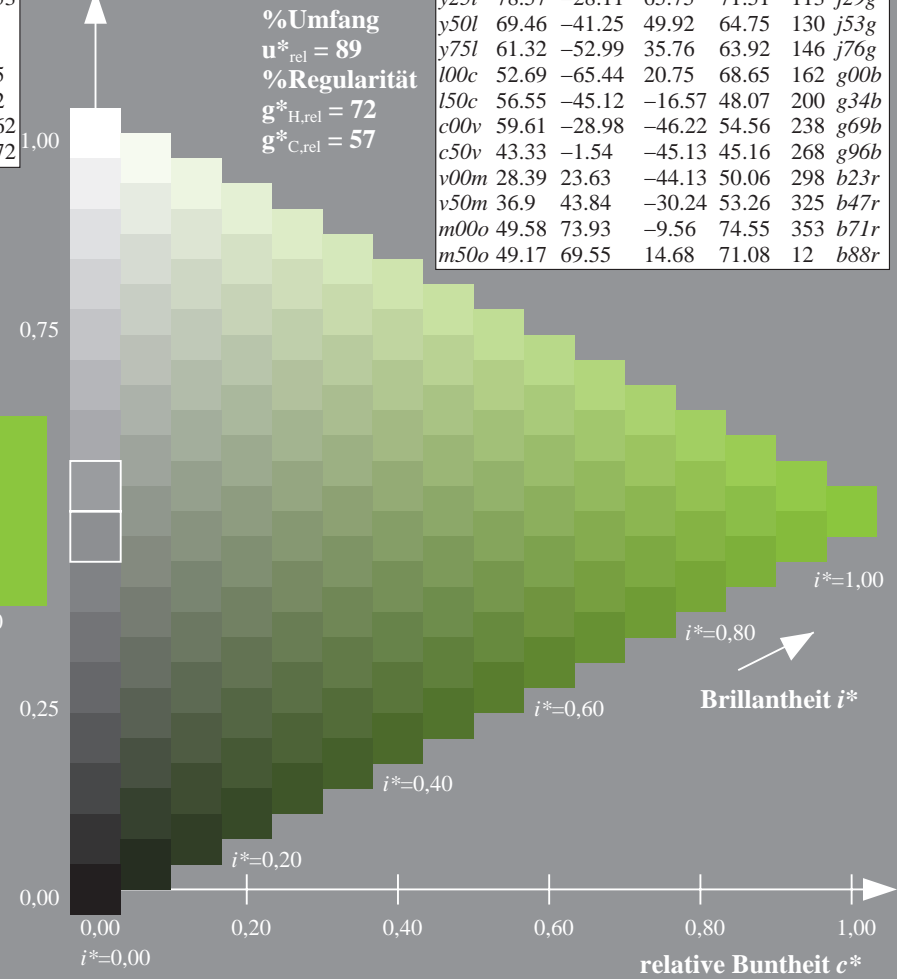
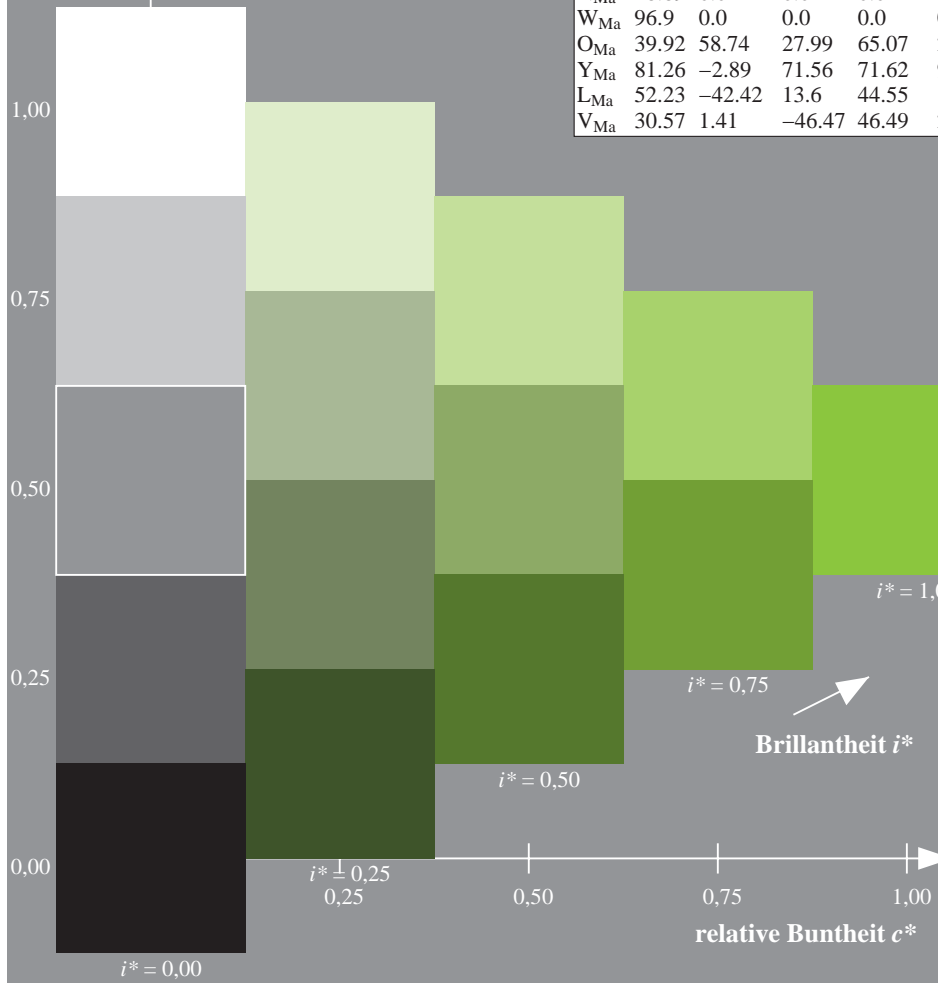
$lab^*olv^*_{Ma}: 0.5 1.0 0.0$

$lab^*rgb^*_{Ma}: 0.47 1.0 0.0$

Dreiecks-Helligkeit t^*

ORS19_96a; adaptierte CIELAB-Daten

u^*_d	$L^*=L^*_a$	a^*_a	b^*_a	$C^*_{ab,a}$	$h^*_{ab,a}$	u^*_e
<i>o00y</i>	48.75	65.07	39.43	76.08	31	<i>r08j</i>
<i>o25y</i>	59.04	46.67	51.1	69.21	48	<i>r33j</i>
<i>o50y</i>	68.32	30.09	61.62	68.58	64	<i>r57j</i>
<i>o75y</i>	78.23	12.39	72.85	73.9	80	<i>r81j</i>
<i>y00l</i>	90.92	-10.29	87.24	87.85	97	<i>j06g</i>
<i>y25l</i>	78.57	-28.11	65.75	71.51	113	<i>j29g</i>
<i>y50l</i>	69.46	-41.25	49.92	64.75	130	<i>j53g</i>
<i>y75l</i>	61.32	-52.99	35.76	63.92	146	<i>j76g</i>
<i>l00c</i>	52.69	-65.44	20.75	68.65	162	<i>g00b</i>
<i>l50c</i>	56.55	-45.12	-16.57	48.07	200	<i>g34b</i>
<i>c00v</i>	59.61	-28.98	-46.22	54.56	238	<i>g69b</i>
<i>c50v</i>	43.33	-1.54	-45.13	45.16	268	<i>g96b</i>
<i>v00m</i>	28.39	23.63	-44.13	50.06	298	<i>b23r</i>
<i>v50m</i>	36.9	43.84	-30.24	53.26	325	<i>b47r</i>
<i>m00o</i>	49.58	73.93	-9.56	74.55	353	<i>b71r</i>
<i>m50o</i>	49.17	69.55	14.68	71.08	12	<i>b88r</i>



Ein und Ausgabe: Farbmetrisches Drucker-Reflektiv-System ORS19_96a für relativen CIELAB-Bunton $h^* = lab^*h^* = h_{ab}/360 = 0.406$

$u^*_d = y75l$

Daten für jede Farbe:

lab^*tch^* und lab^*icu^*

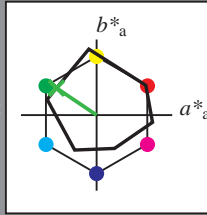
Buntontexte:

$u^*_d = y75l$ $u^*_e = j76g$

Kontrastreduzierungsfaktor:

$c_R = 1.0$

Dreiecks-Helligkeit t^*



ORS19_96a; adaptierte CIELAB-Daten

u^*_d	$L^*=L^*_a$	a^*_a	b^*_a	$C^*_{ab,a}$	$h^*_{ab,a}$
O _{Ma}	48.75	65.07	39.43	76.08	31
Y _{Ma}	90.92	-10.29	87.24	87.85	97
L _{Ma}	52.69	-65.44	20.75	68.65	162
C _{Ma}	59.61	-28.98	-46.22	54.56	238
V _{Ma}	28.39	23.63	-44.13	50.06	298
M _{Ma}	49.58	73.93	-9.56	74.55	353
N _{Ma}	18.89	0.0	0.0	0.0	0
W _{Ma}	96.9	0.0	0.0	0.0	0
O _{Ma}	39.92	58.74	27.99	65.07	25
Y _{Ma}	81.26	-2.89	71.56	71.62	92
L _{Ma}	52.23	-42.42	13.6	44.55	162
V _{Ma}	30.57	1.41	-46.47	46.49	272

Daten für Maximalfarbe (Ma):

$LAB^*LAB^*_{Ma}$: 61 -53 36

$LAB^*LCH^*_{Ma}$: 61 64 145

$lab^*olv^*_{Ma}$: 0.25 1.0 0.0

$lab^*rgb^*_{Ma}$: 0.23 1.0 0.0

Dreiecks-Helligkeit t^*

%Umfang

$u^*_{rel} = 89$

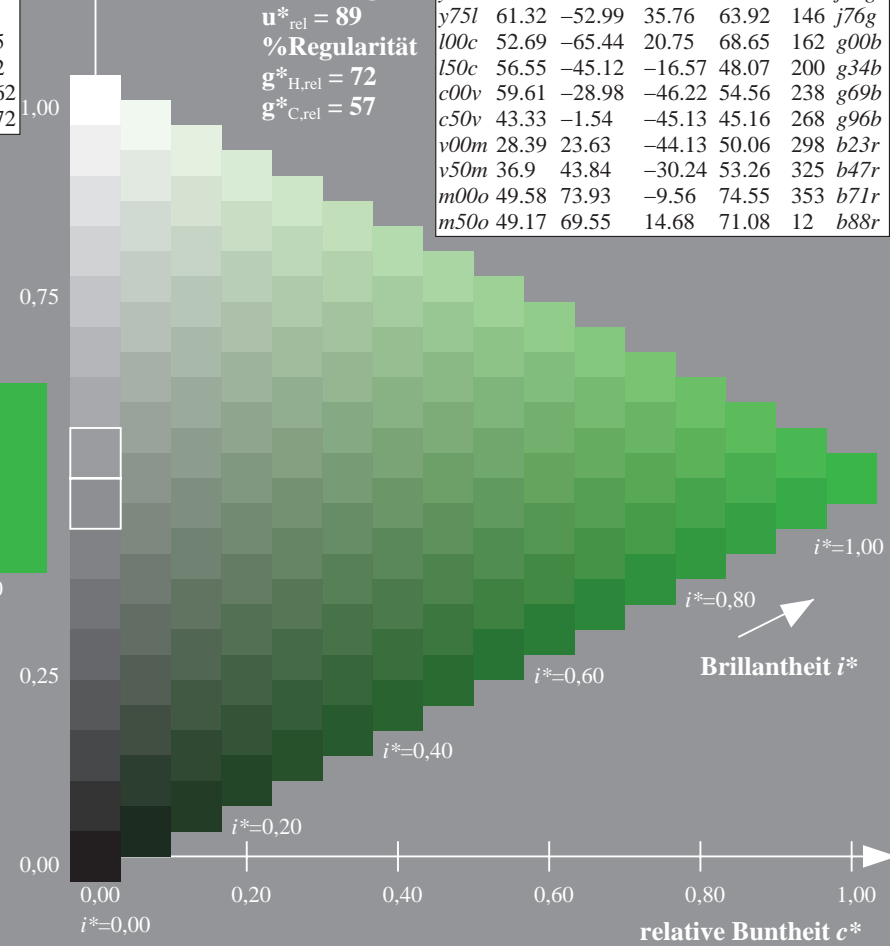
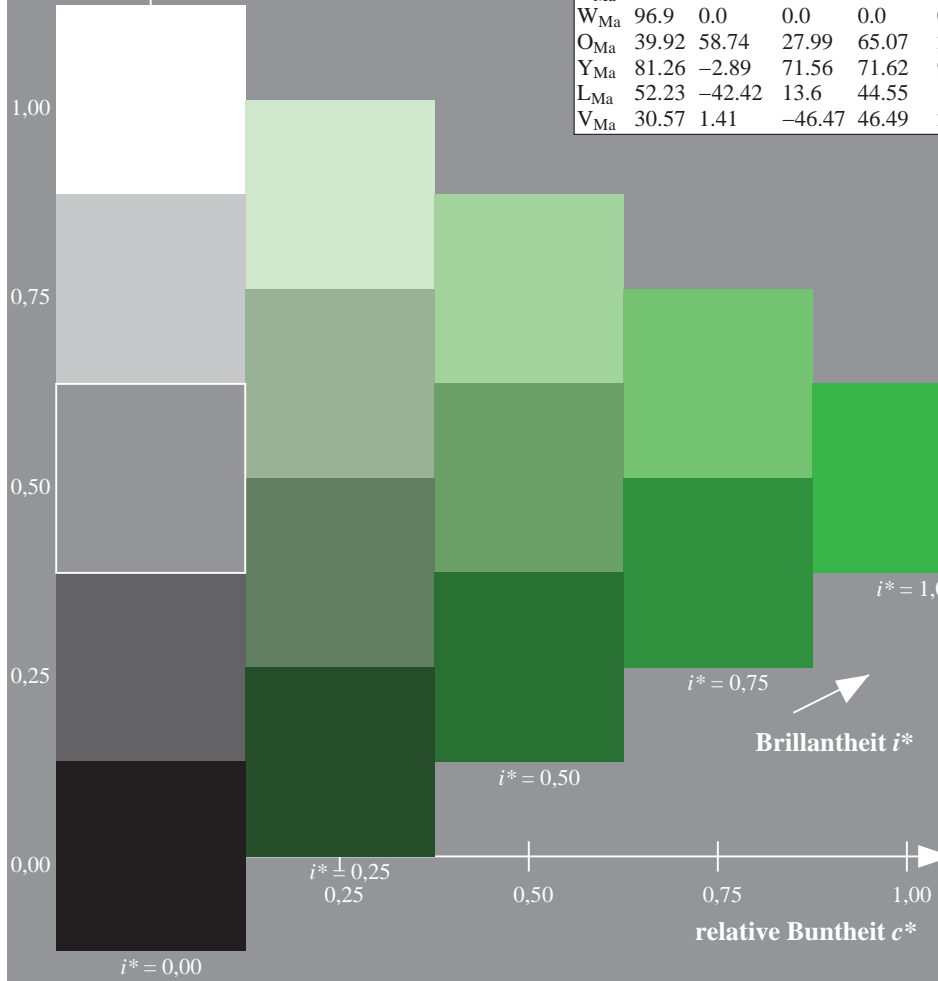
%Regularität

$g^*_{H,rel} = 72$

$g^*_{C,rel} = 57$

ORS19_96a; adaptierte CIELAB-Daten

u^*_d	$L^*=L^*_a$	a^*_a	b^*_a	$C^*_{ab,a}$	$h^*_{ab,a}$	u^*_e
o00y	48.75	65.07	39.43	76.08	31	r08j
o25y	59.04	46.67	51.1	69.21	48	r33j
o50y	68.32	30.09	61.62	68.58	64	r57j
o75y	78.23	12.39	72.85	73.9	80	r81j
y00l	90.92	-10.29	87.24	87.85	97	j06g
y25l	78.57	-28.11	65.75	71.51	113	j29g
y50l	69.46	-41.25	49.92	64.75	130	j53g
y75l	61.32	-52.99	35.76	63.92	146	j76g
l00c	52.69	-65.44	20.75	68.65	162	g00b
l50c	56.55	-45.12	-16.57	48.07	200	g34b
c00v	59.61	-28.98	-46.22	54.56	238	g69b
c50v	43.33	-1.54	-45.13	45.16	268	g96b
v00m	28.39	23.63	-44.13	50.06	298	b23r
v50m	36.9	43.84	-30.24	53.26	325	b47r
m00o	49.58	73.93	-9.56	74.55	353	b71r
m50o	49.17	69.55	14.68	71.08	12	b88r



Ein und Ausgabe: Farbmetrisches Drucker-Reflektiv-System ORS19_96a für relativen CIELAB-Bunton $h^* = lab^*h^* = h_{ab}/360 = 0.451$

$u^*_d = 100c$

Daten für jede Farbe:

lab^*ch^* und lab^*icu^*

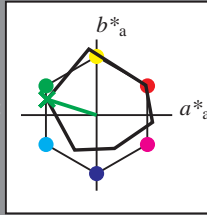
Buntontexte:

$u^*_d = 100c$ $u^*_e = g00b$

Kontrastreduzierungsfaktor:

$c_R = 1.0$

Dreiecks-Helligkeit t^*



ORS19_96a; adaptierte CIELAB-Daten						
u^*_d	$L^*=L^*_a$	a^*_a	b^*_a	$C^*_{ab,a}$	$h^*_{ab,a}$	
O _{Ma}	48.75	65.07	39.43	76.08	31	
Y _{Ma}	90.92	-10.29	87.24	87.85	97	
L _{Ma}	52.69	-65.44	20.75	68.65	162	
C _{Ma}	59.61	-28.98	-46.22	54.56	238	
V _{Ma}	28.39	23.63	-44.13	50.06	298	
M _{Ma}	49.58	73.93	-9.56	74.55	353	
N _{Ma}	18.89	0.0	0.0	0.0	0	
W _{Ma}	96.9	0.0	0.0	0.0	0	
O _{Ma}	39.92	58.74	27.99	65.07	25	
Y _{Ma}	81.26	-2.89	71.56	71.62	92	
L _{Ma}	52.23	-42.42	13.6	44.55	162	
V _{Ma}	30.57	1.41	-46.47	46.49	272	

Daten für Maximalfarbe (Ma):

$LAB^*LAB^*_{Ma}: 53 -65 21$

$LAB^*LCH^*_{Ma}: 53 69 162$

$lab^*olv^*_{Ma}: 0.0 1.0 0.0$

$lab^*rgb^*_{Ma}: 0.0 1.0 0.0$

Dreiecks-Helligkeit t^*

%Umfang

$u^*_{rel} = 89$

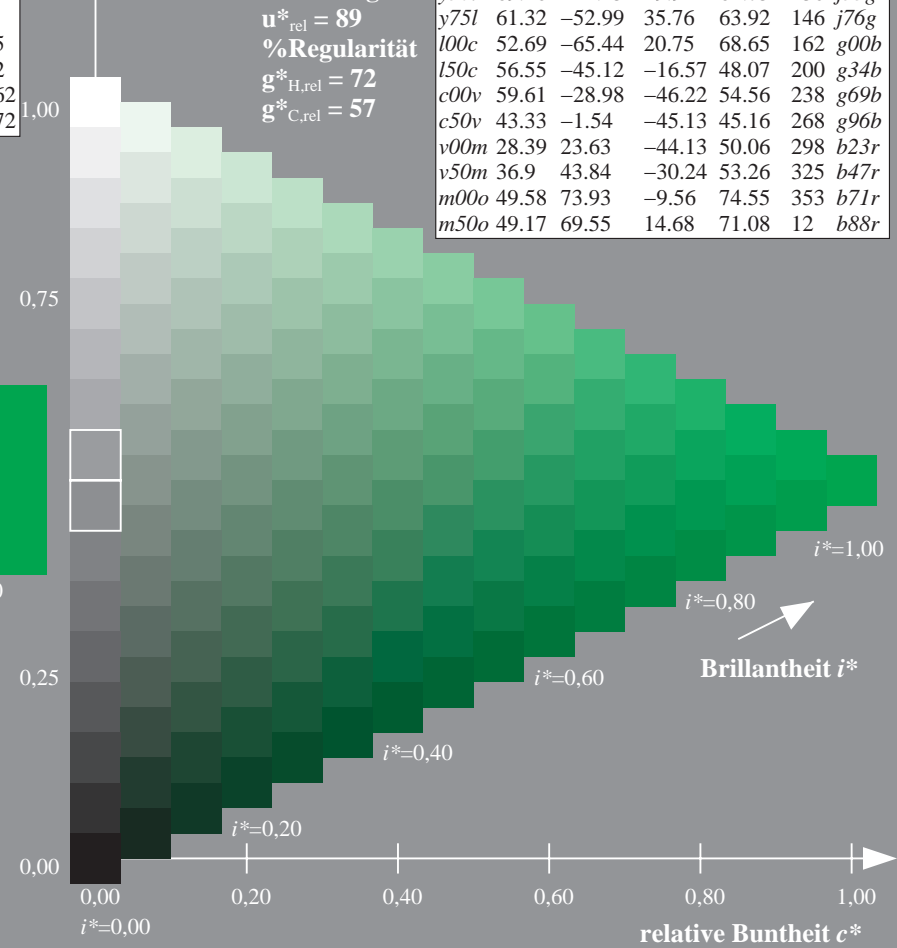
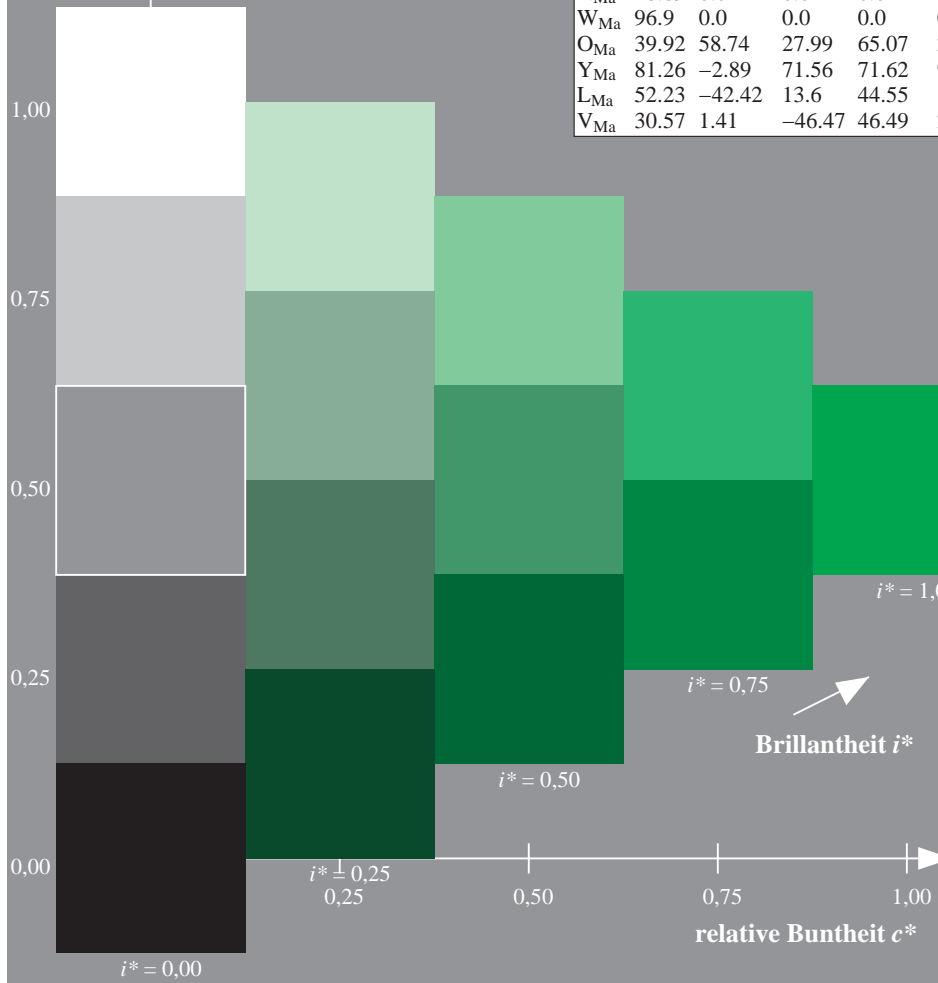
%Regularität

$g^*_{H,rel} = 72$

$g^*_{C,rel} = 57$

ORS19_96a; adaptierte CIELAB-Daten

u^*_d	$L^*=L^*_a$	a^*_a	b^*_a	$C^*_{ab,a}$	$h^*_{ab,a}$	u^*_e
o00y	48.75	65.07	39.43	76.08	31	r08j
o25y	59.04	46.67	51.1	69.21	48	r33j
o50y	68.32	30.09	61.62	68.58	64	r57j
o75y	78.23	12.39	72.85	73.9	80	r81j
y00l	90.92	-10.29	87.24	87.85	97	j06g
y25l	78.57	-28.11	65.75	71.51	113	j29g
y50l	69.46	-41.25	49.92	64.75	130	j53g
y75l	61.32	-52.99	35.76	63.92	146	j76g
l00c	52.69	-65.44	20.75	68.65	162	g00b
l50c	56.55	-45.12	-16.57	48.07	200	g34b
c00v	59.61	-28.98	-46.22	54.56	238	g69b
c50v	43.33	-1.54	-45.13	45.16	268	g96b
v00m	28.39	23.63	-44.13	50.06	298	b23r
v50m	36.9	43.84	-30.24	53.26	325	b47r
m00o	49.58	73.93	-9.56	74.55	353	b71r
m50o	49.17	69.55	14.68	71.08	12	b88r



Ein und Ausgabe: Farbmatisches Drucker-Reflektiv-System ORS19_96a für relativen CIELAB-Bunton $h^* = lab^*h^* = h_{ab}/360 = 0.556$

$u^*_d = 150c$

Daten für jede Farbe:

lab^*tch^* und lab^*icu^*

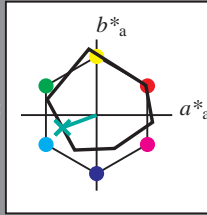
Buntontexte:

$u^*_d = 150c$ $u^*_e = g34b$

Kontrastreduzierungsfaktor:

$c_R = 1.0$

Dreiecks-Helligkeit t^*



ORS19_96a; adaptierte CIELAB-Daten						
u^*_d	$L^*=L^*_a$	a^*_a	b^*_a	$C^*_{ab,a}$	$h^*_{ab,a}$	
O _{Ma}	48.75	65.07	39.43	76.08	31	
Y _{Ma}	90.92	-10.29	87.24	87.85	97	
L _{Ma}	52.69	-65.44	20.75	68.65	162	
C _{Ma}	59.61	-28.98	-46.22	54.56	238	
V _{Ma}	28.39	23.63	-44.13	50.06	298	
M _{Ma}	49.58	73.93	-9.56	74.55	353	
N _{Ma}	18.89	0.0	0.0	0.0	0	
W _{Ma}	96.9	0.0	0.0	0.0	0	
O _{Ma}	39.92	58.74	27.99	65.07	25	
Y _{Ma}	81.26	-2.89	71.56	71.62	92	
L _{Ma}	52.23	-42.42	13.6	44.55	162	
V _{Ma}	30.57	1.41	-46.47	46.49	272	

Daten für Maximalfarbe (Ma):

$LAB^*LAB^*_{Ma}: 57 -45 -17$

$LAB^*LCH^*_{Ma}: 57 48 200$

$lab^*olv^*_{Ma}: 0.0 1.0 0.5$

$lab^*rgb^*_{Ma}: 0.0 1.0 0.69$

Dreiecks-Helligkeit t^*

%Umfang

$u^*_{rel} = 89$

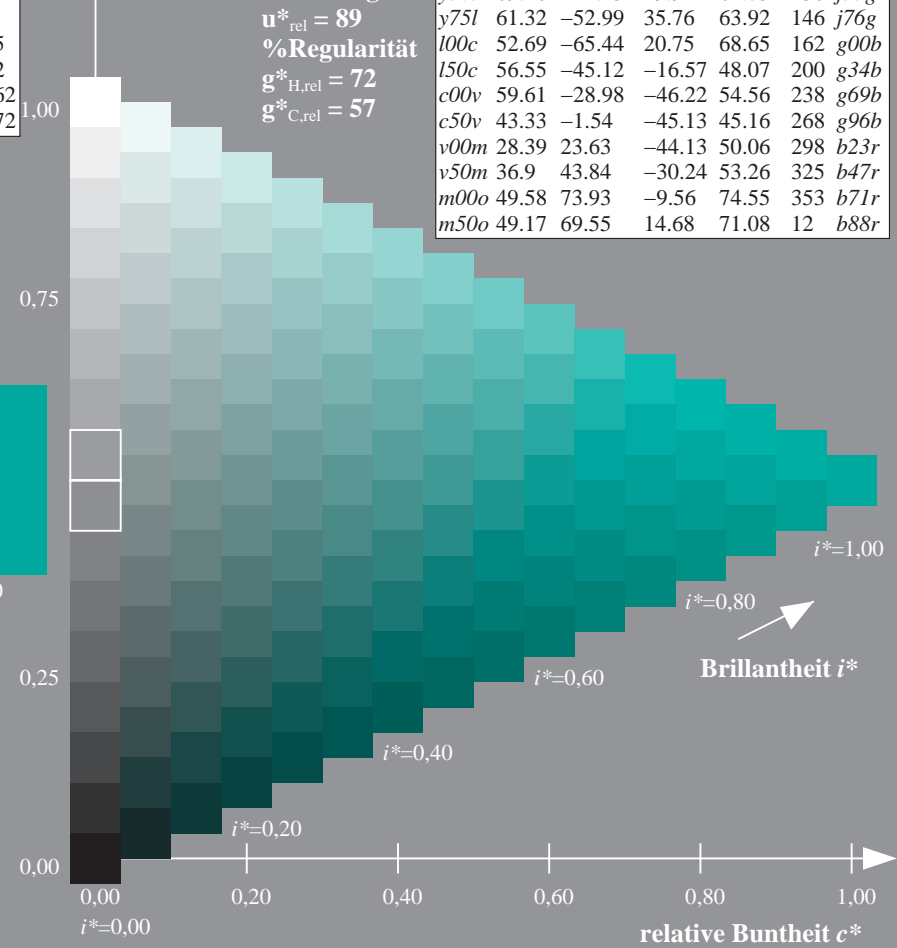
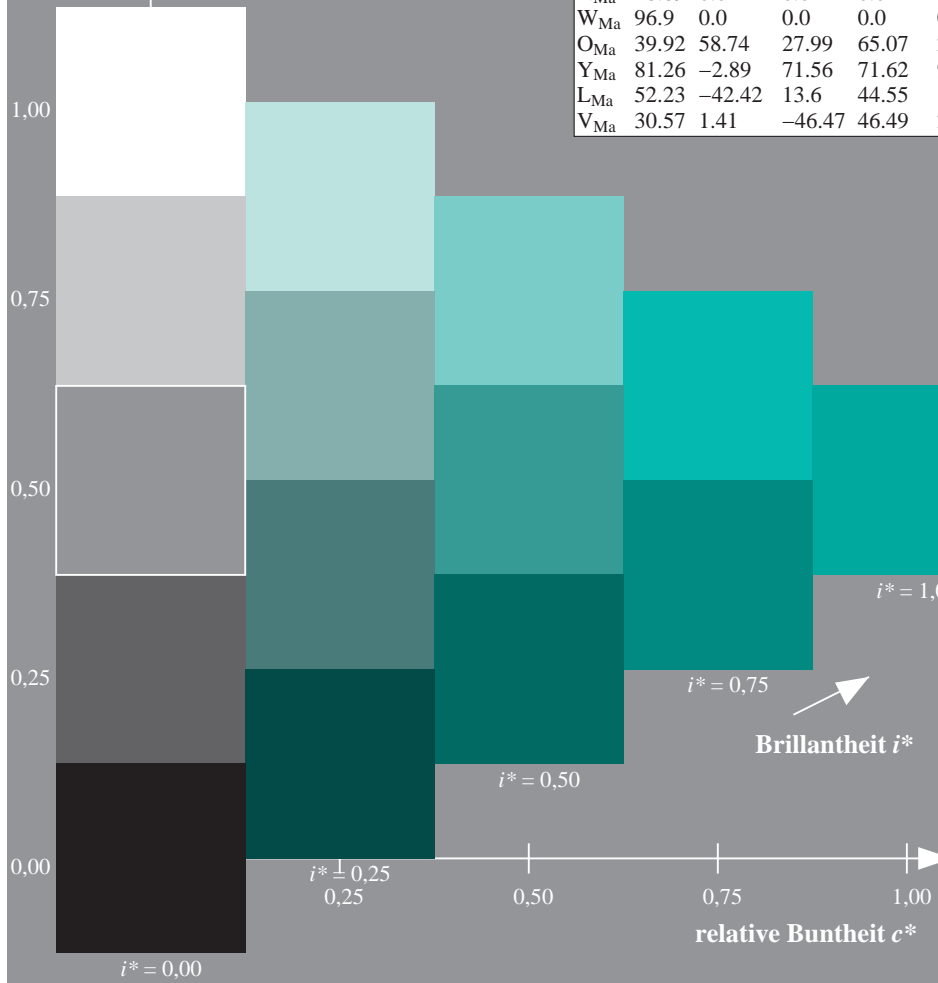
%Regularität

$g^*_{H,rel} = 72$

$g^*_{C,rel} = 57$

ORS19_96a; adaptierte CIELAB-Daten

u^*_d	$L^*=L^*_a$	a^*_a	b^*_a	$C^*_{ab,a}$	$h^*_{ab,a}$	u^*_e
<i>o00y</i>	48.75	65.07	39.43	76.08	31	<i>r08j</i>
<i>o25y</i>	59.04	46.67	51.1	69.21	48	<i>r33j</i>
<i>o50y</i>	68.32	30.09	61.62	68.58	64	<i>r57j</i>
<i>o75y</i>	78.23	12.39	72.85	73.9	80	<i>r81j</i>
<i>y00l</i>	90.92	-10.29	87.24	87.85	97	<i>j06g</i>
<i>y25l</i>	78.57	-28.11	65.75	71.51	113	<i>j29g</i>
<i>y50l</i>	69.46	-41.25	49.92	64.75	130	<i>j53g</i>
<i>y75l</i>	61.32	-52.99	35.76	63.92	146	<i>j76g</i>
<i>l00c</i>	52.69	-65.44	20.75	68.65	162	<i>g00b</i>
<i>l50c</i>	56.55	-45.12	-16.57	48.07	200	<i>g34b</i>
<i>c00v</i>	59.61	-28.98	-46.22	54.56	238	<i>g69b</i>
<i>c50v</i>	43.33	-1.54	-45.13	45.16	268	<i>g96b</i>
<i>v00m</i>	28.39	23.63	-44.13	50.06	298	<i>b23r</i>
<i>v50m</i>	36.9	43.84	-30.24	53.26	325	<i>b47r</i>
<i>m00o</i>	49.58	73.93	-9.56	74.55	353	<i>b71r</i>
<i>m50o</i>	49.17	69.55	14.68	71.08	12	<i>b88r</i>



Ein und Ausgabe: Farbmatisches Drucker-Reflektiv-System ORS19_96a für relativen CIELAB-Bunton $h^* = lab^*h^* = h_{ab}/360 = 0.661$

$u^*_d = c00v$

Daten für jede Farbe:

lab^*tch^* und lab^*icu^*

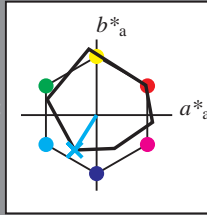
Buntontexte:

$u^*_d = c00v$ $u^*_e = g69b$

Kontrastreduzierungsfaktor:

$c_R = 1.0$

Dreiecks-Helligkeit t^*



ORS19_96a; adaptierte CIELAB-Daten						
u^*_d	$L^*=L^*_a$	a^*_a	b^*_a	$C^*_{ab,a}$	$h^*_{ab,a}$	
O_{Ma}	48.75	65.07	39.43	76.08	31	
Y_{Ma}	90.92	-10.29	87.24	87.85	97	
L_{Ma}	52.69	-65.44	20.75	68.65	162	
C_{Ma}	59.61	-28.98	-46.22	54.56	238	
V_{Ma}	28.39	23.63	-44.13	50.06	298	
M_{Ma}	49.58	73.93	-9.56	74.55	353	
N_{Ma}	18.89	0.0	0.0	0.0	0	
W_{Ma}	96.9	0.0	0.0	0.0	0	
O_{Ma}	39.92	58.74	27.99	65.07	25	
Y_{Ma}	81.26	-2.89	71.56	71.62	92	
L_{Ma}	52.23	-42.42	13.6	44.55	162	
V_{Ma}	30.57	1.41	-46.47	46.49	272	

Daten für Maximalfarbe (Ma):

$LAB^*LAB^*_{Ma}: 60 -29 -46$

$LAB^*LCH^*_{Ma}: 60 55 237$

$lab^*olv^*_{Ma}: 0.0 1.0 1.0$

$lab^*rgb^*_{Ma}: 0.0 0.62 1.0$

Dreiecks-Helligkeit t^*

%Umfang

$u^*_{rel} = 89$

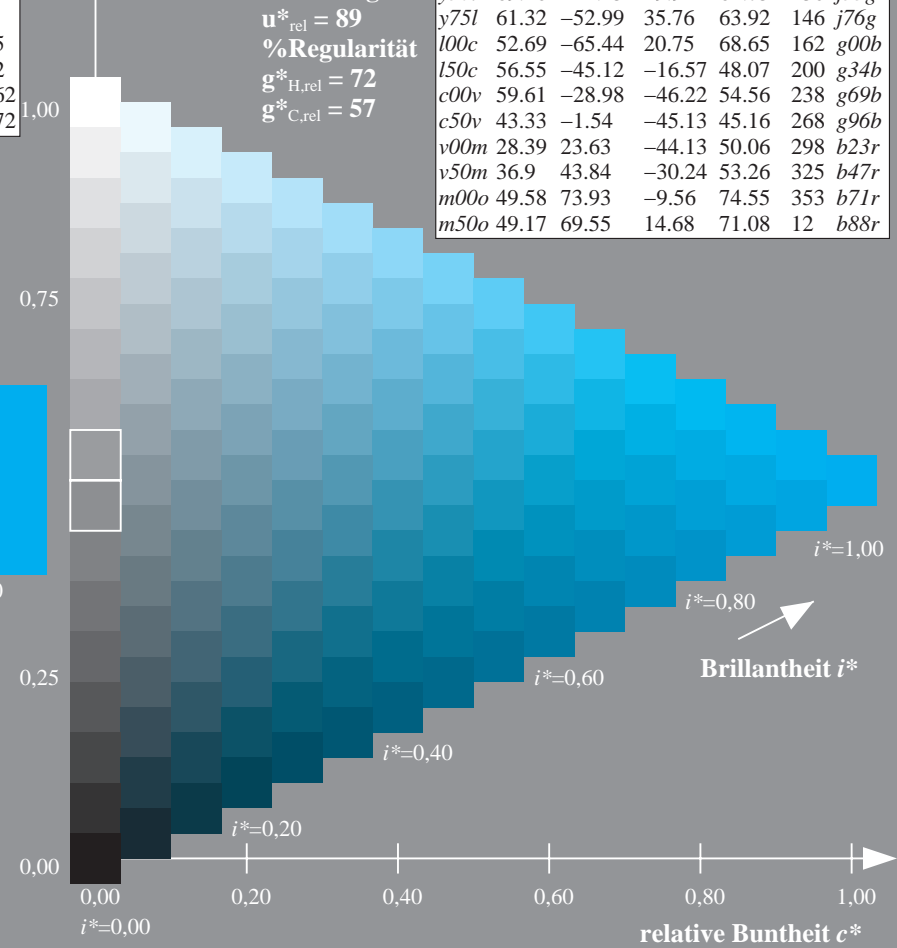
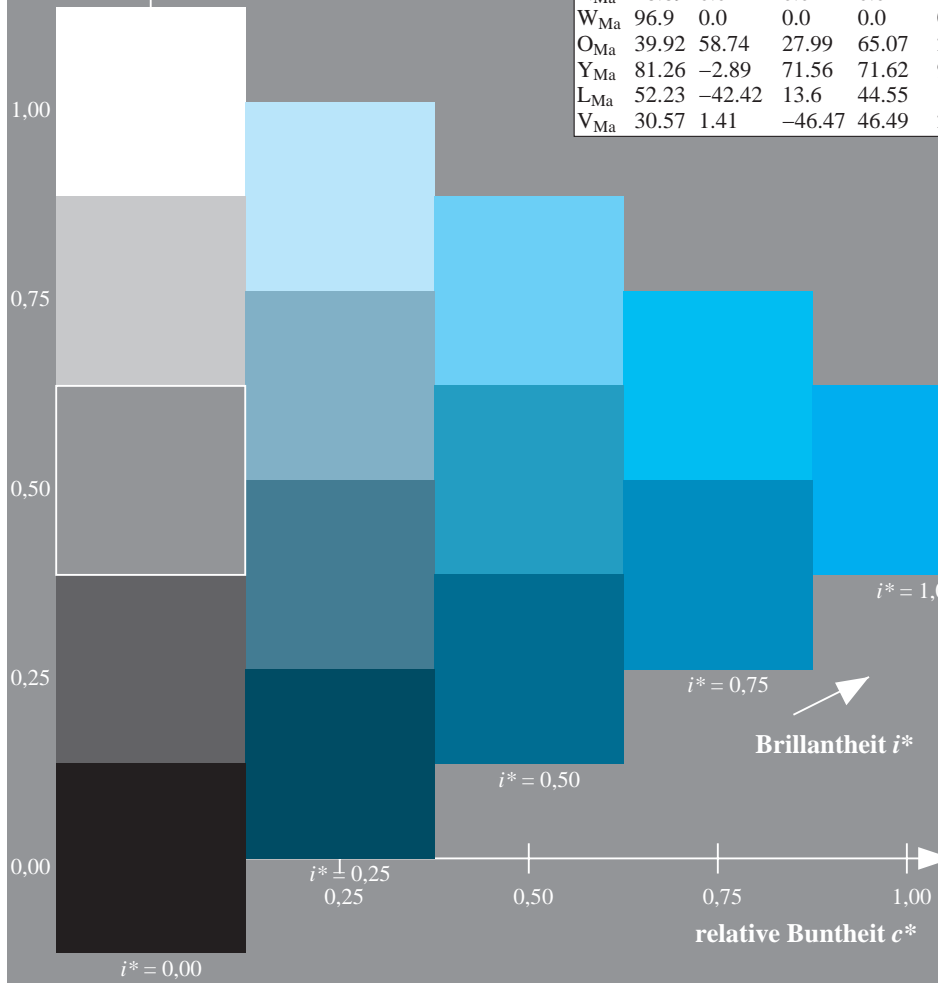
%Regularität

$g^*_{H,rel} = 72$

$g^*_{C,rel} = 57$

ORS19_96a; adaptierte CIELAB-Daten

u^*_d	$L^*=L^*_a$	a^*_a	b^*_a	$C^*_{ab,a}$	$h^*_{ab,a}$	u^*_e
$o00y$	48.75	65.07	39.43	76.08	31	$r08j$
$o25y$	59.04	46.67	51.1	69.21	48	$r33j$
$o50y$	68.32	30.09	61.62	68.58	64	$r57j$
$o75y$	78.23	12.39	72.85	73.9	80	$r81j$
$y00l$	90.92	-10.29	87.24	87.85	97	$j06g$
$y25l$	78.57	-28.11	65.75	71.51	113	$j29g$
$y50l$	69.46	-41.25	49.92	64.75	130	$j53g$
$y75l$	61.32	-52.99	35.76	63.92	146	$j76g$
$l00c$	52.69	-65.44	20.75	68.65	162	$g00b$
$l50c$	56.55	-45.12	-16.57	48.07	200	$g34b$
$c00v$	59.61	-28.98	-46.22	54.56	238	$g69b$
$c50v$	43.33	-1.54	-45.13	45.16	268	$g96b$
$v00m$	28.39	23.63	-44.13	50.06	298	$b23r$
$v50m$	36.9	43.84	-30.24	53.26	325	$b47r$
$m00o$	49.58	73.93	-9.56	74.55	353	$b71r$
$m50o$	49.17	69.55	14.68	71.08	12	$b88r$



Ein und Ausgabe: Farbmatisches Drucker-Reflektiv-System ORS19_96a für relativen CIELAB-Bunton $h^* = lab^*h^* = h_{ab}/360 = 0.745$

$u^*_d = c50v$

Daten für jede Farbe:

lab^*tch^* und lab^*icu^*

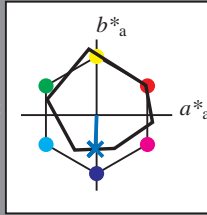
Buntontexte:

$u^*_d = c50v$ $u^*_e = g96b$

Kontrastreduzierungsfaktor:

$c_R = 1.0$

Dreiecks-Helligkeit t^*



ORS19_96a; adaptierte CIELAB-Daten						
u^*_d	$L^*=L^*_a$	a^*_a	b^*_a	$C^*_{ab,a}$	$h^*_{ab,a}$	
O _{Ma}	48.75	65.07	39.43	76.08	31	
Y _{Ma}	90.92	-10.29	87.24	87.85	97	
L _{Ma}	52.69	-65.44	20.75	68.65	162	
C _{Ma}	59.61	-28.98	-46.22	54.56	238	
V _{Ma}	28.39	23.63	-44.13	50.06	298	
M _{Ma}	49.58	73.93	-9.56	74.55	353	
N _{Ma}	18.89	0.0	0.0	0.0	0	
W _{Ma}	96.9	0.0	0.0	0.0	0	
O _{Ma}	39.92	58.74	27.99	65.07	25	
Y _{Ma}	81.26	-2.89	71.56	71.62	92	
L _{Ma}	52.23	-42.42	13.6	44.55	162	
V _{Ma}	30.57	1.41	-46.47	46.49	272	

Daten für Maximalfarbe (Ma):

$LAB^*LAB^*_{Ma}$: 43 -2 -45

$LAB^*LCH^*_{Ma}$: 43 45 268

$lab^*olv^*_{Ma}$: 0.0 0.5 1.0

$lab^*rgb^*_{Ma}$: 0.0 0.07 1.0

Dreiecks-Helligkeit t^*

%Umfang

$u^*_{rel} = 89$

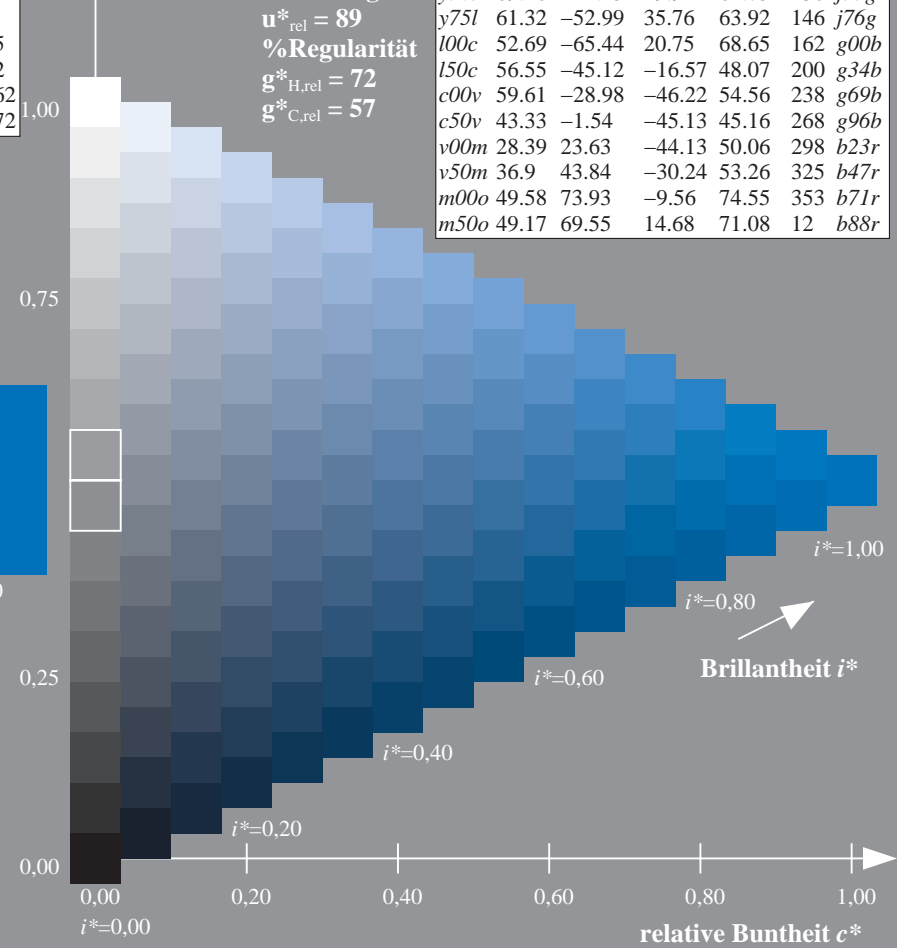
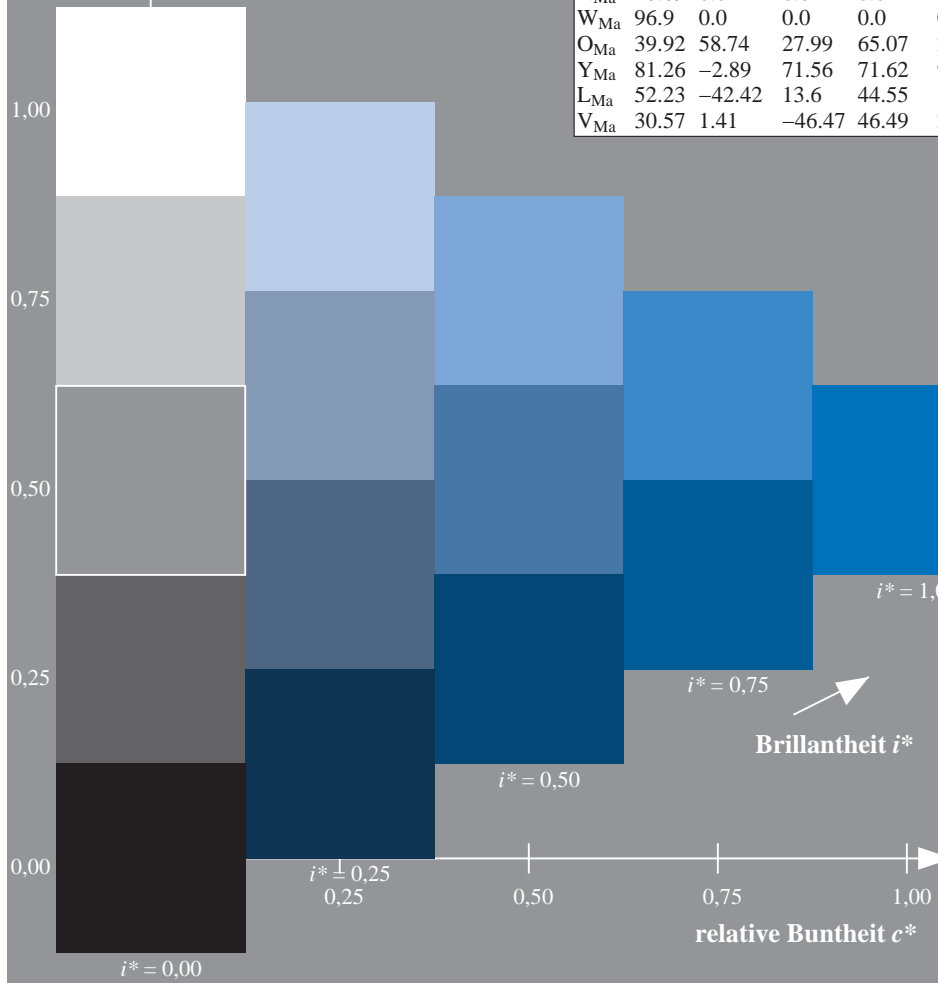
%Regularität

$g^*_{H,rel} = 72$

$g^*_{C,rel} = 57$

ORS19_96a; adaptierte CIELAB-Daten

u^*_d	$L^*=L^*_a$	a^*_a	b^*_a	$C^*_{ab,a}$	$h^*_{ab,a}$	u^*_e
<i>o00y</i>	48.75	65.07	39.43	76.08	31	<i>r08j</i>
<i>o25y</i>	59.04	46.67	51.1	69.21	48	<i>r33j</i>
<i>o50y</i>	68.32	30.09	61.62	68.58	64	<i>r57j</i>
<i>o75y</i>	78.23	12.39	72.85	73.9	80	<i>r81j</i>
<i>y00l</i>	90.92	-10.29	87.24	87.85	97	<i>j06g</i>
<i>y25l</i>	78.57	-28.11	65.75	71.51	113	<i>j29g</i>
<i>y50l</i>	69.46	-41.25	49.92	64.75	130	<i>j53g</i>
<i>y75l</i>	61.32	-52.99	35.76	63.92	146	<i>j76g</i>
<i>l00c</i>	52.69	-65.44	20.75	68.65	162	<i>g00b</i>
<i>l50c</i>	56.55	-45.12	-16.57	48.07	200	<i>g34b</i>
<i>c00v</i>	59.61	-28.98	-46.22	54.56	238	<i>g69b</i>
<i>c50v</i>	43.33	-1.54	-45.13	45.16	268	<i>g96b</i>
<i>v00m</i>	28.39	23.63	-44.13	50.06	298	<i>b23r</i>
<i>v50m</i>	36.9	43.84	-30.24	53.26	325	<i>b47r</i>
<i>m00o</i>	49.58	73.93	-9.56	74.55	353	<i>b71r</i>
<i>m50o</i>	49.17	69.55	14.68	71.08	12	<i>b88r</i>



Ein und Ausgabe: Farbmetrisches Drucker-Reflektiv-System ORS19_96a für relativen CIELAB-Bunton $h^* = lab^*h^* = h_{ab}/360 = 0.828$

$u^*_d = v00m$

Daten für jede Farbe:

lab^*tch^* und lab^*icu^*

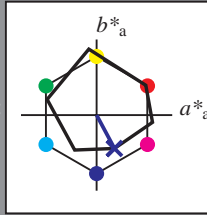
Buntontexte:

$u^*_d = v00m$ $u^*_e = b23r$

Kontrastreduzierungsfaktor:

$c_R = 1.0$

Dreiecks-Helligkeit t^*



ORS19_96a; adaptierte CIELAB-Daten						
u^*_d	$L^*=L^*_a$	a^*_a	b^*_a	$C^*_{ab,a}$	$h^*_{ab,a}$	
O _{Ma}	48.75	65.07	39.43	76.08	31	
Y _{Ma}	90.92	-10.29	87.24	87.85	97	
L _{Ma}	52.69	-65.44	20.75	68.65	162	
C _{Ma}	59.61	-28.98	-46.22	54.56	238	
V _{Ma}	28.39	23.63	-44.13	50.06	298	
M _{Ma}	49.58	73.93	-9.56	74.55	353	
N _{Ma}	18.89	0.0	0.0	0.0	0	
W _{Ma}	96.9	0.0	0.0	0.0	0	
O _{Ma}	39.92	58.74	27.99	65.07	25	
Y _{Ma}	81.26	-2.89	71.56	71.62	92	
L _{Ma}	52.23	-42.42	13.6	44.55	162	
V _{Ma}	30.57	1.41	-46.47	46.49	272	

Daten für Maximalfarbe (Ma):

$LAB^*LAB^*_{Ma}$: 28 24 -44

$LAB^*LCH^*_{Ma}$: 28 50 298

$lab^*olv^*_{Ma}$: 0.0 0.0 1.0

$lab^*rgb^*_{Ma}$: 0.46 0.0 1.0

Dreiecks-Helligkeit t^*

%Umfang

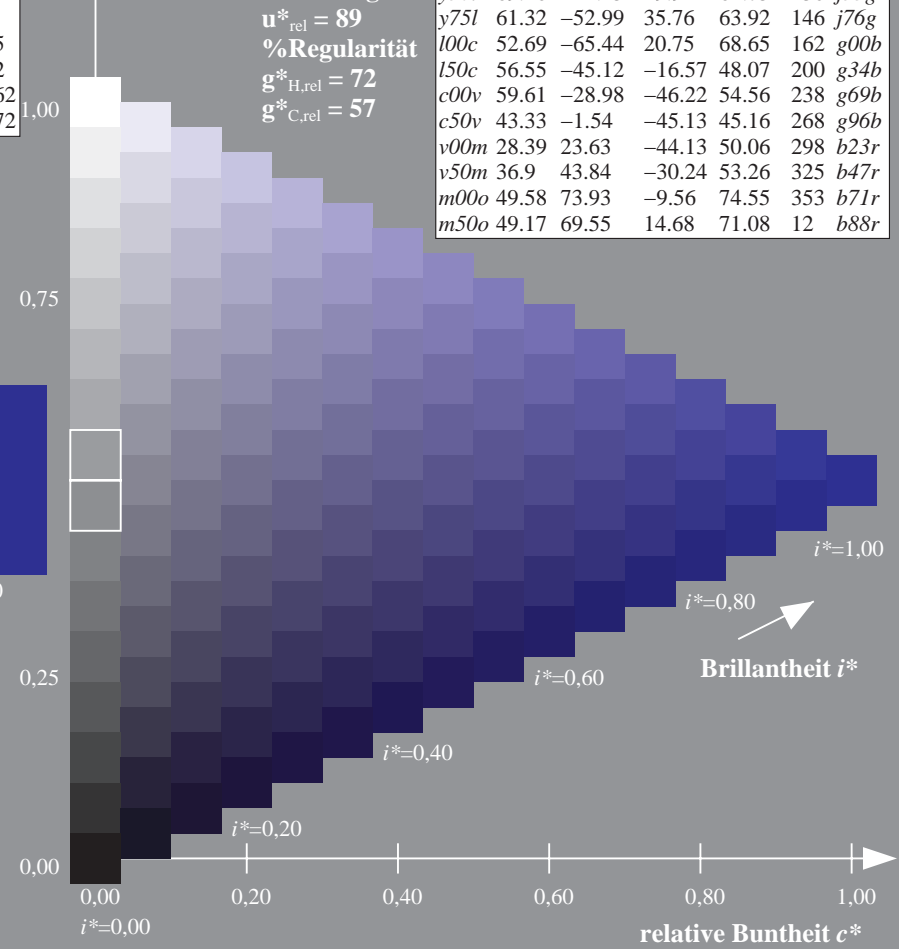
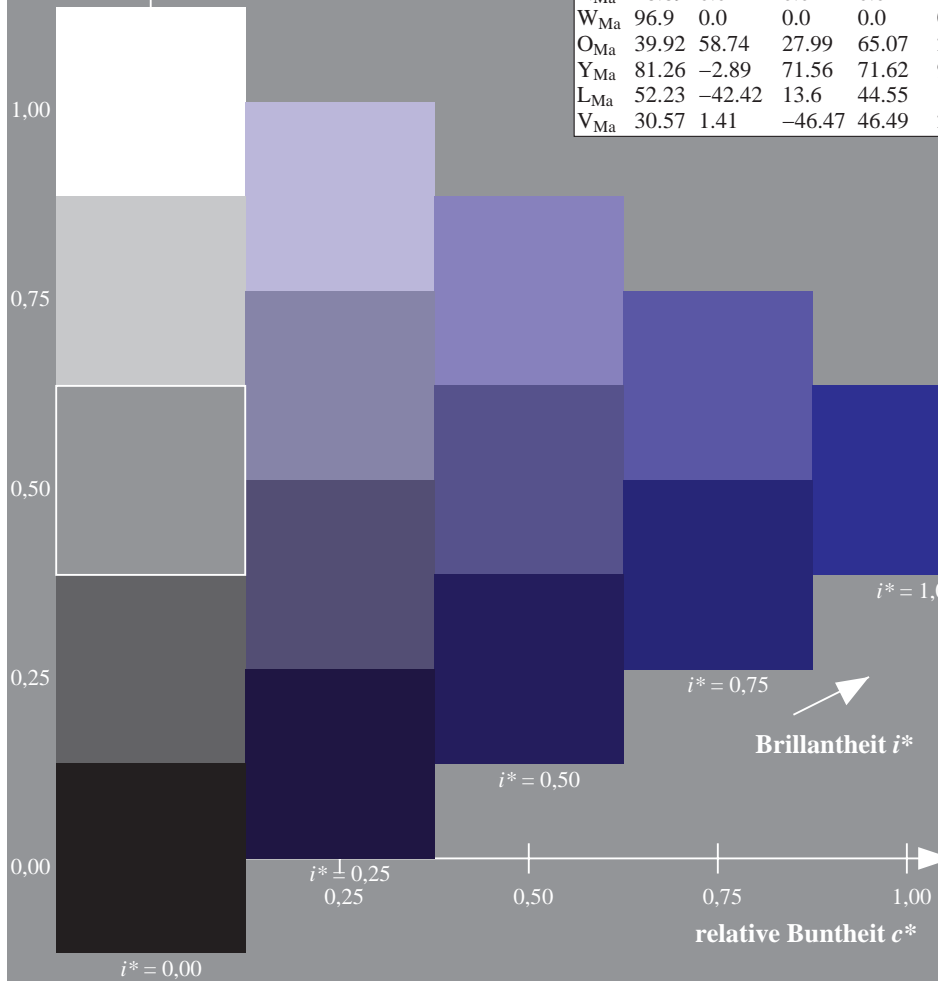
$u^*_{rel} = 89$

%Regularität

$g^*_{H,rel} = 72$

$g^*_{C,rel} = 57$

ORS19_96a; adaptierte CIELAB-Daten							
u^*_d	$L^*=L^*_a$	a^*_a	b^*_a	$C^*_{ab,a}$	$h^*_{ab,a}$	u^*_e	
o00y	48.75	65.07	39.43	76.08	31	r08j	
o25y	59.04	46.67	51.1	69.21	48	r33j	
o50y	68.32	30.09	61.62	68.58	64	r57j	
o75y	78.23	12.39	72.85	73.9	80	r81j	
y00l	90.92	-10.29	87.24	87.85	97	j06g	
y25l	78.57	-28.11	65.75	71.51	113	j29g	
y50l	69.46	-41.25	49.92	64.75	130	j53g	
y75l	61.32	-52.99	35.76	63.92	146	j76g	
l00c	52.69	-65.44	20.75	68.65	162	g00b	
l50c	56.55	-45.12	-16.57	48.07	200	g34b	
c00v	59.61	-28.98	-46.22	54.56	238	g69b	
c50v	43.33	-1.54	-45.13	45.16	268	g96b	
v00m	28.39	23.63	-44.13	50.06	298	b23r	
v50m	36.9	43.84	-30.24	53.26	325	b47r	
m00o	49.58	73.93	-9.56	74.55	353	b71r	
m50o	49.17	69.55	14.68	71.08	12	b88r	



Ein und Ausgabe: Farbmetrisches Drucker-Reflektiv-System ORS19_96a für relativen CIELAB-Bunton $h^* = lab^*h^* = h_{ab}/360 = 0.904$

$u^*_d = v50m$

Daten für jede Farbe:

lab^*tch^* und lab^*icu^*

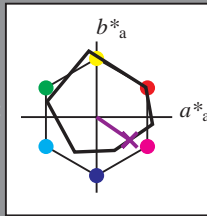
Buntontexte:

$u^*_d = v50m$ $u^*_e = b47r$

Kontrastreduzierungsfaktor:

$c_R = 1.0$

Dreiecks-Helligkeit t^*



ORS19_96a; adaptierte CIELAB-Daten						
u^*_d	$L^*=L^*_a$	a^*_a	b^*_a	$C^*_{ab,a}$	$h^*_{ab,a}$	
O _{Ma}	48.75	65.07	39.43	76.08	31	
Y _{Ma}	90.92	-10.29	87.24	87.85	97	
L _{Ma}	52.69	-65.44	20.75	68.65	162	
C _{Ma}	59.61	-28.98	-46.22	54.56	238	
V _{Ma}	28.39	23.63	-44.13	50.06	298	
M _{Ma}	49.58	73.93	-9.56	74.55	353	
N _{Ma}	18.89	0.0	0.0	0.0	0	
W _{Ma}	96.9	0.0	0.0	0.0	0	
O _{Ma}	39.92	58.74	27.99	65.07	25	
Y _{Ma}	81.26	-2.89	71.56	71.62	92	
L _{Ma}	52.23	-42.42	13.6	44.55	162	
V _{Ma}	30.57	1.41	-46.47	46.49	272	

Daten für Maximalfarbe (Ma):

$LAB^*LAB^*_Ma: 37\ 44\ -30$

$LAB^*LCH^*_Ma: 37\ 53\ 325$

$lab^*olv^*_Ma: 0.5\ 0.0\ 1.0$

$lab^*rgb^*_Ma: 0.94\ 0.0\ 1.0$

Dreiecks-Helligkeit t^*

%Umfang

$u^*_{rel} = 89$

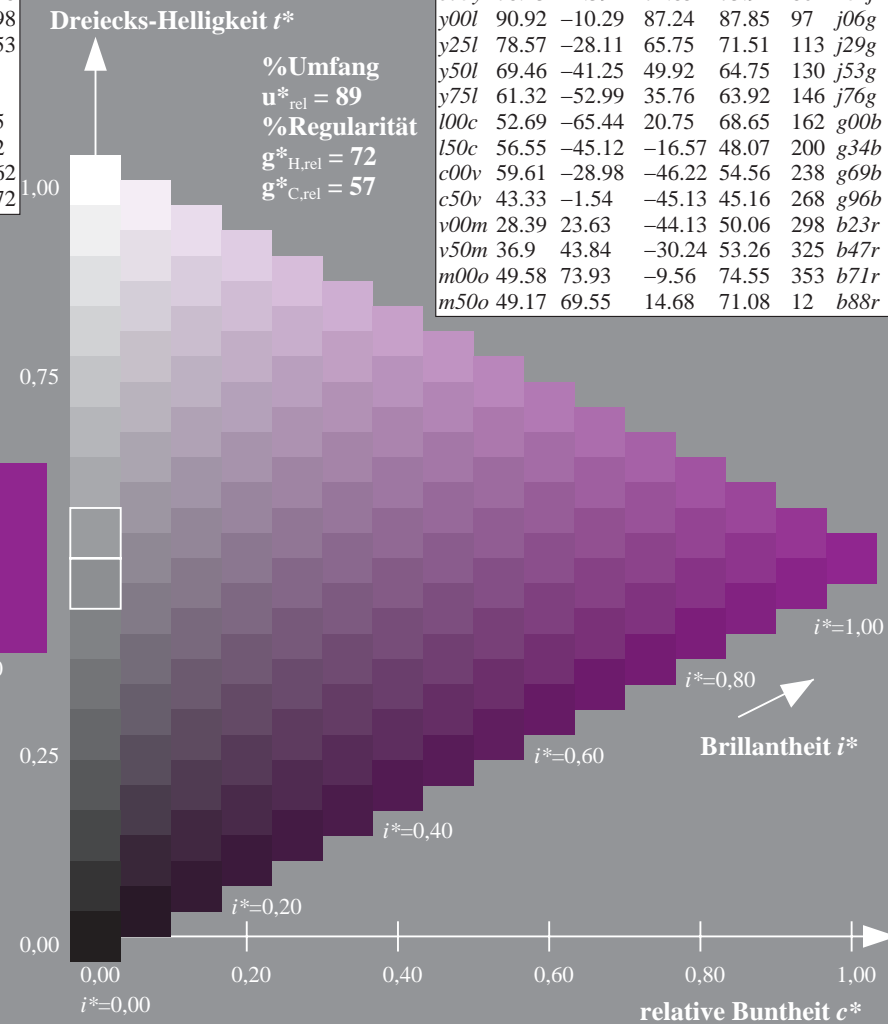
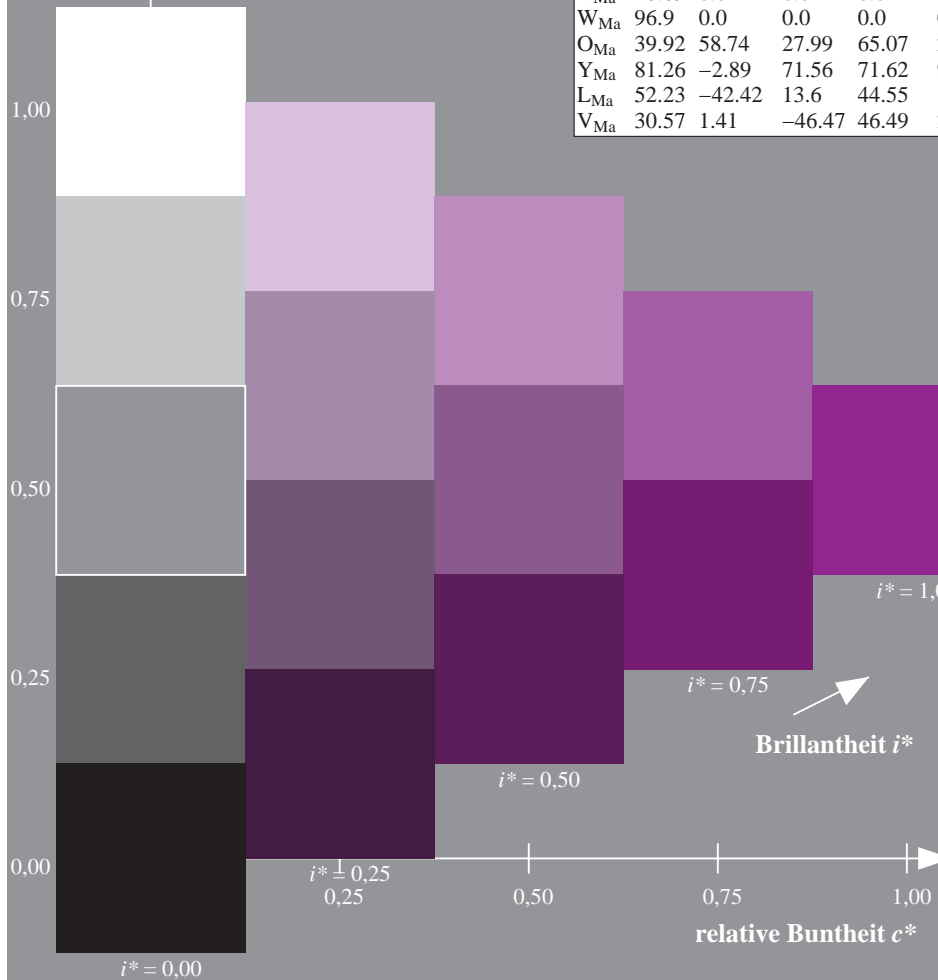
%Regularität

$g^*_{H,rel} = 72$

$g^*_{C,rel} = 57$

ORS19_96a; adaptierte CIELAB-Daten

u^*_d	$L^*=L^*_a$	a^*_a	b^*_a	$C^*_{ab,a}$	$h^*_{ab,a}$	u^*_e
<i>o00y</i>	48.75	65.07	39.43	76.08	31	<i>r08j</i>
<i>o25y</i>	59.04	46.67	51.1	69.21	48	<i>r33j</i>
<i>o50y</i>	68.32	30.09	61.62	68.58	64	<i>r57j</i>
<i>o75y</i>	78.23	12.39	72.85	73.9	80	<i>r81j</i>
<i>y00l</i>	90.92	-10.29	87.24	87.85	97	<i>j06g</i>
<i>y25l</i>	78.57	-28.11	65.75	71.51	113	<i>j29g</i>
<i>y50l</i>	69.46	-41.25	49.92	64.75	130	<i>j53g</i>
<i>y75l</i>	61.32	-52.99	35.76	63.92	146	<i>j76g</i>
<i>l00c</i>	52.69	-65.44	20.75	68.65	162	<i>g00b</i>
<i>l50c</i>	56.55	-45.12	-16.57	48.07	200	<i>g34b</i>
<i>c00v</i>	59.61	-28.98	-46.22	54.56	238	<i>g69b</i>
<i>c50v</i>	43.33	-1.54	-45.13	45.16	268	<i>g96b</i>
<i>v00m</i>	28.39	23.63	-44.13	50.06	298	<i>b23r</i>
<i>v50m</i>	36.9	43.84	-30.24	53.26	325	<i>b47r</i>
<i>m00o</i>	49.58	73.93	-9.56	74.55	353	<i>b71r</i>
<i>m50o</i>	49.17	69.55	14.68	71.08	12	<i>b88r</i>



Ein und Ausgabe: Farbmatisches Drucker-Reflektiv-System ORS19_96a für relativen CIELAB-Bunton $h^* = \text{lab}^*h^* = h_{ab}/360 = 0.98$

$u^*_d = m00o$

Daten für jede Farbe:

lab^*tch^* und lab^*icu^*

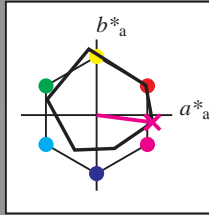
Buntontexte:

$u^*_d = m00o$ $u^*_e = b71r$

Kontrastreduzierungsfaktor:

$c_R = 1.0$

Dreiecks-Helligkeit t^*



ORS19_96a; adaptierte CIELAB-Daten						
u^*_d	$L^*=L^*_a$	a^*_a	b^*_a	$C^*_{ab,a}$	$h^*_{ab,a}$	
O _{Ma}	48.75	65.07	39.43	76.08	31	
Y _{Ma}	90.92	-10.29	87.24	87.85	97	
L _{Ma}	52.69	-65.44	20.75	68.65	162	
C _{Ma}	59.61	-28.98	-46.22	54.56	238	
V _{Ma}	28.39	23.63	-44.13	50.06	298	
M _{Ma}	49.58	73.93	-9.56	74.55	353	
N _{Ma}	18.89	0.0	0.0	0.0	0	
W _{Ma}	96.9	0.0	0.0	0.0	0	
O _{Ma}	39.92	58.74	27.99	65.07	25	
Y _{Ma}	81.26	-2.89	71.56	71.62	92	
L _{Ma}	52.23	-42.42	13.6	44.55	162	
V _{Ma}	30.57	1.41	-46.47	46.49	272	

Daten für Maximalfarbe (Ma):

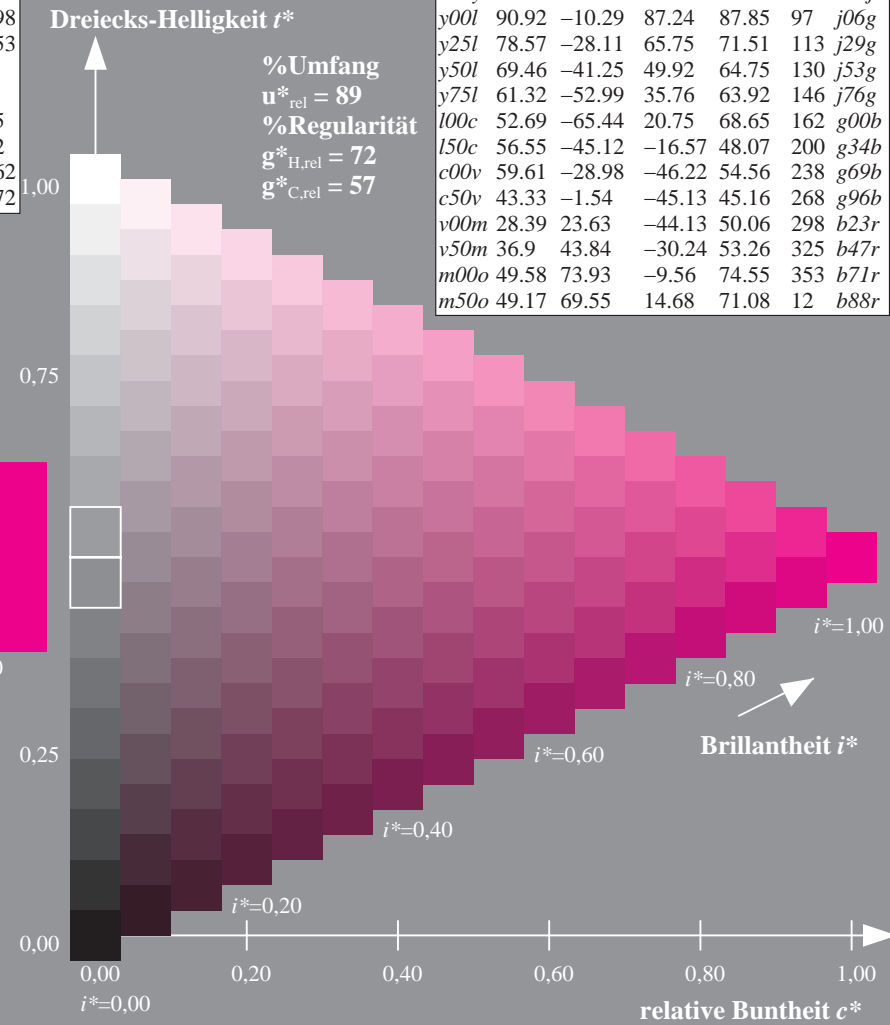
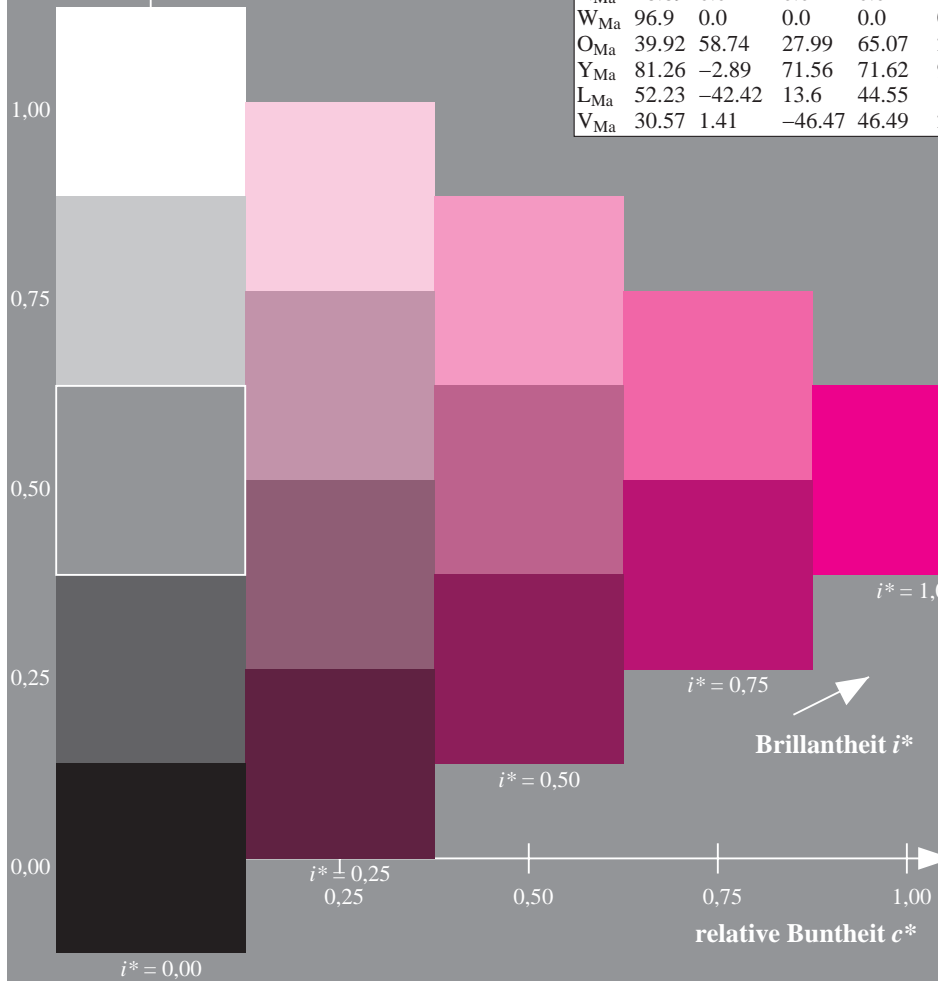
$\text{LAB}^*\text{LAB}^*_{Ma}: 50\ 74\ -10$

$\text{LAB}^*\text{LCH}^*_{Ma}: 50\ 75\ 352$

$\text{lab}^*\text{olv}^*_{Ma}: 1.0\ 0.0\ 1.0$

$\text{lab}^*\text{rgb}^*_{Ma}: 1.0\ 0.0\ 0.58$

ORS19_96a; adaptierte CIELAB-Daten							
u^*_d	$L^*=L^*_a$	a^*_a	b^*_a	$C^*_{ab,a}$	$h^*_{ab,a}$	u^*_e	
<i>o00y</i>	48.75	65.07	39.43	76.08	31	<i>r08j</i>	
<i>o25y</i>	59.04	46.67	51.1	69.21	48	<i>r33j</i>	
<i>o50y</i>	68.32	30.09	61.62	68.58	64	<i>r57j</i>	
<i>o75y</i>	78.23	12.39	72.85	73.9	80	<i>r81j</i>	
<i>y00l</i>	90.92	-10.29	87.24	87.85	97	<i>j06g</i>	
<i>y25l</i>	78.57	-28.11	65.75	71.51	113	<i>j29g</i>	
<i>y50l</i>	69.46	-41.25	49.92	64.75	130	<i>j53g</i>	
<i>y75l</i>	61.32	-52.99	35.76	63.92	146	<i>j76g</i>	
<i>l00c</i>	52.69	-65.44	20.75	68.65	162	<i>g00b</i>	
<i>l50c</i>	56.55	-45.12	-16.57	48.07	200	<i>g34b</i>	
<i>c00v</i>	59.61	-28.98	-46.22	54.56	238	<i>g69b</i>	
<i>c50v</i>	43.33	-1.54	-45.13	45.16	268	<i>g96b</i>	
<i>v00m</i>	28.39	23.63	-44.13	50.06	298	<i>b23r</i>	
<i>v50m</i>	36.9	43.84	-30.24	53.26	325	<i>b47r</i>	
<i>m00o</i>	49.58	73.93	-9.56	74.55	353	<i>b71r</i>	
<i>m50o</i>	49.17	69.55	14.68	71.08	12	<i>b88r</i>	



Ein und Ausgabe: Farbmetrisches Drucker-Reflektiv-System ORS19_96a für relativen CIELAB-Bunton $h^* = lab^*h^* = h_{ab}/360 = 0.033$

$u^*_d = m50o$

Daten für jede Farbe:

lab^*tch^* und lab^*icu^*

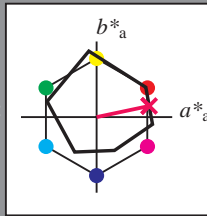
Buntontexte:

$u^*_d = m50o$ $u^*_e = b88r$

Kontrastreduzierungsfaktor:

$c_R = 1.0$

Dreiecks-Helligkeit t^*



ORS19_96a; adaptierte CIELAB-Daten

u^*_d	$L^*=L^*_a$	a^*_a	b^*_a	$C^*_{ab,a}$	$h^*_{ab,a}$
O _{Ma}	48.75	65.07	39.43	76.08	31
Y _{Ma}	90.92	-10.29	87.24	87.85	97
L _{Ma}	52.69	-65.44	20.75	68.65	162
C _{Ma}	59.61	-28.98	-46.22	54.56	238
V _{Ma}	28.39	23.63	-44.13	50.06	298
M _{Ma}	49.58	73.93	-9.56	74.55	353
N _{Ma}	18.89	0.0	0.0	0.0	0
W _{Ma}	96.9	0.0	0.0	0.0	0
O _{Ma}	39.92	58.74	27.99	65.07	25
Y _{Ma}	81.26	-2.89	71.56	71.62	92
L _{Ma}	52.23	-42.42	13.6	44.55	162
V _{Ma}	30.57	1.41	-46.47	46.49	272

Daten für Maximalfarbe (Ma):

$LAB^*LAB^*_{Ma}$: 49 70 15

$LAB^*LCH^*_{Ma}$: 49 71 11

$lab^*olv^*_{Ma}$: 1.0 0.0 0.5

$lab^*rgb^*_{Ma}$: 1.0 0.0 0.24

Dreiecks-Helligkeit t^*

%Umfang

$u^*_{rel} = 89$

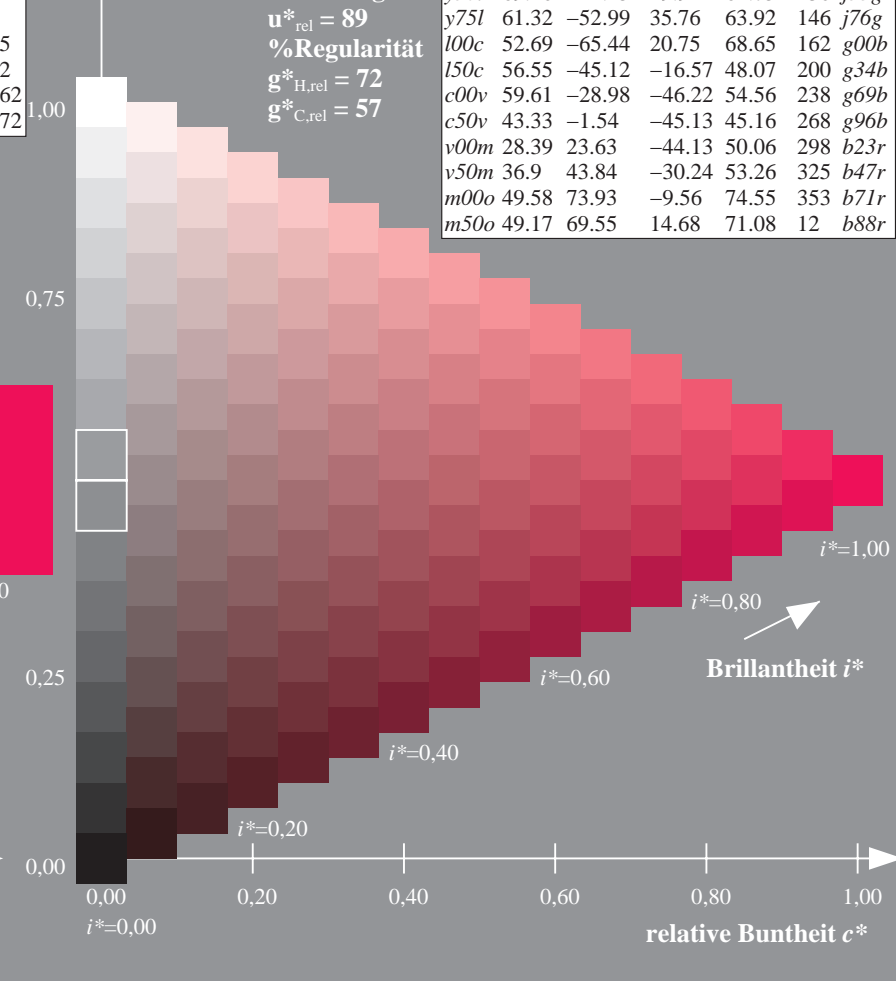
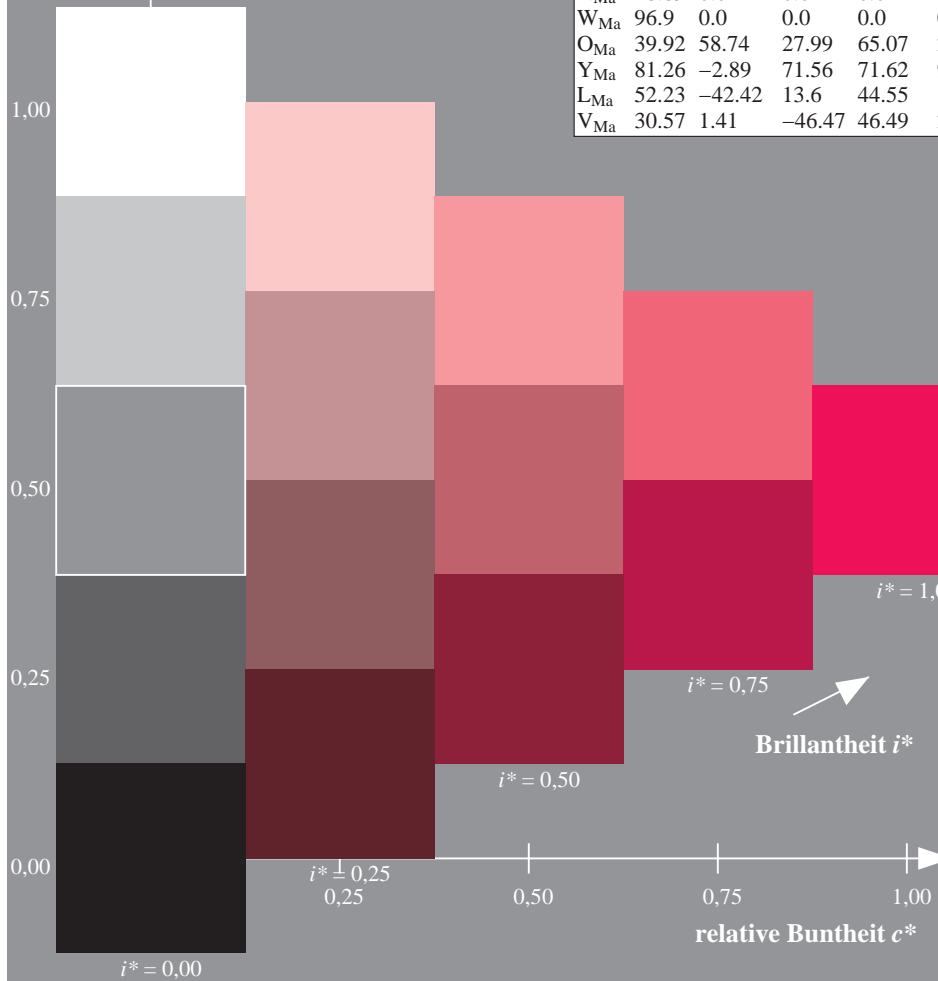
%Regularität

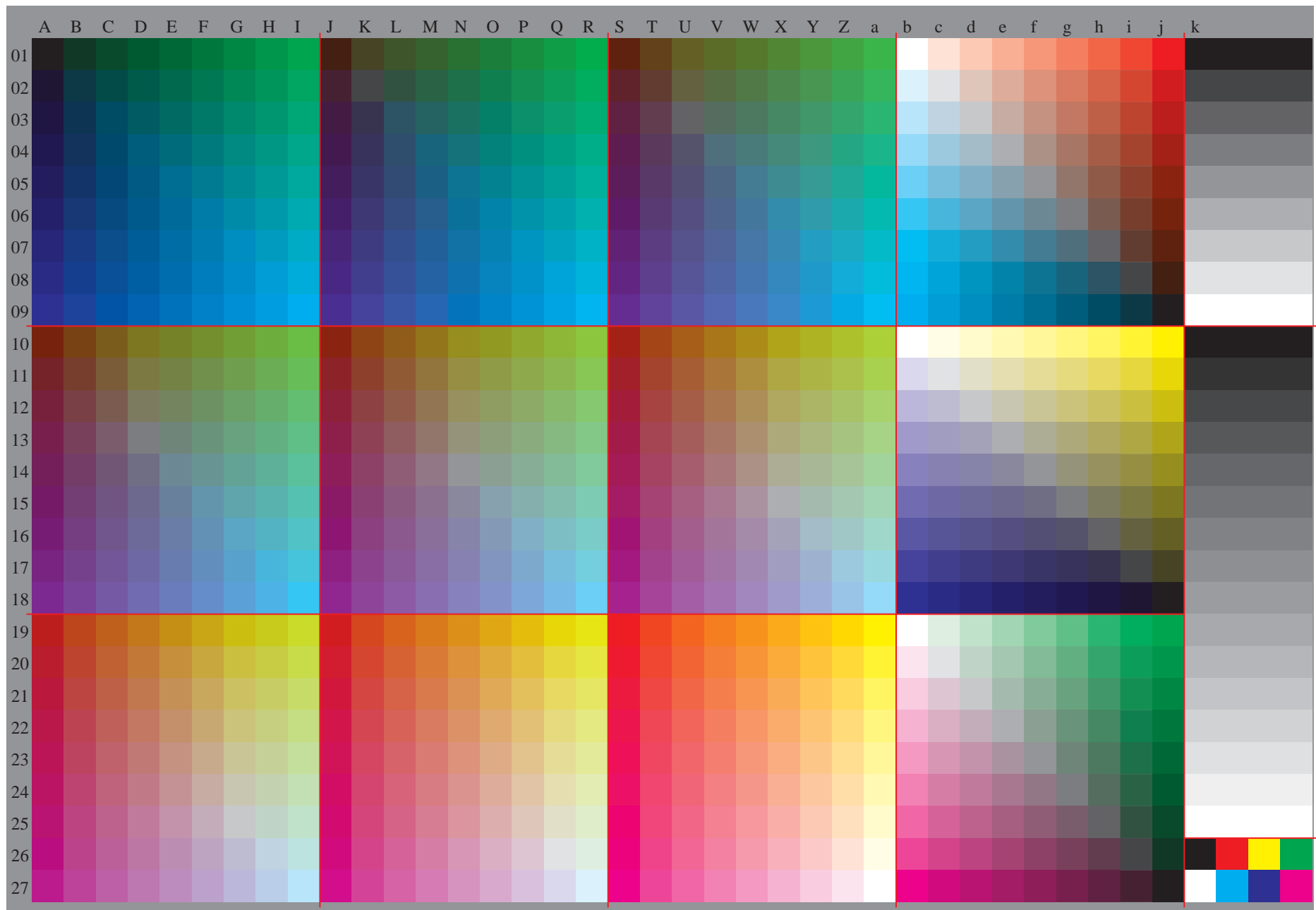
$g^*_{H,rel} = 72$

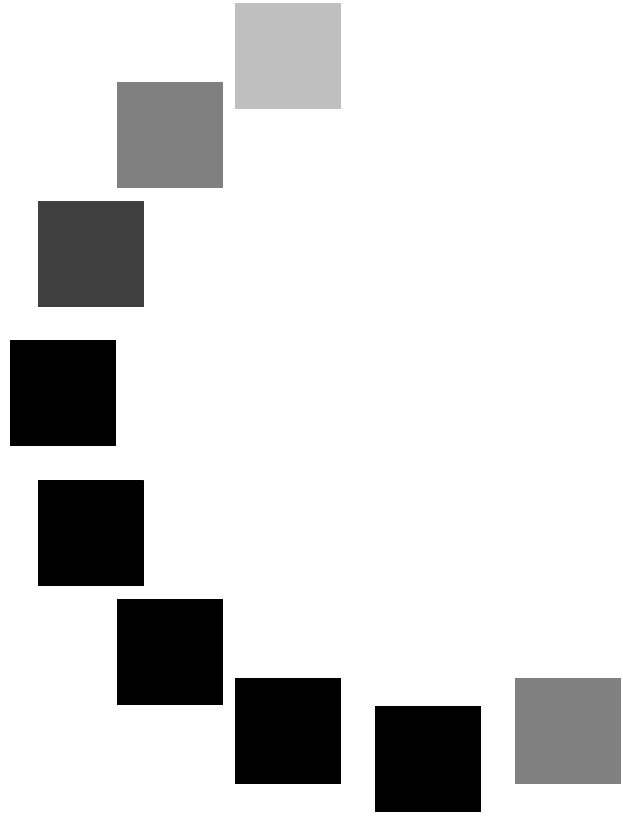
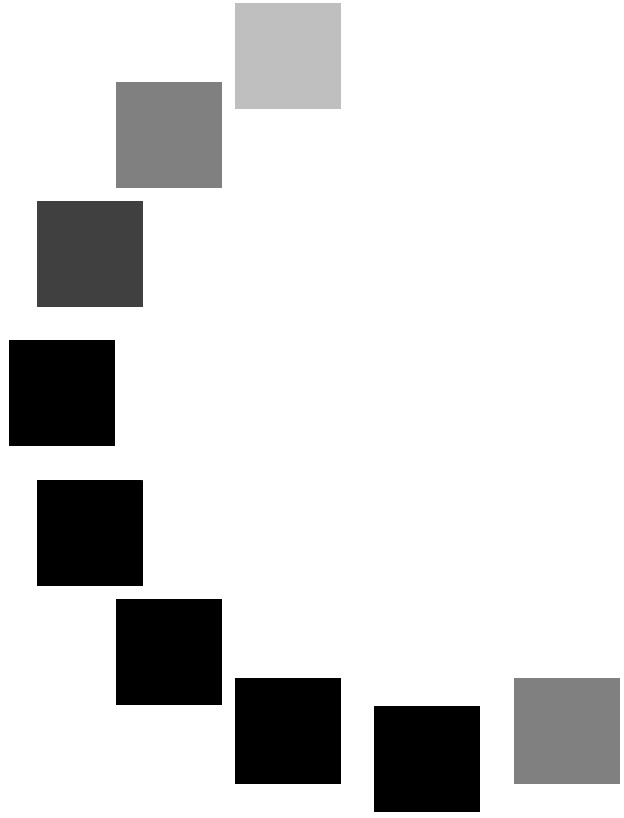
$g^*_{C,rel} = 57$

ORS19_96a; adaptierte CIELAB-Daten

u^*_d	$L^*=L^*_a$	a^*_a	b^*_a	$C^*_{ab,a}$	$h^*_{ab,a}$	u^*_e
<i>o00y</i>	48.75	65.07	39.43	76.08	31	<i>r08j</i>
<i>o25y</i>	59.04	46.67	51.1	69.21	48	<i>r33j</i>
<i>o50y</i>	68.32	30.09	61.62	68.58	64	<i>r57j</i>
<i>o75y</i>	78.23	12.39	72.85	73.9	80	<i>r81j</i>
<i>y00l</i>	90.92	-10.29	87.24	87.85	97	<i>j06g</i>
<i>y25l</i>	78.57	-28.11	65.75	71.51	113	<i>j29g</i>
<i>y50l</i>	69.46	-41.25	49.92	64.75	130	<i>j53g</i>
<i>y75l</i>	61.32	-52.99	35.76	63.92	146	<i>j76g</i>
<i>l00c</i>	52.69	-65.44	20.75	68.65	162	<i>g00b</i>
<i>l50c</i>	56.55	-45.12	-16.57	48.07	200	<i>g34b</i>
<i>c00v</i>	59.61	-28.98	-46.22	54.56	238	<i>g69b</i>
<i>c50v</i>	43.33	-1.54	-45.13	45.16	268	<i>g96b</i>
<i>v00m</i>	28.39	23.63	-44.13	50.06	298	<i>b23r</i>
<i>v50m</i>	36.9	43.84	-30.24	53.26	325	<i>b47r</i>
<i>m00o</i>	49.58	73.93	-9.56	74.55	353	<i>b71r</i>
<i>m50o</i>	49.17	69.55	14.68	71.08	12	<i>b88r</i>







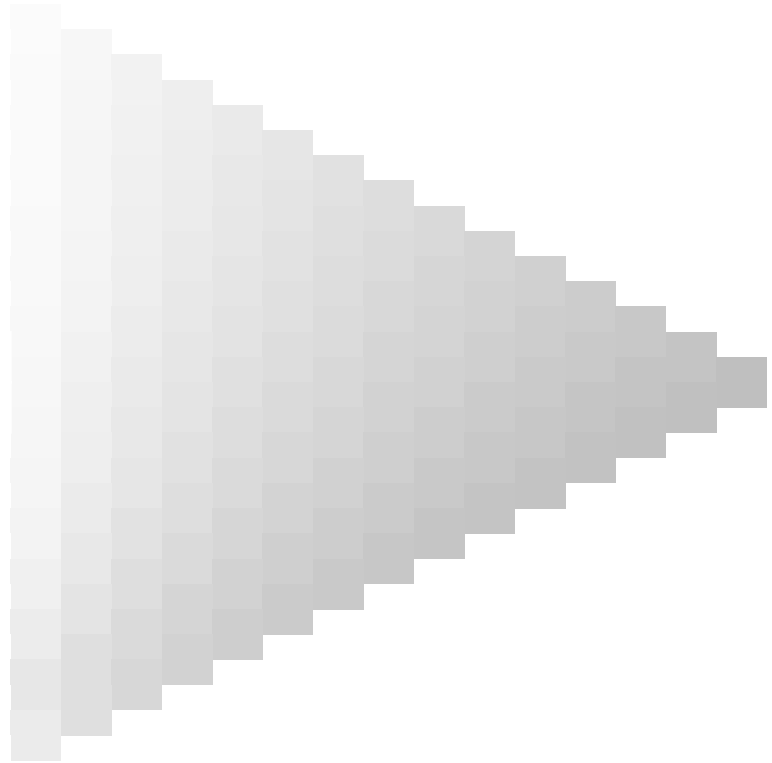
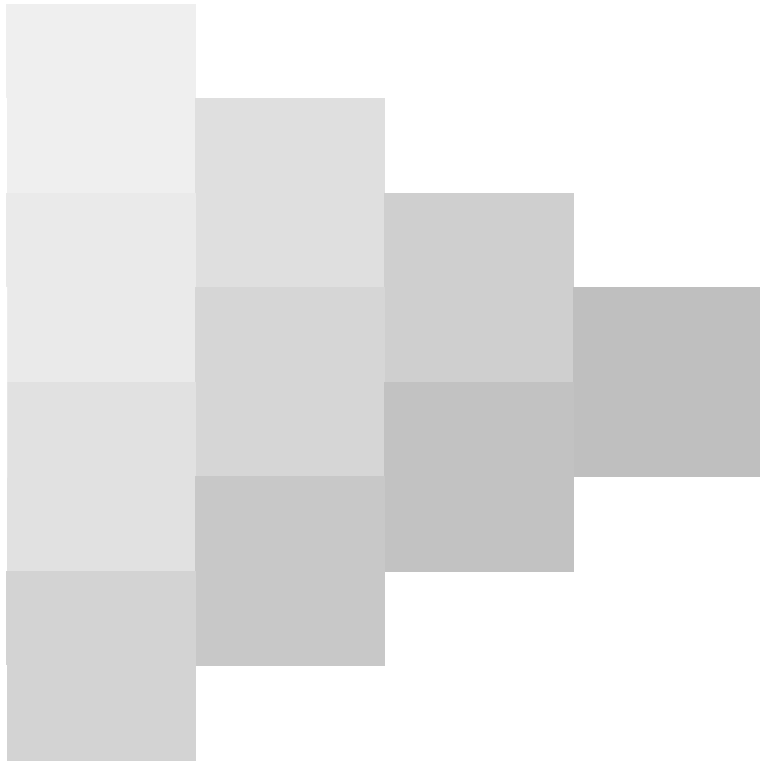


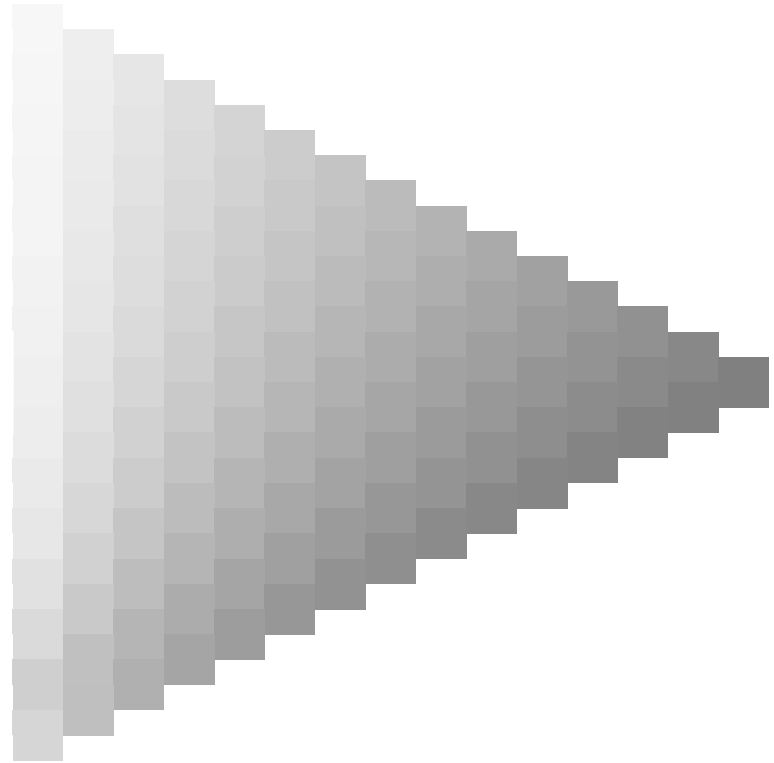
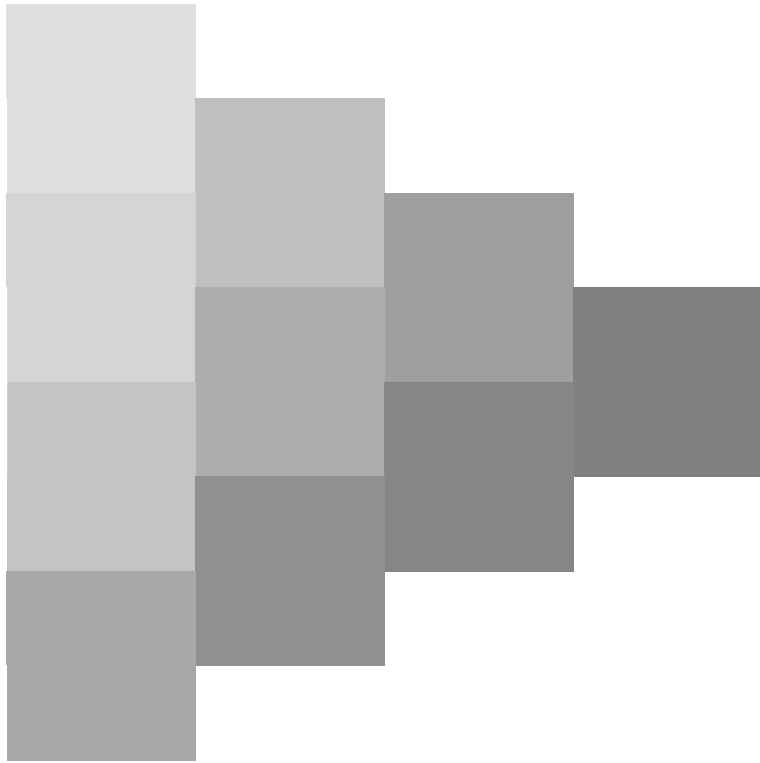


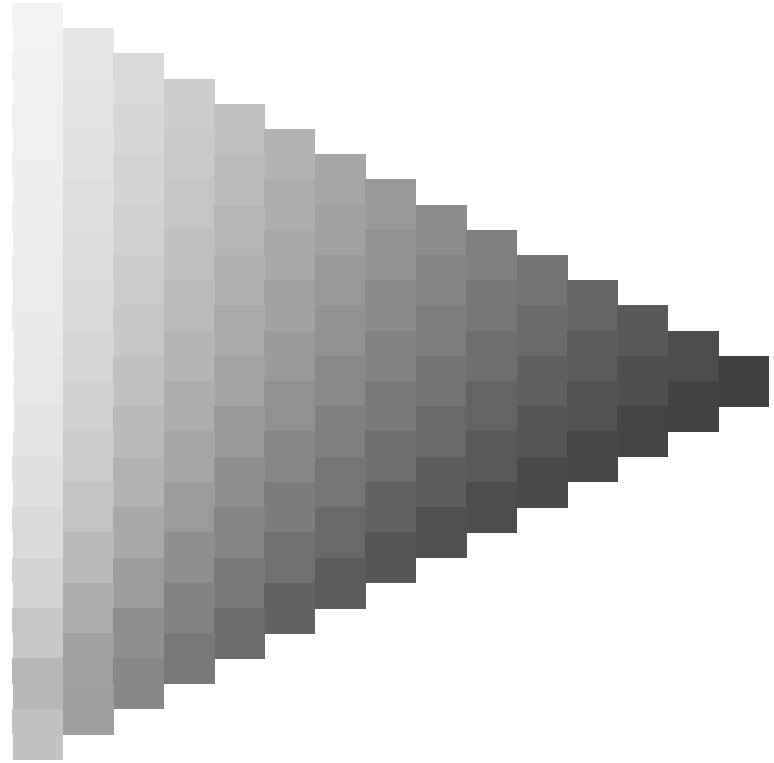
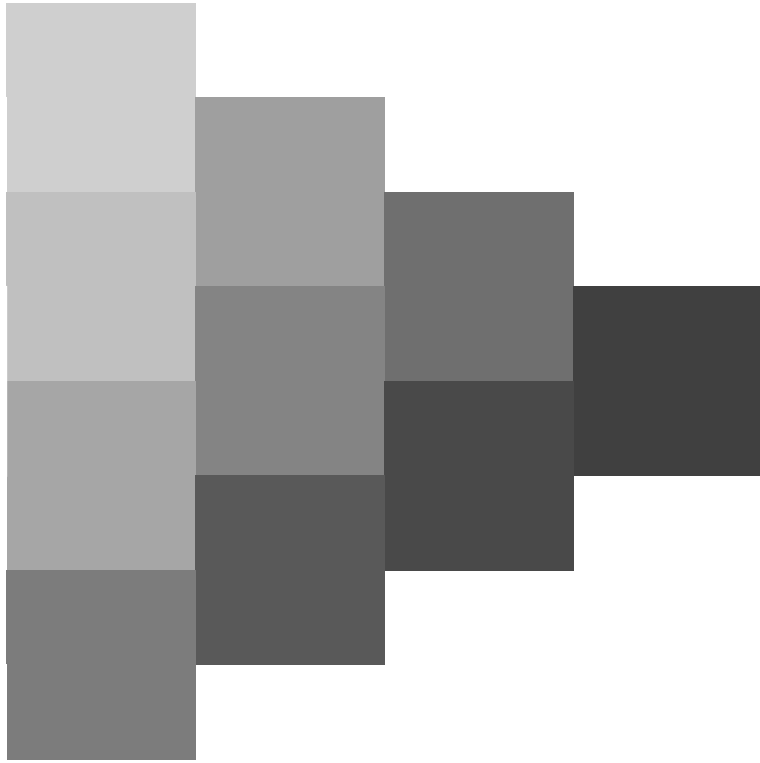


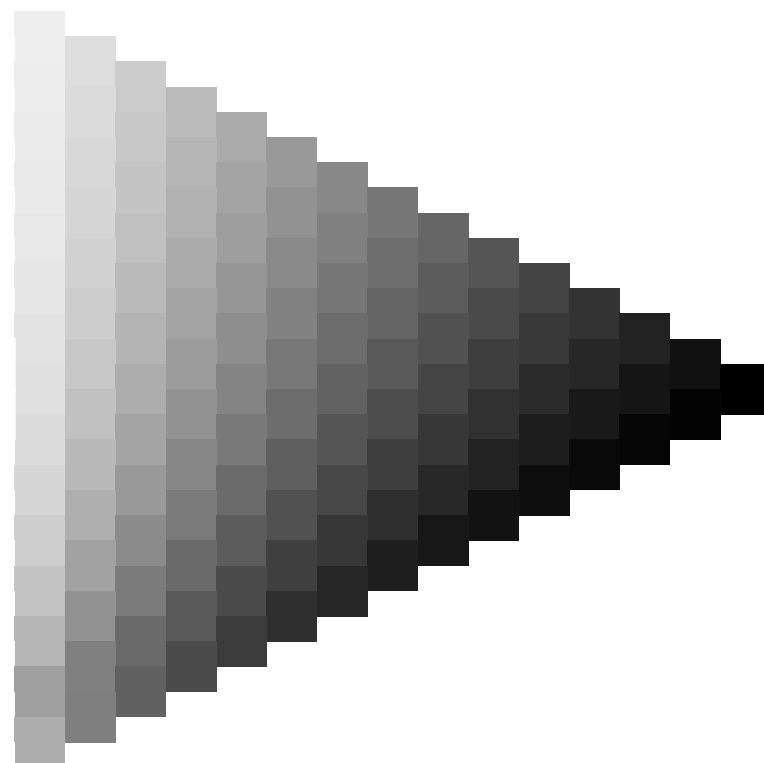
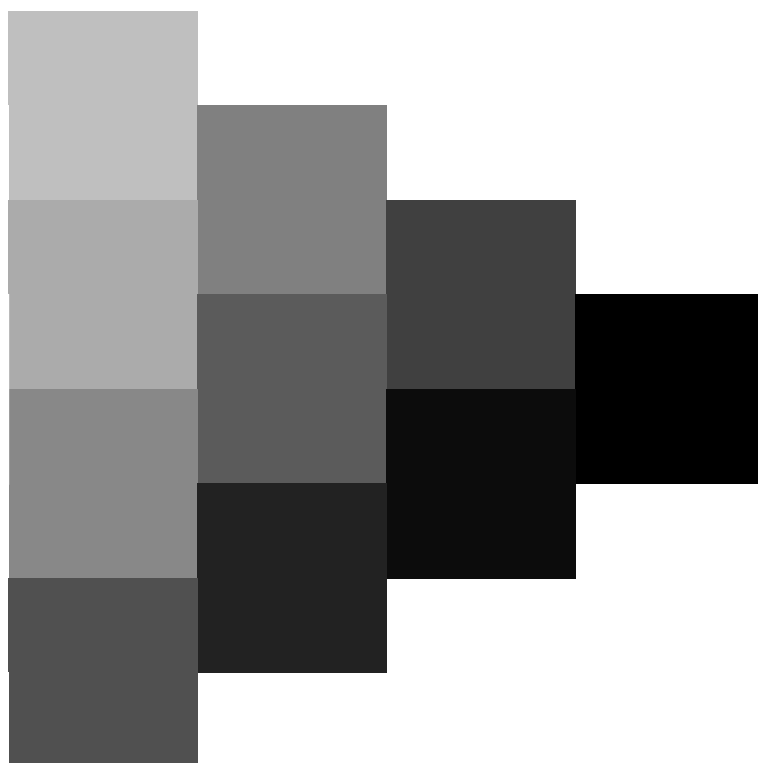


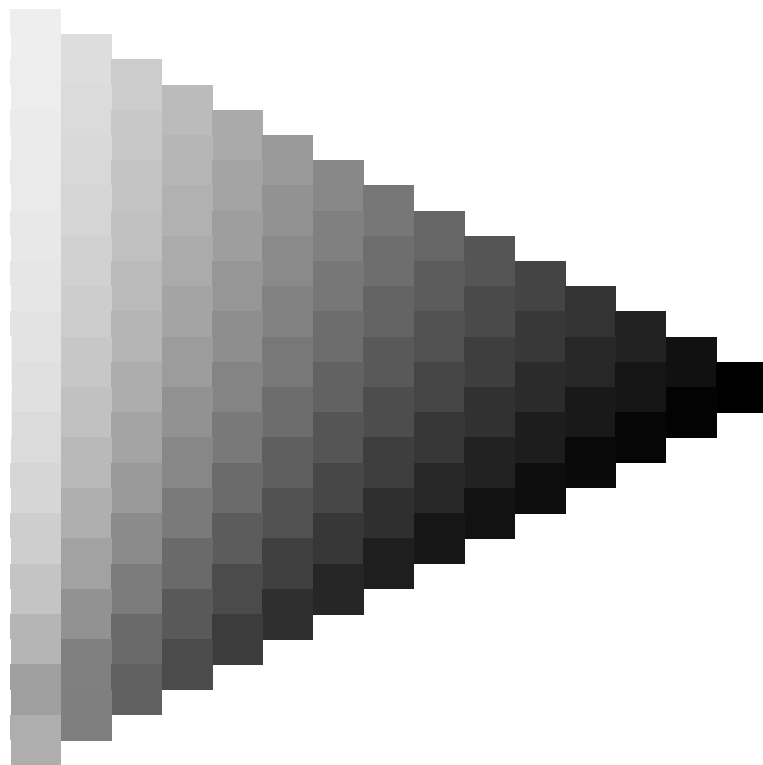
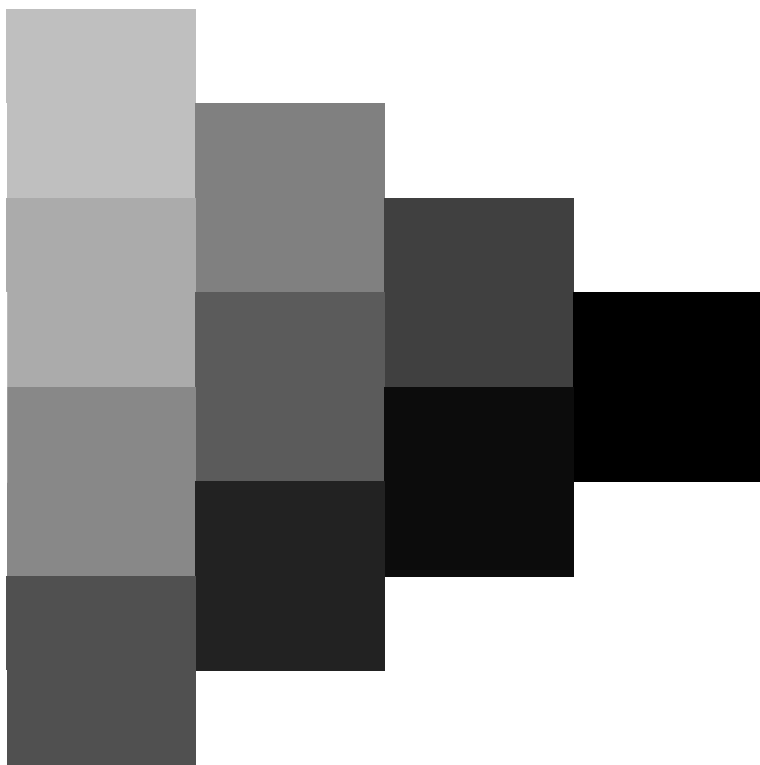


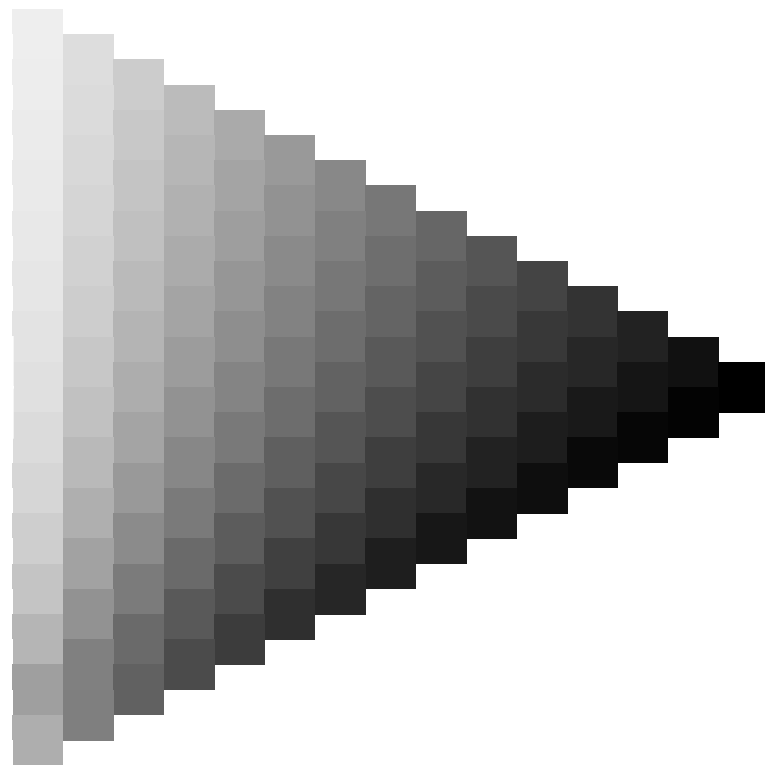
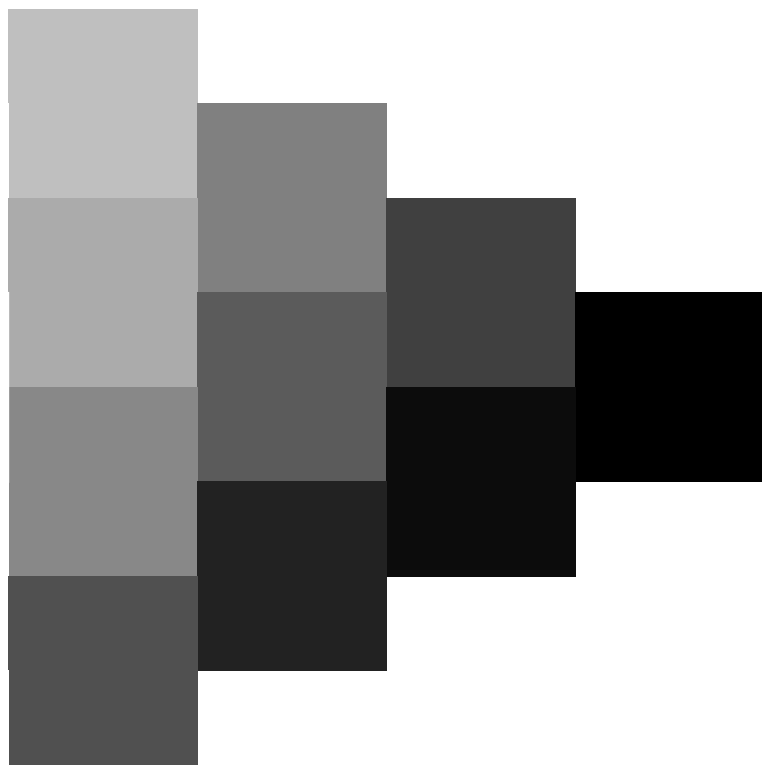




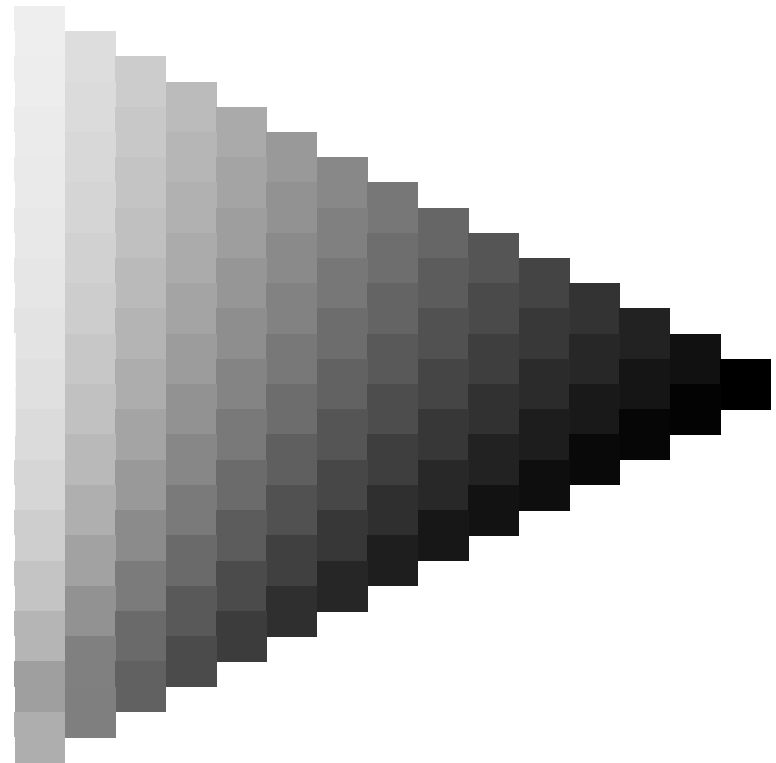
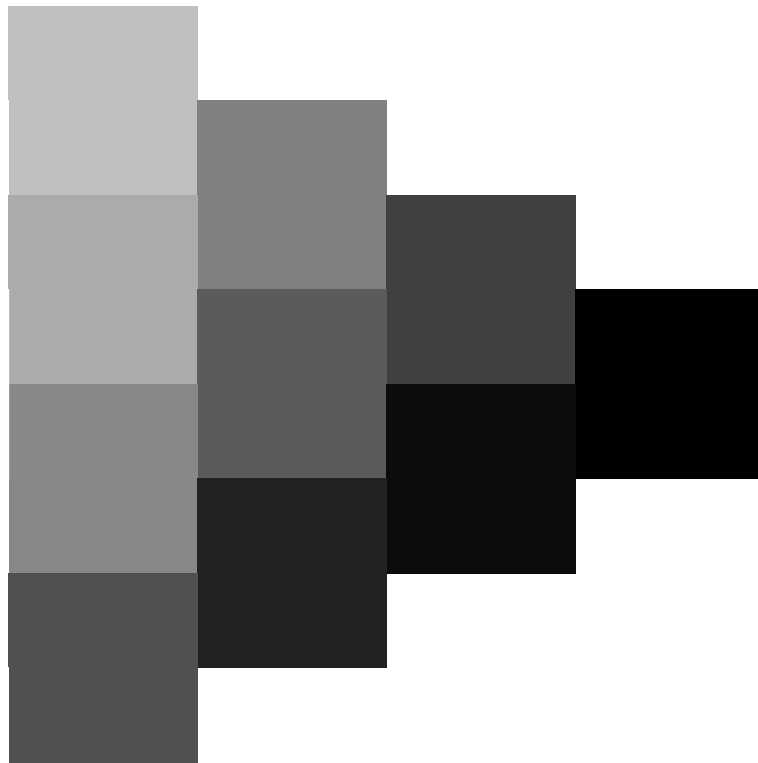


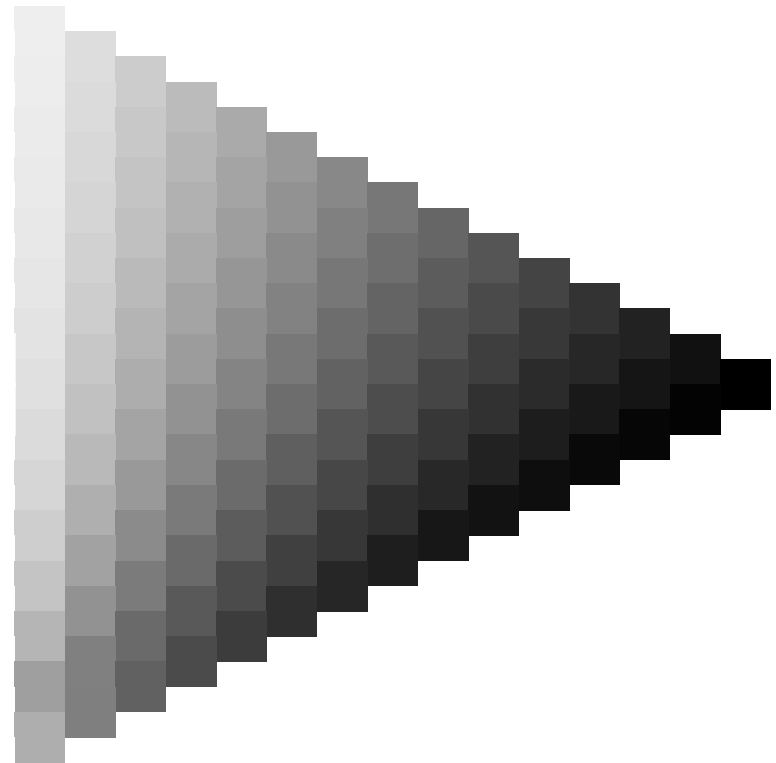
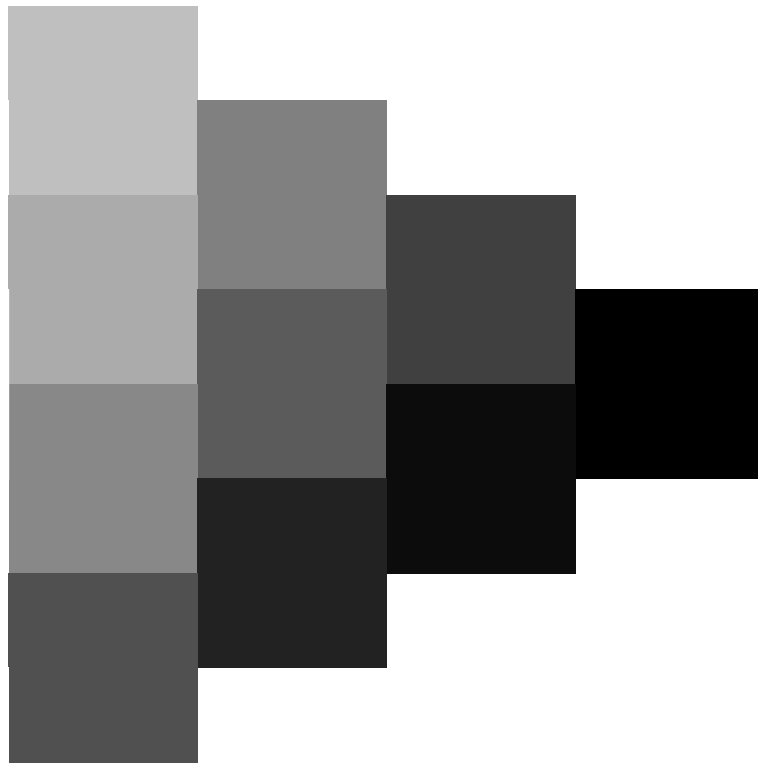
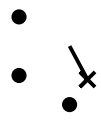


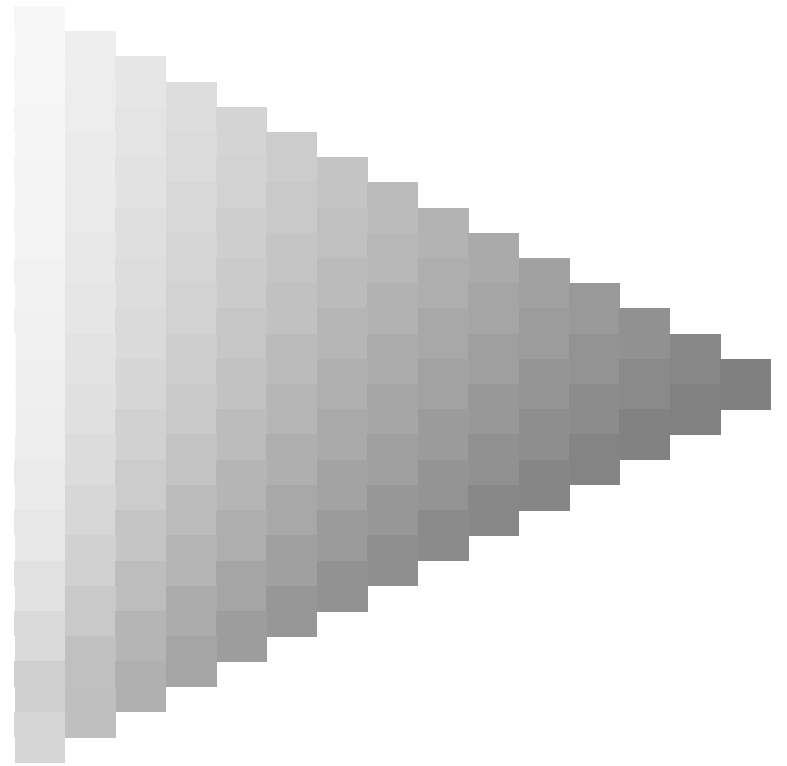
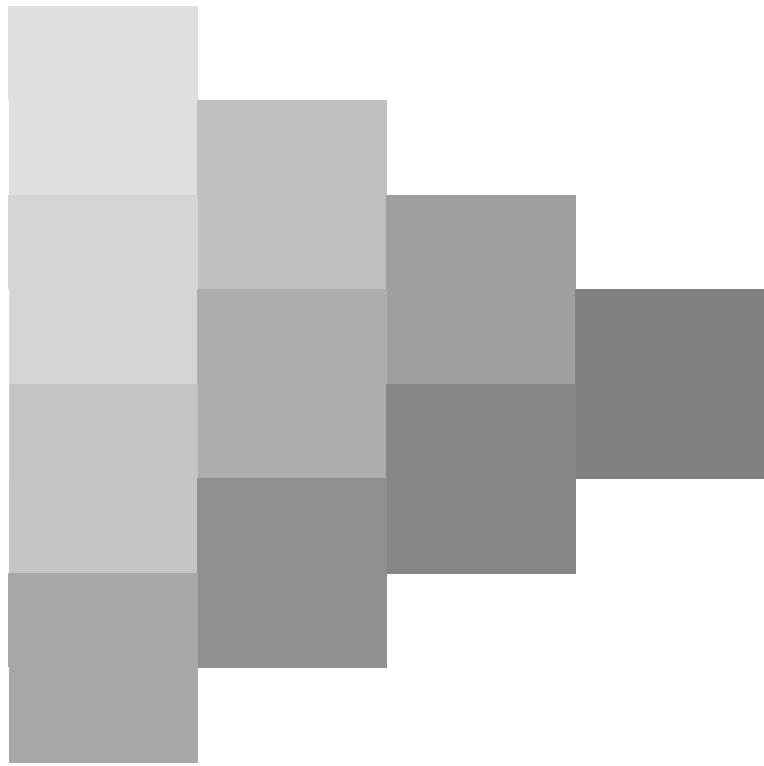
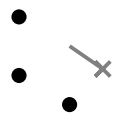




•
• ↓
•

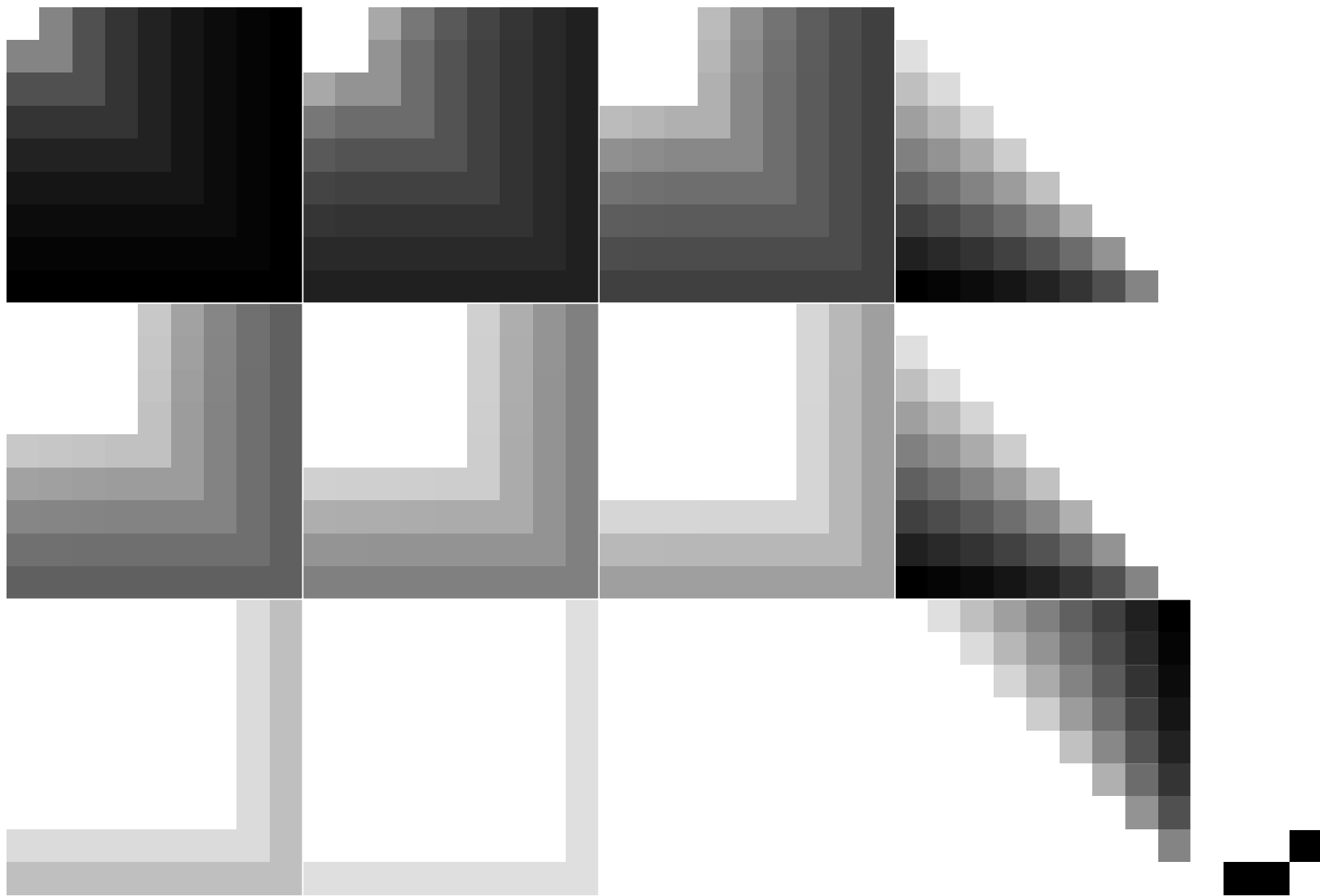


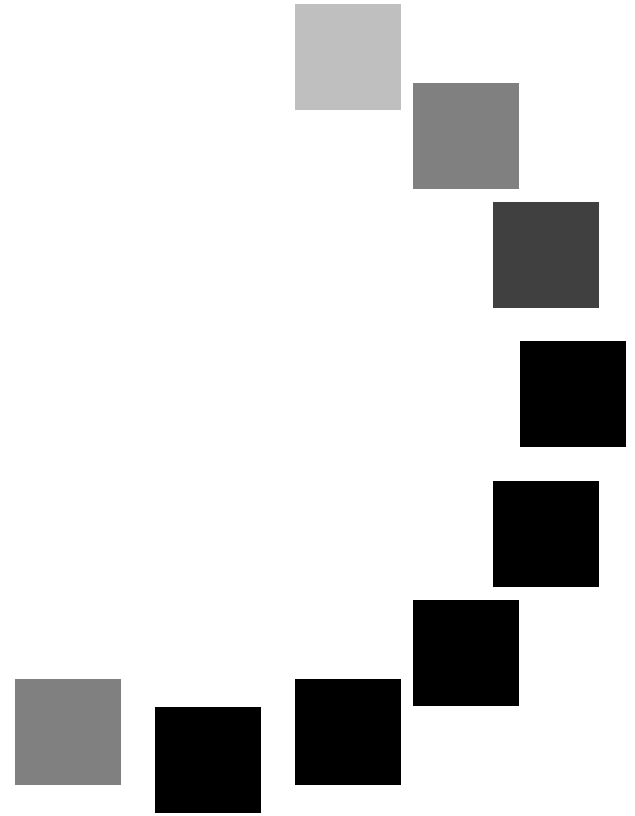
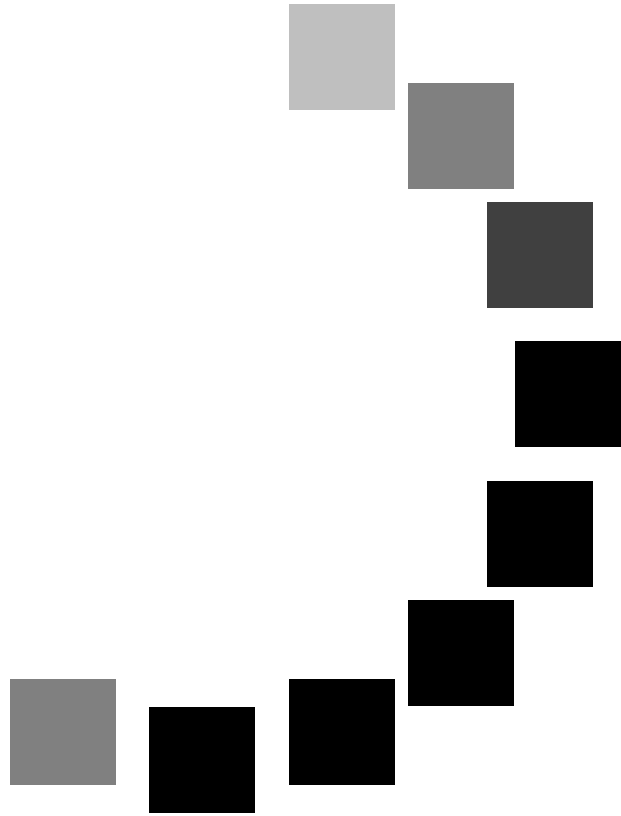


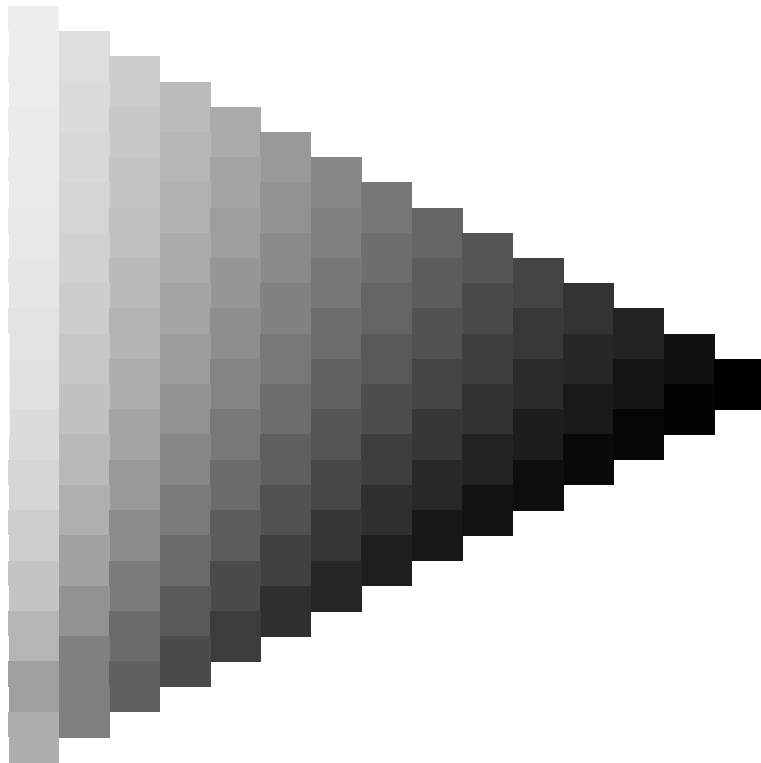
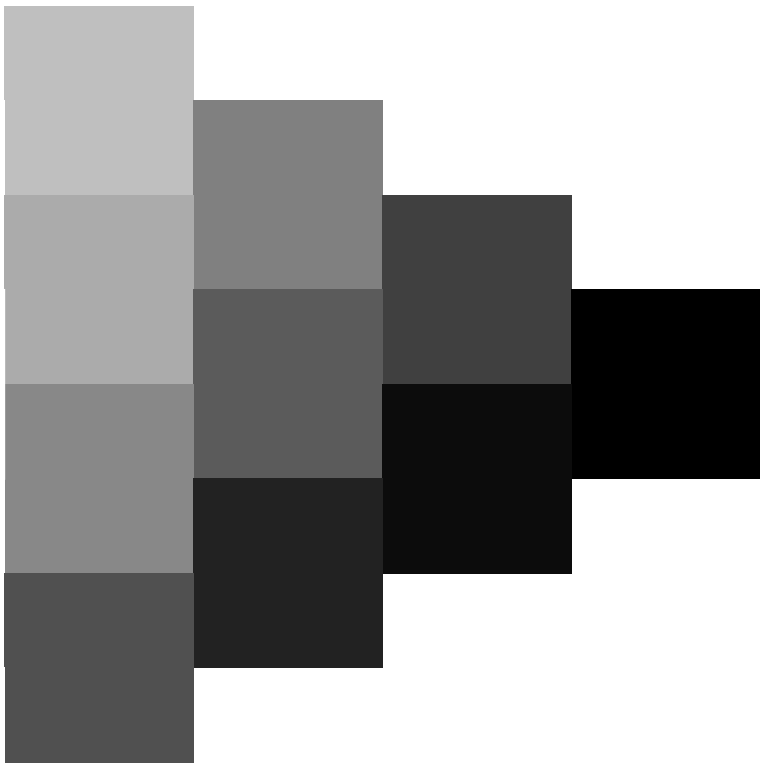


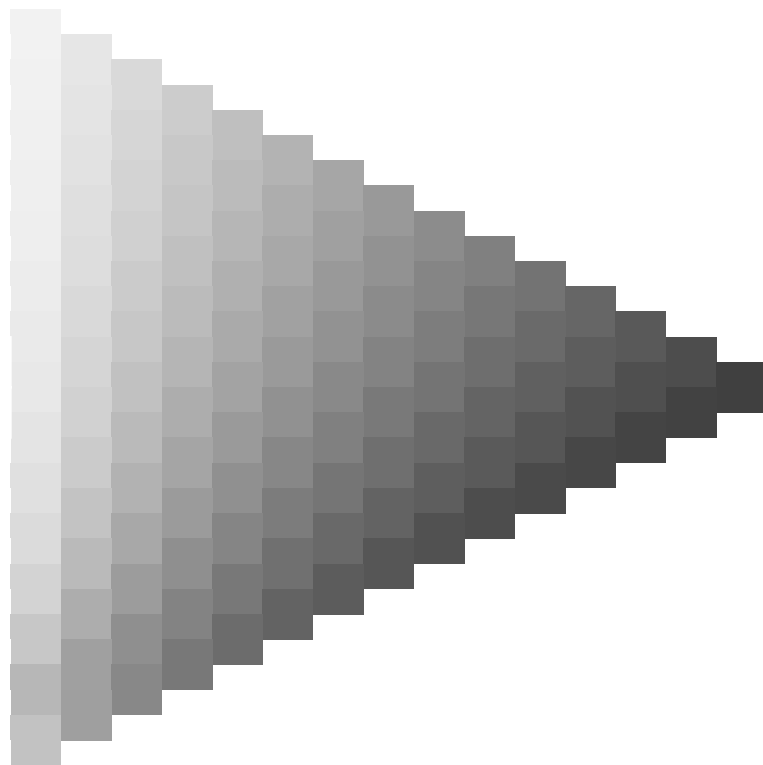
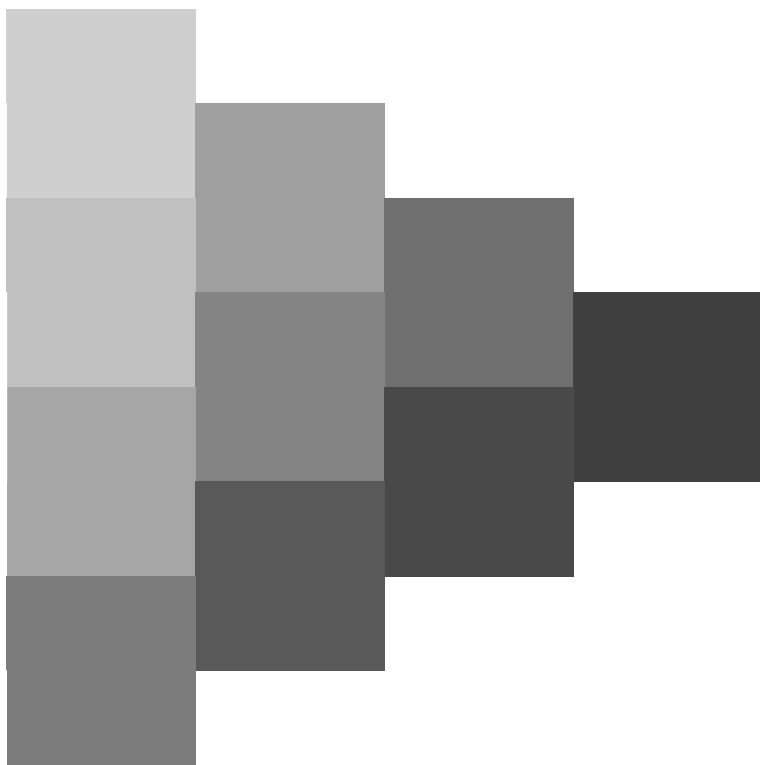


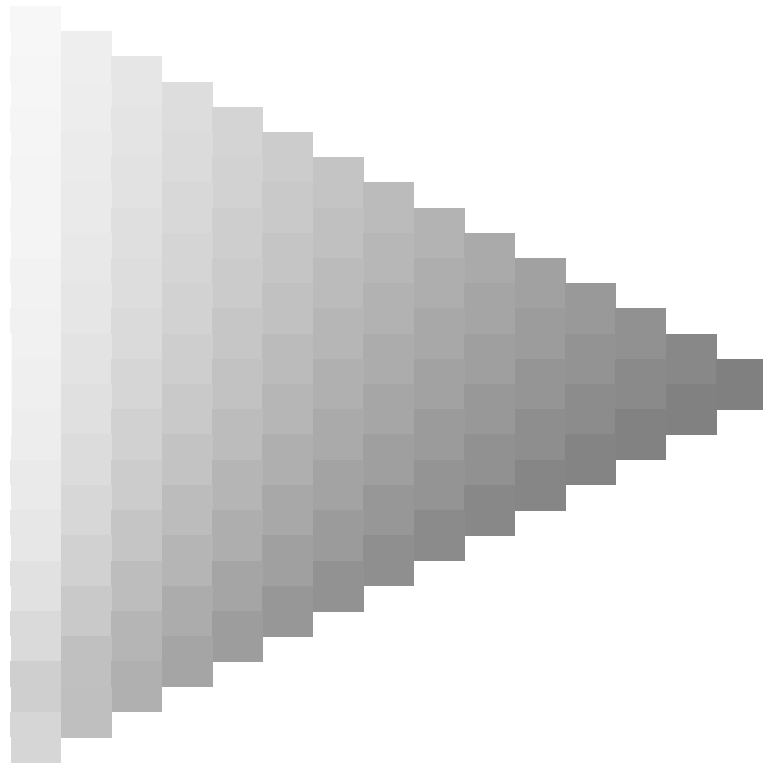
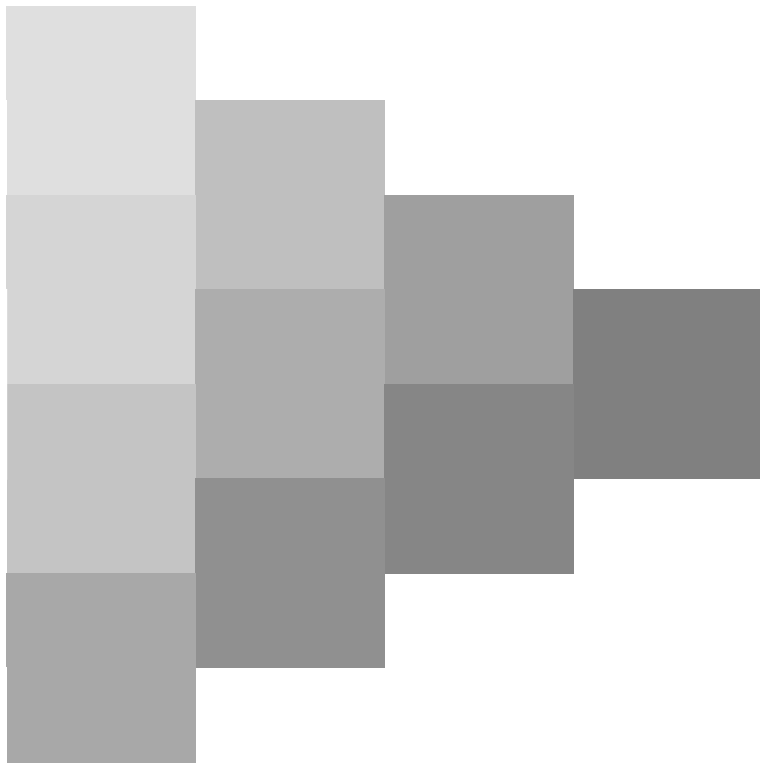


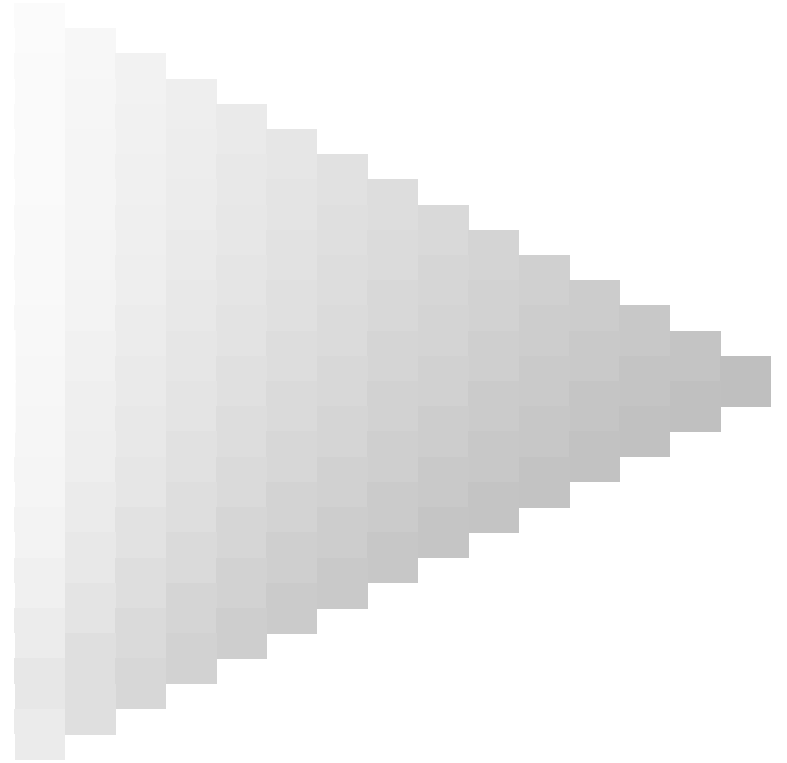
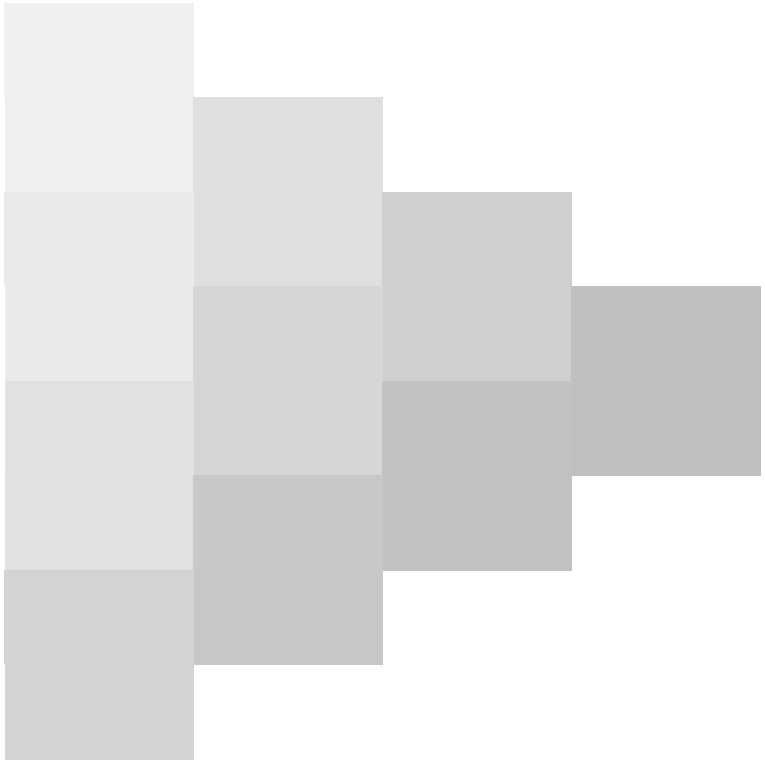
















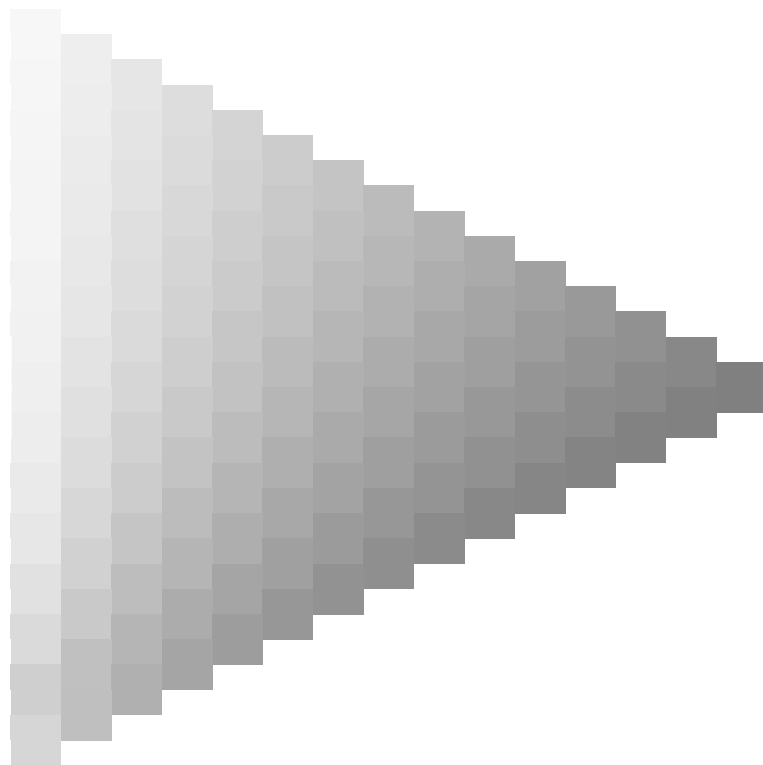
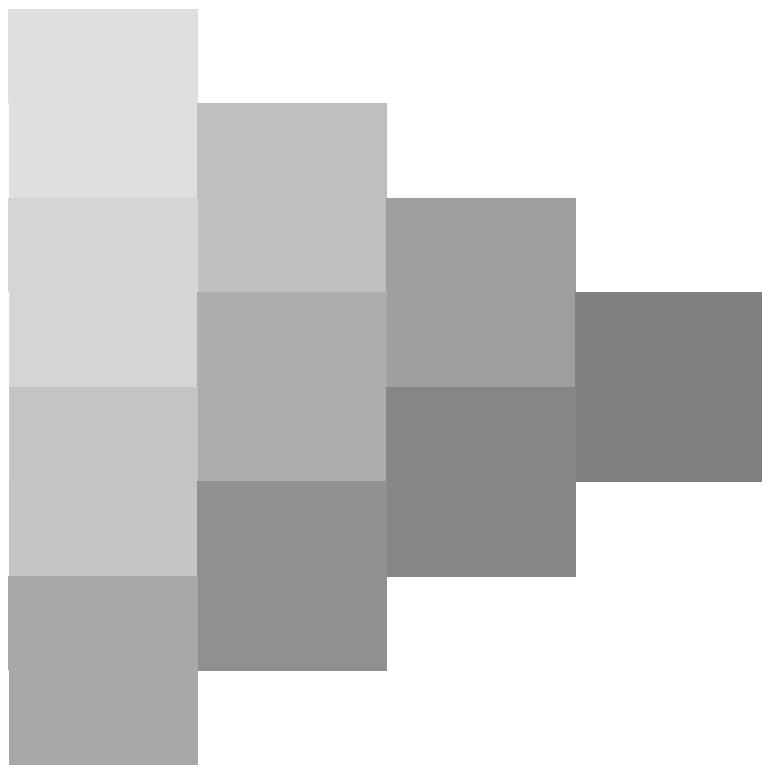
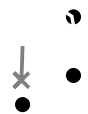


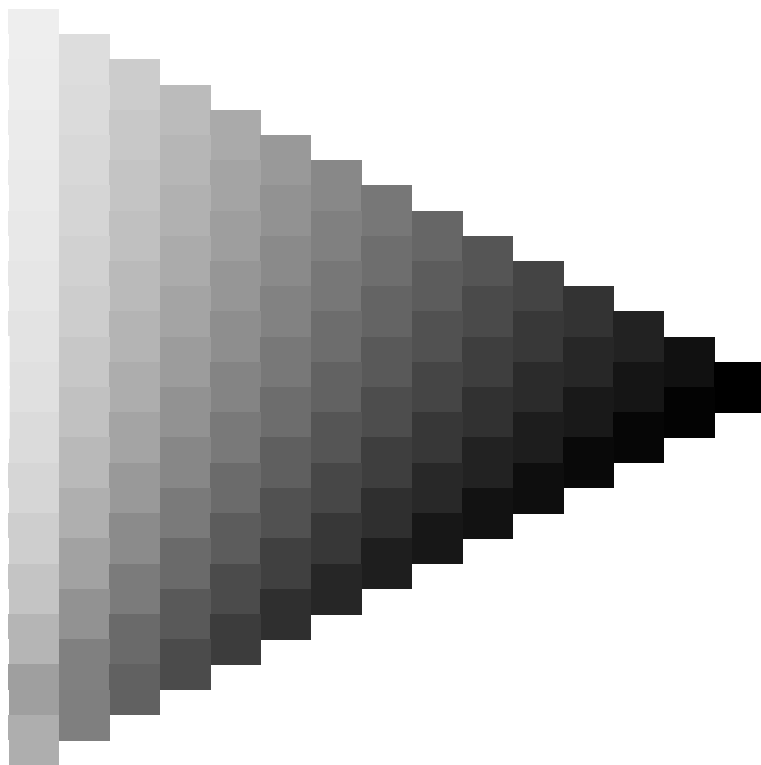
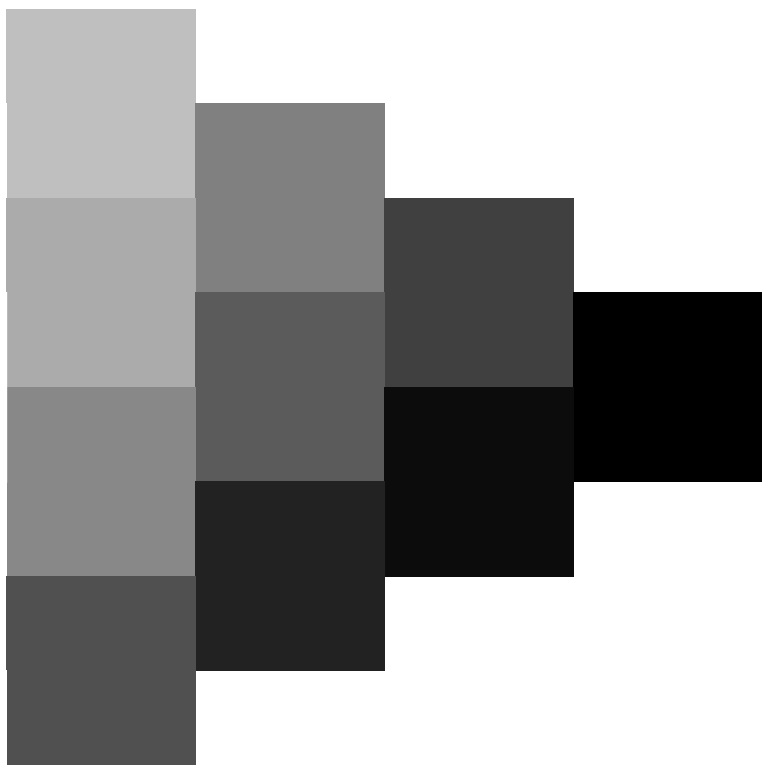
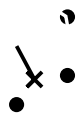


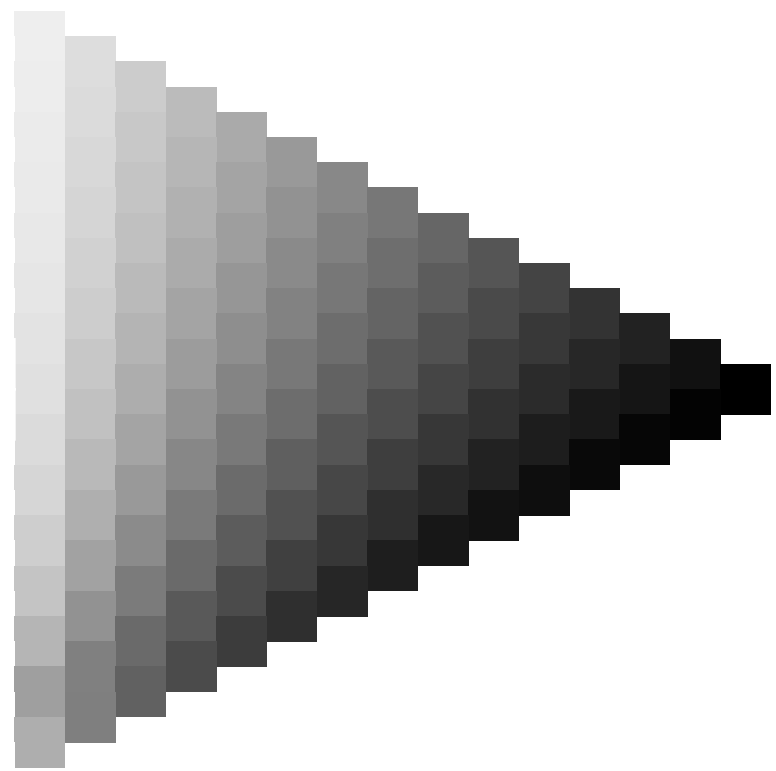
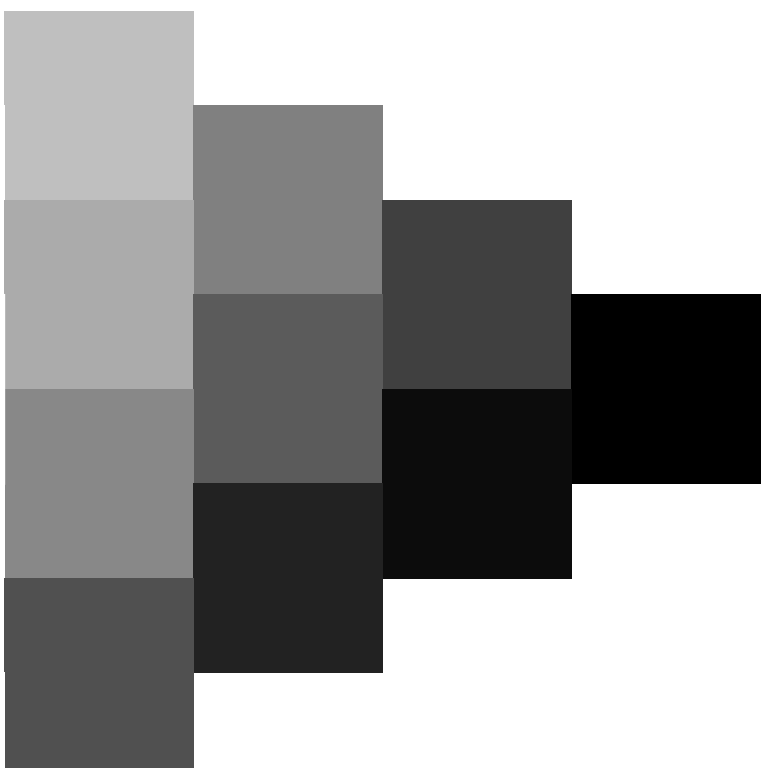




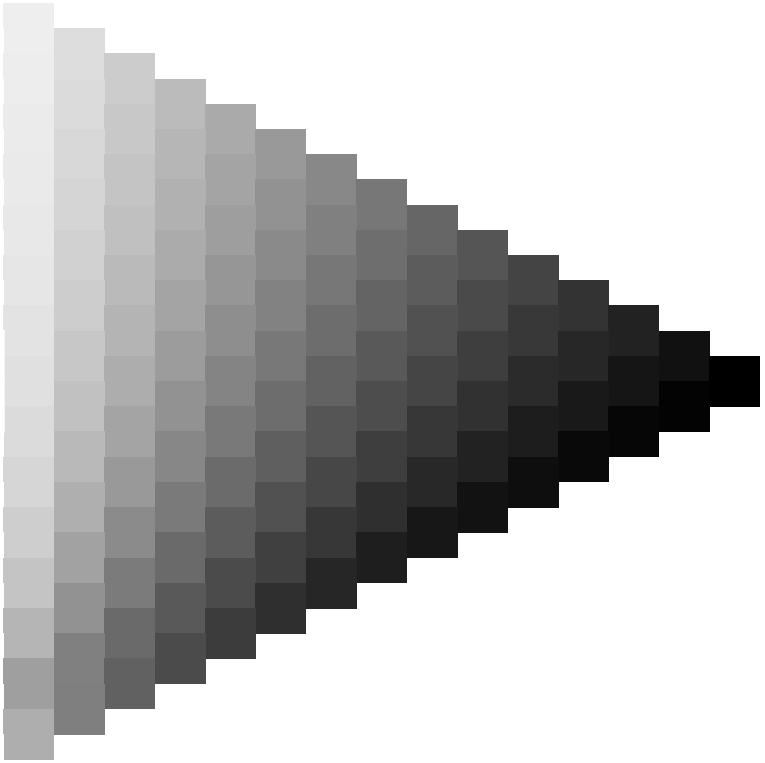
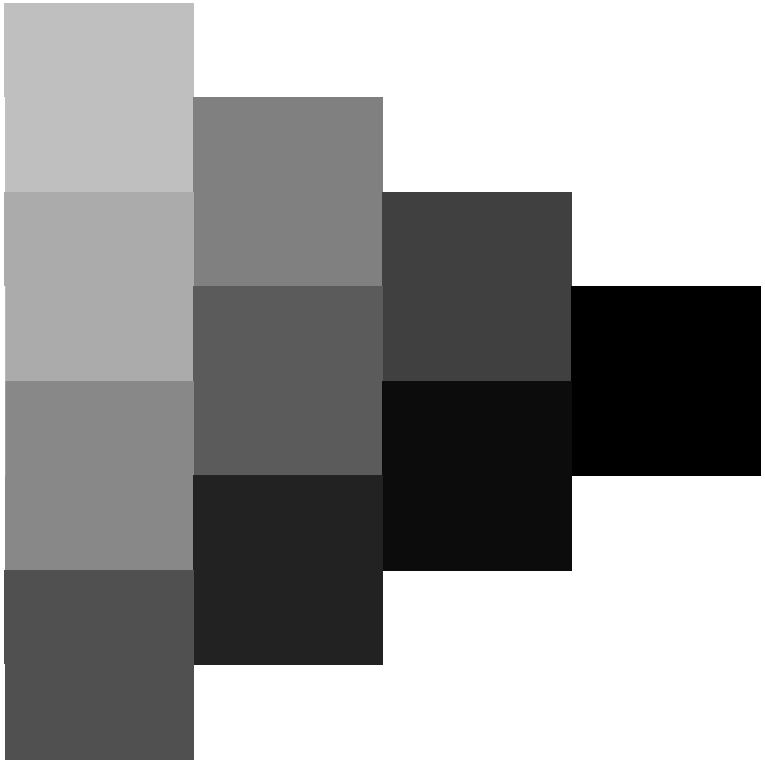




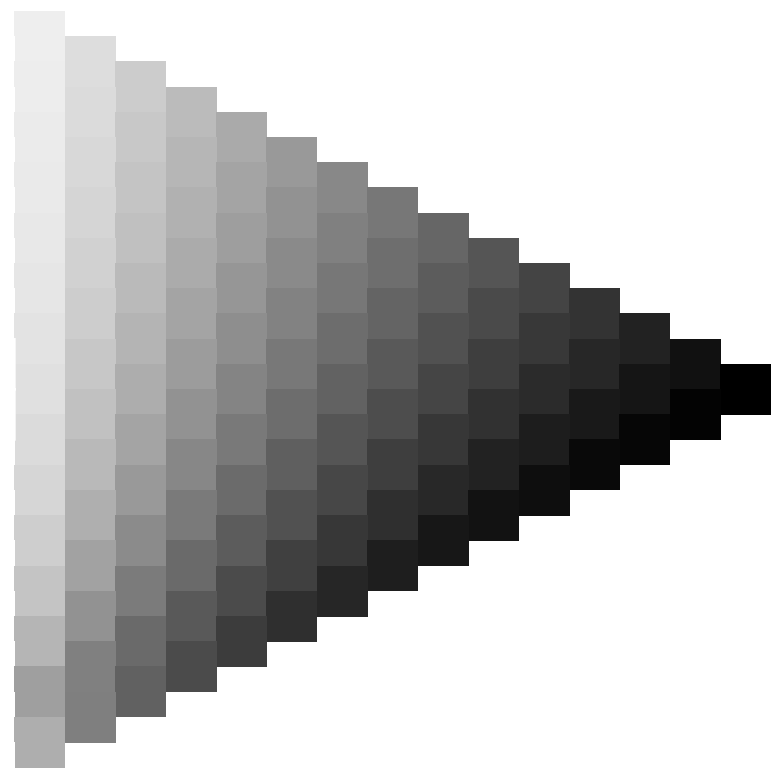
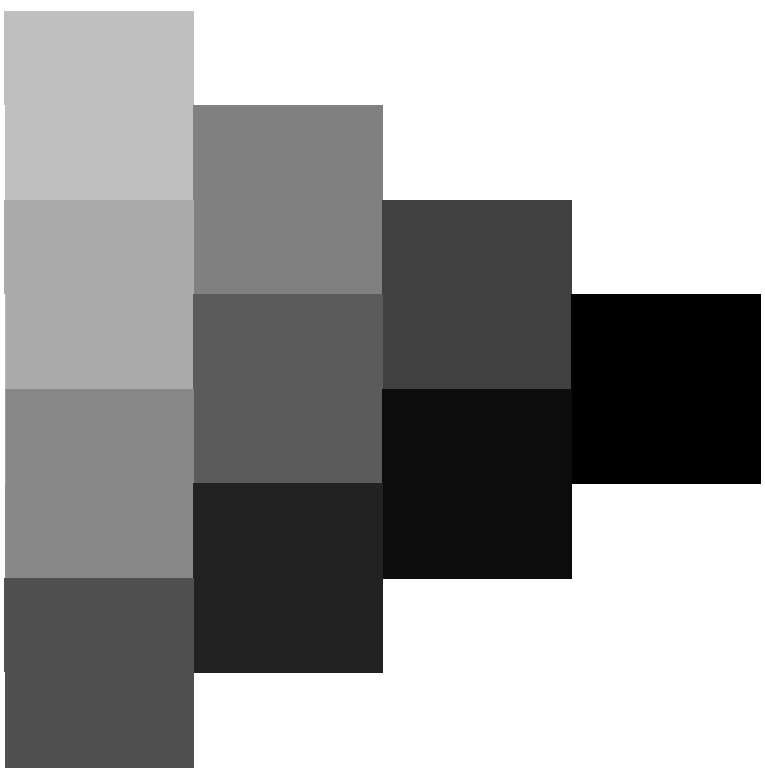


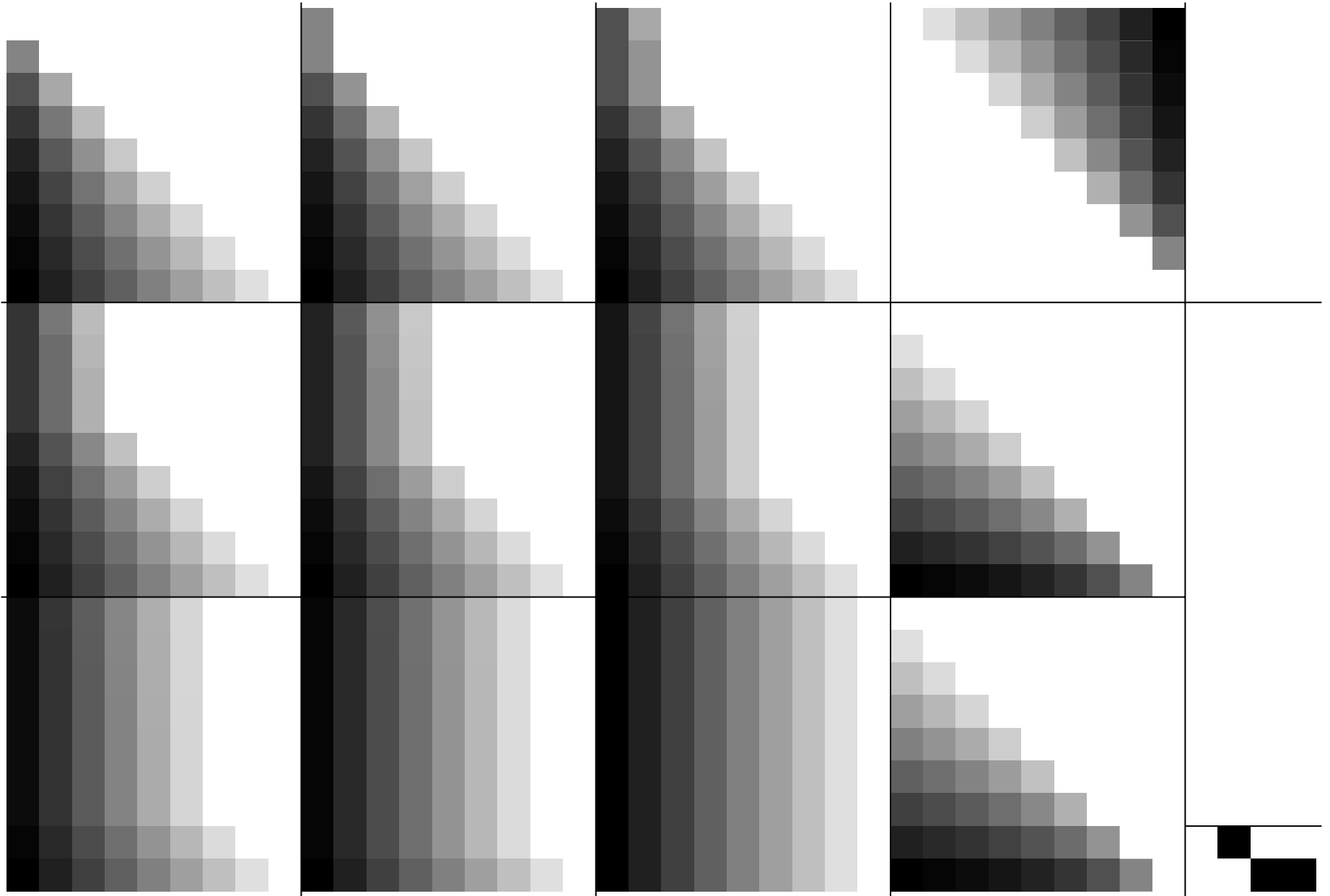


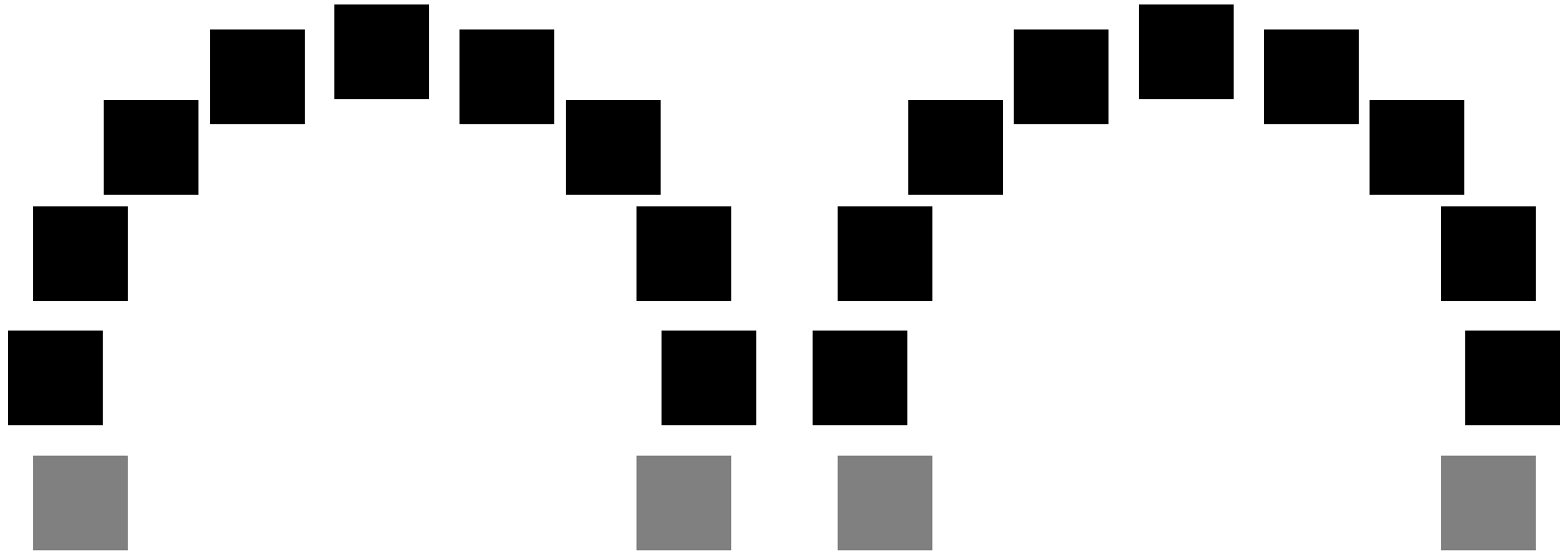
• x
•
•

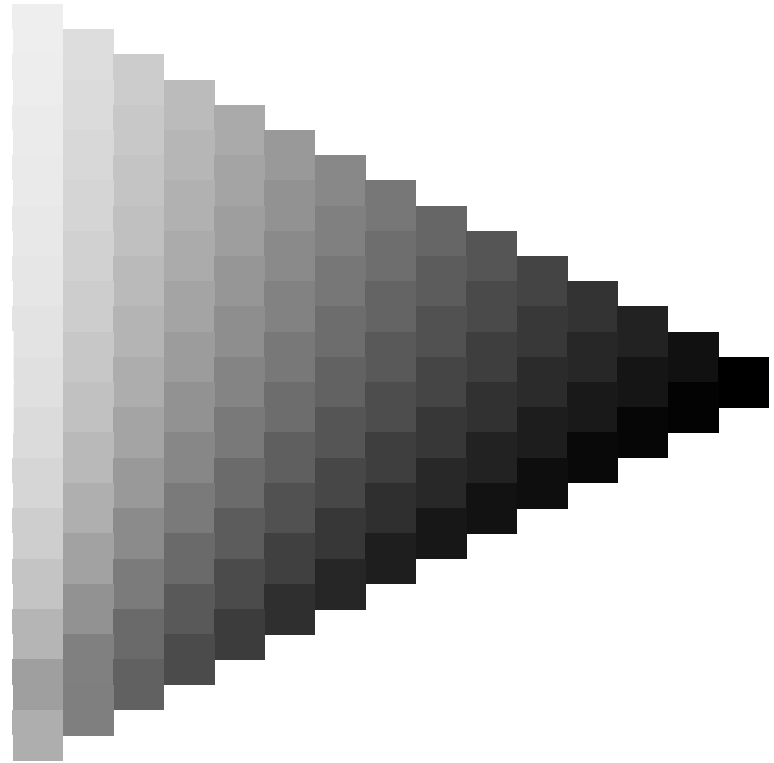
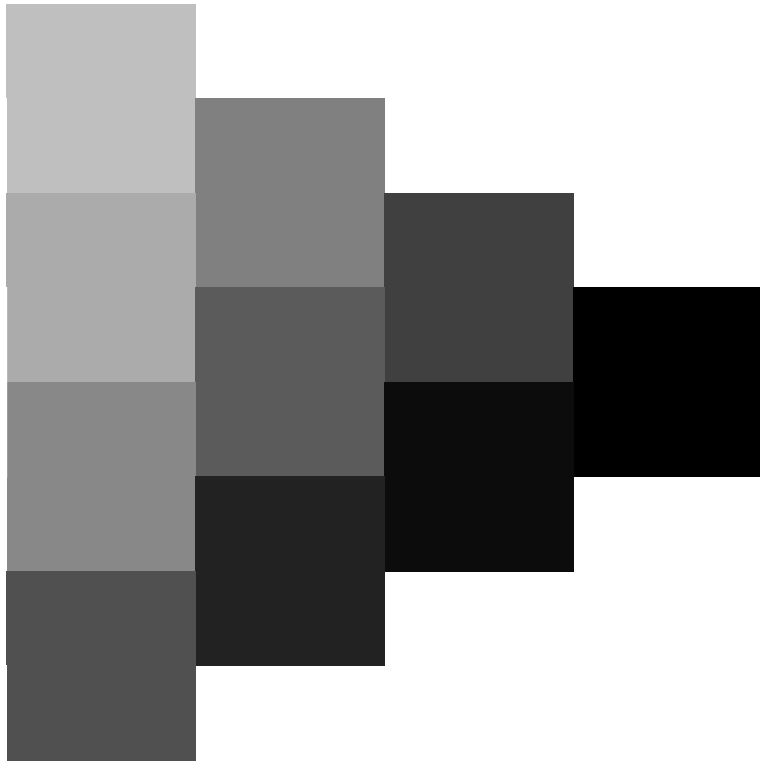


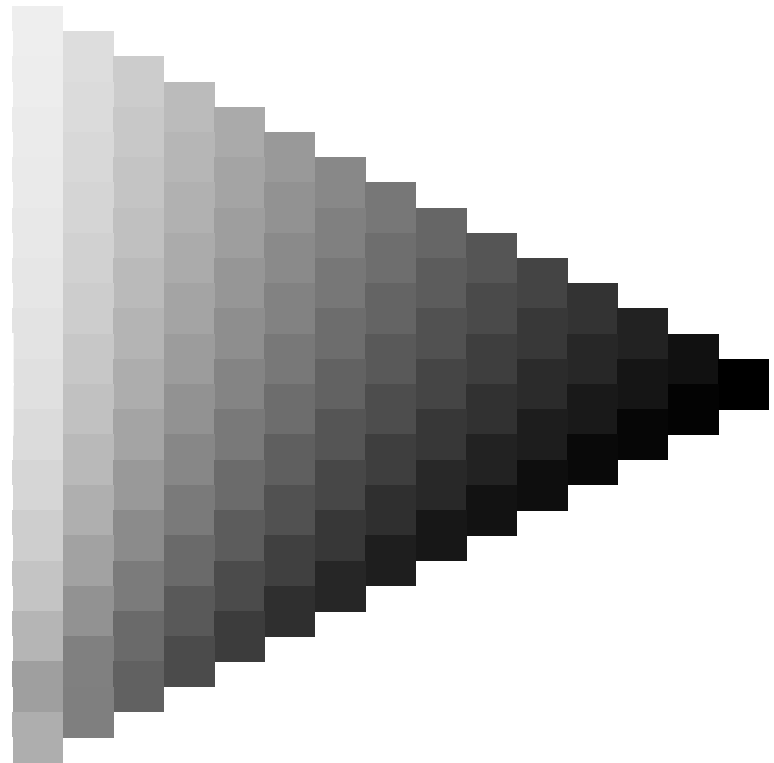
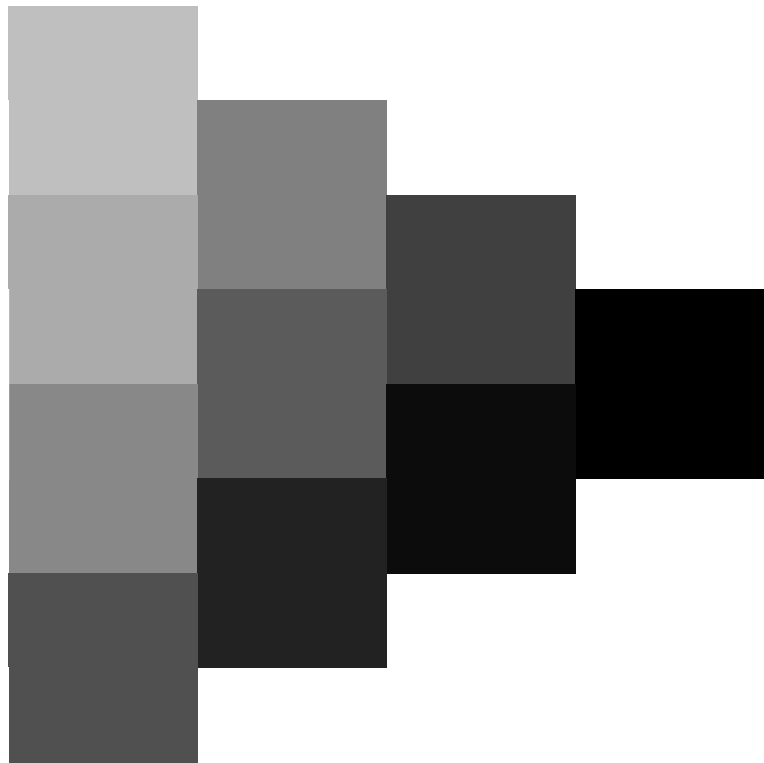
2
•
•



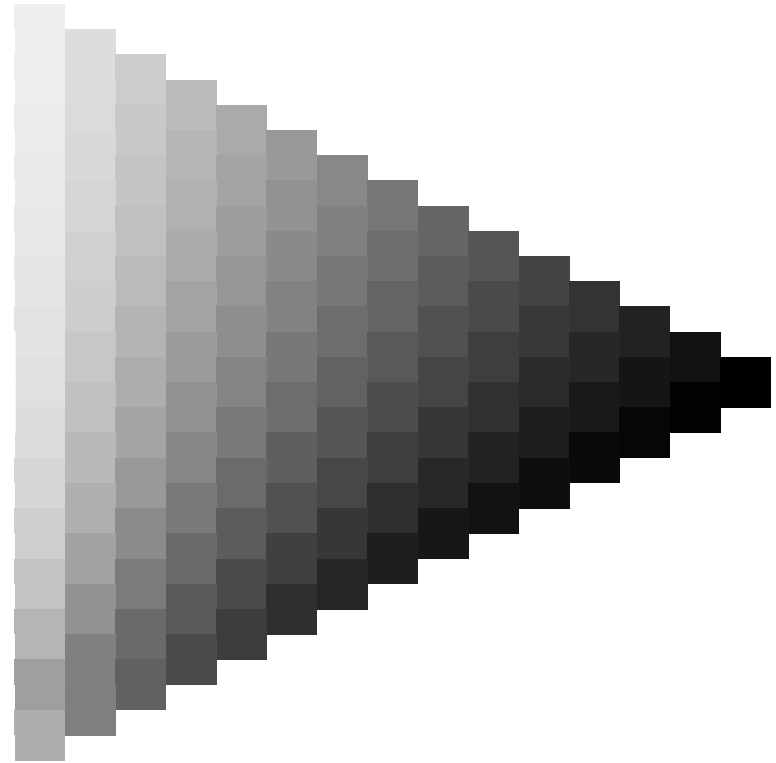
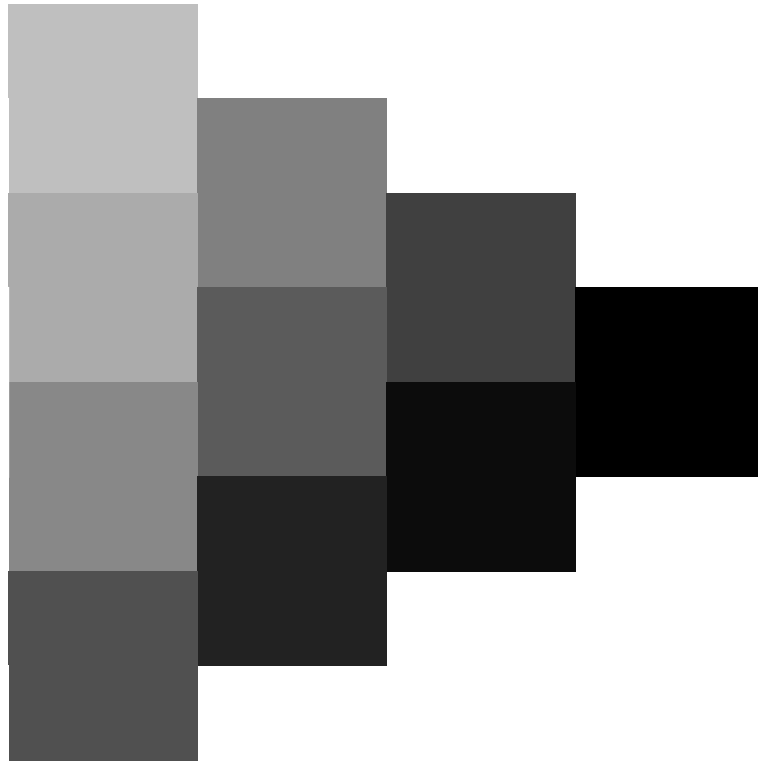




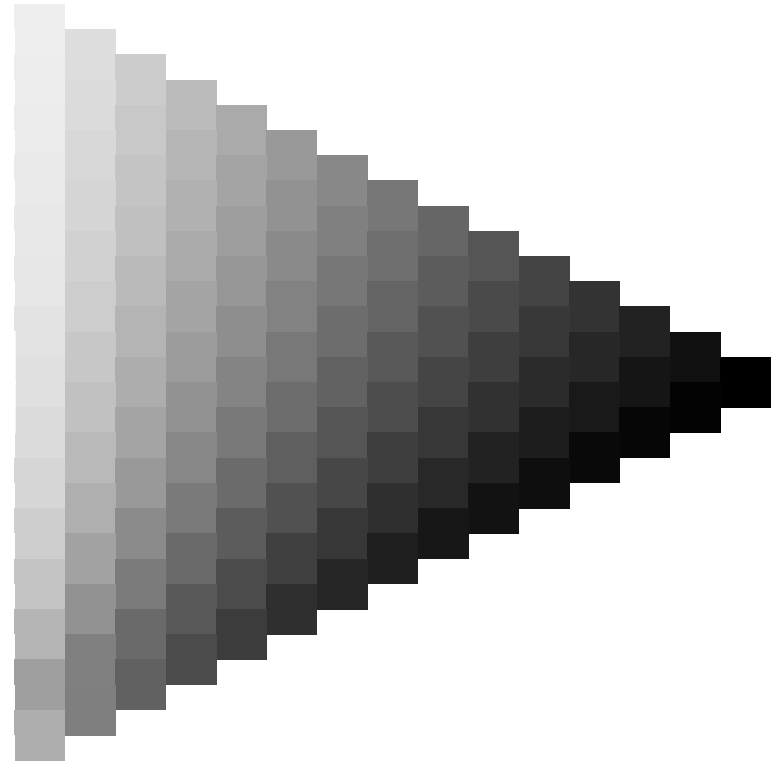
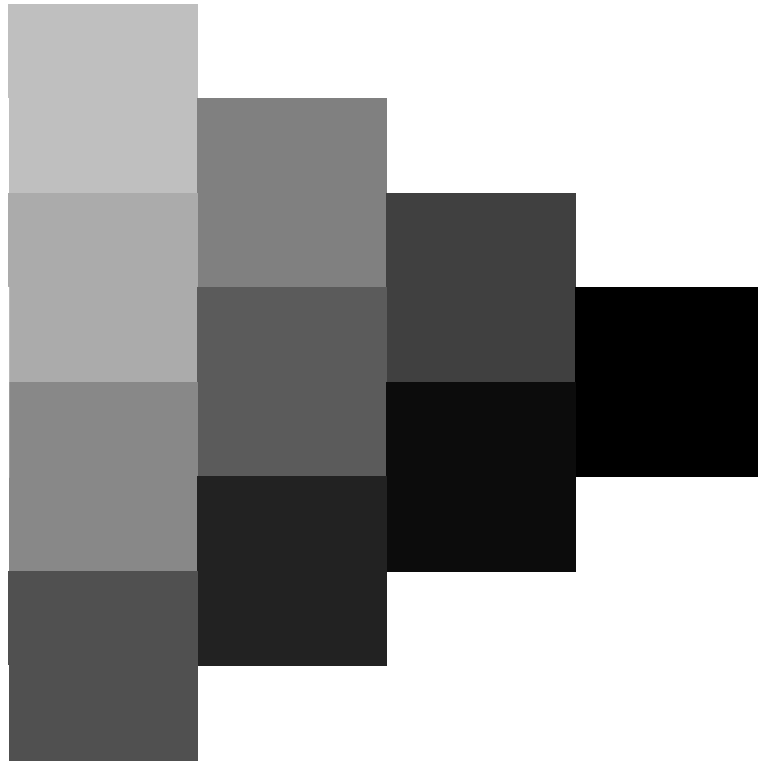




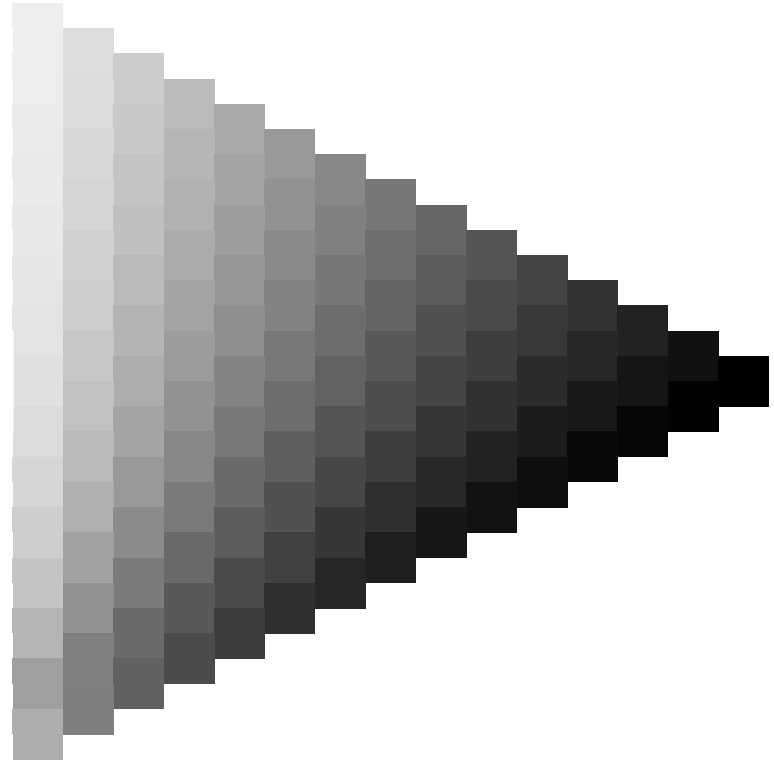
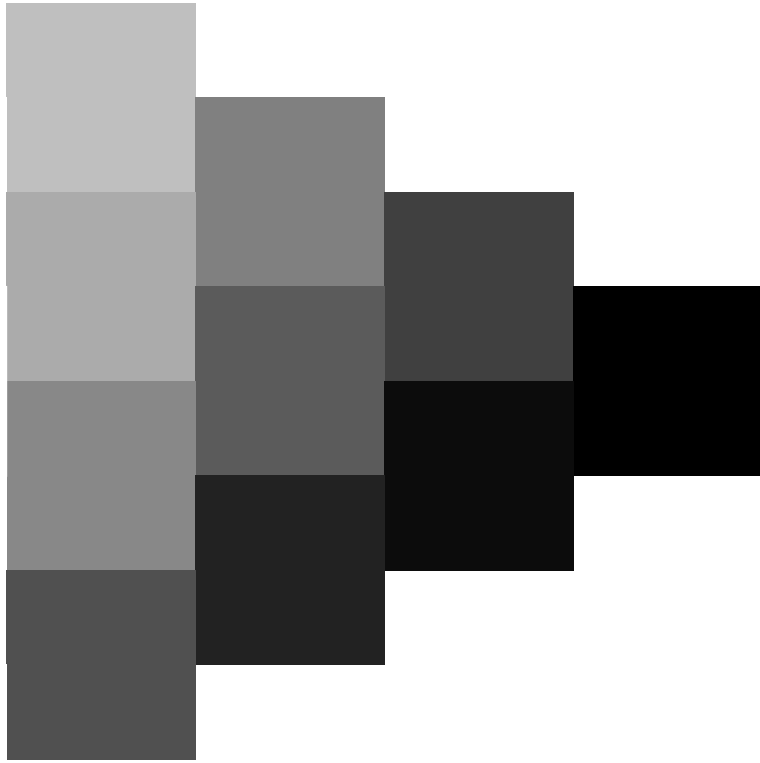
• 7 •

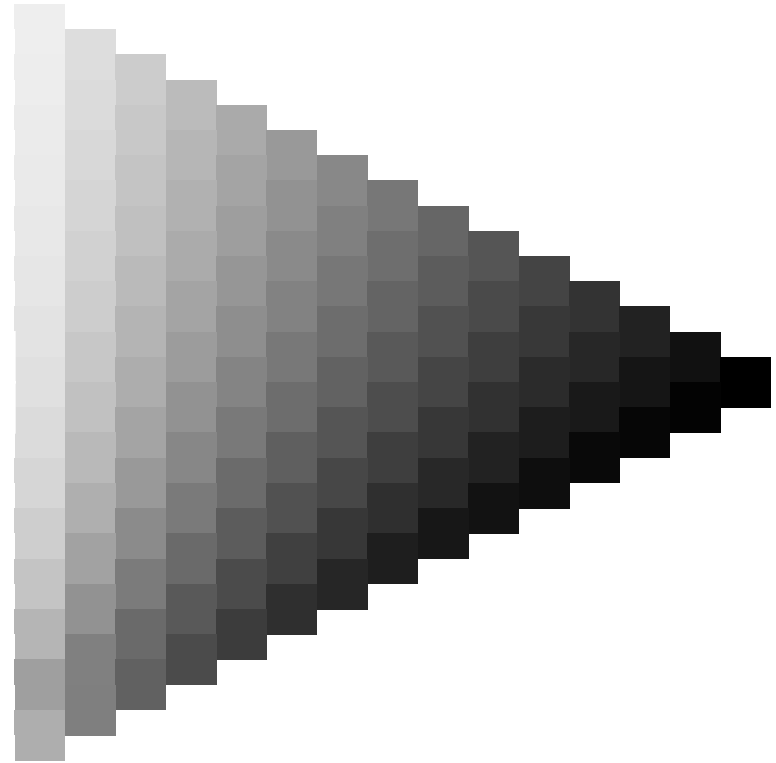
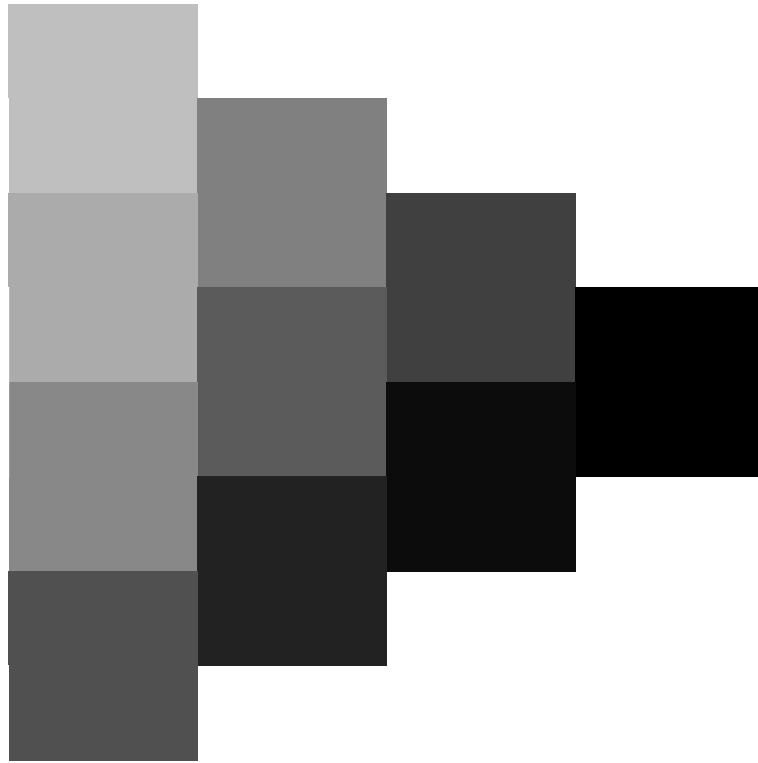


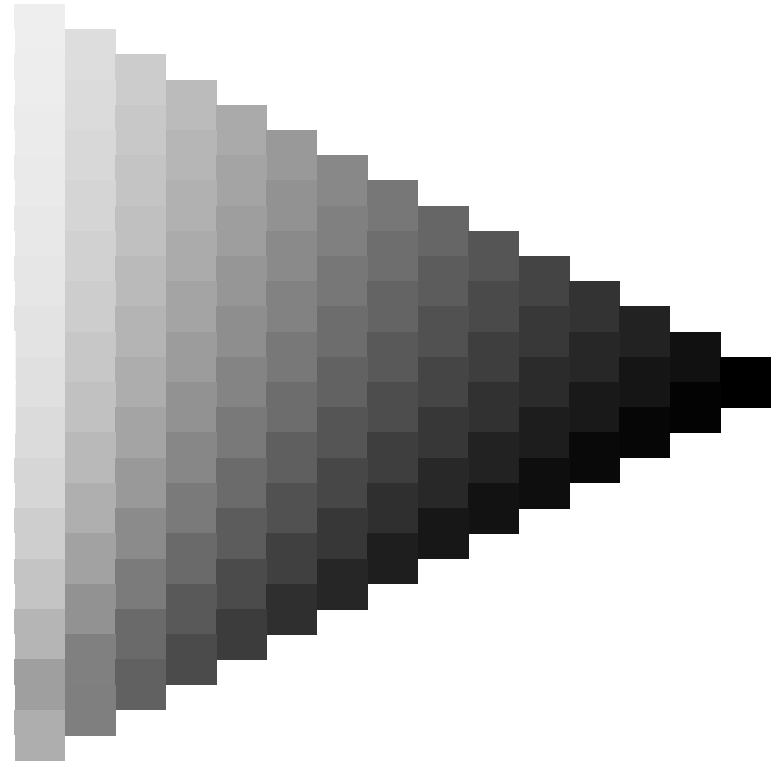
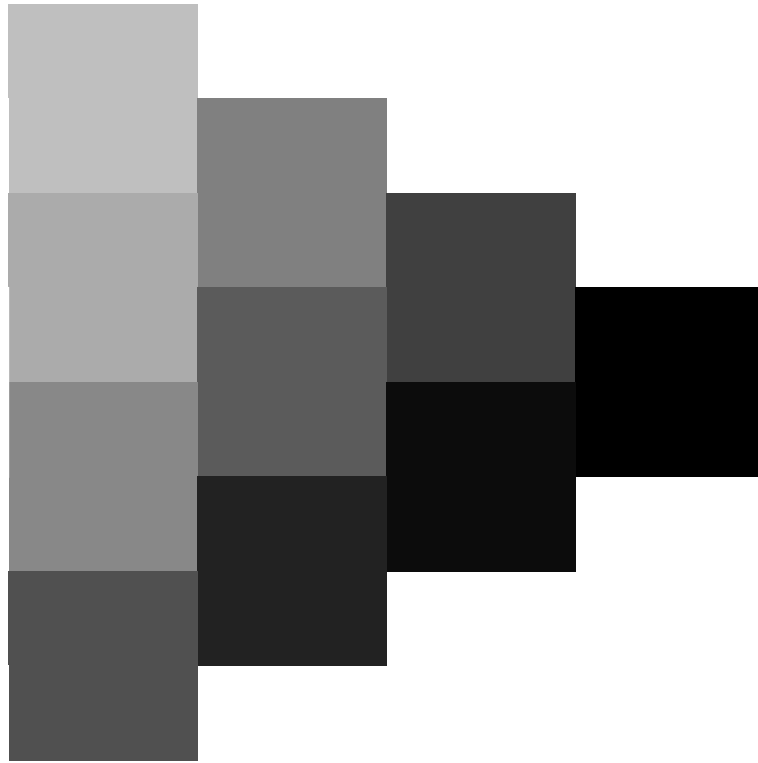
• ✎ •

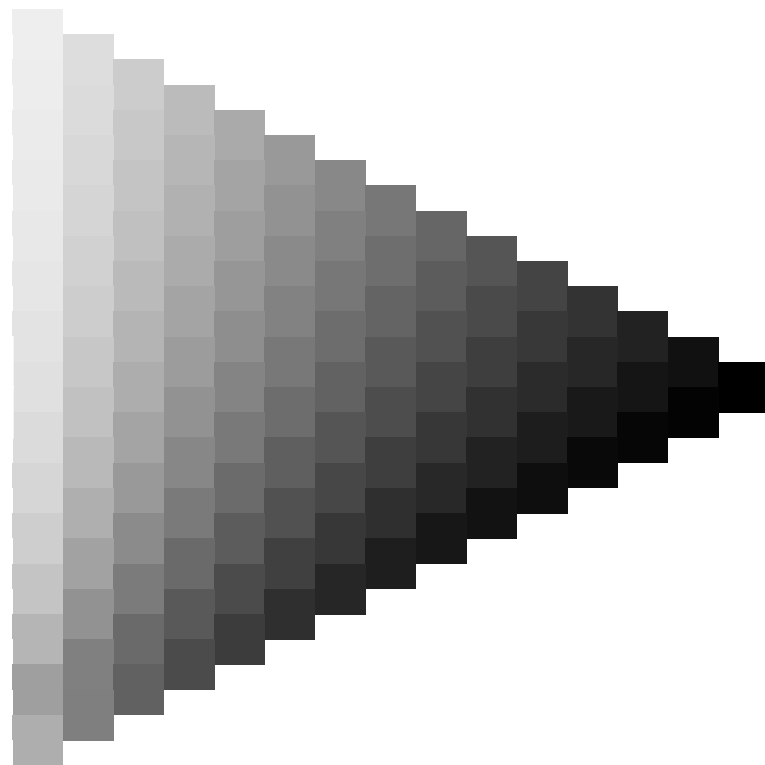
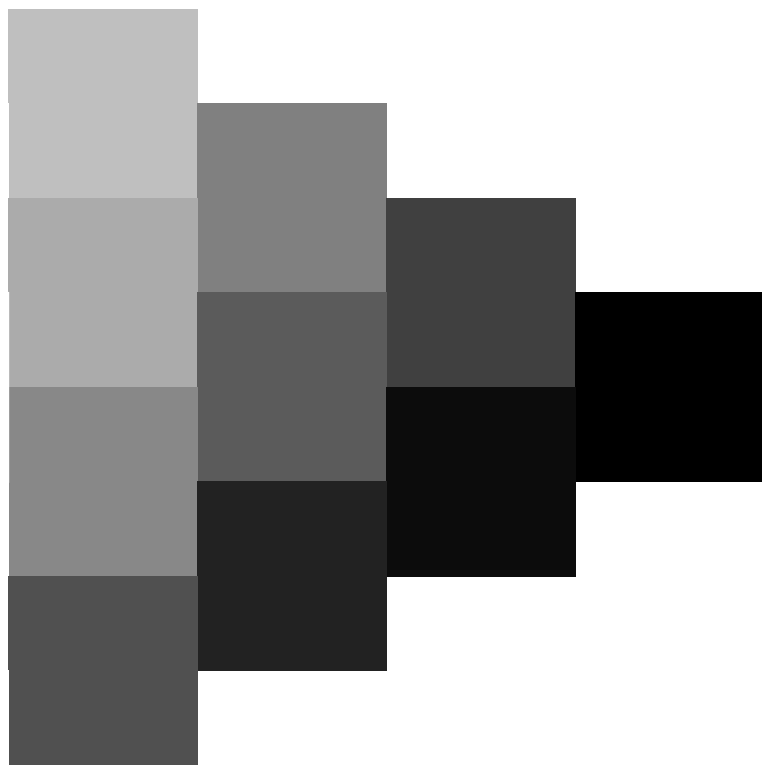


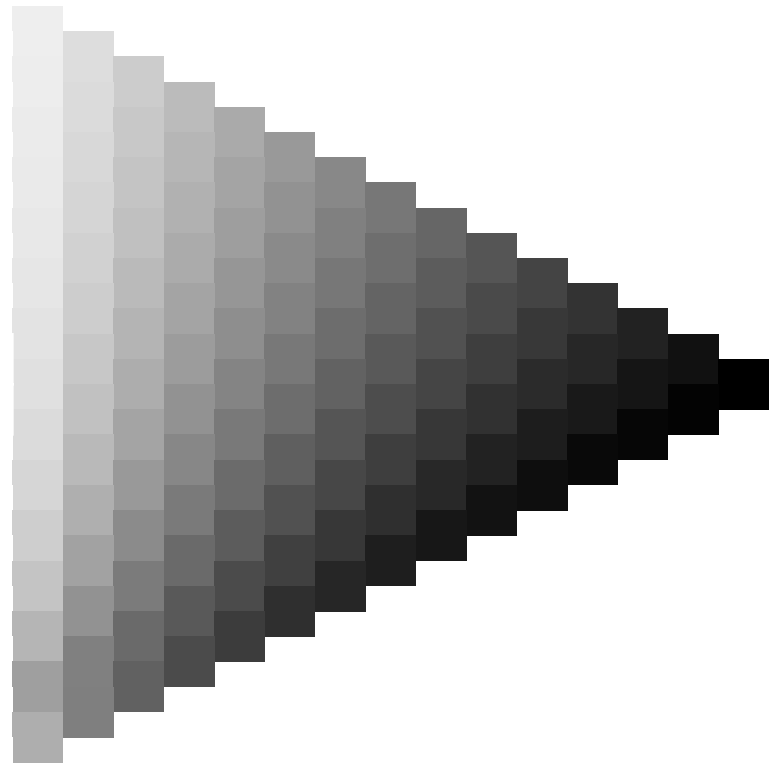
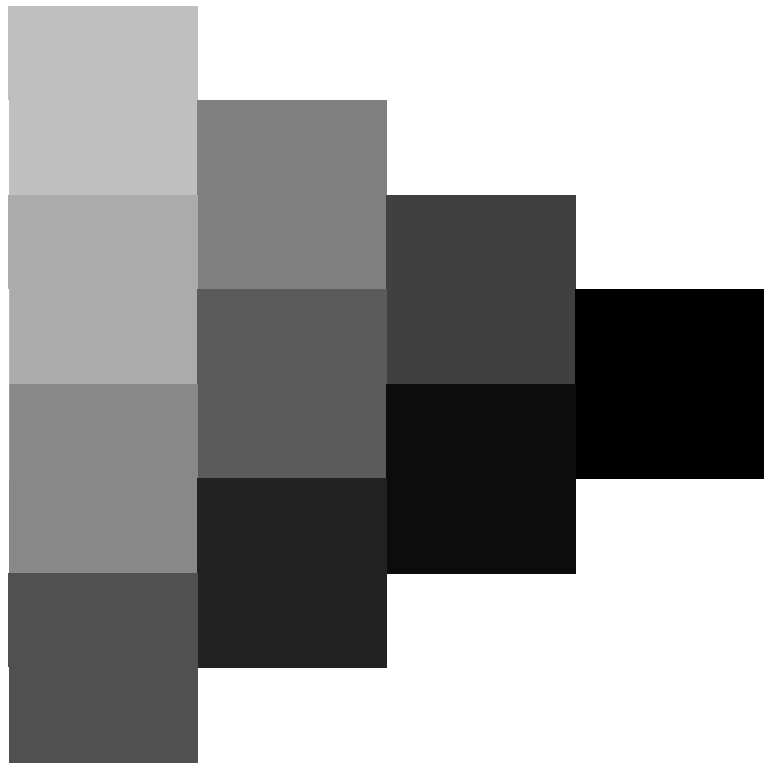
• ✖ •

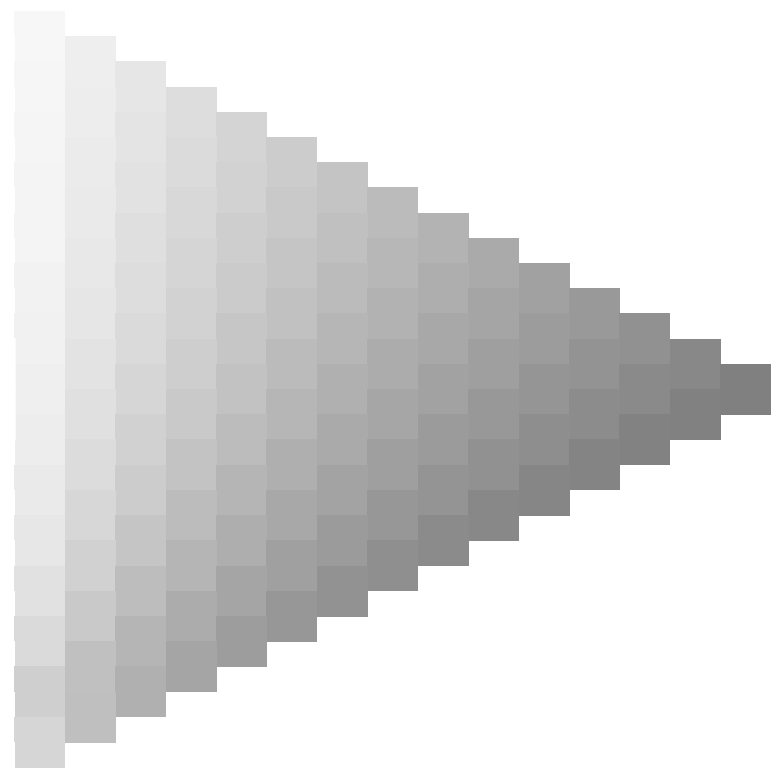
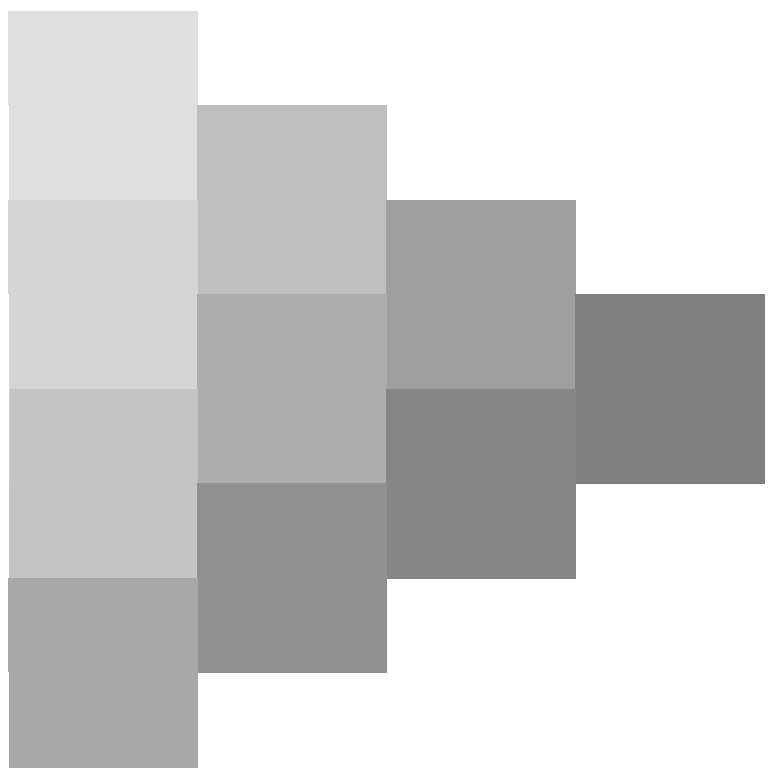












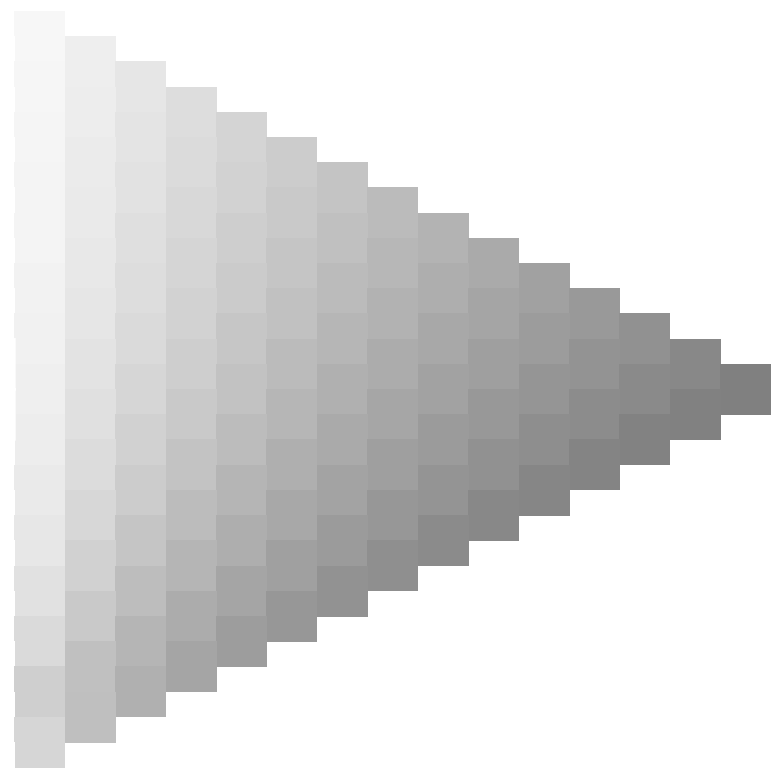
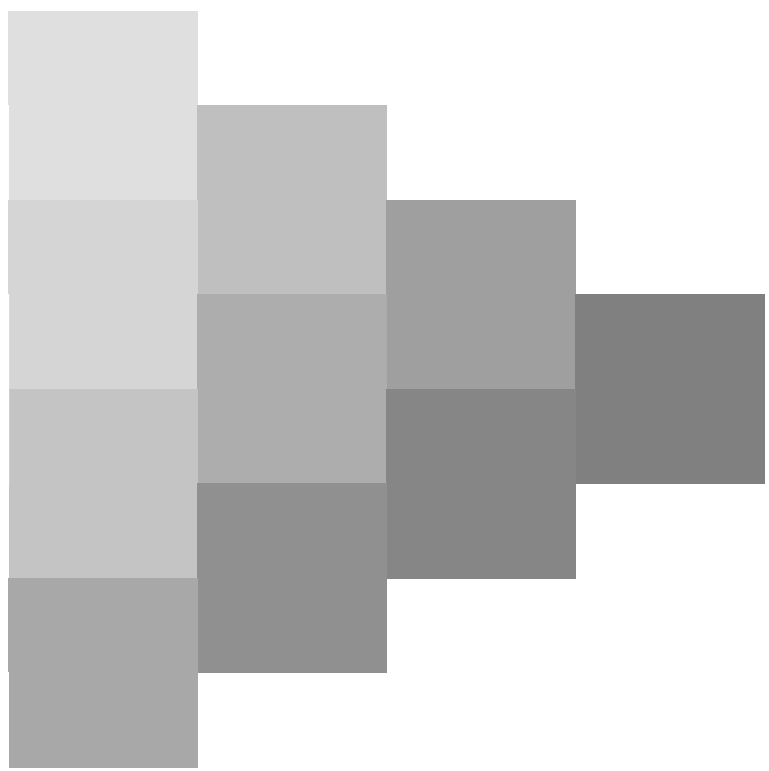


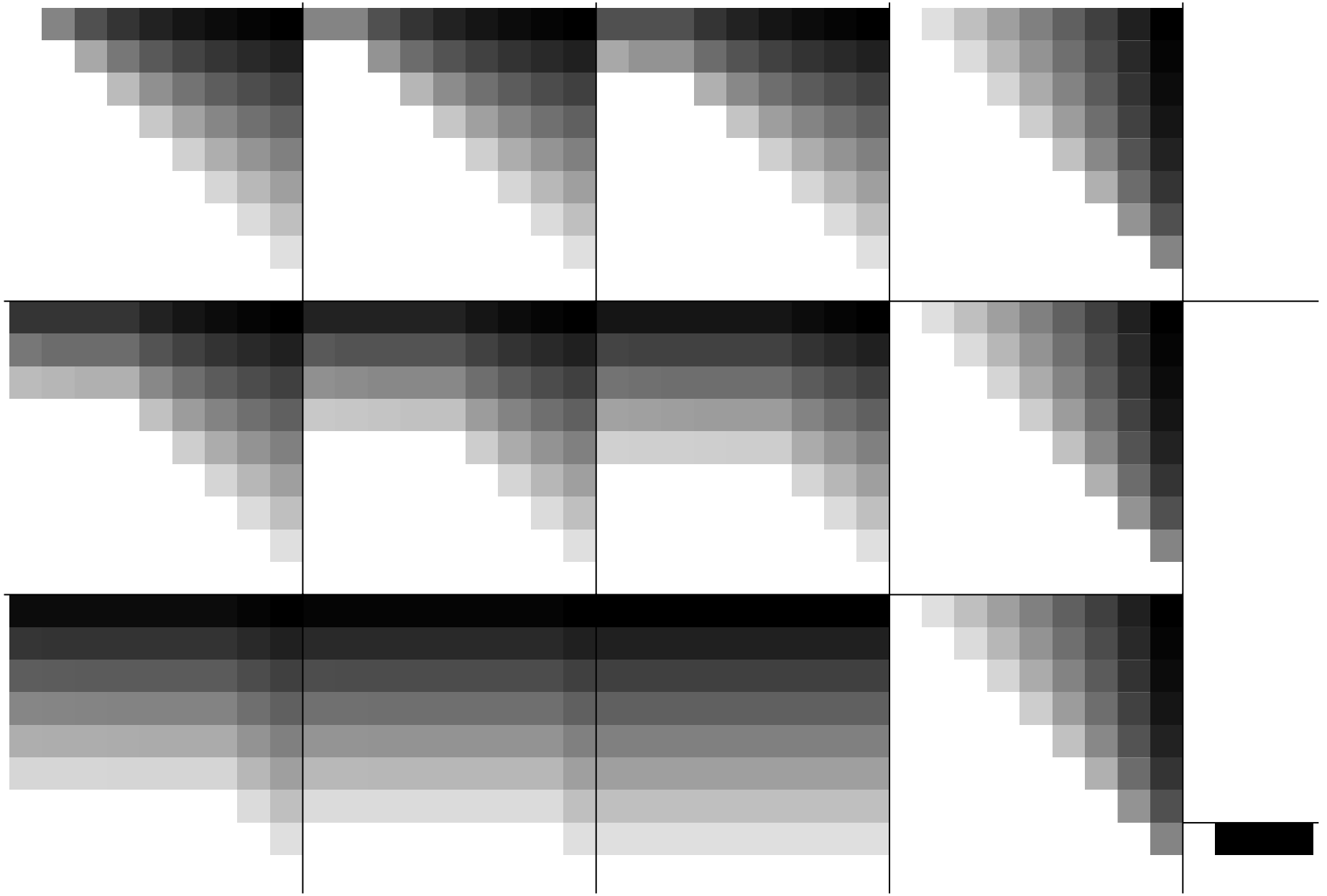












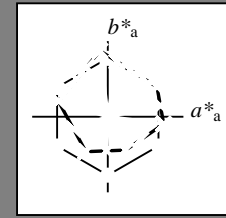
Ein und Ausgabe:
 Farbmatisches Drucker-Reflektiv-System ORS19_96a

Daten für jede Farbe:
 u^*_d und Nummer *Nr.* = 00 .. 15

Geräte-Bunttextext:
 $u^*_d = 16$ Bunttoene *o00y, o25y, ..., m50o*

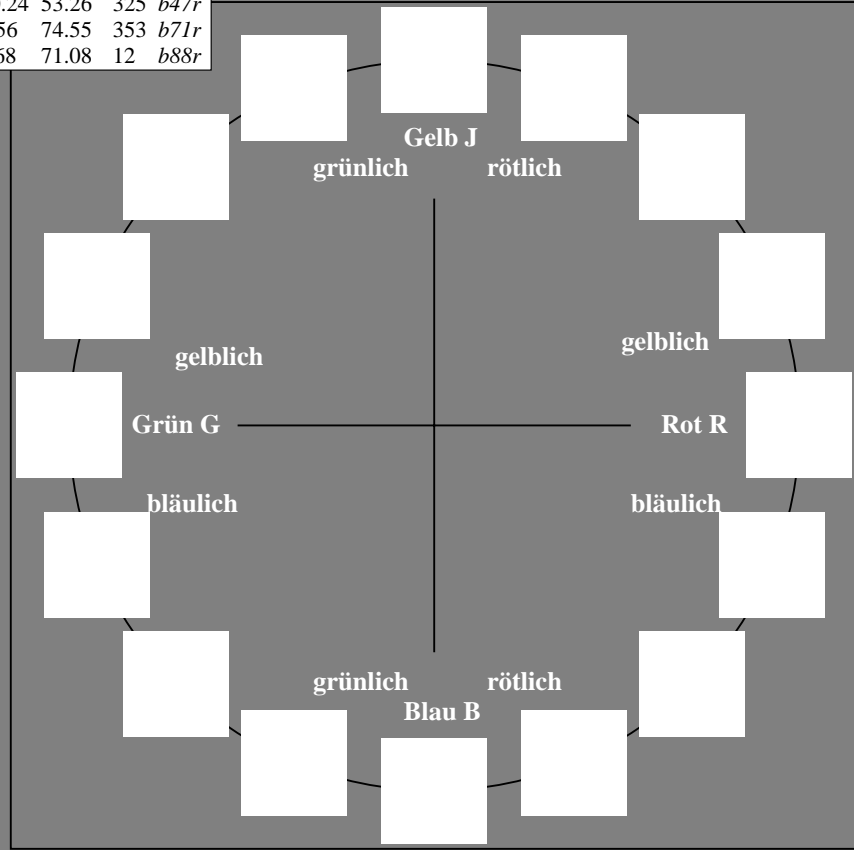
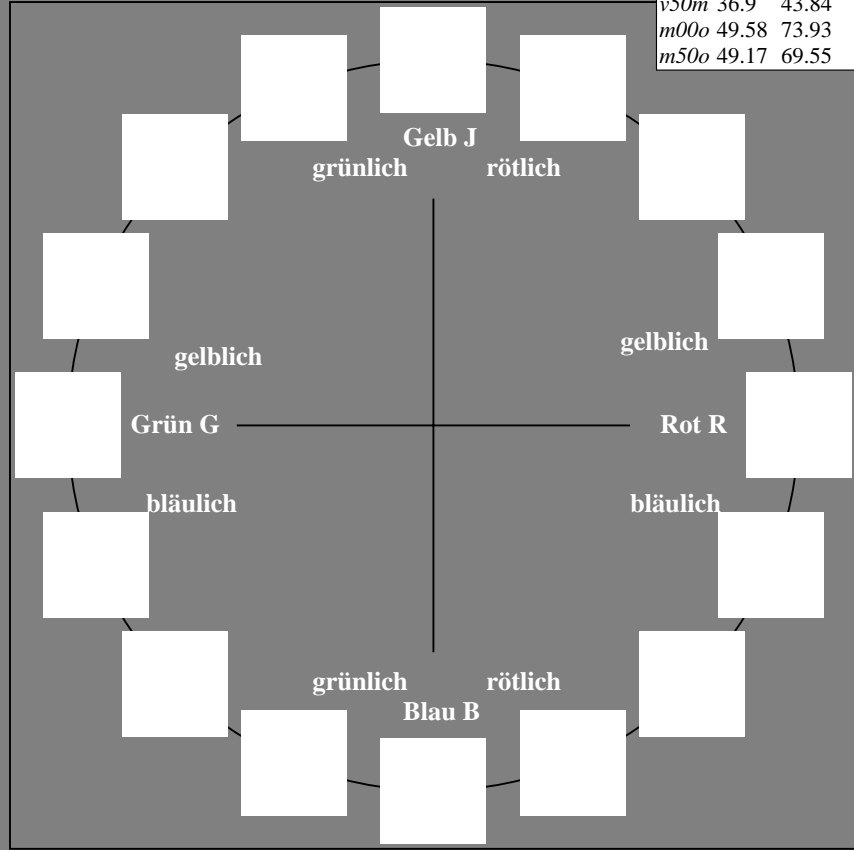
Kontrastreduzierungsfaktor:
 $c_R = 1.0$

ORS19_96a; adaptierte CIELAB-Daten						
u^*_d	$L^*=L^*_a$	a^*_a	b^*_a	$C^*_{ab,a}$	$h^*_{ab,a}$	u^*_e
<i>o00y</i>	48.75	65.07	39.43	76.08	31	<i>r08j</i>
<i>o25y</i>	59.04	46.67	51.1	69.21	48	<i>r33j</i>
<i>o50y</i>	68.32	30.09	61.62	68.58	64	<i>r57j</i>
<i>o75y</i>	78.23	12.39	72.85	73.9	80	<i>r81j</i>
<i>y00l</i>	90.92	-10.29	87.24	87.85	97	<i>j06g</i>
<i>y25l</i>	78.57	-28.11	65.75	71.51	113	<i>j29g</i>
<i>y50l</i>	69.46	-41.25	49.92	64.75	130	<i>j53g</i>
<i>y75l</i>	61.32	-52.99	35.76	63.92	146	<i>j76g</i>
<i>l00c</i>	52.69	-65.44	20.75	68.65	162	<i>g00b</i>
<i>l50c</i>	56.55	-45.12	-16.57	48.07	200	<i>g34b</i>
<i>c00v</i>	59.61	-28.98	-46.22	54.56	238	<i>g69b</i>
<i>c50v</i>	43.33	-1.54	-45.13	45.16	268	<i>g96b</i>
<i>v00m</i>	28.39	23.63	-44.13	50.06	298	<i>b23r</i>
<i>v50m</i>	36.9	43.84	-30.24	53.26	325	<i>b47r</i>
<i>m00o</i>	49.58	73.93	-9.56	74.55	353	<i>b71r</i>
<i>m50o</i>	49.17	69.55	14.68	71.08	12	<i>b88r</i>



%Umfang
 $u^*_{rel} = 89$
 %Regularität
 $g^*_{H,rel} = 72$
 $g^*_{C,rel} = 57$

ORS19_96a; adaptierte CIELAB-Daten					
Name	$L^*=L^*_a$	a^*_a	b^*_a	$C^*_{ab,a}$	$h^*_{ab,a}$
O _{Ma}	48.75	65.07	39.43	76.08	31
Y _{Ma}	90.92	-10.29	87.24	87.85	97
L _{Ma}	52.69	-65.44	20.75	68.65	162
C _{Ma}	59.61	-28.98	-46.22	54.56	238
V _{Ma}	28.39	23.63	-44.13	50.06	298
M _{Ma}	49.58	73.93	-9.56	74.55	353
N _{Ma}	18.89	0.0	0.0	0.0	0
W _{Ma}	96.9	0.0	0.0	0.0	0
O _{CIE}	39.92	58.74	27.99	65.07	25
Y _{CIE}	81.26	-2.89	71.56	71.62	92
L _{CIE}	52.23	-42.42	13.6	44.55	162
V _{CIE}	30.57	1.41	-46.47	46.49	272



Ein und Ausgabe: Farbmetrisches Drucker-Reflektiv-System ORS19_96a für relativen CIELAB-Bunton $h^* = lab^*h^* = h_{ab}/360 = 0.087$

$u^*_d = 0.00y$

Daten für jede Farbe:

lab^*tch^* und lab^*icu^*

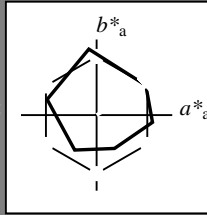
Buntontexte:

$u^*_d = 0.00y$ $u^*_e = r08j$

Kontrastreduzierungsfaktor:

$c_R = 1.0$

Dreiecks-Helligkeit t^*



ORS19_96a; adaptierte CIELAB-Daten						
u^*_d	$L^*=L^*_a$	a^*_a	b^*_a	$C^*_{ab,a}$	$h^*_{ab,a}$	
O _{Ma}	48.75	65.07	39.43	76.08	31	
Y _{Ma}	90.92	-10.29	87.24	87.85	97	
L _{Ma}	52.69	-65.44	20.75	68.65	162	
C _{Ma}	59.61	-28.98	-46.22	54.56	238	
V _{Ma}	28.39	23.63	-44.13	50.06	298	
M _{Ma}	49.58	73.93	-9.56	74.55	353	
N _{Ma}	18.89	0.0	0.0	0.0	0	
W _{Ma}	96.9	0.0	0.0	0.0	0	
O _{Ma}	39.92	58.74	27.99	65.07	25	
Y _{Ma}	81.26	-2.89	71.56	71.62	92	
L _{Ma}	52.23	-42.42	13.6	44.55	162	
V _{Ma}	30.57	1.41	-46.47	46.49	272	

Daten für Maximalfarbe (Ma):

$LAB^*LAB^*_{Ma}$: 49 65 39

$LAB^*LCH^*_{Ma}$: 49 76 31

$lab^*olv^*_{Ma}$: 1.0 0.0 0.0

$lab^*rgb^*_{Ma}$: 1.0 0.09 0.0

Dreiecks-Helligkeit t^*

%Umfang

$u^*_{rel} = 89$

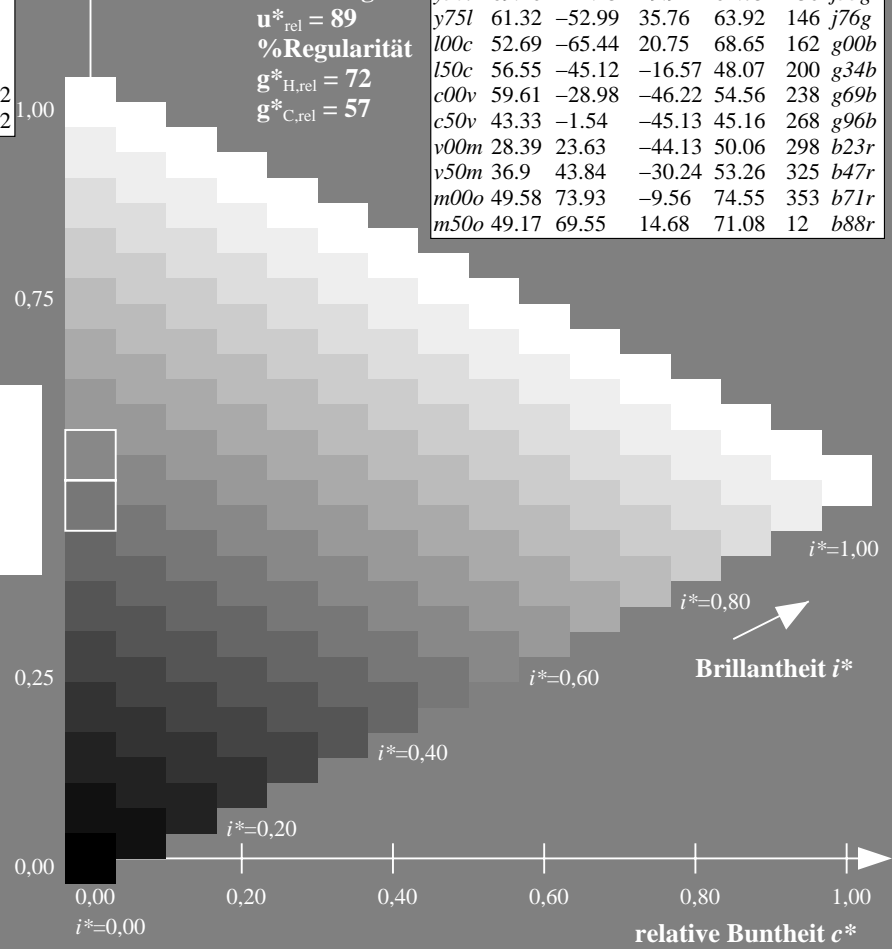
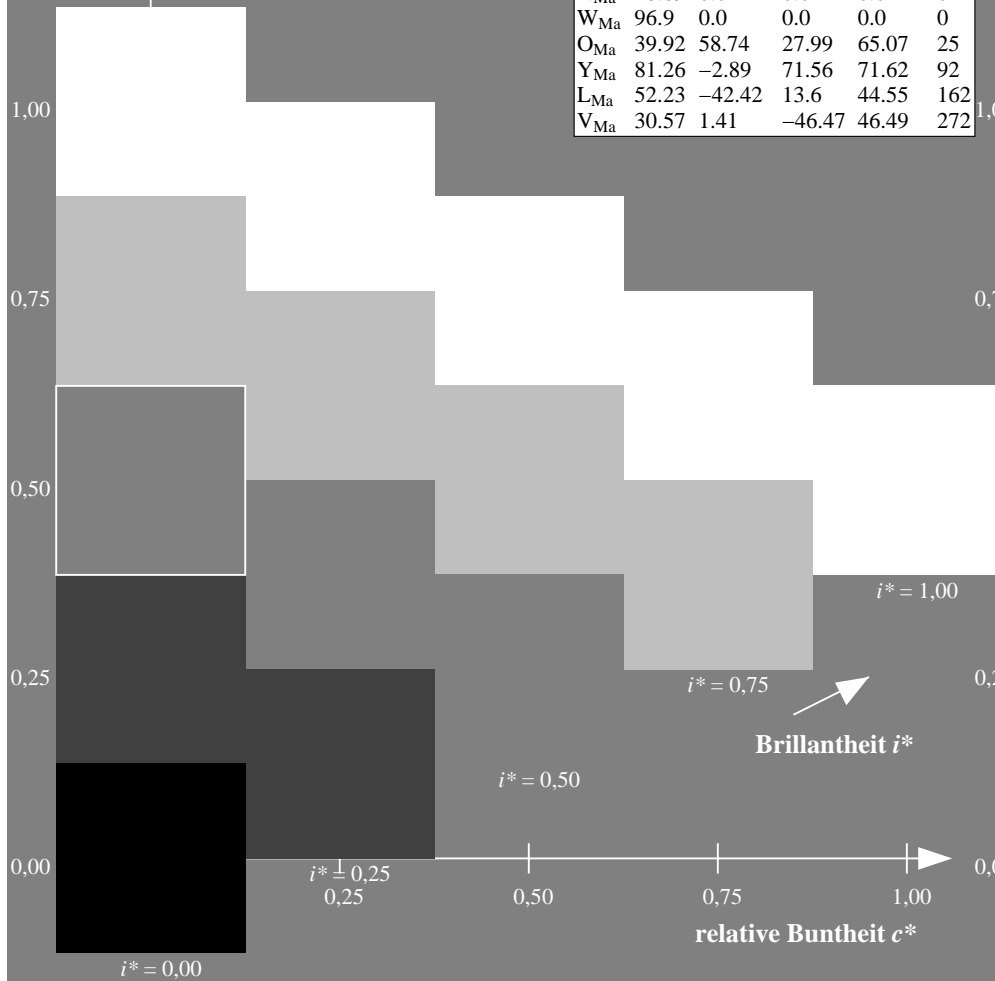
%Regularität

$g^*_{H,rel} = 72$

$g^*_{C,rel} = 57$

ORS19_96a; adaptierte CIELAB-Daten

u^*_d	$L^*=L^*_a$	a^*_a	b^*_a	$C^*_{ab,a}$	$h^*_{ab,a}$	u^*_e
o00y	48.75	65.07	39.43	76.08	31	r08j
o25y	59.04	46.67	51.1	69.21	48	r33j
o50y	68.32	30.09	61.62	68.58	64	r57j
o75y	78.23	12.39	72.85	73.9	80	r81j
y00l	90.92	-10.29	87.24	87.85	97	j06g
y25l	78.57	-28.11	65.75	71.51	113	j29g
y50l	69.46	-41.25	49.92	64.75	130	j53g
y75l	61.32	-52.99	35.76	63.92	146	j76g
l00c	52.69	-65.44	20.75	68.65	162	g00b
l50c	56.55	-45.12	-16.57	48.07	200	g34b
c00v	59.61	-28.98	-46.22	54.56	238	g69b
c50v	43.33	-1.54	-45.13	45.16	268	g96b
v00m	28.39	23.63	-44.13	50.06	298	b23r
v50m	36.9	43.84	-30.24	53.26	325	b47r
m00o	49.58	73.93	-9.56	74.55	353	b71r
m50o	49.17	69.55	14.68	71.08	12	b88r



Ein und Ausgabe: Farbmetrisches Drucker-Reflektiv-System ORS19_96a für relativen CIELAB-Bunton $h^* = lab^*h^* = h_{ab}/360 = 0.132$

$u^*_d = o25y$

Daten für jede Farbe:

lab^*tch^* und lab^*icu^*

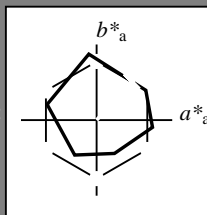
Buntontexte:

$u^*_d = o25y$ $u^*_e = r33j$

Kontrastreduzierungsfaktor:

$c_R = 1.0$

Dreiecks-Helligkeit t^*



ORS19_96a; adaptierte CIELAB-Daten

u^*_d	$L^*=L^*_a$	a^*_a	b^*_a	$C^*_{ab,a}$	$h^*_{ab,a}$
O _{Ma}	48.75	65.07	39.43	76.08	31
Y _{Ma}	90.92	-10.29	87.24	87.85	97
L _{Ma}	52.69	-65.44	20.75	68.65	162
C _{Ma}	59.61	-28.98	-46.22	54.56	238
V _{Ma}	28.39	23.63	-44.13	50.06	298
M _{Ma}	49.58	73.93	-9.56	74.55	353
N _{Ma}	18.89	0.0	0.0	0.0	0
W _{Ma}	96.9	0.0	0.0	0.0	0
O _{Ma}	39.92	58.74	27.99	65.07	25
Y _{Ma}	81.26	-2.89	71.56	71.62	92
L _{Ma}	52.23	-42.42	13.6	44.55	162
V _{Ma}	30.57	1.41	-46.47	46.49	272

Daten für Maximalfarbe (Ma):

$LAB^*LAB^*_{Ma}$: 59 47 51

$LAB^*LCH^*_{Ma}$: 59 69 47

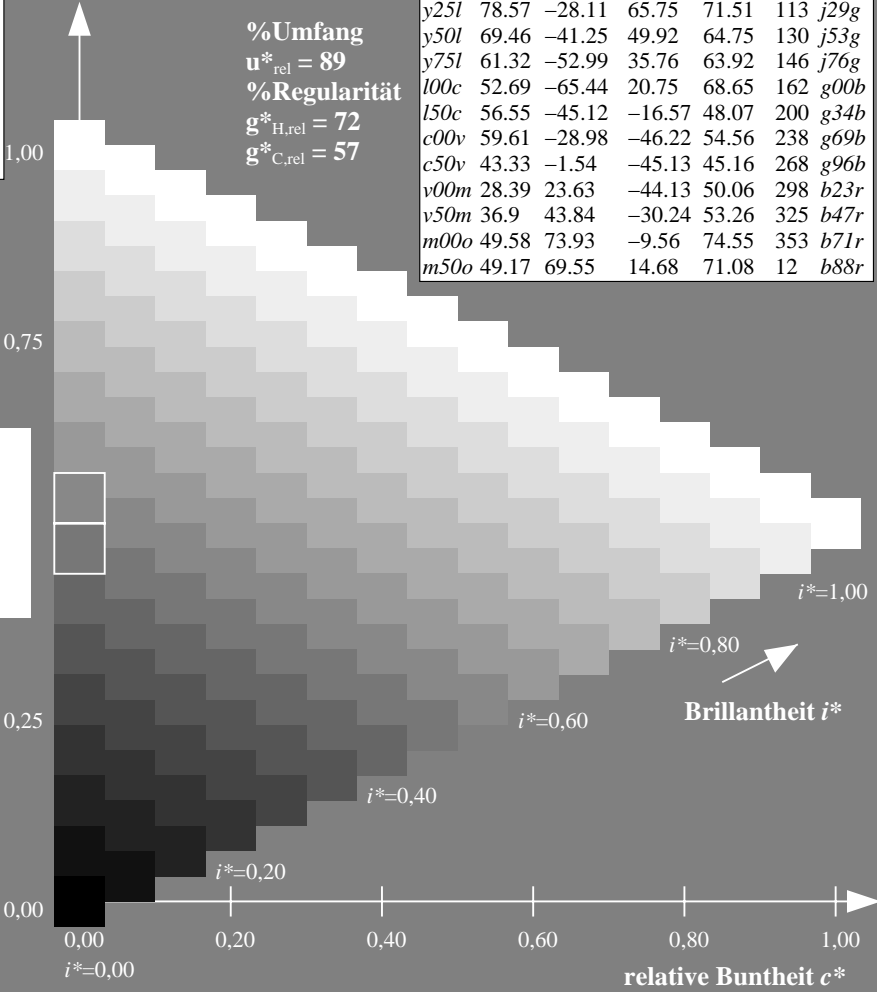
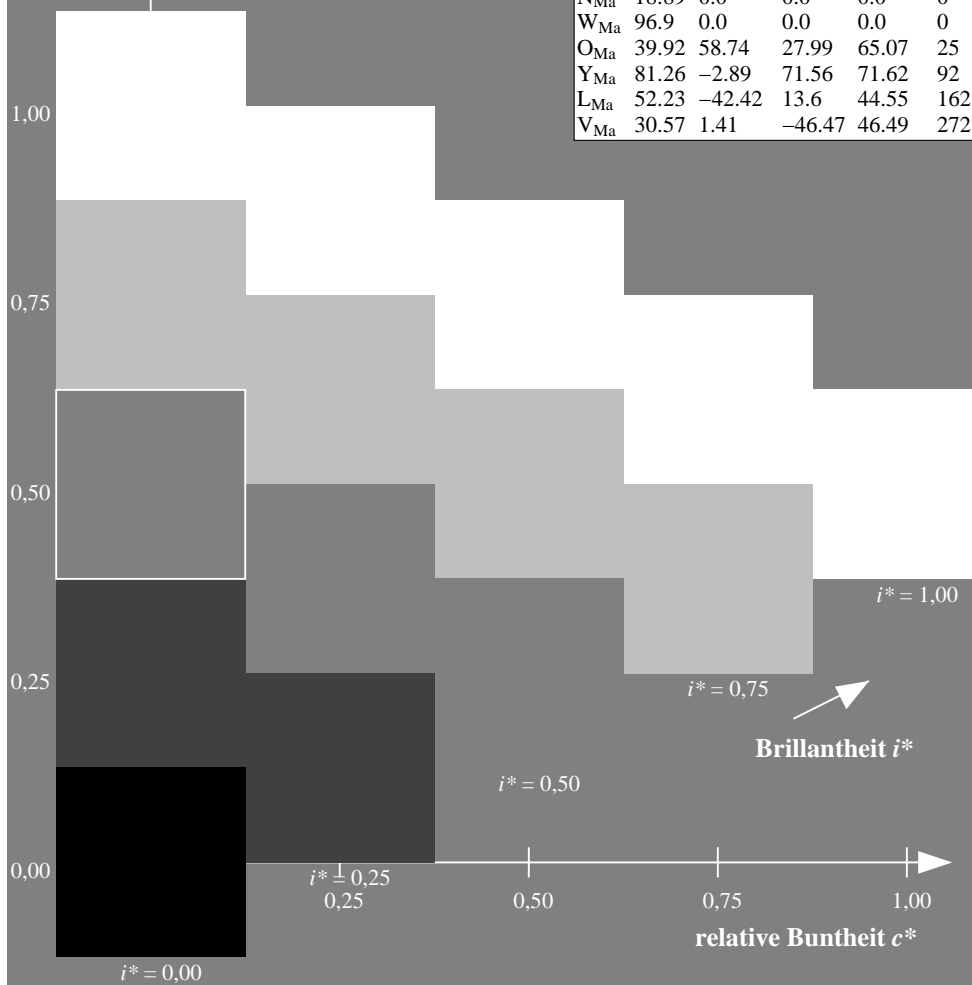
$lab^*olv^*_{Ma}$: 1.0 0.25 0.0

$lab^*rgb^*_{Ma}$: 1.0 0.33 0.0

Dreiecks-Helligkeit t^*

ORS19_96a; adaptierte CIELAB-Daten

u^*_d	$L^*=L^*_a$	a^*_a	b^*_a	$C^*_{ab,a}$	$h^*_{ab,a}$	u^*_e
<i>o00y</i>	48.75	65.07	39.43	76.08	31	<i>r08j</i>
<i>o25y</i>	59.04	46.67	51.1	69.21	48	<i>r33j</i>
<i>o50y</i>	68.32	30.09	61.62	68.58	64	<i>r57j</i>
<i>o75y</i>	78.23	12.39	72.85	73.9	80	<i>r81j</i>
<i>y00l</i>	90.92	-10.29	87.24	87.85	97	<i>j06g</i>
<i>y25l</i>	78.57	-28.11	65.75	71.51	113	<i>j29g</i>
<i>y50l</i>	69.46	-41.25	49.92	64.75	130	<i>j53g</i>
<i>y75l</i>	61.32	-52.99	35.76	63.92	146	<i>j76g</i>
<i>l00c</i>	52.69	-65.44	20.75	68.65	162	<i>g00b</i>
<i>l50c</i>	56.55	-45.12	-16.57	48.07	200	<i>g34b</i>
<i>c00v</i>	59.61	-28.98	-46.22	54.56	238	<i>g69b</i>
<i>c50v</i>	43.33	-1.54	-45.13	45.16	268	<i>g96b</i>
<i>v00m</i>	28.39	23.63	-44.13	50.06	298	<i>b23r</i>
<i>v50m</i>	36.9	43.84	-30.24	53.26	325	<i>b47r</i>
<i>m00o</i>	49.58	73.93	-9.56	74.55	353	<i>b71r</i>
<i>m50o</i>	49.17	69.55	14.68	71.08	12	<i>b88r</i>



Daten für jede Farbe:

lab^*tch^* und lab^*icu^*

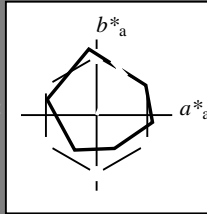
Buntontexte:

$u^*_d = o50y$ $u^*_e = r57j$

Kontrastreduzierungsfaktor:

$c_R = 1.0$

Dreiecks-Helligkeit t^*



ORS19_96a; adaptierte CIELAB-Daten						
u^*_d	$L^*=L^*_a$	a^*_a	b^*_a	$C^*_{ab,a}$	$h^*_{ab,a}$	
O _{Ma}	48.75	65.07	39.43	76.08	31	
Y _{Ma}	90.92	-10.29	87.24	87.85	97	
L _{Ma}	52.69	-65.44	20.75	68.65	162	
C _{Ma}	59.61	-28.98	-46.22	54.56	238	
V _{Ma}	28.39	23.63	-44.13	50.06	298	
M _{Ma}	49.58	73.93	-9.56	74.55	353	
N _{Ma}	18.89	0.0	0.0	0.0	0	
W _{Ma}	96.9	0.0	0.0	0.0	0	
O _{Ma}	39.92	58.74	27.99	65.07	25	
Y _{Ma}	81.26	-2.89	71.56	71.62	92	
L _{Ma}	52.23	-42.42	13.6	44.55	162	
V _{Ma}	30.57	1.41	-46.47	46.49	272	

Daten für Maximalfarbe (Ma):

$LAB^*LAB^*_{Ma}$: 68 30 62

$LAB^*LCH^*_{Ma}$: 68 69 63

$lab^*olv^*_{Ma}$: 1.0 0.5 0.0

$lab^*rgb^*_{Ma}$: 1.0 0.58 0.0

Dreiecks-Helligkeit t^*

%Umfang

$u^*_{rel} = 89$

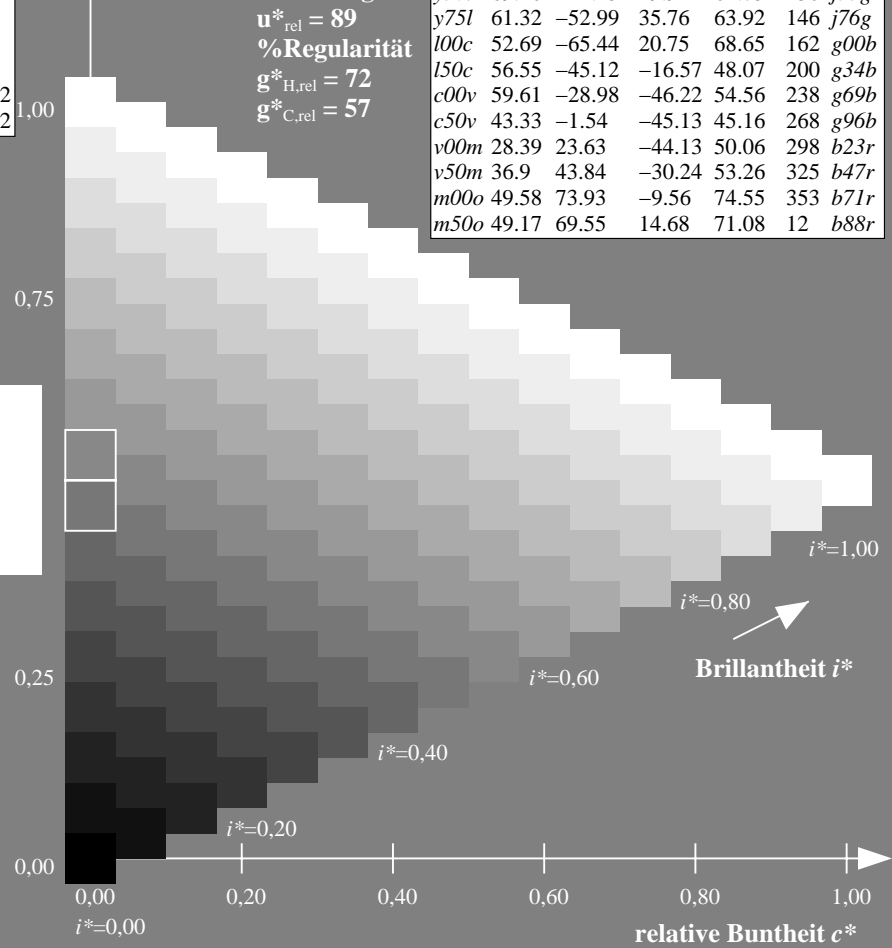
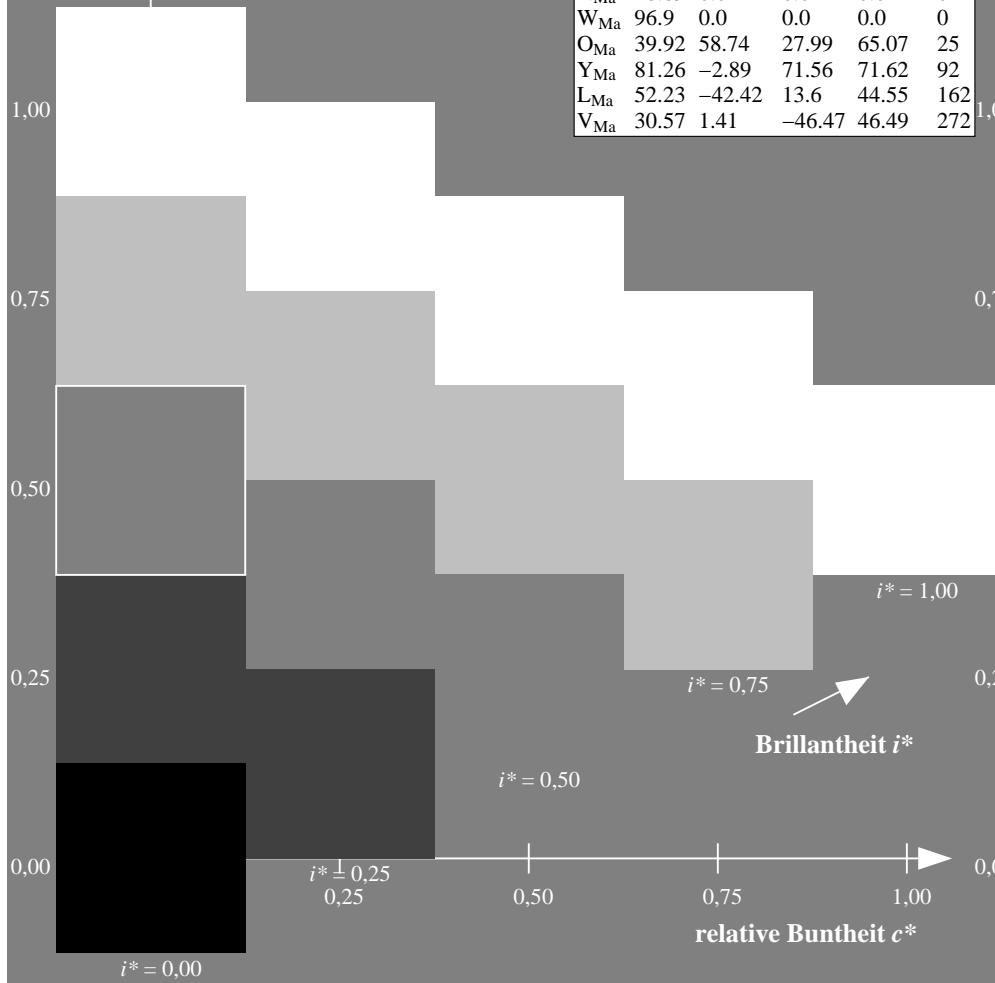
%Regularität

$g^*_{H,rel} = 72$

$g^*_{C,rel} = 57$

ORS19_96a; adaptierte CIELAB-Daten

u^*_d	$L^*=L^*_a$	a^*_a	b^*_a	$C^*_{ab,a}$	$h^*_{ab,a}$	u^*_e
o00y	48.75	65.07	39.43	76.08	31	r08j
o25y	59.04	46.67	51.1	69.21	48	r33j
o50y	68.32	30.09	61.62	68.58	64	r57j
o75y	78.23	12.39	72.85	73.9	80	r81j
y00l	90.92	-10.29	87.24	87.85	97	j06g
y25l	78.57	-28.11	65.75	71.51	113	j29g
y50l	69.46	-41.25	49.92	64.75	130	j53g
y75l	61.32	-52.99	35.76	63.92	146	j76g
l00c	52.69	-65.44	20.75	68.65	162	g00b
l50c	56.55	-45.12	-16.57	48.07	200	g34b
c00v	59.61	-28.98	-46.22	54.56	238	g69b
c50v	43.33	-1.54	-45.13	45.16	268	g96b
v00m	28.39	23.63	-44.13	50.06	298	b23r
v50m	36.9	43.84	-30.24	53.26	325	b47r
m00o	49.58	73.93	-9.56	74.55	353	b71r
m50o	49.17	69.55	14.68	71.08	12	b88r



Daten für jede Farbe:

lab^*tch^* und lab^*icu^*

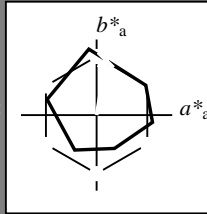
Buntontexte:

$u^*_d = o75y$ $u^*_e = r8lj$

Kontrastreduzierungsfaktor:

$c_R = 1.0$

Dreiecks-Helligkeit t^*



ORS19_96a; adaptierte CIELAB-Daten						
u^*_d	$L^*=L^*_a$	a^*_a	b^*_a	$C^*_{ab,a}$	$h^*_{ab,a}$	
O _{Ma}	48.75	65.07	39.43	76.08	31	
Y _{Ma}	90.92	-10.29	87.24	87.85	97	
L _{Ma}	52.69	-65.44	20.75	68.65	162	
C _{Ma}	59.61	-28.98	-46.22	54.56	238	
V _{Ma}	28.39	23.63	-44.13	50.06	298	
M _{Ma}	49.58	73.93	-9.56	74.55	353	
N _{Ma}	18.89	0.0	0.0	0.0	0	
W _{Ma}	96.9	0.0	0.0	0.0	0	
O _{Ma}	39.92	58.74	27.99	65.07	25	
Y _{Ma}	81.26	-2.89	71.56	71.62	92	
L _{Ma}	52.23	-42.42	13.6	44.55	162	
V _{Ma}	30.57	1.41	-46.47	46.49	272	

Daten für Maximalfarbe (Ma):

$LAB^*LAB^*_{Ma}$: 78 12 73

$LAB^*LCH^*_{Ma}$: 78 74 80

$lab^*olv^*_{Ma}$: 1.0 0.75 0.0

$lab^*rgb^*_{Ma}$: 1.0 0.82 0.0

Dreiecks-Helligkeit t^*

%Umfang

$u^*_{rel} = 89$

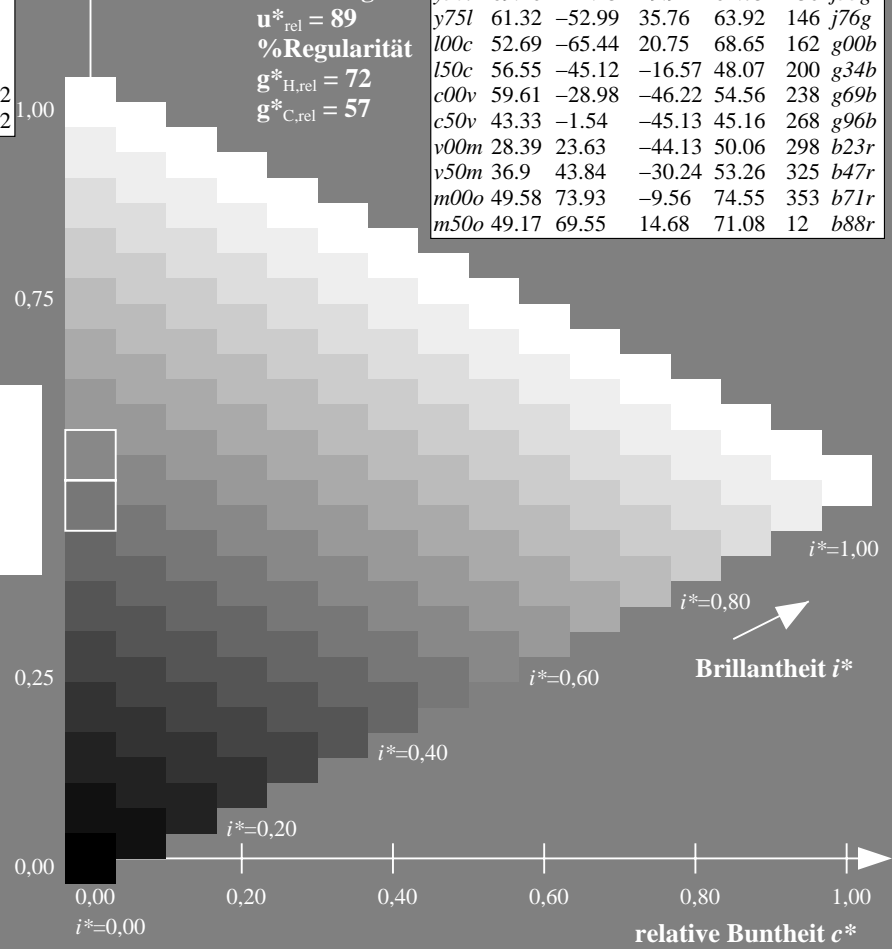
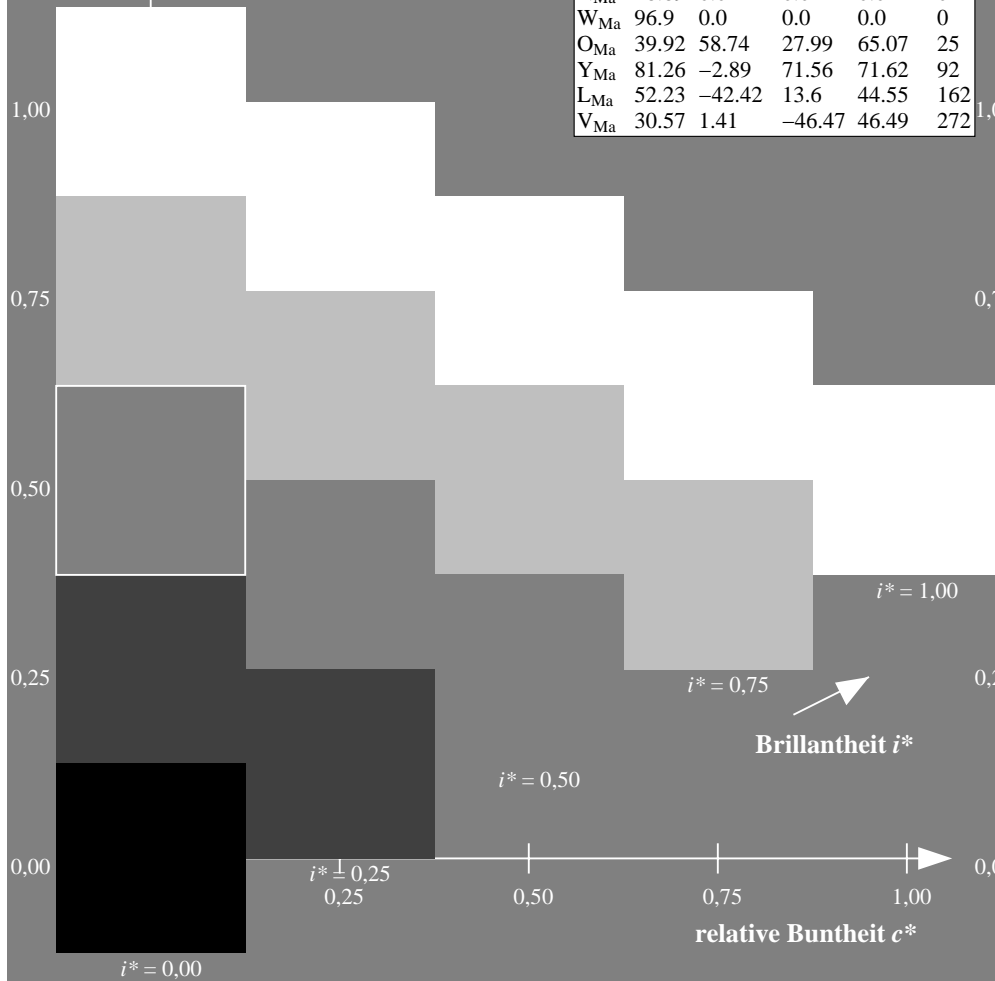
%Regularität

$g^*_{H,rel} = 72$

$g^*_{C,rel} = 57$

ORS19_96a; adaptierte CIELAB-Daten

u^*_d	$L^*=L^*_a$	a^*_a	b^*_a	$C^*_{ab,a}$	$h^*_{ab,a}$	u^*_e
<i>o00y</i>	48.75	65.07	39.43	76.08	31	<i>r08j</i>
<i>o25y</i>	59.04	46.67	51.1	69.21	48	<i>r33j</i>
<i>o50y</i>	68.32	30.09	61.62	68.58	64	<i>r57j</i>
<i>o75y</i>	78.23	12.39	72.85	73.9	80	<i>r8lj</i>
<i>y00l</i>	90.92	-10.29	87.24	87.85	97	<i>j06g</i>
<i>y25l</i>	78.57	-28.11	65.75	71.51	113	<i>j29g</i>
<i>y50l</i>	69.46	-41.25	49.92	64.75	130	<i>j53g</i>
<i>y75l</i>	61.32	-52.99	35.76	63.92	146	<i>j76g</i>
<i>l00c</i>	52.69	-65.44	20.75	68.65	162	<i>g00b</i>
<i>l50c</i>	56.55	-45.12	-16.57	48.07	200	<i>g34b</i>
<i>c00v</i>	59.61	-28.98	-46.22	54.56	238	<i>g69b</i>
<i>c50v</i>	43.33	-1.54	-45.13	45.16	268	<i>g96b</i>
<i>v00m</i>	28.39	23.63	-44.13	50.06	298	<i>b23r</i>
<i>v50m</i>	36.9	43.84	-30.24	53.26	325	<i>b47r</i>
<i>m00o</i>	49.58	73.93	-9.56	74.55	353	<i>b71r</i>
<i>m50o</i>	49.17	69.55	14.68	71.08	12	<i>b88r</i>



Daten für jede Farbe:

lab^*tch^* und lab^*icu^*

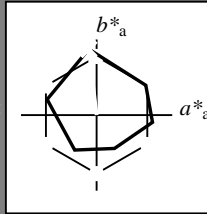
Buntontexte:

$u^*_d = y00l$ $u^*_e = j06g$

Kontrastreduzierungsfaktor:

$c_R = 1.0$

Dreiecks-Helligkeit t^*



ORS19_96a; adaptierte CIELAB-Daten						
u^*_d	$L^*=L^*_a$	a^*_a	b^*_a	$C^*_{ab,a}$	$h^*_{ab,a}$	
O _{Ma}	48.75	65.07	39.43	76.08	31	
Y _{Ma}	90.92	-10.29	87.24	87.85	97	
L _{Ma}	52.69	-65.44	20.75	68.65	162	
C _{Ma}	59.61	-28.98	-46.22	54.56	238	
V _{Ma}	28.39	23.63	-44.13	50.06	298	
M _{Ma}	49.58	73.93	-9.56	74.55	353	
N _{Ma}	18.89	0.0	0.0	0.0	0	
W _{Ma}	96.9	0.0	0.0	0.0	0	
O _{Ma}	39.92	58.74	27.99	65.07	25	
Y _{Ma}	81.26	-2.89	71.56	71.62	92	
L _{Ma}	52.23	-42.42	13.6	44.55	162	
V _{Ma}	30.57	1.41	-46.47	46.49	272	

Daten für Maximalfarbe (Ma):

$LAB^*LAB^*_Ma: 91 -10 87$

$LAB^*LCH^*_Ma: 91 88 96$

$lab^*olv^*_Ma: 1.0 1.0 0.0$

$lab^*rgb^*_Ma: 0.94 1.0 0.0$

Dreiecks-Helligkeit t^*

%Umfang

$u^*_{rel} = 89$

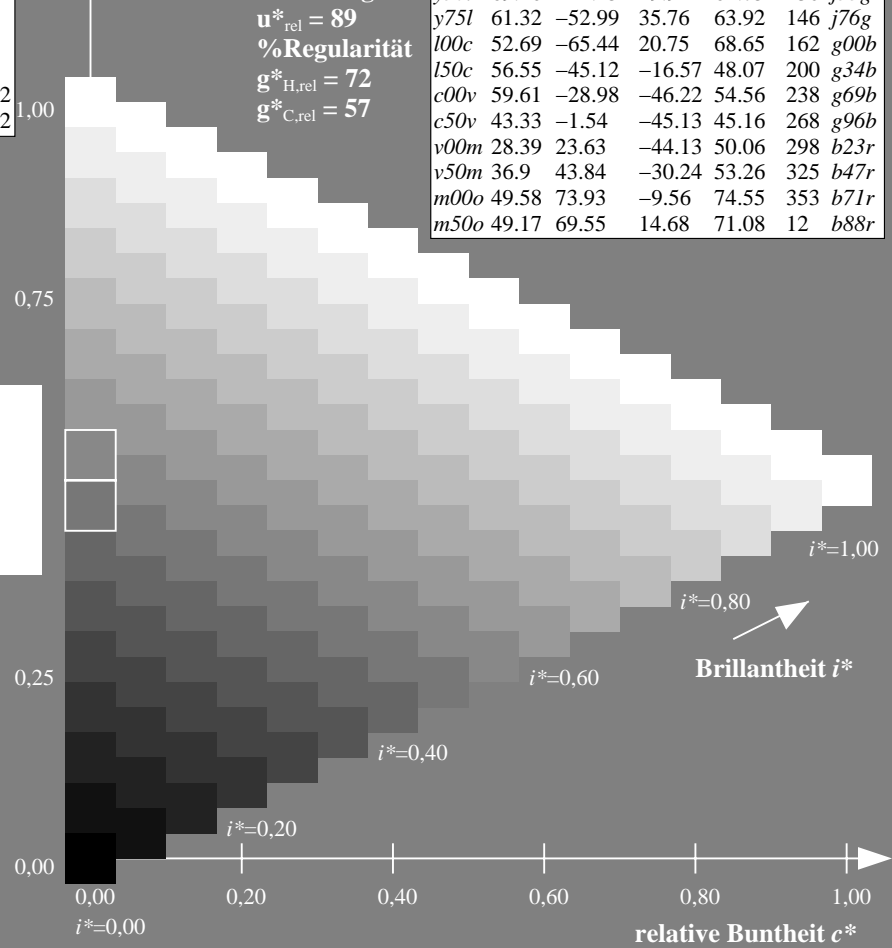
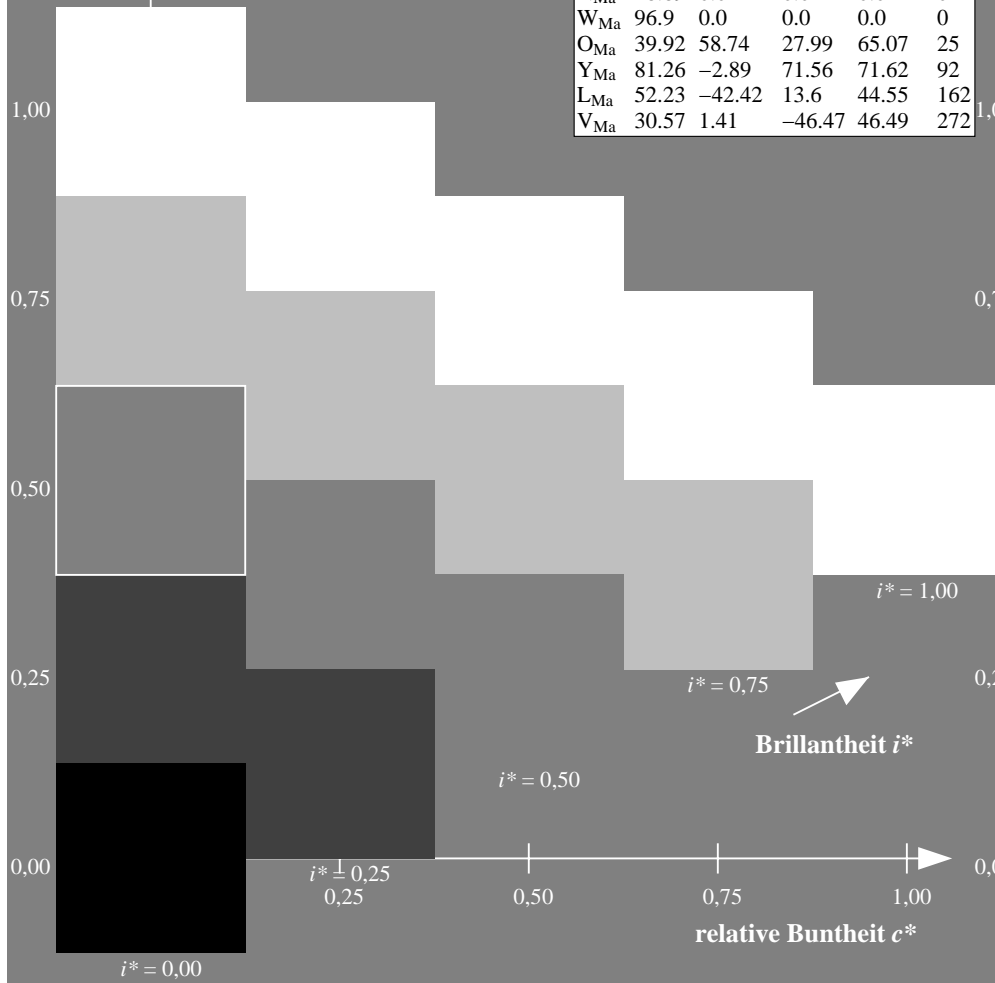
%Regularität

$g^*_{H,rel} = 72$

$g^*_{C,rel} = 57$

ORS19_96a; adaptierte CIELAB-Daten

u^*_d	$L^*=L^*_a$	a^*_a	b^*_a	$C^*_{ab,a}$	$h^*_{ab,a}$	u^*_e
o00y	48.75	65.07	39.43	76.08	31	r08j
o25y	59.04	46.67	51.1	69.21	48	r33j
o50y	68.32	30.09	61.62	68.58	64	r57j
o75y	78.23	12.39	72.85	73.9	80	r81j
y00l	90.92	-10.29	87.24	87.85	97	j06g
y25l	78.57	-28.11	65.75	71.51	113	j29g
y50l	69.46	-41.25	49.92	64.75	130	j53g
y75l	61.32	-52.99	35.76	63.92	146	j76g
l00c	52.69	-65.44	20.75	68.65	162	g00b
l50c	56.55	-45.12	-16.57	48.07	200	g34b
c00v	59.61	-28.98	-46.22	54.56	238	g69b
c50v	43.33	-1.54	-45.13	45.16	268	g96b
v00m	28.39	23.63	-44.13	50.06	298	b23r
v50m	36.9	43.84	-30.24	53.26	325	b47r
m00o	49.58	73.93	-9.56	74.55	353	b71r
m50o	49.17	69.55	14.68	71.08	12	b88r



Ein und Ausgabe: Farbmetrisches Drucker-Reflektiv-System ORS19_96a für relativen CIELAB-Bunton $h^* = lab^*h^* = h_{ab}/360 = 0.314$

$u^*_d = y25l$

Daten für jede Farbe:

lab^*tch^* und lab^*icu^*

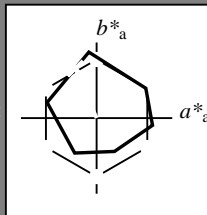
Buntontexte:

$u^*_d = y25l$ $u^*_e = j29g$

Kontrastreduzierungsfaktor:

$c_R = 1.0$

Dreiecks-Helligkeit t^*



ORS19_96a; adaptierte CIELAB-Daten

u^*_d	$L^*=L^*_a$	a^*_a	b^*_a	$C^*_{ab,a}$	$h^*_{ab,a}$
O _{Ma}	48.75	65.07	39.43	76.08	31
Y _{Ma}	90.92	-10.29	87.24	87.85	97
L _{Ma}	52.69	-65.44	20.75	68.65	162
C _{Ma}	59.61	-28.98	-46.22	54.56	238
V _{Ma}	28.39	23.63	-44.13	50.06	298
M _{Ma}	49.58	73.93	-9.56	74.55	353
N _{Ma}	18.89	0.0	0.0	0.0	0
W _{Ma}	96.9	0.0	0.0	0.0	0
O _{Ma}	39.92	58.74	27.99	65.07	25
Y _{Ma}	81.26	-2.89	71.56	71.62	92
L _{Ma}	52.23	-42.42	13.6	44.55	162
V _{Ma}	30.57	1.41	-46.47	46.49	272

Daten für Maximalfarbe (Ma):

$LAB^*LAB^*_{Ma}$: 79 -28 66

$LAB^*LCH^*_{Ma}$: 79 72 113

$lab^*olv^*_{Ma}$: 0.75 1.0 0.0

$lab^*rgb^*_{Ma}$: 0.7 1.0 0.0

Dreiecks-Helligkeit t^*

%Umfang

$u^*_{rel} = 89$

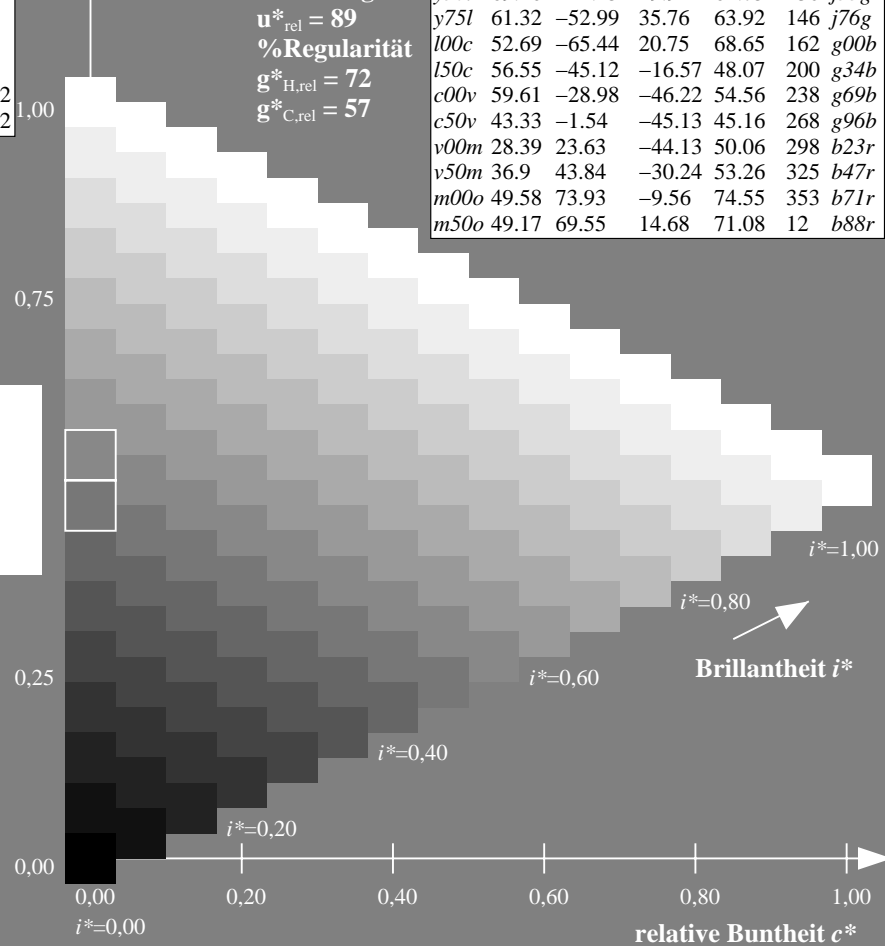
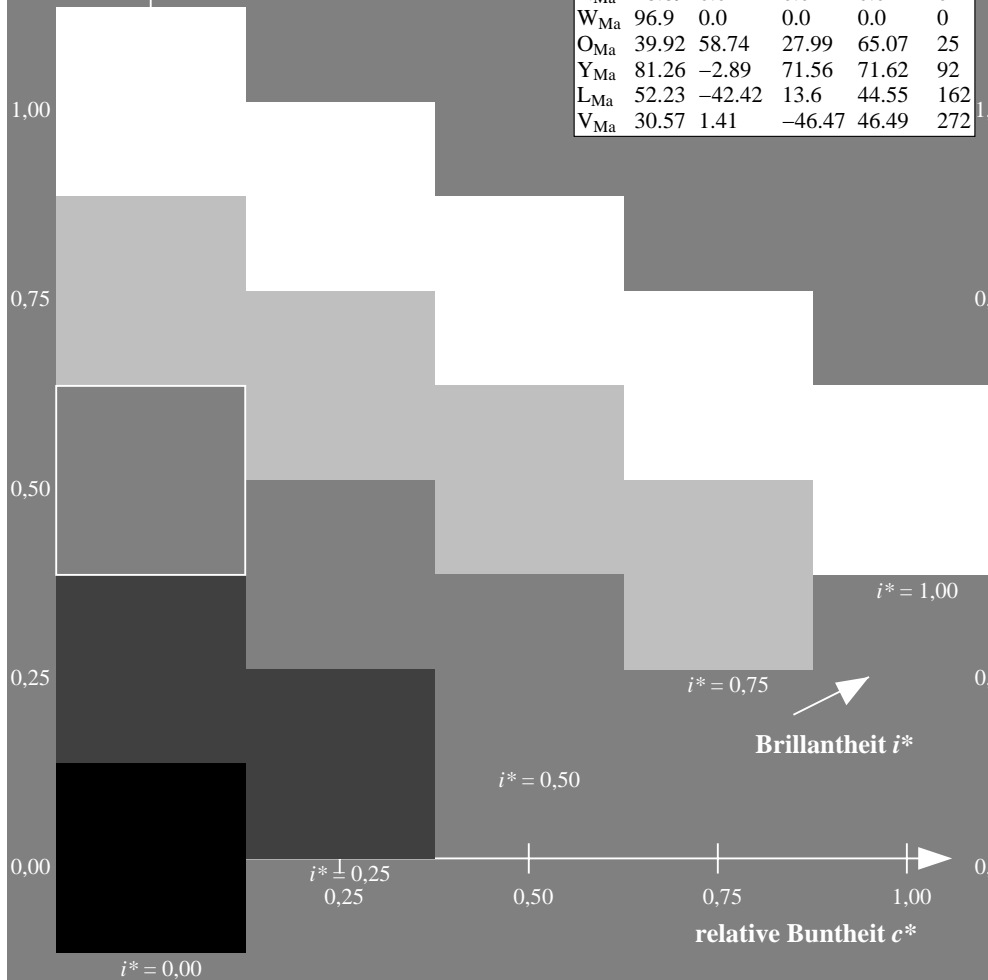
%Regularität

$g^*_{H,rel} = 72$

$g^*_{C,rel} = 57$

ORS19_96a; adaptierte CIELAB-Daten

u^*_d	$L^*=L^*_a$	a^*_a	b^*_a	$C^*_{ab,a}$	$h^*_{ab,a}$	u^*_e
o00y	48.75	65.07	39.43	76.08	31	r08j
o25y	59.04	46.67	51.1	69.21	48	r33j
o50y	68.32	30.09	61.62	68.58	64	r57j
o75y	78.23	12.39	72.85	73.9	80	r81j
y00l	90.92	-10.29	87.24	87.85	97	j06g
y25l	78.57	-28.11	65.75	71.51	113	j29g
y50l	69.46	-41.25	49.92	64.75	130	j53g
y75l	61.32	-52.99	35.76	63.92	146	j76g
l00c	52.69	-65.44	20.75	68.65	162	g00b
l50c	56.55	-45.12	-16.57	48.07	200	g34b
c00v	59.61	-28.98	-46.22	54.56	238	g69b
c50v	43.33	-1.54	-45.13	45.16	268	g96b
v00m	28.39	23.63	-44.13	50.06	298	b23r
v50m	36.9	43.84	-30.24	53.26	325	b47r
m00o	49.58	73.93	-9.56	74.55	353	b71r
m50o	49.17	69.55	14.68	71.08	12	b88r



Ein und Ausgabe: Farbmetrisches Drucker-Reflektiv-System ORS19_96a für relativen CIELAB-Bunton $h^* = lab^*h^* = h_{ab}/360 = 0.36$

$u^*_d = y50l$

Daten für jede Farbe:

lab^*tch^* und lab^*icu^*

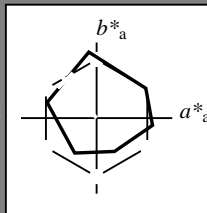
Buntontexte:

$u^*_d = y50l$ $u^*_e = j53g$

Kontrastreduzierungsfaktor:

$c_R = 1.0$

Dreiecks-Helligkeit t^*



ORS19_96a; adaptierte CIELAB-Daten

u^*_d	$L^*=L^*_a$	a^*_a	b^*_a	$C^*_{ab,a}$	$h^*_{ab,a}$
O _{Ma}	48.75	65.07	39.43	76.08	31
Y _{Ma}	90.92	-10.29	87.24	87.85	97
L _{Ma}	52.69	-65.44	20.75	68.65	162
C _{Ma}	59.61	-28.98	-46.22	54.56	238
V _{Ma}	28.39	23.63	-44.13	50.06	298
M _{Ma}	49.58	73.93	-9.56	74.55	353
N _{Ma}	18.89	0.0	0.0	0.0	0
W _{Ma}	96.9	0.0	0.0	0.0	0
O _{Ma}	39.92	58.74	27.99	65.07	25
Y _{Ma}	81.26	-2.89	71.56	71.62	92
L _{Ma}	52.23	-42.42	13.6	44.55	162
V _{Ma}	30.57	1.41	-46.47	46.49	272

Daten für Maximalfarbe (Ma):

$LAB^*LAB^*_{Ma}$: 69 -41 50

$LAB^*LCH^*_{Ma}$: 69 65 129

$lab^*olv^*_{Ma}$: 0.5 1.0 0.0

$lab^*rgb^*_{Ma}$: 0.47 1.0 0.0

Dreiecks-Helligkeit t^*

%Umfang

$u^*_{rel} = 89$

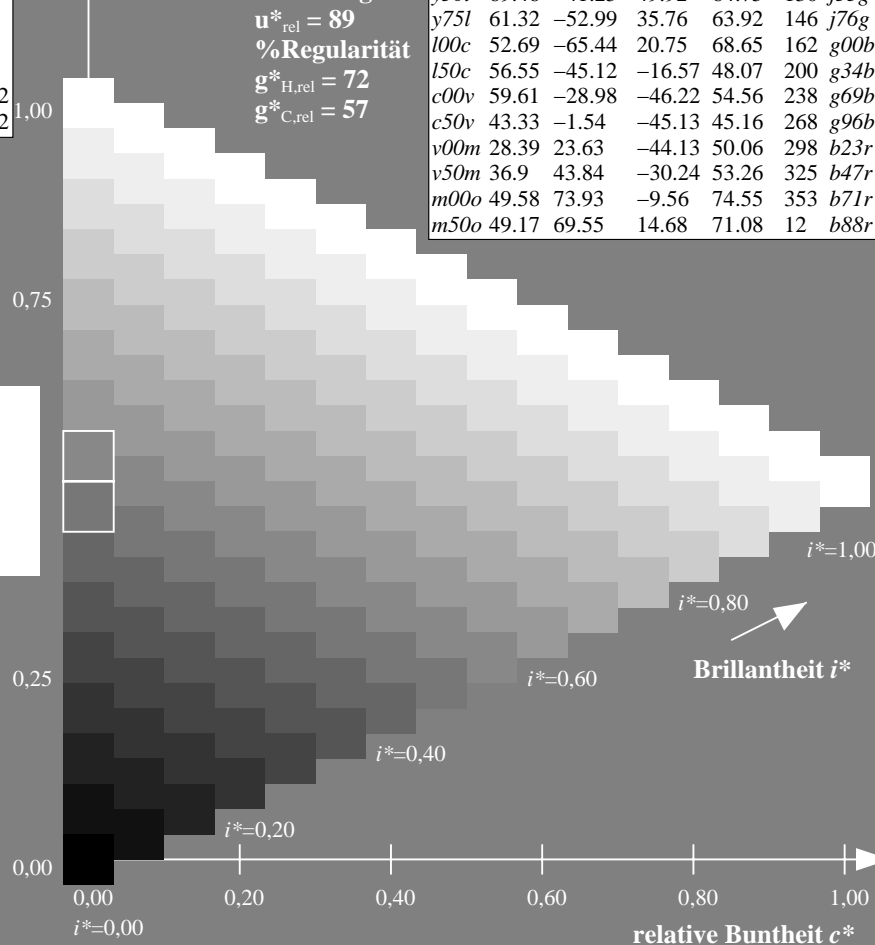
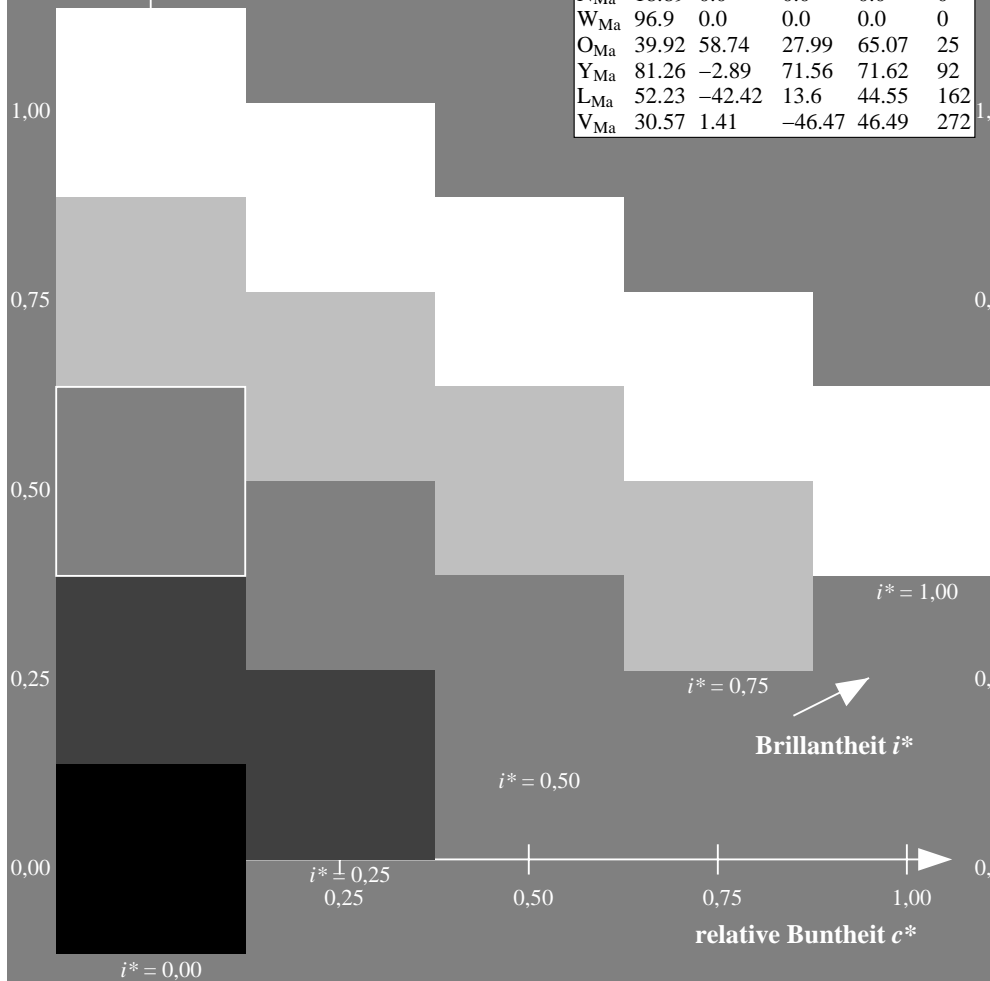
%Regularität

$g^*_{H,rel} = 72$

$g^*_{C,rel} = 57$

ORS19_96a; adaptierte CIELAB-Daten

u^*_d	$L^*=L^*_a$	a^*_a	b^*_a	$C^*_{ab,a}$	$h^*_{ab,a}$	u^*_e
o00y	48.75	65.07	39.43	76.08	31	r08j
o25y	59.04	46.67	51.1	69.21	48	r33j
o50y	68.32	30.09	61.62	68.58	64	r57j
o75y	78.23	12.39	72.85	73.9	80	r81j
y00l	90.92	-10.29	87.24	87.85	97	j06g
y25l	78.57	-28.11	65.75	71.51	113	j29g
y50l	69.46	-41.25	49.92	64.75	130	j53g
y75l	61.32	-52.99	35.76	63.92	146	j76g
l00c	52.69	-65.44	20.75	68.65	162	g00b
l50c	56.55	-45.12	-16.57	48.07	200	g34b
c00v	59.61	-28.98	-46.22	54.56	238	g69b
c50v	43.33	-1.54	-45.13	45.16	268	g96b
v00m	28.39	23.63	-44.13	50.06	298	b23r
v50m	36.9	43.84	-30.24	53.26	325	b47r
m00o	49.58	73.93	-9.56	74.55	353	b71r
m50o	49.17	69.55	14.68	71.08	12	b88r



Daten für jede Farbe:

lab^*tch^* und lab^*icu^*

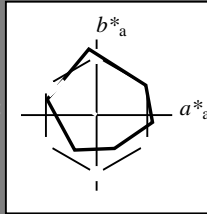
Buntontexte:

$u^*_d = y75l$ $u^*_e = j76g$

Kontrastreduzierungsfaktor:

$c_R = 1.0$

Dreiecks-Helligkeit t^*



ORS19_96a; adaptierte CIELAB-Daten						
u^*_d	$L^*=L^*_a$	a^*_a	b^*_a	$C^*_{ab,a}$	$h^*_{ab,a}$	
O _{Ma}	48.75	65.07	39.43	76.08	31	
Y _{Ma}	90.92	-10.29	87.24	87.85	97	
L _{Ma}	52.69	-65.44	20.75	68.65	162	
C _{Ma}	59.61	-28.98	-46.22	54.56	238	
V _{Ma}	28.39	23.63	-44.13	50.06	298	
M _{Ma}	49.58	73.93	-9.56	74.55	353	
N _{Ma}	18.89	0.0	0.0	0.0	0	
W _{Ma}	96.9	0.0	0.0	0.0	0	
O _{Ma}	39.92	58.74	27.99	65.07	25	
Y _{Ma}	81.26	-2.89	71.56	71.62	92	
L _{Ma}	52.23	-42.42	13.6	44.55	162	
V _{Ma}	30.57	1.41	-46.47	46.49	272	

Daten für Maximalfarbe (Ma):

$LAB^*LAB^*_{Ma}$: 61 -53 36

$LAB^*LCH^*_{Ma}$: 61 64 145

$lab^*olv^*_{Ma}$: 0.25 1.0 0.0

$lab^*rgb^*_{Ma}$: 0.23 1.0 0.0

Dreiecks-Helligkeit t^*

%Umfang

$u^*_{rel} = 89$

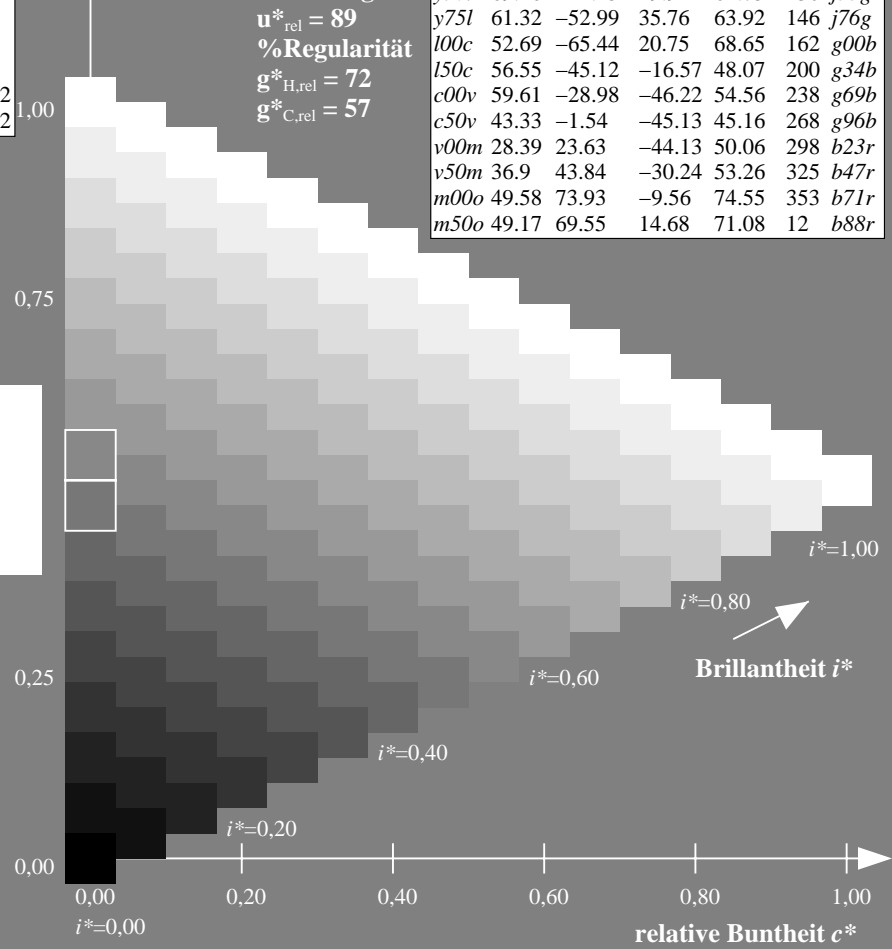
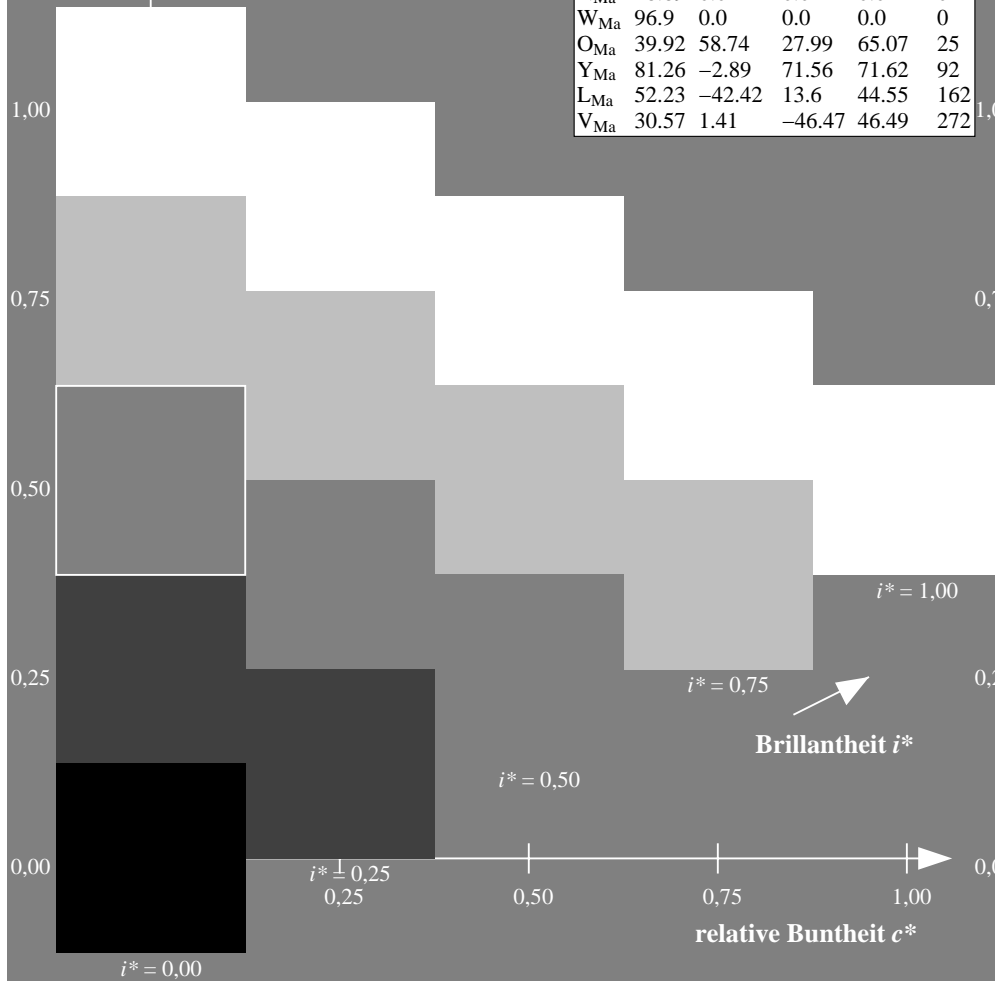
%Regularität

$g^*_{H,rel} = 72$

$g^*_{C,rel} = 57$

ORS19_96a; adaptierte CIELAB-Daten

u^*_d	$L^*=L^*_a$	a^*_a	b^*_a	$C^*_{ab,a}$	$h^*_{ab,a}$	u^*_e
<i>o00y</i>	48.75	65.07	39.43	76.08	31	<i>r08j</i>
<i>o25y</i>	59.04	46.67	51.1	69.21	48	<i>r33j</i>
<i>o50y</i>	68.32	30.09	61.62	68.58	64	<i>r57j</i>
<i>o75y</i>	78.23	12.39	72.85	73.9	80	<i>r81j</i>
<i>y00l</i>	90.92	-10.29	87.24	87.85	97	<i>j06g</i>
<i>y25l</i>	78.57	-28.11	65.75	71.51	113	<i>j29g</i>
<i>y50l</i>	69.46	-41.25	49.92	64.75	130	<i>j53g</i>
<i>y75l</i>	61.32	-52.99	35.76	63.92	146	<i>j76g</i>
<i>l00c</i>	52.69	-65.44	20.75	68.65	162	<i>g00b</i>
<i>l50c</i>	56.55	-45.12	-16.57	48.07	200	<i>g34b</i>
<i>c00v</i>	59.61	-28.98	-46.22	54.56	238	<i>g69b</i>
<i>c50v</i>	43.33	-1.54	-45.13	45.16	268	<i>g96b</i>
<i>v00m</i>	28.39	23.63	-44.13	50.06	298	<i>b23r</i>
<i>v50m</i>	36.9	43.84	-30.24	53.26	325	<i>b47r</i>
<i>m00o</i>	49.58	73.93	-9.56	74.55	353	<i>b71r</i>
<i>m50o</i>	49.17	69.55	14.68	71.08	12	<i>b88r</i>



Ein und Ausgabe: Farbmetrisches Drucker-Reflektiv-System ORS19_96a für relativen CIELAB-Bunton $h^* = lab^*h^* = h_{ab}/360 = 0.451$

$u^*_d = 100c$

Daten für jede Farbe:

lab^*ch^* und lab^*icu^*

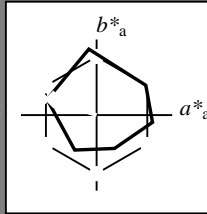
Buntontexte:

$u^*_d = 100c$ $u^*_e = g00b$

Kontrastreduzierungsfaktor:

$c_R = 1.0$

Dreiecks-Helligkeit t^*



ORS19_96a; adaptierte CIELAB-Daten						
u^*_d	$L^*=L^*_a$	a^*_a	b^*_a	$C^*_{ab,a}$	$h^*_{ab,a}$	
O _{Ma}	48.75	65.07	39.43	76.08	31	
Y _{Ma}	90.92	-10.29	87.24	87.85	97	
L _{Ma}	52.69	-65.44	20.75	68.65	162	
C _{Ma}	59.61	-28.98	-46.22	54.56	238	
V _{Ma}	28.39	23.63	-44.13	50.06	298	
M _{Ma}	49.58	73.93	-9.56	74.55	353	
N _{Ma}	18.89	0.0	0.0	0.0	0	
W _{Ma}	96.9	0.0	0.0	0.0	0	
O _{Ma}	39.92	58.74	27.99	65.07	25	
Y _{Ma}	81.26	-2.89	71.56	71.62	92	
L _{Ma}	52.23	-42.42	13.6	44.55	162	
V _{Ma}	30.57	1.41	-46.47	46.49	272	

Daten für Maximalfarbe (Ma):

$LAB^*LAB^*_{Ma}: 53 -65 21$

$LAB^*LCH^*_{Ma}: 53 69 162$

$lab^*olv^*_{Ma}: 0.0 1.0 0.0$

$lab^*rgb^*_{Ma}: 0.0 1.0 0.0$

Dreiecks-Helligkeit t^*

%Umfang

$u^*_{rel} = 89$

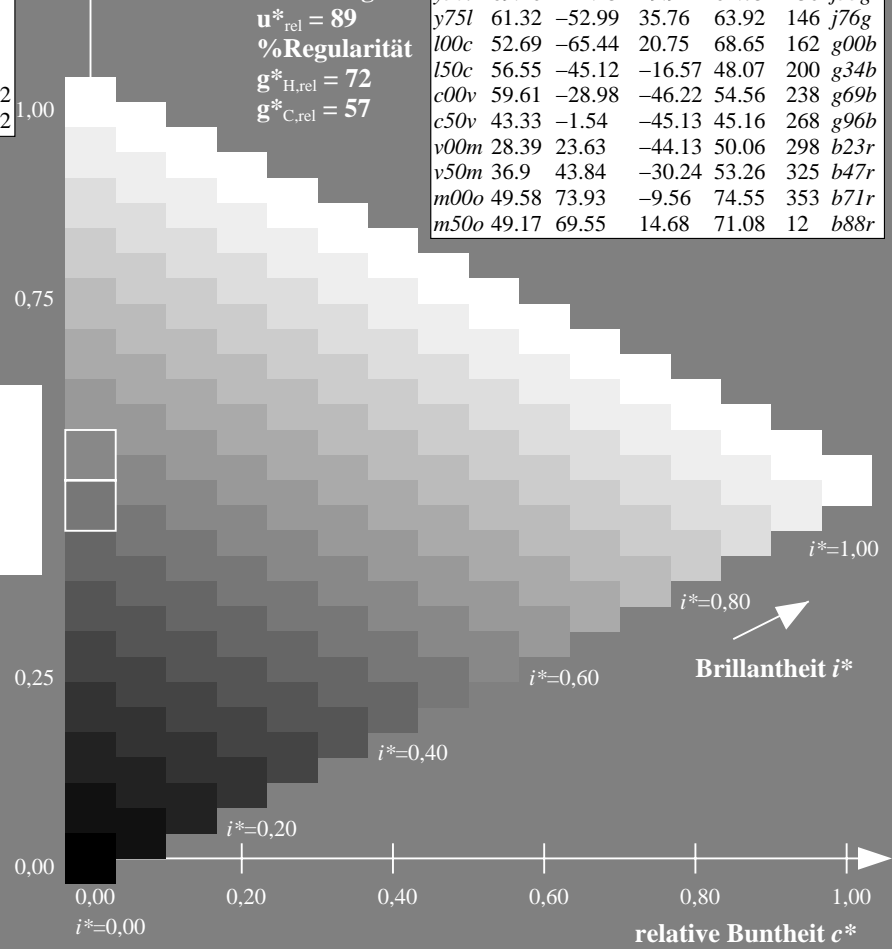
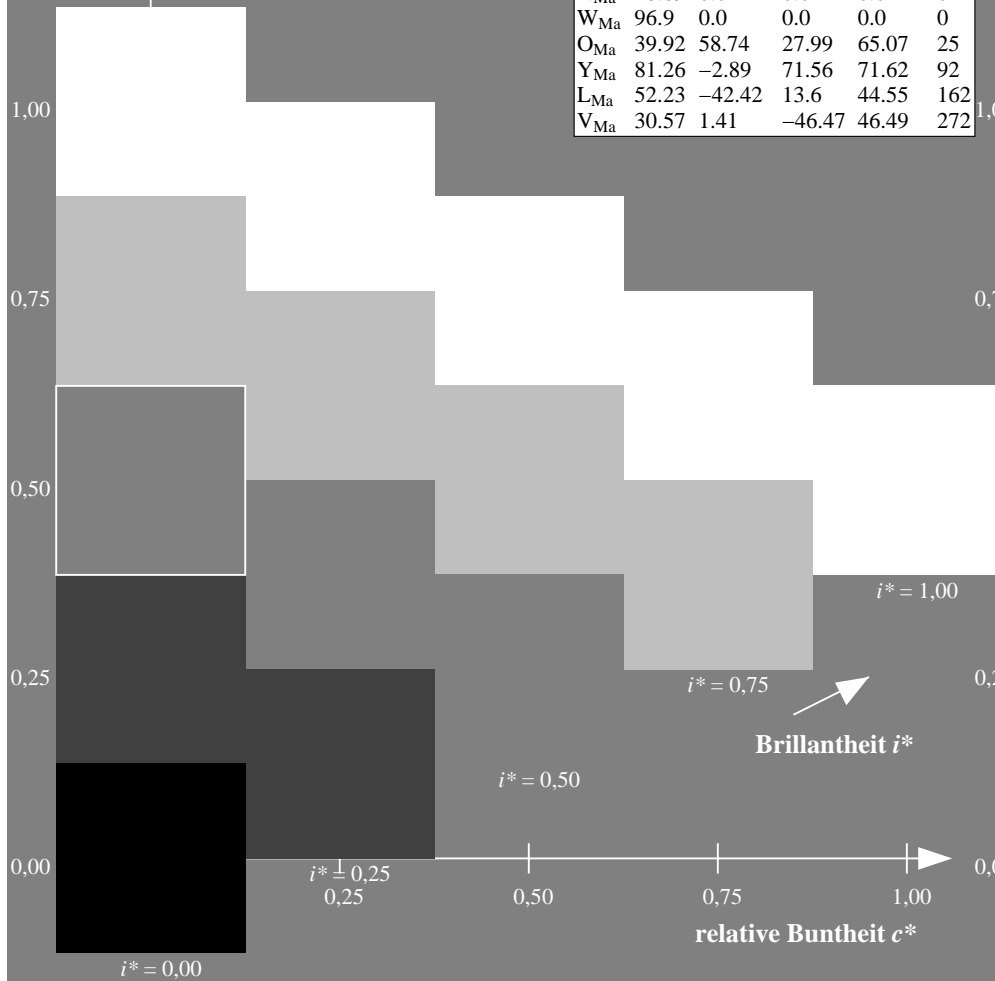
%Regularität

$g^*_{H,rel} = 72$

$g^*_{C,rel} = 57$

ORS19_96a; adaptierte CIELAB-Daten

u^*_d	$L^*=L^*_a$	a^*_a	b^*_a	$C^*_{ab,a}$	$h^*_{ab,a}$	u^*_e
o00y	48.75	65.07	39.43	76.08	31	r08j
o25y	59.04	46.67	51.1	69.21	48	r33j
o50y	68.32	30.09	61.62	68.58	64	r57j
o75y	78.23	12.39	72.85	73.9	80	r81j
y00l	90.92	-10.29	87.24	87.85	97	j06g
y25l	78.57	-28.11	65.75	71.51	113	j29g
y50l	69.46	-41.25	49.92	64.75	130	j53g
y75l	61.32	-52.99	35.76	63.92	146	j76g
l00c	52.69	-65.44	20.75	68.65	162	g00b
l50c	56.55	-45.12	-16.57	48.07	200	g34b
c00v	59.61	-28.98	-46.22	54.56	238	g69b
c50v	43.33	-1.54	-45.13	45.16	268	g96b
v00m	28.39	23.63	-44.13	50.06	298	b23r
v50m	36.9	43.84	-30.24	53.26	325	b47r
m00o	49.58	73.93	-9.56	74.55	353	b71r
m50o	49.17	69.55	14.68	71.08	12	b88r



Ein und Ausgabe: Farbmetrisches Drucker-Reflektiv-System ORS19_96a für relativen CIELAB-Bunton $h^* = lab^*h^* = h_{ab}/360 = 0.556$

$u^*_d = 150c$

Daten für jede Farbe:

lab^*tch^* und lab^*icu^*

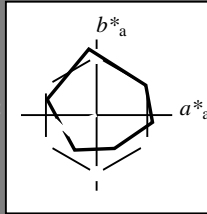
Buntontexte:

$u^*_d = 150c$ $u^*_e = g34b$

Kontrastreduzierungsfaktor:

$c_R = 1.0$

Dreiecks-Helligkeit t^*



ORS19_96a; adaptierte CIELAB-Daten						
u^*_d	$L^*=L^*_a$	a^*_a	b^*_a	$C^*_{ab,a}$	$h^*_{ab,a}$	
O _{Ma}	48.75	65.07	39.43	76.08	31	
Y _{Ma}	90.92	-10.29	87.24	87.85	97	
L _{Ma}	52.69	-65.44	20.75	68.65	162	
C _{Ma}	59.61	-28.98	-46.22	54.56	238	
V _{Ma}	28.39	23.63	-44.13	50.06	298	
M _{Ma}	49.58	73.93	-9.56	74.55	353	
N _{Ma}	18.89	0.0	0.0	0.0	0	
W _{Ma}	96.9	0.0	0.0	0.0	0	
O _{Ma}	39.92	58.74	27.99	65.07	25	
Y _{Ma}	81.26	-2.89	71.56	71.62	92	
L _{Ma}	52.23	-42.42	13.6	44.55	162	
V _{Ma}	30.57	1.41	-46.47	46.49	272	

Daten für Maximalfarbe (Ma):

$LAB^*LAB^*_{Ma}: 57 -45 -17$

$LAB^*LCH^*_{Ma}: 57 48 200$

$lab^*olv^*_{Ma}: 0.0 1.0 0.5$

$lab^*rgb^*_{Ma}: 0.0 1.0 0.69$

Dreiecks-Helligkeit t^*

%Umfang

$u^*_{rel} = 89$

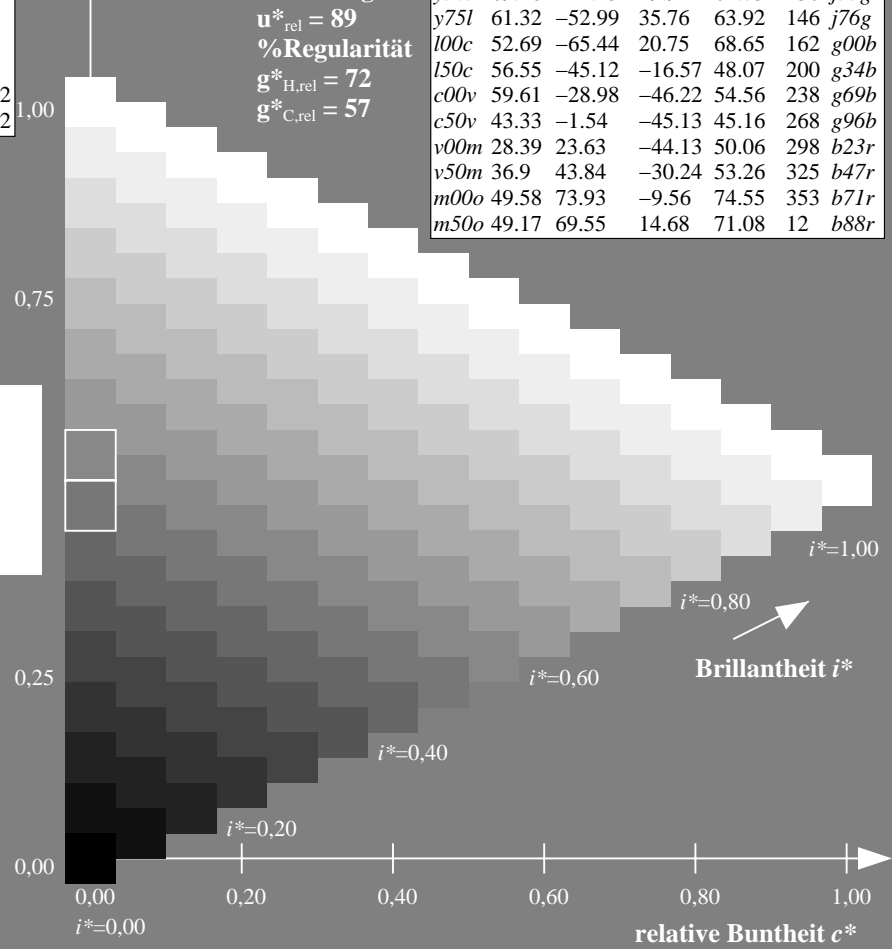
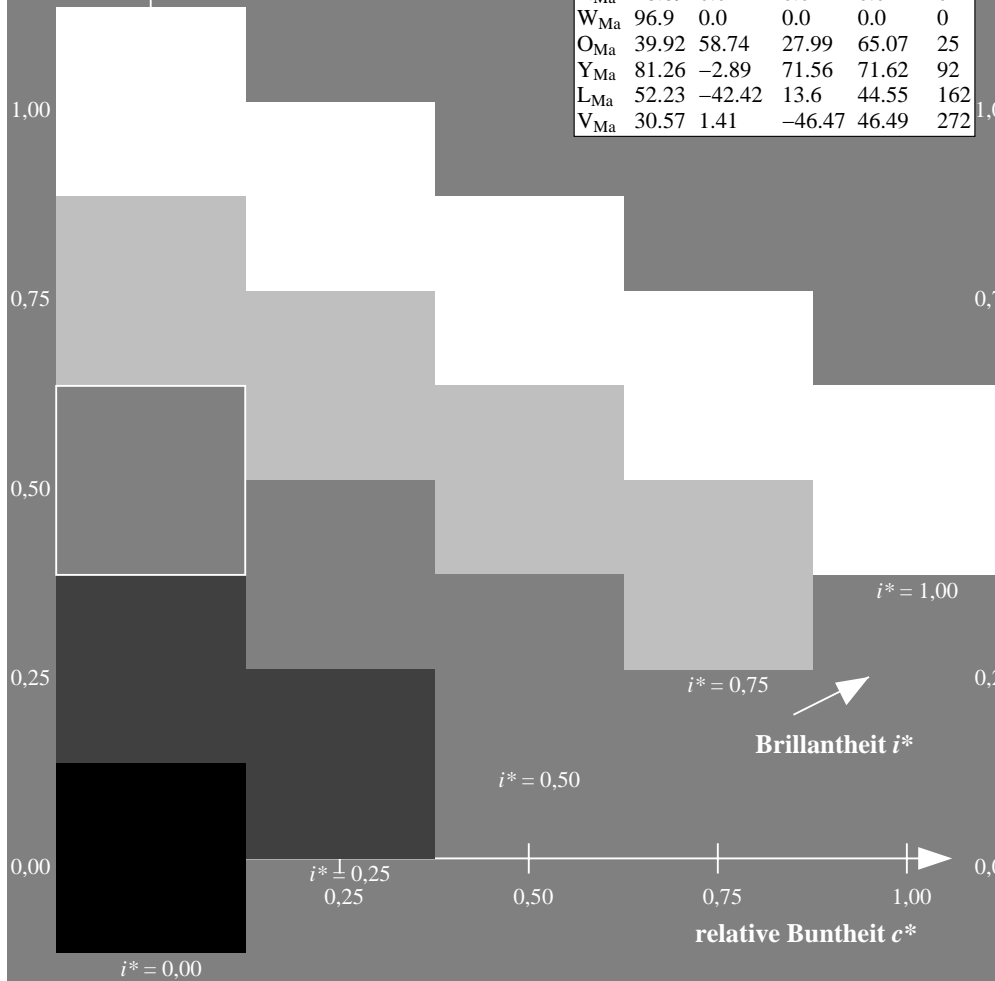
%Regularität

$g^*_{H,rel} = 72$

$g^*_{C,rel} = 57$

ORS19_96a; adaptierte CIELAB-Daten

u^*_d	$L^*=L^*_a$	a^*_a	b^*_a	$C^*_{ab,a}$	$h^*_{ab,a}$	u^*_e
o00y	48.75	65.07	39.43	76.08	31	r08j
o25y	59.04	46.67	51.1	69.21	48	r33j
o50y	68.32	30.09	61.62	68.58	64	r57j
o75y	78.23	12.39	72.85	73.9	80	r81j
y00l	90.92	-10.29	87.24	87.85	97	j06g
y25l	78.57	-28.11	65.75	71.51	113	j29g
y50l	69.46	-41.25	49.92	64.75	130	j53g
y75l	61.32	-52.99	35.76	63.92	146	j76g
l00c	52.69	-65.44	20.75	68.65	162	g00b
l50c	56.55	-45.12	-16.57	48.07	200	g34b
c00v	59.61	-28.98	-46.22	54.56	238	g69b
c50v	43.33	-1.54	-45.13	45.16	268	g96b
v00m	28.39	23.63	-44.13	50.06	298	b23r
v50m	36.9	43.84	-30.24	53.26	325	b47r
m00o	49.58	73.93	-9.56	74.55	353	b71r
m50o	49.17	69.55	14.68	71.08	12	b88r



Ein und Ausgabe: Farbmetrisches Drucker-Reflektiv-System ORS19_96a für relativen CIELAB-Bunton $h^* = lab^*h^* = h_{ab}/360 = 0.661$

$u^*_d = c00v$

Daten für jede Farbe:

lab^*tch^* und lab^*icu^*

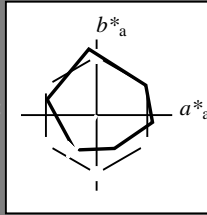
Buntontexte:

$u^*_d = c00v$ $u^*_e = g69b$

Kontrastreduzierungsfaktor:

$c_R = 1.0$

Dreiecks-Helligkeit t^*



ORS19_96a; adaptierte CIELAB-Daten						
u^*_d	$L^*=L^*_a$	a^*_a	b^*_a	$C^*_{ab,a}$	$h^*_{ab,a}$	
O _{Ma}	48.75	65.07	39.43	76.08	31	
Y _{Ma}	90.92	-10.29	87.24	87.85	97	
L _{Ma}	52.69	-65.44	20.75	68.65	162	
C _{Ma}	59.61	-28.98	-46.22	54.56	238	
V _{Ma}	28.39	23.63	-44.13	50.06	298	
M _{Ma}	49.58	73.93	-9.56	74.55	353	
N _{Ma}	18.89	0.0	0.0	0.0	0	
W _{Ma}	96.9	0.0	0.0	0.0	0	
O _{Ma}	39.92	58.74	27.99	65.07	25	
Y _{Ma}	81.26	-2.89	71.56	71.62	92	
L _{Ma}	52.23	-42.42	13.6	44.55	162	
V _{Ma}	30.57	1.41	-46.47	46.49	272	

Daten für Maximalfarbe (Ma):

$LAB^*LAB^*_{Ma}$: 60 -29 -46

$LAB^*LCH^*_{Ma}$: 60 55 237

$lab^*olv^*_{Ma}$: 0.0 1.0 1.0

$lab^*rgb^*_{Ma}$: 0.0 0.62 1.0

Dreiecks-Helligkeit t^*

%Umfang

$u^*_{rel} = 89$

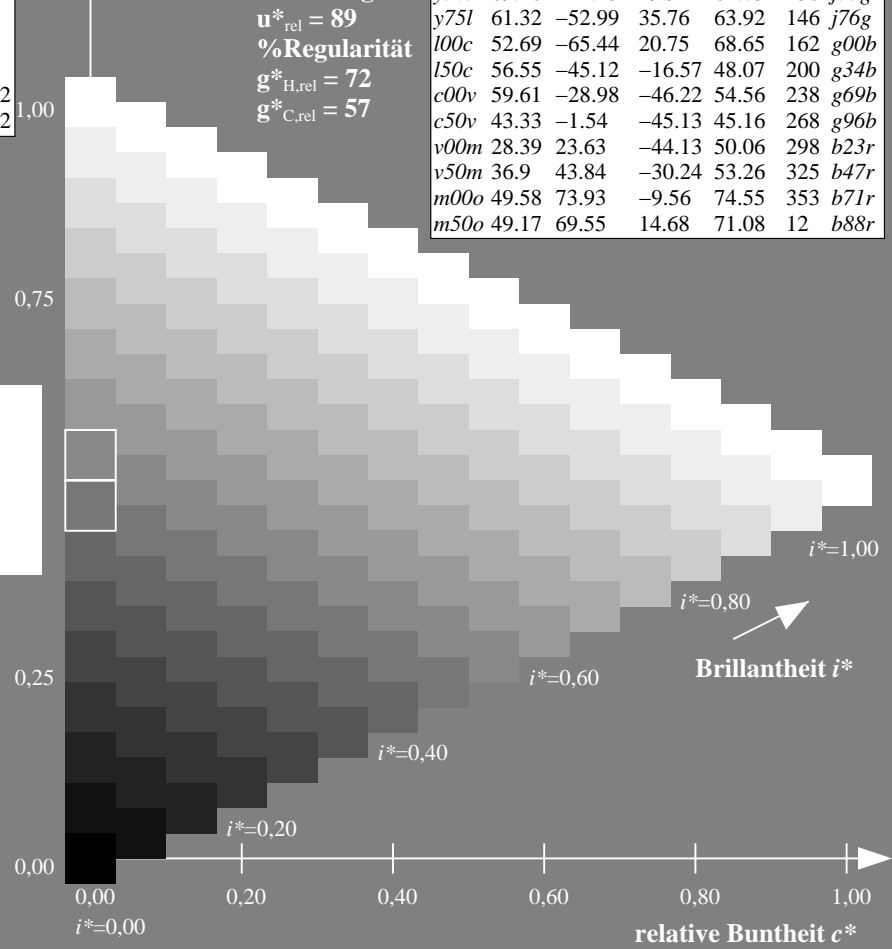
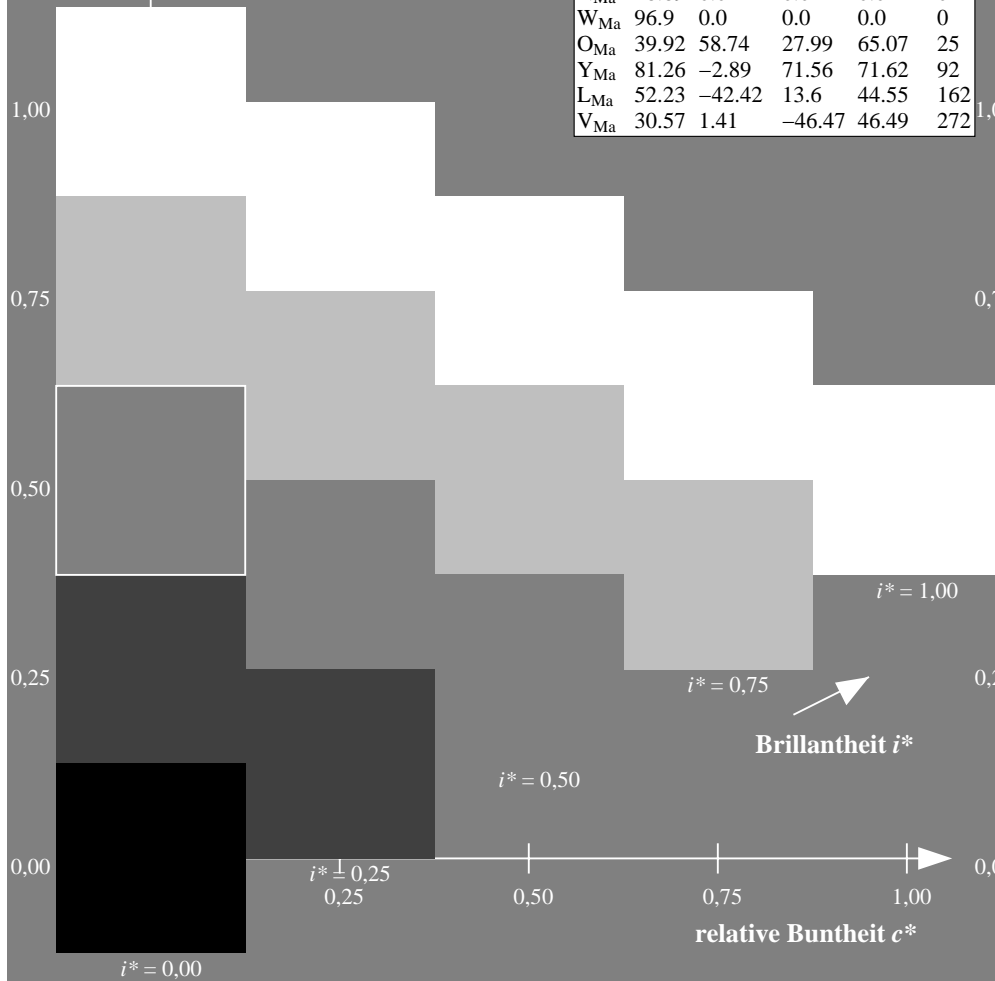
%Regularität

$g^*_{H,rel} = 72$

$g^*_{C,rel} = 57$

ORS19_96a; adaptierte CIELAB-Daten

u^*_d	$L^*=L^*_a$	a^*_a	b^*_a	$C^*_{ab,a}$	$h^*_{ab,a}$	u^*_e
<i>o00y</i>	48.75	65.07	39.43	76.08	31	<i>r08j</i>
<i>o25y</i>	59.04	46.67	51.1	69.21	48	<i>r33j</i>
<i>o50y</i>	68.32	30.09	61.62	68.58	64	<i>r57j</i>
<i>o75y</i>	78.23	12.39	72.85	73.9	80	<i>r81j</i>
<i>y00l</i>	90.92	-10.29	87.24	87.85	97	<i>j06g</i>
<i>y25l</i>	78.57	-28.11	65.75	71.51	113	<i>j29g</i>
<i>y50l</i>	69.46	-41.25	49.92	64.75	130	<i>j53g</i>
<i>y75l</i>	61.32	-52.99	35.76	63.92	146	<i>j76g</i>
<i>l00c</i>	52.69	-65.44	20.75	68.65	162	<i>g00b</i>
<i>l50c</i>	56.55	-45.12	-16.57	48.07	200	<i>g34b</i>
<i>c00v</i>	59.61	-28.98	-46.22	54.56	238	<i>g69b</i>
<i>c50v</i>	43.33	-1.54	-45.13	45.16	268	<i>g96b</i>
<i>v00m</i>	28.39	23.63	-44.13	50.06	298	<i>b23r</i>
<i>v50m</i>	36.9	43.84	-30.24	53.26	325	<i>b47r</i>
<i>m00o</i>	49.58	73.93	-9.56	74.55	353	<i>b71r</i>
<i>m50o</i>	49.17	69.55	14.68	71.08	12	<i>b88r</i>



Daten für jede Farbe:

lab^*tch^* und lab^*icu^*

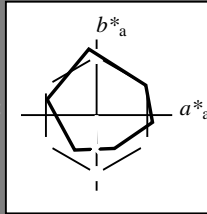
Buntontexte:

$u^*_d = c50v$ $u^*_e = g96b$

Kontrastreduzierungsfaktor:

$c_R = 1.0$

Dreiecks-Helligkeit t^*



ORS19_96a; adaptierte CIELAB-Daten

u^*_d	$L^*=L^*_a$	a^*_a	b^*_a	$C^*_{ab,a}$	$h^*_{ab,a}$
O _{Ma}	48.75	65.07	39.43	76.08	31
Y _{Ma}	90.92	-10.29	87.24	87.85	97
L _{Ma}	52.69	-65.44	20.75	68.65	162
C _{Ma}	59.61	-28.98	-46.22	54.56	238
V _{Ma}	28.39	23.63	-44.13	50.06	298
M _{Ma}	49.58	73.93	-9.56	74.55	353
N _{Ma}	18.89	0.0	0.0	0.0	0
W _{Ma}	96.9	0.0	0.0	0.0	0
O _{Ma}	39.92	58.74	27.99	65.07	25
Y _{Ma}	81.26	-2.89	71.56	71.62	92
L _{Ma}	52.23	-42.42	13.6	44.55	162
V _{Ma}	30.57	1.41	-46.47	46.49	272

Daten für Maximalfarbe (Ma):

$LAB^*LAB^*_{Ma}$: 43 -2 -45

$LAB^*LCH^*_{Ma}$: 43 45 268

$lab^*olv^*_{Ma}$: 0.0 0.5 1.0

$lab^*rgb^*_{Ma}$: 0.0 0.07 1.0

Dreiecks-Helligkeit t^*

%Umfang

$u^*_{rel} = 89$

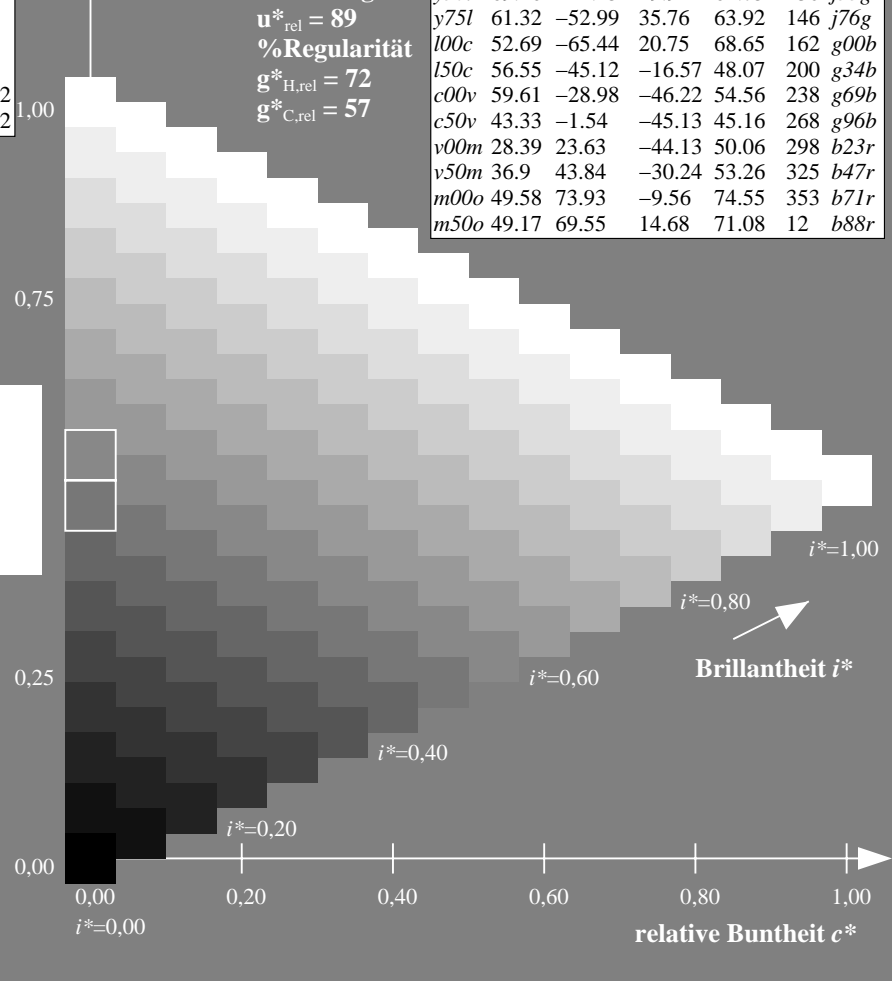
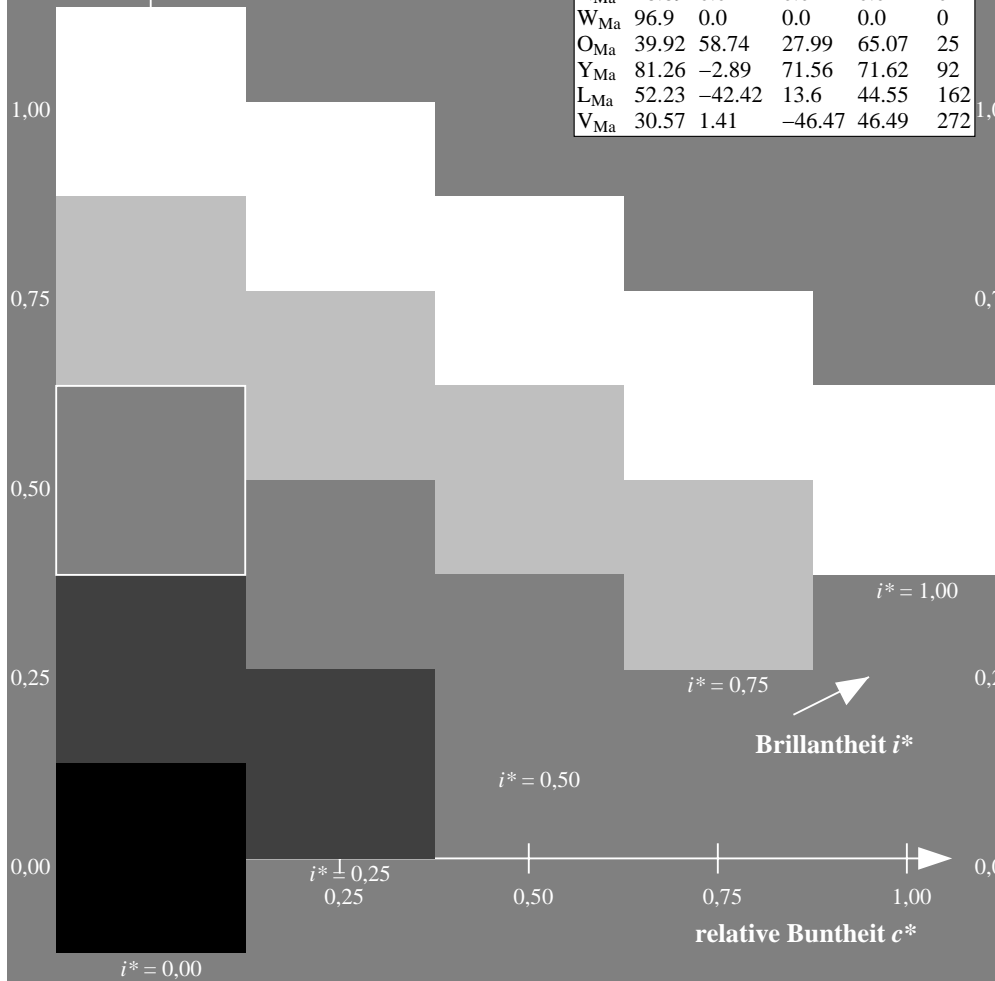
%Regularität

$g^*_{H,rel} = 72$

$g^*_{C,rel} = 57$

ORS19_96a; adaptierte CIELAB-Daten

u^*_d	$L^*=L^*_a$	a^*_a	b^*_a	$C^*_{ab,a}$	$h^*_{ab,a}$	u^*_e
o00y	48.75	65.07	39.43	76.08	31	r08j
o25y	59.04	46.67	51.1	69.21	48	r33j
o50y	68.32	30.09	61.62	68.58	64	r57j
o75y	78.23	12.39	72.85	73.9	80	r81j
y00l	90.92	-10.29	87.24	87.85	97	j06g
y25l	78.57	-28.11	65.75	71.51	113	j29g
y50l	69.46	-41.25	49.92	64.75	130	j53g
y75l	61.32	-52.99	35.76	63.92	146	j76g
l00c	52.69	-65.44	20.75	68.65	162	g00b
l50c	56.55	-45.12	-16.57	48.07	200	g34b
c00v	59.61	-28.98	-46.22	54.56	238	g69b
c50v	43.33	-1.54	-45.13	45.16	268	g96b
v00m	28.39	23.63	-44.13	50.06	298	b23r
v50m	36.9	43.84	-30.24	53.26	325	b47r
m00o	49.58	73.93	-9.56	74.55	353	b71r
m50o	49.17	69.55	14.68	71.08	12	b88r



Daten für jede Farbe:

lab^*tch^* und lab^*icu^*

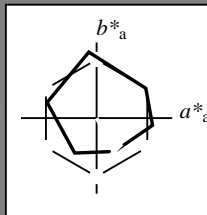
Buntontexte:

$u^*_d = v00m$ $u^*_e = b23r$

Kontrastreduzierungsfaktor:

$c_R = 1.0$

Dreiecks-Helligkeit t^*



ORS19_96a; adaptierte CIELAB-Daten						
u^*_d	$L^*=L^*_a$	a^*_a	b^*_a	$C^*_{ab,a}$	$h^*_{ab,a}$	
O _{Ma}	48.75	65.07	39.43	76.08	31	
Y _{Ma}	90.92	-10.29	87.24	87.85	97	
L _{Ma}	52.69	-65.44	20.75	68.65	162	
C _{Ma}	59.61	-28.98	-46.22	54.56	238	
V _{Ma}	28.39	23.63	-44.13	50.06	298	
M _{Ma}	49.58	73.93	-9.56	74.55	353	
N _{Ma}	18.89	0.0	0.0	0.0	0	
W _{Ma}	96.9	0.0	0.0	0.0	0	
O _{Ma}	39.92	58.74	27.99	65.07	25	
Y _{Ma}	81.26	-2.89	71.56	71.62	92	
L _{Ma}	52.23	-42.42	13.6	44.55	162	
V _{Ma}	30.57	1.41	-46.47	46.49	272	

Daten für Maximalfarbe (Ma):

$LAB^*LAB^*_{Ma}$: 28 24 -44

$LAB^*LCH^*_{Ma}$: 28 50 298

$lab^*olv^*_{Ma}$: 0.0 0.0 1.0

$lab^*rgb^*_{Ma}$: 0.46 0.0 1.0

Dreiecks-Helligkeit t^*

%Umfang

$u^*_{rel} = 89$

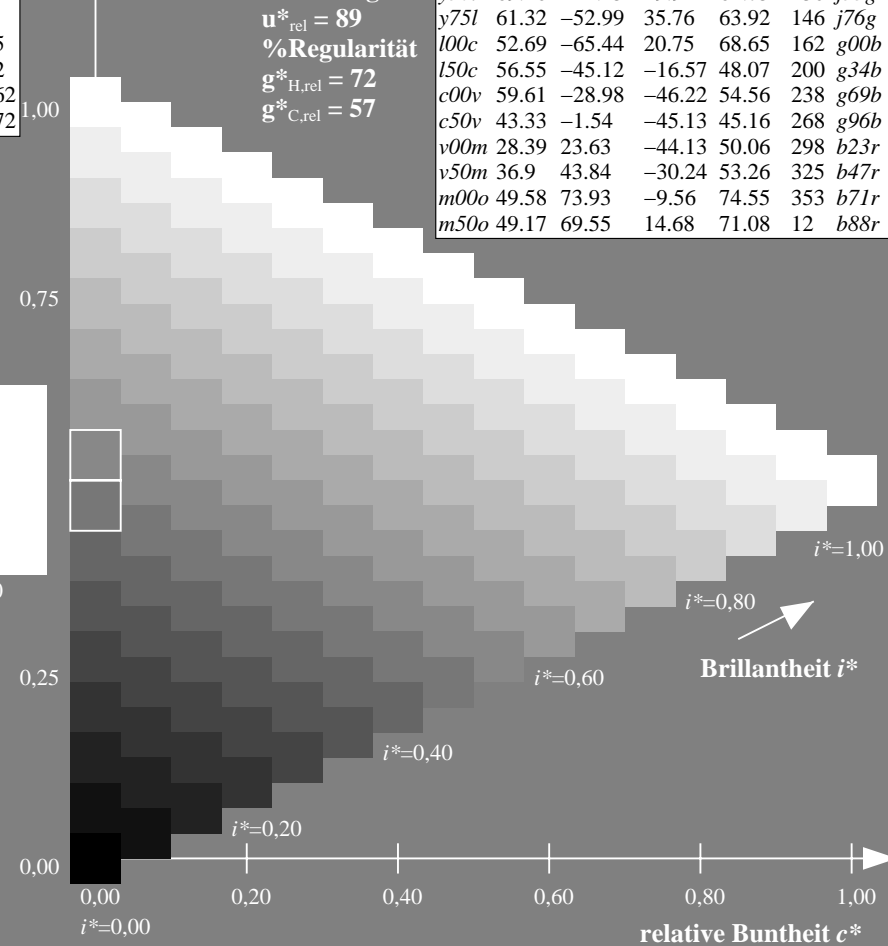
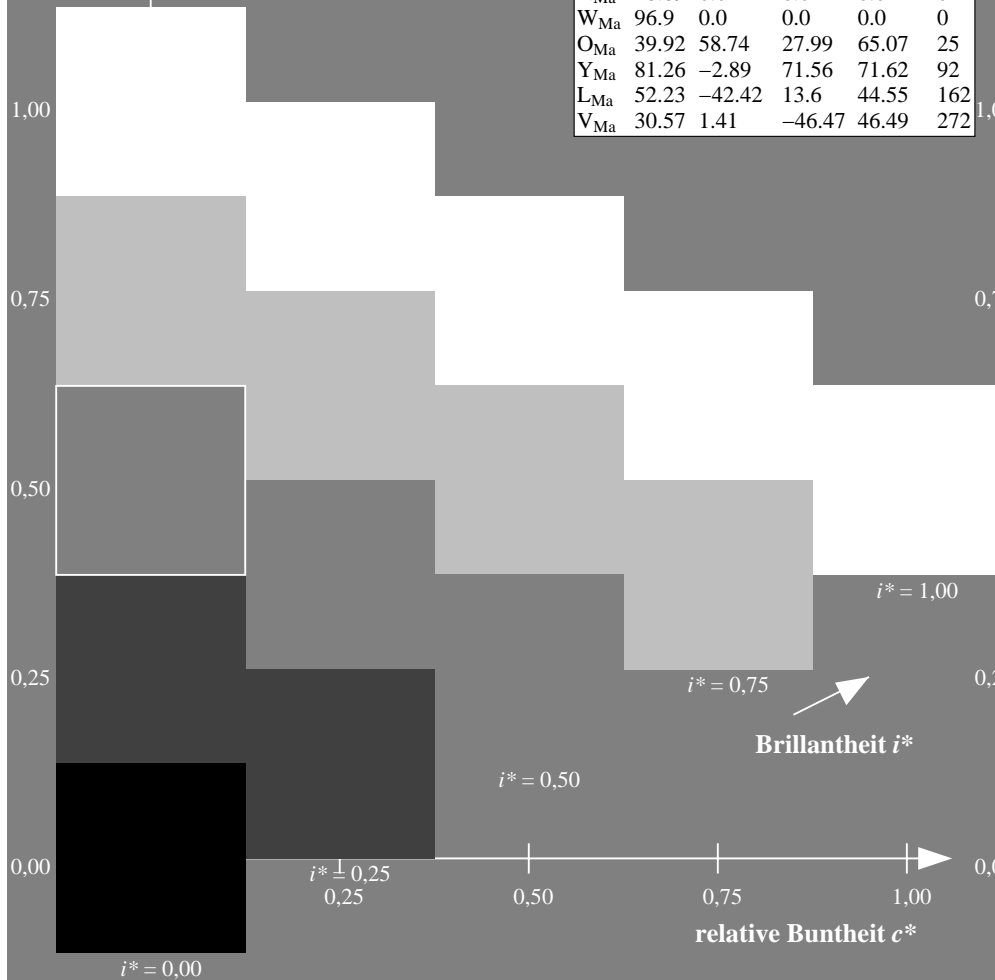
%Regularität

$g^*_{H,rel} = 72$

$g^*_{C,rel} = 57$

ORS19_96a; adaptierte CIELAB-Daten

u^*_d	$L^*=L^*_a$	a^*_a	b^*_a	$C^*_{ab,a}$	$h^*_{ab,a}$	u^*_e
o00y	48.75	65.07	39.43	76.08	31	r08j
o25y	59.04	46.67	51.1	69.21	48	r33j
o50y	68.32	30.09	61.62	68.58	64	r57j
o75y	78.23	12.39	72.85	73.9	80	r81j
y00l	90.92	-10.29	87.24	87.85	97	j06g
y25l	78.57	-28.11	65.75	71.51	113	j29g
y50l	69.46	-41.25	49.92	64.75	130	j53g
y75l	61.32	-52.99	35.76	63.92	146	j76g
l00c	52.69	-65.44	20.75	68.65	162	g00b
l50c	56.55	-45.12	-16.57	48.07	200	g34b
c00v	59.61	-28.98	-46.22	54.56	238	g69b
c50v	43.33	-1.54	-45.13	45.16	268	g96b
v00m	28.39	23.63	-44.13	50.06	298	b23r
v50m	36.9	43.84	-30.24	53.26	325	b47r
m00o	49.58	73.93	-9.56	74.55	353	b71r
m50o	49.17	69.55	14.68	71.08	12	b88r



Daten für jede Farbe:

lab^*tch^* und lab^*icu^*

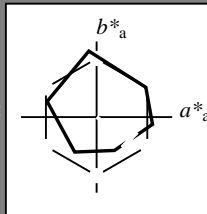
Buntontexte:

$u^*_d = v50m$ $u^*_e = b47r$

Kontrastreduzierungsfaktor:

$c_R = 1.0$

Dreiecks-Helligkeit t^*



ORS19_96a; adaptierte CIELAB-Daten

u^*_d	$L^*=L^*_a$	a^*_a	b^*_a	$C^*_{ab,a}$	$h^*_{ab,a}$
O _{Ma}	48.75	65.07	39.43	76.08	31
Y _{Ma}	90.92	-10.29	87.24	87.85	97
L _{Ma}	52.69	-65.44	20.75	68.65	162
C _{Ma}	59.61	-28.98	-46.22	54.56	238
V _{Ma}	28.39	23.63	-44.13	50.06	298
M _{Ma}	49.58	73.93	-9.56	74.55	353
N _{Ma}	18.89	0.0	0.0	0.0	0
W _{Ma}	96.9	0.0	0.0	0.0	0
O _{Ma}	39.92	58.74	27.99	65.07	25
Y _{Ma}	81.26	-2.89	71.56	71.62	92
L _{Ma}	52.23	-42.42	13.6	44.55	162
V _{Ma}	30.57	1.41	-46.47	46.49	272

Daten für Maximalfarbe (Ma):

$LAB^*LAB^*_{Ma}$: 37 44 -30

$LAB^*LCH^*_{Ma}$: 37 53 325

$lab^*olv^*_{Ma}$: 0.5 0.0 1.0

$lab^*rgb^*_{Ma}$: 0.94 0.0 1.0

Dreiecks-Helligkeit t^*

%Umfang

$u^*_{rel} = 89$

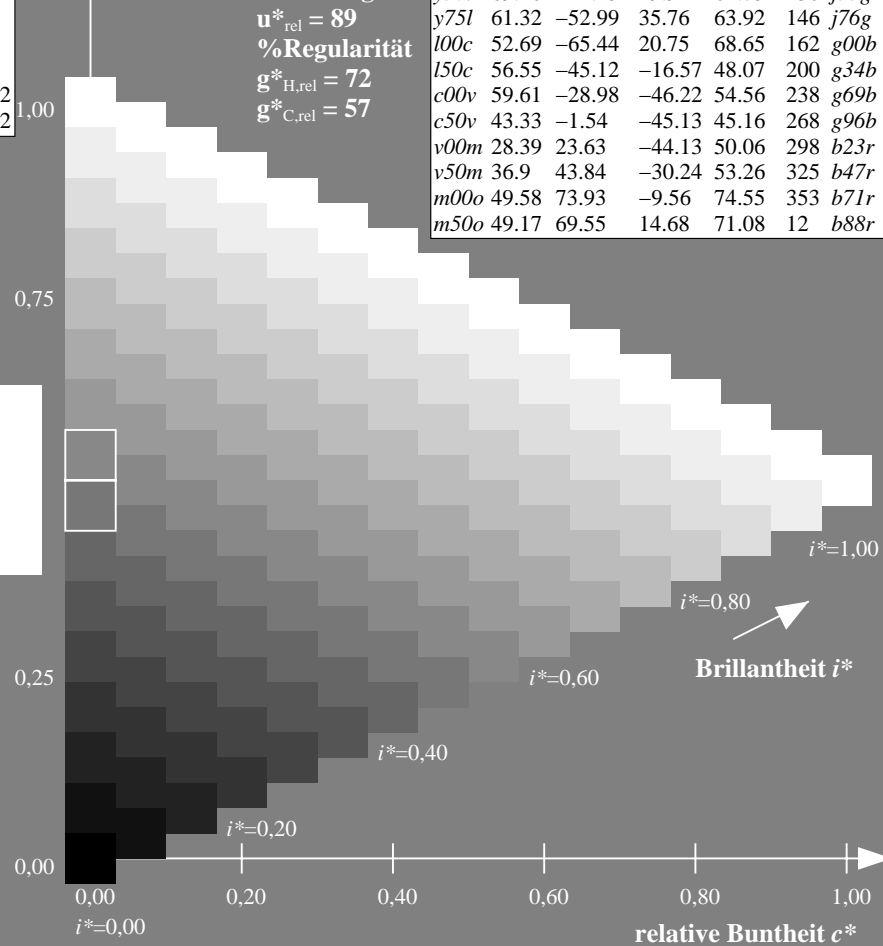
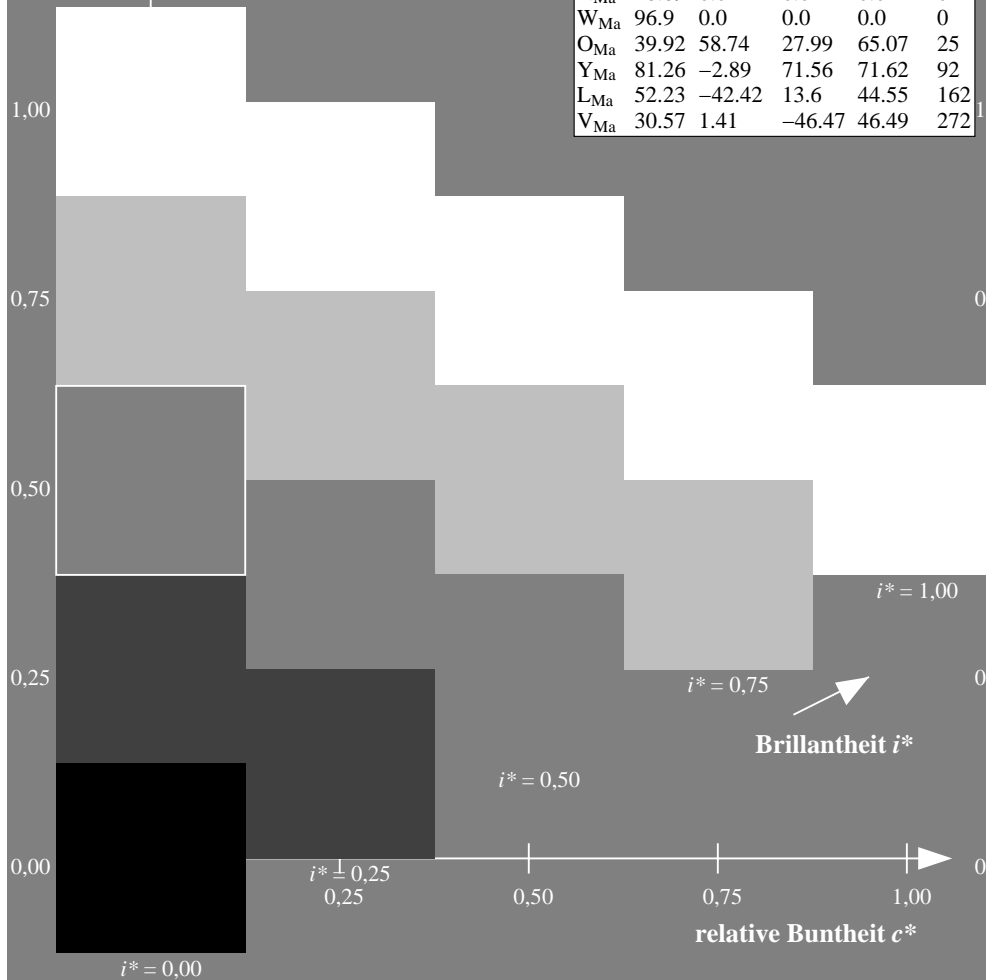
%Regularität

$g^*_{H,rel} = 72$

$g^*_{C,rel} = 57$

ORS19_96a; adaptierte CIELAB-Daten

u^*_d	$L^*=L^*_a$	a^*_a	b^*_a	$C^*_{ab,a}$	$h^*_{ab,a}$	u^*_e
o00y	48.75	65.07	39.43	76.08	31	r08j
o25y	59.04	46.67	51.1	69.21	48	r33j
o50y	68.32	30.09	61.62	68.58	64	r57j
o75y	78.23	12.39	72.85	73.9	80	r81j
y00l	90.92	-10.29	87.24	87.85	97	j06g
y25l	78.57	-28.11	65.75	71.51	113	j29g
y50l	69.46	-41.25	49.92	64.75	130	j53g
y75l	61.32	-52.99	35.76	63.92	146	j76g
l00c	52.69	-65.44	20.75	68.65	162	g00b
l50c	56.55	-45.12	-16.57	48.07	200	g34b
c00v	59.61	-28.98	-46.22	54.56	238	g69b
c50v	43.33	-1.54	-45.13	45.16	268	g96b
v00m	28.39	23.63	-44.13	50.06	298	b23r
v50m	36.9	43.84	-30.24	53.26	325	b47r
m00o	49.58	73.93	-9.56	74.55	353	b71r
m50o	49.17	69.55	14.68	71.08	12	b88r



Daten für jede Farbe:

lab^*tch^* und lab^*icu^*

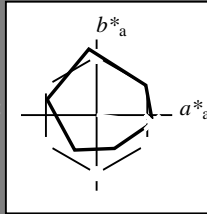
Buntontexte:

$u^*_d = m00o$ $u^*_e = b71r$

Kontrastreduzierungsfaktor:

$c_R = 1.0$

Dreiecks-Helligkeit t^*



ORS19_96a; adaptierte CIELAB-Daten						
u^*_d	$L^*=L^*_a$	a^*_a	b^*_a	$C^*_{ab,a}$	$h^*_{ab,a}$	
O _{Ma}	48.75	65.07	39.43	76.08	31	
Y _{Ma}	90.92	-10.29	87.24	87.85	97	
L _{Ma}	52.69	-65.44	20.75	68.65	162	
C _{Ma}	59.61	-28.98	-46.22	54.56	238	
V _{Ma}	28.39	23.63	-44.13	50.06	298	
M _{Ma}	49.58	73.93	-9.56	74.55	353	
N _{Ma}	18.89	0.0	0.0	0.0	0	
W _{Ma}	96.9	0.0	0.0	0.0	0	
O _{Ma}	39.92	58.74	27.99	65.07	25	
Y _{Ma}	81.26	-2.89	71.56	71.62	92	
L _{Ma}	52.23	-42.42	13.6	44.55	162	
V _{Ma}	30.57	1.41	-46.47	46.49	272	

Daten für Maximalfarbe (Ma):

$\text{LAB}^*\text{LAB}^*_{Ma}: 50\ 74\ -10$

$\text{LAB}^*\text{LCH}^*_{Ma}: 50\ 75\ 352$

$\text{lab}^*\text{olv}^*_{Ma}: 1.0\ 0.0\ 1.0$

$\text{lab}^*\text{rgb}^*_{Ma}: 1.0\ 0.0\ 0.58$

Dreiecks-Helligkeit t^*

%Umfang

$u^*_{rel} = 89$

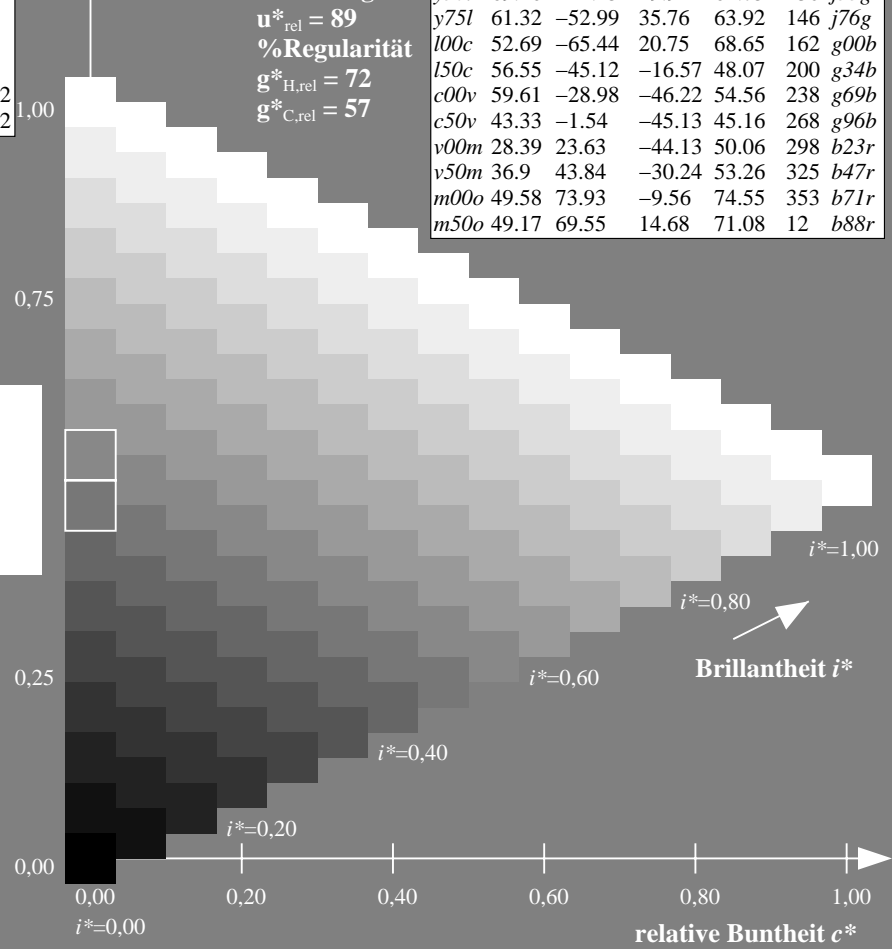
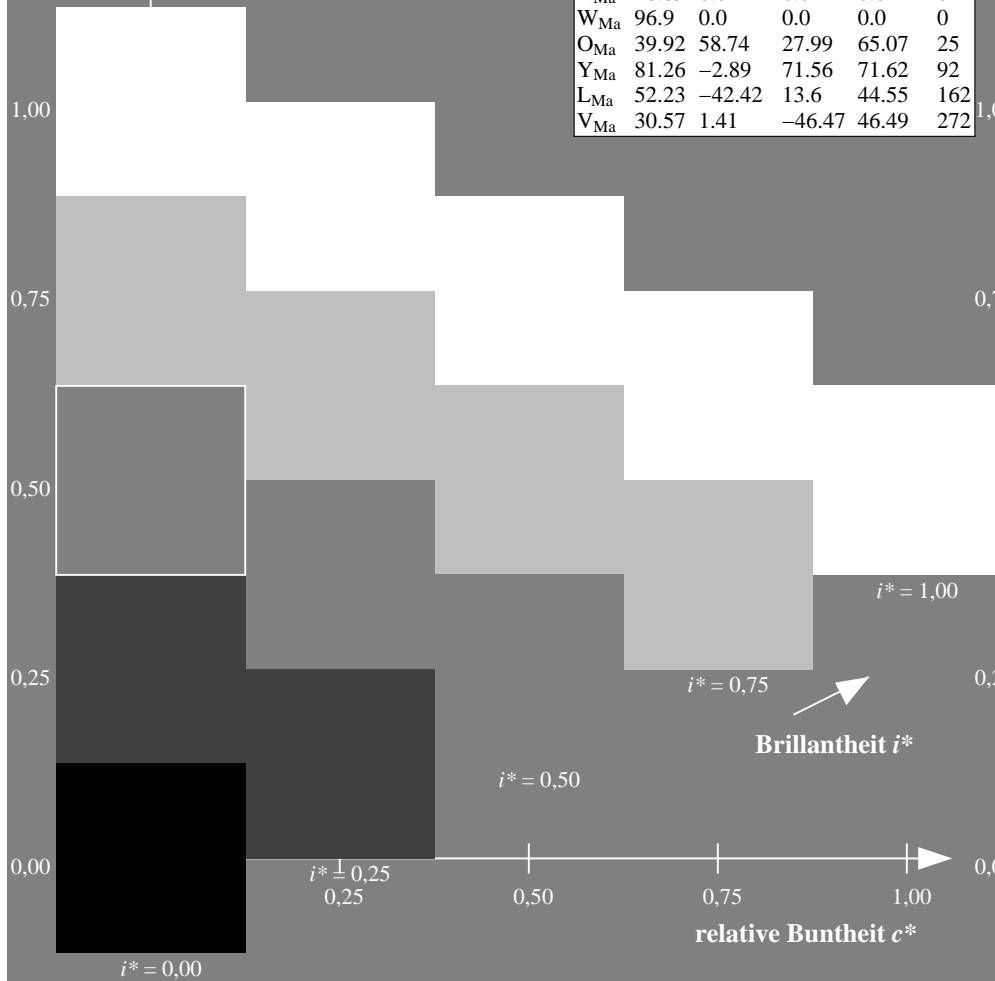
%Regularität

$g^*_{H,rel} = 72$

$g^*_{C,rel} = 57$

ORS19_96a; adaptierte CIELAB-Daten

u^*_d	$L^*=L^*_a$	a^*_a	b^*_a	$C^*_{ab,a}$	$h^*_{ab,a}$	u^*_e
o00y	48.75	65.07	39.43	76.08	31	r08j
o25y	59.04	46.67	51.1	69.21	48	r33j
o50y	68.32	30.09	61.62	68.58	64	r57j
o75y	78.23	12.39	72.85	73.9	80	r81j
y00l	90.92	-10.29	87.24	87.85	97	j06g
y25l	78.57	-28.11	65.75	71.51	113	j29g
y50l	69.46	-41.25	49.92	64.75	130	j53g
y75l	61.32	-52.99	35.76	63.92	146	j76g
l00c	52.69	-65.44	20.75	68.65	162	g00b
l50c	56.55	-45.12	-16.57	48.07	200	g34b
c00v	59.61	-28.98	-46.22	54.56	238	g69b
c50v	43.33	-1.54	-45.13	45.16	268	g96b
v00m	28.39	23.63	-44.13	50.06	298	b23r
v50m	36.9	43.84	-30.24	53.26	325	b47r
m00o	49.58	73.93	-9.56	74.55	353	b71r
m50o	49.17	69.55	14.68	71.08	12	b88r



Daten für jede Farbe:

lab^*tch^* und lab^*icu^*

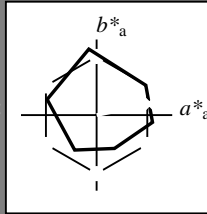
Buntontexte:

$u^*_d = m50o$ $u^*_e = b88r$

Kontrastreduzierungsfaktor:

$c_R = 1.0$

Dreiecks-Helligkeit t^*



ORS19_96a; adaptierte CIELAB-Daten						
u^*_d	$L^*=L^*_a$	a^*_a	b^*_a	$C^*_{ab,a}$	$h^*_{ab,a}$	
O _{Ma}	48.75	65.07	39.43	76.08	31	
Y _{Ma}	90.92	-10.29	87.24	87.85	97	
L _{Ma}	52.69	-65.44	20.75	68.65	162	
C _{Ma}	59.61	-28.98	-46.22	54.56	238	
V _{Ma}	28.39	23.63	-44.13	50.06	298	
M _{Ma}	49.58	73.93	-9.56	74.55	353	
N _{Ma}	18.89	0.0	0.0	0.0	0	
W _{Ma}	96.9	0.0	0.0	0.0	0	
O _{Ma}	39.92	58.74	27.99	65.07	25	
Y _{Ma}	81.26	-2.89	71.56	71.62	92	
L _{Ma}	52.23	-42.42	13.6	44.55	162	
V _{Ma}	30.57	1.41	-46.47	46.49	272	

Daten für Maximalfarbe (Ma):

$LAB^*LAB^*_{Ma}$: 49 70 15

$LAB^*LCH^*_{Ma}$: 49 71 11

$lab^*olv^*_{Ma}$: 1.0 0.0 0.5

$lab^*rgb^*_{Ma}$: 1.0 0.0 0.24

Dreiecks-Helligkeit t^*

%Umfang

$u^*_{rel} = 89$

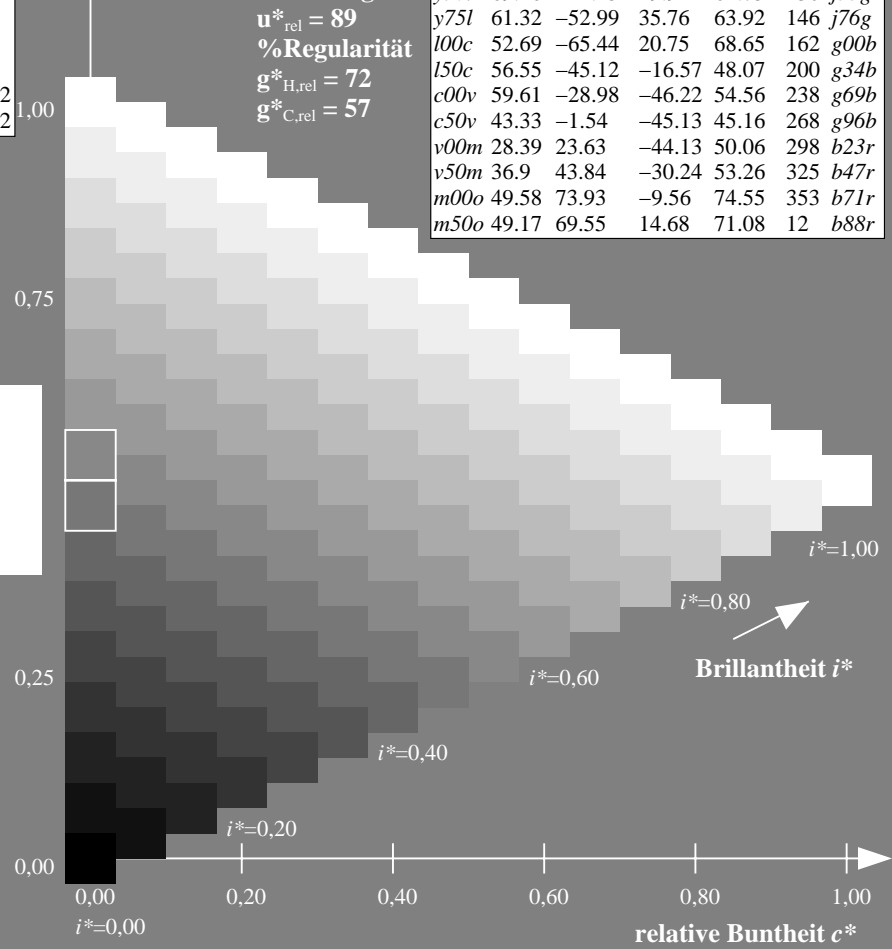
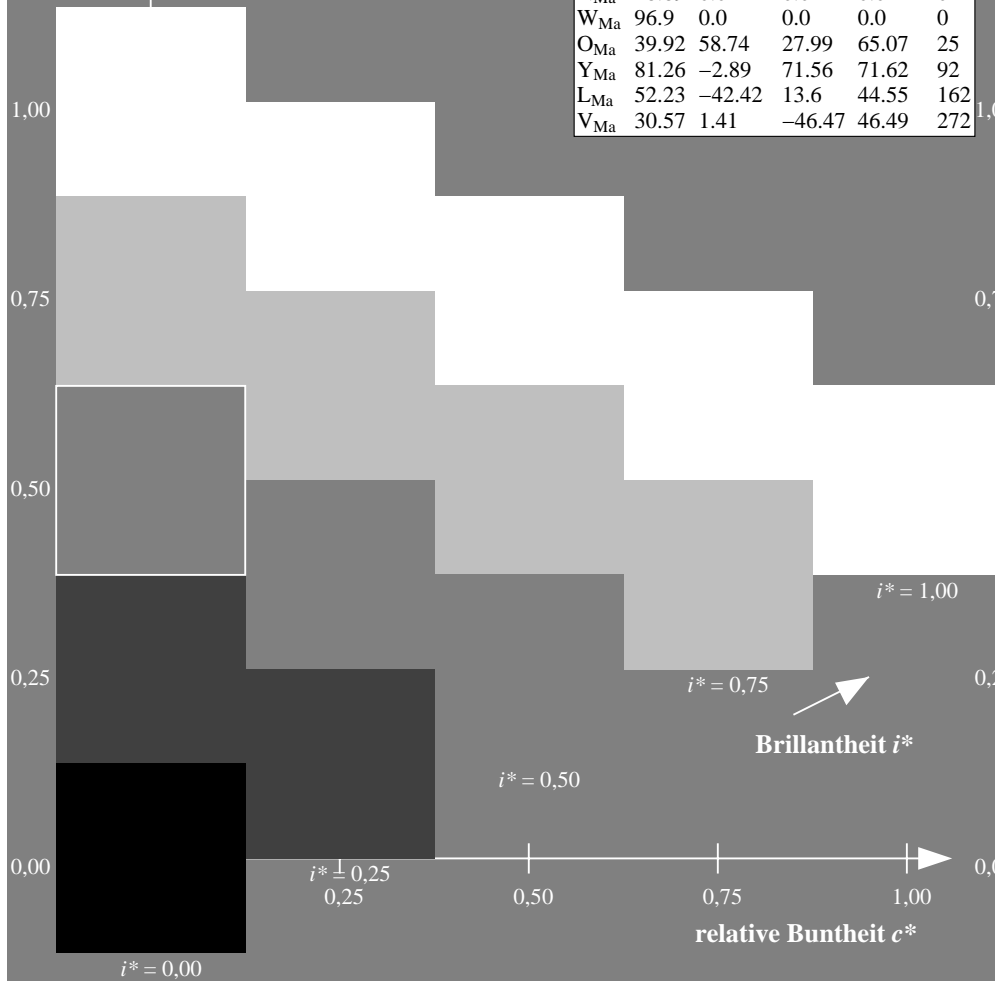
%Regularität

$g^*_{H,rel} = 72$

$g^*_{C,rel} = 57$

ORS19_96a; adaptierte CIELAB-Daten

u^*_d	$L^*=L^*_a$	a^*_a	b^*_a	$C^*_{ab,a}$	$h^*_{ab,a}$	u^*_e
o00y	48.75	65.07	39.43	76.08	31	r08j
o25y	59.04	46.67	51.1	69.21	48	r33j
o50y	68.32	30.09	61.62	68.58	64	r57j
o75y	78.23	12.39	72.85	73.9	80	r81j
y00l	90.92	-10.29	87.24	87.85	97	j06g
y25l	78.57	-28.11	65.75	71.51	113	j29g
y50l	69.46	-41.25	49.92	64.75	130	j53g
y75l	61.32	-52.99	35.76	63.92	146	j76g
l00c	52.69	-65.44	20.75	68.65	162	g00b
l50c	56.55	-45.12	-16.57	48.07	200	g34b
c00v	59.61	-28.98	-46.22	54.56	238	g69b
c50v	43.33	-1.54	-45.13	45.16	268	g96b
v00m	28.39	23.63	-44.13	50.06	298	b23r
v50m	36.9	43.84	-30.24	53.26	325	b47r
m00o	49.58	73.93	-9.56	74.55	353	b71r
m50o	49.17	69.55	14.68	71.08	12	b88r



Ein und Ausgabe:
 Farbmetrisches Drucker-Reflektiv-System ORS19_96a

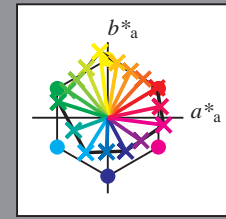
Daten für jede Farbe:
 u^*_d und Nummer $Nr.$ = 00 .. 15

Geräte-Bunttextext:
 $u^*_d = 16$ Bunttoene $o00y, o25y, \dots, m50o$

Kontrastreduzierungsfaktor:
 $c_R = 1.0$

ORS19_96a; adaptierte CIELAB-Daten

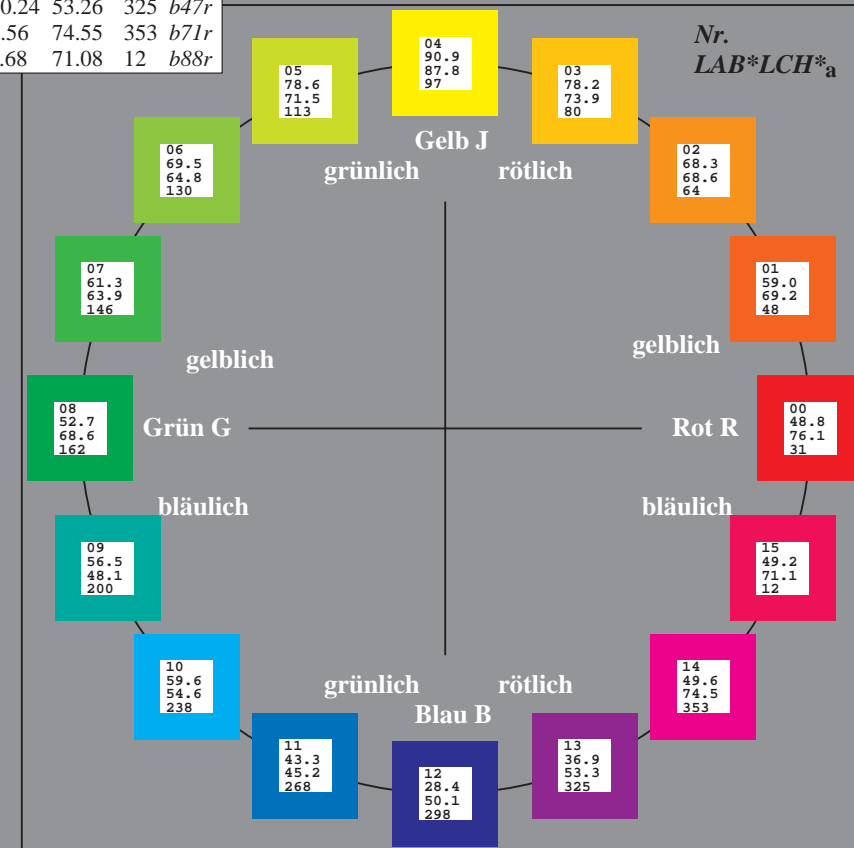
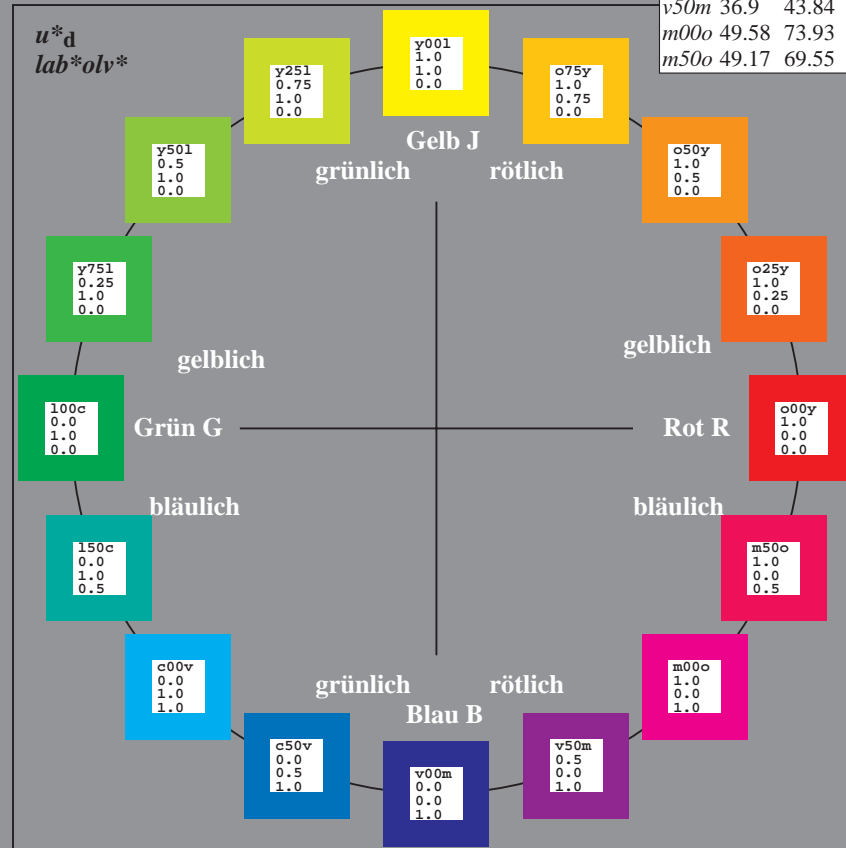
u^*_d	$L^*=L^*_a$	a^*_a	b^*_a	$C^*_{ab,a}$	$h^*_{ab,a}$	u^*_e
$o00y$	48.75	65.07	39.43	76.08	31	$r08j$
$o25y$	59.04	46.67	51.1	69.21	48	$r33j$
$o50y$	68.32	30.09	61.62	68.58	64	$r57j$
$o75y$	78.23	12.39	72.85	73.9	80	$r81j$
$y00l$	90.92	-10.29	87.24	87.85	97	$j06g$
$y25l$	78.57	-28.11	65.75	71.51	113	$j29g$
$y50l$	69.46	-41.25	49.92	64.75	130	$j53g$
$y75l$	61.32	-52.99	35.76	63.92	146	$j76g$
$l00c$	52.69	-65.44	20.75	68.65	162	$g00b$
$l50c$	56.55	-45.12	-16.57	48.07	200	$g34b$
$c00v$	59.61	-28.98	-46.22	54.56	238	$g69b$
$c50v$	43.33	-1.54	-45.13	45.16	268	$g96b$
$v00m$	28.39	23.63	-44.13	50.06	298	$b23r$
$y50m$	36.9	43.84	-30.24	53.26	325	$b47r$
$m00o$	49.58	73.93	-9.56	74.55	353	$b71r$
$m50o$	49.17	69.55	14.68	71.08	12	$b88r$



%Umfang
 $u^*_{rel} = 89$
 %Regularität
 $g^*_{H,rel} = 72$
 $g^*_{C,rel} = 57$

ORS19_96a; adaptierte CIELAB-Daten

Name	$L^*=L^*_a$	a^*_a	b^*_a	$C^*_{ab,a}$	$h^*_{ab,a}$
O_{Ma}	48.75	65.07	39.43	76.08	31
Y_{Ma}	90.92	-10.29	87.24	87.85	97
L_{Ma}	52.69	-65.44	20.75	68.65	162
C_{Ma}	59.61	-28.98	-46.22	54.56	238
V_{Ma}	28.39	23.63	-44.13	50.06	298
M_{Ma}	49.58	73.93	-9.56	74.55	353
N_{Ma}	18.89	0.0	0.0	0.0	0
W_{Ma}	96.9	0.0	0.0	0.0	0
O_{CIE}	39.92	58.74	27.99	65.07	25
Y_{CIE}	81.26	-2.89	71.56	71.62	92
L_{CIE}	52.23	-42.42	13.6	44.55	162
V_{CIE}	30.57	1.41	-46.47	46.49	272



Ein und Ausgabe: Farbmatisches Drucker-Reflektiv-System ORS19_96a für relativen CIELAB-Bunton $h^* = lab^*h^* = h_{ab}/360 = 0.087$

$u^*_d = o00y$

Daten für jede Farbe:

lab^*ch^* und lab^*icu^*

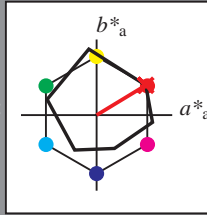
Buntontexte:

$u^*_d = o00y$ $u^*_e = r08j$

Kontrastreduzierungsfaktor:

$c_R = 1.0$

Dreiecks-Helligkeit t^*



ORS19_96a; adaptierte CIELAB-Daten						
u^*_d	$L^*=L^*_a$	a^*_a	b^*_a	$C^*_{ab,a}$	$h^*_{ab,a}$	
O _{Ma}	48.75	65.07	39.43	76.08	31	
Y _{Ma}	90.92	-10.29	87.24	87.85	97	
L _{Ma}	52.69	-65.44	20.75	68.65	162	
C _{Ma}	59.61	-28.98	-46.22	54.56	238	
V _{Ma}	28.39	23.63	-44.13	50.06	298	
M _{Ma}	49.58	73.93	-9.56	74.55	353	
N _{Ma}	18.89	0.0	0.0	0.0	0	
W _{Ma}	96.9	0.0	0.0	0.0	0	
O _{Ma}	39.92	58.74	27.99	65.07	25	
Y _{Ma}	81.26	-2.89	71.56	71.62	92	
L _{Ma}	52.23	-42.42	13.6	44.55	162	
V _{Ma}	30.57	1.41	-46.47	46.49	272	

Daten für Maximalfarbe (Ma):

$LAB^*LAB^*_{Ma}$: 49 65 39

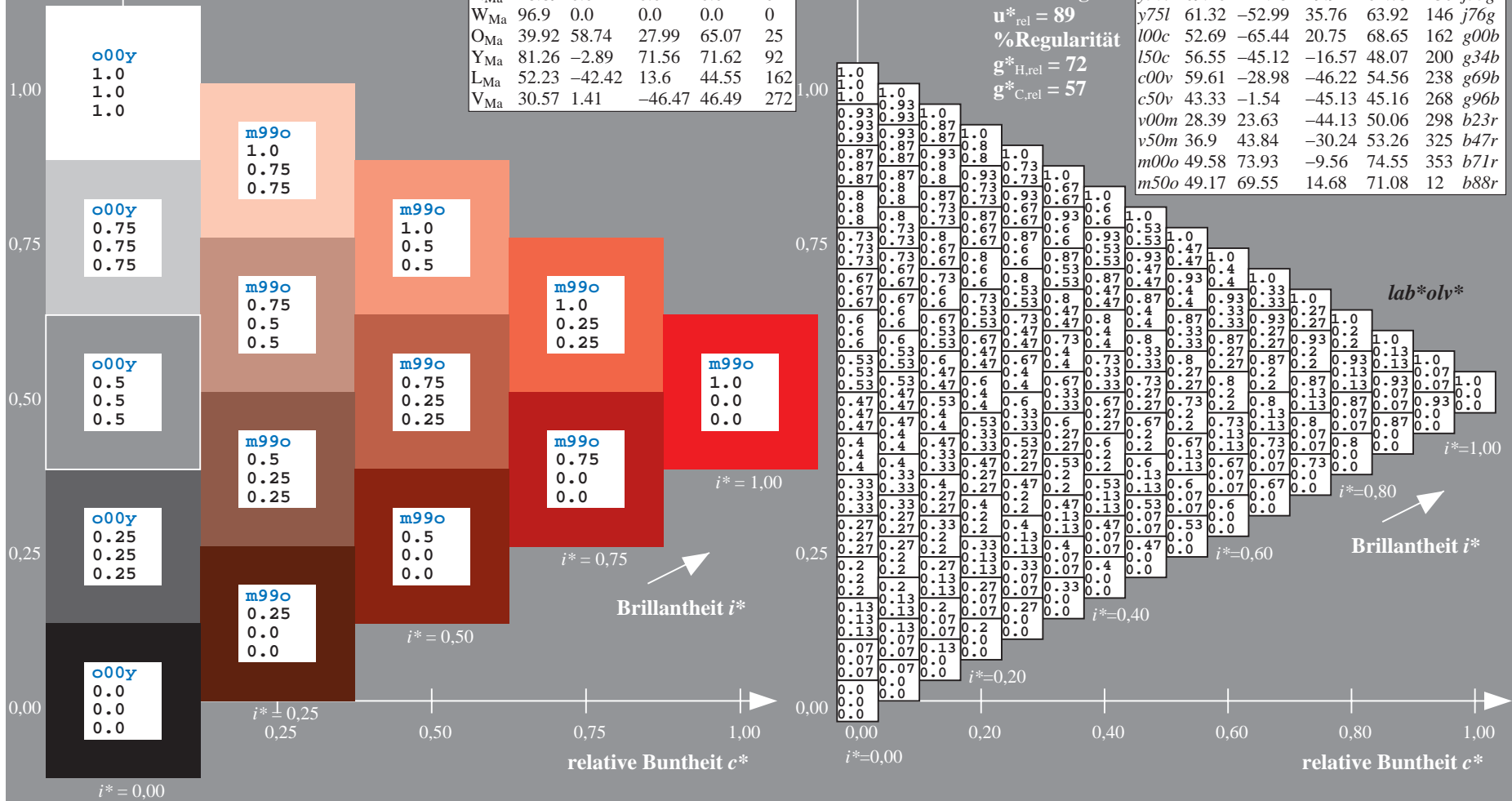
$LAB^*LCH^*_{Ma}$: 49 76 31

$lab^*olv^*_{Ma}$: 1.0 0.0 0.0

$lab^*rgb^*_{Ma}$: 1.0 0.09 0.0

Dreiecks-Helligkeit t^*

ORS19_96a; adaptierte CIELAB-Daten							
u^*_d	$L^*=L^*_a$	a^*_a	b^*_a	$C^*_{ab,a}$	$h^*_{ab,a}$	u^*_e	
<i>o00y</i>	48.75	65.07	39.43	76.08	31	<i>r08j</i>	
<i>o25y</i>	59.04	46.67	51.1	69.21	48	<i>r33j</i>	
<i>o50y</i>	68.32	30.09	61.62	68.58	64	<i>r57j</i>	
<i>o75y</i>	78.23	12.39	72.85	73.9	80	<i>r81j</i>	
<i>y00l</i>	90.92	-10.29	87.24	87.85	97	<i>j06g</i>	
<i>y25l</i>	78.57	-28.11	65.75	71.51	113	<i>j29g</i>	
<i>y50l</i>	69.46	-41.25	49.92	64.75	130	<i>j53g</i>	
<i>y75l</i>	61.32	-52.99	35.76	63.92	146	<i>j76g</i>	
<i>l00c</i>	52.69	-65.44	20.75	68.65	162	<i>g00b</i>	
<i>l50c</i>	56.55	-45.12	-16.57	48.07	200	<i>g34b</i>	
<i>c00v</i>	59.61	-28.98	-46.22	54.56	238	<i>g69b</i>	
<i>c50v</i>	43.33	-1.54	-45.13	45.16	268	<i>g96b</i>	
<i>v00m</i>	28.39	23.63	-44.13	50.06	298	<i>b23r</i>	
<i>v50m</i>	36.9	43.84	-30.24	53.26	325	<i>b47r</i>	
<i>m00o</i>	49.58	73.93	-9.56	74.55	353	<i>b71r</i>	
<i>m50o</i>	49.17	69.55	14.68	71.08	12	<i>b88r</i>	



Ein und Ausgabe: Farbmatisches Drucker-Reflektiv-System ORS19_96a für relativen CIELAB-Bunton $h^* = lab^*h^* = h_{ab}/360 = 0.132$

$u^*_d = o25y$

Daten für jede Farbe:

lab^*ch^* und lab^*icu^*

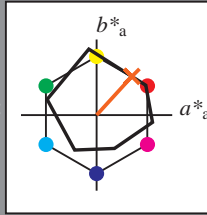
Buntontexte:

$u^*_d = o25y$ $u^*_e = r33j$

Kontrastreduzierungsfaktor:

$c_R = 1.0$

Dreiecks-Helligkeit t^*



ORS19_96a; adaptierte CIELAB-Daten

u^*_d	$L^*=L^*_a$	a^*_a	b^*_a	$C^*_{ab,a}$	$h^*_{ab,a}$
O _{Ma}	48.75	65.07	39.43	76.08	31
Y _{Ma}	90.92	-10.29	87.24	87.85	97
L _{Ma}	52.69	-65.44	20.75	68.65	162
C _{Ma}	59.61	-28.98	-46.22	54.56	238
V _{Ma}	28.39	23.63	-44.13	50.06	298
M _{Ma}	49.58	73.93	-9.56	74.55	353
N _{Ma}	18.89	0.0	0.0	0.0	0
W _{Ma}	96.9	0.0	0.0	0.0	0
O _{Ma}	39.92	58.74	27.99	65.07	25
Y _{Ma}	81.26	-2.89	71.56	71.62	92
L _{Ma}	52.23	-42.42	13.6	44.55	162
V _{Ma}	30.57	1.41	-46.47	46.49	272

Daten für Maximalfarbe (Ma):

$LAB^*LAB^*_{Ma}$: 59 47 51

$LAB^*LCH^*_{Ma}$: 59 69 47

$lab^*olv^*_{Ma}$: 1.0 0.25 0.0

$lab^*rgb^*_{Ma}$: 1.0 0.33 0.0

Dreiecks-Helligkeit t^*

%Umfang

$u^*_{rel} = 89$

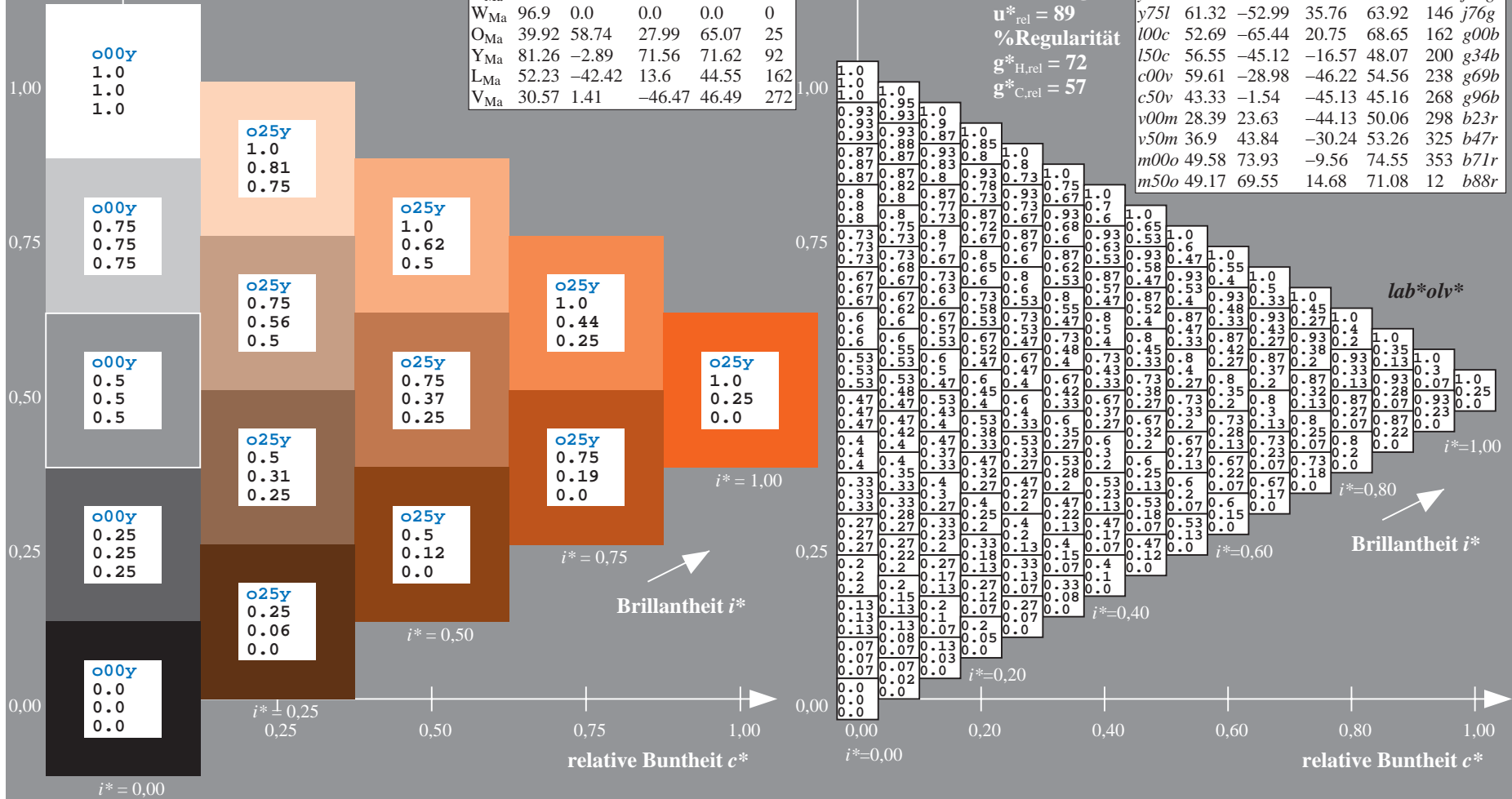
%Regularität

$g^*_{H,rel} = 72$

$g^*_{C,rel} = 57$

ORS19_96a; adaptierte CIELAB-Daten

u^*_d	$L^*=L^*_a$	a^*_a	b^*_a	$C^*_{ab,a}$	$h^*_{ab,a}$	u^*_e
o00y	48.75	65.07	39.43	76.08	31	r08j
o25y	59.04	46.67	51.1	69.21	48	r33j
o50y	68.32	30.09	61.62	68.58	64	r57j
o75y	78.23	12.39	72.85	73.9	80	r81j
y00l	90.92	-10.29	87.24	87.85	97	j06g
y25l	78.57	-28.11	65.75	71.51	113	j29g
y50l	69.46	-41.25	49.92	64.75	130	j53g
y75l	61.32	-52.99	35.76	63.92	146	j76g
l00c	52.69	-65.44	20.75	68.65	162	g00b
l50c	56.55	-45.12	-16.57	48.07	200	g34b
c00v	59.61	-28.98	-46.22	54.56	238	g69b
c50v	43.33	-1.54	-45.13	45.16	268	g96b
v00m	28.39	23.63	-44.13	50.06	298	b23r
v50m	36.9	43.84	-30.24	53.26	325	b47r
m00o	49.58	73.93	-9.56	74.55	353	b71r
m50o	49.17	69.55	14.68	71.08	12	b88r



Ein und Ausgabe: Farbmatisches Drucker-Reflektiv-System ORS19_96a für relativen CIELAB-Bunton $h^* = lab^*h^* = h_{ab}/360 = 0.178$

$u^*_d = o50y$

Daten für jede Farbe:

lab^*ch^* und lab^*icu^*

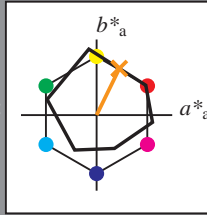
Buntontexte:

$u^*_d = o50y$ $u^*_e = r57j$

Kontrastreduzierungsfaktor:

$c_R = 1.0$

Dreiecks-Helligkeit t^*



ORS19_96a; adaptierte CIELAB-Daten

u^*_d	$L^*=L^*_a$	a^*_a	b^*_a	$C^*_{ab,a}$	$h^*_{ab,a}$
O _{Ma}	48.75	65.07	39.43	76.08	31
Y _{Ma}	90.92	-10.29	87.24	87.85	97
L _{Ma}	52.69	-65.44	20.75	68.65	162
C _{Ma}	59.61	-28.98	-46.22	54.56	238
V _{Ma}	28.39	23.63	-44.13	50.06	298
M _{Ma}	49.58	73.93	-9.56	74.55	353
N _{Ma}	18.89	0.0	0.0	0.0	0
W _{Ma}	96.9	0.0	0.0	0.0	0
O _{Ma}	39.92	58.74	27.99	65.07	25
Y _{Ma}	81.26	-2.89	71.56	71.62	92
L _{Ma}	52.23	-42.42	13.6	44.55	162
V _{Ma}	30.57	1.41	-46.47	46.49	272

Daten für Maximalfarbe (Ma):

$LAB^*LAB^*_{Ma}$: 68 30 62

$LAB^*LCH^*_{Ma}$: 68 69 63

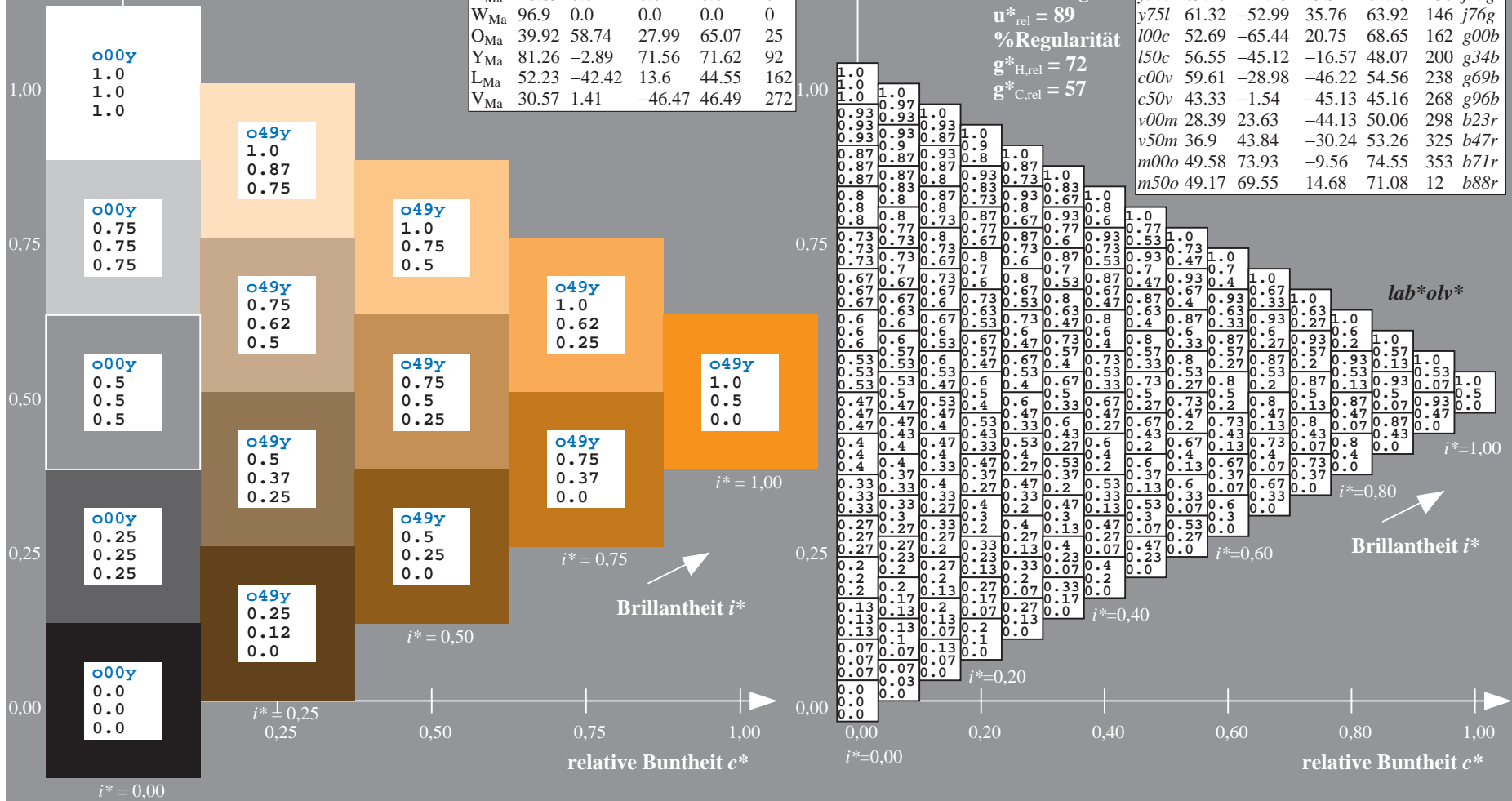
$lab^*olv^*_{Ma}$: 1.0 0.5 0.0

$lab^*rgb^*_{Ma}$: 1.0 0.58 0.0

Dreiecks-Helligkeit t^*

ORS19_96a; adaptierte CIELAB-Daten

u^*_d	$L^*=L^*_a$	a^*_a	b^*_a	$C^*_{ab,a}$	$h^*_{ab,a}$	u^*_e
o00y	48.75	65.07	39.43	76.08	31	r08j
o25y	59.04	46.67	51.1	69.21	48	r33j
o50y	68.32	30.09	61.62	68.58	64	r57j
o75y	78.23	12.39	72.85	73.9	80	r81j
y00l	90.92	-10.29	87.24	87.85	97	j06g
y25l	78.57	-28.11	65.75	71.51	113	j29g
y50l	69.46	-41.25	49.92	64.75	130	j53g
y75l	61.32	-52.99	35.76	63.92	146	j76g
l00c	52.69	-65.44	20.75	68.65	162	g00b
l50c	56.55	-45.12	-16.57	48.07	200	g34b
c00v	59.61	-28.98	-46.22	54.56	238	g69b
c50v	43.33	-1.54	-45.13	45.16	268	g96b
v00m	28.39	23.63	-44.13	50.06	298	b23r
v50m	36.9	43.84	-30.24	53.26	325	b47r
m00o	49.58	73.93	-9.56	74.55	353	b71r
m50o	49.17	69.55	14.68	71.08	12	b88r



Ein und Ausgabe: Farbmatisches Drucker-Reflektiv-System ORS19_96a für relativen CIELAB-Bunton $h^* = \text{lab}^*h^* = h_{ab}/360 = 0.223$

$u^*_d = 0.75y$

Daten für jede Farbe:

lab^*ch^* und lab^*icu^*

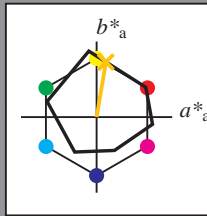
Buntontexte:

$u^*_d = 0.75y$ $u^*_e = r8lj$

Kontrastreduzierungsfaktor:

$c_R = 1.0$

Dreiecks-Helligkeit t^*



ORS19_96a; adaptierte CIELAB-Daten

u^*_d	$L^*=L^*_a$	a^*_a	b^*_a	$C^*_{ab,a}$	$h^*_{ab,a}$
O _{Ma}	48.75	65.07	39.43	76.08	31
Y _{Ma}	90.92	-10.29	87.24	87.85	97
L _{Ma}	52.69	-65.44	20.75	68.65	162
C _{Ma}	59.61	-28.98	-46.22	54.56	238
V _{Ma}	28.39	23.63	-44.13	50.06	298
M _{Ma}	49.58	73.93	-9.56	74.55	353
N _{Ma}	18.89	0.0	0.0	0.0	0
W _{Ma}	96.9	0.0	0.0	0.0	0
O _{Ma}	39.92	58.74	27.99	65.07	25
Y _{Ma}	81.26	-2.89	71.56	71.62	92
L _{Ma}	52.23	-42.42	13.6	44.55	162
V _{Ma}	30.57	1.41	-46.47	46.49	272

Daten für Maximalfarbe (Ma):

$\text{LAB}^*\text{LAB}^*_{Ma}$: 78 12 73

$\text{LAB}^*\text{LCH}^*_{Ma}$: 78 74 80

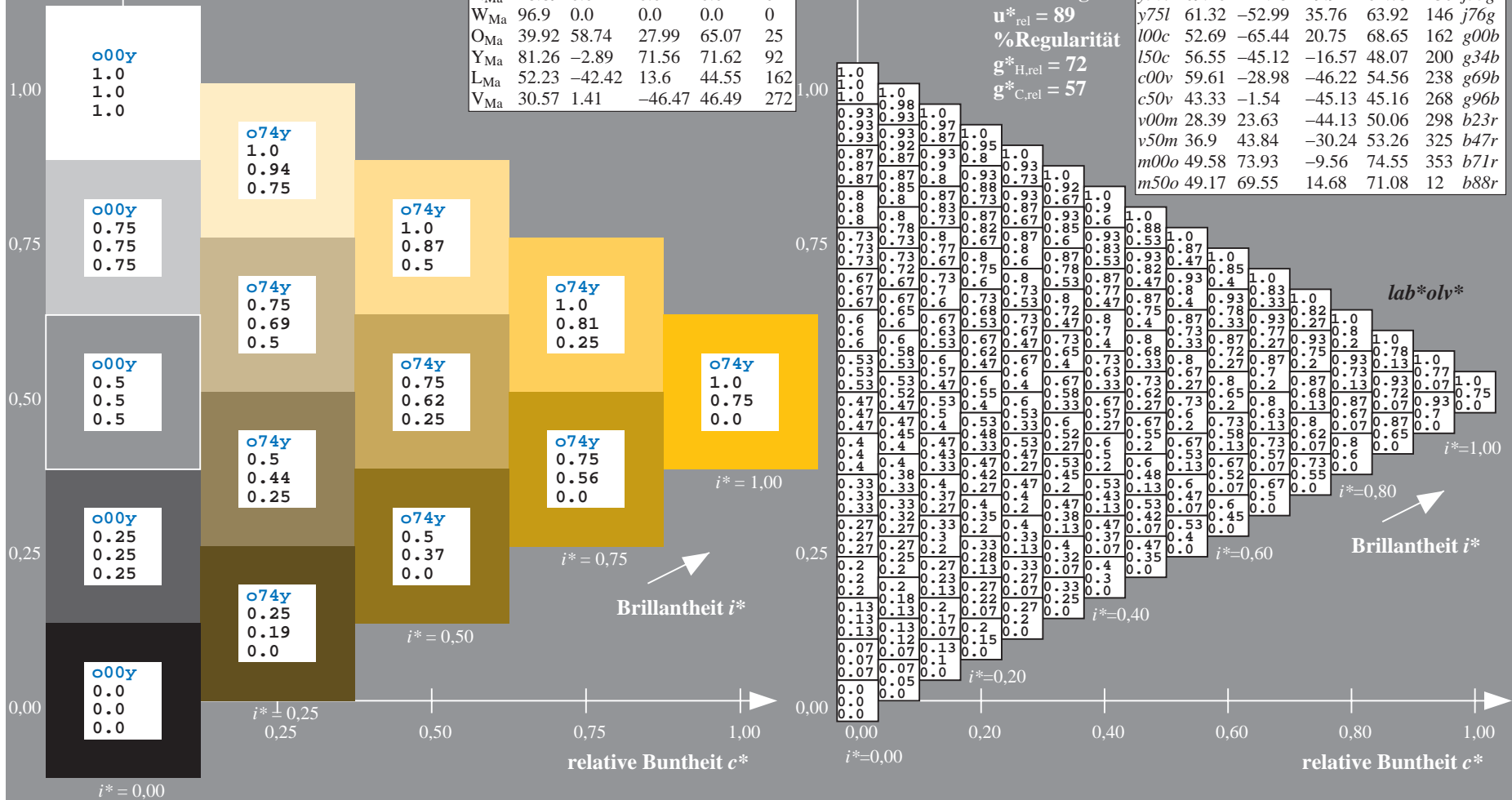
$\text{lab}^*\text{olv}^*_{Ma}$: 1.0 0.75 0.0

$\text{lab}^*\text{rgb}^*_{Ma}$: 1.0 0.82 0.0

Dreiecks-Helligkeit t^*

ORS19_96a; adaptierte CIELAB-Daten

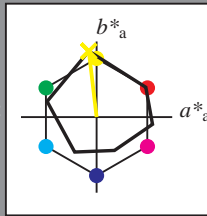
u^*_d	$L^*=L^*_a$	a^*_a	b^*_a	$C^*_{ab,a}$	$h^*_{ab,a}$	u^*_e
o00y	48.75	65.07	39.43	76.08	31	r08j
o25y	59.04	46.67	51.1	69.21	48	r33j
o50y	68.32	30.09	61.62	68.58	64	r57j
o75y	78.23	12.39	72.85	73.9	80	r8lj
y00l	90.92	-10.29	87.24	87.85	97	j06g
y25l	78.57	-28.11	65.75	71.51	113	j29g
y50l	69.46	-41.25	49.92	64.75	130	j53g
y75l	61.32	-52.99	35.76	63.92	146	j76g
l00c	52.69	-65.44	20.75	68.65	162	g00b
l50c	56.55	-45.12	-16.57	48.07	200	g34b
c00v	59.61	-28.98	-46.22	54.56	238	g69b
c50v	43.33	-1.54	-45.13	45.16	268	g96b
v00m	28.39	23.63	-44.13	50.06	298	b23r
v50m	36.9	43.84	-30.24	53.26	325	b47r
m00o	49.58	73.93	-9.56	74.55	353	b71r
m50o	49.17	69.55	14.68	71.08	12	b88r



Ein und Ausgabe: Farbmatisches Drucker-Reflektiv-System ORS19_96a für relativen CIELAB-Bunton $h^* = lab^*h^* = h_{ab}/360 = 0.269$

$u^*_d = y00l$
 lab^*olv^*

Daten für jede Farbe:
 lab^*ch^* und lab^*icu^*
Buntontexte:
 $u^*_d = y00l$ $u^*_e = j06g$
Kontrastreduzierungsfaktor:
 $c_R = 1.0$
Dreiecks-Helligkeit t^*



ORS19_96a; adaptierte CIELAB-Daten

u^*_d	$L^*=L^*_a$	a^*_a	b^*_a	$C^*_{ab,a}$	$h^*_{ab,a}$
O _{Ma}	48.75	65.07	39.43	76.08	31
Y _{Ma}	90.92	-10.29	87.24	87.85	97
L _{Ma}	52.69	-65.44	20.75	68.65	162
C _{Ma}	59.61	-28.98	-46.22	54.56	238
V _{Ma}	28.39	23.63	-44.13	50.06	298
M _{Ma}	49.58	73.93	-9.56	74.55	353
N _{Ma}	18.89	0.0	0.0	0.0	0
W _{Ma}	96.9	0.0	0.0	0.0	0
O _{Ma}	39.92	58.74	27.99	65.07	25
Y _{Ma}	81.26	-2.89	71.56	71.62	92
L _{Ma}	52.23	-42.42	13.6	44.55	162
V _{Ma}	30.57	1.41	-46.47	46.49	272

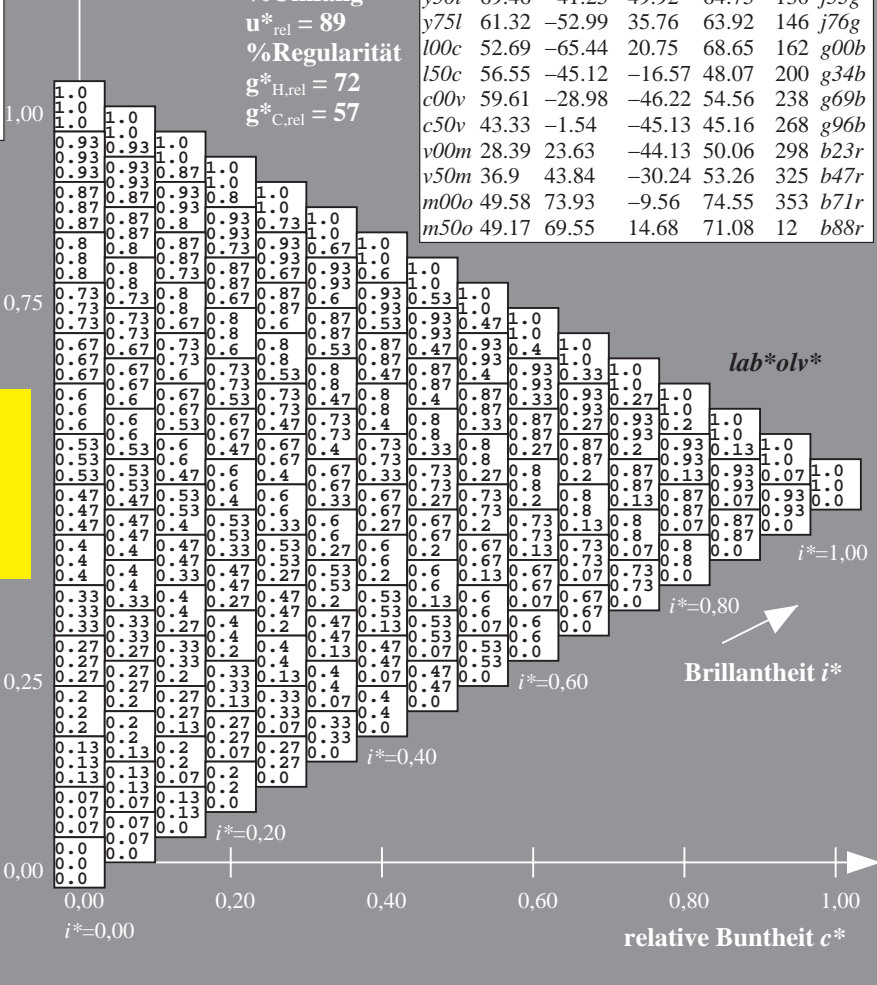
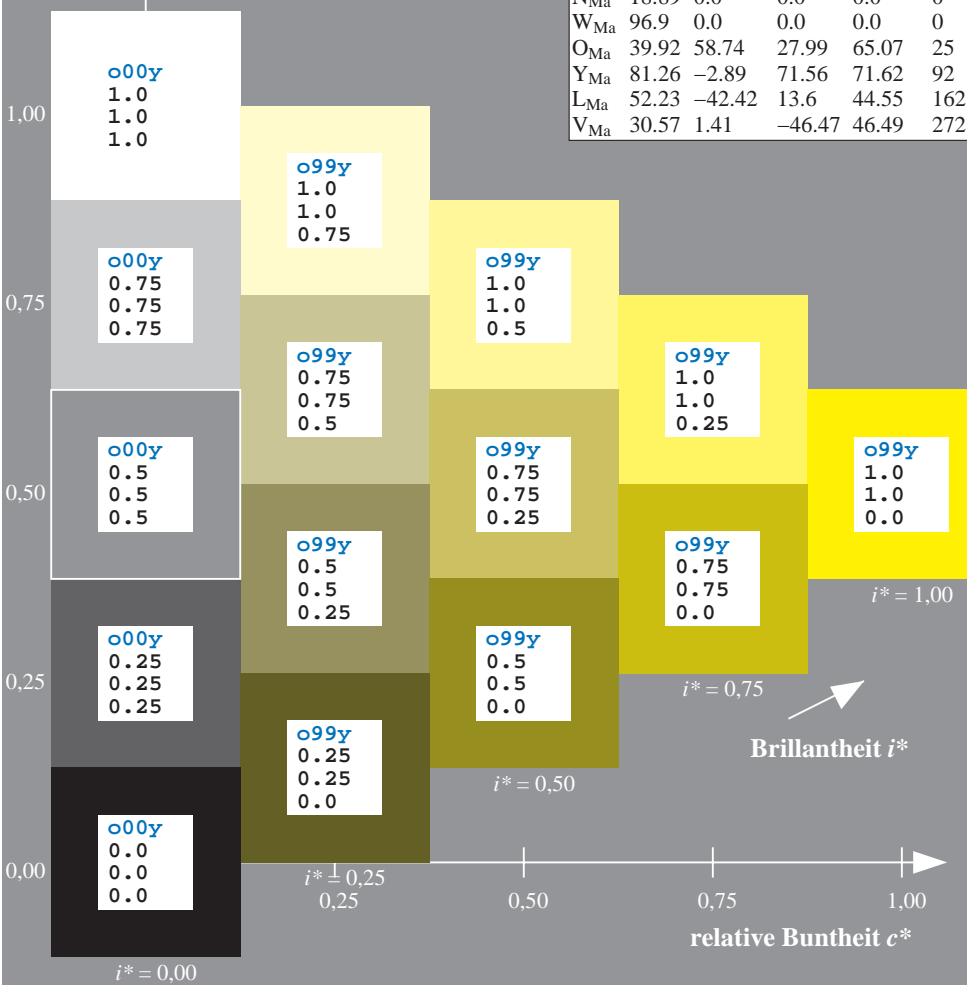
Daten für Maximalfarbe (Ma):

$LAB^*LAB^*_{Ma}: 91 -10 87$
 $LAB^*LCH^*_{Ma}: 91 88 96$
 $lab^*olv^*_{Ma}: 1.0 1.0 0.0$
 $lab^*rgb^*_{Ma}: 0.94 1.0 0.0$

ORS19_96a; adaptierte CIELAB-Daten

u^*_d	$L^*=L^*_a$	a^*_a	b^*_a	$C^*_{ab,a}$	$h^*_{ab,a}$	u^*_e
o00y	48.75	65.07	39.43	76.08	31	r08j
o25y	59.04	46.67	51.1	69.21	48	r33j
o50y	68.32	30.09	61.62	68.58	64	r57j
o75y	78.23	12.39	72.85	73.9	80	r81j
y00l	90.92	-10.29	87.24	87.85	97	j06g
y25l	78.57	-28.11	65.75	71.51	113	j29g
y50l	69.46	-41.25	49.92	64.75	130	j53g
y75l	61.32	-52.99	35.76	63.92	146	j76g
l00c	52.69	-65.44	20.75	68.65	162	g00b
l50c	56.55	-45.12	-16.57	48.07	200	g34b
c00v	59.61	-28.98	-46.22	54.56	238	g69b
c50v	43.33	-1.54	-45.13	45.16	268	g96b
v00m	28.39	23.63	-44.13	50.06	298	b23r
v50m	36.9	43.84	-30.24	53.26	325	b47r
m00o	49.58	73.93	-9.56	74.55	353	b71r
m50o	49.17	69.55	14.68	71.08	12	b88r

Dreiecks-Helligkeit t^*
%Umfang
 $u^*_{rel} = 89$
%Regularität
 $g^*_{H,rel} = 72$
 $g^*_{C,rel} = 57$



Ein und Ausgabe: Farbmatisches Drucker-Reflektiv-System ORS19_96a für relativen CIELAB-Bunton $h^* = lab^*h^* = h_{ab}/360 = 0.314$

$u^*_d = y25l$

Daten für jede Farbe:

lab^*ch^* und lab^*icu^*

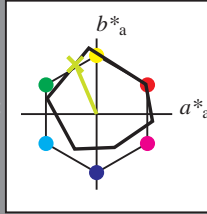
Buntontexte:

$u^*_d = y25l$ $u^*_e = j29g$

Kontrastreduzierungsfaktor:

$c_R = 1.0$

Dreiecks-Helligkeit t^*



ORS19_96a; adaptierte CIELAB-Daten

u^*_d	$L^*=L^*_a$	a^*_a	b^*_a	$C^*_{ab,a}$	$h^*_{ab,a}$
O _{Ma}	48.75	65.07	39.43	76.08	31
Y _{Ma}	90.92	-10.29	87.24	87.85	97
L _{Ma}	52.69	-65.44	20.75	68.65	162
C _{Ma}	59.61	-28.98	-46.22	54.56	238
V _{Ma}	28.39	23.63	-44.13	50.06	298
M _{Ma}	49.58	73.93	-9.56	74.55	353
N _{Ma}	18.89	0.0	0.0	0.0	0
W _{Ma}	96.9	0.0	0.0	0.0	0
O _{Ma}	39.92	58.74	27.99	65.07	25
Y _{Ma}	81.26	-2.89	71.56	71.62	92
L _{Ma}	52.23	-42.42	13.6	44.55	162
V _{Ma}	30.57	1.41	-46.47	46.49	272

Daten für Maximalfarbe (Ma):

$LAB^*LAB^*_{Ma}: 79 -28 66$

$LAB^*LCH^*_{Ma}: 79 72 113$

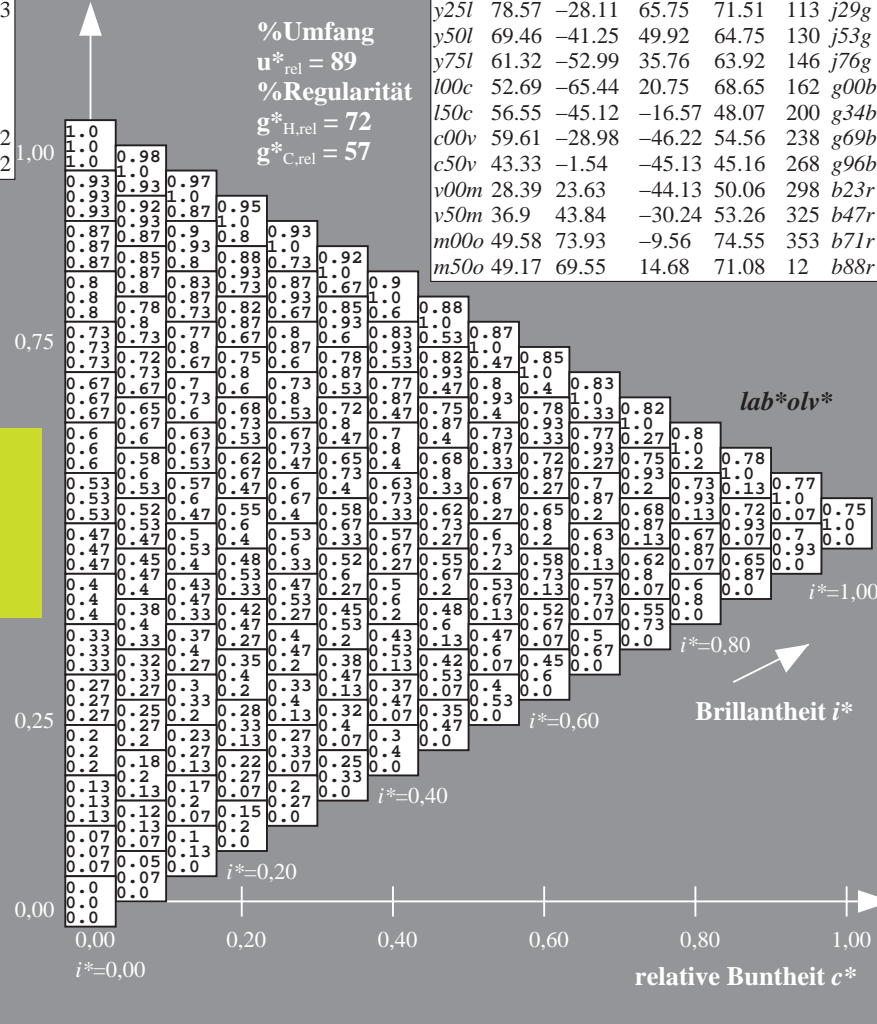
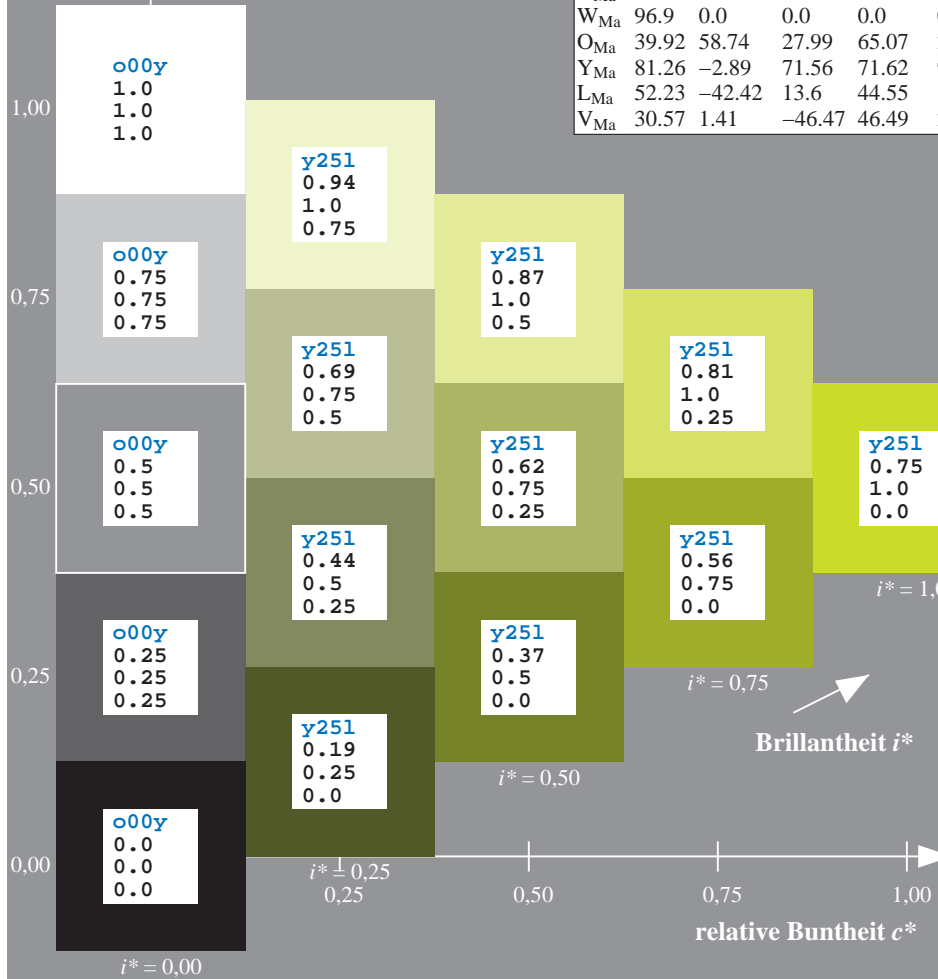
$lab^*olv^*_{Ma}: 0.75 1.0 0.0$

$lab^*rgb^*_{Ma}: 0.7 1.0 0.0$

Dreiecks-Helligkeit t^*

ORS19_96a; adaptierte CIELAB-Daten

u^*_d	$L^*=L^*_a$	a^*_a	b^*_a	$C^*_{ab,a}$	$h^*_{ab,a}$	u^*_e
o00y	48.75	65.07	39.43	76.08	31	r08j
o25y	59.04	46.67	51.1	69.21	48	r33j
o50y	68.32	30.09	61.62	68.58	64	r57j
o75y	78.23	12.39	72.85	73.9	80	r81j
y00l	90.92	-10.29	87.24	87.85	97	j06g
y25l	78.57	-28.11	65.75	71.51	113	j29g
y50l	69.46	-41.25	49.92	64.75	130	j53g
y75l	61.32	-52.99	35.76	63.92	146	j76g
l00c	52.69	-65.44	20.75	68.65	162	g00b
l50c	56.55	-45.12	-16.57	48.07	200	g34b
c00v	59.61	-28.98	-46.22	54.56	238	g69b
c50v	43.33	-1.54	-45.13	45.16	268	g96b
v00m	28.39	23.63	-44.13	50.06	298	b23r
v50m	36.9	43.84	-30.24	53.26	325	b47r
m00o	49.58	73.93	-9.56	74.55	353	b71r
m50o	49.17	69.55	14.68	71.08	12	b88r



%Umfang
 $u^*_{rel} = 89$
%Regularität
 $g^*_{H,rel} = 72$
 $g^*_{C,rel} = 57$

lab^*olv^*

Brillantheit i^*

$i^* = 1.00$

$i^* = 0.80$

$i^* = 0.60$

$i^* = 0.40$

$i^* = 0.20$

$i^* = 0.00$

Ein und Ausgabe: Farbmatisches Drucker-Reflektiv-System ORS19_96a für relativen CIELAB-Bunton $h^* = lab^*h^* = h_{ab}/360 = 0.36$

$u^*_d = y50l$

Daten für jede Farbe:

lab^*ch^* und lab^*icu^*

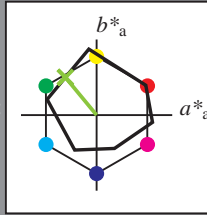
Buntontexte:

$u^*_d = y50l$ $u^*_e = j53g$

Kontrastreduzierungsfaktor:

$c_R = 1.0$

Dreiecks-Helligkeit t^*



ORS19_96a; adaptierte CIELAB-Daten

u^*_d	$L^*=L^*_a$	a^*_a	b^*_a	$C^*_{ab,a}$	$h^*_{ab,a}$
O _{Ma}	48.75	65.07	39.43	76.08	31
Y _{Ma}	90.92	-10.29	87.24	87.85	97
L _{Ma}	52.69	-65.44	20.75	68.65	162
C _{Ma}	59.61	-28.98	-46.22	54.56	238
V _{Ma}	28.39	23.63	-44.13	50.06	298
M _{Ma}	49.58	73.93	-9.56	74.55	353
N _{Ma}	18.89	0.0	0.0	0.0	0
W _{Ma}	96.9	0.0	0.0	0.0	0
O _{Ma}	39.92	58.74	27.99	65.07	25
Y _{Ma}	81.26	-2.89	71.56	71.62	92
L _{Ma}	52.23	-42.42	13.6	44.55	162
V _{Ma}	30.57	1.41	-46.47	46.49	272

Daten für Maximalfarbe (Ma):

$LAB^*LAB^*_{Ma}: 69 -41 50$

$LAB^*LCH^*_{Ma}: 69 65 129$

$lab^*olv^*_{Ma}: 0.5 1.0 0.0$

$lab^*rgb^*_{Ma}: 0.47 1.0 0.0$

Dreiecks-Helligkeit t^*

%Umfang

$u^*_{rel} = 89$

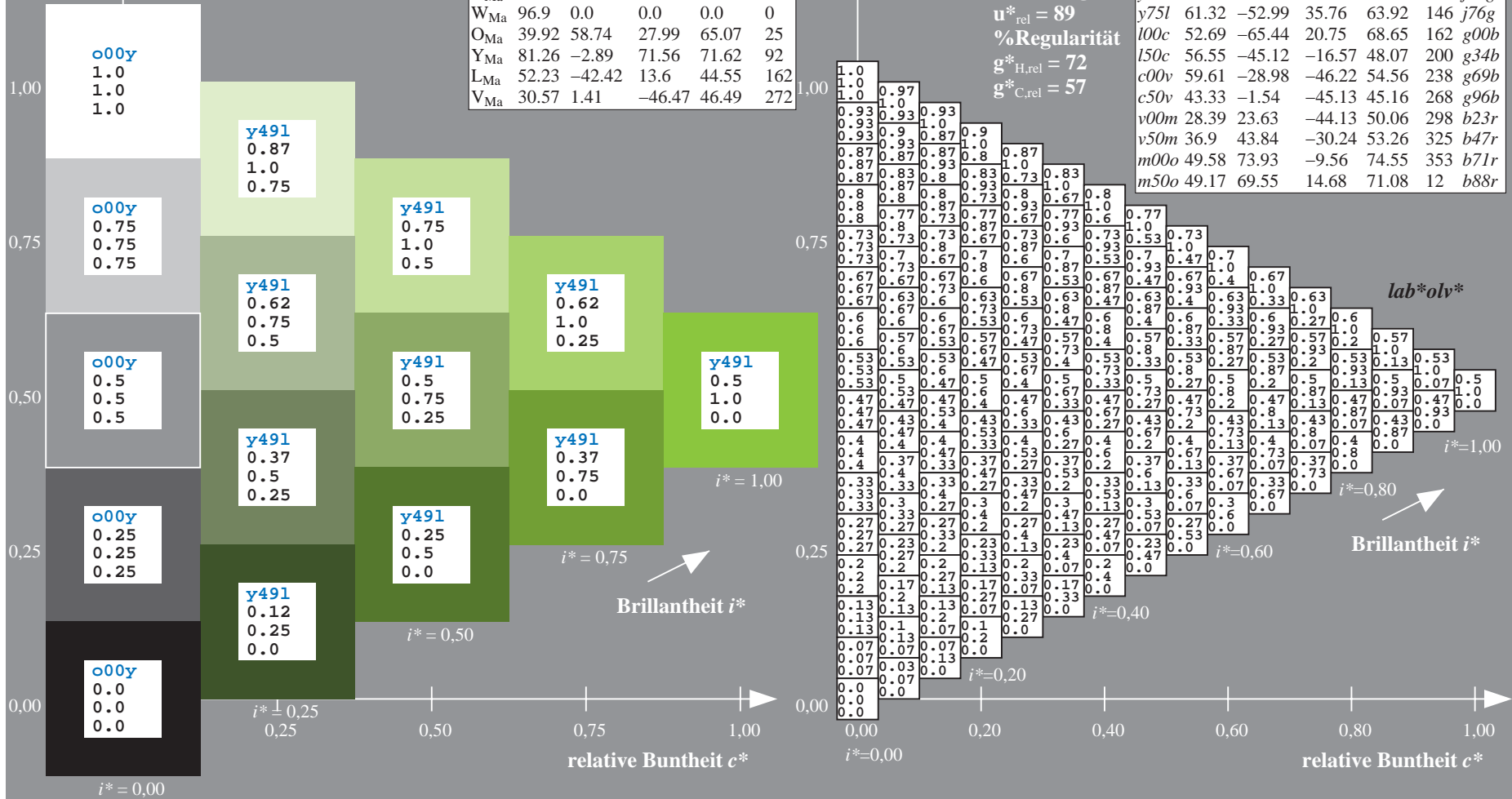
%Regularität

$g^*_{H,rel} = 72$

$g^*_{C,rel} = 57$

ORS19_96a; adaptierte CIELAB-Daten

u^*_d	$L^*=L^*_a$	a^*_a	b^*_a	$C^*_{ab,a}$	$h^*_{ab,a}$	u^*_e
o00y	48.75	65.07	39.43	76.08	31	r08j
o25y	59.04	46.67	51.1	69.21	48	r33j
o50y	68.32	30.09	61.62	68.58	64	r57j
o75y	78.23	12.39	72.85	73.9	80	r81j
y00l	90.92	-10.29	87.24	87.85	97	j06g
y25l	78.57	-28.11	65.75	71.51	113	j29g
y50l	69.46	-41.25	49.92	64.75	130	j53g
y75l	61.32	-52.99	35.76	63.92	146	j76g
l00c	52.69	-65.44	20.75	68.65	162	g00b
l50c	56.55	-45.12	-16.57	48.07	200	g34b
c00v	59.61	-28.98	-46.22	54.56	238	g69b
c50v	43.33	-1.54	-45.13	45.16	268	g96b
v00m	28.39	23.63	-44.13	50.06	298	b23r
v50m	36.9	43.84	-30.24	53.26	325	b47r
m00o	49.58	73.93	-9.56	74.55	353	b71r
m50o	49.17	69.55	14.68	71.08	12	b88r



Ein und Ausgabe: Farbmatisches Drucker-Reflektiv-System ORS19_96a für relativen CIELAB-Bunton $h^* = lab^*h^* = h_{ab}/360 = 0.406$

$u^*_d = y75l$

Daten für jede Farbe:

lab^*ch^* und lab^*icu^*

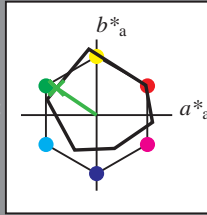
Buntontexte:

$u^*_d = y75l$ $u^*_e = j76g$

Kontrastreduzierungsfaktor:

$c_R = 1.0$

Dreiecks-Helligkeit t^*



ORS19_96a; adaptierte CIELAB-Daten

u^*_d	$L^*=L^*_a$	a^*_a	b^*_a	$C^*_{ab,a}$	$h^*_{ab,a}$
O _{Ma}	48.75	65.07	39.43	76.08	31
Y _{Ma}	90.92	-10.29	87.24	87.85	97
L _{Ma}	52.69	-65.44	20.75	68.65	162
C _{Ma}	59.61	-28.98	-46.22	54.56	238
V _{Ma}	28.39	23.63	-44.13	50.06	298
M _{Ma}	49.58	73.93	-9.56	74.55	353
N _{Ma}	18.89	0.0	0.0	0.0	0
W _{Ma}	96.9	0.0	0.0	0.0	0
O _{Ma}	39.92	58.74	27.99	65.07	25
Y _{Ma}	81.26	-2.89	71.56	71.62	92
L _{Ma}	52.23	-42.42	13.6	44.55	162
V _{Ma}	30.57	1.41	-46.47	46.49	272

Daten für Maximalfarbe (Ma):

$LAB^*LAB^*_{Ma}$: 61 -53 36

$LAB^*LCH^*_{Ma}$: 61 64 145

$lab^*olv^*_{Ma}$: 0.25 1.0 0.0

$lab^*rgb^*_{Ma}$: 0.23 1.0 0.0

Dreiecks-Helligkeit t^*

%Umfang

$u^*_{rel} = 89$

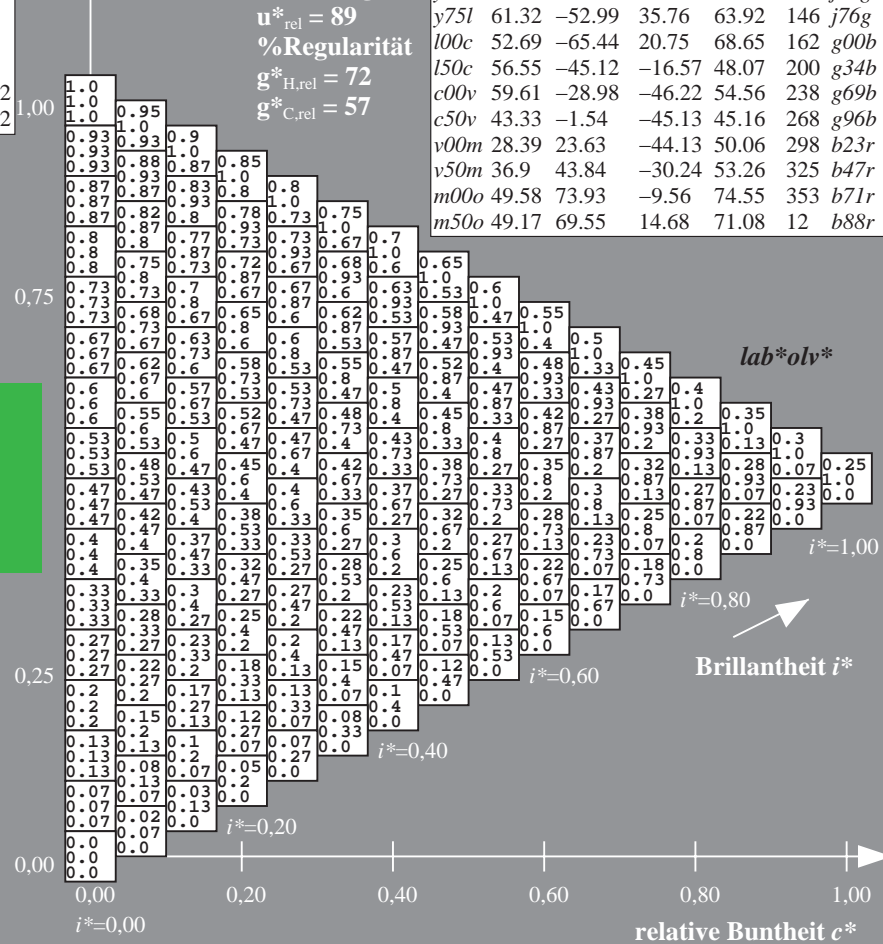
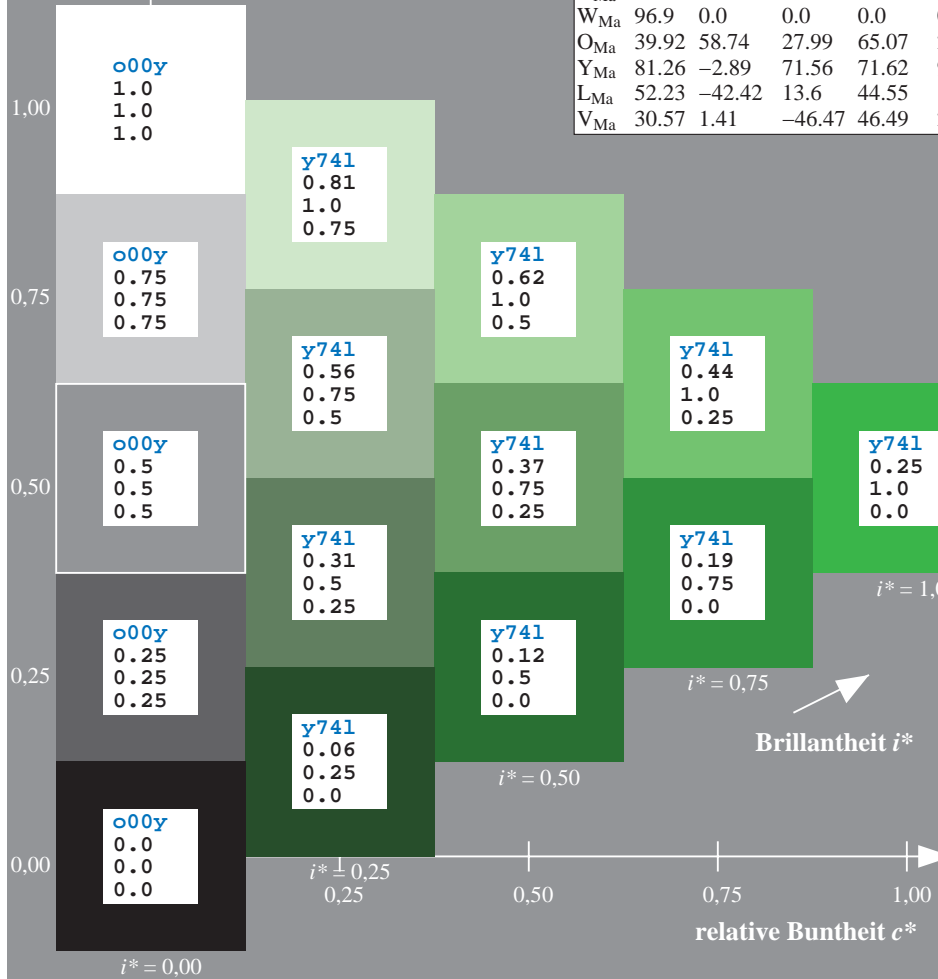
%Regularität

$g^*_{H,rel} = 72$

$g^*_{C,rel} = 57$

ORS19_96a; adaptierte CIELAB-Daten

u^*_d	$L^*=L^*_a$	a^*_a	b^*_a	$C^*_{ab,a}$	$h^*_{ab,a}$	u^*_e
o00y	48.75	65.07	39.43	76.08	31	r08j
o25y	59.04	46.67	51.1	69.21	48	r33j
o50y	68.32	30.09	61.62	68.58	64	r57j
o75y	78.23	12.39	72.85	73.9	80	r81j
y00l	90.92	-10.29	87.24	87.85	97	j06g
y25l	78.57	-28.11	65.75	71.51	113	j29g
y50l	69.46	-41.25	49.92	64.75	130	j53g
y75l	61.32	-52.99	35.76	63.92	146	j76g
l00c	52.69	-65.44	20.75	68.65	162	g00b
l50c	56.55	-45.12	-16.57	48.07	200	g34b
c00v	59.61	-28.98	-46.22	54.56	238	g69b
c50v	43.33	-1.54	-45.13	45.16	268	g96b
v00m	28.39	23.63	-44.13	50.06	298	b23r
v50m	36.9	43.84	-30.24	53.26	325	b47r
m00o	49.58	73.93	-9.56	74.55	353	b71r
m50o	49.17	69.55	14.68	71.08	12	b88r



Ein und Ausgabe: Farbmatisches Drucker-Reflektiv-System ORS19_96a für relativen CIELAB-Bunton $h^* = lab^*h^* = h_{ab}/360 = 0.451$

$u^*_d = 100c$
 lab^*olv^*

Daten für jede Farbe:

lab^*tch^* und lab^*icu^*

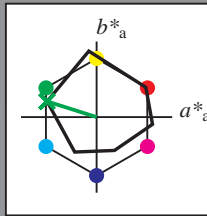
Buntontexte:

$u^*_d = 100c$ $u^*_e = g00b$

Kontrastreduzierungsfaktor:

$c_R = 1.0$

Dreiecks-Helligkeit t^*



ORS19_96a; adaptierte CIELAB-Daten

u^*_d	$L^*=L^*_a$	a^*_a	b^*_a	$C^*_{ab,a}$	$h^*_{ab,a}$
O _{Ma}	48.75	65.07	39.43	76.08	31
Y _{Ma}	90.92	-10.29	87.24	87.85	97
L _{Ma}	52.69	-65.44	20.75	68.65	162
C _{Ma}	59.61	-28.98	-46.22	54.56	238
V _{Ma}	28.39	23.63	-44.13	50.06	298
M _{Ma}	49.58	73.93	-9.56	74.55	353
N _{Ma}	18.89	0.0	0.0	0.0	0
W _{Ma}	96.9	0.0	0.0	0.0	0
O _{Ma}	39.92	58.74	27.99	65.07	25
Y _{Ma}	81.26	-2.89	71.56	71.62	92
L _{Ma}	52.23	-42.42	13.6	44.55	162
V _{Ma}	30.57	1.41	-46.47	46.49	272

Daten für Maximalfarbe (Ma):

$LAB^*LAB^*_{Ma}: 53 -65 21$

$LAB^*LCH^*_{Ma}: 53 69 162$

$lab^*olv^*_{Ma}: 0.0 1.0 0.0$

$lab^*rgb^*_{Ma}: 0.0 1.0 0.0$

Dreiecks-Helligkeit t^*

%Umfang

$u^*_{rel} = 89$

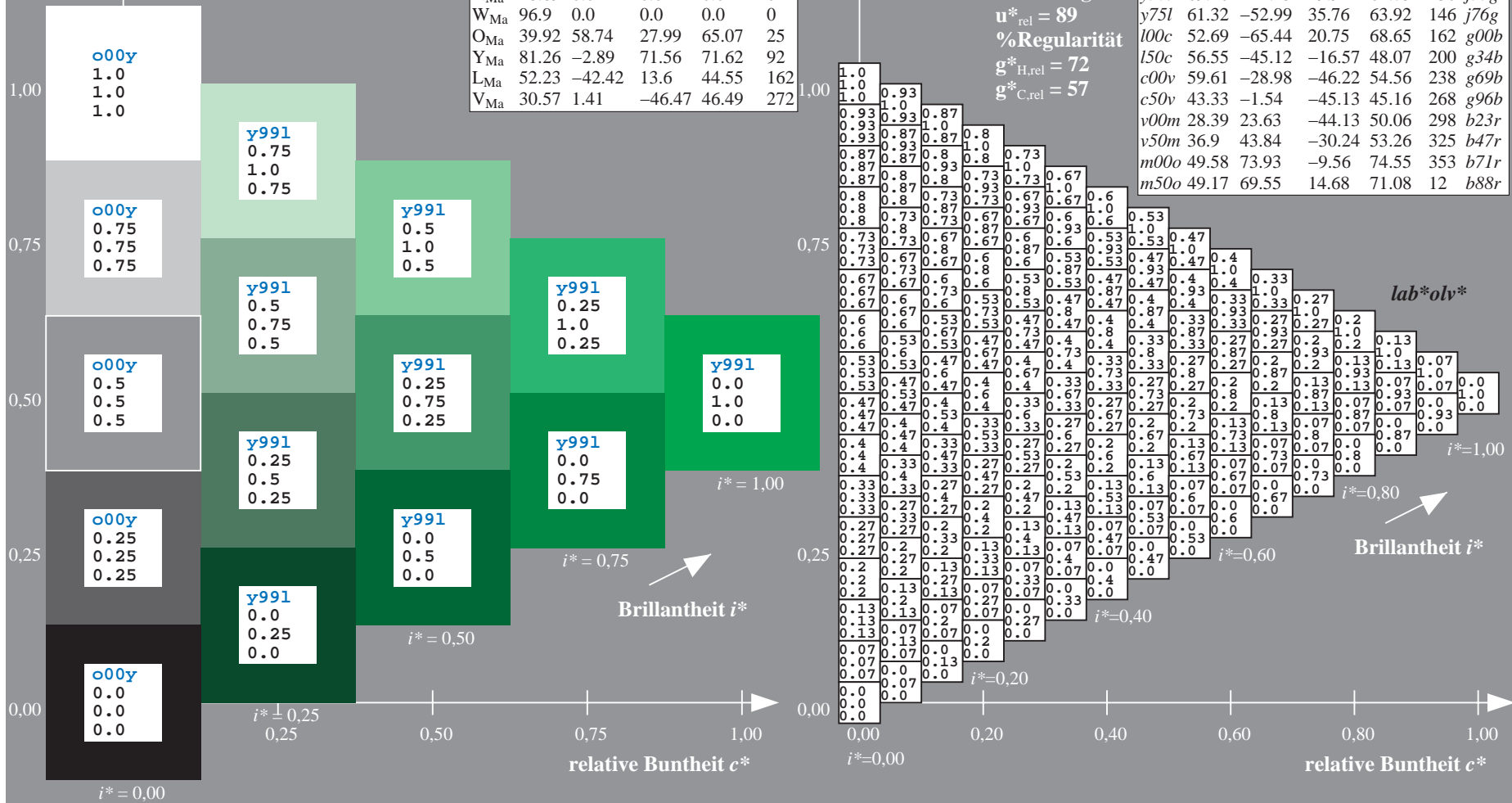
%Regularität

$g^*_{H,rel} = 72$

$g^*_{C,rel} = 57$

ORS19_96a; adaptierte CIELAB-Daten

u^*_d	$L^*=L^*_a$	a^*_a	b^*_a	$C^*_{ab,a}$	$h^*_{ab,a}$	u^*_e
o00y	48.75	65.07	39.43	76.08	31	r08j
o25y	59.04	46.67	51.1	69.21	48	r33j
o50y	68.32	30.09	61.62	68.58	64	r57j
o75y	78.23	12.39	72.85	73.9	80	r81j
y00l	90.92	-10.29	87.24	87.85	97	j06g
y25l	78.57	-28.11	65.75	71.51	113	j29g
y50l	69.46	-41.25	49.92	64.75	130	j53g
y75l	61.32	-52.99	35.76	63.92	146	j76g
l00c	52.69	-65.44	20.75	68.65	162	g00b
l50c	56.55	-45.12	-16.57	48.07	200	g34b
c00v	59.61	-28.98	-46.22	54.56	238	g69b
c50v	43.33	-1.54	-45.13	45.16	268	g96b
v00m	28.39	23.63	-44.13	50.06	298	b23r
v50m	36.9	43.84	-30.24	53.26	325	b47r
m00o	49.58	73.93	-9.56	74.55	353	b71r
m50o	49.17	69.55	14.68	71.08	12	b88r



Ein und Ausgabe: Farbmatisches Drucker-Reflektiv-System ORS19_96a für relativen CIELAB-Bunton $h^* = lab^*h^* = h_{ab}/360 = 0.556$

$u^*_d = 150c$

Daten für jede Farbe:

lab^*ch^* und lab^*icu^*

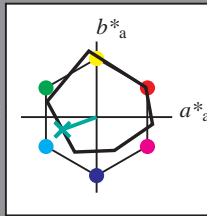
Buntontexte:

$u^*_d = 150c$ $u^*_e = g34b$

Kontrastreduzierungsfaktor:

$c_R = 1.0$

Dreiecks-Helligkeit t^*



ORS19_96a; adaptierte CIELAB-Daten

u^*_d	$L^*=L^*_a$	a^*_a	b^*_a	$C^*_{ab,a}$	$h^*_{ab,a}$
O _{Ma}	48.75	65.07	39.43	76.08	31
Y _{Ma}	90.92	-10.29	87.24	87.85	97
L _{Ma}	52.69	-65.44	20.75	68.65	162
C _{Ma}	59.61	-28.98	-46.22	54.56	238
V _{Ma}	28.39	23.63	-44.13	50.06	298
M _{Ma}	49.58	73.93	-9.56	74.55	353
N _{Ma}	18.89	0.0	0.0	0.0	0
W _{Ma}	96.9	0.0	0.0	0.0	0
O _{Ma}	39.92	58.74	27.99	65.07	25
Y _{Ma}	81.26	-2.89	71.56	71.62	92
L _{Ma}	52.23	-42.42	13.6	44.55	162
V _{Ma}	30.57	1.41	-46.47	46.49	272

Daten für Maximalfarbe (Ma):

$LAB^*LAB^*_{Ma}: 57 -45 -17$

$LAB^*LCH^*_{Ma}: 57 48 200$

$lab^*olv^*_{Ma}: 0.0 1.0 0.5$

$lab^*rgb^*_{Ma}: 0.0 1.0 0.69$

Dreiecks-Helligkeit t^*

%Umfang

$u^*_{rel} = 89$

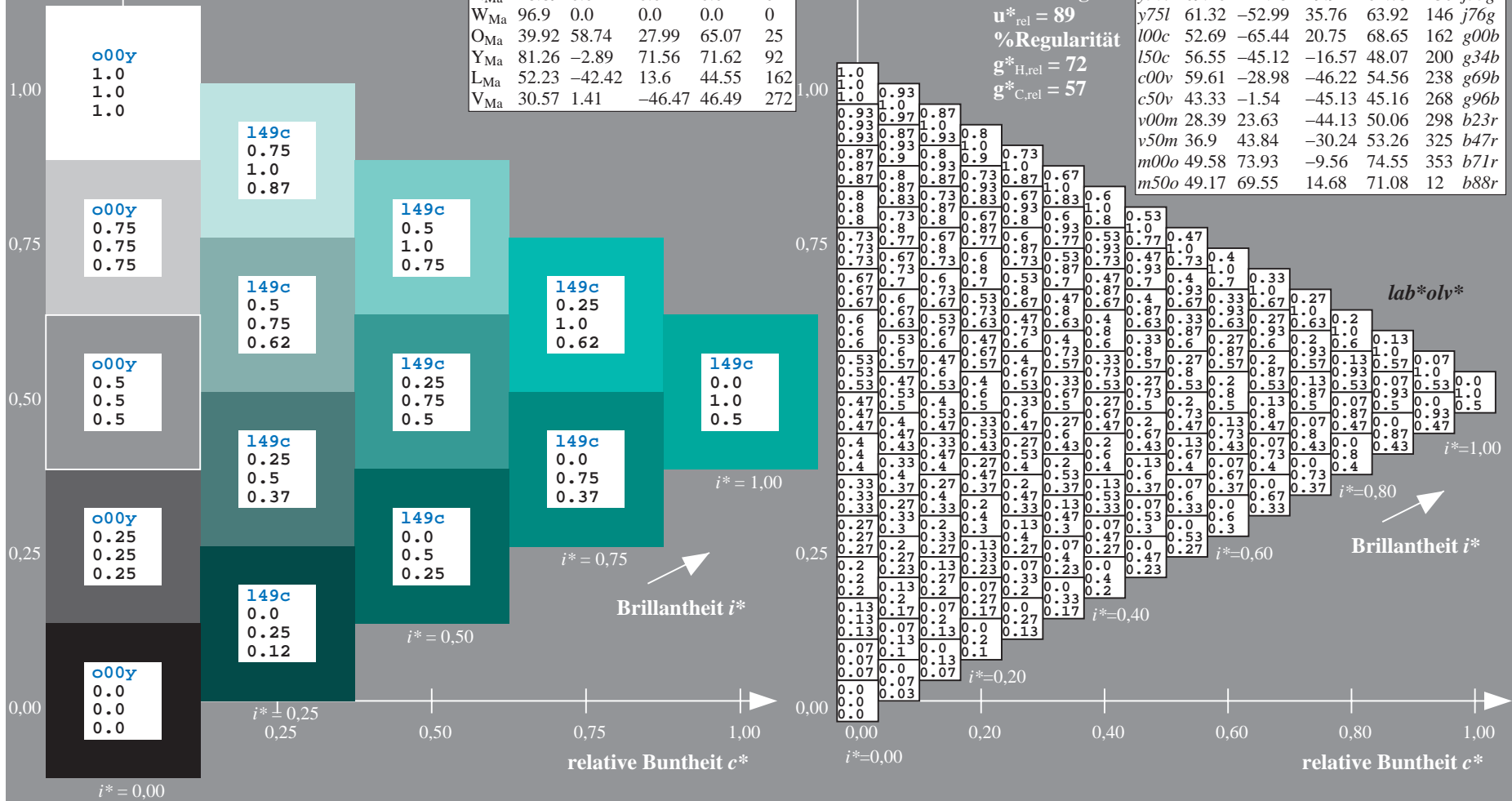
%Regularität

$g^*_{H,rel} = 72$

$g^*_{C,rel} = 57$

ORS19_96a; adaptierte CIELAB-Daten

u^*_d	$L^*=L^*_a$	a^*_a	b^*_a	$C^*_{ab,a}$	$h^*_{ab,a}$	u^*_e
o00y	48.75	65.07	39.43	76.08	31	r08j
o25y	59.04	46.67	51.1	69.21	48	r33j
o50y	68.32	30.09	61.62	68.58	64	r57j
o75y	78.23	12.39	72.85	73.9	80	r81j
y00l	90.92	-10.29	87.24	87.85	97	j06g
y25l	78.57	-28.11	65.75	71.51	113	j29g
y50l	69.46	-41.25	49.92	64.75	130	j53g
y75l	61.32	-52.99	35.76	63.92	146	j76g
l00c	52.69	-65.44	20.75	68.65	162	g00b
l50c	56.55	-45.12	-16.57	48.07	200	g34b
c00v	59.61	-28.98	-46.22	54.56	238	g69b
c50v	43.33	-1.54	-45.13	45.16	268	g96b
v00m	28.39	23.63	-44.13	50.06	298	b23r
v50m	36.9	43.84	-30.24	53.26	325	b47r
m00o	49.58	73.93	-9.56	74.55	353	b71r
m50o	49.17	69.55	14.68	71.08	12	b88r



Ein und Ausgabe: Farbmatisches Drucker-Reflektiv-System ORS19_96a für relativen CIELAB-Bunton $h^* = lab^*h^* = h_{ab}/360 = 0.661$

Daten für jede Farbe:

lab^*ch^* und lab^*icu^*

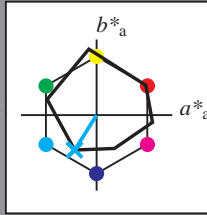
Buntontexte:

$u^*_d = c00v$ $u^*_e = g69b$

Kontrastreduzierungsfaktor:

$c_R = 1.0$

Dreiecks-Helligkeit t^*



ORS19_96a; adaptierte CIELAB-Daten

u^*_d	$L^*=L^*_a$	a^*_a	b^*_a	$C^*_{ab,a}$	$h^*_{ab,a}$
O _{Ma}	48.75	65.07	39.43	76.08	31
Y _{Ma}	90.92	-10.29	87.24	87.85	97
L _{Ma}	52.69	-65.44	20.75	68.65	162
C _{Ma}	59.61	-28.98	-46.22	54.56	238
V _{Ma}	28.39	23.63	-44.13	50.06	298
M _{Ma}	49.58	73.93	-9.56	74.55	353
N _{Ma}	18.89	0.0	0.0	0.0	0
W _{Ma}	96.9	0.0	0.0	0.0	0
O _{Ma}	39.92	58.74	27.99	65.07	25
Y _{Ma}	81.26	-2.89	71.56	71.62	92
L _{Ma}	52.23	-42.42	13.6	44.55	162
V _{Ma}	30.57	1.41	-46.47	46.49	272

$u^*_d = c00v$
 lab^*olv^*

Daten für Maximalfarbe (Ma):

$LAB^*LAB^*_{Ma}$: 60 -29 -46

$LAB^*LCH^*_{Ma}$: 60 55 237

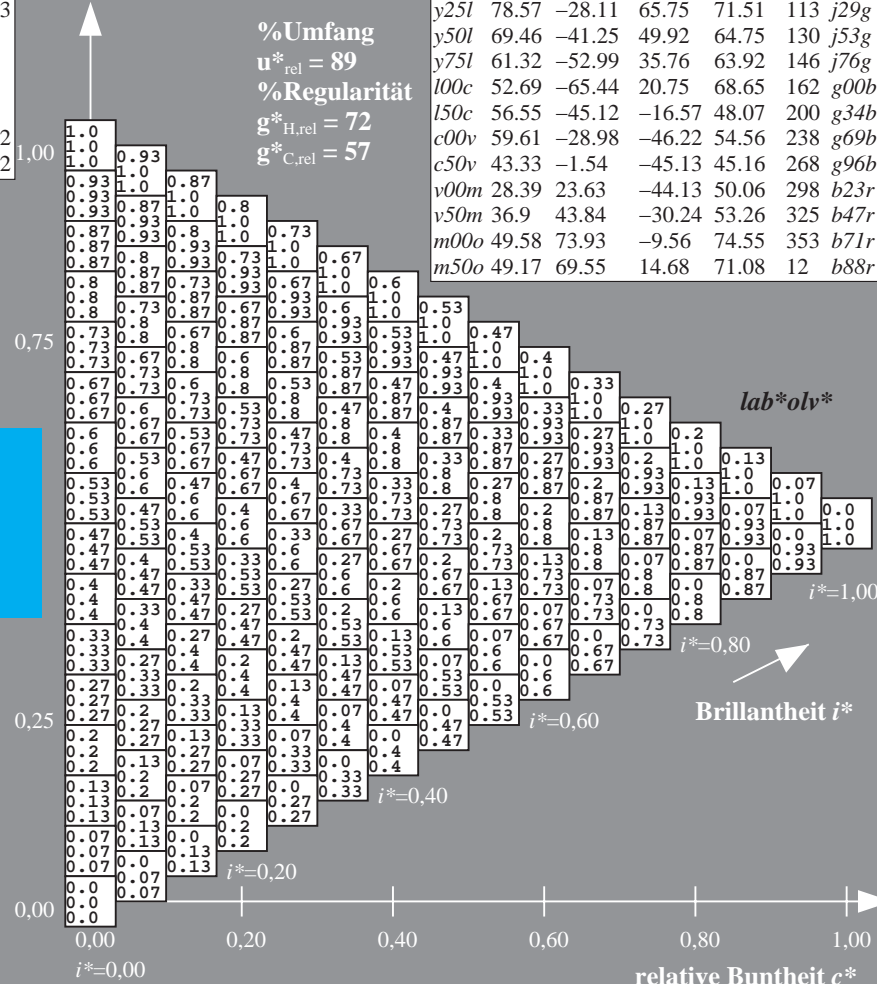
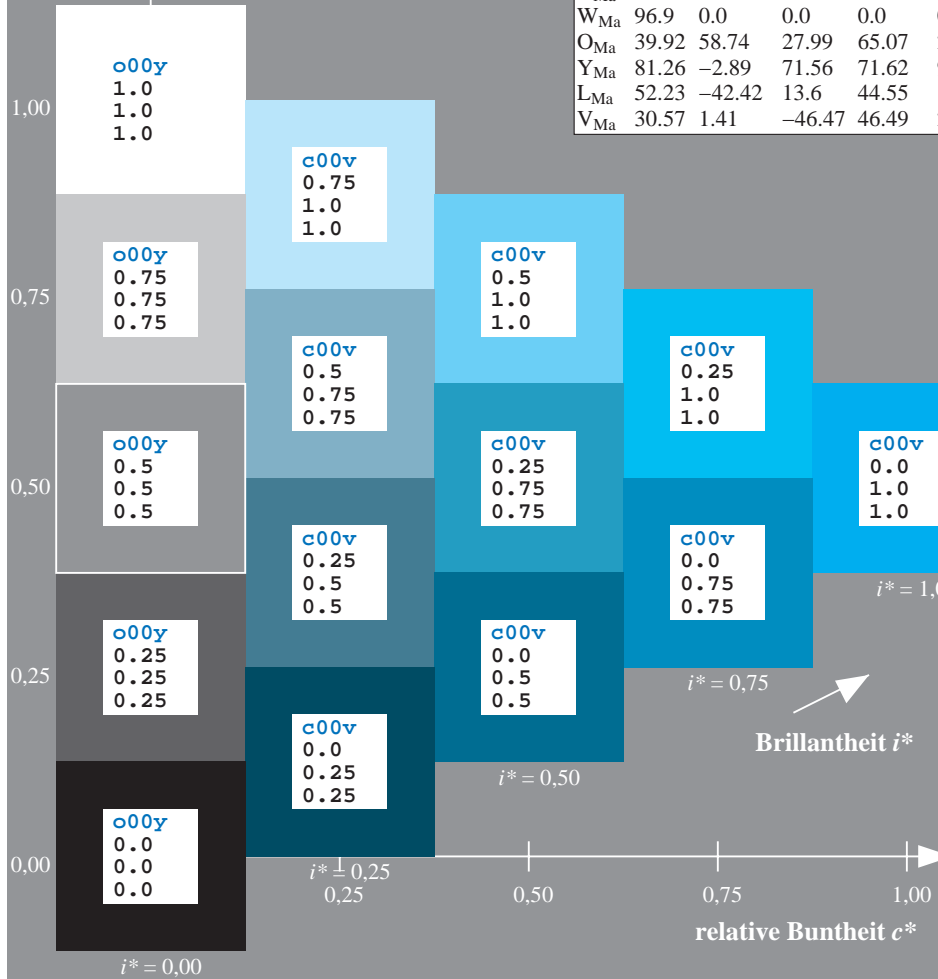
$lab^*olv^*_{Ma}$: 0.0 1.0 1.0

$lab^*rgb^*_{Ma}$: 0.0 0.62 1.0

Dreiecks-Helligkeit t^*

ORS19_96a; adaptierte CIELAB-Daten

u^*_d	$L^*=L^*_a$	a^*_a	b^*_a	$C^*_{ab,a}$	$h^*_{ab,a}$	u^*_e
o00y	48.75	65.07	39.43	76.08	31	r08j
o25y	59.04	46.67	51.1	69.21	48	r33j
o50y	68.32	30.09	61.62	68.58	64	r57j
o75y	78.23	12.39	72.85	73.9	80	r81j
y00l	90.92	-10.29	87.24	87.85	97	j06g
y25l	78.57	-28.11	65.75	71.51	113	j29g
y50l	69.46	-41.25	49.92	64.75	130	j53g
y75l	61.32	-52.99	35.76	63.92	146	j76g
l00c	52.69	-65.44	20.75	68.65	162	g00b
l50c	56.55	-45.12	-16.57	48.07	200	g34b
c00v	59.61	-28.98	-46.22	54.56	238	g69b
c50v	43.33	-1.54	-45.13	45.16	268	g96b
v00m	28.39	23.63	-44.13	50.06	298	b23r
v50m	36.9	43.84	-30.24	53.26	325	b47r
m00o	49.58	73.93	-9.56	74.55	353	b71r
m50o	49.17	69.55	14.68	71.08	12	b88r



Ein und Ausgabe: Farbmatisches Drucker-Reflektiv-System ORS19_96a für relativen CIELAB-Bunton $h^* = lab^*h^* = h_{ab}/360 = 0.745$

Daten für jede Farbe:

lab^*ch^* und lab^*icu^*

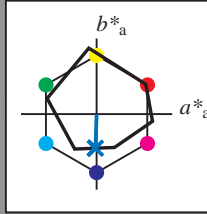
Buntontexte:

$u^*_d = c50v$ $u^*_e = g96b$

Kontrastreduzierungsfaktor:

$c_R = 1.0$

Dreiecks-Helligkeit t^*



ORS19_96a; adaptierte CIELAB-Daten

	u^*_d	$L^*=L^*_a$	a^*_a	b^*_a	$C^*_{ab,a}$	$h^*_{ab,a}$
O _{Ma}	48.75	65.07	39.43	76.08	31	
Y _{Ma}	90.92	-10.29	87.24	87.85	97	
L _{Ma}	52.69	-65.44	20.75	68.65	162	
C _{Ma}	59.61	-28.98	-46.22	54.56	238	
V _{Ma}	28.39	23.63	-44.13	50.06	298	
M _{Ma}	49.58	73.93	-9.56	74.55	353	
N _{Ma}	18.89	0.0	0.0	0.0	0	
W _{Ma}	96.9	0.0	0.0	0.0	0	
O _{Ma}	39.92	58.74	27.99	65.07	25	
Y _{Ma}	81.26	-2.89	71.56	71.62	92	
L _{Ma}	52.23	-42.42	13.6	44.55	162	
V _{Ma}	30.57	1.41	-46.47	46.49	272	

$u^*_d = c50v$

lab^*olv^*

Daten für Maximalfarbe (Ma):

$LAB^*LAB^*_{Ma}: 43 -2 -45$

$LAB^*LCH^*_{Ma}: 43 45 268$

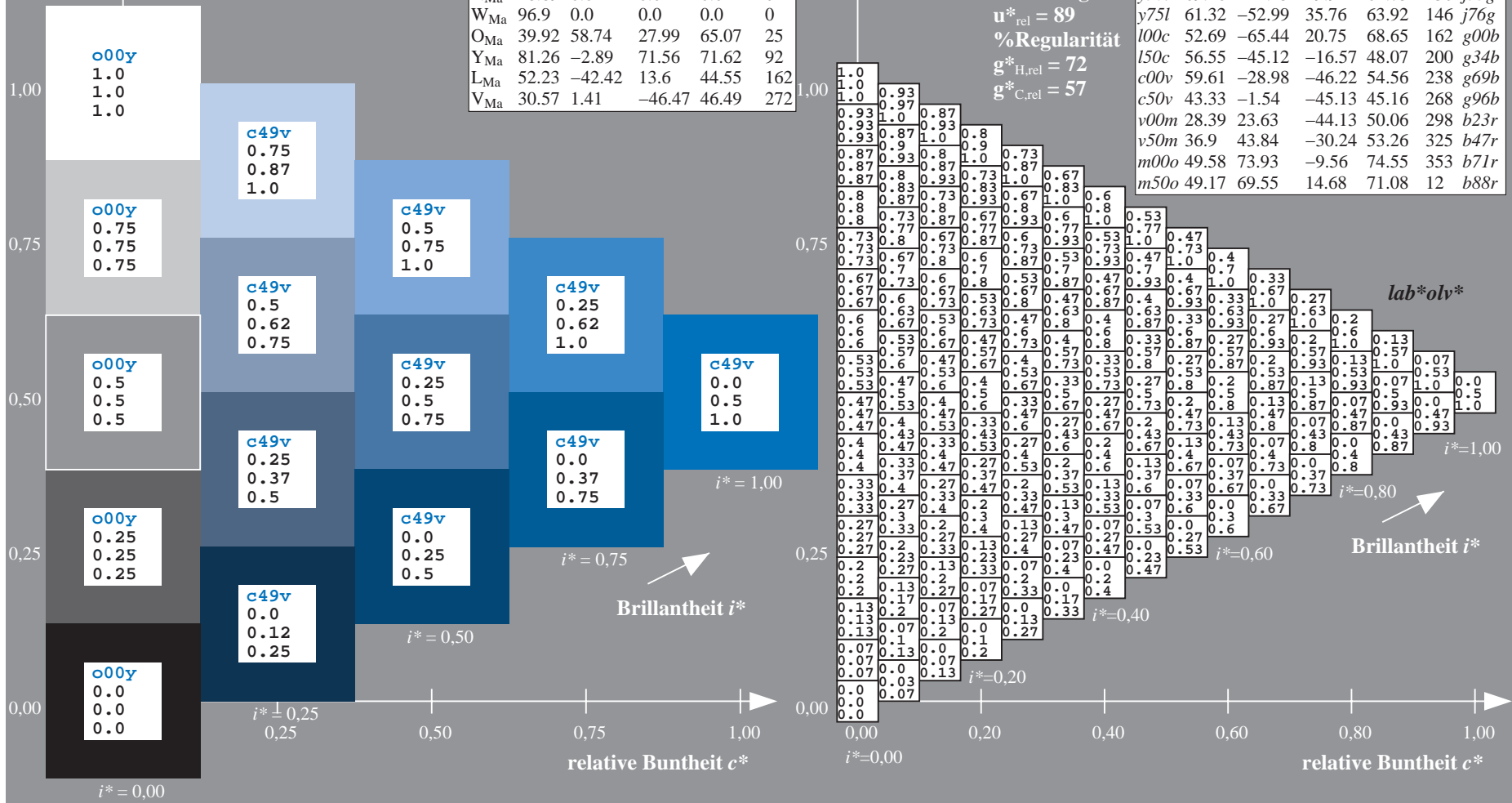
$lab^*olv^*_{Ma}: 0.0 0.5 1.0$

$lab^*rgb^*_{Ma}: 0.0 0.07 1.0$

Dreiecks-Helligkeit t^*

ORS19_96a; adaptierte CIELAB-Daten

	u^*_d	$L^*=L^*_a$	a^*_a	b^*_a	$C^*_{ab,a}$	$h^*_{ab,a}$	u^*_e
o00y	48.75	65.07	39.43	76.08	31	r08j	
o25y	59.04	46.67	51.1	69.21	48	r33j	
o50y	68.32	30.09	61.62	68.58	64	r57j	
o75y	78.23	12.39	72.85	73.9	80	r81j	
y00l	90.92	-10.29	87.24	87.85	97	j06g	
y25l	78.57	-28.11	65.75	71.51	113	j29g	
y50l	69.46	-41.25	49.92	64.75	130	j53g	
y75l	61.32	-52.99	35.76	63.92	146	j76g	
l00c	52.69	-65.44	20.75	68.65	162	g00b	
l50c	56.55	-45.12	-16.57	48.07	200	g34b	
c00v	59.61	-28.98	-46.22	54.56	238	g69b	
c50v	43.33	-1.54	-45.13	45.16	268	g96b	
v00m	28.39	23.63	-44.13	50.06	298	b23r	
v50m	36.9	43.84	-30.24	53.26	325	b47r	
m00o	49.58	73.93	-9.56	74.55	353	b71r	
m50o	49.17	69.55	14.68	71.08	12	b88r	



Ein und Ausgabe: Farbmatisches Drucker-Reflektiv-System ORS19_96a für relativen CIELAB-Bunton $h^* = lab^*h^* = h_{ab}/360 = 0.828$

$u^*_d = v00m$

Daten für jede Farbe:

lab^*ch^* und lab^*icu^*

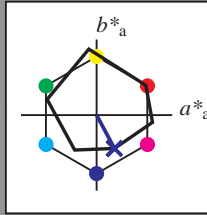
Buntontexte:

$u^*_d = v00m$ $u^*_e = b23r$

Kontrastreduzierungsfaktor:

$c_R = 1.0$

Dreiecks-Helligkeit t^*



ORS19_96a; adaptierte CIELAB-Daten

	u^*_d	$L^*=L^*_a$	a^*_a	b^*_a	$C^*_{ab,a}$	$h^*_{ab,a}$
O _{Ma}	48.75	65.07	39.43	76.08	31	
Y _{Ma}	90.92	-10.29	87.24	87.85	97	
L _{Ma}	52.69	-65.44	20.75	68.65	162	
C _{Ma}	59.61	-28.98	-46.22	54.56	238	
V _{Ma}	28.39	23.63	-44.13	50.06	298	
M _{Ma}	49.58	73.93	-9.56	74.55	353	
N _{Ma}	18.89	0.0	0.0	0.0	0	
W _{Ma}	96.9	0.0	0.0	0.0	0	
O _{Ma}	39.92	58.74	27.99	65.07	25	
Y _{Ma}	81.26	-2.89	71.56	71.62	92	
L _{Ma}	52.23	-42.42	13.6	44.55	162	
V _{Ma}	30.57	1.41	-46.47	46.49	272	

Daten für Maximalfarbe (Ma):

$LAB^*LAB^*_{Ma}$: 28 24 -44

$LAB^*LCH^*_{Ma}$: 28 50 298

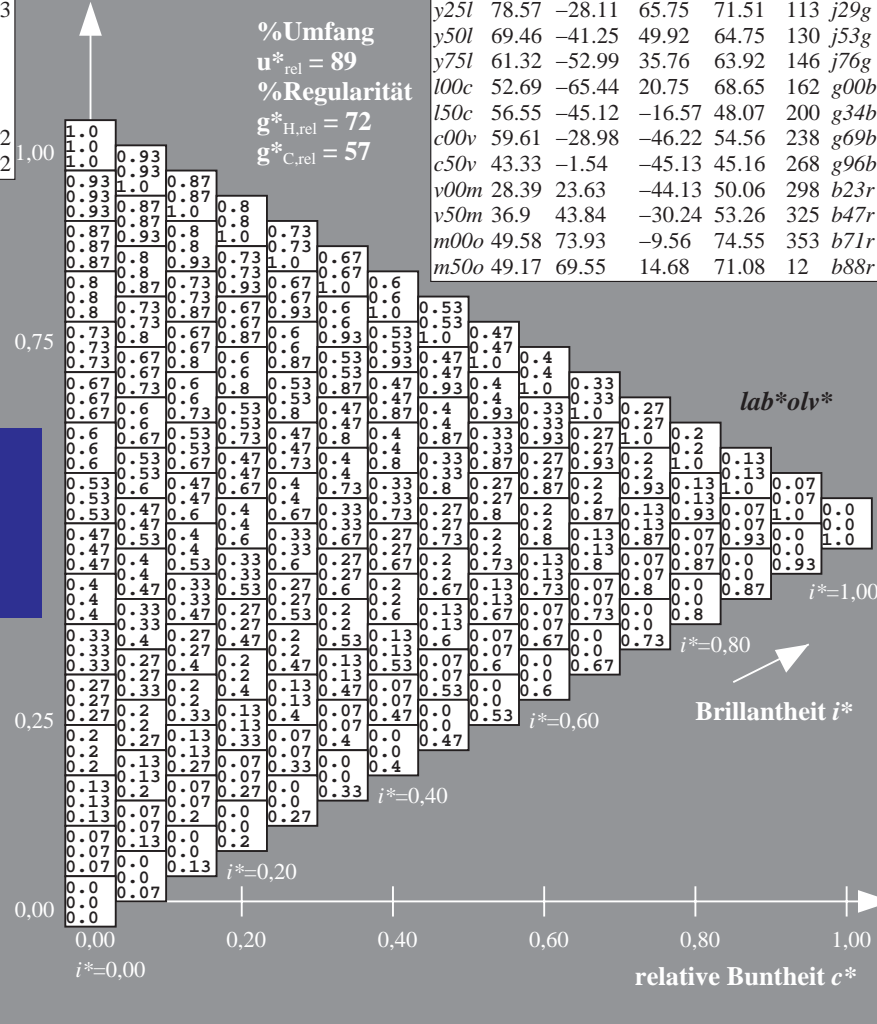
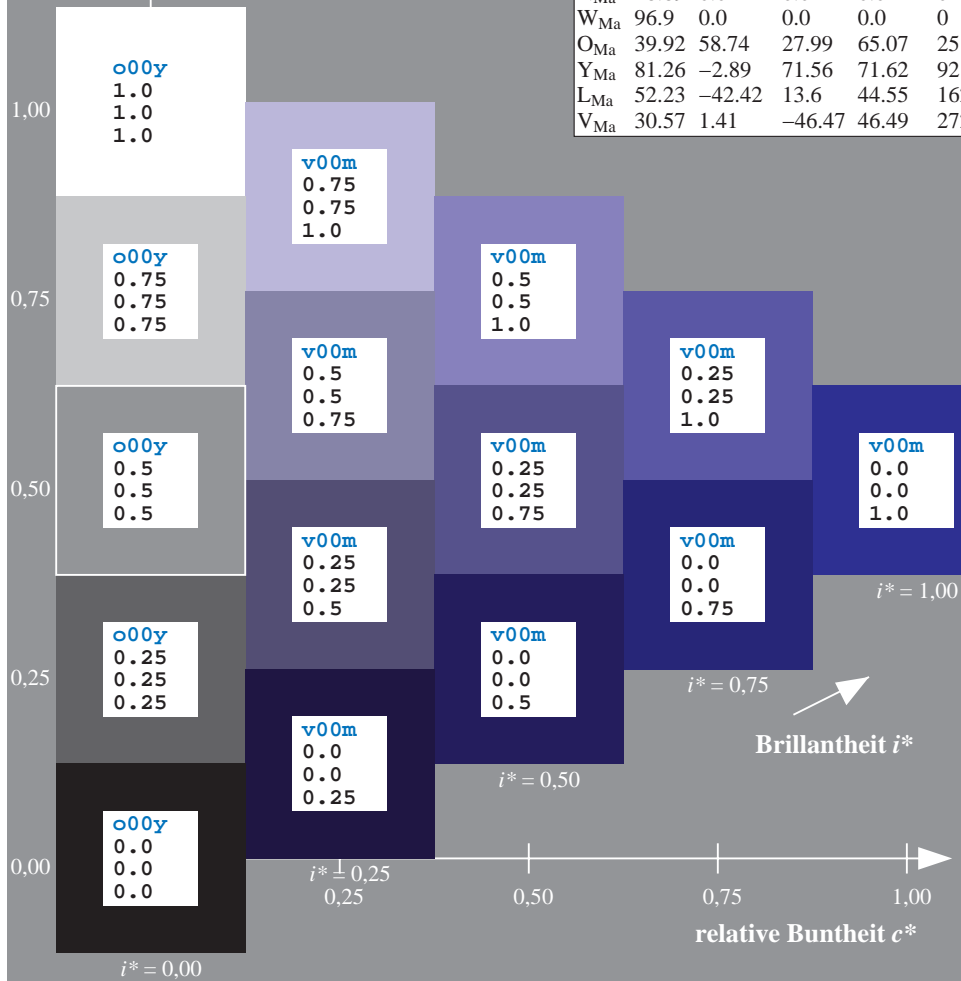
$lab^*olv^*_{Ma}$: 0.0 0.0 1.0

$lab^*rgb^*_{Ma}$: 0.46 0.0 1.0

Dreiecks-Helligkeit t^*

ORS19_96a; adaptierte CIELAB-Daten

	u^*_d	$L^*=L^*_a$	a^*_a	b^*_a	$C^*_{ab,a}$	$h^*_{ab,a}$	u^*_e
o00y	48.75	65.07	39.43	76.08	31	r08j	
o25y	59.04	46.67	51.1	69.21	48	r33j	
o50y	68.32	30.09	61.62	68.58	64	r57j	
o75y	78.23	12.39	72.85	73.9	80	r81j	
y00l	90.92	-10.29	87.24	87.85	97	j06g	
y25l	78.57	-28.11	65.75	71.51	113	j29g	
y50l	69.46	-41.25	49.92	64.75	130	j53g	
y75l	61.32	-52.99	35.76	63.92	146	j76g	
l00c	52.69	-65.44	20.75	68.65	162	g00b	
l50c	56.55	-45.12	-16.57	48.07	200	g34b	
c00v	59.61	-28.98	-46.22	54.56	238	g69b	
c50v	43.33	-1.54	-45.13	45.16	268	g96b	
v00m	28.39	23.63	-44.13	50.06	298	b23r	
v50m	36.9	43.84	-30.24	53.26	325	b47r	
m00o	49.58	73.93	-9.56	74.55	353	b71r	
m50o	49.17	69.55	14.68	71.08	12	b88r	



%Umfang
 $u^*_{rel} = 89$
%Regularität
 $g^*_{H,rel} = 72$
 $g^*_{C,rel} = 57$

Brillantheit i^*

Brillantheit i^*

Ein und Ausgabe: Farbmatisches Drucker-Reflektiv-System ORS19_96a für relativen CIELAB-Bunton $h^* = lab^*h^* = h_{ab}/360 = 0.904$

$u^*_d = v50m$

Daten für jede Farbe:

lab^*ch^* und lab^*icu^*

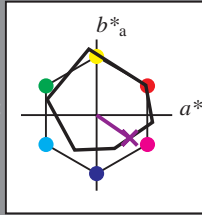
Buntontexte:

$u^*_d = v50m$ $u^*_e = b47r$

Kontrastreduzierungsfaktor:

$c_R = 1.0$

Dreiecks-Helligkeit t^*



ORS19_96a; adaptierte CIELAB-Daten

u^*_d	$L^*=L^*_a$	a^*_a	b^*_a	$C^*_{ab,a}$	$h^*_{ab,a}$
O _{Ma}	48.75	65.07	39.43	76.08	31
Y _{Ma}	90.92	-10.29	87.24	87.85	97
L _{Ma}	52.69	-65.44	20.75	68.65	162
C _{Ma}	59.61	-28.98	-46.22	54.56	238
V _{Ma}	28.39	23.63	-44.13	50.06	298
M _{Ma}	49.58	73.93	-9.56	74.55	353
N _{Ma}	18.89	0.0	0.0	0.0	0
W _{Ma}	96.9	0.0	0.0	0.0	0
O _{Ma}	39.92	58.74	27.99	65.07	25
Y _{Ma}	81.26	-2.89	71.56	71.62	92
L _{Ma}	52.23	-42.42	13.6	44.55	162
V _{Ma}	30.57	1.41	-46.47	46.49	272

Daten für Maximalfarbe (Ma):

$LAB^*LAB^*_{Ma}$: 37 44 -30

$LAB^*LCH^*_{Ma}$: 37 53 325

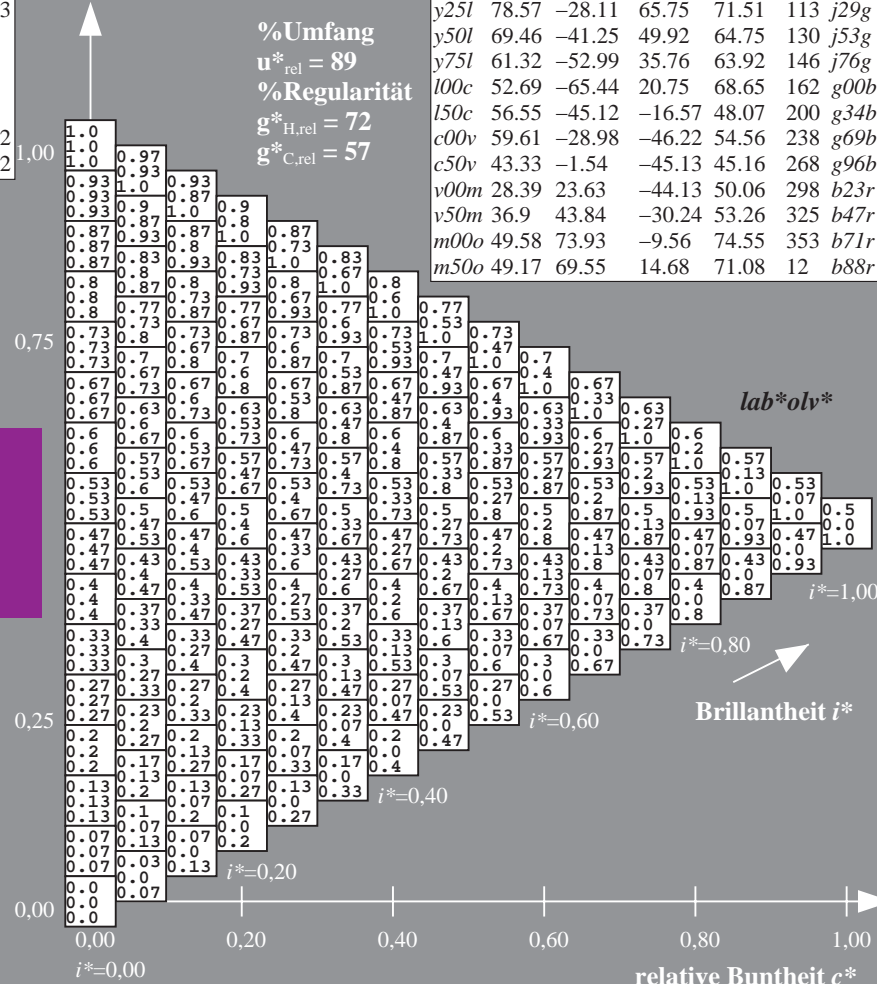
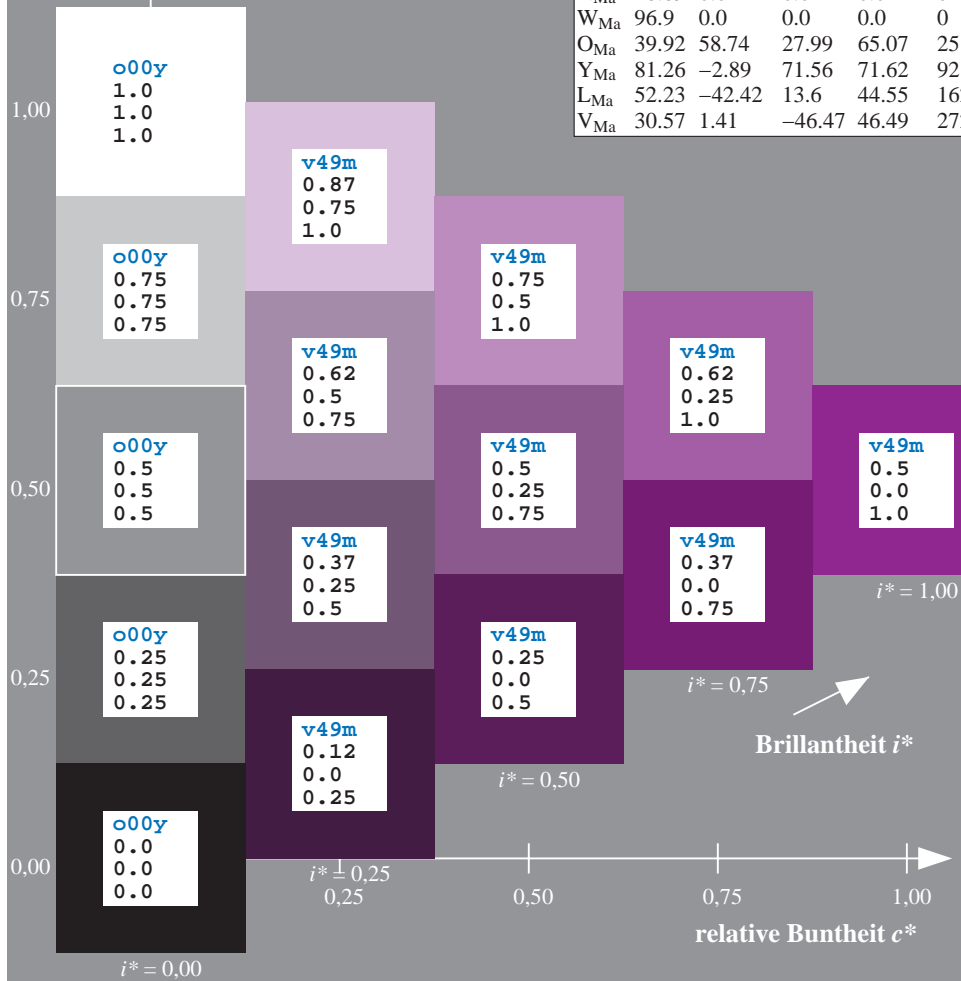
$lab^*olv^*_{Ma}$: 0.5 0.0 1.0

$lab^*rgb^*_{Ma}$: 0.94 0.0 1.0

Dreiecks-Helligkeit t^*

ORS19_96a; adaptierte CIELAB-Daten

u^*_d	$L^*=L^*_a$	a^*_a	b^*_a	$C^*_{ab,a}$	$h^*_{ab,a}$	u^*_e
o00y	48.75	65.07	39.43	76.08	31	r08j
o25y	59.04	46.67	51.1	69.21	48	r33j
o50y	68.32	30.09	61.62	68.58	64	r57j
o75y	78.23	12.39	72.85	73.9	80	r81j
y00l	90.92	-10.29	87.24	87.85	97	j06g
y25l	78.57	-28.11	65.75	71.51	113	j29g
y50l	69.46	-41.25	49.92	64.75	130	j53g
y75l	61.32	-52.99	35.76	63.92	146	j76g
l00c	52.69	-65.44	20.75	68.65	162	g00b
l50c	56.55	-45.12	-16.57	48.07	200	g34b
c00v	59.61	-28.98	-46.22	54.56	238	g69b
c50v	43.33	-1.54	-45.13	45.16	268	g96b
v00m	28.39	23.63	-44.13	50.06	298	b23r
v50m	36.9	43.84	-30.24	53.26	325	b47r
m00o	49.58	73.93	-9.56	74.55	353	b71r
m50o	49.17	69.55	14.68	71.08	12	b88r



Ein und Ausgabe: Farbmatisches Drucker-Reflektiv-System ORS19_96a für relativen CIELAB-Bunton $h^* = lab^*h^* = h_{ab}/360 = 0.98$

$u^*_d = m00o$

Daten für jede Farbe:

lab^*ch^* und lab^*icu^*

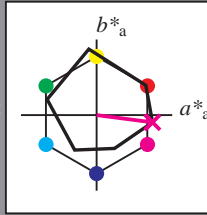
Buntontexte:

$u^*_d = m00o$ $u^*_e = b71r$

Kontrastreduzierungsfaktor:

$c_R = 1.0$

Dreiecks-Helligkeit t^*



ORS19_96a; adaptierte CIELAB-Daten

u^*_d	$L^*=L^*_a$	a^*_a	b^*_a	$C^*_{ab,a}$	$h^*_{ab,a}$
O _{Ma}	48.75	65.07	39.43	76.08	31
Y _{Ma}	90.92	-10.29	87.24	87.85	97
L _{Ma}	52.69	-65.44	20.75	68.65	162
C _{Ma}	59.61	-28.98	-46.22	54.56	238
V _{Ma}	28.39	23.63	-44.13	50.06	298
M _{Ma}	49.58	73.93	-9.56	74.55	353
N _{Ma}	18.89	0.0	0.0	0.0	0
W _{Ma}	96.9	0.0	0.0	0.0	0
O _{Ma}	39.92	58.74	27.99	65.07	25
Y _{Ma}	81.26	-2.89	71.56	71.62	92
L _{Ma}	52.23	-42.42	13.6	44.55	162
V _{Ma}	30.57	1.41	-46.47	46.49	272

Daten für Maximalfarbe (Ma):

$LAB^*LAB^*_{Ma}$: 50 74 -10

$LAB^*LCH^*_{Ma}$: 50 75 352

$lab^*olv^*_{Ma}$: 1.0 0.0 1.0

$lab^*rgb^*_{Ma}$: 1.0 0.0 0.58

Dreiecks-Helligkeit t^*

%Umfang

$u^*_{rel} = 89$

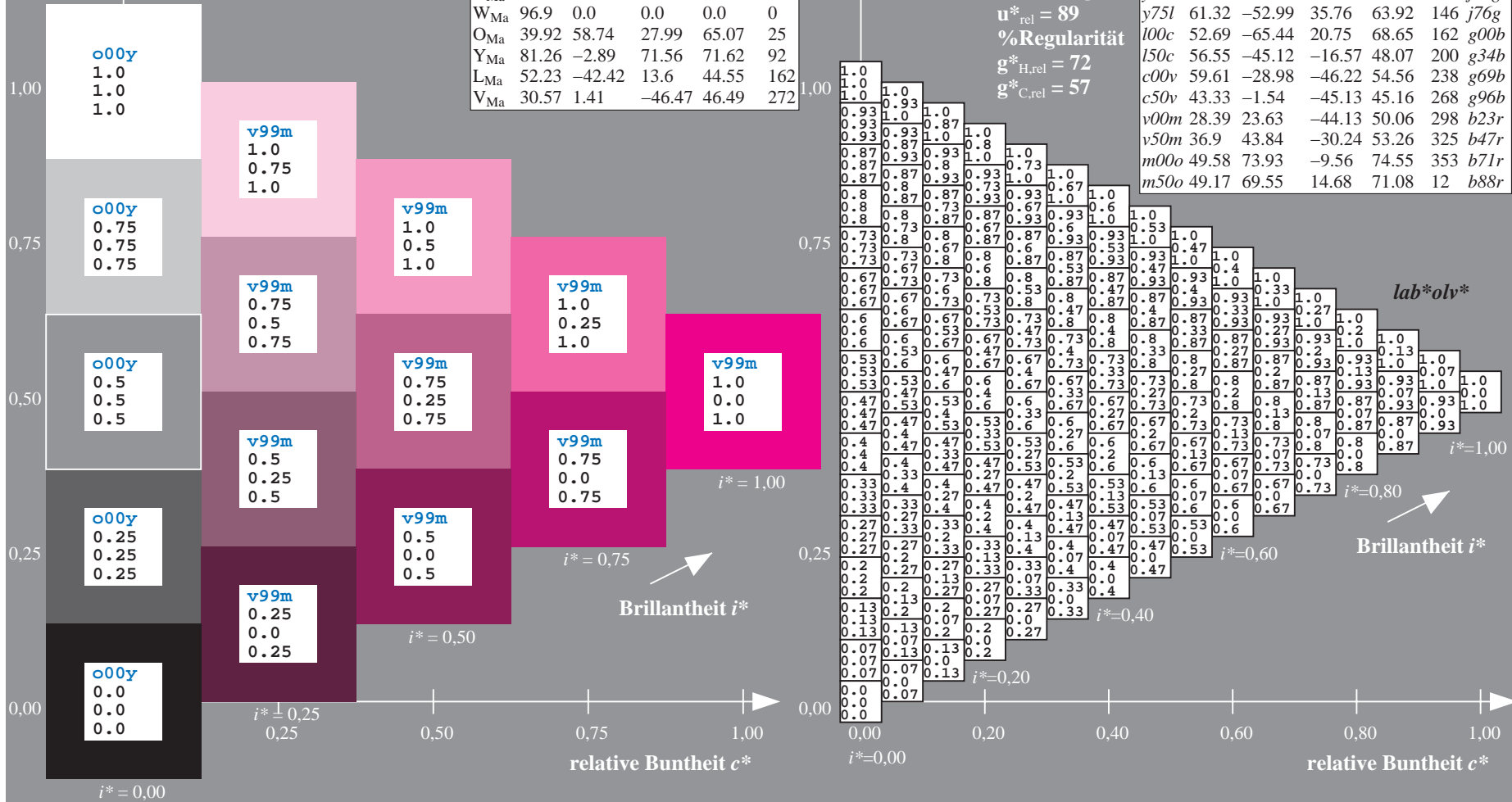
%Regularität

$g^*_{H,rel} = 72$

$g^*_{C,rel} = 57$

ORS19_96a; adaptierte CIELAB-Daten

u^*_d	$L^*=L^*_a$	a^*_a	b^*_a	$C^*_{ab,a}$	$h^*_{ab,a}$	u^*_e
o00y	48.75	65.07	39.43	76.08	31	r08j
o25y	59.04	46.67	51.1	69.21	48	r33j
o50y	68.32	30.09	61.62	68.58	64	r57j
o75y	78.23	12.39	72.85	73.9	80	r81j
y00l	90.92	-10.29	87.24	87.85	97	j06g
y25l	78.57	-28.11	65.75	71.51	113	j29g
y50l	69.46	-41.25	49.92	64.75	130	j53g
y75l	61.32	-52.99	35.76	63.92	146	j76g
l00c	52.69	-65.44	20.75	68.65	162	g00b
l50c	56.55	-45.12	-16.57	48.07	200	g34b
c00v	59.61	-28.98	-46.22	54.56	238	g69b
c50v	43.33	-1.54	-45.13	45.16	268	g96b
v00m	28.39	23.63	-44.13	50.06	298	b23r
v50m	36.9	43.84	-30.24	53.26	325	b47r
m00o	49.58	73.93	-9.56	74.55	353	b71r
m50o	49.17	69.55	14.68	71.08	12	b88r



Ein und Ausgabe: Farbmatisches Drucker-Reflektiv-System ORS19_96a für relativen CIELAB-Bunton $h^* = lab^*h^* = h_{ab}/360 = 0.033$

$u^*_d = m50o$

Daten für jede Farbe:

lab^*ch^* und lab^*icu^*

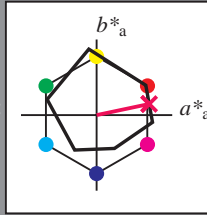
Buntontexte:

$u^*_d = m50o$ $u^*_e = b88r$

Kontrastreduzierungsfaktor:

$c_R = 1.0$

Dreiecks-Helligkeit t^*



ORS19_96a; adaptierte CIELAB-Daten

u^*_d	$L^*=L^*_a$	a^*_a	b^*_a	$C^*_{ab,a}$	$h^*_{ab,a}$
O _{Ma}	48.75	65.07	39.43	76.08	31
Y _{Ma}	90.92	-10.29	87.24	87.85	97
L _{Ma}	52.69	-65.44	20.75	68.65	162
C _{Ma}	59.61	-28.98	-46.22	54.56	238
V _{Ma}	28.39	23.63	-44.13	50.06	298
M _{Ma}	49.58	73.93	-9.56	74.55	353
N _{Ma}	18.89	0.0	0.0	0.0	0
W _{Ma}	96.9	0.0	0.0	0.0	0
O _{Ma}	39.92	58.74	27.99	65.07	25
Y _{Ma}	81.26	-2.89	71.56	71.62	92
L _{Ma}	52.23	-42.42	13.6	44.55	162
V _{Ma}	30.57	1.41	-46.47	46.49	272

Daten für Maximalfarbe (Ma):

$LAB^*LAB^*_{Ma}$: 49 70 15

$LAB^*LCH^*_{Ma}$: 49 71 11

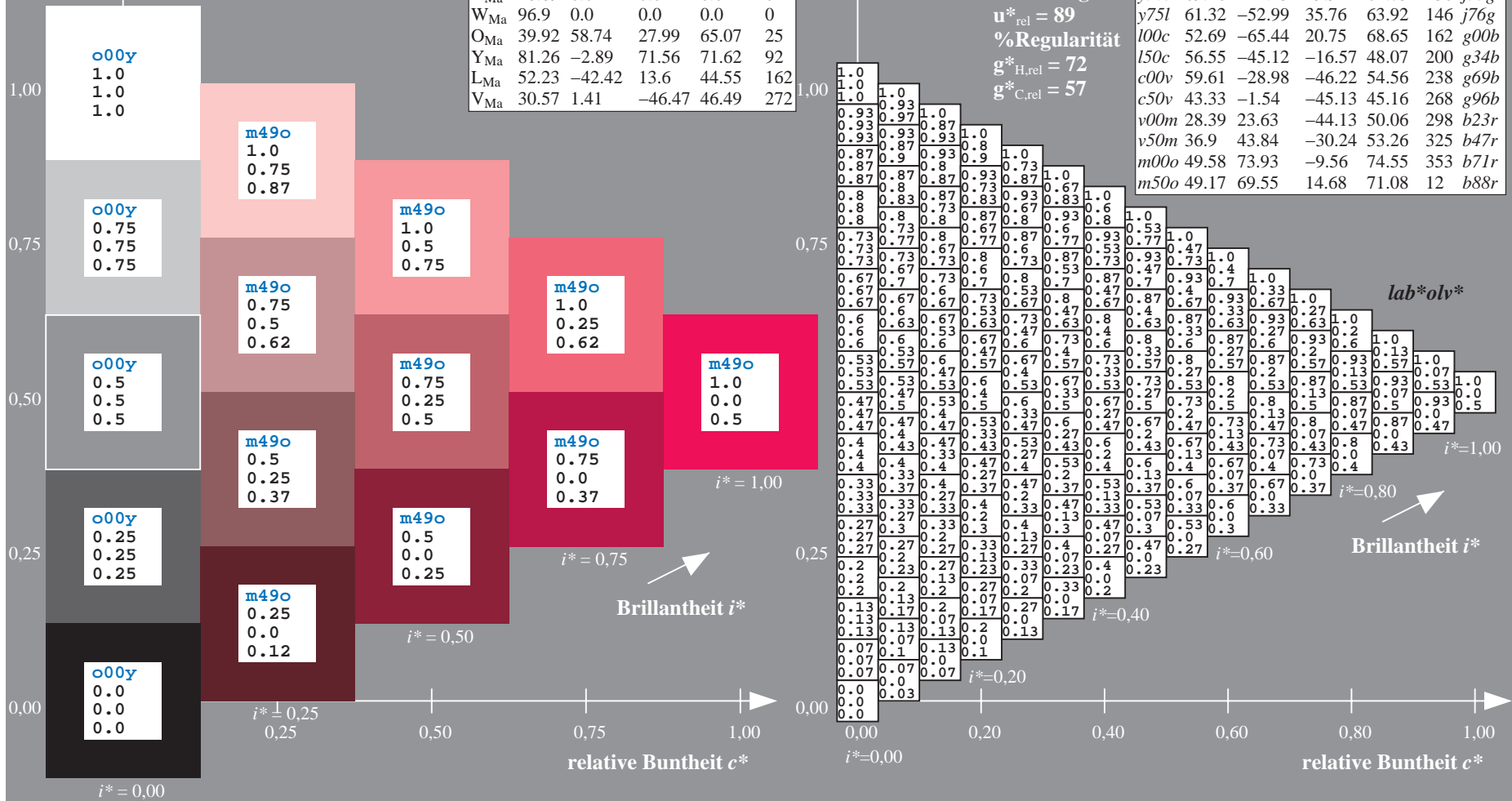
$lab^*olv^*_{Ma}$: 1.0 0.0 0.5

$lab^*rgb^*_{Ma}$: 1.0 0.0 0.24

Dreiecks-Helligkeit t^*

ORS19_96a; adaptierte CIELAB-Daten

u^*_d	$L^*=L^*_a$	a^*_a	b^*_a	$C^*_{ab,a}$	$h^*_{ab,a}$	u^*_e
o00y	48.75	65.07	39.43	76.08	31	r08j
o25y	59.04	46.67	51.1	69.21	48	r33j
o50y	68.32	30.09	61.62	68.58	64	r57j
o75y	78.23	12.39	72.85	73.9	80	r81j
y00l	90.92	-10.29	87.24	87.85	97	j06g
y25l	78.57	-28.11	65.75	71.51	113	j29g
y50l	69.46	-41.25	49.92	64.75	130	j53g
y75l	61.32	-52.99	35.76	63.92	146	j76g
l00c	52.69	-65.44	20.75	68.65	162	g00b
l50c	56.55	-45.12	-16.57	48.07	200	g34b
c00v	59.61	-28.98	-46.22	54.56	238	g69b
c50v	43.33	-1.54	-45.13	45.16	268	g96b
v00m	28.39	23.63	-44.13	50.06	298	b23r
v50m	36.9	43.84	-30.24	53.26	325	b47r
m00o	49.58	73.93	-9.56	74.55	353	b71r
m50o	49.17	69.55	14.68	71.08	12	b88r



%Umfang
 $u^*_{rel} = 89$
 %Regularität
 $g^*_{H,rel} = 72$
 $g^*_{C,rel} = 57$

lab^*olv^*

Brillanz i^*

Ein und Ausgabe:
 Farbmetrisches Drucker-Reflektiv-System ORS19_96a

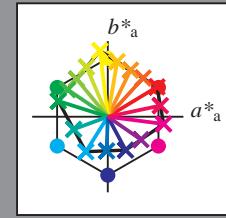
Daten für jede Farbe:
 u^*_d und Nummer *Nr.* = 00 .. 15

Geräte-Bunttextext:
 $u^*_d = 16$ Bunttoene *o00y, o25y, ..., m50o*

Kontrastreduzierungsfaktor:
 $c_R = 1.0$

ORS19_96a; adaptierte CIELAB-Daten

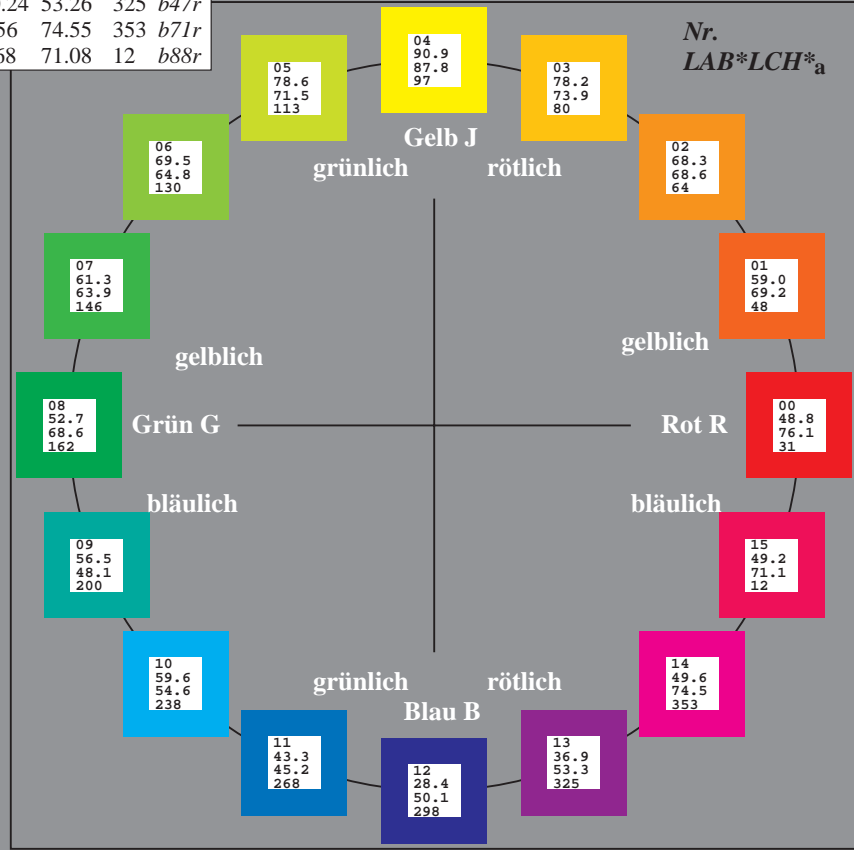
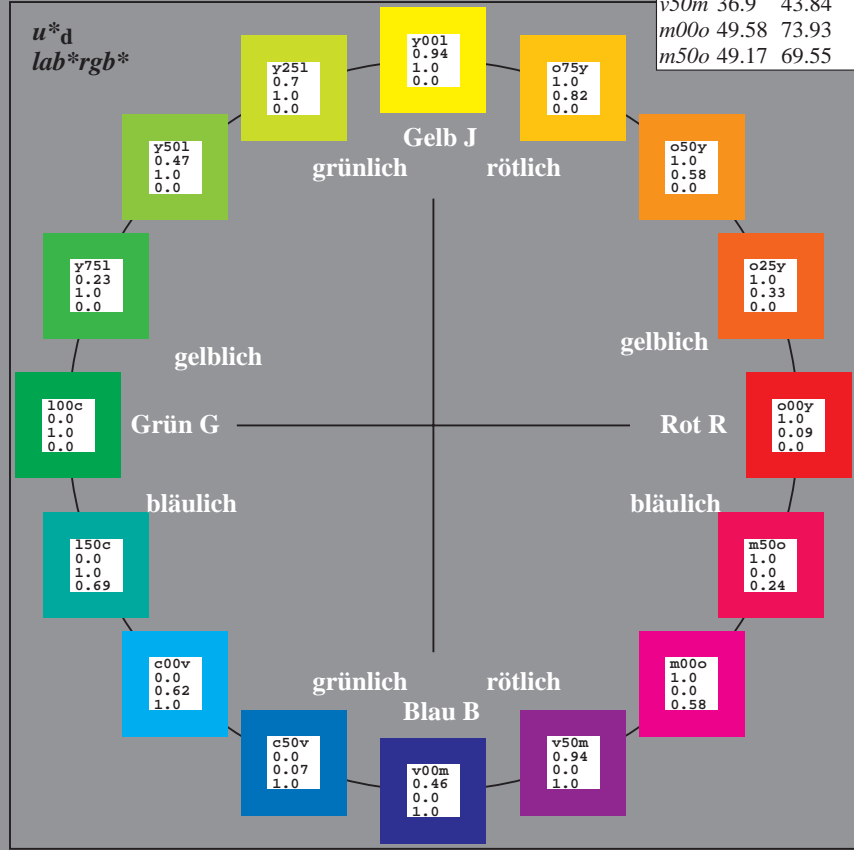
u^*_d	$L^*=L^*_a$	a^*_a	b^*_a	$C^*_{ab,a}$	$h^*_{ab,a}$	u^*_e
<i>o00y</i>	48.75	65.07	39.43	76.08	31	<i>r08j</i>
<i>o25y</i>	59.04	46.67	51.1	69.21	48	<i>r33j</i>
<i>o50y</i>	68.32	30.09	61.62	68.58	64	<i>r57j</i>
<i>o75y</i>	78.23	12.39	72.85	73.9	80	<i>r81j</i>
<i>y00l</i>	90.92	-10.29	87.24	87.85	97	<i>j06g</i>
<i>y25l</i>	78.57	-28.11	65.75	71.51	113	<i>j29g</i>
<i>y50l</i>	69.46	-41.25	49.92	64.75	130	<i>j53g</i>
<i>y75l</i>	61.32	-52.99	35.76	63.92	146	<i>j76g</i>
<i>l00c</i>	52.69	-65.44	20.75	68.65	162	<i>g00b</i>
<i>l50c</i>	56.55	-45.12	-16.57	48.07	200	<i>g34b</i>
<i>c00v</i>	59.61	-28.98	-46.22	54.56	238	<i>g69b</i>
<i>c50v</i>	43.33	-1.54	-45.13	45.16	268	<i>g96b</i>
<i>v00m</i>	28.39	23.63	-44.13	50.06	298	<i>b23r</i>
<i>y50m</i>	36.9	43.84	-30.24	53.26	325	<i>b47r</i>
<i>m00o</i>	49.58	73.93	-9.56	74.55	353	<i>b71r</i>
<i>m50o</i>	49.17	69.55	14.68	71.08	12	<i>b88r</i>



%Umfang
 $u^*_{rel} = 89$
 %Regularität
 $g^*_{H,rel} = 72$
 $g^*_{C,rel} = 57$

ORS19_96a; adaptierte CIELAB-Daten

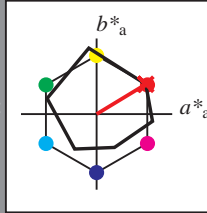
Name	$L^*=L^*_a$	a^*_a	b^*_a	$C^*_{ab,a}$	$h^*_{ab,a}$
O _{Ma}	48.75	65.07	39.43	76.08	31
Y _{Ma}	90.92	-10.29	87.24	87.85	97
L _{Ma}	52.69	-65.44	20.75	68.65	162
C _{Ma}	59.61	-28.98	-46.22	54.56	238
V _{Ma}	28.39	23.63	-44.13	50.06	298
M _{Ma}	49.58	73.93	-9.56	74.55	353
N _{Ma}	18.89	0.0	0.0	0.0	0
W _{Ma}	96.9	0.0	0.0	0.0	0
O _{CIE}	39.92	58.74	27.99	65.07	25
Y _{CIE}	81.26	-2.89	71.56	71.62	92
L _{CIE}	52.23	-42.42	13.6	44.55	162
V _{CIE}	30.57	1.41	-46.47	46.49	272



Ein und Ausgabe: Farbmatisches Drucker-Reflektiv-System ORS19_96a für relativen CIELAB-Bunton $h^* = lab^*h^* = h_{ab}/360 = 0.087$

$u^*_d = o00y$
 lab^*rgb^*

Daten für jede Farbe:
 lab^*tch^* und lab^*icu^*
Buntontexte:
 $u^*_d = o00y$ $u^*_e = r08j$
Kontrastreduzierungsfaktor:
 $c_R = 1.0$
Dreiecks-Helligkeit t^*



ORS19_96a; adaptierte CIELAB-Daten

u^*_d	$L^*=L^*_a$	a^*_a	b^*_a	$C^*_{ab,a}$	$h^*_{ab,a}$
O _{Ma}	48.75	65.07	39.43	76.08	31
Y _{Ma}	90.92	-10.29	87.24	87.85	97
L _{Ma}	52.69	-65.44	20.75	68.65	162
C _{Ma}	59.61	-28.98	-46.22	54.56	238
V _{Ma}	28.39	23.63	-44.13	50.06	298
M _{Ma}	49.58	73.93	-9.56	74.55	353
N _{Ma}	18.89	0.0	0.0	0.0	0
W _{Ma}	96.9	0.0	0.0	0.0	0
O _{Ma}	39.92	58.74	27.99	65.07	25
Y _{Ma}	81.26	-2.89	71.56	71.62	92
L _{Ma}	52.23	-42.42	13.6	44.55	162
V _{Ma}	30.57	1.41	-46.47	46.49	272

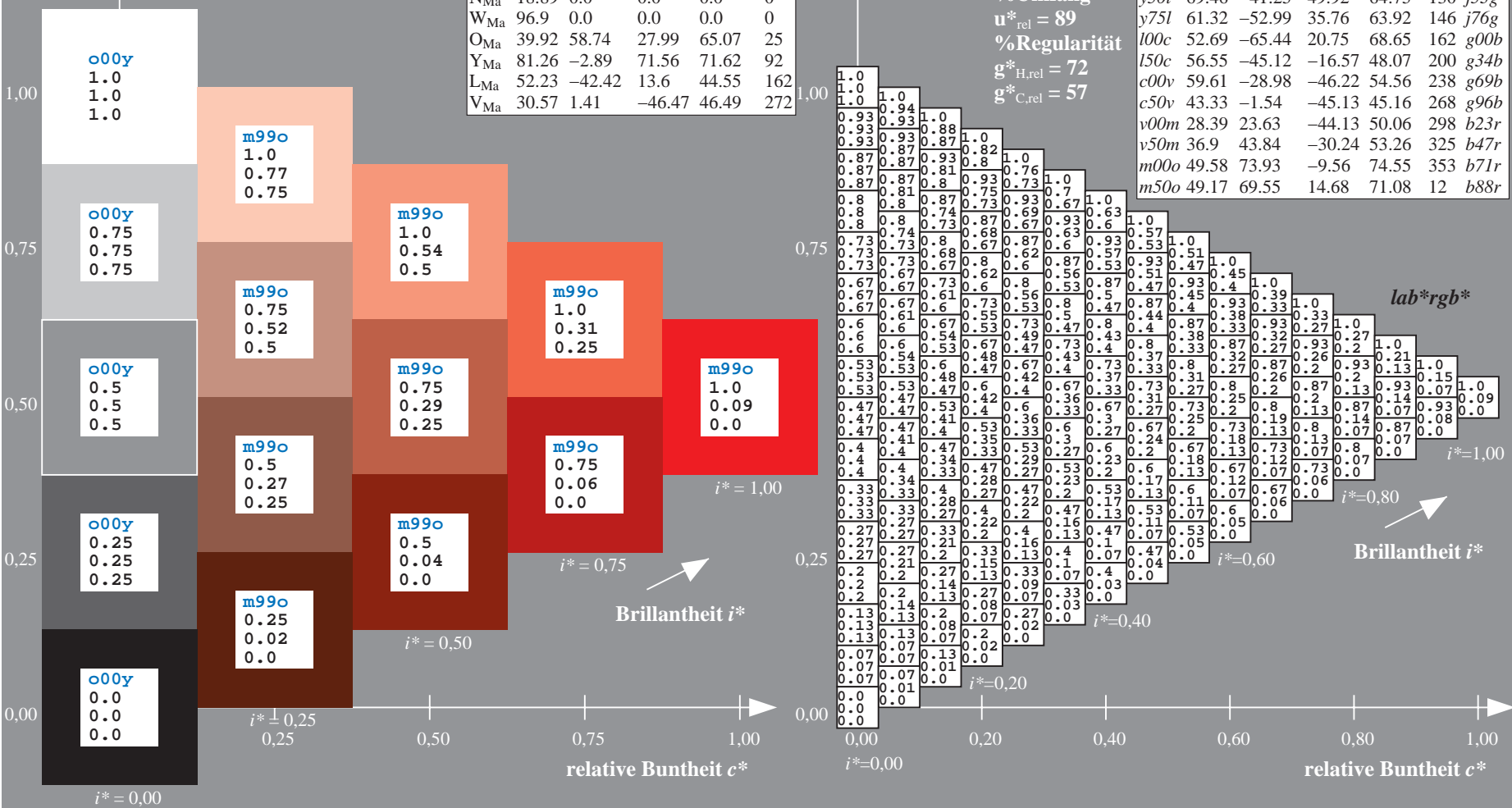
Daten für Maximalfarbe (Ma):

$LAB^*LAB^*_{Ma}$: 49 65 39
 $LAB^*LCH^*_{Ma}$: 49 76 31
 $lab^*olv^*_{Ma}$: 1.0 0.0 0.0
 $lab^*rgb^*_{Ma}$: 1.0 0.09 0.0

ORS19_96a; adaptierte CIELAB-Daten

u^*_d	$L^*=L^*_a$	a^*_a	b^*_a	$C^*_{ab,a}$	$h^*_{ab,a}$	u^*_e
<i>o00y</i>	48.75	65.07	39.43	76.08	31	<i>r08j</i>
<i>o25y</i>	59.04	46.67	51.1	69.21	48	<i>r33j</i>
<i>o50y</i>	68.32	30.09	61.62	68.58	64	<i>r57j</i>
<i>o75y</i>	78.23	12.39	72.85	73.9	80	<i>r81j</i>
<i>y00l</i>	90.92	-10.29	87.24	87.85	97	<i>j06g</i>
<i>y25l</i>	78.57	-28.11	65.75	71.51	113	<i>j29g</i>
<i>y50l</i>	69.46	-41.25	49.92	64.75	130	<i>j53g</i>
<i>y75l</i>	61.32	-52.99	35.76	63.92	146	<i>j76g</i>
<i>l00c</i>	52.69	-65.44	20.75	68.65	162	<i>g00b</i>
<i>l50c</i>	56.55	-45.12	-16.57	48.07	200	<i>g34b</i>
<i>c00v</i>	59.61	-28.98	-46.22	54.56	238	<i>g69b</i>
<i>c50v</i>	43.33	-1.54	-45.13	45.16	268	<i>g96b</i>
<i>v00m</i>	28.39	23.63	-44.13	50.06	298	<i>b23r</i>
<i>v50m</i>	36.9	43.84	-30.24	53.26	325	<i>b47r</i>
<i>m00o</i>	49.58	73.93	-9.56	74.55	353	<i>b71r</i>
<i>m50o</i>	49.17	69.55	14.68	71.08	12	<i>b88r</i>

Dreiecks-Helligkeit t^*
%Umfang
 $u^*_{rel} = 89$
%Regularität
 $g^*_{H,rel} = 72$
 $g^*_{C,rel} = 57$



Ein und Ausgabe: Farbmatisches Drucker-Reflektiv-System ORS19_96a für relativen CIELAB-Bunton $h^* = \text{lab}^*h^* = h_{ab}/360 = 0.132$

Daten für jede Farbe:

lab^*tch^* und lab^*icu^*

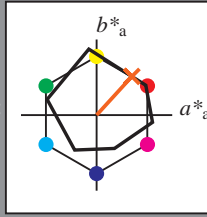
Buntontexte:

$u^*_d = o25y$ $u^*_e = r33j$

Kontrastreduzierungsfaktor:

$c_R = 1.0$

Dreiecks-Helligkeit t^*



ORS19_96a; adaptierte CIELAB-Daten

u^*_d	$L^*=L^*_a$	a^*_a	b^*_a	$C^*_{ab,a}$	$h^*_{ab,a}$
O _{Ma}	48.75	65.07	39.43	76.08	31
Y _{Ma}	90.92	-10.29	87.24	87.85	97
L _{Ma}	52.69	-65.44	20.75	68.65	162
C _{Ma}	59.61	-28.98	-46.22	54.56	238
V _{Ma}	28.39	23.63	-44.13	50.06	298
M _{Ma}	49.58	73.93	-9.56	74.55	353
N _{Ma}	18.89	0.0	0.0	0.0	0
W _{Ma}	96.9	0.0	0.0	0.0	0
O _{Ma}	39.92	58.74	27.99	65.07	25
Y _{Ma}	81.26	-2.89	71.56	71.62	92
L _{Ma}	52.23	-42.42	13.6	44.55	162
V _{Ma}	30.57	1.41	-46.47	46.49	272

Daten für Maximalfarbe (Ma):

$\text{LAB}^*\text{LAB}^*_{Ma}$: 59 47 51

$\text{LAB}^*\text{LCH}^*_{Ma}$: 59 69 47

$\text{lab}^*\text{olv}^*_{Ma}$: 1.0 0.25 0.0

$\text{lab}^*\text{rgb}^*_{Ma}$: 1.0 0.33 0.0

Dreiecks-Helligkeit t^*

%Umfang

$u^*_{rel} = 89$

%Regularität

$g^*_{H,rel} = 72$

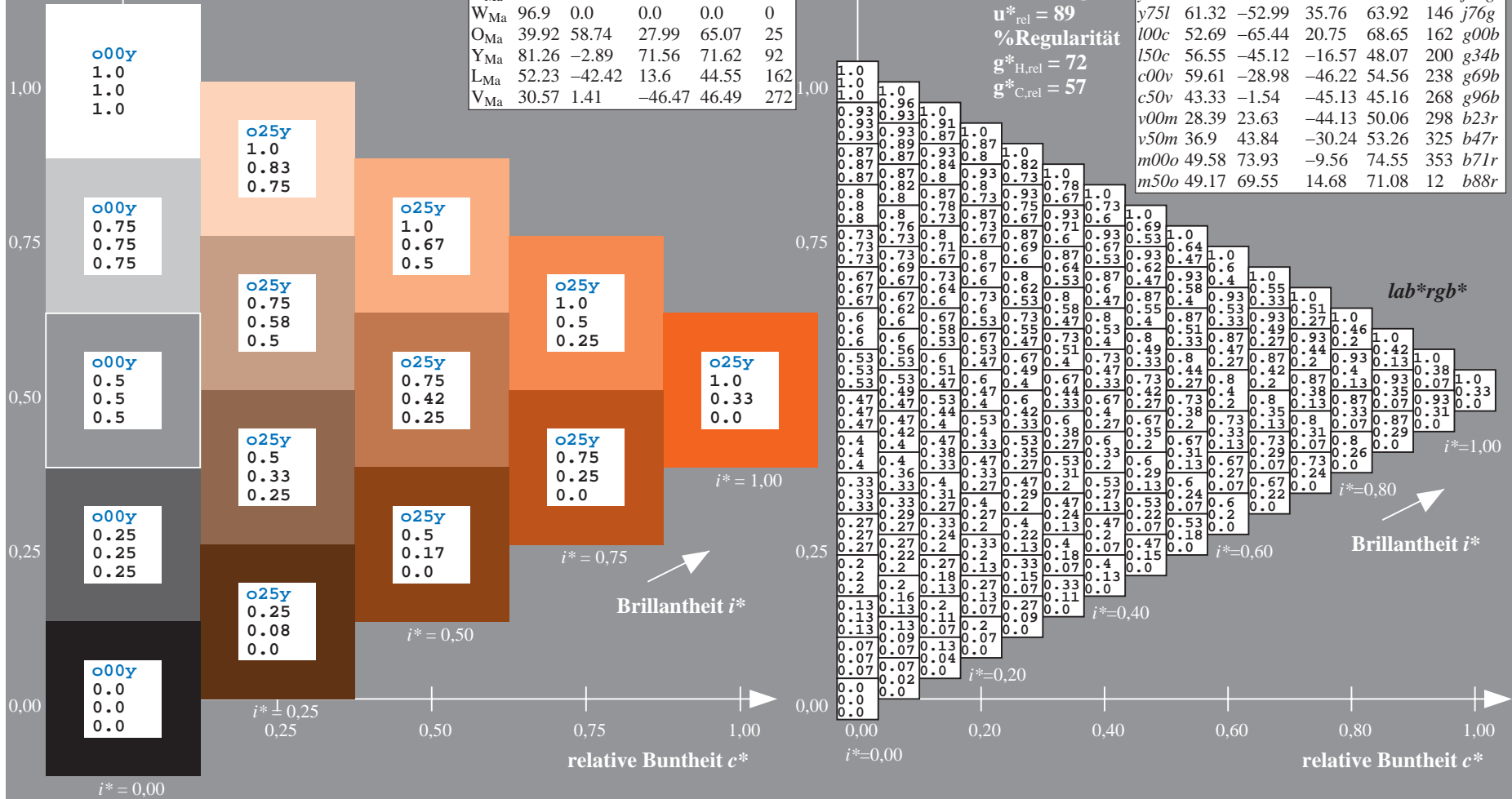
$g^*_{C,rel} = 57$

$u^*_d = o25y$

lab^*rgb^*

ORS19_96a; adaptierte CIELAB-Daten

u^*_d	$L^*=L^*_a$	a^*_a	b^*_a	$C^*_{ab,a}$	$h^*_{ab,a}$	u^*_e
o00y	48.75	65.07	39.43	76.08	31	r08j
o25y	59.04	46.67	51.1	69.21	48	r33j
o50y	68.32	30.09	61.62	68.58	64	r57j
o75y	78.23	12.39	72.85	73.9	80	r81j
y00l	90.92	-10.29	87.24	87.85	97	j06g
y25l	78.57	-28.11	65.75	71.51	113	j29g
y50l	69.46	-41.25	49.92	64.75	130	j53g
y75l	61.32	-52.99	35.76	63.92	146	j76g
l00c	52.69	-65.44	20.75	68.65	162	g00b
l50c	56.55	-45.12	-16.57	48.07	200	g34b
c00v	59.61	-28.98	-46.22	54.56	238	g69b
c50v	43.33	-1.54	-45.13	45.16	268	g96b
v00m	28.39	23.63	-44.13	50.06	298	b23r
v50m	36.9	43.84	-30.24	53.26	325	b47r
m00o	49.58	73.93	-9.56	74.55	353	b71r
m50o	49.17	69.55	14.68	71.08	12	b88r



Ein und Ausgabe: Farbmatisches Drucker-Reflektiv-System ORS19_96a für relativen CIELAB-Bunton $h^* = lab^*h^* = h_{ab}/360 = 0.178$

$u^*_d = 0.50y$

Daten für jede Farbe:

lab^*ch^* und lab^*icu^*

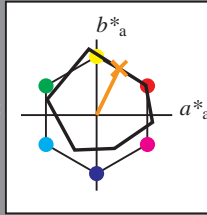
Buntontexte:

$u^*_d = 0.50y$ $u^*_e = r57j$

Kontrastreduzierungsfaktor:

$c_R = 1.0$

Dreiecks-Helligkeit t^*



ORS19_96a; adaptierte CIELAB-Daten

u^*_d	$L^*=L^*_a$	a^*_a	b^*_a	$C^*_{ab,a}$	$h^*_{ab,a}$
O _{Ma}	48.75	65.07	39.43	76.08	31
Y _{Ma}	90.92	-10.29	87.24	87.85	97
L _{Ma}	52.69	-65.44	20.75	68.65	162
C _{Ma}	59.61	-28.98	-46.22	54.56	238
V _{Ma}	28.39	23.63	-44.13	50.06	298
M _{Ma}	49.58	73.93	-9.56	74.55	353
N _{Ma}	18.89	0.0	0.0	0.0	0
W _{Ma}	96.9	0.0	0.0	0.0	0
O _{Ma}	39.92	58.74	27.99	65.07	25
Y _{Ma}	81.26	-2.89	71.56	71.62	92
L _{Ma}	52.23	-42.42	13.6	44.55	162
V _{Ma}	30.57	1.41	-46.47	46.49	272

Daten für Maximalfarbe (Ma):

$LAB^*LAB^*_{Ma}$: 68 30 62

$LAB^*LCH^*_{Ma}$: 68 69 63

$lab^*olv^*_{Ma}$: 1.0 0.5 0.0

$lab^*rgb^*_{Ma}$: 1.0 0.58 0.0

Dreiecks-Helligkeit t^*

%Umfang

$u^*_{rel} = 89$

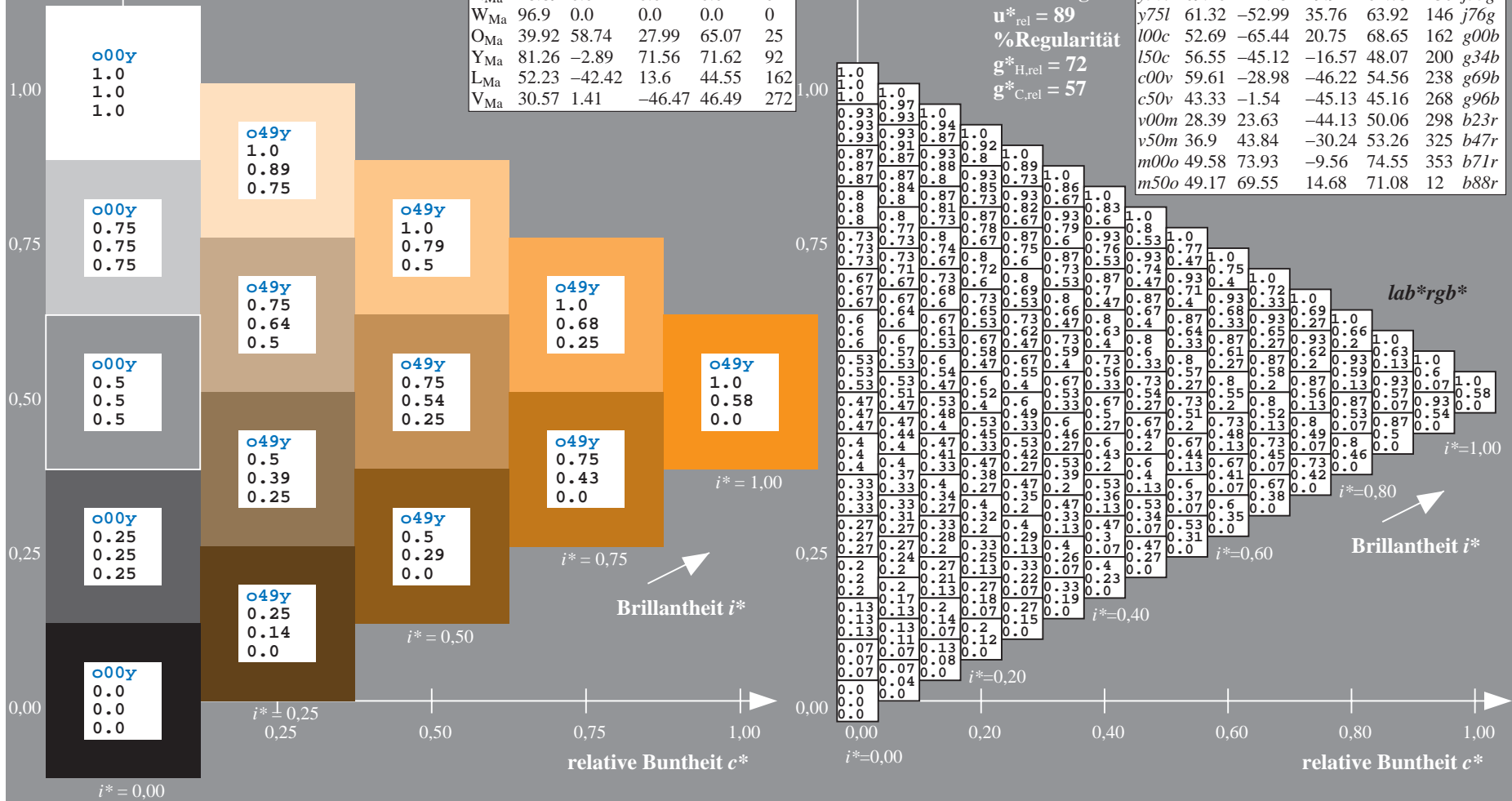
%Regularität

$g^*_{H,rel} = 72$

$g^*_{C,rel} = 57$

ORS19_96a; adaptierte CIELAB-Daten

u^*_d	$L^*=L^*_a$	a^*_a	b^*_a	$C^*_{ab,a}$	$h^*_{ab,a}$	u^*_e
o00y	48.75	65.07	39.43	76.08	31	r08j
o25y	59.04	46.67	51.1	69.21	48	r33j
o50y	68.32	30.09	61.62	68.58	64	r57j
o75y	78.23	12.39	72.85	73.9	80	r81j
y00l	90.92	-10.29	87.24	87.85	97	j06g
y25l	78.57	-28.11	65.75	71.51	113	j29g
y50l	69.46	-41.25	49.92	64.75	130	j53g
y75l	61.32	-52.99	35.76	63.92	146	j76g
l00c	52.69	-65.44	20.75	68.65	162	g00b
l50c	56.55	-45.12	-16.57	48.07	200	g34b
c00v	59.61	-28.98	-46.22	54.56	238	g69b
c50v	43.33	-1.54	-45.13	45.16	268	g96b
v00m	28.39	23.63	-44.13	50.06	298	b23r
v50m	36.9	43.84	-30.24	53.26	325	b47r
m00o	49.58	73.93	-9.56	74.55	353	b71r
m50o	49.17	69.55	14.68	71.08	12	b88r



Ein und Ausgabe: Farbmatisches Drucker-Reflektiv-System ORS19_96a für relativen CIELAB-Bunton $h^* = \text{lab}^*h^* = h_{ab}/360 = 0.223$

$u^*_d = 0.75y$

Daten für jede Farbe:

lab^*tch^* und lab^*icu^*

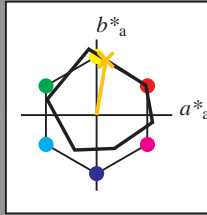
Buntontexte:

$u^*_d = 0.75y$ $u^*_e = r8lj$

Kontrastreduzierungsfaktor:

$c_R = 1.0$

Dreiecks-Helligkeit t^*



ORS19_96a; adaptierte CIELAB-Daten

u^*_d	$L^*=L^*_a$	a^*_a	b^*_a	$C^*_{ab,a}$	$h^*_{ab,a}$
O _{Ma}	48.75	65.07	39.43	76.08	31
Y _{Ma}	90.92	-10.29	87.24	87.85	97
L _{Ma}	52.69	-65.44	20.75	68.65	162
C _{Ma}	59.61	-28.98	-46.22	54.56	238
V _{Ma}	28.39	23.63	-44.13	50.06	298
M _{Ma}	49.58	73.93	-9.56	74.55	353
N _{Ma}	18.89	0.0	0.0	0.0	0
W _{Ma}	96.9	0.0	0.0	0.0	0
O _{Ma}	39.92	58.74	27.99	65.07	25
Y _{Ma}	81.26	-2.89	71.56	71.62	92
L _{Ma}	52.23	-42.42	13.6	44.55	162
V _{Ma}	30.57	1.41	-46.47	46.49	272

Daten für Maximalfarbe (Ma):

$\text{LAB}^*\text{LAB}^*_{Ma}$: 78 12 73

$\text{LAB}^*\text{LCH}^*_{Ma}$: 78 74 80

$\text{lab}^*\text{olv}^*_{Ma}$: 1.0 0.75 0.0

$\text{lab}^*\text{rgb}^*_{Ma}$: 1.0 0.82 0.0

Dreiecks-Helligkeit t^*

%Umfang

$u^*_{rel} = 89$

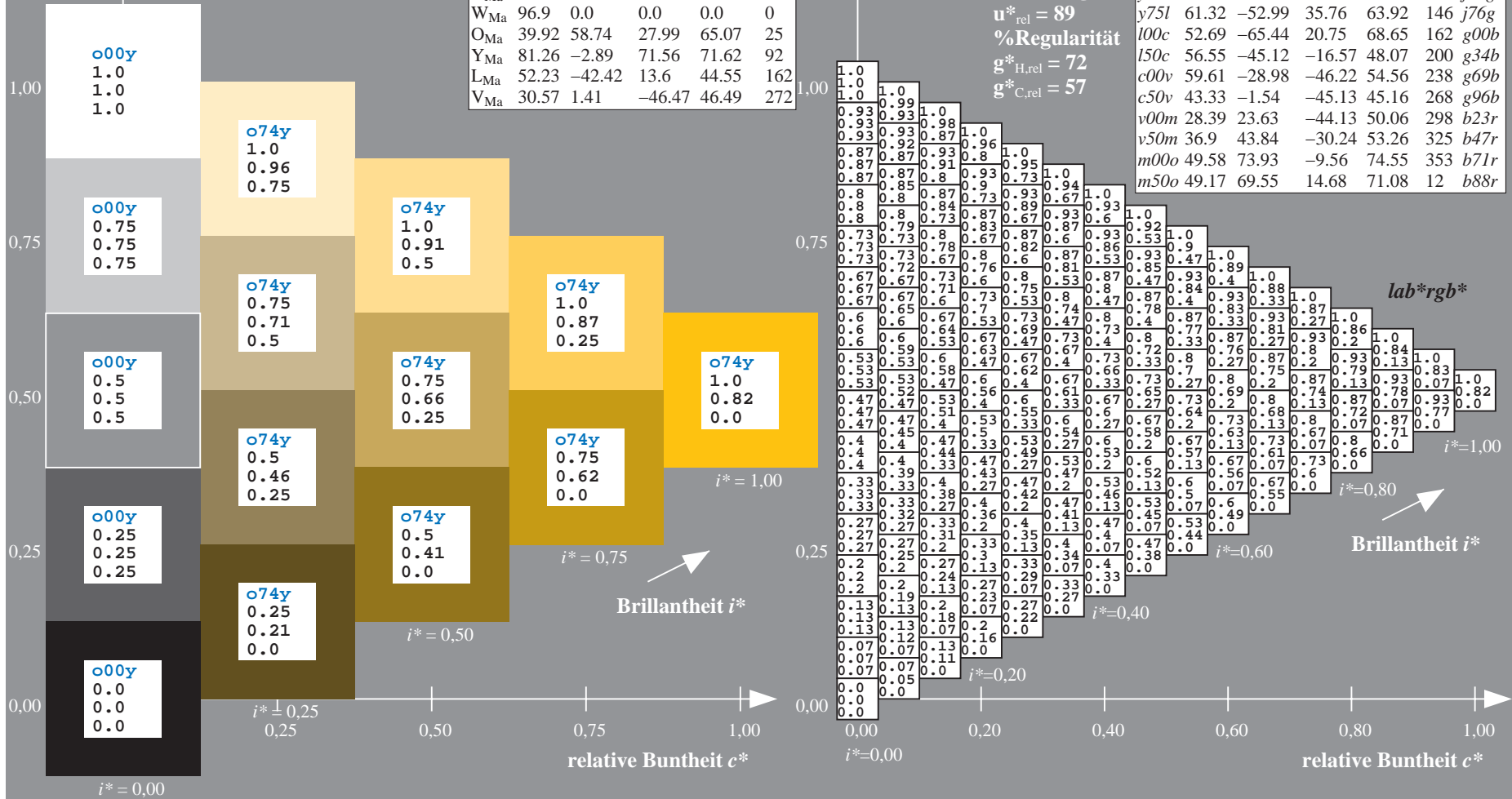
%Regularität

$g^*_{H,rel} = 72$

$g^*_{C,rel} = 57$

ORS19_96a; adaptierte CIELAB-Daten

u^*_d	$L^*=L^*_a$	a^*_a	b^*_a	$C^*_{ab,a}$	$h^*_{ab,a}$	u^*_e
o00y	48.75	65.07	39.43	76.08	31	r08j
o25y	59.04	46.67	51.1	69.21	48	r33j
o50y	68.32	30.09	61.62	68.58	64	r57j
o75y	78.23	12.39	72.85	73.9	80	r8lj
y00l	90.92	-10.29	87.24	87.85	97	j06g
y25l	78.57	-28.11	65.75	71.51	113	j29g
y50l	69.46	-41.25	49.92	64.75	130	j53g
y75l	61.32	-52.99	35.76	63.92	146	j76g
l00c	52.69	-65.44	20.75	68.65	162	g00b
l50c	56.55	-45.12	-16.57	48.07	200	g34b
c00v	59.61	-28.98	-46.22	54.56	238	g69b
c50v	43.33	-1.54	-45.13	45.16	268	g96b
v00m	28.39	23.63	-44.13	50.06	298	b23r
v50m	36.9	43.84	-30.24	53.26	325	b47r
m00o	49.58	73.93	-9.56	74.55	353	b71r
m50o	49.17	69.55	14.68	71.08	12	b88r



Ein und Ausgabe: Farbmatisches Drucker-Reflektiv-System ORS19_96a für relativen CIELAB-Bunton $h^* = lab^*h^* = h_{ab}/360 = 0.269$

$u^*_d = y00l$
 lab^*rgb^*

Daten für jede Farbe:

lab^*ch^* und lab^*icu^*

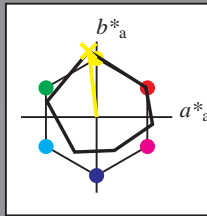
Buntontexte:

$u^*_d = y00l$ $u^*_e = j06g$

Kontrastreduzierungsfaktor:

$c_R = 1.0$

Dreiecks-Helligkeit t^*



ORS19_96a; adaptierte CIELAB-Daten						
u^*_d	$L^*=L^*_a$	a^*_a	b^*_a	$C^*_{ab,a}$	$h^*_{ab,a}$	
O _{Ma}	48.75	65.07	39.43	76.08	31	
Y _{Ma}	90.92	-10.29	87.24	87.85	97	
L _{Ma}	52.69	-65.44	20.75	68.65	162	
C _{Ma}	59.61	-28.98	-46.22	54.56	238	
V _{Ma}	28.39	23.63	-44.13	50.06	298	
M _{Ma}	49.58	73.93	-9.56	74.55	353	
N _{Ma}	18.89	0.0	0.0	0.0	0	
W _{Ma}	96.9	0.0	0.0	0.0	0	
O _{Ma}	39.92	58.74	27.99	65.07	25	
Y _{Ma}	81.26	-2.89	71.56	71.62	92	
L _{Ma}	52.23	-42.42	13.6	44.55	162	
V _{Ma}	30.57	1.41	-46.47	46.49	272	

Daten für Maximalfarbe (Ma):

$LAB^*LAB^*_{Ma}: 91 -10 87$

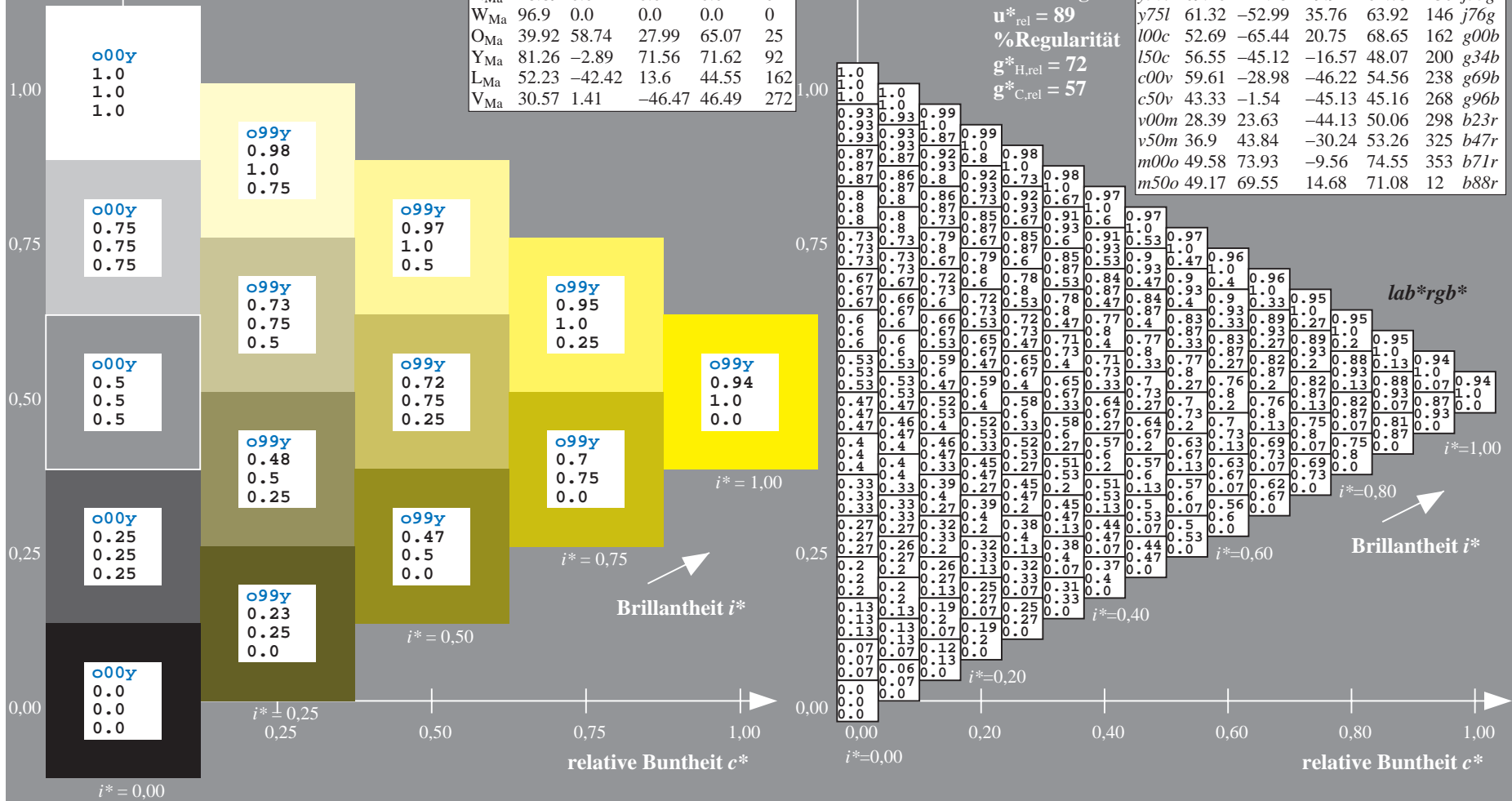
$LAB^*LCH^*_{Ma}: 91 88 96$

$lab^*olv^*_{Ma}: 1.0 1.0 0.0$

$lab^*rgb^*_{Ma}: 0.94 1.0 0.0$

Dreiecks-Helligkeit t^*

ORS19_96a; adaptierte CIELAB-Daten							
u^*_d	$L^*=L^*_a$	a^*_a	b^*_a	$C^*_{ab,a}$	$h^*_{ab,a}$	u^*_e	
o00y	48.75	65.07	39.43	76.08	31	r08j	
o25y	59.04	46.67	51.1	69.21	48	r33j	
o50y	68.32	30.09	61.62	68.58	64	r57j	
o75y	78.23	12.39	72.85	73.9	80	r81j	
y00l	90.92	-10.29	87.24	87.85	97	j06g	
y25l	78.57	-28.11	65.75	71.51	113	j29g	
y50l	69.46	-41.25	49.92	64.75	130	j53g	
y75l	61.32	-52.99	35.76	63.92	146	j76g	
l00c	52.69	-65.44	20.75	68.65	162	g00b	
l50c	56.55	-45.12	-16.57	48.07	200	g34b	
c00v	59.61	-28.98	-46.22	54.56	238	g69b	
c50v	43.33	-1.54	-45.13	45.16	268	g96b	
v00m	28.39	23.63	-44.13	50.06	298	b23r	
v50m	36.9	43.84	-30.24	53.26	325	b47r	
m00o	49.58	73.93	-9.56	74.55	353	b71r	
m50o	49.17	69.55	14.68	71.08	12	b88r	



Ein und Ausgabe: Farbmatisches Drucker-Reflektiv-System ORS19_96a für relativen CIELAB-Bunton $h^* = lab^*h^* = h_{ab}/360 = 0.314$

$u^*_d = y25l$

Daten für jede Farbe:

lab^*ch^* und lab^*icu^*

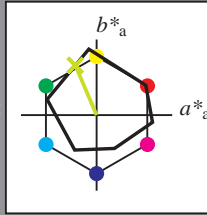
Buntontexte:

$u^*_d = y25l$ $u^*_e = j29g$

Kontrastreduzierungsfaktor:

$c_R = 1.0$

Dreiecks-Helligkeit t^*



ORS19_96a; adaptierte CIELAB-Daten

u^*_d	$L^*=L^*_a$	a^*_a	b^*_a	$C^*_{ab,a}$	$h^*_{ab,a}$
O _{Ma}	48.75	65.07	39.43	76.08	31
Y _{Ma}	90.92	-10.29	87.24	87.85	97
L _{Ma}	52.69	-65.44	20.75	68.65	162
C _{Ma}	59.61	-28.98	-46.22	54.56	238
V _{Ma}	28.39	23.63	-44.13	50.06	298
M _{Ma}	49.58	73.93	-9.56	74.55	353
N _{Ma}	18.89	0.0	0.0	0.0	0
W _{Ma}	96.9	0.0	0.0	0.0	0
O _{Ma}	39.92	58.74	27.99	65.07	25
Y _{Ma}	81.26	-2.89	71.56	71.62	92
L _{Ma}	52.23	-42.42	13.6	44.55	162
V _{Ma}	30.57	1.41	-46.47	46.49	272

Daten für Maximalfarbe (Ma):

$LAB^*LAB^*_{Ma}: 79 -28 66$

$LAB^*LCH^*_{Ma}: 79 72 113$

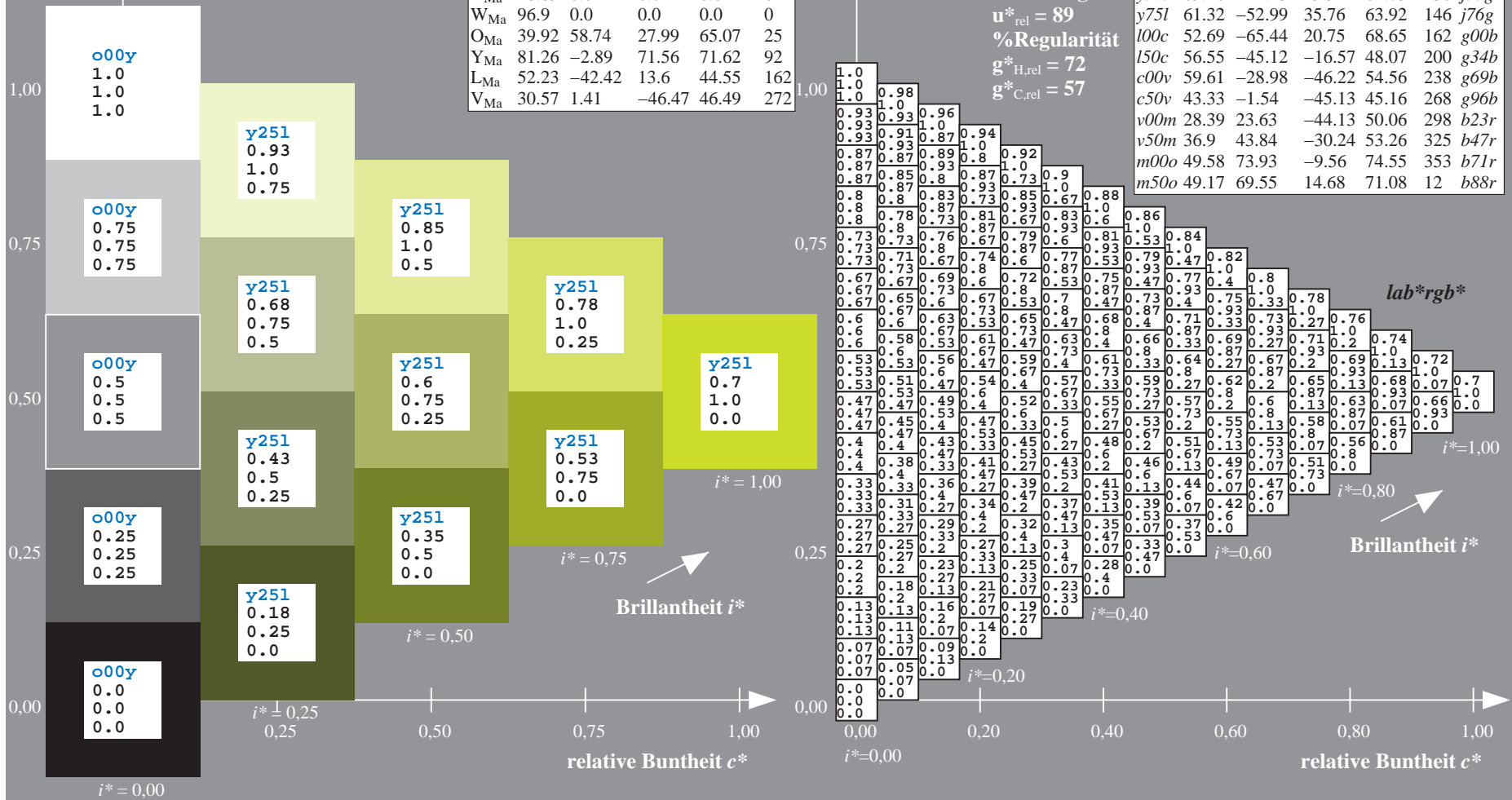
$lab^*olv^*_{Ma}: 0.75 1.0 0.0$

$lab^*rgb^*_{Ma}: 0.7 1.0 0.0$

Dreiecks-Helligkeit t^*

ORS19_96a; adaptierte CIELAB-Daten

u^*_d	$L^*=L^*_a$	a^*_a	b^*_a	$C^*_{ab,a}$	$h^*_{ab,a}$	u^*_e
o00y	48.75	65.07	39.43	76.08	31	r08j
o25y	59.04	46.67	51.1	69.21	48	r33j
o50y	68.32	30.09	61.62	68.58	64	r57j
o75y	78.23	12.39	72.85	73.9	80	r81j
y00l	90.92	-10.29	87.24	87.85	97	j06g
y25l	78.57	-28.11	65.75	71.51	113	j29g
y50l	69.46	-41.25	49.92	64.75	130	j53g
y75l	61.32	-52.99	35.76	63.92	146	j76g
l00c	52.69	-65.44	20.75	68.65	162	g00b
l50c	56.55	-45.12	-16.57	48.07	200	g34b
c00v	59.61	-28.98	-46.22	54.56	238	g69b
c50v	43.33	-1.54	-45.13	45.16	268	g96b
v00m	28.39	23.63	-44.13	50.06	298	b23r
v50m	36.9	43.84	-30.24	53.26	325	b47r
m00o	49.58	73.93	-9.56	74.55	353	b71r
m50o	49.17	69.55	14.68	71.08	12	b88r



Ein und Ausgabe: Farbmatisches Drucker-Reflektiv-System ORS19_96a für relativen CIELAB-Bunton $h^* = lab^*h^* = h_{ab}/360 = 0.36$

Daten für jede Farbe:

lab^*ch^* und lab^*icu^*

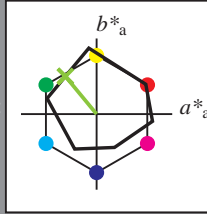
Buntontexte:

$u^*_d = y50l$ $u^*_e = j53g$

Kontrastreduzierungsfaktor:

$c_R = 1.0$

Dreiecks-Helligkeit t^*



ORS19_96a; adaptierte CIELAB-Daten

u^*_d	$L^*=L^*_a$	a^*_a	b^*_a	$C^*_{ab,a}$	$h^*_{ab,a}$
O _{Ma}	48.75	65.07	39.43	76.08	31
Y _{Ma}	90.92	-10.29	87.24	87.85	97
L _{Ma}	52.69	-65.44	20.75	68.65	162
C _{Ma}	59.61	-28.98	-46.22	54.56	238
V _{Ma}	28.39	23.63	-44.13	50.06	298
M _{Ma}	49.58	73.93	-9.56	74.55	353
N _{Ma}	18.89	0.0	0.0	0.0	0
W _{Ma}	96.9	0.0	0.0	0.0	0
O _{Ma}	39.92	58.74	27.99	65.07	25
Y _{Ma}	81.26	-2.89	71.56	71.62	92
L _{Ma}	52.23	-42.42	13.6	44.55	162
V _{Ma}	30.57	1.41	-46.47	46.49	272

Daten für Maximalfarbe (Ma):

$LAB^*LAB^*_{Ma}$: 69 -41 50

$LAB^*LCH^*_{Ma}$: 69 65 129

$lab^*olv^*_{Ma}$: 0.5 1.0 0.0

$lab^*rgb^*_{Ma}$: 0.47 1.0 0.0

Dreiecks-Helligkeit t^*

%Umfang

$u^*_{rel} = 89$

%Regularität

$g^*_{H,rel} = 72$

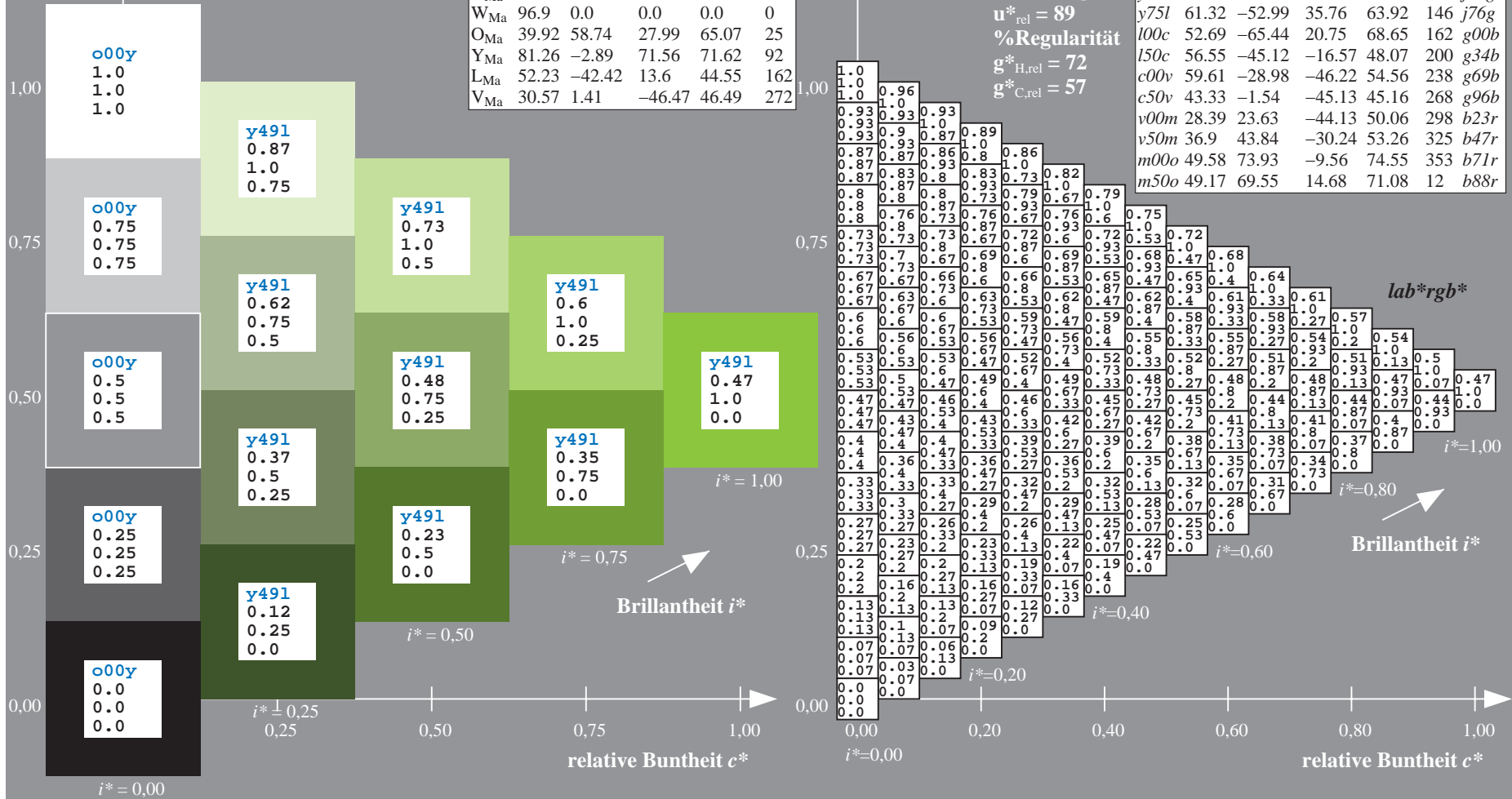
$g^*_{C,rel} = 57$

$u^*_d = y50l$

lab^*rgb^*

ORS19_96a; adaptierte CIELAB-Daten

u^*_d	$L^*=L^*_a$	a^*_a	b^*_a	$C^*_{ab,a}$	$h^*_{ab,a}$	u^*_e
o00y	48.75	65.07	39.43	76.08	31	r08j
o25y	59.04	46.67	51.1	69.21	48	r33j
o50y	68.32	30.09	61.62	68.58	64	r57j
o75y	78.23	12.39	72.85	73.9	80	r81j
y00l	90.92	-10.29	87.24	87.85	97	j06g
y25l	78.57	-28.11	65.75	71.51	113	j29g
y50l	69.46	-41.25	49.92	64.75	130	j53g
y75l	61.32	-52.99	35.76	63.92	146	j76g
l00c	52.69	-65.44	20.75	68.65	162	g00b
l50c	56.55	-45.12	-16.57	48.07	200	g34b
c00v	59.61	-28.98	-46.22	54.56	238	g69b
c50v	43.33	-1.54	-45.13	45.16	268	g96b
v00m	28.39	23.63	-44.13	50.06	298	b23r
v50m	36.9	43.84	-30.24	53.26	325	b47r
m00o	49.58	73.93	-9.56	74.55	353	b71r
m50o	49.17	69.55	14.68	71.08	12	b88r



Ein und Ausgabe: Farbmatisches Drucker-Reflektiv-System ORS19_96a für relativen CIELAB-Bunton $h^* = lab^*h^* = h_{ab}/360 = 0.406$

$u^*_d = y75l$

Daten für jede Farbe:

lab^*tch^* und lab^*icu^*

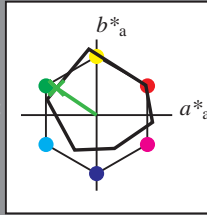
Buntontexte:

$u^*_d = y75l$ $u^*_e = j76g$

Kontrastreduzierungsfaktor:

$c_R = 1.0$

Dreiecks-Helligkeit t^*



ORS19_96a; adaptierte CIELAB-Daten

u^*_d	$L^*=L^*_a$	a^*_a	b^*_a	$C^*_{ab,a}$	$h^*_{ab,a}$
O _{Ma}	48.75	65.07	39.43	76.08	31
Y _{Ma}	90.92	-10.29	87.24	87.85	97
L _{Ma}	52.69	-65.44	20.75	68.65	162
C _{Ma}	59.61	-28.98	-46.22	54.56	238
V _{Ma}	28.39	23.63	-44.13	50.06	298
M _{Ma}	49.58	73.93	-9.56	74.55	353
N _{Ma}	18.89	0.0	0.0	0.0	0
W _{Ma}	96.9	0.0	0.0	0.0	0
O _{Ma}	39.92	58.74	27.99	65.07	25
Y _{Ma}	81.26	-2.89	71.56	71.62	92
L _{Ma}	52.23	-42.42	13.6	44.55	162
V _{Ma}	30.57	1.41	-46.47	46.49	272

Daten für Maximalfarbe (Ma):

$LAB^*LAB^*_{Ma}$: 61 -53 36

$LAB^*LCH^*_{Ma}$: 61 64 145

$lab^*olv^*_{Ma}$: 0.25 1.0 0.0

$lab^*rgb^*_{Ma}$: 0.23 1.0 0.0

Dreiecks-Helligkeit t^*

%Umfang

$u^*_{rel} = 89$

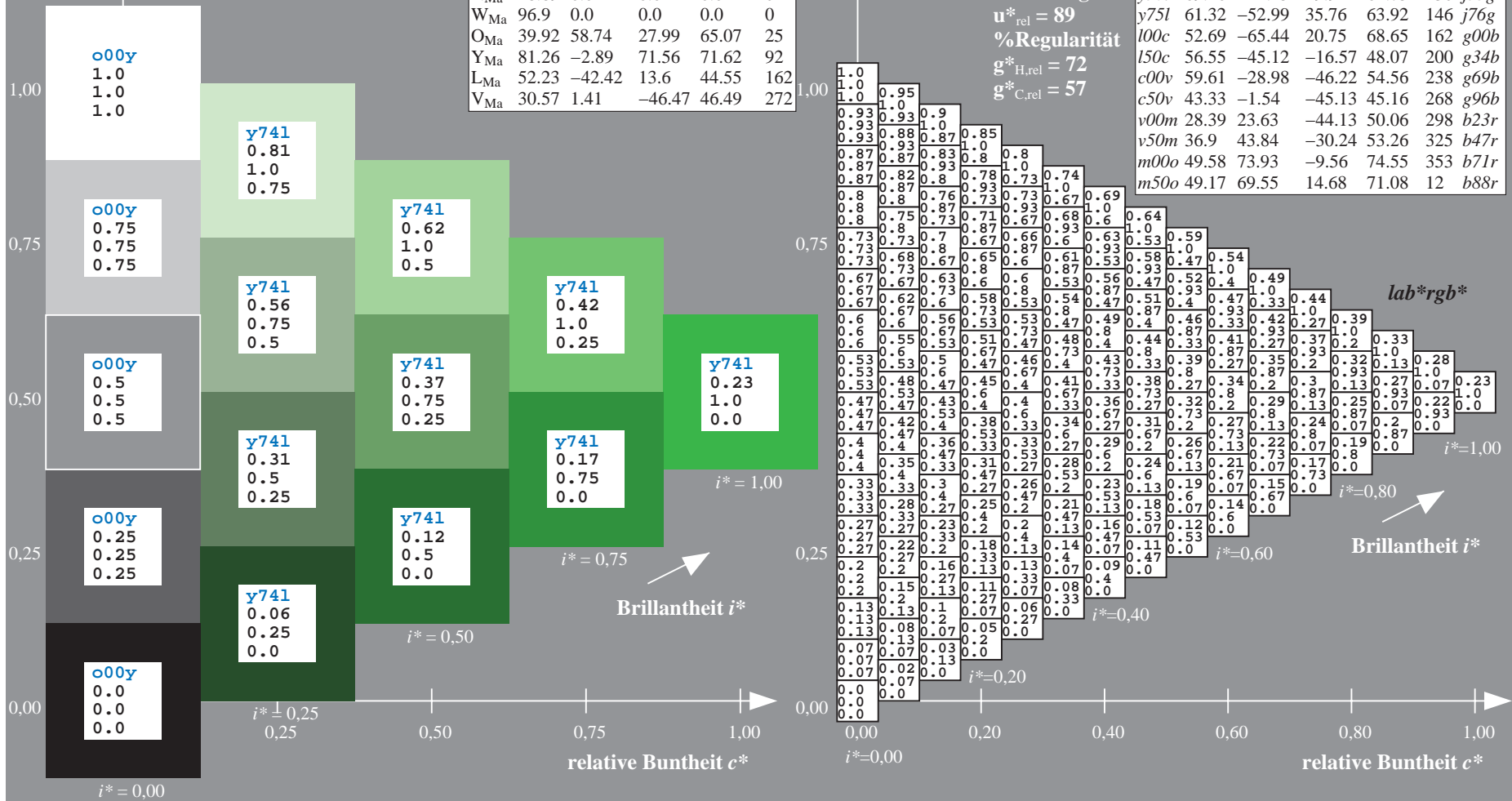
%Regularität

$g^*_{H,rel} = 72$

$g^*_{C,rel} = 57$

ORS19_96a; adaptierte CIELAB-Daten

u^*_d	$L^*=L^*_a$	a^*_a	b^*_a	$C^*_{ab,a}$	$h^*_{ab,a}$	u^*_e
o00y	48.75	65.07	39.43	76.08	31	r08j
o25y	59.04	46.67	51.1	69.21	48	r33j
o50y	68.32	30.09	61.62	68.58	64	r57j
o75y	78.23	12.39	72.85	73.9	80	r81j
y00l	90.92	-10.29	87.24	87.85	97	j06g
y25l	78.57	-28.11	65.75	71.51	113	j29g
y50l	69.46	-41.25	49.92	64.75	130	j53g
y75l	61.32	-52.99	35.76	63.92	146	j76g
l00c	52.69	-65.44	20.75	68.65	162	g00b
l50c	56.55	-45.12	-16.57	48.07	200	g34b
c00v	59.61	-28.98	-46.22	54.56	238	g69b
c50v	43.33	-1.54	-45.13	45.16	268	g96b
v00m	28.39	23.63	-44.13	50.06	298	b23r
v50m	36.9	43.84	-30.24	53.26	325	b47r
m00o	49.58	73.93	-9.56	74.55	353	b71r
m50o	49.17	69.55	14.68	71.08	12	b88r



Ein und Ausgabe: Farbmatisches Drucker-Reflektiv-System ORS19_96a für relativen CIELAB-Bunton $h^* = lab^*h^* = h_{ab}/360 = 0.451$

$u^*_d = 100c$

Daten für jede Farbe:

lab^*ch^* und lab^*icu^*

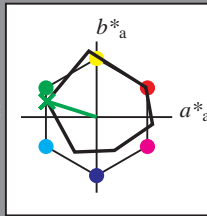
Buntontexte:

$u^*_d = 100c$ $u^*_e = g00b$

Kontrastreduzierungsfaktor:

$c_R = 1.0$

Dreiecks-Helligkeit t^*



ORS19_96a; adaptierte CIELAB-Daten

u^*_d	$L^*=L^*_a$	a^*_a	b^*_a	$C^*_{ab,a}$	$h^*_{ab,a}$
O _{Ma}	48.75	65.07	39.43	76.08	31
Y _{Ma}	90.92	-10.29	87.24	87.85	97
L _{Ma}	52.69	-65.44	20.75	68.65	162
C _{Ma}	59.61	-28.98	-46.22	54.56	238
V _{Ma}	28.39	23.63	-44.13	50.06	298
M _{Ma}	49.58	73.93	-9.56	74.55	353
N _{Ma}	18.89	0.0	0.0	0.0	0
W _{Ma}	96.9	0.0	0.0	0.0	0
O _{Ma}	39.92	58.74	27.99	65.07	25
Y _{Ma}	81.26	-2.89	71.56	71.62	92
L _{Ma}	52.23	-42.42	13.6	44.55	162
V _{Ma}	30.57	1.41	-46.47	46.49	272

Daten für Maximalfarbe (Ma):

$LAB^*LAB^*_{Ma}$: 53 -65 21

$LAB^*LCH^*_{Ma}$: 53 69 162

$lab^*olv^*_{Ma}$: 0.0 1.0 0.0

$lab^*rgb^*_{Ma}$: 0.0 1.0 0.0

Dreiecks-Helligkeit t^*

%Umfang

$u^*_{rel} = 89$

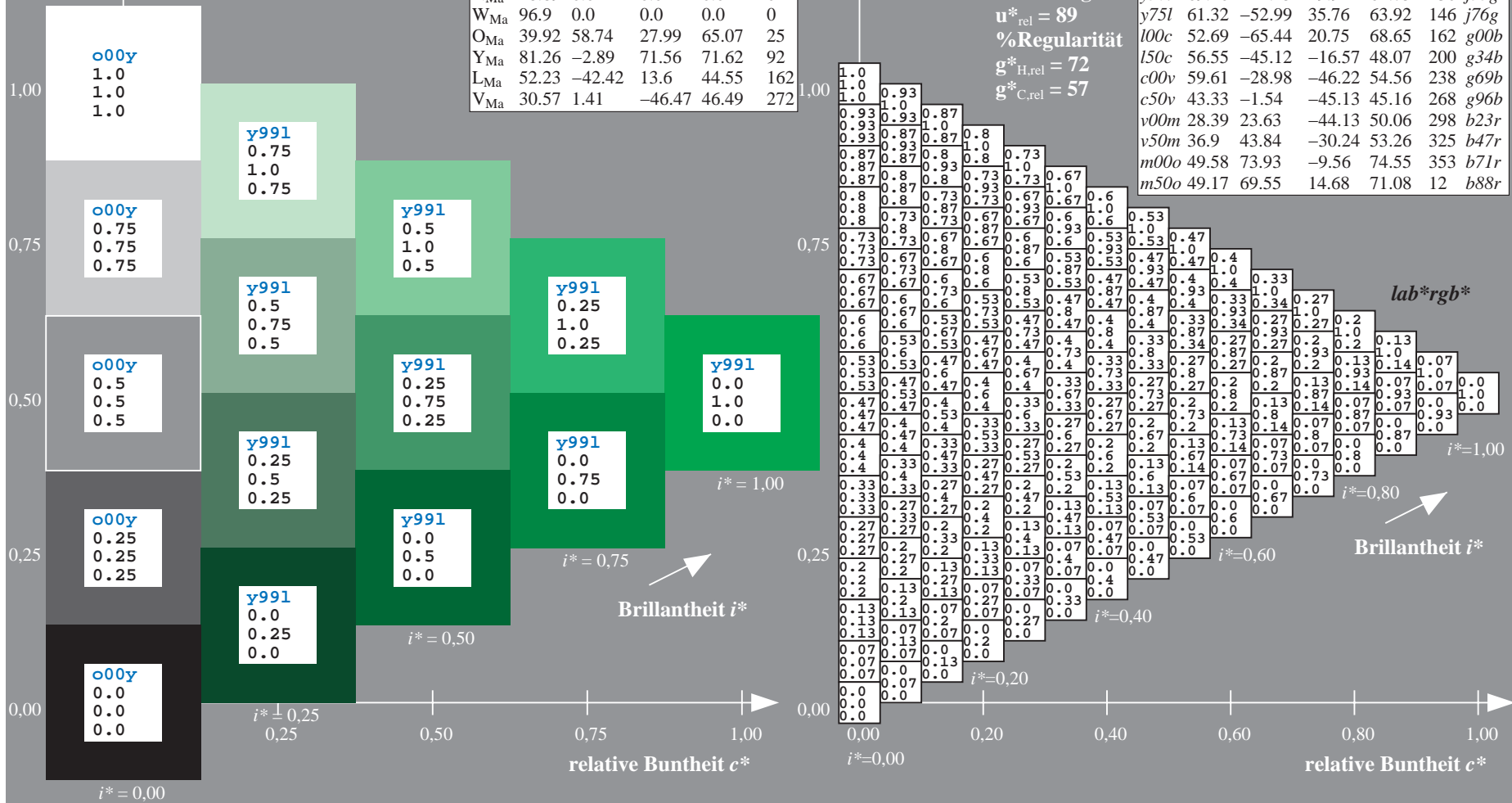
%Regularität

$g^*_{H,rel} = 72$

$g^*_{C,rel} = 57$

ORS19_96a; adaptierte CIELAB-Daten

u^*_d	$L^*=L^*_a$	a^*_a	b^*_a	$C^*_{ab,a}$	$h^*_{ab,a}$	u^*_e
o00y	48.75	65.07	39.43	76.08	31	r08j
o25y	59.04	46.67	51.1	69.21	48	r33j
o50y	68.32	30.09	61.62	68.58	64	r57j
o75y	78.23	12.39	72.85	73.9	80	r81j
y00l	90.92	-10.29	87.24	87.85	97	j06g
y25l	78.57	-28.11	65.75	71.51	113	j29g
y50l	69.46	-41.25	49.92	64.75	130	j53g
y75l	61.32	-52.99	35.76	63.92	146	j76g
l00c	52.69	-65.44	20.75	68.65	162	g00b
l50c	56.55	-45.12	-16.57	48.07	200	g34b
c00v	59.61	-28.98	-46.22	54.56	238	g69b
c50v	43.33	-1.54	-45.13	45.16	268	g96b
v00m	28.39	23.63	-44.13	50.06	298	b23r
v50m	36.9	43.84	-30.24	53.26	325	b47r
m00o	49.58	73.93	-9.56	74.55	353	b71r
m50o	49.17	69.55	14.68	71.08	12	b88r



Ein und Ausgabe: Farbmatisches Drucker-Reflektiv-System ORS19_96a für relativen CIELAB-Bunton $h^* = lab^*h^* = h_{ab}/360 = 0.556$

$u^*_d = 150c$

Daten für jede Farbe:

lab^*ch^* und lab^*icu^*

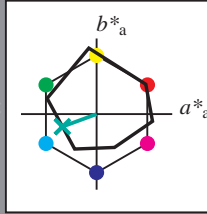
Buntontexte:

$u^*_d = 150c$ $u^*_e = g34b$

Kontrastreduzierungsfaktor:

$c_R = 1.0$

Dreiecks-Helligkeit t^*



ORS19_96a; adaptierte CIELAB-Daten

u^*_d	$L^*=L^*_a$	a^*_a	b^*_a	$C^*_{ab,a}$	$h^*_{ab,a}$
O _{Ma}	48.75	65.07	39.43	76.08	31
Y _{Ma}	90.92	-10.29	87.24	87.85	97
L _{Ma}	52.69	-65.44	20.75	68.65	162
C _{Ma}	59.61	-28.98	-46.22	54.56	238
V _{Ma}	28.39	23.63	-44.13	50.06	298
M _{Ma}	49.58	73.93	-9.56	74.55	353
N _{Ma}	18.89	0.0	0.0	0.0	0
W _{Ma}	96.9	0.0	0.0	0.0	0
O _{Ma}	39.92	58.74	27.99	65.07	25
Y _{Ma}	81.26	-2.89	71.56	71.62	92
L _{Ma}	52.23	-42.42	13.6	44.55	162
V _{Ma}	30.57	1.41	-46.47	46.49	272

Daten für Maximalfarbe (Ma):

$LAB^*LAB^*_{Ma}: 57 -45 -17$

$LAB^*LCH^*_{Ma}: 57 48 200$

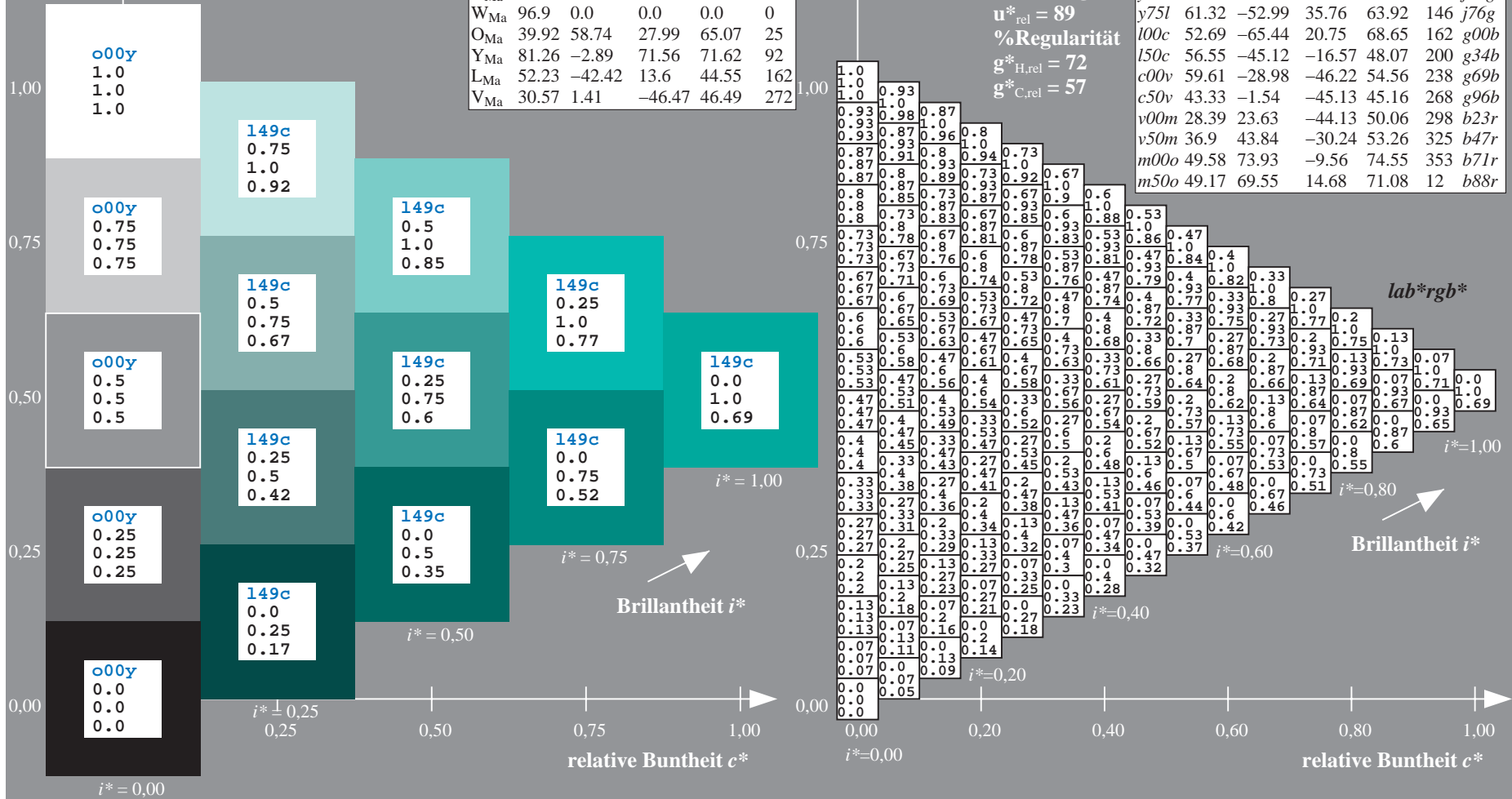
$lab^*olv^*_{Ma}: 0.0 1.0 0.5$

$lab^*rgb^*_{Ma}: 0.0 1.0 0.69$

Dreiecks-Helligkeit t^*

ORS19_96a; adaptierte CIELAB-Daten

u^*_d	$L^*=L^*_a$	a^*_a	b^*_a	$C^*_{ab,a}$	$h^*_{ab,a}$	u^*_e
o00y	48.75	65.07	39.43	76.08	31	r08j
o25y	59.04	46.67	51.1	69.21	48	r33j
o50y	68.32	30.09	61.62	68.58	64	r57j
o75y	78.23	12.39	72.85	73.9	80	r81j
y00l	90.92	-10.29	87.24	87.85	97	j06g
y25l	78.57	-28.11	65.75	71.51	113	j29g
y50l	69.46	-41.25	49.92	64.75	130	j53g
y75l	61.32	-52.99	35.76	63.92	146	j76g
l00c	52.69	-65.44	20.75	68.65	162	g00b
l50c	56.55	-45.12	-16.57	48.07	200	g34b
c00v	59.61	-28.98	-46.22	54.56	238	g69b
c50v	43.33	-1.54	-45.13	45.16	268	g96b
v00m	28.39	23.63	-44.13	50.06	298	b23r
v50m	36.9	43.84	-30.24	53.26	325	b47r
m00o	49.58	73.93	-9.56	74.55	353	b71r
m50o	49.17	69.55	14.68	71.08	12	b88r



Ein und Ausgabe: Farbmatisches Drucker-Reflektiv-System ORS19_96a für relativen CIELAB-Bunton $h^* = lab^*h^* = h_{ab}/360 = 0.661$

$u^*_d = c00v$

Daten für jede Farbe:

lab^*ch^* und lab^*icu^*

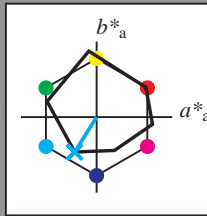
Buntontexte:

$u^*_d = c00v$ $u^*_e = g69b$

Kontrastreduzierungsfaktor:

$c_R = 1.0$

Dreiecks-Helligkeit t^*



ORS19_96a; adaptierte CIELAB-Daten

	u^*_d	$L^*=L^*_a$	a^*_a	b^*_a	$C^*_{ab,a}$	$h^*_{ab,a}$
O _{Ma}	48.75	65.07	39.43	76.08	31	
Y _{Ma}	90.92	-10.29	87.24	87.85	97	
L _{Ma}	52.69	-65.44	20.75	68.65	162	
C _{Ma}	59.61	-28.98	-46.22	54.56	238	
V _{Ma}	28.39	23.63	-44.13	50.06	298	
M _{Ma}	49.58	73.93	-9.56	74.55	353	
N _{Ma}	18.89	0.0	0.0	0.0	0	
W _{Ma}	96.9	0.0	0.0	0.0	0	
O _{Ma}	39.92	58.74	27.99	65.07	25	
Y _{Ma}	81.26	-2.89	71.56	71.62	92	
L _{Ma}	52.23	-42.42	13.6	44.55	162	
V _{Ma}	30.57	1.41	-46.47	46.49	272	

Daten für Maximalfarbe (Ma):

$LAB^*LAB^*_{Ma}$: 60 -29 -46

$LAB^*LCH^*_{Ma}$: 60 55 237

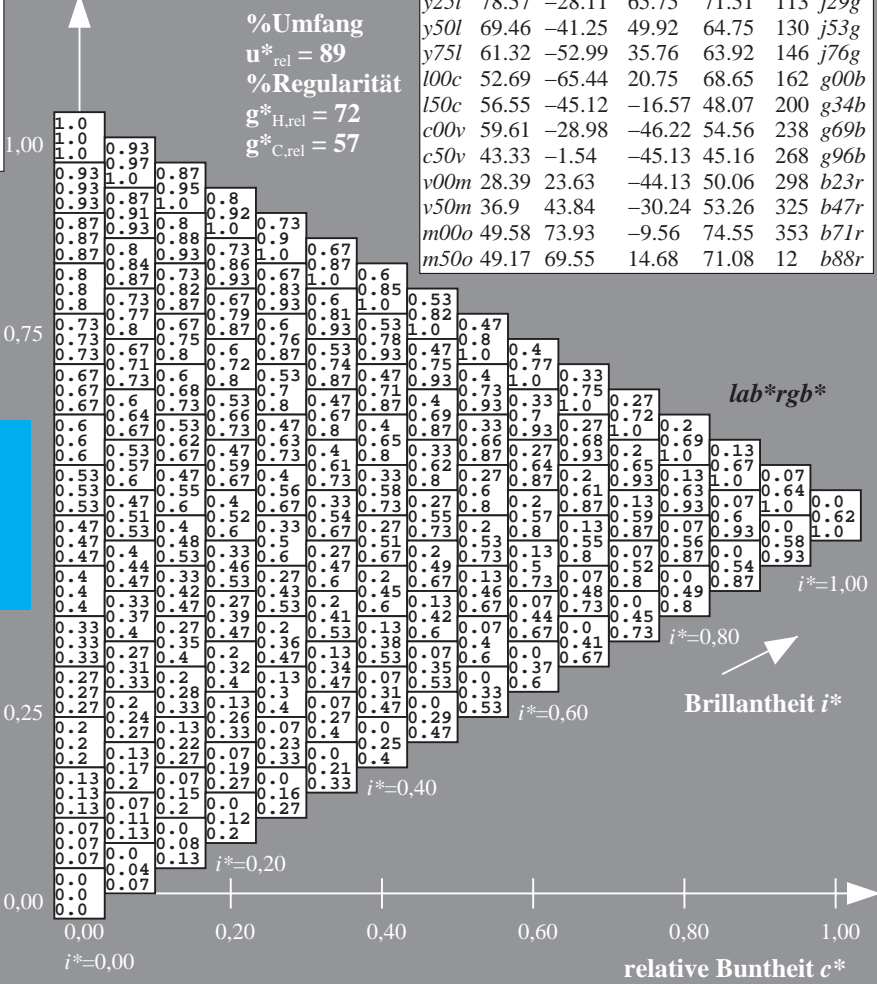
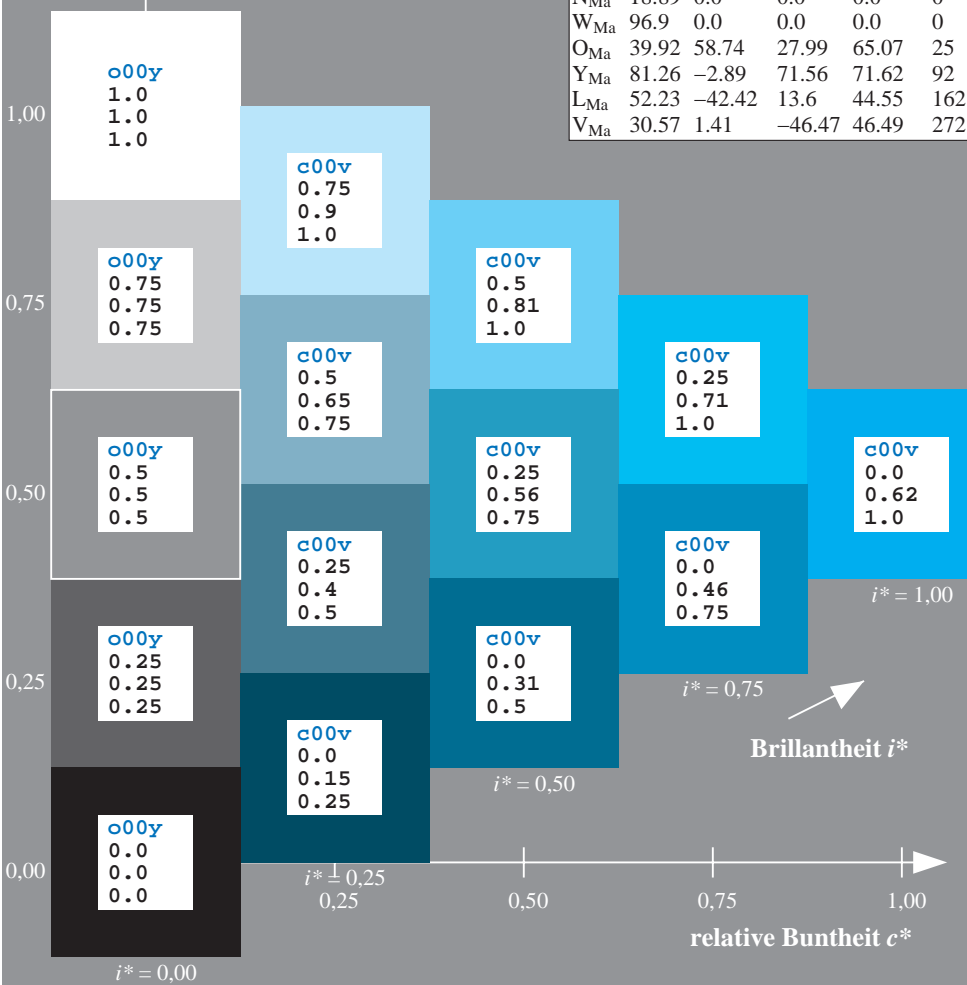
$lab^*olv^*_{Ma}$: 0.0 1.0 1.0

$lab^*rgb^*_{Ma}$: 0.0 0.62 1.0

Dreiecks-Helligkeit t^*

ORS19_96a; adaptierte CIELAB-Daten

	u^*_d	$L^*=L^*_a$	a^*_a	b^*_a	$C^*_{ab,a}$	$h^*_{ab,a}$	u^*_e
o00y	48.75	65.07	39.43	76.08	31		r08j
o25y	59.04	46.67	51.1	69.21	48		r33j
o50y	68.32	30.09	61.62	68.58	64		r57j
o75y	78.23	12.39	72.85	73.9	80		r81j
y00l	90.92	-10.29	87.24	87.85	97		j06g
y25l	78.57	-28.11	65.75	71.51	113		j29g
y50l	69.46	-41.25	49.92	64.75	130		j53g
y75l	61.32	-52.99	35.76	63.92	146		j76g
l00c	52.69	-65.44	20.75	68.65	162		g00b
l50c	56.55	-45.12	-16.57	48.07	200		g34b
c00v	59.61	-28.98	-46.22	54.56	238		g69b
c50v	43.33	-1.54	-45.13	45.16	268		g96b
v00m	28.39	23.63	-44.13	50.06	298		b23r
v50m	36.9	43.84	-30.24	53.26	325		b47r
m00o	49.58	73.93	-9.56	74.55	353		b71r
m50o	49.17	69.55	14.68	71.08	12		b88r



Ein und Ausgabe: Farbmatisches Drucker-Reflektiv-System ORS19_96a für relativen CIELAB-Bunton $h^* = \text{lab}^*h^* = h_{ab}/360 = 0.745$

Daten für jede Farbe:

lab^*tch^* und lab^*icu^*

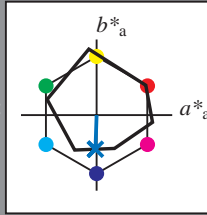
Buntontexte:

$u^*_d = c50v$ $u^*_e = g96b$

Kontrastreduzierungsfaktor:

$c_R = 1.0$

Dreiecks-Helligkeit t^*



ORS19_96a; adaptierte CIELAB-Daten

u^*_d	$L^*=L^*_a$	a^*_a	b^*_a	$C^*_{ab,a}$	$h^*_{ab,a}$
O _{Ma}	48.75	65.07	39.43	76.08	31
Y _{Ma}	90.92	-10.29	87.24	87.85	97
L _{Ma}	52.69	-65.44	20.75	68.65	162
C _{Ma}	59.61	-28.98	-46.22	54.56	238
V _{Ma}	28.39	23.63	-44.13	50.06	298
M _{Ma}	49.58	73.93	-9.56	74.55	353
N _{Ma}	18.89	0.0	0.0	0.0	0
W _{Ma}	96.9	0.0	0.0	0.0	0
O _{Ma}	39.92	58.74	27.99	65.07	25
Y _{Ma}	81.26	-2.89	71.56	71.62	92
L _{Ma}	52.23	-42.42	13.6	44.55	162
V _{Ma}	30.57	1.41	-46.47	46.49	272

Daten für Maximalfarbe (Ma):

$\text{LAB}^*\text{LAB}^*_{Ma}$: 43 -2 -45

$\text{LAB}^*\text{LCH}^*_{Ma}$: 43 45 268

$\text{lab}^*\text{olv}^*_{Ma}$: 0.0 0.5 1.0

$\text{lab}^*\text{rgb}^*_{Ma}$: 0.0 0.07 1.0

Dreiecks-Helligkeit t^*

%Umfang

$u^*_{rel} = 89$

%Regularität

$g^*_{H,rel} = 72$

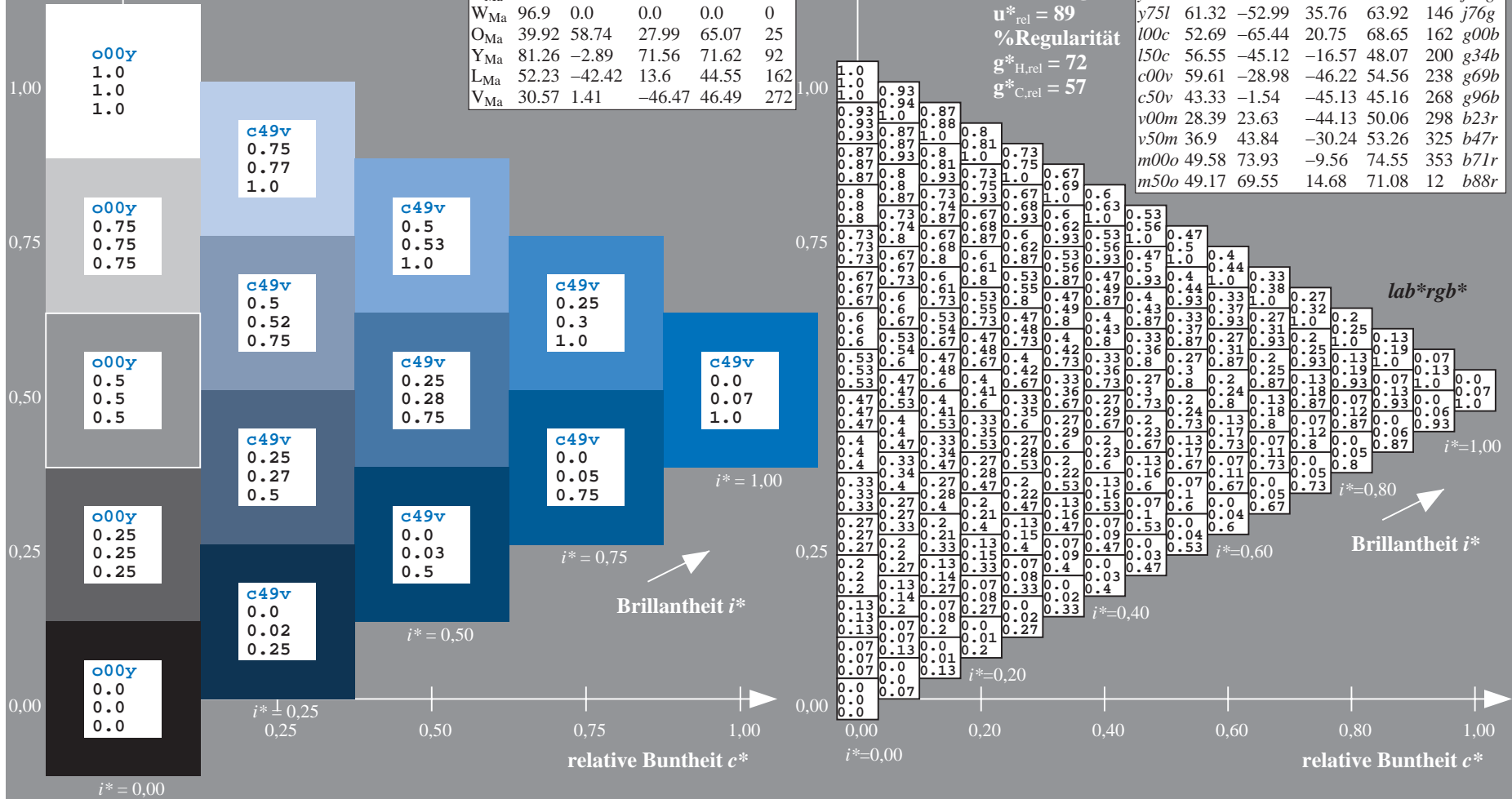
$g^*_{C,rel} = 57$

$u^*_d = c50v$

lab^*rgb^*

ORS19_96a; adaptierte CIELAB-Daten

u^*_d	$L^*=L^*_a$	a^*_a	b^*_a	$C^*_{ab,a}$	$h^*_{ab,a}$	u^*_e
o00y	48.75	65.07	39.43	76.08	31	r08j
o25y	59.04	46.67	51.1	69.21	48	r33j
o50y	68.32	30.09	61.62	68.58	64	r57j
o75y	78.23	12.39	72.85	73.9	80	r81j
y00l	90.92	-10.29	87.24	87.85	97	j06g
y25l	78.57	-28.11	65.75	71.51	113	j29g
y50l	69.46	-41.25	49.92	64.75	130	j53g
y75l	61.32	-52.99	35.76	63.92	146	j76g
l00c	52.69	-65.44	20.75	68.65	162	g00b
l50c	56.55	-45.12	-16.57	48.07	200	g34b
c00v	59.61	-28.98	-46.22	54.56	238	g69b
c50v	43.33	-1.54	-45.13	45.16	268	g96b
v00m	28.39	23.63	-44.13	50.06	298	b23r
v50m	36.9	43.84	-30.24	53.26	325	b47r
m00o	49.58	73.93	-9.56	74.55	353	b71r
m50o	49.17	69.55	14.68	71.08	12	b88r



Ein und Ausgabe: Farbmatisches Drucker-Reflektiv-System ORS19_96a für relativen CIELAB-Bunton $h^* = lab^*h^* = h_{ab}/360 = 0.828$

$u^*_d = v00m$

Daten für jede Farbe:

lab^*ch^* und lab^*icu^*

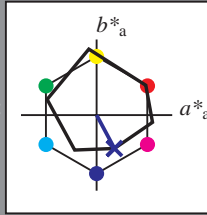
Buntontexte:

$u^*_d = v00m$ $u^*_e = b23r$

Kontrastreduzierungsfaktor:

$c_R = 1.0$

Dreiecks-Helligkeit t^*



ORS19_96a; adaptierte CIELAB-Daten

u^*_d	$L^*=L^*_a$	a^*_a	b^*_a	$C^*_{ab,a}$	$h^*_{ab,a}$
O _{Ma}	48.75	65.07	39.43	76.08	31
Y _{Ma}	90.92	-10.29	87.24	87.85	97
L _{Ma}	52.69	-65.44	20.75	68.65	162
C _{Ma}	59.61	-28.98	-46.22	54.56	238
V _{Ma}	28.39	23.63	-44.13	50.06	298
M _{Ma}	49.58	73.93	-9.56	74.55	353
N _{Ma}	18.89	0.0	0.0	0.0	0
W _{Ma}	96.9	0.0	0.0	0.0	0
O _{Ma}	39.92	58.74	27.99	65.07	25
Y _{Ma}	81.26	-2.89	71.56	71.62	92
L _{Ma}	52.23	-42.42	13.6	44.55	162
V _{Ma}	30.57	1.41	-46.47	46.49	272

Daten für Maximalfarbe (Ma):

$LAB^*LAB^*_{Ma}$: 28 24 -44

$LAB^*LCH^*_{Ma}$: 28 50 298

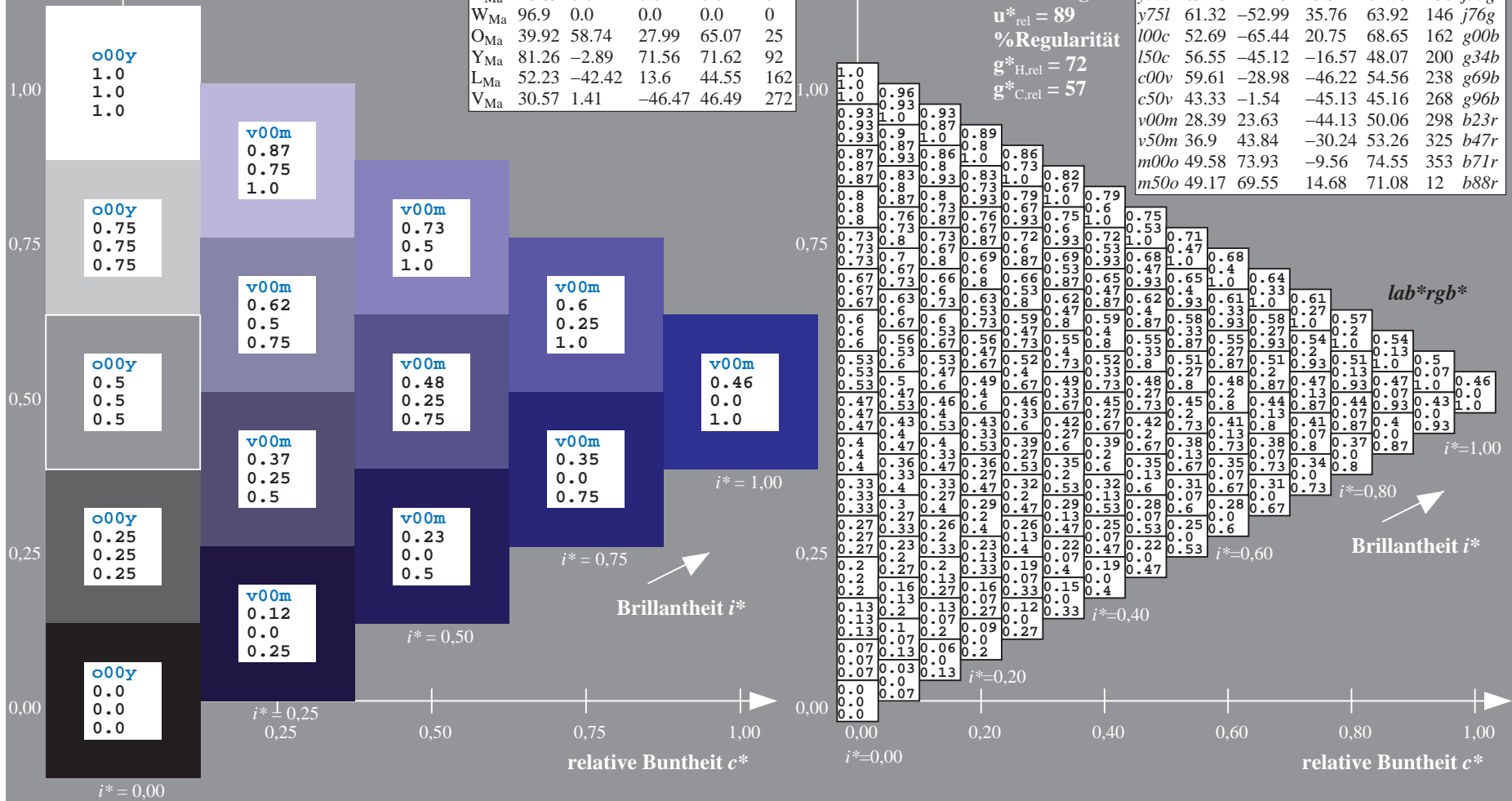
$lab^*olv^*_{Ma}$: 0.0 0.0 1.0

$lab^*rgb^*_{Ma}$: 0.46 0.0 1.0

Dreiecks-Helligkeit t^*

ORS19_96a; adaptierte CIELAB-Daten

u^*_d	$L^*=L^*_a$	a^*_a	b^*_a	$C^*_{ab,a}$	$h^*_{ab,a}$	u^*_e
o00y	48.75	65.07	39.43	76.08	31	r08j
o25y	59.04	46.67	51.1	69.21	48	r33j
o50y	68.32	30.09	61.62	68.58	64	r57j
o75y	78.23	12.39	72.85	73.9	80	r81j
y00l	90.92	-10.29	87.24	87.85	97	j06g
y25l	78.57	-28.11	65.75	71.51	113	j29g
y50l	69.46	-41.25	49.92	64.75	130	j53g
y75l	61.32	-52.99	35.76	63.92	146	j76g
l00c	52.69	-65.44	20.75	68.65	162	g00b
l50c	56.55	-45.12	-16.57	48.07	200	g34b
c00v	59.61	-28.98	-46.22	54.56	238	g69b
c50v	43.33	-1.54	-45.13	45.16	268	g96b
v00m	28.39	23.63	-44.13	50.06	298	b23r
v50m	36.9	43.84	-30.24	53.26	325	b47r
m00o	49.58	73.93	-9.56	74.55	353	b71r
m50o	49.17	69.55	14.68	71.08	12	b88r



%Umfang
 $u^*_{rel} = 89$
%Regularität
 $g^*_{H,rel} = 72$
 $g^*_{C,rel} = 57$

Ein und Ausgabe: Farbmatisches Drucker-Reflektiv-System ORS19_96a für relativen CIELAB-Bunton $h^* = \text{lab}^*h^* = h_{ab}/360 = 0.904$

$u^*_d = v50m$

Daten für jede Farbe:

lab^*tch^* und lab^*icu^*

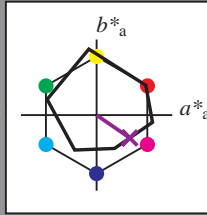
Buntontexte:

$u^*_d = v50m$ $u^*_e = b47r$

Kontrastreduzierungsfaktor:

$c_R = 1.0$

Dreiecks-Helligkeit t^*



ORS19_96a; adaptierte CIELAB-Daten

u^*_d	$L^*=L^*_a$	a^*_a	b^*_a	$C^*_{ab,a}$	$h^*_{ab,a}$
O _{Ma}	48.75	65.07	39.43	76.08	31
Y _{Ma}	90.92	-10.29	87.24	87.85	97
L _{Ma}	52.69	-65.44	20.75	68.65	162
C _{Ma}	59.61	-28.98	-46.22	54.56	238
V _{Ma}	28.39	23.63	-44.13	50.06	298
M _{Ma}	49.58	73.93	-9.56	74.55	353
N _{Ma}	18.89	0.0	0.0	0.0	0
W _{Ma}	96.9	0.0	0.0	0.0	0
O _{Ma}	39.92	58.74	27.99	65.07	25
Y _{Ma}	81.26	-2.89	71.56	71.62	92
L _{Ma}	52.23	-42.42	13.6	44.55	162
V _{Ma}	30.57	1.41	-46.47	46.49	272

Daten für Maximalfarbe (Ma):

$\text{LAB}^*\text{LAB}^*_{Ma}$: 37 44 -30

$\text{LAB}^*\text{LCH}^*_{Ma}$: 37 53 325

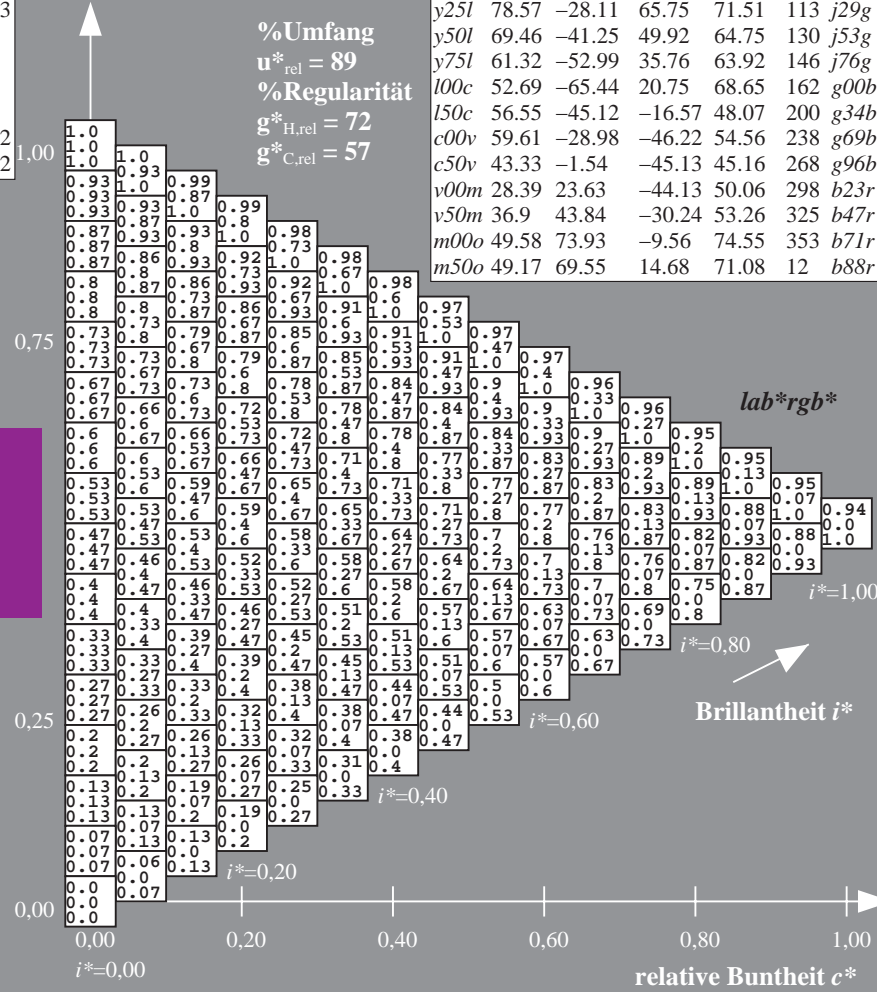
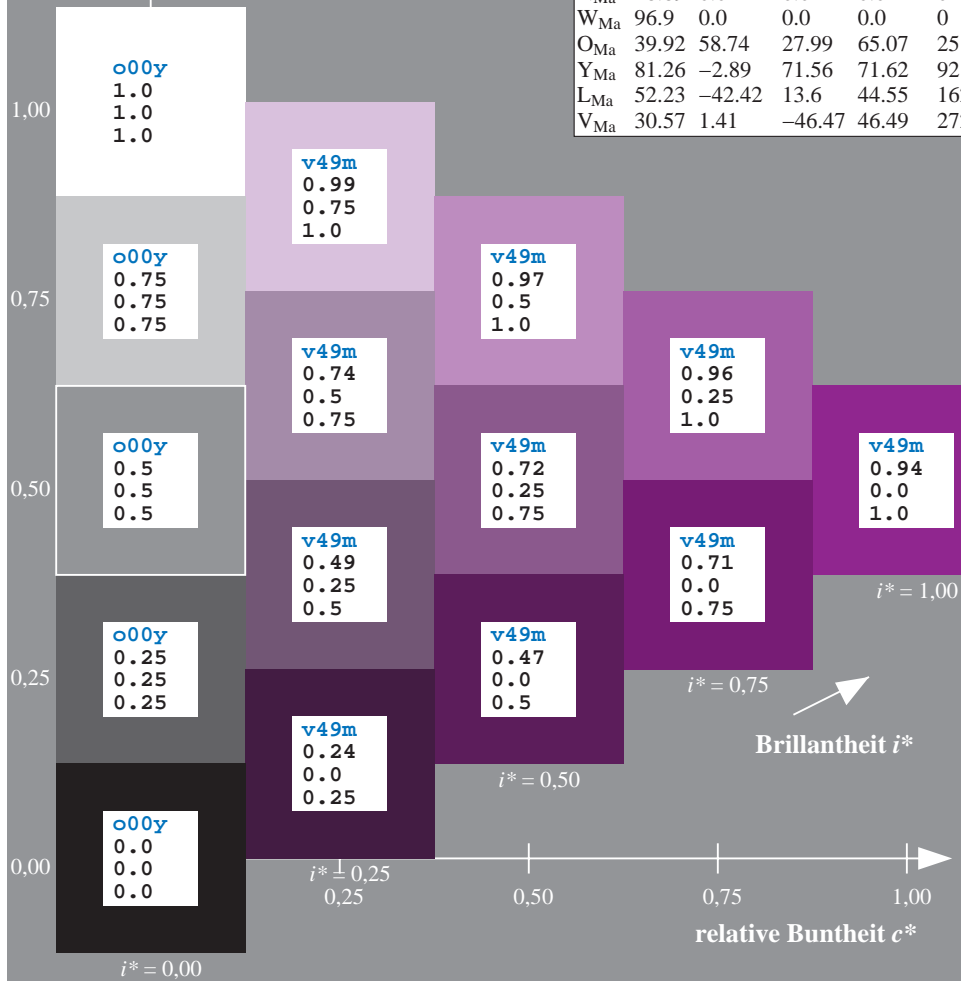
$\text{lab}^*\text{olv}^*_{Ma}$: 0.5 0.0 1.0

$\text{lab}^*\text{rgb}^*_{Ma}$: 0.94 0.0 1.0

Dreiecks-Helligkeit t^*

ORS19_96a; adaptierte CIELAB-Daten

u^*_d	$L^*=L^*_a$	a^*_a	b^*_a	$C^*_{ab,a}$	$h^*_{ab,a}$	u^*_e
o00y	48.75	65.07	39.43	76.08	31	r08j
o25y	59.04	46.67	51.1	69.21	48	r33j
o50y	68.32	30.09	61.62	68.58	64	r57j
o75y	78.23	12.39	72.85	73.9	80	r81j
y00l	90.92	-10.29	87.24	87.85	97	j06g
y25l	78.57	-28.11	65.75	71.51	113	j29g
y50l	69.46	-41.25	49.92	64.75	130	j53g
y75l	61.32	-52.99	35.76	63.92	146	j76g
l00c	52.69	-65.44	20.75	68.65	162	g00b
l50c	56.55	-45.12	-16.57	48.07	200	g34b
c00v	59.61	-28.98	-46.22	54.56	238	g69b
c50v	43.33	-1.54	-45.13	45.16	268	g96b
v00m	28.39	23.63	-44.13	50.06	298	b23r
v50m	36.9	43.84	-30.24	53.26	325	b47r
m00o	49.58	73.93	-9.56	74.55	353	b71r
m50o	49.17	69.55	14.68	71.08	12	b88r



%Umfang
 $u^*_{rel} = 89$
%Regularität
 $g^*_{H,rel} = 72$
 $g^*_{C,rel} = 57$

Brillantheit i^*

Brillantheit i^*

lab^*rgb^*

$i^* = 1.00$

$i^* = 0.80$

$i^* = 0.60$

$i^* = 0.40$

$i^* = 0.20$

$i^* = 0.00$

Ein und Ausgabe: Farbmatisches Drucker-Reflektiv-System ORS19_96a für relativen CIELAB-Bunton $h^* = lab^*h^* = h_{ab}/360 = 0.98$

$u^*_d = m00o$
 lab^*rgb^*

Daten für jede Farbe:

lab^*ch^* und lab^*icu^*

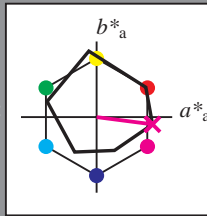
Buntontexte:

$u^*_d = m00o$ $u^*_e = b71r$

Kontrastreduzierungsfaktor:

$c_R = 1.0$

Dreiecks-Helligkeit t^*



ORS19_96a; adaptierte CIELAB-Daten

u^*_d	$L^*=L^*_a$	a^*_a	b^*_a	$C^*_{ab,a}$	$h^*_{ab,a}$
O _{Ma}	48.75	65.07	39.43	76.08	31
Y _{Ma}	90.92	-10.29	87.24	87.85	97
L _{Ma}	52.69	-65.44	20.75	68.65	162
C _{Ma}	59.61	-28.98	-46.22	54.56	238
V _{Ma}	28.39	23.63	-44.13	50.06	298
M _{Ma}	49.58	73.93	-9.56	74.55	353
N _{Ma}	18.89	0.0	0.0	0.0	0
W _{Ma}	96.9	0.0	0.0	0.0	0
O _{Ma}	39.92	58.74	27.99	65.07	25
Y _{Ma}	81.26	-2.89	71.56	71.62	92
L _{Ma}	52.23	-42.42	13.6	44.55	162
V _{Ma}	30.57	1.41	-46.47	46.49	272

Daten für Maximalfarbe (Ma):

$LAB^*LAB^*_{Ma}$: 50 74 -10

$LAB^*LCH^*_{Ma}$: 50 75 352

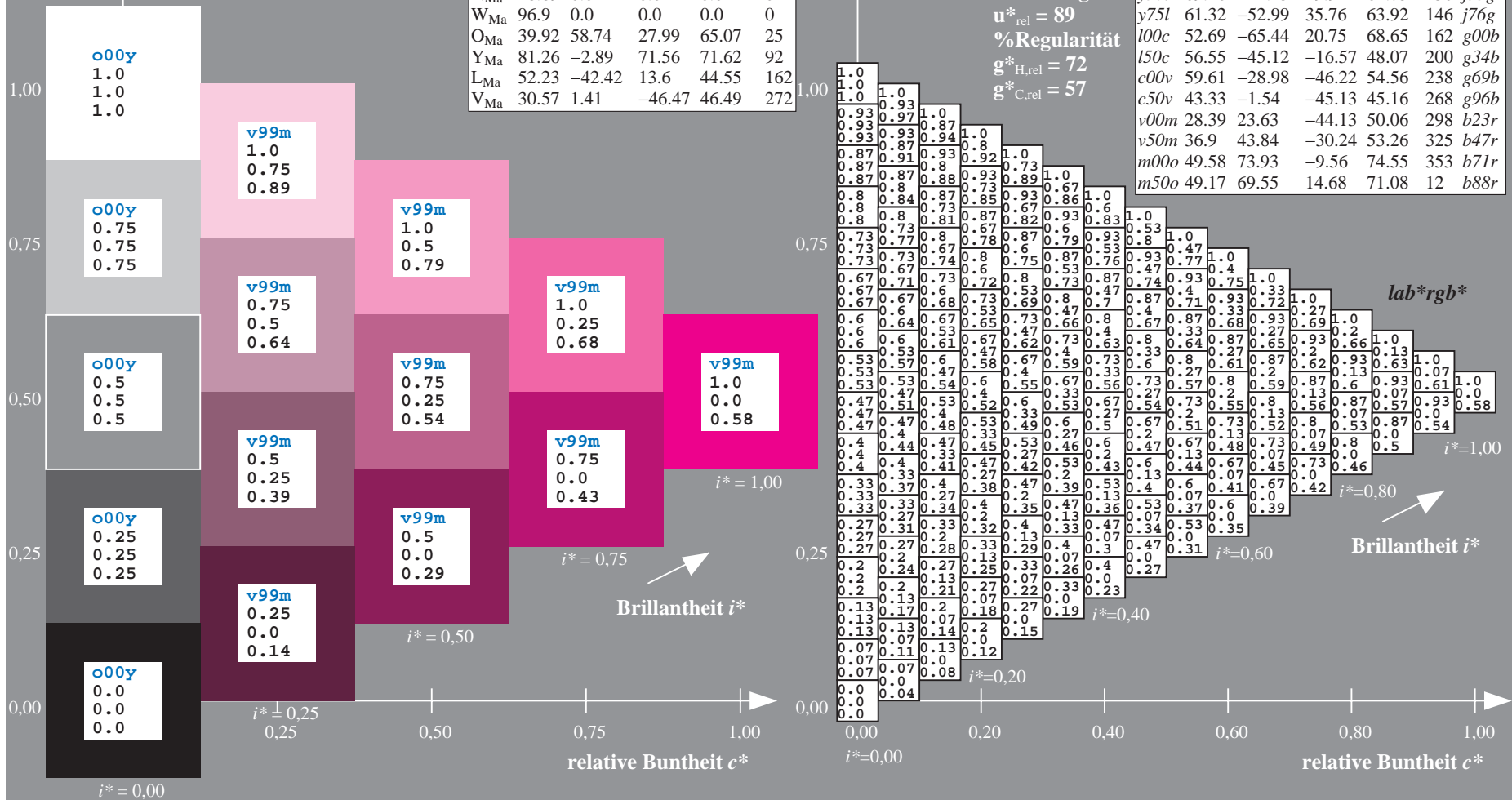
$lab^*olv^*_{Ma}$: 1.0 0.0 1.0

$lab^*rgb^*_{Ma}$: 1.0 0.0 0.58

Dreiecks-Helligkeit t^*

ORS19_96a; adaptierte CIELAB-Daten

u^*_d	$L^*=L^*_a$	a^*_a	b^*_a	$C^*_{ab,a}$	$h^*_{ab,a}$	u^*_e
o00y	48.75	65.07	39.43	76.08	31	r08j
o25y	59.04	46.67	51.1	69.21	48	r33j
o50y	68.32	30.09	61.62	68.58	64	r57j
o75y	78.23	12.39	72.85	73.9	80	r81j
y00l	90.92	-10.29	87.24	87.85	97	j06g
y25l	78.57	-28.11	65.75	71.51	113	j29g
y50l	69.46	-41.25	49.92	64.75	130	j53g
y75l	61.32	-52.99	35.76	63.92	146	j76g
l00c	52.69	-65.44	20.75	68.65	162	g00b
l50c	56.55	-45.12	-16.57	48.07	200	g34b
c00v	59.61	-28.98	-46.22	54.56	238	g69b
c50v	43.33	-1.54	-45.13	45.16	268	g96b
v00m	28.39	23.63	-44.13	50.06	298	b23r
v50m	36.9	43.84	-30.24	53.26	325	b47r
m00o	49.58	73.93	-9.56	74.55	353	b71r
m50o	49.17	69.55	14.68	71.08	12	b88r



Ein und Ausgabe: Farbmatisches Drucker-Reflektiv-System ORS19_96a für relativen CIELAB-Bunton $h^* = lab^*h^* = h_{ab}/360 = 0.033$

$u^*_d = m50o$

Daten für jede Farbe:

lab^*ch^* und lab^*icu^*

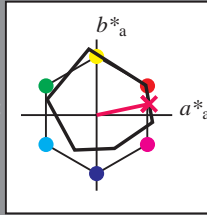
Buntontexte:

$u^*_d = m50o$ $u^*_e = b88r$

Kontrastreduzierungsfaktor:

$c_R = 1.0$

Dreiecks-Helligkeit t^*



ORS19_96a; adaptierte CIELAB-Daten

u^*_d	$L^*=L^*_a$	a^*_a	b^*_a	$C^*_{ab,a}$	$h^*_{ab,a}$
O _{Ma}	48.75	65.07	39.43	76.08	31
Y _{Ma}	90.92	-10.29	87.24	87.85	97
L _{Ma}	52.69	-65.44	20.75	68.65	162
C _{Ma}	59.61	-28.98	-46.22	54.56	238
V _{Ma}	28.39	23.63	-44.13	50.06	298
M _{Ma}	49.58	73.93	-9.56	74.55	353
N _{Ma}	18.89	0.0	0.0	0.0	0
W _{Ma}	96.9	0.0	0.0	0.0	0
O _{Ma}	39.92	58.74	27.99	65.07	25
Y _{Ma}	81.26	-2.89	71.56	71.62	92
L _{Ma}	52.23	-42.42	13.6	44.55	162
V _{Ma}	30.57	1.41	-46.47	46.49	272

Daten für Maximalfarbe (Ma):

$LAB^*LAB^*_{Ma}$: 49 70 15

$LAB^*LCH^*_{Ma}$: 49 71 11

$lab^*olv^*_{Ma}$: 1.0 0.0 0.5

$lab^*rgb^*_{Ma}$: 1.0 0.0 0.24

Dreiecks-Helligkeit t^*

%Umfang

$u^*_{rel} = 89$

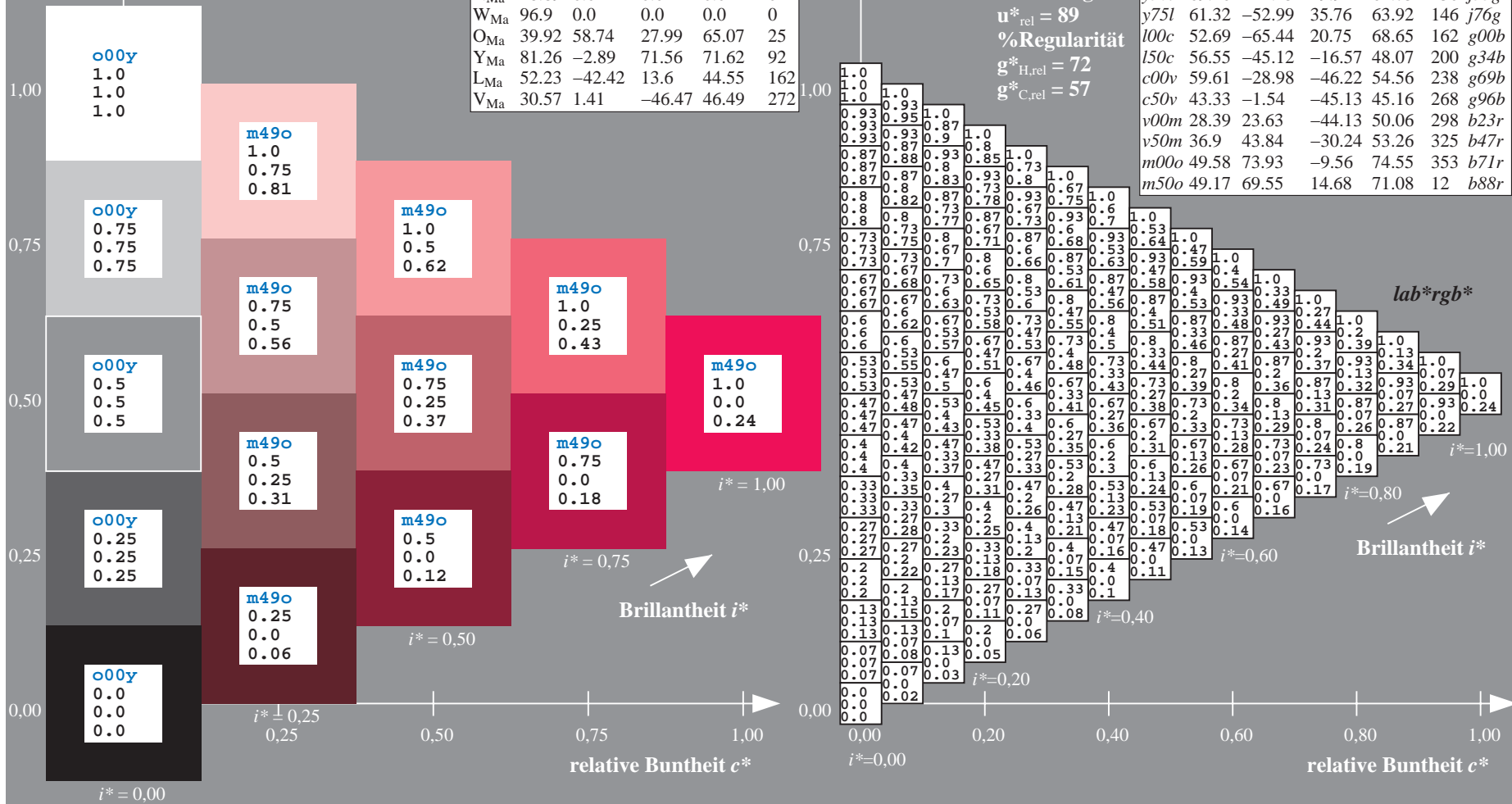
%Regularität

$g^*_{H,rel} = 72$

$g^*_{C,rel} = 57$

ORS19_96a; adaptierte CIELAB-Daten

u^*_d	$L^*=L^*_a$	a^*_a	b^*_a	$C^*_{ab,a}$	$h^*_{ab,a}$	u^*_e
o00y	48.75	65.07	39.43	76.08	31	r08j
o25y	59.04	46.67	51.1	69.21	48	r33j
o50y	68.32	30.09	61.62	68.58	64	r57j
o75y	78.23	12.39	72.85	73.9	80	r81j
y00l	90.92	-10.29	87.24	87.85	97	j06g
y25l	78.57	-28.11	65.75	71.51	113	j29g
y50l	69.46	-41.25	49.92	64.75	130	j53g
y75l	61.32	-52.99	35.76	63.92	146	j76g
l00c	52.69	-65.44	20.75	68.65	162	g00b
l50c	56.55	-45.12	-16.57	48.07	200	g34b
c00v	59.61	-28.98	-46.22	54.56	238	g69b
c50v	43.33	-1.54	-45.13	45.16	268	g96b
v00m	28.39	23.63	-44.13	50.06	298	b23r
v50m	36.9	43.84	-30.24	53.26	325	b47r
m00o	49.58	73.93	-9.56	74.55	353	b71r
m50o	49.17	69.55	14.68	71.08	12	b88r



	A	B	C	D	E	F	G	H	I	J	K	L	M	N	O	P	Q	R	S	T	U	V	W	X	Y	Z	a	b	c	d	e	f	g	h	i	j	k	lab*rgb*																
01	0.0	0.0	0.0	0.0	0.0	0.0	0.0	0.0	0.0	0.13	0.12	0.12	0.12	0.12	0.12	0.12	0.12	0.11	0.25	0.25	0.23	0.23	0.23	0.23	0.23	0.23	0.23	1.0	1.0	1.0	1.0	1.0	1.0	1.0	1.0	1.0	1.0	0.0	0.0	0.0	0.0													
02	0.0	0.13	0.25	0.38	0.5	0.63	0.75	0.88	1.0	0.01	0.13	0.25	0.38	0.5	0.63	0.75	0.88	1.0	0.02	0.14	0.25	0.38	0.5	0.63	0.75	0.88	1.0	1.0	1.0	1.0	1.0	1.0	1.0	1.0	1.0	1.0	0.43	0.31	0.2	0.09	0.0	0.0	0.0	0.0										
03	0.06	0.0	0.0	0.0	0.0	0.0	0.0	0.0	0.0	0.0	0.0	0.0	0.0	0.0	0.0	0.0	0.0	0.0	0.0	0.0	0.0	0.0	0.0	0.0	0.0	0.0	0.0	0.0	0.0	0.0	0.0	0.0	0.0	0.0	0.0	0.0	0.0	0.0	0.0	0.0	0.0	0.0	0.0	0.0	0.0	0.0								
04	0.0	0.08	0.25	0.38	0.5	0.63	0.75	0.88	1.0	0.0	0.13	0.25	0.38	0.5	0.63	0.75	0.88	1.0	0.0	0.14	0.25	0.38	0.5	0.63	0.75	0.88	1.0	1.0	1.0	1.0	1.0	1.0	1.0	1.0	1.0	1.0	1.0	1.0	1.0	1.0	1.0	1.0	1.0	1.0	1.0	1.0	1.0	1.0	1.0	1.0				
05	0.13	0.13	0.17	0.17	0.17	0.17	0.17	0.18	0.18	0.07	0.13	0.13	0.13	0.13	0.13	0.13	0.13	0.13	0.13	0.06	0.13	0.13	0.13	0.13	0.13	0.13	0.13	1.0	1.0	1.0	1.0	1.0	1.0	1.0	1.0	1.0	1.0	1.0	1.0	1.0	1.0	1.0	1.0	1.0	1.0	1.0	1.0	1.0	1.0	1.0				
06	0.12	0.0	0.0	0.0	0.0	0.0	0.0	0.0	0.0	0.24	0.18	0.13	0.13	0.13	0.13	0.13	0.13	0.13	0.25	0.25	0.25	0.25	0.25	0.25	0.25	0.25	0.25	0.25	0.25	0.25	0.25	0.25	0.25	0.25	0.25	0.25	0.25	0.25	0.25	0.25	0.25	0.25	0.25	0.25	0.25	0.25	0.25	0.25	0.25	0.25				
07	0.0	0.02	0.15	0.38	0.5	0.63	0.75	0.88	1.0	0.0	0.13	0.2	0.38	0.5	0.63	0.75	0.88	1.0	0.0	0.13	0.25	0.38	0.5	0.63	0.75	0.88	1.0	1.0	1.0	1.0	1.0	1.0	1.0	1.0	1.0	1.0	1.0	1.0	1.0	1.0	1.0	1.0	1.0	1.0	1.0	1.0	1.0	1.0	1.0	1.0	1.0			
08	0.25	0.25	0.25	0.35	0.35	0.35	0.35	0.35	0.35	0.25	0.25	0.25	0.3	0.3	0.3	0.3	0.3	0.3	0.14	0.2	0.25	0.25	0.25	0.25	0.25	0.25	0.25	1.0	1.0	1.0	1.0	1.0	1.0	1.0	1.0	1.0	1.0	1.0	1.0	1.0	1.0	1.0	1.0	1.0	1.0	1.0	1.0	1.0	1.0	1.0	1.0			
09	0.17	0.04	0.0	0.0	0.0	0.0	0.0	0.0	0.0	0.29	0.24	0.13	0.13	0.13	0.13	0.13	0.13	0.13	0.36	0.31	0.25	0.25	0.25	0.25	0.25	0.25	0.25	0.25	0.25	0.25	0.25	0.25	0.25	0.25	0.25	0.25	0.25	0.25	0.25	0.25	0.25	0.25	0.25	0.25	0.25	0.25	0.25	0.25	0.25	0.25	0.25			
10	0.0	0.0	0.09	0.23	0.48	0.63	0.75	0.88	1.0	0.0	0.13	0.14	0.28	0.5	0.63	0.75	0.88	1.0	0.0	0.13	0.25	0.38	0.5	0.63	0.75	0.88	1.0	1.0	1.0	1.0	1.0	1.0	1.0	1.0	1.0	1.0	1.0	1.0	1.0	1.0	1.0	1.0	1.0	1.0	1.0	1.0	1.0	1.0	1.0	1.0	1.0	1.0		
11	0.38	0.38	0.38	0.38	0.5	0.52	0.52	0.52	0.52	0.38	0.38	0.38	0.38	0.38	0.47	0.47	0.47	0.47	0.34	0.38	0.38	0.38	0.38	0.38	0.38	0.38	1.0	1.0	1.0	1.0	1.0	1.0	1.0	1.0	1.0	1.0	1.0	1.0	1.0	1.0	1.0	1.0	1.0	1.0	1.0	1.0	1.0	1.0	1.0	1.0	1.0			
12	0.23	0.1	0.0	0.0	0.0	0.0	0.0	0.0	0.35	0.3	0.17	0.13	0.13	0.13	0.13	0.13	0.13	0.13	0.47	0.42	0.37	0.25	0.25	0.25	0.25	0.25	0.25	0.25	0.25	0.25	0.25	0.25	0.25	0.25	0.25	0.25	0.25	0.25	0.25	0.25	0.25	0.25	0.25	0.25	0.25	0.25	0.25	0.25	0.25	0.25				
13	0.0	0.0	0.03	0.17	0.31	0.56	0.75	0.88	1.0	0.0	0.13	0.13	0.22	0.36	0.61	0.75	0.88	1.0	0.0	0.13	0.25	0.4	0.63	0.75	0.88	1.0	1.0	1.0	1.0	1.0	1.0	1.0	1.0	1.0	1.0	1.0	1.0	1.0	1.0	1.0	1.0	1.0	1.0	1.0	1.0	1.0	1.0	1.0	1.0	1.0	1.0			
14	0.5	0.5	0.5	0.5	0.5	0.63	0.69	0.69	0.69	0.5	0.5	0.5	0.5	0.5	0.5	0.63	0.64	0.64	0.65	0.5	0.5	0.5	0.5	0.5	0.5	0.5	0.5	1.0	1.0	1.0	1.0	1.0	1.0	1.0	1.0	1.0	1.0	1.0	1.0	1.0	1.0	1.0	1.0	1.0	1.0	1.0	1.0	1.0	1.0	1.0	1.0			
15	0.29	0.16	0.03	0.0	0.0	0.0	0.0	0.0	0.41	0.36	0.22	0.13	0.13	0.13	0.13	0.13	0.13	0.13	0.53	0.48	0.42	0.29	0.25	0.25	0.25	0.25	0.25	0.25	0.25	0.25	0.25	0.25	0.25	0.25	0.25	0.25	0.25	0.25	0.25	0.25	0.25	0.25	0.25	0.25	0.25	0.25	0.25	0.25	0.25	0.25				
16	0.0	0.0	0.0	0.11	0.25	0.39	0.64	0.88	1.0	0.0	0.13	0.13	0.16	0.3	0.43	0.68	0.88	1.0	0.0	0.13	0.25	0.34	0.48	0.73	0.88	1.0	1.0	1.0	1.0	1.0	1.0	1.0	1.0	1.0	1.0	1.0	1.0	1.0	1.0	1.0	1.0	1.0	1.0	1.0	1.0	1.0	1.0	1.0	1.0	1.0	1.0			
17	0.63	0.63	0.63	0.63	0.63	0.63	0.63	0.63	0.63	0.63	0.63	0.63	0.63	0.63	0.63	0.63	0.63	0.63	0.63	0.63	0.63	0.63	0.63	0.63	0.63	0.63	1.0	1.0	1.0	1.0	1.0	1.0	1.0	1.0	1.0	1.0	1.0	1.0	1.0	1.0	1.0	1.0	1.0	1.0	1.0	1.0	1.0	1.0	1.0	1.0	1.0	1.0		
18	0.35	0.22	0.08	0.0	0.0	0.0	0.0	0.0	0.47	0.42	0.28	0.15	0.13	0.13	0.13	0.13	0.13	0.13	0.59	0.54	0.48	0.35	0.25	0.25	0.25	0.25	0.25	0.25	0.25	0.25	0.25	0.25	0.25	0.25	0.25	0.25	0.25	0.25	0.25	0.25	0.25	0.25	0.25	0.25	0.25	0.25	0.25	0.25	0.25	0.25	0.25			
19	0.0	0.0	0.0	0.05	0.19	0.33	0.46	0.71	0.96	0.0	0.13	0.13	0.13	0.13	0.24	0.37	0.51	0.76	1.0	0.0	0.13	0.25	0.28	0.42	0.56	0.81	1.0	1.0	1.0	1.0	1.0	1.0	1.0	1.0	1.0	1.0	1.0	1.0	1.0	1.0	1.0	1.0	1.0	1.0	1.0	1.0	1.0	1.0	1.0	1.0	1.0			
20	0.75	0.75	0.75	0.75	0.75	0.75	0.75	0.75	0.75	0.75	0.75	0.75	0.75	0.75	0.75	0.75	0.75	0.75	0.75	0.75	0.75	0.75	0.75	0.75	0.75	0.75	1.0	1.0	1.0	1.0	1.0	1.0	1.0	1.0	1.0	1.0	1.0	1.0	1.0	1.0	1.0	1.0	1.0	1.0	1.0	1.0	1.0	1.0	1.0	1.0	1.0	1.0		
21	0.41	0.27	0.14	0.01	0.0	0.0	0.0	0.0	0.53	0.47	0.34	0.21	0.13	0.13	0.13	0.13	0.13	0.13	0.65	0.59	0.54	0.41	0.28	0.25	0.25	0.25	0.25	0.25	0.25	0.25	0.25	0.25	0.25	0.25	0.25	0.25	0.25	0.25	0.25	0.25	0.25	0.25	0.25	0.25	0.25	0.25	0.25	0.25	0.25	0.25	0.25			
22	0.0	0.0	0.0	0.0	0.13	0.27	0.4	0.54	0.79	0.0	0.13	0.13	0.13	0.18	0.31	0.45	0.59	0.84	0.0	0.13	0.25	0.28	0.36	0.5	0.64	0.89	1.0	1.0	1.0	1.0	1.0	1.0	1.0	1.0	1.0	1.0	1.0	1.0	1.0	1.0	1.0	1.0	1.0	1.0	1.0	1.0	1.0	1.0	1.0	1.0	1.0	1.0		
23	0.88	0.88	0.88	0.88	0.88	0.88	0.88	0.88	0.88	0.88	0.88	0.88	0.88	0.88	0.88	0.88	0.88	0.88	0.88	0.88	0.88	0.88	0.88	0.88	0.88	0.88	1.0	1.0	1.0	1.0	1.0	1.0	1.0	1.0	1.0	1.0	1.0	1.0	1.0	1.0	1.0	1.0	1.0	1.0	1.0	1.0	1.0	1.0	1.0	1.0	1.0	1.0	1.0	1.0
24	0.46	0.33	0.2	0.07	0.0	0.0	0.0	0.0	0.58	0.53	0.4	0.27	0.13	0.13	0.13	0.13	0.13	0.13	0.7	0.65	0.6	0.47	0.33	0.25	0.25	0.25	0.25	0.25	0.25	0.25	0.25	0.25	0.25	0.25	0.25	0.25	0.25	0.25	0.25	0.25	0.25	0.25	0.25	0.25	0.25	0.25	0.25	0.25	0.25	0.25	0.25			
25	0.0	0.0	0.0	0.0	0.07	0.21	0.34	0.48	0.62	0.8	0.13	0.13	0.13	0.13	0.25	0.39	0.53	0.67	0.0	0.13	0.25	0.25	0.3	0.44	0.58	0.71	0.84	1.0	1.0	1.0	1.0	1.0	1.0	1.0	1.0	1.0	1.0	1.0	1.0	1.0	1.0	1.0	1.0	1.0	1.0	1.0	1.0	1.0	1.0	1.0	1.0	1.0		
26	0.0	0.0	0.0	0.0	0.0	0.0	0.0	0.0	0.0	0.0	0.0	0.0	0.0	0.0	0.0	0.0	0.0	0.0	0.0	0.0	0.0	0.0	0.0	0.0	0.0	0.0	1.0	1.0	1.0	1.0	1.0	1.0	1.0	1.0	1.0	1.0	1.0	1.0	1.0	1.0	1.0	1.0	1.0	1.0	1.0	1.0	1.0	1.0	1.0	1.0	1.0	1.0	1.0	1.0
27	0.38	0.38	0.38	0.35	0.35	0.35	0.35	0.35	0.35	0.5	0.5	0.5	0.5	0.5	0.47	0.47	0.47	0.47	0.63	0.63	0.63	0.63	0.63	0.63	0.63	0.63	1.0	1.0	1.0	1.0	1.0	1.0	1.0	1.0	1.0	1.0	1.0	1.0	1.0	1.0	1.0	1.0	1.0	1.0	1.0	1.0	1.0	1.0	1.0	1.0	1.0	1.0	1.0	
28	0.03	0.15	0.27	0.38	0.5	0.63	0.75	0.88	1.0	0.04	0.17	0.29	0.41	0.5	0.63	0.75	0.88	1.0	0.05	0.18	0.3	0.42	0.54	0.63	0																													

Ein und Ausgabe:
 Farbmetrisches Drucker-Reflektiv-System ORS19_96a

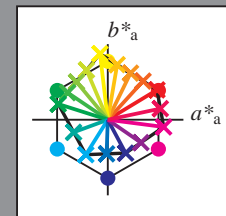
Daten für jede Farbe:
 u^*_d und Nummer *Nr.* = 00 .. 15

Geräte-Bunttextext:
 $u^*_d = 16$ Bunttoene *o00y, o25y, ..., m50o*

Kontrastreduzierungsfaktor:
 $c_R = 1.0$

ORS19_96a; adaptierte CIELAB-Daten

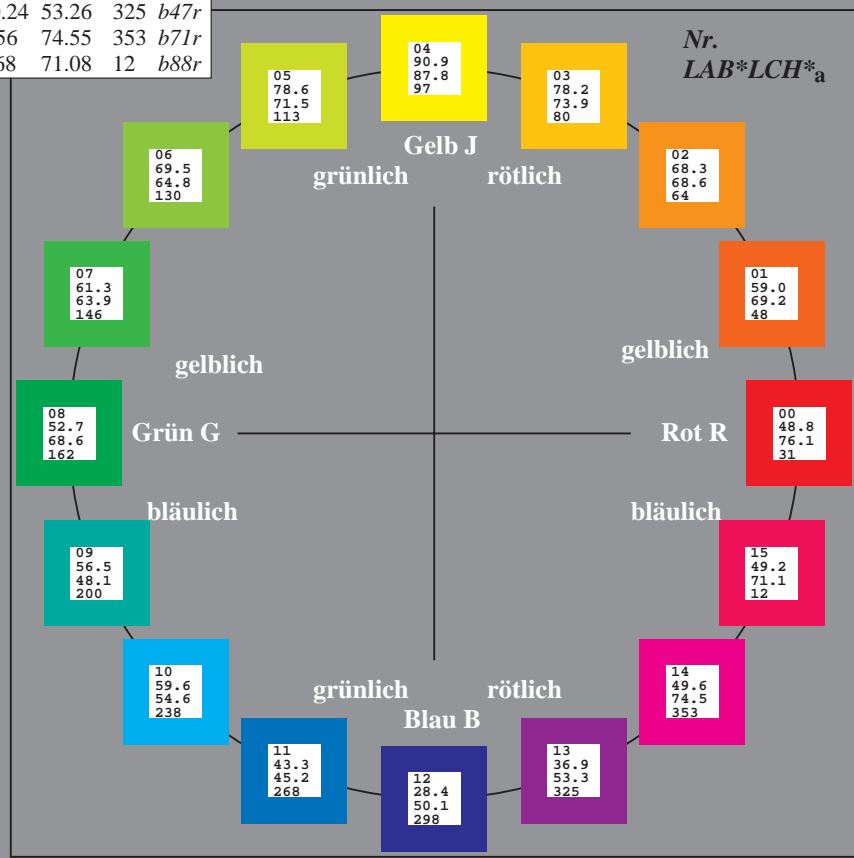
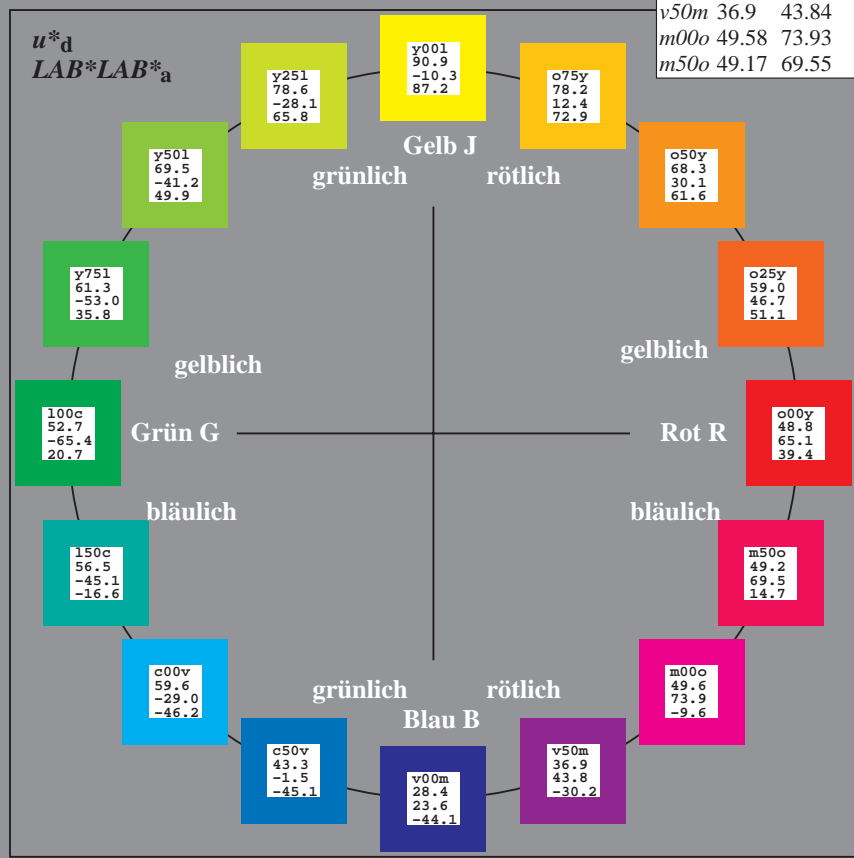
u^*_d	$L^*=L^*_a$	a^*_a	b^*_a	$C^*_{ab,a}$	$h^*_{ab,a}$	u^*_e
<i>o00y</i>	48.75	65.07	39.43	76.08	31	<i>r08j</i>
<i>o25y</i>	59.04	46.67	51.1	69.21	48	<i>r33j</i>
<i>o50y</i>	68.32	30.09	61.62	68.58	64	<i>r57j</i>
<i>o75y</i>	78.23	12.39	72.85	73.9	80	<i>r81j</i>
<i>y00l</i>	90.92	-10.29	87.24	87.85	97	<i>j06g</i>
<i>y25l</i>	78.57	-28.11	65.75	71.51	113	<i>j29g</i>
<i>y50l</i>	69.46	-41.25	49.92	64.75	130	<i>j53g</i>
<i>y75l</i>	61.32	-52.99	35.76	63.92	146	<i>j76g</i>
<i>l00c</i>	52.69	-65.44	20.75	68.65	162	<i>g00b</i>
<i>l50c</i>	56.55	-45.12	-16.57	48.07	200	<i>g34b</i>
<i>c00v</i>	59.61	-28.98	-46.22	54.56	238	<i>g69b</i>
<i>c50v</i>	43.33	-1.54	-45.13	45.16	268	<i>g96b</i>
<i>v00m</i>	28.39	23.63	-44.13	50.06	298	<i>b23r</i>
<i>y50m</i>	36.9	43.84	-30.24	53.26	325	<i>b47r</i>
<i>m00o</i>	49.58	73.93	-9.56	74.55	353	<i>b71r</i>
<i>m50o</i>	49.17	69.55	14.68	71.08	12	<i>b88r</i>



%Umfang
 $u^*_{rel} = 89$
 %Regularität
 $g^*_{H,rel} = 72$
 $g^*_{C,rel} = 57$

ORS19_96a; adaptierte CIELAB-Daten

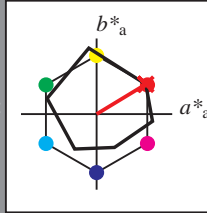
Name	$L^*=L^*_a$	a^*_a	b^*_a	$C^*_{ab,a}$	$h^*_{ab,a}$
O _{Ma}	48.75	65.07	39.43	76.08	31
Y _{Ma}	90.92	-10.29	87.24	87.85	97
L _{Ma}	52.69	-65.44	20.75	68.65	162
C _{Ma}	59.61	-28.98	-46.22	54.56	238
V _{Ma}	28.39	23.63	-44.13	50.06	298
M _{Ma}	49.58	73.93	-9.56	74.55	353
N _{Ma}	18.89	0.0	0.0	0.0	0
W _{Ma}	96.9	0.0	0.0	0.0	0
O _{CIE}	39.92	58.74	27.99	65.07	25
Y _{CIE}	81.26	-2.89	71.56	71.62	92
L _{CIE}	52.23	-42.42	13.6	44.55	162
V _{CIE}	30.57	1.41	-46.47	46.49	272



Ein und Ausgabe: Farbmimetrisches Drucker-Reflektiv-System ORS19_96a für relativen CIELAB-Bunton $h^* = lab^*h^* = h_{ab}/360 = 0.087$

$u^*_d = o00y$
LAB*LAB*a

Daten für jede Farbe:
 lab^*ch^* und lab^*icu^*
Buntontexte:
 $u^*_d = o00y$ $u^*_e = r08j$
Kontrastreduzierungsfaktor:
 $c_R = 1.0$
Dreiecks-Helligkeit t^*



ORS19_96a; adaptierte CIELAB-Daten

u^*_d	$L^*=L^*_a$	a^*_a	b^*_a	$C^*_{ab,a}$	$h^*_{ab,a}$
O _{Ma}	48.75	65.07	39.43	76.08	31
Y _{Ma}	90.92	-10.29	87.24	87.85	97
L _{Ma}	52.69	-65.44	20.75	68.65	162
C _{Ma}	59.61	-28.98	-46.22	54.56	238
V _{Ma}	28.39	23.63	-44.13	50.06	298
M _{Ma}	49.58	73.93	-9.56	74.55	353
N _{Ma}	18.89	0.0	0.0	0.0	0
W _{Ma}	96.9	0.0	0.0	0.0	0
O _{Ma}	39.92	58.74	27.99	65.07	25
Y _{Ma}	81.26	-2.89	71.56	71.62	92
L _{Ma}	52.23	-42.42	13.6	44.55	162
V _{Ma}	30.57	1.41	-46.47	46.49	272

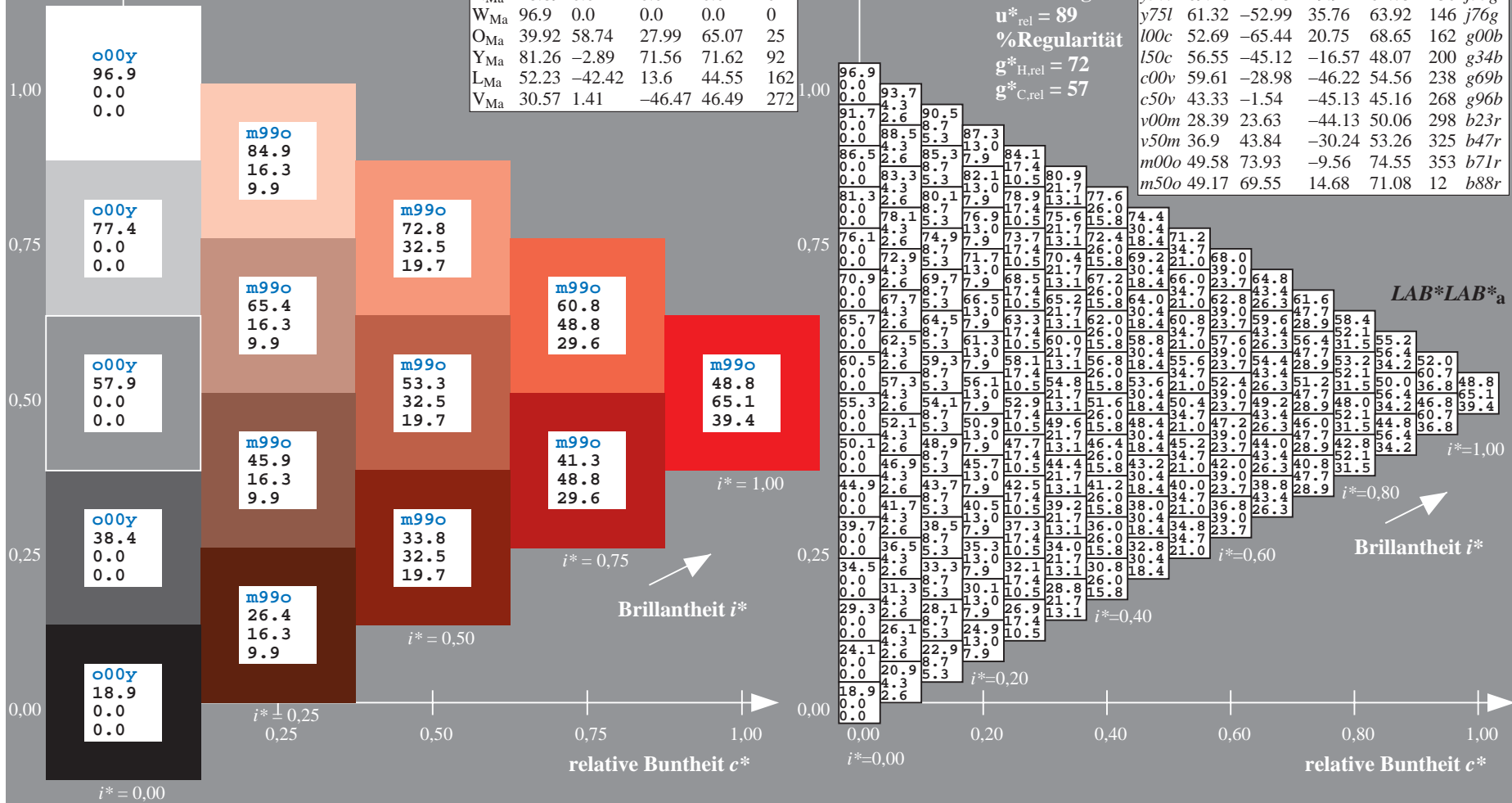
Daten für Maximalfarbe (Ma):

LAB*LAB*_{Ma}: 49 65 39
LAB*LCH*_{Ma}: 49 76 31
 $lab^*olv^*_{Ma}$: 1.0 0.0 0.0
 $lab^*rgb^*_{Ma}$: 1.0 0.09 0.0

ORS19_96a; adaptierte CIELAB-Daten

u^*_d	$L^*=L^*_a$	a^*_a	b^*_a	$C^*_{ab,a}$	$h^*_{ab,a}$	u^*_e
<i>o00y</i>	48.75	65.07	39.43	76.08	31	<i>r08j</i>
<i>o25y</i>	59.04	46.67	51.1	69.21	48	<i>r33j</i>
<i>o50y</i>	68.32	30.09	61.62	68.58	64	<i>r57j</i>
<i>o75y</i>	78.23	12.39	72.85	73.9	80	<i>r81j</i>
<i>y00l</i>	90.92	-10.29	87.24	87.85	97	<i>j06g</i>
<i>y25l</i>	78.57	-28.11	65.75	71.51	113	<i>j29g</i>
<i>y50l</i>	69.46	-41.25	49.92	64.75	130	<i>j53g</i>
<i>y75l</i>	61.32	-52.99	35.76	63.92	146	<i>j76g</i>
<i>l00c</i>	52.69	-65.44	20.75	68.65	162	<i>g00b</i>
<i>l50c</i>	56.55	-45.12	-16.57	48.07	200	<i>g34b</i>
<i>c00v</i>	59.61	-28.98	-46.22	54.56	238	<i>g69b</i>
<i>c50v</i>	43.33	-1.54	-45.13	45.16	268	<i>g96b</i>
<i>v00m</i>	28.39	23.63	-44.13	50.06	298	<i>b23r</i>
<i>v50m</i>	36.9	43.84	-30.24	53.26	325	<i>b47r</i>
<i>m00o</i>	49.58	73.93	-9.56	74.55	353	<i>b71r</i>
<i>m50o</i>	49.17	69.55	14.68	71.08	12	<i>b88r</i>

Dreiecks-Helligkeit t^*
%Umfang
 $u^*_{rel} = 89$
%Regularität
 $g^*_{H,rel} = 72$
 $g^*_{C,rel} = 57$



Ein und Ausgabe: Farbmatisches Drucker-Reflektiv-System ORS19_96a für relativen CIELAB-Bunton $h^* = \text{lab}^*h^* = h_{ab}/360 = 0.132$

Daten für jede Farbe:

lab^*tch^* und lab^*icu^*

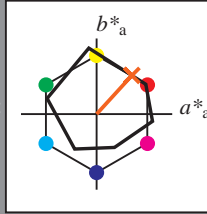
Buntontexte:

$u^*_d = 0.25y$ $u^*_e = r33j$

Kontrastreduzierungsfaktor:

$c_R = 1.0$

Dreiecks-Helligkeit t^*



ORS19_96a; adaptierte CIELAB-Daten						
u^*_d	$L^*=L^*_a$	a^*_a	b^*_a	$C^*_{ab,a}$	$h^*_{ab,a}$	
O _{Ma}	48.75	65.07	39.43	76.08	31	
Y _{Ma}	90.92	-10.29	87.24	87.85	97	
L _{Ma}	52.69	-65.44	20.75	68.65	162	
C _{Ma}	59.61	-28.98	-46.22	54.56	238	
V _{Ma}	28.39	23.63	-44.13	50.06	298	
M _{Ma}	49.58	73.93	-9.56	74.55	353	
N _{Ma}	18.89	0.0	0.0	0.0	0	
W _{Ma}	96.9	0.0	0.0	0.0	0	
O _{Ma}	39.92	58.74	27.99	65.07	25	
Y _{Ma}	81.26	-2.89	71.56	71.62	92	
L _{Ma}	52.23	-42.42	13.6	44.55	162	
V _{Ma}	30.57	1.41	-46.47	46.49	272	

$u^*_d = 0.25y$
 $\text{LAB}^*\text{LAB}^*_a$

Daten für Maximalfarbe (Ma):

$\text{LAB}^*\text{LAB}^*_{Ma}: 59\ 47\ 51$

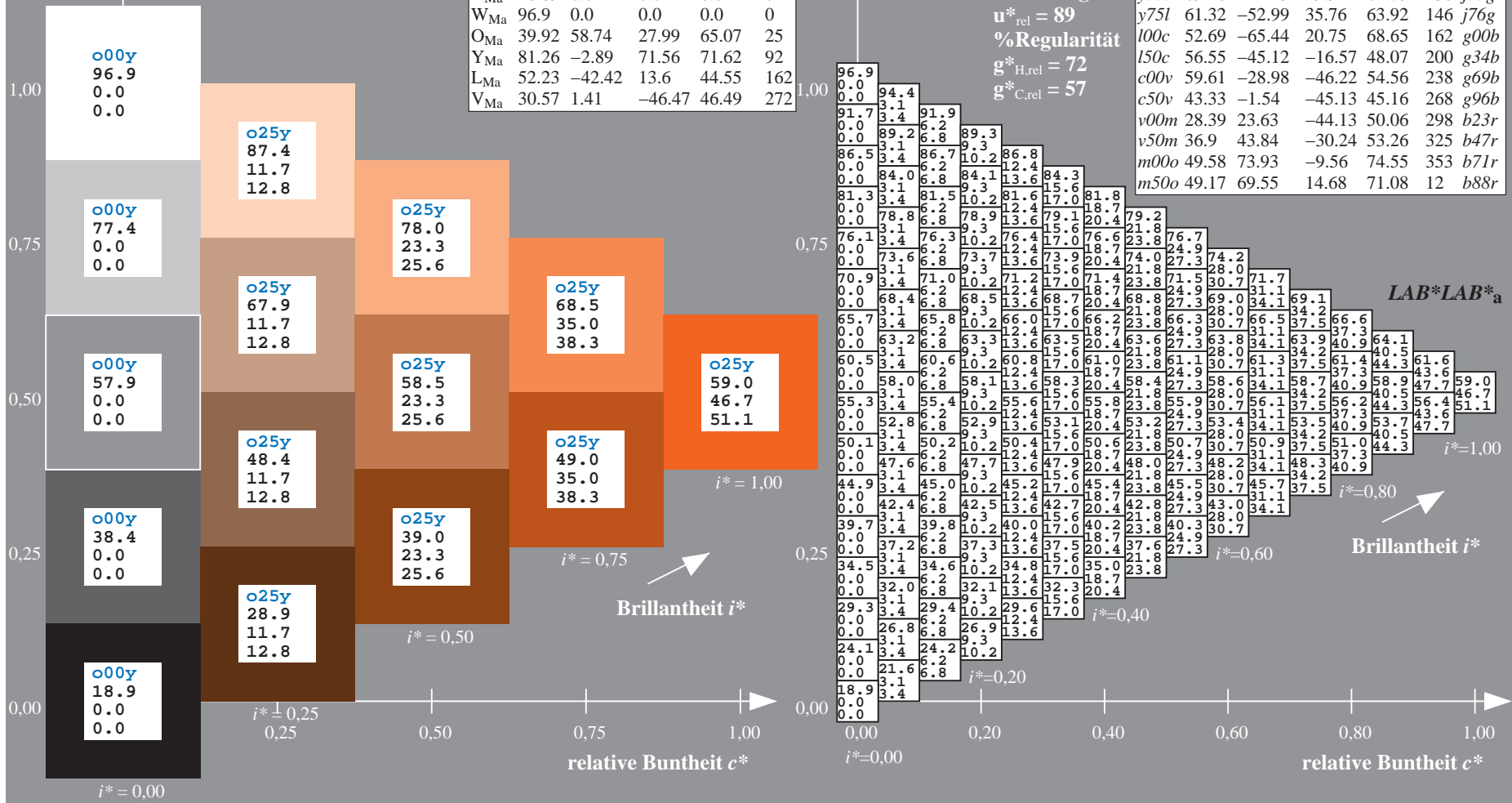
$\text{LAB}^*\text{LCH}^*_{Ma}: 59\ 69\ 47$

$\text{lab}^*\text{olv}^*_{Ma}: 1.0\ 0.25\ 0.0$

$\text{lab}^*\text{rgb}^*_{Ma}: 1.0\ 0.33\ 0.0$

Dreiecks-Helligkeit t^*

ORS19_96a; adaptierte CIELAB-Daten								
u^*_d	$L^*=L^*_a$	a^*_a	b^*_a	$C^*_{ab,a}$	$h^*_{ab,a}$	u^*_e		
o00y	48.75	65.07	39.43	76.08	31	r08j		
o25y	59.04	46.67	51.1	69.21	48	r33j		
o50y	68.32	30.09	61.62	68.58	64	r57j		
o75y	78.23	12.39	72.85	73.9	80	r81j		
y00l	90.92	-10.29	87.24	87.85	97	j06g		
y25l	78.57	-28.11	65.75	71.51	113	j29g		
y50l	69.46	-41.25	49.92	64.75	130	j53g		
y75l	61.32	-52.99	35.76	63.92	146	j76g		
l00c	52.69	-65.44	20.75	68.65	162	g00b		
l50c	56.55	-45.12	-16.57	48.07	200	g34b		
c00v	59.61	-28.98	-46.22	54.56	238	g69b		
c50v	43.33	-1.54	-45.13	45.16	268	g96b		
v00m	28.39	23.63	-44.13	50.06	298	b23r		
v50m	36.9	43.84	-30.24	53.26	325	b47r		
m00o	49.58	73.93	-9.56	74.55	353	b71r		
m50o	49.17	69.55	14.68	71.08	12	b88r		



Ein und Ausgabe: Farbmatisches Drucker-Reflektiv-System ORS19_96a für relativen CIELAB-Bunton $h^* = \text{lab}^*h^* = h_{ab}/360 = 0.178$

$u^*_d = 0.50y$
LAB*LAB*a

Daten für jede Farbe:

lab^*ch^* und lab^*icu^*

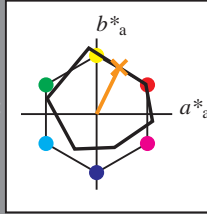
Buntontexte:

$u^*_d = 0.50y$ $u^*_e = r57j$

Kontrastreduzierungsfaktor:

$c_R = 1.0$

Dreiecks-Helligkeit t^*



ORS19_96a; adaptierte CIELAB-Daten						
u^*_d	$L^*=L^*_a$	a^*_a	b^*_a	$C^*_{ab,a}$	$h^*_{ab,a}$	
O _{Ma}	48.75	65.07	39.43	76.08	31	
Y _{Ma}	90.92	-10.29	87.24	87.85	97	
L _{Ma}	52.69	-65.44	20.75	68.65	162	
C _{Ma}	59.61	-28.98	-46.22	54.56	238	
V _{Ma}	28.39	23.63	-44.13	50.06	298	
M _{Ma}	49.58	73.93	-9.56	74.55	353	
N _{Ma}	18.89	0.0	0.0	0.0	0	
W _{Ma}	96.9	0.0	0.0	0.0	0	
O _{Ma}	39.92	58.74	27.99	65.07	25	
Y _{Ma}	81.26	-2.89	71.56	71.62	92	
L _{Ma}	52.23	-42.42	13.6	44.55	162	
V _{Ma}	30.57	1.41	-46.47	46.49	272	

Daten für Maximalfarbe (Ma):

LAB*LAB*_{Ma}: 68 30 62

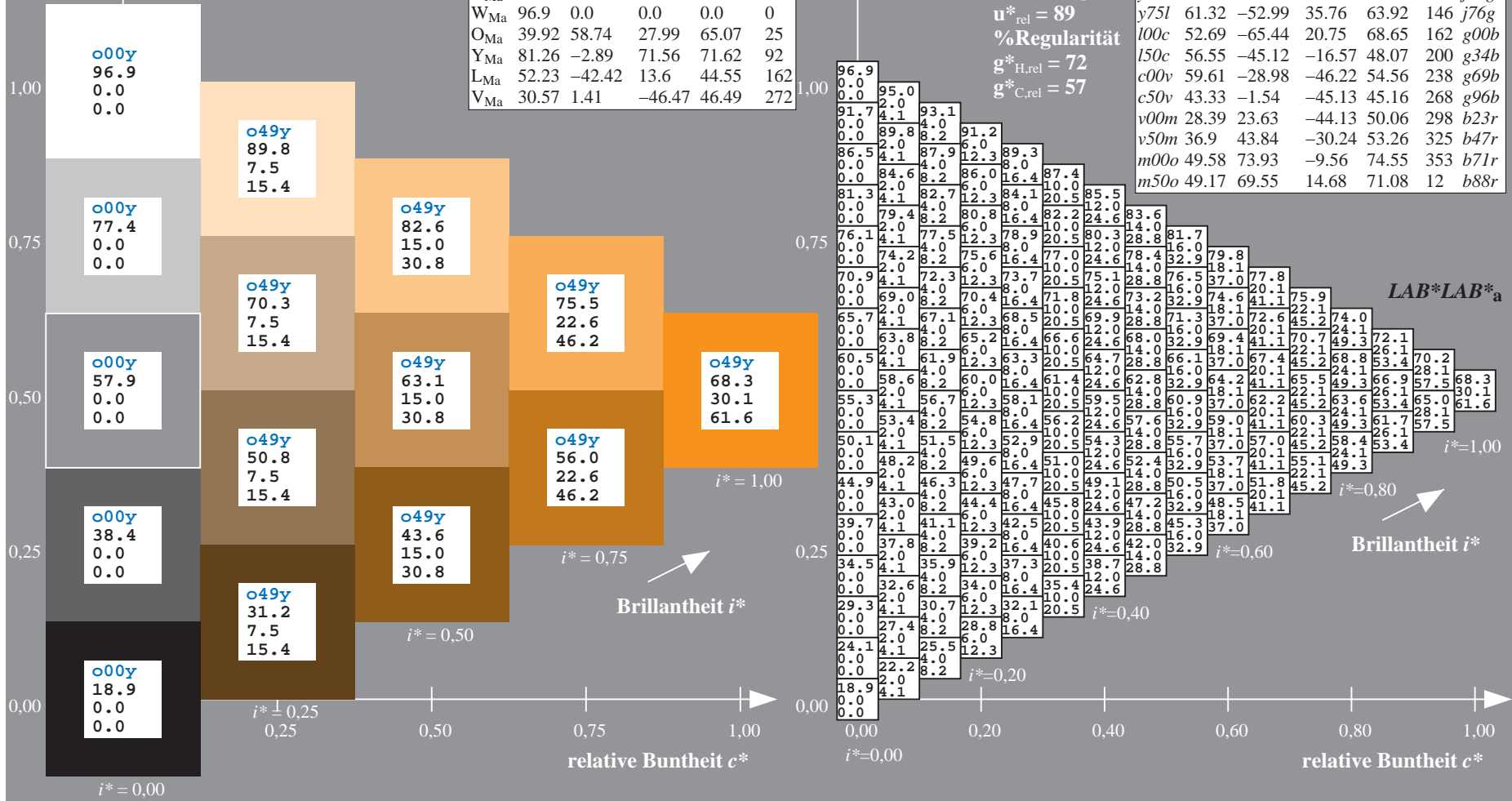
LAB*LCH*_{Ma}: 68 69 63

lab*olv*_{Ma}: 1.0 0.5 0.0

lab*rgb*_{Ma}: 1.0 0.58 0.0

Dreiecks-Helligkeit t^*

ORS19_96a; adaptierte CIELAB-Daten								
u^*_d	$L^*=L^*_a$	a^*_a	b^*_a	$C^*_{ab,a}$	$h^*_{ab,a}$	u^*_e		
o00y	48.75	65.07	39.43	76.08	31	r08j		
o25y	59.04	46.67	51.1	69.21	48	r33j		
o50y	68.32	30.09	61.62	68.58	64	r57j		
o75y	78.23	12.39	72.85	73.9	80	r8lj		
y00l	90.92	-10.29	87.24	87.85	97	j06g		
y25l	78.57	-28.11	65.75	71.51	113	j29g		
y50l	69.46	-41.25	49.92	64.75	130	j53g		
y75l	61.32	-52.99	35.76	63.92	146	j76g		
l00c	52.69	-65.44	20.75	68.65	162	g00b		
l50c	56.55	-45.12	-16.57	48.07	200	g34b		
c00v	59.61	-28.98	-46.22	54.56	238	g69b		
c50v	43.33	-1.54	-45.13	45.16	268	g96b		
v00m	28.39	23.63	-44.13	50.06	298	b23r		
v50m	36.9	43.84	-30.24	53.26	325	b47r		
m00o	49.58	73.93	-9.56	74.55	353	b71r		
m50o	49.17	69.55	14.68	71.08	12	b88r		



Ein und Ausgabe: Farbmatisches Drucker-Reflektiv-System ORS19_96a für relativen CIELAB-Bunton $h^* = lab^*h^* = h_{ab}/360 = 0.223$

$u^*_d = 0.75y$
 $LAB^*LAB^*_a$

Daten für jede Farbe:

lab^*ch^* und lab^*icu^*

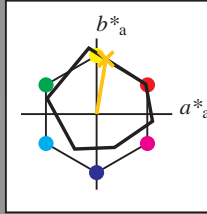
Buntontexte:

$u^*_d = 0.75y$ $u^*_e = r8lj$

Kontrastreduzierungsfaktor:

$c_R = 1.0$

Dreiecks-Helligkeit t^*



ORS19_96a; adaptierte CIELAB-Daten

u^*_d	$L^*=L^*_a$	a^*_a	b^*_a	$C^*_{ab,a}$	$h^*_{ab,a}$
O _{Ma}	48.75	65.07	39.43	76.08	31
Y _{Ma}	90.92	-10.29	87.24	87.85	97
L _{Ma}	52.69	-65.44	20.75	68.65	162
C _{Ma}	59.61	-28.98	-46.22	54.56	238
V _{Ma}	28.39	23.63	-44.13	50.06	298
M _{Ma}	49.58	73.93	-9.56	74.55	353
N _{Ma}	18.89	0.0	0.0	0.0	0
W _{Ma}	96.9	0.0	0.0	0.0	0
O _{Ma}	39.92	58.74	27.99	65.07	25
Y _{Ma}	81.26	-2.89	71.56	71.62	92
L _{Ma}	52.23	-42.42	13.6	44.55	162
V _{Ma}	30.57	1.41	-46.47	46.49	272

Daten für Maximalfarbe (Ma):

$LAB^*LAB^*_Ma$: 78 12 73

$LAB^*LCH^*_Ma$: 78 74 80

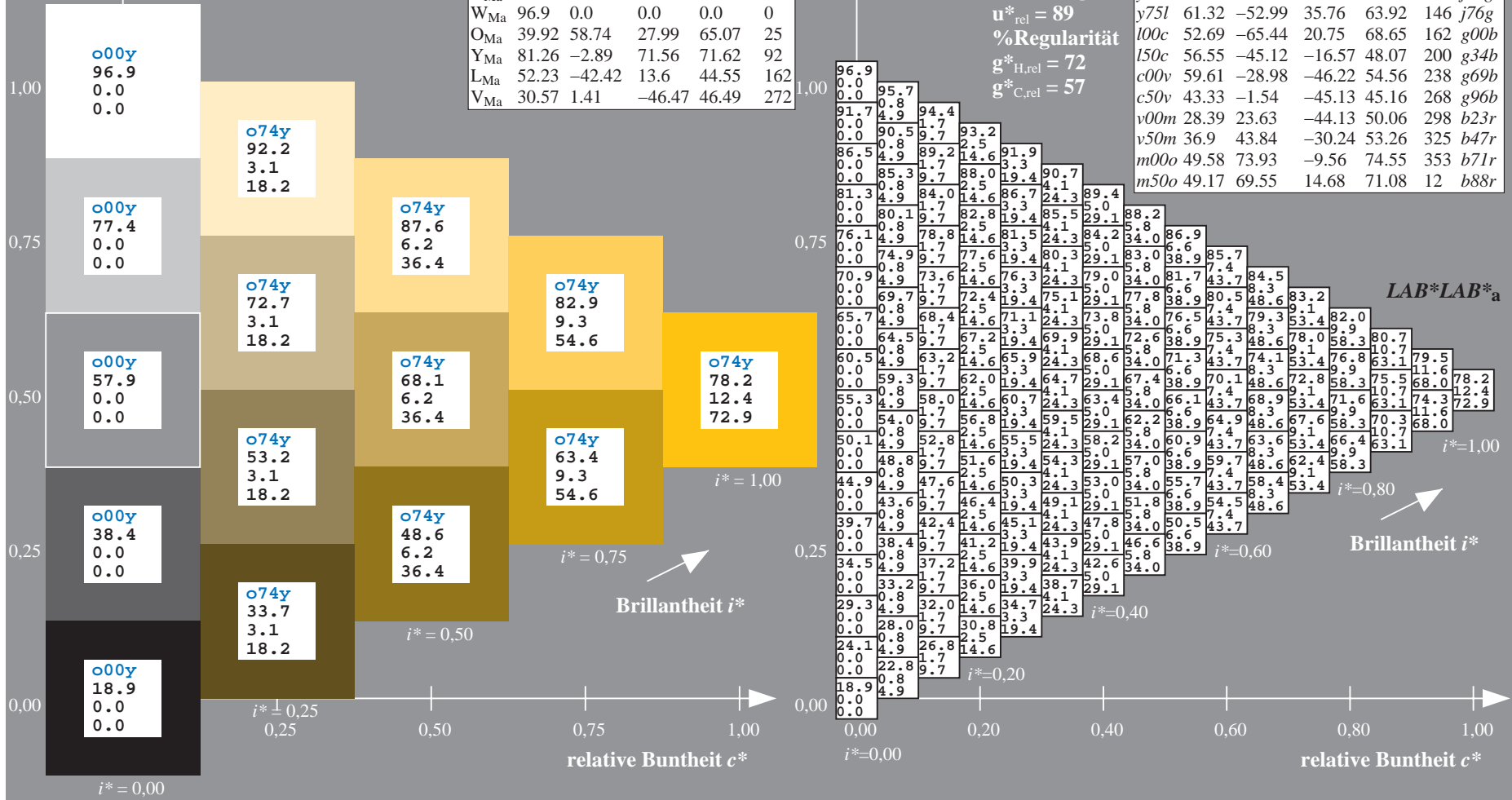
$lab^*olv^*_Ma$: 1.0 0.75 0.0

$lab^*rgb^*_Ma$: 1.0 0.82 0.0

Dreiecks-Helligkeit t^*

ORS19_96a; adaptierte CIELAB-Daten

u^*_d	$L^*=L^*_a$	a^*_a	b^*_a	$C^*_{ab,a}$	$h^*_{ab,a}$	u^*_e
o00y	48.75	65.07	39.43	76.08	31	r08j
o25y	59.04	46.67	51.1	69.21	48	r33j
o50y	68.32	30.09	61.62	68.58	64	r57j
o75y	78.23	12.39	72.85	73.9	80	r8lj
y00l	90.92	-10.29	87.24	87.85	97	j06g
y25l	78.57	-28.11	65.75	71.51	113	j29g
y50l	69.46	-41.25	49.92	64.75	130	j53g
y75l	61.32	-52.99	35.76	63.92	146	j76g
l00c	52.69	-65.44	20.75	68.65	162	g00b
l50c	56.55	-45.12	-16.57	48.07	200	g34b
c00v	59.61	-28.98	-46.22	54.56	238	g69b
c50v	43.33	-1.54	-45.13	45.16	268	g96b
v00m	28.39	23.63	-44.13	50.06	298	b23r
v50m	36.9	43.84	-30.24	53.26	325	b47r
m00o	49.58	73.93	-9.56	74.55	353	b71r
m50o	49.17	69.55	14.68	71.08	12	b88r



Ein und Ausgabe: Farbmatisches Drucker-Reflektiv-System ORS19_96a für relativen CIELAB-Bunton $h^* = lab^*h^* = h_{ab}/360 = 0.269$

Daten für jede Farbe:

lab^*ch^* und lab^*icu^*

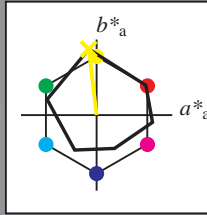
Buntontexte:

$u^*_d = y00l$ $u^*_e = j06g$

Kontrastreduzierungsfaktor:

$c_R = 1.0$

Dreiecks-Helligkeit t^*



ORS19_96a; adaptierte CIELAB-Daten						
u^*_d	$L^*=L^*_a$	a^*_a	b^*_a	$C^*_{ab,a}$	$h^*_{ab,a}$	
O _{Ma}	48.75	65.07	39.43	76.08	31	
Y _{Ma}	90.92	-10.29	87.24	87.85	97	
L _{Ma}	52.69	-65.44	20.75	68.65	162	
C _{Ma}	59.61	-28.98	-46.22	54.56	238	
V _{Ma}	28.39	23.63	-44.13	50.06	298	
M _{Ma}	49.58	73.93	-9.56	74.55	353	
N _{Ma}	18.89	0.0	0.0	0.0	0	
W _{Ma}	96.9	0.0	0.0	0.0	0	
O _{Ma}	39.92	58.74	27.99	65.07	25	
Y _{Ma}	81.26	-2.89	71.56	71.62	92	
L _{Ma}	52.23	-42.42	13.6	44.55	162	
V _{Ma}	30.57	1.41	-46.47	46.49	272	

$u^*_d = y00l$
 $LAB^*LAB^*_a$

Daten für Maximalfarbe (Ma):

$LAB^*LAB^*_Ma: 91 -10 87$

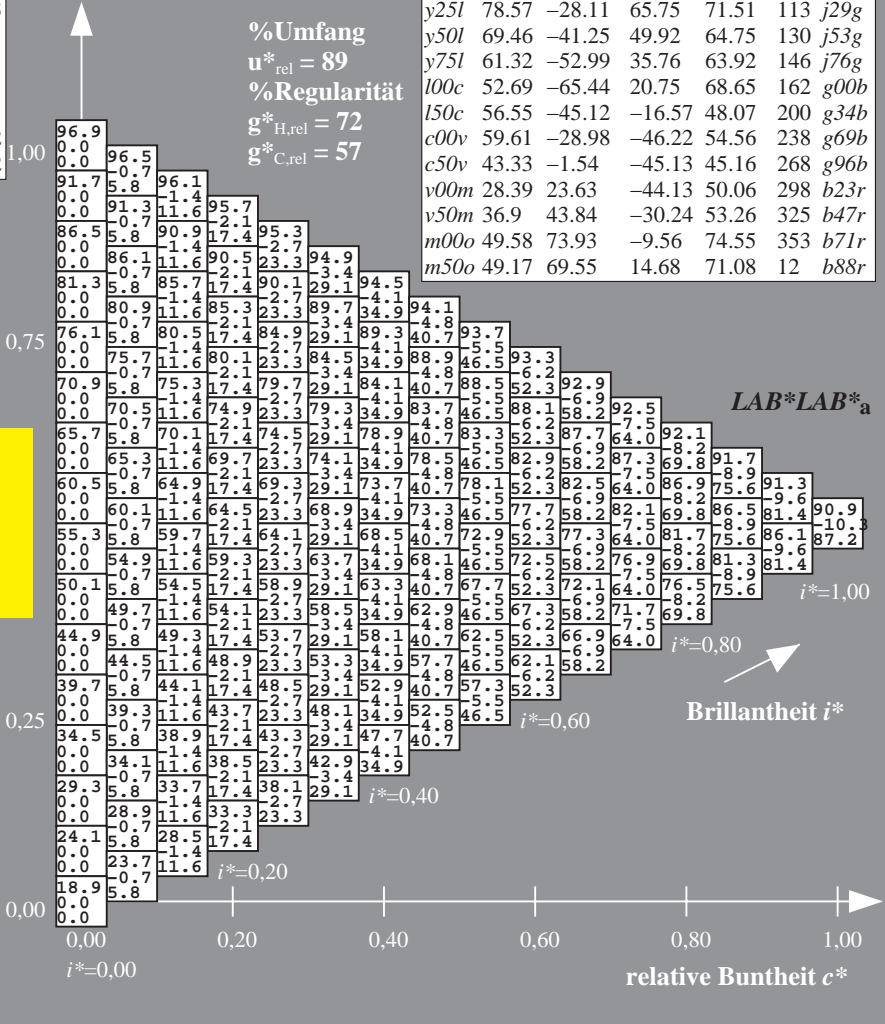
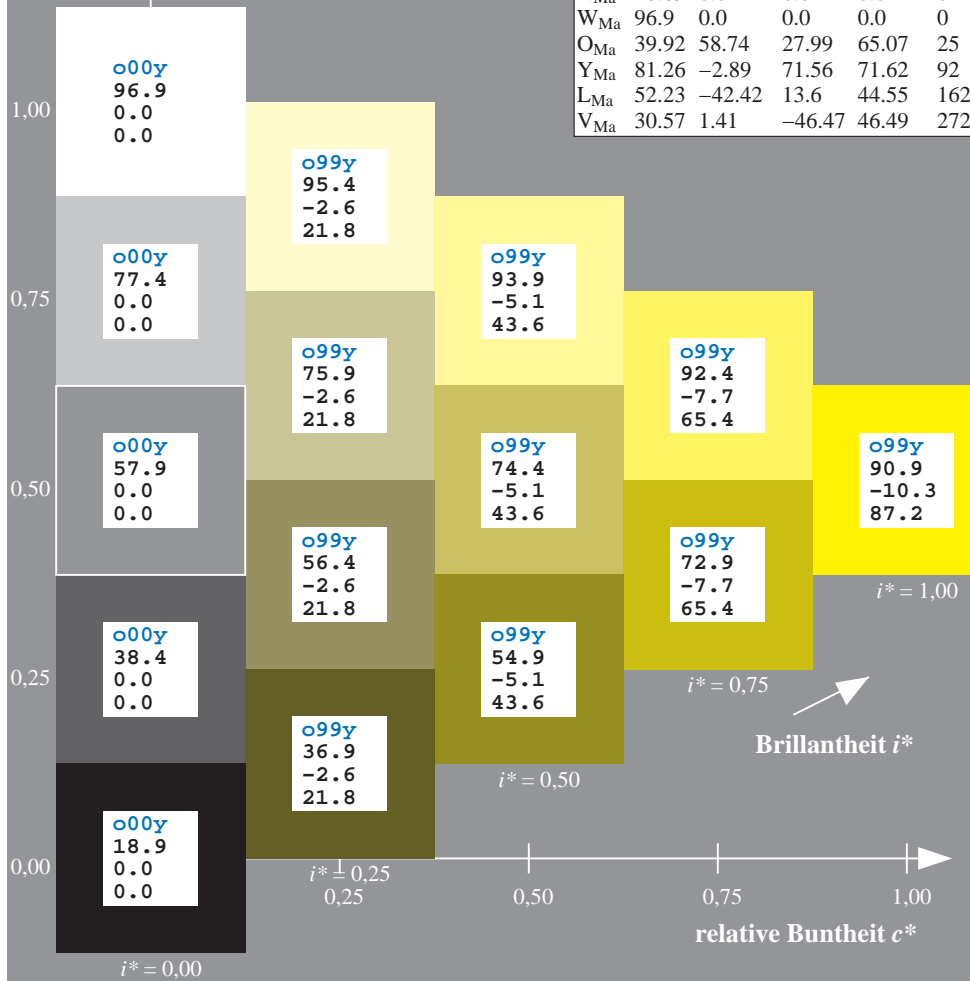
$LAB^*LCH^*_Ma: 91 88 96$

$lab^*olv^*_Ma: 1.0 1.0 0.0$

$lab^*rgb^*_Ma: 0.94 1.0 0.0$

Dreiecks-Helligkeit t^*

ORS19_96a; adaptierte CIELAB-Daten								
u^*_d	$L^*=L^*_a$	a^*_a	b^*_a	$C^*_{ab,a}$	$h^*_{ab,a}$	u^*_e		
o00y	96.9	0.0	0.0					r08j
o25y	59.04	46.67	51.1	69.21	48			r33j
o50y	68.32	30.09	61.62	68.58	64			r57j
o75y	78.23	12.39	72.85	73.9	80			r81j
y00l	90.92	-10.29	87.24	87.85	97			j06g
y25l	78.57	-28.11	65.75	71.51	113			j29g
y50l	69.46	-41.25	49.92	64.75	130			j53g
y75l	61.32	-52.99	35.76	63.92	146			j76g
l00c	52.69	-65.44	20.75	68.65	162			g00b
l50c	56.55	-45.12	-16.57	48.07	200			g34b
c00v	59.61	-28.98	-46.22	54.56	238			g69b
c50v	43.33	-1.54	-45.13	45.16	268			g96b
v00m	28.39	23.63	-44.13	50.06	298			b23r
v50m	36.9	43.84	-30.24	53.26	325			b47r
m00o	49.58	73.93	-9.56	74.55	353			b71r
m50o	49.17	69.55	14.68	71.08	12			b88r



%Umfang
 $u^*_{rel} = 89$
%Regularität
 $g^*_{H,rel} = 72$
 $g^*_{C,rel} = 57$

$LAB^*LAB^*_a$

$i^* = 1.00$

$i^* = 0.80$

$i^* = 0.60$

$i^* = 0.40$

$i^* = 0.20$

$i^* = 0.00$

Ein und Ausgabe: Farbmatisches Drucker-Reflektiv-System ORS19_96a für relativen CIELAB-Bunton $h^* = \text{lab}^*h^* = h_{ab}/360 = 0.314$

Daten für jede Farbe:

lab^*tch^* und lab^*icu^*

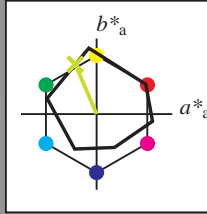
Buntontexte:

$u^*_d = y25l$ $u^*_e = j29g$

Kontrastreduzierungsfaktor:

$c_R = 1.0$

Dreiecks-Helligkeit t^*



ORS19_96a; adaptierte CIELAB-Daten

u^*_d	$L^*=L^*_a$	a^*_a	b^*_a	$C^*_{ab,a}$	$h^*_{ab,a}$
O _{Ma}	48.75	65.07	39.43	76.08	31
Y _{Ma}	90.92	-10.29	87.24	87.85	97
L _{Ma}	52.69	-65.44	20.75	68.65	162
C _{Ma}	59.61	-28.98	-46.22	54.56	238
V _{Ma}	28.39	23.63	-44.13	50.06	298
M _{Ma}	49.58	73.93	-9.56	74.55	353
N _{Ma}	18.89	0.0	0.0	0.0	0
W _{Ma}	96.9	0.0	0.0	0.0	0
O _{Ma}	39.92	58.74	27.99	65.07	25
Y _{Ma}	81.26	-2.89	71.56	71.62	92
L _{Ma}	52.23	-42.42	13.6	44.55	162
V _{Ma}	30.57	1.41	-46.47	46.49	272

$u^*_d = y25l$
 $\text{LAB}^*\text{LAB}^*_a$

Daten für Maximalfarbe (Ma):

$\text{LAB}^*\text{LAB}^*_{Ma}: 79 -28 66$

$\text{LAB}^*\text{LCH}^*_{Ma}: 79 72 113$

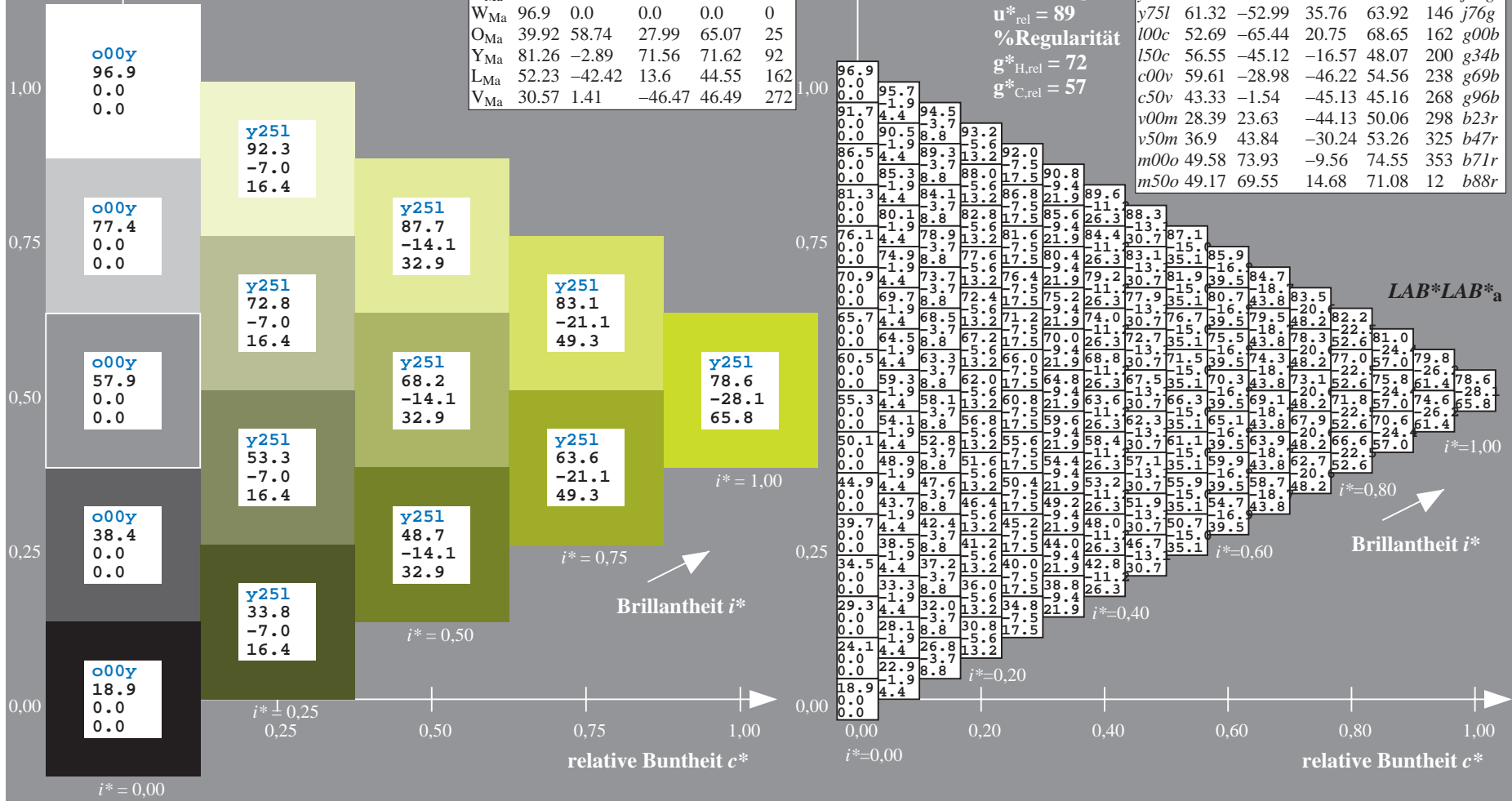
$\text{lab}^*\text{olv}^*_{Ma}: 0.75 1.0 0.0$

$\text{lab}^*\text{rgb}^*_{Ma}: 0.7 1.0 0.0$

Dreiecks-Helligkeit t^*

ORS19_96a; adaptierte CIELAB-Daten

u^*_d	$L^*=L^*_a$	a^*_a	b^*_a	$C^*_{ab,a}$	$h^*_{ab,a}$	u^*_e
o00y	48.75	65.07	39.43	76.08	31	r08j
o25y	59.04	46.67	51.1	69.21	48	r33j
o50y	68.32	30.09	61.62	68.58	64	r57j
o75y	78.23	12.39	72.85	73.9	80	r81j
y00l	90.92	-10.29	87.24	87.85	97	j06g
y25l	78.57	-28.11	65.75	71.51	113	j29g
y50l	69.46	-41.25	49.92	64.75	130	j53g
y75l	61.32	-52.99	35.76	63.92	146	j76g
l00c	52.69	-65.44	20.75	68.65	162	g00b
l50c	56.55	-45.12	-16.57	48.07	200	g34b
c00v	59.61	-28.98	-46.22	54.56	238	g69b
c50v	43.33	-1.54	-45.13	45.16	268	g96b
v00m	28.39	23.63	-44.13	50.06	298	b23r
v50m	36.9	43.84	-30.24	53.26	325	b47r
m00o	49.58	73.93	-9.56	74.55	353	b71r
m50o	49.17	69.55	14.68	71.08	12	b88r



Ein und Ausgabe: Farbmatisches Drucker-Reflektiv-System ORS19_96a für relativen CIELAB-Bunton $h^* = lab^*h^* = h_{ab}/360 = 0.36$

Daten für jede Farbe:

lab^*ch^* und lab^*icu^*

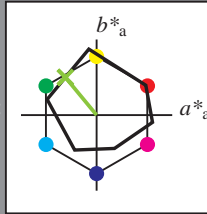
Buntontexte:

$u^*_d = y50l$ $u^*_e = j53g$

Kontrastreduzierungsfaktor:

$c_R = 1.0$

Dreiecks-Helligkeit t^*



ORS19_96a; adaptierte CIELAB-Daten						
u^*_d	$L^*=L^*_a$	a^*_a	b^*_a	$C^*_{ab,a}$	$h^*_{ab,a}$	
O _{Ma}	48.75	65.07	39.43	76.08	31	
Y _{Ma}	90.92	-10.29	87.24	87.85	97	
L _{Ma}	52.69	-65.44	20.75	68.65	162	
C _{Ma}	59.61	-28.98	-46.22	54.56	238	
V _{Ma}	28.39	23.63	-44.13	50.06	298	
M _{Ma}	49.58	73.93	-9.56	74.55	353	
N _{Ma}	18.89	0.0	0.0	0.0	0	
W _{Ma}	96.9	0.0	0.0	0.0	0	
O _{Ma}	39.92	58.74	27.99	65.07	25	
Y _{Ma}	81.26	-2.89	71.56	71.62	92	
L _{Ma}	52.23	-42.42	13.6	44.55	162	
V _{Ma}	30.57	1.41	-46.47	46.49	272	

$u^*_d = y50l$
 $LAB^*LAB^*_a$

Daten für Maximalfarbe (Ma):

$LAB^*LAB^*_Ma: 69 -41 50$

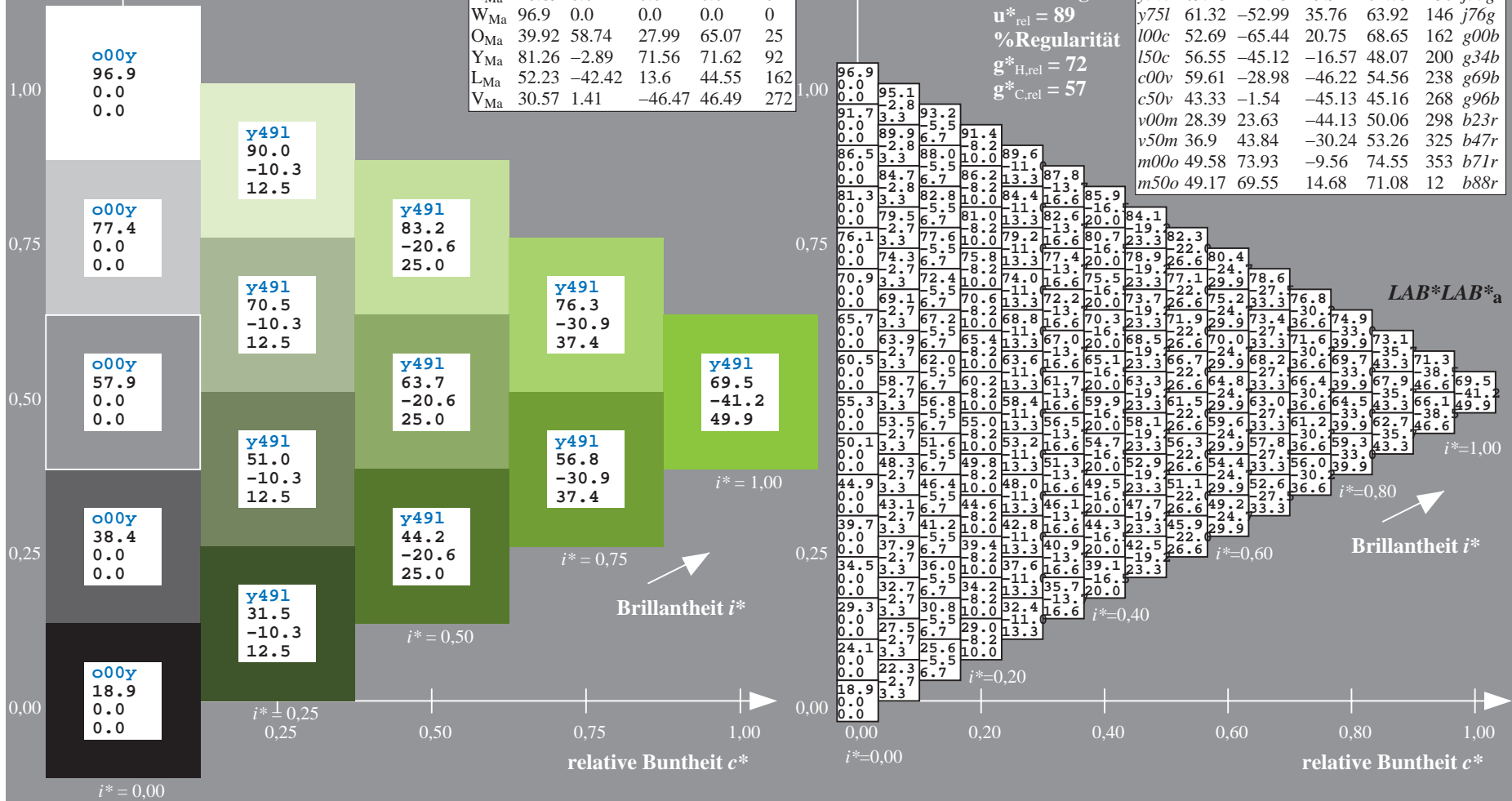
$LAB^*LCH^*_Ma: 69 65 129$

$lab^*olv^*_Ma: 0.5 1.0 0.0$

$lab^*rgb^*_Ma: 0.47 1.0 0.0$

Dreiecks-Helligkeit t^*

ORS19_96a; adaptierte CIELAB-Daten							
u^*_d	$L^*=L^*_a$	a^*_a	b^*_a	$C^*_{ab,a}$	$h^*_{ab,a}$	u^*_e	
o00y	48.75	65.07	39.43	76.08	31	r08j	
o25y	59.04	46.67	51.1	69.21	48	r33j	
o50y	68.32	30.09	61.62	68.58	64	r57j	
o75y	78.23	12.39	72.85	73.9	80	r81j	
y00l	90.92	-10.29	87.24	87.85	97	j06g	
y25l	78.57	-28.11	65.75	71.51	113	j29g	
y50l	69.46	-41.25	49.92	64.75	130	j53g	
y75l	61.32	-52.99	35.76	63.92	146	j76g	
l00c	52.69	-65.44	20.75	68.65	162	g00b	
l50c	56.55	-45.12	-16.57	48.07	200	g34b	
c00v	59.61	-28.98	-46.22	54.56	238	g69b	
c50v	43.33	-1.54	-45.13	45.16	268	g96b	
v00m	28.39	23.63	-44.13	50.06	298	b23r	
v50m	36.9	43.84	-30.24	53.26	325	b47r	
m00o	49.58	73.93	-9.56	74.55	353	b71r	
m50o	49.17	69.55	14.68	71.08	12	b88r	



Ein und Ausgabe: Farbmatisches Drucker-Reflektiv-System ORS19_96a für relativen CIELAB-Bunton $h^* = lab^*h^* = h_{ab}/360 = 0.406$

$u^*_d = y75l$
 $LAB^*LAB^*_a$

Daten für jede Farbe:

lab^*tch^* und lab^*icu^*

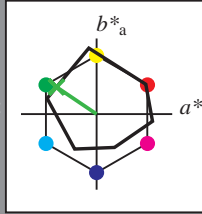
Buntontexte:

$u^*_d = y75l$ $u^*_e = j76g$

Kontrastreduzierungsfaktor:

$c_R = 1.0$

Dreiecks-Helligkeit t^*



ORS19_96a; adaptierte CIELAB-Daten

u^*_d	$L^*=L^*_a$	a^*_a	b^*_a	$C^*_{ab,a}$	$h^*_{ab,a}$
O _{Ma}	48.75	65.07	39.43	76.08	31
Y _{Ma}	90.92	-10.29	87.24	87.85	97
L _{Ma}	52.69	-65.44	20.75	68.65	162
C _{Ma}	59.61	-28.98	-46.22	54.56	238
V _{Ma}	28.39	23.63	-44.13	50.06	298
M _{Ma}	49.58	73.93	-9.56	74.55	353
N _{Ma}	18.89	0.0	0.0	0.0	0
W _{Ma}	96.9	0.0	0.0	0.0	0
O _{Ma}	39.92	58.74	27.99	65.07	25
Y _{Ma}	81.26	-2.89	71.56	71.62	92
L _{Ma}	52.23	-42.42	13.6	44.55	162
V _{Ma}	30.57	1.41	-46.47	46.49	272

Daten für Maximalfarbe (Ma):

$LAB^*LAB^*_Ma: 61 -53 36$

$LAB^*LCH^*_Ma: 61 64 145$

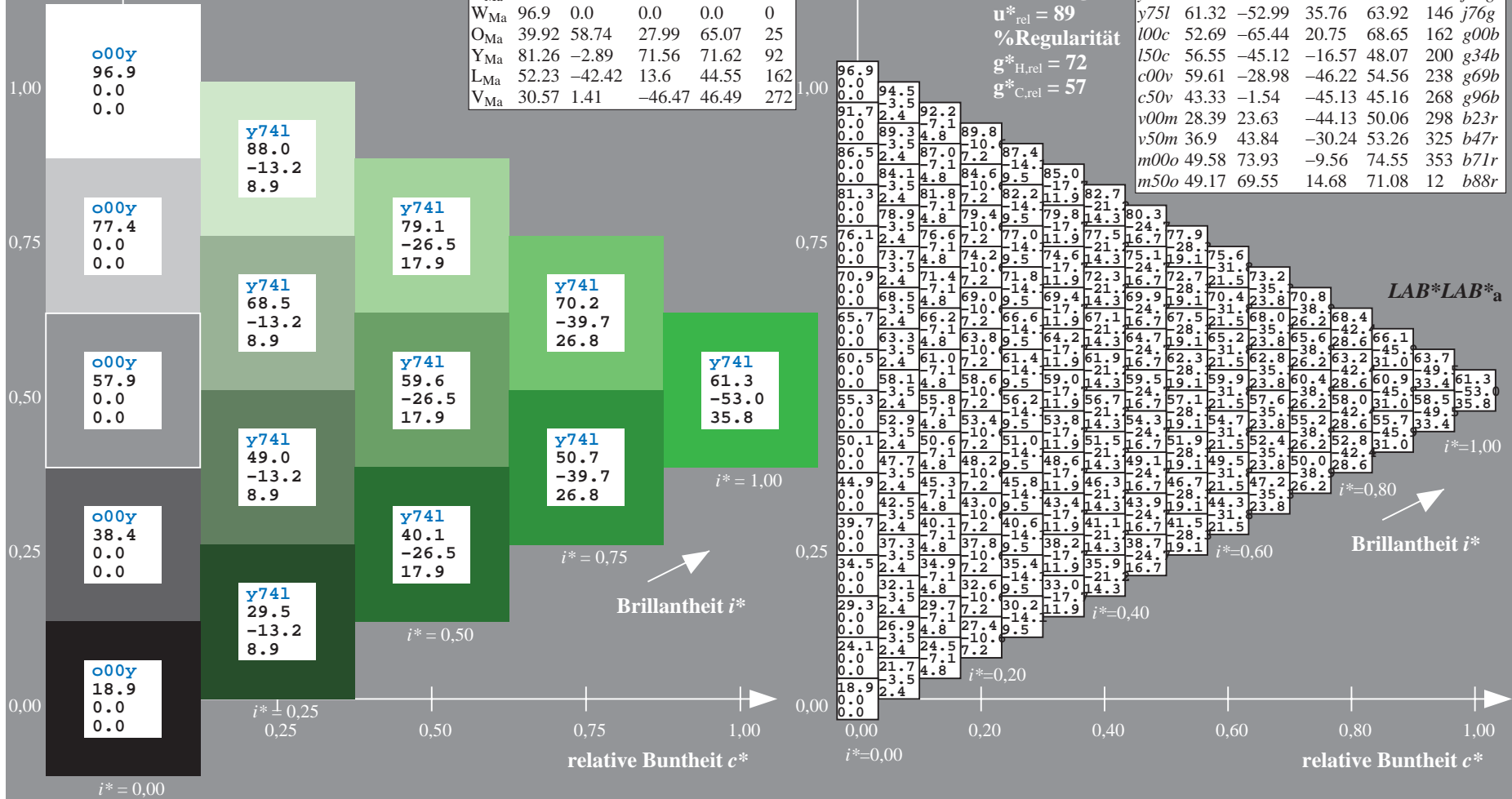
$lab^*olv^*_Ma: 0.25 1.0 0.0$

$lab^*rgb^*_Ma: 0.23 1.0 0.0$

Dreiecks-Helligkeit t^*

ORS19_96a; adaptierte CIELAB-Daten

u^*_d	$L^*=L^*_a$	a^*_a	b^*_a	$C^*_{ab,a}$	$h^*_{ab,a}$	u^*_e
o00y	48.75	65.07	39.43	76.08	31	r08j
o25y	59.04	46.67	51.1	69.21	48	r33j
o50y	68.32	30.09	61.62	68.58	64	r57j
o75y	78.23	12.39	72.85	73.9	80	r81j
y00l	90.92	-10.29	87.24	87.85	97	j06g
y25l	78.57	-28.11	65.75	71.51	113	j29g
y50l	69.46	-41.25	49.92	64.75	130	j53g
y75l	61.32	-52.99	35.76	63.92	146	j76g
l00c	52.69	-65.44	20.75	68.65	162	g00b
l50c	56.55	-45.12	-16.57	48.07	200	g34b
c00v	59.61	-28.98	-46.22	54.56	238	g69b
c50v	43.33	-1.54	-45.13	45.16	268	g96b
v00m	28.39	23.63	-44.13	50.06	298	b23r
v50m	36.9	43.84	-30.24	53.26	325	b47r
m00o	49.58	73.93	-9.56	74.55	353	b71r
m50o	49.17	69.55	14.68	71.08	12	b88r



%Umfang
 $u^*_{rel} = 89$
%Regularität
 $g^*_{H,rel} = 72$
 $g^*_{C,rel} = 57$

$LAB^*LAB^*_a$

Brillanz i^*

Ein und Ausgabe: Farbmatisches Drucker-Reflektiv-System ORS19_96a für relativen CIELAB-Bunton $h^* = lab^*h^* = h_{ab}/360 = 0.451$

$u^*_d = 100c$
 $LAB^*LAB^*_a$

Daten für jede Farbe:

lab^*ch^* und lab^*icu^*

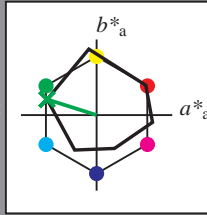
Buntontexte:

$u^*_d = 100c$ $u^*_e = g00b$

Kontrastreduzierungsfaktor:

$c_R = 1.0$

Dreiecks-Helligkeit t^*



ORS19_96a; adaptierte CIELAB-Daten

u^*_d	$L^*=L^*_a$	a^*_a	b^*_a	$C^*_{ab,a}$	$h^*_{ab,a}$
O _{Ma}	48.75	65.07	39.43	76.08	31
Y _{Ma}	90.92	-10.29	87.24	87.85	97
L _{Ma}	52.69	-65.44	20.75	68.65	162
C _{Ma}	59.61	-28.98	-46.22	54.56	238
V _{Ma}	28.39	23.63	-44.13	50.06	298
M _{Ma}	49.58	73.93	-9.56	74.55	353
N _{Ma}	18.89	0.0	0.0	0.0	0
W _{Ma}	96.9	0.0	0.0	0.0	0
O _{Ma}	39.92	58.74	27.99	65.07	25
Y _{Ma}	81.26	-2.89	71.56	71.62	92
L _{Ma}	52.23	-42.42	13.6	44.55	162
V _{Ma}	30.57	1.41	-46.47	46.49	272

Daten für Maximalfarbe (Ma):

$LAB^*LAB^*_Ma: 53 -65 21$

$LAB^*LCH^*_Ma: 53 69 162$

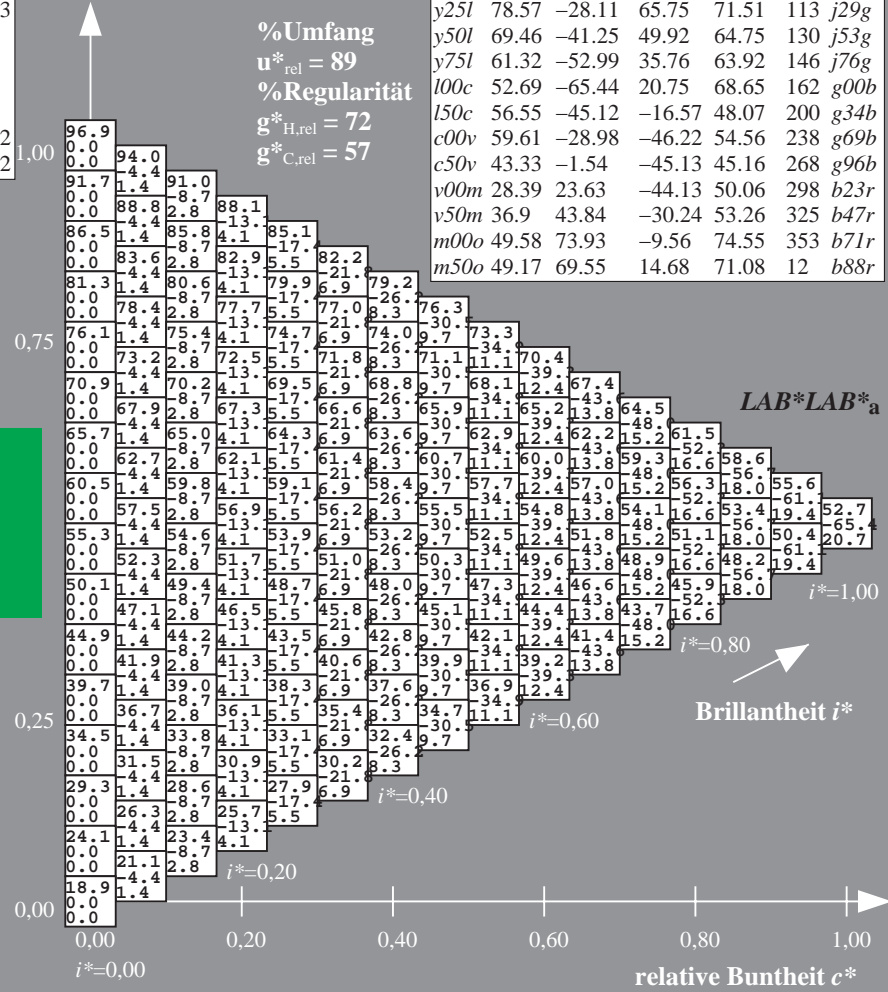
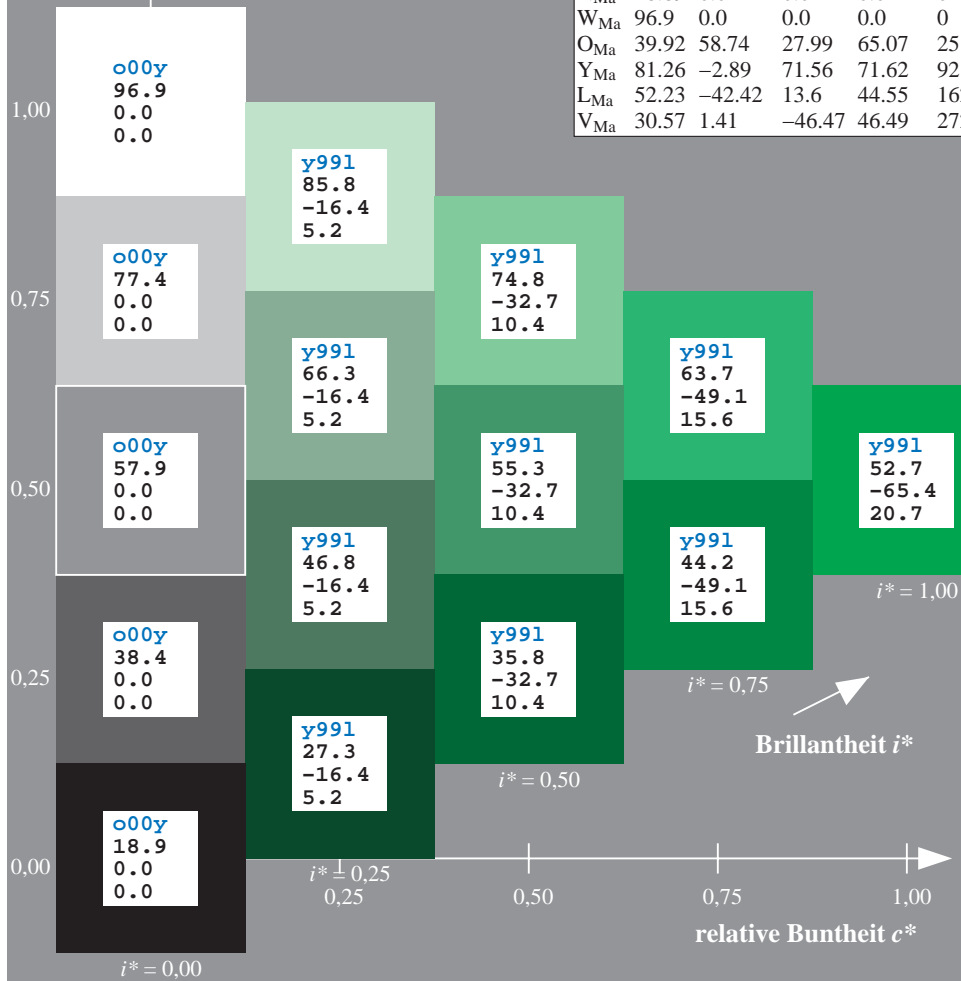
$lab^*olv^*_Ma: 0.0 1.0 0.0$

$lab^*rgb^*_Ma: 0.0 1.0 0.0$

Dreiecks-Helligkeit t^*

ORS19_96a; adaptierte CIELAB-Daten

u^*_d	$L^*=L^*_a$	a^*_a	b^*_a	$C^*_{ab,a}$	$h^*_{ab,a}$	u^*_e
o00y	96.9	0.0	0.0			r08j
o25y	59.04	46.67	51.1	69.21	48	r33j
o50y	68.32	30.09	61.62	68.58	64	r57j
o75y	78.23	12.39	72.85	73.9	80	r81j
y00l	90.92	-10.29	87.24	87.85	97	j06g
y25l	78.57	-28.11	65.75	71.51	113	j29g
y50l	69.46	-41.25	49.92	64.75	130	j53g
y75l	61.32	-52.99	35.76	63.92	146	j76g
l00c	52.69	-65.44	20.75	68.65	162	g00b
l50c	56.55	-45.12	-16.57	48.07	200	g34b
c00v	59.61	-28.98	-46.22	54.56	238	g69b
c50v	43.33	-1.54	-45.13	45.16	268	g96b
v00m	28.39	23.63	-44.13	50.06	298	b23r
v50m	36.9	43.84	-30.24	53.26	325	b47r
m00o	49.58	73.93	-9.56	74.55	353	b71r
m50o	49.17	69.55	14.68	71.08	12	b88r



%Umfang
 $u^*_{rel} = 89$
%Regularität
 $g^*_{H,rel} = 72$
 $g^*_{C,rel} = 57$

Ein und Ausgabe: Farbmatisches Drucker-Reflektiv-System ORS19_96a für relativen CIELAB-Bunton $h^* = lab^*h^* = h_{ab}/360 = 0.556$

$u^*_d = 150c$
 $LAB^*LAB^*_a$

Daten für jede Farbe:

lab^*tch^* und lab^*icu^*

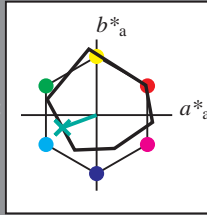
Bunntexte:

$u^*_d = 150c$ $u^*_e = g34b$

Kontrastreduzierungsfaktor:

$c_R = 1.0$

Dreiecks-Helligkeit t^*



ORS19_96a; adaptierte CIELAB-Daten						
u^*_d	$L^*=L^*_a$	a^*_a	b^*_a	$C^*_{ab,a}$	$h^*_{ab,a}$	
O _{Ma}	48.75	65.07	39.43	76.08	31	
Y _{Ma}	90.92	-10.29	87.24	87.85	97	
L _{Ma}	52.69	-65.44	20.75	68.65	162	
C _{Ma}	59.61	-28.98	-46.22	54.56	238	
V _{Ma}	28.39	23.63	-44.13	50.06	298	
M _{Ma}	49.58	73.93	-9.56	74.55	353	
N _{Ma}	18.89	0.0	0.0	0.0	0	
W _{Ma}	96.9	0.0	0.0	0.0	0	
O _{Ma}	39.92	58.74	27.99	65.07	25	
Y _{Ma}	81.26	-2.89	71.56	71.62	92	
L _{Ma}	52.23	-42.42	13.6	44.55	162	
V _{Ma}	30.57	1.41	-46.47	46.49	272	

Daten für Maximalfarbe (Ma):

$LAB^*LAB^*_Ma: 57 -45 -17$

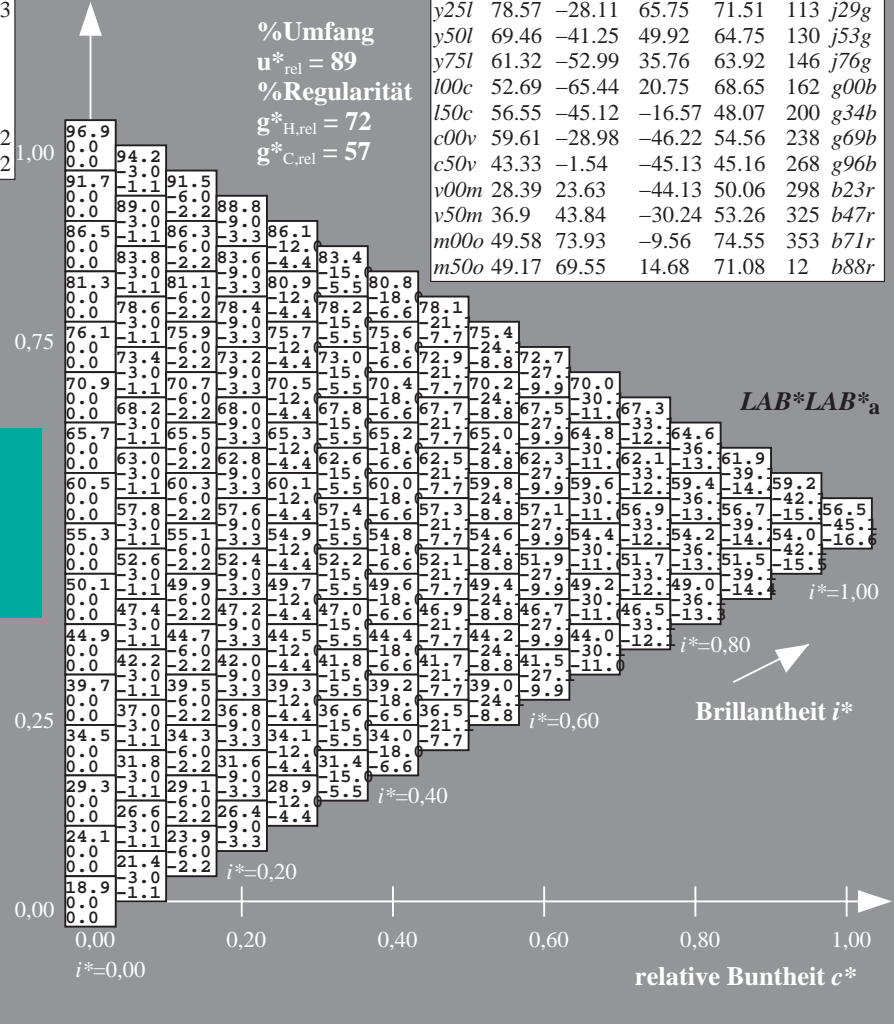
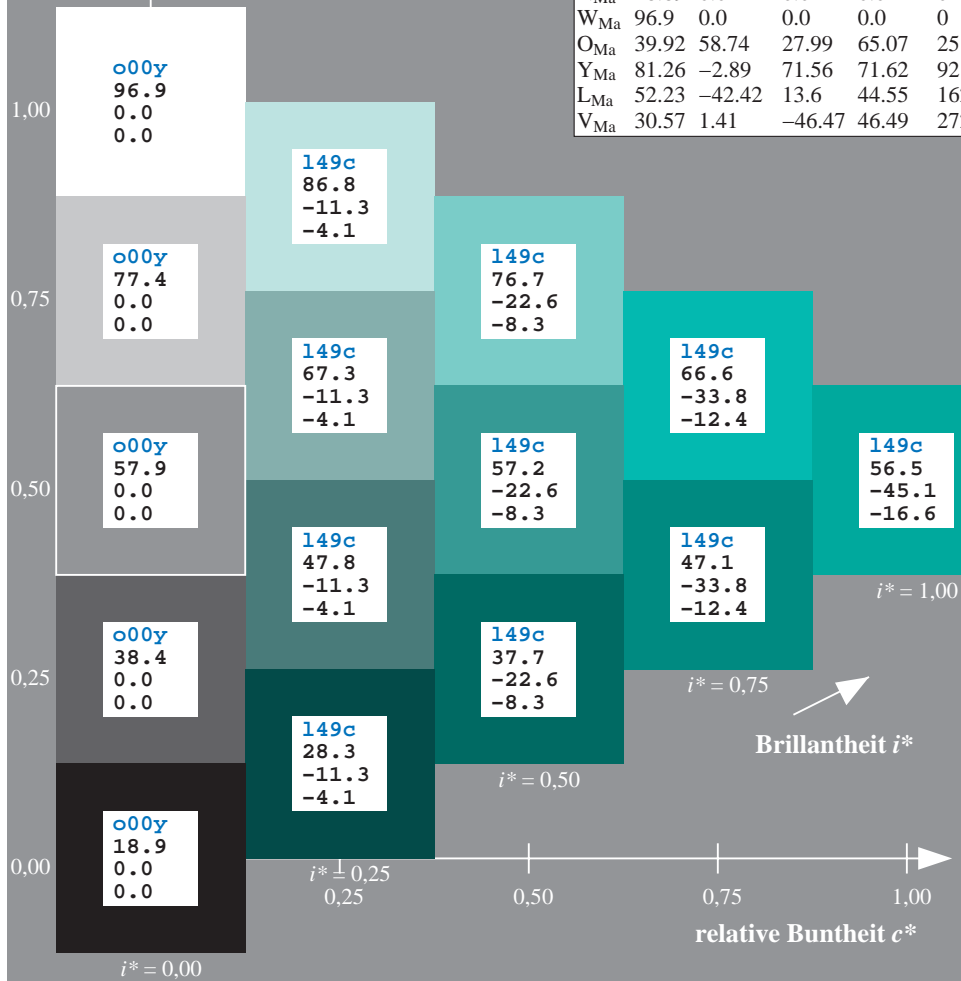
$LAB^*LCH^*_Ma: 57 48 200$

$lab^*olv^*_Ma: 0.0 1.0 0.5$

$lab^*rgb^*_Ma: 0.0 1.0 0.69$

Dreiecks-Helligkeit t^*

ORS19_96a; adaptierte CIELAB-Daten							
u^*_d	$L^*=L^*_a$	a^*_a	b^*_a	$C^*_{ab,a}$	$h^*_{ab,a}$	u^*_e	
o00y	96.9	0.0	0.0				r08j
o25y	59.04	46.67	51.1	69.21	48	r33j	
o50y	68.32	30.09	61.62	68.58	64	r57j	
o75y	78.23	12.39	72.85	73.9	80	r81j	
y00l	90.92	-10.29	87.24	87.85	97	j06g	
y25l	78.57	-28.11	65.75	71.51	113	j29g	
y50l	69.46	-41.25	49.92	64.75	130	j53g	
y75l	61.32	-52.99	35.76	63.92	146	j76g	
l00c	52.69	-65.44	20.75	68.65	162	g00b	
l50c	56.55	-45.12	-16.57	48.07	200	g34b	
c00v	59.61	-28.98	-46.22	54.56	238	g69b	
c50v	43.33	-1.54	-45.13	45.16	268	g96b	
v00m	28.39	23.63	-44.13	50.06	298	b23r	
v50m	36.9	43.84	-30.24	53.26	325	b47r	
m00o	49.58	73.93	-9.56	74.55	353	b71r	
m50o	49.17	69.55	14.68	71.08	12	b88r	



%Umfang
 $u^*_{rel} = 89$
 %Regularität
 $g^*_{H,rel} = 72$
 $g^*_{C,rel} = 57$

Ein und Ausgabe: Farbmatisches Drucker-Reflektiv-System ORS19_96a für relativen CIELAB-Bunton $h^* = lab^*h^* = h_{ab}/360 = 0.661$

$u^*_d = c00v$
 $LAB^*LAB^*_a$

Daten für jede Farbe:

lab^*tch^* und lab^*icu^*

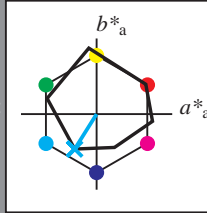
Buntontexte:

$u^*_d = c00v$ $u^*_e = g69b$

Kontrastreduzierungsfaktor:

$c_R = 1.0$

Dreiecks-Helligkeit t^*



ORS19_96a; adaptierte CIELAB-Daten

u^*_d	$L^*=L^*_a$	a^*_a	b^*_a	$C^*_{ab,a}$	$h^*_{ab,a}$
O _{Ma}	48.75	65.07	39.43	76.08	31
Y _{Ma}	90.92	-10.29	87.24	87.85	97
L _{Ma}	52.69	-65.44	20.75	68.65	162
C _{Ma}	59.61	-28.98	-46.22	54.56	238
V _{Ma}	28.39	23.63	-44.13	50.06	298
M _{Ma}	49.58	73.93	-9.56	74.55	353
N _{Ma}	18.89	0.0	0.0	0.0	0
W _{Ma}	96.9	0.0	0.0	0.0	0
O _{Ma}	39.92	58.74	27.99	65.07	25
Y _{Ma}	81.26	-2.89	71.56	71.62	92
L _{Ma}	52.23	-42.42	13.6	44.55	162
V _{Ma}	30.57	1.41	-46.47	46.49	272

Daten für Maximalfarbe (Ma):

$LAB^*LAB^*_Ma: 60 -29 -46$

$LAB^*LCH^*_Ma: 60 55 237$

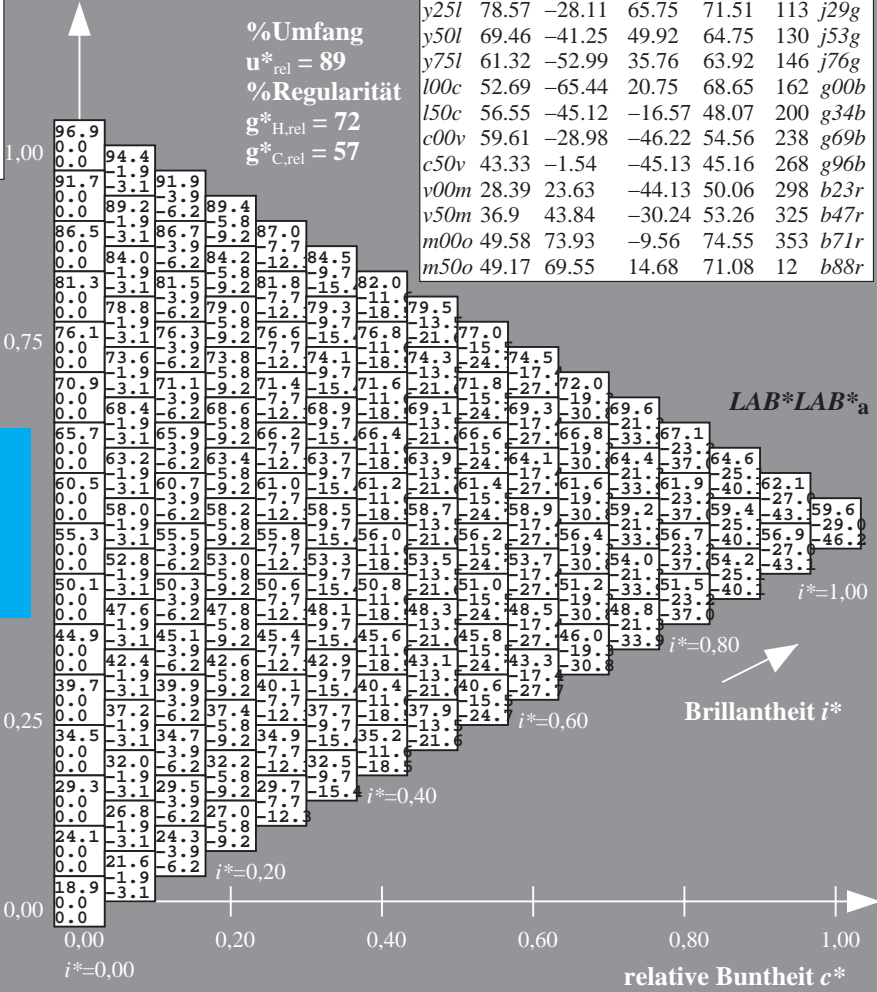
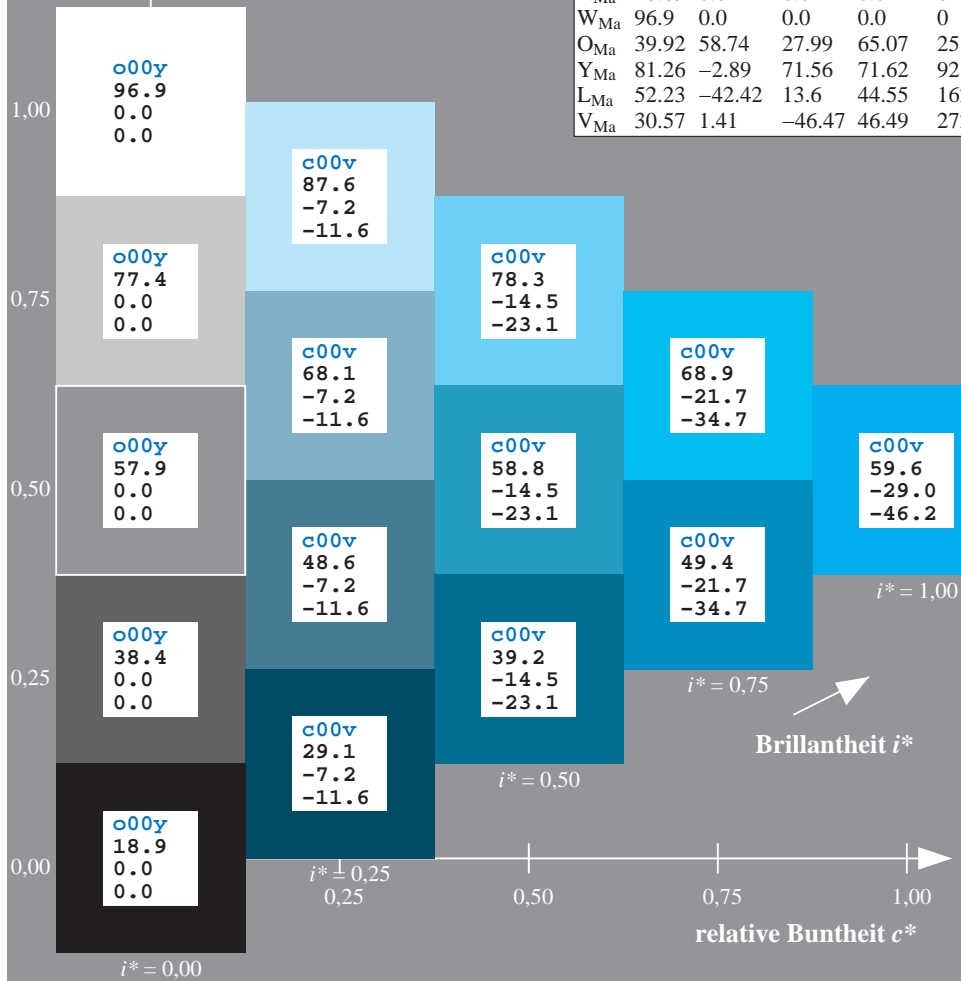
$lab^*olv^*_Ma: 0.0 1.0 1.0$

$lab^*rgb^*_Ma: 0.0 0.62 1.0$

Dreiecks-Helligkeit t^*

ORS19_96a; adaptierte CIELAB-Daten

u^*_d	$L^*=L^*_a$	a^*_a	b^*_a	$C^*_{ab,a}$	$h^*_{ab,a}$	u^*_e
o00y	96.9	0.0	0.0			r08j
o25y	59.04	46.67	51.1	69.21	48	r33j
o50y	68.32	30.09	61.62	68.58	64	r57j
o75y	78.23	12.39	72.85	73.9	80	r81j
y00l	90.92	-10.29	87.24	87.85	97	j06g
y25l	78.57	-28.11	65.75	71.51	113	j29g
y50l	69.46	-41.25	49.92	64.75	130	j53g
y75l	61.32	-52.99	35.76	63.92	146	j76g
l00c	52.69	-65.44	20.75	68.65	162	g00b
l50c	56.55	-45.12	-16.57	48.07	200	g34b
c00v	59.61	-28.98	-46.22	54.56	238	g69b
c50v	43.33	-1.54	-45.13	45.16	268	g96b
v00m	28.39	23.63	-44.13	50.06	298	b23r
v50m	36.9	43.84	-30.24	53.26	325	b47r
m00o	49.58	73.93	-9.56	74.55	353	b71r
m50o	49.17	69.55	14.68	71.08	12	b88r



%Umfang
 $u^*_{rel} = 89$
%Regularität
 $g^*_{H,rel} = 72$
 $g^*_{C,rel} = 57$

$LAB^*LAB^*_a$

Brillanzheit i^*

Ein und Ausgabe: Farbmatisches Drucker-Reflektiv-System ORS19_96a für relativen CIELAB-Bunton $h^* = lab^*h^* = h_{ab}/360 = 0.745$

Daten für jede Farbe:

lab^*ch^* und lab^*icu^*

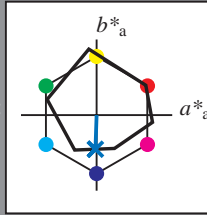
Buntontexte:

$u^*_d = c50v$ $u^*_e = g96b$

Kontrastreduzierungsfaktor:

$c_R = 1.0$

Dreiecks-Helligkeit t^*



ORS19_96a; adaptierte CIELAB-Daten

u^*_d	$L^*=L^*_a$	a^*_a	b^*_a	$C^*_{ab,a}$	$h^*_{ab,a}$
O _{Ma}	48.75	65.07	39.43	76.08	31
Y _{Ma}	90.92	-10.29	87.24	87.85	97
L _{Ma}	52.69	-65.44	20.75	68.65	162
C _{Ma}	59.61	-28.98	-46.22	54.56	238
V _{Ma}	28.39	23.63	-44.13	50.06	298
M _{Ma}	49.58	73.93	-9.56	74.55	353
N _{Ma}	18.89	0.0	0.0	0.0	0
W _{Ma}	96.9	0.0	0.0	0.0	0
O _{Ma}	39.92	58.74	27.99	65.07	25
Y _{Ma}	81.26	-2.89	71.56	71.62	92
L _{Ma}	52.23	-42.42	13.6	44.55	162
V _{Ma}	30.57	1.41	-46.47	46.49	272

$u^*_d = c50v$
 $LAB^*LAB^*_a$

Daten für Maximalfarbe (Ma):

$LAB^*LAB^*_Ma: 43 -2 -45$

$LAB^*LCH^*_Ma: 43 45 268$

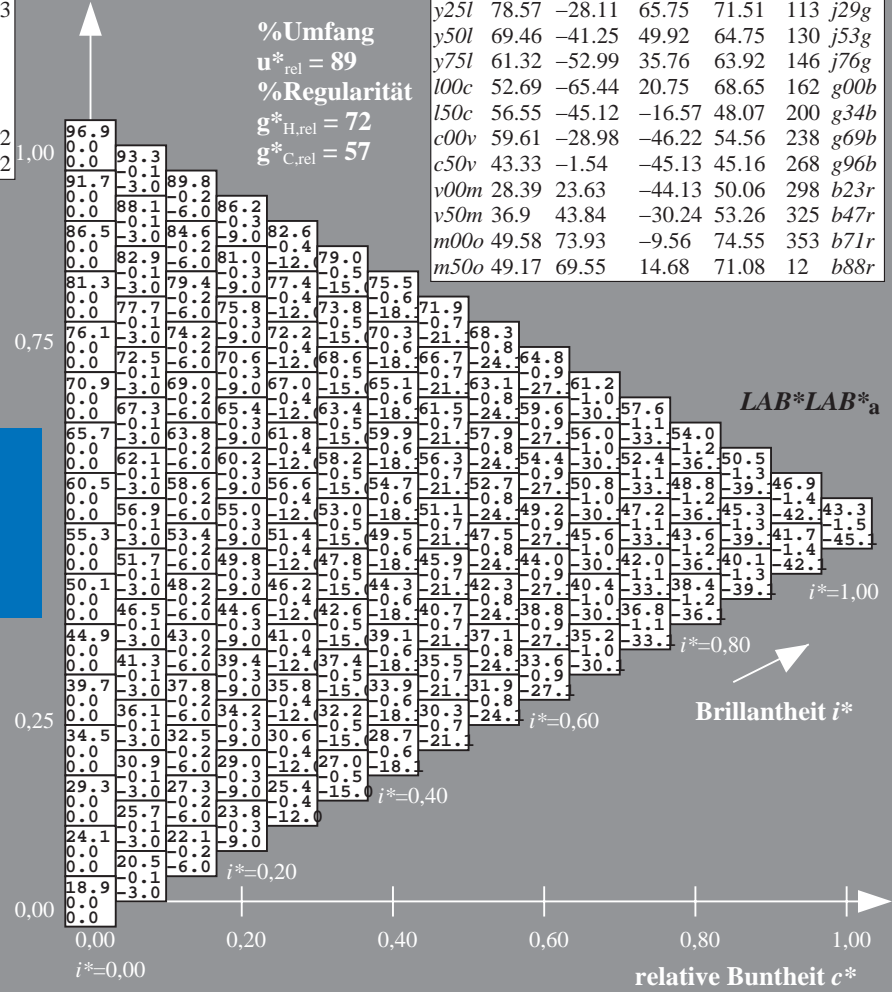
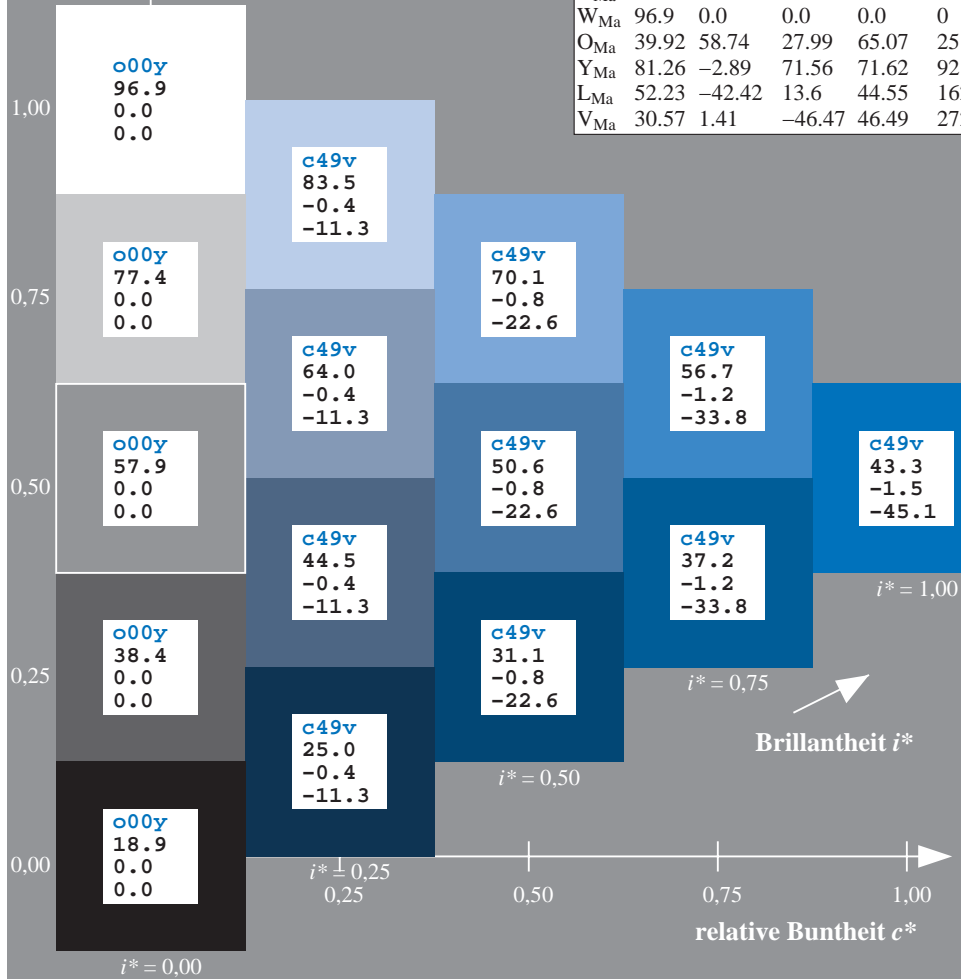
$lab^*olv^*_Ma: 0.0 0.5 1.0$

$lab^*rgb^*_Ma: 0.0 0.07 1.0$

Dreiecks-Helligkeit t^*

ORS19_96a; adaptierte CIELAB-Daten

u^*_d	$L^*=L^*_a$	a^*_a	b^*_a	$C^*_{ab,a}$	$h^*_{ab,a}$	u^*_e
o00y	48.75	65.07	39.43	76.08	31	r08j
o25y	59.04	46.67	51.1	69.21	48	r33j
o50y	68.32	30.09	61.62	68.58	64	r57j
o75y	78.23	12.39	72.85	73.9	80	r81j
y00l	90.92	-10.29	87.24	87.85	97	j06g
y25l	78.57	-28.11	65.75	71.51	113	j29g
y50l	69.46	-41.25	49.92	64.75	130	j53g
y75l	61.32	-52.99	35.76	63.92	146	j76g
l00c	52.69	-65.44	20.75	68.65	162	g00b
l50c	56.55	-45.12	-16.57	48.07	200	g34b
c00v	59.61	-28.98	-46.22	54.56	238	g69b
c50v	43.33	-1.54	-45.13	45.16	268	g96b
v00m	28.39	23.63	-44.13	50.06	298	b23r
v50m	36.9	43.84	-30.24	53.26	325	b47r
m00o	49.58	73.93	-9.56	74.55	353	b71r
m50o	49.17	69.55	14.68	71.08	12	b88r



Ein und Ausgabe: Farbmatisches Drucker-Reflektiv-System ORS19_96a für relativen CIELAB-Bunton $h^* = \text{lab}^*h^* = h_{ab}/360 = 0.828$

Daten für jede Farbe:

lab^*tch^* und lab^*icu^*

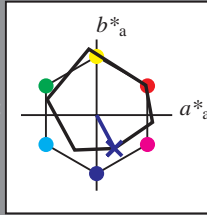
Buntontexte:

$u^*_d = v00m$ $u^*_e = b23r$

Kontrastreduzierungsfaktor:

$c_R = 1.0$

Dreiecks-Helligkeit t^*



ORS19_96a; adaptierte CIELAB-Daten

u^*_d	$L^*=L^*_a$	a^*_a	b^*_a	$C^*_{ab,a}$	$h^*_{ab,a}$
O _{Ma}	48.75	65.07	39.43	76.08	31
Y _{Ma}	90.92	-10.29	87.24	87.85	97
L _{Ma}	52.69	-65.44	20.75	68.65	162
C _{Ma}	59.61	-28.98	-46.22	54.56	238
V _{Ma}	28.39	23.63	-44.13	50.06	298
M _{Ma}	49.58	73.93	-9.56	74.55	353
N _{Ma}	18.89	0.0	0.0	0.0	0
W _{Ma}	96.9	0.0	0.0	0.0	0
O _{Ma}	39.92	58.74	27.99	65.07	25
Y _{Ma}	81.26	-2.89	71.56	71.62	92
L _{Ma}	52.23	-42.42	13.6	44.55	162
V _{Ma}	30.57	1.41	-46.47	46.49	272

$u^*_d = v00m$
 $\text{LAB}^*\text{LAB}^*_a$

Daten für Maximalfarbe (Ma):

$\text{LAB}^*\text{LAB}^*_{Ma}$: 28 24 -44

$\text{LAB}^*\text{LCH}^*_{Ma}$: 28 50 298

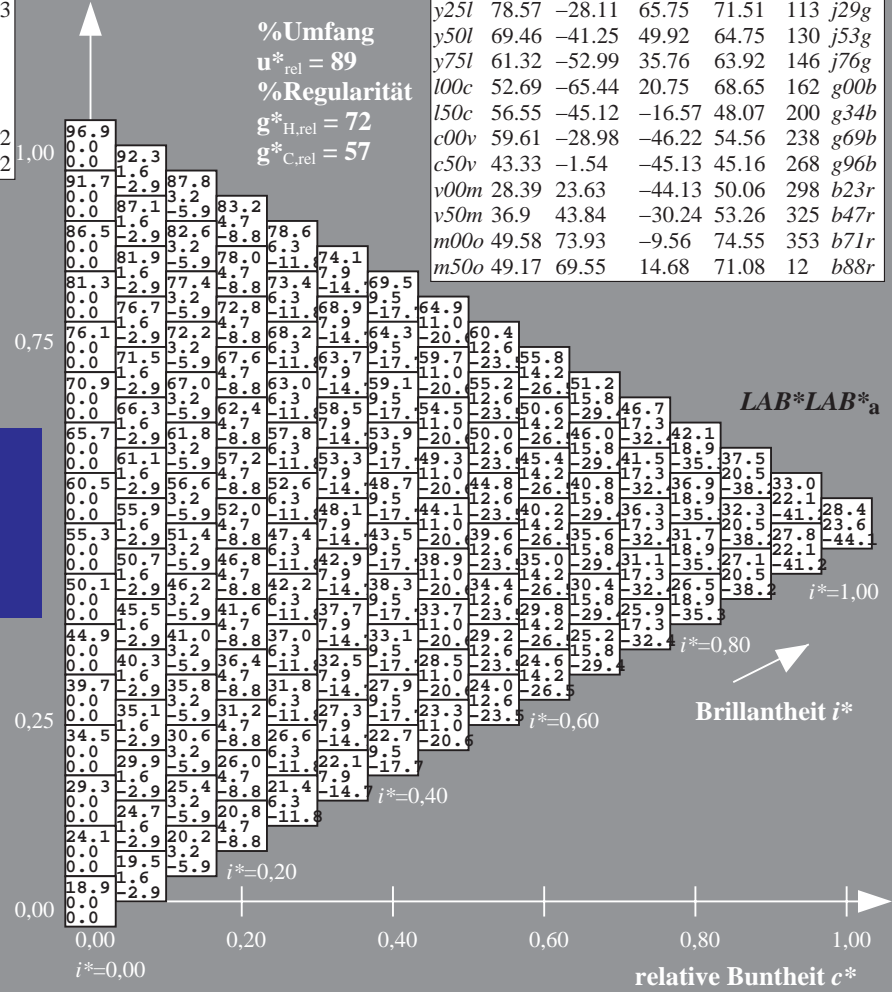
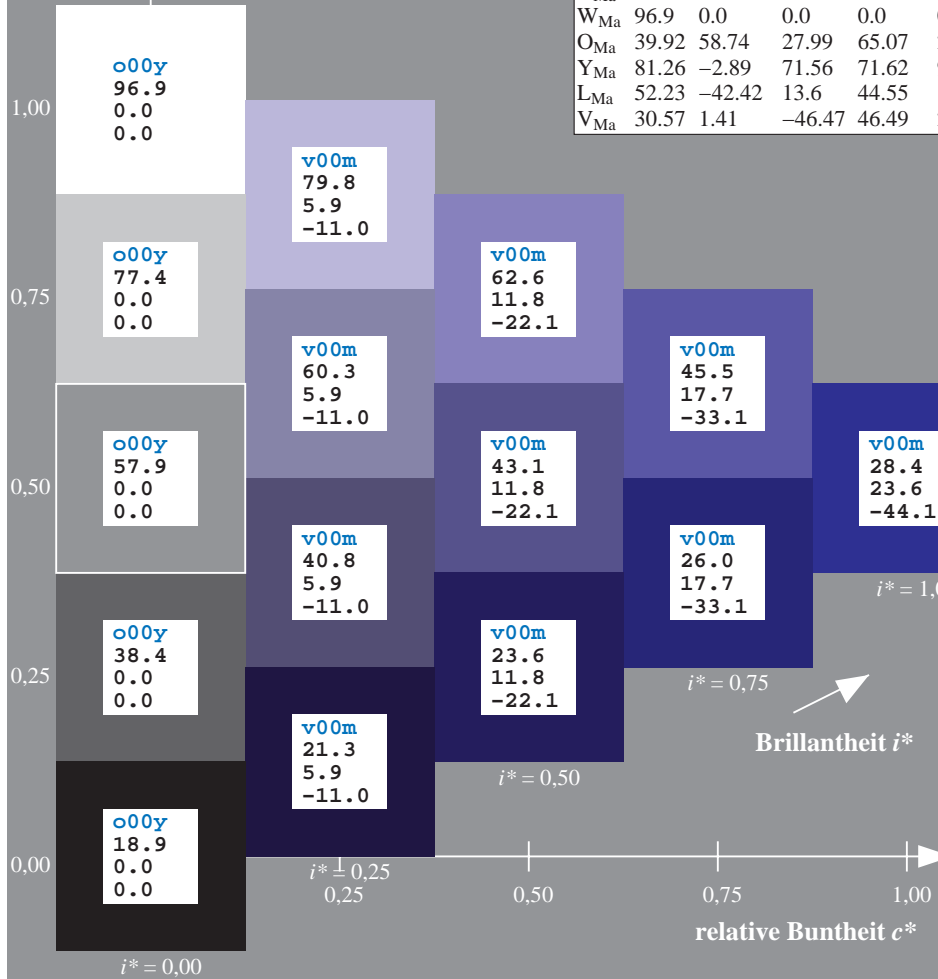
$\text{lab}^*\text{olv}^*_{Ma}$: 0.0 0.0 1.0

$\text{lab}^*\text{rgb}^*_{Ma}$: 0.46 0.0 1.0

Dreiecks-Helligkeit t^*

ORS19_96a; adaptierte CIELAB-Daten

u^*_d	$L^*=L^*_a$	a^*_a	b^*_a	$C^*_{ab,a}$	$h^*_{ab,a}$	u^*_e
o00y	48.75	65.07	39.43	76.08	31	r08j
o25y	59.04	46.67	51.1	69.21	48	r33j
o50y	68.32	30.09	61.62	68.58	64	r57j
o75y	78.23	12.39	72.85	73.9	80	r81j
y00l	90.92	-10.29	87.24	87.85	97	j06g
y25l	78.57	-28.11	65.75	71.51	113	j29g
y50l	69.46	-41.25	49.92	64.75	130	j53g
y75l	61.32	-52.99	35.76	63.92	146	j76g
l00c	52.69	-65.44	20.75	68.65	162	g00b
l50c	56.55	-45.12	-16.57	48.07	200	g34b
c00v	59.61	-28.98	-46.22	54.56	238	g69b
c50v	43.33	-1.54	-45.13	45.16	268	g96b
v00m	28.39	23.63	-44.13	50.06	298	b23r
v50m	36.9	43.84	-30.24	53.26	325	b47r
m00o	49.58	73.93	-9.56	74.55	353	b71r
m50o	49.17	69.55	14.68	71.08	12	b88r



%Umfang
 $u^*_{rel} = 89$
%Regularität
 $g^*_{H,rel} = 72$
 $g^*_{C,rel} = 57$

$\text{LAB}^*\text{LAB}^*_a$

$i^* = 1.00$

$i^* = 0.80$

$i^* = 0.60$

$i^* = 0.40$

$i^* = 0.20$

$i^* = 0.00$

Brillantheit i^*

Ein und Ausgabe: Farbmatisches Drucker-Reflektiv-System ORS19_96a für relativen CIELAB-Bunton $h^* = lab^*h^* = h_{ab}/360 = 0.904$

Daten für jede Farbe:

lab^*ch^* und lab^*icu^*

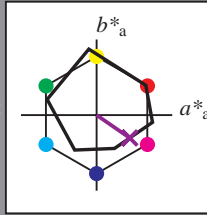
Buntontexte:

$u^*_d = v50m$ $u^*_e = b47r$

Kontrastreduzierungsfaktor:

$c_R = 1.0$

Dreiecks-Helligkeit t^*



ORS19_96a; adaptierte CIELAB-Daten

u^*_d	$L^*=L^*_a$	a^*_a	b^*_a	$C^*_{ab,a}$	$h^*_{ab,a}$
O _{Ma}	48.75	65.07	39.43	76.08	31
Y _{Ma}	90.92	-10.29	87.24	87.85	97
L _{Ma}	52.69	-65.44	20.75	68.65	162
C _{Ma}	59.61	-28.98	-46.22	54.56	238
V _{Ma}	28.39	23.63	-44.13	50.06	298
M _{Ma}	49.58	73.93	-9.56	74.55	353
N _{Ma}	18.89	0.0	0.0	0.0	0
W _{Ma}	96.9	0.0	0.0	0.0	0
O _{Ma}	39.92	58.74	27.99	65.07	25
Y _{Ma}	81.26	-2.89	71.56	71.62	92
L _{Ma}	52.23	-42.42	13.6	44.55	162
V _{Ma}	30.57	1.41	-46.47	46.49	272

$u^*_d = v50m$
 $LAB^*LAB^*_a$

Daten für Maximalfarbe (Ma):

$LAB^*LAB^*_Ma: 37\ 44\ -30$

$LAB^*LCH^*_Ma: 37\ 53\ 325$

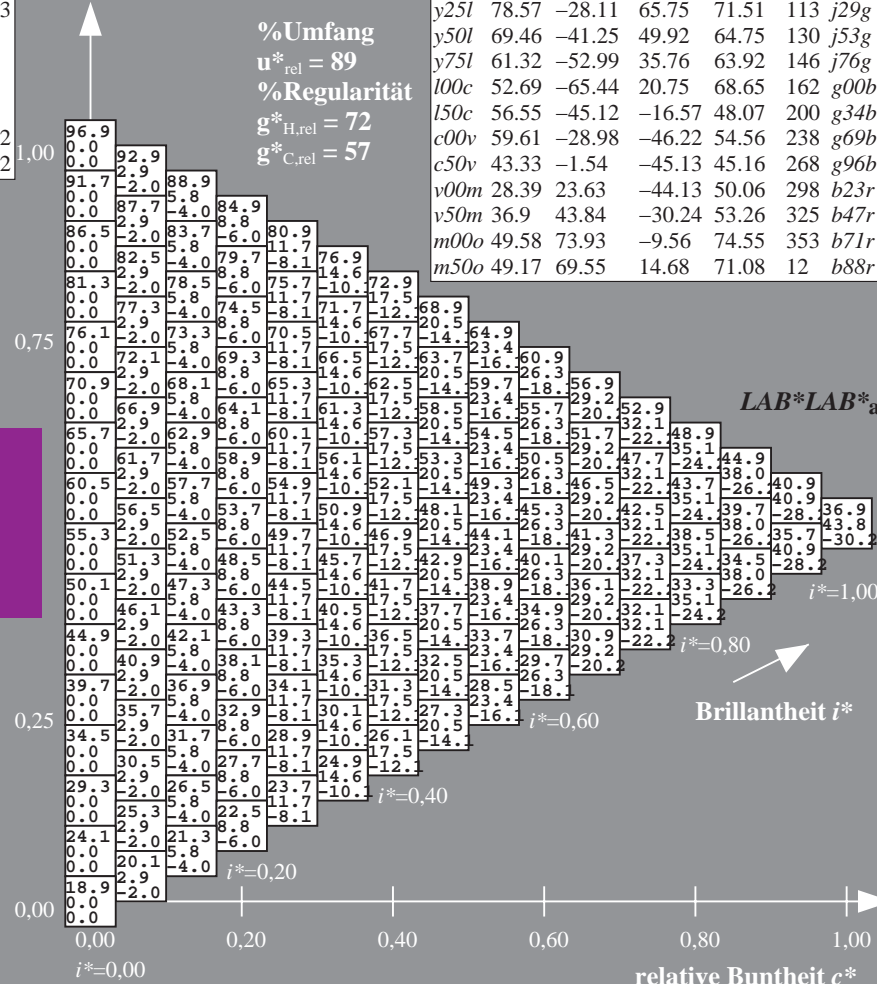
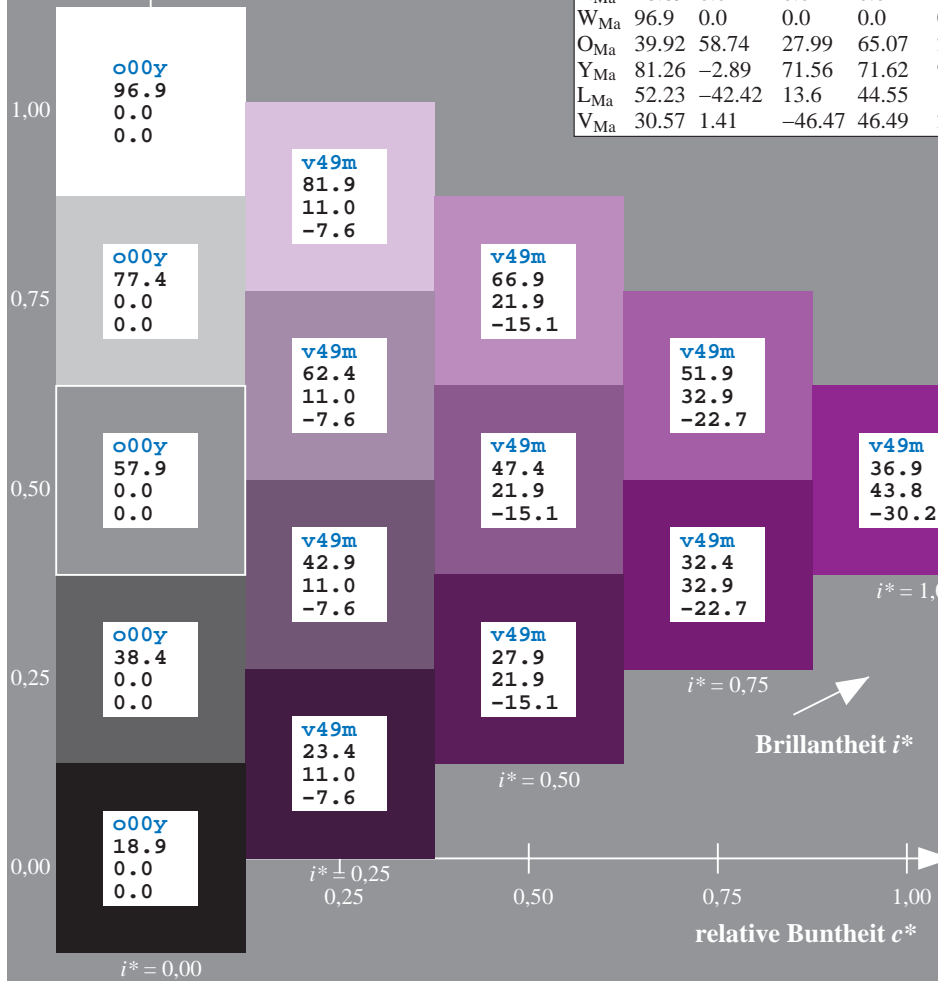
$lab^*olv^*_Ma: 0.5\ 0.0\ 1.0$

$lab^*rgb^*_Ma: 0.94\ 0.0\ 1.0$

Dreiecks-Helligkeit t^*

ORS19_96a; adaptierte CIELAB-Daten

u^*_d	$L^*=L^*_a$	a^*_a	b^*_a	$C^*_{ab,a}$	$h^*_{ab,a}$	u^*_e
o00y	48.75	65.07	39.43	76.08	31	r08j
o25y	59.04	46.67	51.1	69.21	48	r33j
o50y	68.32	30.09	61.62	68.58	64	r57j
o75y	78.23	12.39	72.85	73.9	80	r81j
y00l	90.92	-10.29	87.24	87.85	97	j06g
y25l	78.57	-28.11	65.75	71.51	113	j29g
y50l	69.46	-41.25	49.92	64.75	130	j53g
y75l	61.32	-52.99	35.76	63.92	146	j76g
l00c	52.69	-65.44	20.75	68.65	162	g00b
l50c	56.55	-45.12	-16.57	48.07	200	g34b
c00v	59.61	-28.98	-46.22	54.56	238	g69b
c50v	43.33	-1.54	-45.13	45.16	268	g96b
v00m	28.39	23.63	-44.13	50.06	298	b23r
v50m	36.9	43.84	-30.24	53.26	325	b47r
m00o	49.58	73.93	-9.56	74.55	353	b71r
m50o	49.17	69.55	14.68	71.08	12	b88r



%Umfang
 $u^*_{rel} = 89$
%Regularität
 $g^*_{H,rel} = 72$
 $g^*_{C,rel} = 57$

$LAB^*LAB^*_a$

Brillantheit i^*

Ein und Ausgabe: Farbmatisches Drucker-Reflektiv-System ORS19_96a für relativen CIELAB-Bunton $h^* = lab^*h^* = h_{ab}/360 = 0.98$

Daten für jede Farbe:

lab^*tch^* und lab^*icu^*

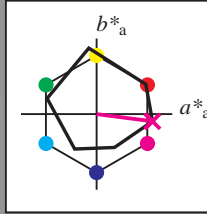
Buntontexte:

$u^*_d = m00o$ $u^*_e = b71r$

Kontrastreduzierungsfaktor:

$c_R = 1.0$

Dreiecks-Helligkeit t^*



ORS19_96a; adaptierte CIELAB-Daten						
u^*_d	$L^*=L^*_a$	a^*_a	b^*_a	$C^*_{ab,a}$	$h^*_{ab,a}$	
O _{Ma}	48.75	65.07	39.43	76.08	31	
Y _{Ma}	90.92	-10.29	87.24	87.85	97	
L _{Ma}	52.69	-65.44	20.75	68.65	162	
C _{Ma}	59.61	-28.98	-46.22	54.56	238	
V _{Ma}	28.39	23.63	-44.13	50.06	298	
M _{Ma}	49.58	73.93	-9.56	74.55	353	
N _{Ma}	18.89	0.0	0.0	0.0	0	
W _{Ma}	96.9	0.0	0.0	0.0	0	
O _{Ma}	39.92	58.74	27.99	65.07	25	
Y _{Ma}	81.26	-2.89	71.56	71.62	92	
L _{Ma}	52.23	-42.42	13.6	44.55	162	
V _{Ma}	30.57	1.41	-46.47	46.49	272	

Daten für Maximalfarbe (Ma):

$LAB^*LAB^*_{Ma}$: 50 74 -10

$LAB^*LCH^*_{Ma}$: 50 75 352

$lab^*olv^*_{Ma}$: 1.0 0.0 1.0

$lab^*rgb^*_{Ma}$: 1.0 0.0 0.58

Dreiecks-Helligkeit t^*

%Umfang

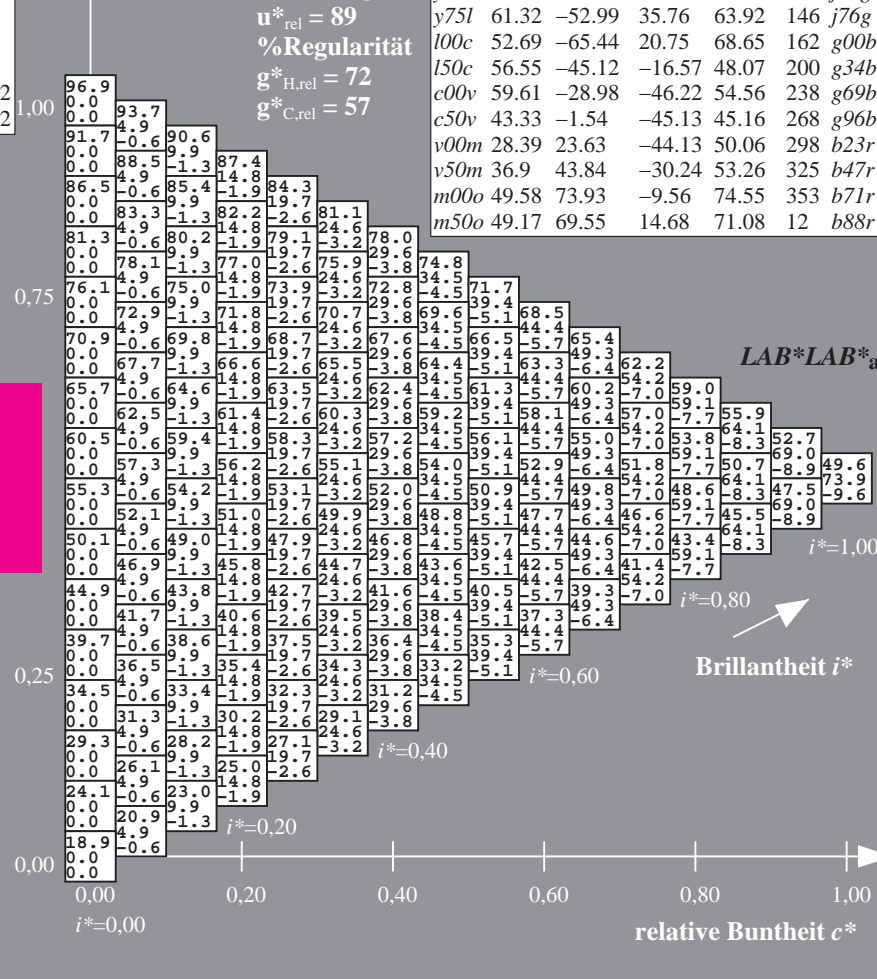
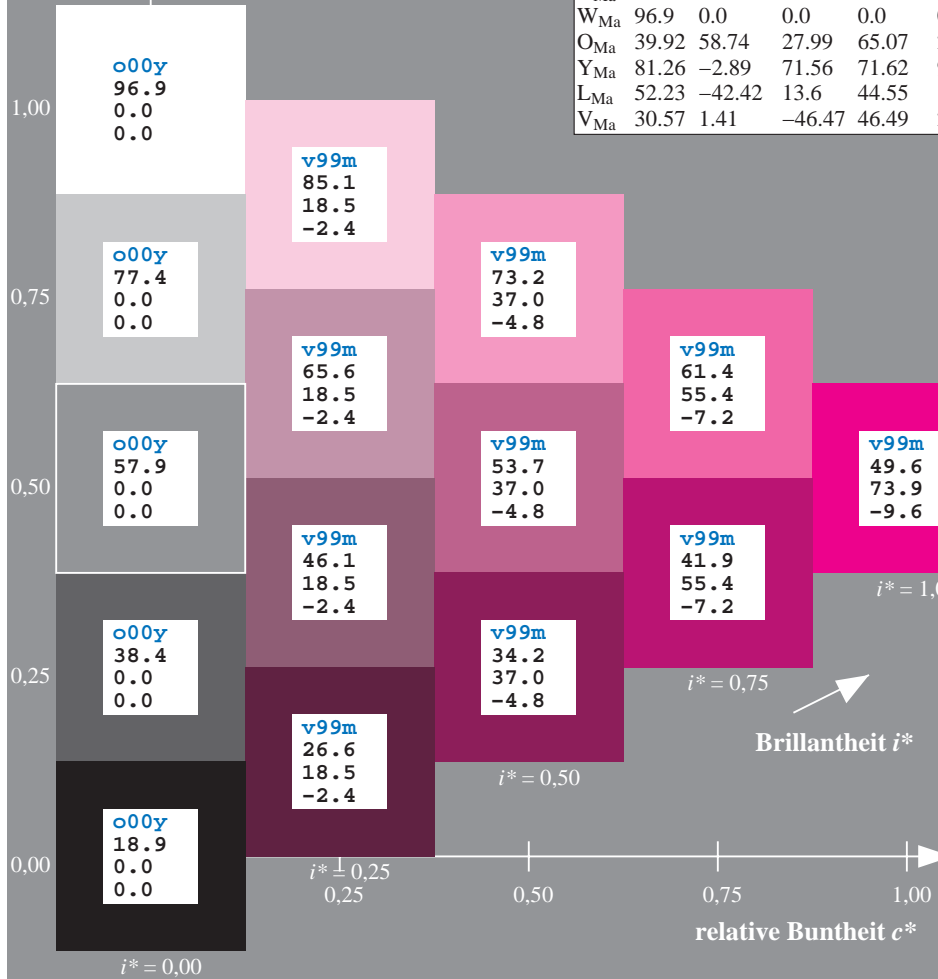
$u^*_{rel} = 89$

%Regularität

$g^*_{H,rel} = 72$

$g^*_{C,rel} = 57$

ORS19_96a; adaptierte CIELAB-Daten								
u^*_d	$L^*=L^*_a$	a^*_a	b^*_a	$C^*_{ab,a}$	$h^*_{ab,a}$	u^*_e		
o00y	48.75	65.07	39.43	76.08	31	r08j		
o25y	59.04	46.67	51.1	69.21	48	r33j		
o50y	68.32	30.09	61.62	68.58	64	r57j		
o75y	78.23	12.39	72.85	73.9	80	r81j		
y00l	90.92	-10.29	87.24	87.85	97	j06g		
y25l	78.57	-28.11	65.75	71.51	113	j29g		
y50l	69.46	-41.25	49.92	64.75	130	j53g		
y75l	61.32	-52.99	35.76	63.92	146	j76g		
l00c	52.69	-65.44	20.75	68.65	162	g00b		
l50c	56.55	-45.12	-16.57	48.07	200	g34b		
c00v	59.61	-28.98	-46.22	54.56	238	g69b		
c50v	43.33	-1.54	-45.13	45.16	268	g96b		
v00m	28.39	23.63	-44.13	50.06	298	b23r		
v50m	36.9	43.84	-30.24	53.26	325	b47r		
m00o	49.58	73.93	-9.56	74.55	353	b71r		
m50o	49.17	69.55	14.68	71.08	12	b88r		



Ein und Ausgabe: Farbmatisches Drucker-Reflektiv-System ORS19_96a für relativen CIELAB-Bunton $h^* = lab^*h^* = h_{ab}/360 = 0.033$

$u^*_d = m50o$

Daten für jede Farbe:

lab^*ch^* und lab^*icu^*

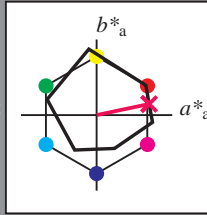
Buntontexte:

$u^*_d = m50o$ $u^*_e = b88r$

Kontrastreduzierungsfaktor:

$c_R = 1.0$

Dreiecks-Helligkeit t^*



ORS19_96a; adaptierte CIELAB-Daten

u^*_d	$L^*=L^*_a$	a^*_a	b^*_a	$C^*_{ab,a}$	$h^*_{ab,a}$
O _{Ma}	48.75	65.07	39.43	76.08	31
Y _{Ma}	90.92	-10.29	87.24	87.85	97
L _{Ma}	52.69	-65.44	20.75	68.65	162
C _{Ma}	59.61	-28.98	-46.22	54.56	238
V _{Ma}	28.39	23.63	-44.13	50.06	298
M _{Ma}	49.58	73.93	-9.56	74.55	353
N _{Ma}	18.89	0.0	0.0	0.0	0
W _{Ma}	96.9	0.0	0.0	0.0	0
O _{Ma}	39.92	58.74	27.99	65.07	25
Y _{Ma}	81.26	-2.89	71.56	71.62	92
L _{Ma}	52.23	-42.42	13.6	44.55	162
V _{Ma}	30.57	1.41	-46.47	46.49	272

Daten für Maximalfarbe (Ma):

$LAB^*LAB^*_{Ma}$: 49 70 15

$LAB^*LCH^*_{Ma}$: 49 71 11

$lab^*olv^*_{Ma}$: 1.0 0.0 0.5

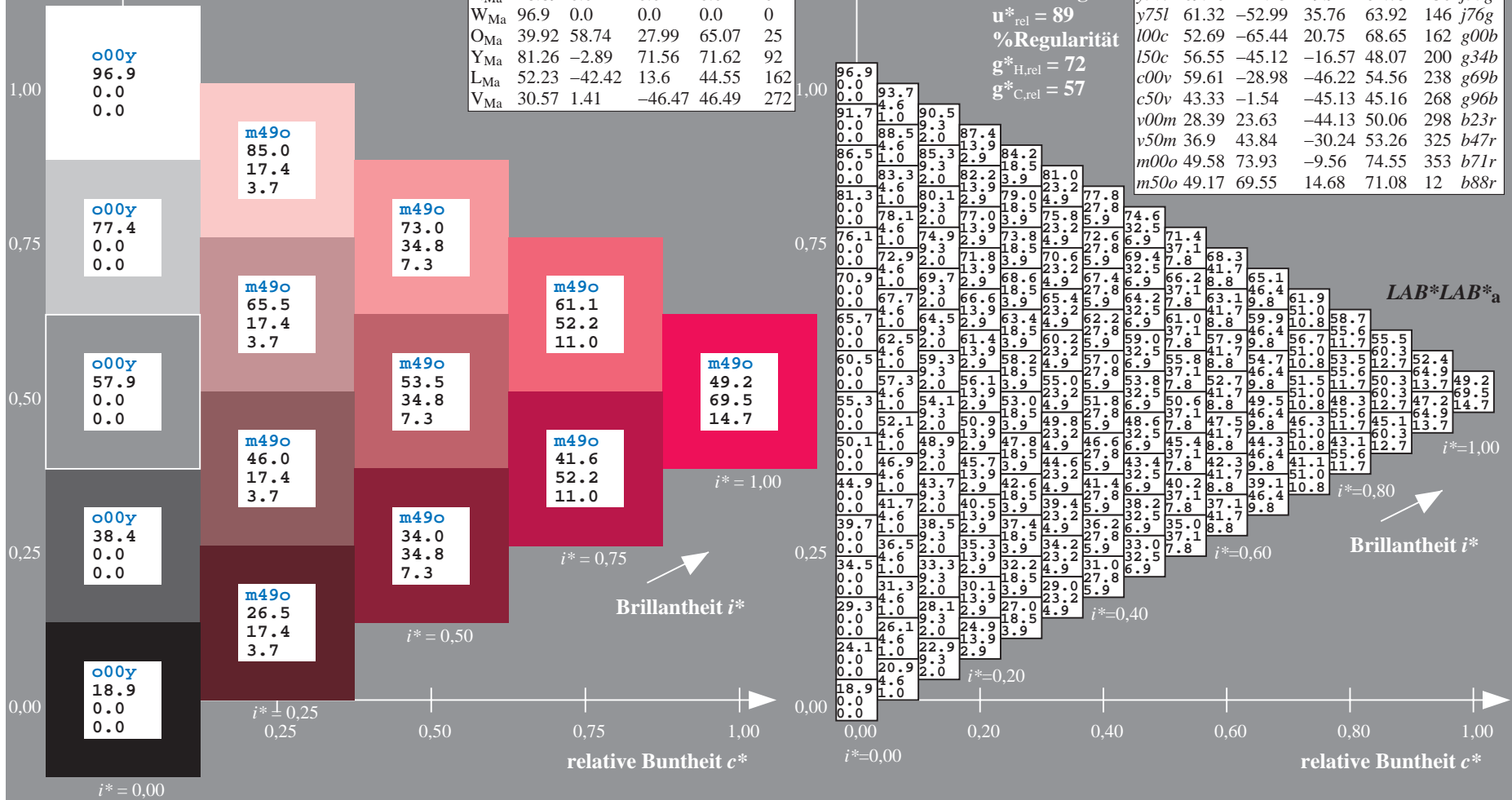
$lab^*rgb^*_{Ma}$: 1.0 0.0 0.24

Dreiecks-Helligkeit t^*

ORS19_96a; adaptierte CIELAB-Daten

u^*_d	$L^*=L^*_a$	a^*_a	b^*_a	$C^*_{ab,a}$	$h^*_{ab,a}$	u^*_e
o00y	48.75	65.07	39.43	76.08	31	r08j
o25y	59.04	46.67	51.1	69.21	48	r33j
o50y	68.32	30.09	61.62	68.58	64	r57j
o75y	78.23	12.39	72.85	73.9	80	r81j
y00l	90.92	-10.29	87.24	87.85	97	j06g
y25l	78.57	-28.11	65.75	71.51	113	j29g
y50l	69.46	-41.25	49.92	64.75	130	j53g
y75l	61.32	-52.99	35.76	63.92	146	j76g
l00c	52.69	-65.44	20.75	68.65	162	g00b
l50c	56.55	-45.12	-16.57	48.07	200	g34b
c00v	59.61	-28.98	-46.22	54.56	238	g69b
c50v	43.33	-1.54	-45.13	45.16	268	g96b
v00m	28.39	23.63	-44.13	50.06	298	b23r
v50m	36.9	43.84	-30.24	53.26	325	b47r
m00o	49.58	73.93	-9.56	74.55	353	b71r
m50o	49.17	69.55	14.68	71.08	12	b88r

$LAB^*LAB^*_a$



Ein und Ausgabe:
 Farbmatisches Drucker-Reflektiv-System ORS19_96a

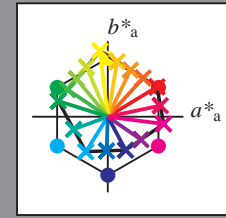
Daten für jede Farbe:
 u^*_d und Nummer *Nr.* = 00 .. 15

Geräte-Bunttextext:
 $u^*_d = 16$ Bunttoene *o00y, o25y, ..., m50o*

Kontrastreduzierungsfaktor:
 $c_R = 1.0$

ORS19_96a; adaptierte CIELAB-Daten

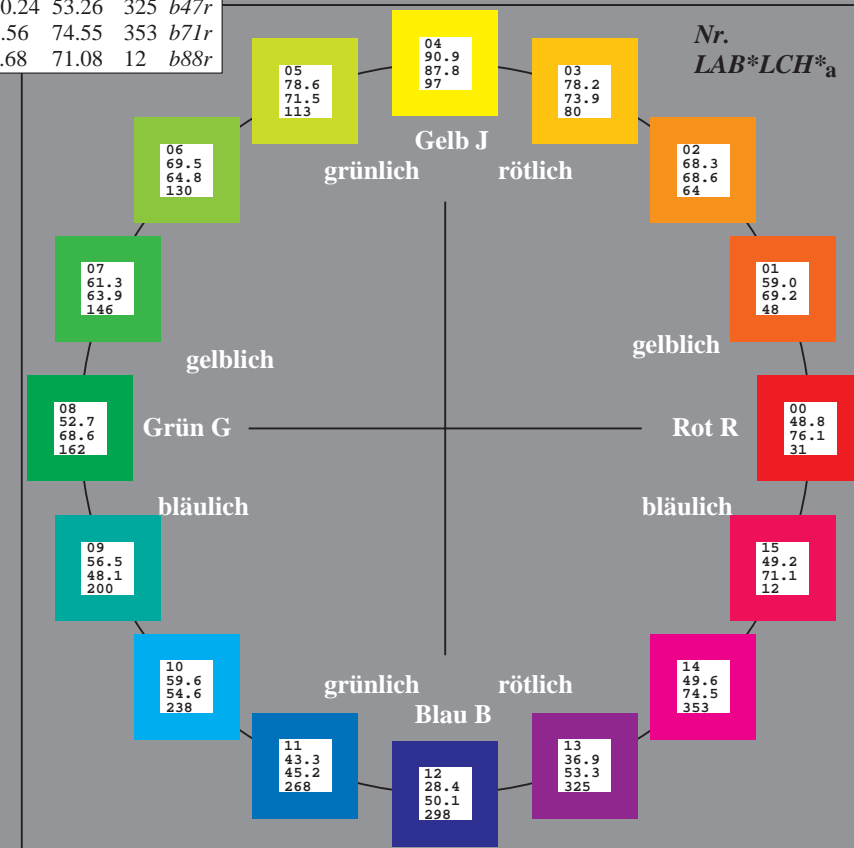
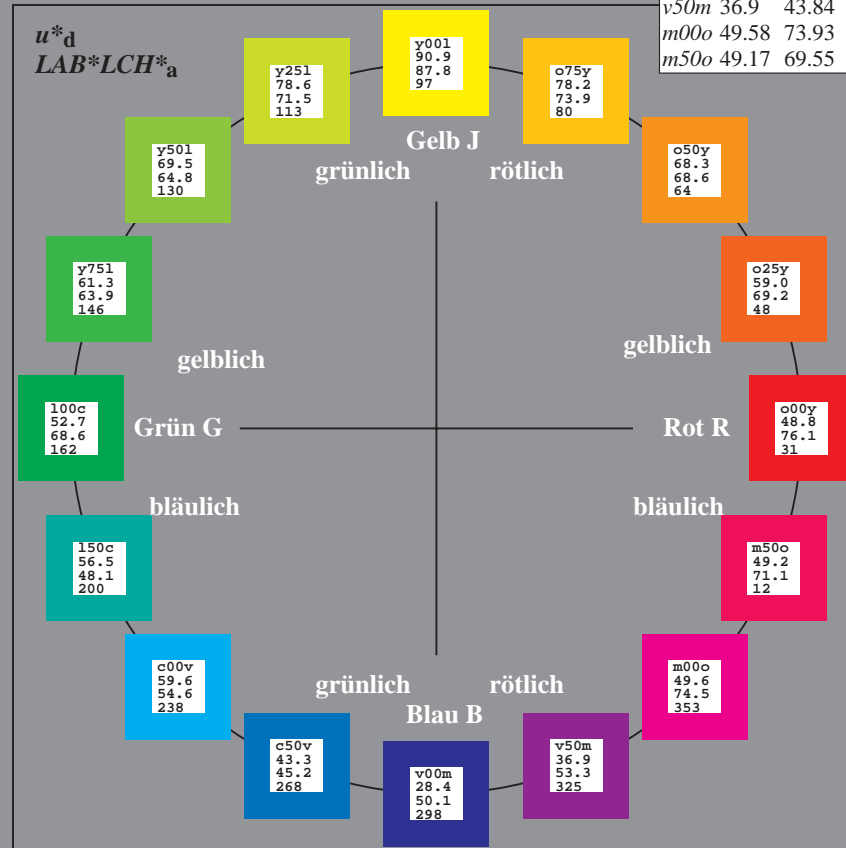
u^*_d	$L^*=L^*_a$	a^*_a	b^*_a	$C^*_{ab,a}$	$h^*_{ab,a}$	u^*_e
<i>o00y</i>	48.75	65.07	39.43	76.08	31	<i>r08j</i>
<i>o25y</i>	59.04	46.67	51.1	69.21	48	<i>r33j</i>
<i>o50y</i>	68.32	30.09	61.62	68.58	64	<i>r57j</i>
<i>o75y</i>	78.23	12.39	72.85	73.9	80	<i>r81j</i>
<i>y00l</i>	90.92	-10.29	87.24	87.85	97	<i>j06g</i>
<i>y25l</i>	78.57	-28.11	65.75	71.51	113	<i>j29g</i>
<i>y50l</i>	69.46	-41.25	49.92	64.75	130	<i>j53g</i>
<i>y75l</i>	61.32	-52.99	35.76	63.92	146	<i>j76g</i>
<i>l00c</i>	52.69	-65.44	20.75	68.65	162	<i>g00b</i>
<i>l50c</i>	56.55	-45.12	-16.57	48.07	200	<i>g34b</i>
<i>c00v</i>	59.61	-28.98	-46.22	54.56	238	<i>g69b</i>
<i>c50v</i>	43.33	-1.54	-45.13	45.16	268	<i>g96b</i>
<i>v00m</i>	28.39	23.63	-44.13	50.06	298	<i>b23r</i>
<i>v50m</i>	36.9	43.84	-30.24	53.26	325	<i>b47r</i>
<i>m00o</i>	49.58	73.93	-9.56	74.55	353	<i>b71r</i>
<i>m50o</i>	49.17	69.55	14.68	71.08	12	<i>b88r</i>



%Umfang
 $u^*_{rel} = 89$
 %Regularität
 $g^*_{H,rel} = 72$
 $g^*_{C,rel} = 57$

ORS19_96a; adaptierte CIELAB-Daten

Name	$L^*=L^*_a$	a^*_a	b^*_a	$C^*_{ab,a}$	$h^*_{ab,a}$
O _{Ma}	48.75	65.07	39.43	76.08	31
Y _{Ma}	90.92	-10.29	87.24	87.85	97
L _{Ma}	52.69	-65.44	20.75	68.65	162
C _{Ma}	59.61	-28.98	-46.22	54.56	238
V _{Ma}	28.39	23.63	-44.13	50.06	298
M _{Ma}	49.58	73.93	-9.56	74.55	353
N _{Ma}	18.89	0.0	0.0	0.0	0
W _{Ma}	96.9	0.0	0.0	0.0	0
O _{CIE}	39.92	58.74	27.99	65.07	25
Y _{CIE}	81.26	-2.89	71.56	71.62	92
L _{CIE}	52.23	-42.42	13.6	44.55	162
V _{CIE}	30.57	1.41	-46.47	46.49	272



Ein und Ausgabe: Farbmatisches Drucker-Reflektiv-System ORS19_96a für relativen CIELAB-Bunton $h^* = lab^*h^* = h_{ab}/360 = 0.087$

Daten für jede Farbe:

lab^*ch^* und lab^*icu^*

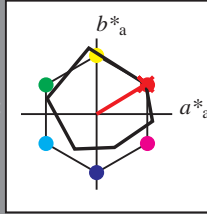
Buntontexte:

$u^*_d = o00y$ $u^*_e = r08j$

Kontrastreduzierungsfaktor:

$c_R = 1.0$

Dreiecks-Helligkeit t^*



ORS19_96a; adaptierte CIELAB-Daten

u^*_d	$L^*=L^*_a$	a^*_a	b^*_a	$C^*_{ab,a}$	$h^*_{ab,a}$
O _{Ma}	48.75	65.07	39.43	76.08	31
Y _{Ma}	90.92	-10.29	87.24	87.85	97
L _{Ma}	52.69	-65.44	20.75	68.65	162
C _{Ma}	59.61	-28.98	-46.22	54.56	238
V _{Ma}	28.39	23.63	-44.13	50.06	298
M _{Ma}	49.58	73.93	-9.56	74.55	353
N _{Ma}	18.89	0.0	0.0	0.0	0
W _{Ma}	96.9	0.0	0.0	0.0	0
O _{Ma}	39.92	58.74	27.99	65.07	25
Y _{Ma}	81.26	-2.89	71.56	71.62	92
L _{Ma}	52.23	-42.42	13.6	44.55	162
V _{Ma}	30.57	1.41	-46.47	46.49	272

Daten für Maximalfarbe (Ma):

$LAB^*LAB^*_{Ma}$: 49 65 39

$LAB^*LCH^*_{Ma}$: 49 76 31

$lab^*olv^*_{Ma}$: 1.0 0.0 0.0

$lab^*rgb^*_{Ma}$: 1.0 0.09 0.0

Dreiecks-Helligkeit t^*

%Umfang

$u^*_{rel} = 89$

%Regularität

$g^*_{H,rel} = 72$

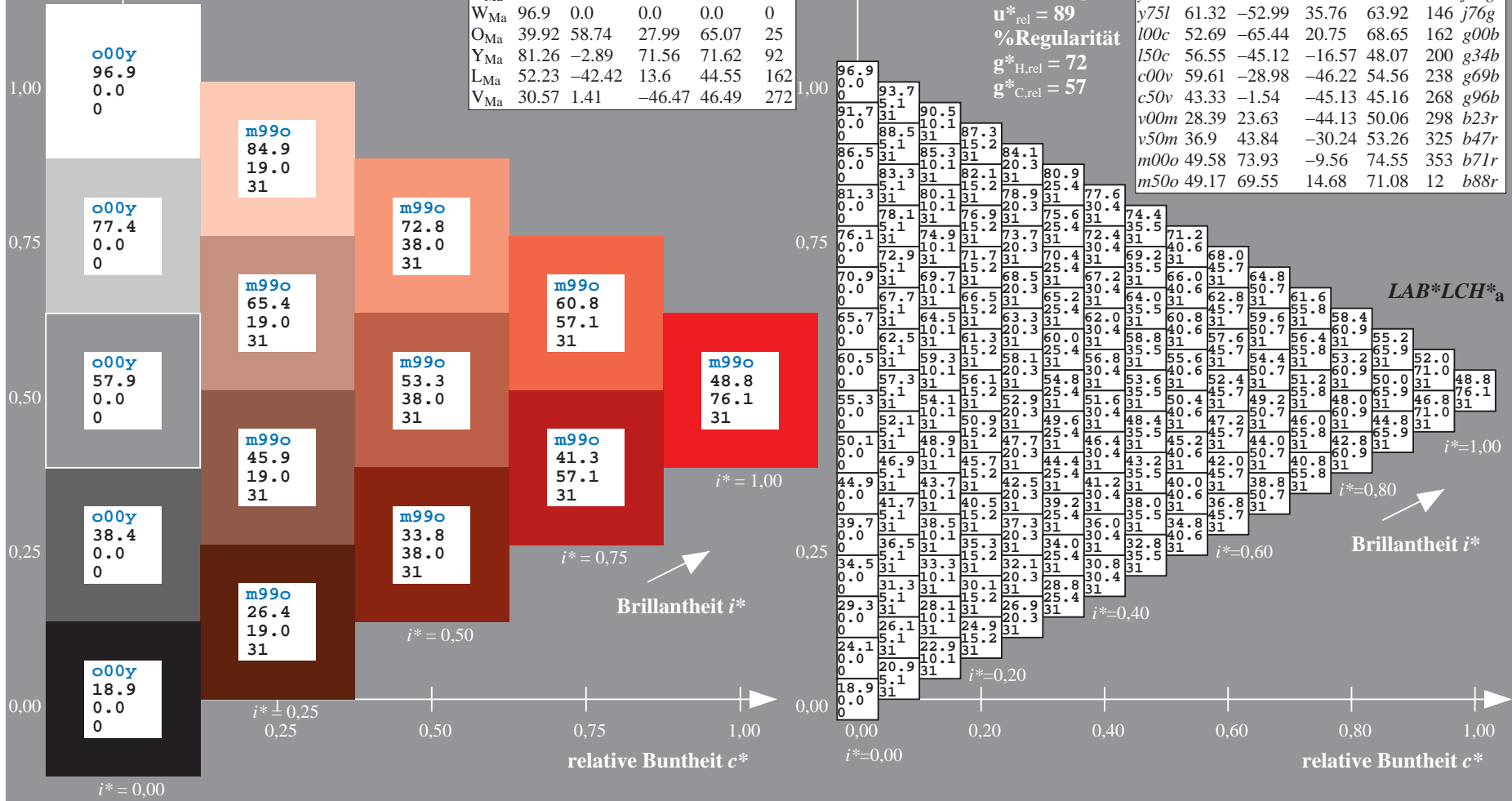
$g^*_{C,rel} = 57$

$u^*_d = o00y$
 $LAB^*LCH^*_{a}$

ORS19_96a; adaptierte CIELAB-Daten

u^*_d	$L^*=L^*_a$	a^*_a	b^*_a	$C^*_{ab,a}$	$h^*_{ab,a}$	u^*_e
<i>o00y</i>	48.75	65.07	39.43	76.08	31	<i>r08j</i>
<i>o25y</i>	59.04	46.67	51.1	69.21	48	<i>r33j</i>
<i>o50y</i>	68.32	30.09	61.62	68.58	64	<i>r57j</i>
<i>o75y</i>	78.23	12.39	72.85	73.9	80	<i>r81j</i>
<i>y00l</i>	90.92	-10.29	87.24	87.85	97	<i>j06g</i>
<i>y25l</i>	78.57	-28.11	65.75	71.51	113	<i>j29g</i>
<i>y50l</i>	69.46	-41.25	49.92	64.75	130	<i>j53g</i>
<i>y75l</i>	61.32	-52.99	35.76	63.92	146	<i>j76g</i>
<i>l00c</i>	52.69	-65.44	20.75	68.65	162	<i>g00b</i>
<i>l50c</i>	56.55	-45.12	-16.57	48.07	200	<i>g34b</i>
<i>c00v</i>	59.61	-28.98	-46.22	54.56	238	<i>g69b</i>
<i>c50v</i>	43.33	-1.54	-45.13	45.16	268	<i>g96b</i>
<i>v00m</i>	28.39	23.63	-44.13	50.06	298	<i>b23r</i>
<i>v50m</i>	36.9	43.84	-30.24	53.26	325	<i>b47r</i>
<i>m00o</i>	49.58	73.93	-9.56	74.55	353	<i>b71r</i>
<i>m50o</i>	49.17	69.55	14.68	71.08	12	<i>b88r</i>

$LAB^*LCH^*_{a}$



Ein und Ausgabe: Farbmatisches Drucker-Reflektiv-System ORS19_96a für relativen CIELAB-Bunton $h^* = lab^*h^* = h_{ab}/360 = 0.132$

Daten für jede Farbe:

lab^*ch^* und lab^*icu^*

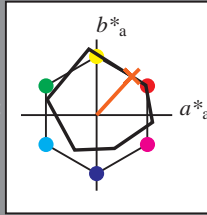
Buntontexte:

$u^*_d = 0.25y$ $u^*_e = r33j$

Kontrastreduzierungsfaktor:

$c_R = 1.0$

Dreiecks-Helligkeit t^*



ORS19_96a; adaptierte CIELAB-Daten

u^*_d	$L^*=L^*_a$	a^*_a	b^*_a	$C^*_{ab,a}$	$h^*_{ab,a}$
O _{Ma}	48.75	65.07	39.43	76.08	31
Y _{Ma}	90.92	-10.29	87.24	87.85	97
L _{Ma}	52.69	-65.44	20.75	68.65	162
C _{Ma}	59.61	-28.98	-46.22	54.56	238
V _{Ma}	28.39	23.63	-44.13	50.06	298
M _{Ma}	49.58	73.93	-9.56	74.55	353
N _{Ma}	18.89	0.0	0.0	0.0	0
W _{Ma}	96.9	0.0	0.0	0.0	0
O _{Ma}	39.92	58.74	27.99	65.07	25
Y _{Ma}	81.26	-2.89	71.56	71.62	92
L _{Ma}	52.23	-42.42	13.6	44.55	162
V _{Ma}	30.57	1.41	-46.47	46.49	272

$u^*_d = 0.25y$
 $LAB^*LCH^*_a$

Daten für Maximalfarbe (Ma):

$LAB^*LAB^*_Ma: 59\ 47\ 51$

$LAB^*LCH^*_Ma: 59\ 69\ 47$

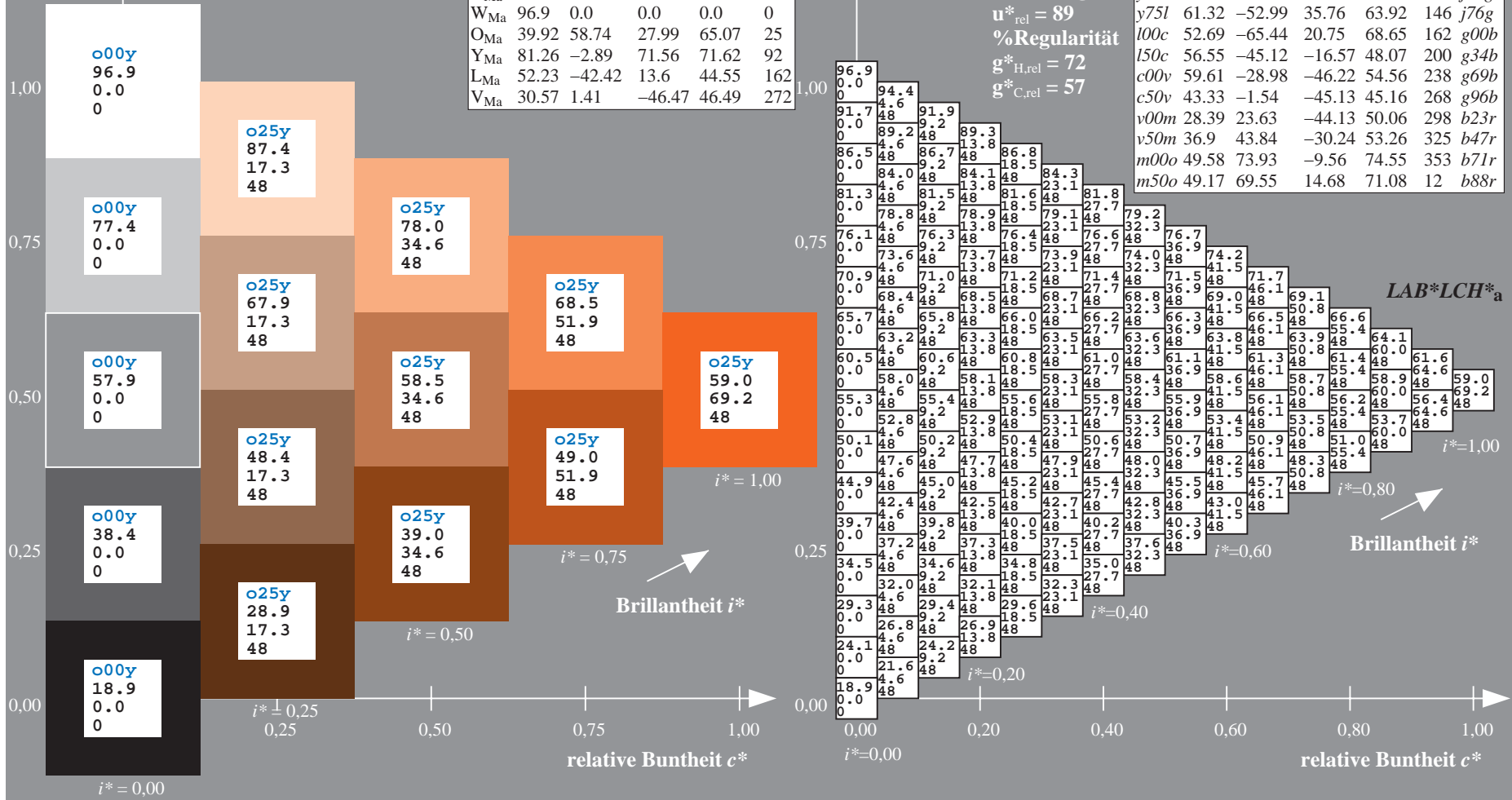
$lab^*olv^*_Ma: 1.0\ 0.25\ 0.0$

$lab^*rgb^*_Ma: 1.0\ 0.33\ 0.0$

Dreiecks-Helligkeit t^*

ORS19_96a; adaptierte CIELAB-Daten

u^*_d	$L^*=L^*_a$	a^*_a	b^*_a	$C^*_{ab,a}$	$h^*_{ab,a}$	u^*_e
o00y	48.75	65.07	39.43	76.08	31	r08j
o25y	59.04	46.67	51.1	69.21	48	r33j
o50y	68.32	30.09	61.62	68.58	64	r57j
o75y	78.23	12.39	72.85	73.9	80	r81j
y00l	90.92	-10.29	87.24	87.85	97	j06g
y25l	78.57	-28.11	65.75	71.51	113	j29g
y50l	69.46	-41.25	49.92	64.75	130	j53g
y75l	61.32	-52.99	35.76	63.92	146	j76g
l00c	52.69	-65.44	20.75	68.65	162	g00b
l50c	56.55	-45.12	-16.57	48.07	200	g34b
c00v	59.61	-28.98	-46.22	54.56	238	g69b
c50v	43.33	-1.54	-45.13	45.16	268	g96b
v00m	28.39	23.63	-44.13	50.06	298	b23r
v50m	36.9	43.84	-30.24	53.26	325	b47r
m00o	49.58	73.93	-9.56	74.55	353	b71r
m50o	49.17	69.55	14.68	71.08	12	b88r



Ein und Ausgabe: Farbmatisches Drucker-Reflektiv-System ORS19_96a für relativen CIELAB-Bunton $h^* = \text{lab}^*h^* = h_{ab}/360 = 0.178$

$u^*_d = 0.50y$
LAB*LCH*_a

Daten für jede Farbe:

lab^*tch^* und lab^*icu^*

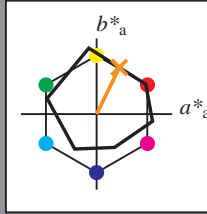
Buntontexte:

$u^*_d = 0.50y$ $u^*_e = r57j$

Kontrastreduzierungsfaktor:

$c_R = 1.0$

Dreiecks-Helligkeit t^*



ORS19_96a; adaptierte CIELAB-Daten

u^*_d	$L^*=L^*_a$	a^*_a	b^*_a	$C^*_{ab,a}$	$h^*_{ab,a}$
O _{Ma}	48.75	65.07	39.43	76.08	31
Y _{Ma}	90.92	-10.29	87.24	87.85	97
L _{Ma}	52.69	-65.44	20.75	68.65	162
C _{Ma}	59.61	-28.98	-46.22	54.56	238
V _{Ma}	28.39	23.63	-44.13	50.06	298
M _{Ma}	49.58	73.93	-9.56	74.55	353
N _{Ma}	18.89	0.0	0.0	0.0	0
W _{Ma}	96.9	0.0	0.0	0.0	0
O _{Ma}	39.92	58.74	27.99	65.07	25
Y _{Ma}	81.26	-2.89	71.56	71.62	92
L _{Ma}	52.23	-42.42	13.6	44.55	162
V _{Ma}	30.57	1.41	-46.47	46.49	272

Daten für Maximalfarbe (Ma):

LAB*LAB*_Ma: 68 30 62

LAB*LCH*_Ma: 68 69 63

lab*olv*_Ma: 1.0 0.5 0.0

lab*rgb*_Ma: 1.0 0.58 0.0

Dreiecks-Helligkeit t^*

%Umfang

$u^*_{rel} = 89$

%Regularität

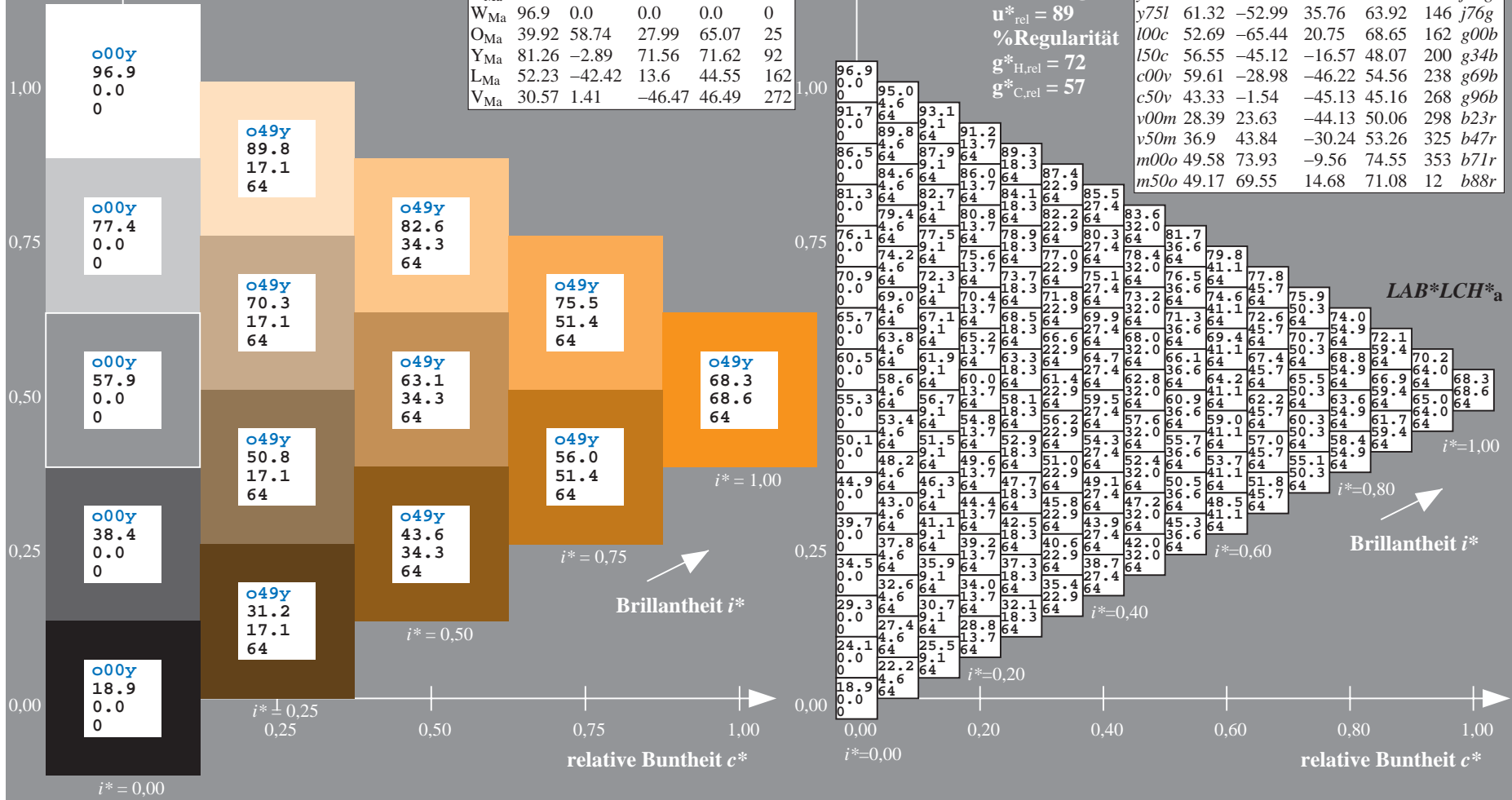
$g^*_{H,rel} = 72$

$g^*_{C,rel} = 57$

ORS19_96a; adaptierte CIELAB-Daten

u^*_d	$L^*=L^*_a$	a^*_a	b^*_a	$C^*_{ab,a}$	$h^*_{ab,a}$	u^*_e
o00y	48.75	65.07	39.43	76.08	31	r08j
o25y	59.04	46.67	51.1	69.21	48	r33j
o50y	68.32	30.09	61.62	68.58	64	r57j
o75y	78.23	12.39	72.85	73.9	80	r8lj
y00l	90.92	-10.29	87.24	87.85	97	j06g
y25l	78.57	-28.11	65.75	71.51	113	j29g
y50l	69.46	-41.25	49.92	64.75	130	j53g
y75l	61.32	-52.99	35.76	63.92	146	j76g
l00c	52.69	-65.44	20.75	68.65	162	g00b
l50c	56.55	-45.12	-16.57	48.07	200	g34b
c00v	59.61	-28.98	-46.22	54.56	238	g69b
c50v	43.33	-1.54	-45.13	45.16	268	g96b
v00m	28.39	23.63	-44.13	50.06	298	b23r
v50m	36.9	43.84	-30.24	53.26	325	b47r
m00o	49.58	73.93	-9.56	74.55	353	b71r
m50o	49.17	69.55	14.68	71.08	12	b88r

LAB*LCH*_a



Ein und Ausgabe: Farbmatisches Drucker-Reflektiv-System ORS19_96a für relativen CIELAB-Bunton $h^* = lab^*h^* = h_{ab}/360 = 0.223$

Daten für jede Farbe:

lab^*ch^* und lab^*icu^*

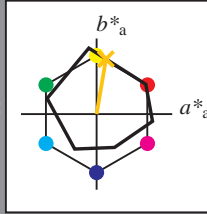
Buntontexte:

$u^*_d = 0.75y$ $u^*_e = r8lj$

Kontrastreduzierungsfaktor:

$c_R = 1.0$

Dreiecks-Helligkeit t^*



ORS19_96a; adaptierte CIELAB-Daten

u^*_d	$L^*=L^*_a$	a^*_a	b^*_a	$C^*_{ab,a}$	$h^*_{ab,a}$
O _{Ma}	48.75	65.07	39.43	76.08	31
Y _{Ma}	90.92	-10.29	87.24	87.85	97
L _{Ma}	52.69	-65.44	20.75	68.65	162
C _{Ma}	59.61	-28.98	-46.22	54.56	238
V _{Ma}	28.39	23.63	-44.13	50.06	298
M _{Ma}	49.58	73.93	-9.56	74.55	353
N _{Ma}	18.89	0.0	0.0	0.0	0
W _{Ma}	96.9	0.0	0.0	0.0	0
O _{Ma}	39.92	58.74	27.99	65.07	25
Y _{Ma}	81.26	-2.89	71.56	71.62	92
L _{Ma}	52.23	-42.42	13.6	44.55	162
V _{Ma}	30.57	1.41	-46.47	46.49	272

$u^*_d = 0.75y$
LAB*LCH*

Daten für Maximalfarbe (Ma):

LAB*LAB*_{Ma}: 78 12 73

LAB*LCH*_{Ma}: 78 74 80

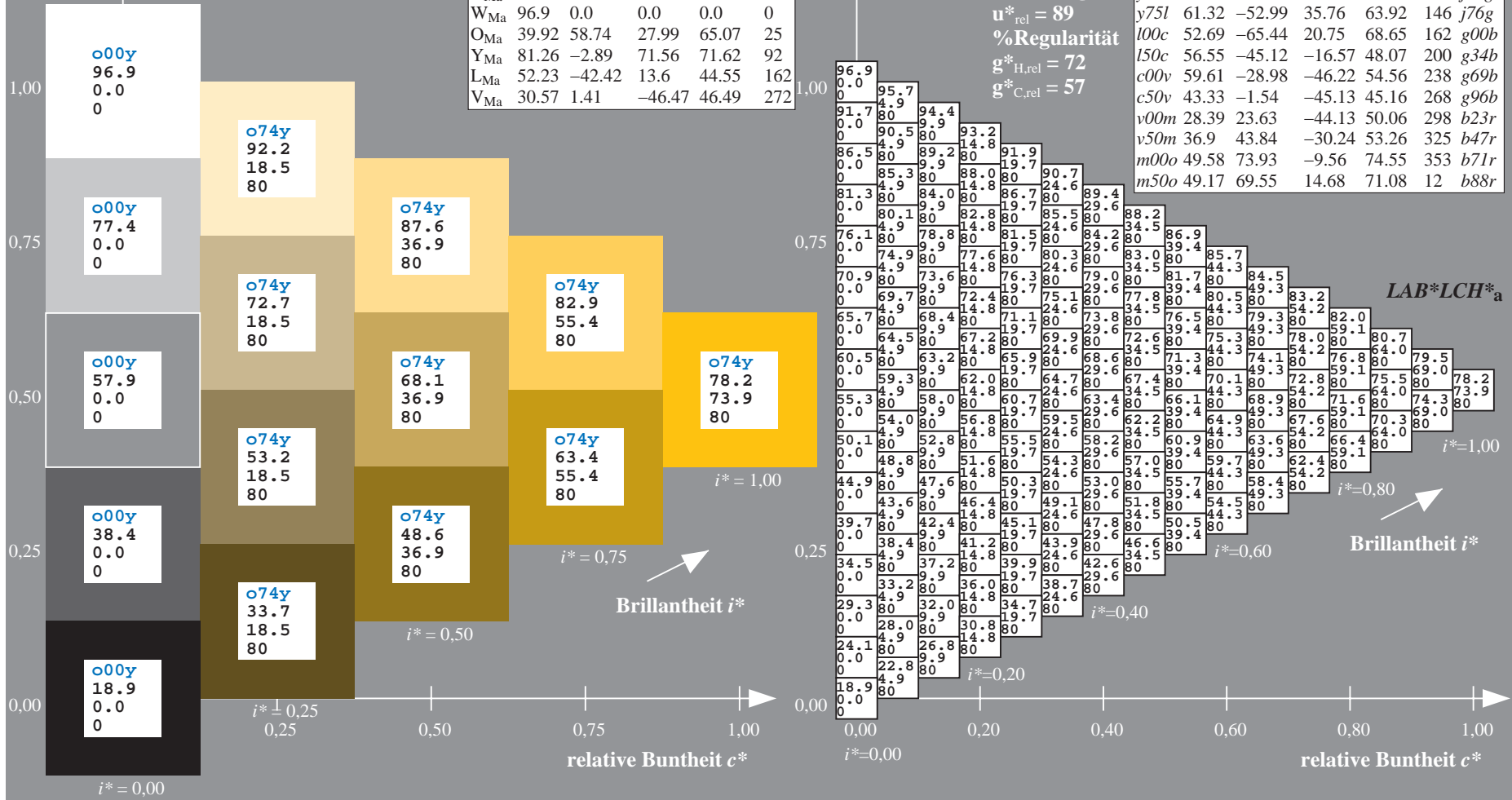
lab*olv*_{Ma}: 1.0 0.75 0.0

lab*rgb*_{Ma}: 1.0 0.82 0.0

Dreiecks-Helligkeit t^*

ORS19_96a; adaptierte CIELAB-Daten

u^*_d	$L^*=L^*_a$	a^*_a	b^*_a	$C^*_{ab,a}$	$h^*_{ab,a}$	u^*_e
o00y	48.75	65.07	39.43	76.08	31	r08j
o25y	59.04	46.67	51.1	69.21	48	r33j
o50y	68.32	30.09	61.62	68.58	64	r57j
o75y	78.23	12.39	72.85	73.9	80	r8lj
y00l	90.92	-10.29	87.24	87.85	97	j06g
y25l	78.57	-28.11	65.75	71.51	113	j29g
y50l	69.46	-41.25	49.92	64.75	130	j53g
y75l	61.32	-52.99	35.76	63.92	146	j76g
l00c	52.69	-65.44	20.75	68.65	162	g00b
l50c	56.55	-45.12	-16.57	48.07	200	g34b
c00v	59.61	-28.98	-46.22	54.56	238	g69b
c50v	43.33	-1.54	-45.13	45.16	268	g96b
v00m	28.39	23.63	-44.13	50.06	298	b23r
v50m	36.9	43.84	-30.24	53.26	325	b47r
m00o	49.58	73.93	-9.56	74.55	353	b71r
m50o	49.17	69.55	14.68	71.08	12	b88r



Ein und Ausgabe: Farbmatisches Drucker-Reflektiv-System ORS19_96a für relativen CIELAB-Bunton $h^* = lab^*h^* = h_{ab}/360 = 0.269$

Daten für jede Farbe:

lab^*ch^* und lab^*icu^*

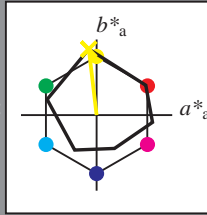
Buntontexte:

$u^*_d = y00l$ $u^*_e = j06g$

Kontrastreduzierungsfaktor:

$c_R = 1.0$

Dreiecks-Helligkeit t^*



ORS19_96a; adaptierte CIELAB-Daten

u^*_d	$L^*=L^*_a$	a^*_a	b^*_a	$C^*_{ab,a}$	$h^*_{ab,a}$
O _{Ma}	48.75	65.07	39.43	76.08	31
Y _{Ma}	90.92	-10.29	87.24	87.85	97
L _{Ma}	52.69	-65.44	20.75	68.65	162
C _{Ma}	59.61	-28.98	-46.22	54.56	238
V _{Ma}	28.39	23.63	-44.13	50.06	298
M _{Ma}	49.58	73.93	-9.56	74.55	353
N _{Ma}	18.89	0.0	0.0	0.0	0
W _{Ma}	96.9	0.0	0.0	0.0	0
O _{Ma}	39.92	58.74	27.99	65.07	25
Y _{Ma}	81.26	-2.89	71.56	71.62	92
L _{Ma}	52.23	-42.42	13.6	44.55	162
V _{Ma}	30.57	1.41	-46.47	46.49	272

$u^*_d = y00l$
 $LAB^*LCH^*_a$

Daten für Maximalfarbe (Ma):

$LAB^*LAB^*_Ma: 91 -10 87$

$LAB^*LCH^*_Ma: 91 88 96$

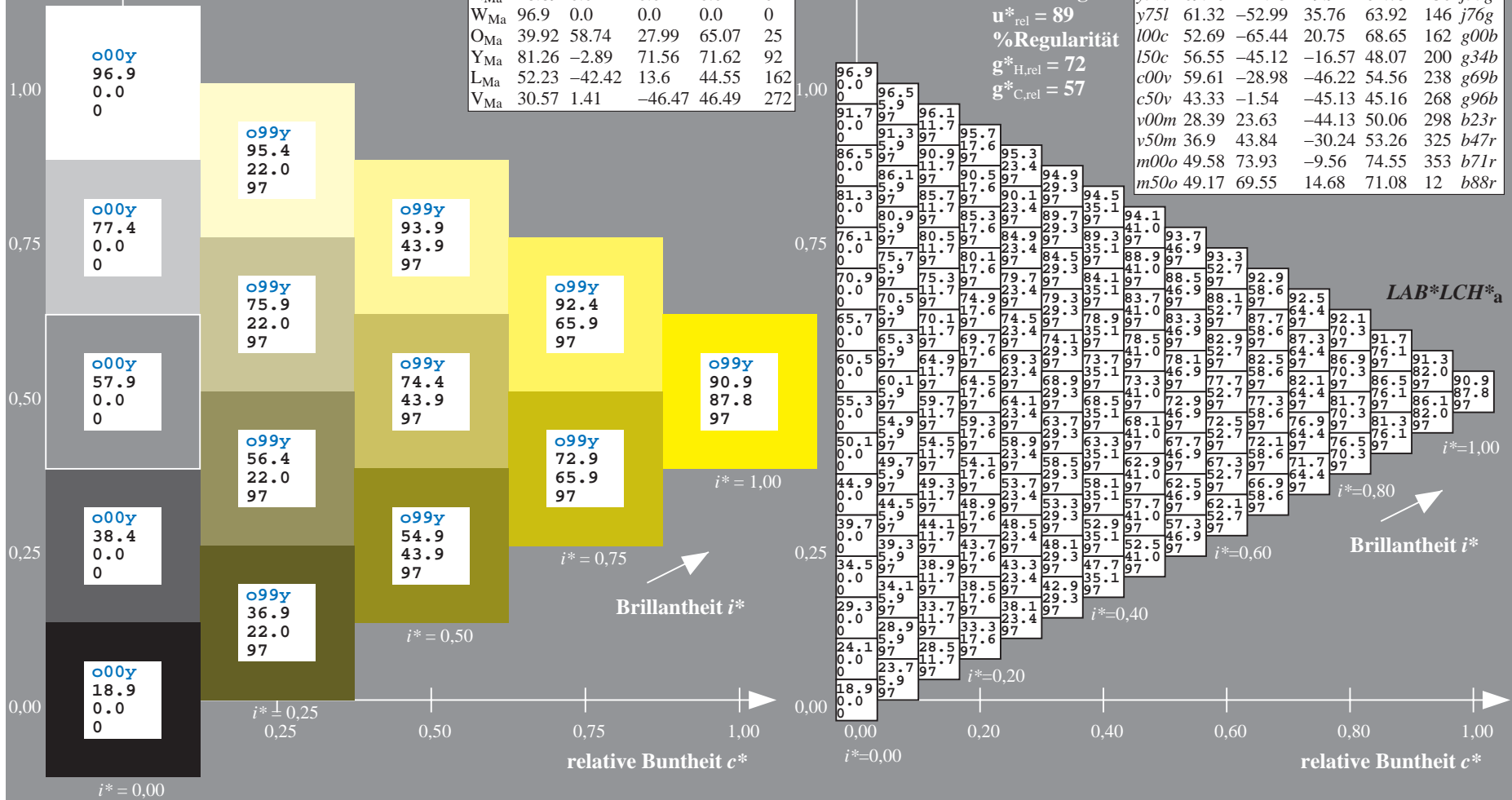
$lab^*olv^*_Ma: 1.0 1.0 0.0$

$lab^*rgb^*_Ma: 0.94 1.0 0.0$

Dreiecks-Helligkeit t^*

ORS19_96a; adaptierte CIELAB-Daten

u^*_d	$L^*=L^*_a$	a^*_a	b^*_a	$C^*_{ab,a}$	$h^*_{ab,a}$	u^*_e
o00y	96.9	0.0	0.0	0.0	0.0	r08j
o25y	95.4	22.0	97			r33j
o50y	93.9	43.9	97			r57j
o75y	92.4	65.9	97			r81j
y00l	90.9	87.8	97			j06g
y25l	88.9	88.9	97			j29g
y50l	87.8	89.7	97			j53g
y75l	87.2	90.1	97			l76g
l00c	85.3	90.5	97			l62g
l50c	84.9	90.1	97			l200g
c00v	84.9	90.1	97			g69b
c50v	84.9	90.1	97			g96b
v00m	84.9	90.1	97			b23r
v50m	84.9	90.1	97			b47r
m00o	84.9	90.1	97			b71r
m50o	84.9	90.1	97			b88r



Ein und Ausgabe: Farbmimetrisches Drucker-Reflektiv-System ORS19_96a für relativen CIELAB-Bunton $h^* = lab^*h^* = h_{ab}/360 = 0.314$

$u^*_d = y25l$
 $LAB^*LCH^*_a$

Daten für jede Farbe:

lab^*ch^* und lab^*icu^*

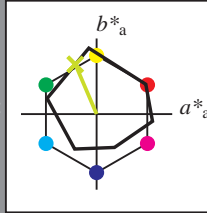
Buntontexte:

$u^*_d = y25l$ $u^*_e = j29g$

Kontrastreduzierungsfaktor:

$c_R = 1.0$

Dreiecks-Helligkeit t^*



ORS19_96a; adaptierte CIELAB-Daten

u^*_d	$L^*=L^*_a$	a^*_a	b^*_a	$C^*_{ab,a}$	$h^*_{ab,a}$
O _{Ma}	48.75	65.07	39.43	76.08	31
Y _{Ma}	90.92	-10.29	87.24	87.85	97
L _{Ma}	52.69	-65.44	20.75	68.65	162
C _{Ma}	59.61	-28.98	-46.22	54.56	238
V _{Ma}	28.39	23.63	-44.13	50.06	298
M _{Ma}	49.58	73.93	-9.56	74.55	353
N _{Ma}	18.89	0.0	0.0	0.0	0
W _{Ma}	96.9	0.0	0.0	0.0	0
O _{Ma}	39.92	58.74	27.99	65.07	25
Y _{Ma}	81.26	-2.89	71.56	71.62	92
L _{Ma}	52.23	-42.42	13.6	44.55	162
V _{Ma}	30.57	1.41	-46.47	46.49	272

Daten für Maximalfarbe (Ma):

$LAB^*LAB^*_{Ma}: 79 -28 66$

$LAB^*LCH^*_{Ma}: 79 72 113$

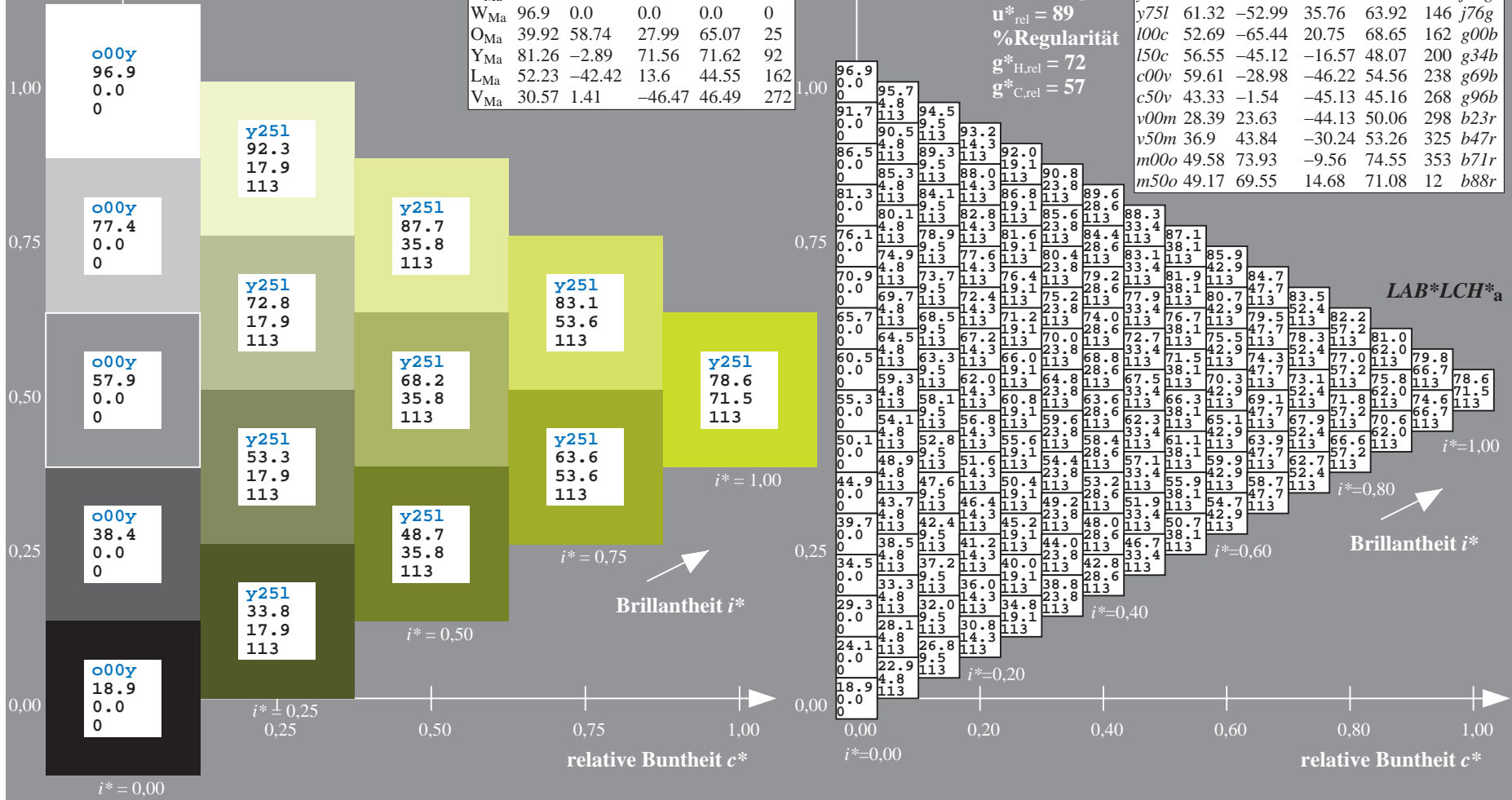
$lab^*olv^*_{Ma}: 0.75 1.0 0.0$

$lab^*rgb^*_{Ma}: 0.7 1.0 0.0$

Dreiecks-Helligkeit t^*

ORS19_96a; adaptierte CIELAB-Daten

u^*_d	$L^*=L^*_a$	a^*_a	b^*_a	$C^*_{ab,a}$	$h^*_{ab,a}$	u^*_e
o00y	48.75	65.07	39.43	76.08	31	r08j
o25y	59.04	46.67	51.1	69.21	48	r33j
o50y	68.32	30.09	61.62	68.58	64	r57j
o75y	78.23	12.39	72.85	73.9	80	r81j
y00l	90.92	-10.29	87.24	87.85	97	j06g
y25l	78.57	-28.11	65.75	71.51	113	j29g
y50l	69.46	-41.25	49.92	64.75	130	j53g
y75l	61.32	-52.99	35.76	63.92	146	j76g
l00c	52.69	-65.44	20.75	68.65	162	g00b
l50c	56.55	-45.12	-16.57	48.07	200	g34b
c00v	59.61	-28.98	-46.22	54.56	238	g69b
c50v	43.33	-1.54	-45.13	45.16	268	g96b
v00m	28.39	23.63	-44.13	50.06	298	b23r
v50m	36.9	43.84	-30.24	53.26	325	b47r
m00o	49.58	73.93	-9.56	74.55	353	b71r
m50o	49.17	69.55	14.68	71.08	12	b88r



Ein und Ausgabe: Farbmetrisches Drucker-Reflektiv-System ORS19_96a für relativen CIELAB-Bunton $h^* = \text{lab}^*h^* = h_{ab}/360 = 0.36$

$u^*_d = y50l$
 $\text{LAB}^*\text{LCH}^*_a$

Daten für jede Farbe:

lab^*tch^* und lab^*icu^*

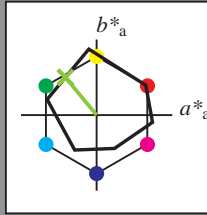
Bunntexte:

$u^*_d = y50l$ $u^*_e = j53g$

Kontrastreduzierungsfaktor:

$c_R = 1.0$

Dreiecks-Helligkeit t^*



ORS19_96a; adaptierte CIELAB-Daten

u^*_d	$L^*=L^*_a$	a^*_a	b^*_a	$C^*_{ab,a}$	$h^*_{ab,a}$
O _{Ma}	48.75	65.07	39.43	76.08	31
Y _{Ma}	90.92	-10.29	87.24	87.85	97
L _{Ma}	52.69	-65.44	20.75	68.65	162
C _{Ma}	59.61	-28.98	-46.22	54.56	238
V _{Ma}	28.39	23.63	-44.13	50.06	298
M _{Ma}	49.58	73.93	-9.56	74.55	353
N _{Ma}	18.89	0.0	0.0	0.0	0
W _{Ma}	96.9	0.0	0.0	0.0	0
O _{Ma}	39.92	58.74	27.99	65.07	25
Y _{Ma}	81.26	-2.89	71.56	71.62	92
L _{Ma}	52.23	-42.42	13.6	44.55	162
V _{Ma}	30.57	1.41	-46.47	46.49	272

Daten für Maximalfarbe (Ma):

$\text{LAB}^*\text{LAB}^*_{Ma}$: 69 -41 50

$\text{LAB}^*\text{LCH}^*_{Ma}$: 69 65 129

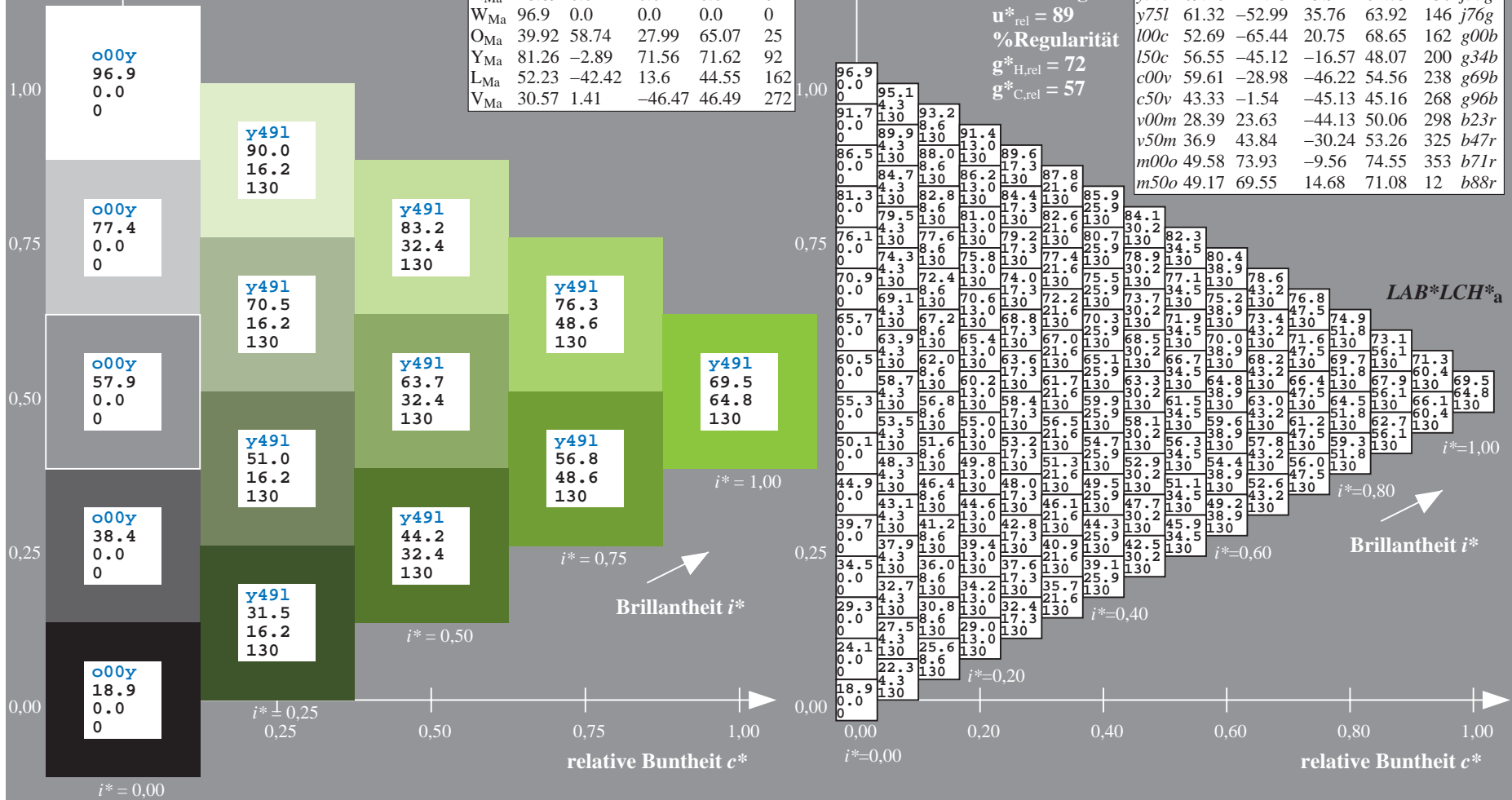
$\text{lab}^*olv^*_{Ma}$: 0.5 1.0 0.0

$\text{lab}^*rgb^*_{Ma}$: 0.47 1.0 0.0

Dreiecks-Helligkeit t^*

ORS19_96a; adaptierte CIELAB-Daten

u^*_d	$L^*=L^*_a$	a^*_a	b^*_a	$C^*_{ab,a}$	$h^*_{ab,a}$	u^*_e
o00y	48.75	65.07	39.43	76.08	31	r08j
o25y	59.04	46.67	51.1	69.21	48	r33j
o50y	68.32	30.09	61.62	68.58	64	r57j
o75y	78.23	12.39	72.85	73.9	80	r81j
y00l	90.92	-10.29	87.24	87.85	97	j06g
y25l	78.57	-28.11	65.75	71.51	113	j29g
y50l	69.46	-41.25	49.92	64.75	130	j53g
y75l	61.32	-52.99	35.76	63.92	146	j76g
l00c	52.69	-65.44	20.75	68.65	162	g00b
l50c	56.55	-45.12	-16.57	48.07	200	g34b
c00v	59.61	-28.98	-46.22	54.56	238	g69b
c50v	43.33	-1.54	-45.13	45.16	268	g96b
v00m	28.39	23.63	-44.13	50.06	298	b23r
v50m	36.9	43.84	-30.24	53.26	325	b47r
m00o	49.58	73.93	-9.56	74.55	353	b71r
m50o	49.17	69.55	14.68	71.08	12	b88r



Ein und Ausgabe: Farbmetrisches Drucker-Reflektiv-System ORS19_96a für relativen CIELAB-Bunton $h^* = lab^*h^* = h_{ab}/360 = 0.406$

$u^*_d = y75l$
 $LAB^*LCH^*_a$

Daten für jede Farbe:

lab^*ch^* und lab^*icu^*

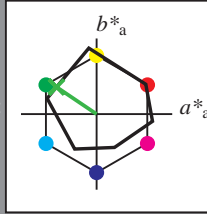
Buntontexte:

$u^*_d = y75l$ $u^*_e = j76g$

Kontrastreduzierungsfaktor:

$c_R = 1.0$

Dreiecks-Helligkeit t^*



ORS19_96a; adaptierte CIELAB-Daten

u^*_d	$L^*=L^*_a$	a^*_a	b^*_a	$C^*_{ab,a}$	$h^*_{ab,a}$
O _{Ma}	48.75	65.07	39.43	76.08	31
Y _{Ma}	90.92	-10.29	87.24	87.85	97
L _{Ma}	52.69	-65.44	20.75	68.65	162
C _{Ma}	59.61	-28.98	-46.22	54.56	238
V _{Ma}	28.39	23.63	-44.13	50.06	298
M _{Ma}	49.58	73.93	-9.56	74.55	353
N _{Ma}	18.89	0.0	0.0	0.0	0
W _{Ma}	96.9	0.0	0.0	0.0	0
O _{Ma}	39.92	58.74	27.99	65.07	25
Y _{Ma}	81.26	-2.89	71.56	71.62	92
L _{Ma}	52.23	-42.42	13.6	44.55	162
V _{Ma}	30.57	1.41	-46.47	46.49	272

Daten für Maximalfarbe (Ma):

$LAB^*LAB^*_Ma$: 61 -53 36

$LAB^*LCH^*_Ma$: 61 64 145

$lab^*olv^*_Ma$: 0.25 1.0 0.0

$lab^*rgb^*_Ma$: 0.23 1.0 0.0

Dreiecks-Helligkeit t^*

%Umfang

$u^*_{rel} = 89$

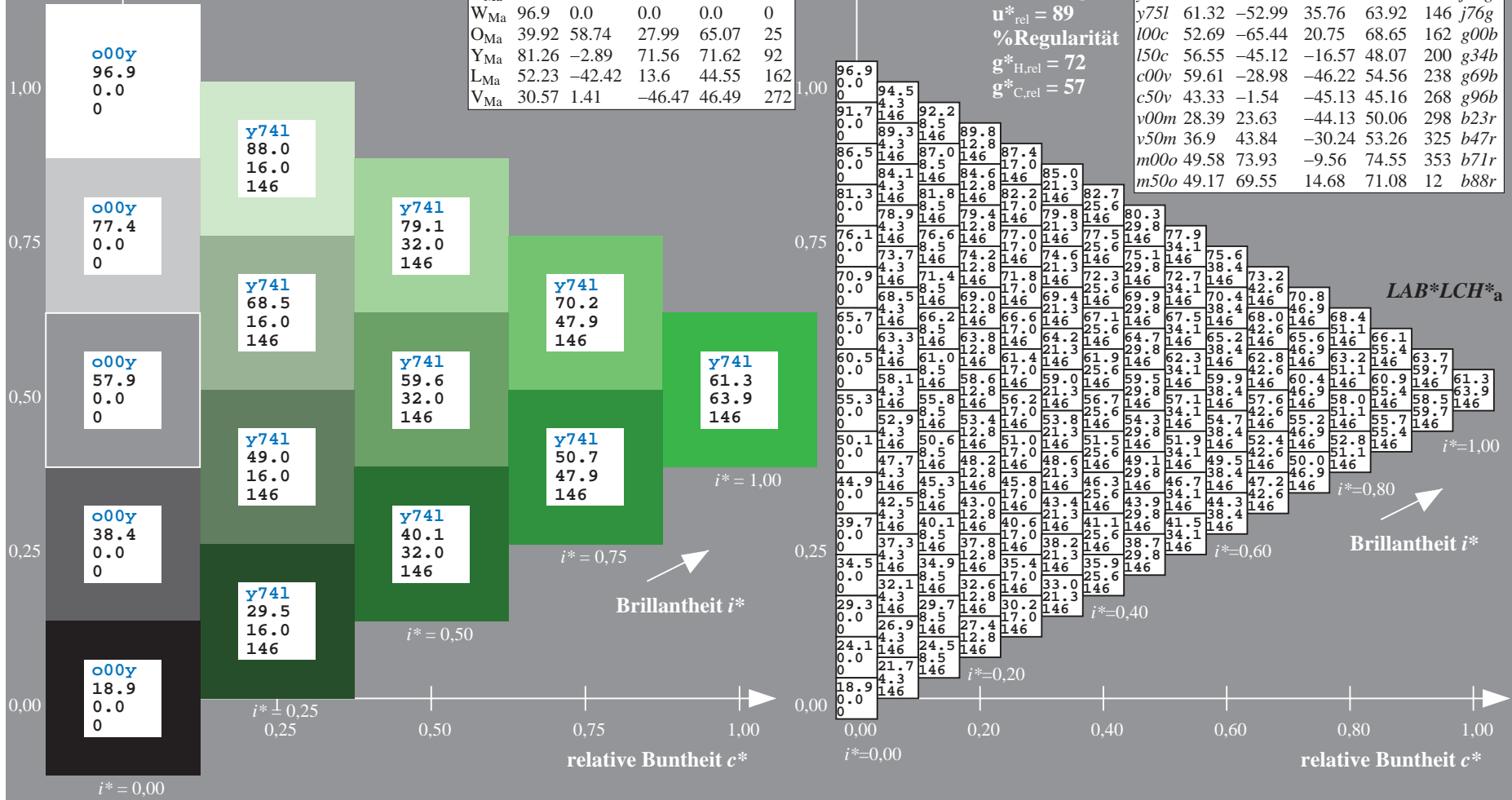
%Regularität

$g^*_{H,rel} = 72$

$g^*_{C,rel} = 57$

ORS19_96a; adaptierte CIELAB-Daten

u^*_d	$L^*=L^*_a$	a^*_a	b^*_a	$C^*_{ab,a}$	$h^*_{ab,a}$	u^*_e
o00y	48.75	65.07	39.43	76.08	31	r08j
o25y	59.04	46.67	51.1	69.21	48	r33j
o50y	68.32	30.09	61.62	68.58	64	r57j
o75y	78.23	12.39	72.85	73.9	80	r81j
y00l	90.92	-10.29	87.24	87.85	97	j06g
y25l	78.57	-28.11	65.75	71.51	113	j29g
y50l	69.46	-41.25	49.92	64.75	130	j53g
y75l	61.32	-52.99	35.76	63.92	146	j76g
l00c	52.69	-65.44	20.75	68.65	162	g00b
l50c	56.55	-45.12	-16.57	48.07	200	g34b
c00v	59.61	-28.98	-46.22	54.56	238	g69b
c50v	43.33	-1.54	-45.13	45.16	268	g96b
v00m	28.39	23.63	-44.13	50.06	298	b23r
v50m	36.9	43.84	-30.24	53.26	325	b47r
m00o	49.58	73.93	-9.56	74.55	353	b71r
m50o	49.17	69.55	14.68	71.08	12	b88r



Ein und Ausgabe: Farbmatisches Drucker-Reflektiv-System ORS19_96a für relativen CIELAB-Bunton $h^* = lab^*h^* = h_{ab}/360 = 0.451$

$u^*_d = 100c$
 $LAB^*LCH^*_a$

Daten für jede Farbe:

lab^*ch^* und lab^*icu^*

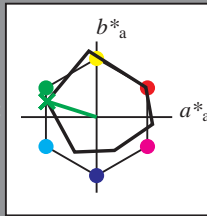
Buntontexte:

$u^*_d = 100c$ $u^*_e = g00b$

Kontrastreduzierungsfaktor:

$c_R = 1.0$

Dreiecks-Helligkeit t^*



ORS19_96a; adaptierte CIELAB-Daten

u^*_d	$L^*=L^*_a$	a^*_a	b^*_a	$C^*_{ab,a}$	$h^*_{ab,a}$
O _{Ma}	48.75	65.07	39.43	76.08	31
Y _{Ma}	90.92	-10.29	87.24	87.85	97
L _{Ma}	52.69	-65.44	20.75	68.65	162
C _{Ma}	59.61	-28.98	-46.22	54.56	238
V _{Ma}	28.39	23.63	-44.13	50.06	298
M _{Ma}	49.58	73.93	-9.56	74.55	353
N _{Ma}	18.89	0.0	0.0	0.0	0
W _{Ma}	96.9	0.0	0.0	0.0	0
O _{Ma}	39.92	58.74	27.99	65.07	25
Y _{Ma}	81.26	-2.89	71.56	71.62	92
L _{Ma}	52.23	-42.42	13.6	44.55	162
V _{Ma}	30.57	1.41	-46.47	46.49	272

Daten für Maximalfarbe (Ma):

$LAB^*LAB^*_Ma: 53 -65 21$

$LAB^*LCH^*_Ma: 53 69 162$

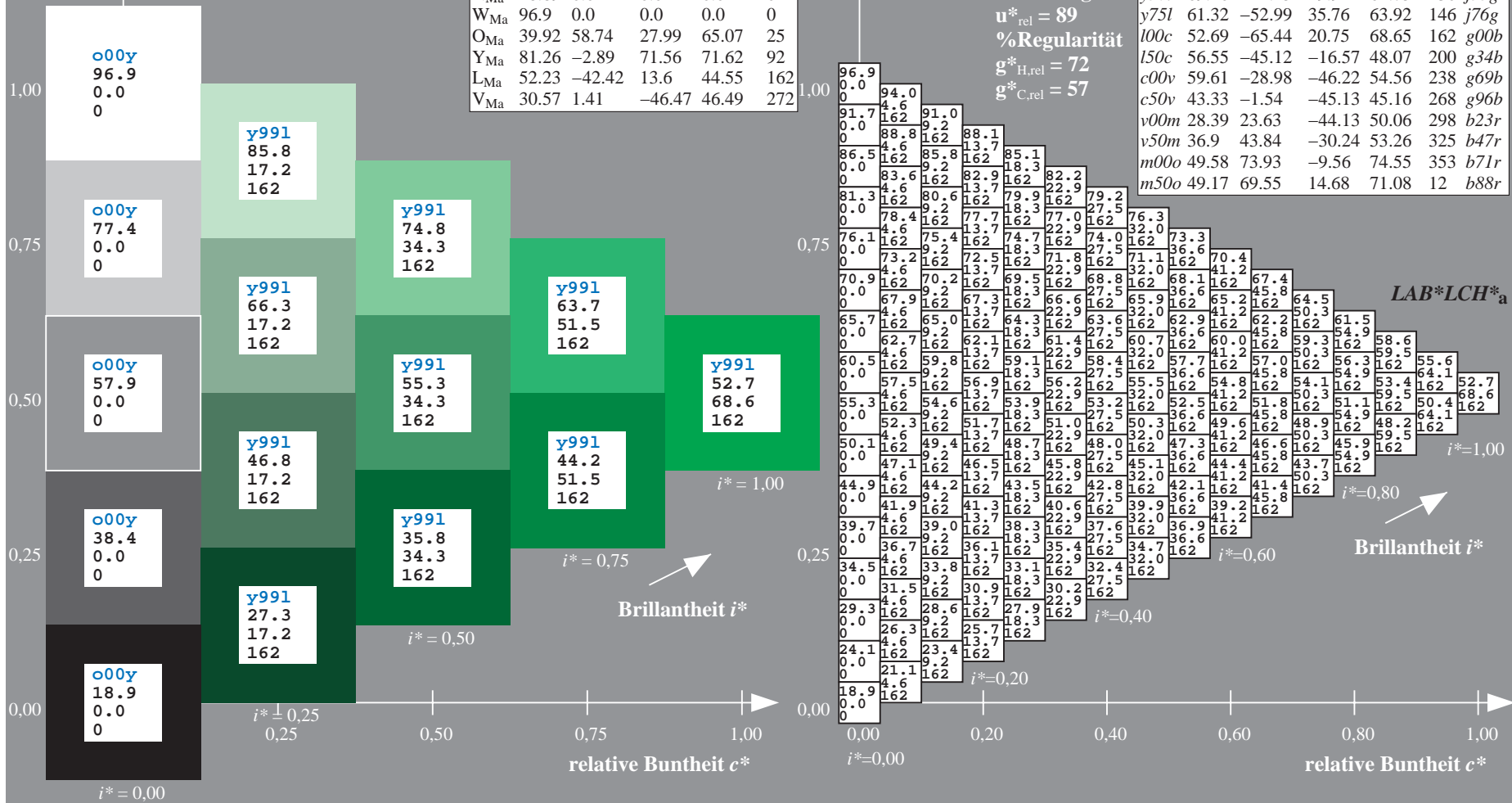
$lab^*olv^*_Ma: 0.0 1.0 0.0$

$lab^*rgb^*_Ma: 0.0 1.0 0.0$

Dreiecks-Helligkeit t^*

ORS19_96a; adaptierte CIELAB-Daten

u^*_d	$L^*=L^*_a$	a^*_a	b^*_a	$C^*_{ab,a}$	$h^*_{ab,a}$	u^*_e
o00y	48.75	65.07	39.43	76.08	31	r08j
o25y	59.04	46.67	51.1	69.21	48	r33j
o50y	68.32	30.09	61.62	68.58	64	r57j
o75y	78.23	12.39	72.85	73.9	80	r81j
y00l	90.92	-10.29	87.24	87.85	97	j06g
y25l	78.57	-28.11	65.75	71.51	113	j29g
y50l	69.46	-41.25	49.92	64.75	130	j53g
y75l	61.32	-52.99	35.76	63.92	146	j76g
l00c	52.69	-65.44	20.75	68.65	162	g00b
l50c	56.55	-45.12	-16.57	48.07	200	g34b
c00v	59.61	-28.98	-46.22	54.56	238	g69b
c50v	43.33	-1.54	-45.13	45.16	268	g96b
v00m	28.39	23.63	-44.13	50.06	298	b23r
v50m	36.9	43.84	-30.24	53.26	325	b47r
m00o	49.58	73.93	-9.56	74.55	353	b71r
m50o	49.17	69.55	14.68	71.08	12	b88r



Ein und Ausgabe: Farbmatisches Drucker-Reflektiv-System ORS19_96a für relativen CIELAB-Bunton $h^* = lab^*h^* = h_{ab}/360 = 0.556$

$u^*_d = 150c$
LAB*LCH*_a

Daten für jede Farbe:

lab^*ch^* und lab^*icu^*

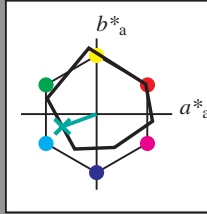
Buntontexte:

$u^*_d = 150c$ $u^*_e = g34b$

Kontrastreduzierungsfaktor:

$c_R = 1.0$

Dreiecks-Helligkeit t^*



ORS19_96a; adaptierte CIELAB-Daten

u^*_d	$L^*=L^*_a$	a^*_a	b^*_a	$C^*_{ab,a}$	$h^*_{ab,a}$
O _{Ma}	48.75	65.07	39.43	76.08	31
Y _{Ma}	90.92	-10.29	87.24	87.85	97
L _{Ma}	52.69	-65.44	20.75	68.65	162
C _{Ma}	59.61	-28.98	-46.22	54.56	238
V _{Ma}	28.39	23.63	-44.13	50.06	298
M _{Ma}	49.58	73.93	-9.56	74.55	353
N _{Ma}	18.89	0.0	0.0	0.0	0
W _{Ma}	96.9	0.0	0.0	0.0	0
O _{Ma}	39.92	58.74	27.99	65.07	25
Y _{Ma}	81.26	-2.89	71.56	71.62	92
L _{Ma}	52.23	-42.42	13.6	44.55	162
V _{Ma}	30.57	1.41	-46.47	46.49	272

Daten für Maximalfarbe (Ma):

LAB*LAB*_Ma: 57 -45 -17

LAB*LCH*_Ma: 57 48 200

lab*olv*_Ma: 0.0 1.0 0.5

lab*rgb*_Ma: 0.0 1.0 0.69

Dreiecks-Helligkeit t^*

%Umfang

$u^*_{rel} = 89$

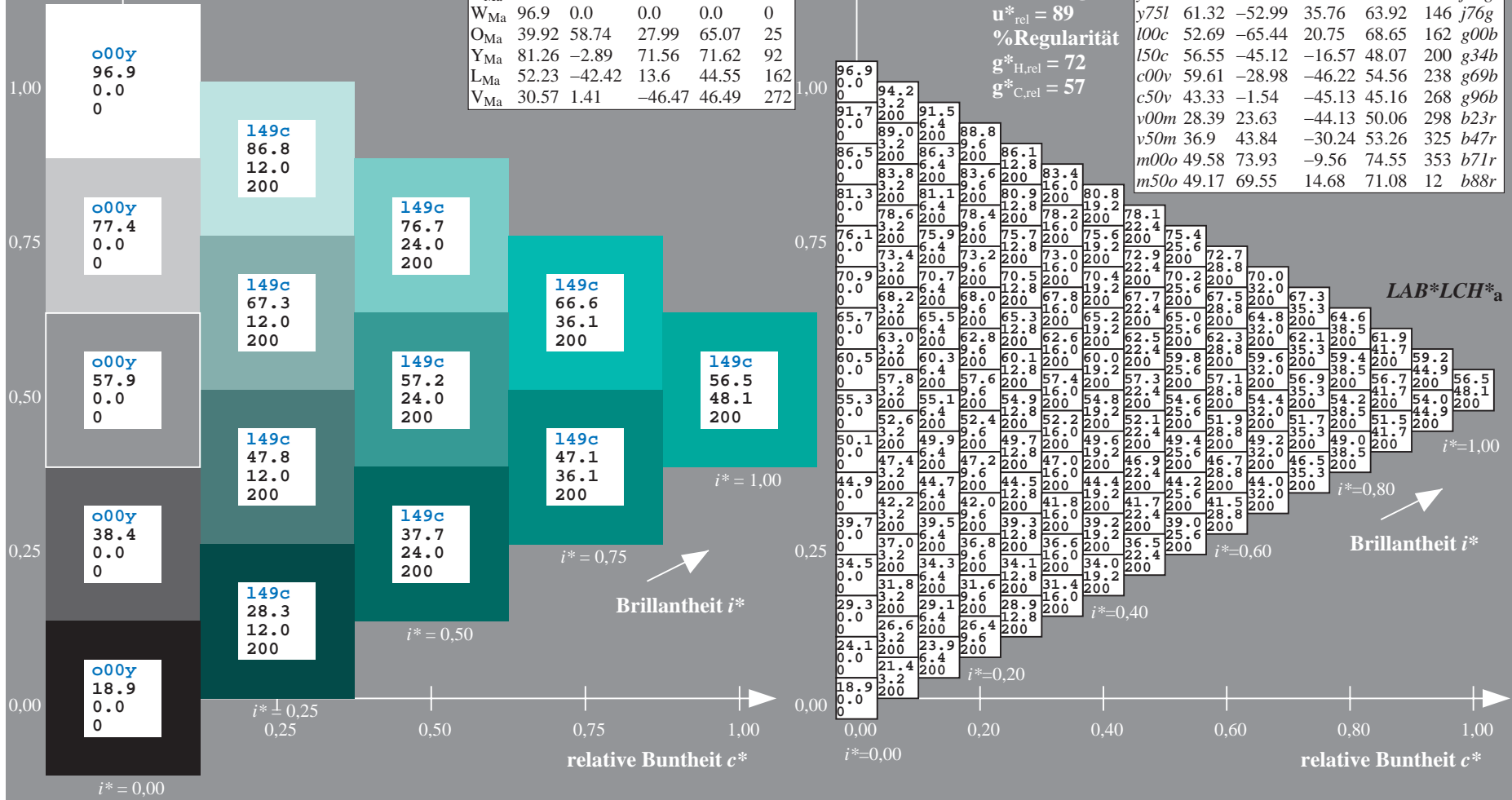
%Regularität

$g^*_{H,rel} = 72$

$g^*_{C,rel} = 57$

ORS19_96a; adaptierte CIELAB-Daten

u^*_d	$L^*=L^*_a$	a^*_a	b^*_a	$C^*_{ab,a}$	$h^*_{ab,a}$	u^*_e
o00y	48.75	65.07	39.43	76.08	31	r08j
o25y	59.04	46.67	51.1	69.21	48	r33j
o50y	68.32	30.09	61.62	68.58	64	r57j
o75y	78.23	12.39	72.85	73.9	80	r81j
y00l	90.92	-10.29	87.24	87.85	97	j06g
y25l	78.57	-28.11	65.75	71.51	113	j29g
y50l	69.46	-41.25	49.92	64.75	130	j53g
y75l	61.32	-52.99	35.76	63.92	146	j76g
l00c	52.69	-65.44	20.75	68.65	162	g00b
l50c	56.55	-45.12	-16.57	48.07	200	g34b
c00v	59.61	-28.98	-46.22	54.56	238	g69b
c50v	43.33	-1.54	-45.13	45.16	268	g96b
v00m	28.39	23.63	-44.13	50.06	298	b23r
v50m	36.9	43.84	-30.24	53.26	325	b47r
m00o	49.58	73.93	-9.56	74.55	353	b71r
m50o	49.17	69.55	14.68	71.08	12	b88r



Ein und Ausgabe: Farbmatisches Drucker-Reflektiv-System ORS19_96a für relativen CIELAB-Bunton $h^* = lab^*h^* = h_{ab}/360 = 0.661$

Daten für jede Farbe:

lab^*ch^* und lab^*icu^*

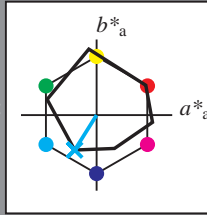
Buntontexte:

$u^*_d = c00v$ $u^*_e = g69b$

Kontrastreduzierungsfaktor:

$c_R = 1.0$

Dreiecks-Helligkeit t^*



ORS19_96a; adaptierte CIELAB-Daten

u^*_d	$L^*=L^*_a$	a^*_a	b^*_a	$C^*_{ab,a}$	$h^*_{ab,a}$
O _{Ma}	48.75	65.07	39.43	76.08	31
Y _{Ma}	90.92	-10.29	87.24	87.85	97
L _{Ma}	52.69	-65.44	20.75	68.65	162
C _{Ma}	59.61	-28.98	-46.22	54.56	238
V _{Ma}	28.39	23.63	-44.13	50.06	298
M _{Ma}	49.58	73.93	-9.56	74.55	353
N _{Ma}	18.89	0.0	0.0	0.0	0
W _{Ma}	96.9	0.0	0.0	0.0	0
O _{Ma}	39.92	58.74	27.99	65.07	25
Y _{Ma}	81.26	-2.89	71.56	71.62	92
L _{Ma}	52.23	-42.42	13.6	44.55	162
V _{Ma}	30.57	1.41	-46.47	46.49	272

$u^*_d = c00v$
 $LAB^*LCH^*_a$

Daten für Maximalfarbe (Ma):

$LAB^*LAB^*_Ma: 60 -29 -46$

$LAB^*LCH^*_Ma: 60 55 237$

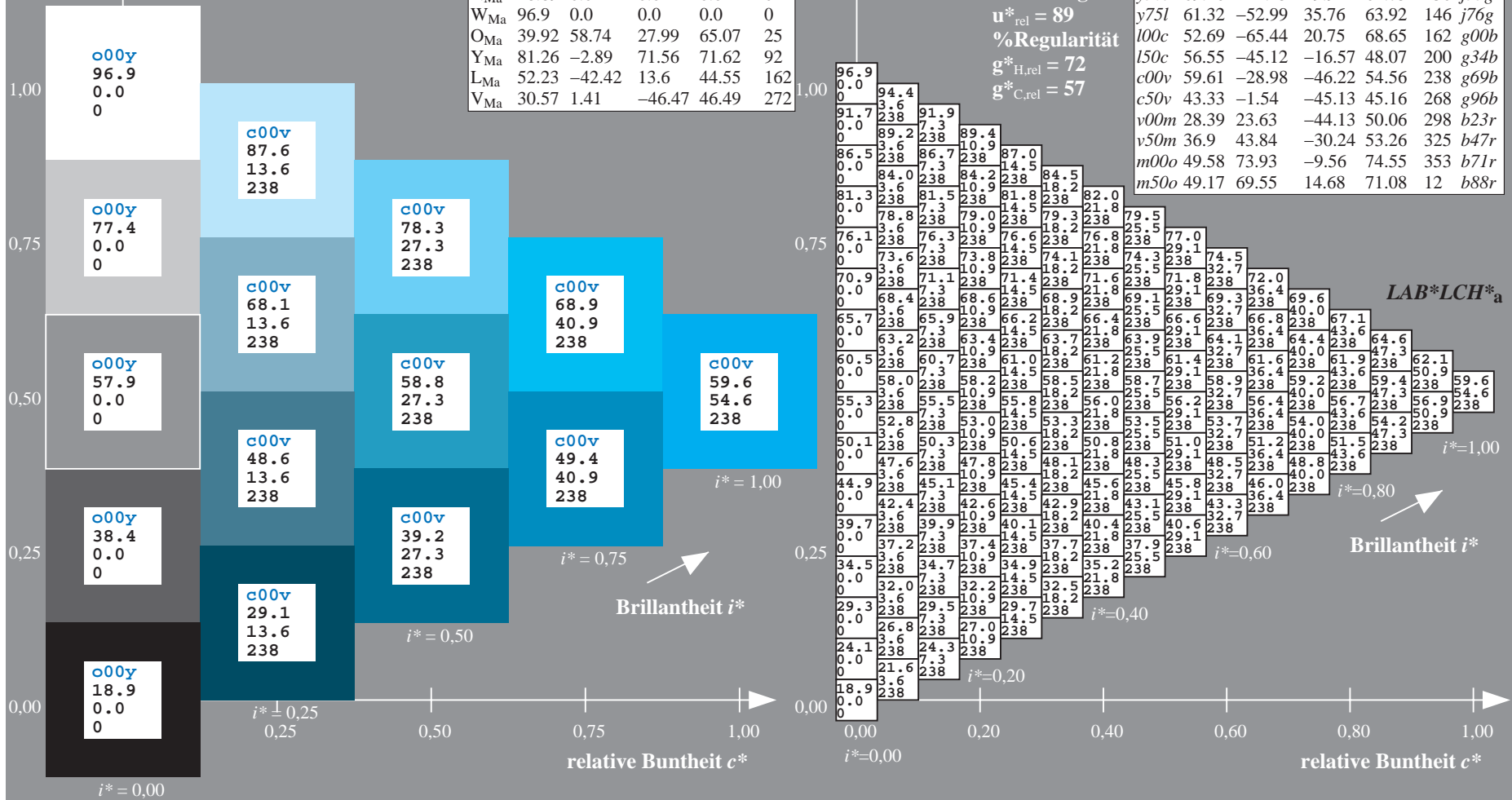
$lab^*olv^*_Ma: 0.0 1.0 1.0$

$lab^*rgb^*_Ma: 0.0 0.62 1.0$

Dreiecks-Helligkeit t^*

ORS19_96a; adaptierte CIELAB-Daten

u^*_d	$L^*=L^*_a$	a^*_a	b^*_a	$C^*_{ab,a}$	$h^*_{ab,a}$	u^*_e
o00y	48.75	65.07	39.43	76.08	31	r08j
o25y	59.04	46.67	51.1	69.21	48	r33j
o50y	68.32	30.09	61.62	68.58	64	r57j
o75y	78.23	12.39	72.85	73.9	80	r81j
y00l	90.92	-10.29	87.24	87.85	97	j06g
y25l	78.57	-28.11	65.75	71.51	113	j29g
y50l	69.46	-41.25	49.92	64.75	130	j53g
y75l	61.32	-52.99	35.76	63.92	146	j76g
l00c	52.69	-65.44	20.75	68.65	162	g00b
l50c	56.55	-45.12	-16.57	48.07	200	g34b
c00v	59.61	-28.98	-46.22	54.56	238	g69b
c50v	43.33	-1.54	-45.13	45.16	268	g96b
v00m	28.39	23.63	-44.13	50.06	298	b23r
v50m	36.9	43.84	-30.24	53.26	325	b47r
m00o	49.58	73.93	-9.56	74.55	353	b71r
m50o	49.17	69.55	14.68	71.08	12	b88r



Ein und Ausgabe: Farbmatisches Drucker-Reflektiv-System ORS19_96a für relativen CIELAB-Bunton $h^* = lab^*h^* = h_{ab}/360 = 0.745$

Daten für jede Farbe:

lab^*ch^* und lab^*icu^*

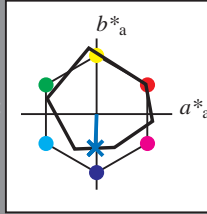
Buntontexte:

$u^*_d = c50v$ $u^*_e = g96b$

Kontrastreduzierungsfaktor:

$c_R = 1.0$

Dreiecks-Helligkeit t^*



ORS19_96a; adaptierte CIELAB-Daten

u^*_d	$L^*=L^*_a$	a^*_a	b^*_a	$C^*_{ab,a}$	$h^*_{ab,a}$
O _{Ma}	48.75	65.07	39.43	76.08	31
Y _{Ma}	90.92	-10.29	87.24	87.85	97
L _{Ma}	52.69	-65.44	20.75	68.65	162
C _{Ma}	59.61	-28.98	-46.22	54.56	238
V _{Ma}	28.39	23.63	-44.13	50.06	298
M _{Ma}	49.58	73.93	-9.56	74.55	353
N _{Ma}	18.89	0.0	0.0	0.0	0
W _{Ma}	96.9	0.0	0.0	0.0	0
O _{Ma}	39.92	58.74	27.99	65.07	25
Y _{Ma}	81.26	-2.89	71.56	71.62	92
L _{Ma}	52.23	-42.42	13.6	44.55	162
V _{Ma}	30.57	1.41	-46.47	46.49	272

$u^*_d = c50v$

LAB*LCH*a

Daten für Maximalfarbe (Ma):

LAB*LAB*_{Ma}: 43 -2 -45

LAB*LCH*_{Ma}: 43 45 268

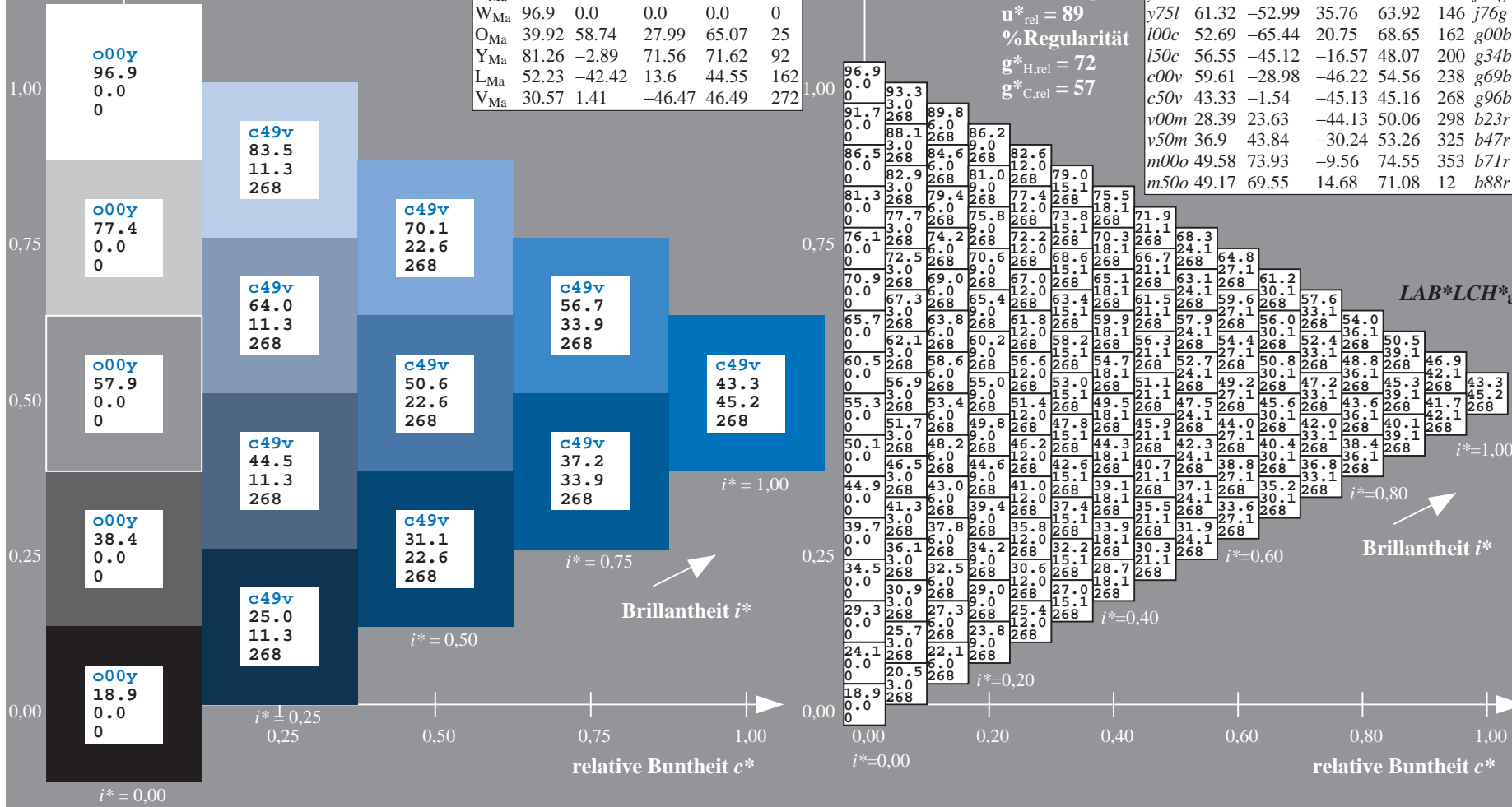
lab*olv*_{Ma}: 0.0 0.5 1.0

lab*rgb*_{Ma}: 0.0 0.07 1.0

Dreiecks-Helligkeit t^*

ORS19_96a; adaptierte CIELAB-Daten

u^*_d	$L^*=L^*_a$	a^*_a	b^*_a	$C^*_{ab,a}$	$h^*_{ab,a}$	u^*_e
o00y	48.75	65.07	39.43	76.08	31	r08j
o25y	59.04	46.67	51.1	69.21	48	r33j
o50y	68.32	30.09	61.62	68.58	64	r57j
o75y	78.23	12.39	72.85	73.9	80	r81j
y00l	90.92	-10.29	87.24	87.85	97	j06g
y25l	78.57	-28.11	65.75	71.51	113	j29g
y50l	69.46	-41.25	49.92	64.75	130	j53g
y75l	61.32	-52.99	35.76	63.92	146	j76g
l00c	52.69	-65.44	20.75	68.65	162	g00b
l50c	56.55	-45.12	-16.57	48.07	200	g34b
c00v	59.61	-28.98	-46.22	54.56	238	g69b
c50v	43.33	-1.54	-45.13	45.16	268	g96b
v00m	28.39	23.63	-44.13	50.06	298	b23r
v50m	36.9	43.84	-30.24	53.26	325	b47r
m00o	49.58	73.93	-9.56	74.55	353	b71r
m50o	49.17	69.55	14.68	71.08	12	b88r



Ein und Ausgabe: Farbmatisches Drucker-Reflektiv-System ORS19_96a für relativen CIELAB-Bunton $h^* = lab^*h^* = h_{ab}/360 = 0.828$

$u^*_d = v00m$
 $LAB^*LCH^*_a$

Daten für jede Farbe:

lab^*ch^* und lab^*icu^*

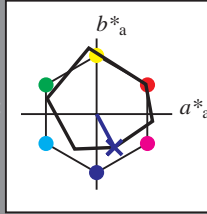
Buntontexte:

$u^*_d = v00m$ $u^*_e = b23r$

Kontrastreduzierungsfaktor:

$c_R = 1.0$

Dreiecks-Helligkeit t^*



ORS19_96a; adaptierte CIELAB-Daten

u^*_d	$L^*=L^*_a$	a^*_a	b^*_a	$C^*_{ab,a}$	$h^*_{ab,a}$
O _{Ma}	48.75	65.07	39.43	76.08	31
Y _{Ma}	90.92	-10.29	87.24	87.85	97
L _{Ma}	52.69	-65.44	20.75	68.65	162
C _{Ma}	59.61	-28.98	-46.22	54.56	238
V _{Ma}	28.39	23.63	-44.13	50.06	298
M _{Ma}	49.58	73.93	-9.56	74.55	353
N _{Ma}	18.89	0.0	0.0	0.0	0
W _{Ma}	96.9	0.0	0.0	0.0	0
O _{Ma}	39.92	58.74	27.99	65.07	25
Y _{Ma}	81.26	-2.89	71.56	71.62	92
L _{Ma}	52.23	-42.42	13.6	44.55	162
V _{Ma}	30.57	1.41	-46.47	46.49	272

Daten für Maximalfarbe (Ma):

$LAB^*LAB^*_Ma: 28\ 24\ -44$

$LAB^*LCH^*_Ma: 28\ 50\ 298$

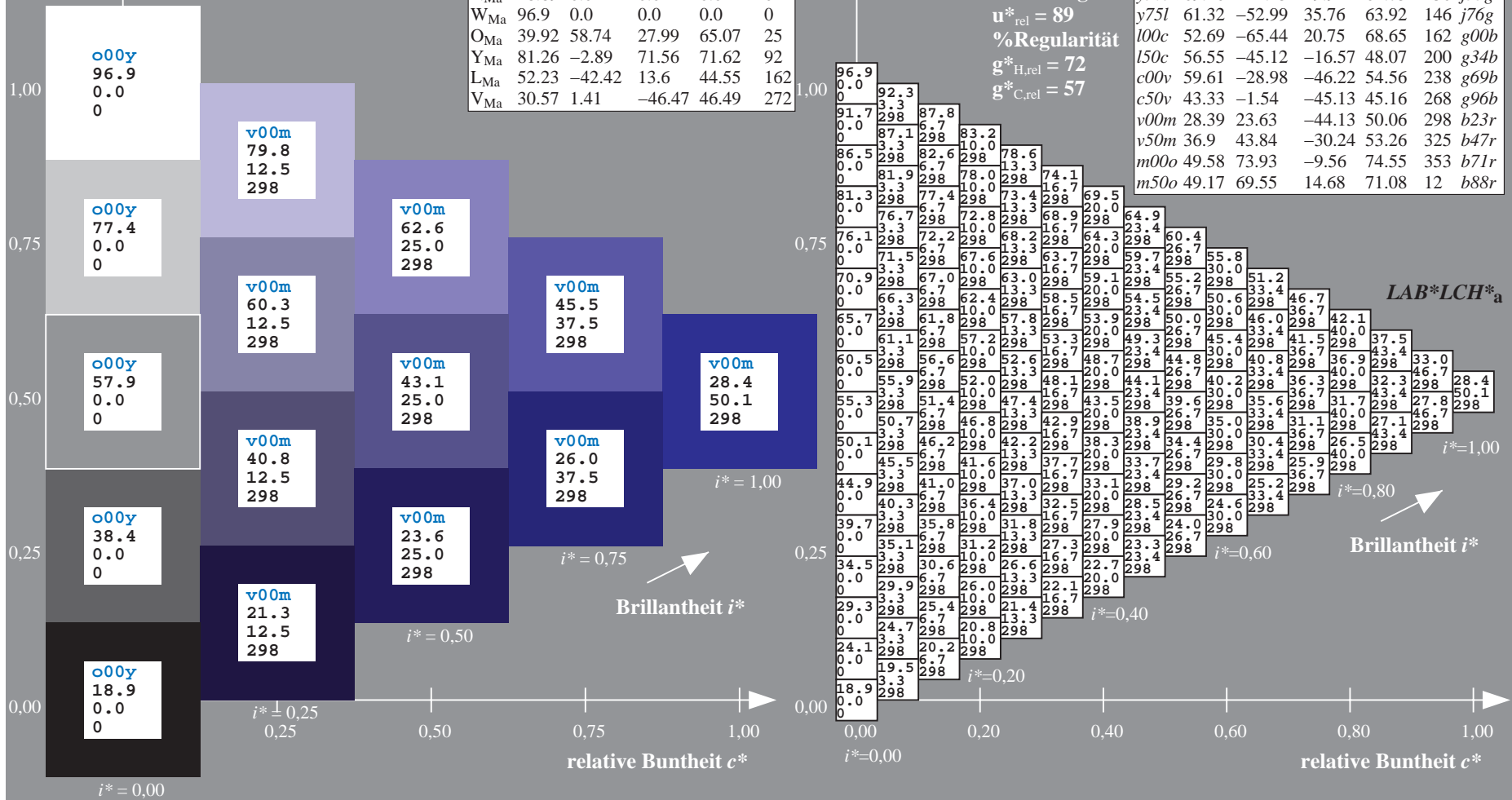
$lab^*olv^*_Ma: 0.0\ 0.0\ 1.0$

$lab^*rgb^*_Ma: 0.46\ 0.0\ 1.0$

Dreiecks-Helligkeit t^*

ORS19_96a; adaptierte CIELAB-Daten

u^*_d	$L^*=L^*_a$	a^*_a	b^*_a	$C^*_{ab,a}$	$h^*_{ab,a}$	u^*_e
o00y	96.9	0.0	0.0			r08j
v00m	79.8	12.5	298			r33j
o00y	77.4	0.0	0.0			r57j
v00m	62.6	25.0	298			r81j
o00y	57.9	0.0	0.0			j06g
v00m	43.1	25.0	298			j29g
o00y	38.4	0.0	0.0			j53g
v00m	23.6	25.0	298			j76g
o00y	18.9	0.0	0.0			l00c
v00m	12.5	298				l50c
o00y	0.0	0.0	0.0			c00v
v00m	0.0	0.0	0.0			c50v
o00y	0.0	0.0	0.0			v00m
v00m	0.0	0.0	0.0			v50m
m00o	49.58	73.93	-9.56	74.55	353	b71r
m50o	49.17	69.55	14.68	71.08	12	b88r



%Umfang
 $u^*_{rel} = 89$
%Regularität
 $g^*_{H,rel} = 72$
 $g^*_{C,rel} = 57$

$LAB^*LCH^*_a$

$i^* = 1.00$

$i^* = 0.80$

Brillanz i^*

$i^* = 0.60$

$i^* = 0.40$

$i^* = 0.20$

$i^* = 0.00$

Ein und Ausgabe: Farbmatisches Drucker-Reflektiv-System ORS19_96a für relativen CIELAB-Bunton $h^* = \text{lab}^*h^* = h_{ab}/360 = 0.904$

$u^*_d = v50m$
 $\text{LAB}^*\text{LCH}^*_a$

Daten für jede Farbe:

lab^*tch^* und lab^*icu^*

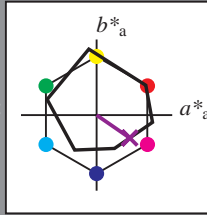
Buntontexte:

$u^*_d = v50m$ $u^*_e = b47r$

Kontrastreduzierungsfaktor:

$c_R = 1.0$

Dreiecks-Helligkeit t^*



ORS19_96a; adaptierte CIELAB-Daten

u^*_d	$L^*=L^*_a$	a^*_a	b^*_a	$C^*_{ab,a}$	$h^*_{ab,a}$
O _{Ma}	48.75	65.07	39.43	76.08	31
Y _{Ma}	90.92	-10.29	87.24	87.85	97
L _{Ma}	52.69	-65.44	20.75	68.65	162
C _{Ma}	59.61	-28.98	-46.22	54.56	238
V _{Ma}	28.39	23.63	-44.13	50.06	298
M _{Ma}	49.58	73.93	-9.56	74.55	353
N _{Ma}	18.89	0.0	0.0	0.0	0
W _{Ma}	96.9	0.0	0.0	0.0	0
O _{Ma}	39.92	58.74	27.99	65.07	25
Y _{Ma}	81.26	-2.89	71.56	71.62	92
L _{Ma}	52.23	-42.42	13.6	44.55	162
V _{Ma}	30.57	1.41	-46.47	46.49	272

Daten für Maximalfarbe (Ma):

$\text{LAB}^*\text{LAB}^*_{Ma}$: 37 44 -30

$\text{LAB}^*\text{LCH}^*_{Ma}$: 37 53 325

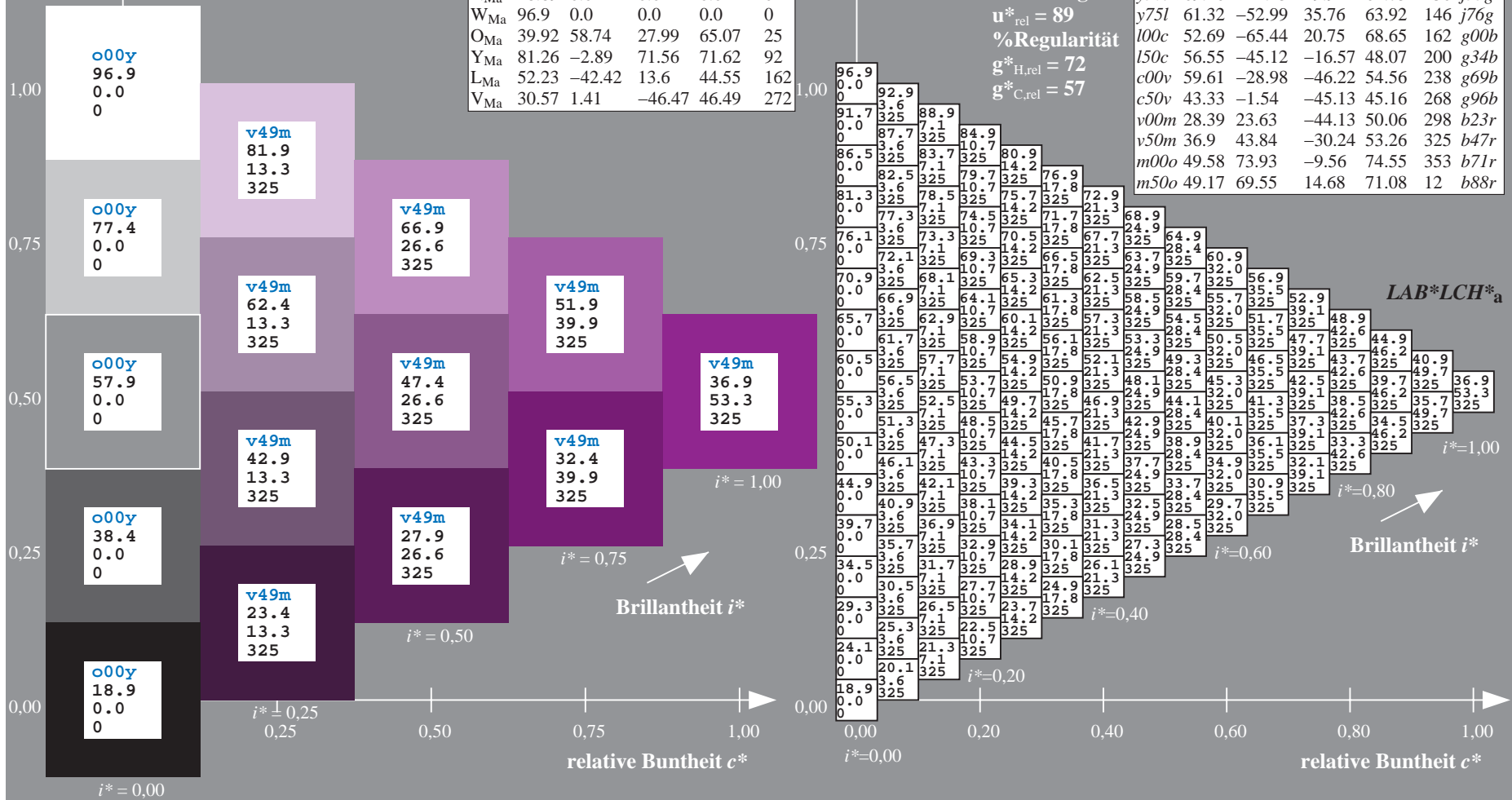
$\text{lab}^*\text{olv}^*_{Ma}$: 0.5 0.0 1.0

$\text{lab}^*\text{rgb}^*_{Ma}$: 0.94 0.0 1.0

Dreiecks-Helligkeit t^*

ORS19_96a; adaptierte CIELAB-Daten

u^*_d	$L^*=L^*_a$	a^*_a	b^*_a	$C^*_{ab,a}$	$h^*_{ab,a}$	u^*_e
o00y	48.75	65.07	39.43	76.08	31	r08j
o25y	59.04	46.67	51.1	69.21	48	r33j
o50y	68.32	30.09	61.62	68.58	64	r57j
o75y	78.23	12.39	72.85	73.9	80	r81j
y00l	90.92	-10.29	87.24	87.85	97	j06g
y25l	78.57	-28.11	65.75	71.51	113	j29g
y50l	69.46	-41.25	49.92	64.75	130	j53g
y75l	61.32	-52.99	35.76	63.92	146	j76g
l00c	52.69	-65.44	20.75	68.65	162	g00b
l50c	56.55	-45.12	-16.57	48.07	200	g34b
c00v	59.61	-28.98	-46.22	54.56	238	g69b
c50v	43.33	-1.54	-45.13	45.16	268	g96b
v00m	28.39	23.63	-44.13	50.06	298	b23r
v50m	36.9	43.84	-30.24	53.26	325	b47r
m00o	49.58	73.93	-9.56	74.55	353	b71r
m50o	49.17	69.55	14.68	71.08	12	b88r



Ein und Ausgabe: Farbmatisches Drucker-Reflektiv-System ORS19_96a für relativen CIELAB-Bunton $h^* = \frac{lab^*h^*}{h_{ab}^*} = 0.98$

$u^*_d = m00o$
LAB*LCH*_a

Daten für jede Farbe:

lab^*ch^* und lab^*icu^*

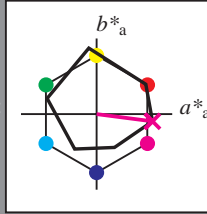
Buntontexte:

$u^*_d = m00o$ $u^*_e = b71r$

Kontrastreduzierungsfaktor:

$c_R = 1.0$

Dreiecks-Helligkeit t^*



ORS19_96a; adaptierte CIELAB-Daten

u^*_d	$L^*=L^*_a$	a^*_a	b^*_a	$C^*_{ab,a}$	$h^*_{ab,a}$
O _{Ma}	48.75	65.07	39.43	76.08	31
Y _{Ma}	90.92	-10.29	87.24	87.85	97
L _{Ma}	52.69	-65.44	20.75	68.65	162
C _{Ma}	59.61	-28.98	-46.22	54.56	238
V _{Ma}	28.39	23.63	-44.13	50.06	298
M _{Ma}	49.58	73.93	-9.56	74.55	353
N _{Ma}	18.89	0.0	0.0	0.0	0
W _{Ma}	96.9	0.0	0.0	0.0	0
O _{Ma}	39.92	58.74	27.99	65.07	25
Y _{Ma}	81.26	-2.89	71.56	71.62	92
L _{Ma}	52.23	-42.42	13.6	44.55	162
V _{Ma}	30.57	1.41	-46.47	46.49	272

Daten für Maximalfarbe (Ma):

LAB*LAB*_Ma: 50 74 -10

LAB*LCH*_Ma: 50 75 352

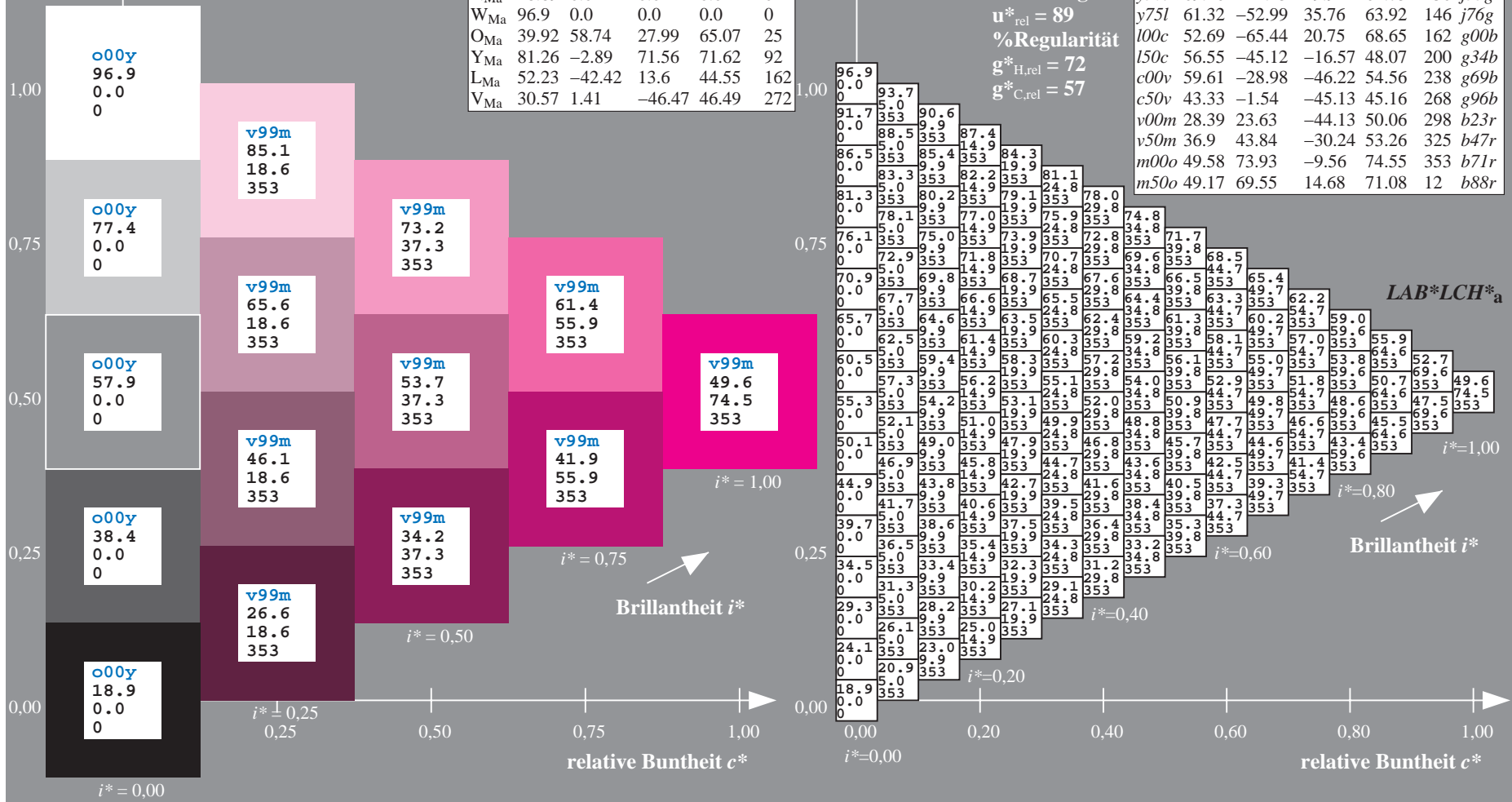
lab*olv*_Ma: 1.0 0.0 1.0

lab*rgb*_Ma: 1.0 0.0 0.58

Dreiecks-Helligkeit t^*

ORS19_96a; adaptierte CIELAB-Daten

u^*_d	$L^*=L^*_a$	a^*_a	b^*_a	$C^*_{ab,a}$	$h^*_{ab,a}$	u^*_e
o00y	48.75	65.07	39.43	76.08	31	r08j
o25y	59.04	46.67	51.1	69.21	48	r33j
o50y	68.32	30.09	61.62	68.58	64	r57j
o75y	78.23	12.39	72.85	73.9	80	r81j
y00l	90.92	-10.29	87.24	87.85	97	j06g
y25l	78.57	-28.11	65.75	71.51	113	j29g
y50l	69.46	-41.25	49.92	64.75	130	j53g
y75l	61.32	-52.99	35.76	63.92	146	j76g
l00c	52.69	-65.44	20.75	68.65	162	g00b
l50c	56.55	-45.12	-16.57	48.07	200	g34b
c00v	59.61	-28.98	-46.22	54.56	238	g69b
c50v	43.33	-1.54	-45.13	45.16	268	g96b
v00m	28.39	23.63	-44.13	50.06	298	b23r
v50m	36.9	43.84	-30.24	53.26	325	b47r
m00o	49.58	73.93	-9.56	74.55	353	b71r
m50o	49.17	69.55	14.68	71.08	12	b88r



Ein und Ausgabe: Farbmatisches Drucker-Reflektiv-System ORS19_96a für relativen CIELAB-Bunton $h^* = lab^*h^* = h_{ab}/360 = 0.033$

Daten für jede Farbe:

lab^*ch^* und lab^*icu^*

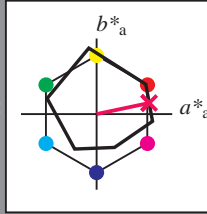
Buntontexte:

$u^*_d = m50o$ $u^*_e = b88r$

Kontrastreduzierungsfaktor:

$c_R = 1.0$

Dreiecks-Helligkeit t^*



ORS19_96a; adaptierte CIELAB-Daten

u^*_d	$L^*=L^*_a$	a^*_a	b^*_a	$C^*_{ab,a}$	$h^*_{ab,a}$
O _{Ma}	48.75	65.07	39.43	76.08	31
Y _{Ma}	90.92	-10.29	87.24	87.85	97
L _{Ma}	52.69	-65.44	20.75	68.65	162
C _{Ma}	59.61	-28.98	-46.22	54.56	238
V _{Ma}	28.39	23.63	-44.13	50.06	298
M _{Ma}	49.58	73.93	-9.56	74.55	353
N _{Ma}	18.89	0.0	0.0	0.0	0
W _{Ma}	96.9	0.0	0.0	0.0	0
O _{Ma}	39.92	58.74	27.99	65.07	25
Y _{Ma}	81.26	-2.89	71.56	71.62	92
L _{Ma}	52.23	-42.42	13.6	44.55	162
V _{Ma}	30.57	1.41	-46.47	46.49	272

$u^*_d = m50o$
 $LAB^*LCH^*_a$

Daten für Maximalfarbe (Ma):

$LAB^*LAB^*_Ma: 49\ 70\ 15$

$LAB^*LCH^*_Ma: 49\ 71\ 11$

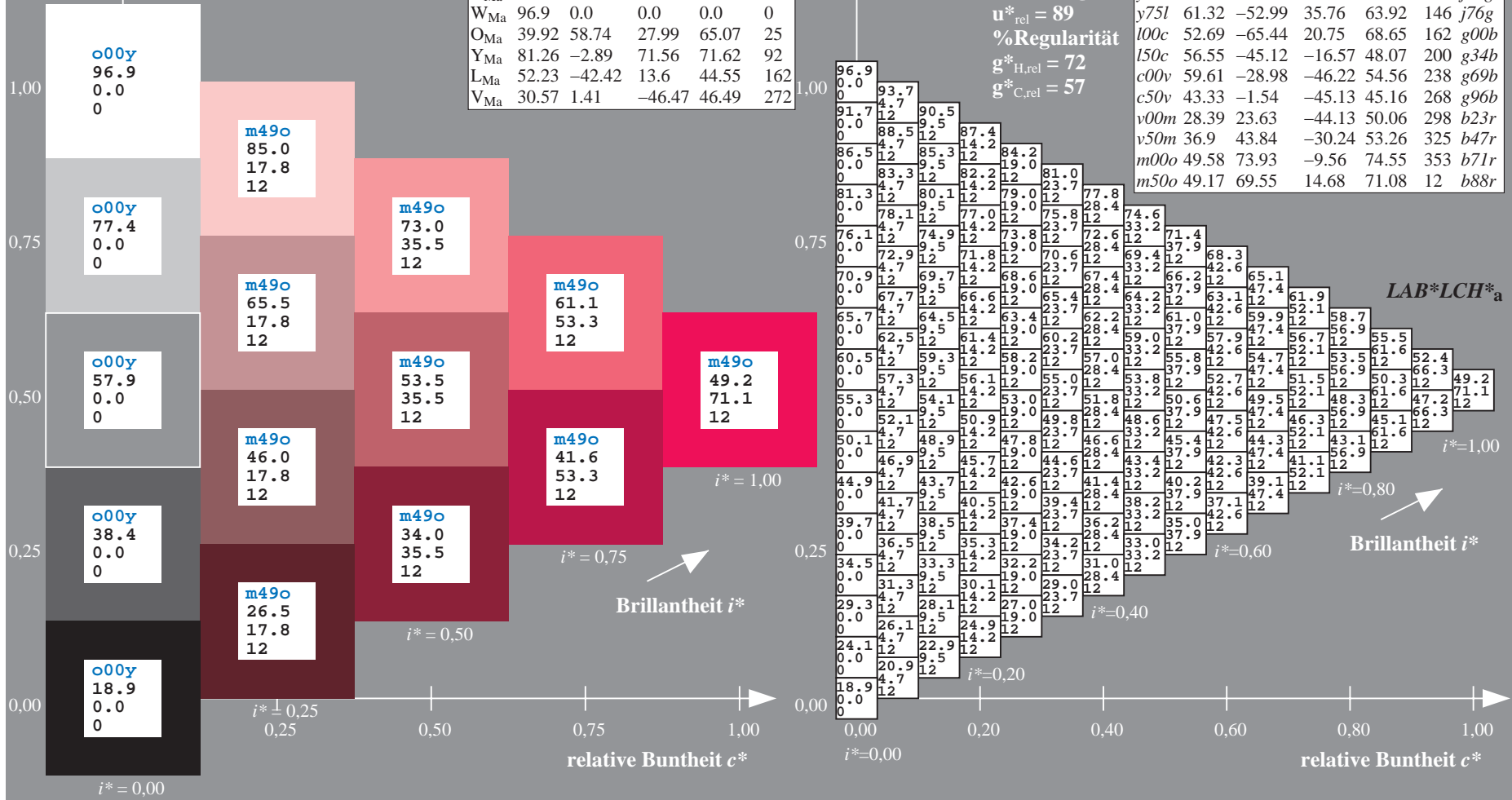
$lab^*olv^*_Ma: 1.0\ 0.0\ 0.5$

$lab^*rgb^*_Ma: 1.0\ 0.0\ 0.24$

Dreiecks-Helligkeit t^*

ORS19_96a; adaptierte CIELAB-Daten

u^*_d	$L^*=L^*_a$	a^*_a	b^*_a	$C^*_{ab,a}$	$h^*_{ab,a}$	u^*_e
o00y	48.75	65.07	39.43	76.08	31	r08j
o25y	59.04	46.67	51.1	69.21	48	r33j
o50y	68.32	30.09	61.62	68.58	64	r57j
o75y	78.23	12.39	72.85	73.9	80	r81j
y00l	90.92	-10.29	87.24	87.85	97	j06g
y25l	78.57	-28.11	65.75	71.51	113	j29g
y50l	69.46	-41.25	49.92	64.75	130	j53g
y75l	61.32	-52.99	35.76	63.92	146	j76g
l00c	52.69	-65.44	20.75	68.65	162	g00b
l50c	56.55	-45.12	-16.57	48.07	200	g34b
c00v	59.61	-28.98	-46.22	54.56	238	g69b
c50v	43.33	-1.54	-45.13	45.16	268	g96b
v00m	28.39	23.63	-44.13	50.06	298	b23r
v50m	36.9	43.84	-30.24	53.26	325	b47r
m00o	49.58	73.93	-9.56	74.55	353	b71r
m50o	49.17	69.55	14.68	71.08	12	b88r



	A	B	C	D	E	F	G	H	I	J	K	L	M	N	O	P	Q	R	S	T	U	V	W	X	Y	Z	a	b	c	d	e	f	g	h	i	j	k	LAB*LCH*a																				
01	18.9	23.1	27.3	31.6	35.8	40.0	44.2	48.5	52.7	22.6	27.9	31.5	35.8	40.1	44.4	48.6	52.9	57.2	26.4	31.2	36.9	40.1	44.2	48.4	52.7	57.0	61.3	66.9	90.9	84.9	78.8	72.8	66.8	60.8	54.8	48.7	18.9	18.9	18.9	18.9																		
02	20.1	24.0	28.3	32.6	36.9	41.2	45.5	49.7	54.0	22.7	28.0	32.9	37.1	41.3	45.5	49.8	54.0	58.2	26.5	32.4	37.6	41.3	45.6	49.9	54.1	58.4	62.7	67.2	87.1	81.1	75.1	69.1	63.1	57.1	51.0	45.0	28.6	28.6	28.6	28.6																		
03	21.3	25.0	29.1	33.4	37.7	42.1	46.4	50.7	55.0	23.4	29.8	33.7	38.1	42.4	46.7	51.0	55.2	59.5	26.6	32.5	38.4	42.6	46.8	51.1	55.3	59.5	63.7	68.6	82.5	77.4	71.4	65.4	59.3	53.3	47.3	41.3	38.4	38.4	38.4	38.4																		
04	22.5	26.3	29.9	34.2	38.4	42.8	47.1	51.5	55.8	24.5	31.0	34.8	38.8	43.1	47.5	51.8	56.1	60.4	26.9	33.1	39.6	43.5	47.8	52.1	56.4	60.7	65.0	70.2	77.8	72.7	67.6	61.6	55.6	49.6	43.6	37.6	48.1	48.1	48.1	48.1																		
05	23.6	27.6	31.1	34.8	39.2	43.5	47.8	52.2	56.5	25.7	32.2	36.0	39.6	43.9	48.2	52.5	56.9	61.2	27.9	34.3	40.8	44.8	48.8	52.9	57.2	61.6	65.9	71.3	73.2	68.1	63.0	57.9	51.9	45.9	39.8	33.8	57.9	57.9	57.9	57.9																		
06	24.8	28.8	32.4	35.9	39.8	44.3	48.6	52.9	57.3	26.9	33.4	37.3	40.9	44.5	49.0	53.3	57.6	61.9	29.0	35.5	42.0	45.8	49.4	53.7	57.9	62.3	66.6	73.6	68.5	63.4	58.3	53.2	48.1	42.1	36.1	30.1	67.6	67.6	67.6	67.6																		
07	26.0	30.1	33.7	37.2	40.8	44.4	49.4	53.7	58.0	28.1	34.6	38.6	42.2	45.7	49.5	54.1	58.3	62.7	30.2	36.6	43.1	47.1	50.6	54.3	58.3	63.0	67.3	73.8	68.9	63.8	58.8	53.7	48.6	43.5	38.4	32.4	77.4	77.4	77.4	77.4																		
08	27.2	31.3	35.0	38.5	42.1	45.8	49.8	54.5	58.7	29.3	35.8	39.8	43.4	47.0	50.6	54.5	59.2	63.4	31.3	37.8	44.3	48.3	51.9	55.5	59.3	63.8	68.1	74.3	69.3	64.3	59.2	54.1	49.0	43.9	38.8	33.7	28.6	87.1	87.1	87.1	87.1																	
09	28.4	32.5	36.2	39.8	43.3	46.9	50.7	54.9	59.0	30.5	37.0	41.0	44.7	48.3	52.0	55.9	60.4	64.3	32.5	39.0	45.5	49.6	53.2	57.7	61.4	65.3	71.5	66.5	61.5	56.5	51.4	46.3	41.2	36.1	31.0	25.9	96.9	96.9	96.9	96.9																		
10	30.1	35.1	39.8	45.9	48.7	52.6	56.8	61.1	65.4	33.8	39.0	43.6	48.6	54.9	61.2	65.3	69.5	73.6	37.6	42.8	47.5	52.2	57.4	63.9	66.3	69.9	73.8	80.9	76.2	71.5	66.8	62.1	57.4	52.7	48.0	43.3	38.6	18.9	18.9	18.9	18.9																	
11	32.0	36.1	41.0	46.6	49.8	53.9	58.2	62.5	66.8	33.9	39.8	44.9	49.6	55.7	61.8	67.9	73.0	77.2	37.7	43.6	48.7	53.4	58.3	64.7	67.3	71.0	75.0	80.2	75.3	70.4	65.5	60.6	55.7	50.8	45.9	41.0	36.1	24.1	24.1	24.1	24.1																	
12	26.9	19.0	17.1	22.0	25.7	32.4	39.9	47.7	55.8	36.2	28.5	25.6	26.8	32.9	35.8	41.6	48.6	56.0	45.6	38.0	34.6	34.3	36.9	43.9	46.1	51.4	57.5	6.3	0.0	11.0	22.0	32.9	43.9	54.9	65.9	76.9	87.8	0.0	0.0	0.0	0.0																	
13	30.3	36.2	42.1	47.4	51.0	55.3	59.6	63.9	68.2	34.0	39.9	45.9	50.8	56.4	62.9	67.9	72.2	77.8	38.3	43.7	49.5	54.6	59.3	65.4	68.8	72.1	76.3	79.8	78.6	77.4	76.6	75.9	74.2	74.4	73.7	72.9	29.3	29.3	29.3	29.3																		
14	30.4	36.3	42.2	48.1	52.4	56.6	60.9	65.0	69.3	34.1	40.0	46.0	51.9	57.1	60.8	65.1	69.4	73.6	37.9	43.8	49.7	55.6	60.6	66.2	69.3	73.4	77.7	81.2	80.0	78.8	77.6	76.6	75.9	74.2	73.4	72.9	34.5	34.5	34.5	34.5																		
15	28.0	18.6	9.3	0.0	8.6	17.2	25.7	34.3	42.9	35.9	26.7	17.8	9.5	11.0	16.2	23.9	32.0	40.2	44.4	35.5	26.9	19.0	17.1	22.0	25.7	32.4	39.9	47.7	55.8	63.9	72.0	80.1	88.2	96.3	0.0	0.0	0.0	0.0	0.0	0.0	0.0																	
16	30.5	36.7	42.9	49.3	53.2	57.6	61.9	66.2	70.5	34.2	40.1	46.1	52.0	57.9	62.1	66.3	70.6	74.8	38.4	43.9	49.8	55.7	61.6	66.9	70.5	74.8	79.1	82.6	81.5	80.3	79.1	78.0	77.0	76.0	75.0	54.9	39.7	39.7	39.7	39.7																		
17	31.9	37.6	44.0	50.5	54.3	58.3	62.6	67.0	71.3	34.2	40.3	46.4	52.3	58.2	61.9	66.3	70.7	75.9	38.1	44.0	49.9	55.8	61.7	67.6	71.9	76.1	80.3	84.1	82.9	81.7	80.5	79.3	78.1	77.0	76.0	55.9	44.9	44.9	44.9	44.9																		
18	34.7	26.6	19.1	12.5	11.3	13.6	17.9	24.0	30.9	39.1	30.2	21.5	13.3	6.3	6.8	12.0	19.1	26.8	46.6	37.3	28.0	18.6	9.3	0.0	8.6	17.2	25.7	34.3	42.9	51.5	60.1	68.7	77.3	85.9	94.5	103.1	111.7	120.3	128.9	0.0	0.0	0.0	0.0															
19	32.4	38.8	45.2	51.7	55.5	59.1	63.4	67.7	72.0	34.9	41.1	47.4	53.8	60.3	64.0	68.1	72.4	76.7	38.0	44.0	50.0	56.2	62.4	68.8	72.7	77.1	81.4	85.4	84.3	83.1	82.0	80.8	79.6	78.4	77.2	50.1	50.1	50.1	50.1																			
20	32.5	38.5	45.0	51.5	55.3	59.0	63.2	67.4	71.7	35.0	41.3	47.6	54.0	60.5	64.2	68.3	72.6	76.9	38.1	44.2	50.3	56.6	62.9	69.3	73.2	77.6	81.9	86.0	85.0	83.8	82.6	81.4	80.2	79.0	77.8	51.0	51.0	51.0	51.0																			
21	33.5	39.9	46.4	52.9	56.8	60.6	64.0	68.5	72.8	35.9	42.2	48.5	55.0	61.5	65.3	69.9	73.2	77.4	38.5	44.7	50.9	57.1	63.5	70.0	73.8	77.7	82.1	86.1	85.0	83.8	82.6	81.4	80.2	79.0	77.8	55.3	55.3	55.3	55.3																			
22	34.5	38.1	31.2	25.0	22.9	22.6	23.9	27.3	30.7	48.0	39.9	32.3	25.0	18.1	15.8	17.0	24.5	32.4	51.7	43.1	34.7	26.6	19.1	12.5	11.3	13.6	17.9	43.9	37.5	31.3	25.0	18.8	12.5	6.3	0.0	11.0	22.0	32.9	43.9	54.9	65.9	76.9	87.8															
23	32.2	31.6	30.9	29.8	28.3	26.8	25.3	23.8	22.3	32.9	32.5	32.0	31.2	29.8	27.8	25.8	23.8	21.9	33.7	33.4	33.1	32.5	31.6	29.8	26.8	23.8	21.3	29.8	29.8	29.8	29.8	29.8	29.8	29.8	29.8	29.8	29.8	29.8	29.8	29.8	29.8	29.8																
24	34.6	41.1	47.6	54.1	58.1	61.7	65.2	69.0	73.6	36.9	43.3	49.7	56.1	62.6	66.6	70.1	73.8	78.3	39.4	45.6	51.9	58.3	64.7	71.2	75.1	78.6	82.9	88.4	82.9	78.4	73.9	69.4	64.9	60.4	55.9	51.4	46.9	42.4	37.9	33.4	28.9	24.4																
25	51.3	44.1	37.4	31.3	29.0	28.2	28.6	30.4	34.1	53.3	45.5	38.1	31.2	25.0	22.9	22.6	23.9	27.3	56.2	48.0	39.9	32.3	25.1	18.8	17.0	17.4	20.5	50.1	43.8	37.5	31.3	25.0	18.8	12.5	6.3	0.0	11.0	22.0	32.9	43.9	54.9	65.9	76.9	87.8														
26	57.1	53.0	51.3	56.0	60.8	66.2	72.9	75.2	78.6	45.0	50.4	55.2	59.8	64.5	69.5	75.1	81.9	84.1	48.7	54.1	59.0	63.7	68.3	73.1	78.2	84.0	90.9	96.9	91.4	85.8	80.3	74.8	69.3	63.7	58.2	52.7	47.2	41.7	36.2	30.7	25.2	19.7	14.2	8.7	3.2													
27	41.3	46.6	51.3	56.0	60.8	66.2	72.9	75.2	78.6	45.0	50.4	55.2	59.8	64.5	69.5	75.1	81.9	84.1	48.7	54.1	59.0	63.7	68.3	73.1	78.2	84.0	90.9	96.9	91.4	85.8	80.3	74.8	69.3	63.7	58.2	52.7	47.2	41.7	36.2	30.7	25.2	19.7	14.2	8.7	3.2													
28	41.4	47.3	52.5	57.2	61.9	67.1	73.7	76.1	79.6	45.1	51.0	56.3	61.1	65.7	70.8	76.0	82.7	85.0	48.9	54.8	60.1	65.0	69.6	74.3	79.2	84.9	91.7	91.0	87.1	81.6	76.1	70.6	65.0	59.5	54.0	48.5	43.0	37.5	32.0	26.5	21.0	15.5	10.0	4.5	0.0	0.0	0.0											
29	55.0	47.6	43.8	42.6	43.7	47.4	54.9	56.7	61.3	64.5	57.1	53.0	51.3	51.4	53.5	58.0	65.9	67.3	74.0	66.6	62.4	60.2	59.7	60.8	63.8	68.7	76.9	9.3	0.0	8.6	17.2	25.7	34.3	42.9	51.5	60.1	68.7	77.3	85.9	94.5	103.1	111.7	120.3	128.9	0.0	0.0	0.0	0.0										
30	41.5	47.4	53.3	58.5	63.1	68.1	74.4	77.0	80.7	45.2	51.1	57.1	62.3	67.0	71.7	76.9	83.4	85.8	49.4	54.9	60.8	66.1	70.8	75.5	80.3	85.7	92.4	85.1	81.2	77.4	71.9	66.3	60.8	55.3	49.8	44.2	38.7	33.2	27.7	22.2	16.7	11.2	5.7	0.2	0.0	0.0												
31	53.8	45.6	38.0	34.6	34.3	36.9	43.9	46.1	51.4	63.1	55.0	47.6	43.8	42.6	43.7	47.4	54.9	56.7	72.5	64.5	57.1	53.0	51.3	51.4	53.5	58.0	65.9	67.3	74.0	66.6	62.4	60.2	59.7	60.8	63.8	68.7	76.9	9.3	0.0	8.6	17.2	25.7	34.3	42.9	51.5	60.1	68.7	77.3	85.9	94.5	103.1	111.7	120.3	128.9	0.0	0.0	0.0	0.0
32	41.6	47.5	53.4	59.3	64.4																																																					

Ein und Ausgabe:
 Farbmetrisches Drucker-Reflektiv-System ORS19_96a

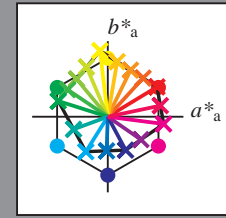
Daten für jede Farbe:
 u^*_d und Nummer $Nr.$ = 00 .. 15

Geräte-Bunttextext:
 $u^*_d = 16$ Bunttoene $o00y, o25y, \dots, m50o$

Kontrastreduzierungsfaktor:
 $c_R = 1.0$

ORS19_96a; adaptierte CIELAB-Daten

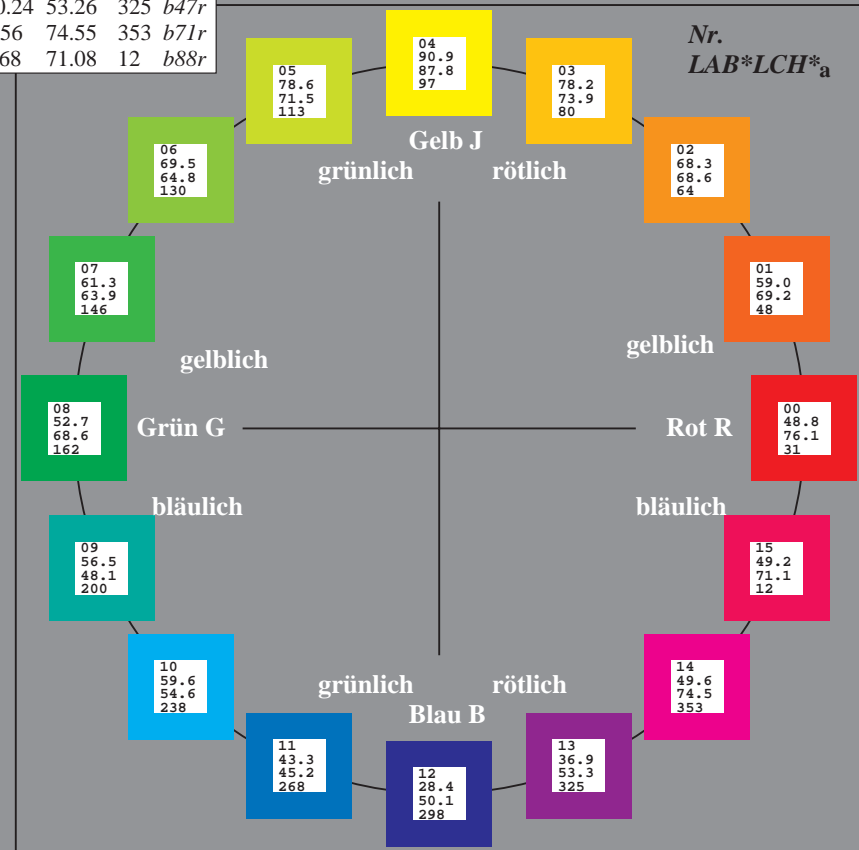
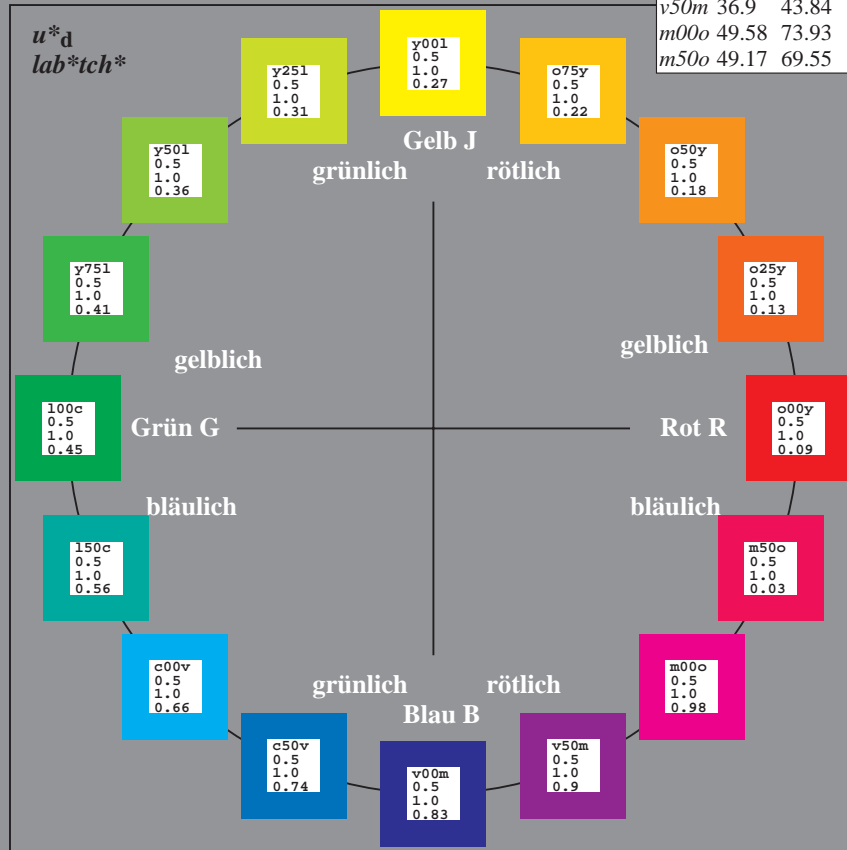
u^*_d	$L^*=L^*_a$	a^*_a	b^*_a	$C^*_{ab,a}$	$h^*_{ab,a}$	u^*_e
<i>o00y</i>	48.75	65.07	39.43	76.08	31	<i>r08j</i>
<i>o25y</i>	59.04	46.67	51.1	69.21	48	<i>r33j</i>
<i>o50y</i>	68.32	30.09	61.62	68.58	64	<i>r57j</i>
<i>o75y</i>	78.23	12.39	72.85	73.9	80	<i>r81j</i>
<i>y00l</i>	90.92	-10.29	87.24	87.85	97	<i>j06g</i>
<i>y25l</i>	78.57	-28.11	65.75	71.51	113	<i>j29g</i>
<i>y50l</i>	69.46	-41.25	49.92	64.75	130	<i>j53g</i>
<i>y75l</i>	61.32	-52.99	35.76	63.92	146	<i>j76g</i>
<i>l00c</i>	52.69	-65.44	20.75	68.65	162	<i>g00b</i>
<i>l50c</i>	56.55	-45.12	-16.57	48.07	200	<i>g34b</i>
<i>c00v</i>	59.61	-28.98	-46.22	54.56	238	<i>g69b</i>
<i>c50v</i>	43.33	-1.54	-45.13	45.16	268	<i>g96b</i>
<i>v00m</i>	28.39	23.63	-44.13	50.06	298	<i>b23r</i>
<i>y50m</i>	36.9	43.84	-30.24	53.26	325	<i>b47r</i>
<i>m00o</i>	49.58	73.93	-9.56	74.55	353	<i>b71r</i>
<i>m50o</i>	49.17	69.55	14.68	71.08	12	<i>b88r</i>



%Umfang
 $u^*_{rel} = 89$
 %Regularität
 $g^*_{H,rel} = 72$
 $g^*_{C,rel} = 57$

ORS19_96a; adaptierte CIELAB-Daten

Name	$L^*=L^*_a$	a^*_a	b^*_a	$C^*_{ab,a}$	$h^*_{ab,a}$
O _{Ma}	48.75	65.07	39.43	76.08	31
Y _{Ma}	90.92	-10.29	87.24	87.85	97
L _{Ma}	52.69	-65.44	20.75	68.65	162
C _{Ma}	59.61	-28.98	-46.22	54.56	238
V _{Ma}	28.39	23.63	-44.13	50.06	298
M _{Ma}	49.58	73.93	-9.56	74.55	353
N _{Ma}	18.89	0.0	0.0	0.0	0
W _{Ma}	96.9	0.0	0.0	0.0	0
O _{CIE}	39.92	58.74	27.99	65.07	25
Y _{CIE}	81.26	-2.89	71.56	71.62	92
L _{CIE}	52.23	-42.42	13.6	44.55	162
V _{CIE}	30.57	1.41	-46.47	46.49	272



Ein und Ausgabe: Farbmatisches Drucker-Reflektiv-System ORS19_96a für relativen CIELAB-Bunton $h^* = \text{lab}^*h^* = h_{ab}/360 = 0.087$

$u^*_d = o00y$

Daten für jede Farbe:

lab^*tch^* und lab^*icu^*

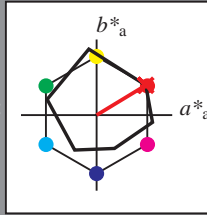
Buntontexte:

$u^*_d = o00y$ $u^*_e = r08j$

Kontrastreduzierungsfaktor:

$c_R = 1.0$

Dreiecks-Helligkeit t^*



ORS19_96a; adaptierte CIELAB-Daten

u^*_d	$L^*=L^*_a$	a^*_a	b^*_a	$C^*_{ab,a}$	$h^*_{ab,a}$
O _{Ma}	48.75	65.07	39.43	76.08	31
Y _{Ma}	90.92	-10.29	87.24	87.85	97
L _{Ma}	52.69	-65.44	20.75	68.65	162
C _{Ma}	59.61	-28.98	-46.22	54.56	238
V _{Ma}	28.39	23.63	-44.13	50.06	298
M _{Ma}	49.58	73.93	-9.56	74.55	353
N _{Ma}	18.89	0.0	0.0	0.0	0
W _{Ma}	96.9	0.0	0.0	0.0	0
O _{Ma}	39.92	58.74	27.99	65.07	25
Y _{Ma}	81.26	-2.89	71.56	71.62	92
L _{Ma}	52.23	-42.42	13.6	44.55	162
V _{Ma}	30.57	1.41	-46.47	46.49	272

Daten für Maximalfarbe (Ma):

$\text{LAB}^*\text{LAB}^*_{Ma}: 49 \ 65 \ 39$

$\text{LAB}^*\text{LCH}^*_{Ma}: 49 \ 76 \ 31$

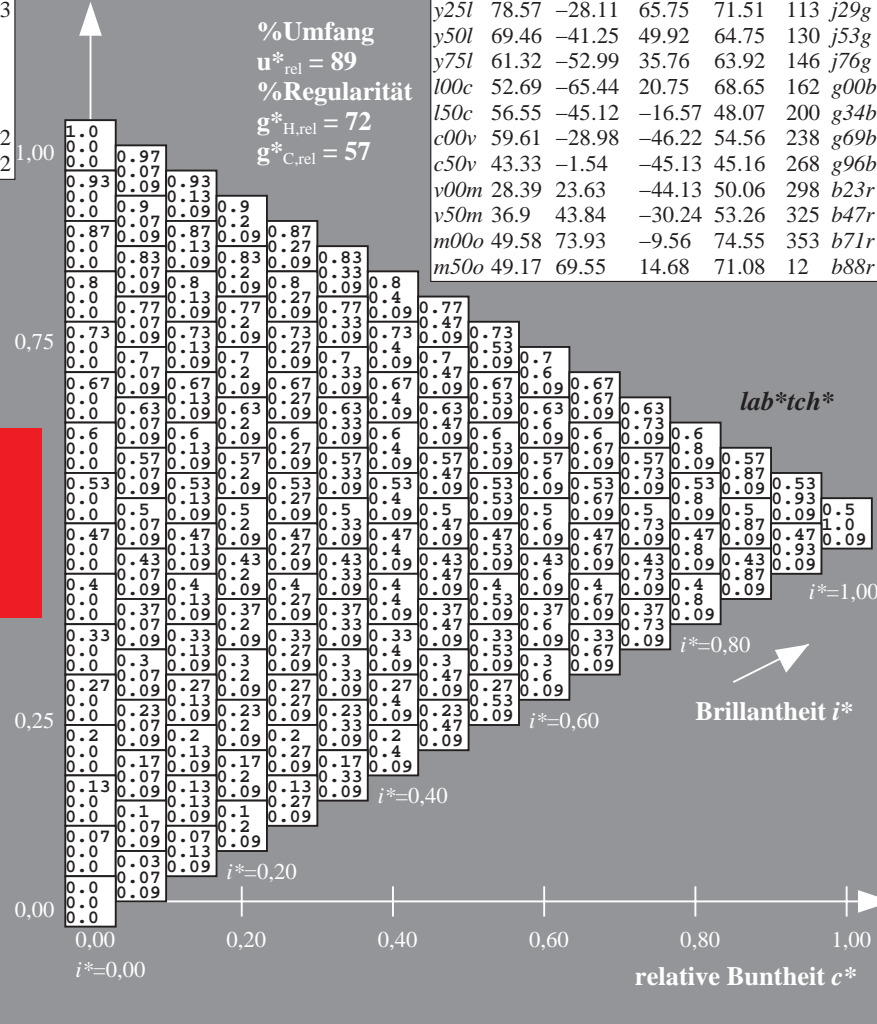
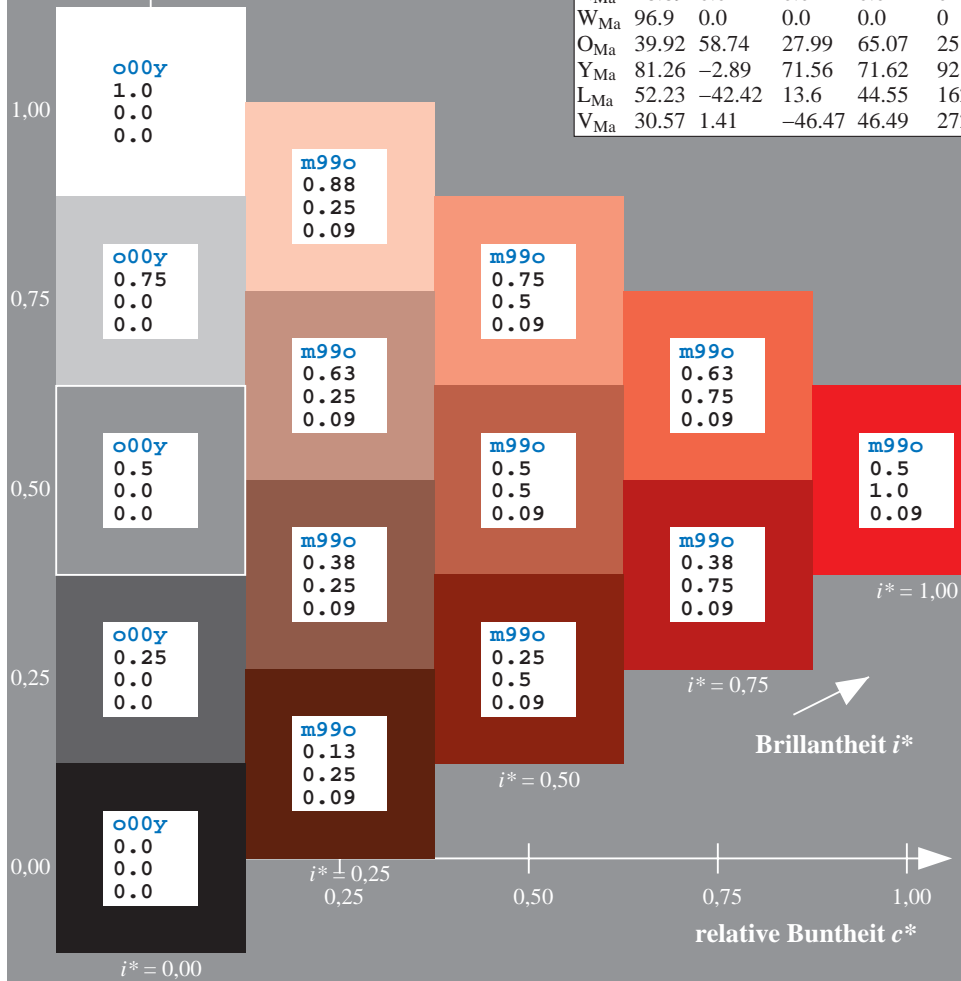
$\text{lab}^*\text{olv}^*_{Ma}: 1.0 \ 0.0 \ 0.0$

$\text{lab}^*\text{rgb}^*_{Ma}: 1.0 \ 0.09 \ 0.0$

Dreiecks-Helligkeit t^*

ORS19_96a; adaptierte CIELAB-Daten

u^*_d	$L^*=L^*_a$	a^*_a	b^*_a	$C^*_{ab,a}$	$h^*_{ab,a}$	u^*_e
<i>o00y</i>	48.75	65.07	39.43	76.08	31	<i>r08j</i>
<i>o25y</i>	59.04	46.67	51.1	69.21	48	<i>r33j</i>
<i>o50y</i>	68.32	30.09	61.62	68.58	64	<i>r57j</i>
<i>o75y</i>	78.23	12.39	72.85	73.9	80	<i>r81j</i>
<i>y00l</i>	90.92	-10.29	87.24	87.85	97	<i>j06g</i>
<i>y25l</i>	78.57	-28.11	65.75	71.51	113	<i>j29g</i>
<i>y50l</i>	69.46	-41.25	49.92	64.75	130	<i>j53g</i>
<i>y75l</i>	61.32	-52.99	35.76	63.92	146	<i>j76g</i>
<i>l00c</i>	52.69	-65.44	20.75	68.65	162	<i>g00b</i>
<i>l50c</i>	56.55	-45.12	-16.57	48.07	200	<i>g34b</i>
<i>c00v</i>	59.61	-28.98	-46.22	54.56	238	<i>g69b</i>
<i>c50v</i>	43.33	-1.54	-45.13	45.16	268	<i>g96b</i>
<i>v00m</i>	28.39	23.63	-44.13	50.06	298	<i>b23r</i>
<i>v50m</i>	36.9	43.84	-30.24	53.26	325	<i>b47r</i>
<i>m00o</i>	49.58	73.93	-9.56	74.55	353	<i>b71r</i>
<i>m50o</i>	49.17	69.55	14.68	71.08	12	<i>b88r</i>



%Umfang
 $u^*_{rel} = 89$
 %Regularität
 $g^*_{H,rel} = 72$
 $g^*_{C,rel} = 57$

lab^*tch^*

Brillantheit i^*

$i^* = 1.00$

$i^* = 0.80$

$i^* = 0.60$

$i^* = 0.40$

$i^* = 0.20$

$i^* = 0.00$

Ein und Ausgabe: Farbmatisches Drucker-Reflektiv-System ORS19_96a für relativen CIELAB-Bunton $h^* = lab^*h^* = h_{ab}/360 = 0.132$

$u^*_d = o25y$

Daten für jede Farbe:

lab^*tch^* und lab^*icu^*

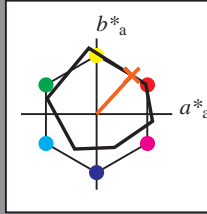
Buntontexte:

$u^*_d = o25y$ $u^*_e = r33j$

Kontrastreduzierungsfaktor:

$c_R = 1.0$

Dreiecks-Helligkeit t^*



ORS19_96a; adaptierte CIELAB-Daten						
u^*_d	$L^*=L^*_a$	a^*_a	b^*_a	$C^*_{ab,a}$	$h^*_{ab,a}$	
O _{Ma}	48.75	65.07	39.43	76.08	31	
Y _{Ma}	90.92	-10.29	87.24	87.85	97	
L _{Ma}	52.69	-65.44	20.75	68.65	162	
C _{Ma}	59.61	-28.98	-46.22	54.56	238	
V _{Ma}	28.39	23.63	-44.13	50.06	298	
M _{Ma}	49.58	73.93	-9.56	74.55	353	
N _{Ma}	18.89	0.0	0.0	0.0	0	
W _{Ma}	96.9	0.0	0.0	0.0	0	
O _{Ma}	39.92	58.74	27.99	65.07	25	
Y _{Ma}	81.26	-2.89	71.56	71.62	92	
L _{Ma}	52.23	-42.42	13.6	44.55	162	
V _{Ma}	30.57	1.41	-46.47	46.49	272	

Daten für Maximalfarbe (Ma):

$LAB^*LAB^*_{Ma}: 59\ 47\ 51$

$LAB^*LCH^*_{Ma}: 59\ 69\ 47$

$lab^*olv^*_{Ma}: 1.0\ 0.25\ 0.0$

$lab^*rgb^*_{Ma}: 1.0\ 0.33\ 0.0$

Dreiecks-Helligkeit t^*

%Umfang

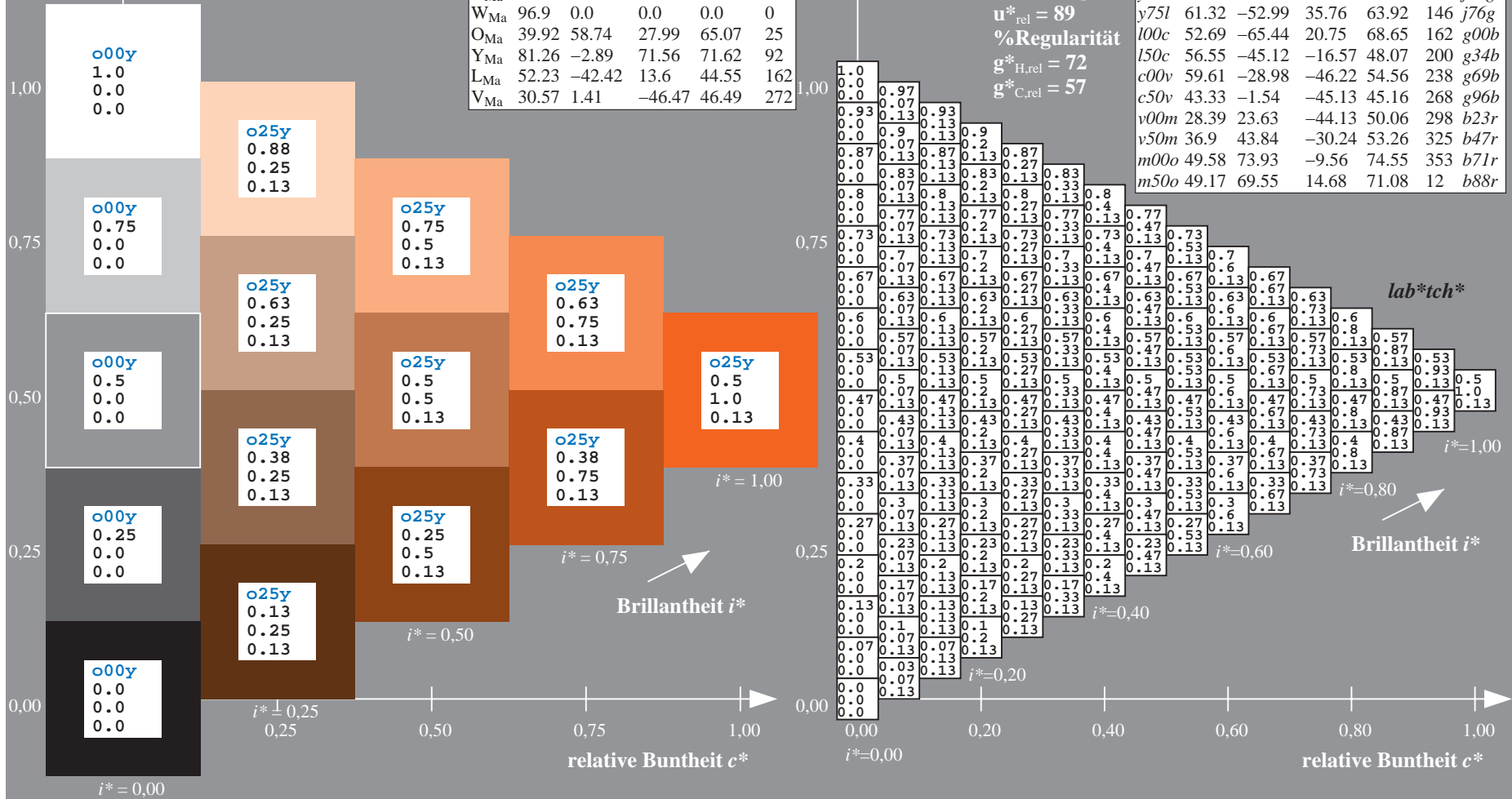
$u^*_{rel} = 89$

%Regularität

$g^*_{H,rel} = 72$

$g^*_{C,rel} = 57$

ORS19_96a; adaptierte CIELAB-Daten							
u^*_d	$L^*=L^*_a$	a^*_a	b^*_a	$C^*_{ab,a}$	$h^*_{ab,a}$	u^*_e	
o00y	48.75	65.07	39.43	76.08	31	r08j	
o25y	59.04	46.67	51.1	69.21	48	r33j	
o50y	68.32	30.09	61.62	68.58	64	r57j	
o75y	78.23	12.39	72.85	73.9	80	r81j	
y00l	90.92	-10.29	87.24	87.85	97	j06g	
y25l	78.57	-28.11	65.75	71.51	113	j29g	
y50l	69.46	-41.25	49.92	64.75	130	j53g	
y75l	61.32	-52.99	35.76	63.92	146	j76g	
l00c	52.69	-65.44	20.75	68.65	162	g00b	
l50c	56.55	-45.12	-16.57	48.07	200	g34b	
c00v	59.61	-28.98	-46.22	54.56	238	g69b	
c50v	43.33	-1.54	-45.13	45.16	268	g96b	
v00m	28.39	23.63	-44.13	50.06	298	b23r	
v50m	36.9	43.84	-30.24	53.26	325	b47r	
m00o	49.58	73.93	-9.56	74.55	353	b71r	
m50o	49.17	69.55	14.68	71.08	12	b88r	



Ein und Ausgabe: Farbmatisches Drucker-Reflektiv-System ORS19_96a für relativen CIELAB-Bunton $h^* = lab^*h^* = h_{ab}/360 = 0.178$

$u^*_d = o50y$

Daten für jede Farbe:

lab^*tch^* und lab^*icu^*

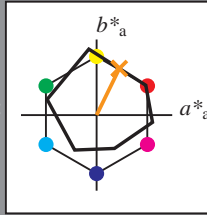
Buntontexte:

$u^*_d = o50y$ $u^*_e = r57j$

Kontrastreduzierungsfaktor:

$c_R = 1.0$

Dreiecks-Helligkeit t^*



ORS19_96a; adaptierte CIELAB-Daten

u^*_d	$L^*=L^*_a$	a^*_a	b^*_a	$C^*_{ab,a}$	$h^*_{ab,a}$
O _{Ma}	48.75	65.07	39.43	76.08	31
Y _{Ma}	90.92	-10.29	87.24	87.85	97
L _{Ma}	52.69	-65.44	20.75	68.65	162
C _{Ma}	59.61	-28.98	-46.22	54.56	238
V _{Ma}	28.39	23.63	-44.13	50.06	298
M _{Ma}	49.58	73.93	-9.56	74.55	353
N _{Ma}	18.89	0.0	0.0	0.0	0
W _{Ma}	96.9	0.0	0.0	0.0	0
O _{Ma}	39.92	58.74	27.99	65.07	25
Y _{Ma}	81.26	-2.89	71.56	71.62	92
L _{Ma}	52.23	-42.42	13.6	44.55	162
V _{Ma}	30.57	1.41	-46.47	46.49	272

Daten für Maximalfarbe (Ma):

$LAB^*LAB^*_{Ma}$: 68 30 62

$LAB^*LCH^*_{Ma}$: 68 69 63

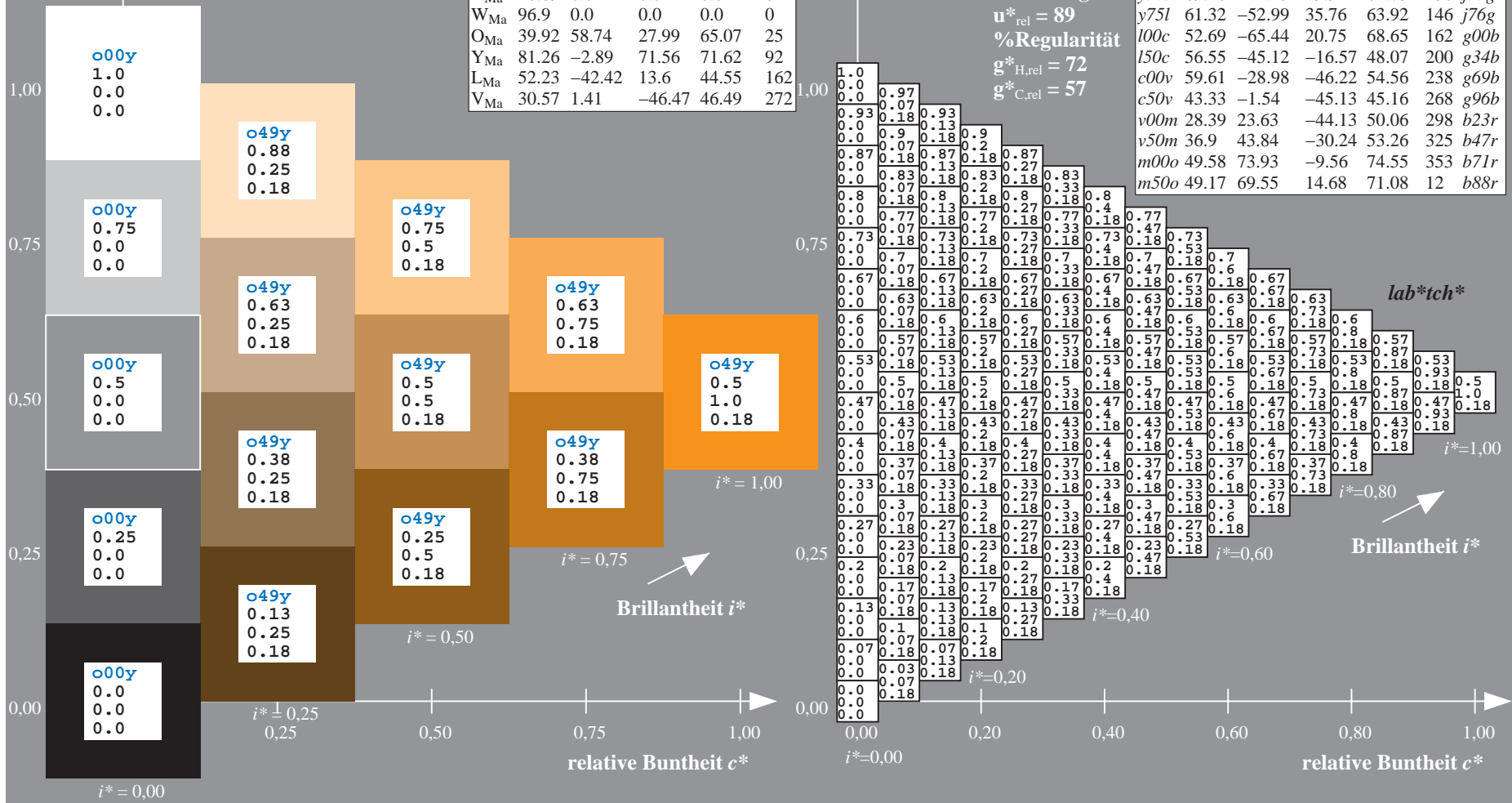
$lab^*olv^*_{Ma}$: 1.0 0.5 0.0

$lab^*rgb^*_{Ma}$: 1.0 0.58 0.0

Dreiecks-Helligkeit t^*

ORS19_96a; adaptierte CIELAB-Daten

u^*_d	$L^*=L^*_a$	a^*_a	b^*_a	$C^*_{ab,a}$	$h^*_{ab,a}$	u^*_e
o00y	48.75	65.07	39.43	76.08	31	r08j
o25y	59.04	46.67	51.1	69.21	48	r33j
o50y	68.32	30.09	61.62	68.58	64	r57j
o75y	78.23	12.39	72.85	73.9	80	r8lj
y00l	90.92	-10.29	87.24	87.85	97	j06g
y25l	78.57	-28.11	65.75	71.51	113	j29g
y50l	69.46	-41.25	49.92	64.75	130	j53g
y75l	61.32	-52.99	35.76	63.92	146	j76g
l00c	52.69	-65.44	20.75	68.65	162	g00b
l50c	56.55	-45.12	-16.57	48.07	200	g34b
c00v	59.61	-28.98	-46.22	54.56	238	g69b
c50v	43.33	-1.54	-45.13	45.16	268	g96b
v00m	28.39	23.63	-44.13	50.06	298	b23r
v50m	36.9	43.84	-30.24	53.26	325	b47r
m00o	49.58	73.93	-9.56	74.55	353	b71r
m50o	49.17	69.55	14.68	71.08	12	b88r



Ein und Ausgabe: Farbmatisches Drucker-Reflektiv-System ORS19_96a für relativen CIELAB-Bunton $h^* = lab^*h^* = h_{ab}/360 = 0.223$

$u^*_d = 0.75y$

Daten für jede Farbe:

lab^*tch^* und lab^*icu^*

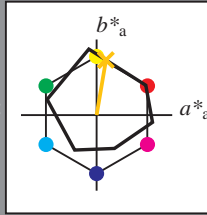
Buntontexte:

$u^*_d = 0.75y$ $u^*_e = r8lj$

Kontrastreduzierungsfaktor:

$c_R = 1.0$

Dreiecks-Helligkeit t^*



ORS19_96a; adaptierte CIELAB-Daten

u^*_d	$L^*=L^*_a$	a^*_a	b^*_a	$C^*_{ab,a}$	$h^*_{ab,a}$
O _{Ma}	48.75	65.07	39.43	76.08	31
Y _{Ma}	90.92	-10.29	87.24	87.85	97
L _{Ma}	52.69	-65.44	20.75	68.65	162
C _{Ma}	59.61	-28.98	-46.22	54.56	238
V _{Ma}	28.39	23.63	-44.13	50.06	298
M _{Ma}	49.58	73.93	-9.56	74.55	353
N _{Ma}	18.89	0.0	0.0	0.0	0
W _{Ma}	96.9	0.0	0.0	0.0	0
O _{Ma}	39.92	58.74	27.99	65.07	25
Y _{Ma}	81.26	-2.89	71.56	71.62	92
L _{Ma}	52.23	-42.42	13.6	44.55	162
V _{Ma}	30.57	1.41	-46.47	46.49	272

Daten für Maximalfarbe (Ma):

$LAB^*LAB^*_{Ma}$: 78 12 73

$LAB^*LCH^*_{Ma}$: 78 74 80

$lab^*olv^*_{Ma}$: 1.0 0.75 0.0

$lab^*rgb^*_{Ma}$: 1.0 0.82 0.0

Dreiecks-Helligkeit t^*

%Umfang

$u^*_{rel} = 89$

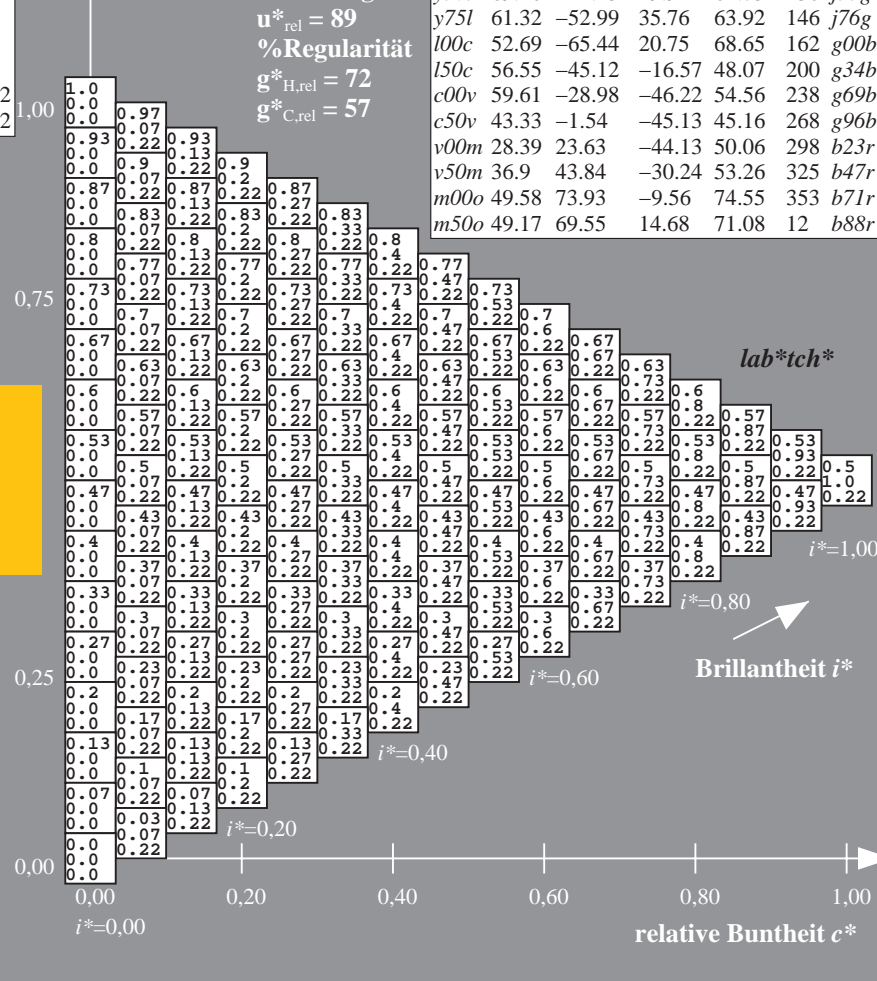
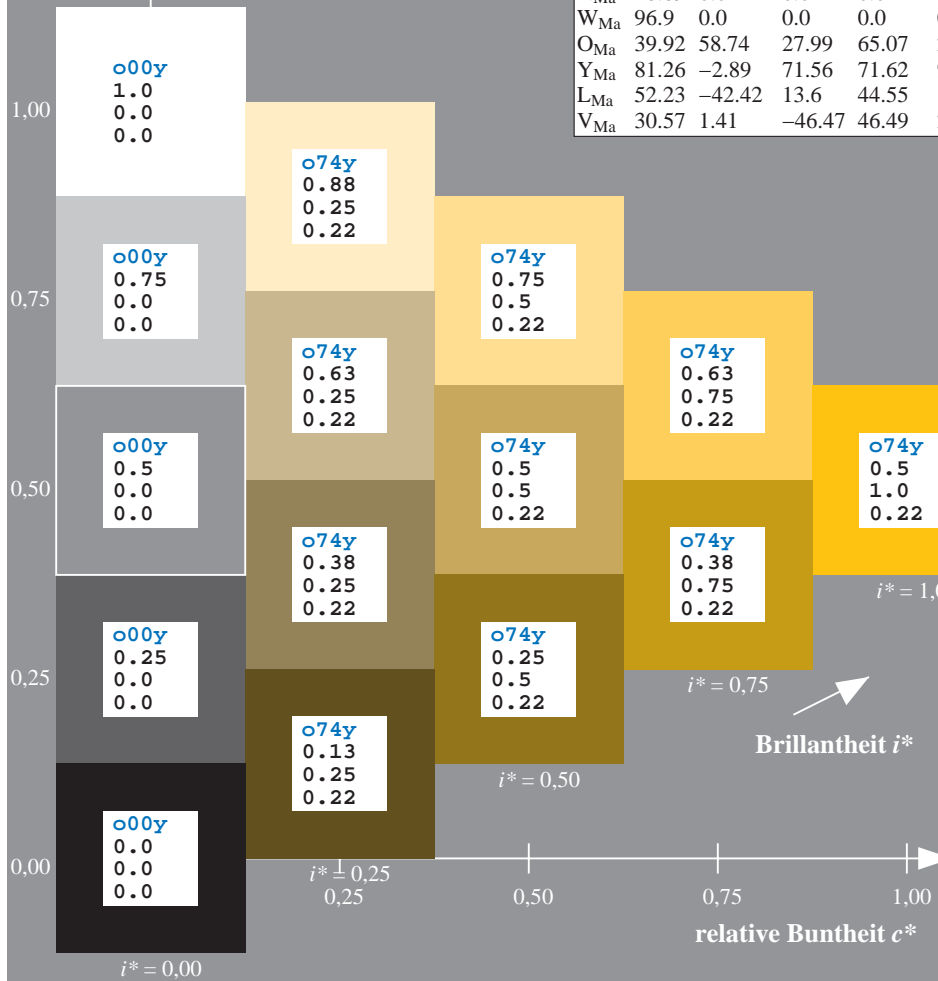
%Regularität

$g^*_{H,rel} = 72$

$g^*_{C,rel} = 57$

ORS19_96a; adaptierte CIELAB-Daten

u^*_d	$L^*=L^*_a$	a^*_a	b^*_a	$C^*_{ab,a}$	$h^*_{ab,a}$	u^*_e
o00y	48.75	65.07	39.43	76.08	31	r08j
o25y	59.04	46.67	51.1	69.21	48	r33j
o50y	68.32	30.09	61.62	68.58	64	r57j
o75y	78.23	12.39	72.85	73.9	80	r8lj
y00l	90.92	-10.29	87.24	87.85	97	j06g
y25l	78.57	-28.11	65.75	71.51	113	j29g
y50l	69.46	-41.25	49.92	64.75	130	j53g
y75l	61.32	-52.99	35.76	63.92	146	j76g
l00c	52.69	-65.44	20.75	68.65	162	g00b
l50c	56.55	-45.12	-16.57	48.07	200	g34b
c00v	59.61	-28.98	-46.22	54.56	238	g69b
c50v	43.33	-1.54	-45.13	45.16	268	g96b
v00m	28.39	23.63	-44.13	50.06	298	b23r
v50m	36.9	43.84	-30.24	53.26	325	b47r
m00o	49.58	73.93	-9.56	74.55	353	b71r
m50o	49.17	69.55	14.68	71.08	12	b88r



Ein und Ausgabe: Farbmatisches Drucker-Reflektiv-System ORS19_96a für relativen CIELAB-Bunton $h^* = lab^*h^* = h_{ab}/360 = 0.269$

$u^*_d = y00l$

Daten für jede Farbe:

lab^*tch^* und lab^*icu^*

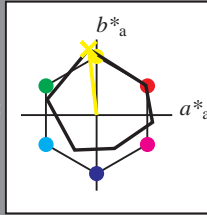
Buntontexte:

$u^*_d = y00l$ $u^*_e = j06g$

Kontrastreduzierungsfaktor:

$c_R = 1.0$

Dreiecks-Helligkeit t^*



ORS19_96a; adaptierte CIELAB-Daten

u^*_d	$L^*=L^*_a$	a^*_a	b^*_a	$C^*_{ab,a}$	$h^*_{ab,a}$
O _{Ma}	48.75	65.07	39.43	76.08	31
Y _{Ma}	90.92	-10.29	87.24	87.85	97
L _{Ma}	52.69	-65.44	20.75	68.65	162
C _{Ma}	59.61	-28.98	-46.22	54.56	238
V _{Ma}	28.39	23.63	-44.13	50.06	298
M _{Ma}	49.58	73.93	-9.56	74.55	353
N _{Ma}	18.89	0.0	0.0	0.0	0
W _{Ma}	96.9	0.0	0.0	0.0	0
O _{Ma}	39.92	58.74	27.99	65.07	25
Y _{Ma}	81.26	-2.89	71.56	71.62	92
L _{Ma}	52.23	-42.42	13.6	44.55	162
V _{Ma}	30.57	1.41	-46.47	46.49	272

Daten für Maximalfarbe (Ma):

$LAB^*LAB^*_{Ma}: 91 -10 87$

$LAB^*LCH^*_{Ma}: 91 88 96$

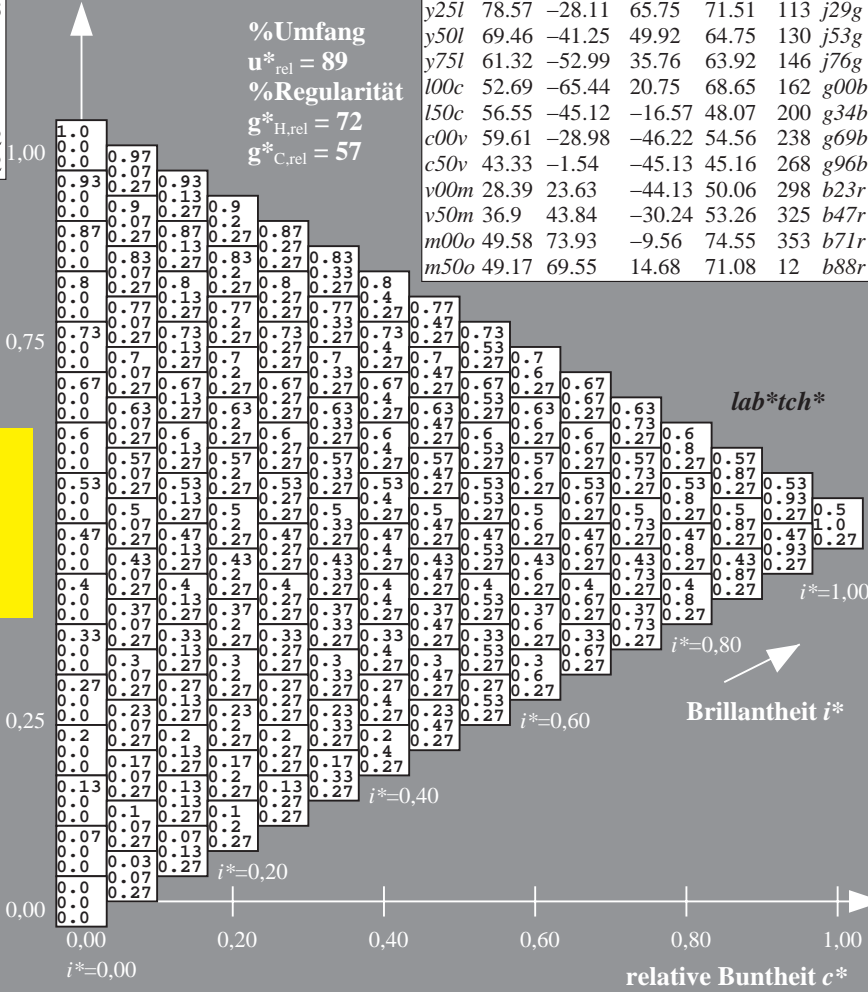
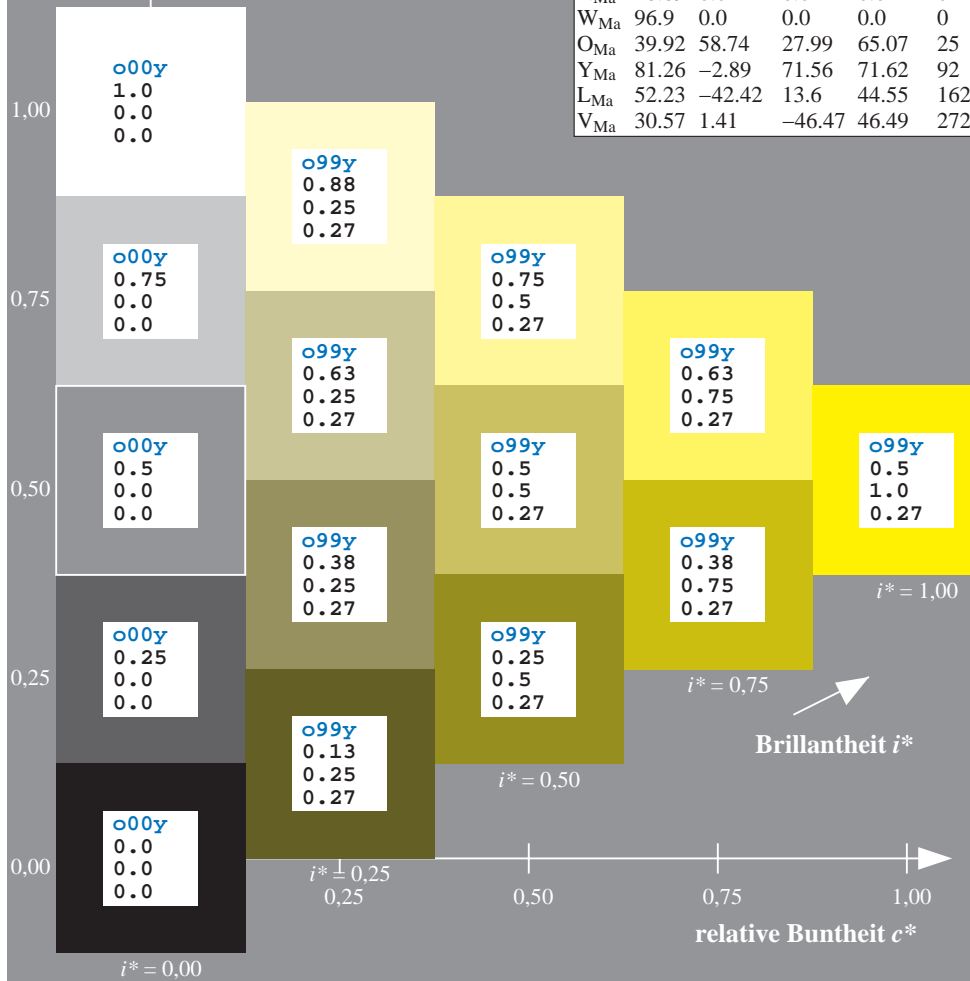
$lab^*olv^*_{Ma}: 1.0 1.0 0.0$

$lab^*rgb^*_{Ma}: 0.94 1.0 0.0$

Dreiecks-Helligkeit t^*

ORS19_96a; adaptierte CIELAB-Daten

u^*_d	$L^*=L^*_a$	a^*_a	b^*_a	$C^*_{ab,a}$	$h^*_{ab,a}$	u^*_e
o00y	48.75	65.07	39.43	76.08	31	r08j
o25y	59.04	46.67	51.1	69.21	48	r33j
o50y	68.32	30.09	61.62	68.58	64	r57j
o75y	78.23	12.39	72.85	73.9	80	r81j
y00l	90.92	-10.29	87.24	87.85	97	j06g
y25l	78.57	-28.11	65.75	71.51	113	j29g
y50l	69.46	-41.25	49.92	64.75	130	j53g
y75l	61.32	-52.99	35.76	63.92	146	j76g
l00c	52.69	-65.44	20.75	68.65	162	g00b
l50c	56.55	-45.12	-16.57	48.07	200	g34b
c00v	59.61	-28.98	-46.22	54.56	238	g69b
c50v	43.33	-1.54	-45.13	45.16	268	g96b
v00m	28.39	23.63	-44.13	50.06	298	b23r
v50m	36.9	43.84	-30.24	53.26	325	b47r
m00o	49.58	73.93	-9.56	74.55	353	b71r
m50o	49.17	69.55	14.68	71.08	12	b88r



%Umfang
 $u^*_{rel} = 89$
 %Regularität
 $g^*_{H,rel} = 72$
 $g^*_{C,rel} = 57$

lab^*tch^*

Brillantheit i^*

Ein und Ausgabe: Farbmatisches Drucker-Reflektiv-System ORS19_96a für relativen CIELAB-Bunton $h^* = \text{lab}^*h^* = h_{ab}/360 = 0.314$

$u^*_d = y25l$

Daten für jede Farbe:

lab^*tch^* und lab^*icu^*

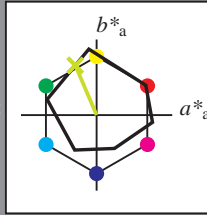
Buntontexte:

$u^*_d = y25l$ $u^*_e = j29g$

Kontrastreduzierungsfaktor:

$c_R = 1.0$

Dreiecks-Helligkeit t^*



ORS19_96a; adaptierte CIELAB-Daten

u^*_d	$L^*=L^*_a$	a^*_a	b^*_a	$C^*_{ab,a}$	$h^*_{ab,a}$
O _{Ma}	48.75	65.07	39.43	76.08	31
Y _{Ma}	90.92	-10.29	87.24	87.85	97
L _{Ma}	52.69	-65.44	20.75	68.65	162
C _{Ma}	59.61	-28.98	-46.22	54.56	238
V _{Ma}	28.39	23.63	-44.13	50.06	298
M _{Ma}	49.58	73.93	-9.56	74.55	353
N _{Ma}	18.89	0.0	0.0	0.0	0
W _{Ma}	96.9	0.0	0.0	0.0	0
O _{Ma}	39.92	58.74	27.99	65.07	25
Y _{Ma}	81.26	-2.89	71.56	71.62	92
L _{Ma}	52.23	-42.42	13.6	44.55	162
V _{Ma}	30.57	1.41	-46.47	46.49	272

Daten für Maximalfarbe (Ma):

$\text{LAB}^*\text{LAB}^*_{Ma}: 79 -28 66$

$\text{LAB}^*\text{LCH}^*_{Ma}: 79 72 113$

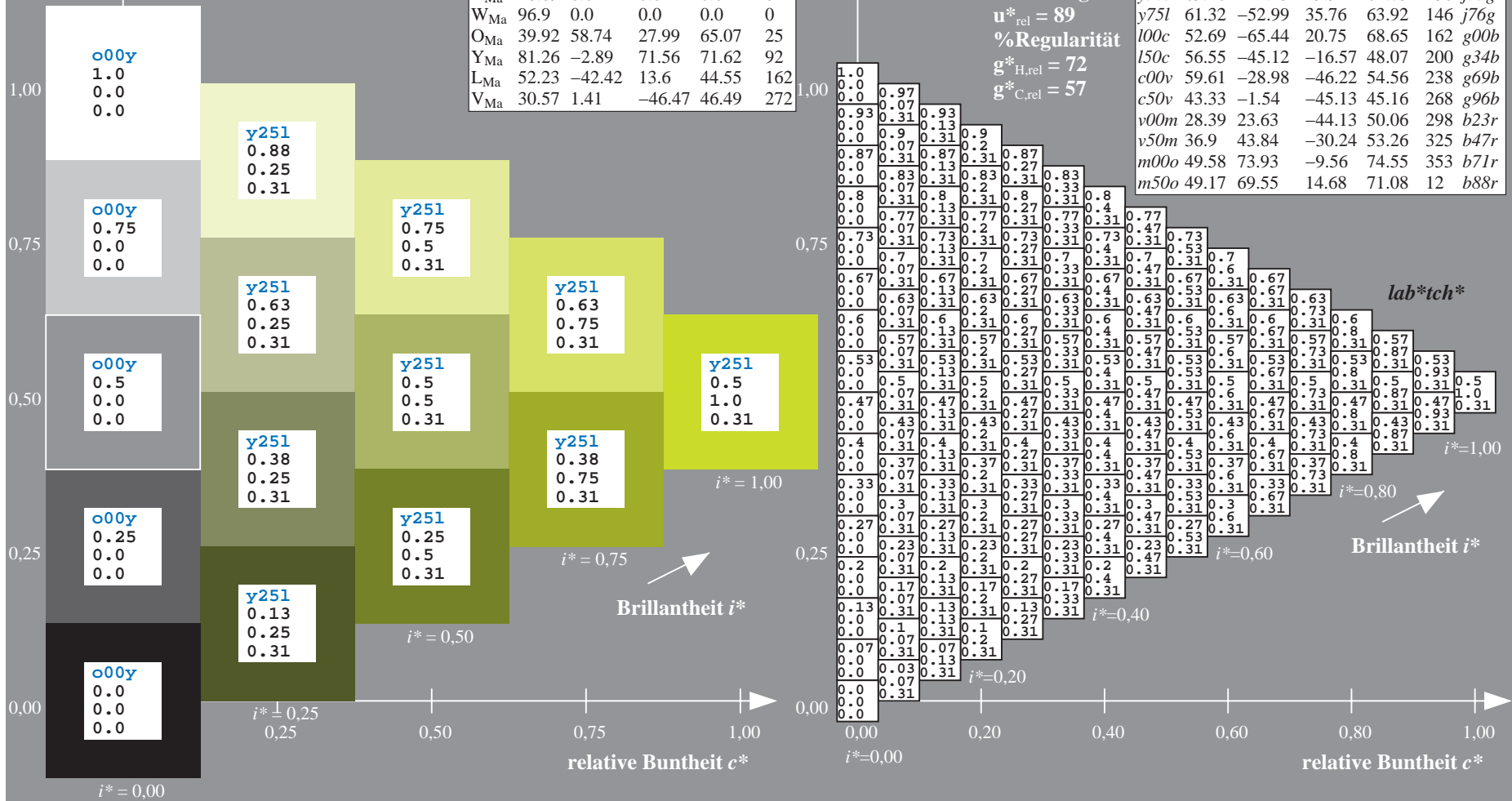
$\text{lab}^*\text{olv}^*_{Ma}: 0.75 1.0 0.0$

$\text{lab}^*\text{rgb}^*_{Ma}: 0.7 1.0 0.0$

Dreiecks-Helligkeit t^*

ORS19_96a; adaptierte CIELAB-Daten

u^*_d	$L^*=L^*_a$	a^*_a	b^*_a	$C^*_{ab,a}$	$h^*_{ab,a}$	u^*_e
o00y	48.75	65.07	39.43	76.08	31	r08j
o25y	59.04	46.67	51.1	69.21	48	r33j
o50y	68.32	30.09	61.62	68.58	64	r57j
o75y	78.23	12.39	72.85	73.9	80	r81j
y00l	90.92	-10.29	87.24	87.85	97	j06g
y25l	78.57	-28.11	65.75	71.51	113	j29g
y50l	69.46	-41.25	49.92	64.75	130	j53g
y75l	61.32	-52.99	35.76	63.92	146	j76g
l00c	52.69	-65.44	20.75	68.65	162	g00b
l50c	56.55	-45.12	-16.57	48.07	200	g34b
c00v	59.61	-28.98	-46.22	54.56	238	g69b
c50v	43.33	-1.54	-45.13	45.16	268	g96b
v00m	28.39	23.63	-44.13	50.06	298	b23r
v50m	36.9	43.84	-30.24	53.26	325	b47r
m00o	49.58	73.93	-9.56	74.55	353	b71r
m50o	49.17	69.55	14.68	71.08	12	b88r



%Umfang
 $u^*_{rel} = 89$
 %Regularität
 $g^*_{H,rel} = 72$
 $g^*_{C,rel} = 57$

Ein und Ausgabe: Farbmatisches Drucker-Reflektiv-System ORS19_96a für relativen CIELAB-Bunton $h^* = lab^*h^* = h_{ab}/360 = 0.36$

$u^*_d = y50l$

Daten für jede Farbe:

lab^*tch^* und lab^*icu^*

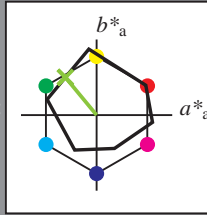
Buntontexte:

$u^*_d = y50l$ $u^*_e = j53g$

Kontrastreduzierungsfaktor:

$c_R = 1.0$

Dreiecks-Helligkeit t^*



ORS19_96a; adaptierte CIELAB-Daten

u^*_d	$L^*=L^*_a$	a^*_a	b^*_a	$C^*_{ab,a}$	$h^*_{ab,a}$
O _{Ma}	48.75	65.07	39.43	76.08	31
Y _{Ma}	90.92	-10.29	87.24	87.85	97
L _{Ma}	52.69	-65.44	20.75	68.65	162
C _{Ma}	59.61	-28.98	-46.22	54.56	238
V _{Ma}	28.39	23.63	-44.13	50.06	298
M _{Ma}	49.58	73.93	-9.56	74.55	353
N _{Ma}	18.89	0.0	0.0	0.0	0
W _{Ma}	96.9	0.0	0.0	0.0	0
O _{Ma}	39.92	58.74	27.99	65.07	25
Y _{Ma}	81.26	-2.89	71.56	71.62	92
L _{Ma}	52.23	-42.42	13.6	44.55	162
V _{Ma}	30.57	1.41	-46.47	46.49	272

Daten für Maximalfarbe (Ma):

$LAB^*LAB^*_{Ma}: 69 -41 50$

$LAB^*LCH^*_{Ma}: 69 65 129$

$lab^*olv^*_{Ma}: 0.5 1.0 0.0$

$lab^*rgb^*_{Ma}: 0.47 1.0 0.0$

Dreiecks-Helligkeit t^*

%Umfang

$u^*_{rel} = 89$

%Regularität

$g^*_{H,rel} = 72$

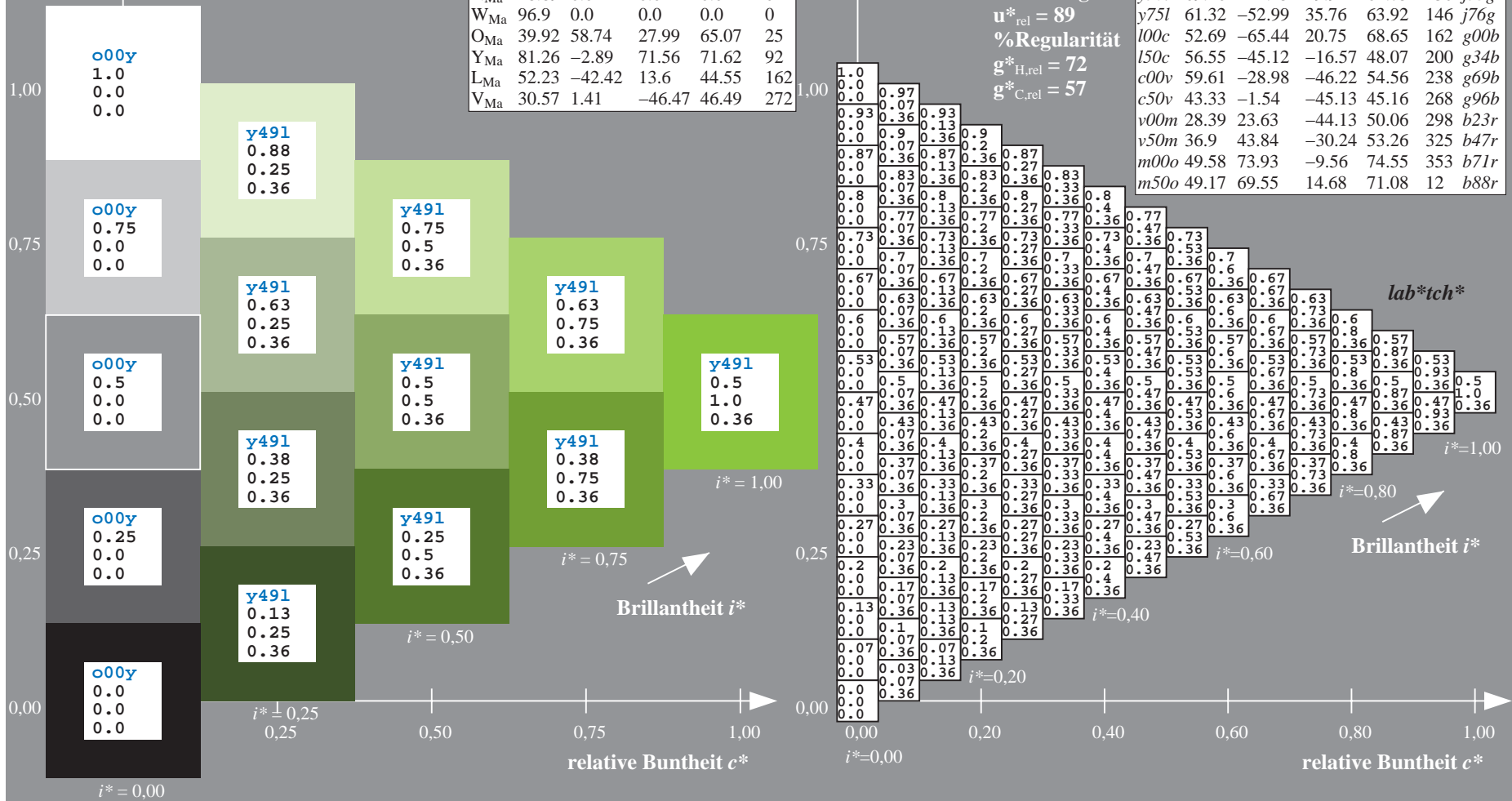
$g^*_{C,rel} = 57$

ORS19_96a; adaptierte CIELAB-Daten

u^*_d	$L^*=L^*_a$	a^*_a	b^*_a	$C^*_{ab,a}$	$h^*_{ab,a}$	u^*_e
o00y	48.75	65.07	39.43	76.08	31	r08j
o25y	59.04	46.67	51.1	69.21	48	r33j
o50y	68.32	30.09	61.62	68.58	64	r57j
o75y	78.23	12.39	72.85	73.9	80	r81j
y00l	90.92	-10.29	87.24	87.85	97	j06g
y25l	78.57	-28.11	65.75	71.51	113	j29g
y50l	69.46	-41.25	49.92	64.75	130	j53g
y75l	61.32	-52.99	35.76	63.92	146	j76g
l00c	52.69	-65.44	20.75	68.65	162	g00b
l50c	56.55	-45.12	-16.57	48.07	200	g34b
c00v	59.61	-28.98	-46.22	54.56	238	g69b
c50v	43.33	-1.54	-45.13	45.16	268	g96b
v00m	28.39	23.63	-44.13	50.06	298	b23r
v50m	36.9	43.84	-30.24	53.26	325	b47r
m00o	49.58	73.93	-9.56	74.55	353	b71r
m50o	49.17	69.55	14.68	71.08	12	b88r

lab^*tch^*

Brillantheit i^*



Ein und Ausgabe: Farbmatisches Drucker-Reflektiv-System ORS19_96a für relativen CIELAB-Bunton $h^* = \text{lab}^*h^* = h_{ab}/360 = 0.406$

$u^*_d = y75l$

Daten für jede Farbe:

lab^*tch^* und lab^*icu^*

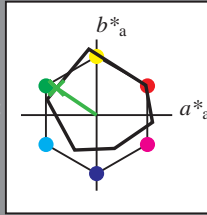
Buntontexte:

$u^*_d = y75l$ $u^*_e = j76g$

Kontrastreduzierungsfaktor:

$c_R = 1.0$

Dreiecks-Helligkeit t^*



ORS19_96a; adaptierte CIELAB-Daten

u^*_d	$L^*=L^*_a$	a^*_a	b^*_a	$C^*_{ab,a}$	$h^*_{ab,a}$
O _{Ma}	48.75	65.07	39.43	76.08	31
Y _{Ma}	90.92	-10.29	87.24	87.85	97
L _{Ma}	52.69	-65.44	20.75	68.65	162
C _{Ma}	59.61	-28.98	-46.22	54.56	238
V _{Ma}	28.39	23.63	-44.13	50.06	298
M _{Ma}	49.58	73.93	-9.56	74.55	353
N _{Ma}	18.89	0.0	0.0	0.0	0
W _{Ma}	96.9	0.0	0.0	0.0	0
O _{Ma}	39.92	58.74	27.99	65.07	25
Y _{Ma}	81.26	-2.89	71.56	71.62	92
L _{Ma}	52.23	-42.42	13.6	44.55	162
V _{Ma}	30.57	1.41	-46.47	46.49	272

Daten für Maximalfarbe (Ma):

$\text{LAB}^*\text{LAB}^*_{Ma}$: 61 -53 36

$\text{LAB}^*\text{LCH}^*_{Ma}$: 61 64 145

$\text{lab}^*\text{olv}^*_{Ma}$: 0.25 1.0 0.0

$\text{lab}^*\text{rgb}^*_{Ma}$: 0.23 1.0 0.0

Dreiecks-Helligkeit t^*

%Umfang

$u^*_{rel} = 89$

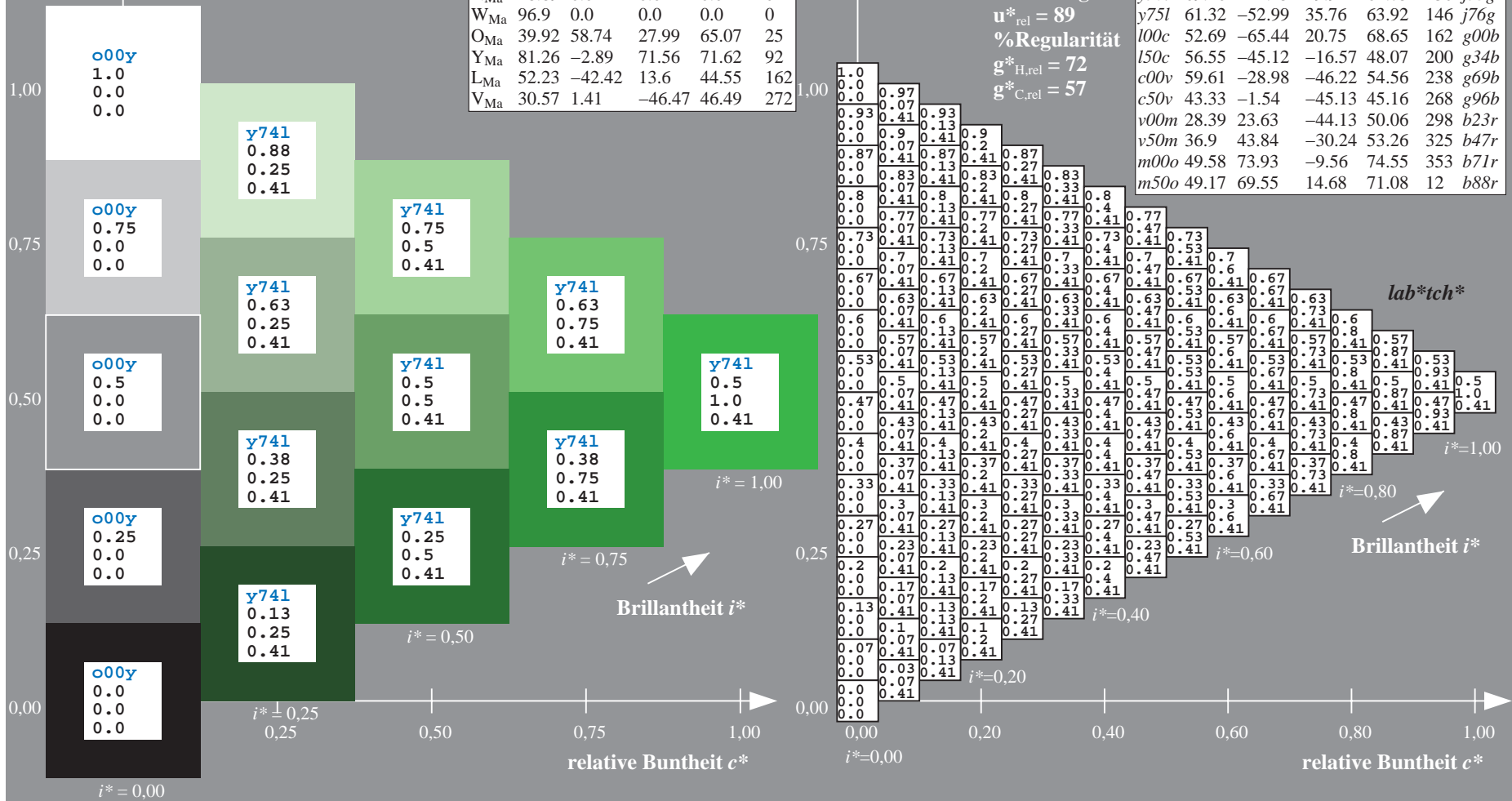
%Regularität

$g^*_{H,rel} = 72$

$g^*_{C,rel} = 57$

ORS19_96a; adaptierte CIELAB-Daten

u^*_d	$L^*=L^*_a$	a^*_a	b^*_a	$C^*_{ab,a}$	$h^*_{ab,a}$	u^*_e
o00y	48.75	65.07	39.43	76.08	31	r08j
o25y	59.04	46.67	51.1	69.21	48	r33j
o50y	68.32	30.09	61.62	68.58	64	r57j
o75y	78.23	12.39	72.85	73.9	80	r81j
y00l	90.92	-10.29	87.24	87.85	97	j06g
y25l	78.57	-28.11	65.75	71.51	113	j29g
y50l	69.46	-41.25	49.92	64.75	130	j53g
y75l	61.32	-52.99	35.76	63.92	146	j76g
l00c	52.69	-65.44	20.75	68.65	162	g00b
l50c	56.55	-45.12	-16.57	48.07	200	g34b
c00v	59.61	-28.98	-46.22	54.56	238	g69b
c50v	43.33	-1.54	-45.13	45.16	268	g96b
v00m	28.39	23.63	-44.13	50.06	298	b23r
v50m	36.9	43.84	-30.24	53.26	325	b47r
m00o	49.58	73.93	-9.56	74.55	353	b71r
m50o	49.17	69.55	14.68	71.08	12	b88r



Ein und Ausgabe: Farbmatisches Drucker-Reflektiv-System ORS19_96a für relativen CIELAB-Bunton $h^* = \text{lab}^*h^* = h_{ab}/360 = 0.451$

$u^*_d = 100c$

Daten für jede Farbe:

lab^*tch^* und lab^*icu^*

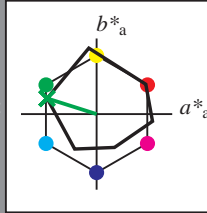
Buntontexte:

$u^*_d = 100c$ $u^*_e = g00b$

Kontrastreduzierungsfaktor:

$c_R = 1.0$

Dreiecks-Helligkeit t^*



ORS19_96a; adaptierte CIELAB-Daten

u^*_d	$L^*=L^*_a$	a^*_a	b^*_a	$C^*_{ab,a}$	$h^*_{ab,a}$
O _{Ma}	48.75	65.07	39.43	76.08	31
Y _{Ma}	90.92	-10.29	87.24	87.85	97
L _{Ma}	52.69	-65.44	20.75	68.65	162
C _{Ma}	59.61	-28.98	-46.22	54.56	238
V _{Ma}	28.39	23.63	-44.13	50.06	298
M _{Ma}	49.58	73.93	-9.56	74.55	353
N _{Ma}	18.89	0.0	0.0	0.0	0
W _{Ma}	96.9	0.0	0.0	0.0	0
O _{Ma}	39.92	58.74	27.99	65.07	25
Y _{Ma}	81.26	-2.89	71.56	71.62	92
L _{Ma}	52.23	-42.42	13.6	44.55	162
V _{Ma}	30.57	1.41	-46.47	46.49	272

Daten für Maximalfarbe (Ma):

$\text{LAB}^*\text{LAB}^*_{Ma}: 53 -65 21$

$\text{LAB}^*\text{LCH}^*_{Ma}: 53 69 162$

$\text{lab}^*\text{olv}^*_{Ma}: 0.0 1.0 0.0$

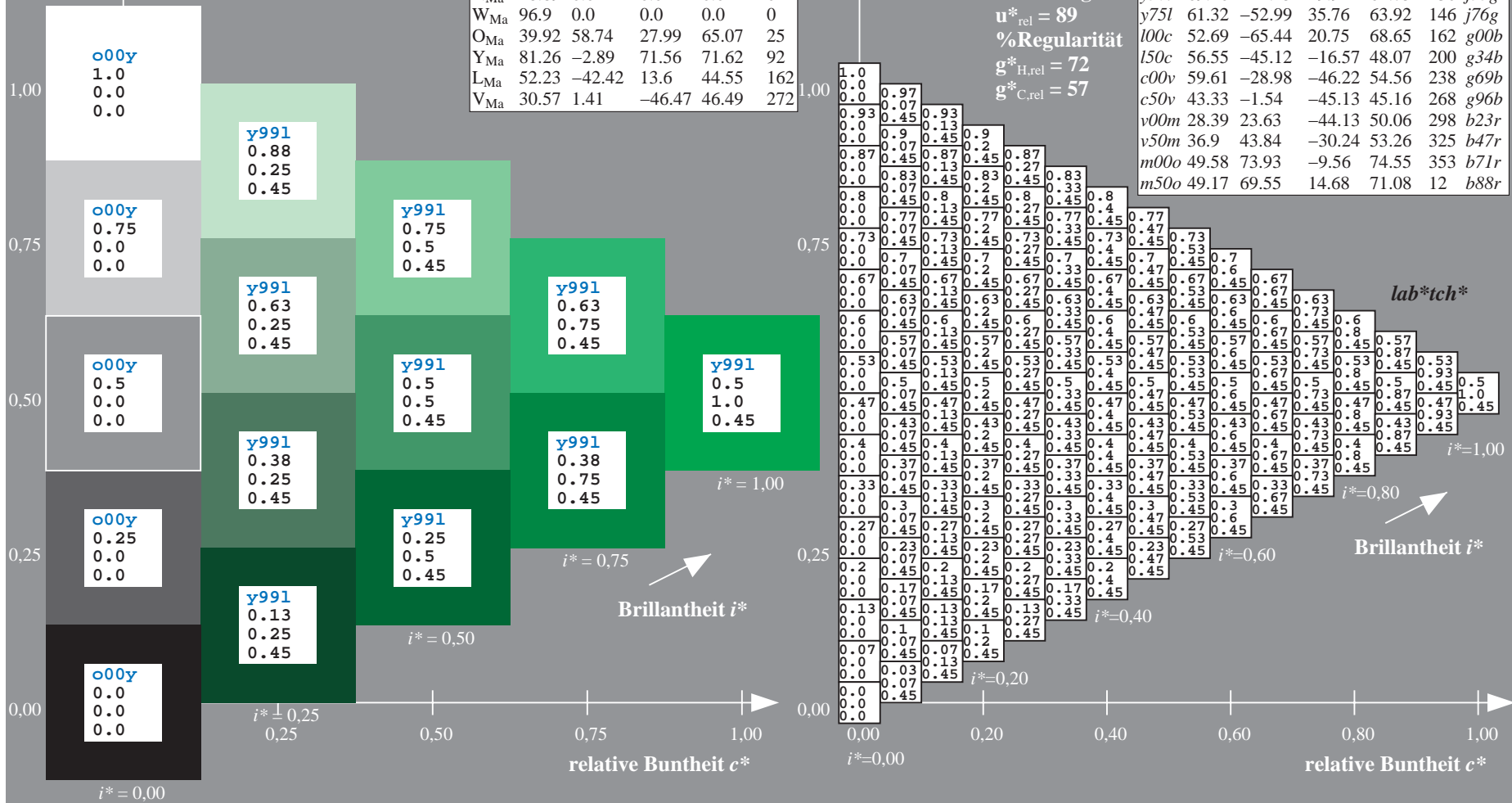
$\text{lab}^*\text{rgb}^*_{Ma}: 0.0 1.0 0.0$

Dreiecks-Helligkeit t^*

%Umfang
 $u^*_{rel} = 89$
 %Regularität
 $g^*_{H,rel} = 72$
 $g^*_{C,rel} = 57$

ORS19_96a; adaptierte CIELAB-Daten

u^*_d	$L^*=L^*_a$	a^*_a	b^*_a	$C^*_{ab,a}$	$h^*_{ab,a}$	u^*_e
o00y	48.75	65.07	39.43	76.08	31	r08j
o25y	59.04	46.67	51.1	69.21	48	r33j
o50y	68.32	30.09	61.62	68.58	64	r57j
o75y	78.23	12.39	72.85	73.9	80	r81j
y00l	90.92	-10.29	87.24	87.85	97	j06g
y25l	78.57	-28.11	65.75	71.51	113	j29g
y50l	69.46	-41.25	49.92	64.75	130	j53g
y75l	61.32	-52.99	35.76	63.92	146	j76g
l00c	52.69	-65.44	20.75	68.65	162	g00b
l50c	56.55	-45.12	-16.57	48.07	200	g34b
c00v	59.61	-28.98	-46.22	54.56	238	g69b
c50v	43.33	-1.54	-45.13	45.16	268	g96b
v00m	28.39	23.63	-44.13	50.06	298	b23r
v50m	36.9	43.84	-30.24	53.26	325	b47r
m00o	49.58	73.93	-9.56	74.55	353	b71r
m50o	49.17	69.55	14.68	71.08	12	b88r



Ein und Ausgabe: Farbmatisches Drucker-Reflektiv-System ORS19_96a für relativen CIELAB-Bunton $h^* = lab^*h^* = h_{ab}/360 = 0.556$

$u^*_d = 150c$

Daten für jede Farbe:

lab^*tch^* und lab^*icu^*

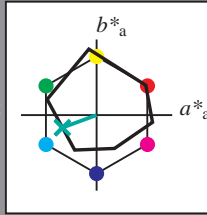
Buntontexte:

$u^*_d = 150c$ $u^*_e = g34b$

Kontrastreduzierungsfaktor:

$c_R = 1.0$

Dreiecks-Helligkeit t^*



ORS19_96a; adaptierte CIELAB-Daten

u^*_d	$L^*=L^*_a$	a^*_a	b^*_a	$C^*_{ab,a}$	$h^*_{ab,a}$
O _{Ma}	48.75	65.07	39.43	76.08	31
Y _{Ma}	90.92	-10.29	87.24	87.85	97
L _{Ma}	52.69	-65.44	20.75	68.65	162
C _{Ma}	59.61	-28.98	-46.22	54.56	238
V _{Ma}	28.39	23.63	-44.13	50.06	298
M _{Ma}	49.58	73.93	-9.56	74.55	353
N _{Ma}	18.89	0.0	0.0	0.0	0
W _{Ma}	96.9	0.0	0.0	0.0	0
O _{Ma}	39.92	58.74	27.99	65.07	25
Y _{Ma}	81.26	-2.89	71.56	71.62	92
L _{Ma}	52.23	-42.42	13.6	44.55	162
V _{Ma}	30.57	1.41	-46.47	46.49	272

Daten für Maximalfarbe (Ma):

$LAB^*LAB^*_{Ma}: 57 -45 -17$

$LAB^*LCH^*_{Ma}: 57 48 200$

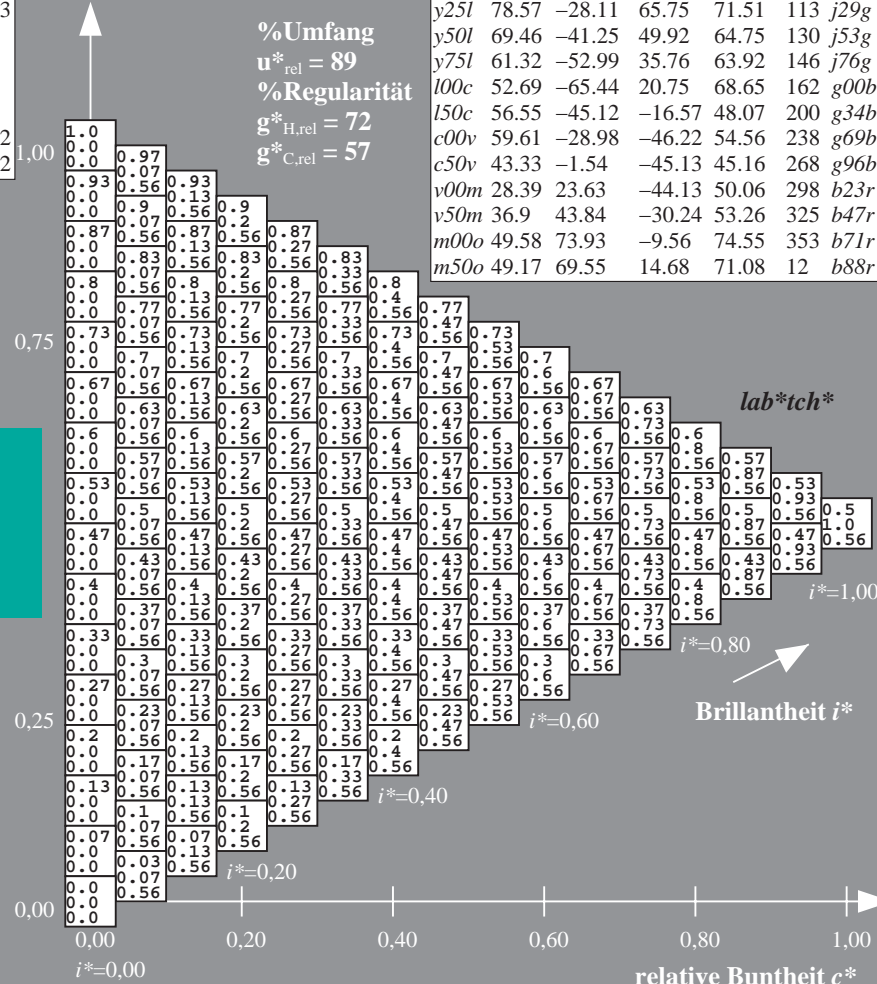
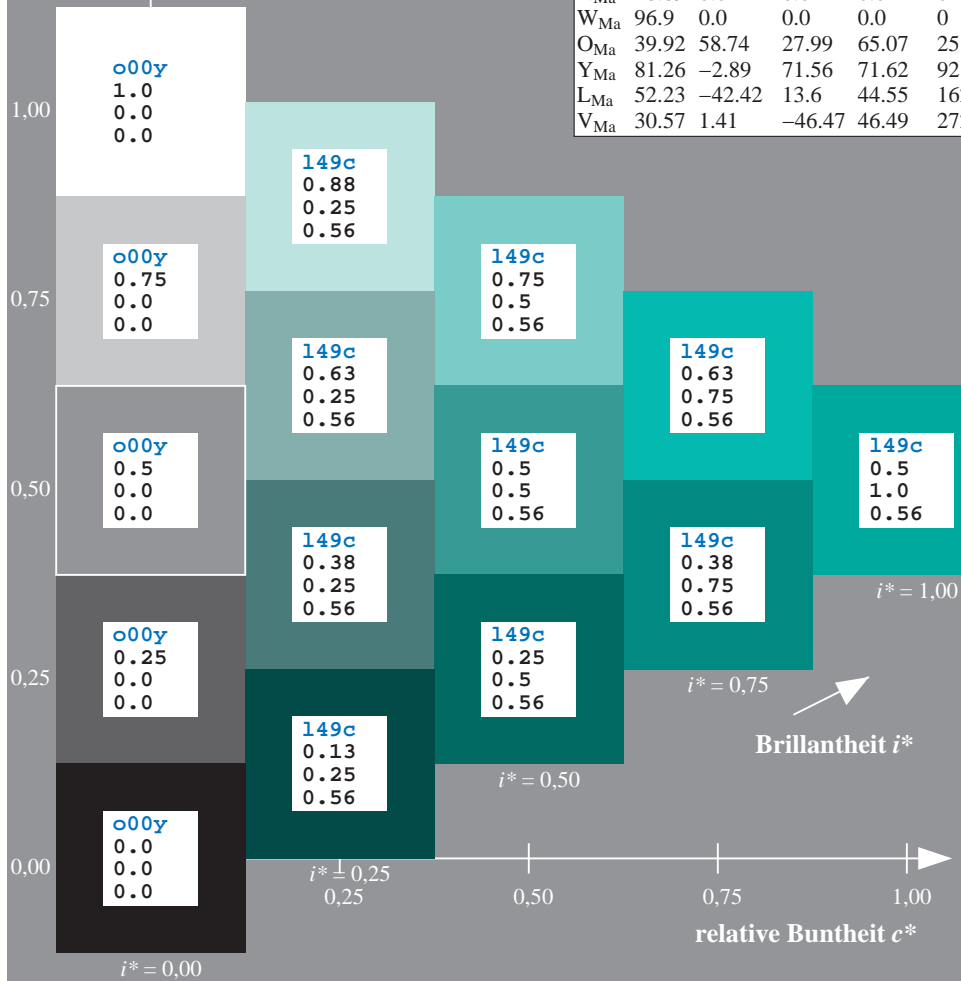
$lab^*olv^*_{Ma}: 0.0 1.0 0.5$

$lab^*rgb^*_{Ma}: 0.0 1.0 0.69$

Dreiecks-Helligkeit t^*

ORS19_96a; adaptierte CIELAB-Daten

u^*_d	$L^*=L^*_a$	a^*_a	b^*_a	$C^*_{ab,a}$	$h^*_{ab,a}$	u^*_e
o00y	48.75	65.07	39.43	76.08	31	r08j
o25y	59.04	46.67	51.1	69.21	48	r33j
o50y	68.32	30.09	61.62	68.58	64	r57j
o75y	78.23	12.39	72.85	73.9	80	r81j
y00l	90.92	-10.29	87.24	87.85	97	j06g
y25l	78.57	-28.11	65.75	71.51	113	j29g
y50l	69.46	-41.25	49.92	64.75	130	j53g
y75l	61.32	-52.99	35.76	63.92	146	j76g
l00c	52.69	-65.44	20.75	68.65	162	g00b
l50c	56.55	-45.12	-16.57	48.07	200	g34b
c00v	59.61	-28.98	-46.22	54.56	238	g69b
c50v	43.33	-1.54	-45.13	45.16	268	g96b
v00m	28.39	23.63	-44.13	50.06	298	b23r
v50m	36.9	43.84	-30.24	53.26	325	b47r
m00o	49.58	73.93	-9.56	74.55	353	b71r
m50o	49.17	69.55	14.68	71.08	12	b88r



%Umfang
 $u^*_{rel} = 89$
%Regularität
 $g^*_{H,rel} = 72$
 $g^*_{C,rel} = 57$

lab^*tch^*

Brillantheit i^*

$i^* = 1.00$

$i^* = 0.80$

$i^* = 0.60$

$i^* = 0.40$

$i^* = 0.20$

$i^* = 0.00$

Ein und Ausgabe: Farbmatisches Drucker-Reflektiv-System ORS19_96a für relativen CIELAB-Bunton $h^* = lab^*h^* = h_{ab}/360 = 0.661$

$u^*_d = c00v$

Daten für jede Farbe:

lab^*tch^* und lab^*icu^*

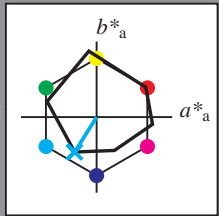
Buntontexte:

$u^*_d = c00v$ $u^*_e = g69b$

Kontrastreduzierungsfaktor:

$c_R = 1.0$

Dreiecks-Helligkeit t^*



ORS19_96a; adaptierte CIELAB-Daten

u^*_d	$L^*=L^*_a$	a^*_a	b^*_a	$C^*_{ab,a}$	$h^*_{ab,a}$
O _{Ma}	48.75	65.07	39.43	76.08	31
Y _{Ma}	90.92	-10.29	87.24	87.85	97
L _{Ma}	52.69	-65.44	20.75	68.65	162
C _{Ma}	59.61	-28.98	-46.22	54.56	238
V _{Ma}	28.39	23.63	-44.13	50.06	298
M _{Ma}	49.58	73.93	-9.56	74.55	353
N _{Ma}	18.89	0.0	0.0	0.0	0
W _{Ma}	96.9	0.0	0.0	0.0	0
O _{Ma}	39.92	58.74	27.99	65.07	25
Y _{Ma}	81.26	-2.89	71.56	71.62	92
L _{Ma}	52.23	-42.42	13.6	44.55	162
V _{Ma}	30.57	1.41	-46.47	46.49	272

Daten für Maximalfarbe (Ma):

$LAB^*LAB^*_{Ma}: 60 -29 -46$

$LAB^*LCH^*_{Ma}: 60 55 237$

$lab^*olv^*_{Ma}: 0.0 1.0 1.0$

$lab^*rgb^*_{Ma}: 0.0 0.62 1.0$

Dreiecks-Helligkeit t^*

%Umfang

$u^*_{rel} = 89$

%Regularität

$g^*_{H,rel} = 72$

$g^*_{C,rel} = 57$

ORS19_96a; adaptierte CIELAB-Daten

u^*_d	$L^*=L^*_a$	a^*_a	b^*_a	$C^*_{ab,a}$	$h^*_{ab,a}$	u^*_e
o00y	48.75	65.07	39.43	76.08	31	r08j
o25y	59.04	46.67	51.1	69.21	48	r33j
o50y	68.32	30.09	61.62	68.58	64	r57j
o75y	78.23	12.39	72.85	73.9	80	r81j
y00l	90.92	-10.29	87.24	87.85	97	j06g
y25l	78.57	-28.11	65.75	71.51	113	j29g
y50l	69.46	-41.25	49.92	64.75	130	j53g
y75l	61.32	-52.99	35.76	63.92	146	j76g
l00c	52.69	-65.44	20.75	68.65	162	g00b
l50c	56.55	-45.12	-16.57	48.07	200	g34b
c00v	59.61	-28.98	-46.22	54.56	238	g69b
c50v	43.33	-1.54	-45.13	45.16	268	g96b
v00m	28.39	23.63	-44.13	50.06	298	b23r
v50m	36.9	43.84	-30.24	53.26	325	b47r
m00o	49.58	73.93	-9.56	74.55	353	b71r
m50o	49.17	69.55	14.68	71.08	12	b88r

lab^*tch^*

$i^* = 1.00$

Brillantheit i^*

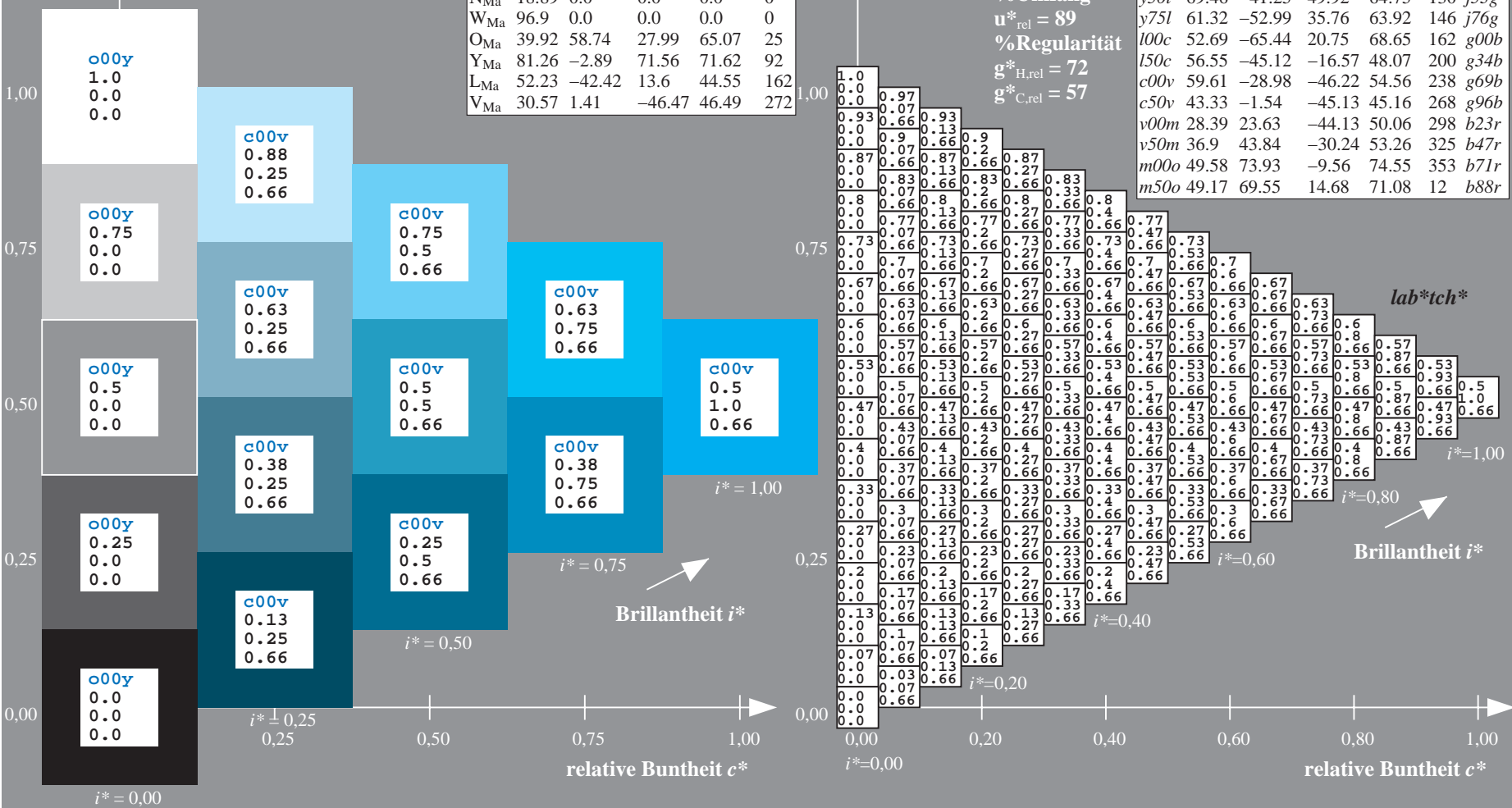
$i^* = 0.80$

$i^* = 0.60$

$i^* = 0.40$

$i^* = 0.20$

$i^* = 0.00$



Ein und Ausgabe: Farbmatisches Drucker-Reflektiv-System ORS19_96a für relativen CIELAB-Bunton $h^* = \text{lab}^*h^* = h_{ab}/360 = 0.745$

$u^*_d = c50v$
 lab^*tch^*

Daten für jede Farbe:

lab^*tch^* und lab^*icu^*

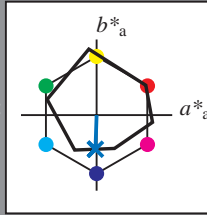
Buntontexte:

$u^*_d = c50v$ $u^*_e = g96b$

Kontrastreduzierungsfaktor:

$c_R = 1.0$

Dreiecks-Helligkeit t^*



ORS19_96a; adaptierte CIELAB-Daten

u^*_d	$L^*=L^*_a$	a^*_a	b^*_a	$C^*_{ab,a}$	$h^*_{ab,a}$
O _{Ma}	48.75	65.07	39.43	76.08	31
Y _{Ma}	90.92	-10.29	87.24	87.85	97
L _{Ma}	52.69	-65.44	20.75	68.65	162
C _{Ma}	59.61	-28.98	-46.22	54.56	238
V _{Ma}	28.39	23.63	-44.13	50.06	298
M _{Ma}	49.58	73.93	-9.56	74.55	353
N _{Ma}	18.89	0.0	0.0	0.0	0
W _{Ma}	96.9	0.0	0.0	0.0	0
O _{Ma}	39.92	58.74	27.99	65.07	25
Y _{Ma}	81.26	-2.89	71.56	71.62	92
L _{Ma}	52.23	-42.42	13.6	44.55	162
V _{Ma}	30.57	1.41	-46.47	46.49	272

Daten für Maximalfarbe (Ma):

$\text{LAB}^*\text{LAB}^*_{Ma}$: 43 -2 -45

$\text{LAB}^*\text{LCH}^*_{Ma}$: 43 45 268

$\text{lab}^*\text{olv}^*_{Ma}$: 0.0 0.5 1.0

$\text{lab}^*\text{rgb}^*_{Ma}$: 0.0 0.07 1.0

Dreiecks-Helligkeit t^*

%Umfang

$u^*_{rel} = 89$

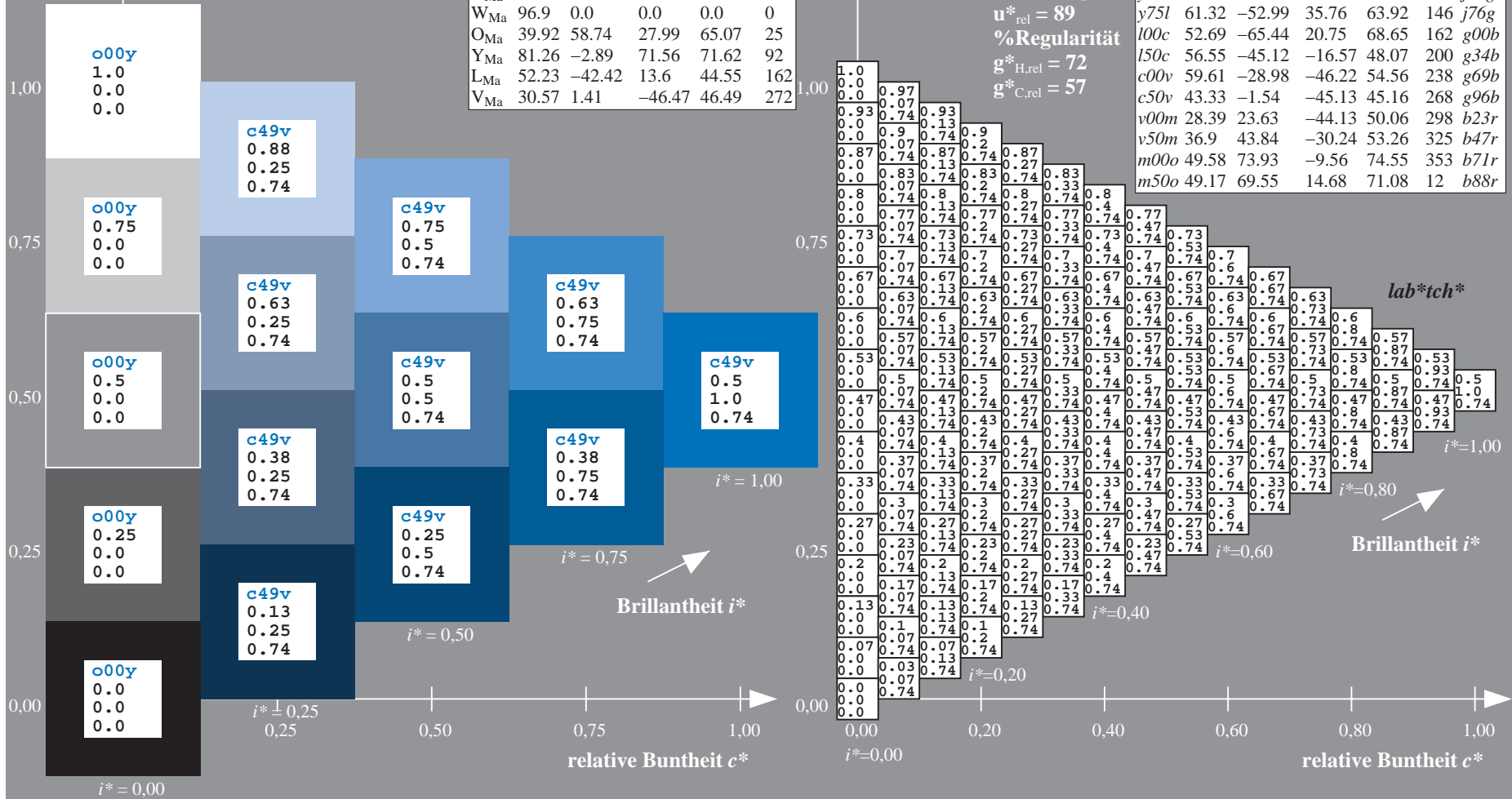
%Regularität

$g^*_{H,rel} = 72$

$g^*_{C,rel} = 57$

ORS19_96a; adaptierte CIELAB-Daten

u^*_d	$L^*=L^*_a$	a^*_a	b^*_a	$C^*_{ab,a}$	$h^*_{ab,a}$	u^*_e
o00y	48.75	65.07	39.43	76.08	31	r08j
o25y	59.04	46.67	51.1	69.21	48	r33j
o50y	68.32	30.09	61.62	68.58	64	r57j
o75y	78.23	12.39	72.85	73.9	80	r81j
y00l	90.92	-10.29	87.24	87.85	97	j06g
y25l	78.57	-28.11	65.75	71.51	113	j29g
y50l	69.46	-41.25	49.92	64.75	130	j53g
y75l	61.32	-52.99	35.76	63.92	146	j76g
l00c	52.69	-65.44	20.75	68.65	162	g00b
l50c	56.55	-45.12	-16.57	48.07	200	g34b
c00v	59.61	-28.98	-46.22	54.56	238	g69b
c50v	43.33	-1.54	-45.13	45.16	268	g96b
v00m	28.39	23.63	-44.13	50.06	298	b23r
v50m	36.9	43.84	-30.24	53.26	325	b47r
m00o	49.58	73.93	-9.56	74.55	353	b71r
m50o	49.17	69.55	14.68	71.08	12	b88r



Ein und Ausgabe: Farbmatisches Drucker-Reflektiv-System ORS19_96a für relativen CIELAB-Bunton $h^* = \text{lab}^*h^* = h_{ab}/360 = 0.828$

$u^*_d = v00m$

Daten für jede Farbe:

lab^*tch^* und lab^*icu^*

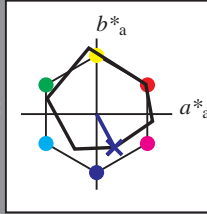
Buntontexte:

$u^*_d = v00m$ $u^*_e = b23r$

Kontrastreduzierungsfaktor:

$c_R = 1.0$

Dreiecks-Helligkeit t^*



ORS19_96a; adaptierte CIELAB-Daten

u^*_d	$L^*=L^*_a$	a^*_a	b^*_a	$C^*_{ab,a}$	$h^*_{ab,a}$
O _{Ma}	48.75	65.07	39.43	76.08	31
Y _{Ma}	90.92	-10.29	87.24	87.85	97
L _{Ma}	52.69	-65.44	20.75	68.65	162
C _{Ma}	59.61	-28.98	-46.22	54.56	238
V _{Ma}	28.39	23.63	-44.13	50.06	298
M _{Ma}	49.58	73.93	-9.56	74.55	353
N _{Ma}	18.89	0.0	0.0	0.0	0
W _{Ma}	96.9	0.0	0.0	0.0	0
O _{Ma}	39.92	58.74	27.99	65.07	25
Y _{Ma}	81.26	-2.89	71.56	71.62	92
L _{Ma}	52.23	-42.42	13.6	44.55	162
V _{Ma}	30.57	1.41	-46.47	46.49	272

Daten für Maximalfarbe (Ma):

$\text{LAB}^*\text{LAB}^*_{Ma}$: 28 24 -44

$\text{LAB}^*\text{LCH}^*_{Ma}$: 28 50 298

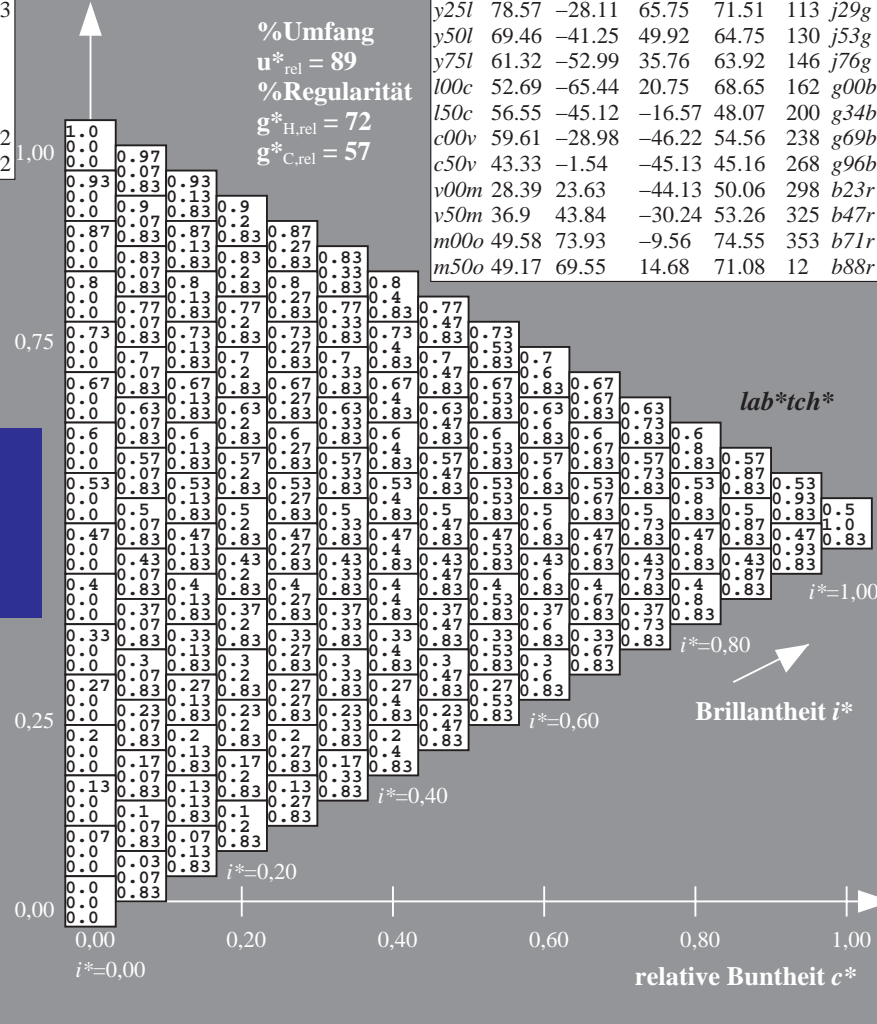
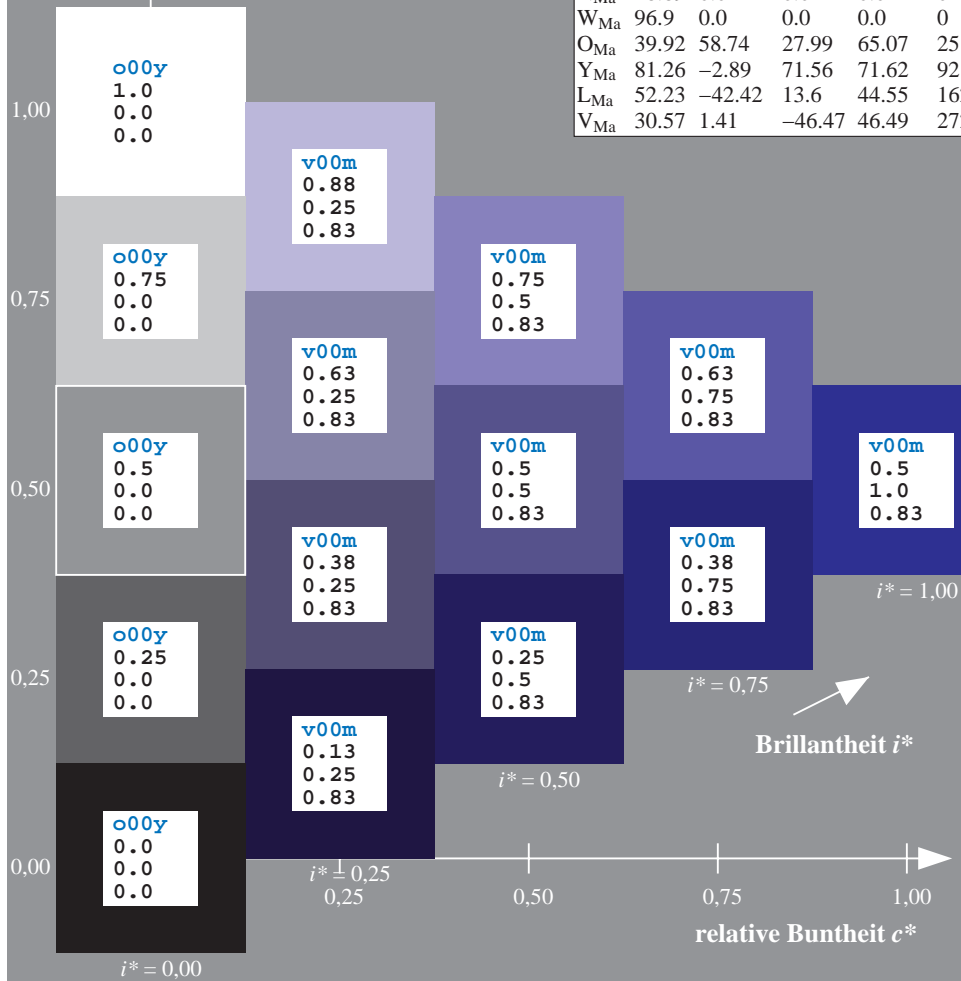
$\text{lab}^*\text{olv}^*_{Ma}$: 0.0 0.0 1.0

$\text{lab}^*\text{rgb}^*_{Ma}$: 0.46 0.0 1.0

Dreiecks-Helligkeit t^*

ORS19_96a; adaptierte CIELAB-Daten

u^*_d	$L^*=L^*_a$	a^*_a	b^*_a	$C^*_{ab,a}$	$h^*_{ab,a}$	u^*_e
o00y	48.75	65.07	39.43	76.08	31	r08j
o25y	59.04	46.67	51.1	69.21	48	r33j
o50y	68.32	30.09	61.62	68.58	64	r57j
o75y	78.23	12.39	72.85	73.9	80	r81j
y00l	90.92	-10.29	87.24	87.85	97	j06g
y25l	78.57	-28.11	65.75	71.51	113	j29g
y50l	69.46	-41.25	49.92	64.75	130	j53g
y75l	61.32	-52.99	35.76	63.92	146	j76g
l00c	52.69	-65.44	20.75	68.65	162	g00b
l50c	56.55	-45.12	-16.57	48.07	200	g34b
c00v	59.61	-28.98	-46.22	54.56	238	g69b
c50v	43.33	-1.54	-45.13	45.16	268	g96b
v00m	28.39	23.63	-44.13	50.06	298	b23r
v50m	36.9	43.84	-30.24	53.26	325	b47r
m00o	49.58	73.93	-9.56	74.55	353	b71r
m50o	49.17	69.55	14.68	71.08	12	b88r



%Umfang
 $u^*_{rel} = 89$
%Regularität
 $g^*_{H,rel} = 72$
 $g^*_{C,rel} = 57$

lab^*tch^*

Brillantheit i^*

$i^* = 1.00$

$i^* = 0.80$

$i^* = 0.60$

$i^* = 0.40$

$i^* = 0.20$

$i^* = 0.00$

Ein und Ausgabe: Farbmatisches Drucker-Reflektiv-System ORS19_96a für relativen CIELAB-Bunton $h^* = \text{lab}^*h^* = h_{ab}/360 = 0.904$

$u^*_d = v50m$

Daten für jede Farbe:

lab^*tch^* und lab^*icu^*

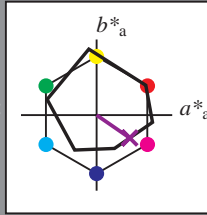
Buntontexte:

$u^*_d = v50m$ $u^*_e = b47r$

Kontrastreduzierungsfaktor:

$c_R = 1.0$

Dreiecks-Helligkeit t^*



ORS19_96a; adaptierte CIELAB-Daten

u^*_d	$L^*=L^*_a$	a^*_a	b^*_a	$C^*_{ab,a}$	$h^*_{ab,a}$
O _{Ma}	48.75	65.07	39.43	76.08	31
Y _{Ma}	90.92	-10.29	87.24	87.85	97
L _{Ma}	52.69	-65.44	20.75	68.65	162
C _{Ma}	59.61	-28.98	-46.22	54.56	238
V _{Ma}	28.39	23.63	-44.13	50.06	298
M _{Ma}	49.58	73.93	-9.56	74.55	353
N _{Ma}	18.89	0.0	0.0	0.0	0
W _{Ma}	96.9	0.0	0.0	0.0	0
O _{Ma}	39.92	58.74	27.99	65.07	25
Y _{Ma}	81.26	-2.89	71.56	71.62	92
L _{Ma}	52.23	-42.42	13.6	44.55	162
V _{Ma}	30.57	1.41	-46.47	46.49	272

Daten für Maximalfarbe (Ma):

$\text{LAB}^*\text{LAB}^*_{Ma}: 37 \ 44 \ -30$

$\text{LAB}^*\text{LCH}^*_{Ma}: 37 \ 53 \ 325$

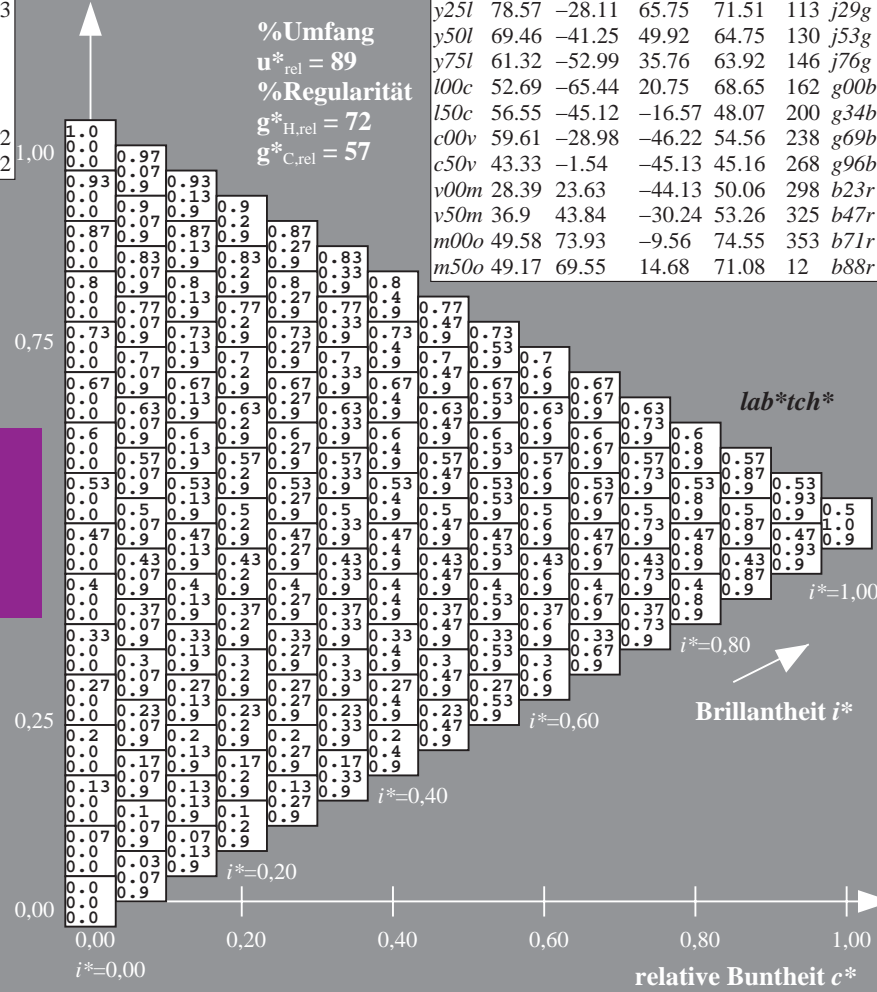
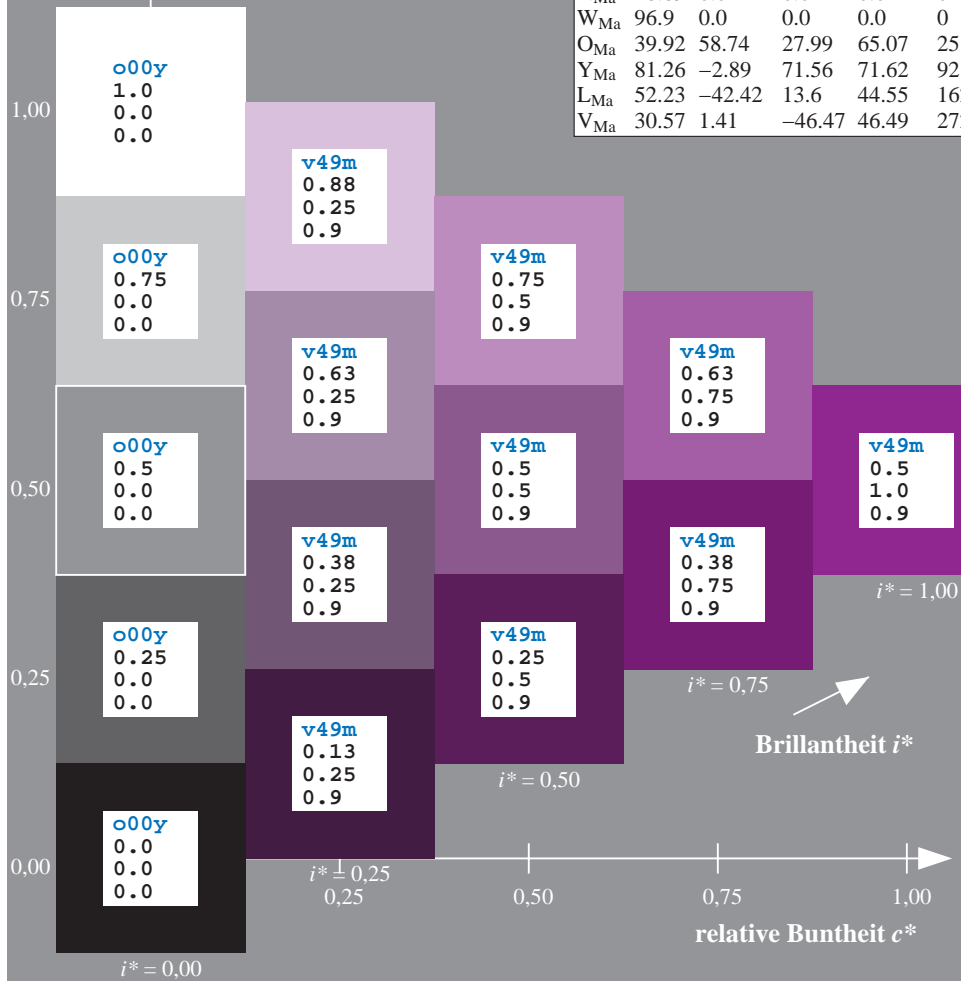
$\text{lab}^*\text{olv}^*_{Ma}: 0.5 \ 0.0 \ 1.0$

$\text{lab}^*\text{rgb}^*_{Ma}: 0.94 \ 0.0 \ 1.0$

Dreiecks-Helligkeit t^*

ORS19_96a; adaptierte CIELAB-Daten

u^*_d	$L^*=L^*_a$	a^*_a	b^*_a	$C^*_{ab,a}$	$h^*_{ab,a}$	u^*_e
o00y	48.75	65.07	39.43	76.08	31	r08j
o25y	59.04	46.67	51.1	69.21	48	r33j
o50y	68.32	30.09	61.62	68.58	64	r57j
o75y	78.23	12.39	72.85	73.9	80	r81j
y00l	90.92	-10.29	87.24	87.85	97	j06g
y25l	78.57	-28.11	65.75	71.51	113	j29g
y50l	69.46	-41.25	49.92	64.75	130	j53g
y75l	61.32	-52.99	35.76	63.92	146	j76g
l00c	52.69	-65.44	20.75	68.65	162	g00b
l50c	56.55	-45.12	-16.57	48.07	200	g34b
c00v	59.61	-28.98	-46.22	54.56	238	g69b
c50v	43.33	-1.54	-45.13	45.16	268	g96b
v00m	28.39	23.63	-44.13	50.06	298	b23r
v50m	36.9	43.84	-30.24	53.26	325	b47r
m00o	49.58	73.93	-9.56	74.55	353	b71r
m50o	49.17	69.55	14.68	71.08	12	b88r



%Umfang
 $u^*_{rel} = 89$
%Regularität
 $g^*_{H,rel} = 72$
 $g^*_{C,rel} = 57$

lab^*tch^*

Brillantheit i^*

Ein und Ausgabe: Farbmatisches Drucker-Reflektiv-System ORS19_96a für relativen CIELAB-Bunton $h^* = lab^*h^* = h_{ab}/360 = 0.98$

$u^*_d = m00o$

Daten für jede Farbe:

lab^*tch^* und lab^*icu^*

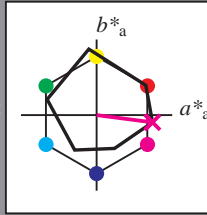
Buntontexte:

$u^*_d = m00o$ $u^*_e = b71r$

Kontrastreduzierungsfaktor:

$c_R = 1.0$

Dreiecks-Helligkeit t^*



ORS19_96a; adaptierte CIELAB-Daten

u^*_d	$L^*=L^*_a$	a^*_a	b^*_a	$C^*_{ab,a}$	$h^*_{ab,a}$
O _{Ma}	48.75	65.07	39.43	76.08	31
Y _{Ma}	90.92	-10.29	87.24	87.85	97
L _{Ma}	52.69	-65.44	20.75	68.65	162
C _{Ma}	59.61	-28.98	-46.22	54.56	238
V _{Ma}	28.39	23.63	-44.13	50.06	298
M _{Ma}	49.58	73.93	-9.56	74.55	353
N _{Ma}	18.89	0.0	0.0	0.0	0
W _{Ma}	96.9	0.0	0.0	0.0	0
O _{Ma}	39.92	58.74	27.99	65.07	25
Y _{Ma}	81.26	-2.89	71.56	71.62	92
L _{Ma}	52.23	-42.42	13.6	44.55	162
V _{Ma}	30.57	1.41	-46.47	46.49	272

Daten für Maximalfarbe (Ma):

$LAB^*LAB^*_{Ma}$: 50 74 -10

$LAB^*LCH^*_{Ma}$: 50 75 352

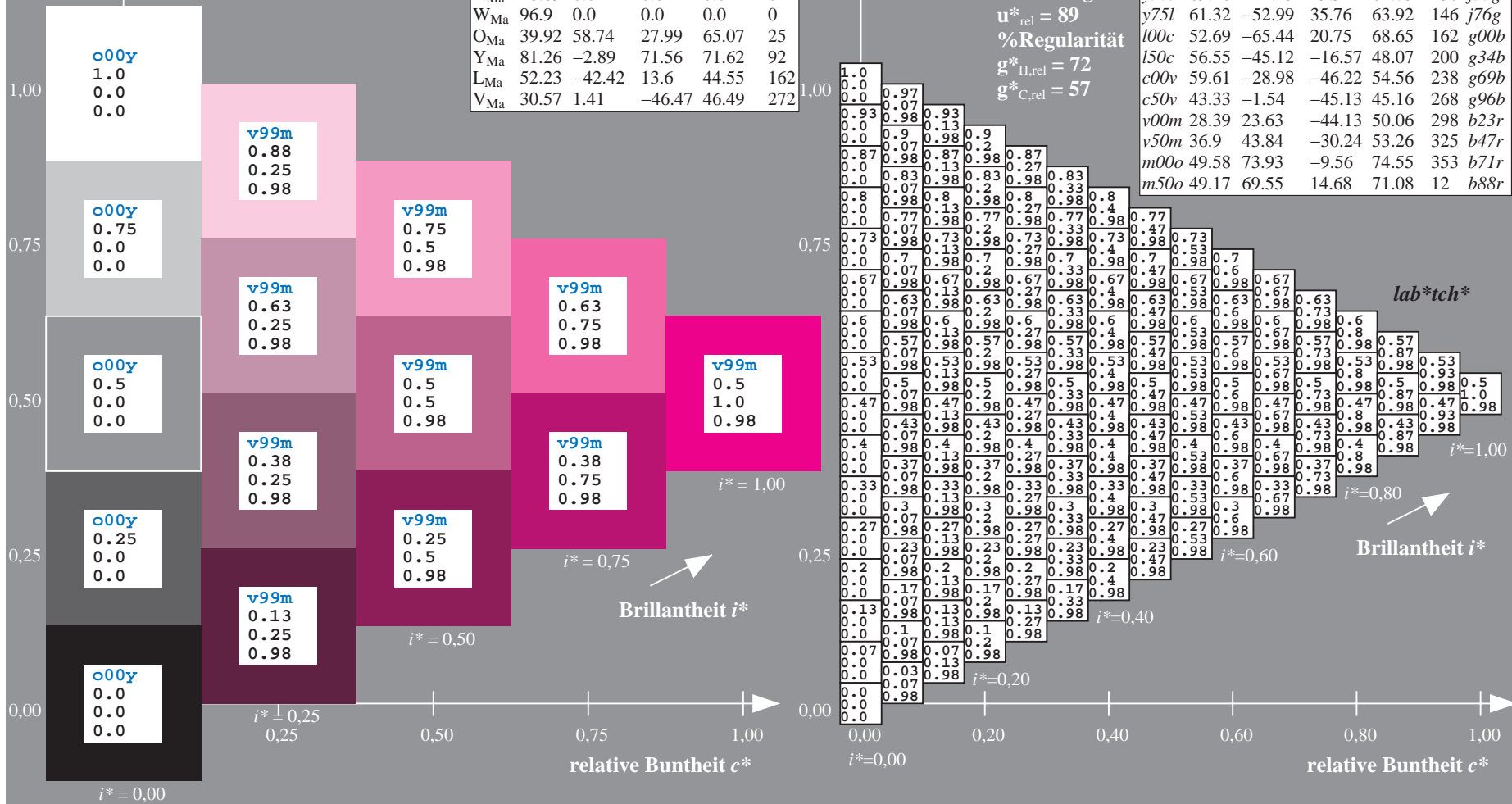
$lab^*olv^*_{Ma}$: 1.0 0.0 1.0

$lab^*rgb^*_{Ma}$: 1.0 0.0 0.58

Dreiecks-Helligkeit t^*

ORS19_96a; adaptierte CIELAB-Daten

u^*_d	$L^*=L^*_a$	a^*_a	b^*_a	$C^*_{ab,a}$	$h^*_{ab,a}$	u^*_e
o00y	48.75	65.07	39.43	76.08	31	r08j
o25y	59.04	46.67	51.1	69.21	48	r33j
o50y	68.32	30.09	61.62	68.58	64	r57j
o75y	78.23	12.39	72.85	73.9	80	r81j
y00l	90.92	-10.29	87.24	87.85	97	j06g
y25l	78.57	-28.11	65.75	71.51	113	j29g
y50l	69.46	-41.25	49.92	64.75	130	j53g
y75l	61.32	-52.99	35.76	63.92	146	j76g
l00c	52.69	-65.44	20.75	68.65	162	g00b
l50c	56.55	-45.12	-16.57	48.07	200	g34b
c00v	59.61	-28.98	-46.22	54.56	238	g69b
c50v	43.33	-1.54	-45.13	45.16	268	g96b
v00m	28.39	23.63	-44.13	50.06	298	b23r
v50m	36.9	43.84	-30.24	53.26	325	b47r
m00o	49.58	73.93	-9.56	74.55	353	b71r
m50o	49.17	69.55	14.68	71.08	12	b88r



Ein und Ausgabe: Farbmatisches Drucker-Reflektiv-System ORS19_96a für relativen CIELAB-Bunton $h^* = \text{lab}^*h^* = h_{ab}/360 = 0.033$

$u^*_d = m50o$

Daten für jede Farbe:

lab^*tch^* und lab^*icu^*

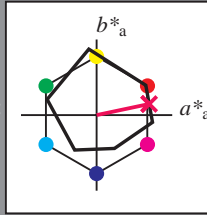
Buntontexte:

$u^*_d = m50o$ $u^*_e = b88r$

Kontrastreduzierungsfaktor:

$c_R = 1.0$

Dreiecks-Helligkeit t^*



ORS19_96a; adaptierte CIELAB-Daten

u^*_d	$L^*=L^*_a$	a^*_a	b^*_a	$C^*_{ab,a}$	$h^*_{ab,a}$
O _{Ma}	48.75	65.07	39.43	76.08	31
Y _{Ma}	90.92	-10.29	87.24	87.85	97
L _{Ma}	52.69	-65.44	20.75	68.65	162
C _{Ma}	59.61	-28.98	-46.22	54.56	238
V _{Ma}	28.39	23.63	-44.13	50.06	298
M _{Ma}	49.58	73.93	-9.56	74.55	353
N _{Ma}	18.89	0.0	0.0	0.0	0
W _{Ma}	96.9	0.0	0.0	0.0	0
O _{Ma}	39.92	58.74	27.99	65.07	25
Y _{Ma}	81.26	-2.89	71.56	71.62	92
L _{Ma}	52.23	-42.42	13.6	44.55	162
V _{Ma}	30.57	1.41	-46.47	46.49	272

Daten für Maximalfarbe (Ma):

$\text{LAB}^*\text{LAB}^*_{Ma}$: 49 70 15

$\text{LAB}^*\text{LCH}^*_{Ma}$: 49 71 11

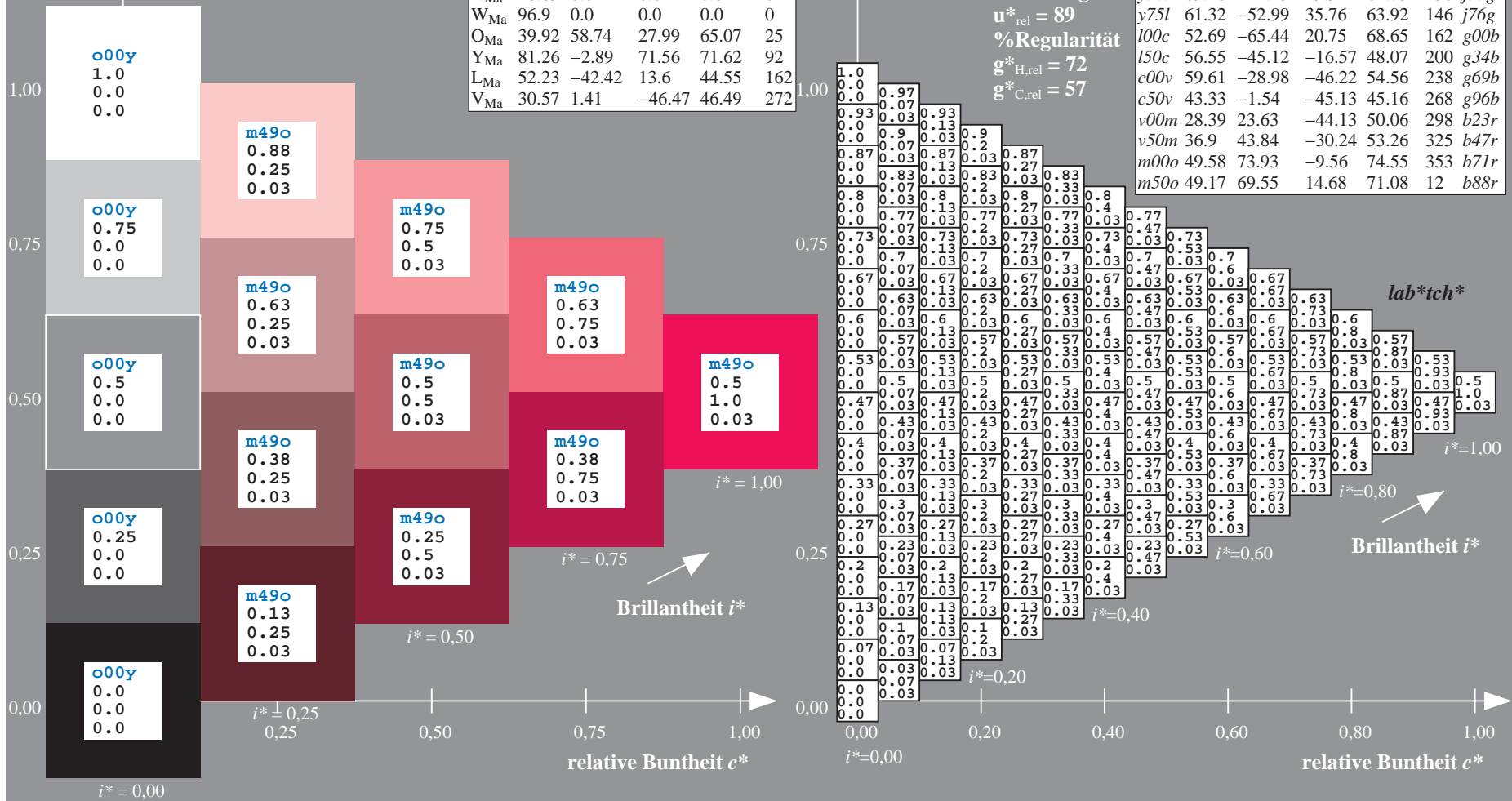
$\text{lab}^*\text{olv}^*_{Ma}$: 1.0 0.0 0.5

$\text{lab}^*\text{rgb}^*_{Ma}$: 1.0 0.0 0.24

Dreiecks-Helligkeit t^*

ORS19_96a; adaptierte CIELAB-Daten

u^*_d	$L^*=L^*_a$	a^*_a	b^*_a	$C^*_{ab,a}$	$h^*_{ab,a}$	u^*_e
o00y	48.75	65.07	39.43	76.08	31	r08j
o25y	59.04	46.67	51.1	69.21	48	r33j
o50y	68.32	30.09	61.62	68.58	64	r57j
o75y	78.23	12.39	72.85	73.9	80	r81j
y00l	90.92	-10.29	87.24	87.85	97	j06g
y25l	78.57	-28.11	65.75	71.51	113	j29g
y50l	69.46	-41.25	49.92	64.75	130	j53g
y75l	61.32	-52.99	35.76	63.92	146	j76g
l00c	52.69	-65.44	20.75	68.65	162	g00b
l50c	56.55	-45.12	-16.57	48.07	200	g34b
c00v	59.61	-28.98	-46.22	54.56	238	g69b
c50v	43.33	-1.54	-45.13	45.16	268	g96b
v00m	28.39	23.63	-44.13	50.06	298	b23r
v50m	36.9	43.84	-30.24	53.26	325	b47r
m00o	49.58	73.93	-9.56	74.55	353	b71r
m50o	49.17	69.55	14.68	71.08	12	b88r



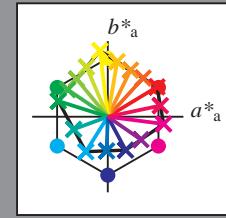
Ein und Ausgabe:
 Farbmetrisches Drucker-Reflektiv-System ORS19_96a

Daten für jede Farbe:
 u^*_d und Nummer $Nr. = 00 \dots 15$

Geräte-Bunttextext:
 $u^*_d = 16$ Bunttoene $o00y, o25y, \dots, m50o$

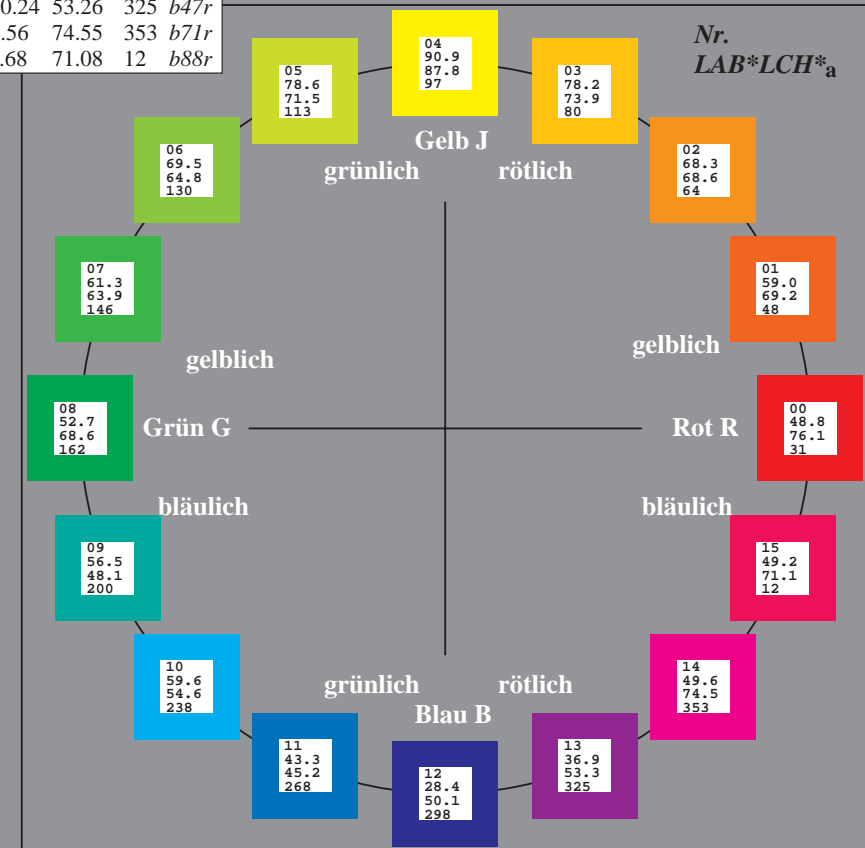
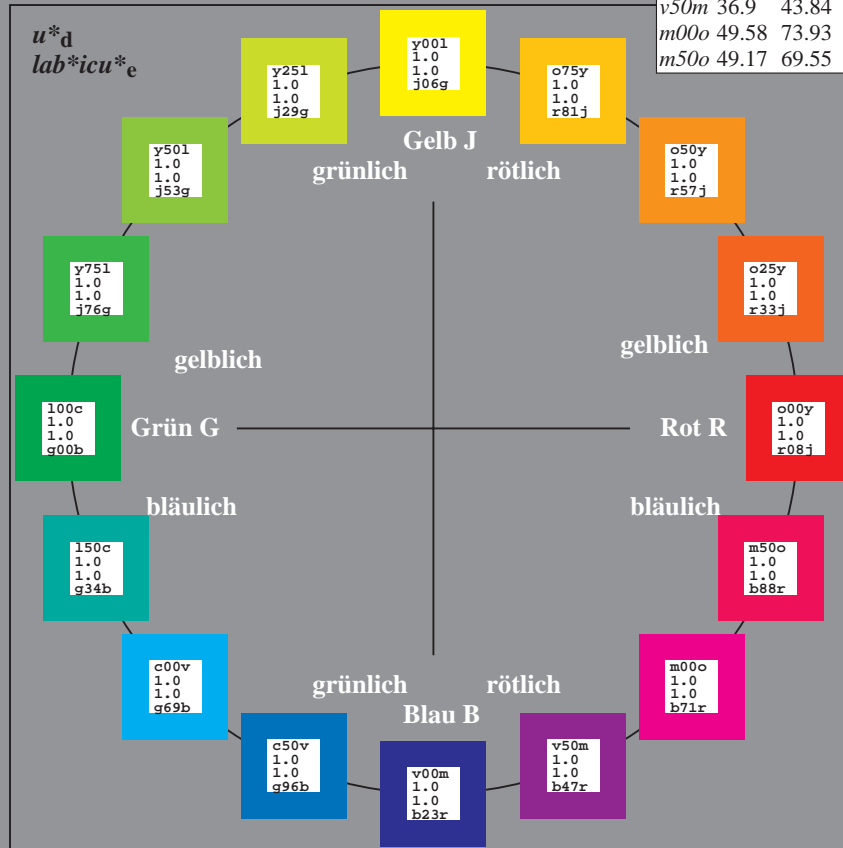
Kontrastreduzierungsfaktor:
 $c_R = 1.0$

u^*_d	$L^*=L^*_a$	a^*_a	b^*_a	$C^*_{ab,a}$	$h^*_{ab,a}$	u^*_e
$o00y$	48.75	65.07	39.43	76.08	31	$r08j$
$o25y$	59.04	46.67	51.1	69.21	48	$r33j$
$o50y$	68.32	30.09	61.62	68.58	64	$r57j$
$o75y$	78.23	12.39	72.85	73.9	80	$r81j$
$y00l$	90.92	-10.29	87.24	87.85	97	$j06g$
$y25l$	78.57	-28.11	65.75	71.51	113	$j29g$
$y50l$	69.46	-41.25	49.92	64.75	130	$j53g$
$y75l$	61.32	-52.99	35.76	63.92	146	$j76g$
$l00c$	52.69	-65.44	20.75	68.65	162	$g00b$
$l50c$	56.55	-45.12	-16.57	48.07	200	$g34b$
$c00v$	59.61	-28.98	-46.22	54.56	238	$g69b$
$c50v$	43.33	-1.54	-45.13	45.16	268	$g96b$
$v00m$	28.39	23.63	-44.13	50.06	298	$b23r$
$y50m$	36.9	43.84	-30.24	53.26	325	$b47r$
$m00o$	49.58	73.93	-9.56	74.55	353	$b71r$
$m50o$	49.17	69.55	14.68	71.08	12	$b88r$



%Umfang
 $u^*_{rel} = 89$
 %Regularität
 $g^*_{H,rel} = 72$
 $g^*_{C,rel} = 57$

Name	$L^*=L^*_a$	a^*_a	b^*_a	$C^*_{ab,a}$	$h^*_{ab,a}$
O_{Ma}	48.75	65.07	39.43	76.08	31
Y_{Ma}	90.92	-10.29	87.24	87.85	97
L_{Ma}	52.69	-65.44	20.75	68.65	162
C_{Ma}	59.61	-28.98	-46.22	54.56	238
V_{Ma}	28.39	23.63	-44.13	50.06	298
M_{Ma}	49.58	73.93	-9.56	74.55	353
N_{Ma}	18.89	0.0	0.0	0.0	0
W_{Ma}	96.9	0.0	0.0	0.0	0
O_{CIE}	39.92	58.74	27.99	65.07	25
Y_{CIE}	81.26	-2.89	71.56	71.62	92
L_{CIE}	52.23	-42.42	13.6	44.55	162
V_{CIE}	30.57	1.41	-46.47	46.49	272



Ein und Ausgabe: Farbmatisches Drucker-Reflektiv-System ORS19_96a für relativen CIELAB-Bunton $h^* = lab^*h^* = h_{ab}/360 = 0.087$

Daten für jede Farbe:

lab^*ch^* und lab^*icu^*

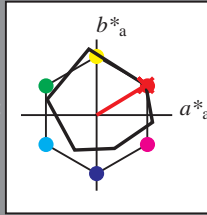
Buntontexte:

$u^*_d = o00y$ $u^*_e = r08j$

Kontrastreduzierungsfaktor:

$c_R = 1.0$

Dreiecks-Helligkeit t^*



ORS19_96a; adaptierte CIELAB-Daten

u^*_d	$L^*=L^*_a$	a^*_a	b^*_a	$C^*_{ab,a}$	$h^*_{ab,a}$
O _{Ma}	48.75	65.07	39.43	76.08	31
Y _{Ma}	90.92	-10.29	87.24	87.85	97
L _{Ma}	52.69	-65.44	20.75	68.65	162
C _{Ma}	59.61	-28.98	-46.22	54.56	238
V _{Ma}	28.39	23.63	-44.13	50.06	298
M _{Ma}	49.58	73.93	-9.56	74.55	353
N _{Ma}	18.89	0.0	0.0	0.0	0
W _{Ma}	96.9	0.0	0.0	0.0	0
O _{Ma}	39.92	58.74	27.99	65.07	25
Y _{Ma}	81.26	-2.89	71.56	71.62	92
L _{Ma}	52.23	-42.42	13.6	44.55	162
V _{Ma}	30.57	1.41	-46.47	46.49	272

Daten für Maximalfarbe (Ma):

$LAB^*LAB^*_{Ma}$: 49 65 39

$LAB^*LCH^*_{Ma}$: 49 76 31

$lab^*olv^*_{Ma}$: 1.0 0.0 0.0

$lab^*rgb^*_{Ma}$: 1.0 0.09 0.0

Dreiecks-Helligkeit t^*

%Umfang

$u^*_{rel} = 89$

%Regularität

$g^*_{H,rel} = 72$

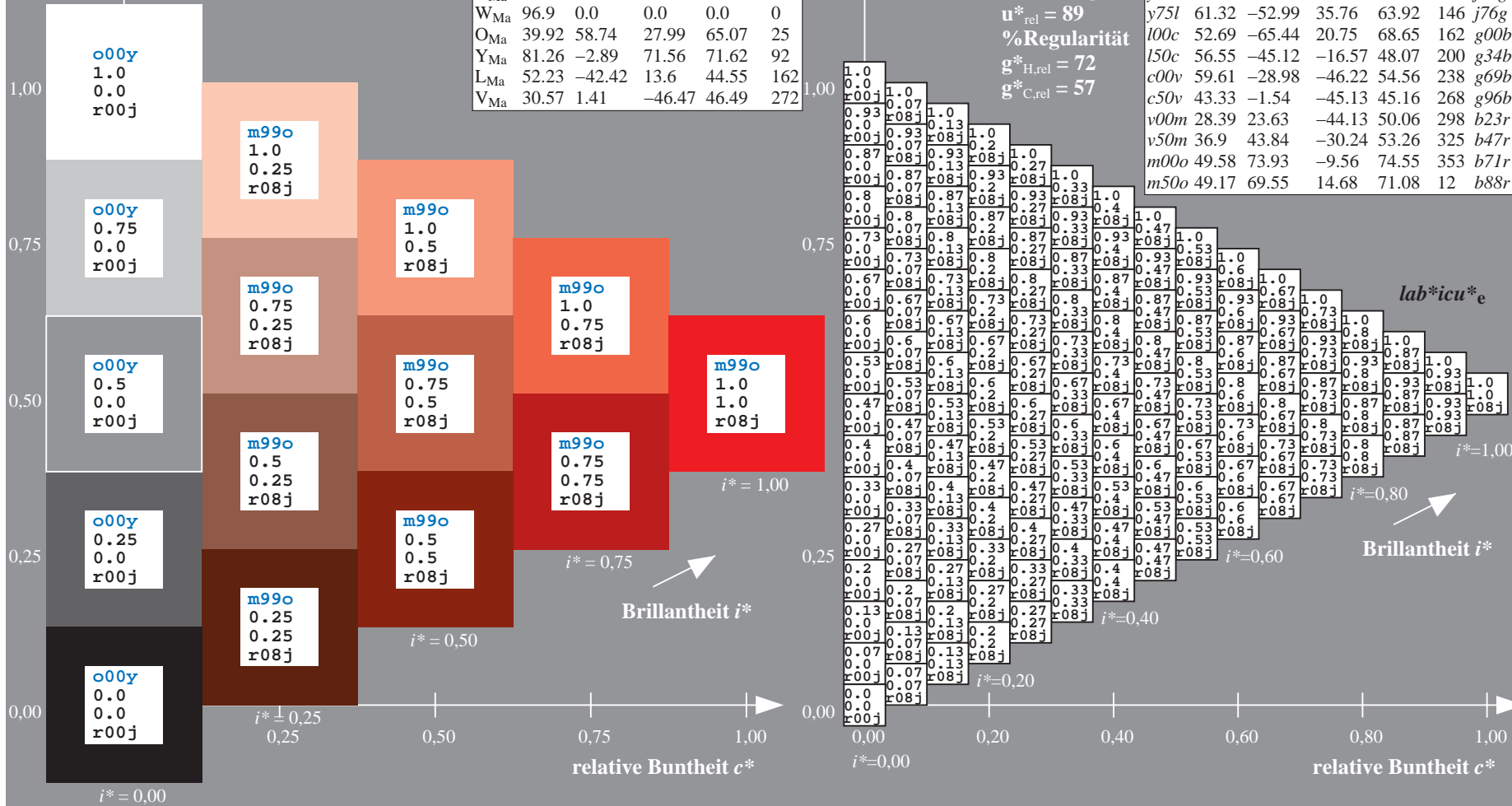
$g^*_{C,rel} = 57$

$u^*_d = o00y$

$lab^*icu^*_e$

ORS19_96a; adaptierte CIELAB-Daten

u^*_d	$L^*=L^*_a$	a^*_a	b^*_a	$C^*_{ab,a}$	$h^*_{ab,a}$	u^*_e
<i>o00y</i>	48.75	65.07	39.43	76.08	31	<i>r08j</i>
<i>o25y</i>	59.04	46.67	51.1	69.21	48	<i>r33j</i>
<i>o50y</i>	68.32	30.09	61.62	68.58	64	<i>r57j</i>
<i>o75y</i>	78.23	12.39	72.85	73.9	80	<i>r81j</i>
<i>y00l</i>	90.92	-10.29	87.24	87.85	97	<i>j06g</i>
<i>y25l</i>	78.57	-28.11	65.75	71.51	113	<i>j29g</i>
<i>y50l</i>	69.46	-41.25	49.92	64.75	130	<i>j53g</i>
<i>y75l</i>	61.32	-52.99	35.76	63.92	146	<i>j76g</i>
<i>l00c</i>	52.69	-65.44	20.75	68.65	162	<i>g00b</i>
<i>l50c</i>	56.55	-45.12	-16.57	48.07	200	<i>g34b</i>
<i>c00v</i>	59.61	-28.98	-46.22	54.56	238	<i>g69b</i>
<i>c50v</i>	43.33	-1.54	-45.13	45.16	268	<i>g96b</i>
<i>v00m</i>	28.39	23.63	-44.13	50.06	298	<i>b23r</i>
<i>v50m</i>	36.9	43.84	-30.24	53.26	325	<i>b47r</i>
<i>m00o</i>	49.58	73.93	-9.56	74.55	353	<i>b71r</i>
<i>m50o</i>	49.17	69.55	14.68	71.08	12	<i>b88r</i>



Ein und Ausgabe: Farbmatisches Drucker-Reflektiv-System ORS19_96a für relativen CIELAB-Bunton $h^* = \text{lab}^*h^* = h_{ab}/360 = 0.132$

Daten für jede Farbe:

lab^*tch^* und lab^*icu^*

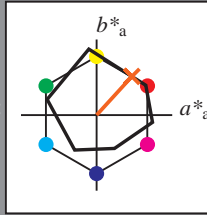
Buntontexte:

$u^*_d = 0.25y$ $u^*_e = r33j$

Kontrastreduzierungsfaktor:

$c_R = 1.0$

Dreiecks-Helligkeit t^*



ORS19_96a; adaptierte CIELAB-Daten

u^*_d	$L^*=L^*_a$	a^*_a	b^*_a	$C^*_{ab,a}$	$h^*_{ab,a}$
O _{Ma}	48.75	65.07	39.43	76.08	31
Y _{Ma}	90.92	-10.29	87.24	87.85	97
L _{Ma}	52.69	-65.44	20.75	68.65	162
C _{Ma}	59.61	-28.98	-46.22	54.56	238
V _{Ma}	28.39	23.63	-44.13	50.06	298
M _{Ma}	49.58	73.93	-9.56	74.55	353
N _{Ma}	18.89	0.0	0.0	0.0	0
W _{Ma}	96.9	0.0	0.0	0.0	0
O _{Ma}	39.92	58.74	27.99	65.07	25
Y _{Ma}	81.26	-2.89	71.56	71.62	92
L _{Ma}	52.23	-42.42	13.6	44.55	162
V _{Ma}	30.57	1.41	-46.47	46.49	272

$u^*_d = 0.25y$

$\text{lab}^*icu^*_e$

Daten für Maximalfarbe (Ma):

$\text{LAB}^*\text{LAB}^*_{Ma}: 59\ 47\ 51$

$\text{LAB}^*\text{LCH}^*_{Ma}: 59\ 69\ 47$

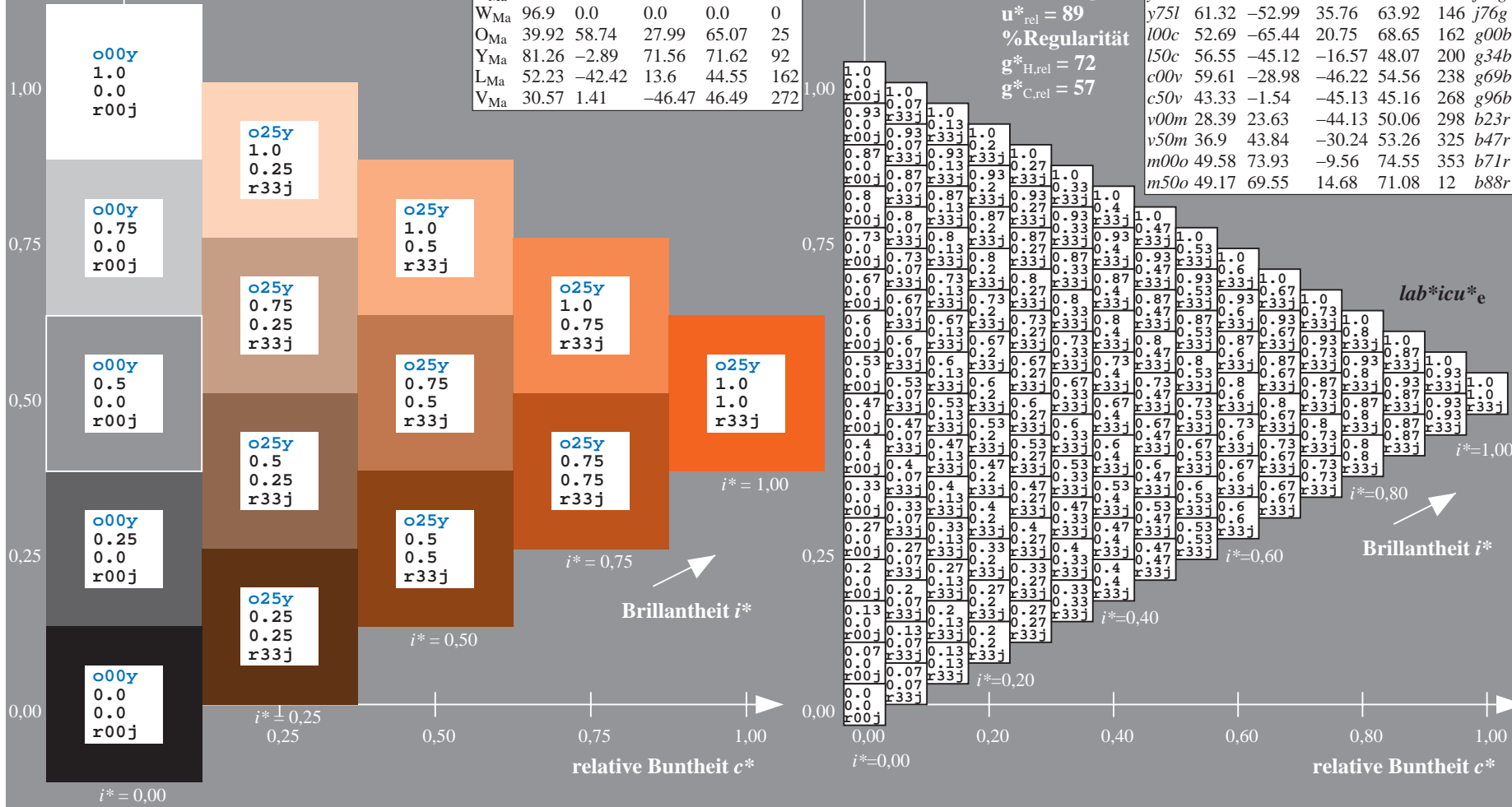
$\text{lab}^*\text{olv}^*_{Ma}: 1.0\ 0.25\ 0.0$

$\text{lab}^*\text{rgb}^*_{Ma}: 1.0\ 0.33\ 0.0$

Dreiecks-Helligkeit t^*

ORS19_96a; adaptierte CIELAB-Daten

u^*_d	$L^*=L^*_a$	a^*_a	b^*_a	$C^*_{ab,a}$	$h^*_{ab,a}$	u^*_e
o00y	48.75	65.07	39.43	76.08	31	r08j
o25y	59.04	46.67	51.1	69.21	48	r33j
o50y	68.32	30.09	61.62	68.58	64	r57j
o75y	78.23	12.39	72.85	73.9	80	r81j
y00l	90.92	-10.29	87.24	87.85	97	j06g
y25l	78.57	-28.11	65.75	71.51	113	j29g
y50l	69.46	-41.25	49.92	64.75	130	j53g
y75l	61.32	-52.99	35.76	63.92	146	j76g
l00c	52.69	-65.44	20.75	68.65	162	g00b
l50c	56.55	-45.12	-16.57	48.07	200	g34b
c00v	59.61	-28.98	-46.22	54.56	238	g69b
c50v	43.33	-1.54	-45.13	45.16	268	g96b
v00m	28.39	23.63	-44.13	50.06	298	b23r
v50m	36.9	43.84	-30.24	53.26	325	b47r
m00o	49.58	73.93	-9.56	74.55	353	b71r
m50o	49.17	69.55	14.68	71.08	12	b88r



%Umfang
 $u^*_{rel} = 89$
 %Regularität
 $g^*_{H,rel} = 72$
 $g^*_{C,rel} = 57$

$\text{lab}^*icu^*_e$
 $i^* = 1.00$
 $i^* = 0.80$
 $i^* = 0.60$
 $i^* = 0.40$
 $i^* = 0.20$
 $i^* = 0.00$

Ein und Ausgabe: Farbmatisches Drucker-Reflektiv-System ORS19_96a für relativen CIELAB-Bunton $h^* = \text{lab}^*h^* = h_{ab}/360 = 0.178$

Daten für jede Farbe:

lab^*ch^* und lab^*icu^*

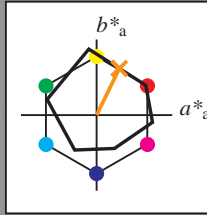
Buntontexte:

$u^*_d = o50y$ $u^*_e = r57j$

Kontrastreduzierungsfaktor:

$c_R = 1.0$

Dreiecks-Helligkeit t^*



ORS19_96a; adaptierte CIELAB-Daten						
u^*_d	$L^*=L^*_a$	a^*_a	b^*_a	$C^*_{ab,a}$	$h^*_{ab,a}$	
O _{Ma}	48.75	65.07	39.43	76.08	31	
Y _{Ma}	90.92	-10.29	87.24	87.85	97	
L _{Ma}	52.69	-65.44	20.75	68.65	162	
C _{Ma}	59.61	-28.98	-46.22	54.56	238	
V _{Ma}	28.39	23.63	-44.13	50.06	298	
M _{Ma}	49.58	73.93	-9.56	74.55	353	
N _{Ma}	18.89	0.0	0.0	0.0	0	
W _{Ma}	96.9	0.0	0.0	0.0	0	
O _{Ma}	39.92	58.74	27.99	65.07	25	
Y _{Ma}	81.26	-2.89	71.56	71.62	92	
L _{Ma}	52.23	-42.42	13.6	44.55	162	
V _{Ma}	30.57	1.41	-46.47	46.49	272	

Daten für Maximalfarbe (Ma):

$\text{LAB}^*\text{LAB}^*_{Ma}$: 68 30 62

$\text{LAB}^*\text{LCH}^*_{Ma}$: 68 69 63

$\text{lab}^*\text{olv}^*_{Ma}$: 1.0 0.5 0.0

$\text{lab}^*\text{rgb}^*_{Ma}$: 1.0 0.58 0.0

Dreiecks-Helligkeit t^*

%Umfang

$u^*_{rel} = 89$

%Regularität

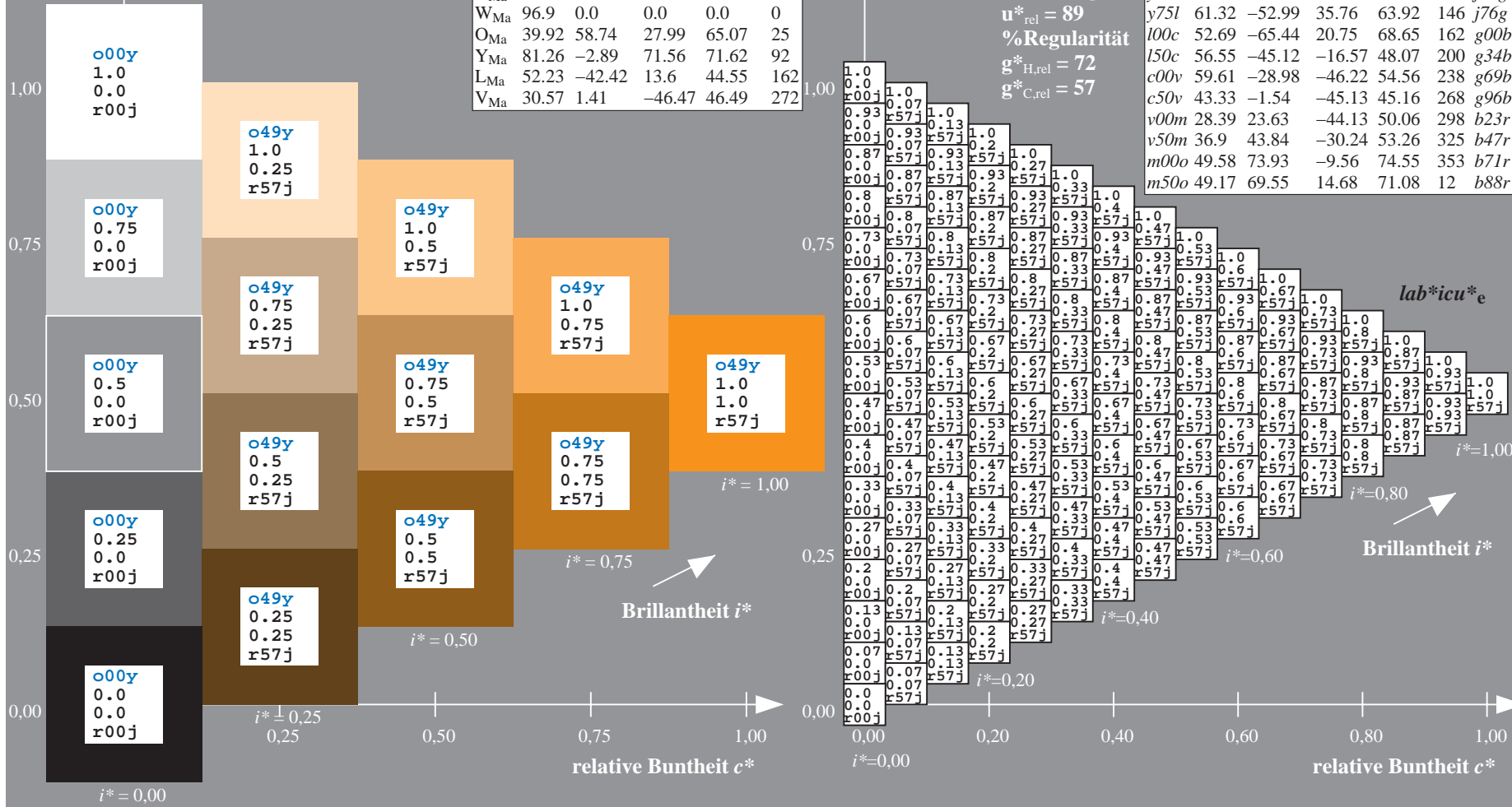
$g^*_{H,rel} = 72$

$g^*_{C,rel} = 57$

$u^*_d = o50y$

$\text{lab}^*icu^*_e$

ORS19_96a; adaptierte CIELAB-Daten							
u^*_d	$L^*=L^*_a$	a^*_a	b^*_a	$C^*_{ab,a}$	$h^*_{ab,a}$	u^*_e	
o00y	48.75	65.07	39.43	76.08	31	r08j	
o25y	59.04	46.67	51.1	69.21	48	r33j	
o50y	68.32	30.09	61.62	68.58	64	r57j	
o75y	78.23	12.39	72.85	73.9	80	r81j	
y00l	90.92	-10.29	87.24	87.85	97	j06g	
y25l	78.57	-28.11	65.75	71.51	113	j29g	
y50l	69.46	-41.25	49.92	64.75	130	j53g	
y75l	61.32	-52.99	35.76	63.92	146	j76g	
l00c	52.69	-65.44	20.75	68.65	162	g00b	
l50c	56.55	-45.12	-16.57	48.07	200	g34b	
c00v	59.61	-28.98	-46.22	54.56	238	g69b	
c50v	43.33	-1.54	-45.13	45.16	268	g96b	
v00m	28.39	23.63	-44.13	50.06	298	b23r	
v50m	36.9	43.84	-30.24	53.26	325	b47r	
m00o	49.58	73.93	-9.56	74.55	353	b71r	
m50o	49.17	69.55	14.68	71.08	12	b88r	



Ein und Ausgabe: Farbmatisches Drucker-Reflektiv-System ORS19_96a für relativen CIELAB-Bunton $h^* = lab^*h^* = h_{ab}/360 = 0.223$

$u^*_d = 0.75y$

Daten für jede Farbe:

lab^*ch^* und lab^*icu^*

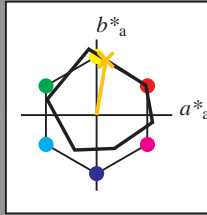
Buntontexte:

$u^*_d = 0.75y$ $u^*_e = r81j$

Kontrastreduzierungsfaktor:

$c_R = 1.0$

Dreiecks-Helligkeit t^*



ORS19_96a; adaptierte CIELAB-Daten

u^*_d	$L^*=L^*_a$	a^*_a	b^*_a	$C^*_{ab,a}$	$h^*_{ab,a}$
O _{Ma}	48.75	65.07	39.43	76.08	31
Y _{Ma}	90.92	-10.29	87.24	87.85	97
L _{Ma}	52.69	-65.44	20.75	68.65	162
C _{Ma}	59.61	-28.98	-46.22	54.56	238
V _{Ma}	28.39	23.63	-44.13	50.06	298
M _{Ma}	49.58	73.93	-9.56	74.55	353
N _{Ma}	18.89	0.0	0.0	0.0	0
W _{Ma}	96.9	0.0	0.0	0.0	0
O _{Ma}	39.92	58.74	27.99	65.07	25
Y _{Ma}	81.26	-2.89	71.56	71.62	92
L _{Ma}	52.23	-42.42	13.6	44.55	162
V _{Ma}	30.57	1.41	-46.47	46.49	272

Daten für Maximalfarbe (Ma):

$LAB^*LAB^*_{Ma}$: 78 12 73

$LAB^*LCH^*_{Ma}$: 78 74 80

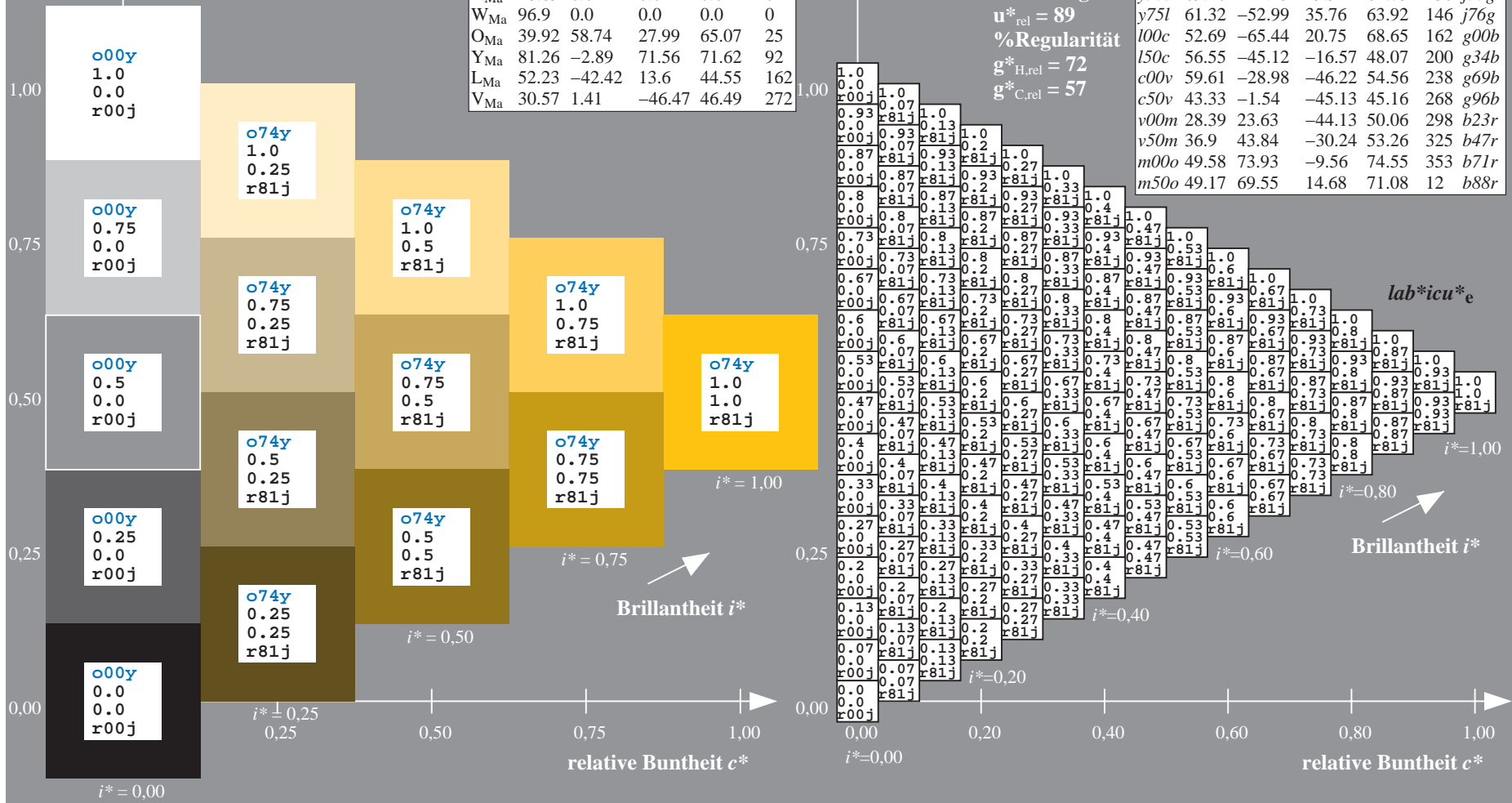
$lab^*olv^*_{Ma}$: 1.0 0.75 0.0

$lab^*rgb^*_{Ma}$: 1.0 0.82 0.0

Dreiecks-Helligkeit t^*

ORS19_96a; adaptierte CIELAB-Daten

u^*_d	$L^*=L^*_a$	a^*_a	b^*_a	$C^*_{ab,a}$	$h^*_{ab,a}$	u^*_e
o00y	48.75	65.07	39.43	76.08	31	r08j
o25y	59.04	46.67	51.1	69.21	48	r33j
o50y	68.32	30.09	61.62	68.58	64	r57j
o75y	78.23	12.39	72.85	73.9	80	r81j
y00l	90.92	-10.29	87.24	87.85	97	j06g
y25l	78.57	-28.11	65.75	71.51	113	j29g
y50l	69.46	-41.25	49.92	64.75	130	j53g
y75l	61.32	-52.99	35.76	63.92	146	j76g
l00c	52.69	-65.44	20.75	68.65	162	g00b
l50c	56.55	-45.12	-16.57	48.07	200	g34b
c00v	59.61	-28.98	-46.22	54.56	238	g69b
c50v	43.33	-1.54	-45.13	45.16	268	g96b
v00m	28.39	23.63	-44.13	50.06	298	b23r
v50m	36.9	43.84	-30.24	53.26	325	b47r
m00o	49.58	73.93	-9.56	74.55	353	b71r
m50o	49.17	69.55	14.68	71.08	12	b88r



%Umfang
 $u^*_{rel} = 89$
 %Regularität
 $g^*_{H,rel} = 72$
 $g^*_{C,rel} = 57$

lab^*icu^*

Brillantheit i^*

Ein und Ausgabe: Farbmatisches Drucker-Reflektiv-System ORS19_96a für relativen CIELAB-Bunton $h^* = \text{lab}^*h^* = h_{ab}/360 = 0.269$

Daten für jede Farbe:

lab^*tch^* und lab^*icu^*

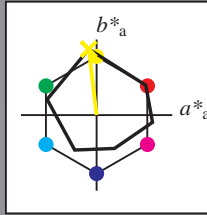
Buntontexte:

$u^*_d = y00l$ $u^*_e = j06g$

Kontrastreduzierungsfaktor:

$c_R = 1.0$

Dreiecks-Helligkeit t^*



ORS19_96a; adaptierte CIELAB-Daten						
u^*_d	$L^*=L^*_a$	a^*_a	b^*_a	$C^*_{ab,a}$	$h^*_{ab,a}$	
O _{Ma}	48.75	65.07	39.43	76.08	31	
Y _{Ma}	90.92	-10.29	87.24	87.85	97	
L _{Ma}	52.69	-65.44	20.75	68.65	162	
C _{Ma}	59.61	-28.98	-46.22	54.56	238	
V _{Ma}	28.39	23.63	-44.13	50.06	298	
M _{Ma}	49.58	73.93	-9.56	74.55	353	
N _{Ma}	18.89	0.0	0.0	0.0	0	
W _{Ma}	96.9	0.0	0.0	0.0	0	
O _{Ma}	39.92	58.74	27.99	65.07	25	
Y _{Ma}	81.26	-2.89	71.56	71.62	92	
L _{Ma}	52.23	-42.42	13.6	44.55	162	
V _{Ma}	30.57	1.41	-46.47	46.49	272	

Daten für Maximalfarbe (Ma):

$\text{LAB}^*\text{LAB}^*_{Ma}: 91 -10 87$

$\text{LAB}^*\text{LCH}^*_{Ma}: 91 88 96$

$\text{lab}^*\text{olv}^*_{Ma}: 1.0 1.0 0.0$

$\text{lab}^*\text{rgb}^*_{Ma}: 0.94 1.0 0.0$

Dreiecks-Helligkeit t^*

%Umfang

$u^*_{rel} = 89$

%Regularität

$g^*_{H,rel} = 72$

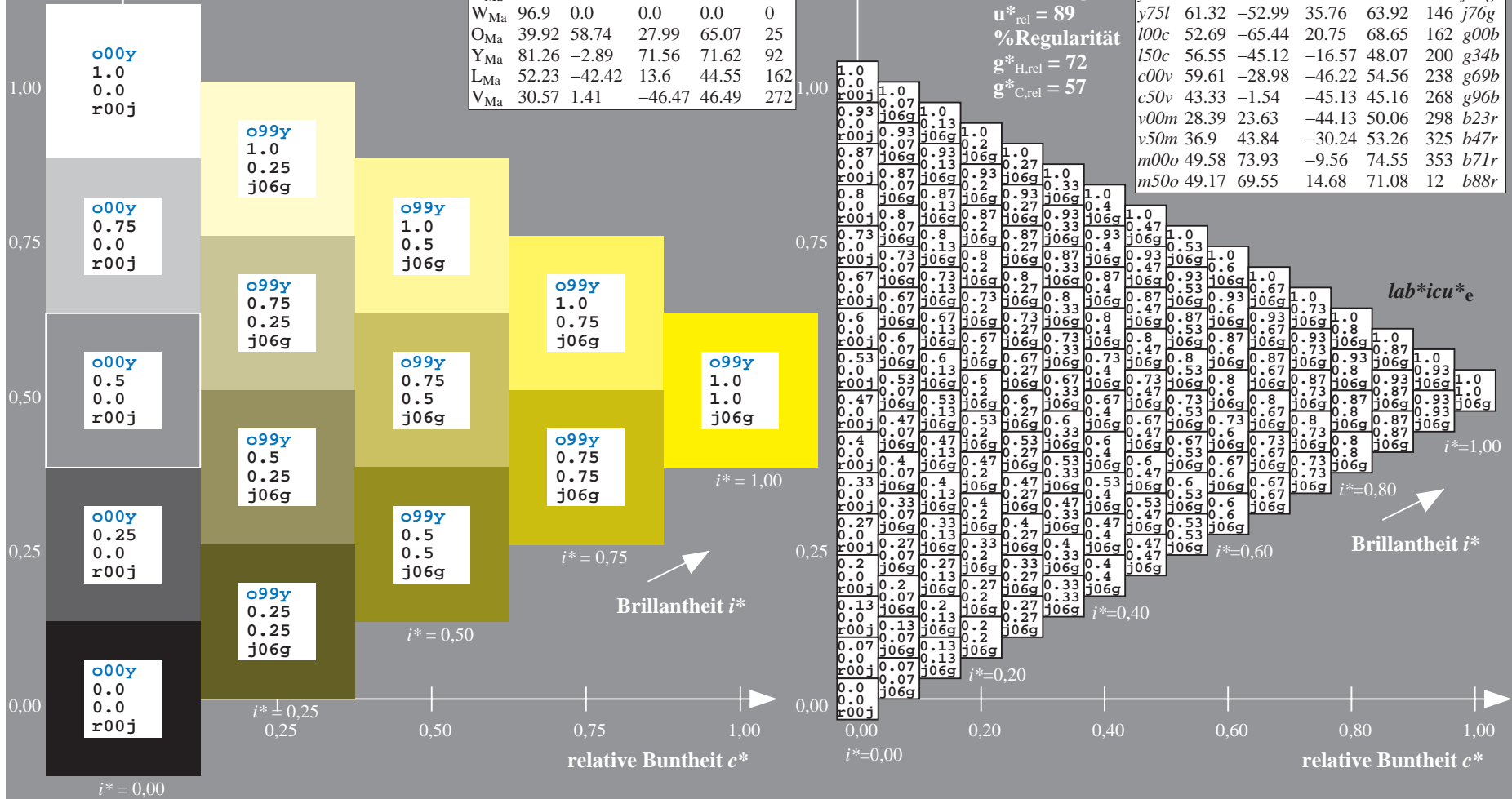
$g^*_{C,rel} = 57$

$u^*_d = y00l$

$\text{lab}^*icu^*_e$

ORS19_96a; adaptierte CIELAB-Daten

u^*_d	$L^*=L^*_a$	a^*_a	b^*_a	$C^*_{ab,a}$	$h^*_{ab,a}$	u^*_e
o00y	48.75	65.07	39.43	76.08	31	r08j
o25y	59.04	46.67	51.1	69.21	48	r33j
o50y	68.32	30.09	61.62	68.58	64	r57j
o75y	78.23	12.39	72.85	73.9	80	r81j
y00l	90.92	-10.29	87.24	87.85	97	j06g
y25l	78.57	-28.11	65.75	71.51	113	j29g
y50l	69.46	-41.25	49.92	64.75	130	j53g
y75l	61.32	-52.99	35.76	63.92	146	j76g
l00c	52.69	-65.44	20.75	68.65	162	g00b
l50c	56.55	-45.12	-16.57	48.07	200	g34b
c00v	59.61	-28.98	-46.22	54.56	238	g69b
c50v	43.33	-1.54	-45.13	45.16	268	g96b
v00m	28.39	23.63	-44.13	50.06	298	b23r
v50m	36.9	43.84	-30.24	53.26	325	b47r
m00o	49.58	73.93	-9.56	74.55	353	b71r
m50o	49.17	69.55	14.68	71.08	12	b88r



Ein und Ausgabe: Farbmatisches Drucker-Refektiv-System ORS19_96a für relativen CIELAB-Bunton $h^* = \text{lab}^*h^* = h_{ab}/360 = 0.314$

Daten für jede Farbe:

lab^*tch^* und lab^*icu^*

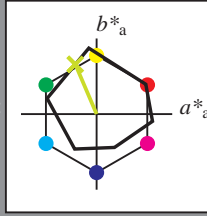
Buntontexte:

$u^*_d = y25l$ $u^*_e = j29g$

Kontrastreduzierungsfaktor:

$c_R = 1.0$

Dreiecks-Helligkeit t^*



ORS19_96a; adaptierte CIELAB-Daten

u^*_d	$L^*=L^*_a$	a^*_a	b^*_a	$C^*_{ab,a}$	$h^*_{ab,a}$
O _{Ma}	48.75	65.07	39.43	76.08	31
Y _{Ma}	90.92	-10.29	87.24	87.85	97
L _{Ma}	52.69	-65.44	20.75	68.65	162
C _{Ma}	59.61	-28.98	-46.22	54.56	238
V _{Ma}	28.39	23.63	-44.13	50.06	298
M _{Ma}	49.58	73.93	-9.56	74.55	353
N _{Ma}	18.89	0.0	0.0	0.0	0
W _{Ma}	96.9	0.0	0.0	0.0	0
O _{Ma}	39.92	58.74	27.99	65.07	25
Y _{Ma}	81.26	-2.89	71.56	71.62	92
L _{Ma}	52.23	-42.42	13.6	44.55	162
V _{Ma}	30.57	1.41	-46.47	46.49	272

Daten für Maximalfarbe (Ma):

$\text{LAB}^*\text{LAB}^*_{Ma}: 79 -28 66$

$\text{LAB}^*\text{LCH}^*_{Ma}: 79 72 113$

$\text{lab}^*\text{olv}^*_{Ma}: 0.75 1.0 0.0$

$\text{lab}^*\text{rgb}^*_{Ma}: 0.7 1.0 0.0$

Dreiecks-Helligkeit t^*

%Umfang

$u^*_{rel} = 89$

%Regularität

$g^*_{H,rel} = 72$

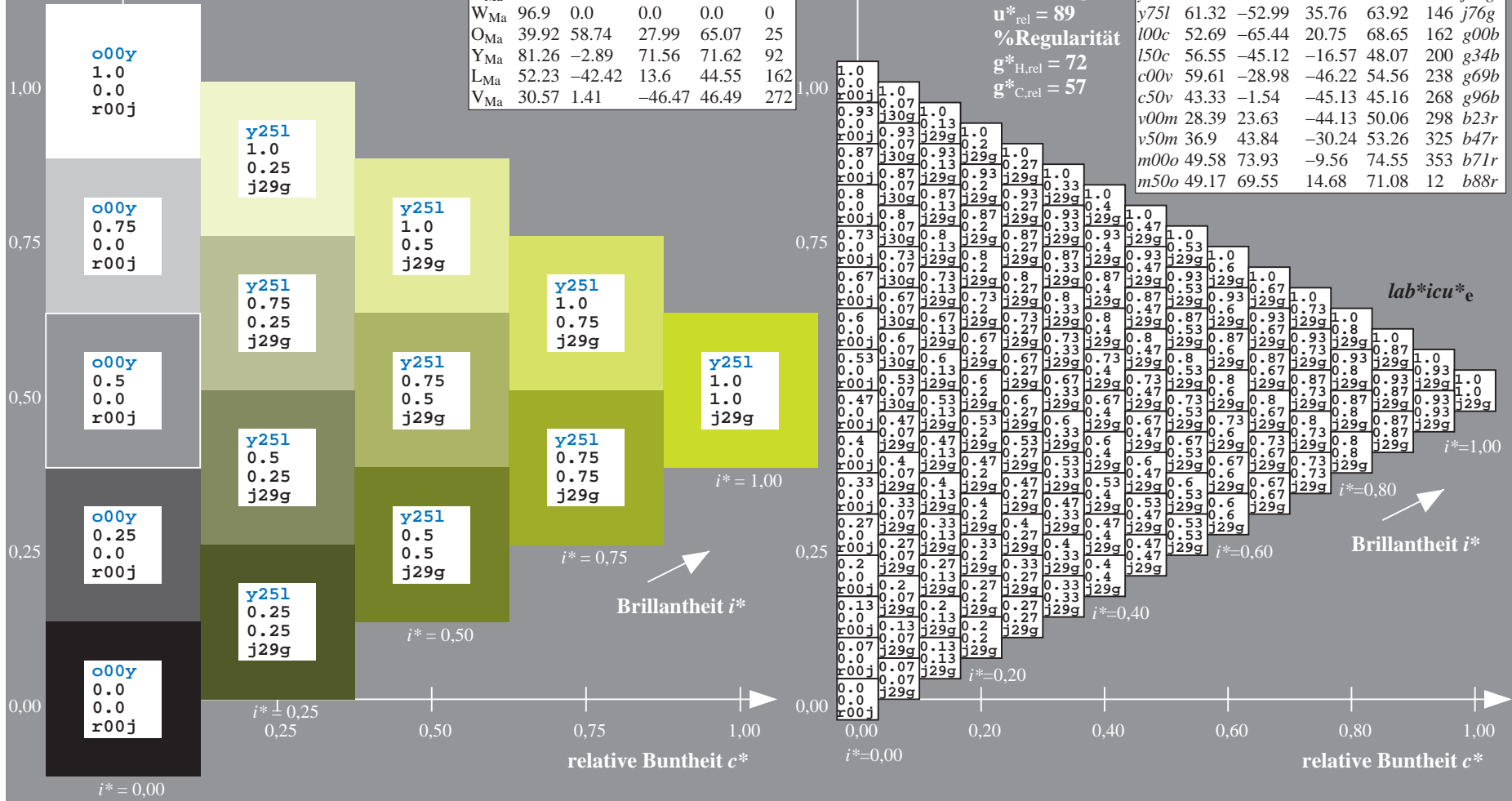
$g^*_{C,rel} = 57$

$u^*_d = y25l$

$\text{lab}^*icu^*_e$

ORS19_96a; adaptierte CIELAB-Daten

u^*_d	$L^*=L^*_a$	a^*_a	b^*_a	$C^*_{ab,a}$	$h^*_{ab,a}$	u^*_e
o00y	48.75	65.07	39.43	76.08	31	r08j
o25y	59.04	46.67	51.1	69.21	48	r33j
o50y	68.32	30.09	61.62	68.58	64	r57j
o75y	78.23	12.39	72.85	73.9	80	r81j
y00l	90.92	-10.29	87.24	87.85	97	j06g
y25l	78.57	-28.11	65.75	71.51	113	j29g
y50l	69.46	-41.25	49.92	64.75	130	j53g
y75l	61.32	-52.99	35.76	63.92	146	j76g
l00c	52.69	-65.44	20.75	68.65	162	g00b
l50c	56.55	-45.12	-16.57	48.07	200	g34b
c00v	59.61	-28.98	-46.22	54.56	238	g69b
c50v	43.33	-1.54	-45.13	45.16	268	g96b
v00m	28.39	23.63	-44.13	50.06	298	b23r
v50m	36.9	43.84	-30.24	53.26	325	b47r
m00o	49.58	73.93	-9.56	74.55	353	b71r
m50o	49.17	69.55	14.68	71.08	12	b88r



Ein und Ausgabe: Farbmatisches Drucker-Reflektiv-System ORS19_96a für relativen CIELAB-Bunton $h^* = \text{lab}^*h^* = h_{ab}/360 = 0.36$

Daten für jede Farbe:

lab^*tch^* und lab^*icu^*

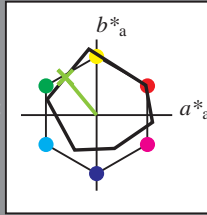
Buntontexte:

$u^*_d = y50l$ $u^*_e = j53g$

Kontrastreduzierungsfaktor:

$c_R = 1.0$

Dreiecks-Helligkeit t^*



ORS19_96a; adaptierte CIELAB-Daten

u^*_d	$L^*=L^*_a$	a^*_a	b^*_a	$C^*_{ab,a}$	$h^*_{ab,a}$
O _{Ma}	48.75	65.07	39.43	76.08	31
Y _{Ma}	90.92	-10.29	87.24	87.85	97
L _{Ma}	52.69	-65.44	20.75	68.65	162
C _{Ma}	59.61	-28.98	-46.22	54.56	238
V _{Ma}	28.39	23.63	-44.13	50.06	298
M _{Ma}	49.58	73.93	-9.56	74.55	353
N _{Ma}	18.89	0.0	0.0	0.0	0
W _{Ma}	96.9	0.0	0.0	0.0	0
O _{Ma}	39.92	58.74	27.99	65.07	25
Y _{Ma}	81.26	-2.89	71.56	71.62	92
L _{Ma}	52.23	-42.42	13.6	44.55	162
V _{Ma}	30.57	1.41	-46.47	46.49	272

Daten für Maximalfarbe (Ma):

$\text{LAB}^*\text{LAB}^*_{Ma}: 69 -41 50$

$\text{LAB}^*\text{LCH}^*_{Ma}: 69 65 129$

$\text{lab}^*\text{olv}^*_{Ma}: 0.5 1.0 0.0$

$\text{lab}^*\text{rgb}^*_{Ma}: 0.47 1.0 0.0$

Dreiecks-Helligkeit t^*

%Umfang

$u^*_{rel} = 89$

%Regularität

$g^*_{H,rel} = 72$

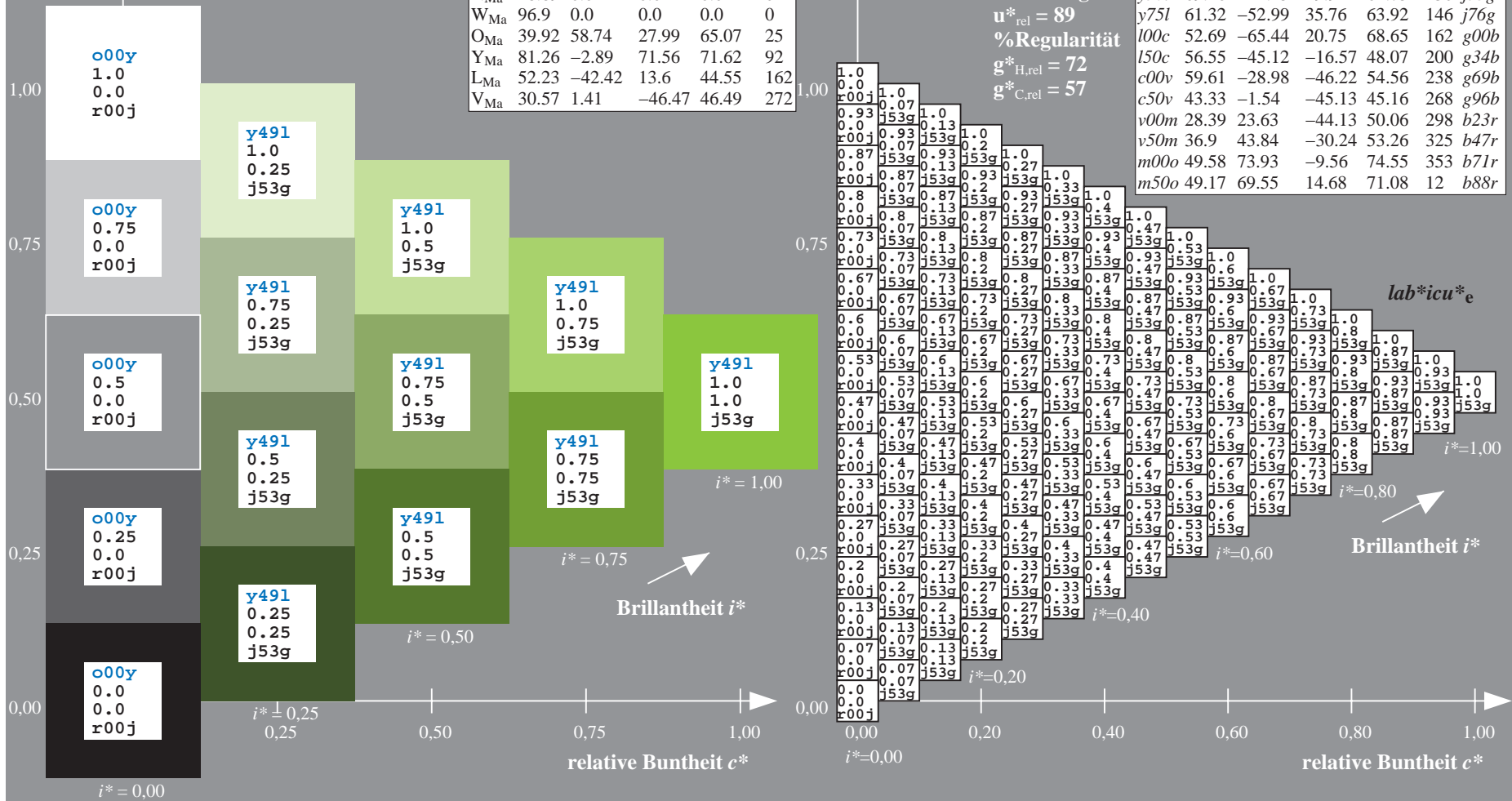
$g^*_{C,rel} = 57$

$u^*_d = y50l$

$\text{lab}^*icu^*_e$

ORS19_96a; adaptierte CIELAB-Daten

u^*_d	$L^*=L^*_a$	a^*_a	b^*_a	$C^*_{ab,a}$	$h^*_{ab,a}$	u^*_e
o00y	48.75	65.07	39.43	76.08	31	r08j
o25y	59.04	46.67	51.1	69.21	48	r33j
o50y	68.32	30.09	61.62	68.58	64	r57j
o75y	78.23	12.39	72.85	73.9	80	r81j
y00l	90.92	-10.29	87.24	87.85	97	j06g
y25l	78.57	-28.11	65.75	71.51	113	j29g
y50l	69.46	-41.25	49.92	64.75	130	j53g
y75l	61.32	-52.99	35.76	63.92	146	j76g
l00c	52.69	-65.44	20.75	68.65	162	g00b
l50c	56.55	-45.12	-16.57	48.07	200	g34b
c00v	59.61	-28.98	-46.22	54.56	238	g69b
c50v	43.33	-1.54	-45.13	45.16	268	g96b
v00m	28.39	23.63	-44.13	50.06	298	b23r
v50m	36.9	43.84	-30.24	53.26	325	b47r
m00o	49.58	73.93	-9.56	74.55	353	b71r
m50o	49.17	69.55	14.68	71.08	12	b88r



Ein und Ausgabe: Farbmatisches Drucker-Reflektiv-System ORS19_96a für relativen CIELAB-Bunton $h^* = \text{lab}^*h^* = h_{ab}/360 = 0.406$

$u^*_d = y75l$

Daten für jede Farbe:

lab^*tch^* und lab^*icu^*

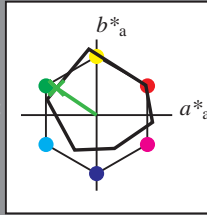
Buntontexte:

$u^*_d = y75l$ $u^*_e = j76g$

Kontrastreduzierungsfaktor:

$c_R = 1.0$

Dreiecks-Helligkeit t^*



ORS19_96a; adaptierte CIELAB-Daten

	u^*_d	$L^*=L^*_a$	a^*_a	b^*_a	$C^*_{ab,a}$	$h^*_{ab,a}$
O _{Ma}	48.75	65.07	39.43	76.08	31	
Y _{Ma}	90.92	-10.29	87.24	87.85	97	
L _{Ma}	52.69	-65.44	20.75	68.65	162	
C _{Ma}	59.61	-28.98	-46.22	54.56	238	
V _{Ma}	28.39	23.63	-44.13	50.06	298	
M _{Ma}	49.58	73.93	-9.56	74.55	353	
N _{Ma}	18.89	0.0	0.0	0.0	0	
W _{Ma}	96.9	0.0	0.0	0.0	0	
O _{Ma}	39.92	58.74	27.99	65.07	25	
Y _{Ma}	81.26	-2.89	71.56	71.62	92	
L _{Ma}	52.23	-42.42	13.6	44.55	162	
V _{Ma}	30.57	1.41	-46.47	46.49	272	

Daten für Maximalfarbe (Ma):

$\text{LAB}^*\text{LAB}^*_{Ma}: 61 -53 36$

$\text{LAB}^*\text{LCH}^*_{Ma}: 61 64 145$

$\text{lab}^*\text{olv}^*_{Ma}: 0.25 1.0 0.0$

$\text{lab}^*\text{rgb}^*_{Ma}: 0.23 1.0 0.0$

Dreiecks-Helligkeit t^*

%Umfang

$u^*_{rel} = 89$

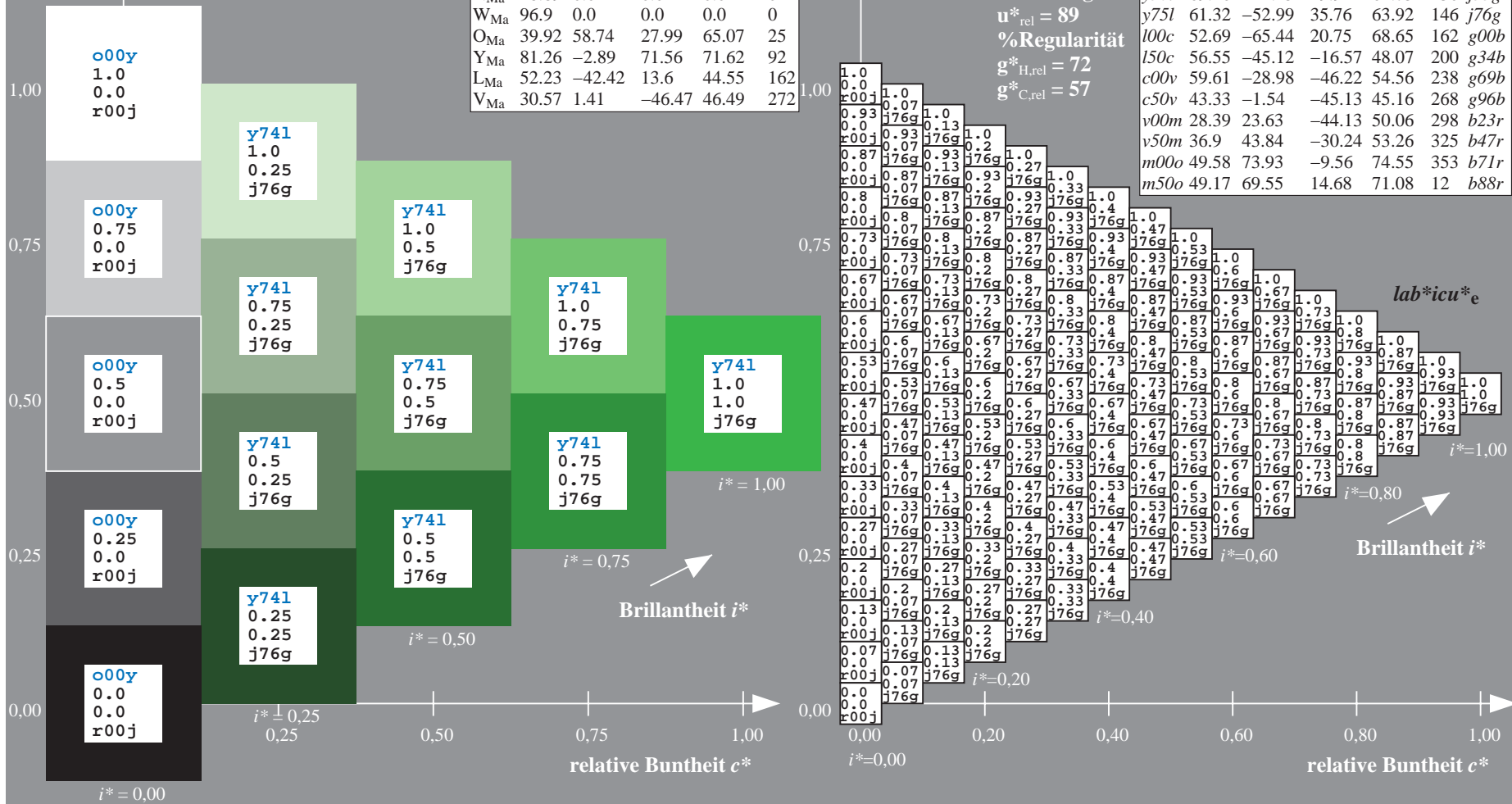
%Regularität

$g^*_{H,rel} = 72$

$g^*_{C,rel} = 57$

ORS19_96a; adaptierte CIELAB-Daten

	u^*_d	$L^*=L^*_a$	a^*_a	b^*_a	$C^*_{ab,a}$	$h^*_{ab,a}$	u^*_e
o00y	48.75	65.07	39.43	76.08	31		r08j
o25y	59.04	46.67	51.1	69.21	48		r33j
o50y	68.32	30.09	61.62	68.58	64		r57j
o75y	78.23	12.39	72.85	73.9	80		r81j
y00l	90.92	-10.29	87.24	87.85	97		j06g
y25l	78.57	-28.11	65.75	71.51	113		j29g
y50l	69.46	-41.25	49.92	64.75	130		j53g
y75l	61.32	-52.99	35.76	63.92	146		j76g
l00c	52.69	-65.44	20.75	68.65	162		g00b
l50c	56.55	-45.12	-16.57	48.07	200		g34b
c00v	59.61	-28.98	-46.22	54.56	238		g69b
c50v	43.33	-1.54	-45.13	45.16	268		g96b
v00m	28.39	23.63	-44.13	50.06	298		b23r
v50m	36.9	43.84	-30.24	53.26	325		b47r
m00o	49.58	73.93	-9.56	74.55	353		b71r
m50o	49.17	69.55	14.68	71.08	12		b88r



Ein und Ausgabe: Farbmatisches Drucker-Reflektiv-System ORS19_96a für relativen CIELAB-Bunton $h^* = \text{lab}^*h^* = h_{ab}/360 = 0.451$

$u^*_d = 100c$

Daten für jede Farbe:

lab^*tch^* und lab^*icu^*

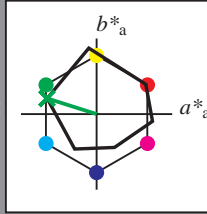
Buntontexte:

$u^*_d = 100c$ $u^*_e = g00b$

Kontrastreduzierungsfaktor:

$c_R = 1.0$

Dreiecks-Helligkeit t^*



ORS19_96a; adaptierte CIELAB-Daten

u^*_d	$L^*=L^*_a$	a^*_a	b^*_a	$C^*_{ab,a}$	$h^*_{ab,a}$
O _{Ma}	48.75	65.07	39.43	76.08	31
Y _{Ma}	90.92	-10.29	87.24	87.85	97
L _{Ma}	52.69	-65.44	20.75	68.65	162
C _{Ma}	59.61	-28.98	-46.22	54.56	238
V _{Ma}	28.39	23.63	-44.13	50.06	298
M _{Ma}	49.58	73.93	-9.56	74.55	353
N _{Ma}	18.89	0.0	0.0	0.0	0
W _{Ma}	96.9	0.0	0.0	0.0	0
O _{Ma}	39.92	58.74	27.99	65.07	25
Y _{Ma}	81.26	-2.89	71.56	71.62	92
L _{Ma}	52.23	-42.42	13.6	44.55	162
V _{Ma}	30.57	1.41	-46.47	46.49	272

Daten für Maximalfarbe (Ma):

$\text{LAB}^*\text{LAB}^*_{Ma}: 53 -65 21$

$\text{LAB}^*\text{LCH}^*_{Ma}: 53 69 162$

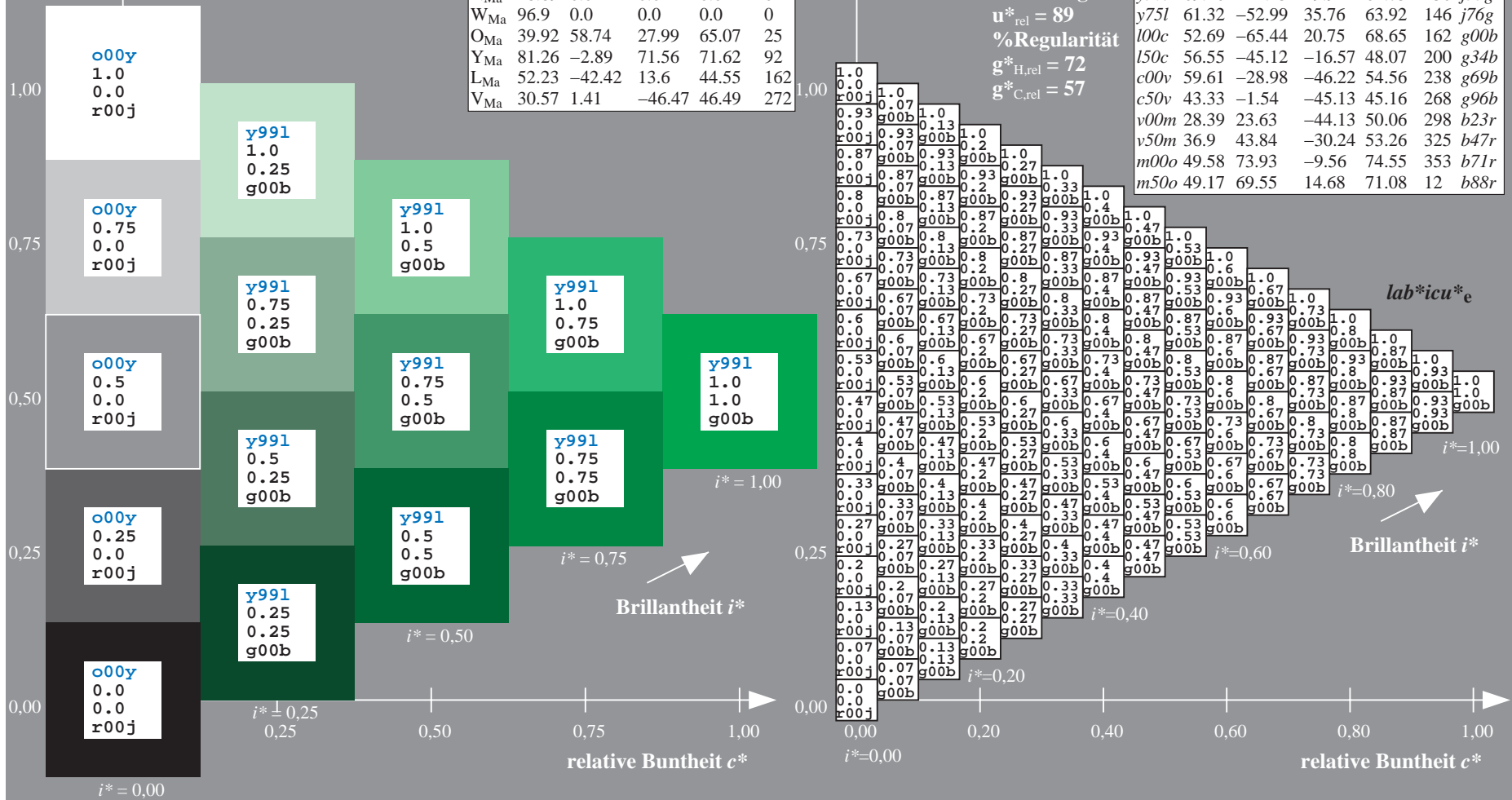
$\text{lab}^*\text{olv}^*_{Ma}: 0.0 1.0 0.0$

$\text{lab}^*\text{rgb}^*_{Ma}: 0.0 1.0 0.0$

Dreiecks-Helligkeit t^*

ORS19_96a; adaptierte CIELAB-Daten

u^*_d	$L^*=L^*_a$	a^*_a	b^*_a	$C^*_{ab,a}$	$h^*_{ab,a}$	u^*_e
o00y	48.75	65.07	39.43	76.08	31	r08j
o25y	59.04	46.67	51.1	69.21	48	r33j
o50y	68.32	30.09	61.62	68.58	64	r57j
o75y	78.23	12.39	72.85	73.9	80	r81j
y00l	90.92	-10.29	87.24	87.85	97	j06g
y25l	78.57	-28.11	65.75	71.51	113	j29g
y50l	69.46	-41.25	49.92	64.75	130	j53g
y75l	61.32	-52.99	35.76	63.92	146	j76g
l00c	52.69	-65.44	20.75	68.65	162	g00b
l50c	56.55	-45.12	-16.57	48.07	200	g34b
c00v	59.61	-28.98	-46.22	54.56	238	g69b
c50v	43.33	-1.54	-45.13	45.16	268	g96b
v00m	28.39	23.63	-44.13	50.06	298	b23r
v50m	36.9	43.84	-30.24	53.26	325	b47r
m00o	49.58	73.93	-9.56	74.55	353	b71r
m50o	49.17	69.55	14.68	71.08	12	b88r



%Umfang
 $u^*_{rel} = 89$
 %Regularität
 $g^*_{H,rel} = 72$
 $g^*_{C,rel} = 57$

lab^*icu^*

Brillantheit i^*

$i^* = 1.00$

$i^* = 0.80$

$i^* = 0.60$

$i^* = 0.40$

$i^* = 0.20$

$i^* = 0.00$

Ein und Ausgabe: Farbmatisches Drucker-Reflektiv-System ORS19_96a für relativen CIELAB-Bunton $h^* = lab^*h^* = h_{ab}/360 = 0.556$

$u^*_d = 150c$

Daten für jede Farbe:

lab^*ch^* und lab^*icu^*

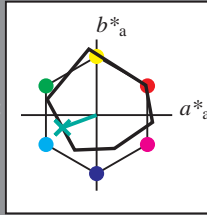
Buntontexte:

$u^*_d = 150c$ $u^*_e = g34b$

Kontrastreduzierungsfaktor:

$c_R = 1.0$

Dreiecks-Helligkeit t^*



ORS19_96a; adaptierte CIELAB-Daten

u^*_d	$L^*=L^*_a$	a^*_a	b^*_a	$C^*_{ab,a}$	$h^*_{ab,a}$
O _{Ma}	48.75	65.07	39.43	76.08	31
Y _{Ma}	90.92	-10.29	87.24	87.85	97
L _{Ma}	52.69	-65.44	20.75	68.65	162
C _{Ma}	59.61	-28.98	-46.22	54.56	238
V _{Ma}	28.39	23.63	-44.13	50.06	298
M _{Ma}	49.58	73.93	-9.56	74.55	353
N _{Ma}	18.89	0.0	0.0	0.0	0
W _{Ma}	96.9	0.0	0.0	0.0	0
O _{Ma}	39.92	58.74	27.99	65.07	25
Y _{Ma}	81.26	-2.89	71.56	71.62	92
L _{Ma}	52.23	-42.42	13.6	44.55	162
V _{Ma}	30.57	1.41	-46.47	46.49	272

Daten für Maximalfarbe (Ma):

$LAB^*LAB^*_{Ma}: 57 -45 -17$

$LAB^*LCH^*_{Ma}: 57 48 200$

$lab^*olv^*_{Ma}: 0.0 1.0 0.5$

$lab^*rgb^*_{Ma}: 0.0 1.0 0.69$

Dreiecks-Helligkeit t^*

%Umfang

$u^*_{rel} = 89$

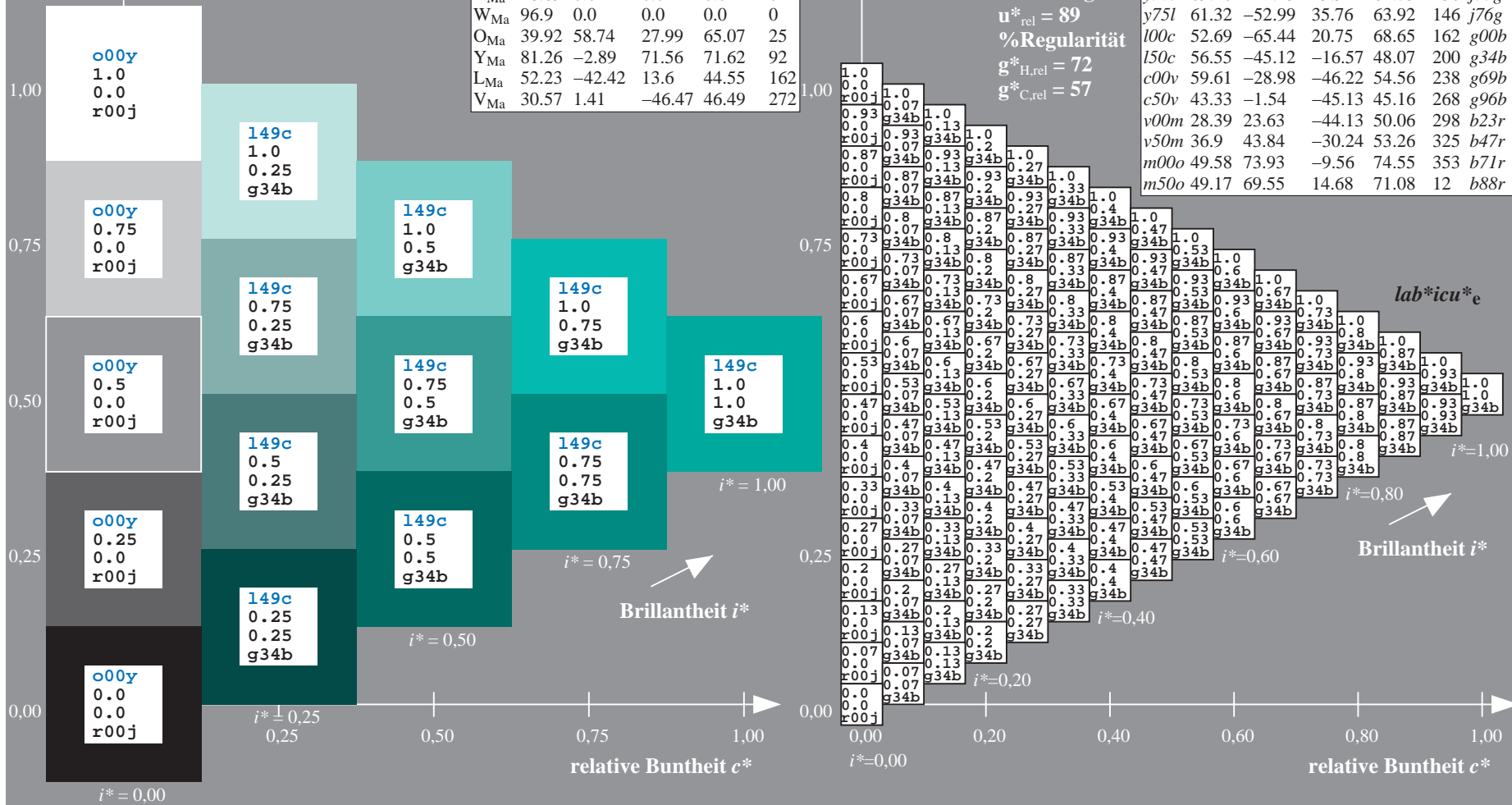
%Regularität

$g^*_{H,rel} = 72$

$g^*_{C,rel} = 57$

ORS19_96a; adaptierte CIELAB-Daten

u^*_d	$L^*=L^*_a$	a^*_a	b^*_a	$C^*_{ab,a}$	$h^*_{ab,a}$	u^*_e
o00y	48.75	65.07	39.43	76.08	31	r08j
o25y	59.04	46.67	51.1	69.21	48	r33j
o50y	68.32	30.09	61.62	68.58	64	r57j
o75y	78.23	12.39	72.85	73.9	80	r81j
y00l	90.92	-10.29	87.24	87.85	97	j06g
y25l	78.57	-28.11	65.75	71.51	113	j29g
y50l	69.46	-41.25	49.92	64.75	130	j53g
y75l	61.32	-52.99	35.76	63.92	146	j76g
l00c	52.69	-65.44	20.75	68.65	162	g00b
l50c	56.55	-45.12	-16.57	48.07	200	g34b
c00v	59.61	-28.98	-46.22	54.56	238	g69b
c50v	43.33	-1.54	-45.13	45.16	268	g96b
v00m	28.39	23.63	-44.13	50.06	298	b23r
v50m	36.9	43.84	-30.24	53.26	325	b47r
m00o	49.58	73.93	-9.56	74.55	353	b71r
m50o	49.17	69.55	14.68	71.08	12	b88r



Ein und Ausgabe: Farbmatisches Drucker-Reflektiv-System ORS19_96a für relativen CIELAB-Bunton $h^* = lab^*h^* = h_{ab}/360 = 0.661$

$u^*_d = c00v$
 $lab^*icu^*_e$

Daten für jede Farbe:

lab^*ch^* und lab^*icu^*

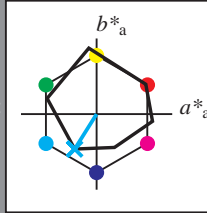
Buntontexte:

$u^*_d = c00v$ $u^*_e = g69b$

Kontrastreduzierungsfaktor:

$c_R = 1.0$

Dreiecks-Helligkeit t^*



ORS19_96a; adaptierte CIELAB-Daten

u^*_d	$L^*=L^*_a$	a^*_a	b^*_a	$C^*_{ab,a}$	$h^*_{ab,a}$
O _{Ma}	48.75	65.07	39.43	76.08	31
Y _{Ma}	90.92	-10.29	87.24	87.85	97
L _{Ma}	52.69	-65.44	20.75	68.65	162
C _{Ma}	59.61	-28.98	-46.22	54.56	238
V _{Ma}	28.39	23.63	-44.13	50.06	298
M _{Ma}	49.58	73.93	-9.56	74.55	353
N _{Ma}	18.89	0.0	0.0	0.0	0
W _{Ma}	96.9	0.0	0.0	0.0	0
O _{Ma}	39.92	58.74	27.99	65.07	25
Y _{Ma}	81.26	-2.89	71.56	71.62	92
L _{Ma}	52.23	-42.42	13.6	44.55	162
V _{Ma}	30.57	1.41	-46.47	46.49	272

Daten für Maximalfarbe (Ma):

$LAB^*LAB^*_{Ma}$: 60 -29 -46

$LAB^*LCH^*_{Ma}$: 60 55 237

$lab^*olv^*_{Ma}$: 0.0 1.0 1.0

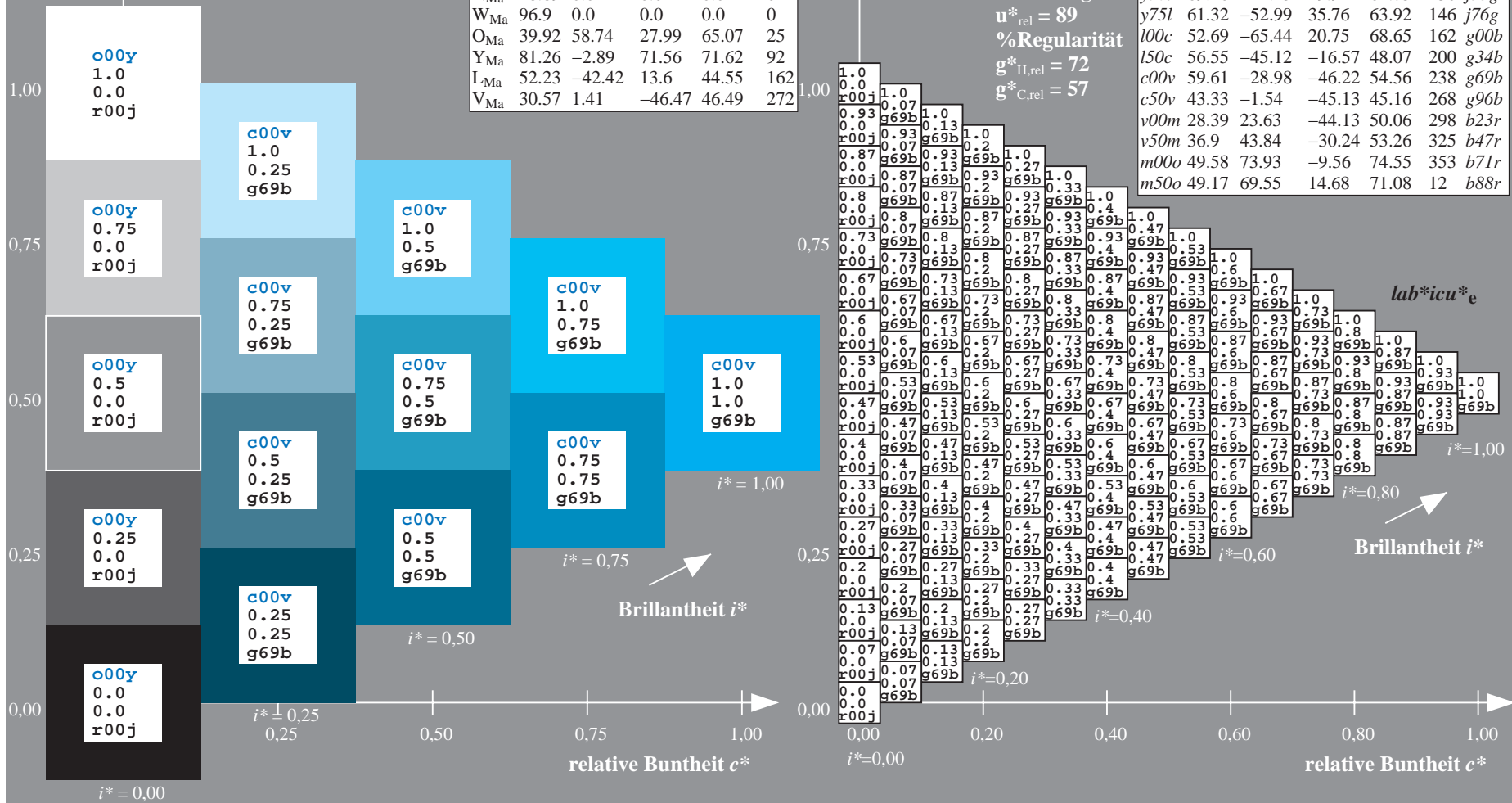
$lab^*rgb^*_{Ma}$: 0.0 0.62 1.0

Dreiecks-Helligkeit t^*

%Umfang
 $u^*_{rel} = 89$
%Regularität
 $g^*_{H,rel} = 72$
 $g^*_{C,rel} = 57$

ORS19_96a; adaptierte CIELAB-Daten

u^*_d	$L^*=L^*_a$	a^*_a	b^*_a	$C^*_{ab,a}$	$h^*_{ab,a}$	u^*_e
o00y	48.75	65.07	39.43	76.08	31	r08j
o25y	59.04	46.67	51.1	69.21	48	r33j
o50y	68.32	30.09	61.62	68.58	64	r57j
o75y	78.23	12.39	72.85	73.9	80	r81j
y00l	90.92	-10.29	87.24	87.85	97	j06g
y25l	78.57	-28.11	65.75	71.51	113	j29g
y50l	69.46	-41.25	49.92	64.75	130	j53g
y75l	61.32	-52.99	35.76	63.92	146	j76g
l00c	52.69	-65.44	20.75	68.65	162	g00b
l50c	56.55	-45.12	-16.57	48.07	200	g34b
c00v	59.61	-28.98	-46.22	54.56	238	g69b
c50v	43.33	-1.54	-45.13	45.16	268	g96b
v00m	28.39	23.63	-44.13	50.06	298	b23r
v50m	36.9	43.84	-30.24	53.26	325	b47r
m00o	49.58	73.93	-9.56	74.55	353	b71r
m50o	49.17	69.55	14.68	71.08	12	b88r



Ein und Ausgabe: Farbmatisches Drucker-Reflektiv-System ORS19_96a für relativen CIELAB-Bunton $h^* = \text{lab}^*h^* = h_{ab}/360 = 0.745$

Daten für jede Farbe:

lab^*tch^* und lab^*icu^*

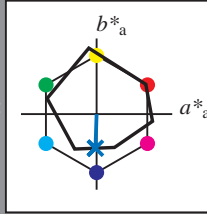
Buntontexte:

$u^*_d = c50v$ $u^*_e = g96b$

Kontrastreduzierungsfaktor:

$c_R = 1.0$

Dreiecks-Helligkeit t^*



ORS19_96a; adaptierte CIELAB-Daten

u^*_d	$L^*=L^*_a$	a^*_a	b^*_a	$C^*_{ab,a}$	$h^*_{ab,a}$
O _{Ma}	48.75	65.07	39.43	76.08	31
Y _{Ma}	90.92	-10.29	87.24	87.85	97
L _{Ma}	52.69	-65.44	20.75	68.65	162
C _{Ma}	59.61	-28.98	-46.22	54.56	238
V _{Ma}	28.39	23.63	-44.13	50.06	298
M _{Ma}	49.58	73.93	-9.56	74.55	353
N _{Ma}	18.89	0.0	0.0	0.0	0
W _{Ma}	96.9	0.0	0.0	0.0	0
O _{Ma}	39.92	58.74	27.99	65.07	25
Y _{Ma}	81.26	-2.89	71.56	71.62	92
L _{Ma}	52.23	-42.42	13.6	44.55	162
V _{Ma}	30.57	1.41	-46.47	46.49	272

Daten für Maximalfarbe (Ma):

$\text{LAB}^*\text{LAB}^*_{Ma}$: 43 -2 -45

$\text{LAB}^*\text{LCH}^*_{Ma}$: 43 45 268

$\text{lab}^*\text{olv}^*_{Ma}$: 0.0 0.5 1.0

$\text{lab}^*\text{rgb}^*_{Ma}$: 0.0 0.07 1.0

Dreiecks-Helligkeit t^*

%Umfang

$u^*_{rel} = 89$

%Regularität

$g^*_{H,rel} = 72$

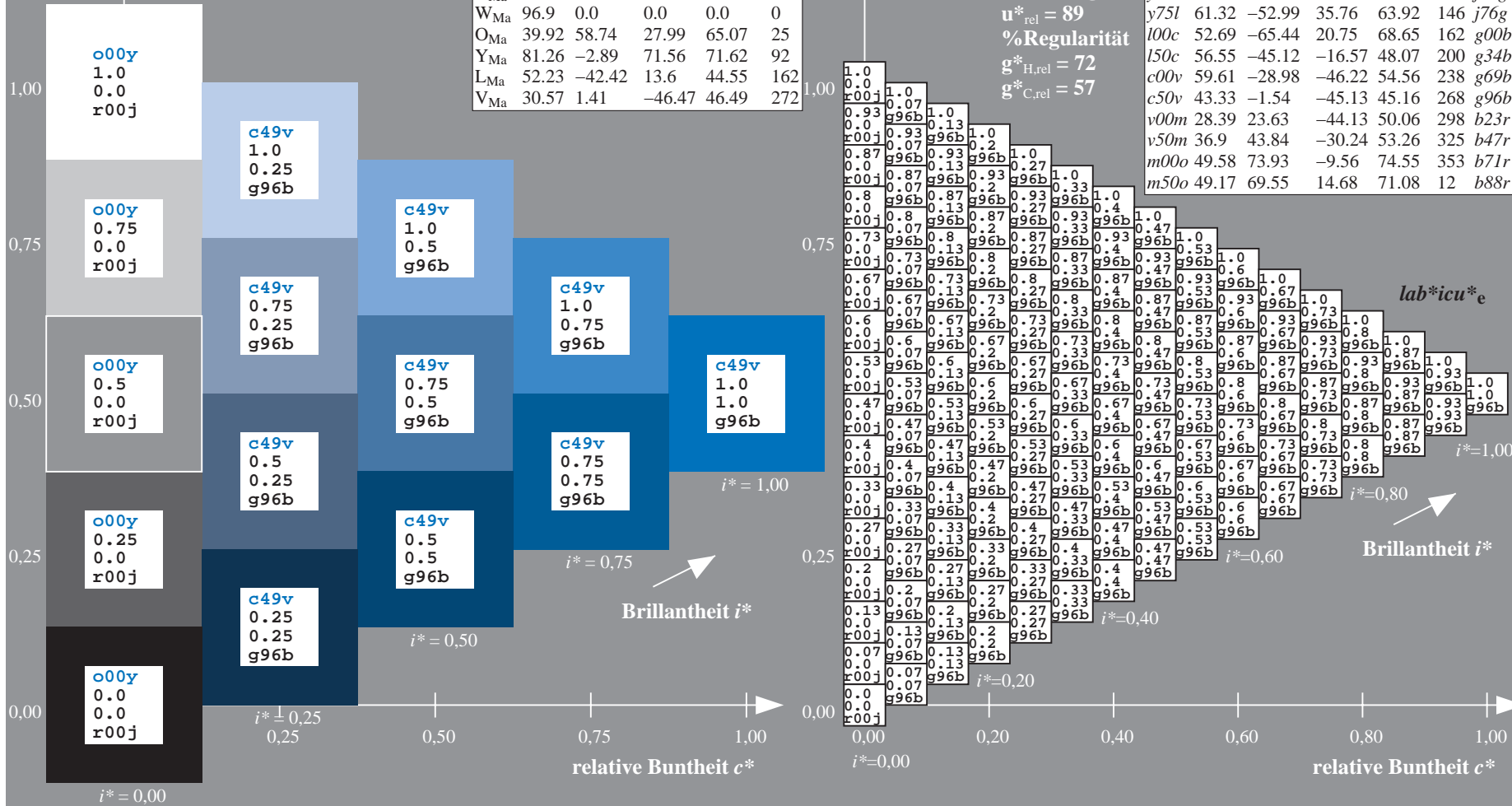
$g^*_{C,rel} = 57$

$u^*_d = c50v$

$\text{lab}^*icu^*_e$

ORS19_96a; adaptierte CIELAB-Daten

u^*_d	$L^*=L^*_a$	a^*_a	b^*_a	$C^*_{ab,a}$	$h^*_{ab,a}$	u^*_e
o00y	48.75	65.07	39.43	76.08	31	r08j
o25y	59.04	46.67	51.1	69.21	48	r33j
o50y	68.32	30.09	61.62	68.58	64	r57j
o75y	78.23	12.39	72.85	73.9	80	r81j
y00l	90.92	-10.29	87.24	87.85	97	j06g
y25l	78.57	-28.11	65.75	71.51	113	j29g
y50l	69.46	-41.25	49.92	64.75	130	j53g
y75l	61.32	-52.99	35.76	63.92	146	j76g
l00c	52.69	-65.44	20.75	68.65	162	g00b
l50c	56.55	-45.12	-16.57	48.07	200	g34b
c00v	59.61	-28.98	-46.22	54.56	238	g69b
c50v	43.33	-1.54	-45.13	45.16	268	g96b
v00m	28.39	23.63	-44.13	50.06	298	b23r
v50m	36.9	43.84	-30.24	53.26	325	b47r
m00o	49.58	73.93	-9.56	74.55	353	b71r
m50o	49.17	69.55	14.68	71.08	12	b88r



Ein und Ausgabe: Farbmatisches Drucker-Reflektiv-System ORS19_96a für relativen CIELAB-Bunton $h^* = lab^*h^* = h_{ab}/360 = 0.828$

$u^*_d = v00m$

Daten für jede Farbe:

lab^*ch^* und lab^*icu^*

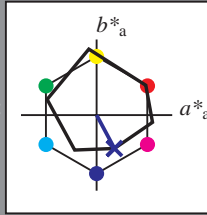
Buntontexte:

$u^*_d = v00m$ $u^*_e = b23r$

Kontrastreduzierungsfaktor:

$c_R = 1.0$

Dreiecks-Helligkeit t^*



ORS19_96a; adaptierte CIELAB-Daten

u^*_d	$L^*=L^*_a$	a^*_a	b^*_a	$C^*_{ab,a}$	$h^*_{ab,a}$
O _{Ma}	48.75	65.07	39.43	76.08	31
Y _{Ma}	90.92	-10.29	87.24	87.85	97
L _{Ma}	52.69	-65.44	20.75	68.65	162
C _{Ma}	59.61	-28.98	-46.22	54.56	238
V _{Ma}	28.39	23.63	-44.13	50.06	298
M _{Ma}	49.58	73.93	-9.56	74.55	353
N _{Ma}	18.89	0.0	0.0	0.0	0
W _{Ma}	96.9	0.0	0.0	0.0	0
O _{Ma}	39.92	58.74	27.99	65.07	25
Y _{Ma}	81.26	-2.89	71.56	71.62	92
L _{Ma}	52.23	-42.42	13.6	44.55	162
V _{Ma}	30.57	1.41	-46.47	46.49	272

Daten für Maximalfarbe (Ma):

$LAB^*LAB^*_{Ma}$: 28 24 -44

$LAB^*LCH^*_{Ma}$: 28 50 298

$lab^*olv^*_{Ma}$: 0.0 0.0 1.0

$lab^*rgb^*_{Ma}$: 0.46 0.0 1.0

Dreiecks-Helligkeit t^*

%Umfang

$u^*_{rel} = 89$

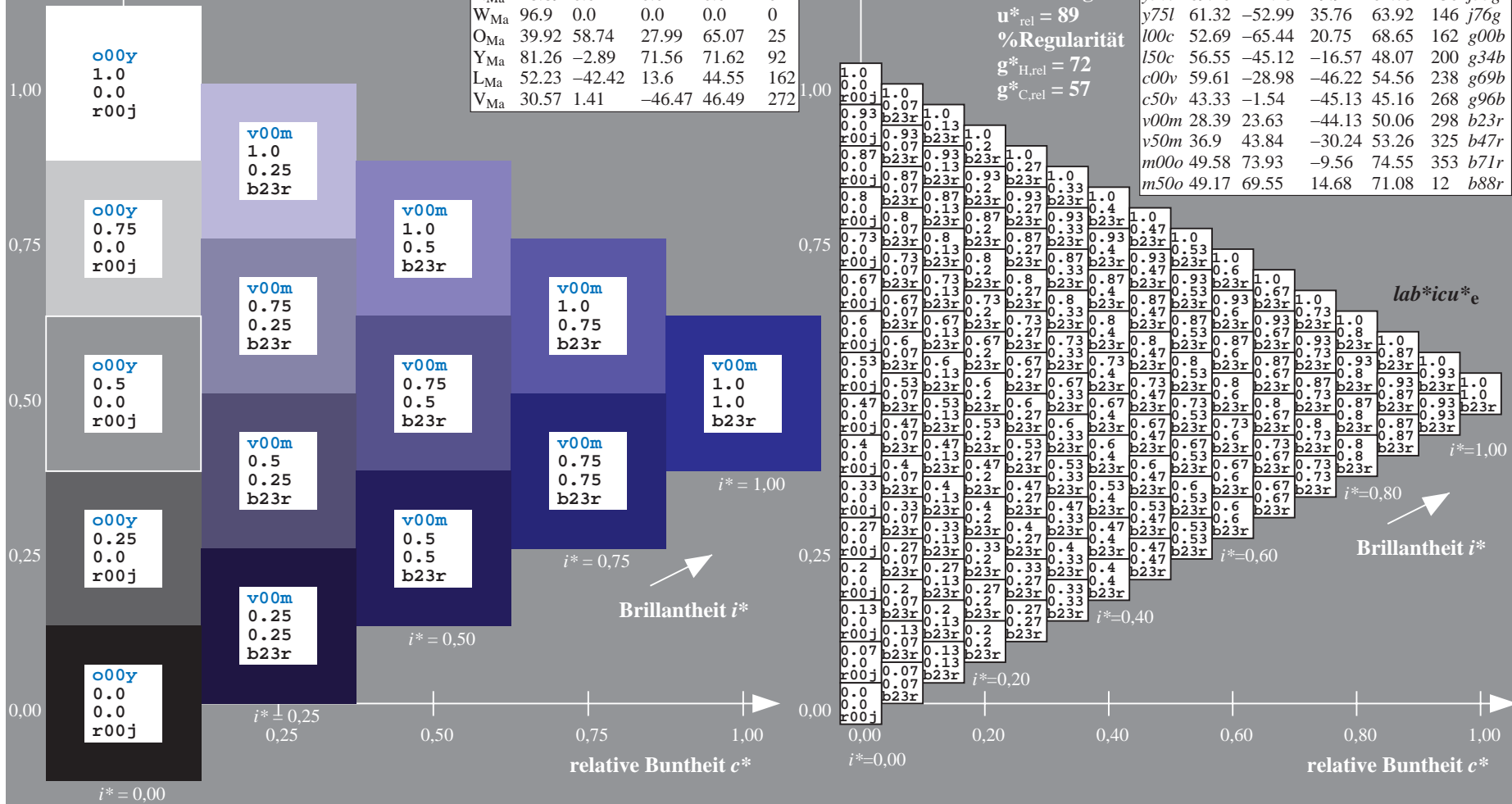
%Regularität

$g^*_{H,rel} = 72$

$g^*_{C,rel} = 57$

ORS19_96a; adaptierte CIELAB-Daten

u^*_d	$L^*=L^*_a$	a^*_a	b^*_a	$C^*_{ab,a}$	$h^*_{ab,a}$	u^*_e
o00y	48.75	65.07	39.43	76.08	31	r08j
o25y	59.04	46.67	51.1	69.21	48	r33j
o50y	68.32	30.09	61.62	68.58	64	r57j
o75y	78.23	12.39	72.85	73.9	80	r81j
y00l	90.92	-10.29	87.24	87.85	97	j06g
y25l	78.57	-28.11	65.75	71.51	113	j29g
y50l	69.46	-41.25	49.92	64.75	130	j53g
y75l	61.32	-52.99	35.76	63.92	146	j76g
l00c	52.69	-65.44	20.75	68.65	162	g00b
l50c	56.55	-45.12	-16.57	48.07	200	g34b
c00v	59.61	-28.98	-46.22	54.56	238	g69b
c50v	43.33	-1.54	-45.13	45.16	268	g96b
v00m	28.39	23.63	-44.13	50.06	298	b23r
v50m	36.9	43.84	-30.24	53.26	325	b47r
m00o	49.58	73.93	-9.56	74.55	353	b71r
m50o	49.17	69.55	14.68	71.08	12	b88r



Ein und Ausgabe: Farbmatisches Drucker-Reflektiv-System ORS19_96a für relativen CIELAB-Bunton $h^* = lab^*h^* = h_{ab}/360 = 0.904$

$u^*_d = v50m$

Daten für jede Farbe:

lab^*ch^* und lab^*icu^*

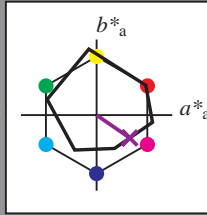
Buntontexte:

$u^*_d = v50m$ $u^*_e = b47r$

Kontrastreduzierungsfaktor:

$c_R = 1.0$

Dreiecks-Helligkeit t^*



ORS19_96a; adaptierte CIELAB-Daten

u^*_d	$L^*=L^*_a$	a^*_a	b^*_a	$C^*_{ab,a}$	$h^*_{ab,a}$
O _{Ma}	48.75	65.07	39.43	76.08	31
Y _{Ma}	90.92	-10.29	87.24	87.85	97
L _{Ma}	52.69	-65.44	20.75	68.65	162
C _{Ma}	59.61	-28.98	-46.22	54.56	238
V _{Ma}	28.39	23.63	-44.13	50.06	298
M _{Ma}	49.58	73.93	-9.56	74.55	353
N _{Ma}	18.89	0.0	0.0	0.0	0
W _{Ma}	96.9	0.0	0.0	0.0	0
O _{Ma}	39.92	58.74	27.99	65.07	25
Y _{Ma}	81.26	-2.89	71.56	71.62	92
L _{Ma}	52.23	-42.42	13.6	44.55	162
V _{Ma}	30.57	1.41	-46.47	46.49	272

Daten für Maximalfarbe (Ma):

$LAB^*LAB^*_{Ma}$: 37 44 -30

$LAB^*LCH^*_{Ma}$: 37 53 325

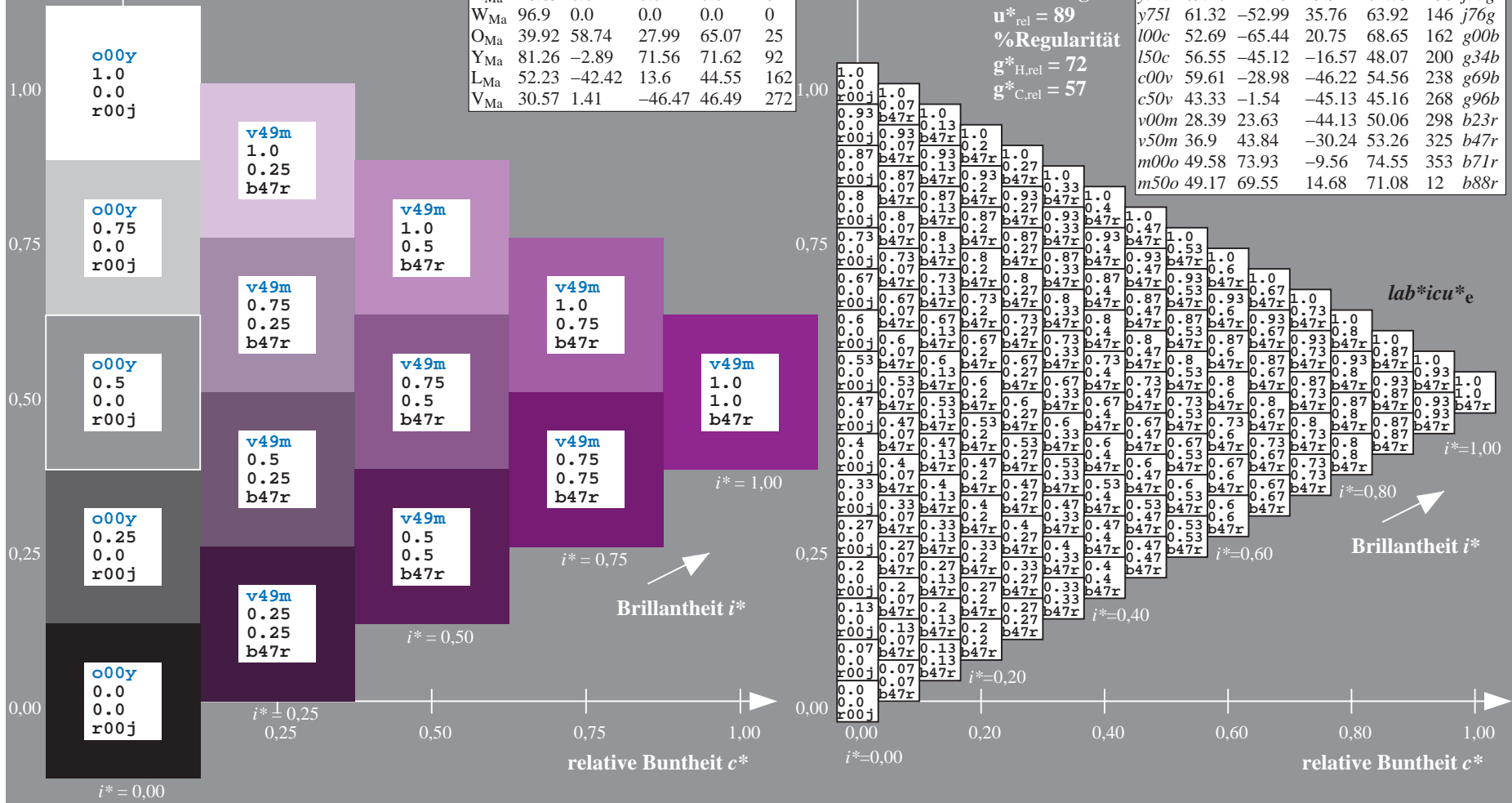
$lab^*olv^*_{Ma}$: 0.5 0.0 1.0

$lab^*rgb^*_{Ma}$: 0.94 0.0 1.0

Dreiecks-Helligkeit t^*

ORS19_96a; adaptierte CIELAB-Daten

u^*_d	$L^*=L^*_a$	a^*_a	b^*_a	$C^*_{ab,a}$	$h^*_{ab,a}$	u^*_e
o00y	48.75	65.07	39.43	76.08	31	r08j
o25y	59.04	46.67	51.1	69.21	48	r33j
o50y	68.32	30.09	61.62	68.58	64	r57j
o75y	78.23	12.39	72.85	73.9	80	r81j
y00l	90.92	-10.29	87.24	87.85	97	j06g
y25l	78.57	-28.11	65.75	71.51	113	j29g
y50l	69.46	-41.25	49.92	64.75	130	j53g
y75l	61.32	-52.99	35.76	63.92	146	j76g
l00c	52.69	-65.44	20.75	68.65	162	g00b
l50c	56.55	-45.12	-16.57	48.07	200	g34b
c00v	59.61	-28.98	-46.22	54.56	238	g69b
c50v	43.33	-1.54	-45.13	45.16	268	g96b
v00m	28.39	23.63	-44.13	50.06	298	b23r
v50m	36.9	43.84	-30.24	53.26	325	b47r
m00o	49.58	73.93	-9.56	74.55	353	b71r
m50o	49.17	69.55	14.68	71.08	12	b88r



%Umfang
 $u^*_{rel} = 89$
%Regularität
 $g^*_{H,rel} = 72$
 $g^*_{C,rel} = 57$

lab^*icu^*

Brillanz i^*

$i^* = 1.00$

$i^* = 0.80$

$i^* = 0.60$

$i^* = 0.40$

$i^* = 0.20$

$i^* = 0.00$

Ein und Ausgabe: Farbmatisches Drucker-Reflektiv-System ORS19_96a für relativen CIELAB-Bunton $h^* = lab^*h^* = h_{ab}/360 = 0.98$

$u^*_d = m00o$

Daten für jede Farbe:

lab^*ch^* und lab^*icu^*

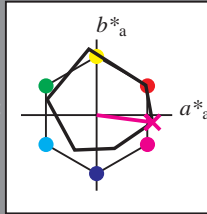
Buntontexte:

$u^*_d = m00o$ $u^*_e = b71r$

Kontrastreduzierungsfaktor:

$c_R = 1.0$

Dreiecks-Helligkeit t^*



ORS19_96a; adaptierte CIELAB-Daten

u^*_d	$L^*=L^*_a$	a^*_a	b^*_a	$C^*_{ab,a}$	$h^*_{ab,a}$
O _{Ma}	48.75	65.07	39.43	76.08	31
Y _{Ma}	90.92	-10.29	87.24	87.85	97
L _{Ma}	52.69	-65.44	20.75	68.65	162
C _{Ma}	59.61	-28.98	-46.22	54.56	238
V _{Ma}	28.39	23.63	-44.13	50.06	298
M _{Ma}	49.58	73.93	-9.56	74.55	353
N _{Ma}	18.89	0.0	0.0	0.0	0
W _{Ma}	96.9	0.0	0.0	0.0	0
O _{Ma}	39.92	58.74	27.99	65.07	25
Y _{Ma}	81.26	-2.89	71.56	71.62	92
L _{Ma}	52.23	-42.42	13.6	44.55	162
V _{Ma}	30.57	1.41	-46.47	46.49	272

Daten für Maximalfarbe (Ma):

$LAB^*LAB^*_{Ma}$: 50 74 -10

$LAB^*LCH^*_{Ma}$: 50 75 352

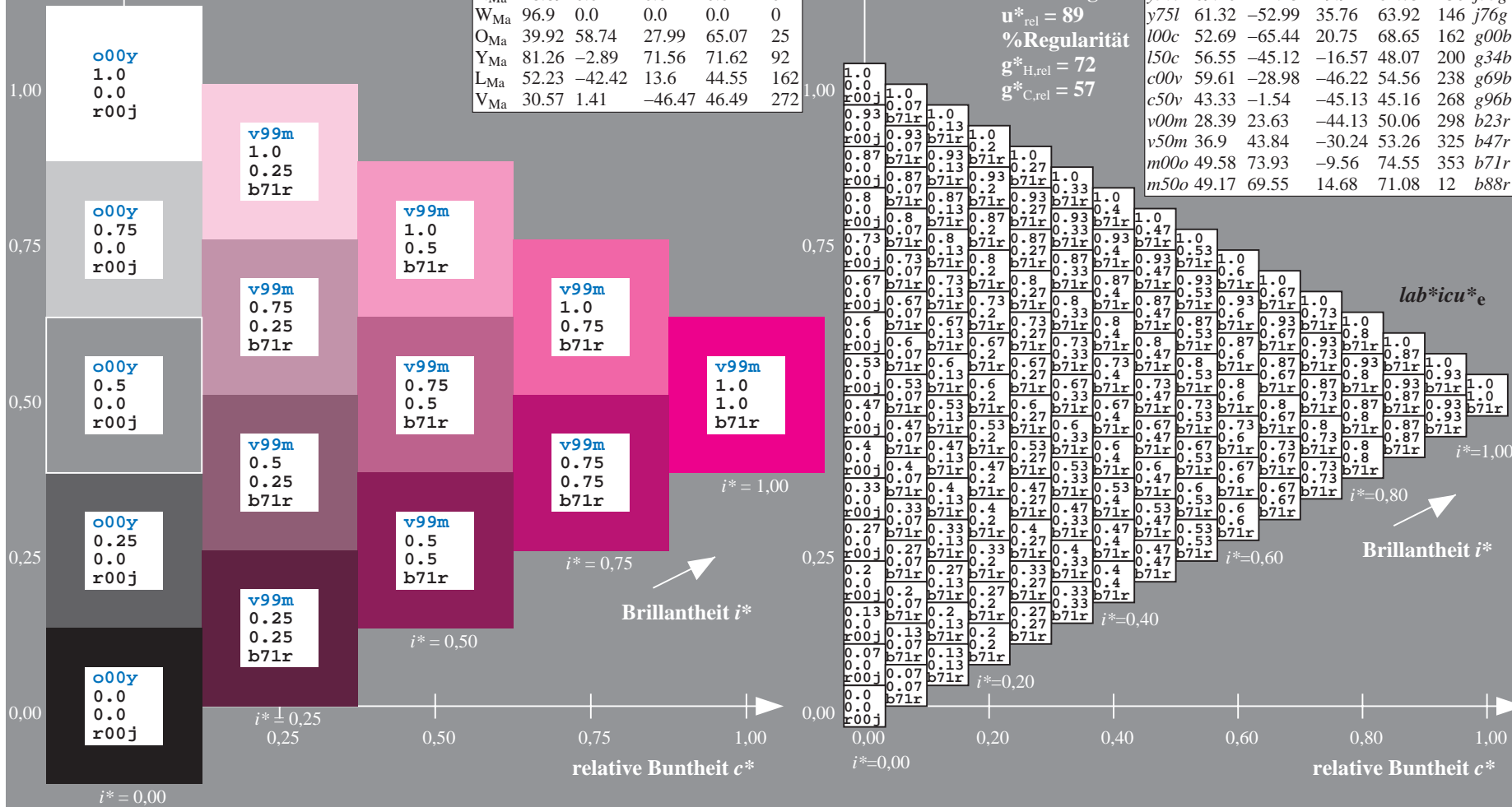
$lab^*olv^*_{Ma}$: 1.0 0.0 1.0

$lab^*rgb^*_{Ma}$: 1.0 0.0 0.58

Dreiecks-Helligkeit t^*

ORS19_96a; adaptierte CIELAB-Daten

u^*_d	$L^*=L^*_a$	a^*_a	b^*_a	$C^*_{ab,a}$	$h^*_{ab,a}$	u^*_e
o00y	48.75	65.07	39.43	76.08	31	r08j
o25y	59.04	46.67	51.1	69.21	48	r33j
o50y	68.32	30.09	61.62	68.58	64	r57j
o75y	78.23	12.39	72.85	73.9	80	r81j
y00l	90.92	-10.29	87.24	87.85	97	j06g
y25l	78.57	-28.11	65.75	71.51	113	j29g
y50l	69.46	-41.25	49.92	64.75	130	j53g
y75l	61.32	-52.99	35.76	63.92	146	j76g
l00c	52.69	-65.44	20.75	68.65	162	g00b
l50c	56.55	-45.12	-16.57	48.07	200	g34b
c00v	59.61	-28.98	-46.22	54.56	238	g69b
c50v	43.33	-1.54	-45.13	45.16	268	g96b
v00m	28.39	23.63	-44.13	50.06	298	b23r
v50m	36.9	43.84	-30.24	53.26	325	b47r
m00o	49.58	73.93	-9.56	74.55	353	b71r
m50o	49.17	69.55	14.68	71.08	12	b88r



Ein und Ausgabe: Farbmatisches Drucker-Reflektiv-System ORS19_96a für relativen CIELAB-Bunton $h^* = lab^*h^* = h_{ab}/360 = 0.033$

$u^*_d = m50o$

Daten für jede Farbe:

lab^*ch^* und lab^*icu^*

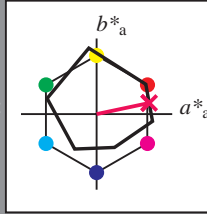
Buntontexte:

$u^*_d = m50o$ $u^*_e = b88r$

Kontrastreduzierungsfaktor:

$c_R = 1.0$

Dreiecks-Helligkeit t^*



ORS19_96a; adaptierte CIELAB-Daten						
u^*_d	$L^*=L^*_a$	a^*_a	b^*_a	$C^*_{ab,a}$	$h^*_{ab,a}$	
O _{Ma}	48.75	65.07	39.43	76.08	31	
Y _{Ma}	90.92	-10.29	87.24	87.85	97	
L _{Ma}	52.69	-65.44	20.75	68.65	162	
C _{Ma}	59.61	-28.98	-46.22	54.56	238	
V _{Ma}	28.39	23.63	-44.13	50.06	298	
M _{Ma}	49.58	73.93	-9.56	74.55	353	
N _{Ma}	18.89	0.0	0.0	0.0	0	
W _{Ma}	96.9	0.0	0.0	0.0	0	
O _{Ma}	39.92	58.74	27.99	65.07	25	
Y _{Ma}	81.26	-2.89	71.56	71.62	92	
L _{Ma}	52.23	-42.42	13.6	44.55	162	
V _{Ma}	30.57	1.41	-46.47	46.49	272	

Daten für Maximalfarbe (Ma):

$LAB^*LAB^*_{Ma}$: 49 70 15

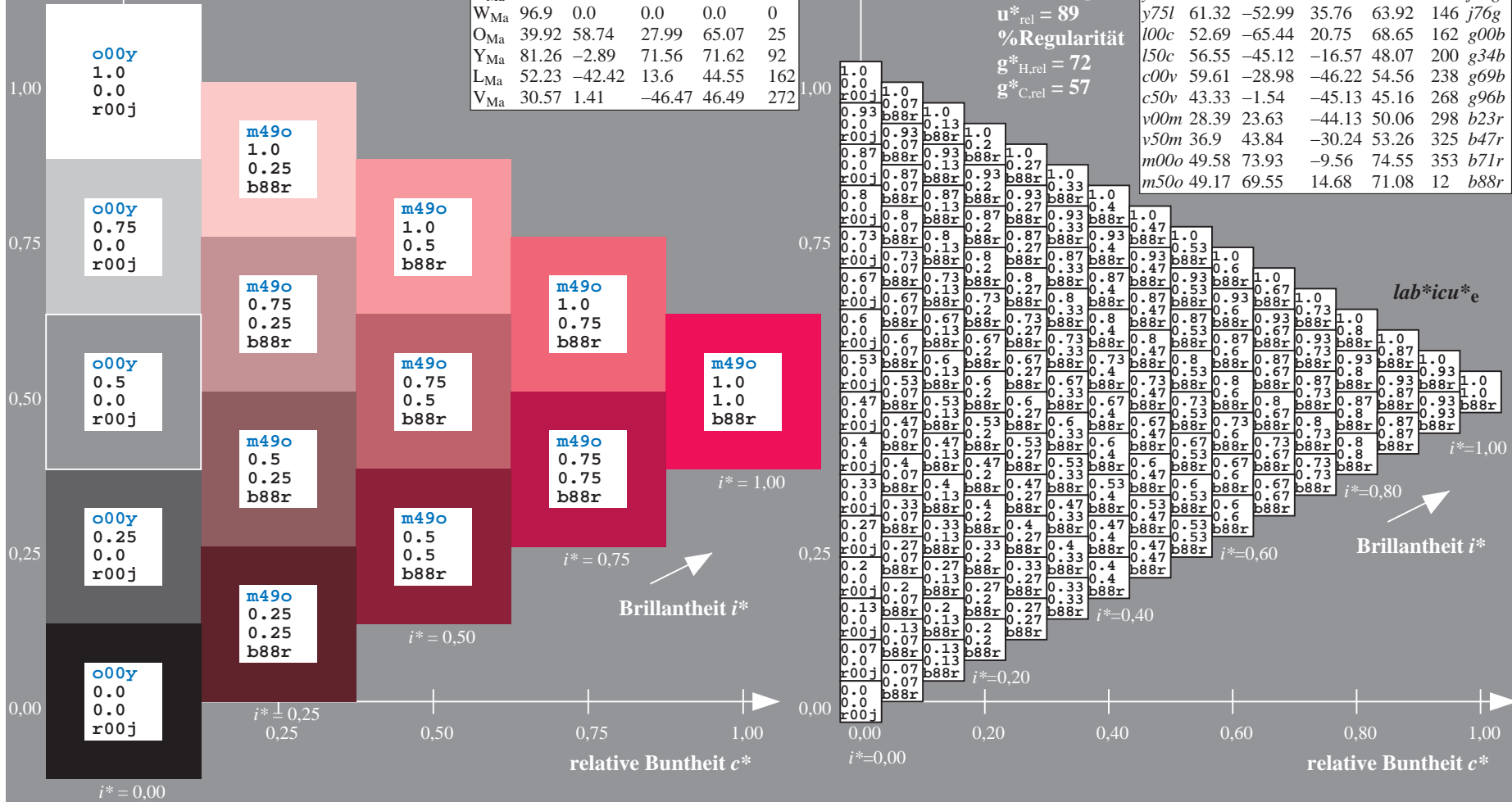
$LAB^*LCH^*_{Ma}$: 49 71 11

$lab^*olv^*_{Ma}$: 1.0 0.0 0.5

$lab^*rgb^*_{Ma}$: 1.0 0.0 0.24

Dreiecks-Helligkeit t^*

ORS19_96a; adaptierte CIELAB-Daten							
u^*_d	$L^*=L^*_a$	a^*_a	b^*_a	$C^*_{ab,a}$	$h^*_{ab,a}$	u^*_e	
o00y	48.75	65.07	39.43	76.08	31	r08j	
o25y	59.04	46.67	51.1	69.21	48	r33j	
o50y	68.32	30.09	61.62	68.58	64	r57j	
o75y	78.23	12.39	72.85	73.9	80	r81j	
y00l	90.92	-10.29	87.24	87.85	97	j06g	
y25l	78.57	-28.11	65.75	71.51	113	j29g	
y50l	69.46	-41.25	49.92	64.75	130	j53g	
y75l	61.32	-52.99	35.76	63.92	146	j76g	
l00c	52.69	-65.44	20.75	68.65	162	g00b	
l50c	56.55	-45.12	-16.57	48.07	200	g34b	
c00v	59.61	-28.98	-46.22	54.56	238	g69b	
c50v	43.33	-1.54	-45.13	45.16	268	g96b	
v00m	28.39	23.63	-44.13	50.06	298	b23r	
v50m	36.9	43.84	-30.24	53.26	325	b47r	
m00o	49.58	73.93	-9.56	74.55	353	b71r	
m50o	49.17	69.55	14.68	71.08	12	b88r	



%Umfang
 $u^*_{rel} = 89$
%Regularität
 $g^*_{H,rel} = 72$
 $g^*_{C,rel} = 57$

$lab^*icu^*_e$

Brillantheit i^*

Ein und Ausgabe:
 Farbmetrisches Drucker-Reflektiv-System ORS19_96a

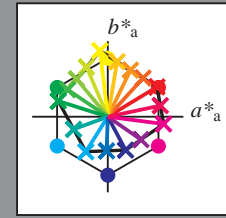
Daten für jede Farbe:
 u^*_d und Nummer *Nr.* = 00 .. 15

Geräte-Bunttextext:
 $u^*_d = 16$ Bunttoene *o00y, o25y, ..., m50o*

Kontrastreduzierungsfaktor:
 $c_R = 1.0$

ORS19_96a; adaptierte CIELAB-Daten

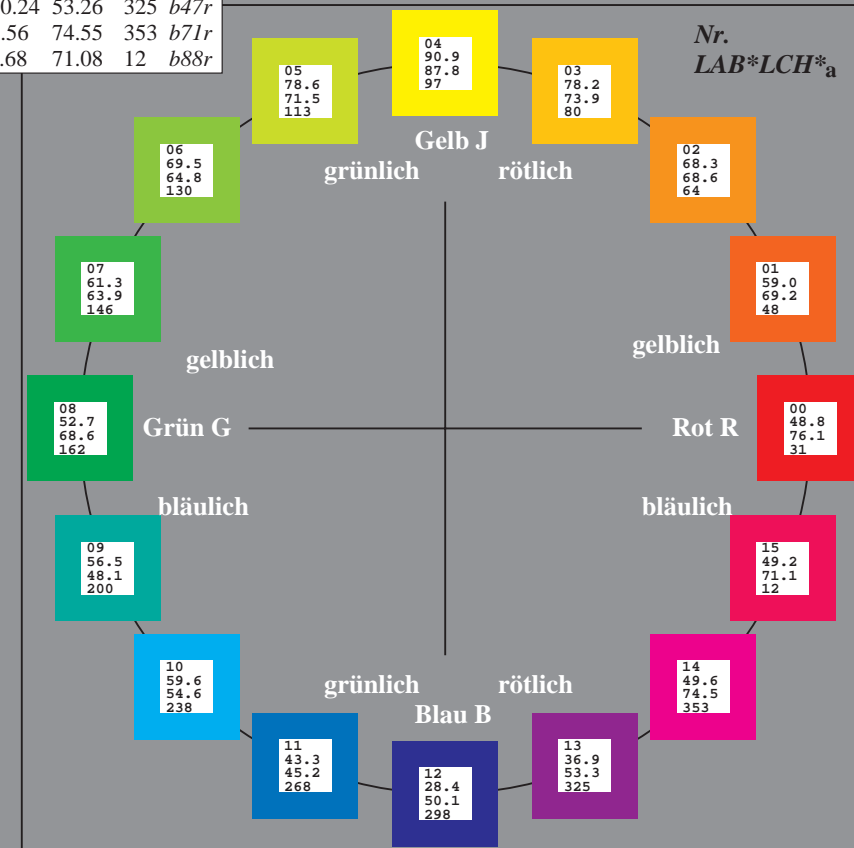
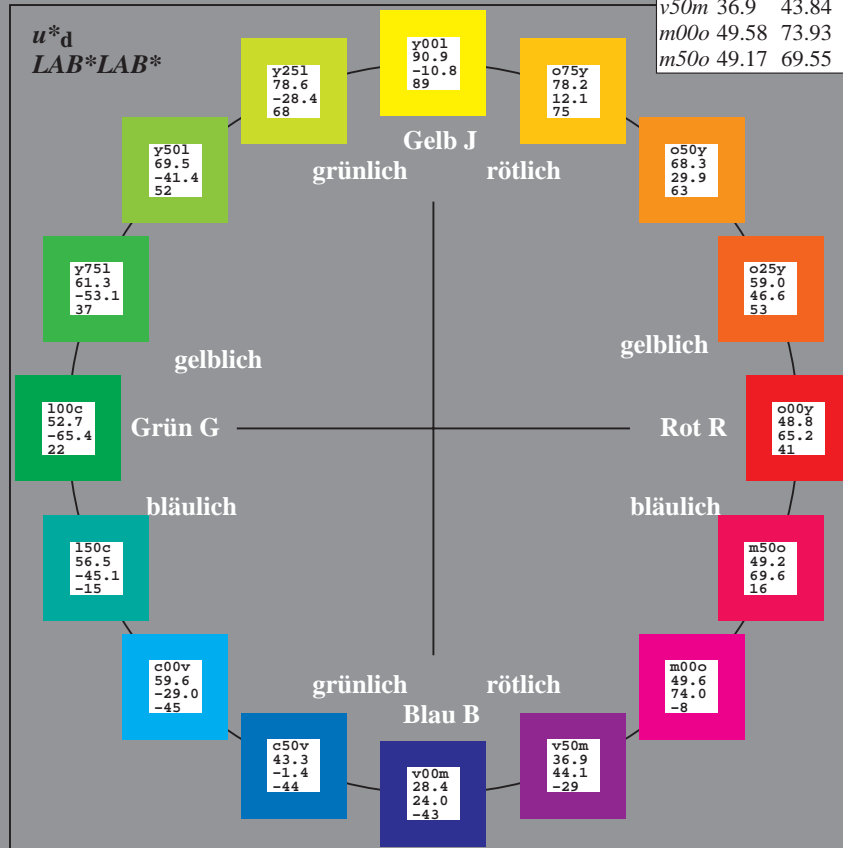
u^*_d	$L^*=L^*_a$	a^*_a	b^*_a	$C^*_{ab,a}$	$h^*_{ab,a}$	u^*_e
<i>o00y</i>	48.75	65.07	39.43	76.08	31	<i>r08j</i>
<i>o25y</i>	59.04	46.67	51.1	69.21	48	<i>r33j</i>
<i>o50y</i>	68.32	30.09	61.62	68.58	64	<i>r57j</i>
<i>o75y</i>	78.23	12.39	72.85	73.9	80	<i>r81j</i>
<i>y00l</i>	90.92	-10.29	87.24	87.85	97	<i>j06g</i>
<i>y25l</i>	78.57	-28.11	65.75	71.51	113	<i>j29g</i>
<i>y50l</i>	69.46	-41.25	49.92	64.75	130	<i>j53g</i>
<i>y75l</i>	61.32	-52.99	35.76	63.92	146	<i>j76g</i>
<i>l00c</i>	52.69	-65.44	20.75	68.65	162	<i>g00b</i>
<i>l50c</i>	56.55	-45.12	-16.57	48.07	200	<i>g34b</i>
<i>c00v</i>	59.61	-28.98	-46.22	54.56	238	<i>g69b</i>
<i>c50v</i>	43.33	-1.54	-45.13	45.16	268	<i>g96b</i>
<i>v00m</i>	28.39	23.63	-44.13	50.06	298	<i>b23r</i>
<i>y50m</i>	36.9	43.84	-30.24	53.26	325	<i>b47r</i>
<i>m00o</i>	49.58	73.93	-9.56	74.55	353	<i>b71r</i>
<i>m50o</i>	49.17	69.55	14.68	71.08	12	<i>b88r</i>



%Umfang
 $u^*_{rel} = 89$
 %Regularität
 $g^*_{H,rel} = 72$
 $g^*_{C,rel} = 57$

ORS19_96; CIELAB-Daten

Name	$L^*=L^*$	a^*	b^*	C^*_{ab}	h^*_{ab}
O _M	48.75	65.16	40.76	76.86	32
Y _M	90.92	-10.78	89.36	90.01	97
L _M	52.69	-65.4	22.15	69.05	161
C _M	59.61	-29.04	-44.69	53.3	237
V _M	28.39	24.0	-43.18	49.4	299
M _M	49.58	74.01	-8.22	74.47	354
N _M	18.89	0.5	0.77	0.92	57
W _M	96.9	-0.57	2.23	2.3	104
O _{CIE}	39.92	58.74	27.99	65.07	25
Y _{CIE}	81.26	-2.89	71.56	71.62	92
L _{CIE}	52.23	-42.42	13.6	44.55	162
V _{CIE}	30.57	1.41	-46.47	46.49	272



Ein und Ausgabe: Farbmatisches Drucker-Reflektiv-System ORS19_96a für relativen CIELAB-Bunton $h^* = lab^*h^* = h_{ab}/360 = 0.087$

$u^*_d = o00y$

Daten für jede Farbe:

lab^*tch^* und lab^*icu^*

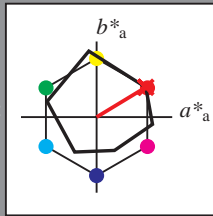
Buntontexte:

$u^*_d = o00y$ $u^*_e = r08j$

Kontrastreduzierungsfaktor:

$c_R = 1.0$

Dreiecks-Helligkeit t^*



ORS19_96; CIELAB-Daten						
u^*_d	$L^*=L^*$	a^*	b^*	C^*_{ab}	h^*_{ab}	
O _M	48.75	65.16	40.76	76.86	32	
Y _M	90.92	-10.78	89.36	90.01	97	
L _M	52.69	-65.4	22.15	69.05	161	
C _M	59.61	-29.04	-44.69	53.3	237	
V _M	28.39	24.0	-43.18	49.4	299	
M _M	49.58	74.01	-8.22	74.47	354	
N _M	18.89	0.5	0.77	0.92	57	
W _M	96.9	-0.57	2.23	2.3	104	
O _M	39.92	58.74	27.99	65.07	25	
Y _M	81.26	-2.89	71.56	71.62	92	
L _M	52.23	-42.42	13.6	44.55	162	
V _M	30.57	1.41	-46.47	46.49	272	

Daten für Maximalfarbe (Ma):

$LAB^*LAB^*_{Ma}: 49\ 65\ 39$

$LAB^*LCH^*_{Ma}: 49\ 76\ 31$

$lab^*olv^*_{Ma}: 1.0\ 0.0\ 0.0$

$lab^*rgb^*_{Ma}: 1.0\ 0.09\ 0.0$

Dreiecks-Helligkeit t^*

%Umfang

$u^*_{rel} = 89$

%Regularität

$g^*_{H,rel} = 72$

$g^*_{C,rel} = 57$

ORS19_96a; adaptierte CIELAB-Daten								
u^*_d	$L^*=L^*_a$	a^*_a	b^*_a	$C^*_{ab,a}$	$h^*_{ab,a}$	u^*_e		
<i>o00y</i>	48.75	65.07	39.43	76.08	31	<i>r08j</i>		
<i>o25y</i>	59.04	46.67	51.1	69.21	48	<i>r33j</i>		
<i>o50y</i>	68.32	30.09	61.62	68.58	64	<i>r57j</i>		
<i>o75y</i>	78.23	12.39	72.85	73.9	80	<i>r81j</i>		
<i>y00l</i>	90.92	-10.29	87.24	87.85	97	<i>j06g</i>		
<i>y25l</i>	78.57	-28.11	65.75	71.51	113	<i>j29g</i>		
<i>y50l</i>	69.46	-41.25	49.92	64.75	130	<i>j53g</i>		
<i>y75l</i>	61.32	-52.99	35.76	63.92	146	<i>j76g</i>		
<i>l00c</i>	52.69	-65.44	20.75	68.65	162	<i>g00b</i>		
<i>l50c</i>	56.55	-45.12	-16.57	48.07	200	<i>g34b</i>		
<i>c00v</i>	59.61	-28.98	-46.22	54.56	238	<i>g69b</i>		
<i>c50v</i>	43.33	-1.54	-45.13	45.16	268	<i>g96b</i>		
<i>v00m</i>	28.39	23.63	-44.13	50.06	298	<i>b23r</i>		
<i>v50m</i>	36.9	43.84	-30.24	53.26	325	<i>b47r</i>		
<i>m00o</i>	49.58	73.93	-9.56	74.55	353	<i>b71r</i>		
<i>m50o</i>	49.17	69.55	14.68	71.08	12	<i>b88r</i>		

LAB^*LAB^*

$i^* = 1.00$

$i^* = 0.80$

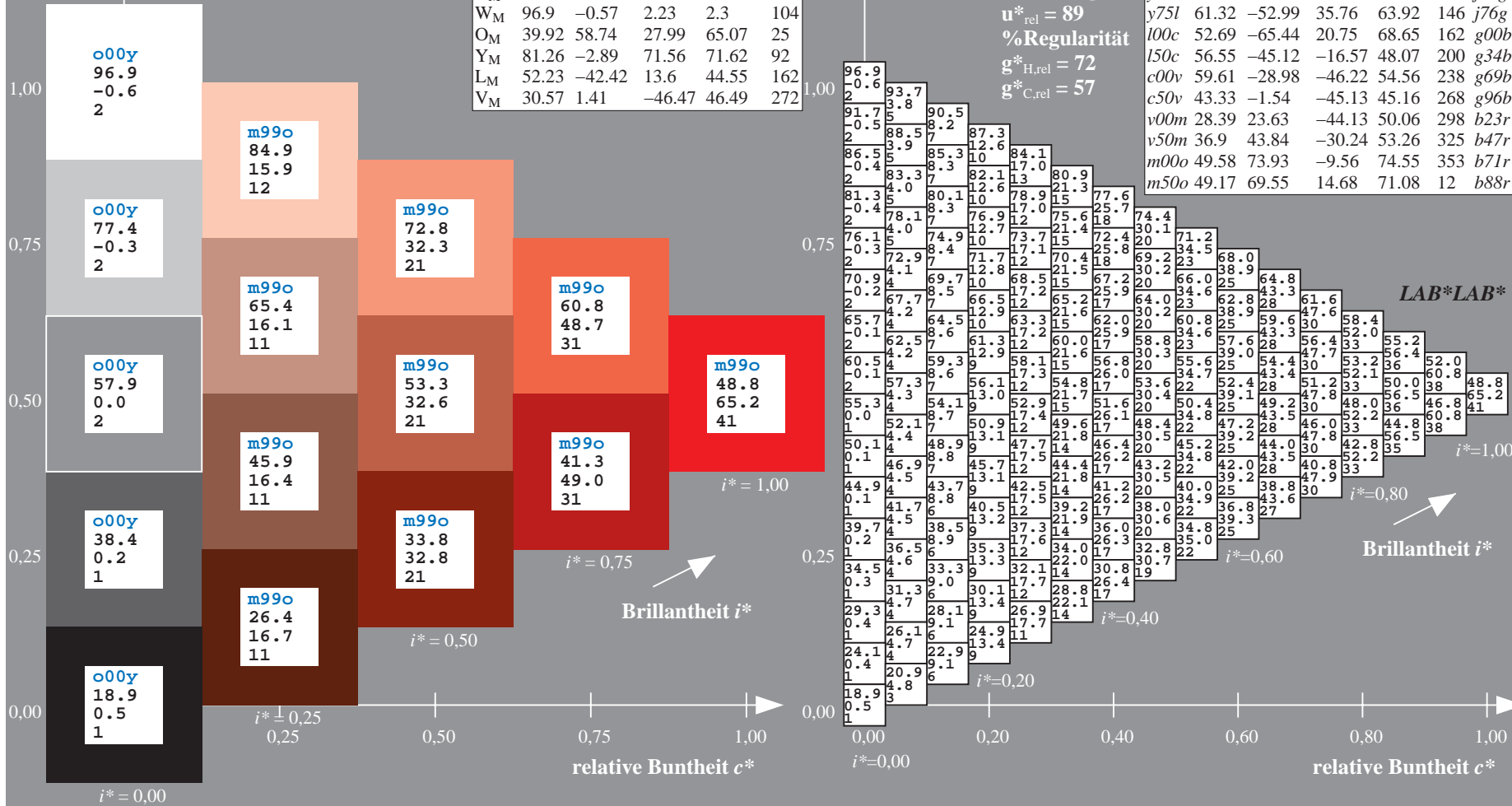
$i^* = 0.60$

$i^* = 0.40$

$i^* = 0.20$

$i^* = 0.00$

Brillantheit i^*



Ein und Ausgabe: Farbmatisches Drucker-Reflektiv-System ORS19_96a für relativen CIELAB-Bunton $h^* = lab^*h^* = h_{ab}/360 = 0.132$

$u^*_d = o25y$
LAB*LAB*

Daten für jede Farbe:

lab^*tch^* und lab^*icu^*

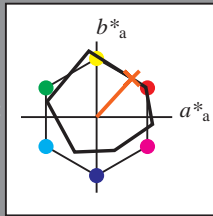
Buntontexte:

$u^*_d = o25y$ $u^*_e = r33j$

Kontrastreduzierungsfaktor:

$c_R = 1.0$

Dreiecks-Helligkeit t^*



ORS19_96; CIELAB-Daten						
u^*_d	$L^*=L^*$	a^*	b^*	C^*_{ab}	h^*_{ab}	
O _M	48.75	65.16	40.76	76.86	32	
Y _M	90.92	-10.78	89.36	90.01	97	
L _M	52.69	-65.4	22.15	69.05	161	
C _M	59.61	-29.04	-44.69	53.3	237	
V _M	28.39	24.0	-43.18	49.4	299	
M _M	49.58	74.01	-8.22	74.47	354	
N _M	18.89	0.5	0.77	0.92	57	
W _M	96.9	-0.57	2.23	2.3	104	
O _M	39.92	58.74	27.99	65.07	25	
Y _M	81.26	-2.89	71.56	71.62	92	
L _M	52.23	-42.42	13.6	44.55	162	
V _M	30.57	1.41	-46.47	46.49	272	

Daten für Maximalfarbe (Ma):

LAB*LAB*_{Ma}: 59 47 51

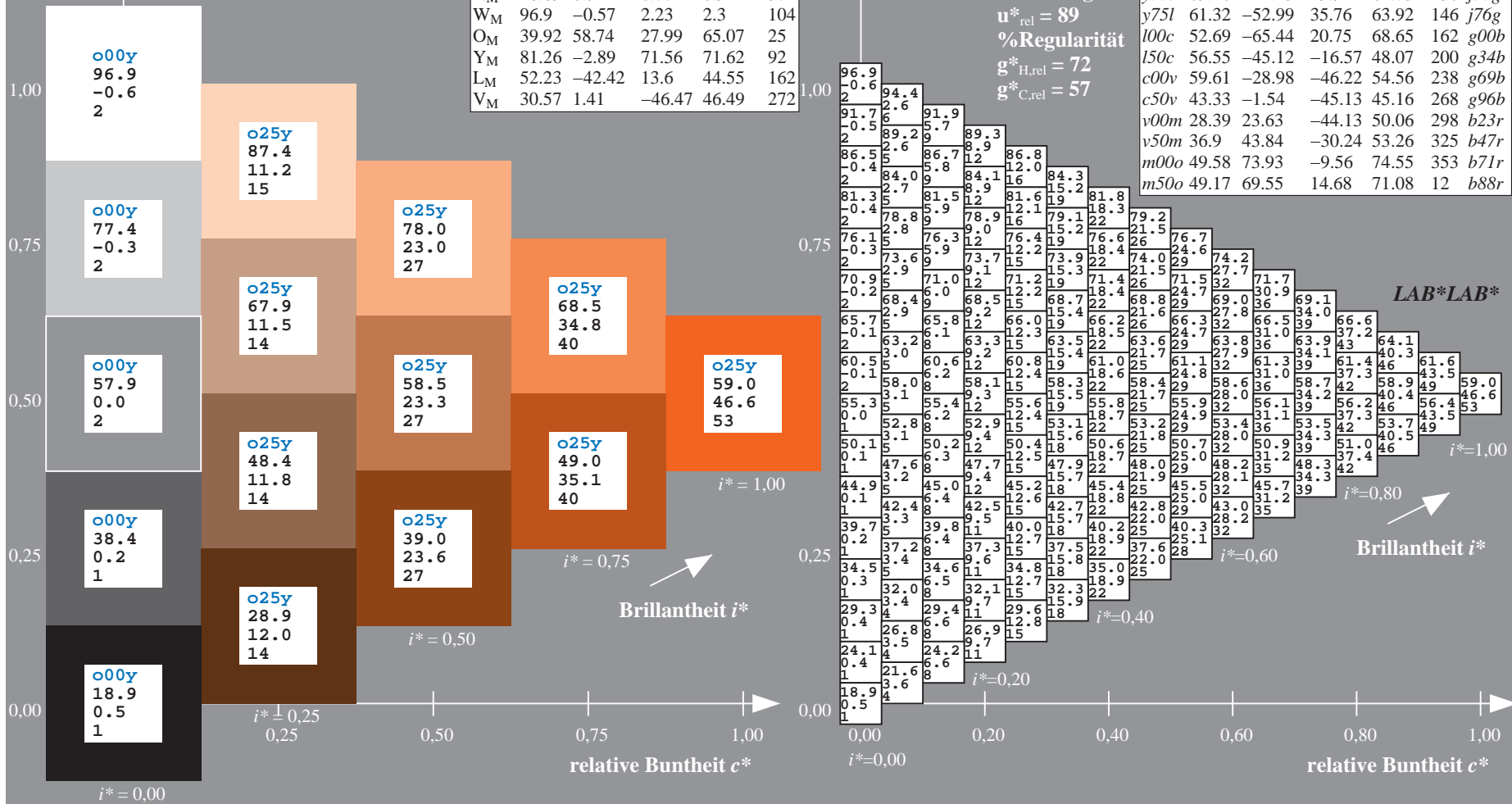
LAB*LCH*_{Ma}: 59 69 47

lab*olv*_{Ma}: 1.0 0.25 0.0

lab*rgb*_{Ma}: 1.0 0.33 0.0

Dreiecks-Helligkeit t^*

ORS19_96a; adaptierte CIELAB-Daten								
u^*_d	$L^*=L^*_a$	a^*_a	b^*_a	$C^*_{ab,a}$	$h^*_{ab,a}$	u^*_e		
o00y	48.75	65.07	39.43	76.08	31	r08j		
o25y	59.04	46.67	51.1	69.21	48	r33j		
o50y	68.32	30.09	61.62	68.58	64	r57j		
o75y	78.23	12.39	72.85	73.9	80	r81j		
y00l	90.92	-10.29	87.24	87.85	97	j06g		
y25l	78.57	-28.11	65.75	71.51	113	j29g		
y50l	69.46	-41.25	49.92	64.75	130	j53g		
y75l	61.32	-52.99	35.76	63.92	146	j76g		
l00c	52.69	-65.44	20.75	68.65	162	g00b		
l50c	56.55	-45.12	-16.57	48.07	200	g34b		
c00v	59.61	-28.98	-46.22	54.56	238	g69b		
c50v	43.33	-1.54	-45.13	45.16	268	g96b		
v00m	28.39	23.63	-44.13	50.06	298	b23r		
v50m	36.9	43.84	-30.24	53.26	325	b47r		
m00o	49.58	73.93	-9.56	74.55	353	b71r		
m50o	49.17	69.55	14.68	71.08	12	b88r		



Ein und Ausgabe: Farbmatisches Drucker-Reflektiv-System ORS19_96a für relativen CIELAB-Bunton $h^* = lab^*h^* = h_{ab}/360 = 0.178$

$u^*_d = 0.50y$
LAB*LAB*

Daten für jede Farbe:

lab^*tch^* und lab^*icu^*

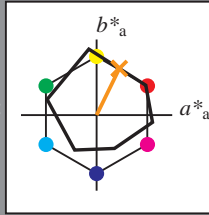
Buntontexte:

$u^*_d = 0.50y$ $u^*_e = r57j$

Kontrastreduzierungsfaktor:

$c_R = 1.0$

Dreiecks-Helligkeit t^*



ORS19_96; CIELAB-Daten						
u^*_d	$L^*=L^*$	a^*	b^*	C^*_{ab}	h^*_{ab}	
O _M	48.75	65.16	40.76	76.86	32	
Y _M	90.92	-10.78	89.36	90.01	97	
L _M	52.69	-65.4	22.15	69.05	161	
C _M	59.61	-29.04	-44.69	53.3	237	
V _M	28.39	24.0	-43.18	49.4	299	
M _M	49.58	74.01	-8.22	74.47	354	
N _M	18.89	0.5	0.77	0.92	57	
W _M	96.9	-0.57	2.23	2.3	104	
O _M	39.92	58.74	27.99	65.07	25	
Y _M	81.26	-2.89	71.56	71.62	92	
L _M	52.23	-42.42	13.6	44.55	162	
V _M	30.57	1.41	-46.47	46.49	272	

Daten für Maximalfarbe (Ma):

LAB*LAB*_{Ma}: 68 30 62

LAB*LCH*_{Ma}: 68 69 63

lab*olv*_{Ma}: 1.0 0.5 0.0

lab*rgb*_{Ma}: 1.0 0.58 0.0

Dreiecks-Helligkeit t^*

%Umfang

$u^*_{rel} = 89$

%Regularität

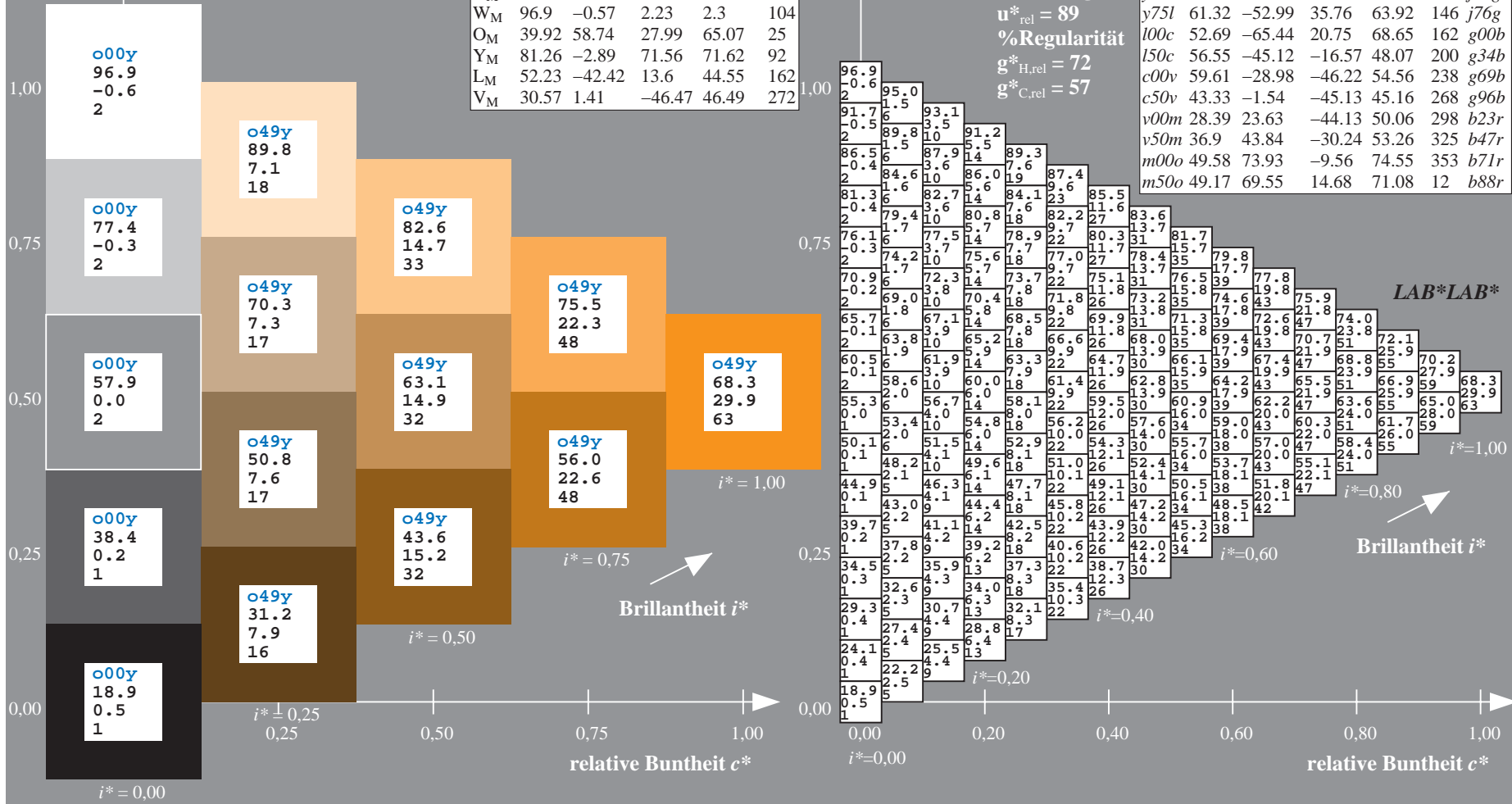
$g^*_{H,rel} = 72$

$g^*_{C,rel} = 57$

ORS19_96a; adaptierte CIELAB-Daten

u^*_d	$L^*=L^*_a$	a^*_a	b^*_a	$C^*_{ab,a}$	$h^*_{ab,a}$	u^*_e
o00y	48.75	65.07	39.43	76.08	31	r08j
o25y	59.04	46.67	51.1	69.21	48	r33j
o50y	68.32	30.09	61.62	68.58	64	r57j
o75y	78.23	12.39	72.85	73.9	80	r8lj
y00l	90.92	-10.29	87.24	87.85	97	j06g
y25l	78.57	-28.11	65.75	71.51	113	j29g
y50l	69.46	-41.25	49.92	64.75	130	j53g
y75l	61.32	-52.99	35.76	63.92	146	j76g
l00c	52.69	-65.44	20.75	68.65	162	g00b
l50c	56.55	-45.12	-16.57	48.07	200	g34b
c00v	59.61	-28.98	-46.22	54.56	238	g69b
c50v	43.33	-1.54	-45.13	45.16	268	g96b
v00m	28.39	23.63	-44.13	50.06	298	b23r
v50m	36.9	43.84	-30.24	53.26	325	b47r
m00o	49.58	73.93	-9.56	74.55	353	b71r
m50o	49.17	69.55	14.68	71.08	12	b88r

LAB*LAB*



Ein und Ausgabe: Farbmatisches Drucker-Reflektiv-System ORS19_96a für relativen CIELAB-Bunton $h^* = lab^*h^* = h_{ab}/360 = 0.223$

$u^*_d = 0.75y$
LAB*LAB*

Daten für jede Farbe:

lab^*tch^* und lab^*icu^*

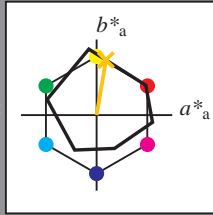
Buntontexte:

$u^*_d = 0.75y$ $u^*_e = r8lj$

Kontrastreduzierungsfaktor:

$c_R = 1.0$

Dreiecks-Helligkeit t^*



ORS19_96; CIELAB-Daten						
u^*_d	$L^*=L^*$	a^*	b^*	C^*_{ab}	h^*_{ab}	
O _M	48.75	65.16	40.76	76.86	32	
Y _M	90.92	-10.78	89.36	90.01	97	
L _M	52.69	-65.4	22.15	69.05	161	
C _M	59.61	-29.04	-44.69	53.3	237	
V _M	28.39	24.0	-43.18	49.4	299	
M _M	49.58	74.01	-8.22	74.47	354	
N _M	18.89	0.5	0.77	0.92	57	
W _M	96.9	-0.57	2.23	2.3	104	
O _M	39.92	58.74	27.99	65.07	25	
Y _M	81.26	-2.89	71.56	71.62	92	
L _M	52.23	-42.42	13.6	44.55	162	
V _M	30.57	1.41	-46.47	46.49	272	

Daten für Maximalfarbe (Ma):

LAB*LAB*_{Ma}: 78 12 73

LAB*LCH*_{Ma}: 78 74 80

lab*olv*_{Ma}: 1.0 0.75 0.0

lab*rgb*_{Ma}: 1.0 0.82 0.0

Dreiecks-Helligkeit t^*

%Umfang

$u^*_{rel} = 89$

%Regularität

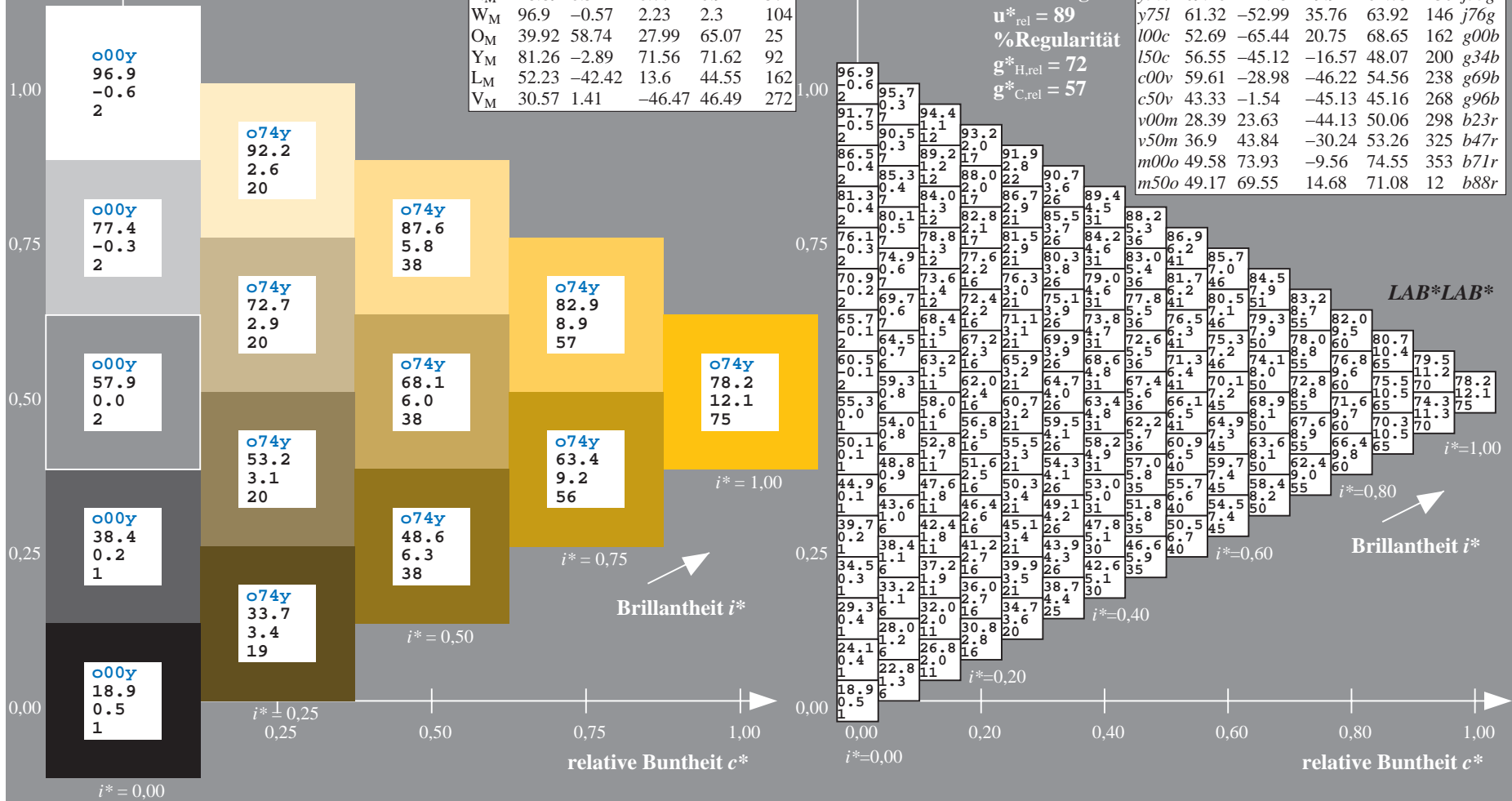
$g^*_{H,rel} = 72$

$g^*_{C,rel} = 57$

ORS19_96a; adaptierte CIELAB-Daten

u^*_d	$L^*=L^*_a$	a^*_a	b^*_a	$C^*_{ab,a}$	$h^*_{ab,a}$	u^*_e
o00y	48.75	65.07	39.43	76.08	31	r08j
o25y	59.04	46.67	51.1	69.21	48	r33j
o50y	68.32	30.09	61.62	68.58	64	r57j
o75y	78.23	12.39	72.85	73.9	80	r8lj
y00l	90.92	-10.29	87.24	87.85	97	j06g
y25l	78.57	-28.11	65.75	71.51	113	j29g
y50l	69.46	-41.25	49.92	64.75	130	j53g
y75l	61.32	-52.99	35.76	63.92	146	j76g
l00c	52.69	-65.44	20.75	68.65	162	g00b
l50c	56.55	-45.12	-16.57	48.07	200	g34b
c00v	59.61	-28.98	-46.22	54.56	238	g69b
c50v	43.33	-1.54	-45.13	45.16	268	g96b
v00m	28.39	23.63	-44.13	50.06	298	b23r
v50m	36.9	43.84	-30.24	53.26	325	b47r
m00o	49.58	73.93	-9.56	74.55	353	b71r
m50o	49.17	69.55	14.68	71.08	12	b88r

LAB*LAB*



Ein und Ausgabe: Farbmatisches Drucker-Reflektiv-System ORS19_96a für relativen CIELAB-Bunton $h^* = lab^*h^* = h_{ab}/360 = 0.269$

$u^*_d = y00l$
 LAB^*LAB^*

Daten für jede Farbe:

lab^*tch^* und lab^*icu^*

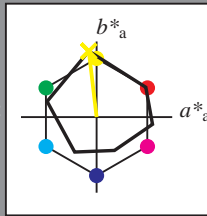
Buntontexte:

$u^*_d = y00l$ $u^*_e = j06g$

Kontrastreduzierungsfaktor:

$c_R = 1.0$

Dreiecks-Helligkeit t^*



ORS19_96; CIELAB-Daten						
u^*_d	$L^*=L^*$	a^*	b^*	C^*_{ab}	h^*_{ab}	
O _M	48.75	65.16	40.76	76.86	32	
Y _M	90.92	-10.78	89.36	90.01	97	
L _M	52.69	-65.4	22.15	69.05	161	
C _M	59.61	-29.04	-44.69	53.3	237	
V _M	28.39	24.0	-43.18	49.4	299	
M _M	49.58	74.01	-8.22	74.47	354	
N _M	18.89	0.5	0.77	0.92	57	
W _M	96.9	-0.57	2.23	2.3	104	
O _M	39.92	58.74	27.99	65.07	25	
Y _M	81.26	-2.89	71.56	71.62	92	
L _M	52.23	-42.42	13.6	44.55	162	
V _M	30.57	1.41	-46.47	46.49	272	

Daten für Maximalfarbe (Ma):

$LAB^*LAB^*_{Ma}: 91 -10 87$

$LAB^*LCH^*_{Ma}: 91 88 96$

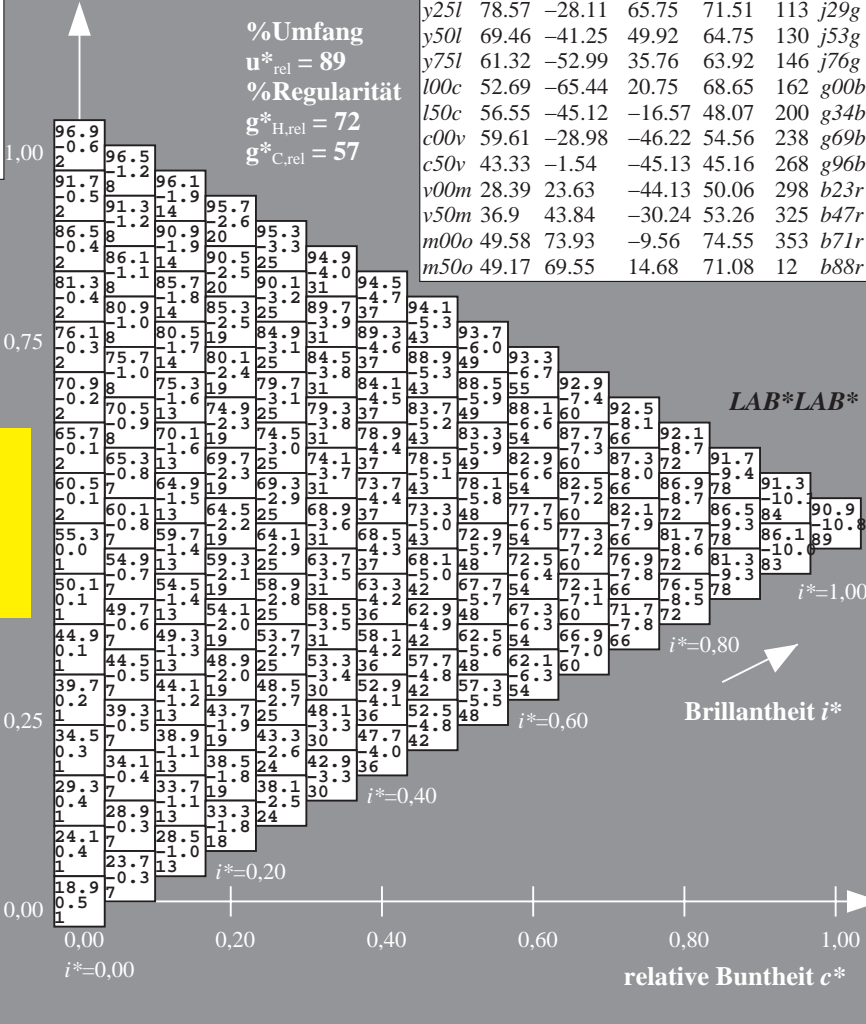
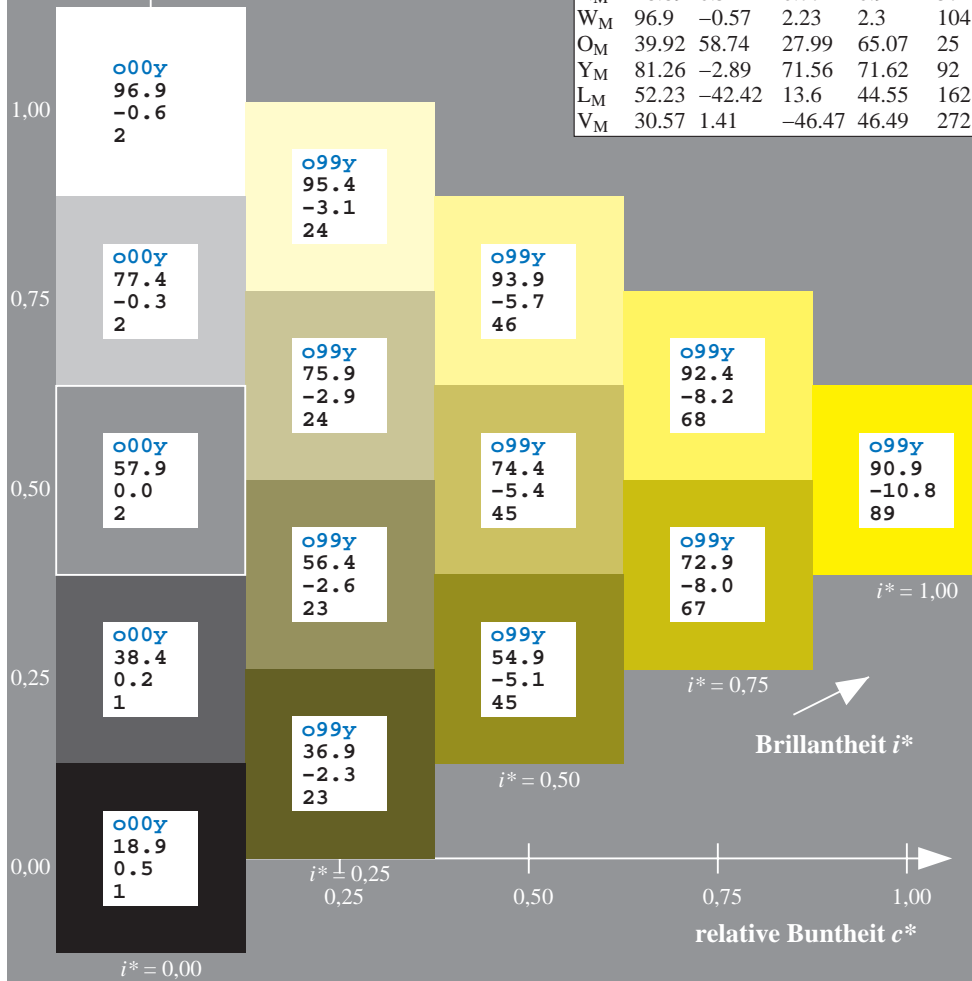
$lab^*olv^*_{Ma}: 1.0 1.0 0.0$

$lab^*rgb^*_{Ma}: 0.94 1.0 0.0$

Dreiecks-Helligkeit t^*

ORS19_96a; adaptierte CIELAB-Daten

u^*_d	$L^*=L^*_a$	a^*_a	b^*_a	$C^*_{ab,a}$	$h^*_{ab,a}$	u^*_e
o00y	48.75	65.07	39.43	76.08	31	r08j
o25y	59.04	46.67	51.1	69.21	48	r33j
o50y	68.32	30.09	61.62	68.58	64	r57j
o75y	78.23	12.39	72.85	73.9	80	r81j
y00l	90.92	-10.29	87.24	87.85	97	j06g
y25l	78.57	-28.11	65.75	71.51	113	j29g
y50l	69.46	-41.25	49.92	64.75	130	j53g
y75l	61.32	-52.99	35.76	63.92	146	j76g
l00c	52.69	-65.44	20.75	68.65	162	g00b
l50c	56.55	-45.12	-16.57	48.07	200	g34b
c00v	59.61	-28.98	-46.22	54.56	238	g69b
c50v	43.33	-1.54	-45.13	45.16	268	g96b
v00m	28.39	23.63	-44.13	50.06	298	b23r
v50m	36.9	43.84	-30.24	53.26	325	b47r
m00o	49.58	73.93	-9.56	74.55	353	b71r
m50o	49.17	69.55	14.68	71.08	12	b88r



Ein und Ausgabe: Farbmatisches Drucker-Reflektiv-System ORS19_96a für relativen CIELAB-Bunton $h^* = lab^*h^* = h_{ab}/360 = 0.314$

$u^*_d = y25l$
 LAB^*LAB^*

Daten für jede Farbe:

lab^*ch^* und lab^*icu^*

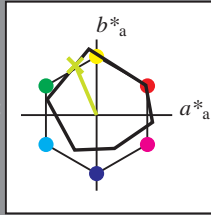
Buntontexte:

$u^*_d = y25l$ $u^*_e = j29g$

Kontrastreduzierungsfaktor:

$c_R = 1.0$

Dreiecks-Helligkeit t^*



ORS19_96; CIELAB-Daten					
u^*_d	$L^*=L^*$	a^*	b^*	C^*_{ab}	h^*_{ab}
O _M	48.75	65.16	40.76	76.86	32
Y _M	90.92	-10.78	89.36	90.01	97
L _M	52.69	-65.4	22.15	69.05	161
C _M	59.61	-29.04	-44.69	53.3	237
V _M	28.39	24.0	-43.18	49.4	299
M _M	49.58	74.01	-8.22	74.47	354
N _M	18.89	0.5	0.77	0.92	57
W _M	96.9	-0.57	2.23	2.3	104
O _M	39.92	58.74	27.99	65.07	25
Y _M	81.26	-2.89	71.56	71.62	92
L _M	52.23	-42.42	13.6	44.55	162
V _M	30.57	1.41	-46.47	46.49	272

Daten für Maximalfarbe (Ma):

$LAB^*LAB^*_{Ma}: 79 -28 66$

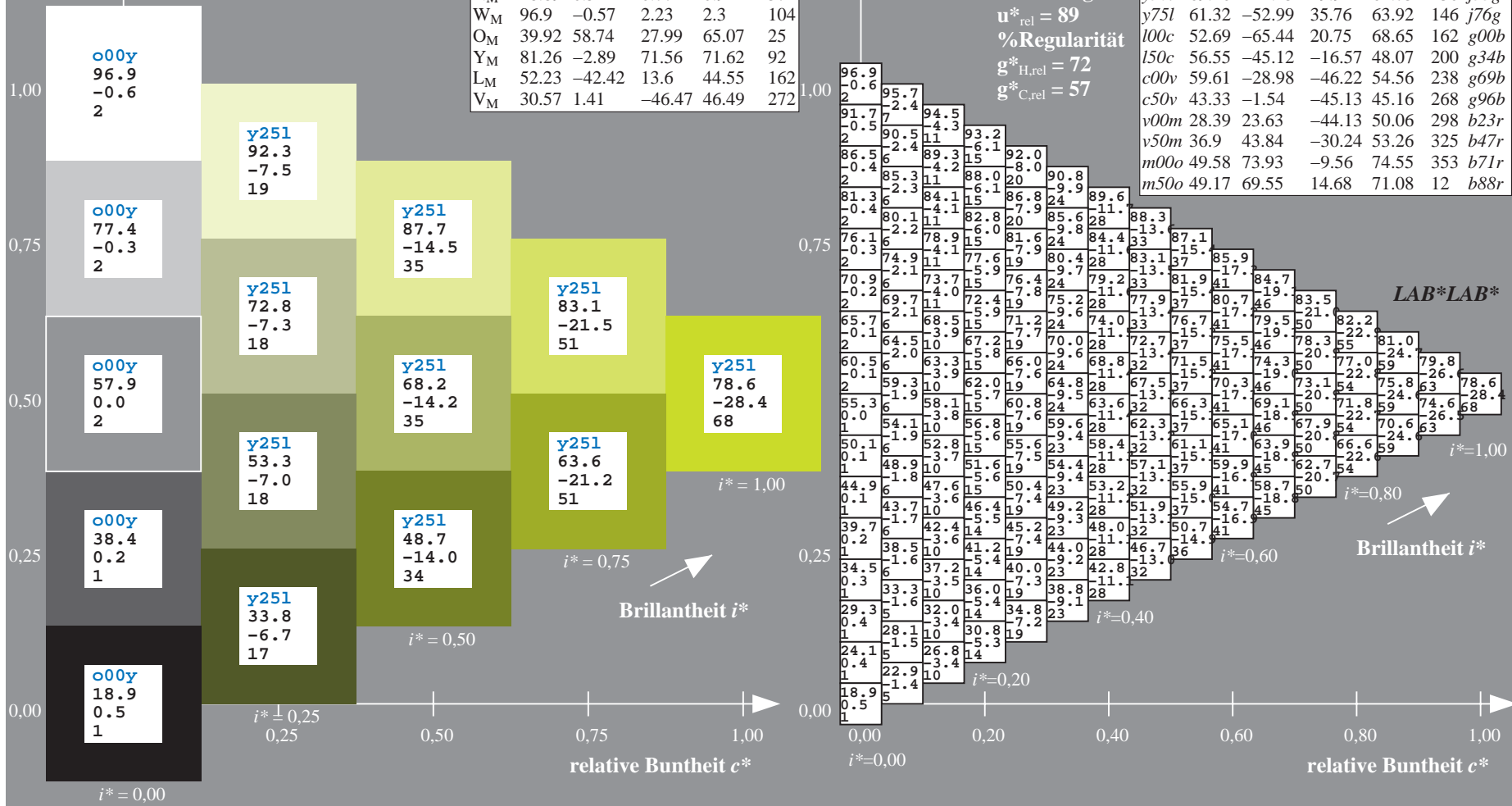
$LAB^*LCH^*_{Ma}: 79 72 113$

$lab^*olv^*_{Ma}: 0.75 1.0 0.0$

$lab^*rgb^*_{Ma}: 0.7 1.0 0.0$

Dreiecks-Helligkeit t^*

ORS19_96a; adaptierte CIELAB-Daten							
u^*_d	$L^*=L^*_a$	a^*_a	b^*_a	$C^*_{ab,a}$	$h^*_{ab,a}$	u^*_e	
o00y	48.75	65.07	39.43	76.08	31	r08j	
o25y	59.04	46.67	51.1	69.21	48	r33j	
o50y	68.32	30.09	61.62	68.58	64	r57j	
o75y	78.23	12.39	72.85	73.9	80	r81j	
y00l	90.92	-10.29	87.24	87.85	97	j06g	
y25l	78.57	-28.11	65.75	71.51	113	j29g	
y50l	69.46	-41.25	49.92	64.75	130	j53g	
y75l	61.32	-52.99	35.76	63.92	146	j76g	
l00c	52.69	-65.44	20.75	68.65	162	g00b	
l50c	56.55	-45.12	-16.57	48.07	200	g34b	
c00v	59.61	-28.98	-46.22	54.56	238	g69b	
c50v	43.33	-1.54	-45.13	45.16	268	g96b	
v00m	28.39	23.63	-44.13	50.06	298	b23r	
v50m	36.9	43.84	-30.24	53.26	325	b47r	
m00o	49.58	73.93	-9.56	74.55	353	b71r	
m50o	49.17	69.55	14.68	71.08	12	b88r	



Ein und Ausgabe: Farbmatisches Drucker-Reflektiv-System ORS19_96a für relativen CIELAB-Bunton $h^* = \text{lab}^*h^* = h_{ab}/360 = 0.36$

Daten für jede Farbe:

lab^*tch^* und lab^*icu^*

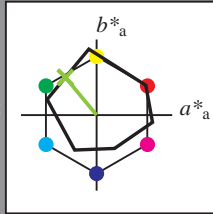
Buntontexte:

$u^*_d = y50l$ $u^*_e = j53g$

Kontrastreduzierungsfaktor:

$c_R = 1.0$

Dreiecks-Helligkeit t^*



ORS19_96; CIELAB-Daten						
u^*_d	$L^*=L^*$	a^*	b^*	C^*_{ab}	h^*_{ab}	
O _M	48.75	65.16	40.76	76.86	32	
Y _M	90.92	-10.78	89.36	90.01	97	
L _M	52.69	-65.4	22.15	69.05	161	
C _M	59.61	-29.04	-44.69	53.3	237	
V _M	28.39	24.0	-43.18	49.4	299	
M _M	49.58	74.01	-8.22	74.47	354	
N _M	18.89	0.5	0.77	0.92	57	
W _M	96.9	-0.57	2.23	2.3	104	
O _M	39.92	58.74	27.99	65.07	25	
Y _M	81.26	-2.89	71.56	71.62	92	
L _M	52.23	-42.42	13.6	44.55	162	
V _M	30.57	1.41	-46.47	46.49	272	

$u^*_d = y50l$

LAB^*LAB^*

Daten für Maximalfarbe (Ma):

$\text{LAB}^*\text{LAB}^*_{Ma}: 69 -41 50$

$\text{LAB}^*\text{LCH}^*_{Ma}: 69 65 129$

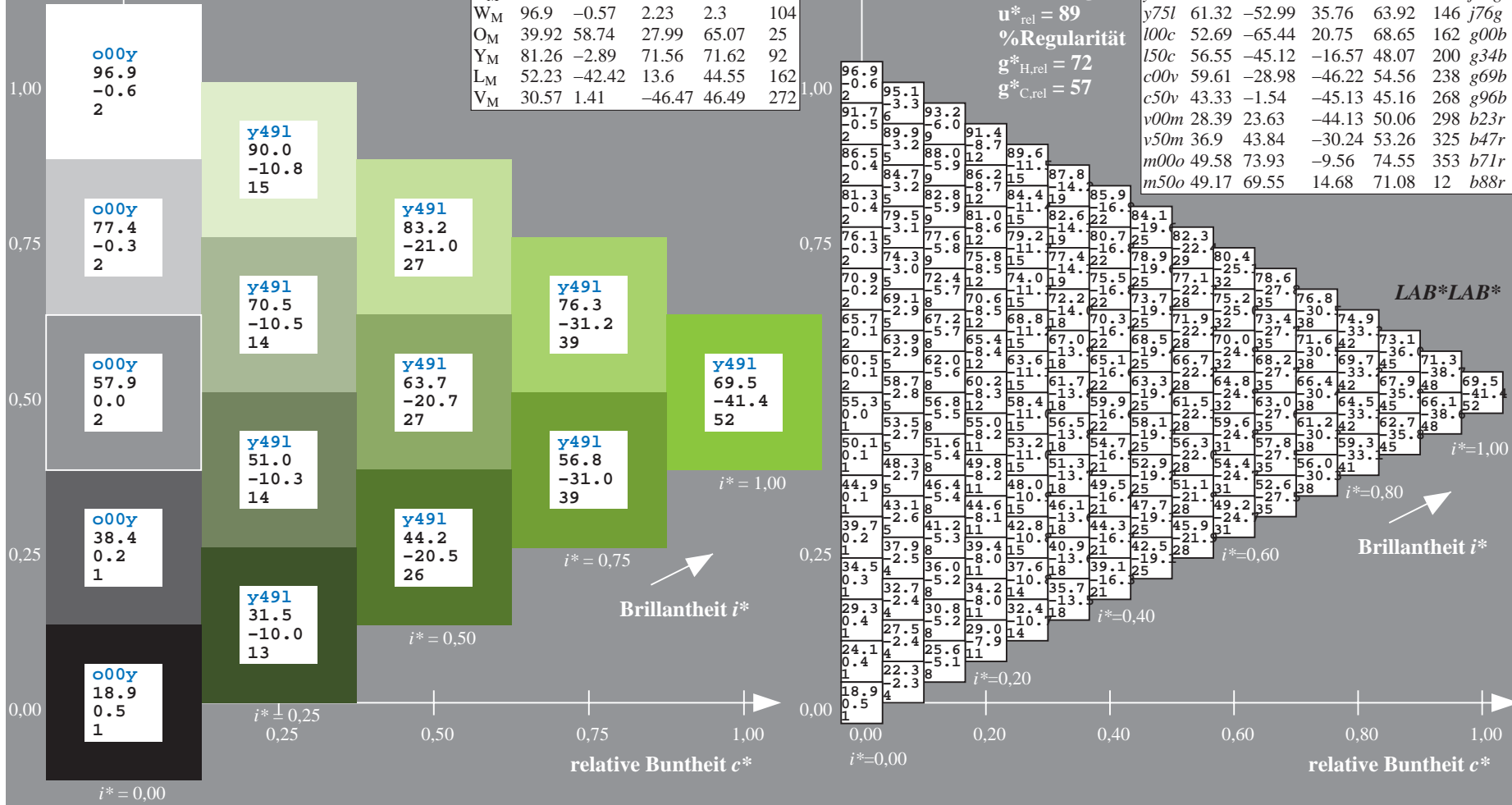
$\text{lab}^*\text{olv}^*_{Ma}: 0.5 1.0 0.0$

$\text{lab}^*\text{rgb}^*_{Ma}: 0.47 1.0 0.0$

Dreiecks-Helligkeit t^*

ORS19_96a; adaptierte CIELAB-Daten

u^*_d	$L^*=L^*_a$	a^*_a	b^*_a	$C^*_{ab,a}$	$h^*_{ab,a}$	u^*_e
o00y	48.75	65.07	39.43	76.08	31	r08j
o25y	59.04	46.67	51.1	69.21	48	r33j
o50y	68.32	30.09	61.62	68.58	64	r57j
o75y	78.23	12.39	72.85	73.9	80	r81j
y00l	90.92	-10.29	87.24	87.85	97	j06g
y25l	78.57	-28.11	65.75	71.51	113	j29g
y50l	69.46	-41.25	49.92	64.75	130	j53g
y75l	61.32	-52.99	35.76	63.92	146	j76g
l00c	52.69	-65.44	20.75	68.65	162	g00b
l50c	56.55	-45.12	-16.57	48.07	200	g34b
c00v	59.61	-28.98	-46.22	54.56	238	g69b
c50v	43.33	-1.54	-45.13	45.16	268	g96b
v00m	28.39	23.63	-44.13	50.06	298	b23r
v50m	36.9	43.84	-30.24	53.26	325	b47r
m00o	49.58	73.93	-9.56	74.55	353	b71r
m50o	49.17	69.55	14.68	71.08	12	b88r



Ein und Ausgabe: Farbmatisches Drucker-Reflektiv-System ORS19_96a für relativen CIELAB-Bunton $h^* = lab^*h^* = h_{ab}/360 = 0.406$

$u^*_d = y75l$
 LAB^*LAB^*

Daten für jede Farbe:

lab^*tch^* und lab^*icu^*

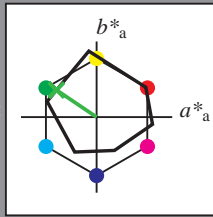
Buntontexte:

$u^*_d = y75l$ $u^*_e = j76g$

Kontrastreduzierungsfaktor:

$c_R = 1.0$

Dreiecks-Helligkeit t^*



ORS19_96; CIELAB-Daten						
u^*_d	$L^*=L^*$	a^*	b^*	C^*_{ab}	h^*_{ab}	
O _M	48.75	65.16	40.76	76.86	32	
Y _M	90.92	-10.78	89.36	90.01	97	
L _M	52.69	-65.4	22.15	69.05	161	
C _M	59.61	-29.04	-44.69	53.3	237	
V _M	28.39	24.0	-43.18	49.4	299	
M _M	49.58	74.01	-8.22	74.47	354	
N _M	18.89	0.5	0.77	0.92	57	
W _M	96.9	-0.57	2.23	2.3	104	
O _M	39.92	58.74	27.99	65.07	25	
Y _M	81.26	-2.89	71.56	71.62	92	
L _M	52.23	-42.42	13.6	44.55	162	
V _M	30.57	1.41	-46.47	46.49	272	

Daten für Maximalfarbe (Ma):

$LAB^*LAB^*_{Ma}$: 61 -53 36

$LAB^*LCH^*_{Ma}$: 61 64 145

$lab^*olv^*_{Ma}$: 0.25 1.0 0.0

$lab^*rgb^*_{Ma}$: 0.23 1.0 0.0

Dreiecks-Helligkeit t^*

%Umfang

$u^*_{rel} = 89$

%Regularität

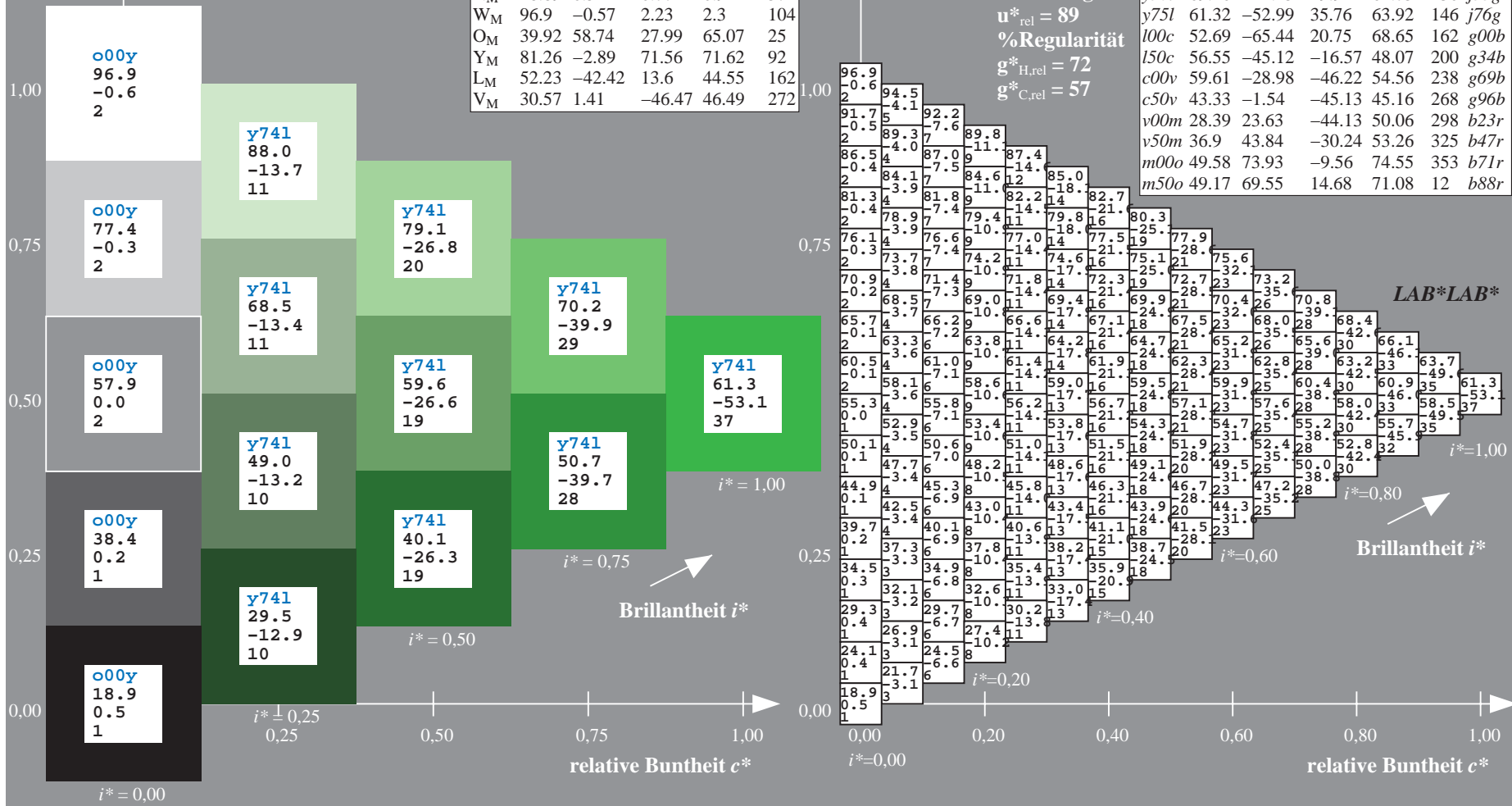
$g^*_{H,rel} = 72$

$g^*_{C,rel} = 57$

ORS19_96a; adaptierte CIELAB-Daten

u^*_d	$L^*=L^*_a$	a^*_a	b^*_a	$C^*_{ab,a}$	$h^*_{ab,a}$	u^*_e
o00y	48.75	65.07	39.43	76.08	31	r08j
o25y	59.04	46.67	51.1	69.21	48	r33j
o50y	68.32	30.09	61.62	68.58	64	r57j
o75y	78.23	12.39	72.85	73.9	80	r81j
y00l	90.92	-10.29	87.24	87.85	97	j06g
y25l	78.57	-28.11	65.75	71.51	113	j29g
y50l	69.46	-41.25	49.92	64.75	130	j53g
y75l	61.32	-52.99	35.76	63.92	146	j76g
l00c	52.69	-65.44	20.75	68.65	162	g00b
l50c	56.55	-45.12	-16.57	48.07	200	g34b
c00v	59.61	-28.98	-46.22	54.56	238	g69b
c50v	43.33	-1.54	-45.13	45.16	268	g96b
v00m	28.39	23.63	-44.13	50.06	298	b23r
v50m	36.9	43.84	-30.24	53.26	325	b47r
m00o	49.58	73.93	-9.56	74.55	353	b71r
m50o	49.17	69.55	14.68	71.08	12	b88r

LAB^*LAB^*



Ein und Ausgabe: Farbmatisches Drucker-Reflektiv-System ORS19_96a für relativen CIELAB-Bunton $h^* = lab^*h^* = h_{ab}/360 = 0.451$

$u^*_d = 100c$
 LAB^*LAB^*

Daten für jede Farbe:

lab^*tch^* und lab^*icu^*

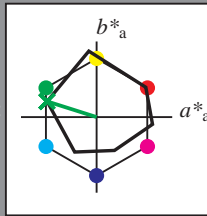
Buntontexte:

$u^*_d = 100c$ $u^*_e = g00b$

Kontrastreduzierungsfaktor:

$c_R = 1.0$

Dreiecks-Helligkeit t^*



ORS19_96; CIELAB-Daten

u^*_d	$L^*=L^*$	a^*	b^*	C^*_{ab}	h^*_{ab}
O _M	48.75	65.16	40.76	76.86	32
Y _M	90.92	-10.78	89.36	90.01	97
L _M	52.69	-65.4	22.15	69.05	161
C _M	59.61	-29.04	-44.69	53.3	237
V _M	28.39	24.0	-43.18	49.4	299
M _M	49.58	74.01	-8.22	74.47	354
N _M	18.89	0.5	0.77	0.92	57
W _M	96.9	-0.57	2.23	2.3	104
O _M	39.92	58.74	27.99	65.07	25
Y _M	81.26	-2.89	71.56	71.62	92
L _M	52.23	-42.42	13.6	44.55	162
V _M	30.57	1.41	-46.47	46.49	272

Daten für Maximalfarbe (Ma):

$LAB^*LAB^*_{Ma}$: 53 -65 21

$LAB^*LCH^*_{Ma}$: 53 69 162

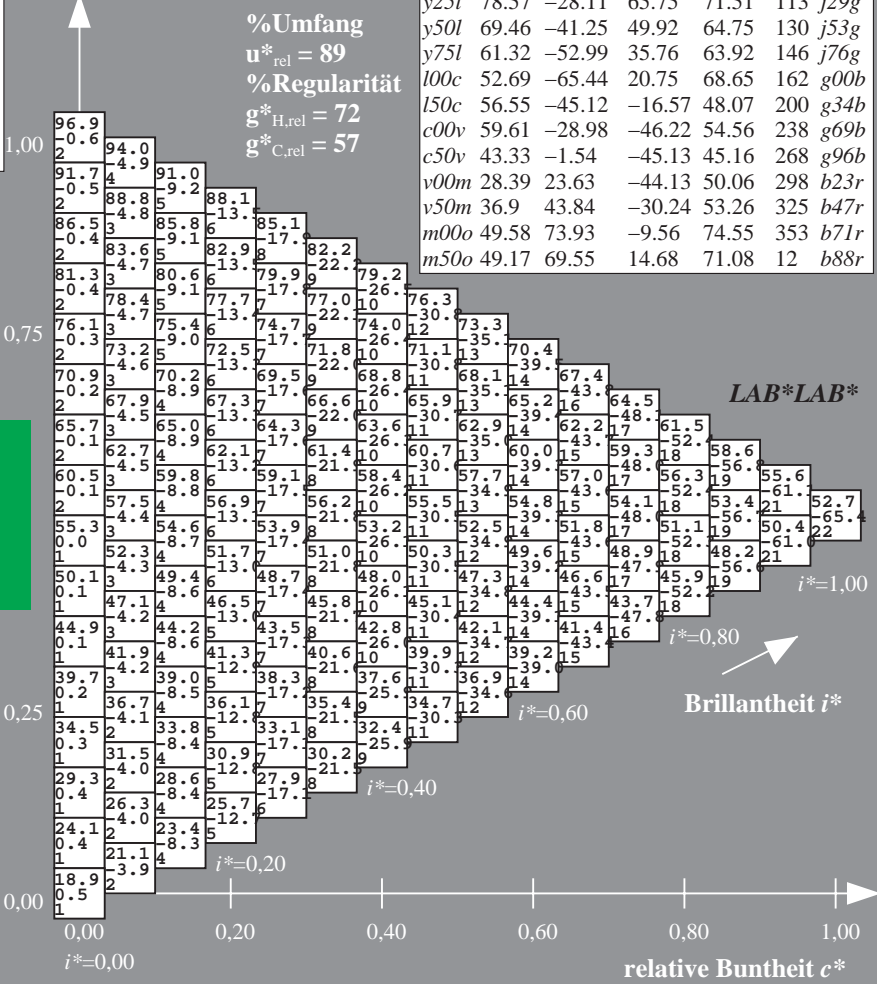
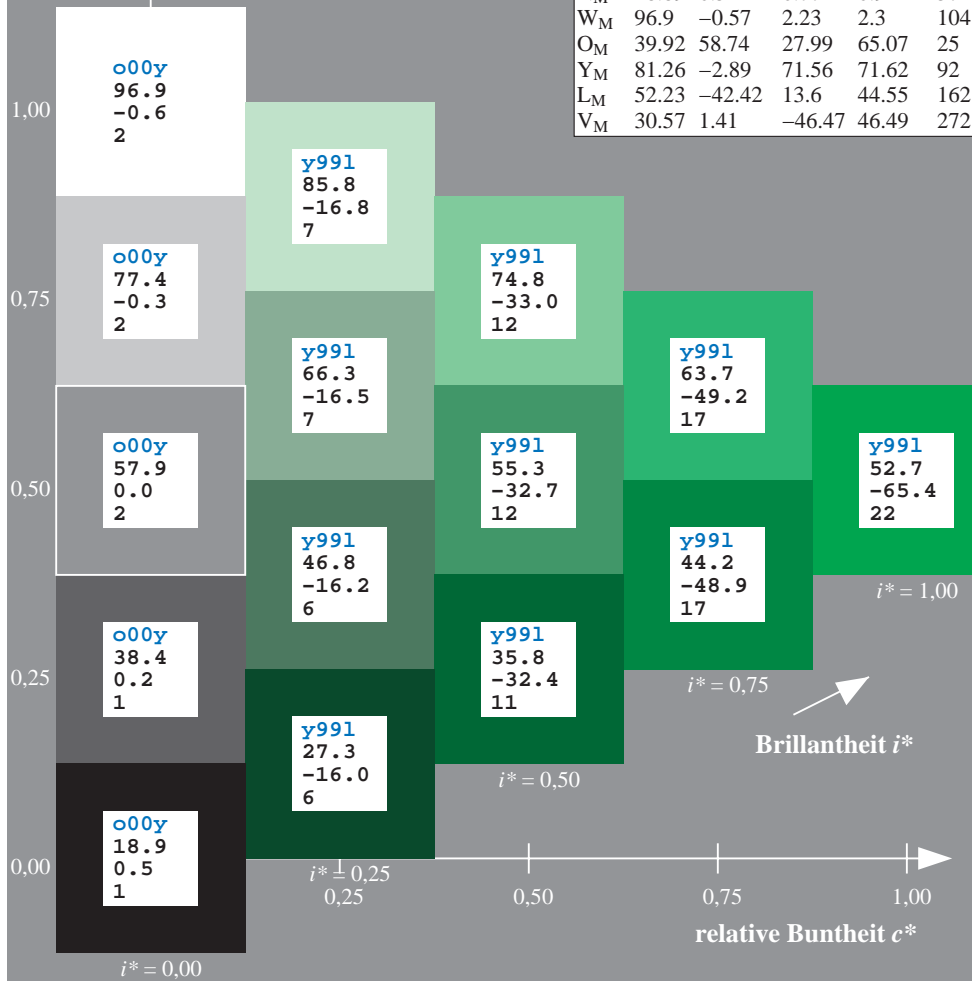
$lab^*olv^*_{Ma}$: 0.0 1.0 0.0

$lab^*rgb^*_{Ma}$: 0.0 1.0 0.0

Dreiecks-Helligkeit t^*

ORS19_96a; adaptierte CIELAB-Daten

u^*_d	$L^*=L^*_a$	a^*_a	b^*_a	$C^*_{ab,a}$	$h^*_{ab,a}$	u^*_e
o00y	48.75	65.07	39.43	76.08	31	r08j
o25y	59.04	46.67	51.1	69.21	48	r33j
o50y	68.32	30.09	61.62	68.58	64	r57j
o75y	78.23	12.39	72.85	73.9	80	r81j
y00l	90.92	-10.29	87.24	87.85	97	j06g
y25l	78.57	-28.11	65.75	71.51	113	j29g
y50l	69.46	-41.25	49.92	64.75	130	j53g
y75l	61.32	-52.99	35.76	63.92	146	j76g
l00c	52.69	-65.44	20.75	68.65	162	g00b
l50c	56.55	-45.12	-16.57	48.07	200	g34b
c00v	59.61	-28.98	-46.22	54.56	238	g69b
c50v	43.33	-1.54	-45.13	45.16	268	g96b
v00m	28.39	23.63	-44.13	50.06	298	b23r
v50m	36.9	43.84	-30.24	53.26	325	b47r
m00o	49.58	73.93	-9.56	74.55	353	b71r
m50o	49.17	69.55	14.68	71.08	12	b88r



Ein und Ausgabe: Farbmatisches Drucker-Reflektiv-System ORS19_96a für relativen CIELAB-Bunton $h^* = lab^*h^* = h_{ab}/360 = 0.556$

$u^*_d = 150c$
LAB*LAB*

Daten für jede Farbe:

lab^*ch^* und lab^*icu^*

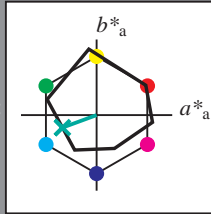
Buntontexte:

$u^*_d = 150c$ $u^*_e = g34b$

Kontrastreduzierungsfaktor:

$c_R = 1.0$

Dreiecks-Helligkeit t^*



ORS19_96; CIELAB-Daten

u^*_d	$L^*=L^*$	a^*	b^*	C^*_{ab}	h^*_{ab}
O _M	48.75	65.16	40.76	76.86	32
Y _M	90.92	-10.78	89.36	90.01	97
L _M	52.69	-65.4	22.15	69.05	161
C _M	59.61	-29.04	-44.69	53.3	237
V _M	28.39	24.0	-43.18	49.4	299
M _M	49.58	74.01	-8.22	74.47	354
N _M	18.89	0.5	0.77	0.92	57
W _M	96.9	-0.57	2.23	2.3	104
O _M	39.92	58.74	27.99	65.07	25
Y _M	81.26	-2.89	71.56	71.62	92
L _M	52.23	-42.42	13.6	44.55	162
V _M	30.57	1.41	-46.47	46.49	272

Daten für Maximalfarbe (Ma):

LAB*LAB*_{Ma}: 57 -45 -17

LAB*LCH*_{Ma}: 57 48 200

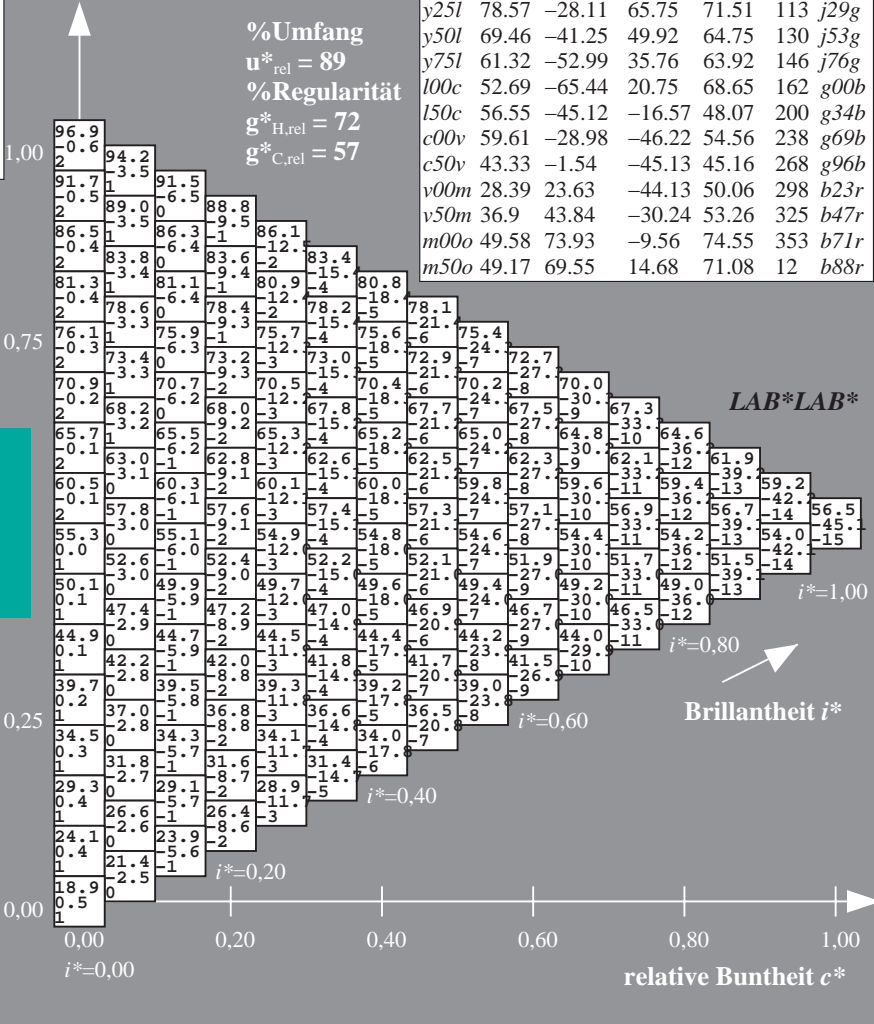
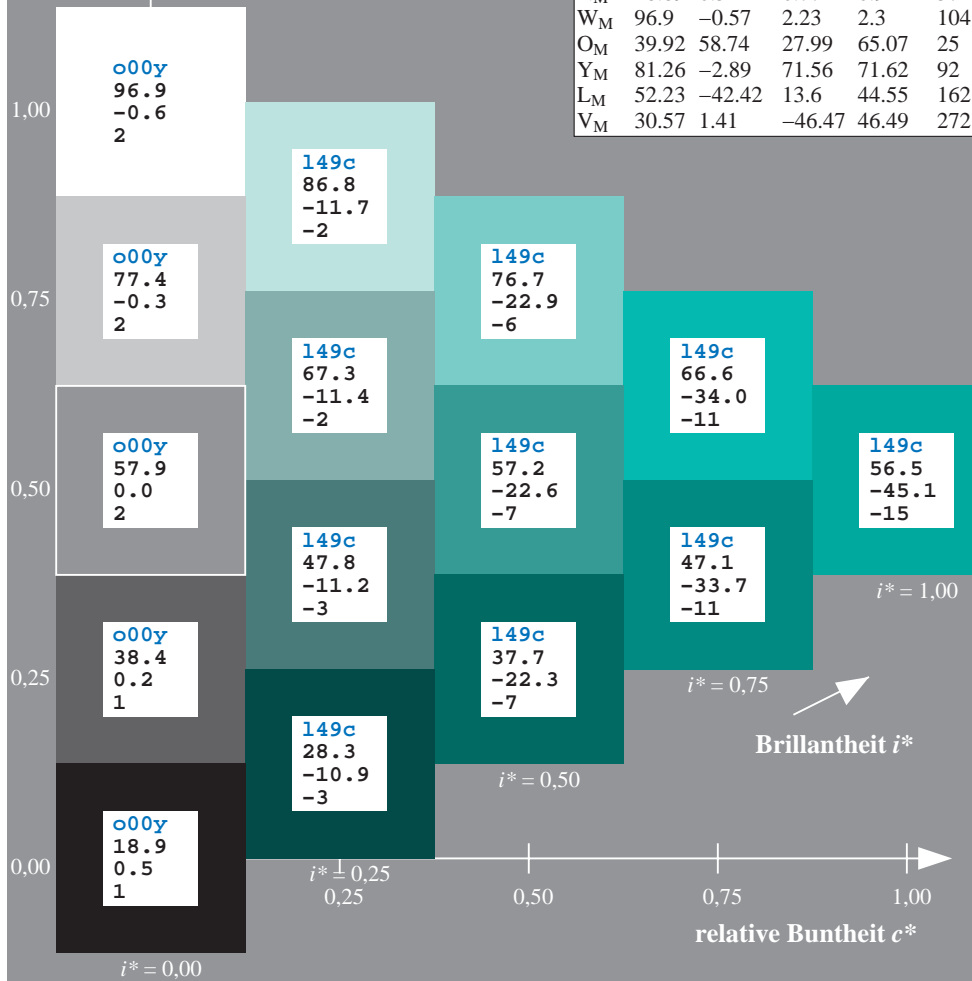
lab*olv*_{Ma}: 0.0 1.0 0.5

lab*rgb*_{Ma}: 0.0 1.0 0.69

Dreiecks-Helligkeit t^*

ORS19_96a; adaptierte CIELAB-Daten

u^*_d	$L^*=L^*_a$	a^*_a	b^*_a	$C^*_{ab,a}$	$h^*_{ab,a}$	u^*_e
o00y	48.75	65.07	39.43	76.08	31	r08j
o25y	59.04	46.67	51.1	69.21	48	r33j
o50y	68.32	30.09	61.62	68.58	64	r57j
o75y	78.23	12.39	72.85	73.9	80	r81j
y00l	90.92	-10.29	87.24	87.85	97	j06g
y25l	78.57	-28.11	65.75	71.51	113	j29g
y50l	69.46	-41.25	49.92	64.75	130	j53g
y75l	61.32	-52.99	35.76	63.92	146	j76g
l00c	52.69	-65.44	20.75	68.65	162	g00b
l50c	56.55	-45.12	-16.57	48.07	200	g34b
c00v	59.61	-28.98	-46.22	54.56	238	g69b
c50v	43.33	-1.54	-45.13	45.16	268	g96b
v00m	28.39	23.63	-44.13	50.06	298	b23r
v50m	36.9	43.84	-30.24	53.26	325	b47r
m00o	49.58	73.93	-9.56	74.55	353	b71r
m50o	49.17	69.55	14.68	71.08	12	b88r



Ein und Ausgabe: Farbmatisches Drucker-Reflektiv-System ORS19_96a für relativen CIELAB-Bunton $h^* = \text{lab}^*h^* = h_{ab}/360 = 0.661$

$u^*_d = c00v$
 LAB^*LAB^*

Daten für jede Farbe:

lab^*tch^* und lab^*icu^*

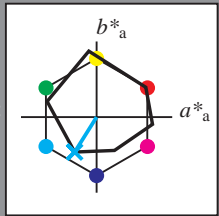
Buntontexte:

$u^*_d = c00v$ $u^*_e = g69b$

Kontrastreduzierungsfaktor:

$c_R = 1.0$

Dreiecks-Helligkeit t^*



ORS19_96; CIELAB-Daten

u^*_d	$L^*=L^*$	a^*	b^*	C^*_{ab}	h^*_{ab}
O _M	48.75	65.16	40.76	76.86	32
Y _M	90.92	-10.78	89.36	90.01	97
L _M	52.69	-65.4	22.15	69.05	161
C _M	59.61	-29.04	-44.69	53.3	237
V _M	28.39	24.0	-43.18	49.4	299
M _M	49.58	74.01	-8.22	74.47	354
N _M	18.89	0.5	0.77	0.92	57
W _M	96.9	-0.57	2.23	2.3	104
O _M	39.92	58.74	27.99	65.07	25
Y _M	81.26	-2.89	71.56	71.62	92
L _M	52.23	-42.42	13.6	44.55	162
V _M	30.57	1.41	-46.47	46.49	272

Daten für Maximalfarbe (Ma):

$LAB^*LAB^*_{Ma}: 60 -29 -46$

$LAB^*LCH^*_{Ma}: 60 55 237$

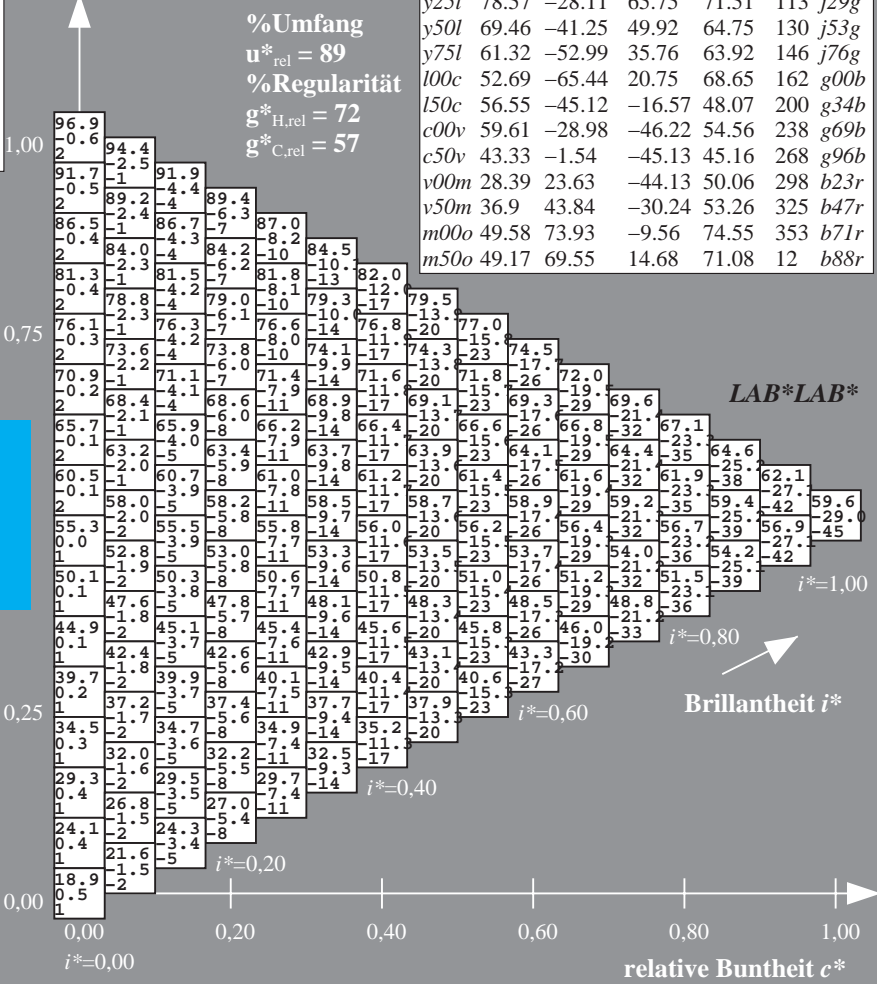
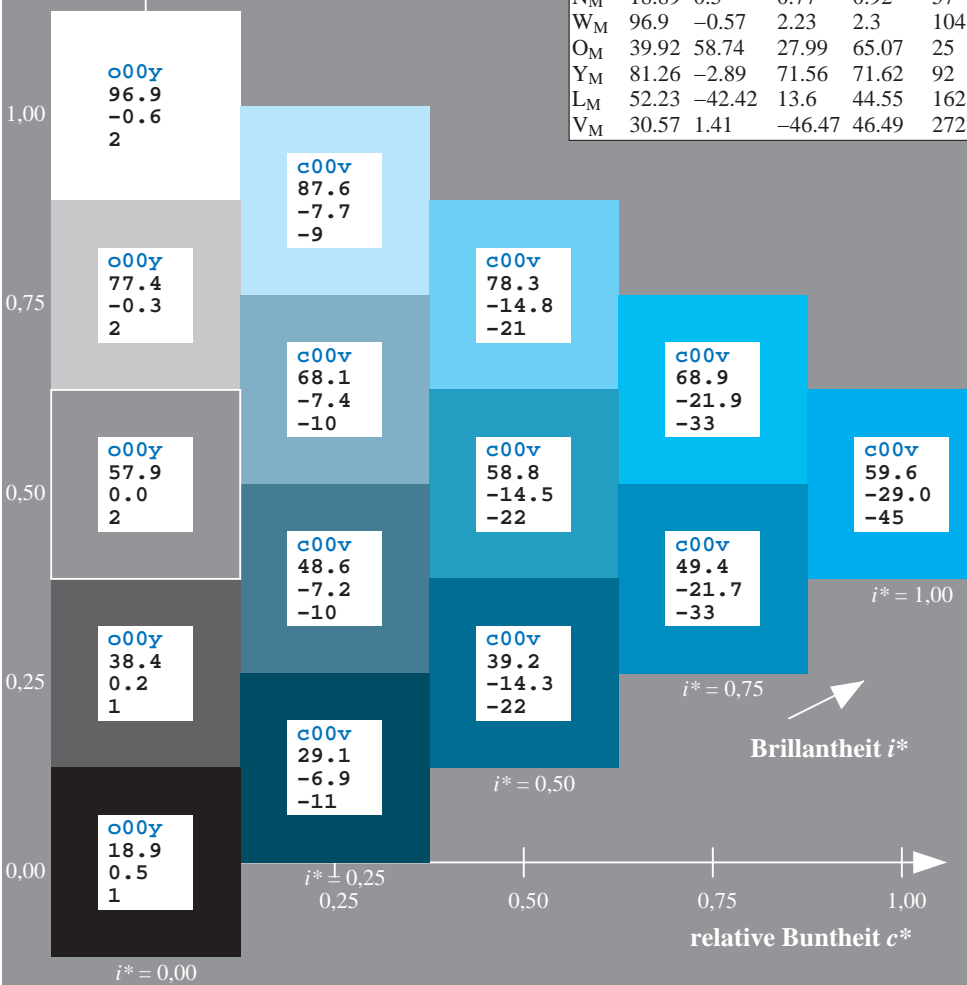
$\text{lab}^*olv^*_{Ma}: 0.0 1.0 1.0$

$\text{lab}^*rgb^*_{Ma}: 0.0 0.62 1.0$

Dreiecks-Helligkeit t^*

ORS19_96a; adaptierte CIELAB-Daten

u^*_d	$L^*=L^*_a$	a^*_a	b^*_a	$C^*_{ab,a}$	$h^*_{ab,a}$	u^*_e
o00y	48.75	65.07	39.43	76.08	31	r08j
o25y	59.04	46.67	51.1	69.21	48	r33j
o50y	68.32	30.09	61.62	68.58	64	r57j
o75y	78.23	12.39	72.85	73.9	80	r81j
y00l	90.92	-10.29	87.24	87.85	97	j06g
y25l	78.57	-28.11	65.75	71.51	113	j29g
y50l	69.46	-41.25	49.92	64.75	130	j53g
y75l	61.32	-52.99	35.76	63.92	146	j76g
l00c	52.69	-65.44	20.75	68.65	162	g00b
l50c	56.55	-45.12	-16.57	48.07	200	g34b
c00v	59.61	-28.98	-46.22	54.56	238	g69b
c50v	43.33	-1.54	-45.13	45.16	268	g96b
v00m	28.39	23.63	-44.13	50.06	298	b23r
v50m	36.9	43.84	-30.24	53.26	325	b47r
m00o	49.58	73.93	-9.56	74.55	353	b71r
m50o	49.17	69.55	14.68	71.08	12	b88r



%Umfang
 $u^*_{rel} = 89$
%Regularität
 $g^*_{H,rel} = 72$
 $g^*_{C,rel} = 57$

LAB^*LAB^*

Brillantheit i^*

relative Buntheit c^*

relative Buntheit c^*

Ein und Ausgabe: Farbmatisches Drucker-Reflektiv-System ORS19_96a für relativen CIELAB-Bunton $h^* = \text{lab}^*h^* = h_{ab}/360 = 0.745$

$u^*_d = c50v$
LAB*LAB*

Daten für jede Farbe:

lab^*tch^* und lab^*icu^*

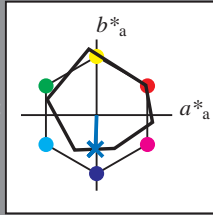
Buntontexte:

$u^*_d = c50v$ $u^*_e = g96b$

Kontrastreduzierungsfaktor:

$c_R = 1.0$

Dreiecks-Helligkeit t^*



ORS19_96; CIELAB-Daten						
u^*_d	$L^*=L^*$	a^*	b^*	C^*_{ab}	h^*_{ab}	
O _M	48.75	65.16	40.76	76.86	32	
Y _M	90.92	-10.78	89.36	90.01	97	
L _M	52.69	-65.4	22.15	69.05	161	
C _M	59.61	-29.04	-44.69	53.3	237	
V _M	28.39	24.0	-43.18	49.4	299	
M _M	49.58	74.01	-8.22	74.47	354	
N _M	18.89	0.5	0.77	0.92	57	
W _M	96.9	-0.57	2.23	2.3	104	
O _M	39.92	58.74	27.99	65.07	25	
Y _M	81.26	-2.89	71.56	71.62	92	
L _M	52.23	-42.42	13.6	44.55	162	
V _M	30.57	1.41	-46.47	46.49	272	

Daten für Maximalfarbe (Ma):

LAB*LAB*_{Ma}: 43 -2 -45

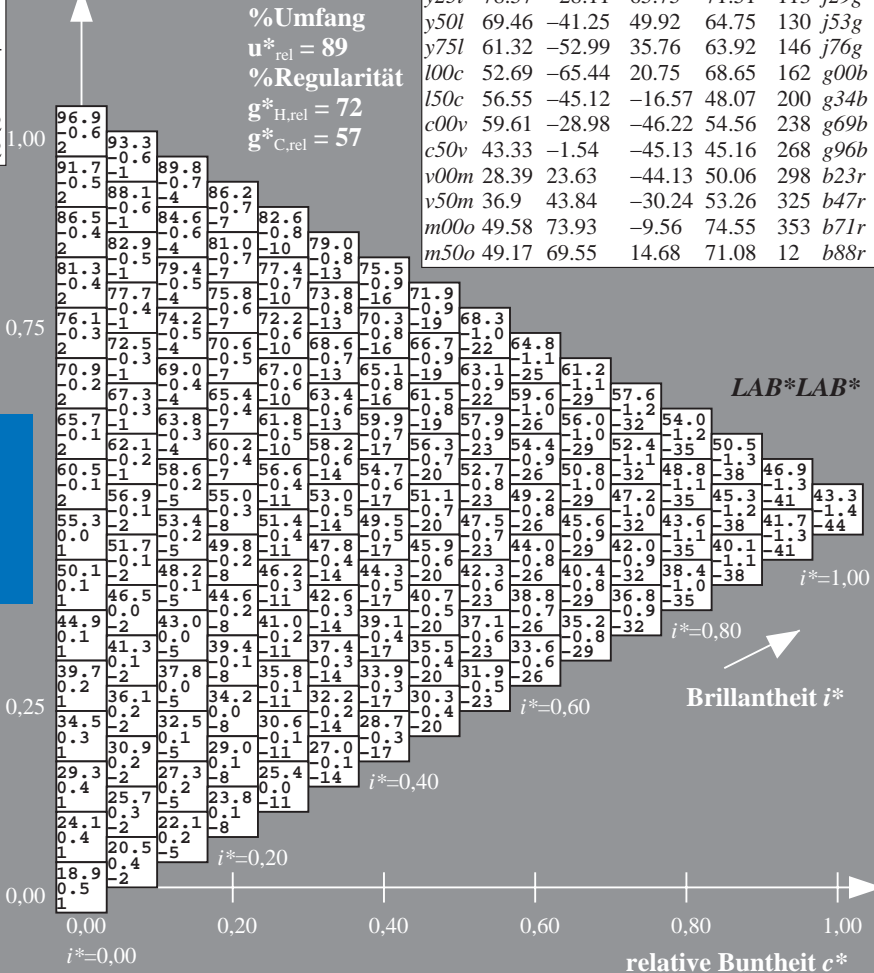
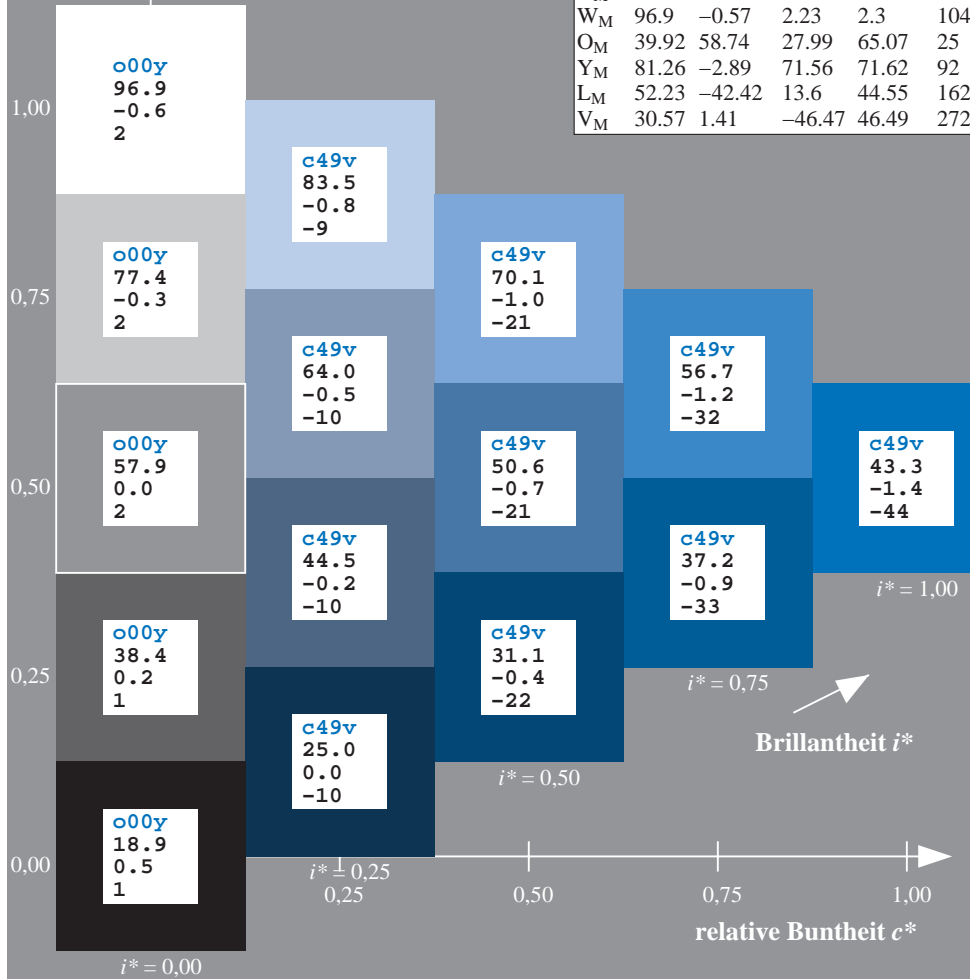
LAB*LCH*_{Ma}: 43 45 268

lab*olv*_{Ma}: 0.0 0.5 1.0

lab*rgb*_{Ma}: 0.0 0.07 1.0

Dreiecks-Helligkeit t^*

ORS19_96a; adaptierte CIELAB-Daten								
u^*_d	$L^*=L^*_a$	a^*_a	b^*_a	$C^*_{ab,a}$	$h^*_{ab,a}$	u^*_e		
o00y	48.75	65.07	39.43	76.08	31	r08j		
o25y	59.04	46.67	51.1	69.21	48	r33j		
o50y	68.32	30.09	61.62	68.58	64	r57j		
o75y	78.23	12.39	72.85	73.9	80	r81j		
y00l	90.92	-10.29	87.24	87.85	97	j06g		
y25l	78.57	-28.11	65.75	71.51	113	j29g		
y50l	69.46	-41.25	49.92	64.75	130	j53g		
y75l	61.32	-52.99	35.76	63.92	146	j76g		
l00c	52.69	-65.44	20.75	68.65	162	g00b		
l50c	56.55	-45.12	-16.57	48.07	200	g34b		
c00v	59.61	-28.98	-46.22	54.56	238	g69b		
c50v	43.33	-1.54	-45.13	45.16	268	g96b		
v00m	28.39	23.63	-44.13	50.06	298	b23r		
v50m	36.9	43.84	-30.24	53.26	325	b47r		
m00o	49.58	73.93	-9.56	74.55	353	b71r		
m50o	49.17	69.55	14.68	71.08	12	b88r		



Ein und Ausgabe: Farbmatisches Drucker-Reflektiv-System ORS19_96a für relativen CIELAB-Bunton $h^* = lab^*h^* = h_{ab}/360 = 0.828$

$u^*_d = v00m$

Daten für jede Farbe:

lab^*tch^* und lab^*icu^*

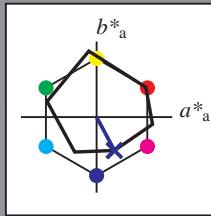
Buntontexte:

$u^*_d = v00m$ $u^*_e = b23r$

Kontrastreduzierungsfaktor:

$c_R = 1.0$

Dreiecks-Helligkeit t^*



ORS19_96; CIELAB-Daten

	u^*_d	$L^*=L^*$	a^*	b^*	C^*_{ab}	h^*_{ab}
O _M	48.75	65.16	40.76	76.86	32	
Y _M	90.92	-10.78	89.36	90.01	97	
L _M	52.69	-65.4	22.15	69.05	161	
C _M	59.61	-29.04	-44.69	53.3	237	
V _M	28.39	24.0	-43.18	49.4	299	
M _M	49.58	74.01	-8.22	74.47	354	
N _M	18.89	0.5	0.77	0.92	57	
W _M	96.9	-0.57	2.23	2.3	104	
O _M	39.92	58.74	27.99	65.07	25	
Y _M	81.26	-2.89	71.56	71.62	92	
L _M	52.23	-42.42	13.6	44.55	162	
V _M	30.57	1.41	-46.47	46.49	272	

Daten für Maximalfarbe (Ma):

$LAB^*LAB^*_{Ma}: 28\ 24\ -44$

$LAB^*LCH^*_{Ma}: 28\ 50\ 298$

$lab^*olv^*_{Ma}: 0.0\ 0.0\ 1.0$

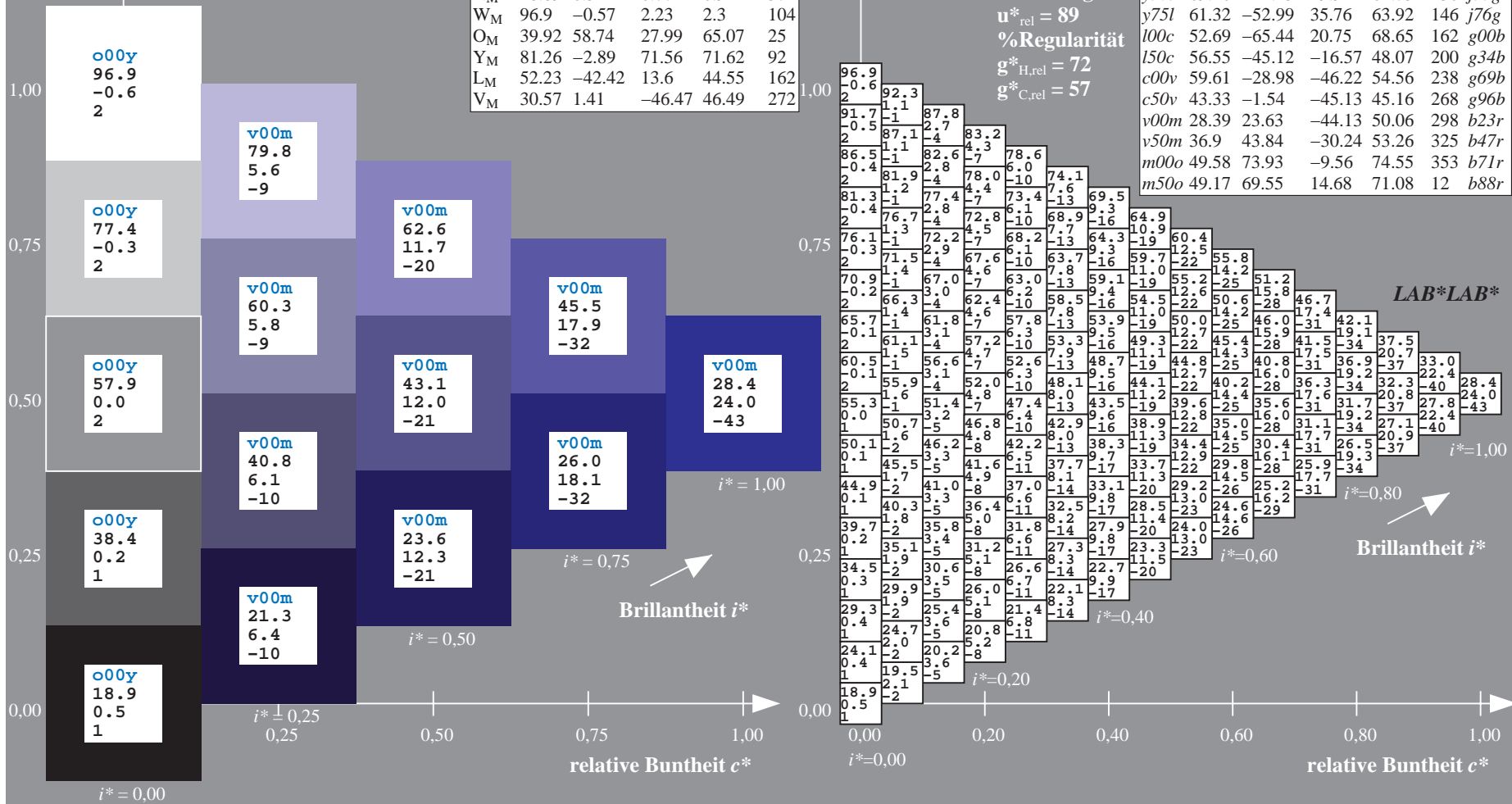
$lab^*rgb^*_{Ma}: 0.46\ 0.0\ 1.0$

Dreiecks-Helligkeit t^*

ORS19_96a; adaptierte CIELAB-Daten

	u^*_d	$L^*=L^*_a$	a^*_a	b^*_a	$C^*_{ab,a}$	$h^*_{ab,a}$	u^*_e
o00y	48.75	65.07	39.43	76.08	31	r08j	
o25y	59.04	46.67	51.1	69.21	48	r33j	
o50y	68.32	30.09	61.62	68.58	64	r57j	
o75y	78.23	12.39	72.85	73.9	80	r81j	
y00l	90.92	-10.29	87.24	87.85	97	j06g	
y25l	78.57	-28.11	65.75	71.51	113	j29g	
y50l	69.46	-41.25	49.92	64.75	130	j53g	
y75l	61.32	-52.99	35.76	63.92	146	j76g	
l00c	52.69	-65.44	20.75	68.65	162	g00b	
l50c	56.55	-45.12	-16.57	48.07	200	g34b	
c00v	59.61	-28.98	-46.22	54.56	238	g69b	
c50v	43.33	-1.54	-45.13	45.16	268	g96b	
v00m	28.39	23.63	-44.13	50.06	298	b23r	
v50m	36.9	43.84	-30.24	53.26	325	b47r	
m00o	49.58	73.93	-9.56	74.55	353	b71r	
m50o	49.17	69.55	14.68	71.08	12	b88r	

LAB^*LAB^*



Ein und Ausgabe: Farbmatisches Drucker-Reflektiv-System ORS19_96a für relativen CIELAB-Bunton $h^* = lab^*h^* = h_{ab}/360 = 0.904$

$u^*_d = v50m$

Daten für jede Farbe:

lab^*ch^* und lab^*icu^*

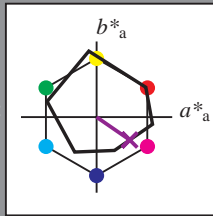
Buntontexte:

$u^*_d = v50m$ $u^*_e = b47r$

Kontrastreduzierungsfaktor:

$c_R = 1.0$

Dreiecks-Helligkeit t^*



ORS19_96; CIELAB-Daten						
u^*_d	$L^*=L^*_a$	a^*_a	b^*_a	C^*_{ab}	h^*_{ab}	
O _M	48.75	65.16	40.76	76.86	32	
Y _M	90.92	-10.78	89.36	90.01	97	
L _M	52.69	-65.4	22.15	69.05	161	
C _M	59.61	-29.04	-44.69	53.3	237	
V _M	28.39	24.0	-43.18	49.4	299	
M _M	49.58	74.01	-8.22	74.47	354	
N _M	18.89	0.5	0.77	0.92	57	
W _M	96.9	-0.57	2.23	2.3	104	
O _M	39.92	58.74	27.99	65.07	25	
Y _M	81.26	-2.89	71.56	71.62	92	
L _M	52.23	-42.42	13.6	44.55	162	
V _M	30.57	1.41	-46.47	46.49	272	

Daten für Maximalfarbe (Ma):

$LAB^*LAB^*_{Ma}: 37\ 44\ -30$

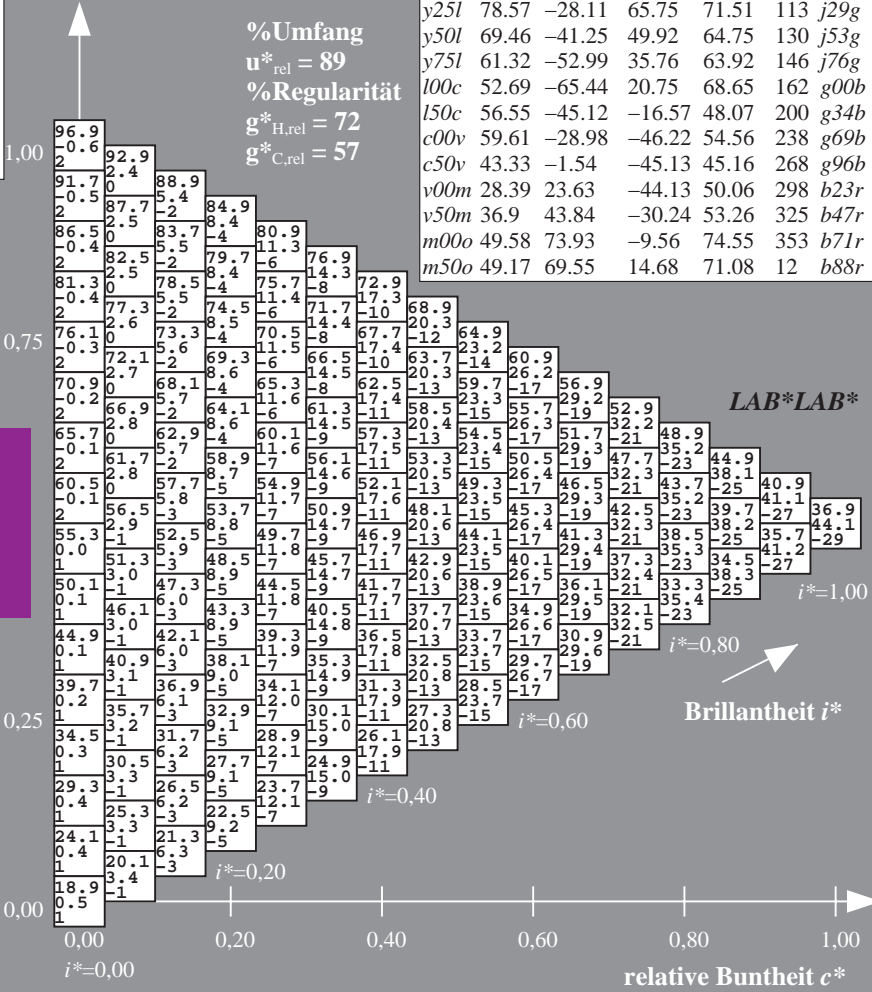
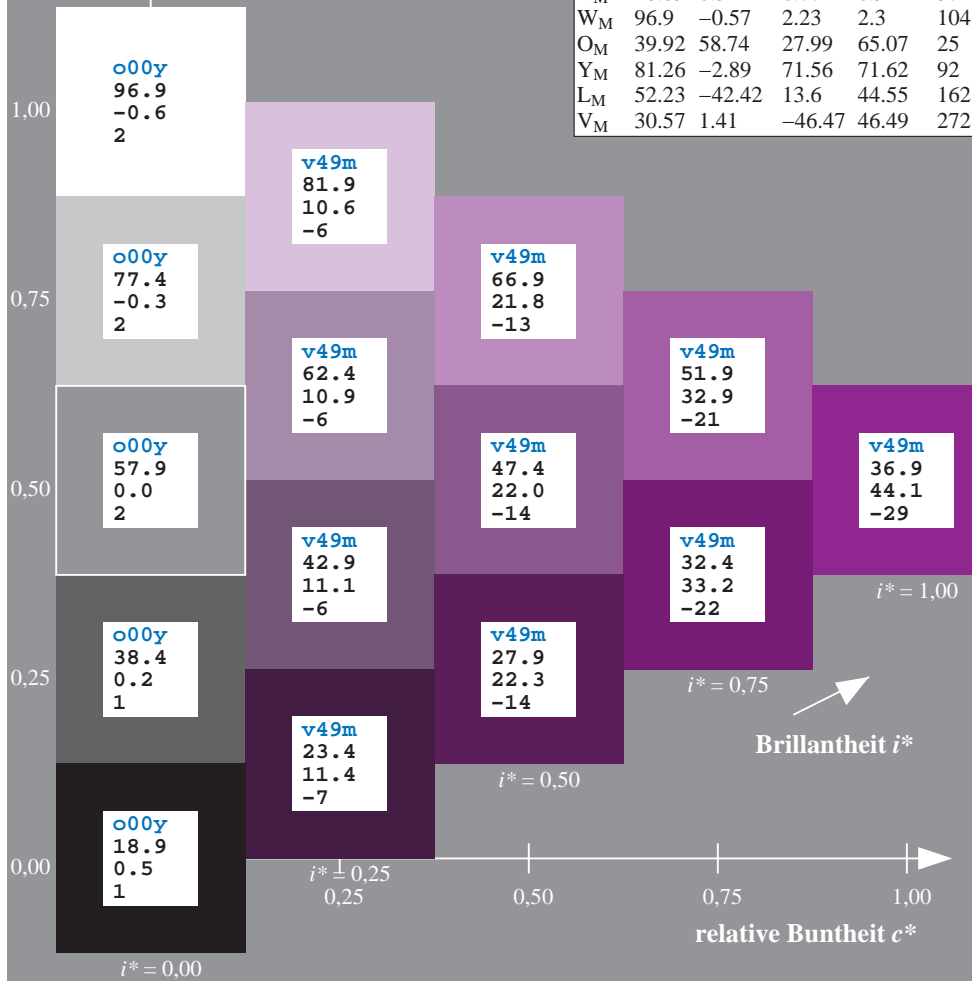
$LAB^*LCH^*_{Ma}: 37\ 53\ 325$

$lab^*olv^*_{Ma}: 0.5\ 0.0\ 1.0$

$lab^*rgb^*_{Ma}: 0.94\ 0.0\ 1.0$

Dreiecks-Helligkeit t^*

ORS19_96a; adaptierte CIELAB-Daten								
u^*_d	$L^*=L^*_a$	a^*_a	b^*_a	$C^*_{ab,a}$	$h^*_{ab,a}$	u^*_e		
o00y	48.75	65.07	39.43	76.08	31	r08j		
o25y	59.04	46.67	51.1	69.21	48	r33j		
o50y	68.32	30.09	61.62	68.58	64	r57j		
o75y	78.23	12.39	72.85	73.9	80	r81j		
y00l	90.92	-10.29	87.24	87.85	97	j06g		
y25l	78.57	-28.11	65.75	71.51	113	j29g		
y50l	69.46	-41.25	49.92	64.75	130	j53g		
y75l	61.32	-52.99	35.76	63.92	146	j76g		
l00c	52.69	-65.44	20.75	68.65	162	g00b		
l50c	56.55	-45.12	-16.57	48.07	200	g34b		
c00v	59.61	-28.98	-46.22	54.56	238	g69b		
c50v	43.33	-1.54	-45.13	45.16	268	g96b		
v00m	28.39	23.63	-44.13	50.06	298	b23r		
v50m	36.9	43.84	-30.24	53.26	325	b47r		
m00o	49.58	73.93	-9.56	74.55	353	b71r		
m50o	49.17	69.55	14.68	71.08	12	b88r		



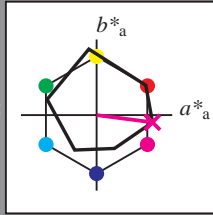
Ein und Ausgabe: Farbmatisches Drucker-Reflektiv-System ORS19_96a für relativen CIELAB-Bunton $h^* = lab^*h^* = h_{ab}/360 = 0.98$

$u^*_d = m00o$

Daten für jede Farbe:

LAB^*LAB^*

lab^*tch^* und lab^*icu^*



Buntontexte:

$u^*_d = m00o$ $u^*_e = b71r$

Kontrastreduzierungsfaktor:

$c_R = 1.0$

Dreiecks-Helligkeit t^*

ORS19_96; CIELAB-Daten

	u^*_d	$L^*=L^*$	a^*	b^*	C^*_{ab}	h^*_{ab}
O _M	48.75	65.16	40.76	76.86	32	
Y _M	90.92	-10.78	89.36	90.01	97	
L _M	52.69	-65.4	22.15	69.05	161	
C _M	59.61	-29.04	-44.69	53.3	237	
V _M	28.39	24.0	-43.18	49.4	299	
M _M	49.58	74.01	-8.22	74.47	354	
N _M	18.89	0.5	0.77	0.92	57	
W _M	96.9	-0.57	2.23	2.3	104	
O _M	39.92	58.74	27.99	65.07	25	
Y _M	81.26	-2.89	71.56	71.62	92	
L _M	52.23	-42.42	13.6	44.55	162	
V _M	30.57	1.41	-46.47	46.49	272	

Daten für Maximalfarbe (Ma):

$LAB^*LAB^*_{Ma}: 50\ 74\ -10$

$LAB^*LCH^*_{Ma}: 50\ 75\ 352$

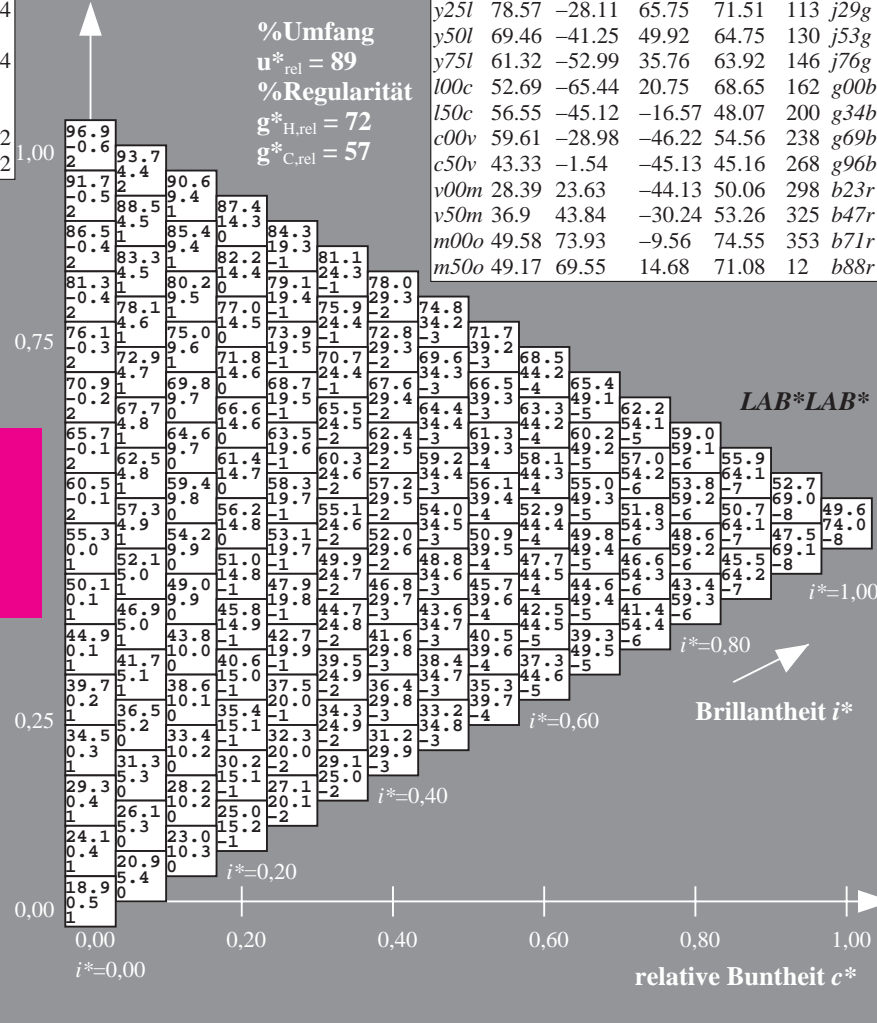
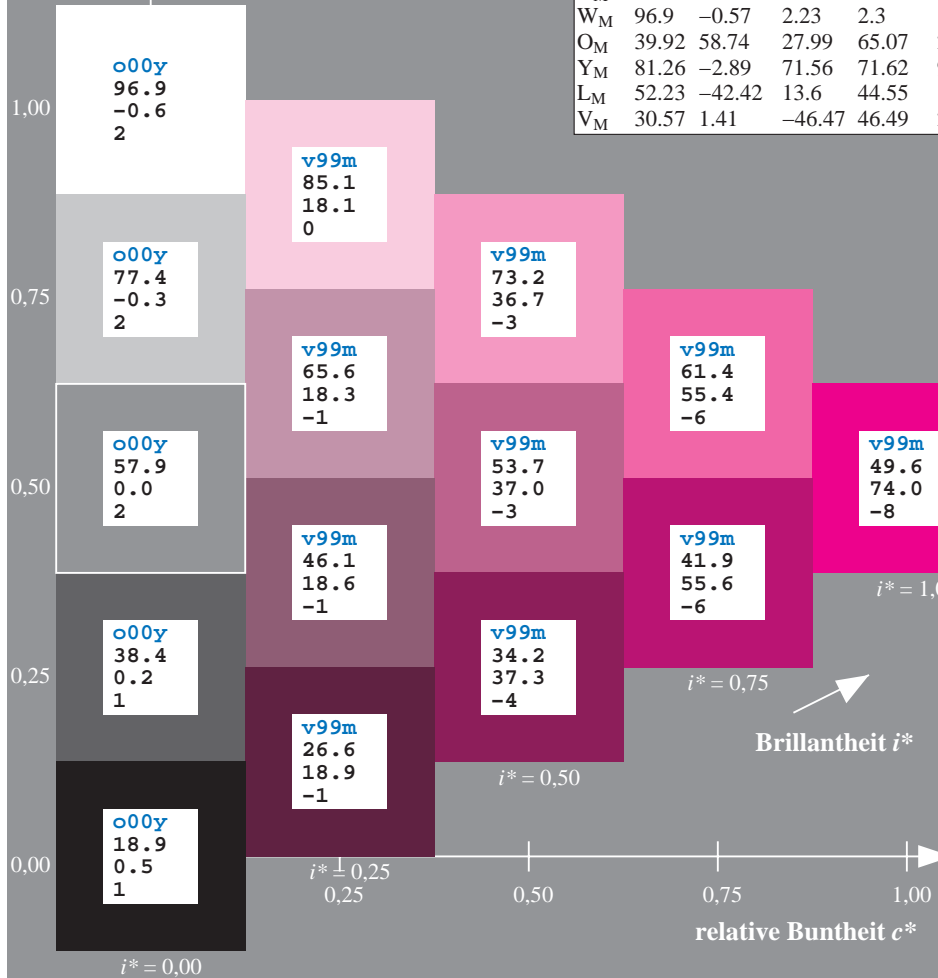
$lab^*olv^*_{Ma}: 1.0\ 0.0\ 1.0$

$lab^*rgb^*_{Ma}: 1.0\ 0.0\ 0.58$

Dreiecks-Helligkeit t^*

ORS19_96a; adaptierte CIELAB-Daten

	u^*_d	$L^*=L^*_a$	a^*_a	b^*_a	$C^*_{ab,a}$	$h^*_{ab,a}$	u^*_e
o00y	48.75	65.07	39.43	76.08	31	r08j	
o25y	59.04	46.67	51.1	69.21	48	r33j	
o50y	68.32	30.09	61.62	68.58	64	r57j	
o75y	78.23	12.39	72.85	73.9	80	r81j	
y00l	90.92	-10.29	87.24	87.85	97	j06g	
y25l	78.57	-28.11	65.75	71.51	113	j29g	
y50l	69.46	-41.25	49.92	64.75	130	j53g	
y75l	61.32	-52.99	35.76	63.92	146	j76g	
l00c	52.69	-65.44	20.75	68.65	162	g00b	
l50c	56.55	-45.12	-16.57	48.07	200	g34b	
c00v	59.61	-28.98	-46.22	54.56	238	g69b	
c50v	43.33	-1.54	-45.13	45.16	268	g96b	
v00m	28.39	23.63	-44.13	50.06	298	b23r	
v50m	36.9	43.84	-30.24	53.26	325	b47r	
m00o	49.58	73.93	-9.56	74.55	353	b71r	
m50o	49.17	69.55	14.68	71.08	12	b88r	



%Umfang
 $u^*_{rel} = 89$
%Regularität
 $g^*_{H,rel} = 72$
 $g^*_{C,rel} = 57$

LAB^*LAB^*

Brillantheit i^*

Ein und Ausgabe: Farbmatisches Drucker-Reflektiv-System ORS19_96a für relativen CIELAB-Bunton $h^* = \text{lab}^*h^* = h_{ab}/360 = 0.033$

$u^*_d = m50o$

Daten für jede Farbe:

lab^*tch^* und lab^*icu^*

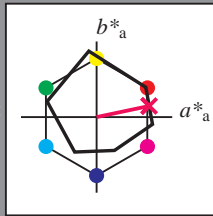
Buntontexte:

$u^*_d = m50o$ $u^*_e = b88r$

Kontrastreduzierungsfaktor:

$c_R = 1.0$

Dreiecks-Helligkeit t^*



ORS19_96; CIELAB-Daten

	u^*_d	$L^*=L^*_a$	a^*_a	b^*_a	C^*_{ab}	h^*_{ab}
O _M	48.75	65.16	40.76	76.86	32	
Y _M	90.92	-10.78	89.36	90.01	97	
L _M	52.69	-65.4	22.15	69.05	161	
C _M	59.61	-29.04	-44.69	53.3	237	
V _M	28.39	24.0	-43.18	49.4	299	
M _M	49.58	74.01	-8.22	74.47	354	
N _M	18.89	0.5	0.77	0.92	57	
W _M	96.9	-0.57	2.23	2.3	104	
O _M	39.92	58.74	27.99	65.07	25	
Y _M	81.26	-2.89	71.56	71.62	92	
L _M	52.23	-42.42	13.6	44.55	162	
V _M	30.57	1.41	-46.47	46.49	272	

Daten für Maximalfarbe (Ma):

$\text{LAB}^*\text{LAB}^*_{Ma}: 49\ 70\ 15$

$\text{LAB}^*\text{LCH}^*_{Ma}: 49\ 71\ 11$

$\text{lab}^*\text{olv}^*_{Ma}: 1.0\ 0.0\ 0.5$

$\text{lab}^*\text{rgb}^*_{Ma}: 1.0\ 0.0\ 0.24$

Dreiecks-Helligkeit t^*

%Umfang

$u^*_{rel} = 89$

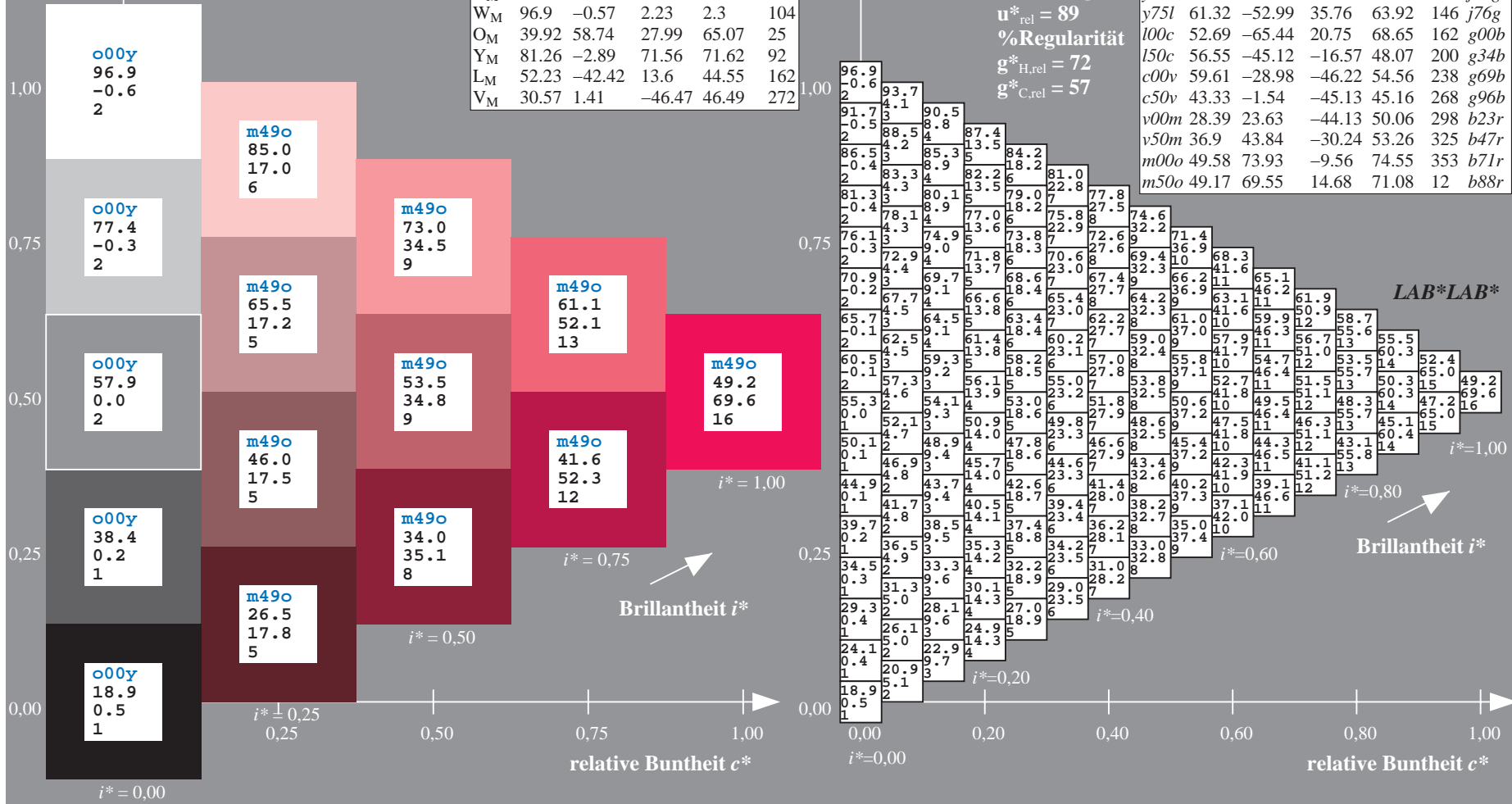
%Regularität

$g^*_{H,rel} = 72$

$g^*_{C,rel} = 57$

ORS19_96a; adaptierte CIELAB-Daten

	u^*_d	$L^*=L^*_a$	a^*_a	b^*_a	$C^*_{ab,a}$	$h^*_{ab,a}$	u^*_e
o00y	48.75	65.07	39.43	76.08	31	r08j	
o25y	59.04	46.67	51.1	69.21	48	r33j	
o50y	68.32	30.09	61.62	68.58	64	r57j	
o75y	78.23	12.39	72.85	73.9	80	r81j	
y00l	90.92	-10.29	87.24	87.85	97	j06g	
y25l	78.57	-28.11	65.75	71.51	113	j29g	
y50l	69.46	-41.25	49.92	64.75	130	j53g	
y75l	61.32	-52.99	35.76	63.92	146	j76g	
l00c	52.69	-65.44	20.75	68.65	162	g00b	
l50c	56.55	-45.12	-16.57	48.07	200	g34b	
c00v	59.61	-28.98	-46.22	54.56	238	g69b	
c50v	43.33	-1.54	-45.13	45.16	268	g96b	
v00m	28.39	23.63	-44.13	50.06	298	b23r	
v50m	36.9	43.84	-30.24	53.26	325	b47r	
m00o	49.58	73.93	-9.56	74.55	353	b71r	
m50o	49.17	69.55	14.68	71.08	12	b88r	



	A	B	C	D	E	F	G	H	I	J	K	L	M	N	O	P	Q	R	S	T	U	V	W	X	Y	Z	a	b	c	d	e	f	g	h	i	j	k	LAB*LAB*																																																																																																																																																																																																																																																																																																																																																																																																																																																																																																																																																																																																																																																																																																																																																																																																																																																																																																																																																																																								
01	18.9	23.1	27.3	31.6	35.8	40.0	44.2	48.5	52.7	22.6	27.9	31.5	35.8	40.1	44.4	48.6	52.9	57.2	26.4	31.2	36.9	40.1	44.2	48.4	52.7	57.0	61.3	65.6	69.9	74.9	78.8	72.8	66.8	60.8	54.8	48.7	18.9	18.9	18.9	18.9																																																																																																																																																																																																																																																																																																																																																																																																																																																																																																																																																																																																																																																																																																																																																																																																																																																																																																																																																																																						
02	20.1	24.0	28.3	32.6	36.9	41.2	45.5	49.7	54.0	22.7	28.0	32.9	37.1	41.3	45.5	49.8	54.0	58.2	26.5	32.4	37.6	41.3	45.6	49.9	54.1	58.4	62.7	67.0	71.3	75.1	69.1	63.1	57.1	51.0	45.0	28.6	28.6	28.6	28.6																																																																																																																																																																																																																																																																																																																																																																																																																																																																																																																																																																																																																																																																																																																																																																																																																																																																																																																																																																																							
03	21.3	25.0	29.1	33.4	37.7	42.1	46.4	50.7	55.0	23.4	29.8	33.7	38.1	42.4	46.7	51.0	55.2	59.5	26.6	32.5	38.4	42.6	46.8	51.1	55.3	59.5	63.7	67.9	72.2	76.4	70.4	64.4	58.4	52.4	46.4	40.4	34.4	28.4	22.4	16.4	10.4																																																																																																																																																																																																																																																																																																																																																																																																																																																																																																																																																																																																																																																																																																																																																																																																																																																																																																																																																																																					
04	22.5	26.3	30.9	34.2	38.4	42.8	47.1	51.5	55.8	24.5	31.0	34.8	38.8	43.1	47.5	51.8	56.1	60.4	26.9	33.1	39.6	43.5	47.8	52.1	56.4	60.7	65.0	69.3	73.6	67.6	61.6	55.6	49.6	43.6	37.6	31.6	25.6	19.6	13.6	7.6	1.6																																																																																																																																																																																																																																																																																																																																																																																																																																																																																																																																																																																																																																																																																																																																																																																																																																																																																																																																																																																					
05	23.6	27.6	31.4	34.8	39.2	43.5	47.8	52.2	56.5	25.7	32.2	36.0	39.6	43.9	48.2	52.5	56.9	61.2	27.9	34.3	40.8	44.5	48.6	52.9	57.2	61.6	65.9	70.3	68.1	63.0	57.9	51.9	45.9	39.8	33.8	27.8	21.8	15.8	9.8	3.8	-2.2	-8.2	-14.2	-20.2	-26.2	-32.2	-38.2	-44.2	-50.2	-56.2	-62.2	-68.2	-74.2	-80.2	-86.2	-92.2	-98.2	-104.2	-110.2	-116.2	-122.2	-128.2	-134.2	-140.2	-146.2	-152.2	-158.2	-164.2	-170.2	-176.2	-182.2	-188.2	-194.2	-200.2	-206.2	-212.2	-218.2	-224.2	-230.2	-236.2	-242.2	-248.2	-254.2	-260.2	-266.2	-272.2	-278.2	-284.2	-290.2	-296.2	-302.2	-308.2	-314.2	-320.2	-326.2	-332.2	-338.2	-344.2	-350.2	-356.2	-362.2	-368.2	-374.2	-380.2	-386.2	-392.2	-398.2	-404.2	-410.2	-416.2	-422.2	-428.2	-434.2	-440.2	-446.2	-452.2	-458.2	-464.2	-470.2	-476.2	-482.2	-488.2	-494.2	-500.2	-506.2	-512.2	-518.2	-524.2	-530.2	-536.2	-542.2	-548.2	-554.2	-560.2	-566.2	-572.2	-578.2	-584.2	-590.2	-596.2	-602.2	-608.2	-614.2	-620.2	-626.2	-632.2	-638.2	-644.2	-650.2	-656.2	-662.2	-668.2	-674.2	-680.2	-686.2	-692.2	-698.2	-704.2	-710.2	-716.2	-722.2	-728.2	-734.2	-740.2	-746.2	-752.2	-758.2	-764.2	-770.2	-776.2	-782.2	-788.2	-794.2	-800.2	-806.2	-812.2	-818.2	-824.2	-830.2	-836.2	-842.2	-848.2	-854.2	-860.2	-866.2	-872.2	-878.2	-884.2	-890.2	-896.2	-902.2	-908.2	-914.2	-920.2	-926.2	-932.2	-938.2	-944.2	-950.2	-956.2	-962.2	-968.2	-974.2	-980.2	-986.2	-992.2	-998.2	-1004.2	-1010.2	-1016.2	-1022.2	-1028.2	-1034.2	-1040.2	-1046.2	-1052.2	-1058.2	-1064.2	-1070.2	-1076.2	-1082.2	-1088.2	-1094.2	-1100.2	-1106.2	-1112.2	-1118.2	-1124.2	-1130.2	-1136.2	-1142.2	-1148.2	-1154.2	-1160.2	-1166.2	-1172.2	-1178.2	-1184.2	-1190.2	-1196.2	-1202.2	-1208.2	-1214.2	-1220.2	-1226.2	-1232.2	-1238.2	-1244.2	-1250.2	-1256.2	-1262.2	-1268.2	-1274.2	-1280.2	-1286.2	-1292.2	-1298.2	-1304.2	-1310.2	-1316.2	-1322.2	-1328.2	-1334.2	-1340.2	-1346.2	-1352.2	-1358.2	-1364.2	-1370.2	-1376.2	-1382.2	-1388.2	-1394.2	-1400.2	-1406.2	-1412.2	-1418.2	-1424.2	-1430.2	-1436.2	-1442.2	-1448.2	-1454.2	-1460.2	-1466.2	-1472.2	-1478.2	-1484.2	-1490.2	-1496.2	-1502.2	-1508.2	-1514.2	-1520.2	-1526.2	-1532.2	-1538.2	-1544.2	-1550.2	-1556.2	-1562.2	-1568.2	-1574.2	-1580.2	-1586.2	-1592.2	-1598.2	-1604.2	-1610.2	-1616.2	-1622.2	-1628.2	-1634.2	-1640.2	-1646.2	-1652.2	-1658.2	-1664.2	-1670.2	-1676.2	-1682.2	-1688.2	-1694.2	-1700.2	-1706.2	-1712.2	-1718.2	-1724.2	-1730.2	-1736.2	-1742.2	-1748.2	-1754.2	-1760.2	-1766.2	-1772.2	-1778.2	-1784.2	-1790.2	-1796.2	-1802.2	-1808.2	-1814.2	-1820.2	-1826.2	-1832.2	-1838.2	-1844.2	-1850.2	-1856.2	-1862.2	-1868.2	-1874.2	-1880.2	-1886.2	-1892.2	-1898.2	-1904.2	-1910.2	-1916.2	-1922.2	-1928.2	-1934.2	-1940.2	-1946.2	-1952.2	-1958.2	-1964.2	-1970.2	-1976.2	-1982.2	-1988.2	-1994.2	-2000.2	-2006.2	-2012.2	-2018.2	-2024.2	-2030.2	-2036.2	-2042.2	-2048.2	-2054.2	-2060.2	-2066.2	-2072.2	-2078.2	-2084.2	-2090.2	-2096.2	-2102.2	-2108.2	-2114.2	-2120.2	-2126.2	-2132.2	-2138.2	-2144.2	-2150.2	-2156.2	-2162.2	-2168.2	-2174.2	-2180.2	-2186.2	-2192.2	-2198.2	-2204.2	-2210.2	-2216.2	-2222.2	-2228.2	-2234.2	-2240.2	-2246.2	-2252.2	-2258.2	-2264.2	-2270.2	-2276.2	-2282.2	-2288.2	-2294.2	-2300.2	-2306.2	-2312.2	-2318.2	-2324.2	-2330.2	-2336.2	-2342.2	-2348.2	-2354.2	-2360.2	-2366.2	-2372.2	-2378.2	-2384.2	-2390.2	-2396.2	-2402.2	-2408.2	-2414.2	-2420.2	-2426.2	-2432.2	-2438.2	-2444.2	-2450.2	-2456.2	-2462.2	-2468.2	-2474.2	-2480.2	-2486.2	-2492.2	-2498.2	-2504.2	-2510.2	-2516.2	-2522.2	-2528.2	-2534.2	-2540.2	-2546.2	-2552.2	-2558.2	-2564.2	-2570.2	-2576.2	-2582.2	-2588.2	-2594.2	-2600.2	-2606.2	-2612.2	-2618.2	-2624.2	-2630.2	-2636.2	-2642.2	-2648.2	-2654.2	-2660.2	-2666.2	-2672.2	-2678.2	-2684.2	-2690.2	-2696.2	-2702.2	-2708.2	-2714.2	-2720.2	-2726.2	-2732.2	-2738.2	-2744.2	-2750.2	-2756.2	-2762.2	-2768.2	-2774.2	-2780.2	-2786.2	-2792.2	-2798.2	-2804.2	-2810.2	-2816.2	-2822.2	-2828.2	-2834.2	-2840.2	-2846.2	-2852.2	-2858.2	-2864.2	-2870.2	-2876.2	-2882.2	-2888.2	-2894.2	-2900.2	-2906.2	-2912.2	-2918.2	-2924.2	-2930.2	-2936.2	-2942.2	-2948.2	-2954.2	-2960.2	-2966.2	-2972.2	-2978.2	-2984.2	-2990.2	-2996.2	-3002.2	-3008.2	-3014.2	-3020.2	-3026.2	-3032.2	-3038.2	-3044.2	-3050.2	-3056.2	-3062.2	-3068.2	-3074.2	-3080.2	-3086.2	-3092.2	-3098.2	-3104.2	-3110.2	-3116.2	-3122.2	-3128.2	-3134.2	-3140.2	-3146.2	-3152.2	-3158.2	-3164.2	-3170.2	-3176.2	-3182.2	-3188.2	-3194.2	-3200.2	-3206.2	-3212.2	-3218.2	-3224.2	-3230.2	-3236.2	-3242.2	-3248.2	-3254.2	-3260.2	-3266.2	-3272.2	-3278.2	-3284.2	-3290.2	-3296.2	-3302.2	-3308.2	-3314.2	-3320.2	-3326.2	-3332.2	-3338.2	-3344.2	-3350.2	-3356.2	-3362.2	-3368.2	-3374.2	-3380.2	-3386.2	-3392.2	-3398.2	-3404.2	-3410.2	-3416.2	-3422.2	-3428.2	-3434.2	-3440.2	-3446.2	-3452.2	-3458.2	-3464.2	-3470.2	-3476.2	-3482.2	-3488.2	-3494.2	-3500.2	-3506.2	-3512.2	-3518.2	-3524.2	-3530.2	-3536.2	-3542.2	-3548.2	-3554.2	-3560.2	-3566.2	-3572.2	-3578.2	-3584.2	-3590.2	-3596.2	-3602.2	-3608.2	-3614.2	-3620.2	-3626.2	-3632.2	-3638.2	-3644.2	-3650.2	-3656.2	-3662.2	-3668.2	-3674.2	-3680.2	-3686.2	-3692.2	-3698.2	-3704.2	-3710.2	-3716.2	-3722.2	-3728.2	-3734.2	-3740.2	-3746.2	-3752.2	-3758.2	-3764.2	-3770.2	-3776.2	-3782.2	-3788.2	-3794.2	-3800.2	-3806.2	-3812.2	-3818.2	-3824.2	-3830.2	-3836.2	-3842.2	-3848.2	-3854.2	-3860.2	-3866.2	-3872.2	-3878.2	-3884.2	-3890.2	-3896.2	-3902.2	-3908.2	-3914.2	-3920.2	-3926.2	-3932.2	-3938.2	-3944.2	-3950.2	-3956.2	-3962.2	-3968.2	-3974.2	-3980.2	-3986.2	-3992.2	-3998.2	-4004.2	-4010.2	-4016.2	-4022.2	-4028.2	-4034.2	-4040.2	-4046.2	-4052.2	-4058.2	-4064.2	-4070.2	-4076.2	-4082.2	-4088.2	-4094.2	-4100.2	-4106.2	-4112.2	-4118.2	-4124.2	-4130.2	-4136.2	-4142.2	-4148.2	-4154.2	-4160.2	-4166.2	-4172.2	-4178.2	-4184.2	-4190.2	-4196.2	-4202.2	-4208.2	-4214.2	-4220.2	-4226.2	-4232.2	-4238.2	-4244.2	-4250.2	-4256.2	-4262.2	-4268.2	-4274.2	-4280.2	-4286.2	-4292.2	-4298.2	-4304.2	-4310.2	-4316.2	-4322.2	-4328.2	-4334.2	-4340.2	-4346.2	-4352.2	-4358.2	-4364.2	-4370.2	-4376.2	-4382.2	-4388.2	-4394.2	-4400.2	-4406.2	-4412.2	-4418.2	-4424.2	-4430.2	-4436.2	-4442.2	-4448.2	-4454.2	-4460.2	-4466.2	-4472.2	-4478.2	-4484.2	-4490.2	-4496.2	-4502.2	-4508.2	-4514.2	-4520.2	-4526.2	-4532.2	-4538.2	-4544.2	-4550.2	-4556.2	-4562.2	-4568.2	-4574.2	-4580.2	-4586.2	-4592.2	-4598.2	-4604.2	-4610.2	-4616.2	-4622.2	-4628.2	-4634.2	-4640.2	-4646.2	-4652.2	-4658.2	-4664.2	-4670.2	-4676.2	-4682.2	-4688.2	-4694.2	-4700.2	-4706.2	-4712.2	-4718.2	-4724.2	-4730.2	-4736.2	-4742.2	-4748.2	-4754.2	-4760.2	-4766.2	-4772.2	-4778.2	-4784.2	-4790.2	-4796.2	-4802.2	-4808.2	-4814.2	-4820.2	-4826.2	-4832.2	-4838.2	-4844.2	-4850.2	-4856.2	-4862.2	-4868.2	-4874.2	-4880.2	-4886.2	-4892.2	-4898.2	-4904.2	-4910.2	-4916.2	-4922.2	-4928.2	-4934.2	-4940.2	-4946.2	-4952.2	-4958.2	-4964.2	-4970.2	-4976.2	-4982.2	-4988.2	-4994.2	-5000.2	-5006.2	-5012.2	-5018.2	-5024.2	-5030.2	-5036.2	-5042.2	-5048.2	-5054.2	-5060.2	-5066.2	-5072.2	-5078.2	-5084.2	-5090.2	-5096.2	-5102.2	-5108.2	-5114.2	-5120.2	-5126.2	-5132.2	-5138.2	-5144.2	-5150.2	-5156.2	-5162.2	-5168.2	-5174.2	-5180.2	-5186.2	-5192.2	-5198.2	-5204.2	-5210.2	-5216.2	-5222.2	-5228.2	-5234.2	-5240.2	-5246.2	-5252.2	-5258.2	-5264.2	-5270.2	-5276.2	-5282.2	-5288.2	-5294.2	-5300.2	-5306.2	-5312.2	-5318.2	-5324.2	-5330.2	-5336.2	-5342.2	-5348.2	-5354.2	-5360.2	-5366.2	-5372.2	-5378.2	-5384.2	-5390.2	-5396.2	-5402.2	-5408.2	-5414.2	-5420.2	-5426.2	-5432.2	-5438.2	-5444.2	-5450.2	-5456.2	-5462.2	-5468.2	-5474.2	-5480.2	-5486.2	-5492.2	-5498.2	-5504.2	-5510.2	-5516.2	-5522.2	-5528.2	-5534.2	-5540.2	-5546.2	-5552.2	-5558.2	-5564.2	-5570.2	-5576.2	-5582.2	-5588.2	-5594.2	-5600.2	-5606.2	-5612.2	-5618.2	-5624.2	-5630.2	-5636.2	-5642.2	-5648.2	-5654.2	-5660.2	-5666.2	-5672.2	-5678.2	-5684.2	-5690.2	-5696.2

Ein und Ausgabe:
 Farbmetrisches Drucker-Reflektiv-System ORS19_96a

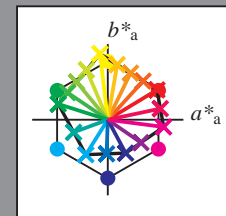
Daten für jede Farbe:
 u^*_d und Nummer $Nr.$ = 00 .. 15

Geräte-Bunttextext:
 $u^*_d = 16$ Bunttoene $o00y, o25y, \dots, m50o$

Kontrastreduzierungsfaktor:
 $c_R = 1.0$

ORS19_96a; adaptierte CIELAB-Daten

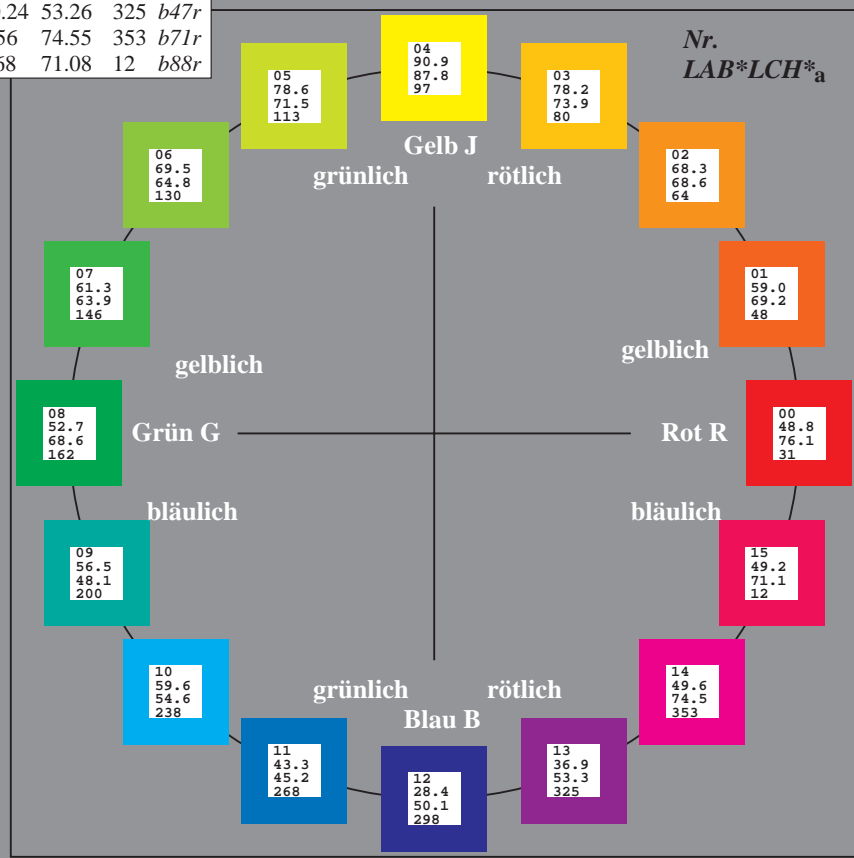
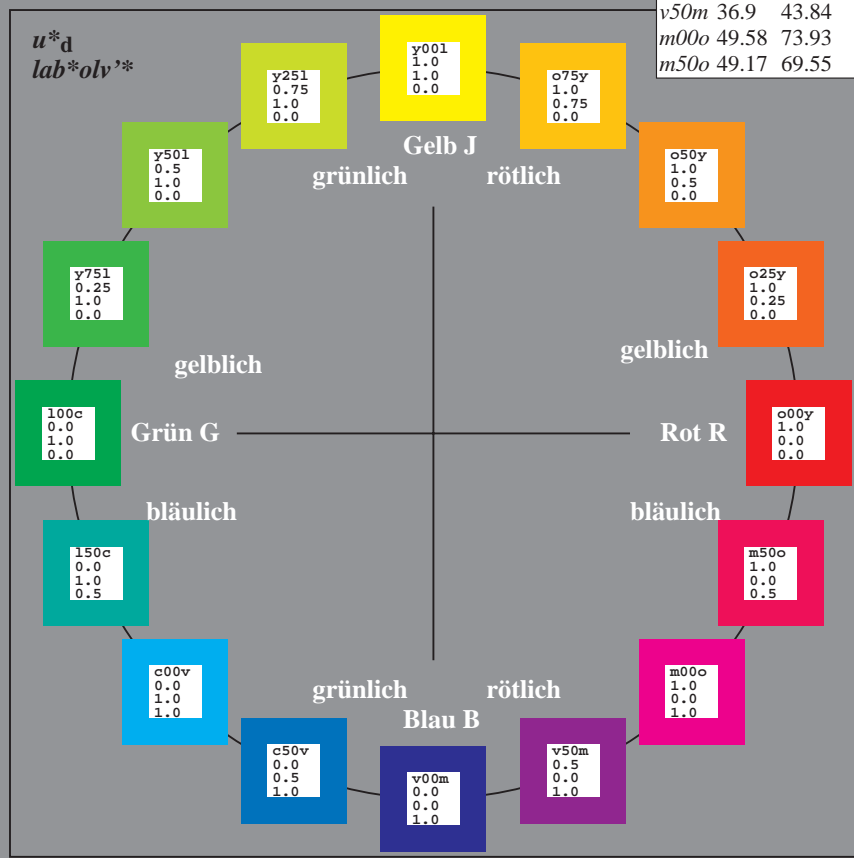
u^*_d	$L^*=L^*_a$	a^*_a	b^*_a	$C^*_{ab,a}$	$h^*_{ab,a}$	u^*_e
$o00y$	48.75	65.07	39.43	76.08	31	$r08j$
$o25y$	59.04	46.67	51.1	69.21	48	$r33j$
$o50y$	68.32	30.09	61.62	68.58	64	$r57j$
$o75y$	78.23	12.39	72.85	73.9	80	$r81j$
$y00l$	90.92	-10.29	87.24	87.85	97	$j06g$
$y25l$	78.57	-28.11	65.75	71.51	113	$j29g$
$y50l$	69.46	-41.25	49.92	64.75	130	$j53g$
$y75l$	61.32	-52.99	35.76	63.92	146	$j76g$
$l00c$	52.69	-65.44	20.75	68.65	162	$g00b$
$l50c$	56.55	-45.12	-16.57	48.07	200	$g34b$
$c00v$	59.61	-28.98	-46.22	54.56	238	$g69b$
$c50v$	43.33	-1.54	-45.13	45.16	268	$g96b$
$v00m$	28.39	23.63	-44.13	50.06	298	$b23r$
$y50m$	36.9	43.84	-30.24	53.26	325	$b47r$
$m00o$	49.58	73.93	-9.56	74.55	353	$b71r$
$m50o$	49.17	69.55	14.68	71.08	12	$b88r$



%Umfang
 $u^*_{rel} = 89$
 %Regularität
 $g^*_{H,rel} = 72$
 $g^*_{C,rel} = 57$

ORS19_96a; CIELAB-Daten

Name	$L^*=L^*_a$	a^*_a	b^*_a	C^*_{ab}	h^*_{ab}
O_M	48.75	65.16	40.76	76.86	32
Y_M	90.92	-10.78	89.36	90.01	97
L_M	52.69	-65.4	22.15	69.05	161
C_M	59.61	-29.04	-44.69	53.3	237
V_M	28.39	24.0	-43.18	49.4	299
M_M	49.58	74.01	-8.22	74.47	354
N_M	18.89	0.5	0.77	0.92	57
W_M	96.9	-0.57	2.23	2.3	104
O_{CIE}	39.92	58.74	27.99	65.07	25
Y_{CIE}	81.26	-2.89	71.56	71.62	92
L_{CIE}	52.23	-42.42	13.6	44.55	162
V_{CIE}	30.57	1.41	-46.47	46.49	272



Ein und Ausgabe: Farbmatisches Drucker-Reflektiv-System ORS19_96a für relativen CIELAB-Bunton $h^* = lab^*h^* = h_{ab}/360 = 0.087$

$u^*_d = o00y$
 lab^*olv^*

Daten für jede Farbe:

lab^*tch^* und lab^*icu^*

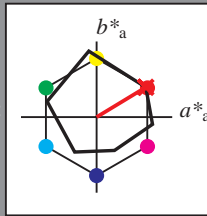
Buntontexte:

$u^*_d = o00y$ $u^*_e = r08j$

Kontrastreduzierungsfaktor:

$c_R = 1.0$

Dreiecks-Helligkeit t^*



ORS19_96a; CIELAB-Daten

u^*_d	$L^*=L^*$	a^*	b^*	C^*_{ab}	h^*_{ab}
O _M	48.75	65.16	40.76	76.86	32
Y _M	90.92	-10.78	89.36	90.01	97
L _M	52.69	-65.4	22.15	69.05	161
C _M	59.61	-29.04	-44.69	53.3	237
V _M	28.39	24.0	-43.18	49.4	299
M _M	49.58	74.01	-8.22	74.47	354
N _M	18.89	0.5	0.77	0.92	57
W _M	96.9	-0.57	2.23	2.3	104
O _M	39.92	58.74	27.99	65.07	25
Y _M	81.26	-2.89	71.56	71.62	92
L _M	52.23	-42.42	13.6	44.55	162
V _M	30.57	1.41	-46.47	46.49	272

Daten für Maximalfarbe (Ma):

$LAB^*LAB^*_{Ma}: 49\ 65\ 39$

$LAB^*LCH^*_{Ma}: 49\ 76\ 31$

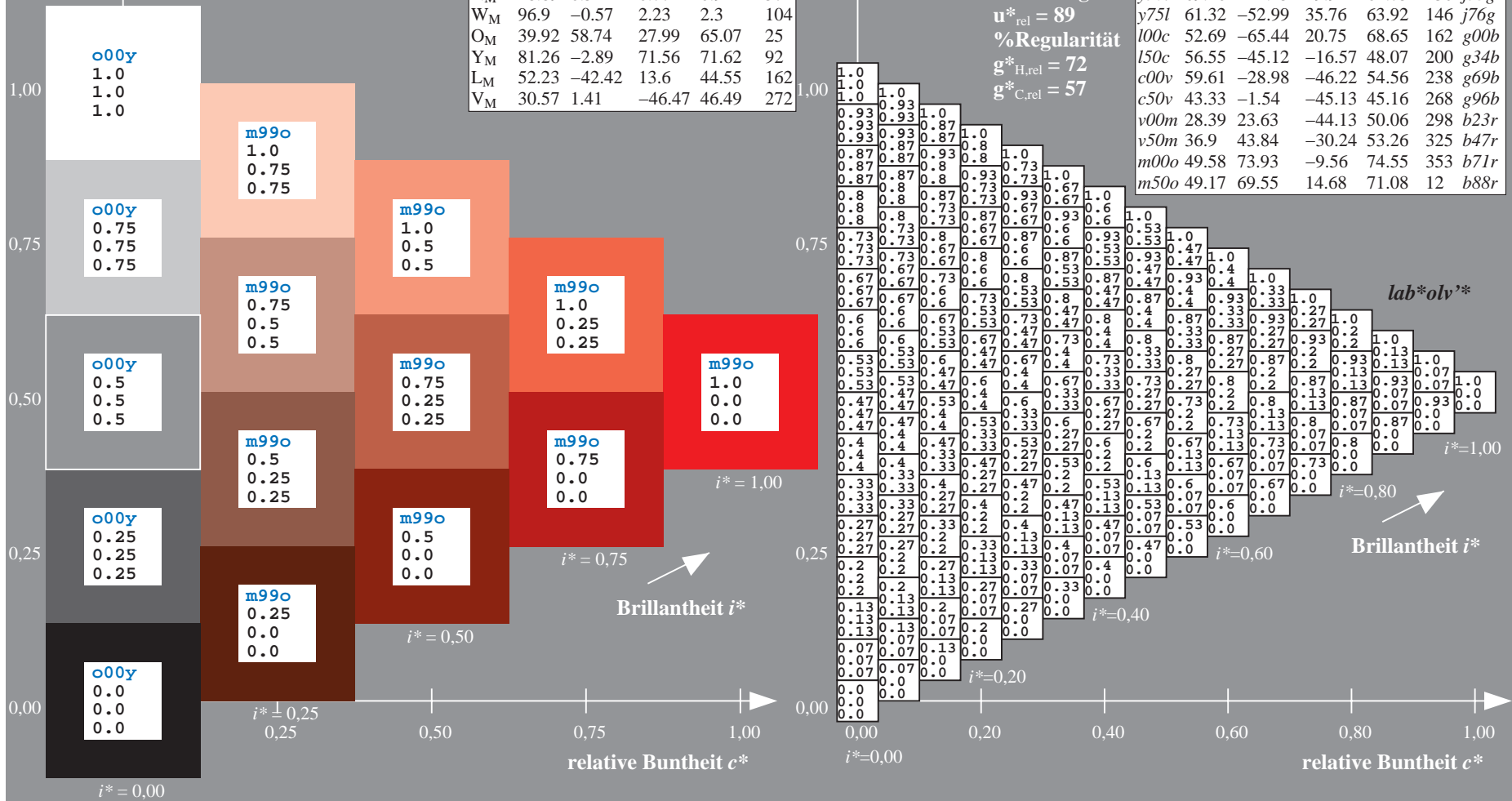
$lab^*olv^*_{Ma}: 1.0\ 0.0\ 0.0$

$lab^*rgb^*_{Ma}: 1.0\ 0.09\ 0.0$

Dreiecks-Helligkeit t^*

ORS19_96a; adaptierte CIELAB-Daten

u^*_d	$L^*=L^*_a$	a^*_a	b^*_a	$C^*_{ab,a}$	$h^*_{ab,a}$	u^*_e
<i>o00y</i>	48.75	65.07	39.43	76.08	31	<i>r08j</i>
<i>o25y</i>	59.04	46.67	51.1	69.21	48	<i>r33j</i>
<i>o50y</i>	68.32	30.09	61.62	68.58	64	<i>r57j</i>
<i>o75y</i>	78.23	12.39	72.85	73.9	80	<i>r81j</i>
<i>y00l</i>	90.92	-10.29	87.24	87.85	97	<i>j06g</i>
<i>y25l</i>	78.57	-28.11	65.75	71.51	113	<i>j29g</i>
<i>y50l</i>	69.46	-41.25	49.92	64.75	130	<i>j53g</i>
<i>y75l</i>	61.32	-52.99	35.76	63.92	146	<i>j76g</i>
<i>l00c</i>	52.69	-65.44	20.75	68.65	162	<i>g00b</i>
<i>l50c</i>	56.55	-45.12	-16.57	48.07	200	<i>g34b</i>
<i>c00v</i>	59.61	-28.98	-46.22	54.56	238	<i>g69b</i>
<i>c50v</i>	43.33	-1.54	-45.13	45.16	268	<i>g96b</i>
<i>v00m</i>	28.39	23.63	-44.13	50.06	298	<i>b23r</i>
<i>v50m</i>	36.9	43.84	-30.24	53.26	325	<i>b47r</i>
<i>m00o</i>	49.58	73.93	-9.56	74.55	353	<i>b71r</i>
<i>m50o</i>	49.17	69.55	14.68	71.08	12	<i>b88r</i>



Ein und Ausgabe: Farbmatisches Drucker-Reflektiv-System ORS19_96a für relativen CIELAB-Bunton $h^* = lab^*h^* = h_{ab}/360 = 0.132$

$u^*_d = o25y$
 lab^*olv^*

Daten für jede Farbe:

lab^*ch^* und lab^*icu^*

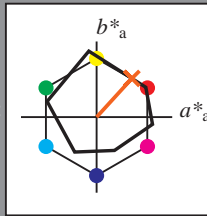
Buntontexte:

$u^*_d = o25y$ $u^*_e = r33j$

Kontrastreduzierungsfaktor:

$c_R = 1.0$

Dreiecks-Helligkeit t^*



ORS19_96a; CIELAB-Daten						
u^*_d	$L^*=L^*$	a^*	b^*	C^*_{ab}	h^*_{ab}	
O _M	48.75	65.16	40.76	76.86	32	
Y _M	90.92	-10.78	89.36	90.01	97	
L _M	52.69	-65.4	22.15	69.05	161	
C _M	59.61	-29.04	-44.69	53.3	237	
V _M	28.39	24.0	-43.18	49.4	299	
M _M	49.58	74.01	-8.22	74.47	354	
N _M	18.89	0.5	0.77	0.92	57	
W _M	96.9	-0.57	2.23	2.3	104	
O _M	39.92	58.74	27.99	65.07	25	
Y _M	81.26	-2.89	71.56	71.62	92	
L _M	52.23	-42.42	13.6	44.55	162	
V _M	30.57	1.41	-46.47	46.49	272	

Daten für Maximalfarbe (Ma):

$LAB^*LAB^*_{Ma}: 59\ 47\ 51$

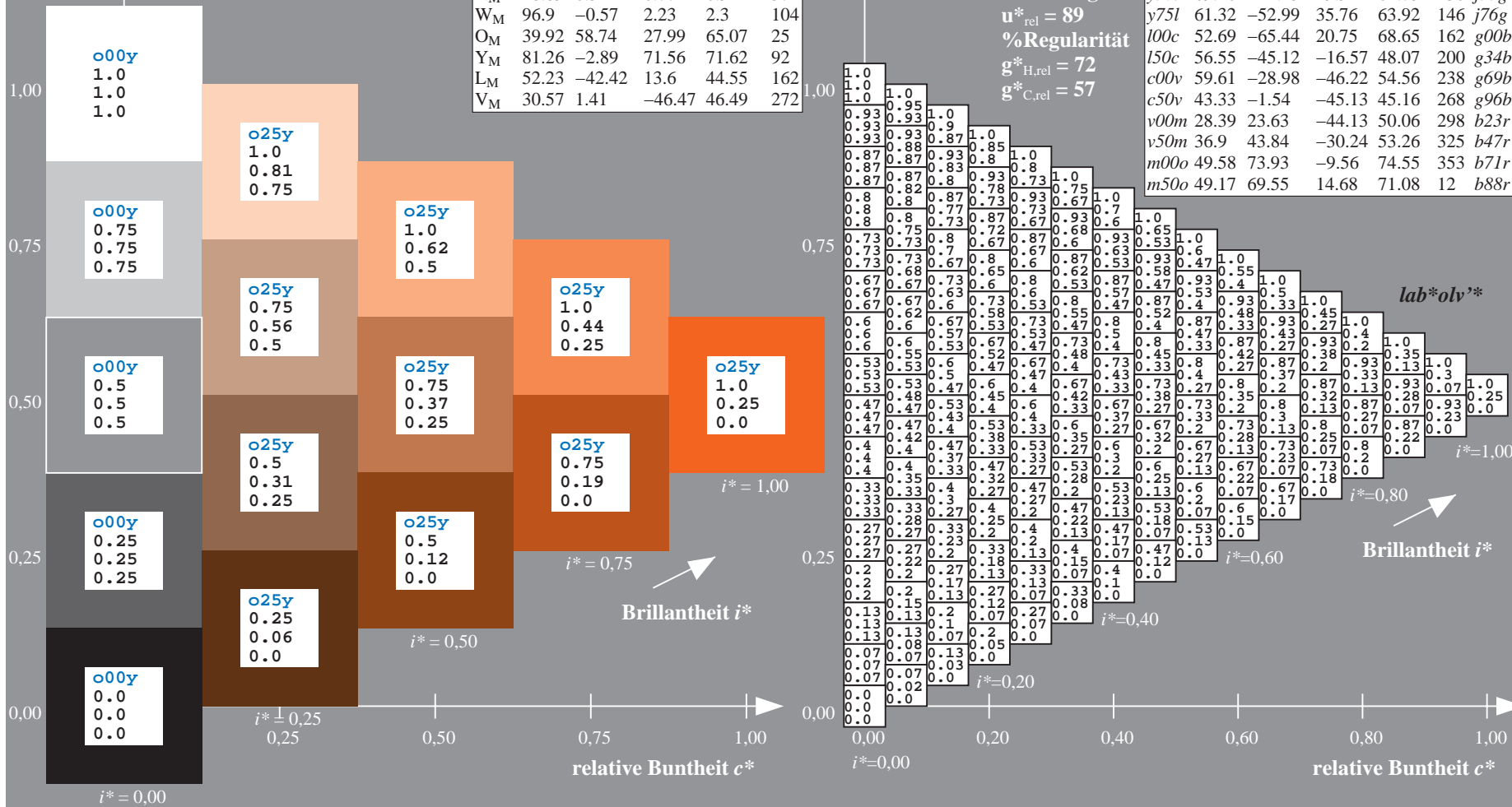
$LAB^*LCH^*_{Ma}: 59\ 69\ 47$

$lab^*olv^*_{Ma}: 1.0\ 0.25\ 0.0$

$lab^*rgb^*_{Ma}: 1.0\ 0.33\ 0.0$

Dreiecks-Helligkeit t^*

ORS19_96a; adaptierte CIELAB-Daten								
u^*_d	$L^*=L^*_a$	a^*_a	b^*_a	$C^*_{ab,a}$	$h^*_{ab,a}$	u^*_e		
o00y	48.75	65.07	39.43	76.08	31	r08j		
o25y	59.04	46.67	51.1	69.21	48	r33j		
o50y	68.32	30.09	61.62	68.58	64	r57j		
o75y	78.23	12.39	72.85	73.9	80	r81j		
y00l	90.92	-10.29	87.24	87.85	97	j06g		
y25l	78.57	-28.11	65.75	71.51	113	j29g		
y50l	69.46	-41.25	49.92	64.75	130	j53g		
y75l	61.32	-52.99	35.76	63.92	146	j76g		
l00c	52.69	-65.44	20.75	68.65	162	g00b		
l50c	56.55	-45.12	-16.57	48.07	200	g34b		
c00v	59.61	-28.98	-46.22	54.56	238	g69b		
c50v	43.33	-1.54	-45.13	45.16	268	g96b		
v00m	28.39	23.63	-44.13	50.06	298	b23r		
v50m	36.9	43.84	-30.24	53.26	325	b47r		
m00o	49.58	73.93	-9.56	74.55	353	b71r		
m50o	49.17	69.55	14.68	71.08	12	b88r		



Ein und Ausgabe: Farbmatisches Drucker-Reflektiv-System ORS19_96a für relativen CIELAB-Bunton $h^* = lab^*h^* = h_{ab}/360 = 0.178$

$u^*_d = o50y$

Daten für jede Farbe:

lab^*ch^* und lab^*icu^*

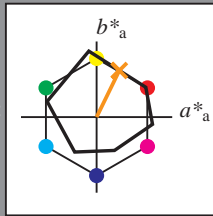
Buntontexte:

$u^*_d = o50y$ $u^*_e = r57j$

Kontrastreduzierungsfaktor:

$c_R = 1.0$

Dreiecks-Helligkeit t^*



ORS19_96a; CIELAB-Daten						
u^*_d	$L^*=L^*_a$	a^*_a	b^*_a	C^*_{ab}	h^*_{ab}	
O _M	48.75	65.16	40.76	76.86	32	
Y _M	90.92	-10.78	89.36	90.01	97	
L _M	52.69	-65.4	22.15	69.05	161	
C _M	59.61	-29.04	-44.69	53.3	237	
V _M	28.39	24.0	-43.18	49.4	299	
M _M	49.58	74.01	-8.22	74.47	354	
N _M	18.89	0.5	0.77	0.92	57	
W _M	96.9	-0.57	2.23	2.3	104	
O _M	39.92	58.74	27.99	65.07	25	
Y _M	81.26	-2.89	71.56	71.62	92	
L _M	52.23	-42.42	13.6	44.55	162	
V _M	30.57	1.41	-46.47	46.49	272	

Daten für Maximalfarbe (Ma):

$LAB^*LAB^*_{Ma}$: 68 30 62

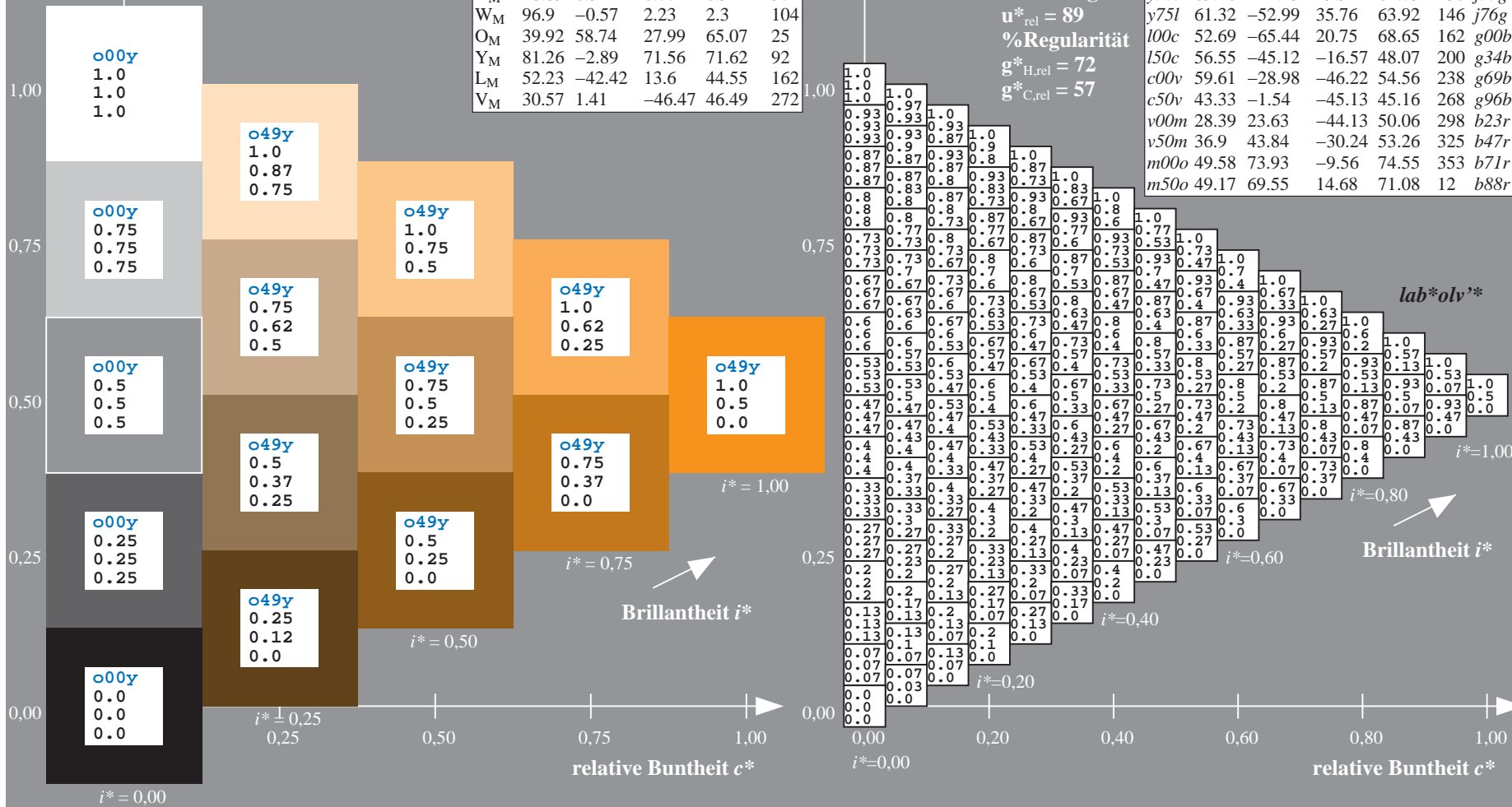
$LAB^*LCH^*_{Ma}$: 68 69 63

$lab^*olv^*_{Ma}$: 1.0 0.5 0.0

$lab^*rgb^*_{Ma}$: 1.0 0.58 0.0

Dreiecks-Helligkeit t^*

ORS19_96a; adaptierte CIELAB-Daten								
u^*_d	$L^*=L^*_a$	a^*_a	b^*_a	$C^*_{ab,a}$	$h^*_{ab,a}$	u^*_e		
o00y	48.75	65.07	39.43	76.08	31	r08j		
o25y	59.04	46.67	51.1	69.21	48	r33j		
o50y	68.32	30.09	61.62	68.58	64	r57j		
o75y	78.23	12.39	72.85	73.9	80	r8lj		
y00l	90.92	-10.29	87.24	87.85	97	j06g		
y25l	78.57	-28.11	65.75	71.51	113	j29g		
y50l	69.46	-41.25	49.92	64.75	130	j53g		
y75l	61.32	-52.99	35.76	63.92	146	j76g		
l00c	52.69	-65.44	20.75	68.65	162	g00b		
l50c	56.55	-45.12	-16.57	48.07	200	g34b		
c00v	59.61	-28.98	-46.22	54.56	238	g69b		
c50v	43.33	-1.54	-45.13	45.16	268	g96b		
v00m	28.39	23.63	-44.13	50.06	298	b23r		
v50m	36.9	43.84	-30.24	53.26	325	b47r		
m00o	49.58	73.93	-9.56	74.55	353	b71r		
m50o	49.17	69.55	14.68	71.08	12	b88r		



Ein und Ausgabe: Farbmatisches Drucker-Reflektiv-System ORS19_96a für relativen CIELAB-Bunton $h^* = \text{lab}^*h^* = h_{ab}/360 = 0.223$

$u^*_d = 0.75y$

Daten für jede Farbe:

lab^*tch^* und lab^*icu^*

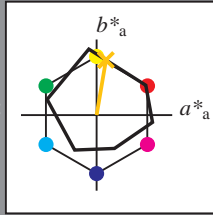
Buntontexte:

$u^*_d = 0.75y$ $u^*_e = r8lj$

Kontrastreduzierungsfaktor:

$c_R = 1.0$

Dreiecks-Helligkeit t^*



ORS19_96a; CIELAB-Daten						
u^*_d	$L^*=L^*$	a^*	b^*	C^*_{ab}	h^*_{ab}	
O _M	48.75	65.16	40.76	76.86	32	
Y _M	90.92	-10.78	89.36	90.01	97	
L _M	52.69	-65.4	22.15	69.05	161	
C _M	59.61	-29.04	-44.69	53.3	237	
V _M	28.39	24.0	-43.18	49.4	299	
M _M	49.58	74.01	-8.22	74.47	354	
N _M	18.89	0.5	0.77	0.92	57	
W _M	96.9	-0.57	2.23	2.3	104	
O _M	39.92	58.74	27.99	65.07	25	
Y _M	81.26	-2.89	71.56	71.62	92	
L _M	52.23	-42.42	13.6	44.55	162	
V _M	30.57	1.41	-46.47	46.49	272	

Daten für Maximalfarbe (Ma):

$\text{LAB}^*\text{LAB}^*_{Ma}: 78 \ 12 \ 73$

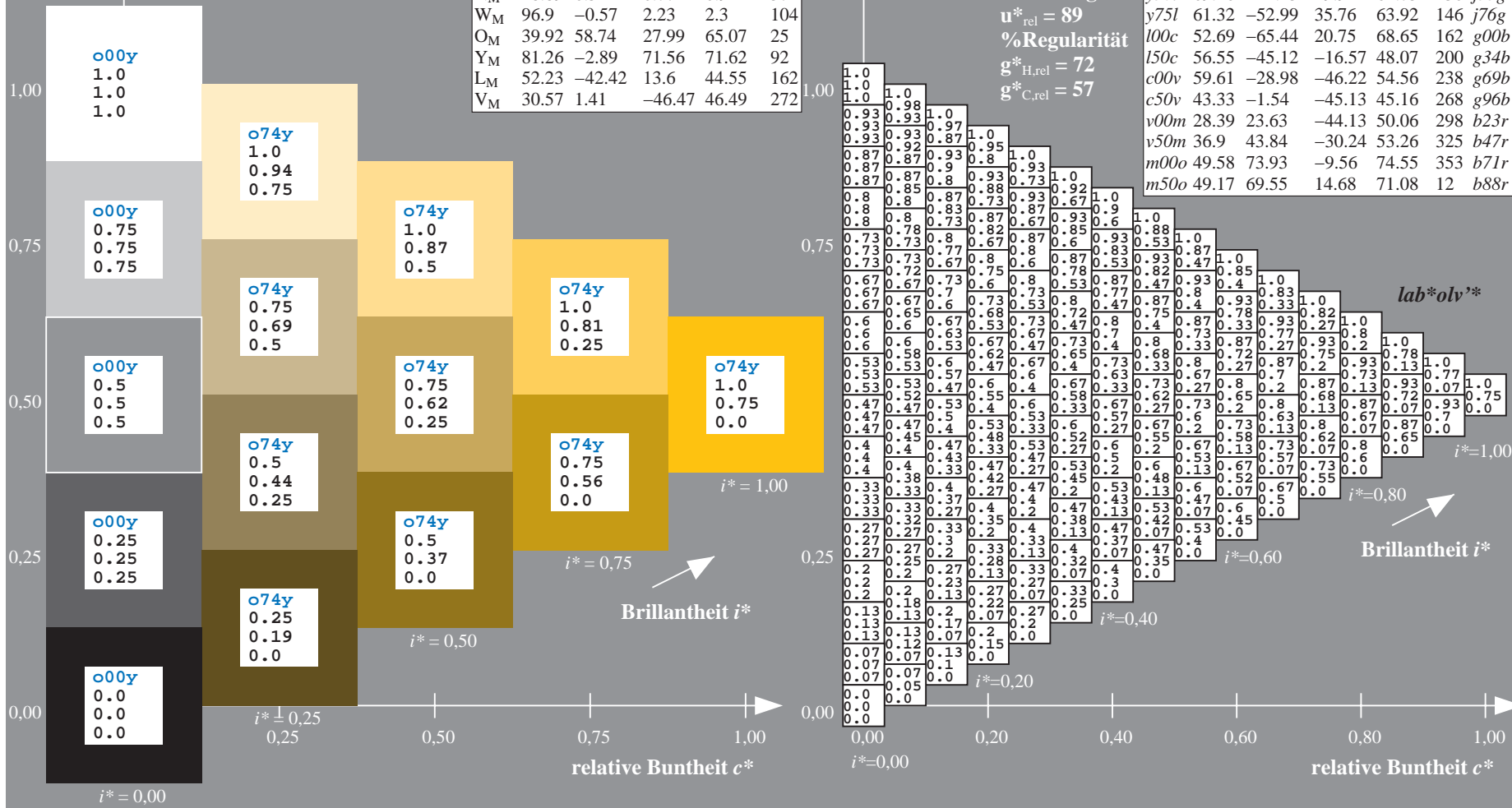
$\text{LAB}^*\text{LCH}^*_{Ma}: 78 \ 74 \ 80$

$\text{lab}^*\text{olv}^*_{Ma}: 1.0 \ 0.75 \ 0.0$

$\text{lab}^*\text{rgb}^*_{Ma}: 1.0 \ 0.82 \ 0.0$

Dreiecks-Helligkeit t^*

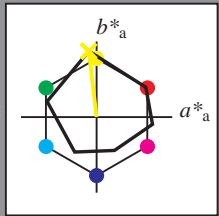
ORS19_96a; adaptierte CIELAB-Daten								
u^*_d	$L^*=L^*_a$	a^*_a	b^*_a	$C^*_{ab,a}$	$h^*_{ab,a}$	u^*_e		
o00y	48.75	65.07	39.43	76.08	31	r08j		
o25y	59.04	46.67	51.1	69.21	48	r33j		
o50y	68.32	30.09	61.62	68.58	64	r57j		
o75y	78.23	12.39	72.85	73.9	80	r8lj		
y00l	90.92	-10.29	87.24	87.85	97	j06g		
y25l	78.57	-28.11	65.75	71.51	113	j29g		
y50l	69.46	-41.25	49.92	64.75	130	j53g		
y75l	61.32	-52.99	35.76	63.92	146	j76g		
l00c	52.69	-65.44	20.75	68.65	162	g00b		
l50c	56.55	-45.12	-16.57	48.07	200	g34b		
c00v	59.61	-28.98	-46.22	54.56	238	g69b		
c50v	43.33	-1.54	-45.13	45.16	268	g96b		
v00m	28.39	23.63	-44.13	50.06	298	b23r		
v50m	36.9	43.84	-30.24	53.26	325	b47r		
m00o	49.58	73.93	-9.56	74.55	353	b71r		
m50o	49.17	69.55	14.68	71.08	12	b88r		



Ein und Ausgabe: Farbmatisches Drucker-Reflektiv-System ORS19_96a für relativen CIELAB-Bunton $h^* = lab^*h^* = h_{ab}/360 = 0.269$

$u^*_d = y00l$
 lab^*olv^*

Daten für jede Farbe:
 lab^*tch^* und lab^*icu^*
Buntontexte:
 $u^*_d = y00l$ $u^*_e = j06g$
Kontrastreduzierungsfaktor:
 $c_R = 1.0$
Dreiecks-Helligkeit t^*



ORS19_96a; CIELAB-Daten

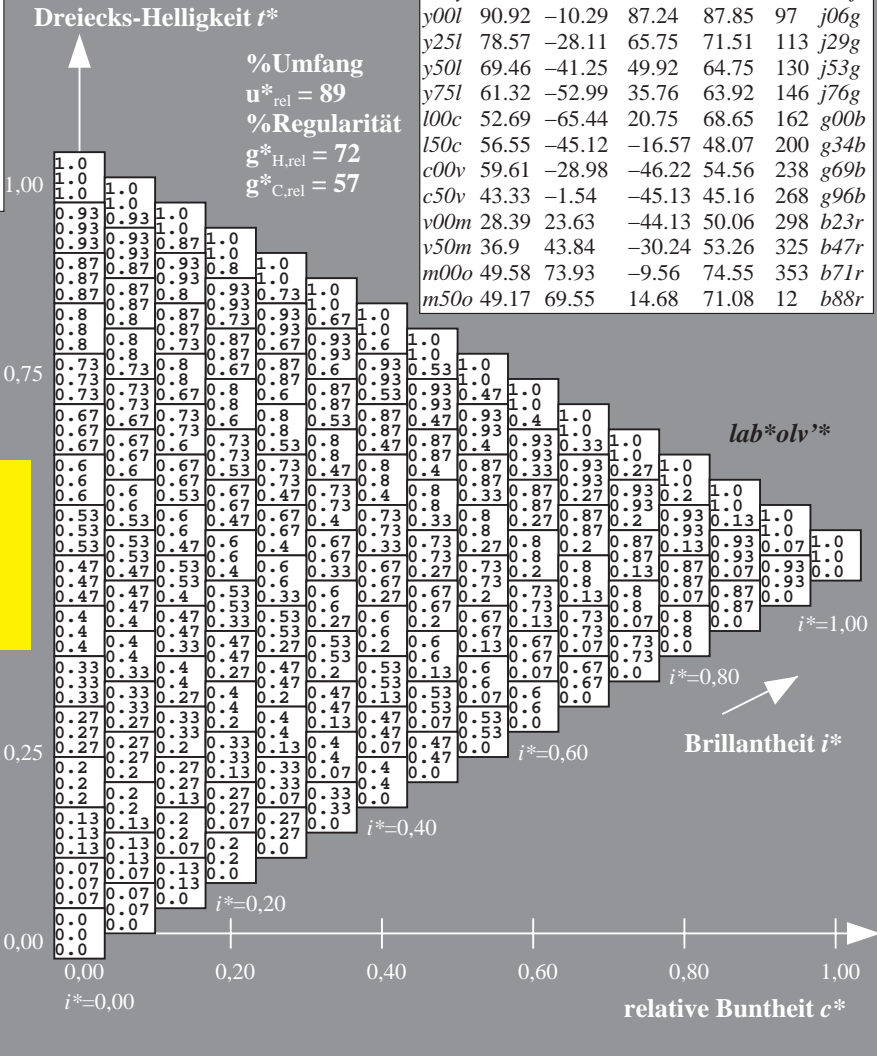
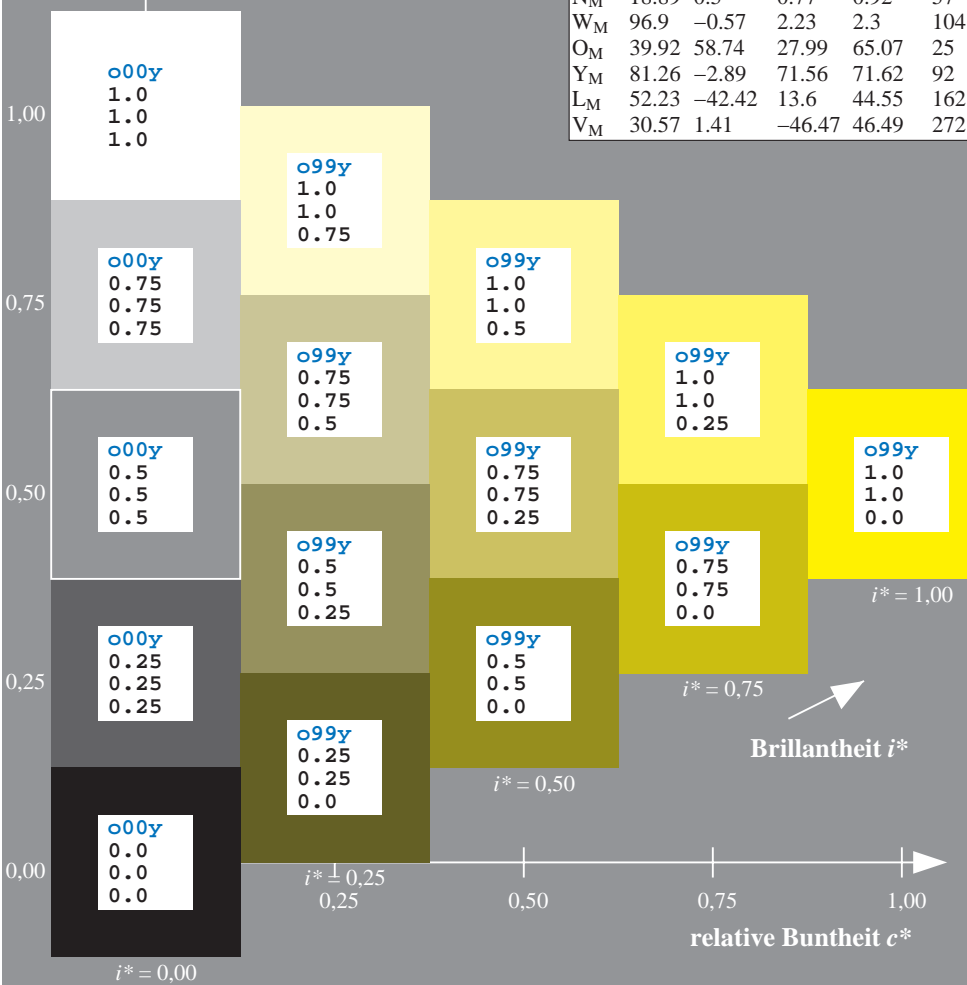
u^*_d	$L^*=L^*_a$	a^*	b^*	C^*_{ab}	h^*_{ab}
O _M	48.75	65.16	40.76	76.86	32
Y _M	90.92	-10.78	89.36	90.01	97
L _M	52.69	-65.4	22.15	69.05	161
C _M	59.61	-29.04	-44.69	53.3	237
V _M	28.39	24.0	-43.18	49.4	299
M _M	49.58	74.01	-8.22	74.47	354
N _M	18.89	0.5	0.77	0.92	57
W _M	96.9	-0.57	2.23	2.3	104
O _M	39.92	58.74	27.99	65.07	25
Y _M	81.26	-2.89	71.56	71.62	92
L _M	52.23	-42.42	13.6	44.55	162
V _M	30.57	1.41	-46.47	46.49	272

Daten für Maximalfarbe (Ma):

$LAB^*LAB^*_{Ma}: 91 -10 87$
 $LAB^*LCH^*_{Ma}: 91 88 96$
 $lab^*olv^*_{Ma}: 1.0 1.0 0.0$
 $lab^*rgb^*_{Ma}: 0.94 1.0 0.0$

ORS19_96a; adaptierte CIELAB-Daten

u^*_d	$L^*=L^*_a$	a^*_a	b^*_a	$C^*_{ab,a}$	$h^*_{ab,a}$	u^*_e
o00y	48.75	65.07	39.43	76.08	31	r08j
o25y	59.04	46.67	51.1	69.21	48	r33j
o50y	68.32	30.09	61.62	68.58	64	r57j
o75y	78.23	12.39	72.85	73.9	80	r81j
y00l	90.92	-10.29	87.24	87.85	97	j06g
y25l	78.57	-28.11	65.75	71.51	113	j29g
y50l	69.46	-41.25	49.92	64.75	130	j53g
y75l	61.32	-52.99	35.76	63.92	146	j76g
l00c	52.69	-65.44	20.75	68.65	162	g00b
l50c	56.55	-45.12	-16.57	48.07	200	g34b
c00v	59.61	-28.98	-46.22	54.56	238	g69b
c50v	43.33	-1.54	-45.13	45.16	268	g96b
v00m	28.39	23.63	-44.13	50.06	298	b23r
v50m	36.9	43.84	-30.24	53.26	325	b47r
m00o	49.58	73.93	-9.56	74.55	353	b71r
m50o	49.17	69.55	14.68	71.08	12	b88r



%Umfang
 $u^*_{rel} = 89$
%Regularität
 $g^*_{H,rel} = 72$
 $g^*_{C,rel} = 57$

Brillantheit i^*

lab^*olv^*

Ein und Ausgabe: Farbmatisches Drucker-Reflektiv-System ORS19_96a für relativen CIELAB-Bunton $h^* = \text{lab}^*h^* = h_{ab}/360 = 0.314$

$u^*_d = y25l$

Daten für jede Farbe:

lab^*tch^* und lab^*icu^*

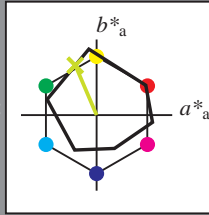
Buntontexte:

$u^*_d = y25l$ $u^*_e = j29g$

Kontrastreduzierungsfaktor:

$c_R = 1.0$

Dreiecks-Helligkeit t^*



ORS19_96a; CIELAB-Daten						
u^*_d	$L^*=L^*$	a^*	b^*	C^*_{ab}	h^*_{ab}	
O _M	48.75	65.16	40.76	76.86	32	
Y _M	90.92	-10.78	89.36	90.01	97	
L _M	52.69	-65.4	22.15	69.05	161	
C _M	59.61	-29.04	-44.69	53.3	237	
V _M	28.39	24.0	-43.18	49.4	299	
M _M	49.58	74.01	-8.22	74.47	354	
N _M	18.89	0.5	0.77	0.92	57	
W _M	96.9	-0.57	2.23	2.3	104	
O _M	39.92	58.74	27.99	65.07	25	
Y _M	81.26	-2.89	71.56	71.62	92	
L _M	52.23	-42.42	13.6	44.55	162	
V _M	30.57	1.41	-46.47	46.49	272	

Daten für Maximalfarbe (Ma):

$\text{LAB}^*\text{LAB}^*_{Ma}: 79 -28 66$

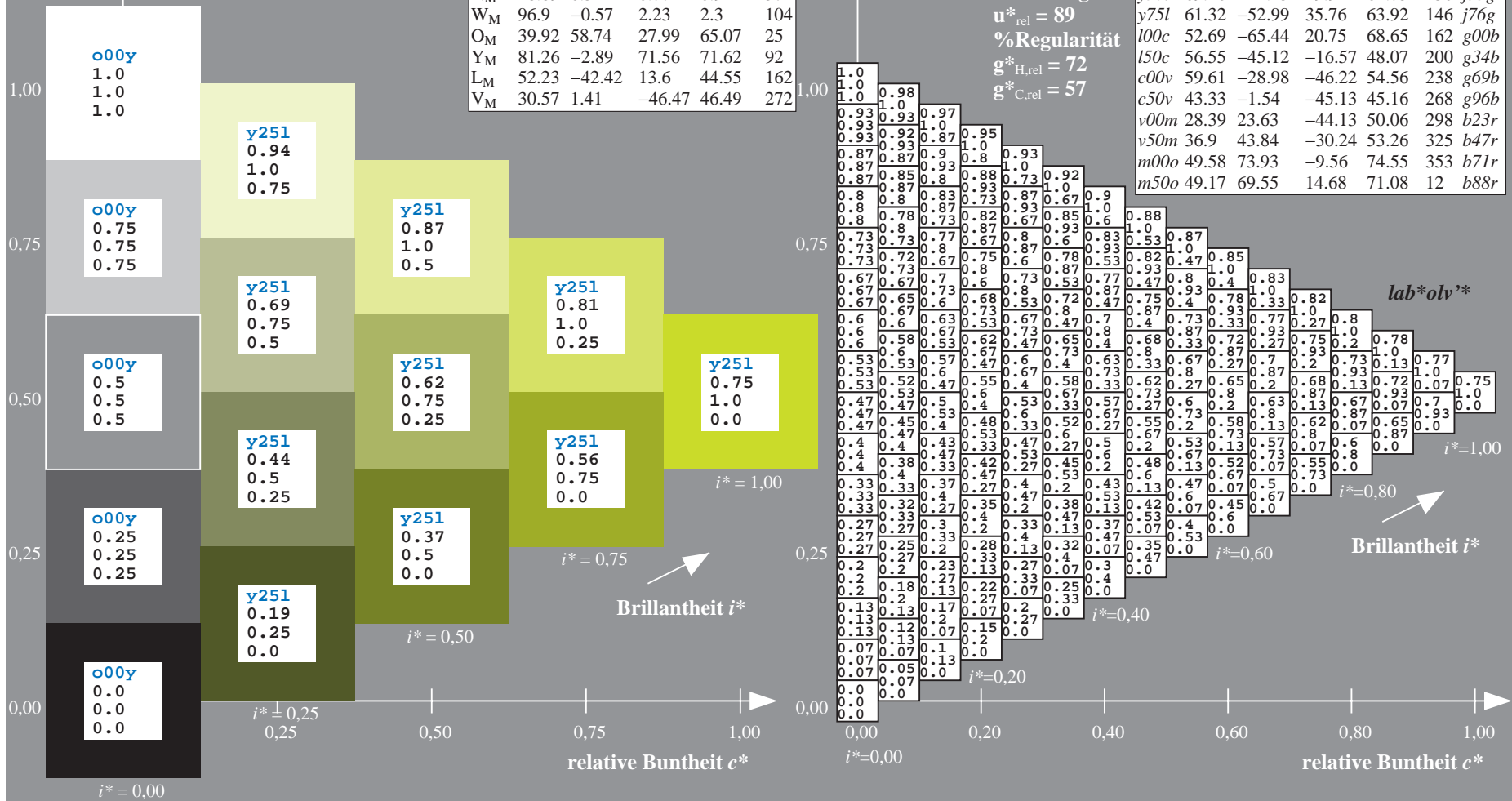
$\text{LAB}^*\text{LCH}^*_{Ma}: 79 72 113$

$\text{lab}^*\text{olv}^*_{Ma}: 0.75 1.0 0.0$

$\text{lab}^*\text{rgb}^*_{Ma}: 0.7 1.0 0.0$

Dreiecks-Helligkeit t^*

ORS19_96a; adaptierte CIELAB-Daten							
u^*_d	$L^*=L^*_a$	a^*_a	b^*_a	$C^*_{ab,a}$	$h^*_{ab,a}$	u^*_e	
o00y	48.75	65.07	39.43	76.08	31	r08j	
o25y	59.04	46.67	51.1	69.21	48	r33j	
o50y	68.32	30.09	61.62	68.58	64	r57j	
o75y	78.23	12.39	72.85	73.9	80	r81j	
y00l	90.92	-10.29	87.24	87.85	97	j06g	
y25l	78.57	-28.11	65.75	71.51	113	j29g	
y50l	69.46	-41.25	49.92	64.75	130	j53g	
y75l	61.32	-52.99	35.76	63.92	146	j76g	
l00c	52.69	-65.44	20.75	68.65	162	g00b	
l50c	56.55	-45.12	-16.57	48.07	200	g34b	
c00v	59.61	-28.98	-46.22	54.56	238	g69b	
c50v	43.33	-1.54	-45.13	45.16	268	g96b	
v00m	28.39	23.63	-44.13	50.06	298	b23r	
v50m	36.9	43.84	-30.24	53.26	325	b47r	
m00o	49.58	73.93	-9.56	74.55	353	b71r	
m50o	49.17	69.55	14.68	71.08	12	b88r	



Ein und Ausgabe: Farbmatisches Drucker-Reflektiv-System ORS19_96a für relativen CIELAB-Bunton $h^* = lab^*h^* = h_{ab}/360 = 0.36$

$u^*_d = y50l$

Daten für jede Farbe:

lab^*ch^* und lab^*icu^*

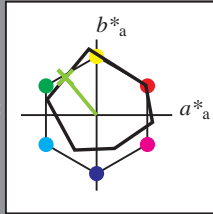
Buntontexte:

$u^*_d = y50l$ $u^*_e = j53g$

Kontrastreduzierungsfaktor:

$c_R = 1.0$

Dreiecks-Helligkeit t^*



ORS19_96a; CIELAB-Daten

u^*_d	$L^*=L^*$	a^*	b^*	C^*_{ab}	h^*_{ab}
O _M	48.75	65.16	40.76	76.86	32
Y _M	90.92	-10.78	89.36	90.01	97
L _M	52.69	-65.4	22.15	69.05	161
C _M	59.61	-29.04	-44.69	53.3	237
V _M	28.39	24.0	-43.18	49.4	299
M _M	49.58	74.01	-8.22	74.47	354
N _M	18.89	0.5	0.77	0.92	57
W _M	96.9	-0.57	2.23	2.3	104
O _M	39.92	58.74	27.99	65.07	25
Y _M	81.26	-2.89	71.56	71.62	92
L _M	52.23	-42.42	13.6	44.55	162
V _M	30.57	1.41	-46.47	46.49	272

Daten für Maximalfarbe (Ma):

$LAB^*LAB^*_{Ma}: 69 -41 50$

$LAB^*LCH^*_{Ma}: 69 65 129$

$lab^*olv^*_{Ma}: 0.5 1.0 0.0$

$lab^*rgb^*_{Ma}: 0.47 1.0 0.0$

Dreiecks-Helligkeit t^*

%Umfang

$u^*_{rel} = 89$

%Regularität

$g^*_{H,rel} = 72$

$g^*_{C,rel} = 57$

ORS19_96a; adaptierte CIELAB-Daten

u^*_d	$L^*=L^*_a$	a^*_a	b^*_a	$C^*_{ab,a}$	$h^*_{ab,a}$	u^*_e
o00y	48.75	65.07	39.43	76.08	31	r08j
o25y	59.04	46.67	51.1	69.21	48	r33j
o50y	68.32	30.09	61.62	68.58	64	r57j
o75y	78.23	12.39	72.85	73.9	80	r81j
y00l	90.92	-10.29	87.24	87.85	97	j06g
y25l	78.57	-28.11	65.75	71.51	113	j29g
y50l	69.46	-41.25	49.92	64.75	130	j53g
y75l	61.32	-52.99	35.76	63.92	146	j76g
l00c	52.69	-65.44	20.75	68.65	162	g00b
l50c	56.55	-45.12	-16.57	48.07	200	g34b
c00v	59.61	-28.98	-46.22	54.56	238	g69b
c50v	43.33	-1.54	-45.13	45.16	268	g96b
v00m	28.39	23.63	-44.13	50.06	298	b23r
v50m	36.9	43.84	-30.24	53.26	325	b47r
m00o	49.58	73.93	-9.56	74.55	353	b71r
m50o	49.17	69.55	14.68	71.08	12	b88r

lab^*olv^*

lab^*olv^*

Brillantheit i^*

$i^*=1.00$

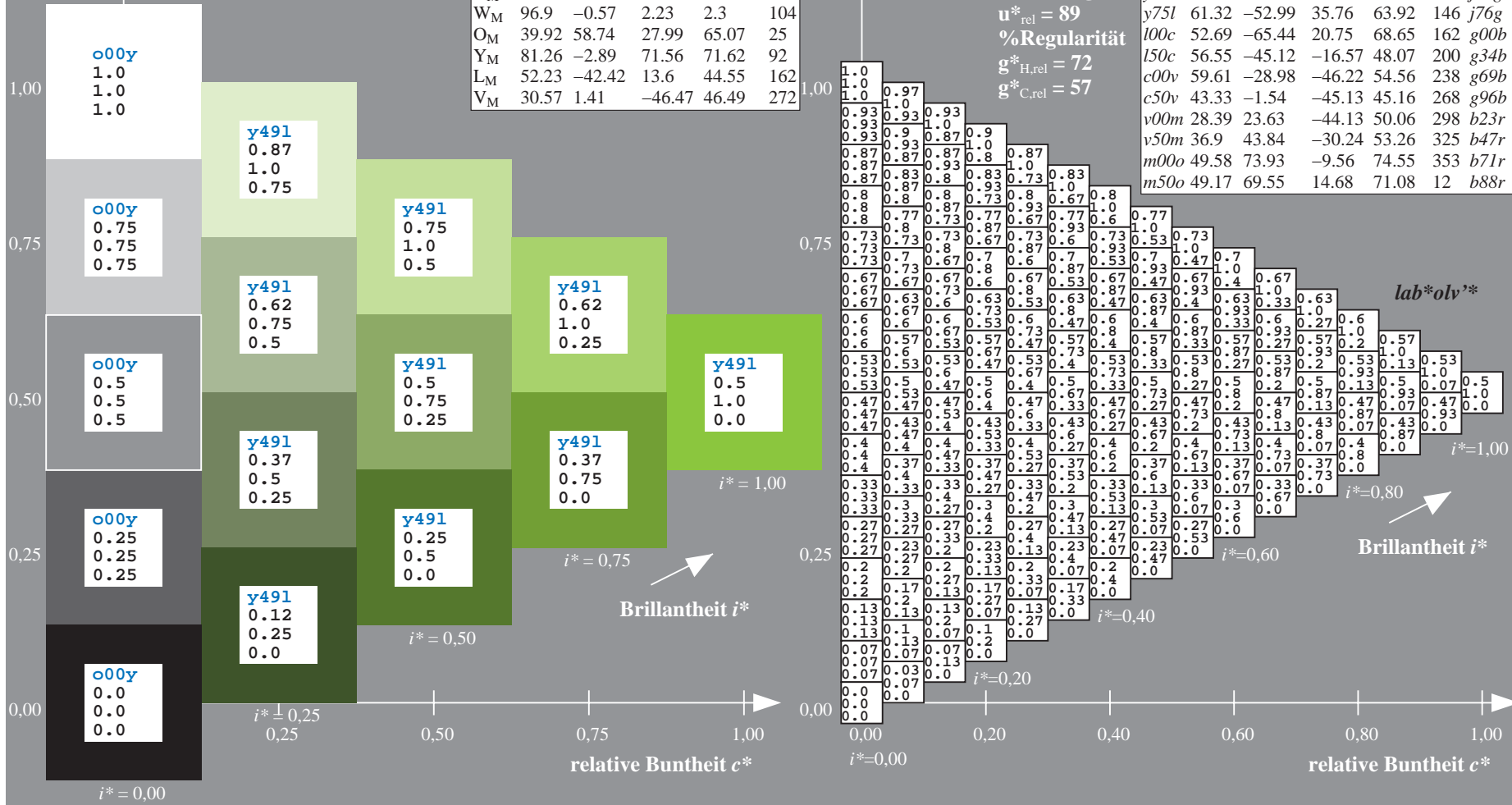
$i^*=0.80$

$i^*=0.60$

$i^*=0.40$

$i^*=0.20$

$i^*=0.00$



Ein und Ausgabe: Farbmatisches Drucker-Reflektiv-System ORS19_96a für relativen CIELAB-Bunton $h^* = \text{lab}^*h^* = h_{ab}/360 = 0.406$

$u^*_d = y75l$

Daten für jede Farbe:

lab^*tch^* und lab^*icu^*

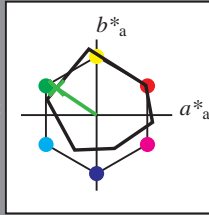
Buntontexte:

$u^*_d = y75l$ $u^*_e = j76g$

Kontrastreduzierungsfaktor:

$c_R = 1.0$

Dreiecks-Helligkeit t^*



ORS19_96a; CIELAB-Daten

u^*_d	$L^*=L^*_a$	a^*_a	b^*_a	C^*_{ab}	h^*_{ab}
O _M	48.75	65.16	40.76	76.86	32
Y _M	90.92	-10.78	89.36	90.01	97
L _M	52.69	-65.4	22.15	69.05	161
C _M	59.61	-29.04	-44.69	53.3	237
V _M	28.39	24.0	-43.18	49.4	299
M _M	49.58	74.01	-8.22	74.47	354
N _M	18.89	0.5	0.77	0.92	57
W _M	96.9	-0.57	2.23	2.3	104
O _M	39.92	58.74	27.99	65.07	25
Y _M	81.26	-2.89	71.56	71.62	92
L _M	52.23	-42.42	13.6	44.55	162
V _M	30.57	1.41	-46.47	46.49	272

Daten für Maximalfarbe (Ma):

$\text{LAB}^*\text{LAB}^*_{Ma}: 61 -53 36$

$\text{LAB}^*\text{LCH}^*_{Ma}: 61 64 145$

$\text{lab}^*\text{olv}^*_{Ma}: 0.25 1.0 0.0$

$\text{lab}^*\text{rgb}^*_{Ma}: 0.23 1.0 0.0$

Dreiecks-Helligkeit t^*

%Umfang

$u^*_{rel} = 89$

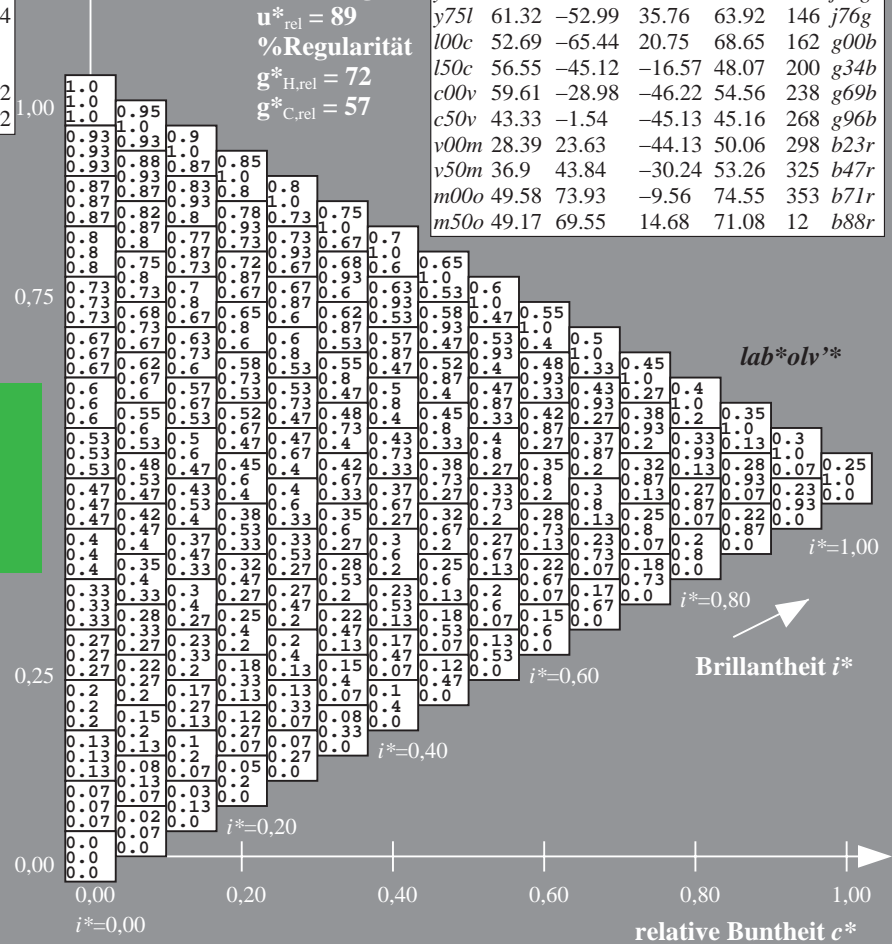
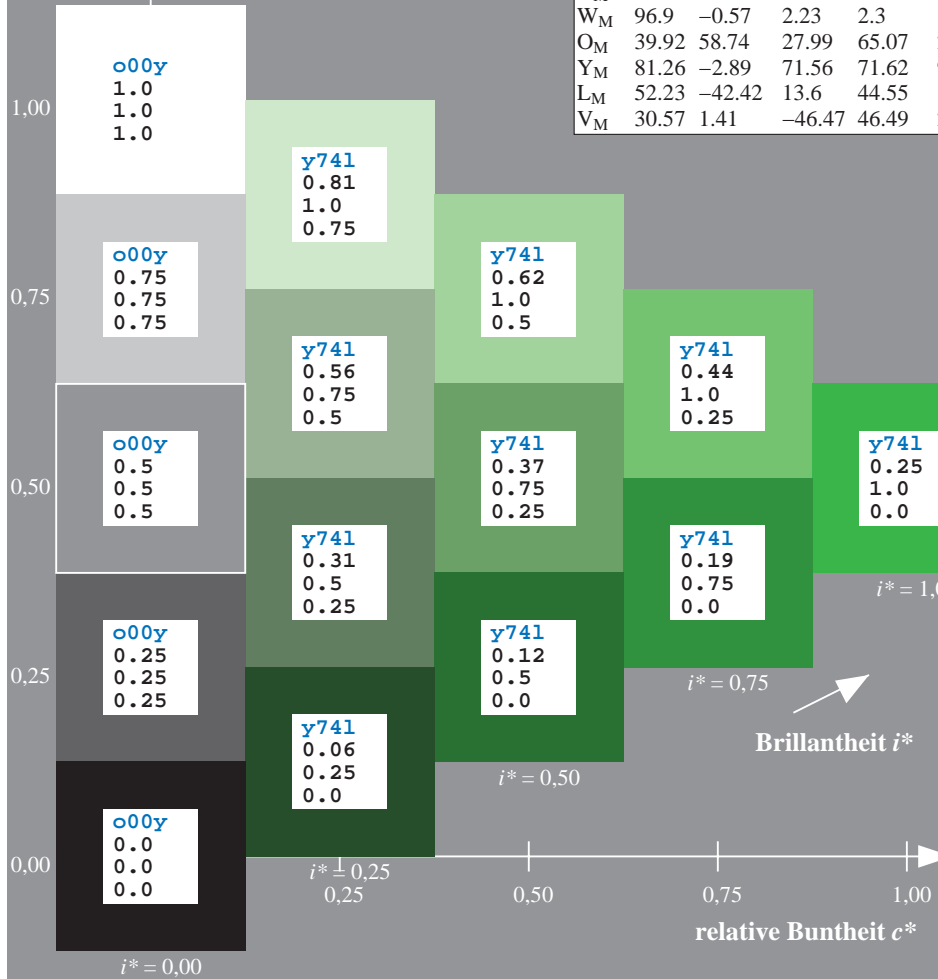
%Regularität

$g^*_{H,rel} = 72$

$g^*_{C,rel} = 57$

ORS19_96a; adaptierte CIELAB-Daten

u^*_d	$L^*=L^*_a$	a^*_a	b^*_a	$C^*_{ab,a}$	$h^*_{ab,a}$	u^*_e
o00y	48.75	65.07	39.43	76.08	31	r08j
o25y	59.04	46.67	51.1	69.21	48	r33j
o50y	68.32	30.09	61.62	68.58	64	r57j
o75y	78.23	12.39	72.85	73.9	80	r81j
y00l	90.92	-10.29	87.24	87.85	97	j06g
y25l	78.57	-28.11	65.75	71.51	113	j29g
y50l	69.46	-41.25	49.92	64.75	130	j53g
y75l	61.32	-52.99	35.76	63.92	146	j76g
l00c	52.69	-65.44	20.75	68.65	162	g00b
l50c	56.55	-45.12	-16.57	48.07	200	g34b
c00v	59.61	-28.98	-46.22	54.56	238	g69b
c50v	43.33	-1.54	-45.13	45.16	268	g96b
v00m	28.39	23.63	-44.13	50.06	298	b23r
v50m	36.9	43.84	-30.24	53.26	325	b47r
m00o	49.58	73.93	-9.56	74.55	353	b71r
m50o	49.17	69.55	14.68	71.08	12	b88r



Ein und Ausgabe: Farbmatisches Drucker-Reflektiv-System ORS19_96a für relativen CIELAB-Bunton $h^* = lab^*h^* = h_{ab}/360 = 0.451$

$u^*_d = 100c$
 lab^*olv^*

Daten für jede Farbe:

lab^*tch^* und lab^*icu^*

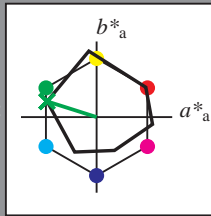
Buntontexte:

$u^*_d = 100c$ $u^*_e = g00b$

Kontrastreduzierungsfaktor:

$c_R = 1.0$

Dreiecks-Helligkeit t^*



ORS19_96a; CIELAB-Daten

u^*_d	$L^*=L^*_a$	a^*	b^*	C^*_{ab}	h^*_{ab}
O _M	48.75	65.16	40.76	76.86	32
Y _M	90.92	-10.78	89.36	90.01	97
L _M	52.69	-65.4	22.15	69.05	161
C _M	59.61	-29.04	-44.69	53.3	237
V _M	28.39	24.0	-43.18	49.4	299
M _M	49.58	74.01	-8.22	74.47	354
N _M	18.89	0.5	0.77	0.92	57
W _M	96.9	-0.57	2.23	2.3	104
O _M	39.92	58.74	27.99	65.07	25
Y _M	81.26	-2.89	71.56	71.62	92
L _M	52.23	-42.42	13.6	44.55	162
V _M	30.57	1.41	-46.47	46.49	272

Daten für Maximalfarbe (Ma):

$LAB^*LAB^*_{Ma}: 53 -65 21$

$LAB^*LCH^*_{Ma}: 53 69 162$

$lab^*olv^*_{Ma}: 0.0 1.0 0.0$

$lab^*rgb^*_{Ma}: 0.0 1.0 0.0$

Dreiecks-Helligkeit t^*

%Umfang

$u^*_{rel} = 89$

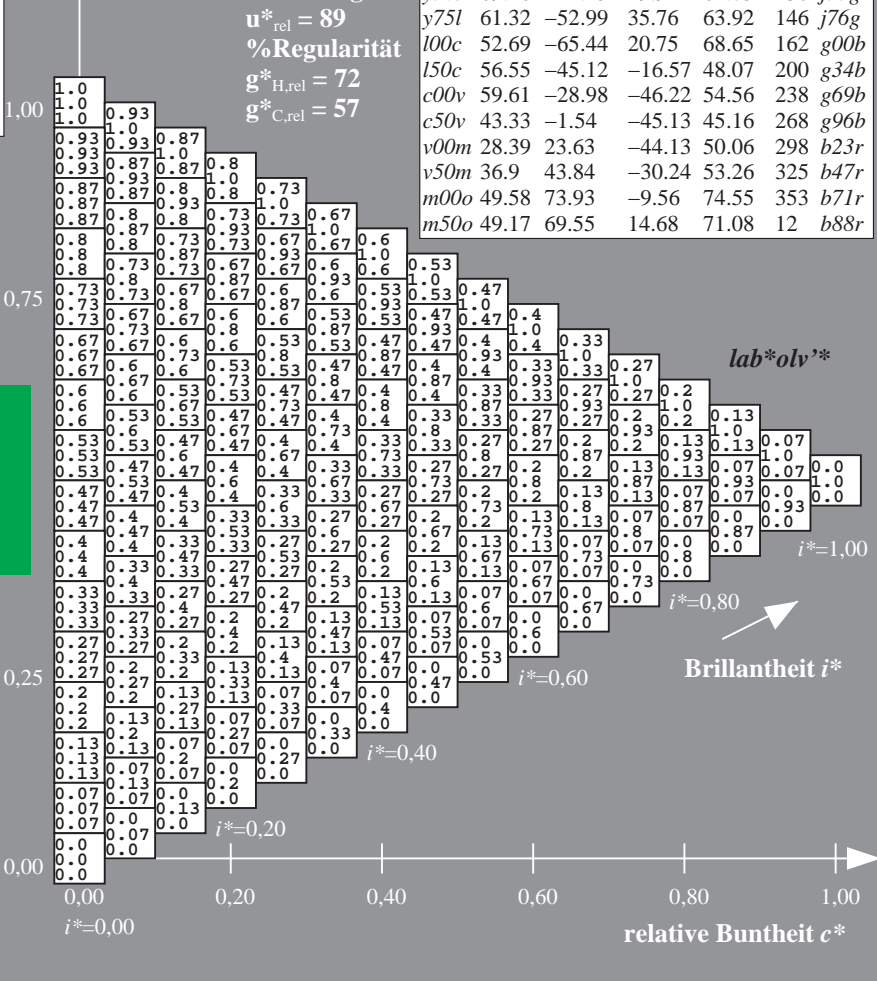
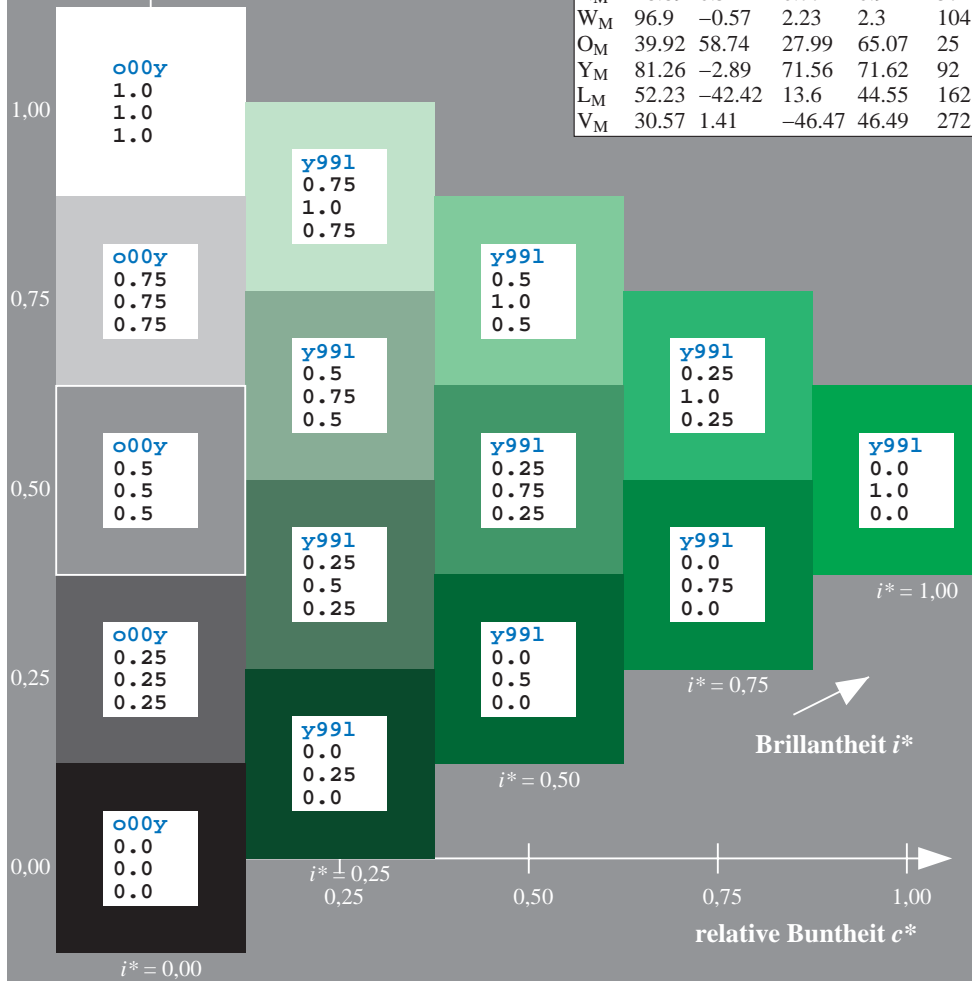
%Regularität

$g^*_{H,rel} = 72$

$g^*_{C,rel} = 57$

ORS19_96a; adaptierte CIELAB-Daten

u^*_d	$L^*=L^*_a$	a^*_a	b^*_a	$C^*_{ab,a}$	$h^*_{ab,a}$	u^*_e
o00y	48.75	65.07	39.43	76.08	31	r08j
o25y	59.04	46.67	51.1	69.21	48	r33j
o50y	68.32	30.09	61.62	68.58	64	r57j
o75y	78.23	12.39	72.85	73.9	80	r81j
y00l	90.92	-10.29	87.24	87.85	97	j06g
y25l	78.57	-28.11	65.75	71.51	113	j29g
y50l	69.46	-41.25	49.92	64.75	130	j53g
y75l	61.32	-52.99	35.76	63.92	146	j76g
l00c	52.69	-65.44	20.75	68.65	162	g00b
l50c	56.55	-45.12	-16.57	48.07	200	g34b
c00v	59.61	-28.98	-46.22	54.56	238	g69b
c50v	43.33	-1.54	-45.13	45.16	268	g96b
v00m	28.39	23.63	-44.13	50.06	298	b23r
v50m	36.9	43.84	-30.24	53.26	325	b47r
m00o	49.58	73.93	-9.56	74.55	353	b71r
m50o	49.17	69.55	14.68	71.08	12	b88r



Ein und Ausgabe: Farbmatisches Drucker-Reflektiv-System ORS19_96a für relativen CIELAB-Bunton $h^* = lab^*h^* = h_{ab}/360 = 0.556$

$u^*_d = 150c$

Daten für jede Farbe:

lab^*ch^* und lab^*icu^*

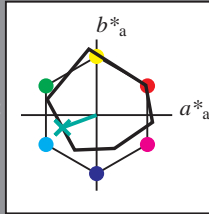
Buntontexte:

$u^*_d = 150c$ $u^*_e = g34b$

Kontrastreduzierungsfaktor:

$c_R = 1.0$

Dreiecks-Helligkeit t^*



ORS19_96a; CIELAB-Daten

u^*_d	$L^*=L^*_a$	a^*	b^*	C^*_{ab}	h^*_{ab}
O _M	48.75	65.16	40.76	76.86	32
Y _M	90.92	-10.78	89.36	90.01	97
L _M	52.69	-65.4	22.15	69.05	161
C _M	59.61	-29.04	-44.69	53.3	237
V _M	28.39	24.0	-43.18	49.4	299
M _M	49.58	74.01	-8.22	74.47	354
N _M	18.89	0.5	0.77	0.92	57
W _M	96.9	-0.57	2.23	2.3	104
O _M	39.92	58.74	27.99	65.07	25
Y _M	81.26	-2.89	71.56	71.62	92
L _M	52.23	-42.42	13.6	44.55	162
V _M	30.57	1.41	-46.47	46.49	272

Daten für Maximalfarbe (Ma):

$LAB^*LAB^*_{Ma}: 57 -45 -17$

$LAB^*LCH^*_{Ma}: 57 48 200$

$lab^*olv^*_{Ma}: 0.0 1.0 0.5$

$lab^*rgb^*_{Ma}: 0.0 1.0 0.69$

Dreiecks-Helligkeit t^*

%Umfang

$u^*_{rel} = 89$

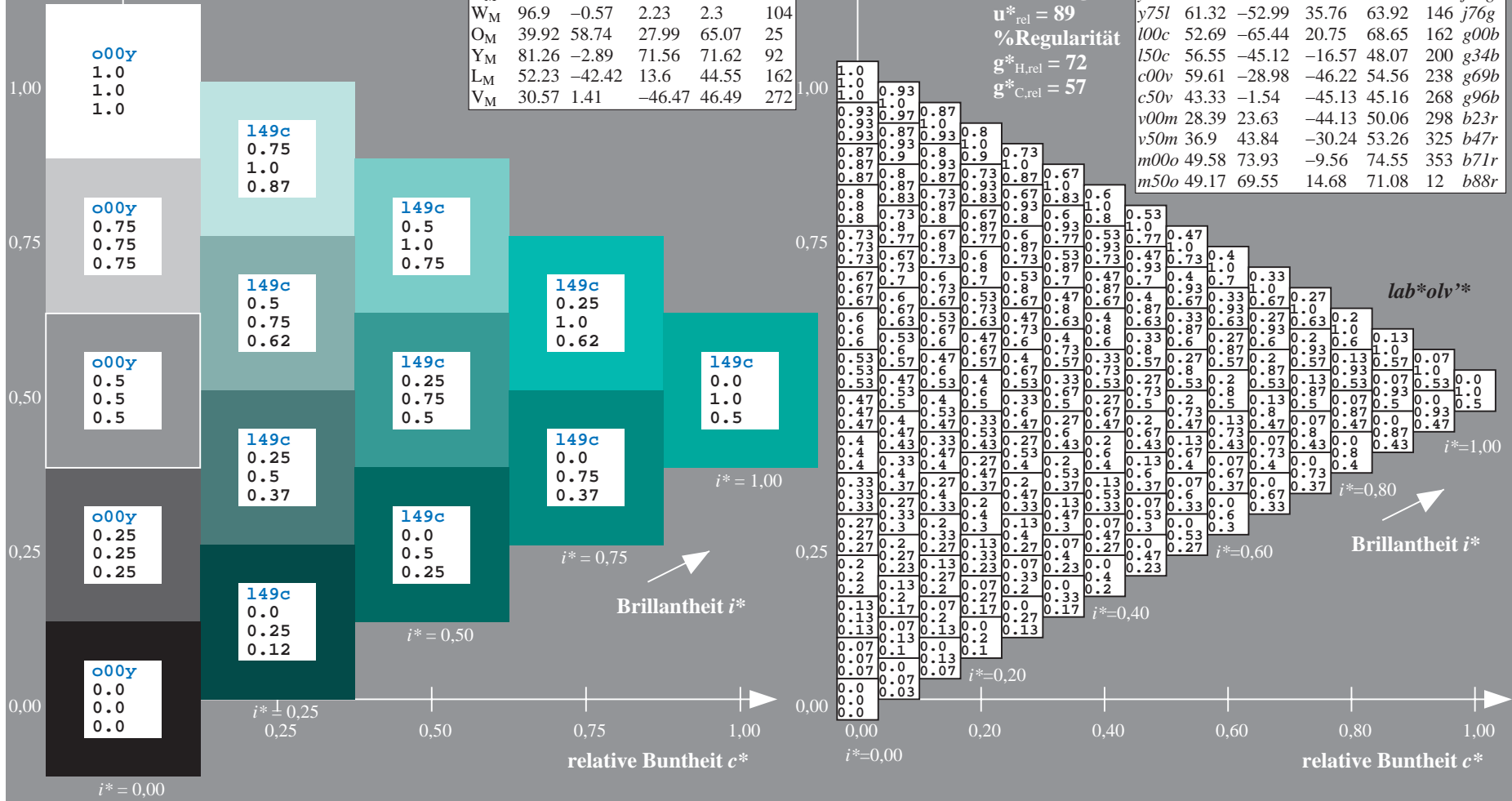
%Regularität

$g^*_{H,rel} = 72$

$g^*_{C,rel} = 57$

ORS19_96a; adaptierte CIELAB-Daten

u^*_d	$L^*=L^*_a$	a^*_a	b^*_a	$C^*_{ab,a}$	$h^*_{ab,a}$	u^*_e
o00y	48.75	65.07	39.43	76.08	31	r08j
o25y	59.04	46.67	51.1	69.21	48	r33j
o50y	68.32	30.09	61.62	68.58	64	r57j
o75y	78.23	12.39	72.85	73.9	80	r81j
y00l	90.92	-10.29	87.24	87.85	97	j06g
y25l	78.57	-28.11	65.75	71.51	113	j29g
y50l	69.46	-41.25	49.92	64.75	130	j53g
y75l	61.32	-52.99	35.76	63.92	146	j76g
l00c	52.69	-65.44	20.75	68.65	162	g00b
l50c	56.55	-45.12	-16.57	48.07	200	g34b
c00v	59.61	-28.98	-46.22	54.56	238	g69b
c50v	43.33	-1.54	-45.13	45.16	268	g96b
v00m	28.39	23.63	-44.13	50.06	298	b23r
v50m	36.9	43.84	-30.24	53.26	325	b47r
m00o	49.58	73.93	-9.56	74.55	353	b71r
m50o	49.17	69.55	14.68	71.08	12	b88r



Ein und Ausgabe: Farbmatisches Drucker-Reflektiv-System ORS19_96a für relativen CIELAB-Bunton $h^* = lab^*h^* = h_{ab}/360 = 0.661$

$u^*_d = c00v$
 lab^*olv^*

Daten für jede Farbe:

lab^*tch^* und lab^*icu^*

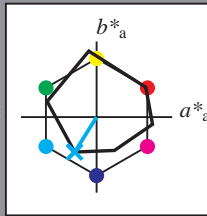
Buntontexte:

$u^*_d = c00v$ $u^*_e = g69b$

Kontrastreduzierungsfaktor:

$c_R = 1.0$

Dreiecks-Helligkeit t^*



ORS19_96a; CIELAB-Daten

	u^*_d	$L^*=L^*_a$	a^*	b^*	C^*_{ab}	h^*_{ab}
O _M	48.75	65.16	40.76	76.86	32	
Y _M	90.92	-10.78	89.36	90.01	97	
L _M	52.69	-65.4	22.15	69.05	161	
C _M	59.61	-29.04	-44.69	53.3	237	
V _M	28.39	24.0	-43.18	49.4	299	
M _M	49.58	74.01	-8.22	74.47	354	
N _M	18.89	0.5	0.77	0.92	57	
W _M	96.9	-0.57	2.23	2.3	104	
O _M	39.92	58.74	27.99	65.07	25	
Y _M	81.26	-2.89	71.56	71.62	92	
L _M	52.23	-42.42	13.6	44.55	162	
V _M	30.57	1.41	-46.47	46.49	272	

Daten für Maximalfarbe (Ma):

$LAB^*LAB^*_{Ma}: 60 -29 -46$

$LAB^*LCH^*_{Ma}: 60 55 237$

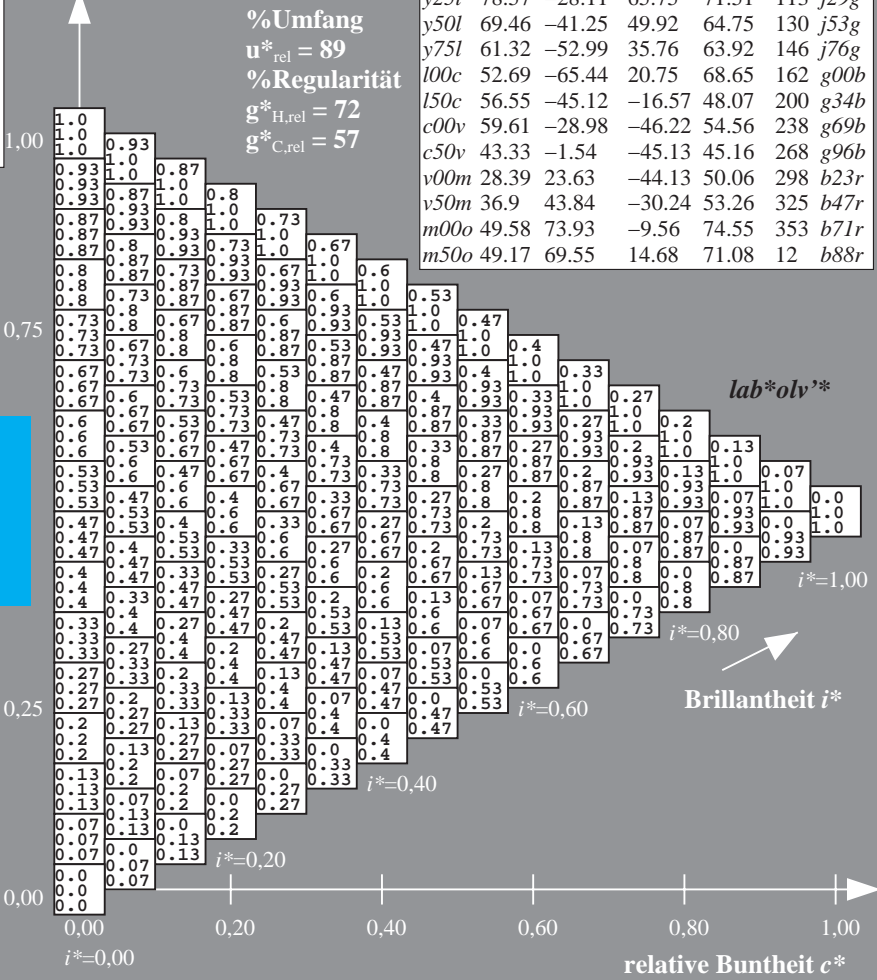
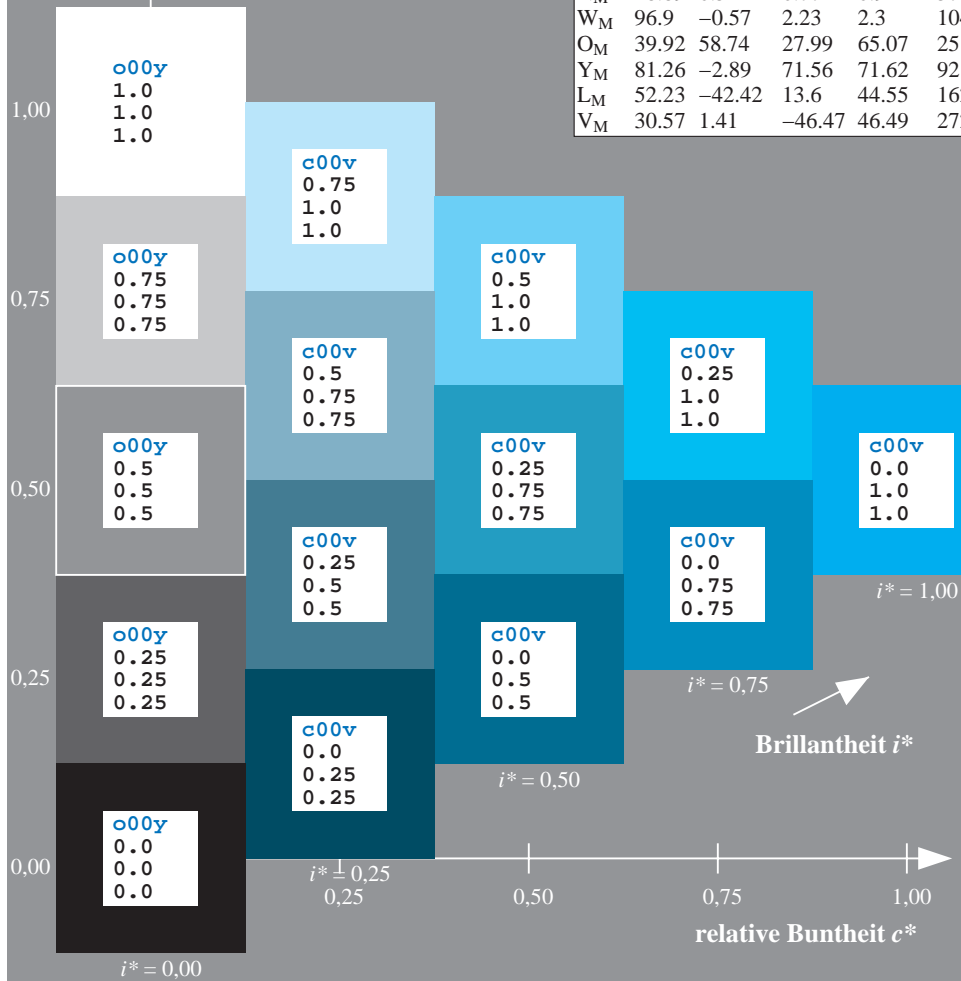
$lab^*olv^*_{Ma}: 0.0 1.0 1.0$

$lab^*rgb^*_{Ma}: 0.0 0.62 1.0$

Dreiecks-Helligkeit t^*

ORS19_96a; adaptierte CIELAB-Daten

	u^*_d	$L^*=L^*_a$	a^*_a	b^*_a	$C^*_{ab,a}$	$h^*_{ab,a}$	u^*_e
o00y	48.75	65.07	39.43	76.08	31	r08j	
o25y	59.04	46.67	51.1	69.21	48	r33j	
o50y	68.32	30.09	61.62	68.58	64	r57j	
o75y	78.23	12.39	72.85	73.9	80	r81j	
y00l	90.92	-10.29	87.24	87.85	97	j06g	
y25l	78.57	-28.11	65.75	71.51	113	j29g	
y50l	69.46	-41.25	49.92	64.75	130	j53g	
y75l	61.32	-52.99	35.76	63.92	146	j76g	
l00c	52.69	-65.44	20.75	68.65	162	g00b	
l50c	56.55	-45.12	-16.57	48.07	200	g34b	
c00v	59.61	-28.98	-46.22	54.56	238	g69b	
c50v	43.33	-1.54	-45.13	45.16	268	g96b	
v00m	28.39	23.63	-44.13	50.06	298	b23r	
v50m	36.9	43.84	-30.24	53.26	325	b47r	
m00o	49.58	73.93	-9.56	74.55	353	b71r	
m50o	49.17	69.55	14.68	71.08	12	b88r	



%Umfang
 $u^*_{rel} = 89$
%Regularität
 $g^*_{H,rel} = 72$
 $g^*_{C,rel} = 57$

Brillantheit i^*

lab^*olv^*

$i^* = 1.00$

$i^* = 0.80$

$i^* = 0.60$

$i^* = 0.40$

$i^* = 0.20$

$i^* = 0.00$

Ein und Ausgabe: Farbmatisches Drucker-Reflektiv-System ORS19_96a für relativen CIELAB-Bunton $h^* = \text{lab}^*h^* = h_{ab}/360 = 0.745$

$u^*_d = c50v$

Daten für jede Farbe:

lab^*tch^* und lab^*icu^*

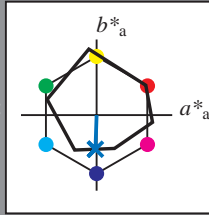
Buntontexte:

$u^*_d = c50v$ $u^*_e = g96b$

Kontrastreduzierungsfaktor:

$c_R = 1.0$

Dreiecks-Helligkeit t^*



ORS19_96a; CIELAB-Daten						
u^*_d	$L^*=L^*_a$	a^*	b^*	C^*_{ab}	h^*_{ab}	
O _M	48.75	65.16	40.76	76.86	32	
Y _M	90.92	-10.78	89.36	90.01	97	
L _M	52.69	-65.4	22.15	69.05	161	
C _M	59.61	-29.04	-44.69	53.3	237	
V _M	28.39	24.0	-43.18	49.4	299	
M _M	49.58	74.01	-8.22	74.47	354	
N _M	18.89	0.5	0.77	0.92	57	
W _M	96.9	-0.57	2.23	2.3	104	
O _M	39.92	58.74	27.99	65.07	25	
Y _M	81.26	-2.89	71.56	71.62	92	
L _M	52.23	-42.42	13.6	44.55	162	
V _M	30.57	1.41	-46.47	46.49	272	

Daten für Maximalfarbe (Ma):

$\text{LAB}^*\text{LAB}^*_{Ma}: 43 -2 -45$

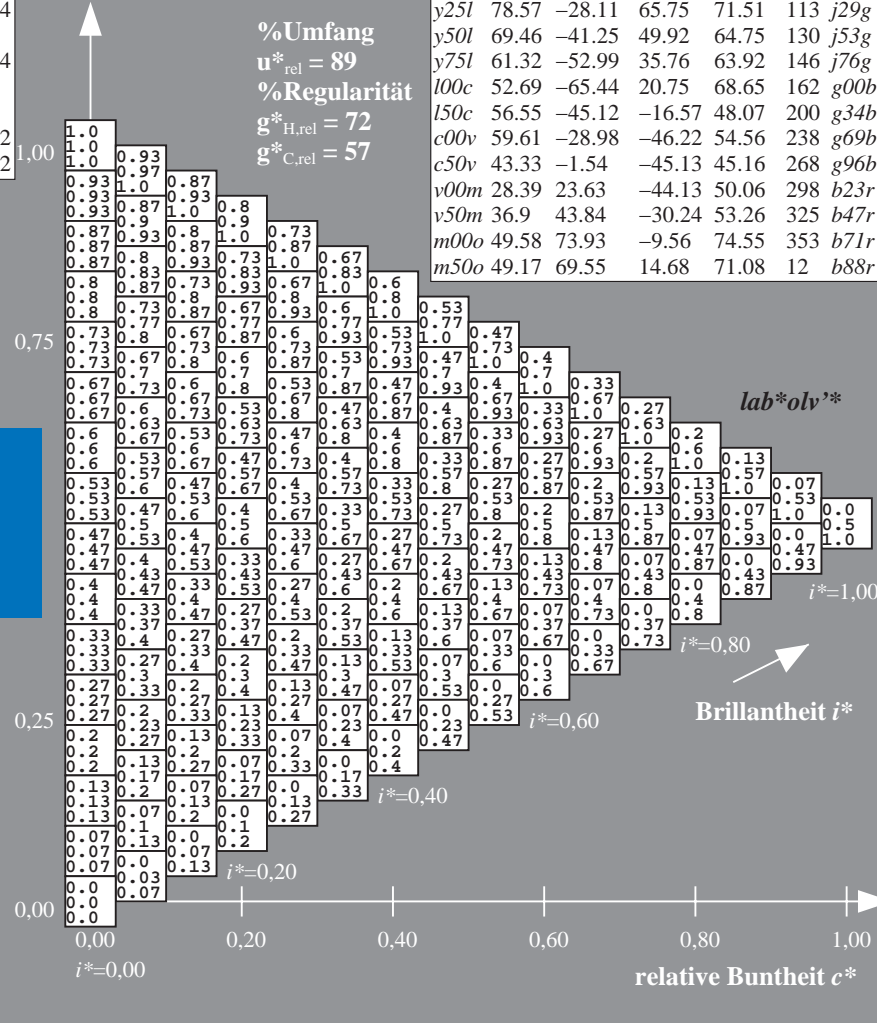
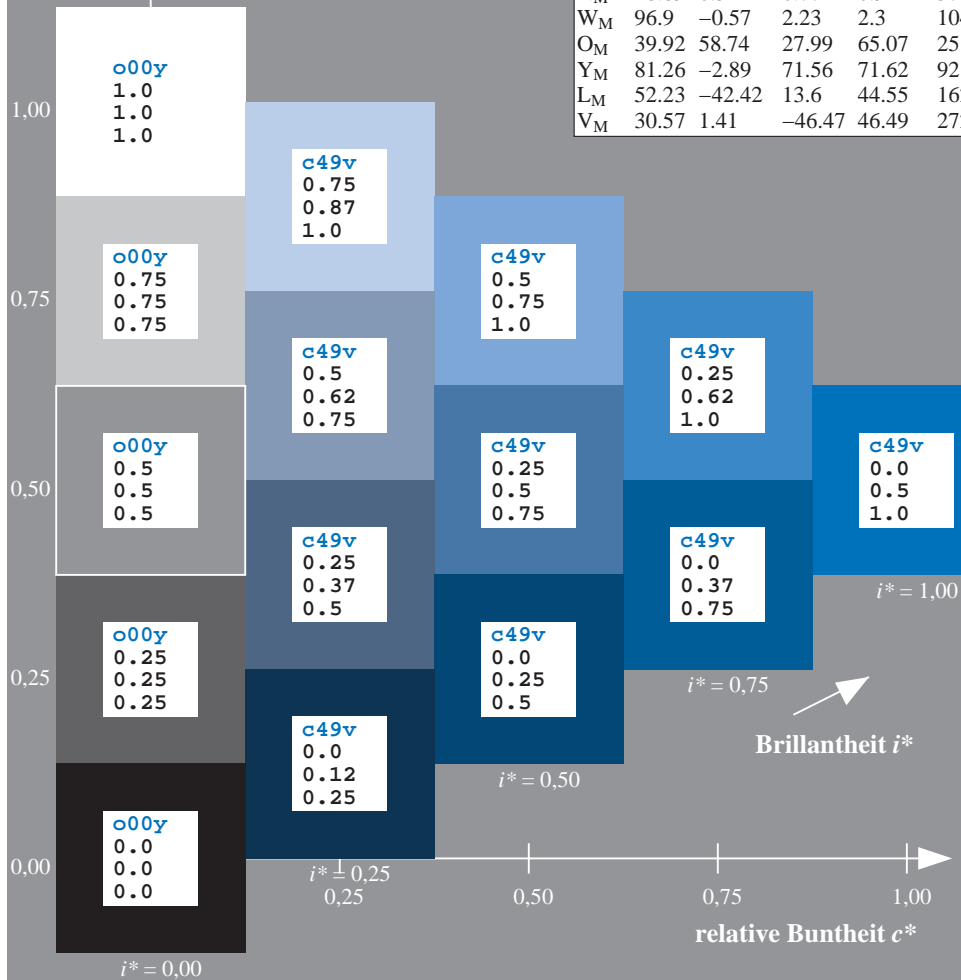
$\text{LAB}^*\text{LCH}^*_{Ma}: 43 45 268$

$\text{lab}^*\text{olv}^*_{Ma}: 0.0 0.5 1.0$

$\text{lab}^*\text{rgb}^*_{Ma}: 0.0 0.07 1.0$

Dreiecks-Helligkeit t^*

ORS19_96a; adaptierte CIELAB-Daten								
u^*_d	$L^*=L^*_a$	a^*_a	b^*_a	$C^*_{ab,a}$	$h^*_{ab,a}$	u^*_e		
o00y	48.75	65.07	39.43	76.08	31	r08j		
o25y	59.04	46.67	51.1	69.21	48	r33j		
o50y	68.32	30.09	61.62	68.58	64	r57j		
o75y	78.23	12.39	72.85	73.9	80	r81j		
y00l	90.92	-10.29	87.24	87.85	97	j06g		
y25l	78.57	-28.11	65.75	71.51	113	j29g		
y50l	69.46	-41.25	49.92	64.75	130	j53g		
y75l	61.32	-52.99	35.76	63.92	146	j76g		
l00c	52.69	-65.44	20.75	68.65	162	g00b		
l50c	56.55	-45.12	-16.57	48.07	200	g34b		
c00v	59.61	-28.98	-46.22	54.56	238	g69b		
c50v	43.33	-1.54	-45.13	45.16	268	g96b		
v00m	28.39	23.63	-44.13	50.06	298	b23r		
v50m	36.9	43.84	-30.24	53.26	325	b47r		
m00o	49.58	73.93	-9.56	74.55	353	b71r		
m50o	49.17	69.55	14.68	71.08	12	b88r		



%Umfang
 $u^*_{rel} = 89$
 %Regularität
 $g^*_{H,rel} = 72$
 $g^*_{C,rel} = 57$

Ein und Ausgabe: Farbmatisches Drucker-Reflektiv-System ORS19_96a für relativen CIELAB-Bunton $h^* = \text{lab}^*h^* = h_{ab}/360 = 0.828$

$u^*_d = v00m$

Daten für jede Farbe:

lab^*tch^* und lab^*icu^*

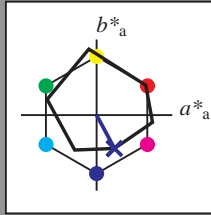
Buntontexte:

$u^*_d = v00m$ $u^*_e = b23r$

Kontrastreduzierungsfaktor:

$c_R = 1.0$

Dreiecks-Helligkeit t^*



ORS19_96a; CIELAB-Daten						
u^*_d	$L^*=L^*$	a^*	b^*	C^*_{ab}	h^*_{ab}	
O _M	48.75	65.16	40.76	76.86	32	
Y _M	90.92	-10.78	89.36	90.01	97	
L _M	52.69	-65.4	22.15	69.05	161	
C _M	59.61	-29.04	-44.69	53.3	237	
V _M	28.39	24.0	-43.18	49.4	299	
M _M	49.58	74.01	-8.22	74.47	354	
N _M	18.89	0.5	0.77	0.92	57	
W _M	96.9	-0.57	2.23	2.3	104	
O _M	39.92	58.74	27.99	65.07	25	
Y _M	81.26	-2.89	71.56	71.62	92	
L _M	52.23	-42.42	13.6	44.55	162	
V _M	30.57	1.41	-46.47	46.49	272	

Daten für Maximalfarbe (Ma):

$\text{LAB}^*\text{LAB}^*_{Ma}: 28\ 24\ -44$

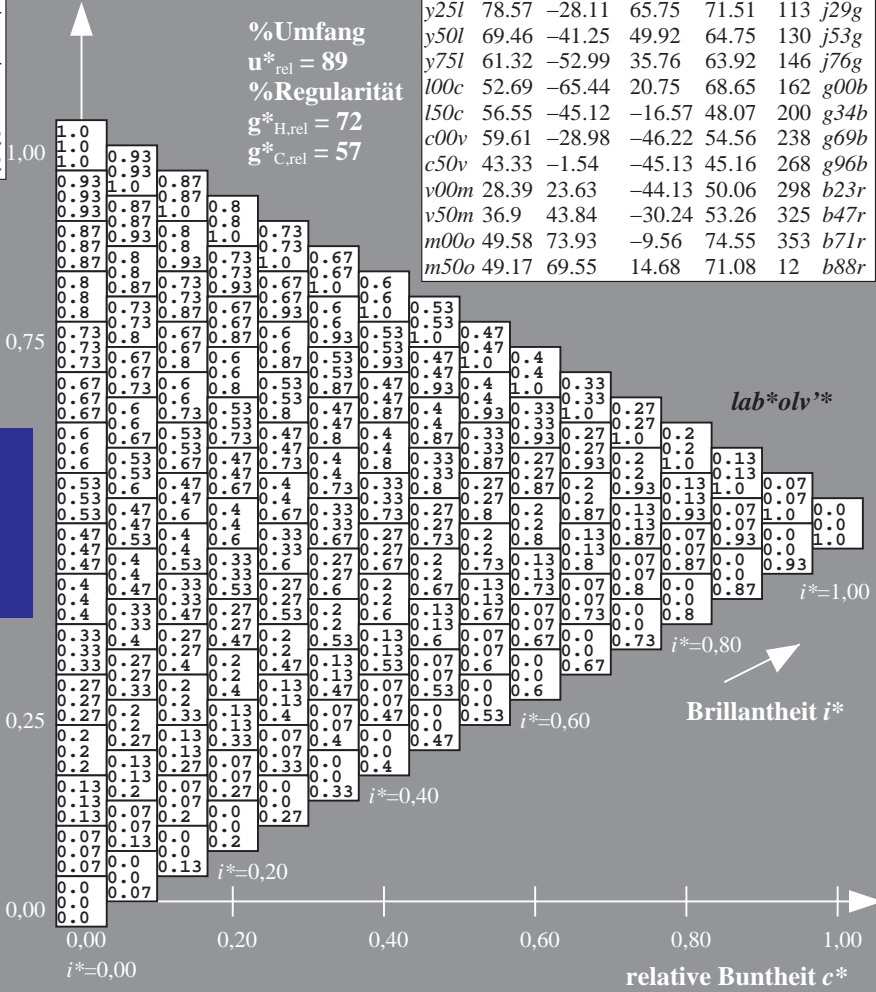
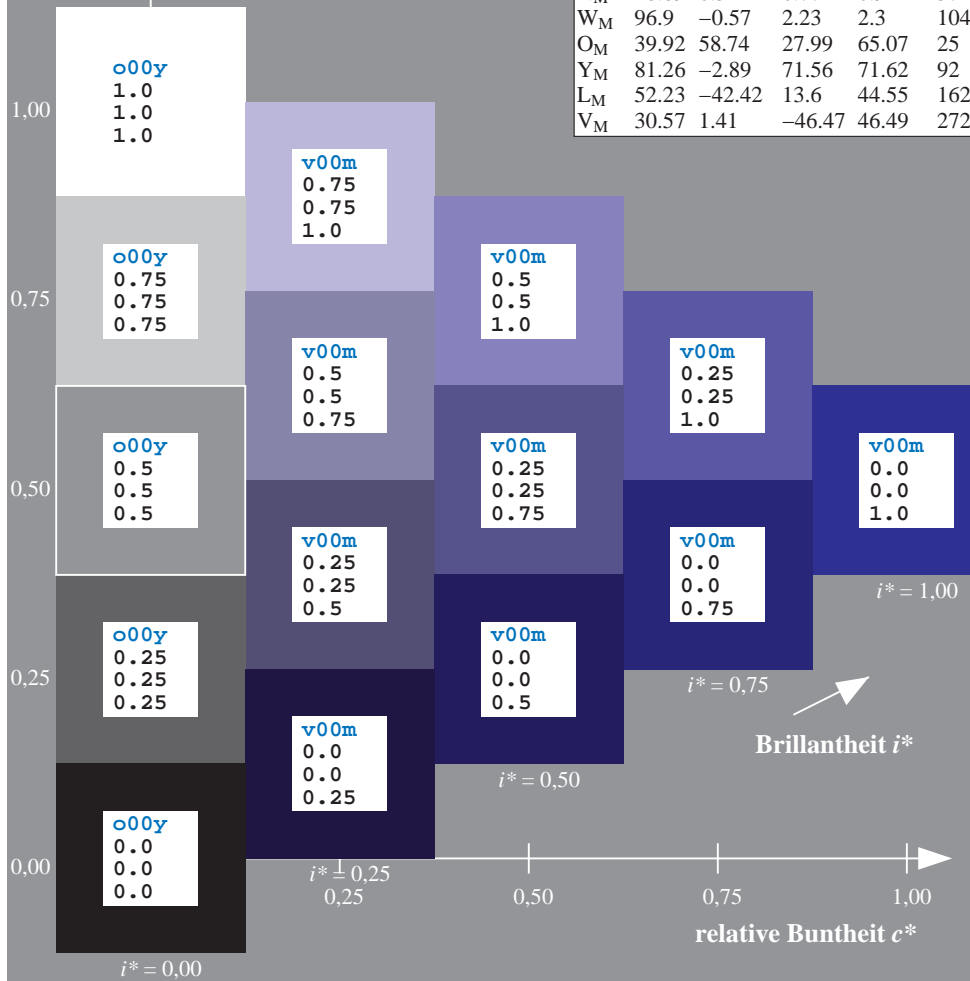
$\text{LAB}^*\text{LCH}^*_{Ma}: 28\ 50\ 298$

$\text{lab}^*\text{olv}^*_{Ma}: 0.0\ 0.0\ 1.0$

$\text{lab}^*\text{rgb}^*_{Ma}: 0.46\ 0.0\ 1.0$

Dreiecks-Helligkeit t^*

ORS19_96a; adaptierte CIELAB-Daten							
u^*_d	$L^*=L^*_a$	a^*_a	b^*_a	$C^*_{ab,a}$	$h^*_{ab,a}$	u^*_e	
o00y	48.75	65.07	39.43	76.08	31	r08j	
o25y	59.04	46.67	51.1	69.21	48	r33j	
o50y	68.32	30.09	61.62	68.58	64	r57j	
o75y	78.23	12.39	72.85	73.9	80	r81j	
y00l	90.92	-10.29	87.24	87.85	97	j06g	
y25l	78.57	-28.11	65.75	71.51	113	j29g	
y50l	69.46	-41.25	49.92	64.75	130	j53g	
y75l	61.32	-52.99	35.76	63.92	146	j76g	
l00c	52.69	-65.44	20.75	68.65	162	g00b	
l50c	56.55	-45.12	-16.57	48.07	200	g34b	
c00v	59.61	-28.98	-46.22	54.56	238	g69b	
c50v	43.33	-1.54	-45.13	45.16	268	g96b	
v00m	28.39	23.63	-44.13	50.06	298	b23r	
v50m	36.9	43.84	-30.24	53.26	325	b47r	
m00o	49.58	73.93	-9.56	74.55	353	b71r	
m50o	49.17	69.55	14.68	71.08	12	b88r	



%Umfang
 $u^*_{rel} = 89$
%Regularität
 $g^*_{H,rel} = 72$
 $g^*_{C,rel} = 57$

Ein und Ausgabe: Farbmatisches Drucker-Reflektiv-System ORS19_96a für relativen CIELAB-Bunton $h^* = lab^*h^* = h_{ab}/360 = 0.904$

$u^*_d = v50m$
 lab^*olv^*

Daten für jede Farbe:

lab^*tch^* und lab^*icu^*

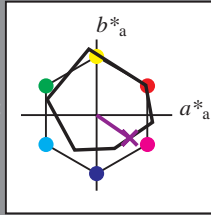
Buntontexte:

$u^*_d = v50m$ $u^*_e = b47r$

Kontrastreduzierungsfaktor:

$c_R = 1.0$

Dreiecks-Helligkeit t^*



ORS19_96a; CIELAB-Daten						
u^*_d	$L^*=L^*$	a^*	b^*	C^*_{ab}	h^*_{ab}	
O _M	48.75	65.16	40.76	76.86	32	
Y _M	90.92	-10.78	89.36	90.01	97	
L _M	52.69	-65.4	22.15	69.05	161	
C _M	59.61	-29.04	-44.69	53.3	237	
V _M	28.39	24.0	-43.18	49.4	299	
M _M	49.58	74.01	-8.22	74.47	354	
N _M	18.89	0.5	0.77	0.92	57	
W _M	96.9	-0.57	2.23	2.3	104	
O _M	39.92	58.74	27.99	65.07	25	
Y _M	81.26	-2.89	71.56	71.62	92	
L _M	52.23	-42.42	13.6	44.55	162	
V _M	30.57	1.41	-46.47	46.49	272	

Daten für Maximalfarbe (Ma):

$LAB^*LAB^*_{Ma}: 37\ 44\ -30$

$LAB^*LCH^*_{Ma}: 37\ 53\ 325$

$lab^*olv^*_{Ma}: 0.5\ 0.0\ 1.0$

$lab^*rgb^*_{Ma}: 0.94\ 0.0\ 1.0$

Dreiecks-Helligkeit t^*

%Umfang

$u^*_{rel} = 89$

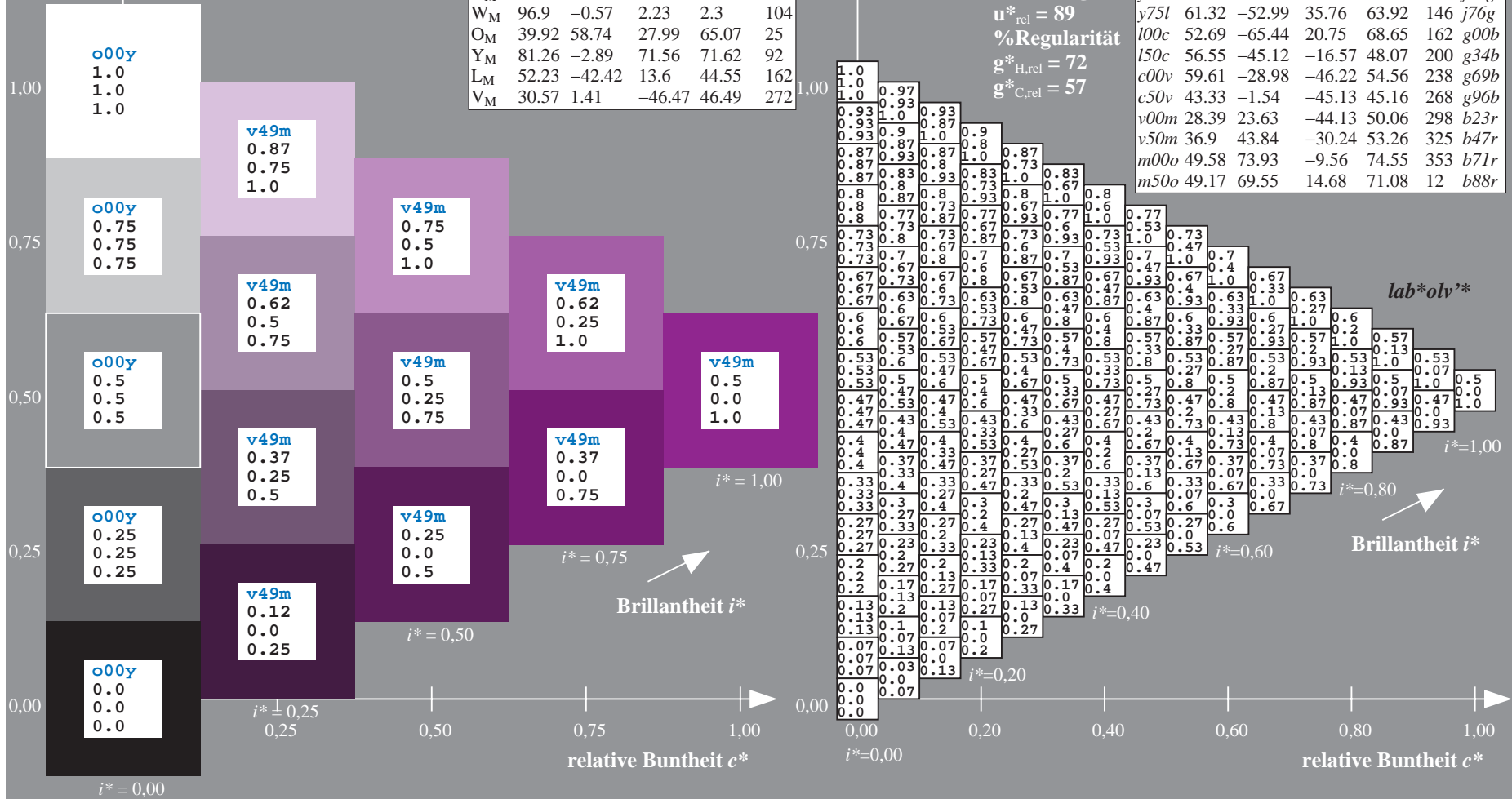
%Regularität

$g^*_{H,rel} = 72$

$g^*_{C,rel} = 57$

ORS19_96a; adaptierte CIELAB-Daten

u^*_d	$L^*=L^*_a$	a^*_a	b^*_a	$C^*_{ab,a}$	$h^*_{ab,a}$	u^*_e
o00y	48.75	65.07	39.43	76.08	31	r08j
o25y	59.04	46.67	51.1	69.21	48	r33j
o50y	68.32	30.09	61.62	68.58	64	r57j
o75y	78.23	12.39	72.85	73.9	80	r81j
y00l	90.92	-10.29	87.24	87.85	97	j06g
y25l	78.57	-28.11	65.75	71.51	113	j29g
y50l	69.46	-41.25	49.92	64.75	130	j53g
y75l	61.32	-52.99	35.76	63.92	146	j76g
l00c	52.69	-65.44	20.75	68.65	162	g00b
l50c	56.55	-45.12	-16.57	48.07	200	g34b
c00v	59.61	-28.98	-46.22	54.56	238	g69b
c50v	43.33	-1.54	-45.13	45.16	268	g96b
v00m	28.39	23.63	-44.13	50.06	298	b23r
v50m	36.9	43.84	-30.24	53.26	325	b47r
m00o	49.58	73.93	-9.56	74.55	353	b71r
m50o	49.17	69.55	14.68	71.08	12	b88r



Ein und Ausgabe: Farbmatisches Drucker-Reflektiv-System ORS19_96a für relativen CIELAB-Bunton $h^* = \text{lab}^*h^* = h_{ab}/360 = 0.98$

$u^*_d = m00o$

Daten für jede Farbe:

lab^*tch^* und lab^*icu^*

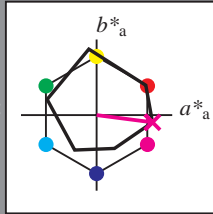
Buntontexte:

$u^*_d = m00o$ $u^*_e = b71r$

Kontrastreduzierungsfaktor:

$c_R = 1.0$

Dreiecks-Helligkeit t^*



ORS19_96a; CIELAB-Daten

u^*_d	$L^*=L^*$	a^*	b^*	C^*_{ab}	h^*_{ab}
O _M	48.75	65.16	40.76	76.86	32
Y _M	90.92	-10.78	89.36	90.01	97
L _M	52.69	-65.4	22.15	69.05	161
C _M	59.61	-29.04	-44.69	53.3	237
V _M	28.39	24.0	-43.18	49.4	299
M _M	49.58	74.01	-8.22	74.47	354
N _M	18.89	0.5	0.77	0.92	57
W _M	96.9	-0.57	2.23	2.3	104
O _M	39.92	58.74	27.99	65.07	25
Y _M	81.26	-2.89	71.56	71.62	92
L _M	52.23	-42.42	13.6	44.55	162
V _M	30.57	1.41	-46.47	46.49	272

Daten für Maximalfarbe (Ma):

$\text{LAB}^*\text{LAB}^*_{Ma}: 50\ 74\ -10$

$\text{LAB}^*\text{LCH}^*_{Ma}: 50\ 75\ 352$

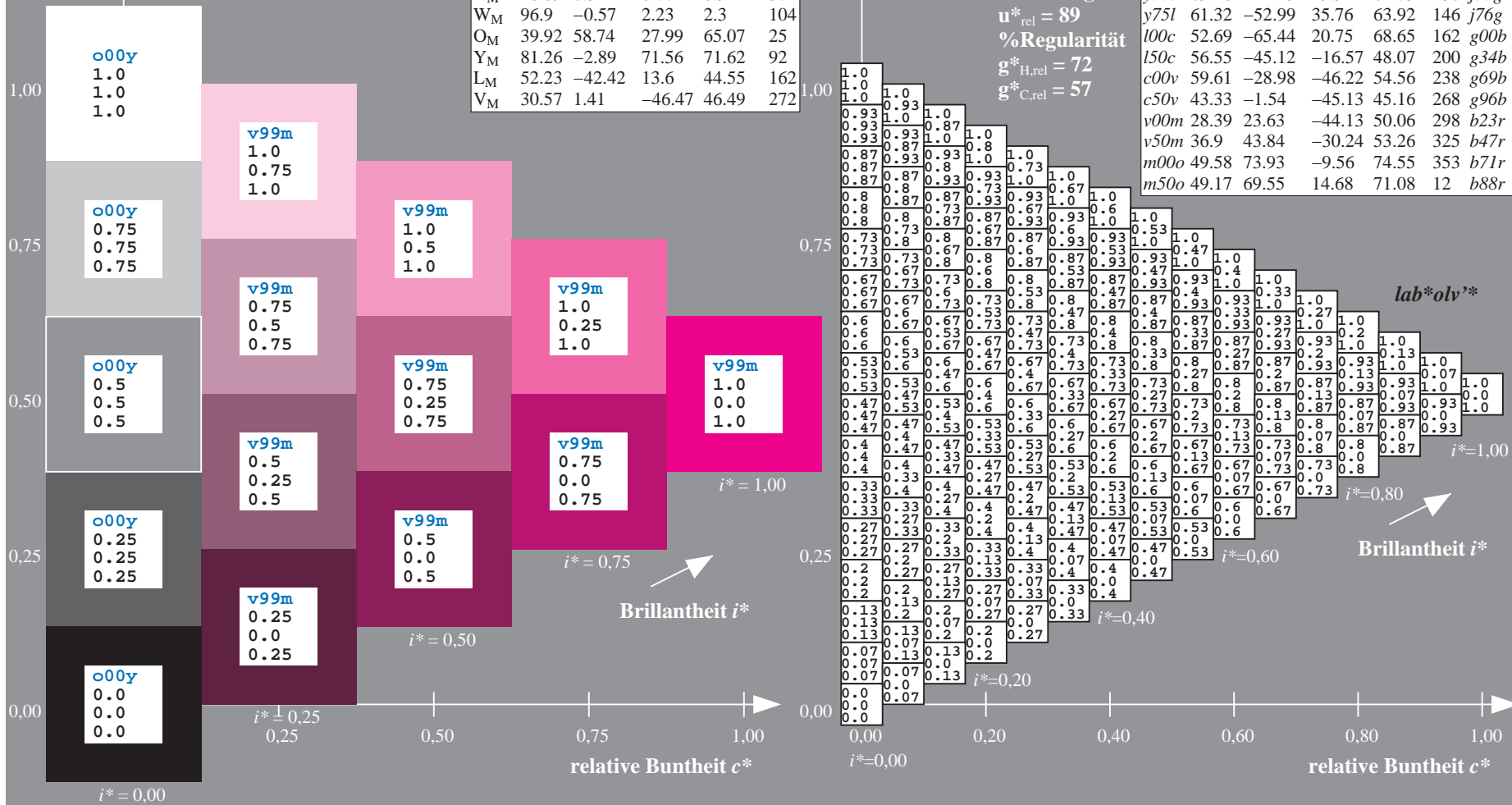
$\text{lab}^*\text{olv}^*_{Ma}: 1.0\ 0.0\ 1.0$

$\text{lab}^*\text{rgb}^*_{Ma}: 1.0\ 0.0\ 0.58$

Dreiecks-Helligkeit t^*

ORS19_96a; adaptierte CIELAB-Daten

u^*_d	$L^*=L^*_a$	a^*_a	b^*_a	$C^*_{ab,a}$	$h^*_{ab,a}$	u^*_e
o00y	48.75	65.07	39.43	76.08	31	r08j
o25y	59.04	46.67	51.1	69.21	48	r33j
o50y	68.32	30.09	61.62	68.58	64	r57j
o75y	78.23	12.39	72.85	73.9	80	r81j
y00l	90.92	-10.29	87.24	87.85	97	j06g
y25l	78.57	-28.11	65.75	71.51	113	j29g
y50l	69.46	-41.25	49.92	64.75	130	j53g
y75l	61.32	-52.99	35.76	63.92	146	j76g
l00c	52.69	-65.44	20.75	68.65	162	g00b
l50c	56.55	-45.12	-16.57	48.07	200	g34b
c00v	59.61	-28.98	-46.22	54.56	238	g69b
c50v	43.33	-1.54	-45.13	45.16	268	g96b
v00m	28.39	23.63	-44.13	50.06	298	b23r
v50m	36.9	43.84	-30.24	53.26	325	b47r
m00o	49.58	73.93	-9.56	74.55	353	b71r
m50o	49.17	69.55	14.68	71.08	12	b88r



Ein und Ausgabe: Farbmatisches Drucker-Reflektiv-System ORS19_96a für relativen CIELAB-Bunton $h^* = lab^*h^* = h_{ab}/360 = 0.033$

$u^*_d = m50o$

Daten für jede Farbe:

lab^*ch^* und lab^*icu^*

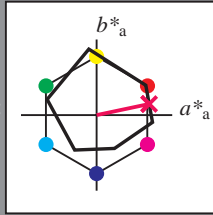
Buntontexte:

$u^*_d = m50o$ $u^*_e = b88r$

Kontrastreduzierungsfaktor:

$c_R = 1.0$

Dreiecks-Helligkeit t^*



ORS19_96a; CIELAB-Daten						
u^*_d	$L^*=L^*_a$	a^*_a	b^*_a	C^*_{ab}	h^*_{ab}	
O _M	48.75	65.16	40.76	76.86	32	
Y _M	90.92	-10.78	89.36	90.01	97	
L _M	52.69	-65.4	22.15	69.05	161	
C _M	59.61	-29.04	-44.69	53.3	237	
V _M	28.39	24.0	-43.18	49.4	299	
M _M	49.58	74.01	-8.22	74.47	354	
N _M	18.89	0.5	0.77	0.92	57	
W _M	96.9	-0.57	2.23	2.3	104	
O _M	39.92	58.74	27.99	65.07	25	
Y _M	81.26	-2.89	71.56	71.62	92	
L _M	52.23	-42.42	13.6	44.55	162	
V _M	30.57	1.41	-46.47	46.49	272	

Daten für Maximalfarbe (Ma):

$LAB^*LAB^*_{Ma}: 49\ 70\ 15$

$LAB^*LCH^*_{Ma}: 49\ 71\ 11$

$lab^*olv^*_{Ma}: 1.0\ 0.0\ 0.5$

$lab^*rgb^*_{Ma}: 1.0\ 0.0\ 0.24$

Dreiecks-Helligkeit t^*

%Umfang

$u^*_{rel} = 89$

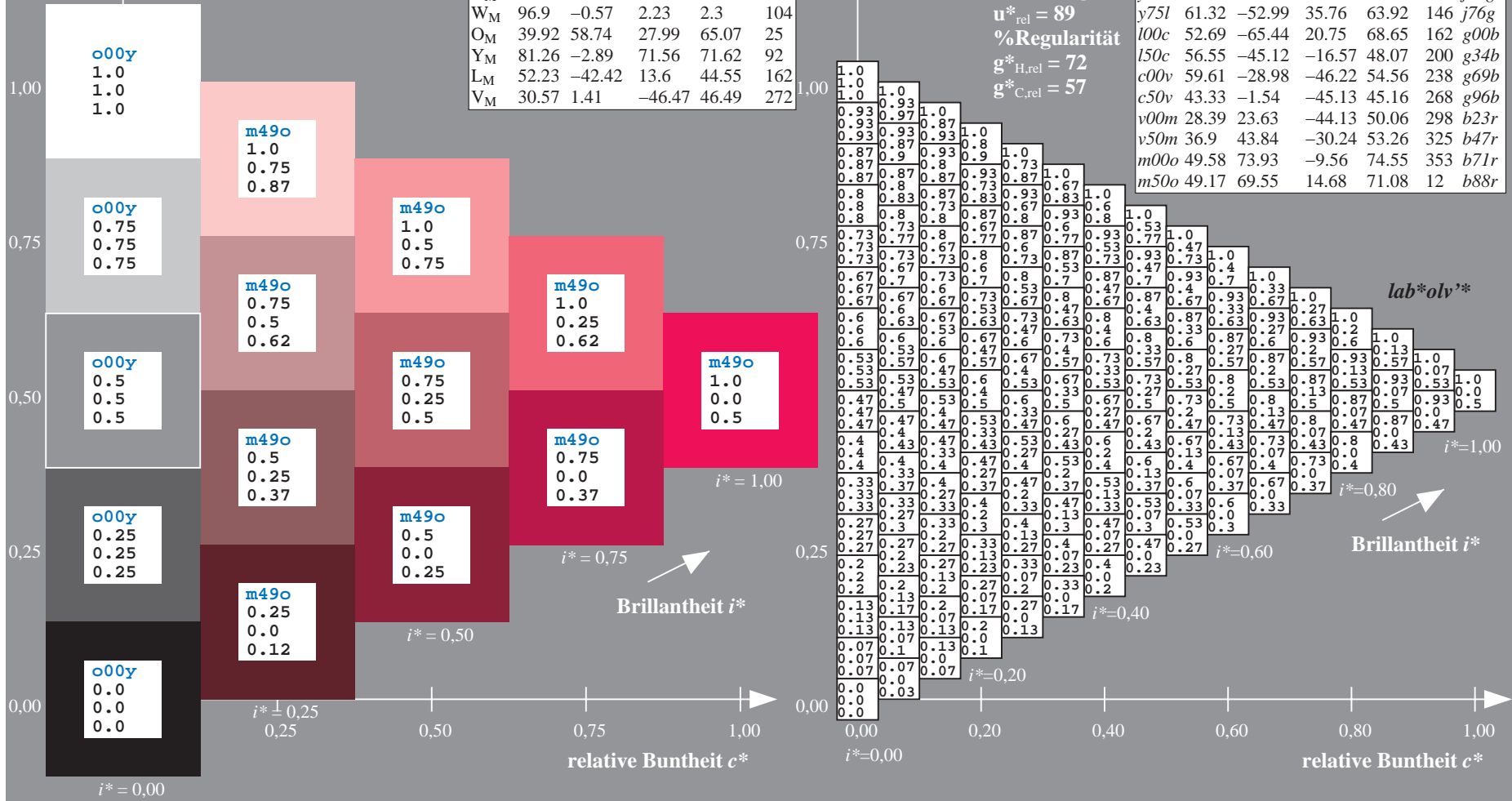
%Regularität

$g^*_{H,rel} = 72$

$g^*_{C,rel} = 57$

ORS19_96a; adaptierte CIELAB-Daten

u^*_d	$L^*=L^*_a$	a^*_a	b^*_a	$C^*_{ab,a}$	$h^*_{ab,a}$	u^*_e
o00y	48.75	65.07	39.43	76.08	31	r08j
o25y	59.04	46.67	51.1	69.21	48	r33j
o50y	68.32	30.09	61.62	68.58	64	r57j
o75y	78.23	12.39	72.85	73.9	80	r81j
y00l	90.92	-10.29	87.24	87.85	97	j06g
y25l	78.57	-28.11	65.75	71.51	113	j29g
y50l	69.46	-41.25	49.92	64.75	130	j53g
y75l	61.32	-52.99	35.76	63.92	146	j76g
l00c	52.69	-65.44	20.75	68.65	162	g00b
l50c	56.55	-45.12	-16.57	48.07	200	g34b
c00v	59.61	-28.98	-46.22	54.56	238	g69b
c50v	43.33	-1.54	-45.13	45.16	268	g96b
v00m	28.39	23.63	-44.13	50.06	298	b23r
v50m	36.9	43.84	-30.24	53.26	325	b47r
m00o	49.58	73.93	-9.56	74.55	353	b71r
m50o	49.17	69.55	14.68	71.08	12	b88r



Ein und Ausgabe:
 Farbmetrisches Drucker-Reflektiv-System ORS19_96a

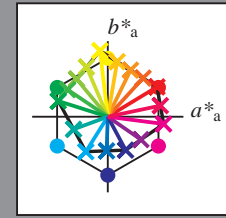
Daten für jede Farbe:
 u^*_d und Nummer $Nr.$ = 00 .. 15

Geräte-Bunttextext:
 $u^*_d = 16$ Bunttoene $o00y, o25y, \dots, m50o$

Kontrastreduzierungsfaktor:
 $c_R = 1.0$

ORS19_96a; adaptierte CIELAB-Daten

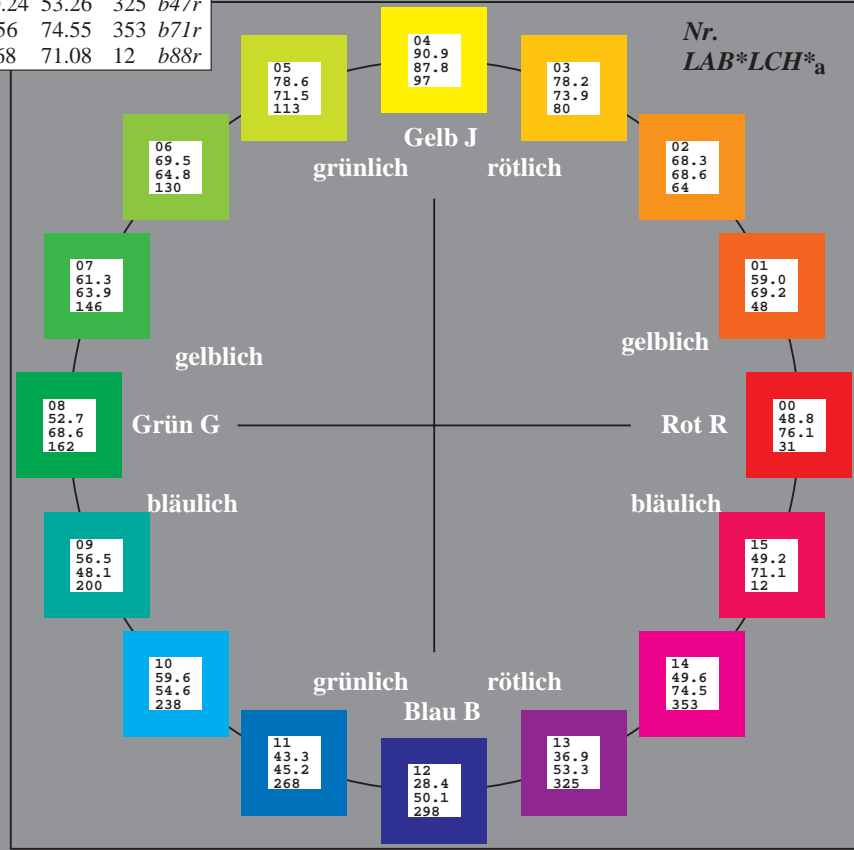
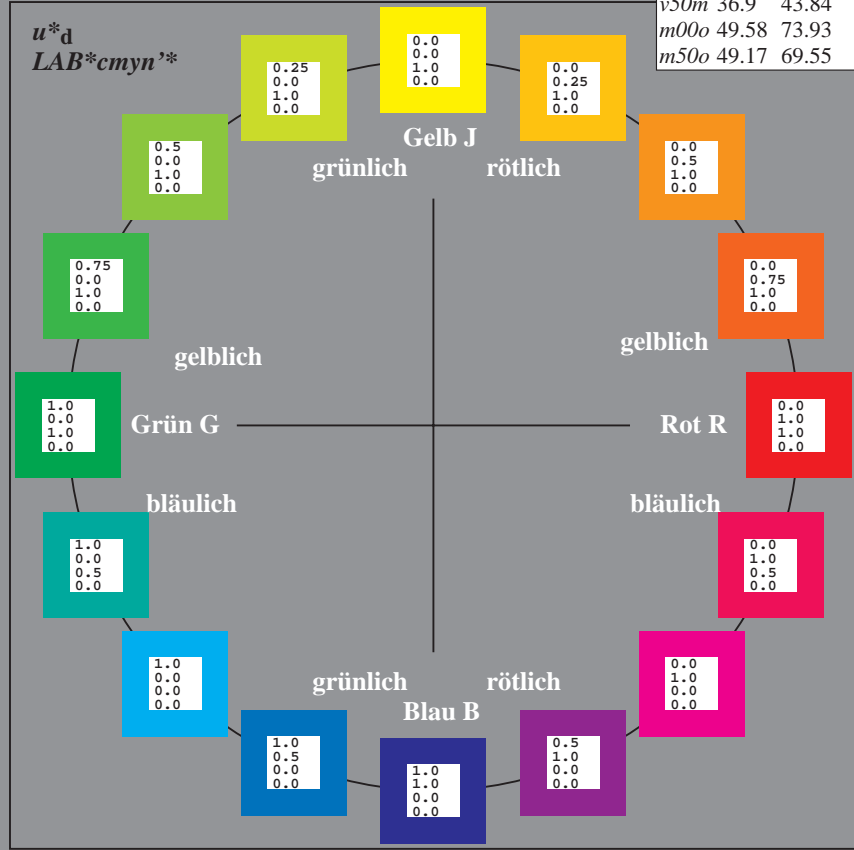
u^*_d	$L^*=L^*_a$	a^*_a	b^*_a	$C^*_{ab,a}$	$h^*_{ab,a}$	u^*_e
<i>o00y</i>	48.75	65.07	39.43	76.08	31	<i>r08j</i>
<i>o25y</i>	59.04	46.67	51.1	69.21	48	<i>r33j</i>
<i>o50y</i>	68.32	30.09	61.62	68.58	64	<i>r57j</i>
<i>o75y</i>	78.23	12.39	72.85	73.9	80	<i>r81j</i>
<i>y00l</i>	90.92	-10.29	87.24	87.85	97	<i>j06g</i>
<i>y25l</i>	78.57	-28.11	65.75	71.51	113	<i>j29g</i>
<i>y50l</i>	69.46	-41.25	49.92	64.75	130	<i>j53g</i>
<i>y75l</i>	61.32	-52.99	35.76	63.92	146	<i>j76g</i>
<i>l00c</i>	52.69	-65.44	20.75	68.65	162	<i>g00b</i>
<i>l50c</i>	56.55	-45.12	-16.57	48.07	200	<i>g34b</i>
<i>c00v</i>	59.61	-28.98	-46.22	54.56	238	<i>g69b</i>
<i>c50v</i>	43.33	-1.54	-45.13	45.16	268	<i>g96b</i>
<i>v00m</i>	28.39	23.63	-44.13	50.06	298	<i>b23r</i>
<i>y50m</i>	36.9	43.84	-30.24	53.26	325	<i>b47r</i>
<i>m00o</i>	49.58	73.93	-9.56	74.55	353	<i>b71r</i>
<i>m50o</i>	49.17	69.55	14.68	71.08	12	<i>b88r</i>



%Umfang
 $u^*_{rel} = 89$
 %Regularität
 $g^*_{H,rel} = 72$
 $g^*_{C,rel} = 57$

ORS19_96a; CIELAB-Daten

Name	$L^*=L^*$	a^*	b^*	C^*_{ab}	h^*_{ab}
O _M	48.75	65.16	40.76	76.86	32
Y _M	90.92	-10.78	89.36	90.01	97
L _M	52.69	-65.4	22.15	69.05	161
C _M	59.61	-29.04	-44.69	53.3	237
V _M	28.39	24.0	-43.18	49.4	299
M _M	49.58	74.01	-8.22	74.47	354
N _M	18.89	0.5	0.77	0.92	57
W _M	96.9	-0.57	2.23	2.3	104
O _{CIE}	39.92	58.74	27.99	65.07	25
Y _{CIE}	81.26	-2.89	71.56	71.62	92
L _{CIE}	52.23	-42.42	13.6	44.55	162
V _{CIE}	30.57	1.41	-46.47	46.49	272



Ein und Ausgabe: Farbmatisches Drucker-Reflektiv-System ORS19_96a für relativen CIELAB-Bunton $h^* = lab^*h^* = h_{ab}/360 = 0.087$

$u^*_d = o00y$
LAB**cmy*n**

Daten für jede Farbe:

lab^*tch^* und lab^*icu^*

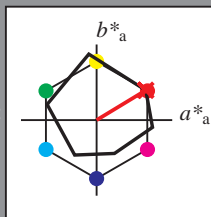
Buntontexte:

$u^*_d = o00y$ $u^*_e = r08j$

Kontrastreduzierungsfaktor:

$c_R = 1.0$

Dreiecks-Helligkeit t^*



ORS19_96a; CIELAB-Daten						
u^*_d	$L^*=L^*$	a^*	b^*	C^*_{ab}	h^*_{ab}	
O _M	48.75	65.16	40.76	76.86	32	
Y _M	90.92	-10.78	89.36	90.01	97	
L _M	52.69	-65.4	22.15	69.05	161	
C _M	59.61	-29.04	-44.69	53.3	237	
V _M	28.39	24.0	-43.18	49.4	299	
M _M	49.58	74.01	-8.22	74.47	354	
N _M	18.89	0.5	0.77	0.92	57	
W _M	96.9	-0.57	2.23	2.3	104	
O _M	39.92	58.74	27.99	65.07	25	
Y _M	81.26	-2.89	71.56	71.62	92	
L _M	52.23	-42.42	13.6	44.55	162	
V _M	30.57	1.41	-46.47	46.49	272	

Daten für Maximalfarbe (Ma):

LAB*LAB*_{Ma}: 49 65 39

LAB*LCH*_{Ma}: 49 76 31

lab**olv**_{Ma}: 1.0 0.0 0.0

lab**rgb**_{Ma}: 1.0 0.09 0.0

Dreiecks-Helligkeit t^*

%Umfang

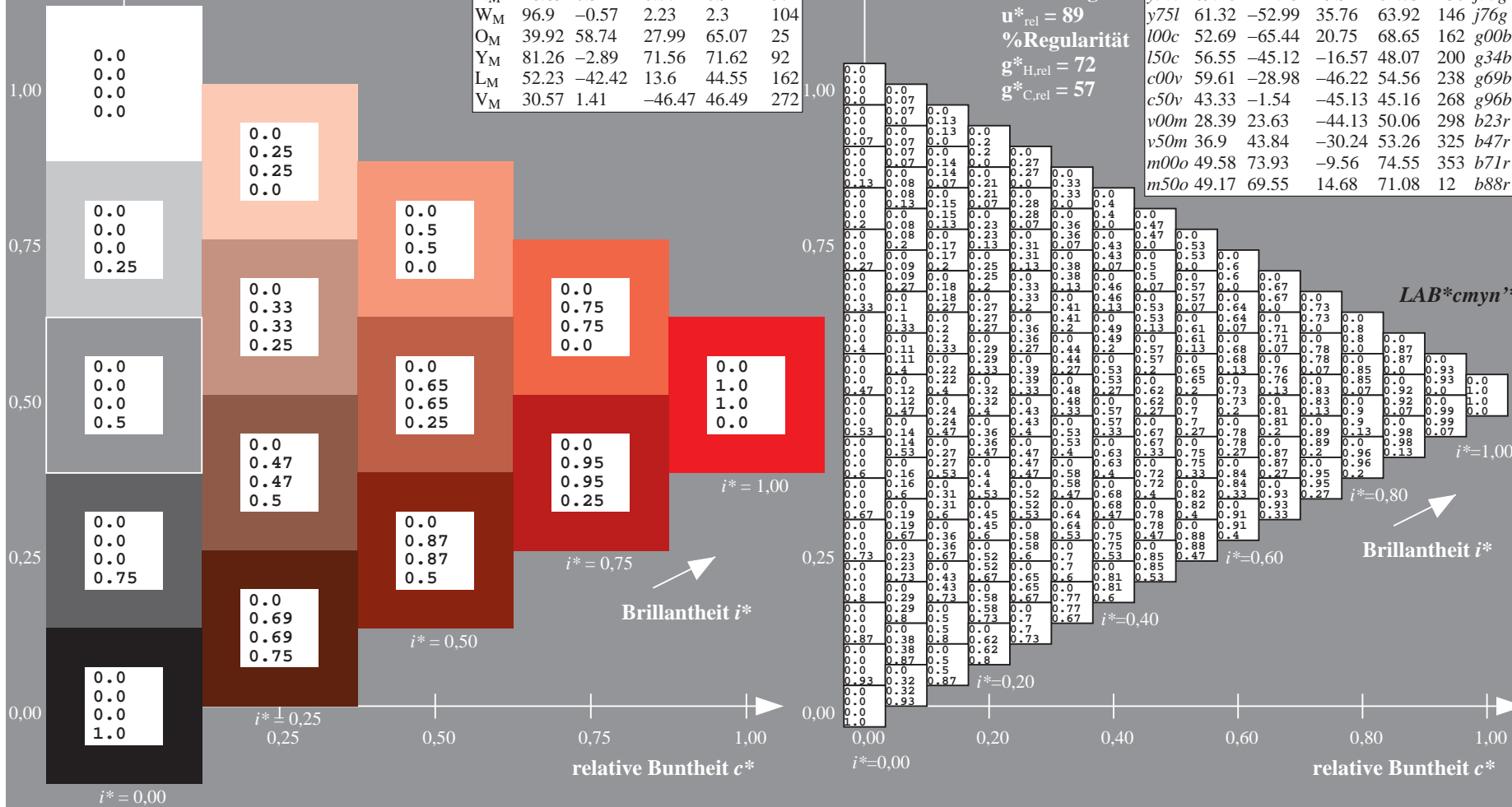
$u^*_{rel} = 89$

%Regularität

$g^*_{H,rel} = 72$

$g^*_{C,rel} = 57$

ORS19_96a; adaptierte CIELAB-Daten							
u^*_d	$L^*=L^*_a$	a^*_a	b^*_a	$C^*_{ab,a}$	$h^*_{ab,a}$	u^*_e	
<i>o00y</i>	48.75	65.07	39.43	76.08	31	<i>r08j</i>	
<i>o25y</i>	59.04	46.67	51.1	69.21	48	<i>r33j</i>	
<i>o50y</i>	68.32	30.09	61.62	68.58	64	<i>r57j</i>	
<i>o75y</i>	78.23	12.39	72.85	73.9	80	<i>r81j</i>	
<i>y00l</i>	90.92	-10.29	87.24	87.85	97	<i>j06g</i>	
<i>y25l</i>	78.57	-28.11	65.75	71.51	113	<i>j29g</i>	
<i>y50l</i>	69.46	-41.25	49.92	64.75	130	<i>j53g</i>	
<i>y75l</i>	61.32	-52.99	35.76	63.92	146	<i>j76g</i>	
<i>l00c</i>	52.69	-65.44	20.75	68.65	162	<i>g00b</i>	
<i>l50c</i>	56.55	-45.12	-16.57	48.07	200	<i>g34b</i>	
<i>c00v</i>	59.61	-28.98	-46.22	54.56	238	<i>g69b</i>	
<i>c50v</i>	43.33	-1.54	-45.13	45.16	268	<i>g96b</i>	
<i>v00m</i>	28.39	23.63	-44.13	50.06	298	<i>b23r</i>	
<i>v50m</i>	36.9	43.84	-30.24	53.26	325	<i>b47r</i>	
<i>m00o</i>	49.58	73.93	-9.56	74.55	353	<i>b71r</i>	
<i>m50o</i>	49.17	69.55	14.68	71.08	12	<i>b88r</i>	



Ein und Ausgabe: Farbmatisches Drucker-Reflektiv-System ORS19_96a für relativen CIELAB-Bunton $h^* = \text{lab}^*h^* = h_{ab}/360 = 0.132$

$u^*_d = o25y$
 LAB^*c_{myn}''

Daten für jede Farbe:

lab^*tch^* und lab^*icu^*

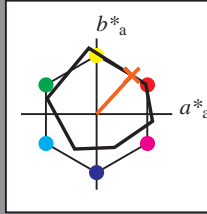
Buntontexte:

$u^*_d = o25y$ $u^*_e = r33j$

Kontrastreduzierungsfaktor:

$c_R = 1.0$

Dreiecks-Helligkeit t^*



ORS19_96a; CIELAB-Daten

	u^*_d	$L^*=L^*$	a^*	b^*	C^*_{ab}	h^*_{ab}
O _M	48.75	65.16	40.76	76.86	32	
Y _M	90.92	-10.78	89.36	90.01	97	
L _M	52.69	-65.4	22.15	69.05	161	
C _M	59.61	-29.04	-44.69	53.3	237	
V _M	28.39	24.0	-43.18	49.4	299	
M _M	49.58	74.01	-8.22	74.47	354	
N _M	18.89	0.5	0.77	0.92	57	
W _M	96.9	-0.57	2.23	2.3	104	
O _M	39.92	58.74	27.99	65.07	25	
Y _M	81.26	-2.89	71.56	71.62	92	
L _M	52.23	-42.42	13.6	44.55	162	
V _M	30.57	1.41	-46.47	46.49	272	

Daten für Maximalfarbe (Ma):

$\text{LAB}^* \text{LAB}^*_{Ma}: 59\ 47\ 51$

$\text{LAB}^* \text{LCH}^*_{Ma}: 59\ 69\ 47$

$\text{lab}^* \text{olv}^*_{Ma}: 1.0\ 0.25\ 0.0$

$\text{lab}^* \text{rgb}^*_{Ma}: 1.0\ 0.33\ 0.0$

Dreiecks-Helligkeit t^*

%Umfang

$u^*_{rel} = 89$

%Regularität

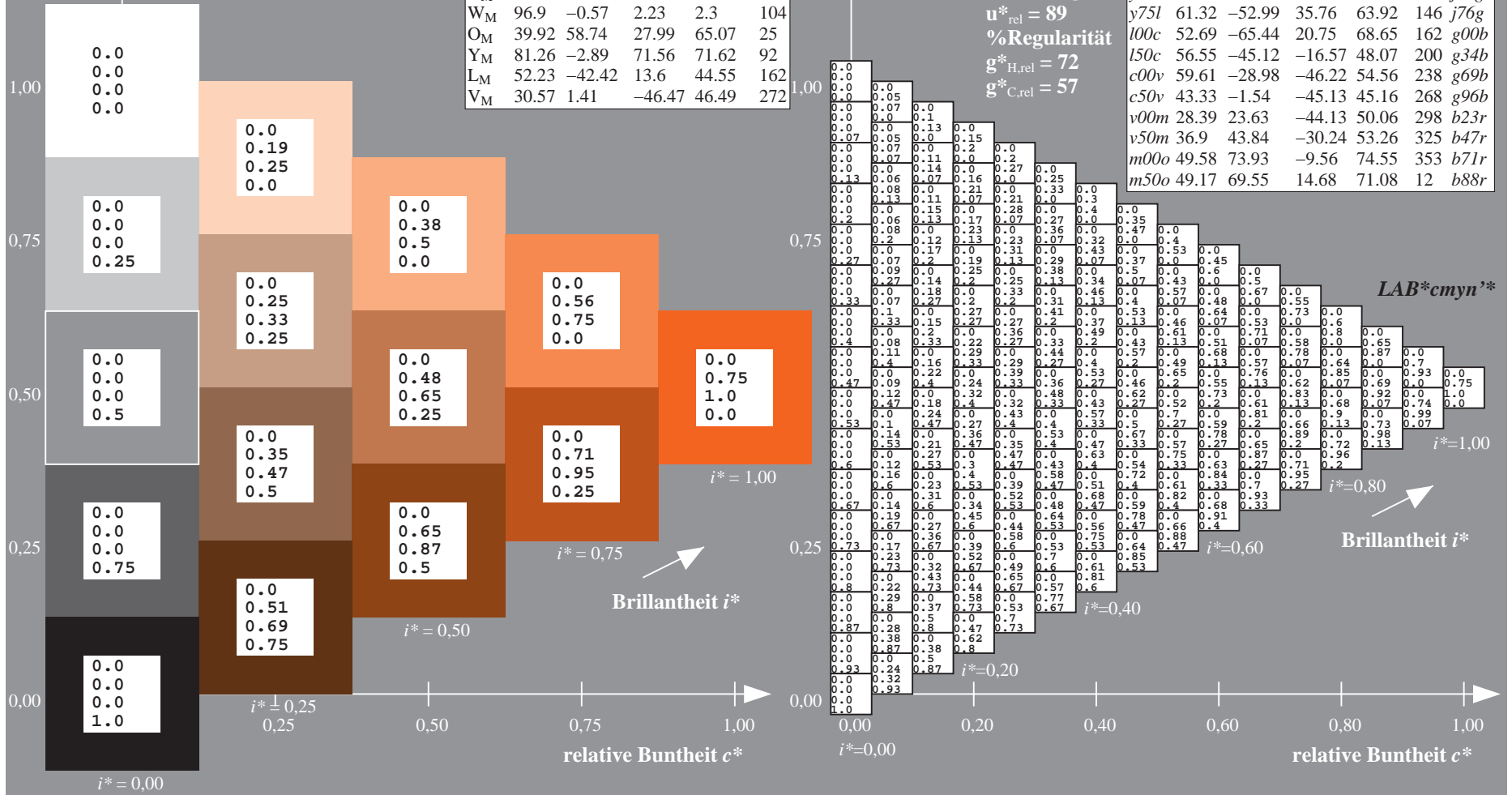
$g^*_{H,rel} = 72$

$g^*_{C,rel} = 57$

ORS19_96a; adaptierte CIELAB-Daten

	u^*_d	$L^*=L^*_a$	a^*_a	b^*_a	$C^*_{ab,a}$	$h^*_{ab,a}$	u^*_e
o00y	48.75	65.07	39.43	76.08	31	r08j	
o25y	59.04	46.67	51.1	69.21	48	r33j	
o50y	68.32	30.09	61.62	68.58	64	r57j	
o75y	78.23	12.39	72.85	73.9	80	r81j	
y00l	90.92	-10.29	87.24	87.85	97	j06g	
y25l	78.57	-28.11	65.75	71.51	113	j29g	
y50l	69.46	-41.25	49.92	64.75	130	j53g	
y75l	61.32	-52.99	35.76	63.92	146	j76g	
l00c	52.69	-65.44	20.75	68.65	162	g00b	
l50c	56.55	-45.12	-16.57	48.07	200	g34b	
c00v	59.61	-28.98	-46.22	54.56	238	g69b	
c50v	43.33	-1.54	-45.13	45.16	268	g96b	
v00m	28.39	23.63	-44.13	50.06	298	b23r	
v50m	36.9	43.84	-30.24	53.26	325	b47r	
m00o	49.58	73.93	-9.56	74.55	353	b71r	
m50o	49.17	69.55	14.68	71.08	12	b88r	

LAB^*c_{myn}''



Ein und Ausgabe: Farbmatisches Drucker-Reflektiv-System ORS19_96a für relativen CIELAB-Bunton $h^* = \text{lab}^*h^* = h_{ab}/360 = 0.178$

$u^*_d = o50y$
LAB**cmy*n**

Daten für jede Farbe:

lab^*tch^* und lab^*icu^*

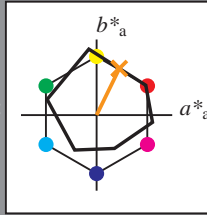
Buntontexte:

$u^*_d = o50y$ $u^*_e = r57j$

Kontrastreduzierungsfaktor:

$c_R = 1.0$

Dreiecks-Helligkeit t^*



ORS19_96a; CIELAB-Daten

u^*_d	$L^*=L^*$	a^*	b^*	C^*_{ab}	h^*_{ab}
O _M	48.75	65.16	40.76	76.86	32
Y _M	90.92	-10.78	89.36	90.01	97
L _M	52.69	-65.4	22.15	69.05	161
C _M	59.61	-29.04	-44.69	53.3	237
V _M	28.39	24.0	-43.18	49.4	299
M _M	49.58	74.01	-8.22	74.47	354
N _M	18.89	0.5	0.77	0.92	57
W _M	96.9	-0.57	2.23	2.3	104
O _M	39.92	58.74	27.99	65.07	25
Y _M	81.26	-2.89	71.56	71.62	92
L _M	52.23	-42.42	13.6	44.55	162
V _M	30.57	1.41	-46.47	46.49	272

Daten für Maximalfarbe (Ma):

LAB*LAB*_{Ma}: 68 30 62

LAB*LCH*_{Ma}: 68 69 63

lab**olv**_{Ma}: 1.0 0.5 0.0

lab**rgb**_{Ma}: 1.0 0.58 0.0

Dreiecks-Helligkeit t^*

%Umfang

$u^*_{rel} = 89$

%Regularität

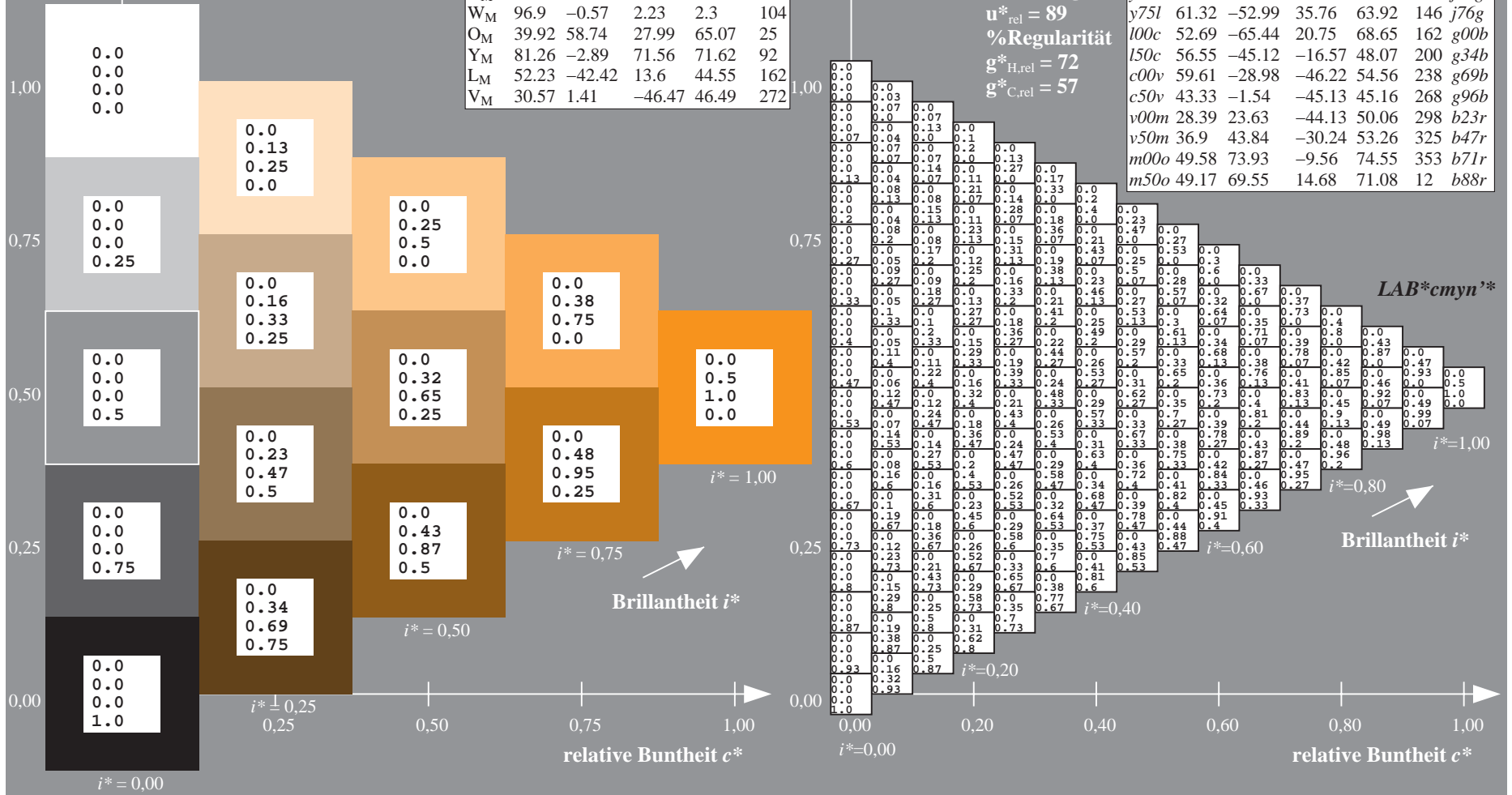
$g^*_{H,rel} = 72$

$g^*_{C,rel} = 57$

ORS19_96a; adaptierte CIELAB-Daten

u^*_d	$L^*=L^*_a$	a^*_a	b^*_a	$C^*_{ab,a}$	$h^*_{ab,a}$	u^*_e
o00y	48.75	65.07	39.43	76.08	31	r08j
o25y	59.04	46.67	51.1	69.21	48	r33j
o50y	68.32	30.09	61.62	68.58	64	r57j
o75y	78.23	12.39	72.85	73.9	80	r81j
y00l	90.92	-10.29	87.24	87.85	97	j06g
y25l	78.57	-28.11	65.75	71.51	113	j29g
y50l	69.46	-41.25	49.92	64.75	130	j53g
y75l	61.32	-52.99	35.76	63.92	146	j76g
l00c	52.69	-65.44	20.75	68.65	162	g00b
l50c	56.55	-45.12	-16.57	48.07	200	g34b
c00v	59.61	-28.98	-46.22	54.56	238	g69b
c50v	43.33	-1.54	-45.13	45.16	268	g96b
v00m	28.39	23.63	-44.13	50.06	298	b23r
v50m	36.9	43.84	-30.24	53.26	325	b47r
m00o	49.58	73.93	-9.56	74.55	353	b71r
m50o	49.17	69.55	14.68	71.08	12	b88r

LAB**cmy*n**



Ein und Ausgabe: Farbmatisches Drucker-Reflektiv-System ORS19_96a für relativen CIELAB-Bunton $h^* = lab^*h^* = h_{ab}/360 = 0.223$

$u^*_d = 0.75y$
LAB**cmy*'*

Daten für jede Farbe:

lab^*ch^* und lab^*icu^*

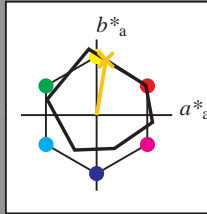
Buntontexte:

$u^*_d = 0.75y$ $u^*_e = r8lj$

Kontrastreduzierungsfaktor:

$c_R = 1.0$

Dreiecks-Helligkeit t^*



ORS19_96a; CIELAB-Daten

u^*_d	$L^*=L^*$	a^*	b^*	C^*_{ab}	h^*_{ab}
O _M	48.75	65.16	40.76	76.86	32
Y _M	90.92	-10.78	89.36	90.01	97
L _M	52.69	-65.4	22.15	69.05	161
C _M	59.61	-29.04	-44.69	53.3	237
V _M	28.39	24.0	-43.18	49.4	299
M _M	49.58	74.01	-8.22	74.47	354
N _M	18.89	0.5	0.77	0.92	57
W _M	96.9	-0.57	2.23	2.3	104
O _M	39.92	58.74	27.99	65.07	25
Y _M	81.26	-2.89	71.56	71.62	92
L _M	52.23	-42.42	13.6	44.55	162
V _M	30.57	1.41	-46.47	46.49	272

Daten für Maximalfarbe (Ma):

LAB*LAB*_{Ma}: 78 12 73

LAB*LCH*_{Ma}: 78 74 80

lab**olv**_{Ma}: 1.0 0.75 0.0

lab**rgb**_{Ma}: 1.0 0.82 0.0

Dreiecks-Helligkeit t^*

%Umfang

$u^*_{rel} = 89$

%Regularität

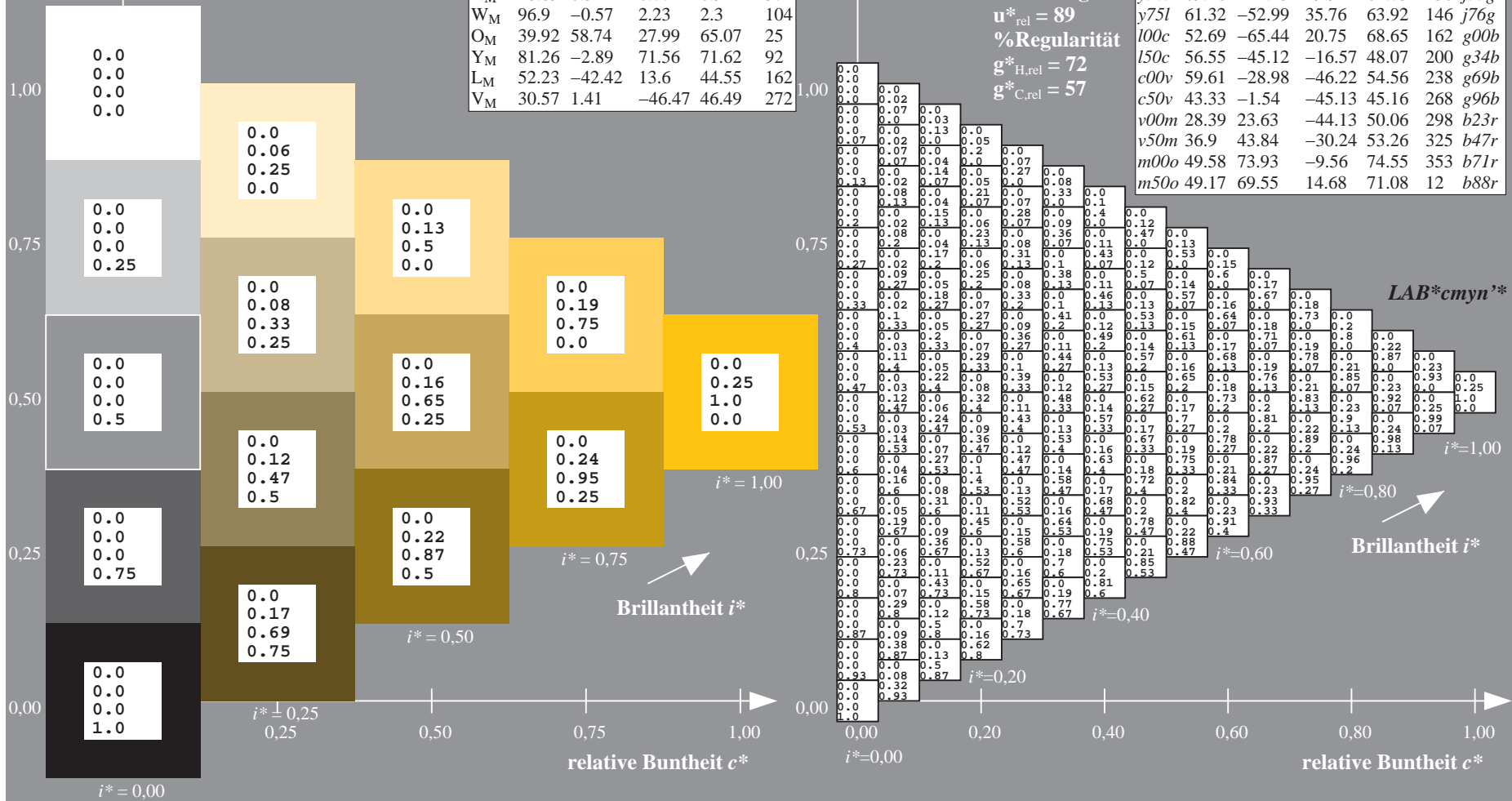
$g^*_{H,rel} = 72$

$g^*_{C,rel} = 57$

ORS19_96a; adaptierte CIELAB-Daten

u^*_d	$L^*=L^*_a$	a^*_a	b^*_a	$C^*_{ab,a}$	$h^*_{ab,a}$	u^*_e
o00y	48.75	65.07	39.43	76.08	31	r08j
o25y	59.04	46.67	51.1	69.21	48	r33j
o50y	68.32	30.09	61.62	68.58	64	r57j
o75y	78.23	12.39	72.85	73.9	80	r8lj
y00l	90.92	-10.29	87.24	87.85	97	j06g
y25l	78.57	-28.11	65.75	71.51	113	j29g
y50l	69.46	-41.25	49.92	64.75	130	j53g
y75l	61.32	-52.99	35.76	63.92	146	j76g
l00c	52.69	-65.44	20.75	68.65	162	g00b
l50c	56.55	-45.12	-16.57	48.07	200	g34b
c00v	59.61	-28.98	-46.22	54.56	238	g69b
c50v	43.33	-1.54	-45.13	45.16	268	g96b
v00m	28.39	23.63	-44.13	50.06	298	b23r
v50m	36.9	43.84	-30.24	53.26	325	b47r
m00o	49.58	73.93	-9.56	74.55	353	b71r
m50o	49.17	69.55	14.68	71.08	12	b88r

LAB**cmy*'*



Ein und Ausgabe: Farbmatisches Drucker-Reflektiv-System ORS19_96a für relativen CIELAB-Bunton $h^* = lab^*h^* = h_{ab}/360 = 0.269$

$u^*_d = y00l$
LAB**cmy*'**

Daten für jede Farbe:

lab^*ch^* und lab^*icu^*

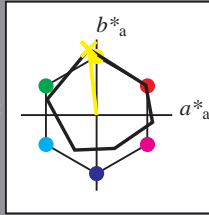
Buntontexte:

$u^*_d = y00l$ $u^*_e = j06g$

Kontrastreduzierungsfaktor:

$c_R = 1.0$

Dreiecks-Helligkeit t^*



ORS19_96a; CIELAB-Daten

u^*_d	$L^*=L^*$	a^*	b^*	C^*_{ab}	h^*_{ab}
O _M	48.75	65.16	40.76	76.86	32
Y _M	90.92	-10.78	89.36	90.01	97
L _M	52.69	-65.4	22.15	69.05	161
C _M	59.61	-29.04	-44.69	53.3	237
V _M	28.39	24.0	-43.18	49.4	299
M _M	49.58	74.01	-8.22	74.47	354
N _M	18.89	0.5	0.77	0.92	57
W _M	96.9	-0.57	2.23	2.3	104
O _M	39.92	58.74	27.99	65.07	25
Y _M	81.26	-2.89	71.56	71.62	92
L _M	52.23	-42.42	13.6	44.55	162
V _M	30.57	1.41	-46.47	46.49	272

Daten für Maximalfarbe (Ma):

LAB*LAB*_{Ma}: 91 -10 87

LAB*LCH*_{Ma}: 91 88 96

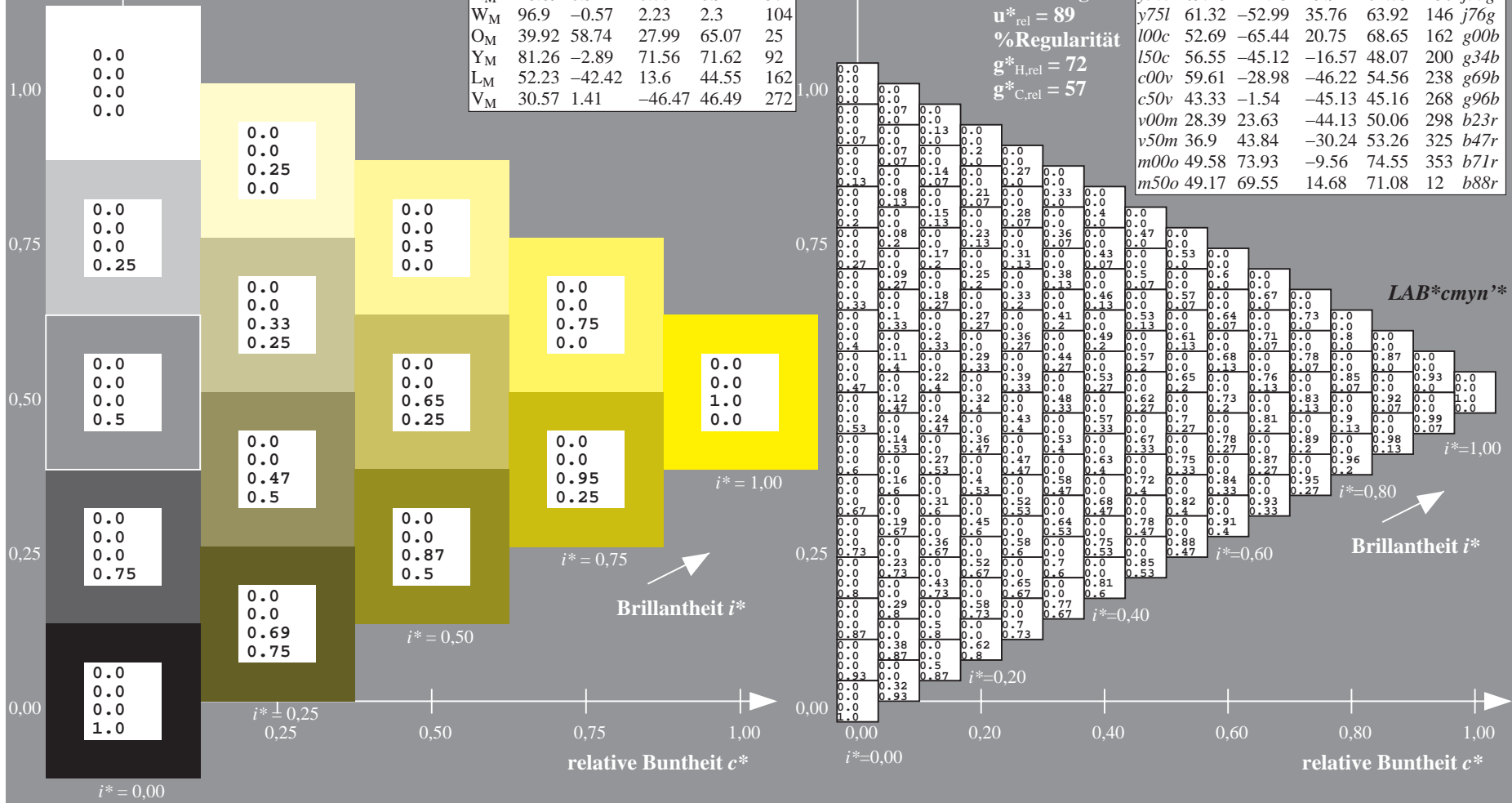
lab**olv**_{Ma}: 1.0 1.0 0.0

lab**rgb**_{Ma}: 0.94 1.0 0.0

Dreiecks-Helligkeit t^*

ORS19_96a; adaptierte CIELAB-Daten

u^*_d	$L^*=L^*_a$	a^*_a	b^*_a	$C^*_{ab,a}$	$h^*_{ab,a}$	u^*_e
<i>o00y</i>	48.75	65.07	39.43	76.08	31	<i>r08j</i>
<i>o25y</i>	59.04	46.67	51.1	69.21	48	<i>r33j</i>
<i>o50y</i>	68.32	30.09	61.62	68.58	64	<i>r57j</i>
<i>o75y</i>	78.23	12.39	72.85	73.9	80	<i>r81j</i>
<i>y00l</i>	90.92	-10.29	87.24	87.85	97	<i>j06g</i>
<i>y25l</i>	78.57	-28.11	65.75	71.51	113	<i>j29g</i>
<i>y50l</i>	69.46	-41.25	49.92	64.75	130	<i>j53g</i>
<i>y75l</i>	61.32	-52.99	35.76	63.92	146	<i>j76g</i>
<i>l00c</i>	52.69	-65.44	20.75	68.65	162	<i>g00b</i>
<i>l50c</i>	56.55	-45.12	-16.57	48.07	200	<i>g34b</i>
<i>c00v</i>	59.61	-28.98	-46.22	54.56	238	<i>g69b</i>
<i>c50v</i>	43.33	-1.54	-45.13	45.16	268	<i>g96b</i>
<i>v00m</i>	28.39	23.63	-44.13	50.06	298	<i>b23r</i>
<i>v50m</i>	36.9	43.84	-30.24	53.26	325	<i>b47r</i>
<i>m00o</i>	49.58	73.93	-9.56	74.55	353	<i>b71r</i>
<i>m50o</i>	49.17	69.55	14.68	71.08	12	<i>b88r</i>



Ein und Ausgabe: Farbmatisches Drucker-Reflektiv-System ORS19_96a für relativen CIELAB-Bunton $h^* = \text{lab}^*h^* = h_{ab}/360 = 0.314$

$u^*_d = y25l$
 $\text{LAB}^*c_{myn}''^*$

Daten für jede Farbe:

lab^*tch^* und lab^*icu^*

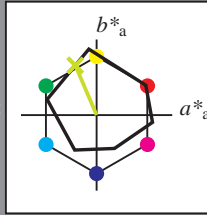
Buntontexte:

$u^*_d = y25l$ $u^*_e = j29g$

Kontrastreduzierungsfaktor:

$c_R = 1.0$

Dreiecks-Helligkeit t^*



ORS19_96a; CIELAB-Daten						
u^*_d	$L^*=L^*$	a^*	b^*	C^*_{ab}	h^*_{ab}	
O _M	48.75	65.16	40.76	76.86	32	
Y _M	90.92	-10.78	89.36	90.01	97	
L _M	52.69	-65.4	22.15	69.05	161	
C _M	59.61	-29.04	-44.69	53.3	237	
V _M	28.39	24.0	-43.18	49.4	299	
M _M	49.58	74.01	-8.22	74.47	354	
N _M	18.89	0.5	0.77	0.92	57	
W _M	96.9	-0.57	2.23	2.3	104	
O _M	39.92	58.74	27.99	65.07	25	
Y _M	81.26	-2.89	71.56	71.62	92	
L _M	52.23	-42.42	13.6	44.55	162	
V _M	30.57	1.41	-46.47	46.49	272	

Daten für Maximalfarbe (Ma):

$\text{LAB}^*\text{LAB}^*_{Ma}: 79 -28 66$

$\text{LAB}^*\text{LCH}^*_{Ma}: 79 72 113$

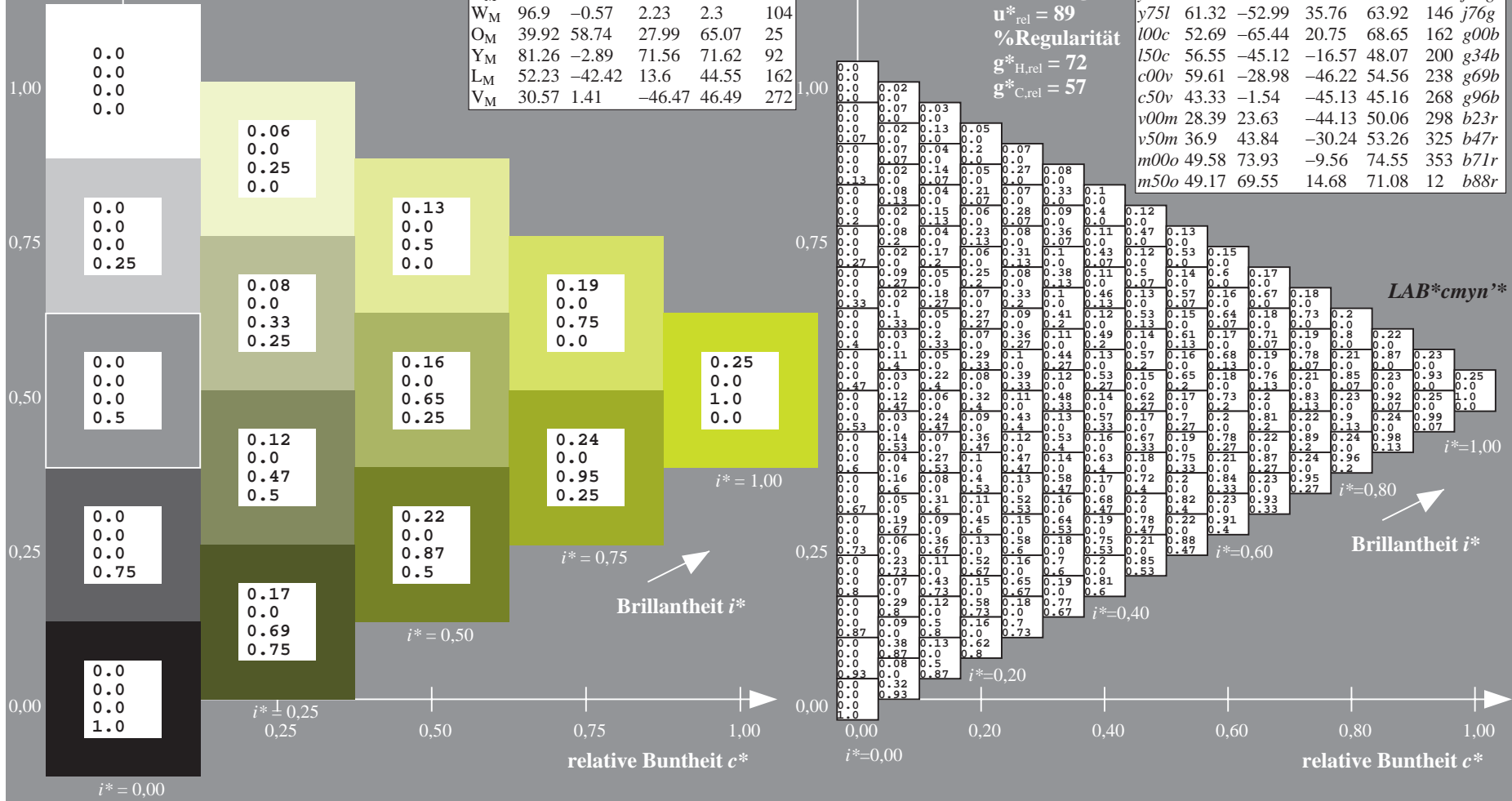
$\text{lab}^*\text{olv}^*_{Ma}: 0.75 1.0 0.0$

$\text{lab}^*\text{rgb}^*_{Ma}: 0.7 1.0 0.0$

Dreiecks-Helligkeit t^*

%Umfang
 $u^*_{rel} = 89$
%Regularität
 $g^*_{H,rel} = 72$
 $g^*_{C,rel} = 57$

ORS19_96a; adaptierte CIELAB-Daten							
u^*_d	$L^*=L^*_a$	a^*_a	b^*_a	$C^*_{ab,a}$	$h^*_{ab,a}$	u^*_e	
o00y	48.75	65.07	39.43	76.08	31	r08j	
o25y	59.04	46.67	51.1	69.21	48	r33j	
o50y	68.32	30.09	61.62	68.58	64	r57j	
o75y	78.23	12.39	72.85	73.9	80	r81j	
y00l	90.92	-10.29	87.24	87.85	97	j06g	
y25l	78.57	-28.11	65.75	71.51	113	j29g	
y50l	69.46	-41.25	49.92	64.75	130	j53g	
y75l	61.32	-52.99	35.76	63.92	146	j76g	
l00c	52.69	-65.44	20.75	68.65	162	g00b	
l50c	56.55	-45.12	-16.57	48.07	200	g34b	
c00v	59.61	-28.98	-46.22	54.56	238	g69b	
c50v	43.33	-1.54	-45.13	45.16	268	g96b	
v00m	28.39	23.63	-44.13	50.06	298	b23r	
v50m	36.9	43.84	-30.24	53.26	325	b47r	
m00o	49.58	73.93	-9.56	74.55	353	b71r	
m50o	49.17	69.55	14.68	71.08	12	b88r	



Ein und Ausgabe: Farbmatisches Drucker-Reflektiv-System ORS19_96a für relativen CIELAB-Bunton $h^* = lab^*h^* = h_{ab}/360 = 0.36$

$u^*_d = y50l$
 LAB^*cmy^n **

Daten für jede Farbe:

lab^*ch^* und lab^*icu^*

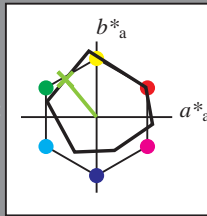
Buntontexte:

$u^*_d = y50l$ $u^*_e = j53g$

Kontrastreduzierungsfaktor:

$c_R = 1.0$

Dreiecks-Helligkeit t^*



ORS19_96a; CIELAB-Daten						
u^*_d	$L^*=L^*_a$	a^*_a	b^*_a	C^*_{ab}	h^*_{ab}	
O _M	48.75	65.16	40.76	76.86	32	
Y _M	90.92	-10.78	89.36	90.01	97	
L _M	52.69	-65.4	22.15	69.05	161	
C _M	59.61	-29.04	-44.69	53.3	237	
V _M	28.39	24.0	-43.18	49.4	299	
M _M	49.58	74.01	-8.22	74.47	354	
N _M	18.89	0.5	0.77	0.92	57	
W _M	96.9	-0.57	2.23	2.3	104	
O _M	39.92	58.74	27.99	65.07	25	
Y _M	81.26	-2.89	71.56	71.62	92	
L _M	52.23	-42.42	13.6	44.55	162	
V _M	30.57	1.41	-46.47	46.49	272	

Daten für Maximalfarbe (Ma):

$LAB^*LAB^*_{Ma}$: 69 -41 50

$LAB^*LCH^*_{Ma}$: 69 65 129

$lab^*olv^*_{Ma}$: 0.5 1.0 0.0

$lab^*rgb^*_{Ma}$: 0.47 1.0 0.0

Dreiecks-Helligkeit t^*

%Umfang

$u^*_{rel} = 89$

%Regularität

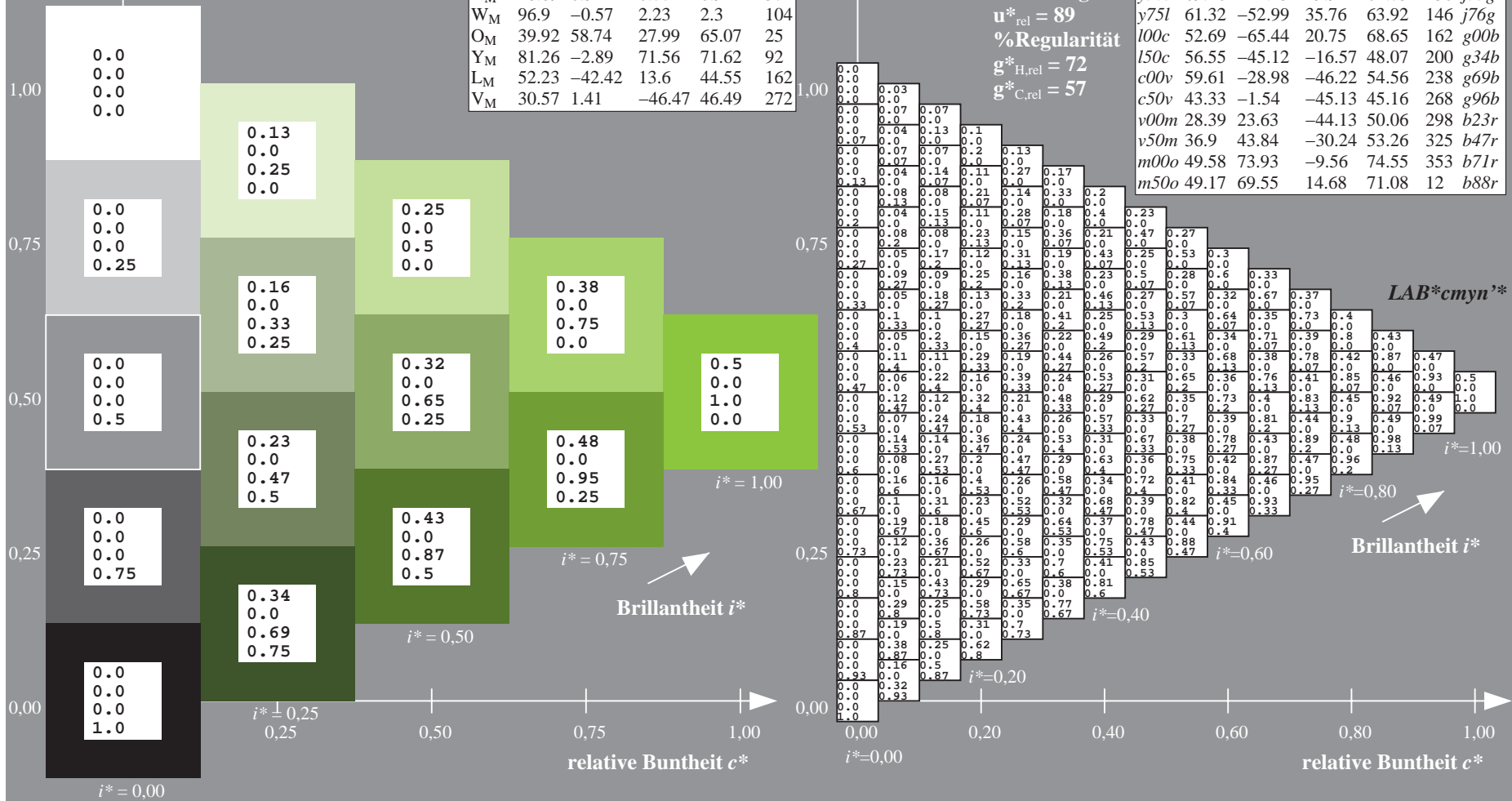
$g^*_{H,rel} = 72$

$g^*_{C,rel} = 57$

ORS19_96a; adaptierte CIELAB-Daten

u^*_d	$L^*=L^*_a$	a^*_a	b^*_a	$C^*_{ab,a}$	$h^*_{ab,a}$	u^*_e
o00y	48.75	65.07	39.43	76.08	31	r08j
o25y	59.04	46.67	51.1	69.21	48	r33j
o50y	68.32	30.09	61.62	68.58	64	r57j
o75y	78.23	12.39	72.85	73.9	80	r81j
y00l	90.92	-10.29	87.24	87.85	97	j06g
y25l	78.57	-28.11	65.75	71.51	113	j29g
y50l	69.46	-41.25	49.92	64.75	130	j53g
y75l	61.32	-52.99	35.76	63.92	146	j76g
l00c	52.69	-65.44	20.75	68.65	162	g00b
l50c	56.55	-45.12	-16.57	48.07	200	g34b
c00v	59.61	-28.98	-46.22	54.56	238	g69b
c50v	43.33	-1.54	-45.13	45.16	268	g96b
v00m	28.39	23.63	-44.13	50.06	298	b23r
v50m	36.9	43.84	-30.24	53.26	325	b47r
m00o	49.58	73.93	-9.56	74.55	353	b71r
m50o	49.17	69.55	14.68	71.08	12	b88r

LAB^*cmy^n **



Ein und Ausgabe: Farbmatisches Drucker-Reflektiv-System ORS19_96a für relativen CIELAB-Bunton $h^* = lab^*h^* = h_{ab}/360 = 0.406$

$u^*_d = y75l$
 LAB^*cmy^n *

Daten für jede Farbe:

lab^*ch^* und lab^*icu^*

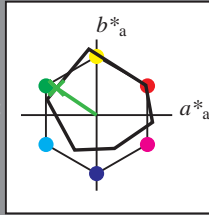
Buntontexte:

$u^*_d = y75l$ $u^*_e = j76g$

Kontrastreduzierungsfaktor:

$c_R = 1.0$

Dreiecks-Helligkeit t^*



ORS19_96a; CIELAB-Daten						
u^*_d	$L^*=L^*_a$	a^*_a	b^*_a	C^*_{ab}	h^*_{ab}	
O _M	48.75	65.16	40.76	76.86	32	
Y _M	90.92	-10.78	89.36	90.01	97	
L _M	52.69	-65.4	22.15	69.05	161	
C _M	59.61	-29.04	-44.69	53.3	237	
V _M	28.39	24.0	-43.18	49.4	299	
M _M	49.58	74.01	-8.22	74.47	354	
N _M	18.89	0.5	0.77	0.92	57	
W _M	96.9	-0.57	2.23	2.3	104	
O _M	39.92	58.74	27.99	65.07	25	
Y _M	81.26	-2.89	71.56	71.62	92	
L _M	52.23	-42.42	13.6	44.55	162	
V _M	30.57	1.41	-46.47	46.49	272	

Daten für Maximalfarbe (Ma):

$LAB^*LAB^*_{Ma}$: 61 -53 36

$LAB^*LCH^*_{Ma}$: 61 64 145

$lab^*olv^*_{Ma}$: 0.25 1.0 0.0

$lab^*rgb^*_{Ma}$: 0.23 1.0 0.0

Dreiecks-Helligkeit t^*

%Umfang

$u^*_{rel} = 89$

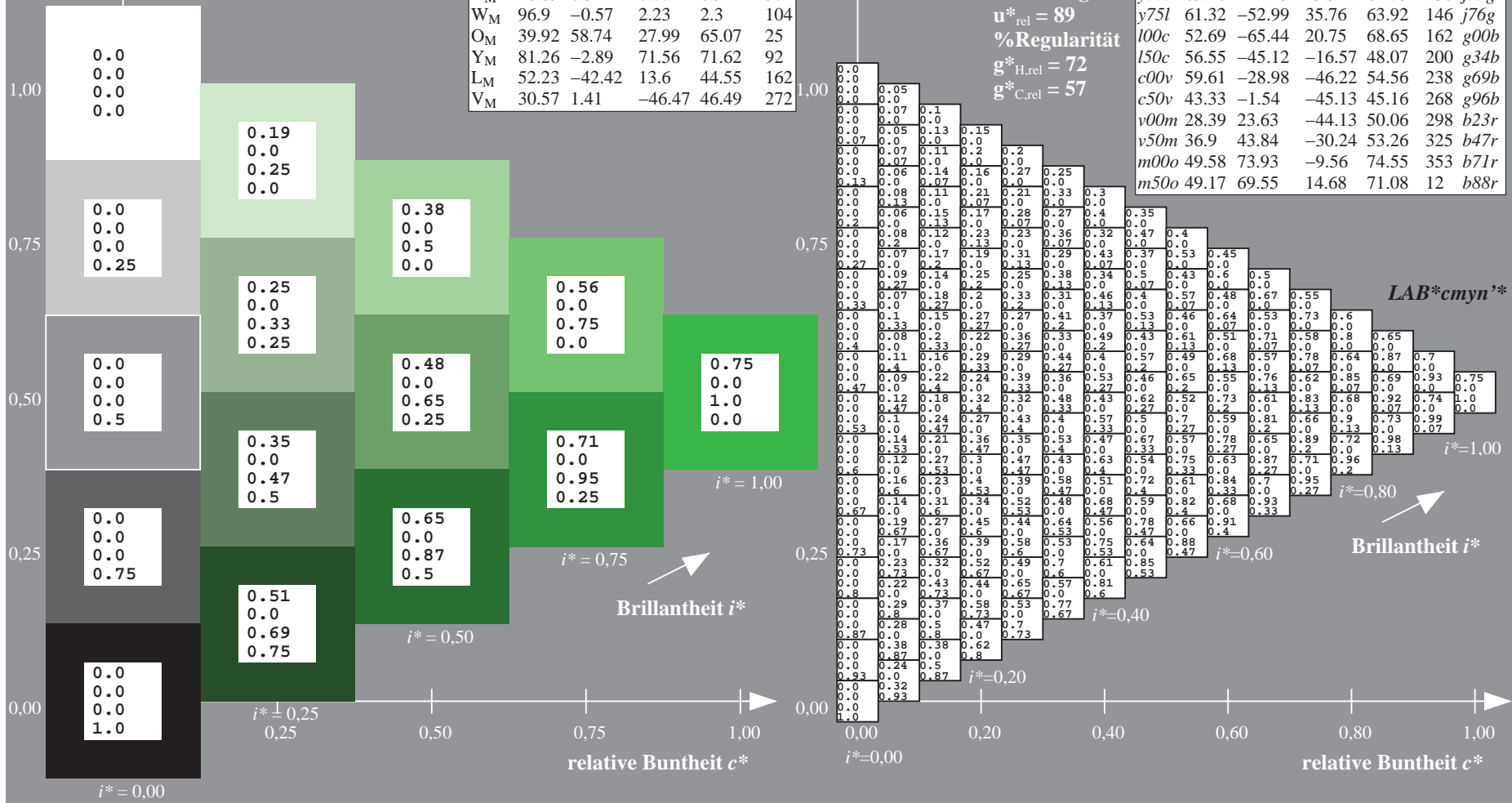
%Regularität

$g^*_{H,rel} = 72$

$g^*_{C,rel} = 57$

ORS19_96a; adaptierte CIELAB-Daten							
u^*_d	$L^*=L^*_a$	a^*_a	b^*_a	$C^*_{ab,a}$	$h^*_{ab,a}$	u^*_e	
o00y	48.75	65.07	39.43	76.08	31	r08j	
o25y	59.04	46.67	51.1	69.21	48	r33j	
o50y	68.32	30.09	61.62	68.58	64	r57j	
o75y	78.23	12.39	72.85	73.9	80	r81j	
y00l	90.92	-10.29	87.24	87.85	97	j06g	
y25l	78.57	-28.11	65.75	71.51	113	j29g	
y50l	69.46	-41.25	49.92	64.75	130	j53g	
y75l	61.32	-52.99	35.76	63.92	146	j76g	
l00c	52.69	-65.44	20.75	68.65	162	g00b	
l50c	56.55	-45.12	-16.57	48.07	200	g34b	
c00v	59.61	-28.98	-46.22	54.56	238	g69b	
c50v	43.33	-1.54	-45.13	45.16	268	g96b	
v00m	28.39	23.63	-44.13	50.06	298	b23r	
v50m	36.9	43.84	-30.24	53.26	325	b47r	
m00o	49.58	73.93	-9.56	74.55	353	b71r	
m50o	49.17	69.55	14.68	71.08	12	b88r	

LAB^*cmy^n *



Ein und Ausgabe: Farbmatisches Drucker-Reflektiv-System ORS19_96a für relativen CIELAB-Bunton $h^* = lab^*h^* = h_{ab}/360 = 0.451$

$u^*_d = 100c$
 $LAB^*c_{myn}''^*$

Daten für jede Farbe:

lab^*tch^* und lab^*icu^*

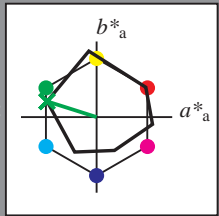
Buntontexte:

$u^*_d = 100c$ $u^*_e = g00b$

Kontrastreduzierungsfaktor:

$c_R = 1.0$

Dreiecks-Helligkeit t^*



ORS19_96a; CIELAB-Daten

	u^*_d	$L^*=L^*_a$	a^*_a	b^*_a	C^*_{ab}	h^*_{ab}
O _M	48.75	65.16	40.76	76.86	32	
Y _M	90.92	-10.78	89.36	90.01	97	
L _M	52.69	-65.4	22.15	69.05	161	
C _M	59.61	-29.04	-44.69	53.3	237	
V _M	28.39	24.0	-43.18	49.4	299	
M _M	49.58	74.01	-8.22	74.47	354	
N _M	18.89	0.5	0.77	0.92	57	
W _M	96.9	-0.57	2.23	2.3	104	
O _M	39.92	58.74	27.99	65.07	25	
Y _M	81.26	-2.89	71.56	71.62	92	
L _M	52.23	-42.42	13.6	44.55	162	
V _M	30.57	1.41	-46.47	46.49	272	

Daten für Maximalfarbe (Ma):

$LAB^*LAB^*_{Ma}: 53 -65 21$

$LAB^*LCH^*_{Ma}: 53 69 162$

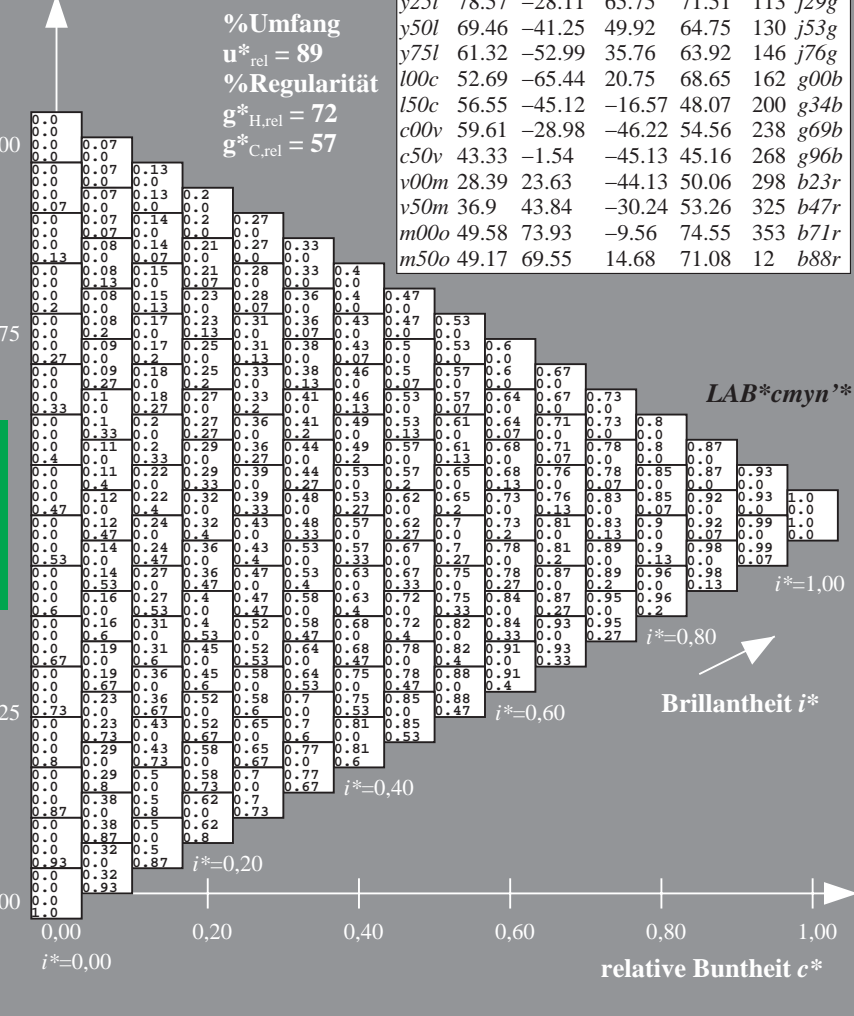
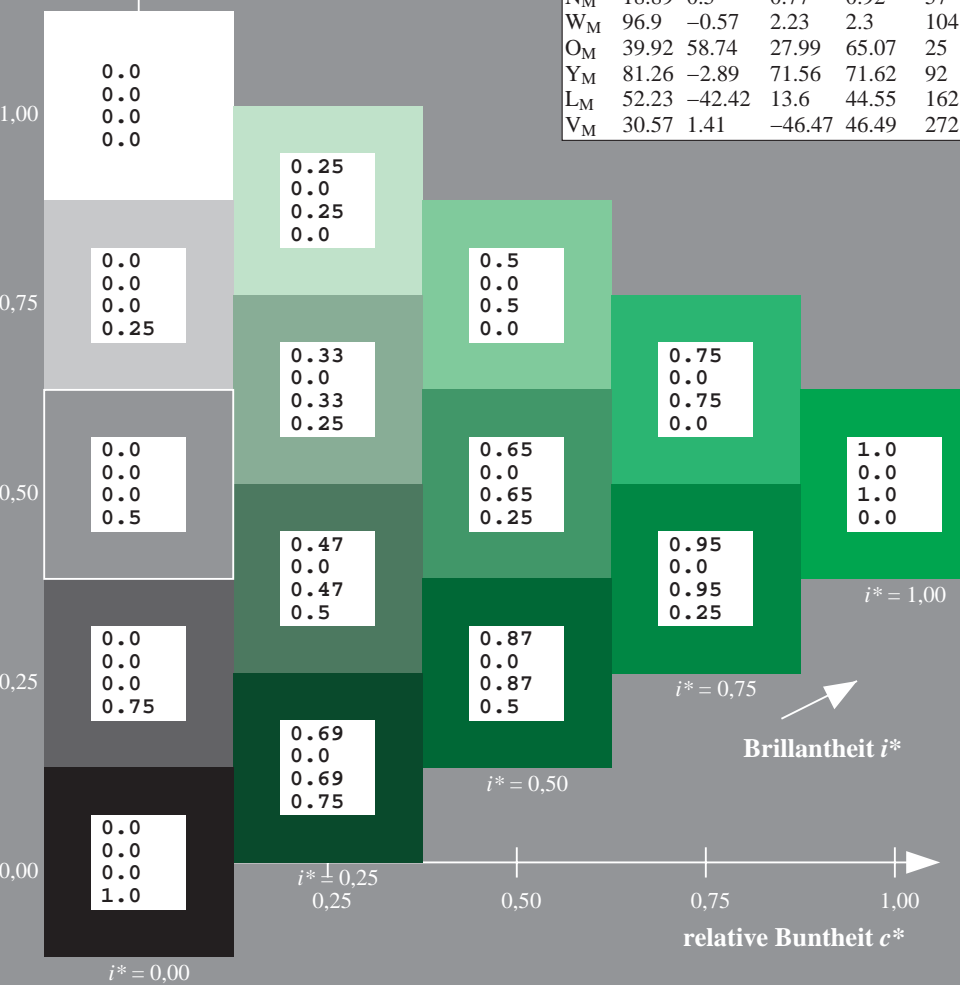
$lab^*olv^*_{Ma}: 0.0 1.0 0.0$

$lab^*rgb^*_{Ma}: 0.0 1.0 0.0$

Dreiecks-Helligkeit t^*

ORS19_96a; adaptierte CIELAB-Daten

	u^*_d	$L^*=L^*_a$	a^*_a	b^*_a	$C^*_{ab,a}$	$h^*_{ab,a}$	u^*_e
o00y	48.75	65.07	39.43	76.08	31	r08j	
o25y	59.04	46.67	51.1	69.21	48	r33j	
o50y	68.32	30.09	61.62	68.58	64	r57j	
o75y	78.23	12.39	72.85	73.9	80	r81j	
y00l	90.92	-10.29	87.24	87.85	97	j06g	
y25l	78.57	-28.11	65.75	71.51	113	j29g	
y50l	69.46	-41.25	49.92	64.75	130	j53g	
y75l	61.32	-52.99	35.76	63.92	146	j76g	
l00c	52.69	-65.44	20.75	68.65	162	g00b	
l50c	56.55	-45.12	-16.57	48.07	200	g34b	
c00v	59.61	-28.98	-46.22	54.56	238	g69b	
c50v	43.33	-1.54	-45.13	45.16	268	g96b	
v00m	28.39	23.63	-44.13	50.06	298	b23r	
v50m	36.9	43.84	-30.24	53.26	325	b47r	
m00o	49.58	73.93	-9.56	74.55	353	b71r	
m50o	49.17	69.55	14.68	71.08	12	b88r	



Ein und Ausgabe: Farbmatisches Drucker-Reflektiv-System ORS19_96a für relativen CIELAB-Bunton $h^* = lab^*h^* = h_{ab}/360 = 0.556$

$u^*_d = 150c$
LAB**cmy*n**

Daten für jede Farbe:

lab^*tch^* und lab^*icu^*

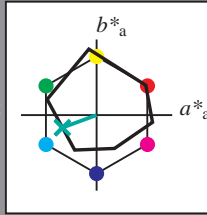
Buntontexte:

$u^*_d = 150c$ $u^*_e = g34b$

Kontrastreduzierungsfaktor:

$c_R = 1.0$

Dreiecks-Helligkeit t^*



ORS19_96a; CIELAB-Daten

u^*_d	$L^*=L^*$	a^*	b^*	C^*_{ab}	h^*_{ab}
O _M	48.75	65.16	40.76	76.86	32
Y _M	90.92	-10.78	89.36	90.01	97
L _M	52.69	-65.4	22.15	69.05	161
C _M	59.61	-29.04	-44.69	53.3	237
V _M	28.39	24.0	-43.18	49.4	299
M _M	49.58	74.01	-8.22	74.47	354
N _M	18.89	0.5	0.77	0.92	57
W _M	96.9	-0.57	2.23	2.3	104
O _M	39.92	58.74	27.99	65.07	25
Y _M	81.26	-2.89	71.56	71.62	92
L _M	52.23	-42.42	13.6	44.55	162
V _M	30.57	1.41	-46.47	46.49	272

Daten für Maximalfarbe (Ma):

LAB*LAB*_{Ma}: 57 -45 -17

LAB*LCH*_{Ma}: 57 48 200

lab**olv**_{Ma}: 0.0 1.0 0.5

lab**rgb**_{Ma}: 0.0 1.0 0.69

Dreiecks-Helligkeit t^*

%Umfang

$u^*_{rel} = 89$

%Regularität

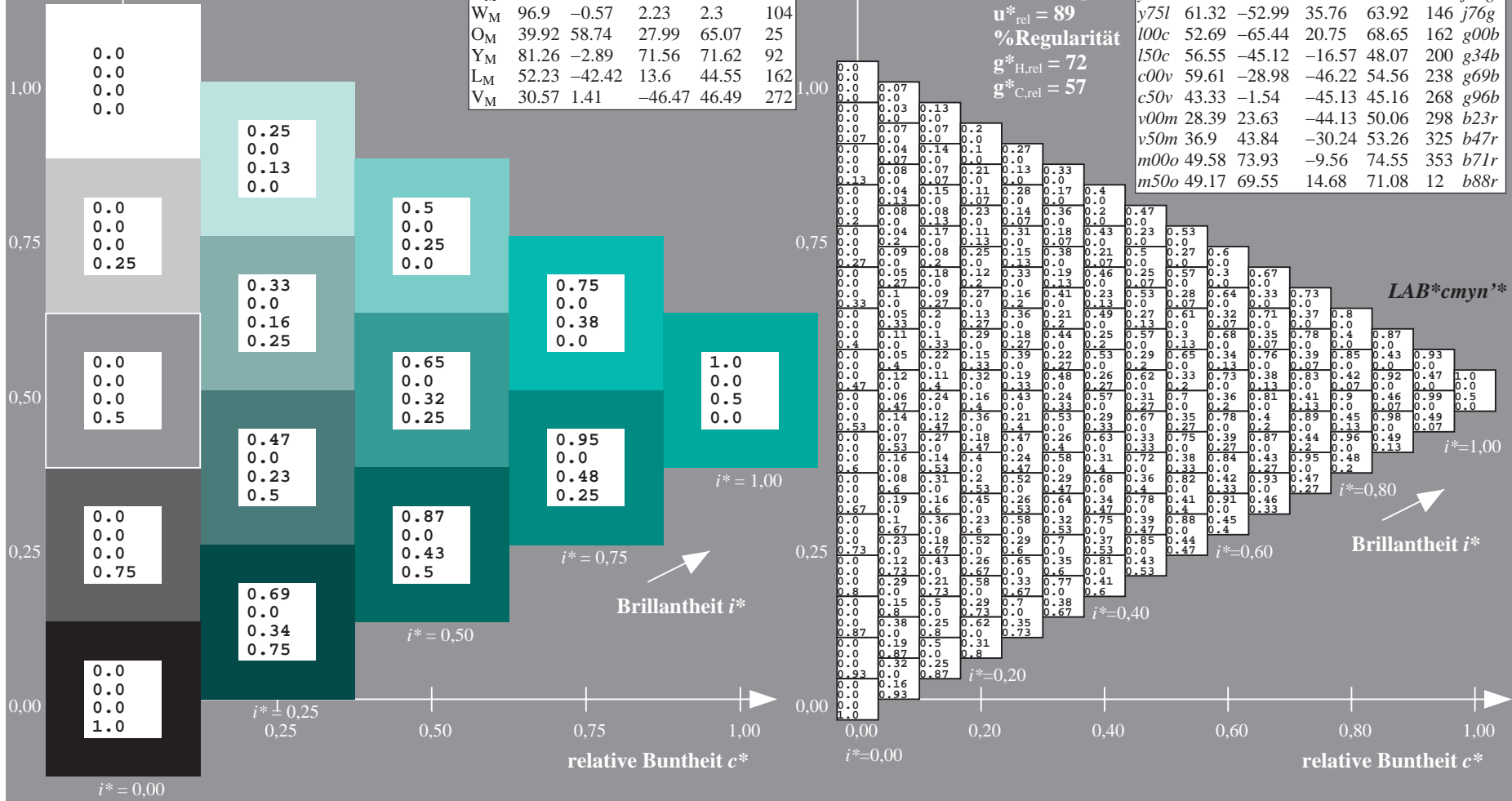
$g^*_{H,rel} = 72$

$g^*_{C,rel} = 57$

ORS19_96a; adaptierte CIELAB-Daten

u^*_d	$L^*=L^*_a$	a^*_a	b^*_a	$C^*_{ab,a}$	$h^*_{ab,a}$	u^*_e
o00y	48.75	65.07	39.43	76.08	31	r08j
o25y	59.04	46.67	51.1	69.21	48	r33j
o50y	68.32	30.09	61.62	68.58	64	r57j
o75y	78.23	12.39	72.85	73.9	80	r81j
y00l	90.92	-10.29	87.24	87.85	97	j06g
y25l	78.57	-28.11	65.75	71.51	113	j29g
y50l	69.46	-41.25	49.92	64.75	130	j53g
y75l	61.32	-52.99	35.76	63.92	146	j76g
l00c	52.69	-65.44	20.75	68.65	162	g00b
l50c	56.55	-45.12	-16.57	48.07	200	g34b
c00v	59.61	-28.98	-46.22	54.56	238	g69b
c50v	43.33	-1.54	-45.13	45.16	268	g96b
v00m	28.39	23.63	-44.13	50.06	298	b23r
v50m	36.9	43.84	-30.24	53.26	325	b47r
m00o	49.58	73.93	-9.56	74.55	353	b71r
m50o	49.17	69.55	14.68	71.08	12	b88r

LAB**cmy*n**



Ein und Ausgabe: Farbmatisches Drucker-Reflektiv-System ORS19_96a für relativen CIELAB-Bunton $h^* = lab^*h^* = h_{ab}/360 = 0.661$

$u^*_d = c00v$
 LAB^*cmy^n '*

Daten für jede Farbe:

lab^*ch^* und lab^*icu^*

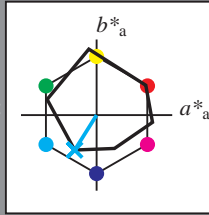
Buntontexte:

$u^*_d = c00v$ $u^*_e = g69b$

Kontrastreduzierungsfaktor:

$c_R = 1.0$

Dreiecks-Helligkeit t^*



ORS19_96a; CIELAB-Daten

u^*_d	$L^*=L^*_a$	a^*_a	b^*_a	C^*_{ab}	h^*_{ab}
O _M	48.75	65.16	40.76	76.86	32
Y _M	90.92	-10.78	89.36	90.01	97
L _M	52.69	-65.4	22.15	69.05	161
C _M	59.61	-29.04	-44.69	53.3	237
V _M	28.39	24.0	-43.18	49.4	299
M _M	49.58	74.01	-8.22	74.47	354
N _M	18.89	0.5	0.77	0.92	57
W _M	96.9	-0.57	2.23	2.3	104
O _M	39.92	58.74	27.99	65.07	25
Y _M	81.26	-2.89	71.56	71.62	92
L _M	52.23	-42.42	13.6	44.55	162
V _M	30.57	1.41	-46.47	46.49	272

Daten für Maximalfarbe (Ma):

$LAB^*LAB^*_Ma: 60 -29 -46$

$LAB^*LCH^*_Ma: 60 55 237$

$lab^*olv^*_Ma: 0.0 1.0 1.0$

$lab^*rgb^*_Ma: 0.0 0.62 1.0$

Dreiecks-Helligkeit t^*

%Umfang

$u^*_{rel} = 89$

%Regularität

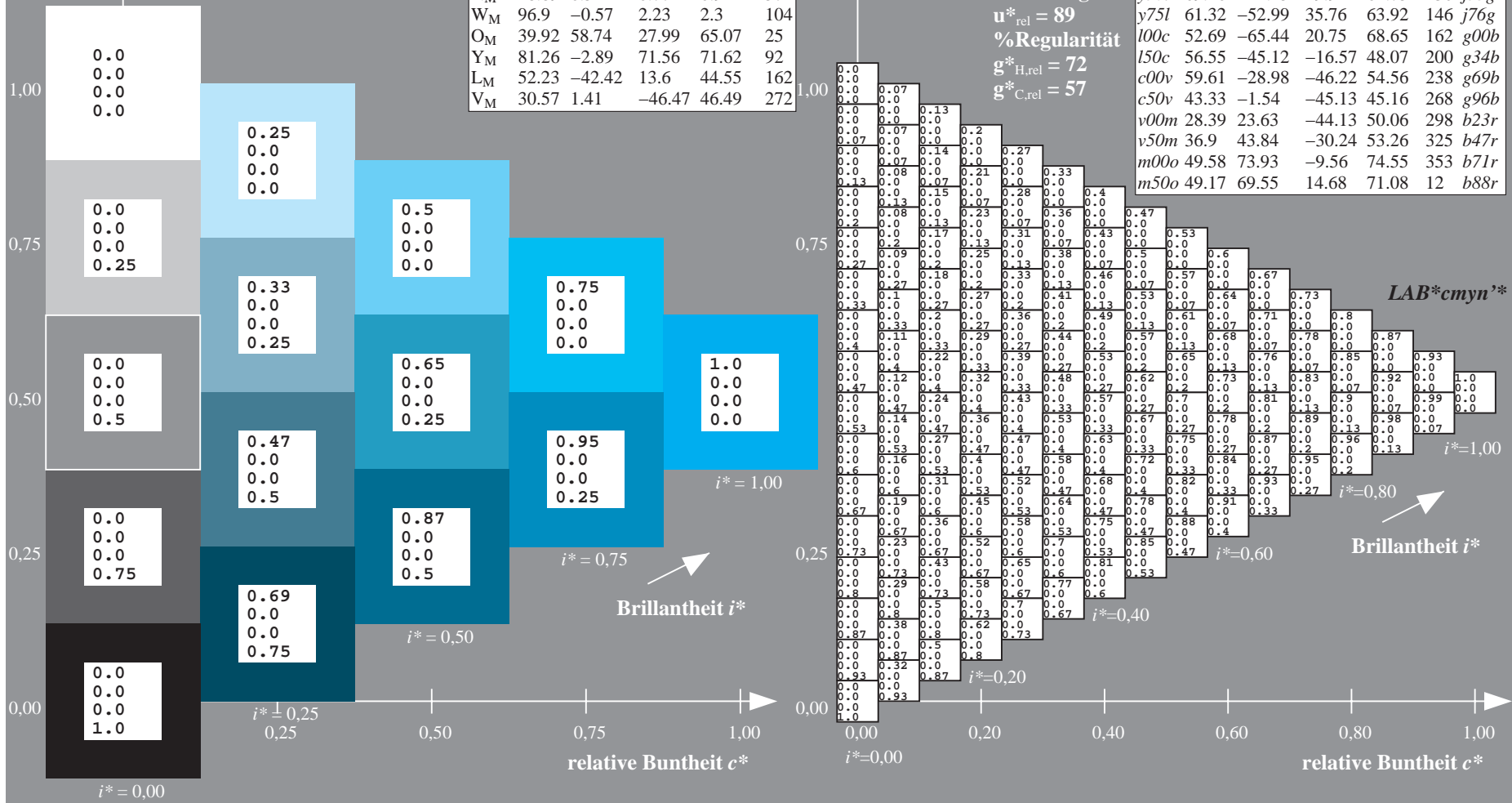
$g^*_{H,rel} = 72$

$g^*_{C,rel} = 57$

ORS19_96a; adaptierte CIELAB-Daten

u^*_d	$L^*=L^*_a$	a^*_a	b^*_a	$C^*_{ab,a}$	$h^*_{ab,a}$	u^*_e
o00y	48.75	65.07	39.43	76.08	31	r08j
o25y	59.04	46.67	51.1	69.21	48	r33j
o50y	68.32	30.09	61.62	68.58	64	r57j
o75y	78.23	12.39	72.85	73.9	80	r81j
y00l	90.92	-10.29	87.24	87.85	97	j06g
y25l	78.57	-28.11	65.75	71.51	113	j29g
y50l	69.46	-41.25	49.92	64.75	130	j53g
y75l	61.32	-52.99	35.76	63.92	146	j76g
l00c	52.69	-65.44	20.75	68.65	162	g00b
l50c	56.55	-45.12	-16.57	48.07	200	g34b
c00v	59.61	-28.98	-46.22	54.56	238	g69b
c50v	43.33	-1.54	-45.13	45.16	268	g96b
v00m	28.39	23.63	-44.13	50.06	298	b23r
v50m	36.9	43.84	-30.24	53.26	325	b47r
m00o	49.58	73.93	-9.56	74.55	353	b71r
m50o	49.17	69.55	14.68	71.08	12	b88r

LAB^*cmy^n '*



Ein und Ausgabe: Farbmatisches Drucker-Reflektiv-System ORS19_96a für relativen CIELAB-Bunton $h^* = lab^*h^* = h_{ab}/360 = 0.745$

$u^*_d = c50v$
 LAB^*cmy^n '*

Daten für jede Farbe:

lab^*ch^* und lab^*icu^*

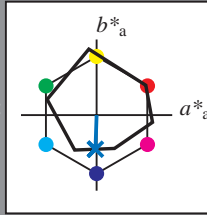
Buntontexte:

$u^*_d = c50v$ $u^*_e = g96b$

Kontrastreduzierungsfaktor:

$c_R = 1.0$

Dreiecks-Helligkeit t^*



ORS19_96a; CIELAB-Daten						
u^*_d	$L^*=L^*_a$	a^*_a	b^*_a	C^*_{ab}	h^*_{ab}	
O _M	48.75	65.16	40.76	76.86	32	
Y _M	90.92	-10.78	89.36	90.01	97	
L _M	52.69	-65.4	22.15	69.05	161	
C _M	59.61	-29.04	-44.69	53.3	237	
V _M	28.39	24.0	-43.18	49.4	299	
M _M	49.58	74.01	-8.22	74.47	354	
N _M	18.89	0.5	0.77	0.92	57	
W _M	96.9	-0.57	2.23	2.3	104	
O _M	39.92	58.74	27.99	65.07	25	
Y _M	81.26	-2.89	71.56	71.62	92	
L _M	52.23	-42.42	13.6	44.55	162	
V _M	30.57	1.41	-46.47	46.49	272	

Daten für Maximalfarbe (Ma):

$LAB^*LAB^*_{Ma}$: 43 -2 -45

$LAB^*LCH^*_{Ma}$: 43 45 268

$lab^*olv^*_{Ma}$: 0.0 0.5 1.0

$lab^*rgb^*_{Ma}$: 0.0 0.07 1.0

Dreiecks-Helligkeit t^*

%Umfang

$u^*_{rel} = 89$

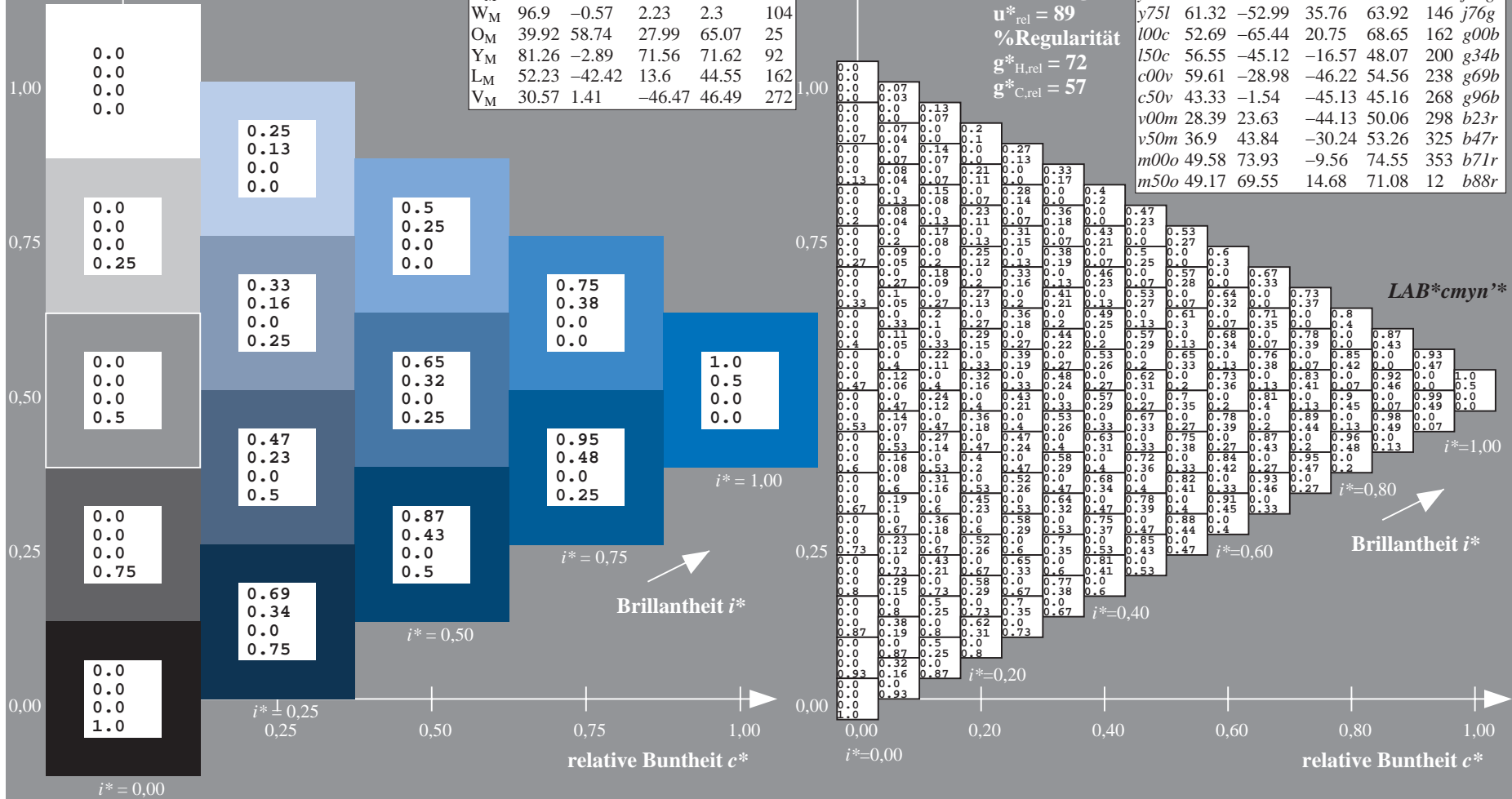
%Regularität

$g^*_{H,rel} = 72$

$g^*_{C,rel} = 57$

ORS19_96a; adaptierte CIELAB-Daten								
u^*_d	$L^*=L^*_a$	a^*_a	b^*_a	$C^*_{ab,a}$	$h^*_{ab,a}$	u^*_e		
o00y	48.75	65.07	39.43	76.08	31	r08j		
o25y	59.04	46.67	51.1	69.21	48	r33j		
o50y	68.32	30.09	61.62	68.58	64	r57j		
o75y	78.23	12.39	72.85	73.9	80	r81j		
y00l	90.92	-10.29	87.24	87.85	97	j06g		
y25l	78.57	-28.11	65.75	71.51	113	j29g		
y50l	69.46	-41.25	49.92	64.75	130	j53g		
y75l	61.32	-52.99	35.76	63.92	146	j76g		
l00c	52.69	-65.44	20.75	68.65	162	g00b		
l50c	56.55	-45.12	-16.57	48.07	200	g34b		
c00v	59.61	-28.98	-46.22	54.56	238	g69b		
c50v	43.33	-1.54	-45.13	45.16	268	g96b		
v00m	28.39	23.63	-44.13	50.06	298	b23r		
v50m	36.9	43.84	-30.24	53.26	325	b47r		
m00o	49.58	73.93	-9.56	74.55	353	b71r		
m50o	49.17	69.55	14.68	71.08	12	b88r		

LAB^*cmy^n '*



Ein und Ausgabe: Farbmatisches Drucker-Reflektiv-System ORS19_96a für relativen CIELAB-Bunton $h^* = lab^*h^* = h_{ab}/360 = 0.828$

$u^*_d = v00m$
LAB**cmy*'*

Daten für jede Farbe:

lab^*ch^* und lab^*icu^*

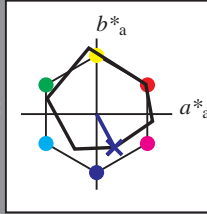
Buntontexte:

$u^*_d = v00m$ $u^*_e = b23r$

Kontrastreduzierungsfaktor:

$c_R = 1.0$

Dreiecks-Helligkeit t^*



ORS19_96a; CIELAB-Daten

	u^*_d	$L^*=L^*_a$	a^*	b^*	C^*_{ab}	h^*_{ab}
O _M	48.75	65.16	40.76	76.86	32	
Y _M	90.92	-10.78	89.36	90.01	97	
L _M	52.69	-65.4	22.15	69.05	161	
C _M	59.61	-29.04	-44.69	53.3	237	
V _M	28.39	24.0	-43.18	49.4	299	
M _M	49.58	74.01	-8.22	74.47	354	
N _M	18.89	0.5	0.77	0.92	57	
W _M	96.9	-0.57	2.23	2.3	104	
O _M	39.92	58.74	27.99	65.07	25	
Y _M	81.26	-2.89	71.56	71.62	92	
L _M	52.23	-42.42	13.6	44.55	162	
V _M	30.57	1.41	-46.47	46.49	272	

Daten für Maximalfarbe (Ma):

LAB*LAB*_{Ma}: 28 24 -44

LAB*LCH*_{Ma}: 28 50 298

lab**olv**_{Ma}: 0.0 0.0 1.0

lab**rgb**_{Ma}: 0.46 0.0 1.0

Dreiecks-Helligkeit t^*

%Umfang

$u^*_{rel} = 89$

%Regularität

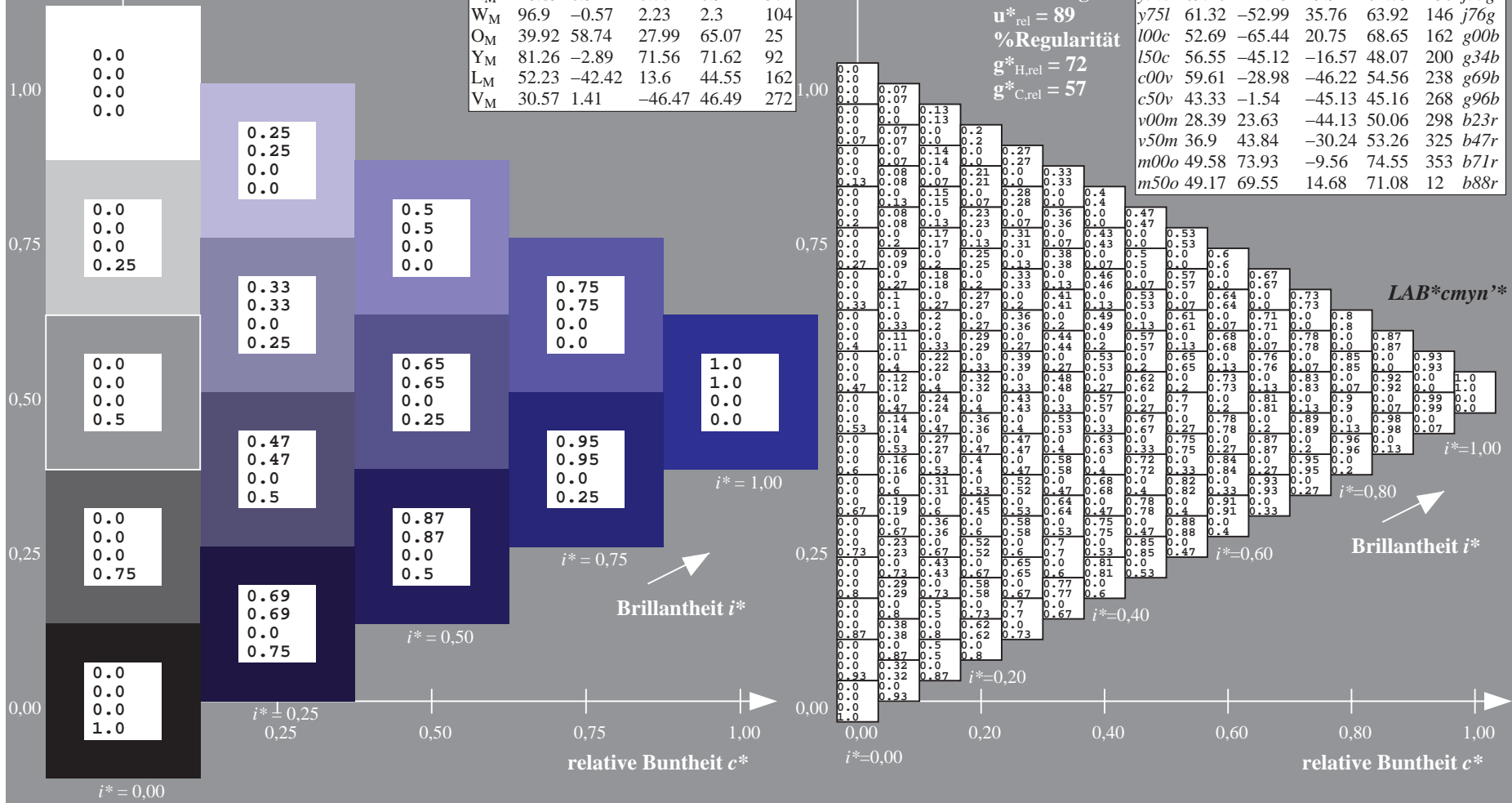
$g^*_{H,rel} = 72$

$g^*_{C,rel} = 57$

ORS19_96a; adaptierte CIELAB-Daten

	u^*_d	$L^*=L^*_a$	a^*_a	b^*_a	$C^*_{ab,a}$	$h^*_{ab,a}$	u^*_e
o00y	48.75	65.07	39.43	76.08	31	r08j	
o25y	59.04	46.67	51.1	69.21	48	r33j	
o50y	68.32	30.09	61.62	68.58	64	r57j	
o75y	78.23	12.39	72.85	73.9	80	r81j	
y00l	90.92	-10.29	87.24	87.85	97	j06g	
y25l	78.57	-28.11	65.75	71.51	113	j29g	
y50l	69.46	-41.25	49.92	64.75	130	j53g	
y75l	61.32	-52.99	35.76	63.92	146	j76g	
l00c	52.69	-65.44	20.75	68.65	162	g00b	
l50c	56.55	-45.12	-16.57	48.07	200	g34b	
c00v	59.61	-28.98	-46.22	54.56	238	g69b	
c50v	43.33	-1.54	-45.13	45.16	268	g96b	
v00m	28.39	23.63	-44.13	50.06	298	b23r	
v50m	36.9	43.84	-30.24	53.26	325	b47r	
m00o	49.58	73.93	-9.56	74.55	353	b71r	
m50o	49.17	69.55	14.68	71.08	12	b88r	

LAB**cmy*'*



Ein und Ausgabe: Farbmatisches Drucker-Reflektiv-System ORS19_96a für relativen CIELAB-Bunton $h^* = lab^*h^* = h_{ab}/360 = 0.904$

$u^*_d = v50m$
LAB*cmy'n**

Daten für jede Farbe:

lab^*ch^* und lab^*icu^*

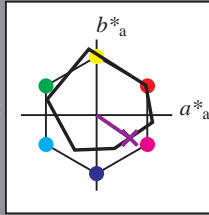
Buntontexte:

$u^*_d = v50m$ $u^*_e = b47r$

Kontrastreduzierungsfaktor:

$c_R = 1.0$

Dreiecks-Helligkeit t^*



ORS19_96a; CIELAB-Daten						
u^*_d	$L^*=L^*$	a^*	b^*	C^*_{ab}	h^*_{ab}	
O _M	48.75	65.16	40.76	76.86	32	
Y _M	90.92	-10.78	89.36	90.01	97	
L _M	52.69	-65.4	22.15	69.05	161	
C _M	59.61	-29.04	-44.69	53.3	237	
V _M	28.39	24.0	-43.18	49.4	299	
M _M	49.58	74.01	-8.22	74.47	354	
N _M	18.89	0.5	0.77	0.92	57	
W _M	96.9	-0.57	2.23	2.3	104	
O _M	39.92	58.74	27.99	65.07	25	
Y _M	81.26	-2.89	71.56	71.62	92	
L _M	52.23	-42.42	13.6	44.55	162	
V _M	30.57	1.41	-46.47	46.49	272	

Daten für Maximalfarbe (Ma):

LAB*LAB*_{Ma}: 37 44 -30

LAB*LCH*_{Ma}: 37 53 325

lab*olv*_{Ma}: 0.5 0.0 1.0

lab*rgb*_{Ma}: 0.94 0.0 1.0

Dreiecks-Helligkeit t^*

%Umfang

$u^*_{rel} = 89$

%Regularität

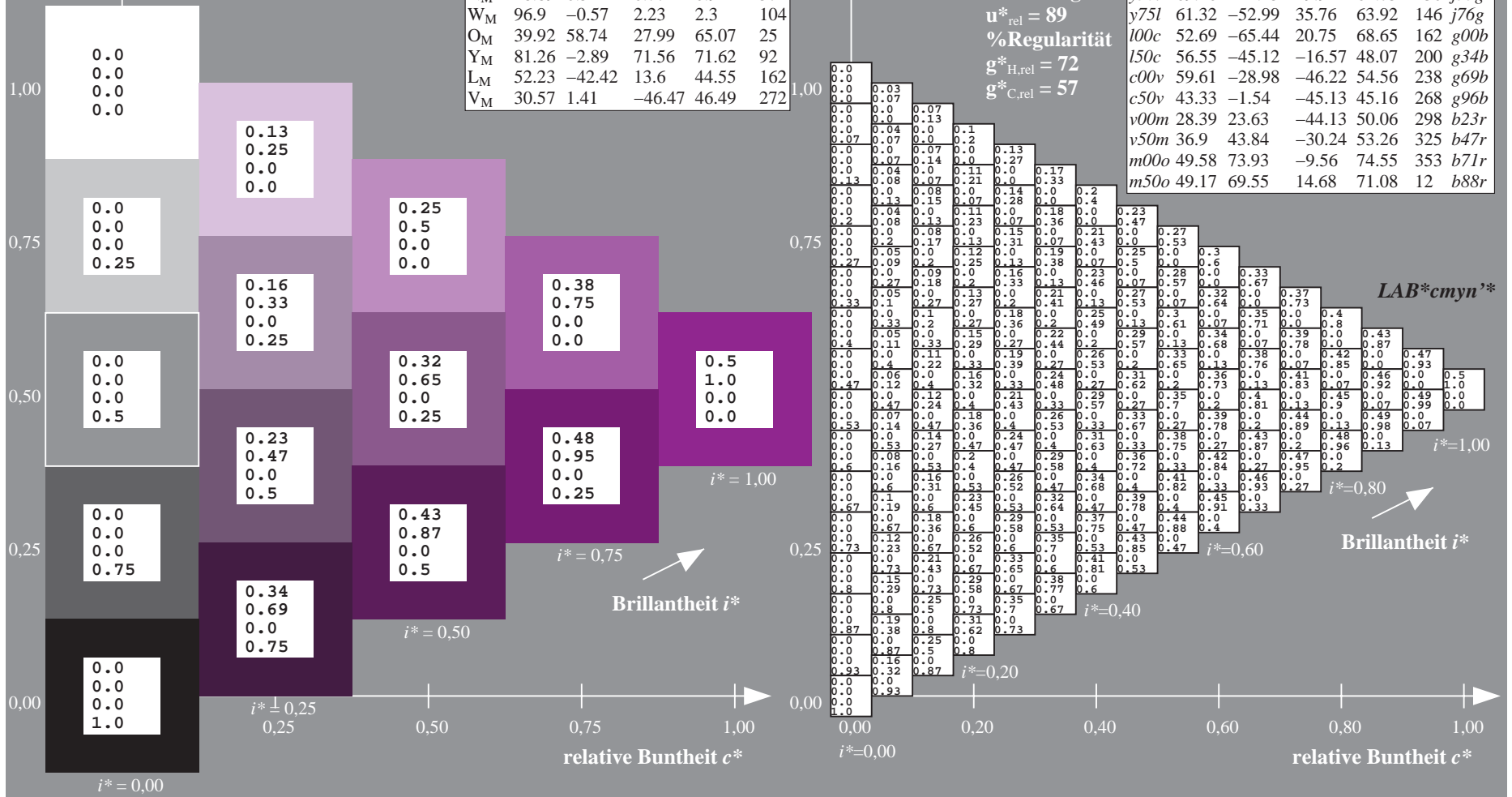
$g^*_{H,rel} = 72$

$g^*_{C,rel} = 57$

ORS19_96a; adaptierte CIELAB-Daten

u^*_d	$L^*=L^*_a$	a^*_a	b^*_a	$C^*_{ab,a}$	$h^*_{ab,a}$	u^*_e
o00y	48.75	65.07	39.43	76.08	31	r08j
o25y	59.04	46.67	51.1	69.21	48	r33j
o50y	68.32	30.09	61.62	68.58	64	r57j
o75y	78.23	12.39	72.85	73.9	80	r81j
y00l	90.92	-10.29	87.24	87.85	97	j06g
y25l	78.57	-28.11	65.75	71.51	113	j29g
y50l	69.46	-41.25	49.92	64.75	130	j53g
y75l	61.32	-52.99	35.76	63.92	146	j76g
l00c	52.69	-65.44	20.75	68.65	162	g00b
l50c	56.55	-45.12	-16.57	48.07	200	g34b
c00v	59.61	-28.98	-46.22	54.56	238	g69b
c50v	43.33	-1.54	-45.13	45.16	268	g96b
v00m	28.39	23.63	-44.13	50.06	298	b23r
v50m	36.9	43.84	-30.24	53.26	325	b47r
m00o	49.58	73.93	-9.56	74.55	353	b71r
m50o	49.17	69.55	14.68	71.08	12	b88r

LAB*cmy'n**



Ein und Ausgabe: Farbmatisches Drucker-Reflektiv-System ORS19_96a für relativen CIELAB-Bunton $h^* = lab^*h^* = h_{ab}/360 = 0.98$

$u^*_d = m00o$
 $LAB^*cmy^n^*$

Daten für jede Farbe:

lab^*ch^* und lab^*icu^*

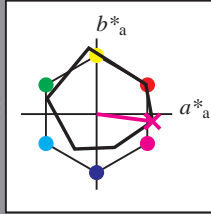
Buntontexte:

$u^*_d = m00o$ $u^*_e = b71r$

Kontrastreduzierungsfaktor:

$c_R = 1.0$

Dreiecks-Helligkeit t^*



ORS19_96a; CIELAB-Daten						
u^*_d	$L^*=L^*_a$	a^*_a	b^*_a	C^*_{ab}	h^*_{ab}	
O _M	48.75	65.16	40.76	76.86	32	
Y _M	90.92	-10.78	89.36	90.01	97	
L _M	52.69	-65.4	22.15	69.05	161	
C _M	59.61	-29.04	-44.69	53.3	237	
V _M	28.39	24.0	-43.18	49.4	299	
M _M	49.58	74.01	-8.22	74.47	354	
N _M	18.89	0.5	0.77	0.92	57	
W _M	96.9	-0.57	2.23	2.3	104	
O _M	39.92	58.74	27.99	65.07	25	
Y _M	81.26	-2.89	71.56	71.62	92	
L _M	52.23	-42.42	13.6	44.55	162	
V _M	30.57	1.41	-46.47	46.49	272	

Daten für Maximalfarbe (Ma):

$LAB^*LAB^*_{Ma}: 50\ 74\ -10$

$LAB^*LCH^*_{Ma}: 50\ 75\ 352$

$lab^*olv^*_{Ma}: 1.0\ 0.0\ 1.0$

$lab^*rgb^*_{Ma}: 1.0\ 0.0\ 0.58$

Dreiecks-Helligkeit t^*

%Umfang

$u^*_{rel} = 89$

%Regularität

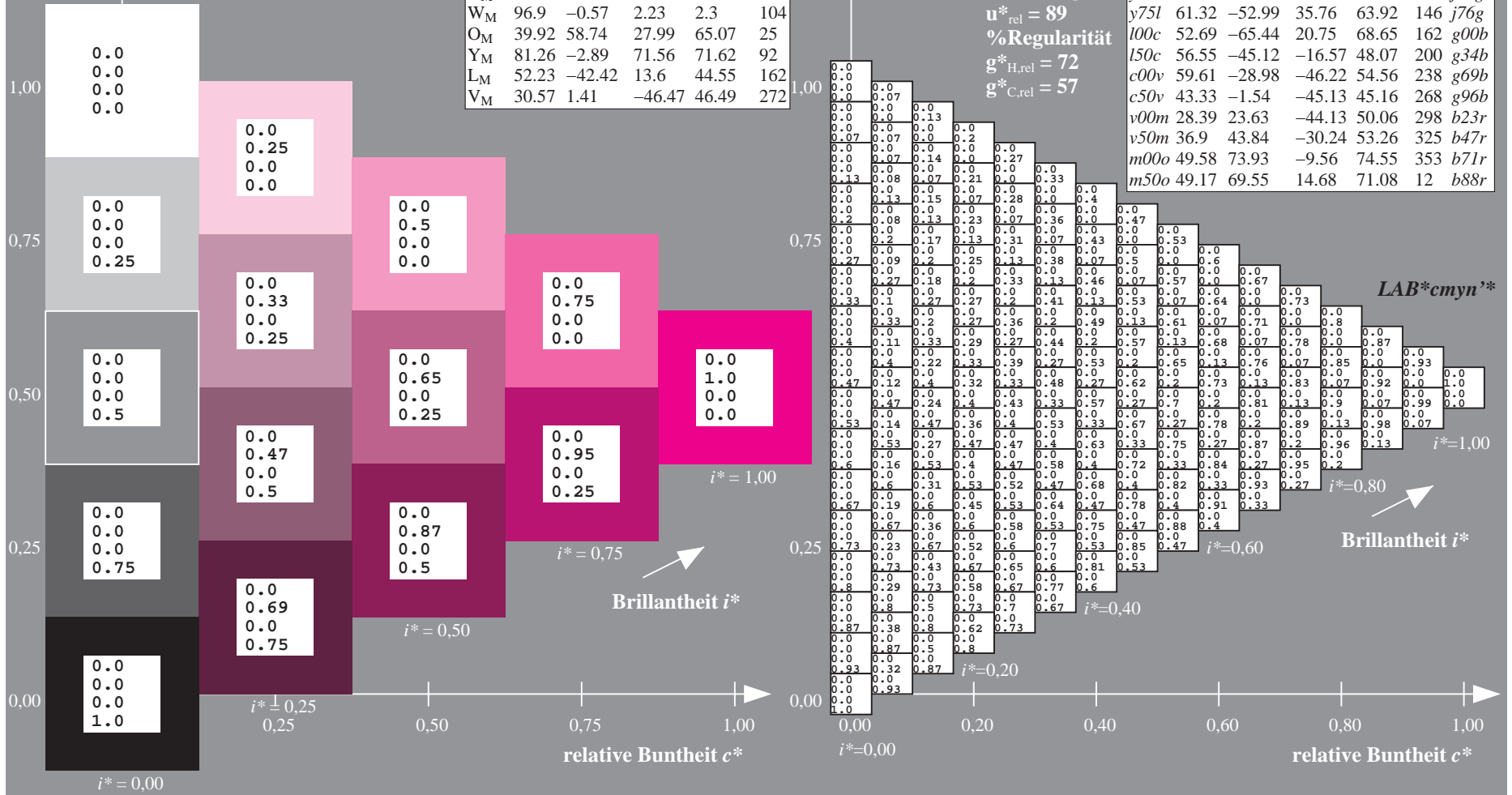
$g^*_{H,rel} = 72$

$g^*_{C,rel} = 57$

ORS19_96a; adaptierte CIELAB-Daten

u^*_d	$L^*=L^*_a$	a^*_a	b^*_a	$C^*_{ab,a}$	$h^*_{ab,a}$	u^*_e
o00y	48.75	65.07	39.43	76.08	31	r08j
o25y	59.04	46.67	51.1	69.21	48	r33j
o50y	68.32	30.09	61.62	68.58	64	r57j
o75y	78.23	12.39	72.85	73.9	80	r81j
y00l	90.92	-10.29	87.24	87.85	97	j06g
y25l	78.57	-28.11	65.75	71.51	113	j29g
y50l	69.46	-41.25	49.92	64.75	130	j53g
y75l	61.32	-52.99	35.76	63.92	146	j76g
l00c	52.69	-65.44	20.75	68.65	162	g00b
l50c	56.55	-45.12	-16.57	48.07	200	g34b
c00v	59.61	-28.98	-46.22	54.56	238	g69b
c50v	43.33	-1.54	-45.13	45.16	268	g96b
v00m	28.39	23.63	-44.13	50.06	298	b23r
v50m	36.9	43.84	-30.24	53.26	325	b47r
m00o	49.58	73.93	-9.56	74.55	353	b71r
m50o	49.17	69.55	14.68	71.08	12	b88r

$LAB^*cmy^n^*$



Ein und Ausgabe: Farbmatisches Drucker-Reflektiv-System ORS19_96a für relativen CIELAB-Bunton $h^* = \text{lab}^*h^* = h_{ab}/360 = 0.033$

$u^*_d = m50o$

Daten für jede Farbe:

Daten für Maximalfarbe (Ma):

$\text{LAB}^*c_{myn}^*$

lab^*tch^* und lab^*icu^*

$\text{LAB}^*\text{LAB}^*_{Ma}: 49\ 70\ 15$

ORS19_96a; adaptierte CIELAB-Daten

Buntontexte:

$u^*_d = m50o$ $u^*_e = b88r$

$\text{LAB}^*\text{LCH}^*_{Ma}: 49\ 71\ 11$

$u^*_d\ L^*=L^*_a\ a^*_a\ b^*_a\ C^*_{ab,a}\ h^*_{ab,a}\ u^*_e$

Kontrastreduzierungsfaktor:

$c_R = 1.0$

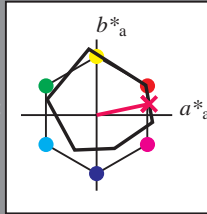
$\text{lab}^*\text{olv}^*_{Ma}: 1.0\ 0.0\ 0.5$

$o00y\ 48.75\ 65.07\ 39.43\ 76.08\ 31\ r08j$

Dreiecks-Helligkeit t^*

$\text{lab}^*\text{rgb}^*_{Ma}: 1.0\ 0.0\ 0.24$

$o25y\ 59.04\ 46.67\ 51.1\ 69.21\ 48\ r33j$



ORS19_96a; CIELAB-Daten

	u^*_d	$L^*=L^*$	a^*	b^*	C^*_{ab}	h^*_{ab}
O _M	48.75	65.16	40.76	76.86	32	
Y _M	90.92	-10.78	89.36	90.01	97	
L _M	52.69	-65.4	22.15	69.05	161	
C _M	59.61	-29.04	-44.69	53.3	237	
V _M	28.39	24.0	-43.18	49.4	299	
M _M	49.58	74.01	-8.22	74.47	354	
N _M	18.89	0.5	0.77	0.92	57	
W _M	96.9	-0.57	2.23	2.3	104	
O _M	39.92	58.74	27.99	65.07	25	
Y _M	81.26	-2.89	71.56	71.62	92	
L _M	52.23	-42.42	13.6	44.55	162	
V _M	30.57	1.41	-46.47	46.49	272	

$o75y\ 78.23\ 12.39\ 72.85\ 73.9\ 80\ r8lj$

$y00l\ 90.92\ -10.29\ 87.24\ 87.85\ 97\ j06g$

$y25l\ 78.57\ -28.11\ 65.75\ 71.51\ 113\ j29g$

$y50l\ 69.46\ -41.25\ 49.92\ 64.75\ 130\ j53g$

$y75l\ 61.32\ -52.99\ 35.76\ 63.92\ 146\ j76g$

$l00c\ 52.69\ -65.44\ 20.75\ 68.65\ 162\ g00b$

$l50c\ 56.55\ -45.12\ -16.57\ 48.07\ 200\ g34b$

$c00v\ 59.61\ -28.98\ -46.22\ 54.56\ 238\ g69b$

$c50v\ 43.33\ -1.54\ -45.13\ 45.16\ 268\ g96b$

$v00m\ 28.39\ 23.63\ -44.13\ 50.06\ 298\ b23r$

$v50m\ 36.9\ 43.84\ -30.24\ 53.26\ 325\ b47r$

$m00o\ 49.58\ 73.93\ -9.56\ 74.55\ 353\ b71r$

$m50o\ 49.17\ 69.55\ 14.68\ 71.08\ 12\ b88r$

